

目 录

第一篇 液相色谱方法

第一章 液相色谱基础	1
第一节 概 述	1
一、液相色谱法的发展史	1
二、液相色谱法原理和特点	2
三、液相色谱法的分类	3
四、几个重要色谱参数的计算及测定方法	3
第二节 常用术语及符号	7
一、色谱曲线	7
二、分离模式	8
三、载体	10
四、固定相和流动相	11
五、色谱参数	12
六、其他	14
参考文献	17
第二章 柱液相色谱流动相和固定相	19
第一节 流动相	19
一、概述	19
二、正相色谱常用洗脱剂	19
三、反相色谱常用洗脱剂	20
四、反相离子对色谱常用洗脱剂	21
五、离子交换色谱常用洗脱剂	22
六、尺寸排阻色谱常用洗脱剂	23
第二节 固定相	23
一、液液色谱固定相	23
二、液固色谱固定相	24
三、离子交换固定相	28
四、凝胶固定相	29
参考文献	30
第三章 液相色谱柱	31
第一节 常用液相色谱柱	31
第二节 膜色谱柱	32
一、概述	32
二、径向膜色谱技术的原理及特点	32
三、膜色谱柱的应用	33
四、高效分析膜色谱柱	33
五、膜的运行及其处理方法	34

第三节 制备色层柱	31
一、制备规模	31
二、制备色层柱的设计	35
三、柱填充方法	35
参考文献	36
第四章 柱液相色谱分离方法	37
第一节 正相色谱法	37
一、概述	37
二、流动相的选择	37
三、粒度的选择	38
第二节 反相色谱法	39
一、概述	39
二、流动相的选择	40
三、柱条件的选择	41
第三节 离子交换色谱法	42
一、概述	42
二、离子交换剂	42
三、负载量和交换容量	43
四、离子交换色谱流动相	44
五、离子交换色谱的应用	44
第四节 离子色谱法	45
一、概述	45
二、离子色谱柱简介	45
三、分离柱	46
四、抑制柱	46
五、检测器	47
第五节 离子对色谱法	48
一、概述	48
二、色谱柱的选择	48
三、离子对试剂的选择	49
四、有机溶剂的选择	49
五、无机盐浓度的影响	49
六、pH 值的影响	50
七、柱温的选择	50
八、氨基酸试剂	50
第六节 凝胶色谱法	50
一、概述	50
二、凝胶色谱仪	50
三、凝胶的选择	51
四、溶剂的选择	51
五、凝胶色谱的应用	52
第七节 亲和色谱法	52
一、概述	52
二、基质的选择	53

三、配体的选择	55
四、洗脱条件选择	54
五、亲和色谱的洗脱方法	54
第八节 超临界流体色谱	55
一、概述	55
二、超临界流体色谱的流动相	55
三、超临界流体色谱柱与固定相	56
四、检测器和检测方法	57
参考文献	57
第五章 定性定量方法	59
第一节 液相色谱定性方法	59
一、利用已知标准样品定性	59
二、利用检测器的选择性定性	59
三、利用紫外检测器全波长扫描功能定性	60
四、利用改变流动相组成时被测组分的保留值变化规律定性	61
五、折射指数定性	62
六、联合定性	62
第二节 液相色谱定量方法	62
一、峰面积的测定	62
二、定量计算	63
参考文献	64
第六章 柱液相色谱仪系统	65
第一节 输液系统	65
一、贮液及脱气装置	65
二、高压输液泵	65
三、梯度洗脱装置	68
第二节 进样系统	70
一、注射器进样装置	71
二、阿托进样装置	71
三、自动进样器	72
四、进样技术对峰扩展的影响	74
第三节 色谱柱系统	73
一、液相色谱柱的类型和结构	74
二、色谱柱的选择	74
三、色谱柱的装填	74
四、色谱柱的评价	76
第四节 检测系统	76
一、HPLC 检测器的特性	77
二、HPLC 检测器的分类	77
三、HPLC 检测器的性能指标	77
四、几种常用的 HPLC 检测器	79
第五节 液相色谱分析中常出现的问题及解决方法	87
一、液相色谱液泵常见故障	88
二、高效液相色谱柱常见故障	89

三、根据色谱图的变化判断仪器故障	86
四、液相色谱仪的日常维护及应注意事项	99
参考文献	95
第七章 毛细管电泳	96
第一节 毛细管电泳原理	96
一、双电层和 ζ 电势	96
二、电泳、电渗和电渗流	96
三、分离效率与分离度	97
四、峰展宽的影响因素	98
第二节 毛细管电泳分离模式	100
一、毛细管区带电泳	100
二、胶束电动毛细管色谱	102
三、毛细管凝胶电泳	105
四、毛细管等电聚焦	107
五、毛细管等速电泳	108
六、毛细管电色谱	108
第三节 毛细管电泳仪器	110
一、进样系统	110
二、分离系统	111
三、检测系统	111
四、常见故障及排除方法	114
参考文献	117
第八章 平面色谱法	118
第一节 薄层色谱法简介	118
一、薄层板	118
二、薄层板的制备	119
三、点样	121
四、展开	121
第二节 薄层色谱参数	126
一、流动相动力参数	126
二、保留参数	126
三、薄层色谱分离效能参数	127
四、容量因子与比移值的关系	128
五、分离评价参数	128
第三节 薄层色谱流动相与展开机制	129
一、薄层色谱流动相	129
二、几种常用薄层色谱分离模式的展开机制	132
第四节 薄层色谱固定相	133
一、吸附剂与溶剂的选择	133
二、常用吸附剂的性质	134
三、吸附剂的活化与活度标定	134
第五节 薄层色谱扫描仪	140
一、仪器结构	140
二、主要功能	142

第六节 薄层色谱定性定量方法	142
一、斑点定位	142
二、定性方法	143
三、定量方法	146
第七节 纸色谱	148
一、纸色谱简述	148
二、纸色谱技术	148
参考文献	151
第九章 样品预处理	152
第一节 概述	152
第二节 液液萃取	153
一、液液萃取基本操作	153
二、液液萃取用有机溶剂	153
三、液液萃取后处理	154
第三节 固相萃取法	155
一、固相萃取基本操作	155
二、固相萃取固定相	155
三、固相萃取溶剂	156
第四节 样品衍生化	157
一、紫外衍生化	157
二、荧光衍生化	158
三、电化学衍生化	160
四、柱后衍生化技术	160
五、柱前衍生化技术	162
参考文献	162

第二篇 谱图选集

第十章 反相色谱谱图	163
第一节 糖类色谱图	163
第二节 氨基酸类色谱图	176
第三节 生化医药类样品色谱图	190
第四节 环境物质样品色谱图	231
第五节 天然产物与食品色谱图	258
第六节 其他样品的反相色谱图	274
参考文献	310
第十一章 反相离子对色谱、离子交换色谱和离子色谱谱图	315
第一节 阳离子色谱图	315
第二节 阴离子色谱图	346
第三节 其他样品的色谱图	377
参考文献	384
第十二章 正相色谱、亲和色谱和排阻色谱谱图	397
第一节 正相色谱谱图	397
第二节 亲和色谱谱图	409

第三节 体积排阻色谱谱图	413
参考文献	420
第十三章 生物大分子、异构体及手性化合物色谱图	422
第一节 蛋白质、肽和核苷色谱图	422
第二节 异构体和手性化合物色谱图	451
参考文献	470
第十四章 超临界色谱和薄层色谱谱图	479
第一节 超临界色谱谱图	479
第二节 薄层色谱谱图	509
参考文献	552
第十五章 毛细管电泳谱图	556
第一节 毛细管区带电泳谱图	556
第二节 胶束电动毛细管色谱谱图	587
第三节 毛细管电色谱谱图	604
一、毛细管电色谱柱评价谱图	604
二、毛细管电色谱应用谱图	631
第四节 毛细管凝胶电泳及其他分离模式谱图	650
参考文献	657
谱图索引	662
化合物名称索引	675
本书中其他缩写符号表	712

表 目 录

第一章 液相色谱基础	1
表 1-1 液相色谱法分类	3
第二章 柱液相色谱流动相和固定相	18
表 2-1 HPLC 中常用溶剂的性质	18
表 2-2 部分溶剂的洗脱能力	19
表 2-3 硅胶柱上液固相色谱洗脱剂的溶剂序列	19
表 2-4 反相色谱常用的离子对试剂	21
表 2-5 阴离子离子对 HPLC 中的溶剂强度关系	21
表 2-6 反相离子对色谱洗脱剂的 pH 值范围	22
表 2-7 用于尺寸排阻色谱的流动相	23
表 2-8 部分 HPLC 中常用的微粒型吸附剂	25
表 2-9 硅胶上官能团吸附强度的分类	25
表 2-10 HPLC 常用的化学键合固定相及性质	26
表 2-11 常见有机离子交换剂的类型和性质	29
表 2-12 NUG-L 系列凝胶色谱填料的基础数据	30
第三章 液相色谱柱	31
表 3-1 色谱柱材质 (不锈钢)	31
表 3-2 液相色谱柱产品性能及应用	33
表 3-3 不同柱型号的规格	33
表 3-4 一般仪器分析方法所需的样品量	35
第四章 柱液相色谱分离方法	37
表 4-1 正相色谱的主要特征	37
表 4-2 正相色谱中硅胶柱与极性键合相柱的分离效果对比	38
表 4-3 几种常用正相色谱柱在分离过程中的特征	39
表 4-4 反相色谱色谱的特点	39
表 4-5 正相色谱和反相色谱的选择性对比	39
表 4-6 以硅胶为基质的键合型离子交换剂	42
表 4-7 离子色谱使用的洗脱剂及相应的抑制反应	47
表 4-8 烷基磺酸盐离子对液相色谱中的溶剂强度关系	49
表 4-9 凝胶色谱常用溶剂	52
表 4-10 载体基质适用的 pH 值范围	53
表 4-11 亲和配体和纯化的蛋白质	53
表 4-12 亲和配体及其应用	54
表 4-13 二氧化硫流体添加改性剂后与检测器的匹配情况	56
表 4-14 超临界流体色谱用检测器的性能	57
第五章 定性定量方法	59
第六章 柱液相色谱仪器系统	65
表 6-1 四种高压输液系统的特点	66

表 6-2	不同梯度洗脱系统的比较	70
表 6-3	不同自动进样器的工作步骤	72
表 6-4	不同类型进样装置的特征	73
表 6-5	25cm 柱所需填料的量	76
表 6-6	评价各种常用色谱柱的样品及其操作条件	78
表 6-7	一些发色基团的最大吸收波长 λ_{\max} 和摩尔吸光系数	78
表 6-8	常用溶剂透过波长的下限	80
表 6-9	在 200nm 波长以上有紫外吸收的无抗衡离子	81
表 6-10	常用溶剂在 20°C 时的折射率	82
表 6-11	ELSD 中常用溶剂与有机改性剂	83
表 6-12	水溶液中离子的极限摩尔电导	85
表 6-13	用于 HPLC 化学反应检测器的某些化学物质	86
表 6-14	常用 HPLC 检测器的一些特性	87
表 6-15	液相色谱输液泵常见故障的判断和排除	88
表 6-16	高效液相色谱柱常见故障的判断及排除	89
表 6-17	根据色谱图的变化判断仪器故障或方法失误	89
表 6-18	液相色谱中对流动相的要求	92
表 6-19	液相色谱柱的日常维护	93
表 6-20	固定相的封存与禁用溶剂	93
表 6-21	水中的有机杂质种类和处理方法	95

第七章 毛细管电泳 96

表 7-1	电渗流的控制方法	97
表 7-2	毛细管电泳常用的缓冲溶液	101
表 7-3	毛细管电泳中常用的添加剂	101
表 7-4	MEUC 的基本参数及计算方法	103
表 7-5	常用表面活性剂的结构、临界胶束浓度和聚集数	104
表 7-6	CGE 安格斯型模型和爬行模型	106
表 7-7	各种检测器的方法比较	113
表 7-8	毛细管电泳中常见故障及处理方法	114

第八章 平面色谱法 118

表 8-1	薄层色谱法和高效液相色谱法方法特征比较	118
表 8-2	一些固定相常用的调聚溶剂及其用量	120
表 8-3	一些络合剂的适用范围	120
表 8-4	不同材料薄层的活化参考条件	120
表 8-5	不同形式展开的特征	122
表 8-6	常用展开装置的性能比较	124
表 8-7	溶剂选择性分类	132
表 8-8	液相色谱分析法对常用溶剂选择性的分类结果	132
表 8-9	一些常用硅胶的孔结构参数	134
表 8-10	硅胶活性与含水量的关系	134
表 8-11	氧化铝活性与含水量的关系	135
表 8-12	两种常用氧化铝的孔结构参数	136
表 8-13	葡聚糖凝胶吸水量与应用范围	136
表 8-14	LH-20 型葡聚糖凝胶在不同溶剂中的膨胀体积	137

表 8-15 常用离子交换纤维素的特征	137
表 8-16 常用葡聚糖凝胶离子交换剂的性能	138
表 8-17 氧化相活性顺序	139
表 8-18 硅胶活性顺序	140
表 8-19 几种常见薄层色谱扫描仪的主要性能	141
表 8-20 几种国产滤纸的型号与性能	149
表 8-21 纸层谱分离各类化合物的固定相及流动相	150

第九章 样品预处理

表 9-1 样品预处理的选择	152
表 9-2 各种滤膜对溶剂的适应性	152
表 9-3 液液萃取溶剂分类	154
表 9-4 固相萃取的特点	155
表 9-5 SPE 萃取管的一般商品	156
表 9-6 固相萃取常用固定相的实用范围	156
表 9-7 溶剂强度	156
表 9-8 常用紫外衍生试剂	157
表 9-9 常用荧光衍生试剂	158
表 9-10 电化学衍生试剂	160
表 9-11 柱后衍生化技术的特点	161

第一篇 液相色谱方法

第一章 液相色谱基础

第一节 概 述

色谱学是现代分离分析的一个重要方法。半个世纪以来,气相色谱、液相色谱、薄层色谱、凝胶渗透色谱和纸色谱等色谱学分支都得到了较大的发展,而离子色谱、超临界流体色谱、毛细管电泳和毛细管电色谱等新型色谱分离模式的相继问世,使色谱法的应用范围不断拓宽。在石油化工、有机合成、生理生化、医药卫生,乃至空间探索等诸多领域发挥了重要的作用。色谱法也渗入到催化机理、吸附动力学、化学反应动力学、溶液理论研究等基础理论研究方面,用于揭示物理化学领域内的某些基本现象和规律的微小差异。色谱与各种有关的联用技术的出现,如色谱-质谱联用,色谱-红外光谱联用等更开辟了复杂混合物分析检测的新天地。目前,色谱法已经成为人们认识客观世界必不可少的工具,并在不断丰富、提高和发展的实践过程中形成了一门独立的学科。随着色谱学科的发展,作为色谱学重要分支的液相色谱法也得到了长足的发展。本章对液相色谱法的历史、原理及相关分离模式的分类方法作一概述。

一、液相色谱法的发展史

现代色谱法从发明到现在已有近百年的历史。实际上,早在古代罗马时期,人们已知道将一滴含有混合色素的溶液滴在一块布或一片纸上,并通过观察溶液展开产生的一个个同心圆环来分析染料与色素。在100多年前,德国的化学家 Runge 对古罗马人的这种方法作了重要的改进,使其具有更好的重现性与定量能力,这项技术后来发展成为今天的纸上色谱技术。

俄国植物学家 Tswett 关于色谱分离方法的研究始于1901年,他在1903年的华沙自然科学学会生物学会会议上发表了题为“一种新型吸附现象及其在生化分析上的应用”的论文中提出了应用吸附原理分离植物色素的新方法,并首先认识到这种层析现象在分离分析方面有重大价值。3年后,他将这种方法命名为色谱法(Chromatography)。在1907年的德国生物化学学术会议上, Tswett^[1-3]第一次向人们公开展示了采用色谱法提纯的植物色素溶液以及色谱图——显示着彩色环带的柱管。由于当时 Tswett 还不是一位著名的植物学家,而他的色谱论文又仅仅采用俄文发表,因此刚刚诞生的色谱分离技术并没有引起人们的足够重视。20多年后, Kuhn 等^[4]为了证实蛋黄内的叶黄素系植物叶黄素与玉米黄质的混合物,参考 Tswett 的方法,采用粉碎的碳酸钙装填色谱柱,成功地从蛋黄中分离出了植物叶黄素。他们工作的重要意义不仅仅在于证明了蛋黄叶黄素是氧化类胡萝卜素的混合物,更重要的是证实色谱法可以用来进行制备分离。此后,色谱分离方法才迅速被各国科学工作者注意和应用,并更广泛地用于各种天然有机化合物的分析与分离。

液相色谱的进一步发展的赖于瑞典科学家 Tiselius^[5-6]以及 Claesson 的努力,他们创立了

液相色谱的前缘分析与取代扩展技术。1941年 Martin 等^[1]采用水分饱和的硅胶为固定相,以含有乙醇的氯仿为流动相分离乙酰基氨基酸的工作是分配色谱的首次应用。他们也在总结其研究成果的基础上提出了著名的色谱塔板理论。

液固色谱是最先创立的色谱方法。最初液固色谱柱多是采用碳酸钙、硅胶、氧化铝填充的玻璃柱管,流动相加在柱管上端,在地球吸引力的作用下顺流向下迁移,而组分的检测则依靠肉眼的观察或将吸附剂从柱管中取出,并进一步进行分析,色谱仅起到分离的作用。自液固色谱被创立后的 50 多年时间里,液固色谱装置并无多大实质性的改进。直到 60 年代,随着在气相色谱方面知识的积累,人们把气相色谱中获得的系统理论与实践经验应用于液相色谱理论研究,多种高效微粒填充剂被研制成功,采用细粒度高效柱,大大提高了液相色谱的分离能力。与此同时,以高压输液泵替代重力作用,更加快了液相色谱的分析速度。而柱分离技术与光学检测器相结合也使得液相色谱由最初的以分离目的为主,发展为可以同时完成分离分析目的的重要分析方法。在数据处理方面,20 世纪 60 年代初期,人们已经制成了机械式的色谱积分器,从而有可能比较准确地测定色谱峰面积。20 世纪 60 年代中期,新式的电子数字式积分仪代替了过去的模拟积分器,色谱图的数据处理精度得到了进一步提高。所有这些标志着高速、高压、高效的液相色谱法已蓬勃发展起来。

在 20 世纪 70 年代,色谱仪器的性能不断得到改善,采用自动电导检测器分析痕量正负离子的新式离子交换色谱法等新型分离模式开始出现,使液相色谱无论是在技术上还是在仪器上,都产生了一个新的飞跃。20 世纪 70 年代初期已生产出带小型微处理机的色谱仪。当初色谱仪的微处理机功能虽然比较简单,但它却显示出了色谱仪器发展的方向,标志着色谱仪的制造又进入了新的时代。20 世纪 70 年代后期,某些型号的色谱仪已经配备了小型的微型计算机,应用十分灵活。它除可以进行数据采集、处理外,还可以用来控制色谱操作条件,色谱工作者可以根据自己的需要编排程序进行工作。

20 世纪 80 年代发展起来的毛细管电泳技术,结合了毛细管色谱技术及色谱微量检测方法,运用在电场中离子迁移速度不同的原理进行分离分析,解决了 DNA 及其片断、单克隆抗体、蛋白质及多肽等一般色谱技术难于解决的分析问题。随着生物工程研究的进展,人们运用色谱法能够制备微量而贵重的生物活性化合物,从而发展了细内径的高效制备色谱柱及径向制备色谱。

以制备色谱为主要对象的非线性色谱理论,近年来获得长足的发展,另一方面毛细管液相色谱的理论塔板数已大大提高,电化学检测和激光诱导荧光法已获得很大发展,光电二极管阵列光谱检测器是 HPLC 检测技术的重大进展,对紫外可见光谱的快速扫描检测,使液相色谱能提供的信息量大幅度增加,为化学计量学中的许多手段,如模式识别等,提供了重要的应用领域。此外,在广义上作为液相色谱一种形式的薄层色谱正广泛采用点样自动化和光谱、质谱检测等手段,向仪器化和计算机化的方向迅速发展。

今天,色谱仪器、技术还在继续向前发展,新的色谱仪器与色谱方法不断出现,所有这些为色谱方法的应用开拓了更大、更新的应用领域,事实上色谱方法已经成为了化学家分析分离复杂混合物不可缺少的工具。

二、液相色谱法原理和特点

色谱法作为一种分离方法,它利用物质在两相中吸附或分配系数的微小差异达到分离的目的。当两相作相对移动时,被测物质在两相之间进行反复多次的分配,这样使原来微小的

分配差异产生了很大的效果，达到分离、分析及测定一些物理化学常数的目的。而色谱作为一种分析方法，其最大特点在于能将复杂的混合物分离为各个有关的组成后，逐个地加以检测。

一般而言，色谱过程中不同组分在相对运动，不相混溶的两相间交换，其中相对静止的一相称固定相，另一个相对运动的相称流动相。不同组分在两相间的吸附、分配、离子交换、亲和力或分子尺寸等性质存在微小差别，经过连续多次在两相间的质量交换，这种性质微小差别被叠加、放大，最终得到分离，因此不同组分性质上的微小差别是色谱分离的根本，即必要条件；而性质上微小差别的组分之所以能得以分离，是因为它们在两相之间进行了上千次甚至上万次的质量交换，这是色谱分离的充分条件。

色谱法具有高效、快速、灵敏的特点，液相色谱与气相色谱相比，液相色谱的最大特点是可以分离不可挥发而具有一定溶解性的物质或受热后不稳定的物质，而这类物质在已知化合物中占有相当大的比例。

目前在生命科学中又显示出液相色谱的突出地位^[6]，分析、分离和纯化生物大分子物质是目前极为活跃的研究领域。研究手性分子的分离和分析是液相色谱的重要对象。色谱的重要性首先在于它使性质上非常接近的物质的分离测定成为可能，正是这一点使它成为近代化学、生物学研究与发展中一个极为重要和不可缺少的手段。

三、液相色谱法的分类

液相色谱中包括多种分离模式，一般而言，从不同的角度出发，可以按照表 1-1 的方法进行分类。

表 1-1 液相色谱法分类^[7]

按固定相形态分类		按作用原理分类		按物理特征分类	
固定相	名 称	原 理	名 称	特 征	名 称
液体	液相色谱	分配	液液分配色谱	平面状固定相	平面色谱
固体	吸附色谱	吸附	液固吸附色谱	低固定相	纸色谱
		分子大小	凝胶或尺寸排阻色谱	薄层固定相	薄层色谱
		离子交换能力	离子交换色谱	颗粒固定相填充	填充色谱
		亲和力	亲和色谱	色谱柱中空	离心柱色谱
		电渗及电泳辅助	电渗	流动相采用高压液体	高压液相色谱

四、几个重要色谱参数的计算及测定方法

(一) 保留时间和保留体积

从进样开始到柱后出现组分浓度最大值所需的时间为保留时间 (t_R)，而在保留时间内冲洗剂流过的体积为保留体积 (V_R)。流出时间与流动相流速成反比，保留时间和保留体积呈正比例关系。在色谱柱内不保留组分的流出时间为死时间 (t_0)，死时间不仅与柱结构有关，而且也与进样系统和检测系统有关。当柱外体积可以忽略不计时，死体积 (V_0) 等于柱内流动相所占有的体积，以 V_0 表示。对于不同的色谱模式，下式皆成立

$$V_R = V_0 + k \cdot V_0 \quad (1-1)$$

分配系数 k 定义为

$$k = \frac{n_s V_s}{n_m V_m} \quad (1-2)$$

式中, n_s , n_m 分别为溶质在固定相和流动相中的量。

调整保留时间 (t_R') 为溶质的保留时间中扣除死时间得到的结果, 能更确切地反映溶质在柱过程中被保留的特征。对应地, 溶质保留体积与死体积之差为调整保留体积 (V_R')。

$$t_R' = t_R - t_0 \quad (1-3)$$

$$V_R' = V_R - V_0 \quad (1-4)$$

色谱操作条件一定时, 不同物质有其特定的保留值, 这也是色谱定性的基本依据。

色谱法中广泛采用的另一个保留值参数是容量因子 (k')。定义为样品组分在固定相和流动相中量的比值

$$k' = \frac{n_s}{n_m} \quad (1-5)$$

结合另外几种保留值参数的定义式, 可以得到他们之间的相互关系

$$k = k' \frac{V_R'}{V_0} \quad (1-6)$$

$$k' = \frac{t_R - t_0}{t_0} = \frac{t_R'}{t_0} \text{ 或 } t_R = t_0(1 + k') \quad (1-7)$$

液相色谱中, 由于流动相参与了溶质的分配过程, 因此样品组分的保留值不仅与固定相的性质和柱温有关, 而且与流动相的组成和性质有关, 但与流动相流速及柱尺寸无关。

液相色谱中死时间的测定相当于气相色谱而言要复杂得多, 这是因为一方面很难找到在固定相上完全不保留, 而有足够紫外响应信号的惰性溶质用于死时间测定; 另一方面由于空间排斥作用, 一些较大的分子不能进入固定相微孔中, 可能在真实死时间前流出, 不易判断。液相色谱中一般常用下面几种方法:

① 在用混合溶剂作流动相时, 以在检测器上有显著信号的纯溶剂作为测定死时间的物质。

② 在全浓度范围内连续变化流动相组成, 以蛋白质保留值最小的保留时间作为死时间。

③ 在正相色谱中, 采用紫外检测器时, 四氯乙烯可作为惰性溶质。反相色谱中也可采用苯甲酸、硝酸、亚硝酸或高氯酸等作为惰性溶质。

④ 采用比流动相溶剂分子少一个 $-\text{CH}_2-$ 基团的同系物测定。如正己烷为流动相溶剂时, 可以采用戊烷测定死时间。

⑤ 用放射性标记的方法测定, 如以水为流动相溶剂时可以采用重水为标记物进行测定。在实验条件不具备或需要作某些估算时, 可采用公式 (1-8) 计算。

$$t_0 = \frac{\text{空柱管体积} \times \text{柱总孔隙度}(\epsilon_T)}{\text{流动相体积流量}(F_0)} \quad (1-8)$$

计算准确程度与柱径的均匀程度、填充的紧密程度及柱外死体积所占的比例有关。对于填充良好的色谱柱, 全孔硅胶为基质的填料, $\epsilon_T = 0.82 \sim 0.85$; 而薄壳型填料, $\epsilon_T \approx 0.4$ 。

(二) 柱效能总指标

色谱过程中, 柱效能是溶柱分离能力的度量, 主要由操作参数和动力学因素决定, 一般可通过测定色谱柱的塔片数、分离度等评价。

假设解质谱带的分布满足高斯分布, 理论塔片数 (N) 定义为

$$N = \left(\frac{t_R}{\sigma} \right)^2 \quad (1-9)$$

式中 σ 为方差,

采用上式计算很不方便, 可以将其改写成

$$N = 5.54 \left| \frac{t_R}{\Delta t_{1/2}} \right|^2 \quad (1-10)$$

$$\text{或} \quad N = 16 \left(\frac{t_R}{w_b} \right)^2 \quad (1-11)$$

定义理论塔片高度 (H) 为单位理论塔片所占据的色谱柱长度 (L), 即

$$H = \frac{L}{N} \quad (1-12)$$

而考虑到样品在通过柱内孔隙体积时, 并不与固定相发生质量交换, 采用调整保留时间计算塔片数更为合理, 如此得到有效塔片数 (N_{eff})

$$N_{eff} = \left(\frac{t'_R}{\sigma} \right)^2 = 5.54 \left(\frac{t'_R}{w_{1/2}} \right)^2 = 16 \left(\frac{t'_R}{w_b} \right)^2 \quad (1-13)$$

$$\text{或} \quad N_{eff} = N \left(\frac{k'}{1+k'} \right)^2 \quad (1-14)$$

当 k' 较小时, 理论塔片数与有效塔片数相差较大, 而当 k' 较大时, 两者相差较小。

单位有效塔片所占据的色谱柱长度为有效塔片高度 (H_{eff}), 即

$$H_{eff} = \frac{L}{N_{eff}} = H \left(\frac{1+k'}{k'} \right)^2 \quad (1-15)$$

相邻两峰保留时间之差与半高峰宽之和 ($\Delta t_{1/2}$) 的比值称为分离效能总指标 (K_1)

$$K_1 = \frac{t_R(2) - t_R(1)}{\Delta t_{1/2}(1) + \Delta t_{1/2}(2)} \quad (1-16)$$

由于两峰相邻时, 近似地有 $\Delta t_{1/2}(1) = \Delta t_{1/2}(2)$, 因此

$$K_1 = \frac{t_R(2) - t_R(1)}{2\Delta t_{1/2}} \quad (1-17)$$

两组分保留值之差与其平均峰宽值之比

$$R_s = \frac{2(t_{R_2} - t_{R_1})}{w_{1/2} + w_{1/2}} \quad (1-18)$$

也可用于表示两相邻色谱峰的分离程度。

由于两峰相邻 $w_{1/2} \approx w_b$, 因此

$$R_s = \frac{t_{R_2} - t_{R_1}}{w_b} \quad (1-19)$$

R_s 与 K_1 之间的关系为

$$K_1 = 0.59 R_s \quad (1-20)$$

为了判别一个组分存在, 在色谱图上至少需要有一个表示其存在的肩峰, 如图 1-1, 定义峰高分离度 (K_2)

$$K_2 = \frac{C_{max} - C_1}{C_{max}} \quad (1-21)$$

式中, C_{max} 为两峰中较矮组分的峰高; C_1 为峰谷高。

一般认为只要 $K_2 > 5\%$ 就可以满足色谱定性的要求。

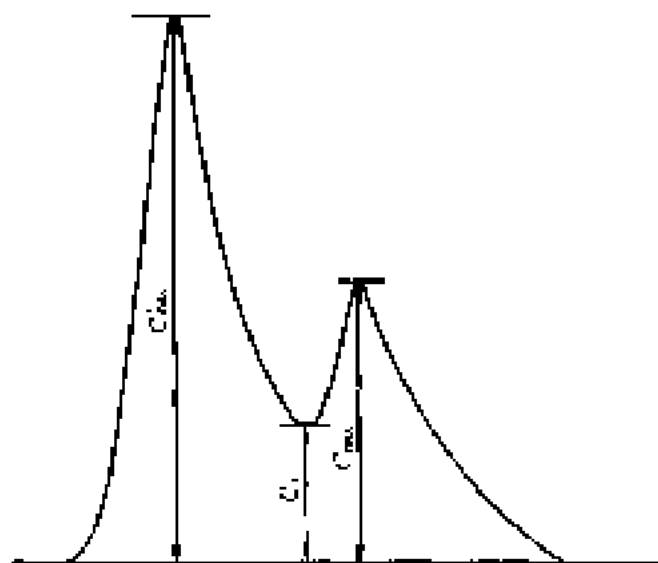


图 1-1 K_2 的定义

为了使总分离效能指标能直接与所分析组分的多少相关联,可以采用峰容量(P)来评价色谱柱。色谱峰容量即为色谱条件一定时,在指定的时间内,能够在色谱柱中流出的满足分离度要求的等高色谱峰的个数。

$$P = \frac{\ln(1 + K'_2)}{\ln(2.35K'_1/\sqrt{n} + 1)} - 1 \quad (1-22)$$

(三) 谱带扩张

由于纵向扩散、传质阻力等因素的影响,组分在色谱柱内迁移过程中谱带宽度增加的现象称为谱带扩张。

色谱系统中,谱带扩张可以分为柱内扩张和柱外扩张两部分^[20]

$$\sigma^2 = \sigma_{柱外}^2 + \sigma_{柱内}^2 \quad (1-23)$$

柱外谱带扩张又称“柱外效应”,指从进样点到检测池间除色谱柱以外的所有死空间导致的谱带变宽,包括进样器、连接管、检测池等因素。

$$\sigma_{柱外}^2 = \sigma_{进样}^2 + \sigma_{连接管}^2 + \sigma_{检测器}^2 + \sigma_{池}^2 + \sigma_{其他}^2 \quad (1-24)$$

由于液体的扩散系数很低,冲洗剂流量很少,因此柱外效应在液相色谱中十分明显,对于细内径柱尤为突出。柱内因素引起的谱带扩张现象为柱内谱带扩张,主要包括涡流扩散、分子扩散、内扩散传质、固相传质等几部分。

涡流扩散指由于固定相颗粒对流动相流动的阻滞,使其不断改变流动方向,从而使组分在流动相中形成紊乱的类似于管路输运中涡流流动的现象,涡流扩散使组分的谱带的展宽正比于填料的颗粒度(d_p)

$$H_{涡流扩散} = 2\lambda d_p \quad (1-25)$$

式中, λ 为填充不规则因子,反映了柱内固定相填充的不均匀程度。

分子扩散指组分在柱过程中存在的浓度梯度引起的扩散,它服从爱因斯坦扩散方程

$$H_{分子扩散} = 2\gamma D_m \quad (1-26)$$

式中, γ 为与扩散有关的常数, D_m 为溶质在流动相中的扩散系数。

流动相流速不太低的情况下, $H_{分子扩散}$ 很小,在计算谱带扩张时一般可忽略。

流型扩散指由于流动相在径向存在速度梯度,进而引起的质量输运现象。

$$H_{流型扩散} = \frac{c_m d_p^2 u}{D_m} \quad (1-27)$$

式中, c_m 为流型有关的常数; u 为流动相线速。

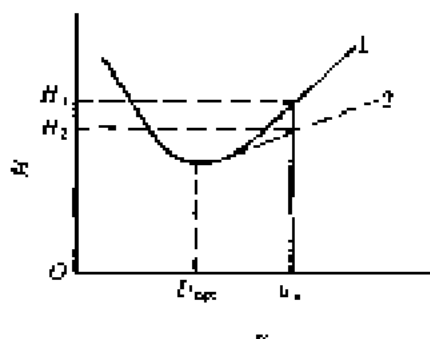


图 1-2 板高和流速的关系

1—由 Van Deemter 方程用线。

2—Van Deemter 方程修正式曲线

内扩散传质指在吸附剂孔隙内,流动相液体相对静止,组分进入其中通过扩散进行的传质过程

$$H_{内扩散传质} = \frac{c_m d_p^2 u}{D_m} \quad (1-28)$$

式中, c_m 为与颗粒内孔的传质阻力有关的常数。

固相传质指组分从流动相和固定相界面到固定相内部及返回的传质过程。

$$H_{固相传质} = \frac{c_s d_p^2 u}{D_s} \quad (1-29)$$

式中, c_s 为与固定相传质阻力有关的常数。

综合(1-21)~(1-29)式,可以得到修正的 Van Deemter

方程

$$H = \frac{\sigma_{\text{总}}^2}{L} = 2\lambda d_p + \frac{2\gamma D_0}{u} + \frac{c_m d_p^2 u}{D_m} + \frac{c_{\text{st}} d_p^2 u}{D_s} + \frac{c_k d^2 u}{D_s} \quad (1-30)$$

式中, c_m 、 c_{st} 、 c_k 分别为与流动相、颗粒内孔的传质阻力和固定相传质阻力有关的常数,

塔片高度与流动相流速之间的关系如图 1-2 所示。

第二节 常用术语及符号

本节参照文献 [11]、[12] 列出了液相色谱常用符号、术语及对应的英文名称。在本系列手册气相色谱分册^[13]中已列出的色谱常用术语, 一般不再重复, 但考虑到系统的完整性, 这里对某些重要概念再次给出相应说明。电泳中常用符号及术语将在相关部分介绍, 不包括在其中。

一、色谱曲线

(1) 色谱图 (chromatogram) 色谱柱流出物通过检测器系统时所产生的响应信号对时间或流动相流出体积的曲线图, 或者通过适当方法观察到的纸色谱或薄层色谱斑点、谱带的分布图。

(2) (色谱) 峰 (chromatographic peak) 色谱柱流出组分通过检测器系统时所产生的响应信号的微分曲线。

(3) 峰底 (peak base) 峰的起点与终点之间连接的直线 (图 1-3 中的 CD)。

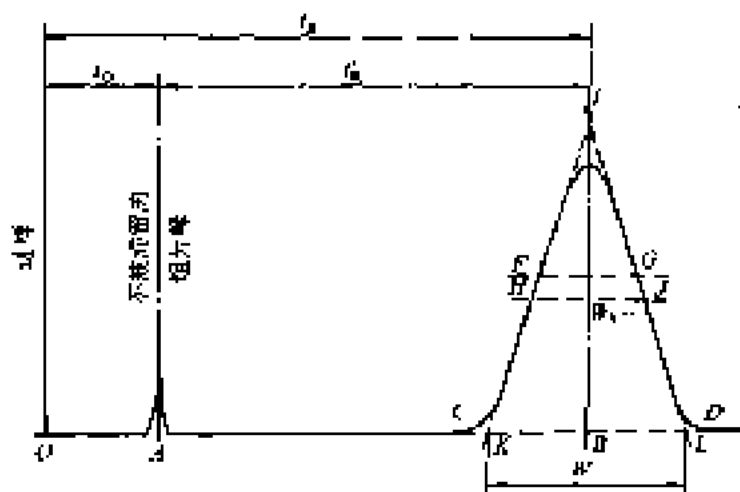


图 1-3 色谱图

(4) 峰高 (h , peak height) 色谱峰最大值点到峰底的距离 (图 1-3 中的 BE)。

(5) 峰宽 (W , peak width) 在峰两侧拐点 (图 1-3 中的 F , G) 处所作切线与峰底相交两点间的距离 (图 1-3 中的 KL)。

(6) 半高峰宽 ($W_{1/2}$, peak width at half height) 通过峰高的中点作平行于峰底的直线, 此直线与峰两侧相交两点之间的距离 (图 1-3 中的 HJ)。

(7) 峰面积 (A , peak area) 峰与峰底之间的面积 (图 1-3 中的 $CHEJDC$)。

(8) 拖尾峰 (tailing peak) 后沿较前沿平缓的不对称的峰。

(9) 前伸峰 (leading peak) 前沿较后沿平缓的不对称的峰。

(10) 假峰 (ghost peak) 除组分正常产生的色谱峰以外, 由于仪器条件的变化等原因

而在谱图上出现的色谱峰,即并非由试样所产生的峰,这种色谱峰并不代表具体某一组分,容易给定性、定量带来误差。

(11) 畸峰 (distorted peak) 形状不对称的色谱峰,前伸峰、拖尾峰都属于这类。

(12) 反峰 (negative peak) 也称倒峰或负峰,即出峰的方向与通常的方向相反的色谱峰。

(13) 拐点 (inflection point) 色谱峰上二阶导数等于零的点。

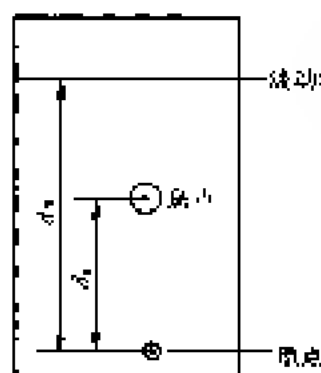


图 1-4 薄层展开图

(14) 原点 (origin) 纸或薄层板上滴加试样部位的中心点 (图 1-4)。

(15) 斑点 (spot) 平面色谱法中,组分在展开和显谱后呈现近似圆形或椭圆形的色区 (图 1-4)。

(16) 区带 (zone) 在色谱柱、纸或薄层板上被分离组分所占有的区域。

(17) 复斑 (multiple spot) 一种组分展开后形成的两个或多个清晰斑点。

(18) 区带拖尾 (zone tailing) 由于物理、化学等作用的影响,一种组分在展开后形成的彗星形状斑点。

(19) 基线 (base line) 在正常操作条件下,仅有流动相通过检测器系统时所产生的响应信号的曲线。

(20) 基线漂移 (baseline drift) 基线随时间定向的缓慢变化。

(21) 基线噪声 (N, baseline noise) 由于各种原因而引起的基线波动。

(22) 统计矩 (moment) 色谱流出曲线是组分在检测器中浓度或质量依时间的统计分布曲线,响应值对应于分布密度。组分在柱内迁移时间 t 次幂的数学期望称为流出曲线的 r 阶原点矩。而组分在柱内迁移时间与平均迁移时间差的 r 次幂的数学期望称为流出曲线的 r 阶中心矩。

(23) 一阶原点矩 (μ_1 , first origin moment) 组分在柱内迁移时间的数学期望,当流出曲线为对称峰时,即为组分的保留时间。

(24) 二阶中心矩 (μ_2 , second central moment) 二阶中心矩为流出曲线的方差。定义为

$$\mu_2 = E(t - Et)^2 \quad (1-31)$$

式中, E 代表平均。

(25) 三阶中心矩 (μ_3 , third central moment) 定义为

$$\mu_3 = E(t - Et)^3 \quad (1-32)$$

可以表示流出曲线的不对称程度。峰形对称时 $\mu_3 = 0$, 前伸峰 $\mu_3 < 0$, 而拖尾峰 $\mu_3 > 0$ 。

二、分离模式

(1) 液相色谱法 (liquid chromatography, LC) 用液体作为流动相的色谱法。

(2) 液液色谱法 (liquid liquid chromatography, LLC) 将固定液涂渍在载体上作为固定相的液相色谱法。

(3) 液固色谱法 (liquid solid chromatography, LSC) 用固体 (一般指吸附剂) 作为固定相的液相色谱法。

(4) 正相液相色谱法 (normal phase liquid chromatography) 固定相的极性较流动相的

极性强的液相色谱法。

(5) 反相液相色谱法 (reversed phase liquid chromatography, RPLC) 固定相的极性较流动相的极性弱的液相色谱法。

(6) 柱液相色谱法 (liquid column chromatography) 在柱管内进行组分分离的液相色谱法。

(7) 高效液相色谱法 (high performance liquid chromatography, HPLC) 具有高分离效能的柱液相色谱法。

(8) 尺寸排除色谱法 (size exclusion chromatography, SEC) 用化学惰性的多孔性物质作为固定相, 试样组分按分子体积 (严格来讲是流体力学体积) 进行分离的液相色谱法。

(9) 凝胶过滤色谱法 (gel filtration chromatography) 水或水溶液作为流动相的体积排除色谱法。

(10) 凝胶渗透色谱法 (gel permeation chromatography, GPC) 有机溶剂作为流动相的体积排除色谱法。

(11) 亲和色谱法 (affinity chromatography) 用连接在基体上的配位体作为固定相, 使其与蛋白质或其他大分子发生可逆的高选择性的相互作用, 利用不同亲和力进行分离的液相色谱法。

(12) 离子交换色谱法 (ion exchange chromatography, IEC) 以离子交换作用分离离子型化合物的液相色谱法。

(13) 离子色谱法 (ion chromatography) 以含有某种特定离子的水溶液作为流动相, 流出液通过抑制柱 (或不通过抑制柱), 在降低流动相背景信号的条件用于分离离子的液相色谱法。

(14) 离子抑制色谱法 (ion suppression chromatography) 通过调解流动相的 pH 值来抑制试样组分的电离, 以分离离子型化合物的液相色谱法。

(15) 离子对色谱法 (ion pair chromatography) 用形成离子对化合物进行分离的液相色谱法。

(16) 疏水作用色谱法 (hydrophobic interaction chromatography) 用适度疏水性的固定相, 以含盐的水溶液作为流动相, 借疏水作用分离生物大分子化合物的液相色谱法。

(17) 制备液相色谱法 (preparative liquid chromatography) 用能处理较大量试样的色谱系统, 进行分离、切割和收集组分, 以提纯化合物的液相色谱法。

(18) 平面色谱法 (planar chromatography) 在平面介质上进行组分分离的色谱法, 也称平板色谱法。

(19) 纸色谱法 (paper chromatography) 用纸作为固定相或载体的平面色谱法。

(20) 薄层色谱法 (thin layer chromatography, TLC) 用载板上涂布或烧结一薄层物质作为固定相的平面色谱法。

(21) 高效薄层色谱法 (high performance thin layer chromatography, HPTLC) 用高分离效能薄层板的色谱法。

(22) 浸渍薄层色谱法 (impregnated thin layer chromatography) 用浸渍在薄层板上的有机或无机物质作为固定相的薄层色谱法。

(23) 凝胶薄层色谱法 (gel thin layer chromatography) 用溶胀的凝胶作为固定相的薄层色谱法。

(24) 离子交换薄层色谱法 (ion exchange thin layer chromatography) 用离子交换剂作为固定相的薄层色谱法。

(25) 制备薄层色谱法 (preparative thin layer chromatography) 在载板上增加薄层的厚度, 使其能处理较大量试样, 以提纯化合物的薄层色谱法。

(26) 薄层棒色谱法 (thin layer rod chromatography) 在石英棒或石英管外壁上涂布一薄层物质作为固定相的薄层色谱法。

三、仪 器

(1) 液相色谱仪 (liquid chromatograph) 液相色谱法用的装置。

(2) 制备液相色谱仪 (preparative liquid chromatograph) 制备液相色谱法用的装置。

(3) 凝胶渗透色谱仪 (gel permeation chromatograph) 凝胶渗透色谱法用的装置。

(4) 涂布器 (spreader) 将固定相及粘合剂等制成的浆状物均匀地涂布成薄层板或棒的装置。

(5) 点样器 (sample applicator) 能定量地将试样加在纸、薄层板或棒上的器件。

(6) 色谱柱 (chromatographic column) 内有固定相用以分离混合组分的柱子。

(7) 棒状色谱柱 (monolith column) 以多孔床层作为固定相的色谱柱。

(8) 微柱 (microparticle column) 柱填充剂颗粒平均直径为不大于 $15\ \mu\text{m}$ 的色谱柱。

(9) 填充毛细管柱 (packed capillary column) 填充微粒固定相的毛细管柱。

(10) 空心柱 (open tubular column) 内壁有固定相的开放的毛细管柱。

(11) 微径柱 (microbore column) 柱管内径不大于 $1\ \text{mm}$ 的色谱柱。

(12) 混合柱 (mixed column) 填充有两种或两种以上混合固定相的色谱柱。

(13) 组合柱 (coupled column) 串联或并联不同性能的固定相的色谱柱。

(14) 预柱 (precolumn) 置于色谱柱前内有填充剂的柱管, 如保护柱、预饱和柱、浓缩柱等。

(15) 保护柱 (guard column) 用于除去有害物质, 以延长柱寿命的预柱。

(16) 预饱和柱 (presaturation column) 使流动相在进入色谱柱前被固定液饱和, 以防止色谱柱内固定液流失而具有较高固定液含量的预柱。

(17) 浓缩柱 (concentrating column) 用以富集痕量组分的预柱。

(18) 抑制柱 (suppression column) 离子色谱法中, 利用离子交换反应抑制色谱柱后流出液中流动相的高电导率离子的柱管。

(19) 薄层板 (thin layer plate) 涂布有固定相薄层的载板。

(20) 浓缩区薄层板 (concentrating thin layer plate) 前段涂布惰性物质, 后段涂布固定相的薄层板。

(21) 荧光薄层板 (fluorescence thin layer plate) 涂布的固定相薄层中加有荧光物质的薄层板。

(22) 反相薄层板 (reversed phase thin layer plate) 用非极性物质浸渍或用非极性的化学键合相涂布的薄层板。

(23) 梯度薄层板 (gradient thin layer plate) 用两种不同极性的固定相, 其比例在单一方向上呈梯度变化, 而涂布成的薄层板。

(24) 烧结板 (sintered plate) 将固定相烧结在载板上, 供反复使用的薄层板。

(25) 展开室 (development chamber) 平面色谱法中展开时使用的容器。

(26) 往复泵 (reciprocating pump) 用电动机驱动活塞在液缸内作往复运动, 从而输送流动相的部件。

(27) 注射泵 (syringe pump) 用电动机驱动, 液缸内活塞以一定的速率向前推进, 从而输送流动相的部件。

(28) 气动泵 (pneumatic pump) 用气体作动力驱动活塞输送流动相的部件。

(29) 蠕动泵 (peristaltic pump) 用挤压富有弹性的软管的方式, 来输送流动相的部件。

(30) 检测器 (detector) 能检测色谱柱流出组分及其量的变化的器件。

(31) 微分检测器 (differential detector) 响应值取决于组分瞬时量的检测器。

(32) 积分检测器 (integral detector) 响应值取决于组分累积量的检测器。

(33) 总体性能检测器 (bulk property detector) 响应值取决于流出液某些物理性质的总变化的检测器。

(34) 溶质性能检测器 (solute property detector) 响应值取决于流出液中组分的物理或化学特性的检测器。

(35) (示差) 折光率检测器 ([differential] refractive index detector) 利用流出液和流动相之间折光率的差异而产生电信号的器件。

(36) 荧光检测器 (fluorescence detector) 利用组分在光源激发下发射荧光而产生电信号的器件。

(37) 紫外可见光检测器 (ultraviolet visible detector) 利用组分在紫外可见光的波长范围内有特征吸收而产生电信号的器件。

(38) 电化学检测器 (electrochemical detector) 通过色谱柱流出液的电化学过程而产生电信号的器件。

(39) 蒸发(激光)光散射检测器 ([laser] light scattering detector) 利用激光器作光源, 测量高分子溶液散射光强度的电信号的器件。是一种分子量检测器。

(40) 光密度计 (densitometer) 利用一定波长和强度的光束照射在纸或薄层板上展开的斑点, 以测量透射或反射光强度变化的器件。

(41) 薄层扫描仪 (thin layer scanner) 在平面色谱法中, 对展开的斑点进行扫描测量的光密度计。

(42) 柱后反应器 (post-column reactor) 对色谱柱流出组分进行化学反应的器件。

(43) 体积标记器 (volume marker) 在体积排除色谱法中, 标记洗脱体积的记录或计数的器件。

(44) 记录器 (recorder) 记录由检测系统所产生的随时间变化的电信号的仪器。

(45) 积分仪 (integrator) 按时间累积检测系统所产生电信号的仪器。

(46) 馏分收集器 (fraction collector) 可按时间或体积收集色谱柱流出液的装置。

(47) 工作站 (work station) 记录并处理色谱信号、数据的装置。

四、固定相和流动相

(1) 固定相 (stationary phase) 色谱柱内、薄层板、薄层棒或纸上 (包括纸本身) 不移动的、起分离作用的物质。

(2) 固定液 (stationary liquid) 固定相的组成部分, 指涂渍在载体表面起分离作用的

物质。

(3) 载体 (support) 负载固定液的惰性固体物质。

(4) 柱填充剂 (column packing) 用于填充色谱柱的粒状固定相, 或连续床固定相。

(5) 化学键合相填充剂 (chemically bonded phase packing) 用化学反应在载体表面键合特定基团的填充剂。

(6) 薄壳型填充剂 (shellular packing) 在惰性核表面有一均匀多孔薄层的填充剂。

(7) 多孔型填充剂 (porous packing) 颗粒表面的孔延伸到颗粒内部的填充剂。

(8) 吸附剂 (adsorbent) 具有吸附活性并用于色谱分离的固体物质。

(9) 离子交换剂 (ion exchanger) 一种具有可交换离子的聚合电解质, 能参与溶液中离子的交换作用而不改变本身的一般物理特性。

(10) 基体 (matrix) 负载亲和配位体或其他活性基团的固体物质。

(11) 载板 (support plate) 负载固定相薄层的平面介质 (一般为玻璃、金属或塑料板)。

(12) 粘合剂 (binder) 使固定相或载体粘附在载板上的添加物。

(13) 流动相 (mobile phase) 在液相色谱中用以携带试样以及展开或洗脱组分的液体。

(14) 洗脱 (排洗) 剂 (eluant, eluent) 在柱液相色谱法中用作流动相的液体。

(15) 展开剂 (developer) 在平面色谱法中用作流动相的液体。

(16) 等水溶剂 (isohydric solvent) 在液相色谱法中, 调配一定含水量的、不引起吸附剂活性变化的流动相。

(17) 改性剂 (modifier) 加入流动相中能改变分离性能的少量试剂或溶剂。

(18) 显色剂 (color [developing] agent) 在纸或薄层板上使组分产生颜色的试剂。

五、色谱参数

(1) 死时间 (t_d , dead time) 不被固定相滞留的组分, 从进样到出现峰最大值所需的时间 (图 1-5)。

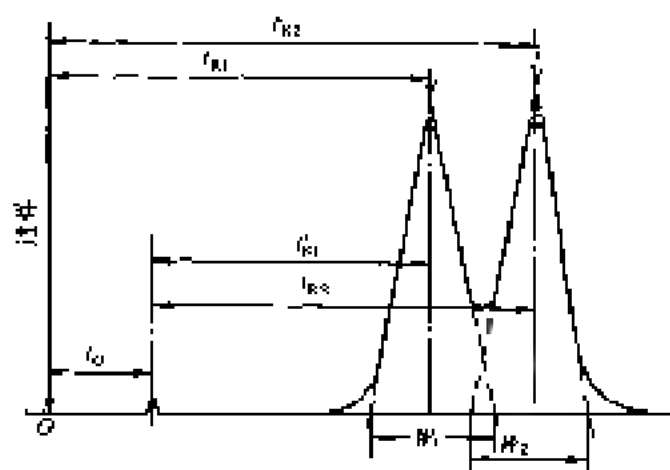


图 1-5 色谱参数

(2) 保留时间 (t_R , retention time) 组分从进样到出现峰最大值所需的时间 (图 1-5)。

(3) 调整保留时间 (t'_R , adjusted retention time) 减去死时间的保留时间 (图 1-5 中 t'_{R1} , t'_{R2})。

(4) 死体积 (V_d , dead volume) 不被固定相滞留的组分, 从进样到出现峰最大值所需的流动相体积。

$$V_d = t_d \times F_c \quad (1-33)$$

(5) 保留体积 (V_R , retention volume) 组分从进样到出现峰最大值所需的流动相的体积。

$$V_R = t_R \times F_c \quad (1-34)$$

(6) 调整保留体积 (V_R , adjusted retention volume) 减去死体积的保留体积。

(7) 柱外体积 (V_{ec} , extra-column volume) 从进样系统到检测器之间色谱柱以外的液

路部分中流动相所占有的体积。

(8) 粒间体积 (V_0 , interstitial volume) 色谱柱填充剂颗粒间隙中流动相所占有的体积。

(9) (多孔填充剂的) 孔体积 (V_p , pore volume of porous packing) 色谱柱中多孔填充剂的所有孔洞中流动相所占有的体积。

(10) 液相总体积 (V_m , total liquid volume) 粒间体积、孔体积和柱外体积之和。

$$V_m = V_0 + V_p + V_{im} \quad (1-35)$$

(11) 洗脱体积 (V_e , elution volume) 从进样开始计算的通过色谱柱的实际洗脱剂体积。

(12) 流体力学体积 (V_h , hydrodynamic volume) 每摩尔的高分子化合物在溶液中运动时所占有的体积, 与高分子化合物的分子量 M 和特性粘度的乘积成正比。

$$V_h \propto [\eta] \times M \quad (1-36)$$

(13) 相对保留值 (r_{rel} , relative retention value) 在相同操作条件下, 组分与参比组分的调整保留值之比。

$$r_{rel} = \frac{r_{x1}}{r_{x2}} = \frac{V_{R(x1)}}{V_{R(x2)}} \quad (1-37)$$

(14) 分离因子 (α , separation factor) 在相同操作条件下, 两个相邻组分的调整保留值之比。液相色谱中, 考虑到死时间不易测定, 此外具有不同容量因子溶质的理论塔板数基本相同, 因此常直接用保留时间之比考察相邻两峰的分。

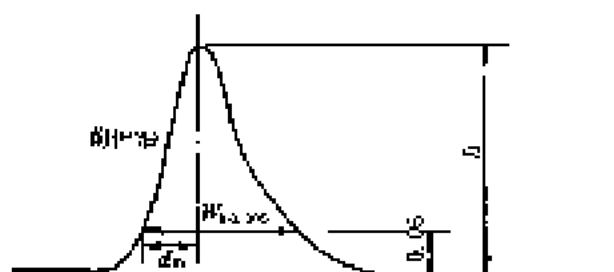


图 1-6 色谱峰形

(15) 流动相迁移距离 (d_m , mobile phase migration distance) 原点至流动相前沿之间的距离 (图 1-6)。

(16) 流动相前沿 (mobile phase front)

由于毛细管作用, 流动相沿纸或薄层板移动的前沿, 一般是平行于流动相液面的直线 (图 1-4)。

(17) 溶质迁移距离 (d_r , solute migration distance) 原点至溶质斑点中心之间的距离 (图 1-4)。

(18) 比移值 (R_f , R_f value) 平面色谱法中, 溶质迁移距离与流动相迁移距离之比。

$$R_f = \frac{d_r}{d_m} \quad (1-38)$$

(19) 高比移值 (hR_f , high R_f value) 比移值乘以 100 的值。

$$hR_f = R_f \times 100 \quad (1-39)$$

(20) 相对比移值 (R_{rel} , relative R_f value) 组分与参比物质的比移值之比。

$$R_{rel} = \frac{R_{f(0)}}{R_{f(1)}} \quad (1-40)$$

(21) 保留常数 (R_m , R_m value) 与化合物的 R_f 值有关, 表示化合物结构与色谱行为之间的关系。

$$R_m = \lg \left[\frac{1}{R_f} - 1 \right] \quad (1-41)$$

(22) 板效能 (plate efficiency) 薄层板在色谱分离过程中由动力学因素所决定的分离效能, 通常用理论板数、理论板高或板数每厘米表示。

(23) 折合板高 (h_r , reduced plate height) 折合成固定相单位粒径的理论板高。

$$h_r = \frac{H}{d_p} \quad (1-12)$$

(24) 分离度 (R , resolution) 两个相邻色谱峰的分离程度, 以两个组分保留值之差与其平均峰宽值之比表示 (图 1-5)。

(25) 液相载荷量 (liquid phase loading) 在填充柱中, 固定液与固定相 (包括固定液和载体) 的相对量, 用质量百分数表示。

(26) 离子交换容量 (ion exchange capacity) 单位质量或体积的离子交换剂中含有可交换的离子的量 (单位为 mol)。

(27) 负载容量 (loading capacity) 在柱效能下降不超过 10% 的情况下色谱柱的最大进样量。

(28) 渗透极限 (permeability limit) 在体积排除色谱法中, 柱上能够进行分离的高分子化合物最低分子量值。

(29) 排除极限 (V_{max}, exclusion limit) 在体积排除色谱法中, 柱上能够进行分离的高分子化合物最高分子量值。

(30) 拖尾因子 (T , tailing factor) 在峰高 5% 的峰宽与峰极大到前伸沿之间 2 倍距离之比 (图 1-6)。

$$T = \frac{W_{0.05}}{2d_L} \quad (1-13)$$

(31) 柱外效应 (extra-column effect) 从进样系统到检测器之间色谱柱以外的管路部分, 由于进样方式、柱后扩散等因素对柱效能所产生的影响。

(32) 管壁效应 (wall effect) 组分在流动相内移动的过程中, 由于色谱柱中央和边缘部分的流速不一致所产生的径向扩散的影响。

(33) 间隔臂效应 (spacer arm effect) 配位体与基体之间连接的间隔臂分子的间隔长度, 对配位体与大分子之间的亲和力所产生的影响。

(34) 边缘效应 (edge effect) 当使用混合溶剂时, 由于同一组分在纸或薄层板的中部与两边缘移动速度不同, 致使其 R_f 值不同的现象。

六、其 他

(1) 斑点定位法 (localization of spot) 利用显色剂或其他化学、物理、生物等方法确定每个组分在纸或薄层板上的位置的方法。

(2) 放射自显影法 (autoradiography) 利用化合物含放射性同位素, 展开后以感光胶片或计数装置确定其在纸或薄层板上位置的方法。

(3) 原位定量 (in situ quantitation) 试样经展开后, 组分不用转移或洗脱, 直接在纸或薄层板上进行定量测定。

(4) 生物自显影法 (bioautography) 利用抗生素组分的活性, 展开后以细菌培养出现抑菌圈而确定其在纸或薄层板上位置的方法。

(5) 归一法 (normalization method) 试样中全部组分都显示出色谱峰时, 测量的全部峰值, 经相应的校正因子校准并归一后, 计算每个组分的百分含量的方法。

(6) 内标法 (internal standard method) 在已知量的试样中加入能与所有组分完全分离

的已知量的内标物质,用相应的校正因子校准待测组分的峰值并与内标物质的峰值进行比较,求出待测组分的百分含量的方法。

(7) 外标法 (external standard method) 在相同的操作条件下,分别将等量的试样和含待测组分标准试样进行色谱分析,比较试样与标准试样中待测组分的峰值,求出待测组分的含量的方法。

(8) 叠加法 (addition method) 测量试样中待测组分及一邻近组分的峰值后,在已知量的试样中加入一定量的待测组分,再测量此两组分的峰值,求出待测组分的百分含量的方法。

(9) 普适校准 (曲线、函数) (calibration function or curve [function]) 在体积排除色谱法中,用流体力学体积作为分子参数的分离校准曲线或函数。

(10) 谱带扩展 (加宽) (band broadening) 由于纵向扩散、传质阻力等因素的影响,使组分在色谱柱内移动的过程中谱带宽度增加的现象。

(11) (分离作用的) 校准函数或校准曲线 (universal calibration function or curve [of separation]) 在色谱柱的理想工作条件下,用数学函数或曲线形式表示的单分散高分子的分子参数 (例如分子量,特性粘度,流体力学体积等) 与其保留体积之间的关系。

(12) 加宽校正 (broadening correction) 在体积排除色谱法中,对谱带加宽引起的误差进行的校正。

(13) 加宽校正因子 (broadening correction factor) 对色谱峰的加宽进行校正的数值因子。

(14) 溶剂强度参数 (ϵ^0 , solvent strength parameter) 以溶剂作为流动相时,在选定的吸附剂上的洗脱能力的大小,相当于每一单位面积的吸附剂表面上溶剂的吸附能。

(15) 洗脱序列 (elutropic series) 根据溶剂强度参数由小到大排列的顺序。

(16) 洗脱 (淋洗) (elution) 流动相携带组分在色谱柱内向前移动并流出色谱柱的过程。

(17) 等度洗脱 (isocratic elution) 用单一的或一定组成的流动相连续洗脱的过程。

(18) 梯度洗脱 (gradient elution) 间断地或连续地改变流动相的组成或其他操作条件,从而改变其色谱洗脱能力的过程。

(19) (再) 循环洗脱 (recycling elution) 色谱柱流出组分,经过再循环装置又送入色谱柱进行再分离,以增加分离程度的洗脱过程。

(20) 线性溶剂强度洗脱 (linear solvent strength gradient) 流动相中溶剂强度参数较强或较弱的组分的体积百分数随时间或洗脱体积呈线性的变化。

(21) 程序溶剂 (programmed solvent) 按照预定程序连续地或分阶地改变流动相组成的一种技术。

(22) 程序压力 (programmed pressure) 按照预定程序连续地或分阶地增加操作系统压力的一种技术。

(23) 程序流速 (programmed flow) 按照预定程序连续地或分阶地改变流动相移动速度的一种技术。

(24) 展开 (development) 流动相携带组分在纸或薄层板上向前移动,从而使组分得到分离的过程。

(25) 上行展开 (ascending development) 流动相沿纸或薄层板的下端不断地向上移动的展开过程。

(26) 下行展开 (descending development) 流动相沿纸或薄层板的上端不断地向下移动

的展开过程。

(27) 双向展开 (two dimensional development) 将试样滴加在方形的纸或薄层板的一面, 流动相沿纸或薄层板的一个方向展开, 然后再沿垂直方向作第二次的展开过程。

(28) 环形展开 (circular development) 流动相由纸或薄层板的圆心不断地向四周移动的展开过程。

(29) 离心展开 (centrifugal development) 通过离心力, 加速流动相由纸或薄层板的圆心不断地向四周移动的展开过程。

(30) 同心展开 (centripetal development) 流动相由圆形的纸或薄层板的四周不断地向圆心移动的展开过程。

(31) 径向展开 (radial development) 薄层色谱法中, 将原点处附近的固定相部分刮去, 使流动相只能通过原点附近的狭窄部分不断地向前移动, 流动相前沿呈弧形的展开过程。

(32) 多次展开 (multiple development) 流动相移动到纸或薄层板的预定位置后, 除去流动相, 再用同一流动相或不同的流动相沿此方向多次重复的展开过程。

(33) 分步展开 (stepwise development) 用两种或两种以上不同组成的流动相沿薄层板先后各自移动一定距离的展开过程。

(34) 连续展开 (continuous development) 流动相移动到纸或薄层板的预定位置并不断地除去, 能够连续进行的展开过程。

(35) 梯度展开 (gradient development) 间断地或连续地改变流动相组成或其他操作条件的展开过程。

(36) 匀浆填充 (slurry packing) 用适当的溶剂将填充剂配制成匀浆悬浮液, 然后在高压下填充色谱柱的方法。

(37) 停流进样 (stop-flow injection) 暂停流动相流动后再注入试样的进样操作。

(38) 阀进样 (valve injection) 试样的计量管连接在输送流动相的进样阀的旁路上, 通过阀的切换, 使流动相通过计量管注入试样的进样操作。

(39) 柱上富集 (on-column enrichment) 试样通过色谱柱时, 使痕量组分在色谱柱上逐渐地增加的一种分离技术。

(40) 流出液 (eluate) 在色谱过程中, 通过色谱柱后流出的液体。

(41) 柱上检测 (on-column detection) 利用高灵敏检测技术, 对毛细管柱中固定相末端的流出组分直接进行检测, 以减少毛细管柱与检测器之间的柱外效应。

(42) 柱寿命 (column life) 色谱柱保持在一定的柱效能条件下使用的期限。

(43) 柱流失 (column bleeding) 固定液随流动相流出柱外的现象。

(44) 显谱 (visualization) 纸和薄层板经展开以后, 用适当方法显示色谱图的一系列操作过程。

(45) 活化 (activation) 在一定的温度条件下, 加热处理吸附剂使其具有适度活性的过程。

(46) 反冲 (back flushing) 在一些组分洗脱以后, 将流动相反向通过色谱柱, 使某些组分向相反方向移动的操作。

(47) 脱气 (degassing) 除去流动相中溶解的气体的操作。

(48) 沟流 (channeling) 色谱柱填充层出现开裂的结构, 使携带组分的流动相顺管槽沟移动, 而不能与固定相充分有效接触的现象。

(19) 过载 (overloading) 进样量超出柱容量时, 产生不对称峰形的现象。此时溶质在填料上的吸附为非线性吸附, 在大多数情况下随进样量增加, 溶质的保留时间减少。

参 考 文 献

1. Temett M. Ber. Dtsch. Bot. Ges., 1906-24, 316
2. Temett M. Ber. Dtsch. Bot. Ges., 1906-24, 384
3. Temett M. Ber. Dtsch. Bot. Ges., 1907-25, 1907
4. Kuhn R., Winklerstein A., Lehner H. Z. Physiol. Chem., 1931, 196, 143
5. Tschubis A. Arkiv. Kemmi. Mineral. Geol., 1949-51, B(22):5
6. Tschubis A. Arkiv. Kemmi. Mineral. Geol., 1949-51, A(26):11
7. Maron A. J. F., Stage R. L. M. Biochem. J., 1941, 36, 1258
8. 钟治贤, 工俊熊, 生物大分子的液相色谱分离和制备, 第二版, 北京, 科学出版社, 1990。
9. 谢汉济, 张玉堂, 卢恩草, 高效液相色谱法, 北京, 科学出版社, 1992。
10. 工俊熊, 谢汉济, 郭国瑞, 高效液相色谱法, 北京, 中国石化出版社, 1993, 1
11. GB 4008-88
12. 卓英民, 两相色层技术汇编, 第二版, 北京, 科学出版社, 1953
13. 李浩杰, 分析化学手册, 第二版, 第五分册, 气相色谱分析, 北京, 化学工业出版社, 1990, 15

第二章 柱液相色谱流动相和固定相

第一节 流 动 相

一、概 述

与气相色谱分离相比较，液相色谱流动相是影响分离的一个非常重要的调节因素。一个理想的液相色谱流动相溶剂应具有低粘度，与检测器兼容性好，样品容易回收，易于得到纯品和低毒性等特征。液相色谱常用的溶剂都是具有适当纯度的商品化有机溶剂，表 2-1 给出了一些常用溶剂的性质。

表 2-1 HPLC 中常用溶剂的性质⁽¹⁾

溶 剂	UV 吸收下 限 λ_{nm}	折光 指数 (25°C)	沸点 (°C)	粘度/ mPa·s (25°C)	极性参 数 ϵ'	溶剂强度 ⁽²⁾		水的溶解 度 $\text{g} \cdot \text{g}^{-1}$	介电常数 (20°C)	可压缩 性 10^3	空气中允 许浓度 ⁽³⁾ $\text{mg} \cdot \text{m}^{-3}$
						氧化铝	硅胶				
正己烷	197	1.339	29	0.47	0.1	0.01	0.01	0.011	1.91	12	500
正庚烷	195	1.335	26	0.45	0.2	0.01	0.01	0.010	2.05	11	100
正辛烷	190	1.372	59	0.35	0.1	0.01	0.01		1.90	16	100
四氯化碳	<65	1.457	77	0.96	1.6	0.18	0.11	0.008	2.24	10	15
乙 醚	218	1.350	35	0.24	2.5	0.08	0.08	1.5	4.3	8.6	100
二氯甲烷	245	1.413	41	0.53	0.1	0.40	0.26	0.002	4.8	9.3	30
二氯甲烷	330	1.421	40	0.41	3.1	0.12	0.32	0.17	8.9	8.7	100
甲乙酮	339	1.376	80	0.48	4.7	0.51		73.4	19.5		200
二氧六环	213	1.420	101	1.2	4.8	0.55	0.49	互溶	3.2		100
丙 酮	330	1.356	56	0.46	5.1	0.56		互溶	20.7	11.7	1000
四氢呋喃	213	1.405	66	0.46	4.0	0.45	0.35	互溶	7.6		400
乙酸乙酯	256	1.370	77	0.43	4.4	0.58	0.38	9.5	6.0		100
乙 腈	170	1.341	82	0.34	5.8	0.80	0.50	互溶	37.5	0.7	50
二甲苯甲 酸	258	1.428	153	0.80	8.9			互溶	36.7		
苯											
乙 醇	210	1.359	78	1.08	4.3	0.33		互溶	24.6	11.0	1000
异丙醇	215	1.385	97	1.9	4.0	0.39	0.63	互溶	20.3	10	400
水		1.333	100	0.89	10.9	>0.9	>0.75		80	4.7	
乙 酸		1.370	118	1.1	6.0	>0.95	>0.75	互溶	6.2		

二、正相色谱常用洗脱剂

正相色谱中，流动相与固定相间的相互作用越强，溶质吸附就越弱，反之亦然。正相色谱中常用的洗脱剂可以按其吸附强度进行分类，通常以溶剂强度参数 ϵ' 值作为溶剂强度的度量，其定义为“单位面积标准吸附剂的吸附能”。表 2-2 列出了正相色谱中以硅胶为吸附剂时某些溶剂的洗脱能力顺序。

正相色谱中样品分子的 k' 值随溶剂 ϵ' 值的增加而下降，因此溶剂洗脱能力序列可用于寻找特定的分离问题中最佳的溶剂强度。在正相色谱中，一般采用乙烷、庚烷、异辛烷、苯和二甲苯等有机溶剂作为流动相，往往还加入一定量的四氢呋喃等极性溶剂，即采用多元流动

相的分离模式，特别是三元流动相。这不仅能够更容易地找到合适的 ϵ' 值，还可相应地调节选择性^[2]。表 2-3 列出了正相色谱中以硅胶为吸附剂时某些二元流动相的洗脱能力顺序。

表 2-2 部分溶剂的洗脱能力

溶 剂	溶剂强度 ϵ'	溶 剂	溶剂强度 ϵ'	溶 剂	溶剂强度 ϵ'
乙 烷	0.00	二氯甲烷	0.32	乙 醇	0.59
异辛烷	0.01	四氢呋喃	0.35	异丙醇	0.43
四氯化碳	0.11	乙 醚	0.38	甲 醇	0.72
四氢丙烷	0.22	乙醇/乙醚	0.38	水	0.73
氯 仿	0.36	二氯乙烷	0.49	乙 酸	0.73

表 2-3 硅胶柱上液固色谱洗脱剂的溶剂序列

ϵ'	I	II	ϵ'	I	II	ϵ'
0-00	戊烷	戊烷	0.40	20%	22%	0.53
0.05	45% 氯化异丙	3% 二氯甲烷	0.35	55%	3% 乙醇/苯	0.65
	烷/戊烷	戊烷	0.40	2% 甲醇/乙醚	11%	
0.10	10%	7%	0.45	4%	31%	
0.15	21%	14%	0.50	8%	乙 醇	
0.20	4% 乙醇/戊烷	26%	0.55	20%		
		10% 乙醇/戊烷	0.60	50%		
0.25	11%	50%				

为了便于选择合适 ϵ' 值的溶剂，Saunders^[2]介绍了一种混合溶剂在硅胶上的溶剂强度图（如图 2-1 所示），Meyer 等^[3]曾给出了相似的溶剂强度图。图 2-2 中也给出了氨基、二醇柱上有机溶剂混合物的溶剂强度图。

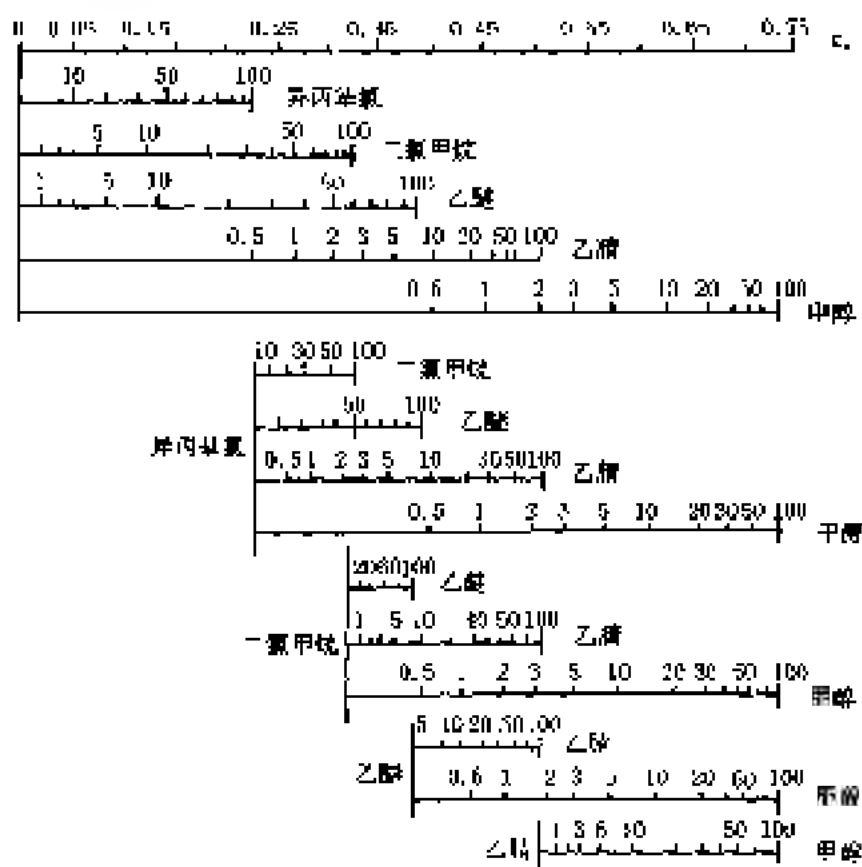


图 2-1 在硅胶柱上某些二元混合溶剂的强度

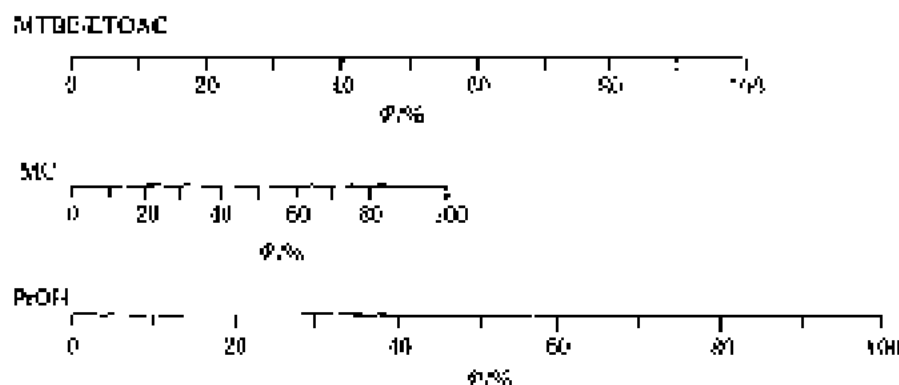


图 2-2 醚类、二醇类正相 HPLC 溶剂强度图^[3]

A 溶剂为己烷，B 溶剂分别为：甲基异丁基醚 (MTBE)、
乙酸乙酯 (EtOAc)、正丙醇 (MeOH)、乙醇 (EtOH)

图 2-1 及图 2-2 提供了多种不同的二元混合物的选择方法，图 2-1 中最上部的水平方向表示溶剂强度，其下面的 5 条线代表了戊烷分别与其他 5 种溶剂（氯代异内烷、二氯甲烷、乙醚、乙腈和甲醇）混合物的溶剂强度；第二组 4 条线分别表示二氯甲烷、乙醚、乙腈、甲醇与氯代异内烷的混合物；第三组 3 条线则表示氯甲烷分别与乙醚、乙腈、甲醇的混合物；第四组 2 条线表示乙醚与乙腈和甲醇混合物；第五组一条线是乙腈中甲醇的含量，依此可给出 k' 值。可以看出相同强度的正相色谱流动相混合后，溶剂强度通常会改变（变大），因此，对流动相强度的调整一般需要进行摸索试验。

三、反相色谱常用洗脱剂

反相色谱中常用洗脱剂包括水、乙腈、甲醇和四氢呋喃等，正相色谱中的流动相强度由有机溶剂的浓度和类型共同决定，这种影响见图 2-3。

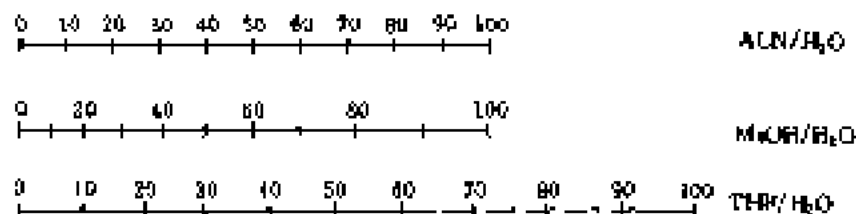


图 2-3 反相色谱溶剂强度图^[3,4]

乙腈 (ACN)、甲醇 (MeOH)、四氢呋喃 (THF) 三条纵轴上下对应位置具有相同流动相强度，例如：40% ACN 具有与 50% MeOH 和 30% THF 相近的 k' 值和运行时间（文献 [7, 8] 对这 3 种溶剂的对应溶剂强度的报道与图 2-3 略有不同），这种溶剂强度图可作为粗略的参考（准确度 ±5%）。由图 2-3 洗脱强度的强弱顺序为：水（最弱）< 甲醇 < 乙腈 < 乙醚 < 四氢呋喃 < 丙酮 < 二氯甲烷（最强），可以看出溶剂的极性随着溶剂强度的增加而降低。

在相同的时间内分离同一样品，甲醇-水作为洗脱剂时其洗脱强度（或配比）与乙腈-水或四氢呋喃-水的洗脱强度（或配比）有如下关系：

$$C_{\text{乙腈}} = 0.322C_{\text{甲醇}} + 0.57C_{\text{四氢呋喃}}$$

$$C_{\text{四氢呋喃}} = 0.66C_{\text{甲醇}}$$

式中， $C_{\text{乙腈}}$ 、 $C_{\text{甲醇}}$ 、 $C_{\text{四氢呋喃}}$ 分别为乙腈、甲醇、四氢呋喃与水混合溶剂的体积百分含量。

除了二氯甲烷与水无法混溶外，上述其他溶剂都可与水混用。二氯甲烷常用来清洗被强

保留样品污染的反相色谱柱。

一般情况下甲醇-水体系能够满足多数样品的分离要求,但乙腈往往是流动相中有机溶剂的首选,这一方面是由于其具有非常低的粘度,另一方面是这种洗脱液可用紫外检测器在低波长(185 nm~210 nm)检测,而这对于许多样品的检测是非常重要的。为了达到更高的塔板数和更低的柱压,除了乙腈之外,较好的有机溶剂是甲醇(MeOH),在次之是四氢呋喃(THF),这三种溶剂由于它们在灵敏度控制和分离效果方面的优越性能被广泛使用。

有些强疏水性样品即使采用100%乙腈仍无法洗脱,需要采用更强的流动相(如高%四氢呋喃-水或四氢呋喃-乙腈)。流动相不含水的分离模式称为非水反相色谱。

四、反相离子对色谱常用洗脱剂

反相离子对色谱法常用洗脱剂的溶剂组成与反相色谱相同,而选择合适的离子对试剂是进行离子对色谱分离的首要条件,表2-4列出了常用的离子对试剂及主要应用对象。

表 2-4 反相色谱常用的离子对试剂

离子对试剂	主要应用对象
季铵盐(如四甲铵、甲丁铵、十六烷基三甲铵等)	强酸、弱酸、磺酸染料、胺酸、氯化吡啶盐及其盐类
叔胺(如-N-庚基)	磺酸盐、羧酸
烷基磺酸盐(如甲基、戊基、乙基、庚基、癸基磺酸盐)	强碱、弱碱、儿茶酚胺、胺、胺片碱、烟酸、烟酰胺等
胍盐酸	可与碱性物质(如有机胺、甲酰胺基、磺代氨基酸、肽等)生成稳定的离子对
烷基硫酸盐(如辛基、癸基、十二烷基硫酸盐)	与烷基磺酸盐相似,选择性有所不同

一般地说,所选用的离子对试剂的电荷应与被分离样品的电荷相反,对酸性或带负电荷的溶质而言,多选用带有正电荷的季铵盐作为离子对试剂,而对于碱性或带正电荷的溶质,则多选用带负电荷的烷基磺酸盐作离子对试剂。

选择离子对试剂的目的是为了在合适浓度获得色谱柱对试剂的较强吸附,图2-4(a)的结果表明色谱柱对离子对试剂的吸附达到最大量(大约 $300\mu\text{mol}\cdot\text{g}^{-1}$)时曲线趋于水平。若流动相含40%甲醇,为获得柱最大吸附需要采用较高浓度($\geq 40\text{mmol}\cdot\text{L}^{-1}$)的离子对试剂。因此,辛烷磺酸盐对于大于40%甲醇的流动相不太合适,应采用更强保留的离子对试剂(如 C_{18} 或 C_{12} 磺酸盐等)。

图2-4(b)总结了对于含不同浓度甲醇的流动相合适的磺酸盐试剂及其浓度。若流动相浓度为25%甲醇-水,最好选 C_8 与 C_{12} 磺酸盐。采用乙腈或四氢呋喃代替甲醇时,可通过表2-5对离子对试剂的类型和浓度进行预测。

表 2-5 阴离子离子对 HPLC 中的溶剂强度关系^[19]

甲 醇	乙 腈	THF	甲 醇	乙 腈	THF
0	0	0	80	82	80
10	4	1	70	69	(4.0) ^②
20	6	4	60	(46)	(51)
30	11	9	50	(51)	(54)
40	19	14	40	(60)	(76)
50	25	21			

① 例如,若20%甲醇可获得较好的保留值范围,则6%乙腈或4%THF应具有相近的运行时间。

② 近似值。

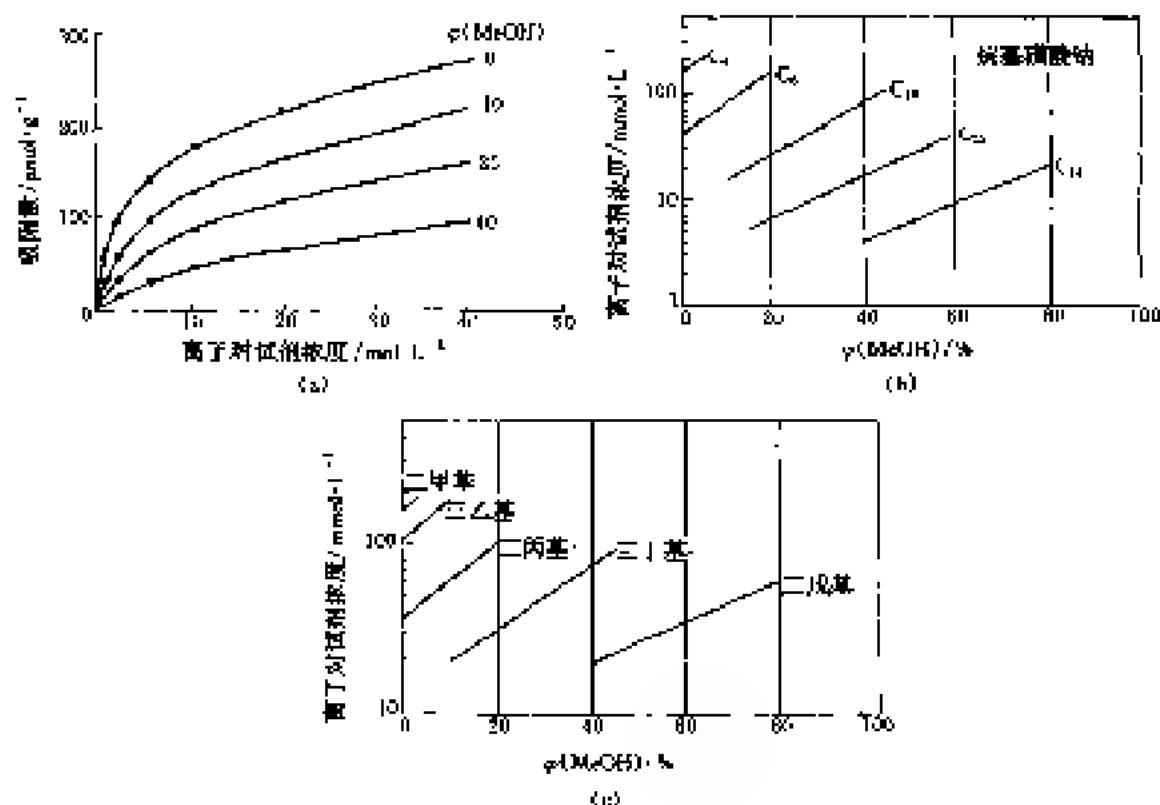


图 2-4 离子对类型和浓度的选择与样品类型和流动相强度 ($\varphi, \%$) 的关系^[12]

条件: 甲醇-缓冲, C_{18} 柱

(a) C_{18} 键合硅胶吸附与不同有机溶剂浓度的关系; (b) 对不同有机溶剂浓度(碱性样品) 烷基膦酸盐类型和浓度的推荐值; (c) 对不同有机溶剂浓度(酸性样品) 烷基膦酸盐类型和浓度的推荐值

除了选择合适的离子对试剂外, 对反相离子对色谱洗脱剂的 pH 值适当控制对于分离效果也十分重要。表 2-6 列出了某些类型样品离子对洗脱剂的 pH 值范围。由于反相离子对色谱大多采用以硅胶为基质的烷基键合固定相, pH 值范围应控制在 1.5~8.5 范围内, 以防止键合相硅胶的降解^[13]。

表 2-6 反相离子对色谱洗脱剂的 pH 值范围^[14]

样品类型	流动相 pH 值	说明
强酸($\text{p}K_{\text{a}} < 2$), 如磺基染料	2~7.4	此类溶质在该 pH 范围都解离, 实际选择该 pH 值取决于共存的其他溶质类型
弱酸($\text{p}K_{\text{a}} < 7$), 如阿司匹林、氨基酸	5~7.4	溶质是解离的, 这取决于离子对的性质
强碱($\text{p}K_{\text{b}} > 8$), 如季铵盐	2~6	溶质在该 pH 值范围内解离, 取决于溶质
弱碱($\text{p}K_{\text{b}} < 8$), 如儿茶酚胺	5~7.4	溶质解离被控制, 这取决于未解离溶质的性质
	2~5	溶质是解离的, 这取决于离子对的性质

五、离子交换色谱常用洗脱剂

水是优良的溶剂, 具有可电离性能, 大部分离子交换色谱皆在水溶液中进行。采用水作溶剂的缓冲液可以提供离子平衡的反离子, 并使流动相保持一定的离子强度和 pH 值。有时也把少量有机溶剂, 如乙醇、甲醇、乙醇和四氢呋喃等, 加入到含水系统中, 以便改进样品的溶解性能, 并提供独特的选择性变化。有机溶剂的加入还可减小某些样品组分的拖尾现象, 从

而改善分离。

在以水溶液为流动相的离子色谱中,缓冲液浓度直接影响离子平衡反应。和液固色谱、液液色谱中的情形相类似,缓冲液浓度的增加,会降低样品组分的保留,这是因为流动相中反离子浓度的增加,增强了它与样品离子争夺树脂上离子交换基团的能力,从而减弱了样品组分与离子交换树脂的亲合性。

缓冲液强度的上限取决于流动相中缓冲液盐的溶解性,要避免使用接近饱和的缓冲液浓度,因为若产生盐的沉淀,会造成液相色谱系统的堵塞,其下限由缓冲容量所决定。如果缓冲液太弱,则无法控制流动相的 pH 值。

流动相中的离子类型能对样品分子的保留产生显著的影响,因为不同的流动相离子与离子交换树脂相互作用的能力是不同的,在离子交换色谱中,广泛使用磷酸、乙酸、柠檬酸、硼酸和甲醛的钠盐、钾盐和铵盐,它们通常与其相应的酸相混合,用作碱性缓冲液。一般要尽量避免使用盐酸盐,因其对许多仪器的钢质组件有腐蚀作用。

六、尺寸排阻色谱常用洗脱剂

尺寸排阻色谱中包括排阻和吸附两种分离机制,因此可根据不同的分析样品选择相应的流动相,表 2-7 列出了常用的尺寸排阻色谱流动相。

表 2-7 用于尺寸排阻色谱的流动相

流 动 相	粘度 ^a	分离的典型聚合物
水和缓冲剂	至 100 - 85	蛋白质、多糖等
甲 苯	至 100 - 70	线性体和橡胶等
1-1,2-2-四氯乙烷	至 100 - 100	聚氯乙烯、聚苯乙烯等
四甲苯	至 100 - 100	聚酮、聚酰胺等
二甲基甲酰胺	至 100 - 85	聚丙烯酰胺等

缓冲系统的选择应考虑缓冲盐在流动相中的溶解度和缓冲容量,缓冲强度太弱将难于控制流动相的 pH 值。缓冲盐的浓度增加,粘度会相应增大,因此缓冲液强度以适中为宜。

液相色谱用溶剂虽没有统一的规格指标,但一般商品试剂中难免存在一些杂质,使用前应适当纯化,例如,水必须是全玻璃系统二次蒸馏水,在使用电化学或其他高灵敏度检测器时,二次蒸馏设备需要采用石英蒸馏系统,目的在于除去普通蒸馏水或去离子水中的微量尘埃、有机物或无机物杂质及溶解于水中的酸碱性气体等,Millipore 公司的纯化设备,包括阴、阳离子交换、活性炭吸附和微膜过滤四个主要净化筒,制出的水在 HPLC 中使用较理想。

第二节 固 定 相

液相色谱按固定相形态分为液液色谱、液固色谱以及最近发展起来的连续床固定相液相色谱几大类。通常所说的液相色谱指液固色谱,但其他几类液相色谱由于其自身的特征,常被用于特殊目的的分析过程。

液相色谱固定相按化学组成分类可分为凝胶硅胶、高分子凝胶和微粒多孔硅胶等主要类型;按结构和形状分为薄壳型和全孔型,无定型和球型;按填料表面改性与否可分为吸附型和化学键合型;也可以按洗脱模式分成吸附、键合、离子交换和凝胶渗透四类。

一、液液色谱固定相

液液色谱又称分配色谱。固定相由惰性载体上涂敷固定液制成,流动相与载体表面固定

相的接触面积很大。溶质分子在流动相与载体上的固定相之间发生平衡分配。根据各组分在两相间分配作用的差异,实现样品中溶质的相互分离。这一过程与液相萃取的原理类似。由于液液色谱中采用化学惰性固定相,因此,对于许多不稳定的物质采用液液色谱分离可以避免发生异构化和水解等现象。载体上的固定液与流动相的不互溶,它们对试样的溶解能力差异很大。如果溶质在固定液中的溶解度很大,则保留时间会较长,峰展宽严重,检测灵敏度相对降低。相反,溶质在流动相中溶解度很大时,其在柱上将基本不保留。实际操作中,常采用由一种非极性溶剂(如己烷)与一种强极性溶剂(如水)并添加第三组分(如一种作为增溶剂的低级醇)混合而成的三元流动相体系,这种三元流动相可以调整固定液与流动相之间的极性差异,实现不同极性溶质的分离。

液液色谱固定相由载体和固定液两部分组成。

1. 载体

载体起着携带固定液的作用,一般需满足以下要求:

(1) 孔容 载体颗粒的孔容越大,所能浸渍的固定液量越多。孔径达 $(1\sim1.3)\text{ml}\cdot\text{g}^{-1}$ 时,涂渍固定液量可以达到每克载体涂渍固定液 1g 。载体上涂渍的固定液越多,则柱中固定液的总量也就越多,柱流失及其对试样组分保留体积的影响也就相对越不明显。

(2) 比表面积 载体比表面积的变化,会对固定相的色谱性能产生很大影响。常用载体的比表面积 $\sim 200\text{m}^2\cdot\text{g}^{-1}$ 。

(3) 孔径 常用载体的孔径约为 $(8\sim15)\text{nm}$ 。

2. 固定液

在液液色谱中所采用的固定液,粘度不宜太高。低粘度的固定液扩散系数大,反应速度快,容易获得高的柱效。同时,对于使用紫外检测器的场合,应选用紫外吸收少(或无紫外吸收)的固定液。否则即使只有少量固定液溶于流动相中也可能对检测产生干扰。

从多组分样品中萃取已知溶质的分配体系的信息和条件可用于液液色谱体系的选择。在正相色谱中,载体上涂渍极性固定液,流动相采用非极性溶剂;反相色谱则相反。

液液色谱柱的一般寿命约 $(4\sim6)$ 个月,对互溶性高的体系,柱寿命往往只有1个月,因此限制了这种方法的应用。目前只有在一些特殊的场合,或为了某些特殊的目的才采用这种方法。

二、液固色谱固定相

液固色谱又称吸附色谱,是最常用的 HPLC 分离方法,固定相一般为硅胶、氧化铝等吸附剂。溶质在柱中吸附剂上不断进行吸附-解吸循环,由于不同的被测物在吸附剂上吸附作用的差异而获得分离。溶质所带官能团的性质是决定其吸附作用的主要因素,若溶质分子官能团的极性增强或数目增多,在使用极性吸附剂时,分子和极性吸附剂的总的相互作用增强,其相对吸附作用也增强,保留时间加长。

液固色谱中,溶质和固定相间存在两种特殊作用:①溶质和溶剂分子对吸附剂表面某一位置的竞争作用,这使得溶剂组成的改变由此引起分离情况发生很大变化;②溶质所带各种官能团与吸附剂表面相应的活性中心之间的相互作用,这种作用与溶质分子的几何形状有关,当官能团的位置与吸附中心相匹配时,作用较强,反之,则作用较弱。因而,不同异构体的相对吸附作用往往会有很大差异,因此,吸附色谱法分离异构体往往比其他色谱法更为优越。

1. 吸附色谱固定相

正相色谱采用的固定相一般是硅胶、氧化铝等极性吸附剂。虽然文献上报道了许多在氧化铝上的数据,但商品化的氧化铝固定相并不多。通常广泛使用的是硅胶基质固定相,表 2-8 列出了部分常用的液固吸附色谱固定相,表 2-9 中也归纳了在这类吸附剂上下同种类溶质分子中的极性官能团与固定相表面活性点之间相互作用的特征。

表 2-8 部分 HPLC 中常用的微粒型吸附剂^[1]

商品名称	粒度/ μm	比表面积/ $\text{m}^2 \cdot \text{g}^{-1}$	孔径/ nm	形状	生产厂家
硅胶					
VWG	5, 7, 10	300	6~8	非球	青岛海洋化工
YQG	5	400	8	球	青岛海洋化工
GYQG	3, 5	500	10	球	北京化学试剂
Hypersil	4, 5, 10	170	10	球	Hypersil
LiChrosorb SI 50	5, 10, 20	500	6	非球	E. Merck
LiChrosorb SI 100	5, 20, 50	500	10	非球	E. Merck
LiChrosphere SI 100	5, 10, 15	350	10	球	E. Merck
Nucleosil	5, 7, 10	400~500	50~100	球	Machery Nagel
Partisil	5, 10, 20	400	8	非球	Whatman
μ -Porasil	10	300	10	非球	Whatman
Sphersorb-S	5, 10, 20	400	8	球	Phase separations
Ultrosphere	5	—	—	球	Alltech
Wydac TP-101	10	300	83	球	Separations Group
Zorbax-sil	6~8	300	60	球	Du Pont
氧化铝					
LiChrosorb Alis 7	5~10	7~80	15	非球	E. Merck
Sphersorb-A	1, 10, 20	95	15	球	Phase separations

从表 2-8 可见,不同厂家生产的硅胶填料,差别主要在于粒度、形状和比表面积(孔结构)的不同。粒度和形状影响柱效和渗透性,而表面积和孔结构影响溶质的保留值和分离能力。表面积越大,即孔径越小,则溶质的保留值越大,柱效相应有所提高。在一定的范围内对复杂混合物的分离能力增强。在 LSC 中全孔硅胶的比表面积一般为 $(200 \sim 500) \text{ m}^2 \cdot \text{g}^{-1}$,孔径为 $(5 \sim 10) \text{ nm}$,而对于某些大分子或官能团族分离,宜用数十纳米孔径的吸附剂固定相。

表 2-9 硅胶上官能团吸附基团的分类

吸附基团	官能团
正相剂	脂肪烃
耐相剂	烯烃、烷醇、醚、单环和双环芳烃、卤代芳烃
中等吸附	稠环芳烃、醚、糖、硝基化合物和大多数羧基化合物
强吸附	醇、酚、羧酸、亚胺、胺
一强吸附	(1) $\text{R}^1 \sim \text{C}(\text{R}^2) \sim \text{C}(\text{R}^3) \sim \text{R}^4$ 化合物 (2) 羧基团之间的内氢键将保留值减少 (3) 极性基团旁边有大烷基基存在时,保留值减小 (4) 顺式比反式几何异构体保留值大 (5) 环己烷衍生物保留体的中位基团比轴端取代基有更强的保留

2. 化学键合固定相

化学键合固定相是借助于化学反应的方法将有机分子以共价键连接在色谱载体上制得的,主要用于反相、正相、疏水作用色谱分离模式中,离子交换、空间排斥和手性分离色谱

中也有应用。据统计,键合相色谱在高效液相色谱的整个应用中占 80%以上。制备化学键合固定相,需满足两个必要条件:①所用的基质材料应具有某种化学反应活性,例如许多 3~5 价氧化物,像硅胶、氧化铝、硅藻土等表面都存在可以进行化学反应的官能团;②有机液相分子应含有能与基质表面发生反应的官能团。硅胶($\text{SiO}_2 \cdot x\text{H}_2\text{O}$)之所以是理想的化学键合相基体,主要由其表面性质所决定。硅胶的体相结构呈硅-氧四面体的晶体点阵,而在表面则这种点阵突然中断,表面硅原子可以通过硅醇基($\text{Si}-\text{OH}$)和失水后的硅氧烷结合。这种硅醇基是进行键合反应的活性官能团,实验表明,硅胶在 200°C 以下烘干仅能失去物理吸附水,(200~600)°C 之间,结合水(即羟基)逐步脱除而出现硅氧烷结构,但硅胶骨架不变;600°C 以上时骨架开始变化。硅胶表面上存在足够的可反应硅醇基,再加上硅胶本身的强度高,孔结构和表面积易于人为控制,有较好的化学稳定性等诸多特点,因而成为各种化学键合相的理想基质材料。

化学键合相在高效液相色谱中的应用主要有以下几个优越性。

(1) 在很大程度上减弱了表面活性作用点,清除了某些可能的催化活性。这样就缓和了一些复杂样品在表面上的不可逆化学吸附,使得操作简化,峰形对称,对溶液中微量水分含量的变化要求不苛刻。此外还有,溶剂的残留效应小,梯度冲洗平衡快,和液固吸附色谱相比,流动相性质比较温和,柱子寿命长。

(2) 耐溶剂冲洗。这是传统的液液分配色谱(LLC)逐渐被键合相色谱取代的根本原因。

(3) 热稳定性好。例如,十八烷基键合相的流失温度在 200°C 以上。在高效液相色谱中,因为某些分离在升温条件下进行,热稳定性也具有一定的意义。

(4) 表面改性灵活,容易获得重复性的产品。改变键合用的有机硅烷,可以得到不同键合相的填料。

化学键合相的分类可以有不同的依据,仅就目前用得最广的全孔微粒硅胶基质化学键合固定相为例,也有形状(球形和非球形)、粒度、孔结构的区别。根据键合有机分子的结构,硅胶键合固定相可分为 Si—O—C 键型(硅胶与醇类的反应产物)、Si—N 键型(硅胶与胺类的反应产物)、Si—C 键型(硅胶与卤代烷反应产物)和 Si—O—Si—C 键型(硅胶与有机硅烷的反应产物)等几种类型。按键合有机硅烷的官能团结构, Si—O—Si—C 键型键合相还可分为非极性、极性和离子交换键合相等几类,表 2-10 列出了常用的一些有代表性的微粒型化学键合固定相的理化性质。

表 2-10 HPLC 常用的化学键合固定相及性质

类 型	牌号名称	官能团	粒度/ μm	形状	简要说明
弱极性 非键合	Nucleosil NMe ₂	二甲胺基	6.10	5	也可做阴离子交换
	LiChrosorb Diol	二醇基	10	1	分离酸、碱
	Fe-Sil-X-1	苯乙基	14.5	1	羧基化合物分析
极性键合 固定相	VWG GN	氨基	10	1	5% C ₁₈
	μ -Bondapak CH	氨基	10	1	5% 键合量
	Partisil OD6	氨基 羧基	10	1	氨基酸/氨基酸- V^{2+} , 20% 键合
	Partisil ODS ₂	酰胺基	5.10	5.1	用于有强酸性和力的样品分析
	Zorbax ODX	氨基	10	5.1	
强极性	μ -Bondapak Cy ₅	酰胺基	10	1	有(20~50) μm 制备柱填料
	LiChrosorb RP 18	氨基	5.10	1	用于糖类和肽分析
	Supelcosil LC 18	氨基	10	1	5% 键合量
	Nucleosil 4.11	氨基	5.10	5	也可用于反相

续表

类 型	牌 号 名 称	官 能 团	粒度, μm	形状 ^a	备 注 说 明
非极性键合固定相	YW10- $\text{C}_{18}\text{H}_{37}$	C_{18} 链烷	10		有(80~90) μm 制各柱填料
	YQG- C_8	C_8 链烷	5	+	一苯基硅烷键合, 15% C
	MicroPak CH	C_{18} 链烷	10	+	键合率, 25% C
	Parasil CDS	C_{18} 链烷	5, 10	+	5% C
	Parasil CDS ₂	C_{18} 链烷	5, 10	+	16% C, 单分子层, 未封底
	Zorbax HDS	C_{18} 链烷	6	+	15% C, 散装填料 8 μm
	μ -Bondapak C_{18}	C_{18} 链烷	10	+	10% C
	LiChrosorb RP-18	C_{18} 链烷	5, 10	+	22% C, 部分聚合, pH=1~9
	Seprisol L ₁ -18	C_{18} 链烷	5	+	11% C, HMDIS 封底
	Nucleosil C ₁₈	C_{18} 链烷	5, 10	+	10% C
	LiChrosorb RP-8	C_8 链烷	5, 10	+	3%~14% C, pH=1~9
	Nucleosil C ₈	C_8 链烷	5, 10	+	10% C
	Zorbax 4.4	C_8 链烷	6	+	15% C
	YWG- C_{18}H	苯基链烷	10	+	7% C
	μ -Bondapak Phenyl	C_6 链烷	10	+	16% C
	LiChrosorb RP-2	二甲基硅烷	5, 10	+	5% C
离子交换键合固定相	YWG-SO ₃ H	磺酸基	10	+	
	Parasil 10 SOX	磺酸基	10	+	pH=1.5~7.5
	LiChrosorb RAC	磺酸基	5, 10	+	孔径 10 nm
	Zorbax SOX	磺酸基	7	+	pH=2~9
	YWG-R ₁ HCl	季铵离子	10	+	
	LiChrosorb AN	季铵离子	5, 10	+	孔径 10 nm
	Nucleosil SL	季铵离子	5, 10	+	pH=1~9
	Vydac 301 TP	季铵离子	10	+	pH=1~9

(+)、为球形，- 为非球形。

极性键合相一般指键合有机分子中含有某种极性基团，和空白硅胶相比，这种极性键合相的表面上能呈分布相对均匀，因而吸附活性也比一般的硅胶低，可以看成是一种改性的硅胶。常使用正相操作，即用比键合相本身极性小的流动相冲洗，最常用的固定相有氰基（-CN）、二醇基（DIOL）、氨基（-NH₂）等类型。

氨基键合相的分离选择性与硅胶相似，但因极性比硅胶弱，所以在相同流动相条件下的保留值较硅胶小，若要维持相似的保留值，可用极性更小的流动相冲洗。许多在硅胶上的分离可用氨基键合相完成，它的优点是在梯度冲洗或流动相组成改变时平衡快。由于键合过程中 Si-OH 基被 -CN 基取代，因而固定相和溶质间的不可逆化学吸附或副反应减少。氨基键合相能与某些含有双键的化合物发生选择性相互作用，因而对双键异构体或含有不等量双键数的环状化合物有更好的分离能力。

二醇基键合相一般是缩甘油氧丙基硅烷键合相的水解产物 $[\text{Si}-(\text{CH}_2)_3-\text{O}-\text{CH}_2\text{CHOH}-\text{CH}_2\text{OH}]$ ，对有机酸和某些齐聚物有希望获得好的分离，二醇基的另一个用途是可进行某些蛋白质的体积排斥色谱分离。和硅胶表面“硬”的硅羟基相比，蛋白质分子与填料表面相互作用时二醇基起到一种“软”接触的作用。蛋白质分子和键合相键中的两个非极性部分之间的相互作用对保留值的影响并不大，但应尽可能避免键合相上的残余羟基对蛋白质的吸附作用。

氨基键合相的性质与硅胶有较大的差异。Si-OH 基呈酸性，而 -NH₂ 呈碱性，所以当用于正相冲洗时表现有不同的选择性。-NH₂ 基具有强的氢键结合能力，对某些多官

能团化合物，如脲体、烟心苷等，有较好的正相分离作用。在酸性介质中，这种键合相作为一种离子交换剂，可用于分离核苷酸。氨基可与糖类分子中的羟基发生选择性相互作用，因而当用乙腈-水做流动相时可以分离单糖、双糖和多糖，这已成为一种常规方法。此向尽管从流动相角度看为反相，但从机理上讲为正相色谱，因为流动相中水含量的增加使保留值减小。

当化学键合的有机硅烷分子中带上固定的离子交换基团时，称为离子交换键合相，与一般的离子交换树脂相同，带磷酸基、羧酸基者为阳离子交换剂；带季铵基（ $-R_4N^+$ ）或氨基（ $-NH_2$ ）者为阴离子交换剂。硅胶基质离子交换键合相具有刚性强、耐压及没有树脂那种固有的溶胀和收缩现象等优点，因而可在同一根柱上按照分析对象的具体要求，在较宽的范围内改变流动相的离子强度、pH 值以及有机溶剂的种类和含量，不会对柱性能产生较大影响。再者，键合基团粒度细，均匀性好，表面传质过程快，因而柱效比离子交换树脂柱高，此外离子交换键合相柱通常在室温下操作即可获得良好的分离，比树脂柱简单。

树脂型填料是作为离子交换色谱用固定相的传统填料，大多数都为苯乙烯-二乙烯苯共聚物基体。近期的研究工作主要集中在减小粒度和设计特定的孔结构方面。与键合相比较，树脂型离子交换剂有使用 pH 范围广（pH=1~4）的特点，（化学键合相一般 pH 为 2~7.5）。离子交换树脂受污染后，一般可以直接从柱内退出，经洗涤、再生后重新装柱，这也是优于键合相的特点之一。

反相高效液相色谱中使用的固定相，大多是各种烷基硅烷的化学键合硅胶。烷基链长可以是 C_2 、 C_4 、 C_6 、 C_8 、 C_{10} 、 C_{12} 和 C_{18} 等，最常用的是 C_{18} 又称 ODS，即十八烷基硅烷键合硅胶，键合烷基的链长对键合相的样品负载量、溶质的容量因子及其选择性有不同的影响，当烷基键合相表面浓度（ $\mu\text{mol} \cdot \text{m}^{-2}$ ）相同时，随着烷基链长增加，碳含量成比例增加，溶质的保留值增加。

短链烷基（ C_2 、 C_4 ）硅胶，由于分子尺寸较小，与硅胶表面键合时可以有比长链烷基更高的覆盖度和较少的残余羟基，适合于极性样品或做离子抑制的样品的分析。长链烷基键合相有较高的碳含量和较好的疏水性，对各种类型的样品分子有较强的适应能力，从非极性的芳烃到氨基酸、肽、儿茶酚胺和许多药物的分析皆可适用，苯基键合相和短链烷基键合相性质类似，新发展的多环芳烃键合相与长链烷基相性质接近，较适合于芳香族化合物的分离，为适应蛋白质、酶等生物大分子分离的需要，一些键合有短链烷基（ C_2 、 C_4 ）的大孔硅胶 [（20~40）nm] 键合相和非极性效应更好的含氟硅烷键合相也已发展起来。新型键合固定相的迅速发展为分析工作者对具体样品选用合适的固定相带来诸多便利。

三、离子交换固定相

这里的离子交换固定相即指一般的离子交换剂，不包括键合离子交换固定相。

离子交换剂的种类很多，大部分为有机物，如各种类型的树脂，也可以是无机物，如矿物质等。它们既可以是人工合成的，也可以是天然的，例如各种改性的纤维素、葡萄糖、琼脂糖的衍生物等。通常用聚苯乙烯和二乙烯基苯进行交联共聚生成不溶性的聚合物基质，再对芳环进行磺化生成强酸性阳离子交换剂；或将芳环进行季铵盐化，生成带有烷基胺官能团的强碱性阴离子交换剂。

离子交换剂上的活性离子交换基团决定着其性质和功能，表 2-11 列出了一些主要的有机离子交换剂的类型和性质。

表 2-11 常见有机离子交换剂的类型和性质

种 类	缩 写	官 能 团	基 质 材 料	具 有 性 质
阳离子交换剂	S	$-\text{SO}_3^+$	树脂	强酸性
	SM	$-\text{CH}_2\text{SO}_3^+$	树脂	强酸性
	SP	$-\text{C}_6\text{H}_4\text{SO}_3^+$	纤维素、葡聚糖	强酸性
	SP	$-\text{C}_6\text{H}_4\text{SO}_3^+$	葡聚糖	强酸性
	P	$-\text{PO}_3^+$	纤维素、树脂	中强酸性
	C	$-\text{COO}^+$	亲水合成胶、树脂	弱酸性
	CM	$-\text{CH}_2\text{COO}^+$	纤维素、葡聚糖、树脂	弱酸性
阴离子交换剂	TAM	$-\text{CH}_2\text{N}^+(\text{CH}_3)_3$	树脂	强碱性
	HEMAM	$-\text{CH}_2\text{N}^+(\text{CH}_3)_2\text{C}_2\text{H}_4\text{OH}$	树脂	强碱性
	TEAE	$-\text{C}_6\text{H}_4\text{N}^+(\text{C}_2\text{H}_5)_3$	纤维素	强碱性
	QAE	$-\text{C}_6\text{H}_4\text{N}^+(\text{C}_2\text{H}_5)_3\text{CH}_2\text{CH}(\text{OH})\text{CH}_2$	葡聚糖	强碱性
	QE	$-\text{C}_6\text{H}_4\text{N}^+(\text{C}_2\text{H}_5)_3$	纤维素	中强碱性
	MP	$-\text{C}_6\text{H}_4\text{N}^+(\text{CH}_3)_3$	树脂	强碱性
	DEAE	$-\text{C}_6\text{H}_4\text{N}^+(\text{C}_2\text{H}_5)_3$	纤维素、葡聚糖	中强碱性
	ECTEOLA	不饱和烃的混合物	纤维素	中等,弱碱性
	AE	$-\text{C}_6\text{H}_4\text{N}^+(\text{CH}_3)_3$	纤维素	弱碱性
	PHI	$-(\text{C}_6\text{H}_4\text{N}^+(\text{CH}_3)_3)_2$	纤维素	弱碱性
	AAM	N^+HR_2	树脂	弱碱性
	TAB	$-\text{CH}_2\text{C}_6\text{H}_4\text{N}^+(\text{CH}_3)_3$	纤维素	弱碱性

除阳离子、阴离子交换剂外还有两性离子交换剂,在其基质中既含有阳离子交换基团,又含有阴离子交换基团。这类离子交换剂在与电解质接触中可形成内盐,通过用水洗的办法很容易使它们获得再生。偶极子型离子交换剂是一种特殊类型的两性离子交换剂,通过氨基酸键合到葡聚糖或琼脂糖上制得,其在水溶液中可形成偶极子,这种离子交换剂非常适合于能与偶极子发生相互作用的生物大分子的分离。

尽管离子交换剂的种类很多,然而到目前为止用得最多的仍然是从聚苯乙烯和二乙烯苯为基质的带各类官能团的离子交换剂。但其作为柱填充物有较大的溶胀性,不耐高压,表面和内部的微孔结构会影响溶质的传质速率。以硅胶为基质的各种键合型离子交换剂的应用越来越广泛,最常见的键合型离子交换剂通过在薄壳型或全多孔球型微粒硅胶表面键合上各种离子交换基团制得。这种离子交换剂具有较好的化学稳定性和热稳定性,并能承受较高的压力,分离效能较高。

四、凝胶固定相

凝胶是凝胶色谱中分离作用的基础,选择和搭配具有不同孔径及色谱性能良好的凝胶是完成凝胶色谱分离的重要步骤。

根据材料的不同,凝胶可分成有机和无机凝胶两大类。不同凝胶在装柱方法、使用性能上各有差异。对有机凝胶,要求湿法装柱,柱效较高。由于热稳定性、机械强度低、化学惰性差及易老化等缺陷,对使用条件要求较苛刻。常用有机凝胶有交联聚苯乙烯、交联聚乙酸乙烯酯、交联葡聚糖等种类。交联聚苯乙烯的孔径分布比较宽,因此分离样品的分子量范围比较大,柱效较高,可用一般的非极性有机溶剂作流动相。

无机凝胶柱效相对较低一些,但性能稳定,对使用条件要求不苛刻,易于掌握。无机凝胶有多孔硅胶和多孔玻璃,多孔硅胶是一种被广泛采用的无机凝胶,其特点是化学惰性、热稳定性及机械强度高,因此使用寿命长。此外,无机凝胶对液流阻力小,柱压低也有利于仪器

的正常运转和延长其使用寿命。硅胶的最大特点是解决吸附问题,一般需要作表面处理。

可根据不同凝胶的色谱指标,即渗透极限和分离范围选择分析样品所需的硅胶种类,渗透极限是凝胶可以用来分离溶质的分子量最大极限,分子量超过该极限的分子在凝胶颗粒间隙流出,没有分离效果,渗透极限与孔径大小有关,孔径大,渗透极限也大。分离范围一般是指分子量-洗脱体积曲线的线性部分。表 2-12 给出了国产 NDG—L 系列凝胶色谱填料的一些基础数据,文献 [12] 中也有对其他品牌凝胶色谱填料的讨论。

表 2-12 NDG—L 系列凝胶色谱填料的基础数据^[1]

筛 控	渗透极限(聚苯乙烯分子量)	分离范围	柱 径	渗透极限(聚苯乙烯分子量)	分离范围
NDG—1L	4×10^6	$100 \sim 1 \times 10^6$	NDG—4L	1×10^5	$6 \times 10^4 \sim 1 \times 10^5$
NDG—3L	1×10^6	$1 \times 10^5 \sim 1 \times 10^6$	NDG—5L	3×10^4	$1 \times 10^4 \sim 2 \times 10^5$
NDG—5L	2×10^5	$1 \times 10^4 \sim 1 \times 10^5$	NDG—6L	3×10^3	$5 \times 10^2 \sim 5 \times 10^4$

可采用将不同规格的凝胶柱串联起来搭配的方法,使分子量-洗脱体积曲线的线性范围与待测样品的分子量范围相当。实际使用时,根据样品的不同可以决定采用哪几种硅胶,用几根柱子进行匹配,以得到好的分离效果。

参 考 文 献

- 1 王俊强,周敏华,郁厚明,高效液相色谱法,北京:中国石化出版社,1992:33,166
- 2 Snyder L R, Kirkland J J, Glajch J L. Practical HPLC Method Development—Second Edition, New York, John Wiley, & Sons, Inc. 1987,78,275
- 3 Saunders D L. Anal Chem, 1974:48:470
- 4 Meyer V R, Palamarec M D. J Chromatogr, 1983:641:451
- 5 Schoenmakers P J, Billiet H A H, de Galan L. J Chromatogr, 1981:218:259
- 6 Schoenmakers P J, Billiet H A H, de Galan L. J Chromatogr, 1979:177:279
- 7 Schoenmakers P J, Billiet H A H, de Galan L. J Chromatogr, 1981:205:13
- 8 Elertman D P, Billiet H A H, De Galan L. J Chromatogr, 1989:463:1
- 9 Herthel A, Vigh G, Varga-Pachady Z. J Chromatogr, 1990:499:623
- 10 Bartha A, Vigh G, Billiet H A H, et al. J Chromatogr A, 1994:660:17
- 11 孙凤达,张玉英,卢佩华,高效液相色谱法,北京:科学出版社,1996:126
- 12 张新中,高效液相色谱分析,北京:学术书刊出版社,1998:144

第三章 液相色谱柱

色谱柱是 HPLC 分离过程中的中心。拥有一支稳定、高效的色谱柱对建立抗干扰强、重现性好的分析分离方法是必不可少的。不同供应商的商品柱，甚至来源相同的色谱柱之间也会差异很大，以至于严重影响分离结果。不同的色谱柱在相同的操作条件下，塔板数、谱峰的对称性、保留值、峰间距以及使用寿命方面会有不同。本章中，我们将提供一些关于色谱柱载体、固定相及柱填料的信息，并讨论色谱柱应用中的问题，以及适宜的解决方案。

第一节 常用液相色谱柱

高效液相色谱柱通常用能耐 80 MPa (816 atm)，内径均匀的优质不锈钢管制成，其内壁经过抛光，无轴向沟槽，光洁度在 ∇_7 以上。采用这种清洁的不锈钢管填充固定相，可以得到较好的重复性和较高的柱效。在样品可能与不锈钢发生有害反应的特殊情况下也有用玻璃或玻璃衬里不锈钢柱的。在压力要求不太高时也可以采用塑料柱，这种柱适合在较宽的 pH 值范围内使用。

对于生物样品，采用玻璃柱相对有利，但由于压力的限制对其应用范围，玻璃衬里的不锈钢柱可在常规压力下应用，避免了这类问题。一般不锈钢柱可以满足大多数的分离要求。在用其他材料不合适时，可用能承受较高操作压力的刚性聚合物 (PEEK) 柱。

常用的分析型液相色谱柱内径为 4.6 mm，长度为 (20~25) cm，填料粒度通常为 (3~10) μm ，表 3-1 总结了一般的商品化不锈钢色谱柱的特征。

表 3-1 色谱柱构型 (不锈钢)

类型	内径/cm	长度/cm	粒度/ μm
分析型			
加压接头	0.3~0.46	3~25	5~10
下管	0.3~0.46	7.5~50	5~10
半制备型	0.6~1.0	10~25	5~20
制备型	2.0~5.0	10~25	5~20

柱填料为 5 μm 的色谱柱通常兼顾柱效、重现性与可靠性最好。粒度为 3 μm 的色谱柱能快速分离或柱效较高，但 3 μm 柱更易发生堵塞，使柱寿命大大降低。3.5 μm 微粒填充的色谱柱似乎能很好地兼顾高效与柱寿命^[1]。

可以采用多孔烧结滤片封闭色谱柱的两头，固定住填料微粒。5 μm 与 3 μm 粒度固定相用 2 μm 与 0.5 μm 孔径的不锈钢滤片封闭，但这种滤片有活性，且容易阻塞。采用加压接头可以避免这类问题，这类色谱柱能提供较高的柱效与重现性。

0.3 cm 内径的色谱柱的溶剂消耗只是广泛使用的 0.46 cm 柱的一半。当用 0.21 cm 细径柱时，溶剂消耗为 0.46 cm 内径柱的 1/4，而 0.1 cm 内径的细径柱可用的分析溶剂更少。细径柱的主要优点是样品的单位质量的检测灵敏度较高。当 HPLC 仪器与质谱仪等检测器联用时，往柱必须采用细内径色谱柱。细径柱不易填充均匀，塔板数常低于同类的 0.46 cm 内径

柱。对于一般分析型色谱柱，流动相流速约为 $1 \text{ ml} \cdot \text{min}^{-1}$ ，色谱柱效在 $7000 \sim 10000$ 之间。

第二节 膜色谱柱

一、概 述

在科研生产过程中，对蛋白质、多肽和核酸等生物大分子的分析分离和纯化工作需要高效、快速的方法，特别是用于临床的生化药品分析和制备，不仅要求达到很高的纯度，而且还要在分离过程中最大限度地保持样品的生物活性。

传统的管式结构柱色谱，流体在色谱柱内沿轴向从一端流向另一端，色谱固定相为多孔颗粒填料，虽然具有分离效率高，柱容量大的特点，但对于生化分离分析而言，存在以下缺点：①流速慢、生产效率低、蛋白质在长时间分离过程易变性失活；②压降大，对分离系统要求高；③不易放大。

膜分离过程具有处理量大，效率高等优点，选用具有高选择性和分辨能力的色谱填料，如离子交换或亲和色谱填料制成膜的形式，结合径向流动的原理，可做成处理量大、速度快、选择性好、分辨率高的分离组件。这就是径向膜色谱技术。这项技术在 80 年代中后期出现，国内自 1986 年开始研制，目前已开发出以纤维素为基质的离子交换、亲和、疏水等多种类型的复合膜介质，各种规格的径向、轴向膜色谱柱已商品化。

二、径向膜色谱技术的原理及特点

径向膜色谱柱的结构原理如图 3-1 所示，径向膜色谱柱采用螺旋卷式膜组件结构、径向流动原理，样品和流动相从色谱柱的圆周流向柱的圆心。

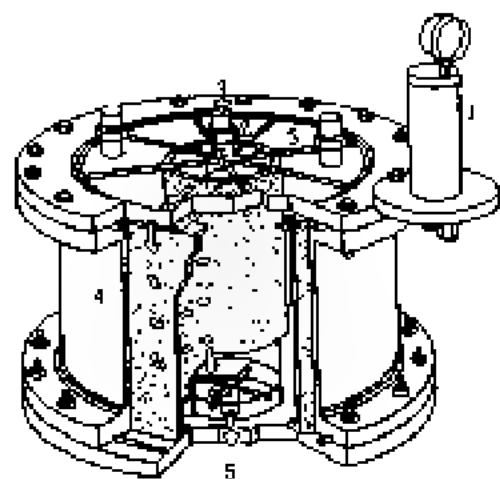


图 3-1 径向流动色谱柱

1—压力装置；2—进样口；3—进样管；

4—多孔圆膜；5—洗脱液分出口

在其流向的截面积较大，流速大时，压力降仍很低；保持柱径不变只增加柱长，可以线性增加样品的处理量，分离条件与时间不会产生明显变化。通过理论研究和实验证明，径向膜色谱柱具有以下特点^[1-3]：

(1) 速度快、处理量大、压降小 膜介质与流动相接触面积大，而流动相路程短，比同体积的凝胶轴向柱快 4~5 倍。

(2) 易放大生产 可以在基本不影响分离性能的前提下按实际需要线性放大，而且可以通过进行多柱串联或并联来提高分离性能和处理量。径向膜色谱柱非常适合大体积原料，如基因工程、发酵工程产生的大体积低浓度蛋白质、核酸等生物大分子的柱上富集纯化。

(3) 成本低、使用寿命长、易于再生 纤维素价廉，来源充足，经化学改性后，在可供偶联配基的活性基团大大增多的同时，也改善了纤维素的物理化学性能，增强了纤维素膜的强度，使其使用寿命延长。较高的分离速度可大大缩短分离时间，避免或减少不稳定蛋白质在分离过程中的降解或失活，提高了回收率。膜色谱柱可原位再生，无需重新装柱，既省时省力，又可避免重新装柱造成的

介质流失等损失。

三、膜色谱柱的应用

美国 CUNO 公司已将膜色谱柱商品化,其产品从最小的实验室规模(如 Zeta Prep-15,处理量 $150\text{ ml} \cdot \text{h}^{-1}$)和中试规模(如 Zeta Prep-800,处理量 $10\text{ L} \cdot \text{h}^{-1}$),到生产规模(如 Zeta Prep90sp,处理量 $10\ 000\text{ L} \cdot \text{d}^{-1}$),已形成系列化。膜的类型主要是离子交换型。另外,美国 Millipore 公司和 Nygene 公司还相继推出了以蛋白 A 为亲和配基的商业化膜色谱组件,中国科学院大连化学物理研究所国家色谱研究分析中心研制和生产的径向膜色谱柱的种类、性能及应用情况在表 3-2 中列出。产品型号和规格列入表 3-3。

表 3-2 膜色谱柱产品性能及应用

类型	名 称	官能团	配基含量/ 克干介质	容量/克介质	pH 稳定性	应 用 实 例
阴离子型	CM 弱阴离子型	COO^-		50 mg DSA (pH 4.5)	9~14	原核菌属、乙型肝炎核心抗原单抗、 抗-霍乱毒素单抗、IgG、血清白蛋白
	DEAE 弱阴离子型	$\text{N}(\text{C}_2\text{H}_5)_2$		50 mg BSA (pH 6.5)	2~14	干扰素 α -2a-EPO、rIL-2、BSA、 IgG、K ₁₂ 、热原、protein A
	QAE 强阴离子型	$\text{N}(\text{CH}_3)_2$		70 mg BSA (pH 6.5)	2~14	人尿激酶释放酶、rIL-1
	SP 强阴离子型	SO_3^-		26 mg BSA (pH 4.5)	2~14	IL-1、rIL-1、凝血酶、小鼠单抗
亲水型	QILA	Protein A	(4~6) mg	(15~33) mg IgG	9~10	人 IgG
	QH1	肝素	8		9~10	Taq 酶、凝血酶
	IDA 羧基二乙胺	$\text{N}(\text{COOH})_2$	(10~110) μmol 可逆	(10~140) μmol Cu^{2+}	9~14	牛和人血清白蛋白、IgG
	QH1 苯胺	$\text{C}_6\text{H}_5(\text{NH}_2)_2\text{NH}_2$	(3~20) μmol	(10~20) mg 胰蛋白酶	2~14	胰蛋白酶、胰凝乳
疏水型	SSI 己二胺	$\text{NH}(\text{CH}_2)_4\text{NH}_2$	(20~90) μmol	(10~20) mg BSA	2~14	EPO、热原
	SSM 甲氧	CH_3	40 μmol	30 mg BSA	2~14	牛和人血清白蛋白
	SSA 叔胺	$\text{NH}(\text{CH}_2)_4\text{CH}_3$	25 μmol	40 mg DSA	2~14	血清白蛋白、热原
	SSB 苯基	C_6H_5	30 μmol	50 mg BSA	2~14	牛血清白蛋白

表 3-3 不同柱型号的规格

型 号	100A	250 型	600 型
柱规格/(mm \times mm)	$\phi 57 \times 50$	$\phi 57 \times 120$	$\phi 7 \times 400$
干燥容量/g	10	20	1.20
体积/ml	95	190	1 070

四、高效分析膜色谱柱

高效分析膜色谱是对活性生物大分子进行快速分析和定量的一种可行方法。采用不同配基,可在不同条件下对各种生物活性大分子进行定量分析及少量样品的制备,具有速度快、易

于定量、非特异性吸附低、柱压低、成本低及柱体积小等优点^[4]。美国 Millipore 公司 90 年代初期推出了可与高效液相色谱配套使用的分析型离子交换膜色谱柱, 如 Mem Sep TM 1000, 可用于生物大分子的快速分离分析。中国科学院大连化学物理研究所采用自制的复合纤维素膜为填料, 也成功研制出了高效快速膜色谱分析柱^[5]。

高效分析膜色谱具有如下优点:

- ① 分析速度快(色谱过程只需(1~7) min), 使在线分析成为可能;
- ② 柱压低(柱压一般在 7000 Pa 以下);
- ③ 成本低;
- ④ 柱体积小(柱内体积只有 0.5 ml);
- ⑤ 非特异性吸附小(高效亲和膜色谱柱的非特异性吸附量在高效液相色谱仪检测限以下)。

五、膜的污染及其处理方法

无论是以使用膜还是表面带有功能基团的色谱分离用膜, 经过一段时间的使用, 都会由于溶质在膜表面产生沉淀或结晶, 形成所谓“凝胶层”而造成膜的分离性能下降。这种现象称为膜污染。膜的污染受多种因素的影响, 如膜的亲、疏水性、荷电性、蛋白质种类、分离缓冲液 pH 值、无机盐浓度、料液浓度、流速压力等等。一般而言, 强亲水性膜和强疏水性膜与蛋白质的相互作用较弱, 较耐污染。调节 pH 值远离蛋白质等电点时, 污染程度较小。随着温度的升高, 膜表面对蛋白质的吸附增强, 污染程度增加。为保持膜的分离性能, 延长使用寿命, 必须采取一定的清洗方法, 除去膜表面或膜孔内的污染物, 使膜的分离纯化性能得到恢复。对金属整合复合纤维素膜的使用寿命进行考察表明: 膜色谱柱经反复多次使用后仍保持较好的吸附容量及纯化效果。当吸附容量降至 80% 以下时, 经 $0.5 \text{ mol} \cdot \text{L}^{-1}$ 的 NaOH 和 HCl 处理后, 吸附容量及纯化效果可基本得到恢复, 压降和流量无明显下降。在防腐剂 0.02% 的 NaNO_2 存在下, 金属整合膜色谱并放置 1 年后再使用, 也未发现柱效明显降低^[6]。

第三节 制备色谱柱

制备色谱是指以分离获取一定量的单组分样品为目的的一种分离技术, 与一般以分析各组分取得定性定量结果为目的的色谱技术有所不同。随着近代化学制药工业和生物技术的发展, 高效液相色谱作为制备手段的意义越来越大^[7], 从直径约 10 mm 的实验室半制备柱到直径为 500 mm 的工业制备柱及相应设备, 都相继商品化, 许多实际的分离纯化问题得到解决。

一、制备规模

液相色谱制备纯物质一般有三个目的, 即结构鉴定、生物与毒理试验, 以及某些珍贵和难分离单组分物质的生产。表 3-4 中列出了一些仪器分析方法进行结构测定时所需的样品量。

目的不同, 制备色谱的操作也不同:

- (1) 半制备色谱 柱内径在 (5~20) mm, 长度为 (15~50) cm 范围, 一般使用 10 μm 或 (20~30) μm 粒度的填料, 用一台普通分析型高效液相色谱仪, 便可获得毫克量

表 3-4 一些仪器分析方法所需的样品量

方 法	样品量·mg
核磁共振(溶液)	1~10
核磁共振(微量注射)	0.1~1
红外光谱	0.01~0.1
质谱	0.001
元素分析	0.1~1

级的单组分。流量小时，可另配一台流量稍加扩大的高压输液泵。

(2) 克级制备色谱 使用 50 mm 左右内径，(20~70) cm 长的色谱柱，填料粒度 (40~60) μm 。这种柱子可装填 (200~500) g 固定相，在超负荷运行下，可获得克级以下的纯化合物组分。

(3) 工业制备色谱 色谱柱内径尺寸大约在 (10~50) cm (或更粗)，(50~100) cm 长。此时一般都采用回路循环和溶剂再生系统。此外，也有环形液相制备色谱等特殊类型。

二、制备色谱柱的设计

制备色谱柱因柱直径加大，进样量增加，因而在柱头结构上与分析柱完全不同。分析柱都设计成柱头中心进样的结构(见第五章)，但在制备柱情况下，希望样品能在柱头截面上均匀地渗入填充床，这样一方面保证了大量样品能在尽可能短的时间内很快地进入柱床，另一方面也克服了柱中心样品局部过浓的现象，有利于提高柱效。图 3-2 (a) 是典型制备柱的柱头结构，柱头上方是一个锥形的液流分配器，有时还加入一些玻璃球，使样品分散渗入柱床。例如 Amicon 公司的制备柱头同时具有液流导向槽和反喷结构，保证了样品均匀地从全截面进入色谱柱。同样在柱末端，从大截面的柱床到小截面的连接管，也是渐变的锥形结构[图 3-2 (b)]，从而克服了因柱面积突然变化造成的短路死角[图 3-2 (c)]，样品引入色谱柱可以有三种方式，即配有量管的进样阀、进料泵和注射器。

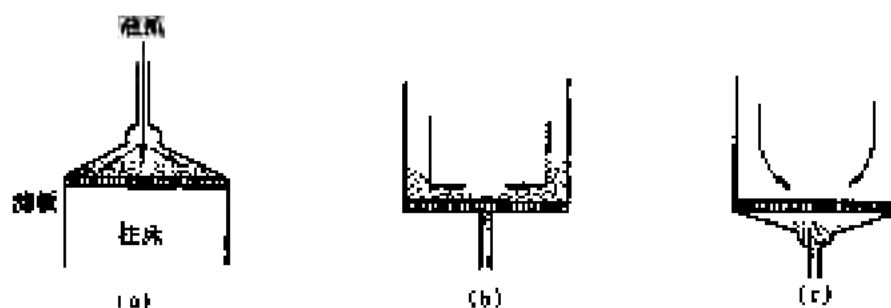


图 3-2 制备柱柱头示意图

操作压力在 2 MPa 以下的中压液相色谱(MP-HPLC)广泛使用不同规格的玻璃柱，这种柱的两端也均呈锥形收缩结构，与细的输液管连接。

三、柱填充方法

1. 干装

原则上大于 20 μm 的填料可以用这个方法。

将填料通过漏斗加入到垂直放置的柱管中，同时进行敲打或振动柱管，以得到填充紧密而均匀的填充床。

2. 匀浆填充法

无论大粒径还是小粒径固定相均可采用。

以一种或数种溶剂配制成密度与固定相相近的溶液,经超声处理使填料颗粒在此溶液中高度分散,呈悬浮液状态,即制成匀浆。用加压介质(己烷或甲醇等)在高压下将匀浆压入柱管中,制成具有均匀、紧密填充床的高效色谱柱。

匀浆填充法的关键是匀浆的制备,并需要有一台性能优良的大流量泵。

以上两种方法与分析柱装填的差别不大。

3. 轴向压缩法

这是一个填充大直径柱较简便的方法。如图 3-3 所示,柱管的底部是一个带筛板的活塞(2),开始时一定量填料的匀浆混合物从柱管上端倒入,加上接头(3),由(10)处充入 1 MPa 的压缩气体,推动活塞上移,于是倒入的填料层被压缩,溶剂从上接头内的筛板滤过,从(8)排出。正常分离制备时,溶剂或样品经三通阀(5)导入柱内,流出液由(9)排出,进入检测器和收集器。更换柱填料时也很简单,只需打开上接头,用压缩空气推动活塞上移,固定相就可以被带出柱外。

4. 径向压缩法

这是 Waters 公司提出的一个专利项目,色谱柱管为一塑料筒,填料先以干装法填满柱筒,然后放入一个精制的不锈钢加压设备中,压缩空气被引入加压容器和筒壁之间,产生对筒壁以及对填充层的径向压力,因塑料的筒壁变形而减小或消除了填充床筒壁区的自由空隙,使填充床均匀,有利于提高柱效。

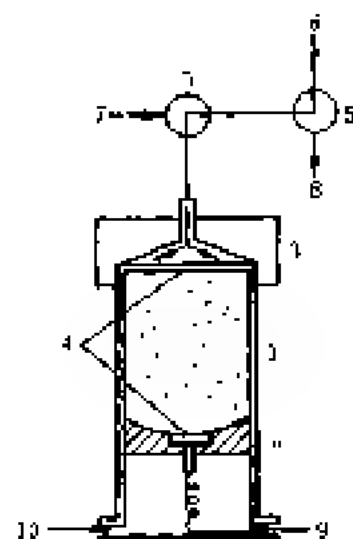


图 3-3 轴向压缩法装柱

1—柱管; 2—活塞; 3—柱上接头;
4—过液板; 5—三通阀; 6—溶剂;
7—样品; 8—管路; 9—流出液;
10—压缩空气

参 考 文 献

1. Kirkland J J. J Chromatogr Sci, 1985, 23, 493
2. Jungbauer A, Unterlugger F, Uhl K, et al. Biotechnol Bioeng, 1985;32: 235-333
3. Wang H, Li T, Zou H, et al. Biomed Chromatogr, 1996;10: 139-143
4. Josse D, et al. J Chromatogr, 1992;579,59
5. 杨利, 贾彦云, 等液法装, 色谱, 1997;15(12):121~124
6. 杨利, 贾彦云, 等液法装, 中国科学通报, 1998;38(14):354~360
7. 郭立安. 高效液相色谱法纯化蛋白质原理与技术, 西安: 陕西科学技术出版社, 1993

第四章 柱液相色谱分离方法

第一节 正相色谱法

一、概 述

正相色谱是指采用极性固定相（如硅胶、三氧化二铝、及带有二醇基、氨基和氰基的固定相）、非极性流动相的一种操作模式，这是一种根据分子的极性大小将其分离开来的液相色谱技术，因其以吸附效应作为分离的基础，所以也称为吸附色谱。最常用的填料是极性较强的硅胶，三氧化二铝等也常被使用，流动相一般为正己烷等非极性溶剂。在正相色谱中，样品分子与载体基质的硅醇基团产生特异的极性相互作用，与固定相发生强极性相互作用的极性样品分子将较难被洗脱，在柱内停留较长的时间，反之，极性较弱或非极性分子与硅胶之间的相互作用相对较弱，因而在柱内停留的时间较短，因此，正相色谱是根据溶剂极性差别达到分离目的的。

正相色谱通常用来分离中性和离子（或可电离的）化合物，并以中性样品为主，采用正相分离离子样品时可以在流动相中使用水^[1,2]，但这样将使保留过程复杂化；分离碱性化合物时应在流动相中加入三乙胺；分离酸性化合物时加入乙酸或甲酸。中性样品采用反相和正相分离的效果相当，其主要差异在于两种方法的洗脱顺序相反，在正相中弱极性（亲水的）化合物先洗脱，强极性（亲水的）化合物后洗脱；而在反相中恰恰相反，根据正相色谱的上述特点，在实际工作中，正相色谱适用于以下几类样品的分离分析^[3]：① 反相色谱法很难分离的异构体可以采用以硅胶为固定相的正相色谱分离分析；② 根据被分离样品的极性差别进行族类分离；③ 易于水解样品的分离分析；④ 在极性有机溶液中溶解度很小的高油溶性样品的分离分析。表 4-1 中总结了正相色谱的主要特征。

表 4-1 正相色谱的主要特征

优 点	缺 点
1. 通过改变流动相或柱填料，可较分离条件有很大改善（尤其对无机填料，如硅胶）	1. 离子型样品更易于在反相中分离
2. 使用非水流动相时，色谱柱非常稳定	2. 溶剂强度的控制比反相色谱更简单
3. 许多有机化合物在正相填料中更易溶解（在固相 HPLC 中按优点尤其突出）	3. 正相色谱柱的载板量有时低于反相柱
4. 使用低粘度溶剂，有较低的压降	4. 低沸点溶剂更易挥发或成泡（尤其在柱温较高时）
5. 适用于在溶剂中易分解的样品	5. 对于无修饰的硅胶： ① 由于柱填料对水的保留，会导致保留值发生变化； ② 由于溶剂分配和硅胶柱对水的保留，使梯度洗脱无法进行 6. 有机溶剂的成本和处理费用更高

二、流动相的选择

正相色谱的保留机理类似吸收过程，极性样品分子和溶剂分子强烈吸附在柱填料表面的

极性基团(吸附剂)上,在使用硅胶时,吸附位点为硅烷醇($-\text{SiOH}$)。对于正相中经常使用的氨基、氰基或二醇基固定相柱,吸附位点通常为键合相配体或硅烷醇。极性样品分子包括连接在烃基(如己基或苯基)上的一种或多种极性官能团,而非极性样品在吸附位点上的吸附非常弱。对于强极性化合物,由于其与固定相的强烈相互作用导致分离效率较差,峰形严重拖尾。

正相流动相的配制,一般选择一种较弱(非极性)的溶剂A和一种较强(极性)的溶剂B,然后按某种比例混合获得。当选对强溶剂和弱溶剂之后,可以通过混合使样品组分达到合适的保留值。一般地,在特定的色谱操作条件下,溶质的保留值与强溶剂浓度的关系可以表示为^[9]

$$\ln k' = a + bC_R + c \ln C_R \quad (4-1)$$

式中, a 、 b 、 c 为与溶质及固定相、流动相性质有关的常数,与流动相组成无关; C_R 为强溶剂浓度。

在以硅胶作为吸附剂时,很多实验表明保留值符合 Siczewinski 方程^[8]

$$\ln k' = c_1 - \alpha \ln C_R \quad (4-2)$$

式中, c_1 和 α 对于确定的相质、溶剂和色谱柱系统为常数, α 值近似表示溶质分子中极性定位基团的数量。显然式(4-2)可认为式(4-1)的简化形式。

对于正相色谱中解质保留值的估算,可以采用“三倍规则”,即:2倍 C_R 的增加导致大约3倍 k' 值的减小,这一经验规则对于实际分析过程中流动相配比的选择,调节非常方便。

三、柱型的选择

正相色谱中经常采用的色谱柱有氰基柱、硅胶柱、二醇基柱和氨基柱(大致按分析中常用的顺序排列),柱强度为^[9]

硅胶(强)柱 $\approx \text{Al}_2\text{O}_3$ 柱 \gg 氨基柱 \gg 二醇基柱 \gg 氰基柱

采用无修饰硅胶(与极性键合相比)柱正相具有如表4-2的优缺点。对于一般分离,采用硅胶柱不太方便,但是对于异构体分离以及制备分离则宜采用无修饰硅胶柱。

表 4-2 正相色谱中硅胶柱与极性键合相柱的分离效果对比

特 点	说 明
方便性与通用性	PPH(氨基、二醇基、氰基)柱操作简便,重现性好,而采用硅胶柱则需要严格控制流动相中水的含量
改变流动相后出峰平衡	硅胶柱需要的平衡时间较长
柱稳定性	硅胶柱与 PPH 柱都很稳定,但硅胶柱的寿命更长一些
异构体的选择性	硅胶柱适合分离异构体
柱床收缩	硅胶柱不适合采用梯度洗脱
制备分离	由于成本低,稳定性好,柱容量高,且不易污染,通常采用硅胶柱

柱型的改变可能对正相选择性造成很大影响。碱性化合物(氨、醚、酯、酮等)与氰基柱对此易于在氨基和二醇基柱上保留,而偶极化合物(氯代、硝基、氰基取代物)在氰基柱上具有更强保留,这些色谱柱的选择性具有很大差异^[10]。

在正相分离中,通常氰基柱是首选,硅胶柱适合于异构体的分离或有机可溶性化合物的制备回收,二醇柱和氨基柱稳定性较差,通常在样品于氰基柱上无法分离时才采用。至于色谱柱的尺寸,以 $25\text{ cm} \times 0.46\text{ cm}$ 柱为首选。表4-3给出了几种正相色谱柱在分离过程中的特征。

表 4-3 几种常用正相色谱柱在分离过程中的特征

柱 型	说 明
硅胶柱	分析分离首选, 稳定性好, 操作方便
硅胶片	制备分离首选, 尤其对无机可溶性样品, 可获得高人选择柱, 包需控制流动相中水含量 (不方便)
二醇柱	可替代硅胶柱用来调整选择性, 但不够稳定
氨基柱	可替代硅胶柱用来调整选择性, 但更不稳定
Al ₂ O ₃ 柱	目前在 HPLC 中很少用, 具有独特的选择性, 但存在更多问题 (填料黄化, 保留值不稳定, 样品回收率低)

第二节 反相色谱法

一、概 述

反相色谱与正相色谱相反, 是以非极性表面的载体为固定相, 以比固定相极性强的溶剂系统为流动相的一种液相色谱分离模式。反相色谱固定相也多以硅胶为基质, 但通常在其表面键合上疏水基团, 样品中的不同组分和这类疏水基团之间有不同的疏水作用。极性较强或亲水的样品分子和反相柱中的载体间的相互作用较弱, 因此较快流出; 反之, 疏水性相对较强的分子和基质间存在较强的相互作用, 在柱内保留的时间相对较长。

反相液相色谱是目前液相色谱分离模式中使用最为广泛的一种分离分析模式。这是因为在流动相组成改变的情况下, 有机强溶剂能够迅速在固定相表面达到平衡, 因此特别适合于梯度冲洗。另外, 在反相液相色谱中, 溶质在固定相上的保留是基于分子间的非特异性疏水相互作用。由于所有的有机化合物分子都存在疏水基团 (能够与固定相产生相互作用), 因此反相液相色谱成为理想的、普遍适用的分析方法。反相色谱适于分离分析同族化合物, 带有支链的化合物比其直链同族化合物更不易保留。在反相液相色谱中, 流动相常常含有水, 因此与正相液相色谱相比, 也更适于分离分析那些既不溶于有机溶剂又会与极性固定相产生强烈吸附作用的极性化合物。在对生物大分子、蛋白质及酶的分​​离分析方面, 反相液相色谱正受到越来越多的关注^[2]。表 4-4 给出反相液相色谱的优缺点, 表 4-5 给出了反相色谱与正相色谱的选择性对比。

表 4-4 反相液相色谱的特点

优 点	缺 点
1. 适用于分离分析各种类型化合物, 从离子型到非离子型 2. 分离系统易于操作 3. 因固定相是化学键合相, 因此化学性质稳定, 分离的重现性好 4. 由于表面能很小, 因此分析迅速, 且平衡时间短 5. 流动相强度大于配制样品溶液的溶剂, 可在色谱柱头浓缩 6. 反相液相色谱可用于测定各种物质化学性质参数, 如亲水性、解离常数、配合常数等	1. 对硅胶类键合固定相, 适宜的 pH 值限于 3~7.5 2. 若硅胶表面残留有未反应掉的硅羟基, 会导致带质分子在固定相表面的非特异性吸附, 从而峰形变宽 3. 需留从里面待进一步研究

表 4-5 正相色谱和反相色谱的选择性对比

具有不同官能团的化合物, 极性比 C ₁₈ 柱具有更大选择性; 正相中的极性键合相柱比反相中的 C ₁₈ 具有更相近的选择性
同系物或含碳数不同的化合物, 反相比正相具有更大选择性
异构体, 硅胶柱比 C ₁₈ 柱具有更大选择性; 极性键合相比 C ₁₈ 柱具有更大选择性

二、流动相的选择

样品的保留值可以通过改变流动相组成或溶剂强度来调整。在反相色谱中，采用高溶剂强度、低极性的流动相时可获得较低保留值。溶剂强度取决于有机溶剂的性质和其在流动相中的浓度。

关于溶质在反相色谱中的保留值与强溶剂浓度的关系已有大量的研究^[11]。Snyder 近似认为 $\lg k'$ 与 $\%B$ 之间呈线性关系

$$\lg k' = \lg k_0 - S\phi \quad (1-3)$$

式中， k_0 为以水为流动相时的理论 k' 值，对于已知样品 S 为常数， ϕ 是有机调节剂在流动相中体积分数 $[\phi]$ 。对大多数低分子量 (<500) 的化合物 $S \approx 4$ 。因此如果流动相浓度降低 10%，保留值将增大 2~3 倍，即与正相色谱相同，近似满足 3 倍规则。

有机溶剂类型的改变通常用来改善峰间距以及分离度^[12-14]。对反相色谱溶剂类型的选择，取决于溶质的特征。溶解性质(包括酸性、碱性、偶极性等)对选择性的影响可近似地采用溶剂选择性三角形(如图 4-1)来描述。

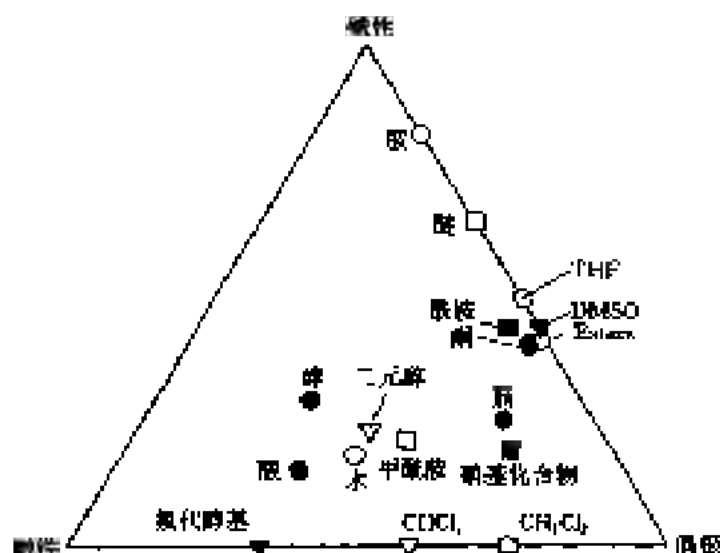


图 4-1 溶剂选择性三角形^[10]

改变有机溶剂类型对反相与正相色谱来说，均是改变峰间距的有效手段。溶剂经偶极与氢键作用，在溶质分子表面附近形成溶剂化层。因而，溶剂选择性应该与溶剂分子的偶极矩及酸碱性有关。在图 4-1 中，酸性溶剂靠近三角形的酸性角，碱性溶剂位于碱性角的附近，而那些在与样品分子发生的作用中偶极起主要作用的溶剂，则在偶极角附近。为了改变 B 溶剂，以便有效地改变选择性，应选用与溶剂选择性三角形中旧溶剂位置不同的新溶剂。比如，乙醚靠近碱性角， CH_2Cl_2 （二氯甲烷）靠近偶极角，这两溶剂在其选择性上应有显著的不同。该图对实际分析方法建立的意义在于为只用 3 种溶剂的分离提供分离度改变的基本框架。图 4-2 中的 3 种可与水混溶溶剂 ACN、MeOH、THF 的选择性（阴影部分）有很大差别，紫外吸收和粘度皆适宜，因此 3 种溶剂对于 RPC 中溶剂类型的选择都是首选。

除 ACN、MeOH 和 THF 以外，在优化选择性时，有时也使用二噁、烷、丙醇、二甲基亚砜、2-甲氧基乙醇等^[12]，它们可能提供有益的选择性差别；但同时也会带来一些我们不希望的性质，如高紫外吸收、高粘度、纯化困难及稳定性变差等问题。

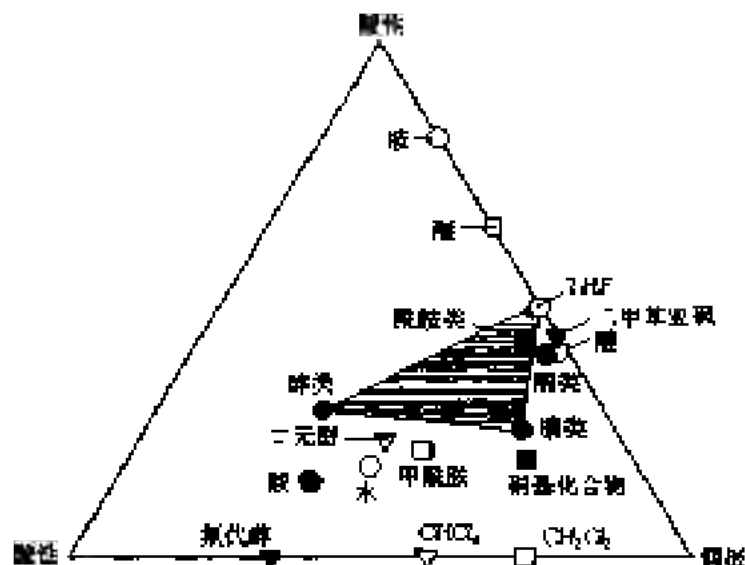


图 4-2 修正的溶剂选择性三角形^[15]

当样品中溶质分子极性差别较大，同一流动相组成的等度洗脱方法不能将样品分子完全分离，或采用等度洗脱最后一个组分的保留值比第一个组分的大很多而导致分离时间过长时，可以采用梯度洗脱的方法。梯度洗脱是指洗脱过程中流动相组成发生改变的一种操作形式，通常流动相用两种溶剂，称为二元梯度，也可采用三元或四元梯度洗脱方式。梯度运行设备大体可分为两类，一类是高压梯度又称内梯度，另一类是低压梯度，也称外梯度，前者是按预先设定的程序分别用两台泵把溶剂打入混合器，混合均匀后再进入色谱柱，后者则是先把两种溶剂按一定的比例混合，随后用一台泵打入色谱柱。

梯度洗脱常用于分离溶质极性范围较大的样品，这种情况下，如果二者的比值超过 1/30，则采用梯度洗脱为宜，梯度洗脱分离过程中，不同溶质保留值随流动相强度改变的变化速度不同，弱保留组分在弱流动相里先流出，而强保留组分在强流动相里后流出，作为一级近似，可以认为，在梯度洗脱中所有组分有较小的 k' 差异和相似的谱带宽度。

三、柱条件的选择

目前反相色谱中的固定相大多为化学键合的各种非极性固定相，化学键合相是借助于化学反应的方法将有机分子以其价键连接在硅胶基质上，它在很大程度上减弱了原有硅胶表面的活性作用点的强度，消除了某些可能的催化活性位点，因而耐溶剂冲洗、热稳定性好、表面改性灵活，易获得重复性好的产品。

样品保留值主要由色谱柱的三个特性决定，即柱型、键合相浓度和柱表面积，保留值依不同键合相的性质而有所不同^[19-24]，并且通常随链长增加或键合相的疏水性增强而增大。例如， C_{18} 柱上的保留值通常略大于 C_8 柱上的保留值（在键合相密度等条件相同的情况下），对于非极性化合物通常遵循以下规则^[25,27]：

（弱）非键合硅胶 \ll 氨基 $\ll C_1$ (TMS) $\ll C_2 \ll C_3 \ll$ 苯基 $\ll C_8 \approx C_{18}$ （强）

溶质保留值与固定相表面积成正比，普通载体（8 nm 孔隙）的表面积约为 $250 \text{ m}^2 \cdot \text{g}^{-1}$ ，而 30 nm 孔隙的载体的表面积约为 $60 \text{ m}^2 \cdot \text{g}^{-1}$ ，当其他条件相同时，溶质在 30 nm 孔隙（低表面积）色谱柱上的保留值大约为 8 nm 孔隙色谱柱上保留值的 1/4 (60 : 250)，因此大孔隙（低表面积）氨基柱上的保留值大大低于小孔隙（高表面积） C_{18} 柱上的保留值，小孔隙柱，如

高保留的 C_{18} 柱或石墨炭粒,有利于强亲水样品洗脱。

柱型的改变不仅可以导致选择性变化^[21-23],也会改变样品中不同组分的保留值。但应注意,为改变选择性和分离效果,改变色谱柱通常不如改变流动相类型见效。因此只有在改变溶剂强度或溶剂选择性仍不能达到分离要求时,才会试改变柱类型。改变柱型后,必须重新进行流动相优化。一些研究表明,氨基、苯基、 C_8 、 C_{18} 等柱的选择性有很大差异,一般应优先考虑 C_8 、 C_{18} 柱,然后是氨基柱,再次是苯基柱。

当流动相的选择受到限制时,为了改善分离,有时必须改变柱型。例如,样品需要在较低的紫外波长下检测($\lambda < 210\text{ nm}$),流动相只能采用ACN和水,当样品的稳定性差或反应性极强时,可能也需要特殊的溶剂。相同类型柱,尽管两种柱长度和直径相同,如果来源不同,分离效果也可能不同(尤其对于离子样品)。这种选择性差别可能由所采用的硅胶、装填技术和键合类型等多种原因导致。环糊精(CD)键合柱填充用于反相色谱中,在分离对映异构体时非常有效^[24-26]。与正相HPLC相比,CD键合柱对分离异构体也是很好的选择。

第三节 离子交换色谱法

一、概 述

半个世纪前,随青交联聚苯乙烯的出现和发展,离子交换色谱(IEC)成为当时一种重要的分离工具,主要用于原子能工业中各种裂变产物和稀土元素的分离。近来,随着HPLC的飞速发展和各种新型离子交换材料的出现,高效离子交换色谱也同时得到了很大的发展。IEC除了分离原理和所使用的固定相、流动相、及检测器与HPLC有所不同之外,所采用的技术、

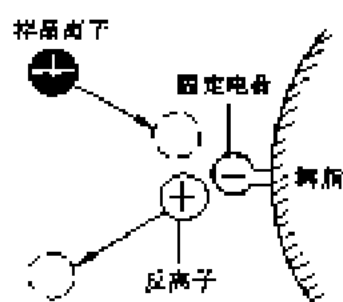


图 4-3 离子交换色谱中进行的离子交换过程^[27]

设备和方法与其他类型的液相色谱模式无本质区别。IEC已在化工、医药、生化、冶金、食品等领域获得了广泛的应用。特别是它在解决生物学中许多难于分离且十分重要的课题上所起了重大作用(如氨基酸、蛋白质、核酸组成的分离),受到了人们的普遍关注^[22-25]。

离子交换色谱的原理如图4-3所示,样品离子和离子交换树脂上带固定电荷的活性交换基团之间发生离子交换。由于不同样品离子对于离子交换树脂的亲合力不同,即相互作用强度不同,与树脂作用弱的溶质不易保留,首先从柱中被冲洗下来,而与树脂作用强的溶质在柱内保留时间较长,当样品中不同结构的组分通过交换柱时可以得到分离。

离子交换树脂上的交换基团可带正电荷(阳离子交换剂),也可带负电荷(阴离子交换剂),有阴离子交换色谱和阳离子交换色谱之分。

二、离子交换剂

离子交换剂是一类带有离子交换功能基团的固体微粒,其结构为在交联的高分子骨架上结合可解离的无机基团。在离子交换反应中,离子交换剂的本体结构不发生明显的变化,而由其带有的离子与外界同电性离子发生等物质量(以当量粒子数为基本单元)的离子交换。

离子交换剂的种类很多,大部分为有机物,如各种类型的树脂,也可以是无机物如沸石、微晶高岭土和许多不溶于水的无机盐(如含水磷酸铝、钨酸盐等),表2-10中已给出了一些重

要的有机离子交换剂的类型和性质。目前，应用最广泛的离子交换剂是以交联的有机聚合物为骨架，在聚合物链上带有离子交换功能基团的离子交换树脂。近年来随着 HPLC 中以硅胶为基质的各种键合型固定相的发展，以硅胶为基质的各种键合型离子交换剂的应用也越来越广，一般由薄壳型或全多孔球型微粒硅胶表面键合上各种离子交换基团制成，主要类型见表 1-6。

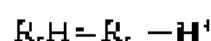
表 1-6 以硅胶为基质的键合型离子交换剂

阳离子交换剂		阴离子交换剂		两性离子交换剂
键合基团	类型	键合基团	类型	键合基团
SO_3H	强酸性	$-\text{CH}_2\text{N}(\text{CH}_3)_3\text{Cl}$	强碱性	$-\text{CH}_2(\text{COOH})-\text{CH}_2-\text{CH}_2-\text{NH}_2$
$-\text{COOH}$	弱酸性	$\text{CH}_3\text{N}(\text{C}_2\text{H}_5)_3\text{Cl}$	强碱性	
$-\text{CH}_2\text{CONH}_2$	弱酸性	—	强碱性	$\text{CH}_2(\text{OH})-\text{CH}_2-\text{NH}_2$
		$\text{CH}_3\text{N}(\text{CH}_3)_3\text{C}_2\text{H}_4\text{OCH}_2\text{Cl}$		
$-\text{CH}_2(\text{CH}_2\text{OH})_2\text{OH}$	弱酸性	$-\text{CH}_2\text{NHC}_2\text{H}_4\text{O}_2\text{Cl}$	强碱性	
		$\text{CH}_3\text{NHC}_2\text{H}_5$	中强碱性	

键合相离子交换剂具有以下优点：(1) 硅胶骨架十分坚硬，在有机溶剂中不发生明显的收缩或膨胀，能承受几 MPa 的压力，可以在较高的流速下进行快速分析；(2) 其孔径、表面积、交换容量等物理化学参数易控制；(3) 较有机高分子填料容易获得粒径 10 μm 以下窄粒度分布的微粒。

三、交联度和交换容量

聚苯乙烯-二乙烯基苯类离子交换树脂的交联度一般用存在于反应混合物中二乙烯基苯的质量百分数来表示。二乙烯基苯的百分含量高，交联度增加，从而增强了树脂颗粒的强度，并降低了它在流动相中的溶胀趋势，选择性增加，但却降低了颗粒的渗透性。交联度常注在商品名称之后用相应的数字来表示，如 Dowex 1-x8 则其交联度为 8%。交换容量是指离子交换树脂结合的可交换离子的量，通常以每克树脂可交换离子的量 (mmol) 表示，对于弱酸性或弱碱性的离子交换剂交换容量明显受 pH 值影响



式中， R_2 为阳离子交换剂， R_2 为阴离子交换剂。从上述方程可以看出，在较低 pH 值时，平衡向左移动，酸性（阳离子）树脂的解离受到抑制，交换容量减小，如图 4-4 中曲线 A 所示。同理，在较高 pH 值时，氢离子浓度减小， OH^- 浓度相应增加，平衡也向左移动，此时碱性离子交换树脂的解离受到抑制，从而也降低其交换容量，如图 4-4 中曲线 B 所示。因此，弱酸性阳离子交换树脂只有在 $\text{pH} > 8$ 时，弱碱性阴离子交换树脂只有在 $\text{pH} < 6$ 时才有实用性。

强碱性和强酸性离子交换剂的交换容量对 pH 值的依赖相应较少，如图 4-5 所示。对于强碱性的阴

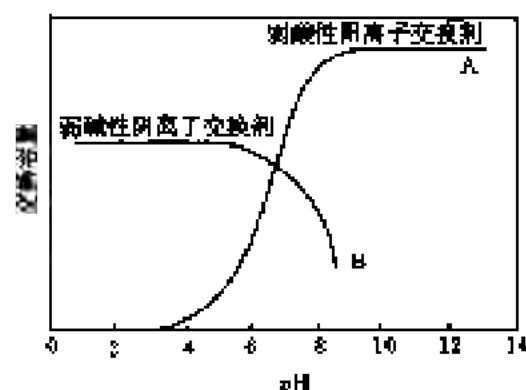


图 4-4 pH 对弱酸性和弱碱性离子交换剂交换容量的影响

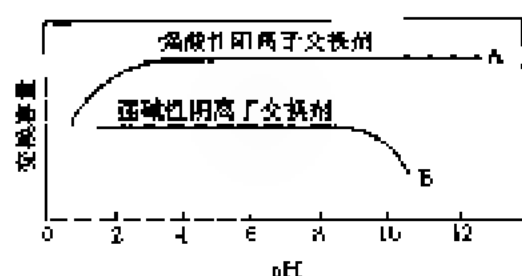


图 4-5 pH 对强酸性和强碱性离子交换剂交换容量的影响

离子交换剂， $\text{pH} < 10$ 时，可全部离子化，显示实用的交换容量，而对于强酸性阳离子交换剂，在 $\text{pH} < 2$ 时，即全部离子化，因而有实用的交换容量。可见这两类离子交换剂比弱酸性和弱碱性离子交换剂所能使用的 pH 值范围要宽得多，这就是离子交换色谱更普遍地使用强酸性和强碱性离子交换剂的主要原因。

各种离子交换剂的交换容量除受 pH 值的影响外，还取决于颗粒的类型及几何形状，制备条件和方

法、使用温度和环境等因素，多孔树脂的交换容量通常为 $(1 \sim 10) \text{ mmol} \cdot \text{g}^{-1}$ ，而薄膜型或表面多孔型离子交换剂的交换容量一般约为 $(5 \sim 50) \mu\text{mol} \cdot \text{g}^{-1}$ 。

四、离子交换色谱流动相

水是优良的溶剂，具有可电离性。大部分离子交换色谱皆在水溶液中进行，采用水的缓冲液可以提供离子平衡所需的反离子，并使流动相保持一定的离子强度和 pH 值。有时也加少量有机溶剂，如乙醇、甲醇、乙醇和四氢呋喃等，加入到含水系统中，以便改善样品的溶解性能，并提供独特的选择性变化。有机溶剂的加入还可减小某些样品组分的拖尾现象，从而改善分离。

在以水溶液为流动相的离子色谱中，缓冲液浓度直接影响到离子的平衡反应。与液固色谱、液液色谱中的情形类似，随缓冲液浓度的增加，样品组分的保留值降低。这是因为流动相中反离子浓度的增加，与样品离子争夺树脂上离子交换基团的能力相对增强，从而减少了可与样品组分进行离子交换作用的交换基团的数目。图 4-6 表示在强酸性阴离子交换树脂上分离食品添加剂时流动相中盐 (NaNO_3) 的浓度对溶质相对保留值的影响。

缓冲液强度的上限取决于流动相缓冲液中盐的溶解度，要避免使用接近饱和的缓冲液浓度，因为若产生盐的沉淀，会造成液相色谱柱系统的堵塞。缓冲液强度的下限由缓冲容量所决定，如果缓冲液太弱，则无法控制流动相的 pH 值。

由于不同的流动相离子与离子交换树脂相互作用的能力不同，流动相中的离子类型能对样品分子的保留产生显著的影响。在离子交换色谱中，广泛使用磷酸、乙酸、柠檬酸、硼酸和甲酸的钠盐、钾盐和铵盐。它们通常与其相应的酸相混合，用作碱性缓冲溶液，一般避免使用盐酸盐，因其对许多仪器的金属组件有腐蚀作用。

五、离子交换色谱的应用

离子交换色谱首先用于无机物的分离，尤其是核裂变产物的分离，目前利用 IEC 不仅可

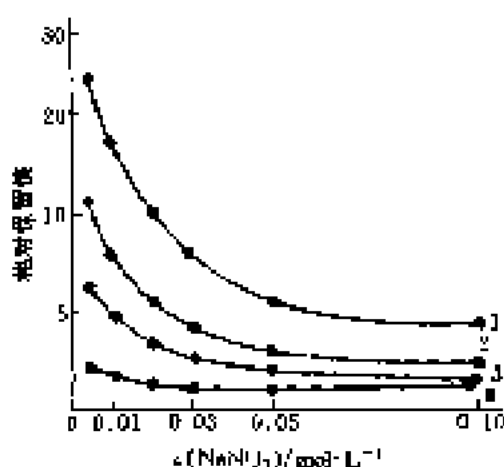


图 4-6 缓冲液浓度对溶质相对保留值的影响⁽²⁴⁾

1—乙基对羟基苯甲酸；2—甲基对羟基苯甲酸；
3—乙基香豆醛；4—山梨酸钾

以分离碱金属、碱土金属、稀土元素、镧系和锕系元素及许多重金属(如钍、铀、钍、镭、钋、铀、钼、金、银、铂、钨、钨、钨、钨、钨、钨等),而且许多无机和有机阴离子也可用其进行分析。随着各种新型、高效离子交换剂的研制成功和衍生化技术检测方法的发展,离子交换色谱在氨基酸、蛋白质、核糖核酸、有机胺、有机酸、糖类及药物等方面的应用越来越广。

和正相、反相 HPLC 发展的趋势相类似,近年来离子交换色谱所用的树脂颗粒变得越来越小,越来越均匀,以利于加速离子交换过程中的扩散和质量传递过程,提高柱效从而改进分离能力。

第四节 离子色谱法

一、概 述

离子型化合物的测定是经典分析化学的主要内容。对阳离子的分析已有一些快速而灵敏的分析方法,如原子吸收光谱、高频电感耦合等离子体发射光谱和 X 射线荧光分析等,而对阴离子的分析长期以来缺乏快速灵敏的方法,一直沿用经典的容量法、重量法和光度法等。

1975 年,Small 等人^[17]在离子交换色谱的基础上发展出离子色谱,同离子交换色谱相同,样品仍然由流动相带到离子交换树脂进行洗脱分离。为了消除流动相在电导检测器上产生的大大强于样品离子的电导响应,他们在检测器与分离柱之间加入一个填充电荷与分离柱相反的离子交换树脂抑制柱,从而使流动相变成低电导组分,以降低来自流动相的背景电导;另一方面又将样品离子转变成相应的酸或碱,增加其电导响应。对阴离子的分离抑制柱填充强酸性(H^+)阳离子交换树脂,而对阳离子的分离,填充常规强碱性(OH^-)阴离子交换树脂。这一分离分析方法被称为离子色谱法。离子色谱法具有快速、灵敏、选择性好和同时测定多组分的优点,其中很多是难以用其他方法测定的离子,尤其是阴离子。离子色谱分为两大类^[18]——化学抑制型离子色谱和非抑制型离子色谱。化学抑制型离子色谱又可分为高效离子色谱(简称 HPIC)、离子排斥色谱(简称 HPICE)和流动相离子色谱(简称 MPIC)。用于一种分离方式的柱填料树脂骨架大都为苯乙烯-二乙烯基苯的共聚物,但树脂的离子交换容量各不相同。HPIC 用低容量的离子交换树脂[(0.01~0.05) mmol·g⁻¹],HPICE 用高容量的树脂[(3~5) mmol·g⁻¹],MPIC 用不含离子交换基团的多孔树脂。三种分离方式基于不同的分离机理。HPIC 的分离机理主要是离子交换,HPICE 是利用离子排斥原理,而 MPIC 则主要利用吸附和离子对的形成。

HPIC 用于 F^- 、 Cl^- 、 CO_3^{2-} 、 SO_4^{2-} 、 Na^+ 、 NH_4^+ 、 K^+ 、 Mg^{2+} 、 Ca^{2+} 、 Fe^{3+} 、 Zn^{2+} 、 Ni^{2+} 等无机阴离子、阳离子、多价阴离子和碳水化合物的分离。HPICE 用于有机酸和氨基酸等的分离以及从有机物中分离无机组分。MPIC 主要用于疏水性阴、阳离子的分离以及金属络合物的分离。

二、离子色谱仪简介

离子色谱仪由流动相贮器、泵、进样阀、分离柱、抑制柱、电导检测器和数据处理等部分组成,见图 4-7。由于所使用的流动相都是碱性或酸性物质,因此其设备需要使用化学惰性材料,如玻璃、聚四氟乙烯等,以防止被腐蚀。商品化离子色谱仪大多采用全塑料系统和无脉冲双柱塞泵,用微处理器控制泵流量和色谱柱温度补偿,以及在 0~14 的整个 pH 值范围内性能稳定的柱填料和液体管道系统这是现代离子色谱仪的主要特点。金属泵和金属柱显然会

带来金属离子的污染,不能用于高精度($\mu\text{g} \cdot \text{L}^{-1}$ 数量级)金属离子的测定。为了能同时分离和测定阳离子和阴离子,较新先进的离子色谱仪,一般都采用双柱双流路、阀切换系统和抑制柱再生系统,并带有自动进样和梯度洗脱装置。采用低容量的离子树脂装填分离柱并且不采用抑制柱直接联结电导检测器,同时选用低电导的流动相,不仅能有效地洗脱各种阴、阳离子,而且背景电导较低。根据这个原理发展出了商品化的单柱离子色谱仪,以区别于带抑制柱的双柱离子色谱仪。

三、分 离 柱

离子色谱的最重要部件是分离柱,柱管采用化学惰性材料制成。高效柱和特殊性能分离柱的研制成功,是离子色谱迅速发展的关键。通常采用“表面薄壳型”的离子交换树脂为填料。一般是将聚苯乙烯-二乙烯基苯表面进行磺化处理,生成厚度为几十纳米的硫酸型官能团,作为阳离子交换柱的填料。由于颗粒中心由密实的聚合物分子构成,离子交换作用只在我

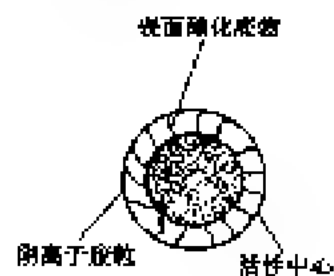
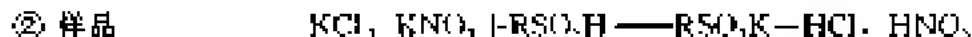
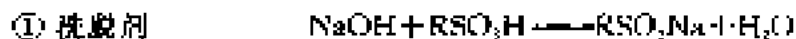


图 4-8 阴离子交换树脂的结构

表面进行,因此有较高的分离效率,其交换容量通常在 $0.02 \text{ mmol} \cdot \text{g}^{-1}$ 左右。而阴离子交换柱的填料通常是在上述表面磺化的薄壳型阳离子交换树脂上,采用物理或化学的方法(如凭借静电引力和范德华力)牢固地覆盖上一层粒度更小的阴离子乳胶微粒[粒径一般为 $(0.05 \sim 0.4) \mu\text{m}$]制成。这种树脂(图 4-8)实际上由内部的惰性核、磺化层和阴离子交换粒子层三层结构组成:表皮结构的树脂和低的交换容量使这种固定相能在相对低的洗脱剂浓度中分离各种阴离子,并在相对高的流速下进行操作,既可缩短分析时间,又有较长的柱使用寿命。

四、抑 制 柱

抑制柱分为三种类型,即填充型、中空纤维型和微膜型抑制器^[2]。抑制柱的作用为抑制洗脱剂的背景电导,并将样品离子转换成具有高电导的物质,并由高灵敏度电导检测的装置得到测试结果。阴离子分析用的抑制柱,一般采用强酸性的阳离子交换树脂制成。洗脱剂阴离子和样品阴离子与抑制柱上的氢离子进行交换,使其转换成具有高电导的对应酸,而碱性洗脱剂中的氢氧根离子交换成具有低电导的水,反应如下:



到达以水为背景电导的电导检测池中的样品形态为高度离子化的酸根,实际上除了 NaOH 以外,经常使用的洗脱剂是 NaHCO_3 缓冲溶液,在抑制柱中可以被转换为低电导的碳酸。抑制柱一般都采用具有高交换容量的树脂,以便有效地积聚洗脱剂中的阳离子而基本不影响分离柱上已经获得的分离结果。

洗脱剂和样品阴离子的聚集是连续进行的,直到抑制柱上活性中心全部被饱和。树脂完全处于 Na^+ 型(或 K^+ 型),这时需对抑制柱进行再生。一般用泵使 $0.125 \text{ mol} \cdot \text{L}^{-1}$ 的 H_2SO_4 溶液通过柱子,由于硫酸中的氢离子质量小,具有更高的活性, Na^+ 会从树脂上被顶替掉,使

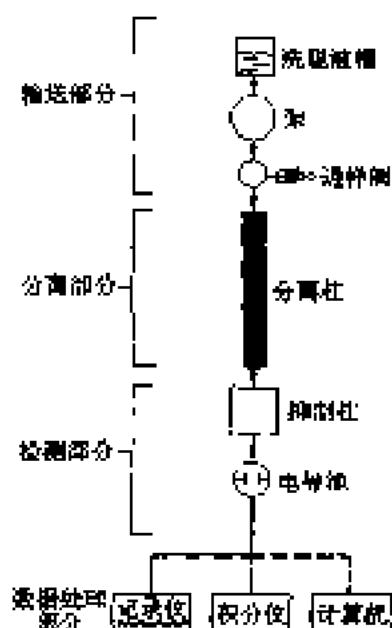


图 4-7 离子色谱装置流程图

它又重新转换为原来的氢离子型，完成再生。

阳离子分析用抑制柱，一般使用带 OH^- 交换基团的强碱性阴离子交换树脂，以使洗脱剂和样品中的阳离子与抑制柱的 OH^- 进行交换。例如用 HNO_3 作洗脱剂，在阳离子分离柱上分离 NaNO_3 和 KCl 的混合物时，在抑制柱上就会发生如下的反应：



由上两式可以看出，抑制柱将洗脱剂中具有高导电性的 H^+ 转换为低电导的水分子，而将样品中的阳离子转换为具有高电导性能的氢氧化物。需要注意的是，一些弱碱（如铵离子）的保留时间和峰高可能会受到抑制柱消耗程度的影响，即受树脂上的 OH^- 被中和程度的影响。实践证明，使用中等交联度的树脂（如 8% 交联度）比用高交联度的（如 12%）有利，前者可使上述的影响程度减小到最小，并且可以改进容易电离物质的分离效能。表 4-7 列出了在离子色谱中所经常使用的洗脱剂及其在抑制柱上进行的反应。

表 4-7 离子色谱使用的洗脱剂及相应的抑制反应^[2]

净 洗 剂	洗脱剂离子	抑制柱树脂	抑制反应的产物
阴离子分析			
NaOH	OH^-	R^+H^+	$\text{R}^+\text{Na}^- + \text{H}_2\text{O}$
苯酚钠	C_6O^-	R^+H^+	$\text{R}^+\text{Na}^- + \text{C}_6\text{OH}$
$\text{Na}_2\text{CO}_3, \text{NaHCO}_3$	$\text{CO}_3^{2-}/\text{HCO}_3^-$	R^+H^+	$\text{R}^+\text{Na}^- + \text{H}_2\text{CO}_3$
谷氨酸钠盐	glu^{2-}	R^+H^+	$\text{R}^+\text{Na}^- + \text{R-gluH}$
阳离子分析			
HCl	H^+	R^+OH^-	$\text{R}^+\text{Cl}^- + \text{H}_2\text{O}$
AgNO_3	Ag^+	R^+Cl^-	$\text{R}^+\text{NO}_3^- + \text{AgCl} \downarrow$
$\text{Cu}(\text{NO}_3)_2$	Cu^{2+}	RNH_2	$\text{RNH}_2 \cdot \text{Cu}(\text{NO}_3)_2$
吡啶· HCl	PyH^+	R^+OH^-	$\text{R}^+\text{Cl}^- + \text{Py} + \text{H}_2\text{O}$
苯胺· HCl	NH_2^+	R^+OH^-	$\text{R}^+\text{Cl}^- + \text{NH}_2 + \text{H}_2\text{O}$
对苯二胺· HCl	$p\text{-PDAH}_2^+$	R^+OH^-	$\text{R}^+\text{Cl}^- + p\text{-PDA} + \text{H}_2\text{O}$
间苯二胺· HCl	$m\text{-PDAH}_2^+$	R^+OH^-	$\text{R}^+\text{Cl}^- + m\text{-PDA} + \text{H}_2\text{O}$

注：glu——谷氨酸盐，Py——吡啶，p——苯环，PDA——苯二胺。

五、检 测 器

离子色谱检测器分为电化学检测器和光学检测器两大类。前者主要包括电导检测器和安培检测器两种，其中电导检测器最为常用。后者包括紫外-可见和荧光检测器等，一般可以用正相或反相液相色谱的光学检测器在这里皆可以采用。

电导检测器可直接联于分离柱后，测定流过检测池流体的导电率，通过调整流动相性能，这种检测器可用于大多数离子样品的检测。当采用低电导率的有机酸溶液作为流动相时，一般样品离子的导电率大于流动相，可以得到正常色谱峰。反之，如果样品离子电导率小于流动相本底电导率，样品洗出为负色谱峰。样品离子浓度与电导率差成正比。

安培检测器有单电位安培检测器和三电位安培检测器^[4]两种。单电位安培检测器可以测定 $\mu\text{g} \cdot \text{L}^{-1}$ 级的电化学活性成分，如 CN^- 、 S^{2-} 等。三电位安培检测器也称脉冲安培检测器，除工作电极外，另加两个清洗电极，以避免电极中毒。可测定采用单电位安培检测器不能测定的某些样品，如糖类和醇类等。

光学检测器如紫外-可见检测器与普通液相色谱中所采用的相应检测器无明显区别。对于

无紫外吸收或紫外吸收较弱的样品离子，可以在分离柱后引入薄膜反应器，使被测离子在进入检测器之前先在薄膜反应器中与显色剂发生显色反应。薄膜反应器具有特殊结构，能够使显色剂与样品离子充分混合并使显色反应迅速完成。这种检测器主要用于过渡金属、重金属和稀有元素的测定。

荧光检测器主要用于可以产生荧光的样品离子的测定。一般通过衍生化的方法使样品与荧光试剂反应生成衍生物，进而进行检测。衍生化可以在柱前，也可以在柱后完成。这种方法可以使检测灵敏度有较大提高，常用于痕量氨基酸样品的测定。

第五节 离子对色谱法

一、概 述

离子对色谱是将与被分析离子带相反电荷的离子（称配对离子或反离子）加到流动相中，与溶质离子结合形成弱极性离子对，此离子对在水（流动相）中不易离解而迅速转移到有机相（键合相）中，从而在固定相和流动相间进行分配，最终实现分离的一种色谱模式。

现代离子对色谱法从 70 年代初期发展起来，主要可分成两种类型^[1]——正相离子对色谱法和反相离子对色谱法。在正相离子对色谱中，含有离子对试剂的水溶液被涂渍到硅胶表面和孔隙中，流动相是与水不相溶的有机溶剂。早期的反相离子对色谱法选用的固定相为有机溶剂涂渍到载体表面上的非键合型固定相，流动相为极性很强的包含有离子对试剂的含水有机溶液。70 年代中期起，各种液相色谱法都开始采用化学键合固定相。早期发展起来的反相和正相离子对色谱法由于固定相涂流过于麻烦且稳定性差，已被逐步淘汰。现在最常用的是反相离子对色谱法，选用的固定相绝大部分是化学键合型的非极性表面固定相（如 C_{18} 和 C_8 ）。反相离子对色谱法兼有反相液相色谱和离子色谱的特点，它保持了反相液相色谱操作简便、分离柱效高等固有的优点，而且能同时分离离子性和中性化合物的混合样品。可以说离子对色谱法是离子色谱和反相色谱的拓展和延伸，因此，在一些离子色谱书籍中，这一技术被称之为流动相离子色谱法。离子对色谱的流程和基本设备与最常用的反相色谱法的设备完全相同，操作过程也与反相色谱法相同：选用的检测器可以是反相色谱中常用的紫外、荧光等检测器，也可选用离子色谱法用的抑制电导、电化学等检测器。反相离子对色谱法与反相色谱法不同之处只是在反相色谱采用的流动相中加入了适当的离子对试剂。

应当指出的是离子对色谱法是为了适应实际样品、尤其是生化和医药样品分离分析的需要而发展起来的，它与其他液相色谱技术各有所长，相互补充。离子对色谱法在生化、医药、食品、化工和环境保护等领域获得越来越广泛的应用。

二、色谱柱的选择

对于一般的离子对色谱分离系统，高键含量 $10\ \mu\text{m}C_{18}$ 载体的填充柱或 $5\ \mu\text{m}ODS\ C_{18}$ 载体填充柱为首选分离柱，此外，高键含量的 C_8 柱也可作为离子对色谱分离柱。 C_{18} 柱尺寸在 $250\ \text{mm} \times 4.5\ \text{mm}$ 左右比较适宜。

同在反相色谱中对色谱柱的讨论，尽管至今从理论上还很难阐明不同厂家和批号固定相的差异对分离效果的具体影响，但已有许多证据说明填料的键合量及键合碳链的构型对离子对色谱的分离选择性可以产生影响。因此，一般情况下，对于特定样品，根据文献的分离条件很难得到重复的结果，即便是在同一个实验室中，在同型号的不同色谱柱上结果也可能差

别很大。

三、离子对试剂的选择

离子对试剂的种类和浓度对分离效果都有较大的影响。离子对试剂种类的选择依赖于被分离样品的性质。表 2-4 已给出了离子对试剂选择的一般原则，表 2-4 也列出了被分离样品的种类与所选用的离子对试剂种类匹配的参考方案。

被分离溶质是强酸或强碱，离子对试剂可以是强碱、弱碱或强酸、弱酸，如被分离的溶质是弱酸或弱碱，则选用的离子对试剂必须是强碱或强酸。对于溶质结构性质相差较大的混合样品，离子对试剂种类的选择并没有特殊要求，离子对试剂的水性的差别可以通过调节离子对试剂浓度和有机溶剂浓度获得满意的分离效果，如被分离物质的结构性质很相似，离子对试剂的选择也可能对分离选择性发生作用。如十二烷基硫酸盐和十二烷基磺酸盐对儿茶酚胺的分离表现出不同的选择性。这种差别至今很难从理论上获得完善的解释，只有通过实验比较进行摸索。对于亲水性较强的离子对试剂，浓度在 $(4 \sim 10) \text{ mmol} \cdot \text{L}^{-1}$ 范围比较适宜，对疏水性较强的离子对试剂，浓度在 $(10 \sim 40) \text{ mmol} \cdot \text{L}^{-1}$ 范围比较适宜。

四、有机溶剂的选择

虽然有机溶剂疏水性对保留值有较大的影响，但溶剂类型（甲酸、乙腈、四氢呋喃）的改变一般不用来改变分离选择性。多数情况下，改变溶剂类型只能产生峰间距的较小改变，但在一些特殊的研究中，通过溶剂类型改变也可能会得到选择性的较大改变。

有机溶剂是调节溶质在离子对色谱中保留值的重要参数。在反相离子对色谱中，有机溶剂对保留值的影响主要通过改变溶质与流动相间的相互作用和离子对试剂在固定相表面的吸附量来实现，因此有机溶剂种类的差别对保留值的影响可以由有机溶剂浓度的改变来补偿。表 4-8 给出了烷基磺酸盐阴离子离子对液相色谱中的溶剂强度之间的关系，例如，若 20% 甲醇可获得较好的保留值范围，则 8% 乙腈或 4% THF 应具有相近的运行时间。

表 4-8 烷基磺酸盐离子对液相色谱中的溶剂强度关系^①

甲 醇	乙 腈	THF	甲 醇	乙 腈	THF
0	0	0	50	52	50
10	1	1	70	39	(40)
20	3	1	80	(46)	(51)
40	13	6	90	(55)	(64)
50	19	14	100	(60)	(78)
50	25	21			

① 表中数据为以有机溶剂在水溶液中所占的体积百分数。

五、无机盐浓度的影响

无机盐浓度的增大将降低溶质在反相离子对色谱中的保留值，这主要由与溶质电荷相同的离子与溶质竞争吸附或竞争与离子对试剂配对，来减弱溶质与离子对试剂的相互作用而产生。盐浓度对保留值的影响一般比有机溶剂和离子对试剂的影响小。在其他条件恒定时，改变盐的种类对保留值也有一定影响。无机盐浓度控制在 $(10 \sim 50) \text{ mmol} \cdot \text{L}^{-1}$ 比较合适。有研究表明，无机盐浓度梯度冲洗可以改善复杂样品的分离度。

六、pH 值的影响

对于酸性溶质, $\text{pH} \geq \text{pK}_a$ 时, 溶质将以离子状态存在, 此时, 离子对试剂对保留值发挥非常重要的作用, 而当 $\text{pK}_a \leq \text{pH}$ 时, 溶质将以中性状态存在, 离子对试剂对保留值几乎无作用, pH 值对有机碱保留值的影响与对有机酸保留值的影响恰好相反。与反相色谱中 pH 值的影响相似, pH 值是影响保留值和选择性的最重要的因素之一。因此, 在反相离子对色谱中, 选择合适的缓冲液, 使被分离物质以所需要的状态存在是非常必要的, 值得注意的是, 在特定 pH 值下, 某些被分离溶质没有完全解离, 酸碱平衡的慢动力学过程可能引起峰的分裂和展宽。

七、柱温的选择

随着柱温升高, 反相离子对色谱中的保留值下降, 但柱温对保留值的影响没有像有机溶剂、离子对试剂和 pH 值以及盐浓度那样明显。在一般情况下, 室温就可以满足离子对色谱的分离要求, 必须注意的是柱温对某些样品的分离条件优化很有帮助。

八、氨基改性剂

对于碱性样品分离中选择性的改变, 可在 IEC 流动相中加入氨基改性剂, 这时离子对试剂将成为阴离子 (如烷基磷酸盐), 氨基改性剂与烷基磷酸盐容易形成离子对, 因此会中和其效果, 显然, 加入氨基改性剂或降低离子对试剂浓度可同样地改变选择性。但是还没有实例说明通过使用氨基改性剂实现对选择性的控制。

第六节 凝胶色谱法

一、概 述

凝胶色谱又称尺寸排阻色谱或分子筛色谱, 它是按溶质分子大小进行分离的一种色谱技术。溶质流出凝胶柱的速率取决于其分子的大小和凝胶阻碍作用的差异, 比载体基质孔径大的样品分子不能进入孔内, 被排阻, 很快地从柱子空隙中被洗脱出来; 比载体基质孔小的分子进入孔内, 由于流程长, 移动速度慢, 因而停留时间较长, 在正常情况下, 溶质按分子由大到小递减的次序被洗脱出来。凝胶色谱按流动相类型的不同可以分为两类, 当流动相为有机溶剂时称凝胶渗透色谱 (GPC); 当流动相为水溶液时, 称为凝胶过滤色谱 (GFC)。

凝胶色谱作为一种快速的分子量和分子量分布测定方法, 十几年来一直是一个非常活跃的研究课题^[32]。无论在凝胶制备、仪器技术性能、数据处理或理论研究上都取得较大进展。它的应用范围逐步从生物化学、高分子化学、无机化学向其他领域渗透, 已经成为化学领域内一种重要的分离手段。

二、凝胶色谱仪

1965 年第一台商品化凝胶色谱仪问世后, 各种型号的 GPC 仪器及两用型液相色谱仪陆续出现。随着高灵敏度检测器及新型微粒凝胶的采用, 凝胶色谱仪也正向高效凝胶色谱过渡。图 4-9 说明了一般凝胶色谱仪的运行流程。

从贮液瓶 (大约 10 L) 出来的溶剂经加热式除气器除去溶解的气体后进入柱塞泵, 由泵压出的溶剂再经一个烧结的不锈钢过滤器, 通过控制阀分别进入参比流路和样品流路。在参

比流路中溶剂经参比柱，示差折光检测器的参比池进入废液瓶。在样品流路中，先经六通进样阀将配好的试样送入色谱柱，样品经色谱柱分离后经示差折光检测器将浓度检测信号输入记录系统。体积标记器每充装一定体积（3 ml 左右）虹吸一次，以光电信号输入记录系统。在流出曲线上作一相应记录，最终得到反映被测量高聚物分子量分布情况的凝胶色谱图。

三、凝胶的选择

凝胶是凝胶色谱的核心，是产生分离作用的基础。进行凝胶色谱实验的重要一环是选择和搭配具有不同孔径的色谱性能良好的凝胶。根据凝胶材料的不同，可分为有机和无机凝胶两类。不同凝胶在装柱方法、使用性能上各有差异。在实际工作中，可以根据凝胶的色谱指标，即渗透极限和分离范围进行选择。

生物大分子分离的传统方法多采用多糖聚合物凝胶（GPC）填料，这种填料只能在低压、慢速操作条件下使用。目前在很大程度上已被微孔径交联亲水硅胶（如交联琼脂糖 Superoac6、12）、乙烯共聚物（如 TSK-Gel PW）和亲水性键合硅胶（如 Zorbax GF250、450）取代。填料具有一定的孔径尺寸分布，随孔径大小的差别，分离分子量范围在 1 万到 200 万之间。对于实验室分析或小规模制备，平均粒度在（3~13） μm 的填料，一般有良好的柱效和分离能力，但对于大规模制备和纯化，考虑到成本和渗透性，可选用较粗的粒度。

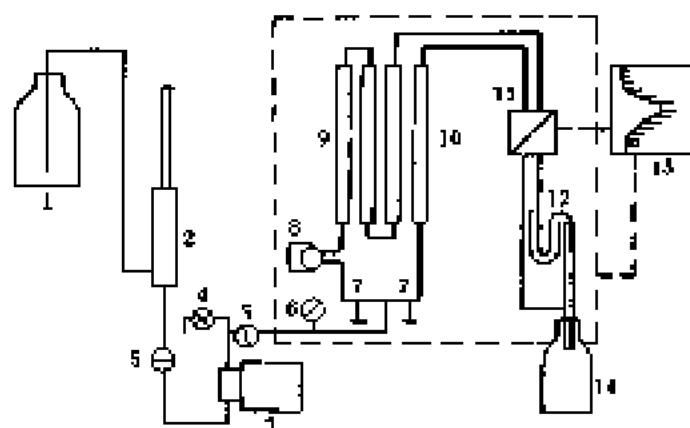


图 4-9 GPC 流程图

1—贮液瓶；2—除气器；3—输液泵；4—输液阀；5—过滤器；
6—压力表；7—调节阀；8—六通进样阀；9—样品瓶；
10—参比柱；11—检测器；12—体积标记器；
13—记录仪；14—废液瓶

四、溶剂的选择

在凝胶色谱中洗脱剂的组成并不直接影响分离度。完全不带电荷的物质也可以用蒸馏水作洗脱剂。带电功能团的洗脱可用 Tris-HCl、磷酸钠等缓冲液体系。例如，对 Sephadex 和 Sepharose 选用的洗脱剂的离子强度至少为 0.02，对 Sephacryl HR 是 0.15。为防止离子与凝胶基体的相互作用，可以选用 NaCl 进行调节。应注意，在低离子强度的溶液中，蛋白质可能发生沉淀。如果制备的产物最终需进行冻干等处理，则可采用乙酸铵、碳酸氢铵或乙二胺乙酸盐等挥发性缓冲液。

在凝胶过滤色谱中，首先应考虑洗脱剂对试样分子的影响。解释实验结果时，应把凝胶类型、性质、缓冲液的 pH 和离子组成、溶解介质或表面活性剂的影响等问题一起考虑进去。此外，所选用溶剂宜尽可能不含能腐蚀金属组件的氧离子等。溶剂应与检测器相匹配。可供凝胶色谱选用的流动相有水、乙醇、二甲基甲酰胺、二氧六环、二甲基亚砜、丙酮、氯仿、二氯乙烷、二氯甲烷、四氢呋喃、正庚烷、乙酸乙酯和甲苯等。应尽可能采用纯度高、毒性低、溶解性能好、粘度低并已知粘度方程式中 K 和 α 参数的溶剂。一般凝胶色谱常用的溶剂及性质列于表 4-9 中。

使用过的溶剂必须经过蒸馏方可再用。新蒸馏后的溶剂应不含水分及过氧化物。处理好

的溶剂放在阴凉处保存,防止因强光照射而产生过氧化物。

表 4-9 凝胶色谱常用溶剂

溶 剂	使用温度/℃	适用聚合物体系
四氢呋喃	室温~45	一般聚合物样品(聚苯乙烯、聚苯乙烯)、聚丙烯酸、芳香族聚氨酯、环氧树脂、橡胶
苯 酚	室温	树脂、四氢呋喃聚合物
四甲苯	20~135	聚酰胺、聚酰胺、聚酰胺、涤纶、尼龙
邻二氯苯	135	聚苯乙烯、聚乙烯、聚丙烯
四氢苯	135	聚酰胺
二甲基甲酰胺	室温~85	聚丙烯、纤维、聚酰胺
二氧甲酮		主要适用于聚酰胺
二氧甲酮		聚丙烯、四氢苯、聚酰胺、聚酰胺
三氧乙烷		主要适用于聚丙烯
甲 苯	室温~70	弹性体和橡胶

五、凝胶色谱的应用

由于凝胶色谱可以分离从小分子起直到分子量达 10^6 以上的高分子,原则上所有能形成溶液的高聚物都可采用凝胶色谱法测定其分子量分布和各种平均分子量。其应用也深入到高分子链组成和相应物化性质的研究,用途很广^[10-12],凝胶色谱在高聚物的生产及研究工作中的应用大致可分为五个方面。

(1) 在高聚物材料生产过程中的应用 包括聚合反应机理的研究以及聚合条件对产物性质的影响和控制。

(2) 在高聚物材料的加工及使用过程中的应用 研究分子量及分子量分布与加工、使用性能的关系,助剂在加工和使用过程中的作用及老化机理的研究。

(3) 作为分离和分析的工具 主要应用在石油及表面活性剂和涂料工业方面。

(4) 表征多孔膜材料的形态结构 用截留分子量法得出表示膜渗透性能的分子量曲线,研究膜孔分布。

第七节 亲和色谱法

一、概 述

亲和色谱法是一种利用生物大分子间专一的亲和力进行分离、分析和纯化的液相色谱技术。生物分子之间,如酶与底物、酶与抑制剂、酶与变构效应剂、酶与辅酶、激素与细胞受体、维生素与结合蛋白、基因与核酸、抗体与抗原、外源凝集素与红细胞表面的抗原等,它们相互之间均有专一的特殊亲和力,能形成可逆络合物。亲和色谱就是利用这种可逆络合物结合与解离的原理而发展起来的分离、分析和纯化技术^[18,20]。

亲和色谱填料由基质、伸长臂和具有特殊亲和力的配基组成。将酶、抗原或激素等具有特殊亲和力的生物大分子作为配基,通过伸长臂(又称间隔臂,spacer arms)键合在基质上,这种固定化的配基只能和具有生物专一亲和的生物大分子产生相互吸附而使后者被保留,没有特异吸附的分子则不被保留而先流出色谱柱,然后,改变流动相组成或 pH 值,将保留在柱上的生物大分子洗脱下来,达到分离或纯化的目的。分离过程示意图见图 4-10。

通过亲和色谱可以纯化酶、抗体、抗原、结合蛋白、辅助蛋白和抑制蛋白，可以分离细胞和病毒、变性蛋白和化学改性蛋白，核酸和核苷以及微惰低浓度的蛋白质溶液（如血清结合物和转输蛋白）等，也可以作为分离分析方法^[17-20]。由此可见，亲和色谱在生命科学的研究中起着重要的作用。利用亲和色谱分离某一生物大分子首先必须寻找能被该分子识别和传递结合的生物专一性物质（配基），然后把配基共价结合到载体上，使配基固定化，最后把有固定配基的载体填充到柱内，做成亲和柱。

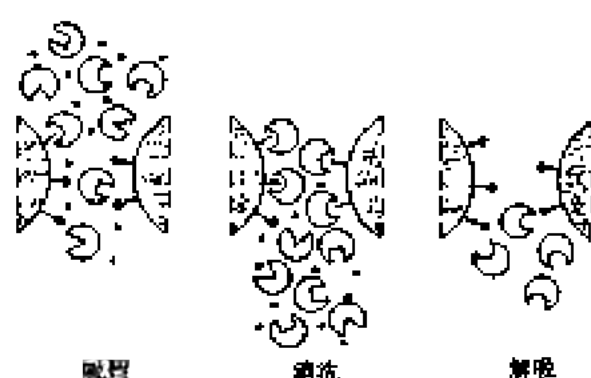


图 4-10 亲和色谱分离过程示意图

二、基质的选择

选择合适的基质是亲和色谱能否成功完成分离目的的基础，理想的基质应具备若干条件：第一，有大的比表面，多孔网状结构，易于大分子渗透；第二，有一定硬度，颗粒均匀；第三，有相当数量可供偶联反应的基团；第四，有足够的化学稳定性，能经受生吸附、洗脱和再生；第五，没有特异吸附和非特异吸附作用；第六，不受微生物的侵蚀，不降解；第七，亲水但不溶于水。表 4-10 给出了常用载体基质适用的 pH 值范围。

表 4-10 载体基质适用的 pH 值范围

材 料	pH 值范围	材 料	pH 值范围
交联琼脂糖	2~14	羟乙基琼脂内酯凝胶	2~12
纤维素	1~14	环氧乙烷内酯凝胶	2~12
葡聚糖	2~14	苯乙烯-二乙烯基苯聚合物	1~12
硅胶	<6	聚丙烯腈	1~14
琼 脂	<8	N-丙烯基-2-氨基-2-羟甲基-1,3-内二醇	1~11
聚丙烯酰胺	1~10	聚四氢乙烷	pH 无影响

三、配体的选择

配体必须对分离和纯化对象具有专一的亲和力。配体种类繁多，如苯基硼酸、外源凝集素、染料、蛋白质和单克隆抗体等，在亲和色谱中可用作配体的大分子及对应的可纯化的蛋白质见表 4-11。更具体的配体物质及应用见表 4-12。

表 4-11 亲和配体和纯化的蛋白质

固 定 化 配 体	能 纯 化 的 蛋 白 质
二价和三价金属离子	具有丰富配基族，色氨酸和亮氨酸残基的蛋白质
多糖类	糖蛋白、细胞
脂 类	卵磷脂
反应性染料	大部分蛋白质，包括能开链结合蛋白质
核酸	核苷酸、能合配环其他核苷结合蛋白质
氨基酸（如羧基型、氨基型）	蛋白质
核苷酸（除了腺嘌呤和尿嘧啶）	酶
蛋白质 A、蛋白 G	免疫球蛋白
毒素、药物	抗体
抗 体	抗 体
抗 酶	抗 体
植物血凝凝集素	凝血蛋白
阿莫西林硼酸	凝血蛋白

表 4-12 亲和配体及其应用

配 体	应用对象
辅 音	核苷激酶、脱氢酶
腺苷-5-二磷酸(ADP)	肌球蛋白、己糖激酶、腺苷二磷酸酶
腺苷-5-三磷酸(ATP)	同工酶、磷酸化酶、氧化型别酶 I、脱氢酶
辅酶 A(COA)	COA 转移酶和乙酰 COA 酶
氧化型辅酶(NADP ⁺)	转氨酶
脱氢核糖核酸-纤维蛋白、牛磺腺脱氢核糖核酸	脱氢核糖核酸结合物、核膜外切酶、天然脱氢核糖核酸结合蛋白
脱氢核糖核酸-纤维蛋白(取自小牛脑膜脱氢核糖核酸)	核膜外切酶、脱氢核糖核酸、脱氢核糖核酸结合蛋白、几种脱氢核糖核酸和寡核苷酸
脱氢核糖核酸-琼脂糖	哺乳动物病毒、白血病毒、核苷酸序列、14-多核苷酸酶、脱氢核糖核酸酶
脱氢核糖核酸-琼脂糖	核苷酸聚合系统中模板及核苷酸聚合的诱导
生物素	抗生物素蛋白、乙酰-转氨 A、脱氢酶
维生素 B ₁₂	维生素 B ₁₂ 结合蛋白、核糖核酸还原酶、内源性丁
核黄素	蛋白核黄素蛋白、核黄素酶、羟乙酮脱氢酶氧化酶
叶酸及叶酸类似物	叶酸结合蛋白、几种二氢叶酸还原酶
血红蛋白	血清蛋白、血液结合物
胰平酶	胰平脱氢酶、同工酶
焦磷酸磺胺素(TPP)	大肠杆菌磺胺素结合蛋白、大肠杆菌内脱氢酶氧化酶
L-天门冬氨酸	天冬氨酸酶、天冬氨酸酶
L-酒氨酸	白纤蛋白溶酶原、核糖体核糖核酸分级分离
L-米西氨酸	r 球蛋白、凝血酶、半丙氨酸转移核糖核酸注基酶
L-色氨酸	酪氨酸酶、脱氢酶 A
L-酪氨酸	酪氨酸酶、转移核糖核酸合成酶

四、洗脱条件选择

生物大分子的分离与纯化大多采用柱色谱法，即将亲和填料装填在色谱柱内，将待分离的溶质在一定条件下通过柱子。为了获得好的分离效果，要注意选择合适的缓冲液及其 pH 值、合适的离子强度和操作温度。在洗脱前，先将试样与填料平衡一段时间。由于固定化配体和生物大分子之间达到吸附平衡的速率是很慢的，因此，给予足够的平衡时间，不仅可提高特异吸附效果，而且有利于改善分离度。否则，有可能使被分离组分与杂蛋白质一起流出。亲和填料吸附能力随温度增加而减少，因此利用不同的温度进行吸附和洗脱，有利于蛋白质的纯化。

当样品中蛋白质浓度较高时，如果流速很快，则互补酶会和杂蛋白一起流出；相反，样品中蛋白质浓度较低时，虽然流速很快，互补酶仍保留在柱上。样品体积根据它在填料上的亲和力的不同而不同。生物大分子与配体亲和力强时，选择体积要求不太严格，反之，进样体积应小些。

五、亲和色谱的洗脱方法

1. 特异性洗脱法

选用通用的配体填料，对性质相似的生物大分子有相似的亲和性，因此给分离带来了困难，需要应用特异性洗脱。凡是能与配体竞争的酶的游离配体，都十分强烈地影响结合酶的洗脱，游离配体浓度若与配体浓度相同，则可直接从亲和填料上洗脱结合酶。洗脱酶的浓度视酶与配体亲和力的大小而定，亲和力大，则浓度高，反之亦然。通常选择对纯化酶有高的

亲和力，但其结构与填料上的配体不同的配体来洗脱，使非特异性洗脱减到最低程度。

2. 非特异性洗脱法

非特异性洗脱主要受缓冲液的 pH 值、离子强度、温度和介电常数控制。洗脱液最好是既能改变蛋白质的构象以降低蛋白质与配体的亲和力，同时也不损害蛋白质和吸附剂的稳定性。实验表明，只需改变上述任何一种物理量，即可改变洗脱力。如仅改变 pH 值，就可以使吸附蛋白质洗脱：将 pH 值从 7.8 降到 3.0，可将胰蛋白酶从豆胰蛋白酶抑制剂上洗脱；甘氨酸-盐酸缓冲液 (pH2.5) 可解离抗原抗体复合物；从亲和力很强的填料上解离蛋白质时需要比较强的酸或比较强的碱，若加入蛋白质的变性剂盐酸胍，则利于蛋白质的解离；同时改变洗脱液的离子强度使复合物解吸，也是一种十分方便的洗脱方法。

第八节 超临界流体色谱

一、概 述

超临界流体色谱是以超临界流体做流动相的色谱过程，超临界流体是指物质在高于其临界点，即高于其临界温度和临界压力时的一种物态。这种形态的物质兼有气体的低粘度、液体的高密度以及介于气液之间的扩散系数等特征。理论上讲，用超临界流体做流动相的色谱过程，既可分析气相色谱不适应的高沸点、低挥发性样品，又有比高效液相色谱有更快的分析速度和更高的柱效率。超临界流体色谱可以选用气相色谱或高效液相色谱用的检测器，与质谱、傅里叶变换红外光谱等在线联用也较方便^[22-26,41]。

图 4-11 是以二氧化碳做流动相的超临界流体色谱流程，高压二氧化碳的压力一般为 (6.0~7.0) MPa，由气源(1)经净化管(2)（净化管内装已活化的硅胶、活性炭等吸附剂以去除其中有机物）净化后经开关阀(3)进入高压泵(4)，并由高压泵压缩至所需压力，然后经热平衡柱(5)到进样阀(6)，样品由进样阀导入系统，部分经分流阀(7)分流，另一部分经色谱柱(8)分离后，经限流器(9)进入检测器(10)，整个系统由微处理器(11)控制。微处理器控制柱温、检测器温度、流动相的压力或密度，同时采集检测器的信号进行定性、定量结果计算，并由显示打印装置(12)给出色谱图和定性、定量报告。

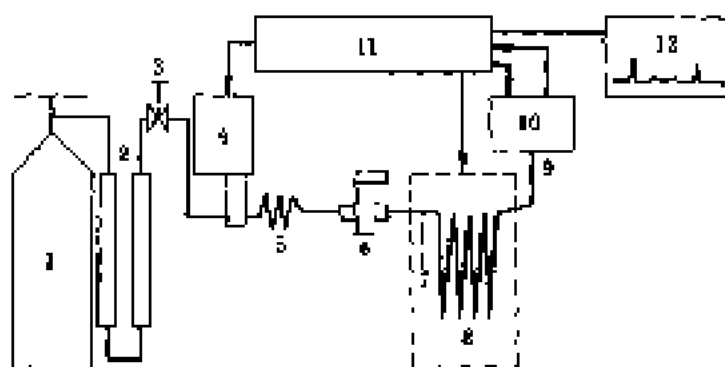


图 4-11 二氧化碳做流动相的超临界流体色谱流程图

1—气源；2—净化管；3—开关阀；4—高压泵；5—热平衡柱；6—进样阀；7—分流阀；
8—色谱柱；9—限流器；10—检测器；11—微处理器；12—打印装置

二、超临界流体色谱的流动相

在超临界色谱的实验工作中，至今被最广泛使用的流动相是二氧化碳，它的临界参数比

较合适,在临界压力下 20°C 左右时是液体,柱温(40~50)°C 时已超过了临界温度,它的临界压力、临界密度也较合适,在 40.0 MPa 时即可达到高密度,从而有较大的溶解能力,它容易纯化、成本低,无毒,不燃烧,不爆炸,纯态时不腐蚀,化学稳定性和惰性都较好,与不同检测方法匹配的性能也较好,是个较理想的弱极性流动相。其他的非极性、弱极性流动相还有烃类、氟氯烃、六氟化硫、氦气、氧化亚氮等,氟氯烃流体对多环芳烃分离有较好的选择性,选用六氟化硫流体并匹配傅里叶变换红外光谱检测器可补充二氧化碳流体红外光谱的信息。氧化亚氮流体的临界参数和二氧化碳十分接近,因此和二氧化碳流体相比,其特点不明显,氦气是单分子气体,无红外吸收,所以用傅里叶变换红外光谱做检测器较理想,氦气的致命缺点是价格太贵。超临界氮是极性流体,对极性物质是好的流动相,胺类、氨基酸、二肽、三肽、单糖、二糖、核苷等用氮做流动相时也能很快地流出,但氮气是化学性质活泼的组分、有毒、可燃、腐蚀、爆炸,而且对固定相的要求十分苛刻,目前仅有正辛基和正壬基的聚硅氧烷柱能在氮流体条件下使用。因此全面地衡量,氮流体的性能也是不理想的。为了寻找一个更理想的极性较强的流动相,人们就采用在二氧化碳流体中增加第二组分,即改性剂的办法,来改变二氧化碳流体的极性。

使用改性剂是为了提高流动相的极性,改善它对极性样品的溶解性能,扩大二氧化碳流体对样品的适用范围。从这个意义上讲,改性剂都是极性组分。作为一种改性剂,除了要求它有较强的极性外,还要求与二氧化碳的互溶性好,在实验条件下性质稳定,改性剂及二氧化碳流体添加改性剂后与检测器匹配的一些情况见表 4-13。最常用的改性剂是甲醇、脂肪醇等,实验表明脂肪醇类改性剂,长链比短链效果好,直链比支链作用强。改性剂的含量一般为千分之几到百分之十几,取决于实验要求以及流体和改性剂的互溶性。

表 4-13 二氧化碳流体添加改性剂后与检测器的匹配情况

改 性 剂	检 测 方 法	改 性 剂	检 测 方 法
甲 醇 ^①	UV, MS, FID	乙 醇	UV, MS
脂肪醇	UV, MS	二甲甲胺	UV, MS
四氢呋喃	UV, MS	甲 胺	UV, MS, FID
2-甲氧基乙醇	UV	二硫化碳	UV, MS, FID
醇类醇	UV	水	UV, MS, FID
二甲亚砜	UV		

① 流体中甲醇含量小于 1% 时可用 FID 测。

二氧化碳流体中添加极性改性剂后效果非常明显,它至少起到增加流体极性,提高对极性溶质的溶解度及对柱子活化等三方面的作用。超临界流体在不同的压力下密度不同,溶解度参数不同,因而溶剂化能力也不相同,能够溶解、分离不同的样品。利用超临界流体的这一特性,在色谱过程中将流动相的密度或压力按一定程序变化,以使不同的组分在不同密度下获得最佳的分离。因为流动相密度低了,难以使重组分流出色,反之密度太高又会使轻组分流出太快,不能分离,最好是让不同组分在不同密度下流出,这就是程序升压或程序升密度的目的。由于流体的压力变化可改变流体的密度,但流体的密度和压力间一般并无线性关系,而密度和溶解度参数成正比,而且密度是保留值的独立变数,因此程序地改变流体的密度比程序地改变流体的压力更为合适。

三、超临界流体色谱柱与固定相

在超临界流体色谱中主要使用细内径毛细管填充柱,内径为 100 μm 或 50 μm ,填充固定

相粒度为 (3~10) μm 。细内径毛细管柱主要是交联柱, 固定相大多为甲基聚硅氧烷 (如 OV-1, OV-101, DB-1, SPB-1, SB-Methvl-100)、苯基聚硅氧烷 (如 DB-5, SB-phenyl 与 OV-17)、二苯基聚硅氧烷 (如 SB-biphenyl-25, SB-biphenyl-30)、带乙烯基的聚硅氧烷 (如 SB-33, SE-54)、正辛基、正壬基硅氧烷 (如 SB-octyl-50, SB-nonyl-50, PEG-20M)、二酰胺类交联手性固定相等也常用。

四、检测器和检测方法

超临界流体色谱原则上既可利用高效液相色谱的检测器和检测方法, 又可采用气相色谱的检测手段。这是超临界流体色谱和其他色谱方法相比的又一点, 在流出物检测手段的选择方面, 特别是对高沸点、难挥发、可燃烧的样品的检测, 它比高效液相色谱要灵活有利得多, 如它可选择通用性的高灵敏的氢火焰离子化检测器(FID), 这种检测器不仅有定量校正方便、线性范围宽、灵敏度比高效液相色谱中常用的通用性折光检测器高得多 (约高 10^3 倍以上) 等优点, 而且操作非常稳定。另外, 超临界流体色谱还可选择高选择性的氮磷检测器(NPD)、火焰光度检测器(FPD)、硫化学发光检测器(SCD)、电子捕获检测器(ECD) 及紫外检测器(UV) 等, 用于有选择的检测含氮、含磷、含硫、电负性以及紫外吸收敏感的样品。在实际工作中, 氢火焰离子化检测器和紫外检测器是使用得最多的两种检测器, 前者在常压下工作, 后者则是在高压下工作。

恰当地选择不同的流体 (包括改性后的流体) 与不同的检测方法, 使其达到一个最合适的匹配, 可使检测方法发挥最佳的性能。表 4-14 给出了这种匹配关系。

表 4-14 超临界流体色谱用检测器的性能^[10]

样 品	UV		FID		ECD	
	检测量/ μg	线 形	检测量/ μg	线 形	检测量/ μg	线 形
苯	20	$\approx 10^2$	50	$\approx 10^3$	0.27	$\approx 10^3$
吡	200		50	/	0.30	
正十六烷			50	/		
正二十四烷			50	/		

参 考 文 献

1. Flanagan R J, Storey G C A, Bhambra R K, et al. J Chromatogr, 1982, 247, 25
2. Flanagan R J, Jane J. J Chromatogr, 1985, 355, 175
3. Jane J, McKinnon A, Flanagan R J. J Chromatogr, 1985, 359, 161
4. Lougmen H, Van Muerster HV, Beynen J H, et al. J Chromatogr, 1986, 372, 261
5. Galkiewicz W, Kuczynski J, Markowski W. J Chromatogr A, 1991, 666, 85
6. Snyder L R, Kirkland J J, Glajch J L. Practical HPLC Method Development, Second Edition. New York: John Wiley & Sons, Inc., 1997, 13, 275
7. 卢佩章, 戴朝政. 色谱理论基础. 北京: 科学出版社, 1989
8. Soszynski E. Anal Chem, 1962, 41, 179
9. Salotto A W, Weiser E L, Coffey K P, et al. J Chromatogr, 1990, 493, 55
10. Lubke M, le Quec J-L, Barron D. J Chromatogr A, 1995, 690, 41
11. 韩金明, 王传德. 生物大分子分离和制备. 第二版. 北京: 科学出版社, 1996
12. Valko K, Snyder L R, Glajch J L. J Chromatogr A, 1993, 656, 501
13. Schoenmaker P J, Edler H A H, de Galan J. J Chromatogr, 1992, 185, 179

- 14 Tanaka K, Goodell H, Karger D L. *J Chromatogr.* 1973; 158: 139.
- 15 Glajch I L, Snyder L R. Computer-Assisted Method Development For High-Performance Liquid Chromatography. Amsterdam: Elsevier, 1990.
- 16 Snyder L R, Carr P W, Russo S C. *J Chromatogr A.* 1993; 651: 537.
- 17 West S L. *J Chromatogr Sci.* 1989; 27: 3.
- 18 Andle P E, Goldberg A P, Snyder L R. *J Chromatogr.* 1987; 421: 1.
- 19 Andle P E, Snyder L R. *Lab Mag.* 1989; 2: 690.
- 20 Harelbe A, Ballat H A H, de Groot J. *J Chromatogr.* 1989; 464: 325.
- 21 Rukstalyer S R, Melnick R, Roggendorf E. *J Chromatogr.* 1977; 142: 354.
- 22 Kirkland J F, Boyer B E, Destefano J J. *Amer Lab.* 1984; 36: 36.
- 23 Glajch I L, Gluckman J C, Chudnovsky J G, et al. *J Chromatogr.* 1985; 238: 23.
- 24 Marziani F C, Sisco W R. *J Chromatogr.* 1989; 455: 423.
- 25 卢有民, 卢晓文. 分析化学, 1996; 26: 593.
- 26 王段强, 百振华, 程福野. 高效液相色谱法. 北京: 中国石化出版社, 1992. 83, 140.
- 27 Smith H, Stevens C S, Bennett W C. *Anal Chem.* 1975; 47: 1801.
- 28 牛世芬, 刘厚景. 离子色谱. 北京: 科学出版社, 1986.
- 29 周凤德, 沈玉峰. 分析化学, 1991; 19: 1122.
- 30 Smith Jr P C, Chang R C. *The Practice of Ion Chromatography*. New York: Wiley, 1982.
- 31 邹以波, 张玉亭, 卢佩章. 离子对高效液相色谱法. 福州: 河南科学技术出版社, 1994; 31.
- 32 施良和. 凝胶色谱法. 北京: 科学出版社, 1980.
- 33 Cooper A R, et al. *Sep Sci Technol.* 1979; 14: 571.
- 34 Parath J. *Pure Appl Chem.* 1983; 6: 33.
- 35 Gaylin V P, James H I. *Anal Chem.* 1978; 50(1), 21R.
- 36 Zhang Yukun, Zou Hanz, Lu Peichang, et al. *Chinese Journal of Chemistry*, 1991; 9: 44.
- 37 Uversky V N. *Biochem.* 1995; 32: 13293.
- 38 Lowe C R. *An Introduction To Affinity Chromatography*. Elsevier North Holland, Biomed Press, 1979; 1.
- 39 孙毓庆, 王强松. 现代色谱法及其在医药中的应用. 北京: 人民卫生出版社, 1996; 162.
- 40 周凤德等. 气相色谱新技术. 北京: 科学出版社, 1994. 231.
- 41 孙传经. 毛细管色谱法. 北京: 化学工业出版社, 1986.

第五章 定性定量方法

液相色谱法作为一种重要的分离手段，色谱柱可以将复杂的多组分混合物很好分离，这种能力是任何其他分析方法所无法比拟的，对经色谱柱分离后组分的定性及定量鉴定，是色谱工作者完成分析工作的一个重要环节。

液相色谱法包括多种模式，可以笼统地分为柱色谱和平面色谱（如薄层色谱）两类。本章介绍几种柱色谱中的常用定性定量方法，对于薄层色谱的定性定量问题，将在相应的部分讨论。

第一节 液相色谱定性方法

由于液相色谱过程中影响溶质迁移的因素较多，同一组分在不同色谱条件下的保留值可能相差很大，即便在相同的操作条件下，同一组分在不同色谱柱上的保留也可能有很大差别，就流动相组成影响而言，不同流动相组成有时甚至会出现溶质出峰次序颠倒的现象。因此液相色谱与气相色谱相比，定性的难度要更大些。对液相色谱中组分定性方法的研究一直是广大色谱工作者努力探求的一项重要工作。这里只介绍几种最常用的定性方法，对于一些复杂的定性研究将不涉及，读者可参阅有关专著^[1-3]。

一、利用已知标准样品定性

利用标准样品对未知化合物定性是最常用的液相色谱定性方法，该方法的原理与气相色谱法中相同。每一种化合物在特定的色谱条件下（流动相组成、色谱柱、柱温等不变）的保留值具有特征性，如果在相同的色谱条件下被测化合物与标样的保留值一致，就可以初步认为被测化合物与标样相同。若流动相组成经多次改变后，被测化合物的保留值均与标准样的保留值相一致，就能够进一步证明被测化合物与标样为同一化合物。

二、利用检测器的选择性定性

不同种类液相色谱检测器均有其独特的性能，如示差折光检测器是一种通用性的检测器，但是灵敏度一般较低，而紫外、荧光及电化学检测器则为选择性检测器，灵敏度相对比较高。将一定量的未知化合物引入柱后并联或串联着的几种检测器（两种或两种以上），视其响应情况可以初步判别此未知化合物的类别。以烃类及其衍生物为例，在紫外光谱区 $[(90\sim 400)\text{ nm}]$ 饱和烷烃的吸收很小，而以共轭双键结合的分子，如芳香烃等，有较强的吸收，分子中苯环的数量越多，吸收愈强。所以对于包含几种烃类组分的混合物样品，将色谱柱中的流出物同时引入并联的两种检测器，或按顺序依次引入串联的两种检测器，可以通过对比所得到的两张色谱图，由各组分在不同检测器上的相对峰高而判别它们所属化合物的类型。图 5-1 是两张由三组分样品经色谱柱分离后在并联的紫外和示差折光检测器上所得的色谱图。

比较图 5-1(a) 和 (b)，可以对样品中的三个组分的类别作出初步判定。峰 1 很可能是带有芳环的化合物，峰 2 则不大可能带有芳环，而峰 3 以现有结果还不能确定为何类

化合物。总之，比较各组分在不同检测器上的色谱图相对响应值，可粗略地推测其结构或否定某种结构。

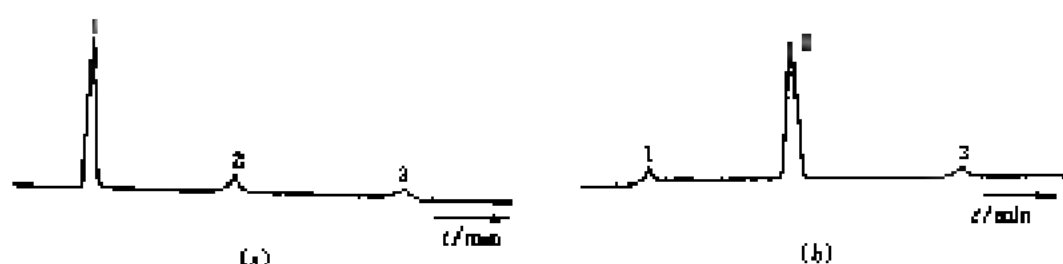


图 5-1 双检测器定性

(a) 紫外检测器；(b) 示兼可见光检测器

固定相：Nucosorb-CN-

流动相： $10\text{ mmol} \cdot \text{L}^{-1}$ 乙酸水溶液加 0.1 g mmol^{-1} 1-(4-Dimethyl pent-1-ynyl)-

硅胶；1—辛胺；2—辛酰胺；3—辛酰胺

紫外检测波长：292 nm

三、利用紫外检测器全波长扫描功能定性

紫外检测器是液相色谱中使用最广泛的一种检测器。全波长扫描紫外检测器可以根据被测化合物的紫外光谱图提供一些有价值的定性信息。传统的方法是：在色谱图上某组分的色谱峰极大值出现时，即最高浓度谱带进入检测器时，通过停泵等手段，使组分在检测池中滞留，然后对检测器中的组分进行全波长（180~800 nm）扫描，得到该组分的紫外可见光谱图；再取可能的标准样品按同样方法处理，对比两者光谱图即能鉴别该组分是否与标准品相问。对于某些有特征紫外光谱图的化合物，也可以通过对照标准谱图的方法来识别未知化合物。

带有双通道的多波长紫外检测器中，每个通道可选择多种不同波长（一般由 210~230

nm），组分进入检测器后，选择两束特定波长的光同时照射到该组分分子上，在双笔记录仪上即能同时记录下该组分在这两个波长下的吸收率，得到对应的两张色谱图，如图 5-2 所示。

在一定的色谱条件下，每种化合物在不同波长下的吸收率比值不变，因此当组分进入检测器后，可得到在一组不同波长下的吸收率比值。例如 $A_{220\text{nm}}/A_{230\text{nm}}$ 、 $A_{220\text{nm}}/A_{250\text{nm}}$ 、 $A_{230\text{nm}}/A_{250\text{nm}}$ 等，其中 $A_{220\text{nm}}$ 表示该化合物在 220 nm 波长下的吸收率，即色谱图的峰面积。取某些纯品标样在相同的色谱条件下进行实验，作出不同波长下特定的吸收率比值，并将样品组分与标准化合物的光谱图相比较，可对组分结构作出肯定或否定的定性结论。

此外，通过比较色谱峰各点的吸收率比值，也可以鉴别色谱峰内是否夹杂有另外的化合物，即检查色谱峰的纯度。

二极管阵列紫外检测器对于液相色谱定性结果相对于上面的两种方法有更大的优势。这

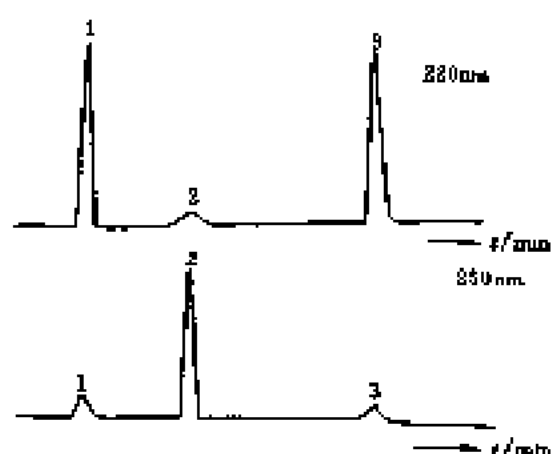


图 5-2 采用不同紫外波长得到的色谱图
条件同图 5-1

种检测器一般可以在很短的时间内完成一次从(200~800) nm 波长范围的全扫描,并将扫描结果存入计算机。当样品从色谱柱流出进入检测器时,在每一个采样点皆可以得到一张全波长范围扫描的紫外光谱图,结合时间坐标,即可以获得包括有色谱信号、时间、波长的三维色光谱图。

图 5-3 是一组化合物的色谱光谱图。通过对比色谱峰上各点的光谱图可以判断峰的纯度,而与标准品的紫外光谱图或标准谱图相比较,也可以进一步确认该未知物的结构。

图 5-3 利用改变流动相组成时检测

组分的保留值变化规律定性

溶质在液相色谱法中的保留值随流动相组成的变化及固定相的改变而改变,不同溶质的变化规律也不相同。为了使样品中的多种溶质组分得到很好的分离,可以通过改变流动相组成等参数的手段实现。类似地,也可以根据某一化合物在特定条件下的保留值变化规律反过来推测得到其结构特征的信息。由于液相色谱系统比较复杂,溶质保留值变化规律一般受三个或三个以上因素的协同制约,因此给这种提供定性信息方法的实践带来很大困难。近年来,很多色谱工作者对于通过流动相组成与化合物保留值之间的关系来定性的工作作了很多有益的尝试,得到了一些在局部范围内有参考价值的关系式,但离真正在实际工作中应用还有一段距离。这里只对其中较为成熟的两种方法加以简单介绍。

(一) 反相色谱中的 α 、 c 指数定性

理论研究表明,在以硅胶为固定相的反相色谱中,溶质保留值与流动相组成关系式中的系数能够反映溶质的结构特征,因此可用于溶质的辅助定性。卢佩章等^[1]给出了 450 种化合物在 C_{18} 柱上不同条件下的 α 、 c 指数,并提出了不同柱系统、不同冲洗剂浓度组成时 α 、 c 指数之间的换算方法。在相同的色谱条件下,如果样品中某一组分的 α 、 c 指数与一已知标样相同,即认定两者为同一种化合物。但这种方法的应用目前还存在很大的局限性。

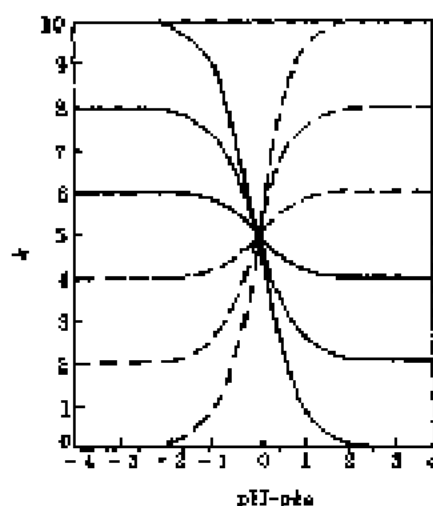


图 5-4 一元有机酸(实线)碱(虚线)的容量因子与流动相 pH-pKa 关系曲线

化规律,即能判断其为有机酸类或有机碱类,以及酸碱性的强弱。

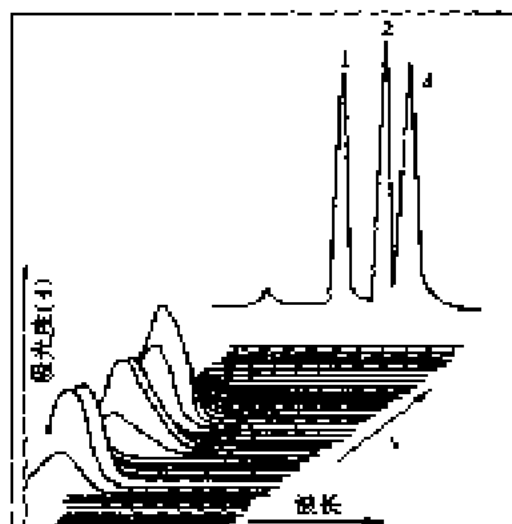


图 5-5 由紫外光电二极管阵列检测器得到的典型色谱光谱图

1—叶麝香; 2—菖蒲根; 3—虎骨酒

(二) 有机酸碱的 pH-pKa 规律定性

在反相色谱系统中,改变流动相 pH 值的条件下,不同类的可解离有机酸类、有机碱类等溶质的保留值变化有其独特的规律,如图 5-4 所示。

对于某一种有机酸类溶质,其解离常数 pK_a 为常数,流动相中氢离子浓度变化后,对有机酸的解离起到调解作用,因此溶质的容量因子随之变化。同理,对于有机碱类溶质,容量因子随流动相 pH 值的变化与有机酸正相反。因此,对于一个未知化合物而言,测定其容量因子随流动相 pH 值的变化规律,

五、碳数规律定性

容量因子是溶质的一种结构型物性参数。即溶质容量因子的对数与同系物碳数之间存在良好的线性关系。

$$\ln k' = a + b n \quad (5-1)$$

式中, a 、 b 为常数, n 为同系物的碳数。对于包含有同系物溶质的样品, 在已知部分同系物在色谱图中位置的情况下, 可以根据碳数规律对同系物的未知部分进行定性。

六、联合定性

收集从色谱柱中流出的各样品组分, 再用其他化学或物理方法定性的方法在液相色谱中经常采用。液相色谱仪常采用光学检测器, 这样被测化合物经过检测器后不会遭受到破坏, 可以很方便地被收集并进一步通过红外光谱、质谱、核磁共振等其他方法作定性鉴定。液相色谱与其他分析方法的联用技术也属于此类。

第二节 液相色谱定量方法

样品中的混合组分经色谱柱分离后, 依次进入检测器, 因此可以精确测定每一组分的含量。相对而言, 色谱法对于样品的定量较其定性具有更大的优势。

一定量样品被注入色谱柱后由流动相携带着在固定相与流动相之间进行多次分配完成分离, 最后离开色谱柱, 并进入检测器而产生响应。由于组分在柱内运行过程中受传质、扩散等因素的影响, 离开色谱柱时, 浓度随时间变化的规律以某种形式的分布曲线在记录仪上被记录下来, 进入检测器的物质量等于它在流动相中浓度对时间的积分值。这样溶质的量 m_i 与色谱峰面积之间的关系可以写成

$$m_i = \frac{a_2}{a_1} \cdot \frac{F_i}{S_i} \cdot A_i \quad (5-2)$$

由于在检测器响应值的线性范围以内, 纸速 a_1 (cm/min)、记录器灵敏度 a_2 (mV · cm⁻¹)、流动相流速 F_i (ml · min⁻¹) 和记录器灵敏度 S_i 皆为常数, 因此进入检测器的溶质量与色谱峰面积 A_i 之间存在正比例关系。这是色谱法利用被测组分色谱峰面积进行定量的基础。

一、峰面积的测定

色谱法中是利用被测组分的色谱峰面积进行定量, 因此准确测量色谱峰面积是色谱定量工作中的必要前提。随着色谱技术的发展, 峰面积的测量方法也在不断得到改进。

1. 峰高乘峰半宽法

对于对称峰形, 可按下列公式计算峰面积

$$A = 1.065 w_{0.5} h \quad (5-3)$$

式中, A 为色谱峰面积; $w_{0.5}$ 为半高峰宽; h 为峰高; 系数 1.065 为色谱峰与三角形面积之间的校正系数。

按公式 (5-3) 计算峰面积时, 要特别注意峰宽测量的准确性。对于峰宽小于 2 mm 的色谱峰, 经常采用放慢记录纸纸速的方法加大峰宽以减小误差。当峰宽不因进样量变化时, 也可以用峰高代替峰面积作定量计算。

直接按公式 (5-3) 计算不对称峰形的峰面积误差较大, 可采用面积仪测出峰面积, 或将

峰面积印在已知面积与质量关系的纸上，剪下峰形，称其质量而计算得到相应的峰面积。

2. 积分仪法

积分仪可以将检测器给出的微电流或电压信号进行积分，并将峰面积打印出来。

3. 微处理机法

80年代后生产的液相色谱仪大多带有微处理机，微处理机不仅能将检测器给出的微电流或微电压信号经处理后打印出峰面积，而且能根据所给指令按外标法或内标法，根据标样和各组分的峰面积，直接打印出各组分的含量。

4. 色谱工作站方法

色谱工作站不仅具有微处理机的功能，而且具有对基线波动进行修正、判别重叠峰等功能，可以给出更精确的峰面积数据。

二、定量计算

(一) 外标法

外标法是以被测组分的纯品（或已知其含量的标样）作为标准品进行对比定量的一种方法。取一定量标准品（即一定量已知浓度的溶液）在给定的色谱条件下注入色谱柱，由检测器测定其响应值（峰面积或峰高），在一定浓度范围内，标样量与响应值之间一般有很好的正比例关系

$$A_0 = f_c c_0 V_0 \quad (5-3)$$

式中， A_0 为峰面积； V_0 为注入的标样溶液体积； c_0 为标样溶液浓度；系数 f_c 可由实验测得。

在完全相同的色谱条件下，如果未知样品的进样量为 V_1 ，实验测得的与标样相同组分的峰面积为 A_1 ，根据式 (5-3)，由已知的 A_0 、 V_0 和 c_0 等即能求出样品中该种组分的相对浓度 c_1

$$c_1 = \frac{A_1 V_0}{A_0 V_1} = \frac{A_1}{f_c} \quad (5-5)$$

如果检测器的灵敏度不很稳定，测定样品期间需要经常注入标样以得到不同时间的 f_c 值。

外标法由于方法操作和计算都比较简单，因此在液相色谱样品定量中经常被采用。但是这种方法对分析样品的整个操作过程中操作条件的稳定性要求较高，如检测器灵敏度、流动相流速组成等不能有较大变化，为了使溶液浓度保持恒定，也要求标样溶液及被测溶液被较好地密封，并且每次进样体积要有好的重复性，否则将会影响到定量结果的准确性。

(二) 内标法

外标法的几点要求有时难以实现，为了得到准确的定量结果，必须采用另外的有效定量方法。在同一次实验操作中，被测物的质量响应值与内标物的质量响应值的比值不随进样体积或操作期间所配制的溶液浓度的变化而变化，根据这一原理能够通过内标法得到未知样品较准确的定量结果。

内标法定量首先要选择与被测物保留值相近的内标物，当样品中有几个被测组分时，则要求内标物的保留值介于几种被测组分之间，应避免与其他组分峰重叠。内标法定量的具体操作为：第一步，先用分析天平准确称取被测组分 a 的标样 W_s ，再称取内标物 W_i ，并加入一定量的溶剂将其溶解，如此得到的溶液作为混合标样使用。取一定体积混合标样注入色谱柱，得到的被测组分及内标物色谱峰的峰面积分别为 A_s 和 A_i ，那么相对质量响应值

$$S_s = \frac{A_s/W_s}{A_i/W_i} \quad (5-6)$$

注意：这里 W_a 、 W_i 分别是混合标样溶液中所含有的总的被测组分 a 及内标物的绝对质量。

第二步，称取含 a 组分的被测物 W'_a ，另准确称取内标物 W'_i ，将两者混合并用一定量溶剂配制成混合溶液。取一定体积混合样品注入色谱柱，可得被测组分及内标物的色谱峰面积分别为 A'_a 和 A'_i ，然后进一步算出被测样品中目标组分响应值

$$S_a = \frac{A'_a / W'_a}{A'_i / W'_i} \quad (5-7)$$

即

$$W'_a = \frac{A'_a W'_i}{A'_i f_a} \quad (5-8)$$

组分 a 在被测样品中的含量（质量分数 w ）

$$w = \frac{W'_a}{W} \times 100\% \quad (5-9)$$

如果被测样品中除 a 组分外，还有 b 、 c 、 d 等其他组分，均可按此方法，先分别求得每种组分的响应值，然后再进一步求得各组分在样品中的含量。

内标法定量操作过程中将样品和内标物混在一起注入色谱柱，进样体积不重复对峰面积所造成的影响，在计算过程中均被抵消，因此只要混合溶液中被测组分与内标物量的比值恒定，溶剂体积的变化不会影响定量结果。由此可见，内标法较外标法准确度高，但是操作和计算均较复杂。

外标法和内标法是液相色谱中常用的两种定量方法。至于其他方法，如气相色谱中，用氢火焰离子化检测器时常采用的归一化法等，在液相色谱中一般不被采用。这是因为在液相色谱中所使用的检测器均为紫外、荧光检测器等选择性检测器，它们对不同结构化合物的响应值差别较大，有时甚至能相差几个数量级，如此采用归一化的方法定量显然是不可行的。

参 考 文 献

- 1 卢佩章，张玉奎，梁建新. 高效液相色谱法及其专度系统. 沈阳：辽宁科学技术出版社，1992：429~550
- 2 卢佩章，梁朝政，张祥凤. 色谱理论教程. 第二版. 北京：科学出版社，1997：281~319
- 3 高鸿. 分析化学前沿. 北京：科学出版社，1991：145~152
- 4 邹汉法，张玉奎，卢佩章. 液相色谱法. 北京：科学出版社，1998：326~371
- 5 邹汉法，张玉奎，卢佩章. 关于对高效液相色谱法. 郑州：河南科学技术出版社，1994：176~210
- 6 李培春. 分析化学手册. 第二版. 第五分册. 气相色谱分析. 北京：化学工业出版社，1999：226~282
- 7 王彼得，高俊华，郝道刚. 高效液相色谱法. 北京：中国石化出版社，1992：224~232

第六章 柱液相色谱仪器系统

高效液相色谱仪是实现高效液相色谱分析的仪器设备,其基本单元组成如图 6-1 所示,高效液相色谱系统至少应包括输液系统、进样器、分离柱、检测器和数据处理系统这几部分。

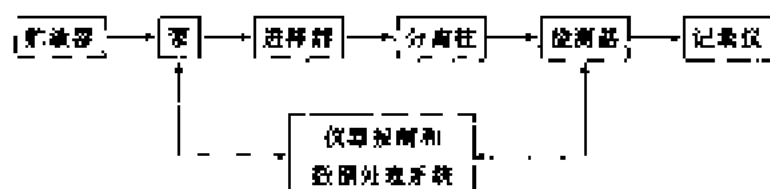


图 6-1 高效液相色谱仪的组成

第一节 输液系统

输液系统包括贮液及脱气装置、高压输液泵和梯度洗脱装置。

一、贮液及脱气装置

贮液装置用于存储足够量的、符合 HPLC 要求的流动相。贮液装置应备下述条件:

- ① 足够的容积;
- ② 与流动相不发生化学反应;
- ③ 便于贮存的流动相脱气;
- ④ 与其他部件联接方便。

溶剂贮存器一般是以不锈钢、玻璃或聚四氟乙烯衬里的容器,容积为(0.5~2)L。流动相放入贮液装置前应经过严格的过滤,置于贮液装置中的吸液导管需装孔径为 10 μ m 左右的过滤器。这种过滤器一般由不锈钢烧结材料制作。流动相进入高压泵前必须脱气,否则流动相通过柱子时其中的气泡受高压而压缩,流出柱子到检测器时,会因压力降至常压而将气泡释放出来,造成基线不稳,检测器噪声增大,使仪器不能正常工作,在梯度淋洗时这种情况尤为突出。常用的脱气方法有如下几种。

(1) 低压脱气法 电磁搅拌、水泵抽真空,可同时加热或向溶剂吹氮。但由于抽真空或加热过程中可能引起流动相中低沸点溶剂的挥发而影响其组成,所以此法不适于二元以上溶剂组成的流动相脱气。

(2) 吹气脱气法 向溶剂中吹入氮气等小分子惰性气体,以使溶解在流动相中的空气等脱出。

(3) 超声波脱气法 将溶剂瓶置于超声波清洗槽中,以水为介质超声脱气,一般 500ml 溶液均需超声 (20~30) min 方可达到脱气目的。此法方便,不影响溶剂组成,适用于各种溶剂。使用此法时应注意避免溶剂瓶与超声波清洗槽底或壁接触,以免瓶子破裂。

二、高压输液泵

高效液相色谱柱填料颗粒较小,通过柱子的流动相受到的流动阻力较大,因此需用高压泵,以便向柱子提供流量稳定,重现性好的流动相。对高压输液泵的要求包括以下几点。

① 流量稳定, 输出的流动相基本无脉冲, 流量精度和重复性优于 0.3%。

② 流量范围宽, 分析泵一般在 $(0.1 \sim 10) \text{ ml} \cdot \text{min}^{-1}$ 范围内连续可调。为适应微柱技术发展, 现已有最小体积流速为 $0.01 \text{ ml} \cdot \text{min}^{-1}$ 的高压输液泵。制备型仪器所用高压输液泵最大流速达 $100 \text{ ml} \cdot \text{min}^{-1}$ 。

③ 输出压力高, 密封性能好, 最高输出压力应达 $(40 \sim 50) \text{ MPa}$ 。

④ 泵死体积小, 有利于流动相的更换。岛津公司的 LC-10AD 双柱塞往复泵并联泵的死腔体积仅为 $10 \mu\text{l}$, 单向阀的体积仅为 $2 \mu\text{l}$ 。

⑤ 耐腐蚀性好。在分析生物样品时流动相常用腐蚀性较大的缓冲液, 这对泵材料的耐腐蚀性要求很高。使用腐蚀性流动相后应立即用其他溶剂冲洗泵腔, 避免腐蚀性的流动相长期留存于泵内。最近, 一种新型柱塞泵的柱塞后附有清洗装置, 可自动冲洗。

⑥ 具有梯度洗脱功能。

高压泵按输液性能可分为恒压泵和恒流泵两类, 按机械结构又可分为液压隔膜泵、气动放大泵、螺旋注射泵和往复柱塞泵 4 种, 前两种为恒压泵, 后两种为恒流泵。恒压泵可以输出压力稳定不变的流动相。在一般的系统中, 由于系统阻力不变, 恒压亦可达到恒流的效果。但当系统阻力变化时, 输入压力虽然不变, 流量却可随阻力而变化。恒流泵则无论柱系统阻力如何变化都可保证其流量基本不变。

在色谱实际操作中, 柱系统的阻力由于某些原因可能有所变化 (例如填料装填不均匀; 由高压装柱造成的柱系统阻力的改变等), 因此恒流泵比恒压泵更优越。然而在泵和柱系统所允许的最大压力下操作时, 恒压泵较方便且安全。因此有些恒流泵亦带有恒压输液的功能, 以满足多种需要。表 6-1 列出了 4 种高压输液泵的特点, 图 6-2~图 6-5 分别为 4 种泵的结构示意图。

表 6-1 四种高压输液泵的特点^[1]

泵 类 型	优 点	缺 点
液压隔膜泵	制备工艺要求低, 高压密封易于解决	排吸液切换时压力波动较大
气动放大泵	所需零件, 维修时压力波动无影响	流量调节不方便, 缺少用梯型清洗, 在柱路阻力变化时, 流量亦随之改变, 目前多用于输液
螺旋注射泵 (双电动机驱动泵)	这种泵流量稳定, 温度波动小	间断式供液, 更换流动相时, 清洗不方便, 采用双缸结构解决了流量波动的问题, 但清洗困难仍无法克服, 目前多用于微量泵包膜
往复柱塞泵	泵缸容积恒定, 柱塞往复一次排出的流动相恒定, 流量由改变柱塞往复频率来调节	往复式柱塞泵是恒流泵, 但它输出的流动相有明显的脉动, 这由其结构所决定

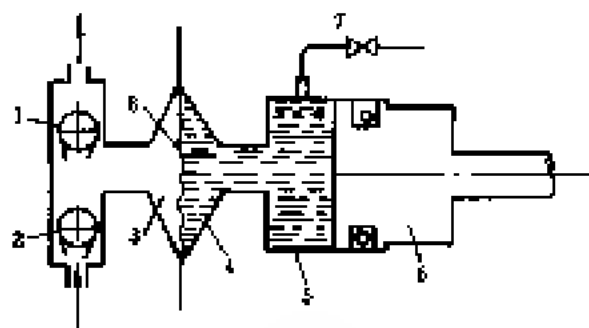


图 6-2 液压隔膜泵示意图

1、2—进液口单向阀；3—未吸液缸；4—压力传感介质缸；
5—压力传感介质，6—柱塞；7—压力传递隔膜

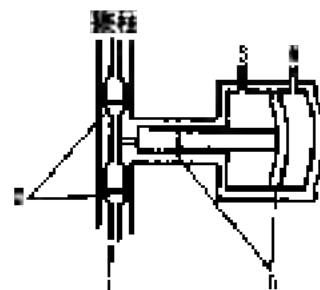


图 6-3 气动放大泵示意图

1—进液口，2—单向阀；3—回流时空气入口；
4—驱动时空气入口；5—密封

往复柱塞泵是目前 HPLC 采用最多的一种高压输液泵。工作时电动机带动凸轮转动, 凸轮驱动活塞在液缸内往复运动。柱塞自液缸内抽液时, 出口单向阀关闭, 流动相自入口单向阀吸入; 柱塞推送时入口单向阀关闭, 流动相自出口单向阀压出到色谱柱。因为在吸入冲程时泵没有输出, 流动相流量的脉动将使仪器无法正常工作, 所以多采用双头泵和加脉动阻尼器以减少脉动。往复泵有单柱塞、双柱塞, 又分为并联式、补偿式 (串联式)、压吸式等] 和三柱塞泵等不同类型。一般来说, 柱塞增加, 脉动小, 流量更平稳, 但构造也相应复杂, 故障几率明显增加。

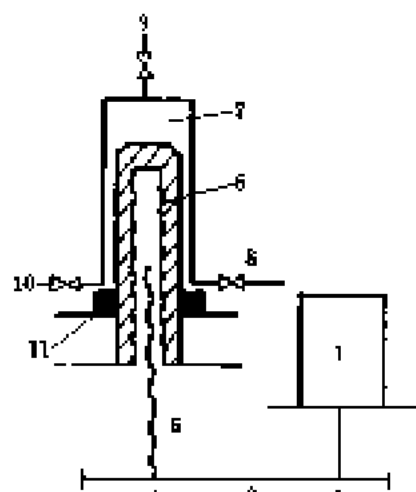


图 6-4 螺旋注射泵示意图

1—电机; 2, 3, 4—传动齿轮; 5—丝杠;
6—柱塞; 7—液缸; 8, 9, 10—
高压封套; 11—密封环

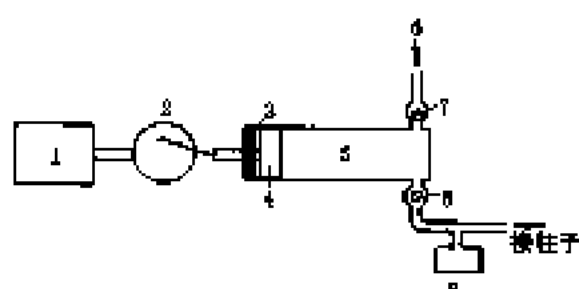


图 6-5 往复柱塞泵（单柱塞）示意图

1—电动机; 2—凸轮; 3—密封; 4—活塞;
5—柱塞; 6—液缸入口; 7—入口单向阀;
8—出口单向阀; 9—脉动阻尼器

(1) 单柱塞泵 结构见图 6-5, 泵的压力和流量波动大, 采取一些必要的措施, 如增加阻尼器, 对凸轮形状作特别设计以及利用先进的电子技术, 也可获得满意的结果。采取在排液冲程结束瞬间突然加速吸液, 然后立即高速排液, 使压力很快恢复到原有状态后, 再匀速排液, 也可以获得较满意的效果。这种情况下的排液特征如图 6-6 所示。

(2) 串联式双柱塞泵 结构如图 6-7 所示, 泵 2 的入口接在泵 1 的出口, 由泵 2 的出口输出流动相。泵 1 带单向阀, 用于吸液流动相, 并向泵 2 排出流动相。泵 2 不带单向阀, 用作缓冲流动相的输出。泵 1 和泵 2 的体积比为 2:1, 泵 1 输出流动相时, 泵 2 的泵腔吸入流动相的一半, 另一半通过泵 2 输出到色谱柱。泵 1 吸入流动相时, 泵 2 进一步将泵腔中贮存的一半流动相输出到色谱柱, 以减少输出时的信号脉动。

(3) 并联式双柱塞泵 结构如图 6-8 所示。采用两个相位相差 180° 的凸轮分别推动两个柱塞。柱塞 A 吸入流动相时, 柱塞 B 输出流动相到色谱柱; 反之, 柱塞 A 输出流动相到色谱柱时, 柱塞 B 吸入流动相。这样可减少输出脉动。输液特性见图 6-9。

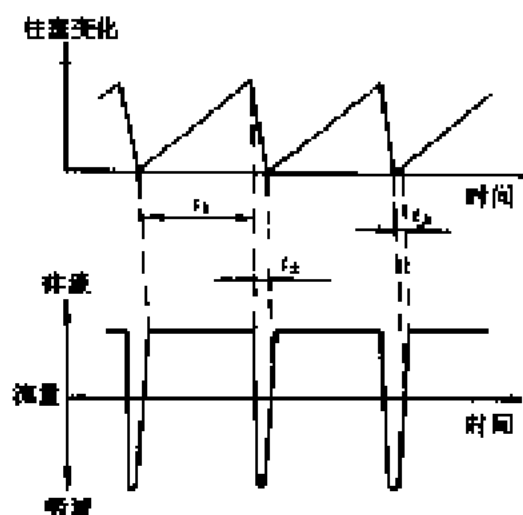


图 6-6 单柱塞泵柱塞变位与
流量特征曲线

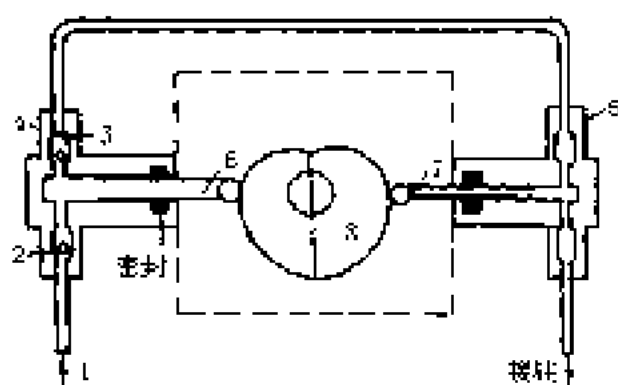


图 6-7 串联式双柱塞泵结构图

1—溶剂入口, 2, 3—单向阀, 4—柱塞 1, 5—柱塞 2,
6—活瓣 1, 7—活瓣 2, 8—凸轮



图 6-9 并联式双柱塞泵排液特征

11 所示。这种结构又叫往复串联式泵，它比并联式泵的结构少用两组单向阀。由于单向阀的结构往往是泵恒流输液性能下降的主要原因，因此一台泵所用的单向阀越少，发生故障的机会也越少，串联式补偿结构的高压泵流量精度高，压力波动小，更换溶剂方便，易于清洗，很适合于梯度洗脱。全自动高效液相色谱仪即采用这种结构的泵。

(5) 双柱塞正压吸入式恒流泵（双柱塞双步泵）

结构如图 6-12 所示这是泵与上述各种泵的区别在于其吸液过程在正压下进行，从而避免了负压吸液吸入空气的可能性。为减少泵的死体积，泵腔一般很小，多在(10~100) μl ，柱塞往复频率高，因此对密封环的耐磨性、单向阀的刚性和精度要求很高。密封环常用聚四氟乙烯-石墨制成、单向阀球、座和柱塞则用人造红宝石材料制作。在维修往复式柱塞泵时应特别小心，严防固体颗粒进入泵体，以免划伤密封环、阀球、座和柱塞。使用过程中要避免悬浮杂质进入泵体。在使用含盐的缓冲液时要避免盐颗粒在泵中析出，否则将大大缩短泵寿命。

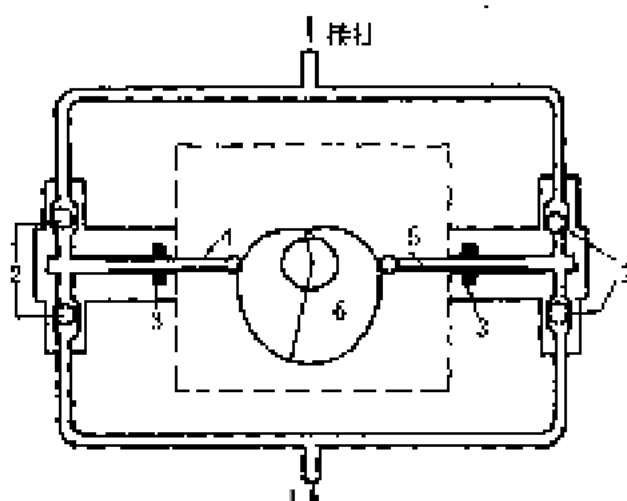


图 6-8 并联式双柱塞泵结构图

1—溶剂入口, 2—单向阀, 3—活瓣,
4—活瓣 A, 5—活瓣 B, 6—凸轮

(4) 双柱塞补偿泵 结构如图 6-10 所示。主、副泵腔容积比为 2:1，当主泵头排液时，50%的流动相溶剂被副泵头吸入，另 50%输入柱系统；当主泵头吸液时，副泵头将原先吸入的 50%液体供给柱系统，其排液特征如图 6-

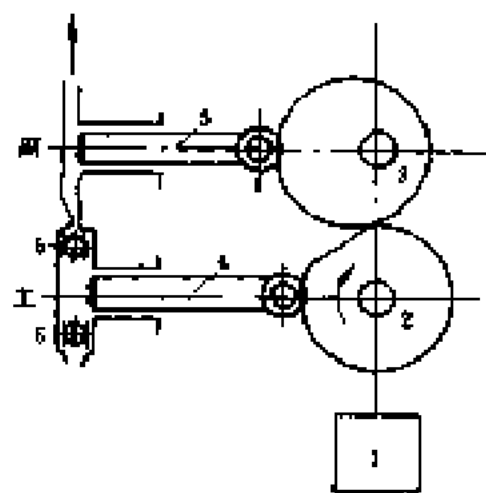


图 6-10 双柱塞补偿式恒流泵结构图

1—电机, 2—主凸轮, 3—副凸轮,
4—主柱塞, 5—副柱塞,
6—单向阀, 7—缓冲液内阀

三、梯度洗脱装置

梯度洗脱是采用两种（或多种）不同极性的溶剂，在分离过程中按一定程序连续改变流

动相的浓度配比和极性的一种洗脱模式。色谱分离要求在尽量短的时间内获得足够的分辨率，此外在分离保留值范围较宽的复杂混合物时，随保留值增大，谱带变宽，使峰的检测发生困难，甚至会发生保留值太大，样品洗脱不下来的情况，采用梯度洗脱可以解决这类问题。梯度洗脱可以通过流动相极性的变化来调整被分离样品的选择因子和保留时间，以使柱系统具有最好的选择性和最大的峰容量。梯度洗脱技术能够提高分离度，缩短分析时间，降低最小检测量并提高分析精度。对于复杂混合物，特别是保留性能相差较大的混合物的分离梯度洗脱是一种极为重要的手段。梯度洗脱装置可以分为高压梯度和低压梯度两种模式。

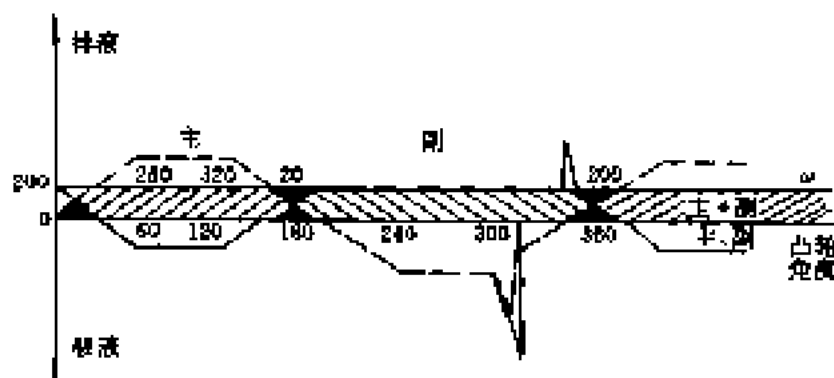


图 6-11 升压式双柱塞泵样液特征

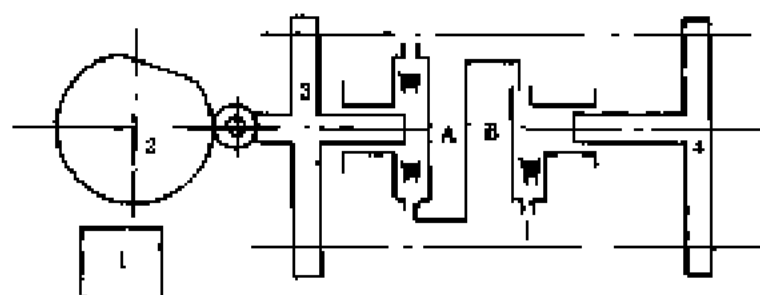


图 6-12 双柱塞正压吸入式泵结构示意图

1—电机；2—凸轮；3—高压柱塞；4—低压柱塞

(一) 高压梯度装置

高压梯度又称为内梯度，是采用多个高压泵将不同的流动相增压后送入梯度混合室混合，然后再送入色谱柱的方法，原理如图 6-13 所示。一般流动相中有几种变化组分（即几元梯度）即需要几台高压输液泵。如二元梯度洗脱，需两台高压输液泵；而三元梯度洗脱，需三台高压输液泵。每一台高压输液泵输出量可分别用程序控制器控制，按设定的程序将不同量的各组分输送到混合室混合，产生任意形式的梯度洗脱曲线。混合器的设计极为重要，各组分在高压下混合，混合器体积应尽量小、混合效率高，以保证得到重复性好、滞后时间短的梯度洗脱曲线，此外混合器也应便于清洗，滞后时间由泵、混合器和输液管道的死体积所决定。

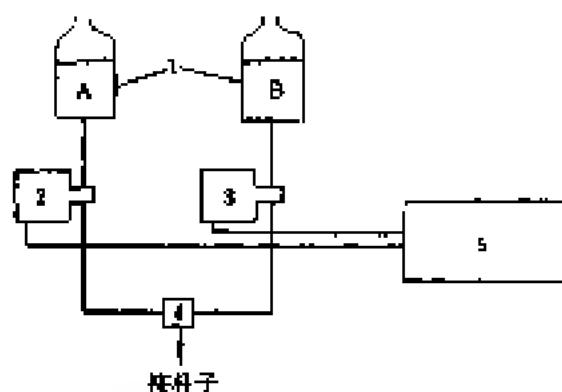


图 6-13 一元高压梯度洗脱装置示意图

1—溶剂贮罐；2—高压泵 1；3—高压泵 2；4—小体积混合室；5—梯度编程器控制器

高压梯度可获得任意形式的梯度洗脱曲线, 精度高, 易于实现控制的自动化, 不同组分的流动相在高压下混合, 不易产生气泡, 对流动相的脱气要求较低, 但高压梯度需使用多台高压输液泵, 成本较高。

(二) 低压梯度装置

低压梯度又称为外梯度, 是在常压下将流动相的不同组分混合后再用高压输液泵送入色

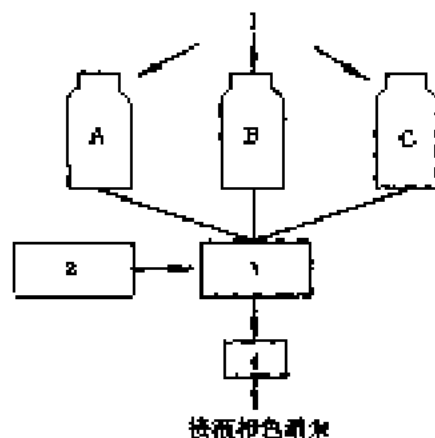


图 6-14 多元低压梯度洗脱装置示意图

1—溶剂贮瓶; 2—程序器;

3—电磁比例阀; 4—混合室

谱柱的方法, 原理如图 6-14 所示。利用一个可变程序控制器操作电磁比例阀控制不同溶剂的流量变化, 溶剂按不同比例输送到混合室混合, 然后用一台高压输液泵将混合好的流动相输送到色谱柱。

低压梯度装置同样要求泵和混合室的死体积尽量小, 使梯度变化更接近于连续变化(低压梯度变化呈台阶式, 当每一个台阶很小时, 可接近连续变化)。低压梯度装置一般比高压梯度装置适用性强, 采用一台高压输液泵, 结合电磁比例阀就可以完成多元梯度洗脱操作, 成本大大降低。此外在流动相被加压输入到色谱柱前, 不同流动相组分混合产生的体积变化已完成, 可避免高压梯度装置中流动相体积变化引起的流量变化。采用低压梯度装置时, 各流动相组分混合前, 后需进行脱气, 否则混合过程中产生的气泡将使仪器无法正常工作, 采用串联式柱塞泵作低压梯度时, 对流动

相的脱气要求较低, 甚至可不脱气使用。表 6-2 比较了各种梯度洗脱系统的特征。

表 6-2 不同梯度洗脱系统的比较

特 性	一元高压梯度	二元低压梯度	多元低压梯度
可能洗脱范围	较广	较广	广
梯度的重现性	较好	好	较好
成 本	较高	低	低
改变流动相	较容易	容易	较容易
机械性能	较简单、较可靠	简单、可靠	较简单、较可靠
自动化难易程度	容易	容易	较容易
对溶解气体的耐受性	较敏感	敏感	敏感
梯度准确度	较准确	准确	较准确
不同溶剂混合能力	较强	较强	强
对操作者依赖性	较大	较大	较大
方便性	方便	方便	较方便

第二节 进样系统

进样系统是将待分析样品引入色谱柱的装置。液相色谱进样装置需满足重复性好、死体积小、保证柱中心进样、进样时对色谱柱系统流量波动要小、便于实现自动化等多项要求。进样系统包括取样、进样两种功能, 实现这两个功能又有手动和自动两种方式。

一、注射器进样装置

注射器进样装置适用于较低的进柱压力, 当进柱压力低于 10 MPa 时可用微量注射器进样。注射器进样装置如图 6-15 所示。进样口隔膜材料必须耐溶剂的化学侵蚀, 有一定的机械强度和耐穿刺性, 目前常用硅橡胶作为隔膜材料, 但其不适用于烷烃。氟橡胶可用于烷烃, 但

不能用于丙酮和甲醇。采用硅橡胶表面粘复聚四氟乙烯或亚硝基氯橡胶、羧基氯橡胶作为隔膜材料能适用于各种溶剂。注射器进样,进样量可随意调整,但不适合制备色谱及重量分析。

柱头压力大于 10 MPa 时,需采用停流注射法进样以避免反压,即先使流动相停止流动(打开泄流阀或关泵),压力降到足够低时再用注射器穿料进样。这种进样方法不会影响柱效,但无法取得精确的保留时间,峰形重复性也较差。进样量的重复性与进样技术有关,为防止压力泄漏,可采用双层隔膜和双隔板进样口,如图 6-16。

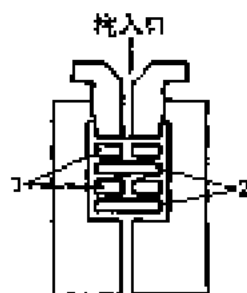


图 6-16 双隔膜

高压进样口

1—不锈钢隔板;

2—橡胶隔膜

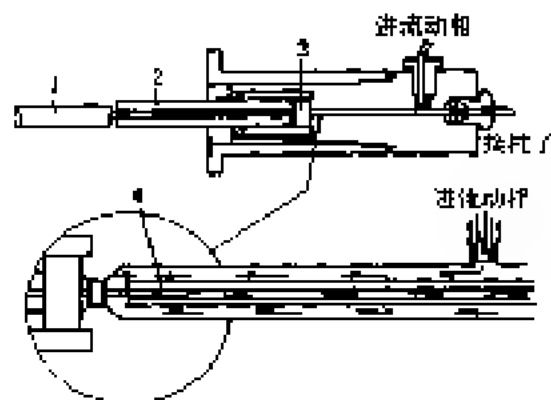


图 6-15 注射器进样装置

1—注射器; 2—隔膜; 3—隔膜; 4—注射针头

注射器进样装置的注射口有柱上注射口和冲扫注射口两种主要形式,这两种形式都可进行停流注射进样和流动注射进样。柱上注射口可以使样品直接注射到柱填充物上,采用冲扫注射口,样品被流动相冲扫到色谱柱上。为使样品进柱前扩散减少到最小程度,必须尽量减少死体积,因此冲扫注射口进样量不宜过大。注射器进样需防止针刺次数太多而使隔膜材料掉下的碎渣阻塞色谱柱。

二、阀进样装置

阀进样装置适用于高压进样,结构如图 6-17 所示。阀进样装置由高压六通阀和固定体积的定量管组成。阀体用不锈钢制成,内壁精密加工,旋转密封部分由既耐磨又具有良好的密封性能的铝合金陶瓷材料或聚四氟乙烯制作。进样量大小可通过选择不同体积(1~100 μ l)定量管来改变。

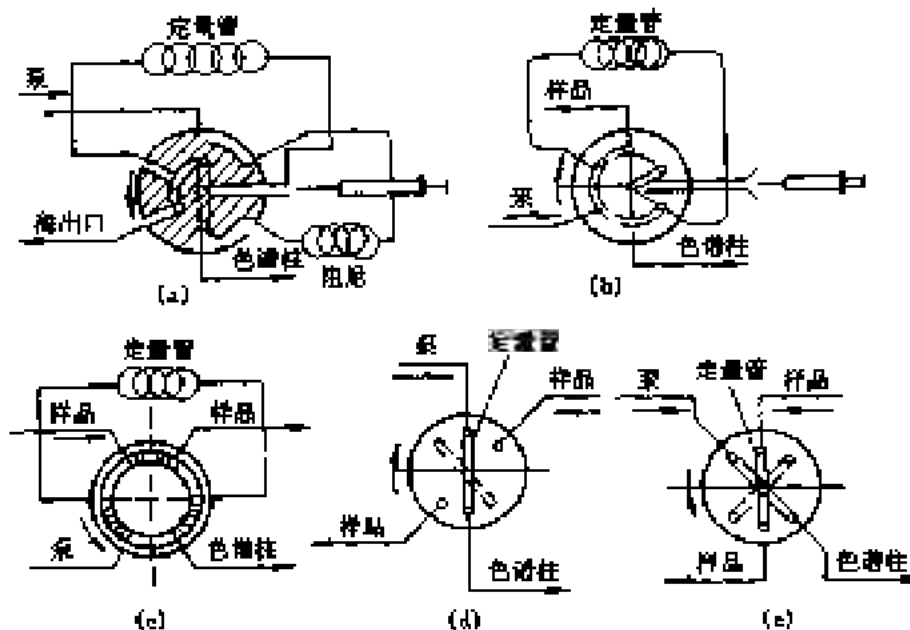


图 6-17 各种高压阀结构示意图

(a)、(b) 注射器和定量管两用阀; (c) 普通进样阀; (d)、(e) 定量进样阀

三、自动进样器

自动进样器在程序控制器或微机控制下可自动完成取样、进样、清洗等一系列操作, 操作者只需将样品按顺序装入贮样装置即可。

图 6-18~图 6-20 为几种典型自动进样装置结构示意图, 表 6-3 介绍了不同自动进样器的工作步骤, 表 6-4 也对不同类型进样装置的特征作了简单总结。

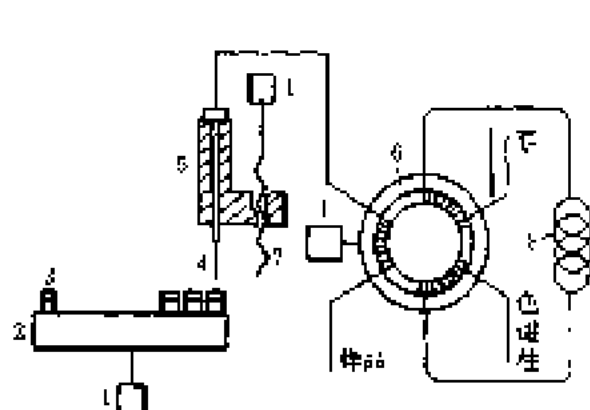


图 6-18 圆盘式自动进样装置结构示意图

1—电机；2—贮样圆盘；3—样品瓶；4—取样针；
5—滑块；6—进样阀；7—进样针；8—定量装置管

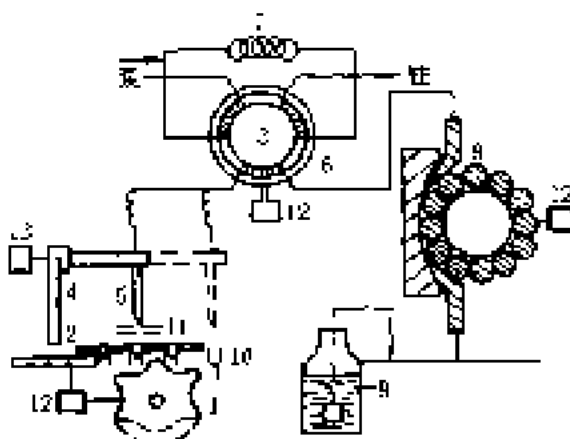


图 6-19 链式自动进样装置结构示意图

1—链轮；2—样品瓶；3—样品瓶；4—转角机构；
5—取样针；6—进样阀；7—定量装置管；
8—蠕动泵；9—清洗液瓶；10—样品瓶；
11—取样针定位；12—电机

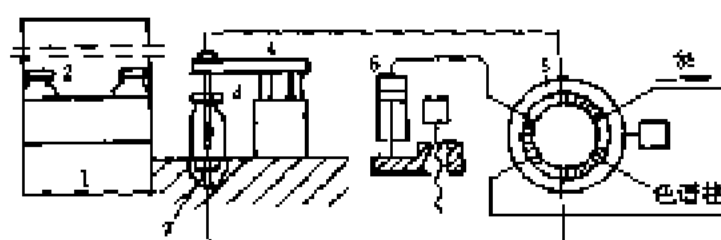


图 6-20 坐标式自动进样装置结构示意图

1—坐标式贮样盘；2—样品瓶；3—取样针；4—取样针升降机；
5—方式切换阀；6—取样泵；7—取样针入口

表 6-3 不同自动进样器的工作步骤

自 动 进 样 器	工 作 步 骤
圆盘式自动进样器	(1) 电机带动贮样盘旋转, 将待分析样品量+取样针下方 (2) 电机正转经杆带动滑块向下移, 把取样针插入样品瓶塑料盖, 清洗进样针, 将瓶塞放入瓶内, 在瓶盖挤压下样品经管路进入进样阀定量管, 完成取样动作 (3) 进样阀切换, 完成进样 (4) 电机反转, 经杆带动滑块上移, 取样针恢复原位
坐标式自动进样器	(1) 取样针升起 (2) 微机控制坐标, 进样盘将待分析样品瓶置于取样针下 (3) 取样针下降, 插入样品瓶内 (4) 自动进样器启动, 取样量由微机控制 (5) 取样针上升插入进样盘入口 (6) 方式阀切换, 由自动进样样品瓶入口经进样系统 (7) 进样盘复位, 方式阀复位

续表

自动进样器	工作步骤
泵式自动进样器	(1) 机械推动样品瓶, 将待分析样品瓶置于取样针下 (2) 转筒机构由起始位置转动至取样位置, 并下压吸入样品瓶内 (3) 蠕动泵正转将样品吸入定量管, 完成取样动作 (4) 进样切换, 完成进样 (5) 转筒机构返回起始位置 (6) 蠕动泵正转吸入清洗液, 将进样器清洗 (7) 进样器复原 (8) 蠕动泵正转吸入空气, 干燥取样管路

表 6-4 不同类型进样装置的特征

进样装置	优点	缺点
注射器进样装置	结构简单, 造价低, 操作方便, 进样量可变, 不易引起色谱峰扩展, 柱效高	进样量小, 操作压力不能过高, 重复性差, 难以自动化
阀进样装置	进样量可变范围大, 分析和制备都用, 进样重复性好, 可直接在高压下不停泵地把样品注入色谱柱, 如装上电动或气动驱动装置可实现自动化	阀死体积较大, 易引起谱峰展宽, 柱效比注射器进样下降约 10%, 为密封的高压密封性能好, 制造工艺要求高, 故障率较高, 维修较复杂
自动进样器	智能化进样, 准确、可靠	价格较高, 维修复杂

四、进样技术对峰扩展的影响

进样技术包括进样体积、进样时间、样品浓度、选用的进样装置、进样方式和进样位置。进样体积过大会使柱效下降, 峰形变宽。进样时间越短越好, 但较难控制, 在注射器进样操作中宜尽快推动注射器, 而在阀进样操作中进样时间受流动相的流速影响, 在升管量范围内时, 注入较大体积稀溶液优于较小体积的浓溶液。控制样品浓度, 浓度过大易使柱头瞬间饱和, 造成峰峰严重展宽, 分离度下降。柱头超载不仅与固定相有关, 而且与溶质及溶剂的性质有关。一般认为样品浓度对谱峰扩展的影响比样品体积更为重要。

进样装置的死体积包括进样装置本身及其与色谱柱的连接部分的体积。死体积过大将使峰扩展增加。进样方式和进样位置对柱前峰扩展也有很大影响。采用“点进样”方式可减少柱前峰扩展, 即将样品“呈点状”瞬时地注入到柱头的中心处, 并使流动相流过整个注入口截面。

第三节 色谱柱系统

色谱是一种分离分析手段, 担负分离作用的色谱柱是色谱仪的心脏, 柱效高、选择性好、分析速度快是对色谱柱的一般要求。商品化 HPLC 微粒填料, 如硅胶, 以及硅胶为基质的键合相、氧化铝、有机聚合物微球 (包括离子交换树脂) 的粒度通常为 $3\ \mu\text{m}$ 、 $5\ \mu\text{m}$ 、 $7\ \mu\text{m}$ 及 $10\ \mu\text{m}$, 其填充柱效的理论值可达到 $(50\ 000\sim160\ 000)$ 块 $\cdot\text{m}^{-1}$ 理论塔板数, 5000 块 $\cdot\text{m}^{-1}$ 理论塔板数的柱效的色谱柱即可满足分析一般样品的要求, 对于同系物分析, 通常只要 500 块 $\cdot\text{m}^{-1}$ 塔片数。较难分离物质可能需高达 20000 块 $\cdot\text{m}^{-1}$ 理论塔板数柱效的柱子, 因此采用 $(100\sim300)$ mm 左右的柱长就能满足复杂混合物分析的需要。由于柱效受柱内外多种因素的影响, 因此为使色谱柱达到其应有的效率, 除尽量减小系统的死体积外, 设计合理的柱结构及柱装填方法是十分必要的。

一、液相色谱柱的类型和结构

液相色谱柱根据柱径大小可分为三种类型,内径小于 2 mm 的称为细管径或微管径柱;内径在 (2~5) mm 的是常规液相色谱柱,内径大于 5 mm 的称为半制备柱或制备柱。细管径柱的主要优点是节省溶剂,并使灵敏度提高,内径为 1 mm、2 mm 和 5 mm 的三种色谱柱,当保持相同的洗脱剂线速度时,溶剂消耗量比例为 3:4:25,细管径柱中洗脱剂流量小,体积峰宽随之减小,减小了对样品的稀释,有利于提高峰高灵敏度。另一方面,细管径柱柱体积小,柱外效应的影响不容忽视,需要配备更小池体积的检测器、样品头、连接部件、进样设备和小流量泵,目前 2.1 mm 和 0.5 mm 内径的细管径柱已商品化。大于 5 mm 的粗柱子,主要用于制备,为了在足够短的时间内加大进样量,一般使用柱头大面积进样,而不是常规柱的“点进样”方法。

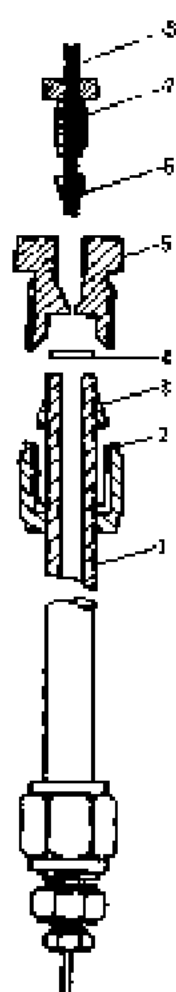


图 6-21 柱结构示意图

- 1-柱帽; 2-压帽;
3-卡套; 4-筛板;
5-柱管; 6-接口;
7-筛网;
8-螺母管

色谱柱的结构如图 6-21 所示,柱体由柱管、柱管末端接头卡套和过滤筛板等组成。接头与压帽按一定角度配合,使密封环卡住柱管,避免漏液。接口要求与管道成流线型平整对接,没有死角,死体积小。

多孔筛板的作用是:一方面防止填料从柱中漏入检测器,另一方面阻止不溶性颗粒杂质进入色谱柱内,筛板一般采用耐化学腐蚀的烧结不锈钢或烧结镍材质制成,在柱压不高时,也可使用多孔聚四氟乙烯薄膜筛板。色谱柱中采用的筛板孔径应小于填料颗粒直径,一般孔径在 (0.2~20) μm 范围。

用于色谱柱的连接管和柱接头,除能耐化学腐蚀和密封性好之外,死体积应尽可能小,一般均选用空心管(内径在 0.13 mm 左右),这种管除可用作柱出口至检测器的连接管外,还可用于色谱柱之间的连接。

二、色谱柱的选择

在日常分析中,采用微粒高效固定相,100 mm 长柱子即可满足一般分离分析的要求,采用 3 μm 填料时,30 mm 长即可。采用 3 μm 高效固定相,尽管其柱效率高,但柱压降亦大,因此,采用 5 μm 或 10 μm 粒度的载体更佳。对于难分离样品,柱长可增加到 250 mm,如再增加柱长,虽然柱效高,但柱前压力太大,不利于操作,只在特殊情况下才采用。

常用分析柱的内径为 4.6 mm。随着柱技术的发展,细内径柱越来越受到人们的重视^[3],只要将柱外效应减至最小,细内径柱亦可获得与粗柱基本相同的柱效,而溶剂消耗量却大为下降。目前,已有 1 mm 甚至更细内径的高效填充柱商品出售,特别在与质谱联用时,为减小溶剂用量,常采用内径为 0.5 mm 以下的毛细管柱。

三、色谱柱的装填

填装色谱柱前,应依次用丙酮、苯、异丙醇和二次蒸馏水清洗柱、滤片、接头和连接管,用经清洗的空气或氮气吹干后备用。对于有油污的不锈钢管应首先清除油污,然后浸入体积比为 28:4:8:60 的 H_2SO_4 - HNO_3 - HCl - H_2O 抛光液中处理约 1 min 后取出清洗,如表面有黑膜时,可用 (70~80) % HNO_3 溶液去除,再按上述方法清洗柱子。

根据填料粒度的大小, 高效液相色谱柱的装填可分为干法和湿法装填两种方法。

(一) 干法装柱

对于直径大于 $20\ \mu\text{m}$ 的填料, 一般采用经典的干法填充技术。先将已清洗干净的柱管一端加隔板后连接在接头上, 另一端接小漏斗(见图 6-22)。装柱时分批分次加入 $(100\sim 200)\ \text{mg}$ 填料, 用抽气泵通过柱出口抽吸, 柱初步装好后在地板或桌面上垂直夯击 $(2\sim 3)$ 次, 如出现填料沉降时, 重复上述操作直至柱充满。

将装填好的柱子与输液泵出口相连。在高于使用压力下输入流动相驱除填料中的空气, 继续输液半小时, 检查固定相装填是否达到最大密度。正常情况柱内填料应该不下沉, 不呈现空隙。对低压柱, 卸下后两端分别装填一小块硅烷化石英棉或聚四氟乙烯棉, 堵住封口备用。对耐高压柱, 用多孔不锈钢滤板堵塞柱子两端并密封备用。干法装柱的柱效在 $(500\sim 5000)$ 块 $\cdot \text{m}^{-1}$ 之间。

(二) 湿法装柱

目前高效液相色谱采用的填料粒度多在 $(3\sim 10)\ \mu\text{m}$ 范围内 ($3\ \mu\text{m}$ 、 $4\ \mu\text{m}$ 、 $5\ \mu\text{m}$ 、 $7\ \mu\text{m}$ 、 $10\ \mu\text{m}$)。这类微粒填料由于其表面活性很强, 容易结团, 干法装柱无法使填料填充紧密, 必须采用湿法装柱技术。

湿法装柱常用两种方法, 即等密度匀浆法和非等密度匀浆法。

1. 等密度匀浆法

等密度匀浆法装柱装置见图 6-23。

此法通常选择两种溶剂, 一种大于填料密度, 另一种小于填料密度, 通过适当的配比, 制成与填料密度相同的混合溶剂, 使填料悬浮在混合溶剂中, 形成均匀的浆液。以装填微粒硅胶为例, 可以采用四溴乙烷(密度 $2.96\ \text{g} \cdot \text{cm}^{-3}$, 有毒, 具有化学不稳定性)与四氯乙烯(密度 $1.62\ \text{g} \cdot \text{cm}^{-3}$)以质量比 $60:6:39:4$ 混合, 制成与硅胶密度相近 ($2.5\ \text{g} \cdot \text{cm}^{-3}$) 的混合溶剂。这种溶剂能够使硅胶颗粒在 $30\ \text{s}$ 内无沉降现象, 与硅胶形成高度分散的匀浆体系。也可以采用四氯化碳加二氧六环溶剂来制备匀浆。

填料聚集作用的快慢与粒度大小有关, 在其他条件相同时, 相对聚集速度与颗粒度的关系为: 以颗粒直径 $5\ \mu\text{m}$ 为 1, 则 $10\ \mu\text{m}$ 为 4, $20\ \mu\text{m}$ 为 16.7, $30\ \mu\text{m}$ 为 33.3, $40\ \mu\text{m}$ 为 62.5, $50\ \mu\text{m}$ 为 100。也就是说 $10\ \mu\text{m}$ 粒径颗粒的聚集速度是 $5\ \mu\text{m}$ 颗粒的聚集速度的 4 倍, $20\ \mu\text{m}$ 粒径颗粒的则为 $5\ \mu\text{m}$ 粒径颗粒的 16.7 倍, 因此填料颗粒度越大, 其匀浆的聚集速度越高, 用匀浆法装填也就越难得到均匀一致的床层。

将制好的匀浆液超声脱气后加入到匀浆贮液槽内, 盖好槽盖, 然后将泵、容器和柱子连接好, 关闭三通阀, 开泵升压至 $34.3\ \text{MPa}$, 打开三通阀, 使匀浆液迅速压入柱内, 然后将柱下入口处安装好, 并通入合适的溶剂进行冲洗, 当压力下降至 $(9.8\sim 19.6)\ \text{MPa}$ 时, 说明匀浆液已被顶替液置换, 柱子装填完毕。为了防止色谱柱内固定相产生反弹回松现象, 应当在

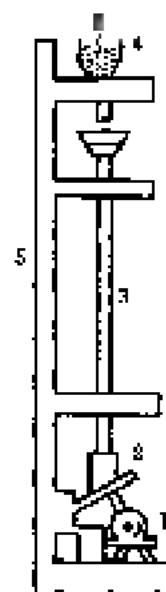


图 6-22 干法装柱装置

- 1—电动机; 2—抽气管;
3—色谱柱; 4—贮槽;
5—支架; 6—固定相

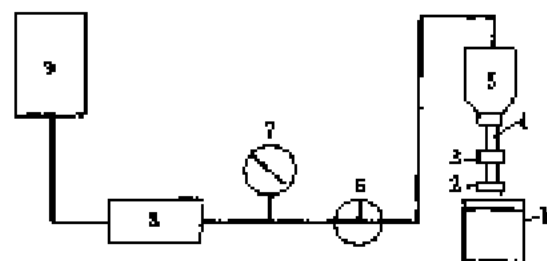


图 6-23 等密度匀浆法装柱流程图

- 1—柱; 2—储槽; 3—接头; 4—过滤器;
5—匀浆贮液槽; 6—三通阀; 7—压力表;
8—泵; 9—溶剂贮存槽

此压力下维持一段时间, 然后, 慢慢减小泵压, 直至停泵。

各种填料使用的顶替液不同: 硅胶用脱水正己烷, 正相键合相用己烷, 反相键合相用甲醇; 离子交换树脂可使用丙酮。溶剂密度和粘度、匀浆浓度 (通常用 $0.1 \text{ g} \cdot \text{ml}^{-1}$) 以及匀浆液进入柱中的速度和压力都会影响匀浆的装填效果, 此外, 四溴乙烷分解出的溴在硅胶表面的吸附作用, 也会对柱效产生影响。

2. 非等密度匀浆法

非等密度匀浆法一般采用二氧六环和四氯化碳作溶剂, 1 g 填料加二氧六环 3 ml ; 四氯化碳 6 ml , 用类似于等密度匀浆的制备和装柱方法进行操作, 所不同的是在匀浆上部加一定量水后再加压装柱。25 cm 柱所需填料的量见表 6-5。

表 6-5 25 cm 柱所需填料的量

柱内径/mm	填料量/g		
	通常匀浆料	全孔型填料	多孔氧化铝填料
2.1	1.4	0.5	0.9
3.1	5.1	1.9	1.8
4.0	5.1	1.7	3.1
7.8	12.5	6.2	11.5

四、色谱柱的评价

色谱柱的性能必须按一定的指标进行评价。一个合格的色谱柱评价报告应给出柱长度、内径、填料的种类与粒度、色谱柱的柱效、不对称度和柱压降等基本参数。评价液相相色谱柱的仪器系统包括进样阀、连接管和检测器等, 其死体积应尽可能小。在合理的操作条件下, 评价色谱柱的样品可以完全分离并有适当的保留时间。表 6-6 列出了评价各种常用色谱柱的样品及其操作条件, 当然也可以用其他适当的样品及条件来评价高效液相色谱柱。

表 6-6 评价各种常用色谱柱的样品及其操作条件^①

柱	样 品	流动相(体积比)	进样量/ μg	检测器
烷基键合相柱(C_{18} , C_{10})	苯、萘、联苯、菲	甲醇-水(88/12)	10	UV 254nm
苯基键合相柱	苯、萘、联苯、菲	甲醇-水(57/43)	10	UV 254nm
氨基键合相柱	三苯甲醇、苯乙醇、苯甲醇	正庚烷-异丙醇(93/7)	10	UV 254nm
氨基键合相柱(极性固定相)	苯、萘、联苯、菲	正庚烷-异丙醇(92/8)	10	UV 254nm
氨基键合相柱(弱阴离子交换剂)	吡啶、异辛醇、水杨、果糖、葡萄糖	水-乙醇(98.5/1.5)	10	示差折光检测
SiO_2 键合相柱(弱阴离子交换剂)	阿司匹林、咖啡因、非那西汀	0.05 mol/L 1-甲磺酸-乙醇(80/10)	10	UV 254nm
R_4NCl 键合相柱(强阴离子交换剂)	尿苷、胸苷、脱氧胸苷、腺苷、脱氧腺苷	0.1 mol/L 1-磷酸盐溶液(加 KCl) (pH 9.2)	10	UV 254nm
硅胶柱	苯、萘、联苯、菲	正己烷	10	UV 254nm

① 流速为 $1 \text{ ml} \cdot \text{min}^{-1}$, 对柱内径为 4.6 mm 的色谱柱最大流量大约为 $1 \text{ ml} \cdot \text{min}^{-1}$ 。

第四节 检测系统

检测器、泵与色谱柱是组成 HPLC 的三大关键部件。经色谱柱分离后的样品组分与流动相一起进入检测器, 检测器将样品的物理或化学特性信息转换为易测量的电信号输入到记录仪, 并记录下来, 得到样品组分分离的色谱图。由色谱峰的位置、形状和大小可以判断分离的

优秀，同时进行定性、定量分析。

一、HPLC 检测器的特性

HPLC 中流动相和样品组分的物理和化学性质往往十分近似，因此一般不能使用气相色谱 (GC) 常用的氢火焰离子化检测器 (FID) 等高灵敏检测器。(GC 中载气和样品组分的物理和化学性质有显著差异，FID 很容易检测载气中低浓度样品组分。而在 HPLC 中如使用 FID，必须预先将流动相除去)。HPLC 中只能以不受流动相干扰的样品组分物理和化学性质作为检测目标，如流动相没有紫外吸收，而被测组分有紫外吸收，可用紫外检测器。目前 HPLC 还缺少能广泛使用的通用型检测器，灵敏度高的检测器相对更少，理想的 HPLC 检测器应具有以下特性^[1]：

- ① 具有高灵敏度和可预测的响应；
- ② 对样品所有组分都有响应，或具有可预测的特异性，适用范围广；
- ③ 温度和流动相流速的变化对响应没有影响；
- ④ 响应与流动相组成无关，可作梯度洗脱；
- ⑤ 死体积小，不造成柱外谱带扩展；
- ⑥ 使用简便、可靠、耐用，易清洗和检修；
- ⑦ 响应值随样品组分量的增加而线性增加，线性范围宽；
- ⑧ 不破坏样品组分；
- ⑨ 能对被检测的峰提供定性和定量信息；
- ⑩ 响应时间足够快。

很难找到全部满足上述全部要求的 HPLC 检测器，但可以根据不同的分离目的对这些要求予以取舍，选择较为合适的检测器。

二、HPLC 检测器的分类

HPLC 所用检测器一般分为两类，通用型检测器和专用型检测器。

(一) 通用型检测器

通用型检测器可连续测量色谱柱流出物（包括流动相和样品组分）的全部特性变化，通常采用差分测量法。这类检测器包括示差折光检测器、介电常数检测器、电导检测器和近年发展的激光散射检测器等。通用型检测器适用范围广，但由于对流动相有响应，因此易受温度变化、流动相流速和组成变化的影响，噪声和漂移都较大，灵敏度较低，不能用于梯度洗脱。

(二) 专用型检测器

专用型检测器用以测量被分离样品组分某种特性的变化。这类检测器对样品中组分的某种物理或化学性质敏感，而这一性质是流动相所不具备的，或至少在操作条件下不显示。这类检测器包括紫外检测器、荧光检测器、极谱检测器、放射性检测器等。

三、HPLC 检测器的性能指标

评价不同类型检测器，除各自的特征指标外还有一些共同的性能指标。

(一) 噪声和漂移

噪声是指由检测器输出与被测样品组分无关的无规则波动信号，在特定灵敏度下用响应

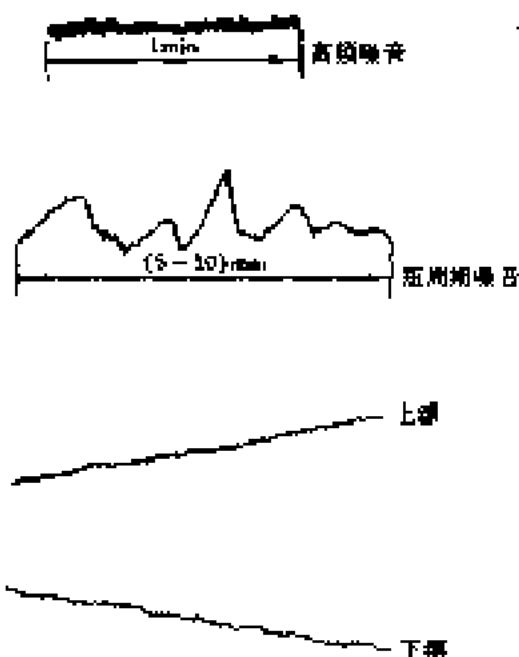


图 6-24 检测器产生的噪音和漂移

单位表示,可分为高频噪声和短周期噪声(图 6-24)两种。前者俗称“毛刺”,由比色谱峰出现频率高得多的基线无规则变动构成。一般说来高频噪声并不影响色谱峰的分辨,但可以影响检出限。这种噪声通常来自仪器的电子系统,因此关泵、流动相停止流动时仍然存在。高频噪声可用适当的滤波系统加以消除。短周期噪声由与色谱峰出现频率相似的基线无规则变动构成,它与色谱峰很相似,因此难以分辨,特别是对小色谱峰影响更大。短周期噪声通常是由环境温度波动、流动相流速波动,流动相中的气泡以及流动相不纯所致。短周期噪声是与流动相有关的噪声,在关泵后随之消失。如噪声与流动相无关,需要再去寻找原因加以消除。

漂移是指基线随时间的增加朝单一方向(向上或向下)的偏离(图 6-24),由比色谱峰出现的频率低得多的基线无规则变动构成。造成漂移原因有检测器预热时间不够、环境温度或流动相流速的缓慢变化、柱中固定相流失、刚更换的新流动相在柱中尚未达到平衡等多种。检测器产生的漂移一般用一段时间内(一般为几个小时)检测器响应值的变化表示。通常用停流和不停流各走 30 mm 的基线来评价一个检测器产生的噪声及漂移的强弱。

(二) 灵敏度

灵敏度也称响应值,是一定量物质通过检测器时所产生的响应值的大小。检测器对样品检测的灵敏度是衡量检测器质量的一个重要指标。以进入检测器的样品量(m)对检测器产生的响应值(R)作图,可以得到如图 6-25 所示的响应值曲线。曲线直线部分的斜率就是检测器的灵敏度(S),对浓度型检测器(HPLC 检测器绝大多数为浓度型)而言, Δm 以浓度($g \cdot ml^{-1}$)为单位,而 ΔR 的单位则视不同检测器而异。同一检测器对不同样品的检测灵敏度一般不同,即响应值曲线的斜率不同。斜率越大,灵敏度越高。因此在说明检测器灵敏度时应注明测试条件(样品名称、流动相组成及流速等)。

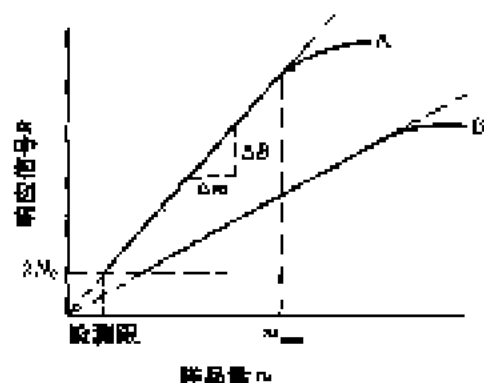


图 6-25 检测器响应值曲线

(三) 检测限

检测限是指在噪声背景上恰能产生可辨认样品峰时的最低样品量。一般定义为可辨认样品峰信号 2 倍于噪声信号时的样品量。检测器的检测限与整个仪器噪声水平有关,可在检测器的响应值曲线中表示出来。检测限(D)与噪声(N_0)和灵敏度的关系为

$$D = 2N_0 / S \quad (6-1)$$

检测限是检测器的一个重要特性指标,但检测限不只与检测器有关,而是与整个仪器系统都有关。如减小色谱柱尺寸(柱长、内径)和柱外死体积(样品池、进样器、连接管等)都可降低检测限。此外,检测限与仪器操作条件也有关,电压不稳定、流动相有气泡产生、仪

器被玷污、环境温度波动等与噪声有关的因素都将影响检测限。

(四) 检测器的线性范围

线性范围是指检测器的响应值与样品量之间保持线性关系的样品量范围,以呈线性响应时样品量的上下限比值表示,线性范围的下限即为该仪器的检测限。当样品量大于某值时,响应值曲线开始向下弯曲,此时的样品量为最大进样量。超过最大进样量,检测器的响应值不再随样品量的增加而线性增加。只有在线性范围内,用检测器响应值进行样品的定量分析才方便可靠,因此检测器的线性范围应尽可能大,以便可以同时测定大量和微量样品组分。

(五) 检测器的死体积

检测器的死体积也是一个重要的检测器性能参数。死体积过大,将使谱峰变宽,检测器的灵敏度和分辨率降低。检测器死体积由样品池体积和样品池到色谱柱的联结管路体积组成。在满足检测要求的前提下,应可能减小死体积。因此检测器设计要使联接管路尽可能短,样品池的大小决定了检测器,样品池太小会降低灵敏度。当样品池体积小于有关峰体积的 $1/10$ 时,检测器形成的峰扩展将不明显。一般 HPLC 检测器所用的样品池体积都小于 $8\mu\text{l}$ 。

(六) 检测器响应时间

检测器响应时间是指检测器跟踪被分离样品组分浓度变化的快慢程度。响应时间过长,即响应过慢,会使色谱峰变形失真,记录的谱峰比真实的谱峰显著加宽,峰高也比真实峰高低,类似于柱效降低,影响到色谱分析的可靠性和准确性,这种情况在进行快速分析时尤为突出。响应时间过快,高频噪声影响严重。研究表明检测器时间常数最大不应超过色谱峰标准偏差的三分之一。目前使用的检测器和记录仪(其时间常数对记录谱峰的影响与检测器相同)的时间常数一般在 $(0.5\sim 1)\text{s}$ 范围内。

四、几种常用的 HPLC 检测器

(一) 紫外吸收检测器(UV)

紫外吸收检测器是目前 HPLC 中应用最广泛的检测器,这种检测器灵敏度高,线性范围宽,对流速和温度变化不敏感,可用于梯度洗脱分离。紫外吸收检测器要求被检测样品组分有紫外吸收,而使用的流动相无紫外吸收或紫外吸收波长与被测组分紫外吸收波长不同,在被测组分紫外吸收波长处没有吸收。

紫外吸收检测器工作原理基于朗伯-比耳定律

$$A = \lg I_0/I = \epsilon bc \quad (6-2)$$

式中, A 为吸光度(消光值), I_0 为入射光强, I 为透射光强, ϵ 为样品的摩尔吸光度(吸光系数), b 为光程长, c 为样品的物质的量浓度。

一般选择在欲分析物有最大吸收的波长下进行工作,以获得最大的灵敏度和抗干扰能力。测定波长的选择取决于待测溶质的成分和分子结构,分子中光吸收性强的基团叫发色基团,它与分子的外层电子或价电子有关。表 6-7 列出了一些典型发色基团的摩尔吸光系数和相应的最大吸收波长。文献 [5] 中对于各种基团的紫外吸收特征有更详细地介绍。

表 6-7 一些发色基团的最大吸收波长 λ_{max} 和摩尔吸光系数

发色团系统		$\lambda_{\text{max}}/\text{nm}$	ϵ	$\lambda_{\text{max}}/\text{nm}$	ϵ
醛基	$-\text{O}-$	185	10000		
羰基	$-\text{C}=\text{O}$	194	4000	315	1000
氨基	$-\text{NH}_2$	193	2800		

续表

发色团系统		$\lambda_{\max}, \text{nm}$	ϵ	$\lambda_{\min}, \text{nm}$	ϵ		
硫醇基	—SH	195	1450	265	420		
二硫化基	—S—S—	194	5500				
溴化物	—Br	208	200				
碘化物	—I	208	490				
腈	—CN	150	6000	270—235	16—36		
乙炔化物	C≡C	175—180					
酮	—CO—	190	5000				
酯	—COO—	190					
羧酸	—COOH	190	5000	280—260	11—18		
亚胺化物	—C=N—	190	5000				
烯酮类	—C=C—	205	8000				
酮	—C=O	205	1600				
醛	—CHO	205	强	280—260	11—18		
羧酸	—COOH	205	50				
酯	—COO—	205	强				
亚胺	—C=N—	205	强				
硝基化合物	—NO ₂	270—210	50—70	300—400	10		
亚硝基化合物	—NO	270—210	1000—2000				
亚硝基胺	—N=O	270—210	1000—2000				
偶氮	—N=N—	285—400	5—25				
苯		164	45700	202	6900		
吡啶				245	20000		
苯				277	7900		
吡啶				275	7900		

在选择测定波长时，必须考虑到所使用的流动相组成，因为各种溶剂都有一定的透过波长下限值，超过这个波长，溶剂的吸收会变得很强，以至于不能很好地测出待测物质的吸收强度。表 6-8 列出了 HPLC 中常用的溶剂透过波长的下限，下限值一般是指溶解在以空气为参考、样品池厚度（即光程长）为 1 cm 的条件下，恰好产生 1-0 消光度 (OD) 时相应的波长，也就是在溶剂透过率为 10% 时相应的波长。表 6-9 中也列出了一些可用紫外光检测的无机阴离子。

表 6-9 常用溶剂透过波长的下限

溶 剂	透过波长下限/nm	溶 剂	透过波长下限/nm
丙 酮	340	甲酸乙酯	260
乙 醇	210	乙酸乙酯	260
苯	240	正 庚	270
三溴甲烷	400	庚 烷	310
乙酸丁酯	255	乙 烷	210
丁 醇	235	甲 醇	210
二硫化碳	380	甲基环己烷	210
四氯化碳	265	甲酸甲酯	265
氯 仿	245	硝基甲烷	265
环己烷	210	正戊烷	210
二氯乙烷	250	异丙醇	305
二氯甲烷	240	吡 啶	305
甲酰胺二胺	270	四氢代乙醇	290
二氧六环	220	甲 苯	285
二乙醚	260	间二甲苯	290
环戊烷	210	2,2,4-三甲基戊烷	210
甲乙酮	223	异辛烷	230
二甲苯	290	乙 醚	220
异丙醇	220	甲基异丁醇	320
氯代吡啶	235	丙基吡啶	220
二乙胺	275	庚 烷	210

表 6-9 在 200 nm 波长以上有紫外吸收的无机阴离子

S^{2-}	NO_2^-	SO_3^{2-}	I^-
SO_3^{2-}	NO_3^-	S_2CN^-	IO_3^-
SCN^-	N_3^-	AsO_3^{3-}	ReO_4^-
$S_2O_3^{2-}$	Cl^- (非有机)	AsO_4^{3-}	ClO_2^- (非有机)
SO_4^{2-}	Br^-		ClO_3^-

(二) 光电二极管阵列检测器 (PDA)

普通的紫外可见吸收检测器只能测定某一波长时吸光度与时间关系曲线,即只能作一维图谱。要测定某组分的紫外可见吸收光谱图,需采用“停流扫描”的方法,使被测组分停留在检测池中,然后用波长扫描测定。近年来发展的光电二极管阵列检测器能够同时测定吸光度、时间、波长三者的关系,通过计算机处理,可以在荧光屏上显示出三维图谱,也可作出任意波长的吸光度-时间曲线(色谱图)和任意时间的吸光度-波长曲线(紫外可见光谱图),参见图 6-26 及图 5-3。

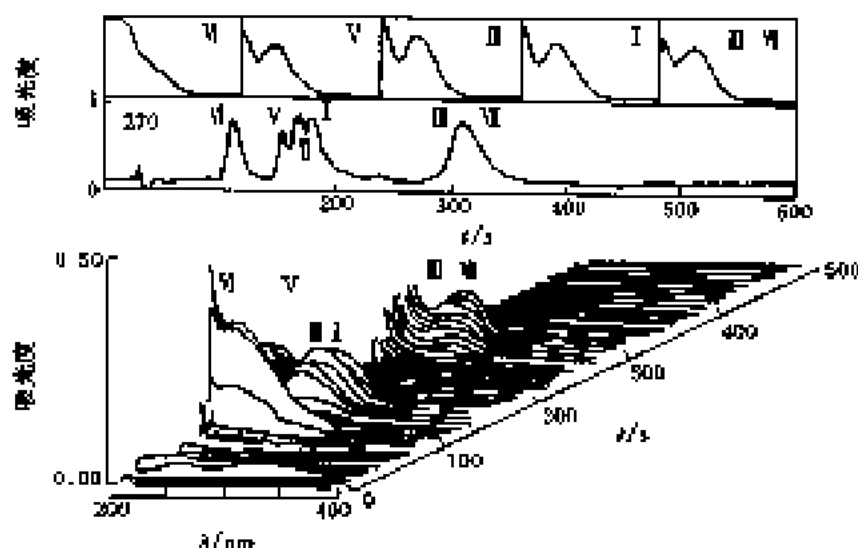


图 6-26 由 PAD 得到的吸光度-时间-波长三维图谱

光电二极管阵列检测器光路如图 6-27 所示。光源发出的光经过凹面镜(或透镜)聚焦在检测池上,光束通过检测池时被样品特征吸收,然后被光栅分光,形成按波长顺序分布的光谱带。光谱带再被聚焦在阵列式接收器上(一般由 512 个光电二极管排列组成,波长范围为 190 nm~800 nm)。阵列上每个光电二极管同时收到不同波长的光信号,并通过电子学的方法依次被快速扫描提取,储存在计算机中。扫描速度极快,每幅图像仅需 10 ms,远远超过色谱峰流出速度。

光电二极管阵列检测器与普通紫外可见光吸收检测器相比,光路安排上有重要区别。前者光源发出的光束先通过检测池被吸收后再被分光;后者光源发出的光束先被分光,然后选择一束特定波长的光束通过检测池。因此前者很难制成双光束检测器,检测稳定性较差;后者可把通过检测池前的单色光

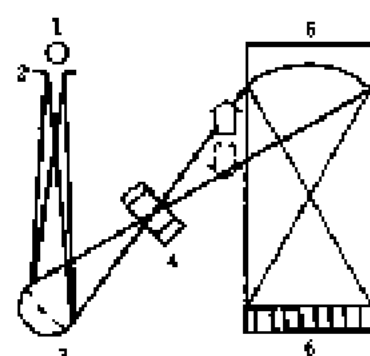


图 6-27 PAD 光路示意图

- 1—光源; 2—狭缝; 3—凹面镜;
4—样品池; 5—光栅;
6—光电二极管阵列

分成两束，一束通过检测池，另一束作为参考，实现双光束检测，检测稳定性大大提高。

(三、示差折光检测器 (RID))

示差折光检测器也称光折射检测器，是一种通用型检测器。基于连续测定色谱柱流出物光折射率的变化而用于测定溶质浓度。溶液的光折射率是溶剂（流动相）和溶质各自的折射率乘以其物质的量浓度之和。溶有样品的流动相和流动相本身之间光折射率之差即表示样品在流动相中的浓度。原则上凡是与流动相光折射率有差别的样品都可用它来测定，其检测限可达 $(10^{-6} \sim 10^{-7}) \text{ g} \cdot \text{ml}^{-1}$ 。表 6-10 中给出了常用溶剂在 20℃ 时的折射率。

表 6-10 常用溶剂在 20℃ 时的折射率

溶 剂	折 射 率	溶 剂	折 射 率
水	1.333	苯	
乙 醇	1.362	甲 苯	1.501
丙 酮	1.458	己 烷	1.496
四氢呋喃	1.404	环己烷	1.575
乙醚乙二氧	1.427	硝 烷	1.462
四氯化碳	1.463	乙 醚	1.368
氯 仿	1.446	甲 醇	1.375
乙腈乙腈	1.397	乙 酸	1.329
乙 腈	1.311	苯 酸	1.518
异辛烷	1.404	氯代苯	1.523
甲基异丁醇	1.594	二甲苯	1.500
氯代丙烷	1.482	一乙烷	1.387
甲乙酮	1.381	丙乙烷	1.424

示差折光检测器按结构可分为反射式和偏转式两类。偏转式折光检测器测量范围较宽 (1.00~1.75)，池体积较大，一般只在制备色谱和凝胶渗透色谱中使用。通常的 HPLC 都使用反射式，因其池体积很小（一般为 5 μl 左右），可获得较高的灵敏度；图 6-28 是这种检测器的光路示意图。

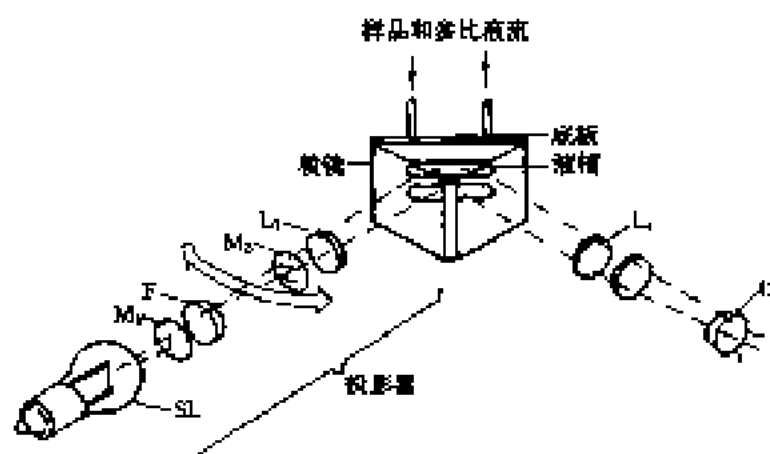


图 6-28 示差折光检测器的光路示意图

由光源 SL 发出的光经光栏 M_1 、红外线截止光片 F、光栏 M_2 及透镜 L_1 后分成两束平行光，然后射到三角棱镜上，棱镜上装有样品池及参考池，它们的底面是经专门抛光的不锈钢镜面。池体的液槽是由夹在棱镜和不锈钢镜面之间的聚四氟乙烯垫片经抽空后形成的。透射光在界面上经反射回来后，再经透镜 L_2 聚焦在光电倍增管 D 上，将光信号转变成电信号。光源装在一

个可调的支架上,可调节入射角使之接近于临界角,获得最高的灵敏度。由于折射率对温度的变化非常敏感,大多数溶剂折射率的温度系数约为 5×10^{-4} ,因此检测器必须恒温,才能获得精确的结果。

(四) 蒸发光散射检测器 (ELSD)

蒸发光散射检测器 (ELSD) 是近年新出现的高灵敏度、通用型检测器。自从 1985 年第一台商品化的 ELSD 问世以来,已有多家厂商可以提供该种检测器,ELSD 是一种质量型检测器,它可以用来检测任何不挥发性化合物,包括氨基酸、脂肪酸、糖类、表面活性剂等,尤其对于一些较难分析的样品,如磷脂、皂甙、生物碱、甾族化合物等无紫外吸收或紫外末端吸收的化合物更具有其他 HPLC 检测器无法比拟的优越性。此外,ELSD 对流动相的组成不敏感,可以用于梯度洗脱。ELSD 的检测灵敏度要高于低波长紫外检测器和示差折光检测检测器,检测限可低至 10^{-10}g 。另外,由于操作简便,可以与任何品牌的 HPLC 系统连接。

ELSD 由流出液雾化,溶剂蒸发,溶质检测三部分组成(如图 6-29)。色谱流出液在雾化器的人口端被吹入的气体(通常为空气或氮气)部分雾化,较大的液滴聚集下来流到下端的虹吸管中作为废液排出,而气溶胶进入到蒸发管中。

气溶胶通过蒸发管时,其中的溶剂被蒸发掉,剩余的样品溶质被送入检测池。由于 ELSD 需将溶剂(即流动相)蒸发掉,才能对样品溶质进行检测,所以要求色谱流出液中的溶剂是可蒸发的有机溶剂或水,而不允许含有无机酸、碱或盐,ELSD 通常采用的溶剂或有机改性剂列于表 6-11 中。

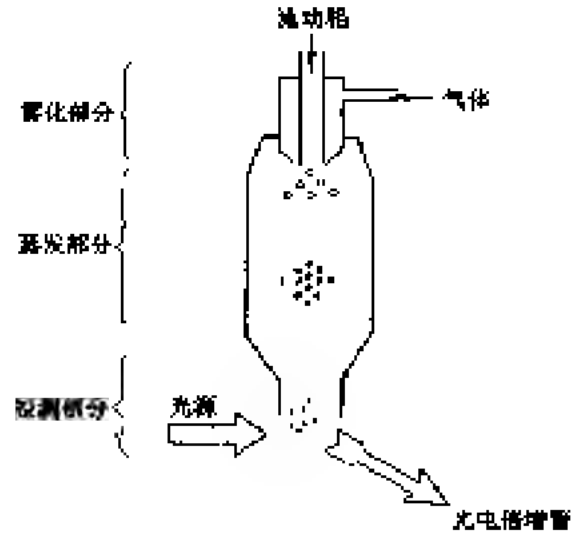


图 6-29 ELSD 组成结构示意图

表 6-11 ELSD 中常用溶剂与有机改性剂

HPLC 流动相	反相: CH_3OH , CH_3CN - H_2O
	正相: CHCl_3 , CH_2Cl_2 , CCl_4 - H_2O , C_6H_6
SEC 流动相	CO_2 , CH_3OH , $(\text{C}_2\text{H}_5)_3\text{N}$
其他流动相改性剂	NH_4OH , $\text{C}_2\text{H}_5\text{O}_2\text{N}$, NH_4OAc , HOOCOH , $\text{C}_2\text{H}_5\text{COOH}$, CF_3COOH , HNO_3

在蒸发管末端,载气将样品溶质微粒带入检测池(图 6-30)。检测池由一定角度的钨/卤灯(有的 ELSD 以激光作为光源)和光电倍增管组成。光源发出的光在样品微粒上发生散射后被光电倍增管检测,散射光强度与样品微粒质量的关系为

$$I = k m^b \quad (6-3)$$

式中, m 为微粒质量, k 、 b 为实验条件(如温度、流动相性质)决定的常数,因此可以根据散射光强度对样品进行定量分析。

ELSD 作为通用型检测器也存在着一些不足,①耗气量大(大约 $500 \text{ ml} \cdot \text{min}^{-1}$,相当于 1 钢瓶气体/24 h);②对于某些样品(如磷脂)检测器线性范围较窄,质量与峰面积有时不呈线性关系,常需要通过计算机模拟来校正响应,较为复杂;③若样品溶质为挥发性的,将会与溶剂一同蒸发,导致无法检测或响应极弱,往往需要通过降低蒸发温度才能准确定量。

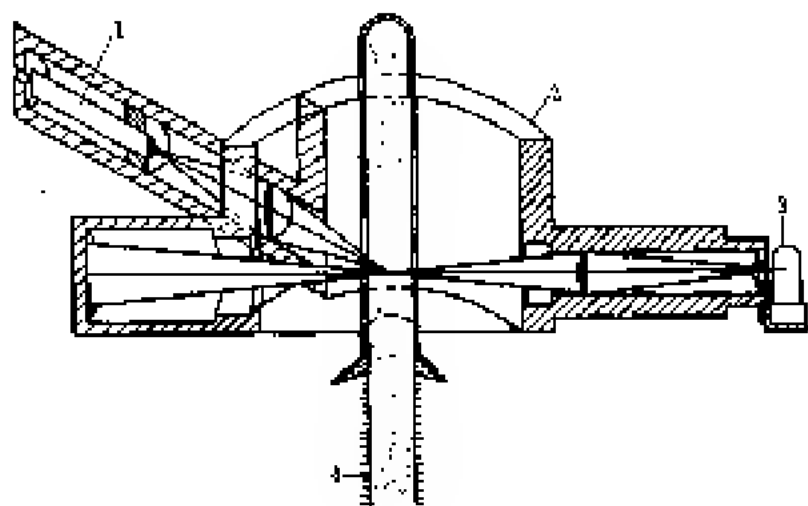


图 6-30 ELSD 检测池结构

1—光电倍增管；2—检测室；3—雾化灯；4—蒸发器

（五）荧光检测器

许多化合物，特别是芳香族化合物、生化物质、如有机胺、维生素、激素、酶等被入射的紫外光照射后，能吸收一定波长的光，使原子中的某些电子从基态中的最低振动能级跃迁到较高电子能态的某些振动能级，之后，由于电子在分子中的碰撞，消耗一定的能量而下降到第一电子激发态的最低振动能级，再跃迁回到基态中的某些不同振动能级，同时发射出比原来所吸收的光频率较低、波长较长的光，即荧光，被这些物质吸收的光称为激发光（ λ_{ex} ），

产生的黄光称为发射光（ λ_{em} ）。荧光的强度与入射光强度、量子效率、样品浓度成正比。图 6-31 是固定波长荧光检测器（FSD）示意图。

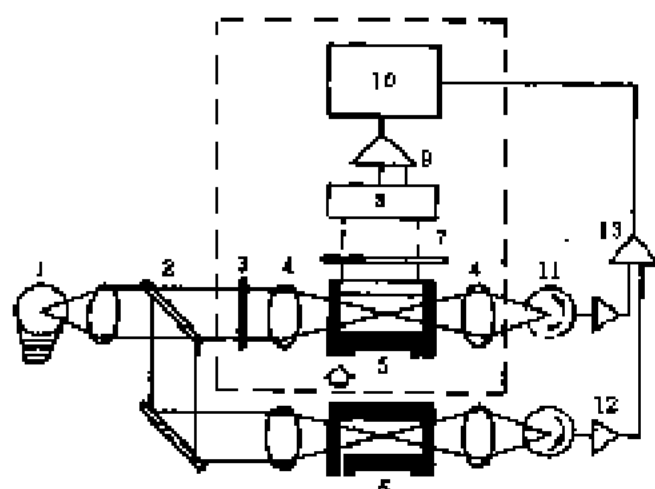


图 6-31 荧光检测器示意图

1—氙灯光源；2—10%反射镜；3—激发光滤光片；4—透镜；
5—测量池；6—参比池；7—发射光滤光片；8—光电倍增管；
9—放大器；10—记录器；11—光电管；
12—对数放大器；13—线性放大器

光被发出的光经半透镜分成两束后，分别通过吸收池和参比池，再经滤光片后，照射到光电倍增管上，变成可测量的信号。参比池有助于消除外界的影响和流动相所发射的本底荧光。一般采用氙灯作光源，以便获得宽波长范围（250 nm～600 nm）的连续强光谱。若在半透镜前置一单色器分光，测量池后也采用单色器选择测定波长，这种结构即为荧光分光检测器。

某些物质虽然本身不发光，但含有适当的官能团可与荧光剂发生衍生化反应，生成荧光衍生物，它们也可用荧光检测。衍化方法有两种，其一为柱前衍生化，此法较

简单，但定量重复性较差；其二为柱后衍生化，此法重复性好，但会造成谱峰的扩展参见第九章。在氨基酸和肽的分析中，经常采用荧光胺作为衍生化试剂，邻苯二甲醛、丹酰氯也是常用的衍生化试剂。文献[5]对不同种类的衍生化试剂的特征及应用已作了较详细介绍。

荧光检测器的最大优点是极高的灵敏度和良好的选择性。一般来说,它比紫外吸收检测器的灵敏度要高 $10\sim 1000$ 倍,可达 $\mu\text{g}\cdot\text{L}^{-1}$ 级,而且它所需要的试样很小,因此在药物和生化分析中有着广泛的用途。

(六) 电导检测器

电导检测器是离子色谱中使用最广泛的检测器,其作用原理是用两个对电极测量水溶液中离子型溶质的电导,由电导的变化测定淋洗液中溶质浓度。这种检测器的死体积小,如采用抑制电导法,其灵敏度可达 $10^{-11}\text{g}\cdot\text{ml}^{-1}$,线性动态范围为 10^6 。

将电解质溶液置于施加电场的两个电极间,溶液的电导值(电阻值 R 的倒数)与电极截面积 A 、两极间的距离 l 和各离子电导的总和 $\sum c_i\lambda_i$ 之间有如下关系

$$\frac{1}{R} = \frac{1}{1000 l} A \sum c_i \lambda_i \quad (6-4)$$

式中, c_i 为某一离子的物质的量浓度; λ_i 为该离子的摩尔电导。

离子的摩尔电导随溶液浓度的改变而变化。在无限稀释情况下,离子的摩尔电导达到最大值,称为极限摩尔电导。在表6-12中列出了常见离子在水中的极限摩尔电导值。

表 6-12 水溶液中离子的极限摩尔电导

离 子	λ°	离 子	λ°	离 子	λ°	离 子	λ°
OH^-	198	乙酸盐	41	Li^+	350	Zn^{2+}	115
F^-	54	丙酸盐	36	Li^+	39	Hg_2^{2+}	15
Cl^-	76	SCN^-	66	Na^+	50	Cu^{2+}	55
Br^-	76	SO_4^{2-}	56	K^+	73	Pb^{2+}	71
I^-	77	CO_3^{2-}	72	NH_4^+	74	V^{3+}	55
NO_3^-	71	PO_4^{3-}	69	Ag^+	62	Fe^{3+}	58
HCO_3^-	45	$\text{Fe}(\text{C}_2\text{O}_4)_3^{3-}$	101	Ti^+	75	Mg^{2+}	53
BO_3^{3-}	41	$\text{Fe}(\text{CN})_6^{3-}$	111	Ca^{2+}	60	CH_3NH_3^+	56
ClO_3^-	67	BiO_3^-	55	Sr^{2+}	59	$(\text{CH}_3)_2\text{NH}_2^+$	52
ClO_4^-	67	甲酸盐	58	Ba^{2+}	64	$(\text{CH}_3)_3\text{NH}^+$	47

电导测量中, A/l 称为电导池常数 K 。电导池常数为1时,测定出的电导值称为比电导率,其单位为 $\Omega\cdot\text{cm}^{-1}$ 。水溶液的电导值常用单位为 $\text{m}\Omega\cdot\text{cm}^{-1}$ 。比电导率仅与溶液中离子浓度有关,对于浓度在 $10^{-3}\text{mol}\cdot\text{L}^{-1}$ 以下的稀溶液,离子摩尔电导值接近极限摩尔电导值。可以用表6-12中的数据 and 公式(6-4)计算溶液的电导值。

(七) 安培检测器

安培检测器采用固体工作电极,电极可用于较高的正电位,故能检测氧化性物质,适用范围很宽。安培检测器结构简单,池体积小,响应快,噪声低,灵敏度高。但是由于电极表面不能更新,容易污染,图6-32给出了典型的薄层式安培检测器结构图。

图6-31中工作电极一般是以碳糊、石墨或汞膜为基质,表面经过严格抛光制成的。碳糊电极在制备时要按一定比例掺入精制液体石蜡、润滑剂、矿物油或硅油等。参比电极一般为 Ag/AgCl 电极,辅助电极是用金或白金制成的。一般在工作电极和参比电极之间施加一恒定的电位,经色谱分离后的溶质通过一个很小体积的薄层池,当所加的电位比要分析溶质的氧化电位更正时(若使用还原剂则所加的电位比要分析溶质的还原电位更负),溶质就会在电极和溶液之间发生氧化(或还原)反应,这样在溶液和电极之间就会产生电子转移,从而形成电流。将这种很微弱的电流接收、放大并记录下来,就得到了色谱图。

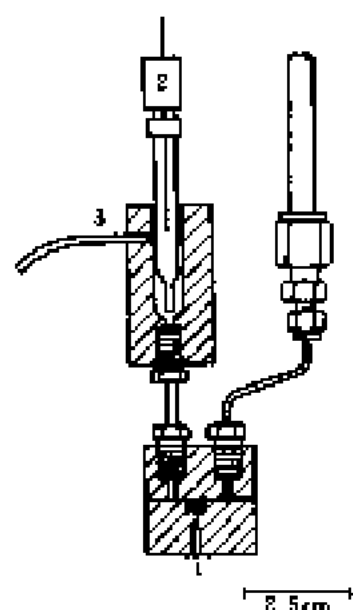


图 6-12 典型的薄层式电极
检测器结构图

1—工作电极；2—参比电极；
3—辅助电极

(八) 化学反应检测器

HPLC 的发展要求通用型的高灵敏度检测器。前面介绍的 HPLC 常用检测器中灵敏度高者都是选择型检测器，要求被测物质具有某些特定的性质。通用型检测器只有示差折光检测器及热发光散射检测器两种，灵敏度皆不很高，达不到分析微量以致痕量成分的目的。因此，近年来发展了将被测物质进行某种化学反应（衍生反应、酶反应等）后再用高灵敏度的某种检测器检测的化学反应检测器。氨基酸分析仪是其典型应用。将无色的氨基酸通过色谱柱分离后与衍生化试剂茚三酮反应，生成在 570 nm 处有强吸收的有色化合物，然后用紫外-可见光吸收检测器检测。表 6-13 列出了可用于 HPLC 化学反应检测器的一些化学物质。

化学反应检测器的最初阶段多采用液液化学反应，这种反应方式会引起本底增高，并由于柱外效应引起谱带展宽，限制了化学反应检测器的使用。近年来，开始探索液固化学反应在化学检测器中的应用，发展了固相化学反应检测器。这大大减小了柱外效应，过量的反应试剂和催化剂也不会进入检测器，减小了本底和对谱带展宽的影响，使化学反应检测器得到较快发展。特别

是近些年来生物医学中使用了固定化酶反应器，大大提高了 HPLC 化学反应检测器的检测能力。

表 6-13 用于 HPLC 化学反应检测器的某些化学物质

试 剂	检测的化合物	说 明
荧光胺	胺、氨基酸、肽	快速、很灵敏，荧光检测
邻苯二甲胺	胺、氨基酸	快速，很灵敏，荧光检测
茚三酮	胺、氨基酸	140%，1 min, 570 nm, 440 nm 检测
邻硝基萘酚盐	羧酸、其他酸	快速，332 nm 检测
2,1-二硝基萘并 Ce^{4+}	醛、酮	反应时间 3 min, 430 nm 检测
酶和酶作用物	酶抑制剂(如有机磷和氨基甲酸酯类)	反应时间和温度对不同化合物不同，发 光检测
对于某一特定酶的底物	任何酶类(例如乳酸脱氢酶、肌酸酐转氨酶、碱性磷酸酯等)	很灵敏，特征反应
Griess 试剂	亚硝酸盐、亚硝胺、亚硝基、氨基甲酸酯、亚硝胺类固醇	很灵敏，特征反应
铁氰化合物	还原剂、可氧化的化合物	反应时间 3 min, 550 nm 检测
新亚铜试剂	还原剂	用电化学检测器检测亚铁化合物
5,5'-二硫代(2-硝基)苯甲酸	还原剂	反应(3~15) min, 97 °C
乙二胺-六氟高铁酸盐	还原剂或含有 -SH 的酶类	快速反应，412 nm 检测
Kober 反应(H_2SO_4 -靛蓝)	儿茶酚胺	75 °C, 5 min, λ_{ex} 400 nm, λ_{em} 510 nm, 发 光检测
9,10-菲醌	儿茶酚胺	130 °C, (10~15) min, λ_{ex} 335 nm, λ_{em} 560 nm, 荧光检测
N-甲基苄胺	儿茶酚胺	60 °C, 2 min, λ_{ex} 365 nm, λ_{em} 460 nm, 发 光检测
异烟醇	儿茶酚胺	100 °C, 2 min, λ_{ex} 380 nm, λ_{em} 450 nm, 发 光检测
	$\Delta^4, \Delta^5, \Delta^6$ 甾类	70 °C, 2 min, 440 nm, λ_{em} 460 nm, 发 光检测

(九) 其他检测器

在 HPLC 中除上述常用检测器外, 还有一些检测器可供选择使用。

1. 介电常数检测器

介电常数检测器是一种通用型检测器, 灵敏度低, 通用性强。工作原理是: 随流动相中流出组分的变化, 其介电常数、电容量也改变, 因此测定流动相的电容量变化, 即可检测组分的变化。介电常数检测器性能类似于示差折光检测器, 但其应用不如前者普遍。

2. 电位测定检测器

电位测定检测器利用离子选择电极测定流出液的电位, 流出液组成改变, 电位也发生变化。使用不同的离子选择电极 (如卤离子电极, 银离子电极等) 可测定不同的离子浓度变化情况。

3. 放射性检测器

放射性检测器是一种检测流动相中有放射性标记组分的特殊检测器, 其响应范围很宽, 对无放射性的流动相成分的改变不敏感, 可有效地使用梯度洗脱技术。

4. 光电导检测器

光电导检测器是利用某些化合物受强烈紫外光照射引起光电离形成离子的现象, 在电导池中检测。这种检测器对卤代物和许多含硫和氮的光敏化合物有选择性响应。光电导检测器对某些化合物的灵敏度比紫外-可见光吸收检测器还高, 可达 10 g , 两者线性范围相似。

5. 红外检测器

红外吸收可用作 HPLC 的选择性检测。这种方法主要用于凝胶色谱, 且只能用于流动相对所用红外波长没有吸收的体系。这里所说的红外检测器与 HPLC-FTIR 联机时 FTIR 作为检测器不同, 后者由于快速扫描和快速傅里叶变换, 不用停流就可以得到每一个色谱峰的红外光谱图。

常用的 HPLC 检测器一般性能列于表 6-14。

表 6-14 常用 HPLC 检测器的一般特性

性 能	紫外-可见	示差折光	放射性	电化学	红外	荧光	蒸发光散射
类 型	选择型	通用型	选择型	选择型	选择型	选择型	通用型
检测物质	可以	不可以	可以	不可以	可以	可以	可以
线性范围	100	104	很大	106	104	约 103	较小
灵敏度	$10^{-10}\text{ g}\cdot\text{ml}^{-1}$	$10^{-7}\text{ g}\cdot\text{ml}^{-1}$	$50\text{ pgm}\cdot\text{cm}^{-1}$ ml^{-1}	$10^{-10}\text{ g}\cdot\text{ml}^{-1}$	$10^{-8}\text{ g}\cdot\text{ml}^{-1}$	$10^{-11}\text{ g}\cdot\text{ml}^{-1}$	10^{-10} g
对流速敏感性	不敏感	不敏感	不敏感	敏感	不敏感	不敏感	不敏感

第五节 液相色谱分析中常出现的问题及解决方法

作为优秀的色谱工作者, 不仅要有熟练的操作技能, 避免因操作不当引起仪器故障, 而且应掌握仪器系统的保养知识, 并能够在仪器系统出现故障时, 查明原因, 排除故障, 使仪器系统正常运行。对 HPLC 系统故障的排除已有专门论述^[1], 本节只对一般情况加以简单说明。

一、液相色谱输液泵常见故障

表 6-13 液相色谱输液泵常见故障的判断和处理

现 象	原 因	排 除 方 法
1. 压力高于正常值	(1) 流量设定值有误 (2) 泵出口过滤器堵塞 (3) 柱头被杂质所堵塞 (4) 柱前过滤器阻塞	(1) 重新调整 (2) 拆下过滤器用硝酸超声清洗 (3) 拆开柱头、清洗柱头过滤片,如杂质颗粒已进入柱床堆积,应小心慢慢地挖去该积物和已被污染的填料,然后用相同类型的颗粒填料补平,切勿使柱头留下空隙 (4) 清洗柱前过滤器,清洗后如压力还高可换上新过滤器
2. 压力低于正常值或者流量小于设定值	(1) 泵联锁处堵塞 (2) 柱前密封处堵塞	(1) 将泄漏处重新拧紧或更换密封环,也可滴一点高纯氧乙烯溶液临时解决问题,待以后再作处理 (2) 更换新柱前密封环
3. 在无流通时,压力表高于或低于零点	压力传感器输出未调好	用小螺丝刀调节压力传感器螺丝,直到指示表头为零
4. 柱压升高柱流量减少	(1) 柱子,保护柱或填料部分堵塞 (2) 检测池或检测器的入口管、部分堵塞	(1) 清洗或更换柱入口过滤片;更换柱子 (2) 拆卸并清洗检测池和(或)管路
5. 柱压波动	(1) 高压泵系统中有泄漏(入口隔膜、进样阀、入口紧固件等) (2) 单向阀被污染,部分堵塞 (3) 泵液缸中有气泡	(1) 查出并修理泄漏 (2) 观察柱塞推杆的动作,向前压力下降,入口阀有问题;向后压力下降,出口阀有问题;应拆下泵液缸清洗或更换单向阀 (3) 在泵的出口接一只 10ml 注射器,推动注射器用产生负压的方法将气体吸出,如不成功可反复多次直到气泡排净为止
6. 泵流量变小	(1) 泵内气泡聚集 (2) 溶剂过滤器阻塞 (3) 入口单向阀过滤片堵塞 (4) 泵中两溶剂不互溶 (5) 柱塞密封泄漏 (6) 密封圈变形 (7) 泵头位置不对	(1) 同泵液缸中有气泡的情况 (2) 打开溶剂抽滤阀,使溶剂不能很快流出,说明过滤器堵塞,可清洗或更换 (3) 如果出口单向阀过滤器无故障,拆下泵头壳和抽头管,溶剂不流出,说明入口单向阀过滤片堵塞,应拆下清洗或更换 (4) 用一介丁两种溶剂中低极性的过渡溶剂来溶解互不相溶的两种溶剂 (5) 更换柱塞密封 (6) 上紧或取下更换圈盖 (7) 重新调整泵头位置
7. 泵不吸液	(1) 泵头内有气泡聚集 (2) 入口单向阀堵塞 (3) 出口单向阀堵塞	(1) 排除气泡 (2) 检查更换 (3) 检查或更换
8. 有柱压但检测器中无流动相流出	(1) 系统中严重堵塞 (2) 流路堵塞 (3) 柱入口端被微粒堵塞	(1) 修理隔膜、进样阀或泵与检测器之间的管路和紧固件 (2) 拆除进样接口、进样阀或柱与检测器之间的连接管及检测池内的杂质 (3) 清洗或更换柱入口过滤片,另换一支柱子,过滤所有样品和溶剂
9. 开泵后没有流量指示和柱压	(1) 泵液缸中有空气 (2) 在泵与柱或进样系统间严重堵塞 (3) 溶剂贮槽已空	(1) 在泵中循环排气:拆开泵的出口接头并在最大流量下开泵,直到没有气泡出现为止 (2) 排除堵塞处 (3) 重新贮液

现 象	原 因	排 除 方 法
10 流量不稳	(1) 泵头内有气泡聚集 (2) 泵中溶剂分层 (3) 高压泵噪声过滤器堵塞或 有漏洞 (4) 泵头失灵 (5) 输液管路偶成或泵分堵塞	(1) 用30 ml 注射器抽出泵头溶剂, 然后高压泵压入泵内, 同时打开阀使气泡排出 (2) 采用致密溶剂使两者互溶 (3) 检查并排除 (4) 检查泵头位置是否适宜, 用聚苯乙烯样品作为内标物, 检查流量的稳定性 (5) 逐段检查管路进行排除
11 没有压力	(1) 两泵头内有气泡 (2) 进样阀堵塞 (3) 泵连接管路漏 (4) 泵比阻高	(1) 同“流量变小”的排除方法 (2) 检查并排除 (3) 用扳手上紧接头或换上新密封 (4) 上泵或拆下换新网
12 泵有尖叫声	活瓣密封粘结	调节泵头柱密剂, 如还不正常则可更换泵头密剂
13 泵有咔哒声	(1) 活瓣粘粘 (2) 柱密封粘结	(1) 拉出活瓣杆检查, 对粘结活瓣杆的泵头应重新调整 (2) 检查、更换

二、高效液相色谱柱常见故障

表 6-16 高效液相色谱柱常见故障的判断及排除

现 象	判 断	排 除 方 法
1 柱压高于正常值	(1) 柱前过滤器堵塞 (2) 长期使用低强度固定相粘结 (3) 分析生化、染料等易性染固定相的样品	(1) 拆下过滤器用硝酸超声清洗 (2) 按掉柱头部分修补柱端 (3) 改用保护柱
2 柱压低于正常值	某处接处松动	高压查找泄漏处, 拆下柱了适当拧紧或衬垫四氟乙烯圈
3 塔板数下降	(1) 柱龄服役 (2) 柱被污染	(1) 柱再生或换柱 (2) 清洗

三、根据色谱图的变化判断仪器故障

表 6-17 根据色谱图的变化判断仪器故障或方法失误

故 障 现 象	可 能 的 原 因	排 除 方 法
进样后不出峰	(1) 检测器选择不当, 样品无吸收 (2) 试样溶液浓度太低, 而检测灵敏度不高 (3) 检测器与记录仪之间的输入信号线连接不好或断开 (4) 记录仪的信号线接错 (5) 进样用密封圈堵塞或泄漏, 使样品溶液不能进入进样阀	(1) 正确选择检测器, 如样品无紫外吸收就不应选 UV 检测器, 而应选其他的检测器 (2) 应适当提高样品浓度和进样量, 并提高检测灵敏度 (3) 检测接好信号并将灵敏度调到适当的位置 (4) 检查接线, 并正确连接 (5) 修理注射器或更换新注射器
进样不出峰或者峰高不正常	(1) 注射器漏漏 (2) 旋转子下针头密封垫磨损导致泄漏 (3) 选用的注射器针头与阀不匹配 (4) 定了与转子接触密封面损坏引起内漏或外漏 (5) 进样量不准确	(1) 更换新注射器 (2) 更换新的零件 (3) 更换合适的针管 (4) 损坏不严重时经重新研磨, 使之恢复性能, 否则更换新密封子 (5) 设法打通, 或者换新的

续表

故障现象	可能的原因	排除方法
出峰无名峰	(1) 针子针头密封处及进样料导管内漏 (2) 因样品通路保持不干净	(1) 清洗阀的样品通路 (2) 方法同(1)
峰形拖尾	(1) 进样量过大与阀连接处出现死区 (2) 进样器内有污染或不干净 (3) 色谱柱选择不当, 试样与固定相偶有作用 (4) 进样技术差 (5) 样品在流动相中溶解度小 (6) 进样量太大 (7) 色谱柱与阀的连接处连接处出现死区	(1) 更换料管消除死区 (2) 同先用 2:1:1 的硫酸-硝酸-水的混合溶液清洗, 接着用稀氢氧化液, 然后用内酮或乙醇等溶剂清洗、烘干 (3) 更换色谱柱 (4) 提高进样技术 (5) 选用对试样溶解能力强的溶剂作为流动相 (6) 减少进样量 (7) 重新装柱或更换
分离度差	(1) 柱内固定相脱落 (2) 柱填料层塌陷 (3) 柱子寿命已到 (4) 进样量过大 (5) 样品浓度过大 (6) 试样溶解不完全 (7) 试样浓度大 (8) 色谱柱污染柱效下降	(1) 故障检修, 重填固定相 (2) 修补柱端 (3) 更换新柱 (4) 减少进样量 (5) 减小配样浓度 (6) 换溶剂使其完全溶解 (7) 减少进样量, 稀释进样液 (8) 更换柱子或以强极性溶剂冲洗
保留时间不重复	(1) 更换流动相时旧流动相未完全被置换掉 (2) 正相柱中流动相脱木不完全 (3) 柱温变化 (4) 缓冲液容量不够 (5) 柱内条件变化 (6) 柱塌陷或形成短路通道	(1) 延长平衡时间 (2) 重新装水 (3) 柱平衡 (4) 用较浓的缓冲液 (5) 确定进样条件, 调节流动相 (6) 更换色谱柱
出现无规律色谱峰	长期进样样圈在柱中的组分被洗脱出来	用强极性溶剂冲洗再用流动相平衡
平顶峰	(1) 色谱柱超载 (2) 记录仪灵敏度过高 (3) 记录纸机械部分有故障 (4) 记录仪接收的信号超过了测量范围 (5) 检测池及其透镜、池窗等光学附件污染	(1) 减少进样量 (2) 适当降低记录仪的灵敏度 (3) 参照有关说明书进行修理 (4) 改变记录位置 (5) 清洗检测池以及透镜、池窗等光学附件
出负峰	(1) 记录仪或检测器极性接反 (2) 用示差折光检测器检测时, 样品的折光指数小于流动相溶剂的折光指数 (3) 使用的流动相不纯净 (4) 样品池与参比池接反 (5) 进样故障 (6) 光电池与放大器接错 (7) 用 UV 检测器时, 除样品所用的溶剂与流动相溶剂不相溶或两者 pH 值不同, 当溶剂通过检测池时, 恰在两种互不相溶的界面上产生折射, 从而使光电池接受到不同强度的光, 光强度减弱, 以至于低于参比, 也可出负峰	(1) 纠正极性连接错误 (2) 若要得到正峰, 可改变检测器或记录仪的极性 (3) 使用纯净的流动相 (4) 调换 (5) 使用进样阀, 确认在进样期间样品环中没有气泡 (6) 检查后正确连接 (7) 应尽量采用能与流动相溶剂互溶的溶剂来溶解样品, 最好用流动相作为样品稀释

续表

故障现象	可能的原因	排除方法
色谱峰未分开	<ol style="list-style-type: none"> 色谱柱分离度低,柱效不高 色谱柱或色谱条件(溶剂、检测器温度、流速、柱子等)选择不当 柱子污染 流动相流速过大 柱中填料流失过多,增加了死体积 进样技术不佳 	<ol style="list-style-type: none"> 选择两枚柱或重新装柱 再行试验选择最佳色谱分离条件 减少进样量或采用“再循环分离”技术 适当降低流速 更换色谱柱 提高进样技术
有杂峰(假峰)	<ol style="list-style-type: none"> 不同组分不同处理条件的溶剂分别用来溶解或作为流动相时,易出杂峰 流动相溶剂中有杂质或气泡,用该流动相配制会出杂峰 样品中未知物 柱未平衡(尤其易见于变色谱) 选择峰数杂峰 与流动相的组成不同的样品溶剂脱附 用不同批号的溶剂溶解样品 	<ol style="list-style-type: none"> 最好使用同一批,又是在同一条件下处理过的溶剂,用它分别作为流动相或溶解,则有可能避免出假峰 对流动相溶剂,应坚持先以$0.5\mu\text{m}$过滤器过滤和脱气后再使用 处理样品 重新平衡柱,用流动相作样品溶剂 每次使用后用溶剂清洗 用流动相溶解样品,大大减少进样量 应尽量采用同一溶剂和相同处理条件的溶剂溶解,若采用不同溶剂时,应注意空腔柱头壁带来的影响
基线不能回零	<ol style="list-style-type: none"> 样品粘度高 进样量太大,柱超载 溶解样品的溶剂与流动相不相互溶 柱效低,柱内有空腔 进样装置部分堵塞 	<ol style="list-style-type: none"> 适当减小样品浓度,并用溶剂更彻底溶解 减小进样量 尽量采用相互溶的溶剂来溶解试样 改用高容柱或重新装柱 检修进样器并清洗之
基线有噪声	<ol style="list-style-type: none"> 记录仪与检测器信号输出接触不良 电压不稳 接地线不好 泵中有气泡,泵压不稳 溶剂纯度不高,背景吸收强,透光差 检测池污染 示差折光检测器灵敏度 用 RI 检测时,环境温度变化太大 样品池或参比池中有气泡 检测器光源(灯泡)故障 紧固件或连接件松动 进样装置部分堵塞 由泵的冲程引起的流动脉中 隔膜泄漏 	<ol style="list-style-type: none"> 检查并接好信号线 采取稳压措施 应改用良好的接地线 用减压的方法赶除泵头内的气泡 换纯溶剂或选纯度比较高(至少应为分析纯级),透光性好的溶剂作为流动相 清洗检测池 检修或更换光源 应采用恒温或温度变化不大的环境作实验 应加大流量赶出气泡,在检测器出口加上脱气器以增大池内压(如果检测池耐压的话) 更换光源 拧紧或更换紧固件 检修进样器并清洗 连接脉冲阻尼装置,使用无脉冲泵 更换隔膜,最好使用进样阀
基线漂移	<ol style="list-style-type: none"> 溶剂纯度低 前次分离样品中的强吸附组分从柱上洗脱 由载流造成柱入口、进样阀、柱入口的部分堵塞 溶剂分层 载流中的强吸收物 	<ol style="list-style-type: none"> 清洗贮液瓶,重新流动相冲洗柱子 在分离之前用强流动相从柱中洗脱所有的组分,使用溶剂冲洗进样柱 清洗进样系统,柱入口过滤器 采用合适溶剂 检查流量,如泵系的输出随温度变化,应控制温度

故障现象	可能的原因	排除方法
基线漂移	(6) 检测器故障 (7) 柱污染或“滴失” (8) 检测器温度变化 (9) 光源故障	(6) 清洗检测器 (7) 再生或更换(如果再生不成功, 柱子, 使用溶剂) (8) 使系统稳定 (9) 更换光源灯
基线噪声大, 且漂移	(1) 环境温度变化大 (2) 色谱系统未达平衡 (3) 柱下污染 (4) 示差折光检测器池液升	(1) 保持恒温箱稳定 (2) 延长色谱系统达到平衡时间 (3) 用大量溶剂性溶剂冲洗柱子, 如还不解决问题应更换柱子 (4) 检查更换
基线不规则波动	(1) 色谱试剂受污染 (2) 溶剂纯度差 (3) 溶剂不稳定 (4) 用新检测器时, 两溶剂互溶性不好 (5) 环境温度变化大(指使用 RI 检测器) (6) 管路漏 (7) 色谱池没有完全平衡 (8) 溶剂直接吸收了空气中的水分, 使 RI 检测器不稳定	(1) 冲洗柱子, 重新装柱或更换新柱子 (2) 更换试剂瓶 (3) 检查密封是否密封或更换密封圈 (4) 使两溶剂能较好地互相混合, 必要时可采取稀释方式 (5) 应采取恒温措施 (6) 检查管路, 并消除泄漏处 (7) 延长冲洗时间, 使柱子达到平衡 (8) 阻止溶剂与潮湿空气接触或用干燥剂干燥溶剂
记录仪基线上出现大的尖峰	(1) 检测池内有气泡通过 (2) 实验室内其他电器装置(例如 恒湿箱等, 其他色谱仪等)的影响	(1) 应彻底气并彻底冲洗系统, 检查密封圈是否有空气漏入系统 (2) 消除噪音来源, 确保装置接地良好, 用绝缘支架将仪器绝缘
基线峰峰式上升	(1) 记录仪的增益和阻尼控制不当 (2) 记录器或仪器接触不良	(1) 调整增益和阻尼设置, 使记录基线快 (2) 小心检查接触点
色谱峰无规则地移动	检测池内有气泡	排除检测池内的气泡
峰呈现拖尾	(1) 注射器针头太长, 样品被部分漏掉 (2) 进样技术欠佳, 表现为峰面积较大而小 (3) 管路有泄漏处 (4) 仪器没有充分稳定 (5) 实验条件发生变化 (6) 检测器有泄漏或堵塞现象 (7) 进样速度不一致 (8) 进样阀开关不良, 阀门没有充分打开 (9) 样品溶解度小, 进样后有少量在流动相中析出 (10) 流动相流速发生了变化	(1) 选用合适的针头并 UDK 进样装置以 (3-8~5-0) cm 为宜 (2) 认真掌握注射器进样技术, 使注射进样重复性误差小于 5% (3) 检查并修复 (4) 对仪器再次预热稳定冲液平衡 (5) 使实验条件(检测器灵敏度、流速、温度等)尽可能一致 (6) 修复或更换注射器 (7) 掌握一种进样速度 (8) 检查并修复进样阀开关 (9) 选用的溶剂或样品的溶剂是对试样有好的溶解能力且能与流动相互溶的溶剂 (10) 用内标物定量检查流动相流速
峰分裂(一个组分有两个峰)	(1) 样品小可能有异物混 (2) 样品不稳定有部分分解 (3) 进样量大, 柱超载 (4) 柱中有孔隙	(1) 按样品特征选择分离条件, 使两峰达完全分离 (2) 采取措施, 防止试样组分的部分分解 (3) 减小进样量 (4) 更换柱子
峰展宽	(1) 进样体积过大 (2) 柱外体积过大 (3) 流动相粘度太高 (4) 保留时间过长 (5) 样品污染	(1) 减小进样体积 (2) 减小检测池等体积 (3) 增加柱温, 采用低粘度流动相 (4) 每度洗脱时增加强溶剂浓度, 或采用梯度洗脱 (5) 稀释样品, 或采用小体积样品

四、液相色谱仪的日常维护及应注意事项

(一) 液相色谱柱的日常维护

表 6-18 液相色谱中对流动相的要求

(1) 溶剂必须“干净”，在使用前需经过过滤器除去颗粒杂质，必要时，在进样口再加一块滤板，以除去可能由泵带来的颗粒
(2) 必须控制溶剂中溶质的含量，过高时会使吸附活性降低，保留时间下降
(3) 加药在一定 pH 值下操作，须定期测定流动相的 pH 值，空气中的 CO_2 溶解在流动相内将引起 pH 值的改变，特别是贮液瓶密封不严时这种影响可能更大
(4) 纸质或半纸质填料的溶剂萃取吸附性的变化而变化，使用新柱时应先用 25~30 倍柱体积的合适流动相平衡，更换流动相时，如果两种流动相不互溶，需采用过渡溶剂将前一种流动相逐步溶解除去（例如，2,2,4-三甲基戊烷换成甲醇时，必须用乙醇乙醚或其他溶剂过渡，直到标准物保留值达到稳定状态）
(5) 为延长不甚昂贵、价格昂贵的高效柱寿命，可在进样器和色谱柱之间安装预柱（预柱应有足够的杂质容量），对流动相和样品中的颗粒和杂质进行最后的过滤；在填充和连接预柱时，不应有额外造成滞留室或分离度下降的死体积，预柱与色谱柱的体积之比应保持为 1:15 至 1:25，以减少倍率变宽

表 6-19 液相色谱柱的日常维护

(1) 每次开机时，泵压和柱压要逐渐增加，突然迅速增加，会使柱床受到冲击，引起紊乱，产生空隙
(2) 在进样前使色谱系统充分平衡，是否平衡可由峰宽加以判断
(3) 在进样前，检查色谱系统的各个接头，通常由此能发现是否有漏液现象，如有漏液，空气会从漏处进入系统引起基线漂移，影响峰高和峰面积的重复性
(4) 不要把柱接头上得太紧，否则易损坏接头螺纹，引起泄漏
(5) 不要把柱子放在有气流的地方或直接放到阳光下，气流和阳光都会使柱子产生热胀冷缩而造成基线漂移；如果怀疑基线漂移是由温度波动引起的，可以用设法使柱子恒温
(6) 若仪器用做常规分析，样品种类有限，但分析次数很多，则不妨为每一类常规分析配置一根专用柱，这样有助于延长柱寿命
(7) 如果怀疑样品会污染色谱柱，可以用合适的溶剂（几百毫升）慢慢冲洗柱子过夜，第二天早晨再用流动相重新平衡柱子（约 3 min）
(8) 在因装如、更换、贮存等而搬动柱子时，动作要轻，不要使其受到碰撞，以免柱床因震动产生空隙或通道
(9) 柱要加标签，新旧分开，不要放在温度变化很大的地方
(10) 柱了不用或贮存时，应封闭并贮存在清洗溶剂中（见表 6-19）

表 6-20 固定相的贮存与所用溶剂

固定相	硅胶、氧化铝、正相键合相	反相色谱填料	离子交换填料
贮存溶剂	2, 2, 4-三甲基戊烷	甲醇	水
常用溶剂	二氯代烷烃、醚、醚/醇溶液	—	—

(二) 柱子的清洗和再生

1. 柱子的清洗

即使样品和流动相已做过前处理，也仍难以完全避免柱子受到污染，因此必须对柱子进行清洗，清洗应定期进行，如果在短期内分析许多样品，则以每日清洗一次为宜，至少也应一周一次，防止有太多的杂质在柱上堆积。

反相柱的常规清洗办法是：分别取甲醇、三氯甲烷、甲醇-水各 20 倍柱体积 [即对于一根 4.6 mm 内径 \times 25 cm 的柱来说，通常是 (50~60) ml，而对于 9.4 mm 内径 \times 50 cm 的柱来

脱,通常是(500~600) ml],使之通过柱子,然后用流动相平衡(通常仍用20倍柱体积),柱一般将恢复正常。如果选择性仍和以前不一样,则表明还有其他杂质留在柱子里,这时应考虑更加严格的清洗:先用20倍柱体积的水,再用相同体积的 $0.05\text{ mol}\cdot\text{L}^{-1}$ 硫酸,最后用流动相溶剂,酸洗常能洗下有机溶剂所不能洗下的剩余杂质。在低pH值下做长期(一天或更长)清洗是不适宜的,但50 ml洗液以 $2\text{ ml}\cdot\text{min}^{-1}$ 的速度清洗25 min,一般对键合相没有损害。注意,强碱不能用来清洗任何微粒硅胶柱(不论是键合相还是非键合相),因为硅胶骨架会溶解。对于严重污染的反相柱,只能采用再生的方法。

2. 柱头孔隙的处理

拆下不锈钢烧结过滤器后,检查柱床,常可见柱头塌陷,此时先剔掉无规则床层和带色填料,使柱床呈白色并完全水平,再用甲醇作糊状填料匀浆液,将填料匀浆液滴在柱上靠重力从匀浆液中排出甲醇液,重复数次,直到水平,完成了柱的再生。此时,如果柱头孔隙深度小于1 cm,可以采用下述局部重装的办法,否则,柱应当完全重装或更换。

柱入口局部重装时采用的填料可以和柱内原有填料一样,也可以用玻璃珠,粒径大于 $20\text{ }\mu\text{m}$ 的可以用敲打充填法干装。如果粒径小于 $20\text{ }\mu\text{m}$ 则要用合适的溶剂配成匀浆,匀浆逐次加入,每次加入前都要使上一次加入的全部沉降,把孔隙填满后,用一把刮刀将填料刮平,更换柱入口接头,把柱重新接到液相色谱系统中,慢慢地增加流动相流速和系统压力,直到操作1 h为止,让相当于10~20倍柱体积的流动相通过柱子,然后逐渐降低柱流速,并使压力降为零,再把柱子卸下来,并卸下入口接头,观察柱的入口。此时孔隙应当减小,但是由于新加入的填料在系统的操作压力下压入柱头,孔隙不可能一次就被全部充满。重复上述局部重装过程,直到柱上加不进更多的填料为止。一旦柱子填充完毕,可加进混合样品,测定柱子的性能是否已经改善。

3. 柱再生

色谱柱使用一段时间后,柱效将会下降,必须进行再生处理。再生处理包括活化(自右向左)和净化(自左向右)两种,硅胶、氧化铝和极性(正相)键合相色谱柱可以采用以下程序再生:

三甲基戊烷或己烷→三氯乙烷→乙酸乙酯→丙酮→乙醇→水采用上述溶剂依次以 $1\text{ ml}\cdot\text{min}^{-1}$ 的流速通过色谱柱,洗脱量约为20 ml,然后反方向重复上述过程。

反相色谱柱常用甲醇-水或乙腈-水作流动相,有时还可能含有控制pH值的盐、酸或离子型溶质。对硅胶或以硅胶为基质的键合(或离子交换)填料,为避免硅胶溶解,pH值不应超过8.5。再生时将25 ml纯甲醇及25 ml甲醇-氯仿(1,1)混合液依次通过色谱柱淋洗,然后再用所选的流动相平衡。

离子交换色谱柱的再生方法有两种:

① 先用25 ml蒸馏水通过柱子以除去所有的缓冲盐类,然后采用25 ml甲醇冲洗柱子,以除去由于分配效应而残存在骨架中的杂质,再用25 ml蒸馏水除去不溶于甲醇的残存盐类,最后用缓冲液平衡。

② 先用 $0.1\text{ mol}\cdot\text{L}^{-1}$ 柠檬酸洗涤,然后用水洗涤(不要用碱性溶液,以防止硅胶基质溶解),最后用缓冲液平衡。

如果柱头被污染,可以在出口处用输液泵反相压入溶剂,通常选用有一定粘度的溶剂(如甘油-水或水-甲醇),将填料从内慢慢推出少许,停泵,切除柱头已污染的填料,放入烧杯中清洗后,再重新装填,测定柱效至达到要求。

(三) 色谱分析中蒸馏水的处理

反相色谱应用越来越广泛, 水几乎已成为液相色谱中最常用的溶剂。水中的有机杂质种类和处理方法见表 6-21。

表 6-21 水中的有机杂质种类和处理方法

杂质种类	来 源	预 防 方 法
菌 类	细菌在存放盛水的容器中生长 (添加保护剂可避免或抑制细菌, 但大多会干扰色谱过程, 尤其不利于紫外检测)	(1) 使用棕色瓶避光保存水 (2) 把水放在冰箱里, 可抑制细菌的生长 (3) 直接配水和 $\varphi=10\%$ (或 15%) 的有机溶剂 (如乙醇或甲醇) 混合贮存, 这种混合液体可直接用作反相色谱的冲洗剂
制造盛水容器的材料	塑料中的某些组分会扩散进入水里, 影响样品操作, 污染柱子	采用玻璃或金属容器, 玻璃容器中的金属离子也有可能从表面浸出出来, 但比有机杂质污染严重
挥发性和非挥发性有机杂质	一些有机杂质吸附在容器壁上	让水通过 50 cm 的 C_{18} 多孔硅胶柱, 有机杂质在柱内保留, 由废液去除

参 考 文 献

- 1 郑汉洪, 姜玉堂, 卢佩军, 高效液相色谱法, 北京: 科学出版社, 1999, 42301
- 2 王陵德, 南耀华, 郑福强, 高效液相色谱法, 北京: 中国石化出版社, 1992, 1
- 3 卢佩军, 姜玉堂, 郑福强, 高效液相色谱法及其专家系统, 沈阳: 辽宁科学技术出版社, 1992, 1
- 4 霍伟豪, HPLC 系统的故障排除, 南京: 南京大学出版社, 1991
- 5 柯以佩, 崔爱勤, 分析化学手册, 第二版, 第三分册, 光谱分析, 北京: 化学工业出版社, 1993

第七章 毛细管电泳

毛细管电泳(capillary electrophoresis, 简称 CE) 是 20 世纪 80 年代初迅速发展起来的一种新型分离分析技术。它具有分离效率高、分析速度快、样品及试剂用量少等优点, 已被广泛应用于生物、化学、医药、环保、食品等领域, 具有很好的应用前景^[1-3]。

第一节 毛细管电泳原理

毛细管电泳是离子或荷电粒子以电场为驱动力, 在毛细管中按其淌度或/和分配系数的不同进行高效、快速分离的一种电泳新技术。根据分离原理不同, 毛细管电泳可分为六种不同分离模式, 包括毛细管区带电泳(CZE)、毛细管凝胶电泳(CGE)、毛细管等电聚焦(CIEF)、毛细管等速电泳(CITP)、毛细管胶束电动色谱(MECC)以及毛细管电色谱(CEC)。

一、双电层和 ζ 电势

由固体与液体接触时, 固体表面分子离解或/和表面吸附溶液中离子形成双电层。在毛细管电泳中, 通常情况下毛细管表面的硅羟基解离带负电, 负电荷表面在溶液中积聚相反电荷的对离子, 形成双电层。在双电层溶液一侧由两层组成。第一层为吸附层, 称为 Stern 层或紧密层。在 Stern 层中与固体表面接触的特性吸附离子是部分脱水的, 它可以是异号离子, 也可能是同号离子, 其外面上要是由静电力吸附的水化对离子构成, 通过水化离子中心联线构成的面成为 Stern 面。第二层为扩散层, 由 Stern 面外的剩余对离子构成, 其电荷密度随着远离表面而逐渐与体相溶液的电荷密度接近。在 Stern 面和双电层的游离部分起点的边界层间的电势称为管壁的 ζ 电势。在扩散层内, ζ 电势的值随距离增大按指数衰减, 使 ζ 衰减一个指数单位所需的距离称谓双电层的厚度, 记作 δ 。

二、电泳、淌度和电渗流

电泳是在电场作用下带电粒子在缓冲溶液中的定向迁移。电泳迁移速度 u_m 由下式决定

$$u_m = \mu_m \cdot E \quad (7-1)$$

式中, E 为电场强度, μ_m 为溶质的淌度。

淌度是指溶质在给定缓冲溶液中单位时间间隔和单位场强下移动的距离。在充满自由溶液

$$\mu_m = \frac{\sum q_i}{4\pi\eta} \quad (7-2)$$

式中, ϵ 为流体的介电常数; η 为介质的粘度; q_i 为离子 i 的 ζ 电势。

这里 ζ 电势特指粒子外“固定”离子剪切面和离得最近的游离离子边界层之间的电势, 这种 ζ 电势的大小和粒子表面的电荷密度有关, 即对于给定质量的粒子, 表面电荷密度越大, ζ 电势也就越大; 反之, 如果电荷给定, 则质量越大, ζ 电势越小。对于非胶体粒子, ζ 电势近似正比于 $Z/M^{2/3}$, 其中 M 是相对分子质量, Z 是净电荷。因此, 不同离子即可能按照它们表面电荷密度的差异以不同的速率在电介质中移动, 达到分离的目的。

电渗流(electroosmotic flow, 简称 EOF) 指的是柱内溶液在外加电场作用下整体朝一个方向运动的现象。在毛细管电泳中, 处于扩散层的阳离子, 在负电荷表面形成一个圆筒形的带正电区域, 在外加电场作用下, 以剪切面为分界面, 朝阴极与 Stern 层作相对运动, 由于阳离子是溶剂化的, 当它们沿剪切面作相对运动时, 携带溶剂一齐向阴极移动, 便形成电渗流, 电渗流的大小常用电渗速度 (μ_{eo}) 表示

$$\mu_{eo} = \frac{u_{eo}}{E} = \frac{\epsilon L}{\epsilon_0 V} - \frac{\epsilon \zeta_0}{4\pi\eta} \quad (7-3)$$

式中, μ_{eo} 为 EOF 速度, E 为电场强度, L 为毛细管进样端至检测窗口的长度, L 为毛细管的总长度, t_{eo} 为电渗流标记物从进样端迁移到检测窗口所需时间, ζ_0 为管壁的 ζ 电势, V 为管两端电压, η 为运行缓冲溶液粘度; ϵ 为缓冲溶液介电常数。

以电场力驱动产生的电渗流, 与高效液相色谱中靠泵压产生的液流不同, 前者的流型为扁平流型, 后者为抛物线状的层流, 抛物线状流型在管壁的速度为零, 中心速度为平均速度的 2 倍, 扁平流型不会引起样品区带的增宽, 这就是毛细管电泳获得高柱效的重要原因之一。

电渗流是毛细管电泳中的基本操作要素, 为了优化分离, 应加以适当控制, 电渗流控制可以通过改变毛细管的表面电荷或缓冲液粘度的方法, 表 7-1 列出了一些具体控制办法, 值得注意的是改变管壁表面电荷的条件, 一般对被测溶质组分的迁移速度也有影响, 如改变 pH 值, 因此常通过改变电渗和溶质组分的迁移率优化分离。

表 7-1 电渗流的控制方法^[5]

变 量	结 果	说 明
电场强度	正比与电渗流	电场强度降低可能引起分离效率和分辨率降低, 电场强度增加, 焦耳热增加
缓冲溶液 pH 值	pH 降低, 电渗流降低; pH 增加, 电渗流增加	这是改变电渗流最有效的方法, 但可能会引起溶质组分电荷和结构的变化
离子强度或缓冲液粘度	离子强度增加, ζ 电荷降低, 电渗流降低	离子强度增加, 电渗流增加, 焦耳热增加 低离子强度可能存在样品的吸附问题 如果导电性与样品不同, 可能引起峰形畸变 离子强度低, 样品装载量小
温度	温度改变 1°C, 粘度变化的 2%~3%	由于温度受仪器控制, 容易实现, 也比较有效
有机改性剂	改变 ζ 电势和情况	变化复杂, 其影响最好由实验测定 有可能改变选择性
表面活性剂	改变疏水性或通过离子相互作用吸附在毛细管壁上	阴离子表面活性剂使电渗流增加, 阳离子表面活性剂使电渗流降低或逆向
中性亲水聚合物 共价键渍	通过疏水性相互作用吸附在毛细管壁上 化学键合到毛细管壁上	能显著改变选择性 通过掩盖表面电荷或增加粘度来降低电渗流 可使用各种修饰剂(亲水键型电的) 涂覆物的稳定性存在问题

三、分离效率与分离度

毛细管电泳的分离效率用理论塔板数(the number of theoretical plates, N)表示, 其理论来源于色谱理论, 对具有高斯型的毛细管电泳流出色谱峰, N 可按下式求出

$$N = 5.54 \left[\frac{t_R}{W_{0.95}} \right]^2 \quad (7-4)$$

式中, t_R 为电泳谱图上曲线最高点所对应的时间, 即样品的迁移时间; $W_{0.95}$ 为半峰宽。

此外, 结合式(7-1)~式(7-4), N 也可用下式表示

$$N = \frac{VL}{2DL} (\mu_a - \mu_b) \quad (7-5)$$

式中, D 为样品的扩散系数。

式(7-5)表明: 使用高电场, 可以得到高的分离效率; EOF 速度大, 可以得到高的分离效率; 扩散系数小的样品, 如蛋白质、DNA 等生物大分子, 有较高的分离效率。

分离度 (resolution, R_s), 亦称分辨率, 是指将淌度相近的组分分开的能力。它是分离技术中一个重要性能指标, 可用(7-6)式表达

$$R_s = \frac{\sqrt{N}}{4} \cdot \frac{\Delta \mu}{\bar{\mu}} \quad (7-6)$$

式中, $\Delta \mu, \bar{\mu}$ 为相邻组分的相对速度差。

(7-6)式也可写成

$$R_s = \frac{1}{4\sqrt{2}} (\mu_{a0} - \mu_{b0}) \left[\frac{VL}{DL(\mu_a + \mu_b)} \right]^{1/2} \quad (7-7)$$

由式(7-7)可以看出: 在焦耳热效应影响不显著的前提下, 电压的增加有利于分离; 如果电渗流的方向与溶剂组分迁移的方向相反, 那么它的增加有利于分离; 当溶质组分迁移与电渗流方向相反而速度相同时, 分离度可以无限大, 但分离时间将无限长; 使分离度增加的关键因素是两组分间的淌度差, 这可以通过选择不同的操作模式和不同的缓冲溶液体系来实现。

通常, R_s 可由电泳图上相邻峰的迁移时间和它们的半峰宽按下式计算。

$$R_s = \frac{t_{R_2} - t_{R_1}}{\Delta W_{1,2}/2} \quad (7-8)$$

式中 $\Delta W_{1,2}/2$ 为相邻两峰的平均半峰宽。

四、峰展宽的影响因素^[3]

毛细管电泳分离的基础是溶质电迁移速度的差异。电迁移过程中, 各种组分区带不仅由于它们的迁移速度的不同而被分离, 而且也由于一系列分散因素, 如扩散等的作用而不断被增宽。为了能对两个淌度相近的物质很好地分离, 了解和控制可能存在的分散因素, 使其作用最小是至关重要的。

考虑到各种分散因素的影响, 用系统总方差(σ_T^2)来描述所有分散系数对区带展宽的影响, 于是

$$\sigma_T^2 = \sigma_{Dl}^2 + \sigma_{Inj}^2 + \sigma_{Temp}^2 + \sigma_{Ads}^2 + \sigma_{Ele}^2 + \sigma_{Det}^2 + \sigma_{oth}^2 \quad (7-9)$$

右边各项角标分别表示不同因素的影响 D—扩散、Inj—进样、Temp—温度、Ads—吸附、Ele—电分散、Det—检测、oth—其他。其中, 前 5 项是方法所固有的分散, 不可能完全消除, 但只要仪器设计合理和条件选择得当, 可以控制到最小, 达到最高的分离效率。

1. 扩散

扩散引起的区带方差是由溶质的迁移时间和扩散系数决定的。迁移时间受很多分离参数的影响, 如外加电压、毛细管长度、缓冲溶液浓度等。扩散系数是溶质本身的一种物理特征, 它随分子量的增加而降低。对于球形大分子, 扩散系数与分子量的立方根成反比。所以, 大分子比小分子能获得更高的分离效率。由于电渗流的扁平流型和毛细管壁的抗对流性质, 溶

质的径向扩散并不显著,对区带展宽起决定性作用的是溶质的纵向扩散,扩散速度与溶质的浓度成正比。在不考虑其他因素对区带的分散时,扩散展宽与溶质在毛细管中停留时间成正比,所以提高电压可减小扩散展宽。

2. 进样

进样方差与样品区带长度和初始形状有关。如果样品区带长度超过扩散引起的区带展宽,分离效率和分离度都将受到损失。通常,在实际操作中,样品带长度一般限制在毛细管长度的1/3左右。此外,无论用何种进样方法,都会产生“额外进样”(所谓“零进样”),即当毛细管插入样品溶液,进样时间为零时所进入毛细管中的样品。零进样的原因可能是由于样品溶液和毛细管内部操作缓冲溶液间存在粘度、表面张力和/或密度差异而引起对流,或由于溶质扩散而进入毛细管中。对这种额外进样应加以控制。

3. 温度效应

电流通过毛细管内缓冲溶液时产生焦耳热,焦耳热通过管壁向周围环境逸散时,在毛细管内形成径向温度梯度。径向温度梯度会导致缓冲溶液的径向粘度梯度,从而产生离子迁移速度的径向不均匀分布,破坏区带的扁平流型,使区带展宽、分离效率降低。

4. 吸附效应

溶质与管壁的相互作用主要表现为管壁对溶质的吸附。管壁表面的硅羟基具有阳离子交换性质,它在 $\text{pH} \geq 3$ 的水溶液中解离使表面带负电荷,负电荷表面与正电荷溶质的静电引力作用产生强烈的吸附效应。除此之外,还有疏水相互作用。大多数蛋白质(约75%)的 $\text{pI} \geq 4$,在通常条件下带正电。因此,管壁对蛋白质的吸附成为毛细管电泳分离中一个突出的问题。由于吸附,使区带展宽,导致峰拖尾或变形,甚至完全消失。

降低毛细管内壁对溶质的吸附作用已得到广泛的研究,最常用方法有以下三种。

(1) 极端 pH 值条件 即在低 pH ($\text{pH}=2\sim3$)或高 pH ($\text{pH}>9$)的缓冲溶液中进行分离。在低 pH 下,硅羟基解离受到抑制,吸附降低。在 pH 高值下($\text{pH}>\text{pI}$),蛋白质带负电,与管壁相互排斥,吸附受到抑制。但 pH 与 pI 差异过大会引起蛋白质结构变化甚至水解。

(2) 加入中性盐或两性离子化合物 加入中性盐(K_2SO_4)或提高缓冲溶液浓度,可以降低表面有效电荷,抑制吸附作用。但离子强度增加,导致电渗流降低,溶质在毛细管中的停留时间增加,电流增大,产生过量焦耳热。用两性离子化合物,如 $(\text{CH}_3)_3\text{N}^+\text{CH}_2\text{CH}_2\text{CH}_2\text{SO}_3^-$ (TMAPS)和 $(\text{CH}_3)_3\text{N}^+\text{CH}_2\text{CH}_2\text{CH}_2\text{CH}_2\text{SO}_3^-$ (TMABS)代替中性盐,能缓解上述矛盾,是抑制蛋白质吸附的有效方法。

(3) 毛细管内壁涂层 柱内表面涂层方法分为物理吸附和化学键合两种类型,前者涂层稳定性和重现性较差,但涂渍方法简单,制作容易,后者利用有机硅烷的亲水基团与硅羟基化学键合,然后再用不同的物质去活,得到稳定性较好的涂层。目前应用最多的是化学键合涂层,常用于毛细管内壁涂层的物质有甲基纤维素、聚丙烯酰胺、环氧二醇、聚乙二醇、聚甲基硅氧烷等。抑制吸附的方法在一定程度上也会抑制或改变电渗流,在实际样品分析中应根据具体情况进行综合考虑。

5. 层流现象

当样品区带中的缓冲溶液浓度和毛细管中其他部分的浓度不同时,会导致样品区带与毛细管中其他部分场强不等,由此产生电渗流的差异,引起区带之间发生层流的现象,使区带增宽、变形。与此相似,样品溶质的电泳速度与背景电解质的电泳速度存在差异时,会产生电扩散现象,使谱带变宽。因此,缓冲溶液的选择应尽可能使样品和背景电解质的浓度以及

电泳高度相近,以减少区带展宽。

6. 检测窗口宽度

毛细管电泳一般采用柱上检测,混合组分中的各组分由于电泳迁移速度不同,在毛细管电泳中形成各自的区带,并逐个依次通过检测窗口,反映在电泳图谱上是以迁移时间和峰宽为特征的电泳峰,它是以检测系统的响应作为时间函数得到的,因此峰宽或由此代表的区带宽度称为时间宽度(W_t)。由于各个区带的迁移速度不同,即使实际长度相等的区带通过检测窗口所需的时间也不相同,产生时间宽度不等的峰。如果不经过校正,将会对柱效计算和定量分析带来误差。

7. 径向速度梯度

如果毛细管中因某种原因产生径向压力梯度,在毛细管截面上就会出现抛物线型层流,与色谱方法中类似,将引起区带展宽。

第二节 毛细管电泳分离模式

一、毛细管区带电泳^[3-6]

毛细管区带电泳(capillary zone electrophoresis, 简称CZE)也称为毛细管自由溶液区带电泳,是毛细管电泳中最基本也是应用最广的一种操作模式,在该模式中,毛细管内仅存在缓冲溶液,溶质基于各自迁移率不同而进行分离。组分在毛细管区带电泳中的流出顺序与组分的荷质比有关,不同荷质比的组分具有不同的迁移速度,除溶质的性质决定迁移外,其他操作参数的选择也会对分离度产生影响。

(一) 操作电压

电压是影响柱效、分离度和分析时间的重要因素。应该使用尽可能高的电压以达到最大柱效、最高分离度和最短分析时间。实验证明在焦耳热可以忽略的条件下,上述参数与电压存在近似的线性关系,但在不能有效驱散焦耳热的情况下,柱效和分离度将显著降低。在选择最佳电压时,可用欧姆定律作图,即不进样品只改变电压,作电压-电流曲线,观察其偏离线性的程度。一般来说,偏离线性段的电压不适于作为理想的操作电压。

(二) 缓冲溶液的种类

毛细管电泳在缓冲溶液中进行,缓冲溶液的选择直接影响粒子的迁移和最后的分离,甚至影响到进样过程。缓冲溶液的选择通常遵循下述要求:①在所选择的pH范围内有很好的缓冲容量;②对检测波长的吸收低;③自身粘度低,即分子大而电荷小,以减少电流的产生;④缓冲溶液的配置必须使用高纯蒸馏水和试剂。表 7-2 中列出了用于毛细管电泳的缓冲溶液。

(三) 缓冲溶液的浓度

缓冲溶液浓度是影响分离效果的一个非常重要的因素,其作用比较复杂。大多数情况下,电渗流速度随缓冲溶液浓度的增加而降低,溶质在毛细管中的迁移速度下降,迁移时间延长,但对内径较大的管子有可能由于焦耳热过大,偏离一般规律。缓冲溶液的浓度对柱效的影响比较复杂,因为要同时考虑扩散和粘度的影响。一般来说,对于迁移时间较短的组分,其柱效随浓度的增大而明显增加,而对于后出峰的组分则没有明显的相关性。此外,增加缓冲溶液的浓度,可改善分离度,但会使导电的离子数增大,在相同场强下毛细管的电流值增大,焦耳热增加。因此,毛细管电泳中,应对缓冲溶液的浓度进行优化。

表 7-2 毛细管电泳常用的缓冲溶液

名 称	p <i>K</i> _a	名 称	p <i>K</i> _a
磷酸盐	2.12(p <i>K</i> _{a1}) 7.21(p <i>K</i> _{a2}) 12.32(p <i>K</i> _{a3})	2-[2-(<i>N</i> -羟乙基)氨基]磺酸(BES)	7.16
柠檬酸盐	3.06(p <i>K</i> _{a1}) 4.74(p <i>K</i> _{a2}) 5.40(p <i>K</i> _{a3})	3-(<i>N</i> -吗啉)丙烷磺酸(MOPS)	7.20
甲酸盐	3.75	<i>N</i> -二(羟甲基)甲基-2-氨基乙烷磺酸(TES)	7.50
琥珀酸盐	4.10(p <i>K</i> _{a1}) 5.57(p <i>K</i> _{a2})	<i>N</i> -羟乙基-3-氨基- <i>N'</i> -3-乙烷磺酸(HEPES)	7.51
乙酸盐	4.75	<i>N</i> -2-羟-7-基咪唑- <i>N'</i> -丙烷磺酸	7.90
2-[<i>N</i> -吗啉]-乙烷磺酸(MES)	5.15	三氯醋	8.06
<i>N</i> -[3-乙烷磺基]-2-氨基-2-醇(ADA)	6.50	<i>N</i> -二(羟甲基)-甲基甘氨酸	8.12
双-(3-(羟甲基)氨基)丙烷(BIS-TRIS 丙烷)	6.30	甘氨酸族	8.20
2-[2-氨基-2-羟乙基]氨基乙烷磺酸(AEPES)	6.90	甘氨酸甘氨酸	8.95
3-[<i>N</i> -吗啉]-丙烷磺酸(MOPSO)	8.90	二-(羟甲基)氨基甲酸(Tris)	8.30
吡啶	7.00	<i>N,N'</i> -双(2-羟乙基)甘氨酸(BICLINE)	8.96
		吗啉	9.49
		醋酸盐	9.21
		2-[<i>N</i> -羟乙基]乙烷磺酸(HEPES)	9.56
		4-(羟乙基)-1-丙烷磺酸(CAPS)	10.4

(四) 缓冲溶液的 pH 值

缓冲溶液的 pH 值强烈影响硅胶毛细管柱内表面特征, μ_{eff} -pH 曲线呈 S 形, 在 pH=4~6 范围内, 硅羟基的电离对 pH 非常敏感, 随 pH 值的增加迅速增大; 在高 pH 值下, 硅羟基的电离趋于饱和, 电渗流达到最大且变化平缓; 而在低 pH 值, 电离受到抑制, 电渗流接近零。电渗流对 pH 值的强依赖性导致样品迁移时间对 pH 值的强依赖性。因此, 缓冲溶液的 pH 值成为影响迁移时间重现性的关键参数。对于有等电点的溶质, pH 值的变化可改变其电性。因此, 在复杂组分体系中, 即使它们的 pI 值相近, 通过 pH 值优化也能获得成功分离。此外, 在碱性条件下, 改变 pH 值还可能起到缓解管壁吸附的作用, 即如果缓冲液的 pH 值大于被测溶质的等电点, 样品带负电, 可于管壁表面硅羟基产生库仑排斥作用, 从而避免吸附。

(五) 添加剂

添加剂是毛细管电泳中一个十分重要的控制因素。表 7-3 列出了毛细管电泳中常用添加剂及其用途。

表 7-3 毛细管电泳中常用的添加剂

添加剂类型	实 例	用 途
表面活性剂	十二烷基磺酸钠(SDS) 十六烷基-1-甲基季铵溴(CATH) 羧基乙氧基山梨糖醇酐(TWFPN)	改变电渗流, 改善疏水溶质, 用于对试剂; 在临界浓度以上用于 MEKC
两性物质	三羟基甲氨基基甲烷(Tris) 2-[吗啉]乙烷磺酸(MES) 3-[吗啉]丙烷磺酸(MOPS)	增加离子强度而不均乱电荷, 影响蛋白质的电泳性
线性亲水聚合物	甲基纤维素 聚丙烯酰胺 聚乙烯醇(PVA) 聚乙烯醇(PVC)	减少电渗流, 在低浓度时减少样品的吸附; 在高浓度下用于毛细管凝胶电泳或毛细管筛分电泳
有机添加剂	四 佛 乙 佛 二氟乙酸酐(TFA)	改变电泳(通常减少); 改变选择性(在电色谱法于样品分离中)

添加剂类型	实 例	用 途
手性选择剂	环糊精 冠 醚 胆酸钠	手性分离:使新物质成带解
金属离子	K^+ , Na^+ , Li^+ , Ca^{2+}	在电动色谱分离电泳中改变选择性
重络型可溶性试剂	尿 素	使毛细管凝胶电泳中的双链 DNA 溶解, 溶解蛋白质; 在电动色谱中改变选择性
络合试剂	硼酸盐	用于糖和糖醇的分离
季铵盐	二甲基丙胺	离子对试剂; 电荷反试剂

(六) 温度

在毛细管电泳中, 温度对迁移时间的影响主要是通过粘度体现。柱温升高, 溶液粘度降低, 电渗流增大, 迁移时间缩短。在压力进样时, 增加温度引起的粘度减小会导致进样量增大。在电迁移进样中, 由于离子浓度随温度升高而增大, 毛细管电流增大, 也会导致进样体积的增大。此外, 柱温的变化还会引起生物大分子的结构和生物特征变化, 影响样品解质在缓冲溶液中参与的化学反应平衡, 改变缓冲溶液 pH 值等。因此, 毛细管电泳中柱温的控制是十分必要的。

毛细管区带电泳操作要点可以概括如下: ① 毛细管以恒温为宜, 以保证迁移时间的重现性; ② 所有样品组分均要溶于缓冲溶液中; ③ 在很多情况下要采用涂渍柱或不同的缓冲溶液添加剂抑制管壁吸附或其他相互作用; ④ 先根据欧姆定律作电压-电流曲线, 以选择最佳操作电压; ⑤ 用缓冲溶液组成对滴度作图以选择最佳的缓冲溶液体系; ⑥ 经常更换缓冲溶液以避免因缓冲液消耗引起的滴度和电渗的变化; ⑦ 样品和缓冲液贮瓶均要加盖, 以避免挥发; ⑧ 控制样品溶液的离子强度, 以防止样品母液的影响; ⑨ 如采用压力进样, 应确保所配样品溶液有相同的粘度; ⑩ 可加入内标, 来提高定性定量精度; ⑪ 注意保证未涂渍毛细管有一个干净、重复性好的内壁; ⑫ 必须使缓冲溶液和管壁间建立平衡以提高操作的重现性。

毛细管区带电泳是电泳中应用最广泛的分离模式, 能用于各种具有不同迁移率的组分的分离。分子量范围可以从几十的小分子到几十万的生物大分子, 主要应用包括以下几个方面: 蛋白质和肽的分离; 肽谱和肽纯度分析; 合成短链核苷酸的分析; 各种可电离有机化合物(包括药物、药物中间体、临床样品、化工原料、中间体、环境样品、食品及添加剂等)的分析; 可电离手性化合物的分离分析; 小分子离子的分离分析等。

二、胶束电动毛细管色谱

(一) 基本原理

胶束电动毛细管色谱^[3-16] (micellar electrokinetic capillary chromatography, 简称 MECC) 是在毛细管电泳缓冲溶液中加入表面活性剂, 当溶液中表面活性剂浓度超过形成胶束的临界浓度即临界胶束浓度 CMC 时, 表面活性剂分子之间的疏水基团聚集在一起形成胶束, 溶质基于在水相和胶束相间分配系数的不同而得到分离。

在 MECC 体系中存在两相, 一相是带电的离子胶束, 它具有与周围介质不同的电泳淌度, 并且可以与溶质相互作用; 另一相是导电的水溶液相, 是分离载体的溶液。在电场作用下, 体相溶液由 EOF 驱动流向阴极, 胶束依其电荷性质不同移动方向不同。对于常用的十二烷基磺

酸钠(SDS)由于其外定带很大的负电荷,本应向阳极迁移,但在通常情况下,电渗流的速度大于胶束的迁移速度,最终使得胶束以较低的速度向阴极移动(为有别于色谱的固定相,这种移动的固定相被称为准固定相)。中性溶质按Ⅱ色谱分离机制,在流动相和准固定相间进行分配,亲水性较强的溶质与胶束作用较弱,相对疏水性较强的溶质迁移速度慢。未结合的溶质随电渗流流出。因此,中性溶质按其疏水性不同、在两相间分配系数的不同而得到分离。溶质的迁移速度取决于它在两相间的分配系数。MECC也可以分离离子,甚至是淌度相同的离子或可电离化合物。表7-4列出了MECC的基本参数及计算方法。

表 7-4 MECC 的基本参数及计算方法

参 数	公 式	备 注
迁移时间窗口	$t_{\text{app}} = t_0$ 或 t_{app}/t_0 t_0 ——完全离子或惰性的中性溶质的迁移时间。 t_{app} ——完全离子胶束的表观迁移时间	显示流出范围的大小 扩展迁移时间窗口的方法: (1) 改变胶束迁移速度 (2) 改变电渗流速度
容量因子	$k' = n_{\text{app}}/n_{\text{aq}} = \frac{t_0 - t_0}{t_0(1 - t_0/t_{\text{app}})}$ n_{app} ——样品进入胶束的量, n_{aq} ——样品在本相中的量; t_0 ——中性溶质的保留时间	容量因子反映了溶质与胶束的作用程度 k' 越大,溶质迁移时间越长,合适的 k' 值在 1~5 之间
分离因子	$\alpha = k'_2/k'_1$ k'_1 ——组分 1 的容量因子; k'_2 ——组分 2 的容量因子	表示两组分分配系数的差异,应控制在 0.5~10 之间 影响因素有:温度、表面活性剂的类型、胶束的修饰(如采用复合胶束)、水相组成(如改变 pH)、水相修饰(如加入不同的添加剂)
分离度	$R_s = \frac{\sqrt{N}}{4} \left[\frac{\alpha - 1}{\alpha} \right] \left[\frac{k'_2}{1 + k'_2} \right] \left[\frac{1 - t_0/t_{\text{app}}}{1 + t_0/t_{\text{app}}} \right]$ $k'_{\text{app}}/k'_0 = (t_{\text{app}}/t_0)^{1/2}$	增加 t_0/t_{app} 有利于提高柱效 MECC 的最佳 k' 依赖于 t_0, t_{app} , 并非 k' 越大,分离度越高

表面活性剂在 MECC 中起到至关重要的作用。它是一种双亲化合物,由亲水基和疏水基两部分组成。由于表面活性剂分子的疏水基相当长,当它在水中的浓度超过临界胶束浓度时,分子的长链基就会通过分子间的引力相互缔合在一起,而亲水基则朝向水中,形成胶束。随表面活性剂浓度增加,单体的浓度和每个胶束中的表面活性剂分子数(胶束聚集数)基本不变,但胶束数增加。

(二) 胶束的特征

MECC 中使用的胶束必须符合以下几点要求:

① 在溶液中形成的胶束足够稳定,凡与溶质的缔合速度快。
 ② 表面活性剂 CMC 不宜太高;形成的胶束必须是均匀、透明的液体,以便能用光学检测器进行柱检测。

③ 胶束的粘度要小,以保证有足够大的斜度。

根据表面活性剂结构不同,可分为阴离子型、阳离子型、两性离子型和非离子型。表7-5列出了常用表面活性剂的结构、临界胶束浓度和聚集数。

在选择 MECC 的胶束种类时,可以参考以下几点:

① 对大多数中性溶质,SDS 具有广泛适用性。
 ② 对极性溶质,含不同极性基团的表面活性剂表现出不同的选择性,甚至改变出峰顺序。
 ③ 对易被管壁吸附的大分子的分离,可以选择阳离子胶束体系,但应注意,如果 EOF 方

向反转, 必须切换电极极性。

表 7-5 常用表面活性剂的结构、临界胶束浓度和聚集数

表面活性剂	化 学 式	CMC/(mol·L ⁻¹)	聚集数
阴离子型			
十二烷基硫酸钠(SDS)	$C_{12}H_{25}OSO_3Na$	8.1×10^{-3}	62
十四烷基硫酸钠	$C_{14}H_{29}OSO_3Na$	2.4×10^{-3}	—
十二烷基磺酸钠	$C_{12}H_{25}SO_3Na$	9.7×10^{-3}	54
辛基萘磺酸钠(SNS)	$C_{11}H_{19}OSO_3Na$	1.4×10^{-3}	50
阳离子型			
十二烷基三甲基氯化铵(DTAB)	$C_{12}H_{25}N(CH_3)_3Cl$	1.6×10^{-2}	50
十二烷基三甲基氯化铵(DTAC)	$C_{12}H_{25}N(CH_3)_3Cl$	—	—
十四烷基三甲基氯化铵(TTAB)	$C_{14}H_{29}N(CH_3)_3Br$	2.1×10^{-3}	75
十四烷基三甲基氯化铵(TTAC)	$C_{14}H_{29}N(CH_3)_3Cl$	—	—
十六烷基三甲基氯化铵(CTAB)	$C_{16}H_{33}N(CH_3)_3Br$	0.7×10^{-3}	78
十六烷基三甲基氯化铵(CTAC)	$C_{16}H_{33}N(CH_3)_3Cl$	—	—
非离子型	—	—	78
壬基苯基聚氧乙烯醚(Tenon X 100)	$(CH_3)_4COCH_2CH_2CH_2CH_2CH_2CH_2CH_2CH_2OH$ $(CH_2CH_2CH_2)_8OH$	0.2	1.3
胆酸钠	—	6.4	14
脱氧胆酸钠(SDC)	—	—	—

④ 对离子溶质的分离, 疏水性和电荷都影响分配系数, 电荷极性不同的胶束产生完全不同的选择性, 所以要选择与溶质电荷相反的胶束体系, 才能产生强的相互作用而进入胶束。

⑤ 对强疏水性溶质, 可选用极性强的胶束体系, 如胆汁盐, 在高浓度有机溶剂中柱效降低不明显, 对疏水化合物特别有效。

⑥ 对于手性化合物的拆分, 则需用手性胶束或手性化合物的混合胶束。

此外, 有些胶束具有独特的选择性, 如全氟化的烷烃链的表面活性剂对氟的化合物表现出很强的选择性。

(三) 影响分离的因素

在 MECC 中, 由于引入了分配机理, 柱效的影响因素除了纵向扩散外, 准固定相的性质、传质阻力的大小以及体系温度对柱效均有较大的影响。影响 MECC 分离的因素包括以下几方面:

1. 表面活性剂种类

不同表面活性剂由于其物理化学性质不同, 所形成的胶束的性质(如电荷、CMC、胶束聚集数及几何形状等)不同, 因此对溶质的增溶能力不同, 从而导致分离选择性的变化。

2. 表面活性剂浓度

表面活性剂胶束作为准固定相, 其浓度对分离有很大的影响。随表面活性剂的浓度增加, 胶束的数目增加, 胶束相的体积增加, 相比增大, 减少了胶束多分散性引起的区带展宽, 也会使柱效增加。但表面活性剂浓度太大, 一方面可能会使溶质保留时间太长, 导致纵向分子扩散增加, 另一方面焦耳热增大, 热扩散增加, 导致柱效降低。

3. 缓冲溶液

选择缓冲溶液时应考虑其适用的 pH 范围、缓冲溶液的组成与表面活性剂及样品的匹配性, 并要求在紫外检测波长下无吸收。另外, 缓冲溶液的组成和浓度对分离选择性有一定的影响。缓冲溶液浓度对表面活性剂在水中的溶解度也有影响。MECC 采用的缓冲溶液一般为

无机钠盐类,最常用的为磷酸盐-硼砂缓冲溶液体系, pH 范围在 6~9 之间。

4. 有机溶剂及其他添加剂

MECC 中改变选择性是方便有效的方法是在缓冲溶液中加入有机溶剂,形成有机溶剂-水组成的混合溶剂体系,常用的有机溶剂有甲醇、乙醇、乙腈和异丙醇等。不同种类不同含量的有机溶剂对分离有不同的影响,不仅影响流动相的性质,而且会影响准固定相以及毛细管壁的性质。除有机溶剂外,其他物质,如四烷基季铵、尿素、环糊精、长链醇、金属离子及金属络合物等,也能作为添加剂,用于改变分离的选择性。

此外,实验参数,如电压、毛细管内径及长度以及柱温等,对分离也有影响。

(四) 方法建立

为方便读者快速建立正确的 MECC 方法,图 7-1 给出了 MECC 发展方法的一般途径。

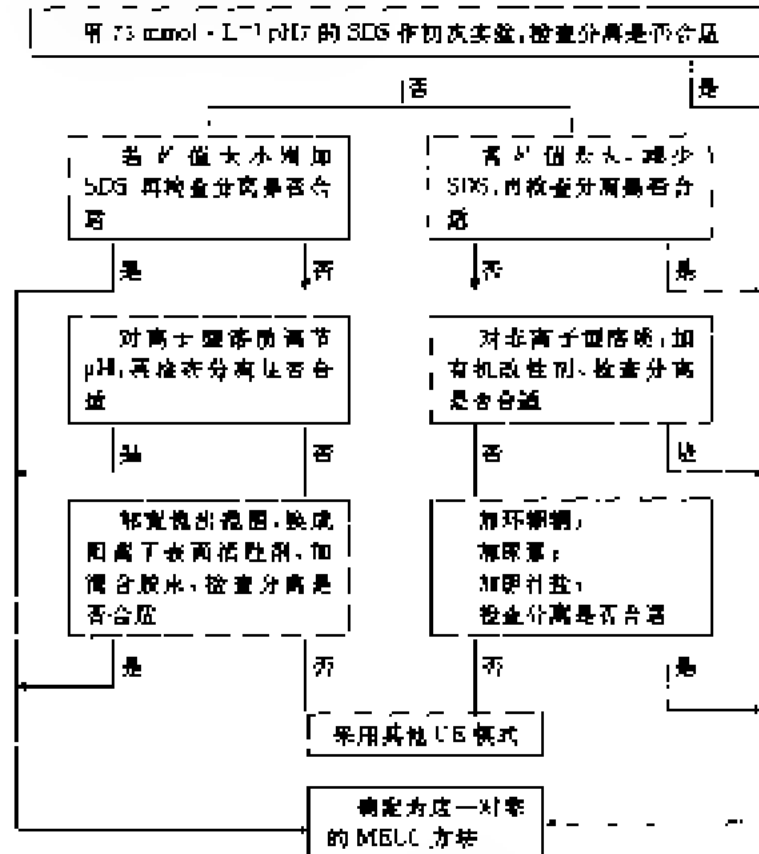


图 7-1 MECC 发展方法的一般途径

MECC 作为毛细管电泳与胶束增溶色谱相结合的分离技术,使毛细管电泳不仅能用于带电物质的分离,也能用于电中性物质的分离,拓宽了毛细管电泳的应用范围,目前已成功地用于生物、药物、环境、化工、食品等领域样品的分离分析,如氨基酸、小肽、维生素、各种药物及中间体、有机化合物和环境污染物等的分离分析,特别是 MECC 采用手性分配相,可用于手性化合物的分离。

三、毛细管凝胶电泳

毛细管凝胶电泳 (capillary gel electrophoresis, CGE) 是毛细管电泳的重要模式之一,它综合了毛细管电泳和平板凝胶电泳的优点,成为当今分离度极高的一种电泳分离技术。

毛细管凝胶电泳是以凝胶或聚合物网络为分离介质,基于被筛组分的质荷比和分子体积

不同而进行分离。对质荷比相同而分子大小不同的溶质,如 DNA 和 SDS-蛋白质主要是基于溶质的分子体积不同而分离。由于凝胶的分子筛作用,溶质在电泳迁移中受阻,分子越大,阻碍越大,迁移越慢。常用安格斯通 (Ogston) 模型和爬行 (Reptation) 模型解释大分子在聚合物网络中的迁移行为。表 7-6 列出了这两种模型的基本原理及其计算方法。

表 7-6 CGE 安格斯通模型和爬行模型

模 型	原 理	公 式	备 注
安格斯通模型	凝胶基质由相互连表的无交联网络组成,迁移的溶质被看成个不变形的球形颗粒 腔小分子因有更多的孔隙,可以利用迁移速度快,先到达检测管口	$\mu = \mu_0 \exp[-C_H(R_g + r)^2] \text{ 或}$ $\mu = \mu_0 \exp\left[-\frac{1}{4}r\left(\frac{R_g}{\xi}\right)^2\right] \mu_0$ 式中: μ_0 为溶质在自由溶液中的电泳速度; H 为常数; C 为高聚物网络浓度; r 为高聚物网络平均孔径; R_g 为聚合物半径; r 为网络孔隙厚度	未考虑电场强度对 R_g 的影响。 只适于低浓度的场合。 当 $R_g > \xi$ 时,此模型不适用
爬行模型	假设溶质像线型聚合物在固定网络中运动,用固定障碍来描述网络,溶质不能进入障碍中,只能像蛇一样在其间爬行	低电场: $\mu \propto \frac{1}{n}$ 高电场: $\mu = K\left[\frac{1}{n} - 1/E\right]$ 式中: n 为分析物重复单元; K 为常数; E 为场强; $1/E$ 为迁移速度电荷和稳定性的函数	低电场下 μ 与溶质的质量成反比 高电场下溶质拉伸,当溶质或分子变大时, μ 对分子大小的依赖性减弱

CGE 中常用的聚合物可分为凝胶和线型聚合物溶液两大类。凝胶又可分为共价交联型和氢键型。CGE 中常用的凝胶是交联聚丙烯酰胺,而氢键型凝胶如琼脂使用不多。CGE 中用水溶液型聚合物溶液代替凝胶,常称为无胶筛分。常用的线型聚合物有聚丙烯酰胺、羟烷基纤维素、聚乙烯醇和葡聚糖等。

交联聚丙烯酰胺凝胶毛细管柱的制备包括以下步骤:①毛细管内表面预处理;②丙烯酰胺聚合溶液的配制;③聚合物溶液导入毛细管中并发生聚合。在毛细管中聚合常常产生气泡,消除气泡的方法主要有:在加压或减压条件下聚合;内表面预处理或不处理;逆向电泳法;加入消泡剂或变性剂;采用前接聚合、光引发聚合或放射性引发聚合等方法。

交联聚丙烯酰胺是一种广泛应用的凝胶基质,是单体丙烯酰胺和交联共聚单体 N,N' -亚甲基双丙烯酰胺的聚合交联而形成的三维网状多孔结构,透明且不溶于水,化学性质稳定,呈电中性,无吸附作用,机械强度高,有弹性。在 CE 中具有抗对流、减小溶质扩散、阻挡毛细管壁对溶质的吸附和消除电渗流等作用。此外,它的三维多孔结构还有分子筛效应,是一种性能优良的筛分介质。毛细管聚丙烯酰胺的柱效可以达到每米几百万塔板数,是分离技术中所能达到的最高柱效,分离度也达到了可以分辨 DNA 片段单碱基的能力。凝胶溶液中单体和共聚单体的溶液,以及聚合程度和交联度决定凝胶的浓度、粘度、弹性和机械强度。凝胶浓度可有两种表示方法,丙烯酰胺和亚甲基双丙烯酰胺单体的总百分浓度 T 和代表交联剂的量 C ,可以分别用以下公式来描述

$$T = \frac{a+b}{m} \times 100\% \quad (7-10)$$

$$C = \frac{b}{a+b} \times 100\% \quad (7-11)$$

式中 a ——内烯酰胺的量, g;
 b ——亚甲基双内烯酰胺的量, g;
 m ——缓冲溶液的体积, ml。

在毛细管凝胶电泳中, 以线型聚合物溶液替代交联凝胶是一种方便有效的方法。与交联凝胶相比, 线型聚合物溶液制备简单, 使用方便。一般将预先聚合好的聚合物溶解于缓冲溶液中, 采用静力学方法装入毛细管中, 线型聚合物的分子筛效应来自长链聚合物分子在溶液中的物理缠绕。线型聚合物溶液不易产生气泡, 且比交联聚合物更稳定, 但分辨率一般不如交联聚丙烯酰胺。

影响凝胶毛细管电泳分离的因素很多, 有毛细管尺寸、凝胶浓度、电场强度、进样、柱重现性及寿命等, 在实际应用中都应加以考虑。目前, 凝胶毛细管电泳主要应用于分子生物学和蛋白质化学的各个方面, 如核苷酸纯度分析、基因治疗中特征基因的分析、PCR 产物分析、DNA 指纹、双螺旋 DNA 限制性片段分析以及天然或 SDS 络合的蛋白质分离分析等。此外, 还可用于其他带电物质的分离, 并可通通过加入添加剂(如手性添加剂、离子对试剂、络合剂等)改变分离的选择性。

四、毛细管等电聚焦

毛细管等电聚焦(capillary isoelectric focusing, 简称 CIEF) 是一种在毛细管内基于物质的等电点不同而进行分离的电泳技术。它不仅可以实现样品的浓缩, 而且具有极高的分辨率, 通常可以分离等电点差异小于 0.01pH 单位的相邻蛋白质。在蛋白质和肽的分离分析上有很好的应用前景。

在毛细管等电聚焦中, 采用两性电解质混合物作为载体电解质, 当在用溶质和两性电解质混合溶液充满的毛细管两端加电场时, 带电的两性离子和蛋白质以不同的速度迁移通过介质, 带正电的向负极迁移, 带负电的向正极迁移, 当它们迁移到 $\text{pH} = \text{pI}$ 的区带时, 净电荷为零, 不再迁移, 这个过程称为等电聚焦。如果已聚焦的蛋白质分子扩散入 pH 高于或低于 pI 的区域, 则在电场作用下会再迁移到聚焦区带, 这一现象称为区带自锐化效应, 它使得聚焦蛋白区带保持很窄。当完成等电聚焦达到稳定状态时, 系统电流为零。通过调节两性电解质溶液来实现, 可以使已聚焦的区带移动从而被检测。

在毛细管等电聚焦中通常用两个刚刚可以分开的邻近聚焦区带的 pI 差来表示分辨率, 实验中一般通过改变电场强度和 pH 梯度来改变分辨率: 增加电场强度可提高分辨率, 但同时要考虑焦耳热产生对流及蛋白质变性; pH 梯度越小, 分辨率越高, 样品的扩散系数越小, 分辨率越高。

在毛细管等电聚焦中采用的两性电解质一般为多氨基多羧基化合物, 通常满足以下条件: 在等电点处有足够的缓冲能力和电导; 分子量小; 化学组成不同于被分离物质, 不干扰测定; 不与被分析物质发生反应或使之变性。

在毛细管中进行等电聚焦, 一方面需减少电渗流的影响, 另一方面还要找到一个稳定的 pH 梯度, 防止对流和已分离区带的再混合。此外, 还要防止蛋白质在毛细管中沉淀, 这可以通过缩短聚焦时间、降低聚焦电压、降低蛋白质浓度或在聚焦前, 在样品和两性电解质溶液的混合物中添加添加剂等方法来解决。

目前, 毛细管等电聚焦已成功用于测定蛋白质的 pI 值、蛋白质异构体的分离和其他方法难以分离的蛋白质的分离分析中。

五、毛细管等速电泳

毛细管等速电泳 (capillary isotachopheresis, 简称 CIEP) 是一种不连续介质毛细管电泳技术, 它是指在毛细管电泳达到平衡后, 各区带相继迁移, 分成清晰的界面以等速移动。

在毛细管等速电泳中, 使用两个缓冲溶液系统, 一种为前导电解质, 充满整个毛细管柱,

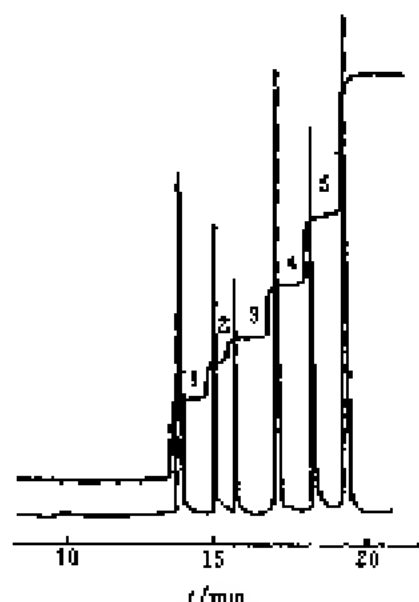


图 7-2 有机酸阴离子的等速电泳分离

CIEP 条件: 前导电解质, $0.01 \text{ mol} \cdot \text{L}^{-1}$ HCl; μ 丙氨酸, 0.2% Tris; $\text{N}-100$, pH3.0; 尾随电解质, $0.01 \text{ mol} \cdot \text{L}^{-1}$ 乙酸; 毛细管, $0.5 \text{ mm} \times 0.4 \text{ mm}$; 电压, 100 V ; 温度, 20°C ; 样品, $500 \text{ mg} \cdot \text{L}^{-1}$ 有机酸阴离子混合标准 $7 \mu\text{L}$

色谱峰: 1—酒石酸根; 2—柠檬酸根; 3—乳酸根; 4—琥珀酸根; 5—乙酸根

另一种为尾随电解质, 置于一端的电泳槽中。前者的浓度高于样品组分, 后者的浓度则低于样品组分, 被分离的组分按其不同的浓度夹在中间, 以同一速度运动, 从而实现分离。此外, 毛细管等速电泳还具有区带锐化和区带浓缩的特点。

为达到等速电泳分离, 必须满足以下两个特殊条件:

① 特殊的电解质系统, 即要具有一定 pH 缓冲能力的前导电解质和尾随电解质。这两种电解质构成的不连续的电泳介质环境是等速电泳的首要条件。

② 背景电流要小到足以克服区带电泳效应。

毛细管等速电泳分离所需的毛细管必须经过处理以消除电渗流的影响。在进样时, 样品被挤在前导和尾随电解质中间, 以分离阴离子为例, 在靠近阴极的地方是具有较高电泳浓度的阴离子溶液 (如氟离子), 在阳极是电泳浓度较低的阴离子 (如庚酸盐)。这两种电解质推动阴离子样品分离开, 在等速电泳进行的结尾, 样品组分被分开, 而且各离子区带不会脱开。当离子组分迁移到检测器 (通常为电导检测器) 时, 由于迁移阻力增加, 或因焦耳热的产生引起温度的上升, 所以输出结果为梯形的谱图见图 7-2。阶长或面积用于定量, 阶高用于定性。

毛细管等速电泳可用于各种离子, 包括无机离子、有机离子、核苷酸、氨基酸、蛋白质等的分离分析。近年来, 随毛细管电泳技术的发展, 它的应用正逐渐被毛细管区带电泳所取代。由于它的区带自锐化效应和强的浓缩效应, 通常被用来与其他电泳模式联用, 实现样品的柱上浓缩。

六、毛细管电色谱

毛细管电色谱^[11-15] (capillary electrochromatography, 简称 CEC) 是近年来发展的一种新型高效液相色谱技术。它是把高效液相色谱的固定相填充在毛细管内 (称作填充毛细管电色谱) 或键合、涂布在毛细管的内表面 (称作开管毛细管电色谱), 以电渗流为流动相的推动力, 根据样品中各组分在电场中迁移速度的不同或和在两相间分配系数的差异而进行分离的。因此, 毛细管电色谱可以看成高效液相色谱和毛细管区带电泳相结合的产物。

在毛细管电色谱中, 电渗流是中性样品和流动相在毛细管内迁移的主要驱动力, 它产生于填料表面和毛细管管壁硅羟基的解离, 流型呈抛物线型, 而液相色谱的流动相在压力流的推动下呈抛物线型。这是毛细管电色谱比高效液相色谱分离效率高的主要原因。此外, 在毛细管电色谱中, 流动相的线速度与固定相颗粒大小无关, 因此, 可以使用更小粒径的固定相。

其柱效通常可以达到 $200000 \text{ 块} \cdot \text{m}^{-1}$ 塔板数以上, 目前报道最高的柱效为 $8000000 \text{ 块} \cdot \text{m}^{-1}$ 塔板数。与传统的毛细管电泳技术相比较, 由于在体系中引入了固定相, 而且液相色谱的固定相种类远远多于胶束毛细管电动色谱中可使用的表面活性剂, 这使得中性化合物的分离更加容易实现。

毛细管电色谱的保留机理包括两个方面: 其一, 如同高效液相色谱, 基于溶质在固定相和流动相间相互作用的不同; 其二, 如同毛细管区带电泳, 基于溶质电泳淌度的差异。由于电泳机理的参与, 毛细管电色谱中溶质的容量因子应用下式来描述

$$k' = k' + k' \left| \frac{\mu_{\text{sp}}}{\mu_{\text{m}}} \right| + \left| \frac{\mu_{\text{sp}}}{\mu_{\text{m}}} \right| \quad (7-12)$$

式中, k' 是溶质在毛细管电色谱中的容量因子; k' 是单纯色谱因素引起的容量因子; μ_{sp} 是溶质的电泳淌度; μ_{m} 是流动相的电泳淌度。

由此可见, 溶质在毛细管电色谱中的容量因子并非是色谱和区带电泳的简单加和, 两者间相互影响。对于分离中性样品, μ_{sp} 为零, k' 等于 k' , 反映纯粹的色谱过程; 对于不保留的化合物, k' 为零, 反映纯粹的电泳过程; 对于有保留的带电化合物, 电泳与色谱机理同时起作用。因此, 毛细管电色谱能同时分离中性和带电化合物, 因而对于复杂的混合样品显示了强大的分离能力。

在填充毛细管电色谱中的谱带展宽与高效液相色谱相同, 塔板高度可由 van Deemter 方程表示。但由于在电场驱动下, 流动相的流型与通道直径无关, 故涡流扩散项对塔板高度的贡献很小。如果进一步减小填料的粒径, 传质阻力项的贡献也可忽略不计, 就可简化成毛细管区带电泳的塔板高度公式。而在开管毛细管电色谱中塔板高度与开管液相色谱的相似, 可用 Golay 方程表示。

$$H = \frac{2D_{\text{m}}}{u} + \frac{C_{\text{m}}d_{\text{p}}^2u}{D_{\text{m}}} + \frac{C_{\text{f}}d_{\text{f}}^2u}{D_{\text{f}}} \quad (7-13)$$

式中, u 是流动相的线速度, D_{m} 、 D_{f} 分别为溶质在流动相和固定相中的扩散系数; C_{m} 、 C_{f} 分别为流动相和固定相的传质阻力系数; d_{p} 为毛细管柱内径; d_{f} 为固定相的厚度。

通常情况下, 第三项——固定相传质阻力项可以忽略不计, 对塔板高度起主要作用的是轴项扩散项和流动相传质阻力项。

毛细管电色谱的柱制备被认为是目前制约其广泛应用的主要因素。填充毛细管电色谱柱的制备方法主要有匀浆填充法、电动填充法和拉伸填充法。匀浆填充法是将固定相在一定的溶剂体系中制备成匀浆液, 利用高压液相色谱泵将其装入毛细管中。电动填充法与匀浆法相近, 唯一不同是用电驱动的方法进行填充。这种方法更容易获得均匀床层的柱子。此外还有拉伸填充法和溶胶-凝胶法, 但不常采用。填充毛细管电色谱柱制备的一个重要技术问题是塞子的制备。它的作用在于防止在电泳流或压力流的驱动下使填充床发生移动。开管电色谱柱制备主要有涂布聚合物固定相法、表面粗糙化键合固定相法以及溶胶-凝胶法。开管柱制备的关键在于增大表面积, 以制备相比和柱容量均较大的柱子。

毛细管电色谱技术发展很快, 近年来先后出现了加压电色谱、电色谱梯度洗脱和电色谱与质谱联用等多种电色谱分离模式。加压电色谱是在柱两端同时施加电场和压力的电色谱技术。尽管压力的引入使流动相的流型改变, 会使柱效有所损失, 但可以调整组分的分离度和选择性。另外, 压力的引入还会抑制电色谱柱气泡的产生。梯度洗脱技术在分离复杂样品体系中十分重要。目前, 电色谱已通过不同途径发展出线性梯度和台阶梯度洗脱技术, 不仅提

高了电色谱的分离能力,同时也缩短了样品的分析时间。毛细管电色谱与质谱的联用技术不仅克服了毛细管区带电泳与质谱联用中流动相挥发性质差的缺点,而且也避免了胶束电动色谱与质谱联用中胶束的干扰作用,是一种很有前途的定性定量技术。此外,最近还发展出毛细管电色谱与核磁共振的联用技术。

总之,毛细管电色谱不仅具有高效液相色谱的高选择性,而且也具有毛细管区带电泳的高效性,此外,还克服了胶束电动色谱表面活性剂种类有限的缺点,目前已用于多环芳烃、酯酮、苯胺类化合物等环境样品,氨基酸、蛋白质、激素、多糖等生化样品以及各种手性、甾类药物等化合物的分离分析中。

第三节 毛细管电泳仪器

毛细管电泳是基于溶质在电场下,在装有电泳介质的毛细管中的迁移速度不同而进行分离的技术。毛细管电泳仪器主要包括进样、分离、检测和数据处理系统。仪器的基本结构如图 7-3 所示。

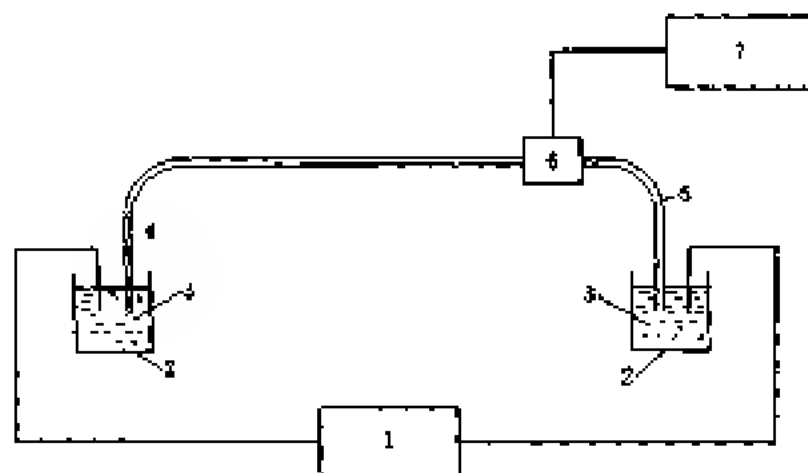


图 7-3 毛细管电泳仪器结构示意图

1—高压电源; 2—电极瓶; 3—缓冲液瓶; 4—毛细管入口端;

5—毛细管出口端; 6—检测器; 7—数据处理器

一、进样系统

毛细管电泳所使用的毛细管内径只有几十微米,进样体积一般在纳升(nl)级。目前商品仪器最常用的进样方法有静压力进样和电动进样。静压力进样是最广泛使用的进样方法。它可以在毛细管进样端加压,或在检测段抽真空,或通过提高进样端由虹吸作用进样。一般进样的压差(2.5~10) kPa,时间范围(0.5~5) s。静压力进样量与样品基质无关,样品的进样体积和区带长度是压差、时间和毛细管尺寸的函数,而且与毛细管中缓冲溶液的粘度有关。当毛细管尺寸和压差不变时,通过进样时间控制进样量。如果没有压差进样,常用虹吸方法。虹吸进样高度为(5~10) cm,时间为(10~30) s。

电动进样是用样品瓶代替缓冲液瓶,再加电压,样品组分由电迁移和电泳流进入毛细管中。电动进样的特点是实际进样量与电泳流大小、样品浓度和组分的电泳迁移率有关。此外,由于样品基质变化而引起导电性的变化,也会导致电压降和进样量的变化。由于这些原因,电动进样的重现性一般不如静压力进样。但电动进样是一种非常简单进样的方法,无需附加装置。当用粘性介质或凝胶时,静压力不能使用,只能用电动进样。

在毛细管电泳中,因检测灵敏度高,常需进行柱上样品浓缩,最常用的方法是利用堆积效应进行样品的浓缩,堆积效应是基于样品区带和缓冲溶液区带间电场强度差实现的,等速电泳的区带压缩效应就是一种堆积效应浓缩方法,此外实现堆积效应的另一种方法是使样品的导电性明显低于缓冲溶液,加电压时样品区带的电场强度大,移动速度比在缓冲溶液中快,当样品离子达到缓冲溶液界面时,迁移速度变慢,这个过程延续到样品中所有的离子都到达缓冲溶液界面,引起样品浓缩成更窄的区带,在实际应用中,产生堆积效应最简单的方法是将样品溶解在水或低导电性的缓冲溶液中,采用电动进样,堆积效应自动发生,另外,还可以采用液相色谱与电泳耦合的方法达到浓缩的目的。

二、分离系统

毛细管电泳的分离系统包括毛细管、毛细管恒温系统和高压电源。

常用的毛细管材料为石英材料,外壁涂覆聚酰亚胺保护层,以增强弹性,内径通常为 $(25\sim 75)\mu\text{m}$,外径为 $(350\sim 400)\mu\text{m}$,有效长度为 $(80\sim 100)\text{cm}$ 。毛细管柱必须进行清洗处理,常用的方法是先用碱冲洗后再用缓冲溶液冲洗,也可用酸、有机溶剂或清洗剂清洗毛细管。

毛细管电泳柱的柱温一般要求控制在 $\pm 0.1^\circ\text{C}$ 的精度,常用的恒温方法是高速流动的空气浴或液体浴,前者装置简单,后者效果更好。

毛细管电泳中常用的高压电源为 $(0\sim 30)\text{kV}$,电流为 $(0\sim 300)\mu\text{A}$,要求电压的稳定性在 $\pm 0.1\%$,高压电源应可以更换极性,最好是双极性高压电源,高压电源有恒压、恒流或恒功率等方式,最常用的是恒压电源。

三、检测系统

检测器是毛细管电泳仪的关键部件之一,由于毛细管内径很小,所能检测的溶质量和体积很小,因此对检测器的灵敏度、分辨率和响应时间等性能有更高的要求,目前已发展的检测器有紫外吸收检测器、荧光检测器、电化学检测器、质谱检测器等,这里就几种常用检测器加以介绍。

(一) 紫外吸收检测

紫外吸收检测是目前毛细管电泳最常用的检测方法,用于检测有紫外吸收的物质,其原理是由于被测组分和背景电解质的吸光度不同,当被测组分通过检测窗口时,吸光度发生变化,其大小与被测组分的浓度、吸光系数和光路长度之间符合朗伯-比耳定律,在一定实验条件下,吸光度与被测组分的浓度成正比,紫外检测器按检测方式有固定波长、可变波长、二极管阵列和波长扫描检测器,前两种结构简单,灵敏度高,后两种能够提供时间-波长-吸光度三维图谱,可用于定性及峰纯度检测等。

紫外检测器应用非常普遍,但毛细管光程短严重地限制了它的灵敏度,通常可以采用以下几种方法来提高检测灵敏度:

① 改善信噪比,主要通过提高光源强度,采用聚焦、狭缝等减少背景光的影响,采用数字和电子滤波,设计良好的信号放大系统。

② 优化测定波长,使用低波长检测。

③ 扩展吸光光路长度,采用泡型或2型检测池、轴向照射、多次反射池、采用矩形或扇形毛细管等。

无紫外吸收的物质可采用间接紫外吸收检测，其原理是采用含强紫外吸收物质的缓冲溶液作背景电解质，当无紫外吸收的被测组分通过检测器时，取代背景离子，引起区带背景离子浓度的变化，得到负吸收峰。在一定浓度范围内，负峰的大小与被测组分的浓度成正比。一般间接紫外检测法的灵敏度比直接法低(10~100)倍。

(二) 荧光检测

荧光检测法是一种高灵敏度的选择性检测方法，可以检测能发荧光的物质。具有某种特殊结构(刚性平面结构)的化合物，受紫外光照射后，能发出波长比紫外光长的光线，一般在可见光范围内，这种光称为荧光，波长较短的紫外光称为激发光，产生的荧光称为发射光。荧光检测器是一种测量荧光强度的装置。当被分析的样品的浓度足够低时，荧光强度 F 与激发光强度 I_0 、荧光物质的浓度 c 关系为

$$F = 2.302K\epsilon I_0 c l \quad (7-14)$$

式中， Q 为量子效率， K 为荧光收集效率， ϵ 为摩尔吸收系数， c 为样品的物质的量浓度， l 为光路长度。

在实验条件固定时，荧光强度与样品的浓度成线性关系。

荧光检测器采用汞灯、钨灯和氙灯作为激发光源，激光诱导荧光检测器用激光作为光源。荧光检测元件采用光电倍增管、二极管阵列和电荷耦合器。其中以光电倍增管应用最为普遍，二极管阵列和电荷耦合器均为多通道检测器，具有能提供波长-强度-时间三维谱图的特点。

能发生荧光的化合物较有酸，对于自身不能产生荧光的化合物若含有适当的官能团，可与荧光试剂反应生成荧光衍生物，再用荧光检测器检测。与液相色谱类似，常用的荧光试剂有丹酰化试剂、邻苯二甲醛、茚三羧酸酐、荧光素异硫氰酸酯、9-苄基甲基氟仿以及芳胺基萘磺酸盐等。衍生物有柱前衍生和柱后衍生两种，不产生荧光的物质也可采用间接荧光检测，即使用含强荧光物质的缓冲溶液作背景电解质。

荧光检测法直接测量荧光强度，而紫外吸收检测法测量的是吸光度，多数情况下，荧光检测器的灵敏度要高于紫外检测器，特别适于痕量分析。

(三) 电化学检测

毛细管电泳的电化学检测器有二个检测模式，即安培法、电导法和电位法。

安培法是一种高灵敏度的电化学检测法，它可以选择性地检测具有电活性的物质。当被分离的电活性物质流经电极表面时，由于溶液与电极间有电势差，电活性物质就要得到或失去电子，被还原或氧化。因此，溶液与电极间发生电荷转移，形成电流，该电流符合法拉第定律，形成的电流经放大后，记录其随时间的变化，得到电泳图。对于无电活性的化合物，可以采用间接安培法检测。与光学检测器相比，安培检测器的优点是，响应不依赖于光径长度，因此可使用极细的电泳毛细管而不牺牲信号，而且灵敏度高。其缺点是缺乏检测通用性。

电导法是直接检测毛细管电泳流出液电导变化的电化学检测方法。当溶质通过检测器时，由于电导率与缓冲溶液的电导率不同，而得到输出信号。电导检测器适用性强，但由于溶质离子是以缓冲溶液为背景，即它以高电导溶液为背景来测量因溶质离子存在而产生的电导微小变化，因此灵敏度较低。在分离柱末端使用抑制器，可以除去缓冲溶液中的平衡离子，从而仅使被测离子流至电导池，提高检测灵敏度。

虽然电位法很早就被用于大口径管的测定，但由于灵敏度低，在毛细管电泳中很少采用。

(四) 质谱检测

质谱不仅灵敏度高、专属性强，而且能提供化合物分子结构信息，是毛细管电泳的一种

非常理想的检测器。因此,自1987年首次实现CE和MS的偶联以来,CE-MS受到了人们的关注,尤其在多肽和蛋白质的分离分析中。

质谱作为毛细管电泳的检测器有在线检测和离线检测两种方式。在线检测是指将分离毛细管直接偶联到MS中进行检测;而离线检测是指将毛细管电泳分离的组分收集后送MS检测。目前,除等离子体解吸质谱和基体辅助激光解吸电离质谱与CE以离线方式连接外,其他质谱均实现了与CE的在线连接。结合后功能的发挥程度如何,完全有赖于接口性能的好坏。要求接口既能保持CE分离的高效性,又要满足MS分析要求,并能有效地将各组分送到MS中。因此近年来CE-MS的研究主要集中在接口的设计和性能改进方面。

目前CE-MS中所用的接口有以下几种:

(1) 电喷雾接口 它是通过作用在毛细管末端的电压将电泳流出物以雾状喷出,再经过电聚焦以及在热氦气流中,使溶剂挥发形成样品离子流。其特点是电离效率高、产生高丰度的分子离子。

(2) 离子喷雾接口 它是将离子蒸发和电喷雾原理结合起来,电泳流出物经气体雾化器分散成荷电离子。其特点是高速气体辅助电泳流出物的雾化,因而可以降低喷雾电压,而且此方法灵敏度高,信号稳定性好。

(3) 连续流快原子轰击接口 其原理是电泳流出物和快原子轰击基质溶液被送到样品靶上,以快速运动的原子来轰击样品靶,使样品溅射和离子化产生稳定的离子流。其特点是不损失CE的柱效,适于极性、不挥发性和热不稳定性样品的离子化。

(4) 其他接口 包括大气压化学电离接口和声波喷雾离子化接口等。

质谱作为毛细管电泳的检测器在浓度灵敏度方面有时难以满足生化样品的分析需要,仍有待改进。在分析方法改进方面可通过样品预浓缩来提高浓度灵敏度,也可采用细内径的毛细管来提高绝对灵敏度。在仪器改进方面可采取毛细管内壁涂层技术和选用高灵敏度的质谱,例如离子捕获质谱、时间飞行质谱、傅立叶变换离子回旋共振质谱,或在MS中采用阵列检测器代替常规的电子倍增管来提高MS检测的灵敏度。

除上述常用检测器外,毛细管电泳还可以采用激光光热检测、激光拉曼检测、化学发光检测、放射性同位素检测以及折射指数检测等检测方法。表7-7列出了各种检测器的方法比较。

表 7-7 各种检测器的方法比较

检测原理	质量检测限/(mol)	浓度检测限 ¹⁾ /(mol·L ⁻¹)	说 明 点
紫 外	10 ⁻¹² ~10 ⁻¹⁶	10 ⁻³ ~10 ⁻⁷	通用性强 快速扫描包括二级管阵列和硅光电倍增管 可提供很多信息
发 光 柱上衍生 柱后衍生	10 ⁻¹² ~10 ⁻¹⁷ 8×10 ⁻¹⁶ 2×10 ⁻¹⁸	10 ⁻⁷ ~10 ⁻⁹	灵敏,但样品需要衍生生化
激光诱导荧光	10 ⁻¹⁸ ~10 ⁻²¹	10 ⁻¹⁴ ~10 ⁻¹⁶	极其灵敏,但样品通常要衍生化,价格高
去 着	10 ⁻¹¹ ~10 ⁻¹²	10 ⁻¹² ~10 ⁻¹¹	灵敏,有选择性,但通常只用于电泳作物质分析 需要专门的电极元件和毛细管改性
电 导	10 ⁻²⁶ ~10 ⁻²⁸	10 ⁻⁶ ~10 ⁻⁴	通用,但需要专门的电极元件和毛细管改性

检测原理	质量检测限限 ^① /mol	浓度检测限限 ^② /mol·L ⁻¹	优 缺 点
质 谱	$10^{-16} \sim 10^{-17}$	$10^{-8} \sim 10^{-9}$	灵敏,并能提供结构信息,CE 和 MS 之间的接口复杂
控 量	2×10^{-13}	—	—
间接紫外	—	—	通用,灵敏度较相应的直接紫外低

① 假设注射样品 10 μ l。

四、常见故障及排除方法

采用毛细管电泳方法进行实际样品分析时,可能会因操作不当,仪器故障或实验条件选择不适宜而出现一些特殊现象。表 7-8 中给出了毛细管电泳中的常见故障及其处理方法^[3,4]。

表 7-8 毛细管电泳中常见故障及处理方法

现 象	原 因	处 理 方 法
电源开启后毫无反应	(1) 电源没有接上 (2) 保险丝已断 (3) 自动进样装置不当	(1) 检查电源 (2) 更换保险丝 (3) 重新装量,然后再按 Reset 键
计算机报警中断,基线噪音	(1) 门没关紧 (2) 调液不充分 (3) 柱子非改性,改性时或改性后没有充分老化 (4) 有样品脱胶吸附在内壁 (5) 灯灯安装不妥或光学系统污染	(1) 检查,确认两个门已关好 (2) 通常开机后半小时内才开进样梯 (3) 在采用未改性柱事先用 NaOH 清洗内壁,若系用改性柱则要适当老化 (4) 用酸性缓冲液冲洗柱子 (5) 由专门人员调校冲流
电流显示为零	电路断掉,或由液没有密封	复核,校正,重抽
电流不稳或电流值远远高于正常值,但电压值正常	(1) 毛细管堵塞 (2) 毛细管断裂 (3) 柱内有大气泡 (HPE-100) (4) 缓冲液液面与毛细管顶端和液面没有接触 (5) 用水作溶剂配样,在压力选择时将一部分水压入缓冲液中	(1) 把管子放到烘箱中,或接到高压气上吹开,同时要检查缓冲液和样品液液面确保其中没有气泡,防止蛋白质等样品在柱内沉积 (2) 更换 (3) 重新注入缓冲液 (4) 取出气泡,将缓冲液加到一定的高度 (5) 用稀释的运行缓冲液代替水配样
电压值过低	传过热	降温冷却系统 若仪器没有冷却系统,则用干冰缓冲液冲洗柱子并使之冷却
电压显示不断变化	(1) 毛细管内有許多小气泡 (2) 环境温度过高或过低,通风不好(对没有温控装置的仪器而言)	(1) 重新注入缓冲液 (2) 调整环境温度,最好使用温控装置
恒压操作时电压显示剧烈波动	电压设置过低	重新设置电压值
噪 声	(1) 放电或柱系统漏电 (2) 毛细管柱有裂纹,漏出 (3) 电极损坏 (4) 电压过高	(1) 应该在高压下测试柱,如果噪声消失说明是柱系统的问题,停测 (2) 更换 (3) 更换 (4) 降低电压

续表

现象	原因	处理方法
噪声	(5) 氙灯不稳定或受损 (6) 毛细管柱内无气窗口被污染 (7) 检测器脏 (8) 缓冲液离子强度过大 (9) 检测器参数设定错误 (10) 数据系统设定错误 (11) 缓冲液浓度或太大 (12) 缓冲液或样品中有不挥发物质 (13) 毛细管有微小裂口	(1) 检查参比水平, 如有必要更换之 (2) 清洗 (3) 将积分仪和电源仪放在同一电源上 (4) 更换 (5) 检查检测器长度和灵敏度设定值 (6) 重新设定数据处理参数 (7) 降低缓冲液浓度 (8) 过滤缓冲液或样品溶液 检查样品与缓冲液是否发生作用 (9) 过滤样品或缓冲液 (10) 更换毛细管
基线有尖峰小峰, 发生嘶嘶声, 嗒嗒声	放电	作电路诊断, 维修或更换相应器件
基线不平	(1) 毛细管检测器与检测器电路未接好 (2) 电源未加上 (3) 信号线连接错误 (4) 毛细管堵塞 (5) 检测灯损坏 (6) 检测器参数设定错误 (7) 数据系统设定错误	(1) 重新安装毛细管 (2) 检查电源值 (3) 检查信号线是否连接正确 (4) 清洗或更换毛细管 (5) 更换灯源 (6) 检查检测器波长和灵敏度设定值 (7) 重新设定数据处理参数
电导桥平衡	(1) 样品带电荷性质相反 (2) 样品离子强度过高 (3) pH 不合适, 使样品形态变化 (4) 样品离子强度过低	(1) 改变电极方向 (2) 稀释样品 (3) 调整 pH (4) 增加样品离子强度
压力维持故障	(1) 气源压力不足 (2) 压力阀没有设置在设定值或阀未打开 (3) 外接管和仪器上的接头没有接好 (4) 仪器内部气动阀堵塞 (5) 毛细管断裂 (6) 加压密封受损	(1) 换气 (2) 检查压力值, 打开阀门 (3) 检查气源和仪器的连接 (4) 请专业人员检查 (5) 更换 (6) 更换
进样重复性差	(1) 进样时间太短 (2) 有背压吸附 (3) 缓冲液的离子强度不稳定 (4) 样品粘度不一致 (5) 缓冲液耗尽 (6) 样品或缓冲液挥发	(1) 延长进样时间 (2) 采用管壁作过处理的柱子 (3) 更换缓冲液 (4) 校正样品粘度, 使用内标标准 (5) 补充, 使用大的贮瓶, 加大更换频率 (6) 补充, 进样器加压, 降低样品温度
无峰	(1) 极性设置错误, 样品没有通过检测窗口 (2) 波长设置错误 (3) 样品纯度 (4) 样品浓度太低或体积太小 (5) 样品已被吸收或沉淀 (6) 盛放样品的玻璃的小离心管瓶因降解或已有液体	(1) 重新设置 (2) 重新设置 (3) 重新进样或稀释 (4) 增加样品浓度或体积 (5) 更换 (6) 补充或更换

续表

现 象	原 因	处 理 方 法
无 峰	(1) 毛细管检测器窗口没有封上 (2) 积分仪或记录仪的笔纸有损 (3) 备注	(1) 重填 (2) 重绘 (3) 有缺陷者在第一次进样时无峰, 可连续进几根杆
峰 小	(1) 满标接收率值 (AUF5) 设置太高 (2) 机后板选择开关设置不合适 (3) 增益设置不佳	(1) 重新设置 (2) 选择适当的讯号输出 (3) 重新设置
峰迁移重复性差	(1) 温度变化使粘度 and 电导改变 (2) 毛细管壁的吸附改变电导 (3) 由于在较高 (或较低) pH 下老化毛细管柱, 或使用柱低 (或过高) pH 的缓冲液造成壁电荷变化 (4) 缓冲液老化变化 (原因包括电导、性 pH 变化, 缓冲液蒸发、冲液泵进入出口阻塞等) (5) 进出口两腔室的液面不在一个水平上形成管内液面存在不可重复 (6) 不同批号的管子柱的容量小, 使膜电荷不同或电容有变 (7) 电压变化使迁移时间改变	(1) 检查毛细管是否被阻塞, 使之正常工作, 对没有阻塞装置的要冲液冲洗液并了 (2) 对毛细管老化, 或提供足够的平衡时间 (3) 避免 pH 波动, 提供足够的平衡时间 (4) 将液液柱置冲液瓶中或贮瓶, 如能冷却自动进样器, 使用单独的贮瓶收集液液, 先将毛细管调进液液或水中 (5) 使前后两腔室的液面保持一致 (6) 使用同一批号的管子 (7) 不可接受, 找原生产厂家
峰面积重复性差	(1) 温度变化改变了粘度和进样量 (2) 样品浓度或增加了样品浓度 (3) 样品转移造成额外样品进入毛细管 (4) 样品被吸附到壁上或则使峰型受损, 或则使之不能检测 (5) 信噪比太低, 造成积分误差 (6) 突然施加高压, 使缓冲液膨胀样品流出 (7) 电进样引起的样品的溅射	(1) 设法使毛细管恒温 (2) 对样品加重或冷却进样器 (3) 使用带偏干光带进样器的毛细管, 除去毛细管进样端的膜层杂质, 在进样前把毛细管浸到缓冲液或水中洗一下 (4) 改变缓冲液的 pH 度, 增加缓冲液的浓度, 使用高浓度 (5) 使化测分多些, 增加样品浓度, 使用峰高定量 (6) 电压升高 (7) 使用压力进样, 或采取定量截止
柱效低	(1) 毛细管污染 (2) 线圈热太大 (3) 样品用放电电压太高 (4) 缓冲液被虹吸 (5) 进样量太大	(1) 清洗或更换毛细管 (2) 降低电压 降低缓冲液浓度 (4) 用水稀释样品 样品去盐 增加缓冲液浓度 (4) 使电极两端的缓冲液液面相同 (5) 减少进样量
分辨率差	(1) 进样量太小 (2) 毛细管污染 (3) 检测器灯源老化 (4) 检测器参数设置错误 (5) 数据系统设定错误	(1) 增加进样时间 (2) 清洗或更换毛细管 (4) 更换灯源 (4) 检查检测器波长和衰减设定值 (5) 重新设定数据系统参数

续表

现象	原因	处理方法
峰太少	(1) 检测波长设置有误 (2) 分析时间设置有误 (3) 管壁吸附 (4) 样品中有与其迁移率相近的组分	(1) 检查检测器波长设置 (2) 加长分析时间设置 (3) 对管壁作必要的处理 (4) 调整 pH, 改变缓冲液种类或采用其他分离模式如 MEKC、CEC 等
峰太多	(1) 气泡 (2) 缓冲液中有固体杂质 (3) 前一次分析的样品残留 (4) 样品分解	(1) 缓冲液彻底脱气 (2) 过滤缓冲液 (3) 冲洗毛细管柱 (4) 降低柱温或换样品
峰太低	(1) 检测波长不合适 (2) 检测器不合适 (3) 样品失效	(1) 改变检测波长 (2) 改变检测方法, 如电化学检测器等 (3) 样品长时间放置可能已分解, 或挥发, 换样品
峰干扰	样品太浓	减少进样进间, 或稀释样品
峰拖尾	(1) 电压太大 (2) 样品与管壁作用	(1) 降低缓冲液离子强度或降低电压 (2) 调整缓冲液组成有机改性剂 管壁处理 改变分离模式如 MEKC、EC 等

参 考 文 献

1. 曹均. 分析化学前沿. 北京: 科学出版社, 1991: 147
2. 竺安. 毛细管电泳进展. 第二卷. 广州: 华南理工大学出版社, 1995: 1
3. 傅小芸, 吕庄卿. 毛细管电泳. 杭州: 浙江大学出版社, 1997: 15
4. 林朝成. 毛细管电泳导论. 北京: 科学出版社, 2006
5. Foret F, Křiváň L, Boček P. Capillary Zone Electrophoresis. New York: VCH publishers Inc, 1992
6. Landers J P. Handbook of Capillary Electrophoresis. Boca Raton FL: CRC press, 1994
7. 郭延峰, 何金兰. 高效毛细管电泳. 北京: 科学出版社, 1996
8. Trudo T. Electric Field Applications in Chromatography, Industrial and Chemical Process. New York: VCH publishers Inc, 1995
9. Terabe S, Otsuka K, Ando T. Anal Chem, 1985;70:3261~3270
10. Guo F, Wu H, Luo Y. Anal Chem Acta, 1997;342:133~144
11. Stahlberg Jan. Anal Chem, 1997;69:3612~3621
12. Smith N W, Evans M B. Chromatographia, 1985;41:197
13. Miyawaki J J, Alisandro M S, Riley C M. J Chromatogr A, 1997;769:145~163
14. Bewser M J, Chen D D Y. Electrophoresis, 1998;19(6~9):1452~1460
15. Yan C, Ludoo R, Zure R N. Anal Chem, 1996;68:2776~2780

第八章 平面色谱法

第一节 薄层色谱法简介

1938年，Isaiahov 和 Shroöber 首先实现了在氧化铝颗粒薄层上对一种天然药物的分离，奠定了薄层色谱法（TLC）的基础；直至1949年，美国化学家用 TLC 达成功地分离了精油中的萜烯类化合物；1958年德国化学家 Stahl 系统地规范了 TLC 方法的涂布材料（TLC 固定相）和涂布设备，进一步完善了 TLC 技术^[1]。尽管从20世纪60年代开始，HPLC 方法的出现和发展，对 TLC 法的发展有所影响，但是 TLC 技术仍得到了较大发展，特别是70年代后期，随着高效薄层材料、商品级预涂板及其相关技术的发展，使 TLC 更加简便、快速。80年代以后，相继出现的计算机化薄层色谱扫描仪和相关仪器，也使现代仪器化薄层色谱法（Modern Instrumental TLC）得到了进一步的普及应用^[2-4]。

薄层色谱法也是一种基于混合物组分在固定相和流动相之间的不均匀分配或保留而将其分离的方法。与 HPLC 不同，TLC 将固定相涂铺在载板上，使之形成均匀的薄层。被分离的样品溶液点加在薄层板下沿的位置，再把下沿向下放入盛有流动相（深度约 5 mm）的密闭缸中，进行色谱展开，实现混合组分分离。被展开的组分斑点即色谱谱带，通过适当技术对色谱谱带进行处理可得到定性和定量的检测结果。

薄层色谱法具有技术比较简单，操作容易、分析速度快，高分辨能力，结果直观，不需昂贵仪器设备就可以分离较复杂混合物等特点。薄层色谱和高效液相色谱方法的特征比较见表 8-1。

表 8-1 薄层色谱法和高效液相色谱法方法特征比较^[5]

特 性	TLC	HPLC	特 性	TLC	HPLC
准确度	相 当	相 当	时间有效利用	方 便	不 能
重复性	相 当	相 当	对污染物抵抗力		
灵敏度	相 当	相 当	颗粒物质	无影响	影响大
样品量	相 当	相 当	不可逆吸附物质	无影响	有影响
有效分析时间			腐蚀性物质	无影响	影响大
少量样品	较 长	较 短	自动样品处理	可 以	可 以
大量样品	较 短	较 长	色谱衍生生化	方便 便宜	受限、昂贵
流动相流量控制	不是关键	是关键	操作成本	低	高
流动相流速下溶剂的影响	无	大	在线光谱图记录	可 以	可 以
对全部被分离组分的检测	方 便	局限性大	进一步发展潜力	较 大	较 小
吸附剂再生	不要求	关 键			

一、薄 层 板

TLC 分离的选择性主要取决于固定相的化学组成及其表面的化学性质，可通过改变涂层材料的化学组成或对材料表面进行化学改性来实现改变薄层色谱分离的选择性。此外，固定相的物理性质，如比表面积、比孔容、平均孔径等也对其色谱行为产生影响。

（一）载体

对 TLC 载板的基本要求为：机械强度高、化学惰性好（对溶剂、显色剂等）、耐一定温

度、表面平整、厚度均匀、价格适宜。厚度约为(1.5~4) mm的玻璃板可以满足这些要求,因此在自制板和商品预涂板中,被广泛采用。聚酯箔(通常为0.25 mm的聚乙烯对苯二甲酸酯箔)和铝箔(厚约0.1 mm)常被用作商品预涂板载板。这两种板的突出优点是可以容易地裁制成所需要的尺寸和形状。

常用规格 TLC 载板的最大尺寸为 20 cm×20 cm,更大者一般用于为加大上样量进行的制备分离。实验室选用玻璃载板时,应先将选用规格的玻璃板浸入饱和 Na_2CO_3 溶液中数小时,以除去表面油污。然后再用清水漂洗干净。待晾干后,放入干燥器中备用。

(二) 固定相

TLC 固定相包括未改性固定相和表面改性固定相两类。硅胶和氧化铝是最常用的两种未改性固定相,此外硅藻土、纤维素、聚酰胺等也可作为 TLC 固定相。硅胶具有表面活性、多孔性、价格低等特点,氧化铝的表面化学活性高于硅胶。市售氧化铝有碱性($\text{pH}=7\sim 7.5$)和酸性($\text{pH}=4$)之分,可以满足不同目的的需求。

表面改性固定相通过涂饰材料表面特性的改变调节 TLC 的色谱选择性。

(三) 粘合剂

在制备薄层板时,一般需在吸附剂中加入适量的粘合剂,其目的是使吸附剂颗粒之间相互粘附并使吸附剂薄层紧密地附着在载板上。添加粘合剂也可改变薄层的润湿性等物理性质,从而改变薄层板对样品的色谱分离特征。

常用 TLC 粘合剂可分为无机粘合剂和有机粘合剂两类,无机粘合剂一般采用煅石膏(硫酸钙)。添加石膏的商品吸附剂以字母“G”为标志,如硅胶 G、氧化铝 G 等。不含粘合剂的商品吸附剂其标志为字母“H”,如硅胶 H 等。无机粘合剂具有耐酸碱、耐高温的优点,但以石膏作粘合剂也存在易凝固、要求涂板迅速等不足。由于 CaSO_4 微溶于水,当采用水作流动相时,有时会出现薄层脱离载板的现象;薄层强度也较差,点样易被毛细管或注射器针尖损伤,更不适用喷雾器点样。同时在展开、显色和扫描时,也易受损伤。

有机粘合剂包括羧甲基纤维素钠(CMC)、淀粉、聚乙烯醇和有机高分子聚合物等。实验室制板时经常采用 CMC,这种粘合剂具有使用方便、薄层强度高等优点,但不适于用浓硫酸做显色剂。目前商品预涂板所使用的粘合剂为化学惰性好、能耐一定温度、板强度高的高分子聚合物。制备反相薄层板时,常采用高级烷烃(如正十八烷)和亲脂性高分子聚合物作粘合剂。

(四) 荧光指示剂

荧光指示剂是便于在薄层色谱图上对一些基本化合物斑点(无颜色斑点、无特征紫外吸收的斑点)定位的试剂。加入荧光指示剂后,可以使这些化合物斑点在激发光波照射下显出清晰的荧光,便于检测。经常采用的短波长紫外指示剂包括铜荧光素、硫化镉和锰激活过的硅酸锌($\text{ZnSiO}_4\text{-Mn}$),而长波长紫外指示剂包括羟基嘌呤微酸钠和银激活过的硫化锌-硫化镉(ZnS-CdS-Ag)等;也可以采用苝盐(366 nm)和阴极绿(254 nm)等有机荧光指示剂。荧光指示剂在 TLC 固定相中用量一般为 1.5%~2.0%。

含有荧光指示剂的商品吸附剂和预涂板,常标记以“F”,如硅胶 HF_{254} 、 F_{254} 等,下角标表示激发光波长。

二、薄层板的涂铺

(一) 涂铺方式及装置

涂板方法可以分为涂布法、倾注法、喷洒法及浸渍法四类,其中涂布法是应用最广泛的

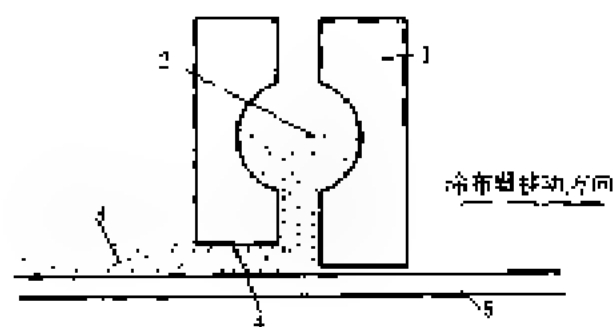


图 6-1 薄层涂布法原理图

1—涂布器；2—匀浆；3—薄层；
4—涂布器供浆口；5—载板

除板方法。涂布装置也可以按操作分为两类，第一类称 Stahl 型涂布器，特点为固定载板，匀浆涂布槽匀速移动；第二类称 Kirchner 型涂布器，特点为匀浆涂布槽固定，载板匀速移动。涂布器的涂层质量主要取决于载板和涂布槽的相对移动速度及速率的均匀性，方法原理如图 8-1。

（二）匀浆的制备和薄层涂铺

TLC 固定相薄层涂铺大多采用湿法匀浆，要求薄层均匀、平整、无气泡，不易造成凹坑和龟裂。薄层涂铺采用的匀浆溶剂、剂量及配制技术，是决定薄层质量的重要因素，一些固定相常用的调浆溶剂及其剂比见表 8-2。

硅胶等固定相可以浸渍某些络合剂，以改变其色谱分离效能和选择性。表 8-3 列出了某些络合剂所适用的样品范围。

表 8-2 一些固定相常用的调浆溶剂及其剂比

固定相	调浆溶剂	固定相(g):溶剂(ml)
硅胶 G	水	1:(2~2.5)
氧化铝 G	水	1:(1~2)
硅藻土 G	水	1:2
纤维素	水、95%乙醇或丙酮	1:5~6
聚酰胺	甲苯	1:4~10

表 8-3 一些络合剂的适用范围

络合剂	适用样品
硝酸铈	烯烃、炔烃、羧酸、萜烯、脂肪醇
硼酸	糖、甘油酯
四硼酸钠	糖类
新胺酮	多元醇
乙酸钠	芳香族
草酸钠	2-羟基酸

浸渍可以采用多种方法，包括：

- ① 制备匀浆时加入适量络合剂溶液；
- ② 涂成板后用络合剂溶液展开一次；
- ③ 将涂成板浸入络合剂溶液中；
- ④ 将络合剂溶液均匀地喷到薄层上。

例如，常用的 AgNO_3 络合剂，调浆时以 12.5% 浓度的 AgNO_3 溶液代替水即可，也可将薄层板浸渍在 10% 的 AgNO_3 甲醇溶液中 (5~10) h。

（三）预涂薄层板

商品化预涂薄层板品种、规格繁多，正相板多为硅胶薄层板；反相板以化学键合相硅胶板为主，如， C_{18} 、 C_8 及 C_{18} 键合相硅胶板等。固定相中添加有荧光指示剂预涂板，使用方便。预涂板的系统化、规模化生产，保证了产品质量的稳定性，也使分析重现性得到改善。

预涂板载板以玻璃板为多，多数预涂板都密封包装，用前一般不必再活化。

（四）薄层板的活化处理

薄层板活化可以获得适宜活性，提高色谱分离效率和选择性。具体活化方法：将涂铺好的薄层板在室温下阴干后（或使用前），放在适当温度下烘烤一定时间，凉至室温存入干燥器中备用，一般薄层活性随含水量增加而降低，刚刚涂好

表 8-4 不同材料薄层的活化条件

固定相	活化温度/℃	活化时间/min
硅胶	110	60
纤维素	105	20~30
氧化铝	110	30
硅藻土	110	30
聚酰胺	60~80	30

的薄层板, 在溶剂尚未挥发完全之前不宜放入烘箱活化, 否则易破坏涂层的平整性或形成龟裂。表 8-1 列出不同材料薄层的活化参考条件。

薄层材料的活性以 Brockmann 活性级度量。应该指出, 决不是活性级越高越好。需根据被分析样品的极性进行选择, 一般以 I ~ II 活性级为好。

三、点 样

(一) 对点样的要求

点样是 TLC 分离和精确定量的关键。不同种类的样品常需选用不同的配样溶剂, 一般采用易挥发的非极性或弱极性溶剂配样。离子型化合物样品, 常需先衍生化成在挥发性强、极性小的溶剂中易溶解的样品衍生物。

最适合点样的样品浓度应为 $(1 \sim 5) \mu\text{g} \cdot \mu\text{l}^{-1}$, 点样体积视点样技术不同而异。如用毛细管或注射器点样, 一次不超过 $0.5 \mu\text{l}$, 需加大样品溶液体积时, 应采用多次点加法。为达到使样品在原点处集中的目的, 第二次点样必须在前一次点样的溶剂挥发完之后进行。点样过快, 溶剂可能将组分冲洗到样品点外沿, 形成“环”, 并可能产生拖尾分离。多次点样时, 用氮气流在样品点上缓慢吹散或微加热可以加快溶剂挥发。点样量对展开后斑点的形状和位置有较大影响。样品量过大会引起斑点拖尾、分离度变差。TLC 定量分析时, 样品量的适宜范围为最小检出量的几倍至几十倍。

样品原点一般在 2 mm 左右为佳, 原点过大或样品量过大, 会导致分离变坏。条形原点比圆形原点对分离更有利。样品原点的大小和样品溶液体积有关, 也与样品中最小保留组分的迁移有关。点样时也应避免破坏薄层的平整性。样品原点如果出现小坑, 则会引起展开斑点畸形, 色谱分离失败。

(二) 点样装置

点样步骤一般占 TLC 全部分析时间的二分之一左右, 所以使点样仪器化、自动化, 既快又准, 获得好的重复性, 是 TLC 分析工作者所期盼的。手工点样一般采用实验室自制的玻璃毛细管即可。但定量分析, 必须采用定容玻璃毛细管或铂铱合金定容毛细管, 容积一般为 $(0.1 \sim 5) \mu\text{l}$, 后者更适用于微小体积样品溶液的点加。为避免手工点样操作者技能的影响, 可借助手工点样辅助仪器。最新发展的自动点样装置有两种, 即点状点样器和条带状喷样器。图 8-2 为由喷样器得到的样品条带示意图。

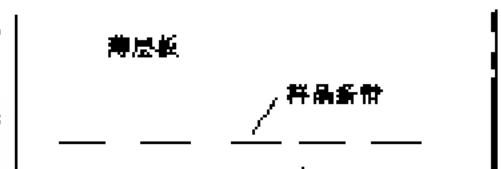


图 8-2 由喷样器得到的
样品条带示意图

采用喷样器除样品溶液需用下丁吸入注射器外, 其他全部工作参数如板宽 ($< 200 \text{ mm}$)、样品带长 ($0 \sim 190 \text{ mm}$)、板边空距、样品带间距、喷样 $[(4 \sim 15) \text{ s} \cdot \mu\text{l}^{-1}]$ 、喷样量 $[(1 \sim 99) \mu\text{l}]$ 、通道数、喷加次数等均可通过电脑编程设定。点状原点一般取样 $(50 \sim 5000) \mu\text{l}$, 带状原点取样 $(1 \sim 20) \mu\text{l}$ 。

四、展 开

TLC 展开就是流动相沿薄层 (固定相) 运动, 以实现样品混合组分分离的过程。这一过程需在具有一定形状的展开室中进行。薄层展开有三种形式 (见图 8-3), 表 8-5 比较了不同形式展开的特征, 圆形展开对分离过小或过大 R_f 的化合物具有一定优越性, 但对薄层质量、点样技术、展开装置及扫描测量等方面均有较严格的特殊要求, 因此, 直线式展开方式仍为实

际应用中使用最普遍的展开方式。

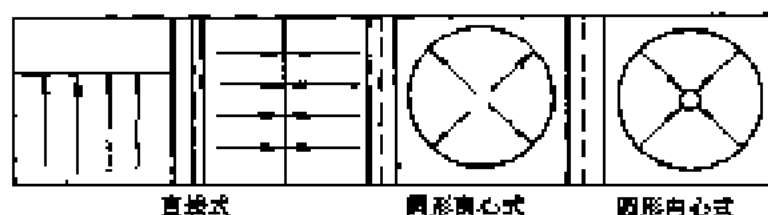


图 8-3 薄层色谱展开形式

表 8-5 不同形式展开的特征

展开形式	直线式	圆形离心式	圆形离心式
展开装置	平底或双槽缸	水平展开架	U-型
最佳分离距离/mm	50~60	50	25
适用范围	中等 R_f 化合物	中等 R_f 化合物	低 R_f 化合物
相变的容量因子 ($k=(1-R_f)/R_f$)	10	10	100
			高 R_f 化合物
			1

(一) 直线式展开

直线式展开技术可以分为近水平展开、上行展开、下行展开、双向展开和水平展开五种形式，薄层色谱分离一般样品多采用上行展开方法。

1. 近水平展开

将适量展开剂装入长方形玻璃展开槽中，点样后的薄层板浸入溶剂 0.5 cm，薄层上端垫高使薄层与水平成 $5^\circ \sim 10^\circ$ 角，展开剂由下而上进行展开，这种方法常用于不含粘合剂的软板展开。

2. 上行展开

流动相沿薄层固定相向上运动的展开方式，此时薄层板放置的角度对流动相移动速率和斑点形状有一定影响。薄层板水平角度为 75° 时，对展开最为有利。这种展开方式适合于含有粘合剂的硬板展开。

3. 下行展开

在展开槽内薄层板上端放置一个盛展开剂的溶剂槽，用厚滤纸将溶剂引到薄层板的上端，使展开剂自上而下流动，下行法中展开剂受重力和毛细管作用双重影响，因此展开速度较快。由于这种展开方式采用的装置比较复杂，目前只有在葡聚糖凝胶板上展开时或纸色谱中采用。

4. 二维展开

在正方形薄层板上，在两个垂直的方向进行基于相同或不同机理的展开。将样品点在薄层板的一个角上，第一方向展开适当距离后，取出薄层板，并使溶剂完全蒸发，再以与原成 90° 方向展开。第二方向展开可采用不同溶剂，也可将薄层板进行化学反应后，再行第二方向展开，通称 SRS 展开技术（分离—反应—分离）。

二维展开常用于复杂较多组分样品的展开，通过调节展开剂极性，增加展开距离，进一步提高分离能力。这种方法多用于定性，对于定量不很适用。

5. 水平展开

水平展开一般需在专用设备上进行，文献 [9] 介绍了几种典型的水平展开仪器系统的原理和使用方法。样品一般点在薄层板的两边，展开剂从两边向中间展开，在中心汇合后停止操作。

（二）圆形离心式展开

圆形离心式展开也叫同心式展开。溶剂由圆心进入、向四周展开，在专用圆形离心式展开 U 型展开槽中进行。

圆形离心式展开具有展开距离短，展开速度快，节约展开剂，分离效率高等特点。这种展开方式斑点的比移值为线性展开对应比移值的平方，因此适用于 R_f 值较小的组分的分离。

（三）圆形向心式展开

圆形向心式展开也叫反同心式展开，展开需在专用反 U 型展开室中进行。样品点在薄层的四周，展开剂自四周向圆心展开，展开速度快，可以提高 R_f 值较大组分的检测灵敏度和定量准确性。

（四）特殊展开技术

现广泛应用的展开技术是在已选好的展开系统中进行一次展开，一般可以得到满意的分离效果。当一次展开效果不佳或难找到优化展开系统时，必须考虑采用某种特殊展开技术。

1. 多次展开

一次展开分离不理想时，可将 TLC 板干燥后，再放入展开室进行重复展开，直至分离效果满意为止。

2. 分步展开

用不同流动相（极性不同）依次对薄层板进行展开，对极性差异较大的混合物组分能达到较为理想的分离。

3. 连续展开

使流动相沿薄层固定相连续流动，并使薄层上缘溶剂不断蒸发掉。因无溶剂前沿，为计算溶质相对保留值，必须同时选择参比物展开。

4. 离心展开

将薄层板以适当转速旋转时，流动相便会以相应速率在薄层固定相上输运，使分离速度加快。该方法主要应用于 TLC 制备分离。

5. 梯度洗脱展开

将柱色谱的梯度洗脱技术用于 TLC 系统，即梯度改变流动相组成、pH 等参数，使样品更好分离。

6. 梯度薄层

将薄层固定相做成 pH 梯度、盐梯度 (AgNO_3 等) 或固定相梯度，再按流动相三种不同方向展开（沿梯度、逆梯度、横梯度）；也可采用层厚度梯度分离大 R_f 值痕量组分和小 R_f 值大量组分的混合物。

7. 多维技术

用同一流动相在三块薄层板上同时展开，再用性能差别较大的二种不同流动相进行第二方向展开；并用不同试剂对三张谱图进行显示。该方法对复杂混合物分离较适宜。

8. 加压展开

具有较多的柱色谱特征。用泵加压使流动相流过密封的薄层固定层床，实现分离（不靠毛细作用力）。加压展开必须在特殊装置中进行。此法可同多次展开、多维展开、梯度展开结合应用。

9. 控温展开

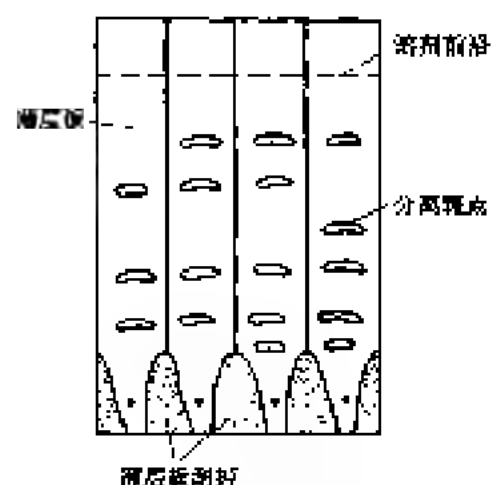


图 8-1 楔形技术展开示意图

对应的几种装置示意图。

对吸附 TLC 法而言，温度对分离的影响并非很大，一般在 $4\sim 20^{\circ}\text{C}$ 之间进行；但对分配 TLC 而言，温度变化不可忽视。使用带有温控装置的展开室，是改善分离状况的重要条件。

10. 楔形技术

将薄层板固定相刮成楔形，把样品点在固定相窄带部分，结果形成似圆形离心样图谱，展开斑点呈弯月状（见图 8-4）。

（五）展开装置

展开装置有多种类型，较为常用的展开装置包括钟形展开槽和双底展开槽，自动多步展开仪（AMDL）、U 型展开室系统等数种，表 8-6 列出了这些展开装置的性能比较，图 8-5～图 8-8 也给出

表 8-6 常用展开装置的性能比较

展 开 装 置	性 能
钟形展开槽和双底展开槽 可调溶剂展开室	简单、实用，溶剂用量少，便于溶剂蒸发，可用不同溶剂调节槽内气氛 可行多种不同溶剂分离带叠置开，在同一薄层板上进行多通道展开，便于选择优化溶剂系统，通过隔板将固定相涂层与溶剂蒸气隔绝，可进行夹层展开
HTLC 直线式展开室	溶剂靠薄层两端的致密条与溶剂槽内壁之间间隙所产生的作用力驱动，展开由薄层两端向中间进行，当两端溶剂前沿会合时，展开结束
自动多步展开仪（AMDL）	此种展开室的优点是可使分析样品量增加一倍，节省溶剂，展开条件易重复 色谱图在同一方向上可被多次重复展开，后一次溶剂流动能力（活性）比前一次弱，而展开距离稍长，经一次展开完成后，须用溶剂、极薄层中的溶剂及展开室中的溶剂蒸气均被真空抽干，再进行下一次新溶剂洗脱，根据待测样品不同，可设定通用梯度程序（通用梯度和专门优化梯度）和分离步数（设定 20～25 步），自动多步展开可将梯度程序曲线见图 8-9
自动展开室（ATLC）	由普通玻璃展开槽（平底或双槽）结合微处理机程序控制系统构成，可按需要设定程序，能够得到重现性较好的色谱图
U 型展开室系统	可进行高效薄层板双向展开，得到圆形 TLC 图，根据展开槽运动方向不同，又分为圆形离心展开（1）和圆形向心展开反向（1）室（1）室和反向 U 型展开室于具有较小 R_F 值和较大 R_F 值组分的分离，具有处理样品量大、溶剂集中、展开速度极快等特征
加压薄层展开系统（PTLC）	可用于多种展开形式，具有可控制的标准化展开条件，不受溶剂气相影响，可优化流动相流量（一般 $20\text{cm}^3 \cdot \text{h}^{-1}$ ，相当于流速 $1\text{mm} \cdot \text{min}^{-1}$ ，最高可达 $2.5\text{cm} \cdot \text{min}^{-1}$ ），流量恒定，展开时间短，流动相用量少等特点

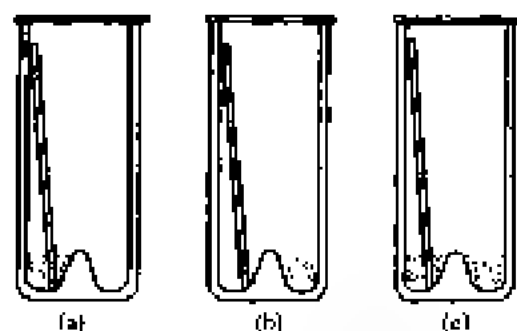


图 8-5 双底玻璃展开槽

(a) 展开中，(b) 的溶剂中，(c) 展开过程中以下降于展开剂的溶剂蒸气槽内气氛

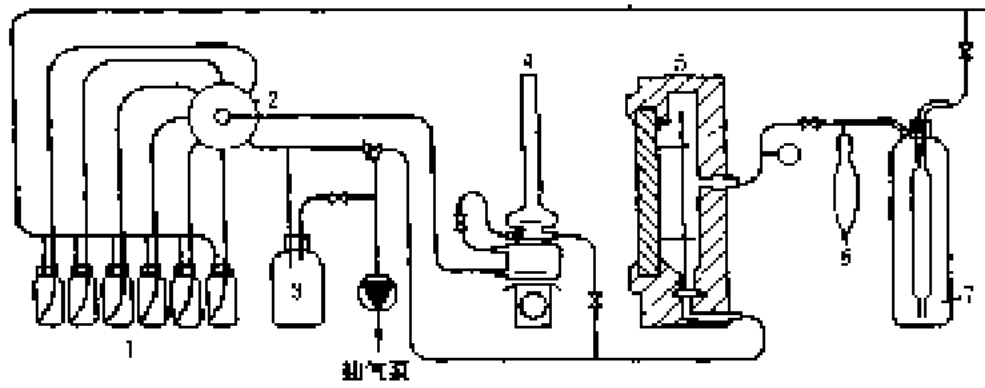


图 8-6 自动多步展开仪流程图

1—溶剂瓶；2—分配阀；3—废液瓶；4—混合室；5—展开室；6—气室；7—配气室

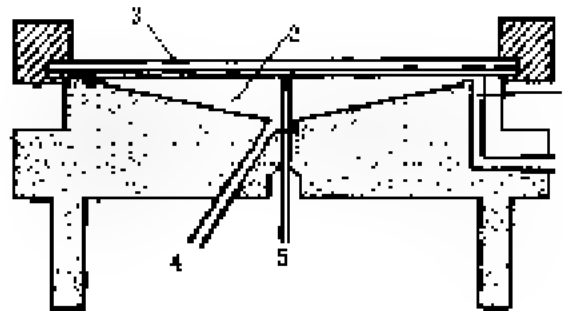


图 8-7 U 型展开室系统原理图

1—溶剂瓶气入口；2—展开室腔；3—橡皮板；4—溶剂瓶气出口；5—展开剂输油管

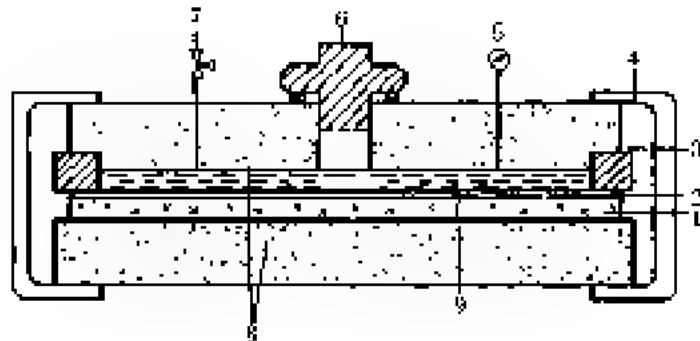


图 8-8 加压薄层色谱展开室剖面图

1—溶剂瓶气入口；2—溶剂瓶气出口；3—橡皮板；4—固定板；5—压力板；6—溶剂入口；7—溶剂出口；8—展开室底座和上盖；9—透明薄膜

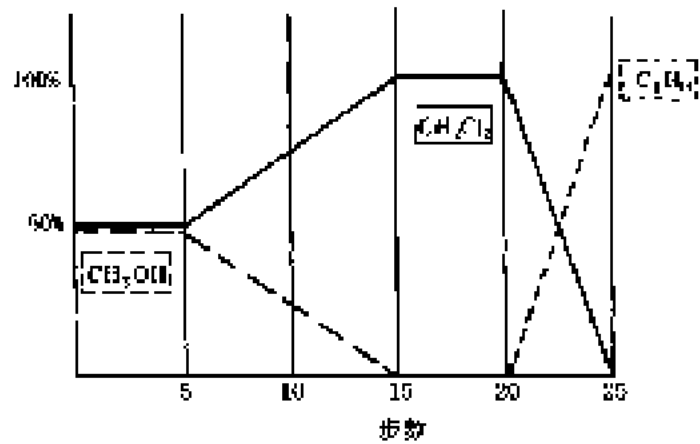


图 8-9 自动多步展开通用梯控程序曲线

第二节 薄层色谱参数

一、流动相动力参数

当吸附剂、流动相和蒸气相达到平衡时, 溶剂前沿在板层上的移动速率随时间的变化为

$$d_r^2 = kt \quad (8-1)$$

式中, d_r 为溶剂前沿在时间 t (s) 内移动的距离 (mm); k 为流动相速率常数 ($\text{mm}^2 \cdot \text{s}^{-1}$), 它反映了流动相在薄层中迁移的动力学特征。

如果展开体系未达到平衡, 式 (8-1) 需加以校正

$$k = 2k_0 d_p \frac{\gamma}{\eta} \cos \theta \quad (8-2)$$

式中, k_0 为溶剂渗透常数; d_p 为平均颗粒直径; γ 为流动相表面张力; η 为流动相粘度; θ 为溶剂表面接触角。

显然, 流动相移动速率和固定相结构 (d_p) 及流动相性质 (η , θ 和 γ) 有关。

流动相移动线速度 U 与薄层板和流动相特性之间的关系为

$$U = \frac{dd_r}{dt} = \frac{k_0 d_p}{\eta d_m} \cos \theta - d_m \left[\frac{d\rho g}{12} \right] \quad (8-3)$$

式中, ρ 为流动相密度; g 为重力常数。

高效 TLC 常采用低粘度、低密度溶剂和小颗粒、小空隙固定相, 以加快流动相移动速度, 缩短分析时间。

二、保留参数

1. 比移值 (R_f)

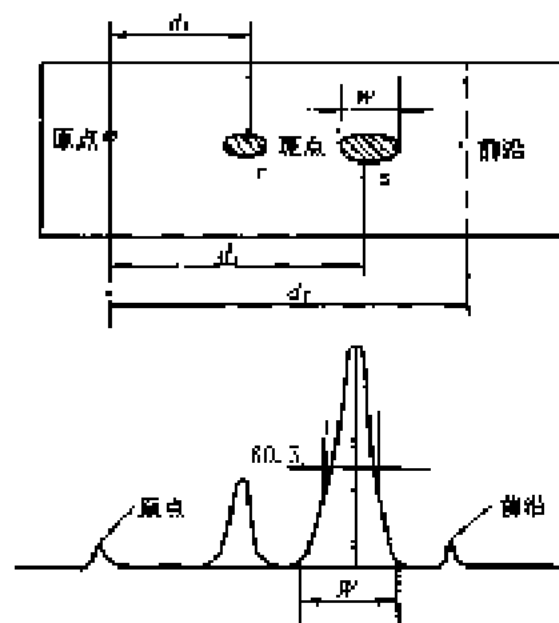


图 8-10 薄层色谱斑点及其扫描曲线的基本数据

保留因子是表征 TLC 图上班点位置的基本参数, 通常称为比移值 (R_f), 其定义为

$$R_f = \frac{d_s}{d_f} \quad (8-4)$$

式中, d_s 为样品原点到样品斑点质心间的距离 (见图 8-10)。

2. 相对比移值 (R_{rel})

R_f 测量误差的主要来源是难以确定溶剂前沿的位置, 因而引入相对比移值 (R_{rel})

$$R_{rel} = \frac{R_{f10}}{R_{f100}} \quad (8-5)$$

3. 环形展开比移值

同一溶质按不同方式展开时, 其比移值也有所不同, 直线式展开与圆形向心展开、圆形离心展开后比移值之间的关系为

$$R_{fR} = R_{f圆} \quad (8-6)$$

$$R_{1n} = 1 - (1 - R_{11})^n \quad (8-7)$$

4. n 次展开的比移值 $[(R_f)_n]$

相同溶剂实行 n 次展开的比移值

$$(R_f)_n = 1 - (1 - R_f)^n \quad (8-8)$$

式中, $(R_f)_n$ 为 n 次展开后的比移值; R_f 为第一次展开后的比移值。

直线展开组分完全不移动时, R_f 值为 0; 如果组分在固定相中不保留而随流动相同步运行, 则 R_f 值等于 1, 因此式(8-4)的边界条件为 $0 < R_f < 1$ 。

5. 保留常数 (R_m)

系物在 TLC 液液分配中, R_f 差异较大, 往往采用保留常数 R_m 表达。定义为

$$R_m = 1/R_f \left(\frac{1}{R_f} - 1 \right) \quad (8-9)$$

R_m 具有加和性, 对同一溶剂系统而言, $-\text{CH}_2-$ 基团的值 ΔR_m 为常数, 及满足同系统线性规律。

三、薄层色谱分离效能参数

同 HPLC 一样, TLC 的分离效能受流动相速率常数、组分在流动相中的扩散系数、薄层吸附剂的平均颗粒直径及其粒度分布等多种因素的影响, TLC 的分离效能参数可与溶质在薄层上的不同移动距离相关联, 其数值量度能够通过 R_f 来估算。一般认为 TLC 中所有组分有相同的扩散系数, 组分斑点的扩张(展宽)只是移动距离的函数。

1. 理论塔片数 (N)

TLC 理论塔片数可表示为

$$N = 16 \left(\frac{d_s}{W} \right)^2 \quad (8-10)$$

式中, W 为斑点纵向宽度(峰宽)(见图 8-10); d_s 为原点到组分斑点中心的距离。

结合式(8-4)有

$$N = 16 \left(\frac{R_f d_m}{W} \right)^2 \quad (8-11)$$

2. 理论塔片高度 (H)

理论塔片高度可表示为

$$H = \frac{d_s}{N} = \frac{R_f d_m}{N} \quad (8-12)$$

3. 折合板高 (h)

TLC 的折合板高, 可由 Knox 方程表示

$$h = \frac{B}{v} + A v^{1/3} + C v \quad (8-13)$$

式中, $v = U d_s / D_m$, D_m 为溶质扩散系数; A 为片层质量项; B 为径向扩散项; C 为传质阻力项。

优质薄层的 A 项近似等于 1, C 项很小 (0.01~0.03), 平均塔片高度

$$\bar{H} = b(d_m + d_s) + a \left(\frac{d_m^{2/3} - d_s^{2/3}}{d_m - d_s} \right) \quad (8-14)$$

式中 d_s 为样品原点至溶剂水平面的距离。

4. 真实塔片数 (N_r) 与塔片高度 (H_r)

考虑由静态扩散引起的起始斑点半峰宽的影响, 引入真实塔片数

$$N_T = 5.54 \left[\frac{d_s}{W_{1/2} - W_{1/20}} \right]^2 \quad (8-15)$$

式中, $W_{1/2}$ 为组分的斑点半峰宽; $W_{1/20}$ 为组分在点样原点处起始斑点的半峰宽。

真实塔片数是评价薄层分离效率常用的参数。

由式 (8-15) 可得

$$H_T = \frac{d_s}{N_T} \quad (8-16)$$

实验测得常规 TLC 板的 N_T 一般在 600 左右, H_T 为 $30\mu\text{m}$; 而高效薄层色谱板的 N_T 近于 5000, H_T 约 $12\mu\text{m}$ 。

四、容量因子与比移值的关系

容量因子 k' 定义为组分在固定相中的保留时间 t_r 与其在流动相中的保留时间 t_m 之比

$$k' = \frac{t_r}{t_m} \quad (8-17)$$

TLC 中溶质的 R_f 可视为保留值, 根据定义有

$$R_f = \frac{t_m}{t_m + t_r} \quad (8-18)$$

结合式 (8-17) 和式 (8-18) 得

$$R_f = \frac{1}{1 + k'} \quad (8-19)$$

五、分离评价参数

1. 分离度 (R)

在 TLC 图上两个组分斑点之间的分离度定义为

$$R = \frac{d_{12} - d_{11}}{W_1 + W_2} \quad (8-20)$$

式中, d_{11} 、 d_{12} 分别为组分斑点的移动距离 ($d_{11} < d_{12}$); W_1 、 W_2 分别为两组分斑点纵向宽度 (即峰底宽度), 对相距靠近的两个组分斑点而言, $W_1 \approx W_2 \approx W$, 又因为 $d_{11} = R_f d_m$, 因此

$$R = d_m \cdot \frac{R_{f(12)} - R_{f(11)}}{W} = \frac{d_m}{W} \cdot \Delta R_f \quad (8-21)$$

合并式 (8-9) 与式 (8-21) 得

$$R = \frac{\sqrt{N}}{4} \times \frac{\Delta R_f}{R_{f(11)}} \quad (8-22)$$

由式 (8-22) 可以看出 TLC 中的分离度和比移值之间存在如图 8-11 的关系。显然, 当 R_f 在 0.3 左右时, 分离度达极大值, 而 R_f 在 0.2~0.5 之间时, 分离度改变不大; 当 R_f 小于 0.1 或大于 0.7 时, 分离度急剧下降。

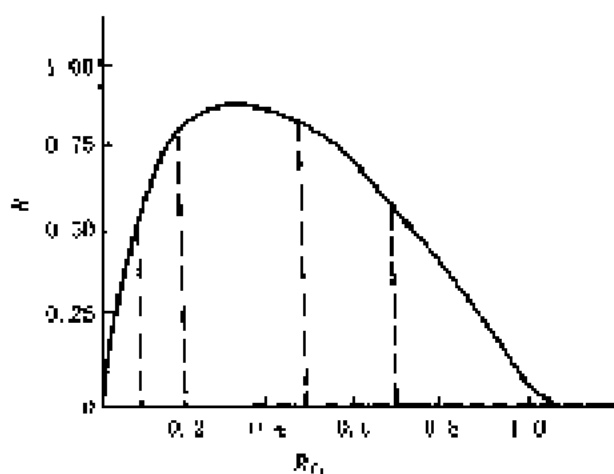


图 8-11 分离度和比移值的关系

$N=1000$, $d_m/d_s=1/34$

2 分离数 (S_N)

TLC 中薄层对组分的分离程度也可以采用分离数 S_N 表示, 其定义为采用恒组成流动相展开时, 从样品原点到溶剂前沿之间能够容纳的完全分离开的峰个数, 采用分离数可以较为客观地评价和比较色谱系统的分离能力, S_N 定义为

$$S_N = \frac{d_n}{W_{c+1}} \frac{d_n}{W_1} - 1 \quad (8-23)$$

式中, W_2 和 W_1 分别为实验测得的某组分色谱峰半峰宽对 d_n 作图外推得到的在原点处和溶剂前沿处的色谱峰半峰宽。HPTLC 典型的 S_N 在 10~20 之间, 而一般 TLC 法的 S_N 在 7~10 之间; 二维展开 HPTLC 的 S_N 在 100~250 之间。

第三节 薄层色谱流动相与展开机制

一、薄层色谱流动相

(一) 对流动相溶剂选择的基本考虑

薄层色谱流动相溶剂的选择对分离的影响很大, 与 HPLC 同理, 对复杂样品的分离能否得到理想的结果, 流动相的选择是最重要的决定性因素。不同溶质与流动相分子、固定相分子间的作用力不同, 因此其移动速度也不同, 最终导致样品中各组分的分离。对流动相的选择不仅需考虑极性、选择性等因素, 更基本地应注意以下因素的影响:

- ① 溶剂纯度: 含有杂质影响分离。
- ② 溶剂吸收环境水分, 会使极性等性质改变。
- ③ 存放条件不宜或贮存时间过长, 溶剂会变性。
- ④ 混合流动相之间发生作用会使溶剂性质改变。
- ⑤ 溶剂极易挥发, 流动相组成随时间改变。

(二) 溶剂强度参数

溶剂强度参数 ϵ_0 定义为溶剂被单位标准吸附剂吸附时的吸附能。在吸附 TLC 中, 流动相的 ϵ_0 数值越高, 溶质的 R_f 越大。单一溶剂洗脱, 使组分的 R_f 在 0.3~0.7 的范围内较理想。实际上, 一般很难使样品中的所有组分皆具有合适的 R_f , 因此在选择流动相溶剂时, 既要考虑溶质间的分离, 也需考虑组分的移动性。

溶剂强度也可简单的用具在水中的溶解度参数 δ 或溶剂极性参数 P' 来表示。对于分配 TLC 而言, 可用 P' 和 δ 估算溶剂强度, 而在吸附 TLC 中, 以 ϵ_0 来估算溶剂强度更近于实际, 常用溶剂的 P' 、 δ 和 ϵ_0 可在表 2-1 中查得。

ϵ_0 越大的流动相溶剂被固定相吸附也越强, 溶剂强度变化, 导致溶质容量因子的改变, 一般地, P' 改变两个单位, k' 将有近 10 倍的变化。正相色谱中, k' 与 P' 之间的关系为

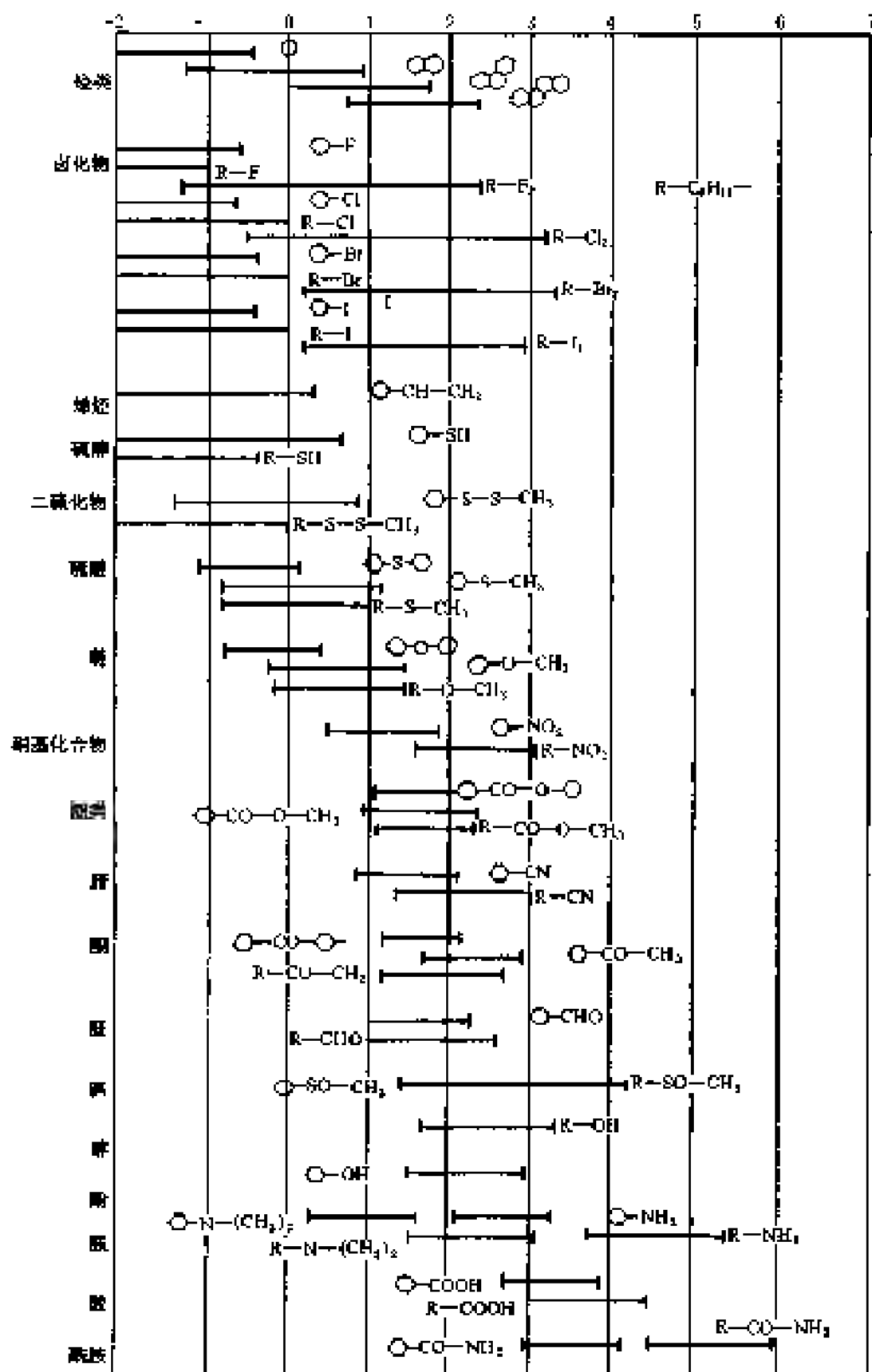
$$\lg(k'_1/k'_2) = \frac{P'_1 - P'_2}{2} \quad (8-24)$$

在反相色谱中, 则有

$$\lg(k'_1/k'_2) = \frac{P'_2 - P'_1}{2} \quad (8-25)$$

式中, P'_1 是一种溶剂的溶剂强度; P'_2 是另一种溶剂的溶剂强度。显然, 反相色谱中, 若 $P'_1 > P'_2$, 则 $k'_1 < k'_2$, 而在正相色谱中正相反。

采用单一溶剂得不到满意的分离结果时, 常系用二元或多元混合流动相来调节溶剂强度,

Δ_1 值(使 $k=3$ 时的溶剂强度 δ' 范围)图 8-12 硅胶上一些化合物的 Δ_1 值范围

使不同性质的组分与流动相中不同溶剂发生相应的作用，产生选择性差别，达到分离的目的。将强溶剂 A 和弱溶剂 B 按不同比例相混合，则可得到一系列中等溶剂强度的流动相。

(三) 溶剂的选择性

溶剂的选择性是指溶剂引起两种组分位移差别的能力。对分离的能力，或者说引起两物质分离度的大小影响的能力。在 TLC 中更重要的是选择流动相，它比柱色谱具有更大的灵活性和自由度。

TLC 的方法建立，应使 k' 小于 10，当 $k' > 10$ 时，溶质扩散严重，分离变差。 k' 在 1~10 之间， R_f 大约在 0.1~0.7 之间，是 TLC 的适宜范围。Sanders 把某一组分 $k' = 3$ 时的溶剂强度定义为该组分的 F 值。图 8-12 给出的硅胶薄层板上一些化合物的 R_f 值范围，由该图得到 R_f 值后，再参考图 8-13 的溶剂选择性即可以确定适合的混合溶剂组成。每个 R_f 值都对应有多种溶剂供选择，以下规则可提供帮助。

- ① 增加溶剂强度 e_0 ，使 R_f 增大，但有可能使分离能力降低，反之亦然。
- ② 流动相中较强溶剂的体积比小于 5% 或大于 50% 时，选择性较大。
- ③ 用乙醚或甲醇代替流动相中的强溶剂，由于形成氢键往往可以改善选择性。
- ④ 若出现斑点拖尾，可向流动相中加入少量水或采用脱活薄层。

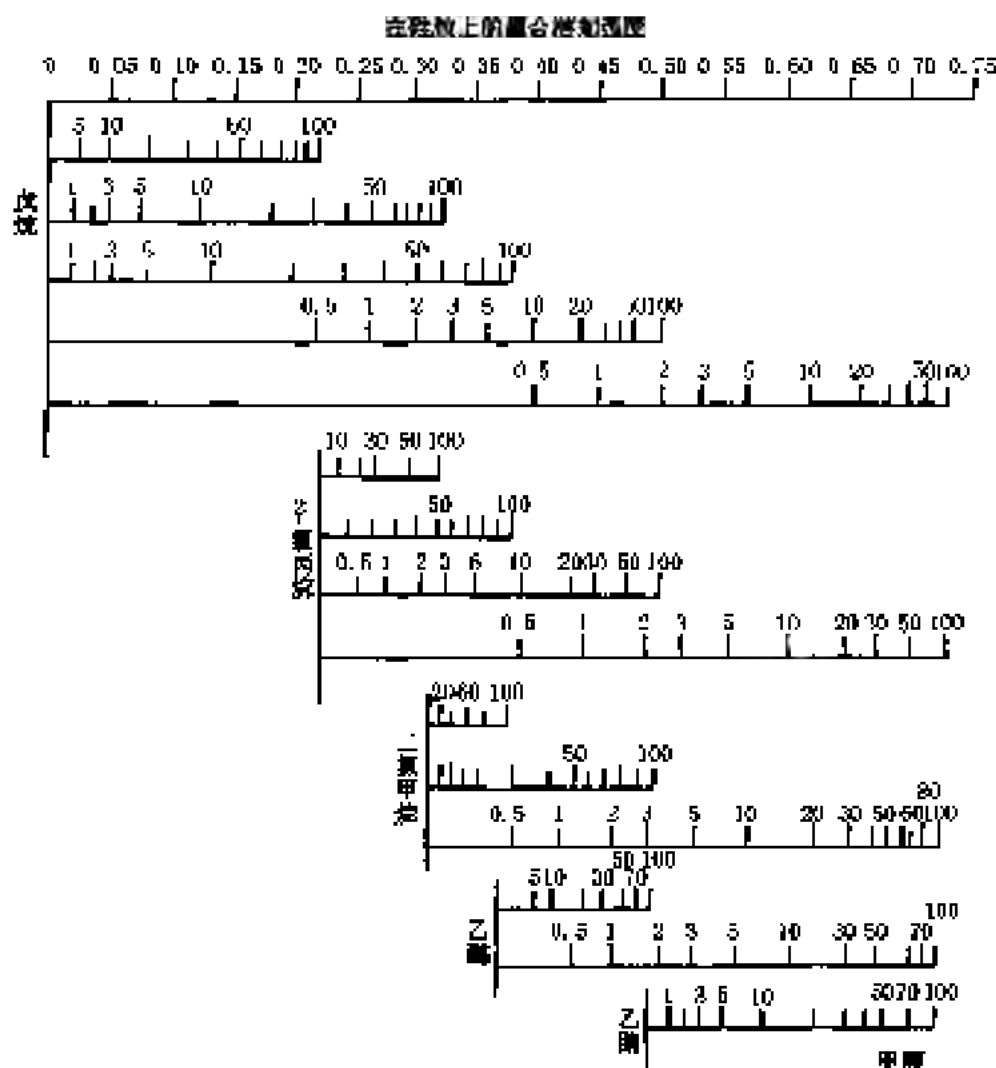


图 8-13 混合溶剂在硅胶上的强度

⑤ 采用两种较强溶剂和一种弱溶剂，组成三元流动相，效果往往较佳。

根据溶剂形成氢分子间作用力（如氢键力、偶极力等）的能力，可以将常用溶剂分成两类（见表 8-7）。每一类中的溶剂选择性相似，而不同类中溶剂的选择性差别较大。有人^[2]采用模糊聚类分析方法优选和分类，表 8-8 也给出了采用这种方法对 21 种常用溶剂的归类结果。

表 8-7 溶剂选择性分类

分 类	溶 剂	说 明
I	脂肪烃	纯电子接受体
II	脂肪醇	质子接受-给子体
III	酰胺衍生物，四氢呋喃	双接受体-易极化
IV	乙二醇、甘油、乙酸、甲酰胺	质子给子体
V	二氧甲烷、二氧乙烷	大偶极矩
VI	脂肪酮、酯、二氧六环	—
VII	芳烃、芳醚、硝基苯衍	—
VIII	氯化醚、氯化体、水	质子给子体

表 8-8 模糊聚类分析法对常用溶剂选择性的分类结果

分 类	溶 剂	说 明
I	乙酸、硝基乙烷	电子接受体
II	氯苯、四氢、乙醇乙醇、甲氧基苯、甲苯	质子给子体
III	甲醇、乙醇、异丙醇、正丁醇	质子接受-给子体
IV	冰醋酸、水	质子给子体
V	乙醚、二乙醚	质子接受体
VI	氯仿、1,2-二氧乙烷、二氧甲烷	大偶极矩
VII	正己烷、环己烷、四氯化碳	—

二、几种常用薄层色谱分离模式的展开机制

（一）液固吸附展开

在 TLC 分离中，液固展开是一种最经典的展开方式，至今仍是应用最为广泛的方法。液固展开常用极性吸附硅胶、氧化铝等做固定相，流动相按其极性可在吸附剂表面形成单分子或双分子溶剂吸附层，展开过程中，组分的保留及分离选择性主要由以下三种因素决定：

- ① 溶剂对样品的溶解能力；
- ② 溶质和流动相分子对固定相表面活性吸附位点的竞争；
- ③ 溶质分子与吸附剂表面上吸附中心间的特殊分子间作用力（偶极力、诱导力、氢键力、形成 π 键络合物等）。

溶质吸附作用的强弱与吸附剂比表面积及吸附分子层厚度有关，也与溶质分子的净吸附能力有关。

（二）液液分配展开

与液液分配柱色谱分离机理相同，组分在互不相溶的两液相中的溶解度不同，因此迁移速率存在差异，在迁移过程中得到分离。纸色谱和纤维素薄层上的展开主要是分配过程，其固定相为来自大气中的水。通常分配薄层色谱是将薄层板浸入到固定液中，使固定液在薄层中充分润湿，为防止固定液流失，可预先用固定液饱和流动相。在实际 TLC 分析中，吸附和分配过程往往并存，哪种分离机制占主导地位取决于固定液用量。形成液液分配体系的前提

是固定液不溶于流动相，这样在很大程度上限制了固定液的选择范围。一般选用强极性的甲酰胺、乙二醇、丙二醇、聚乙二醇等作为固定液，而流动相采用非极性的烃类，或加入少量的内代烷、四氢呋喃等，形成正相液液分配系统。如采用非极性固定液（石蜡油、硅酮油、正构烷烃等）和极性流动相，则形成反相液液分配系统。

（三）化学键合相展开

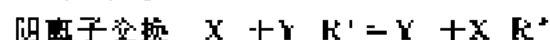
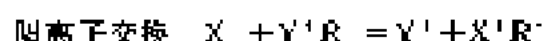
溶质分子在反相化学键合相系统展开时，溶质的保留机制类似于分配作用。反相化学键合相表面基团呈亲脂性，可用水、甲醇-水、乙醇-水、水-亲水有机溶剂等作为流动相。调节流动相 pH，能够改善可解离样品的分离。在流动相中加入适量酸或碱，也有利于酸性或碱性溶质选择性分离。当水的比例加大时，固定相可能会出现水解现象，加入适量盐（NaCl 或 CaCl₂）可以缓解这种作用。

对于键合有氨基、氰基或二羟基等极性基团的化学键合相，流动相可选择非极性或弱极性溶剂，有时也可加入适量中等极性或较强极性溶剂。对于强极性化合物胺类和多肽类等样品的分离，甚至可以采用极性溶剂，如乙醇-水体系，作流动相形成反相分离体系。可以认为溶质在正相化学键合固定相上的分离机制中包含有吸附和分配两种作用，当流动相极性较弱时，吸附作用占主导地位，而流动相极性较强时，可以将有机键合层看作固定相液膜，分配作用占主导地位。

（四）离子交换展开

离子交换薄层色谱通过固定相表面的带电基团、样品离子和流动相离子之间的可逆交换、离子-偶极作用及吸附作用，实现离子化合物的展开分离。

溶质离子 X 和流动相离子 Y 与固定相基团 R 之间的离子交换可以表示为



离子交换平衡常数的大小一方面可以反映两种离子交换剂对同一种溶质的亲和力，另一方面也可以反映固定相交换剂对不同溶质离子的分离能力，平衡常数越大，选择性分离越好。溶质离解、水解、溶剂化或络合等其他平衡也会影响溶质的交换平衡，进一步影响到溶质的保留行为。

第四节 薄层色谱固定相

一、吸附剂与载体的选择

对薄层色谱对吸附剂的要求为：

- ① 具有大的表面积与足够的吸附能力；
- ② 对不同的组分有不同的吸附性，因而能较好的分离不同的化学组分；
- ③ 在所用的溶剂和展开剂中不溶解；
- ④ 不与试样中各组分、溶剂、展开剂起化学反应或破坏、分解作用；
- ⑤ 颗粒均匀，在使用过程中不会碎裂；
- ⑥ 具有可逆的吸附性，既能吸附样品组分，又易于解吸；
- ⑦ 为便于观察分离结果，最好是白色固体。

目前最常用的吸附剂是硅胶和氧化铝，其次是聚酰胺、硅酸镁等，还有一些物质，如氧化钙（镁）、氢氧化钙（镁）、硫酸钙（镁）、磷酸钙（镁）、淀粉、蔗糖等，或因碱性太大或

吸附性太弱，用途有限。活性炭的吸附性太强，本身又是黑色，故很少用于色谱分离。

分配色谱对所用载体的要求为：

- ① 表面积大；
- ② 在展开剂中不溶解，与展开剂和样品组分不起化学反应或分解作用；
- ③ 对样品组分无吸附性或吸附性极弱；
- ④ 对固定液是惰性的。

纤维素和硅藻土是薄层色谱最常用载体。离子交换纤维素和葡聚糖凝胶制成的薄层色谱板主要用于分离蛋白质、核酸、酶、糖等样品。吸附剂、载体的选择，主要取决于样品的溶解度（水溶或脂溶）、酸碱性、极性等性质。此外，也应考虑吸附剂、载体是否易得及价格等因素。

二、常用吸附剂的性质

（一）硅胶

硅胶是最常用的吸附剂。在硅酸钠的水溶液中加入盐酸可以得到胶状缩合硅胶（ $\text{SiO}_2 \cdot n\text{H}_2\text{O}$ ）沉淀。缩合硅胶进一步脱水即形成多孔性硅胶，可作为吸附剂或脱色剂。硅胶的孔结构决定了其吸附能力，表 8-9 给出了 TLC 法中常用硅胶的孔结构参数。典型的色谱用硅胶的表面积约 $500 \text{ m}^2 \cdot \text{g}^{-1}$ ，孔体积分约 $0.4 \text{ ml} \cdot \text{g}^{-1}$ ，平均孔径为 100 nm 。

表 8-9 一些常用硅胶的孔结构参数

硅胶类型	比表面积/ $\text{m}^2 \cdot \text{g}^{-1}$	比孔体积/ $\text{ml} \cdot \text{g}^{-1}$	平均孔径/ nm	硅胶类型	比表面积/ $\text{m}^2 \cdot \text{g}^{-1}$	比孔体积/ $\text{ml} \cdot \text{g}^{-1}$	平均孔径/ nm
1	674	0.68	4	4	500	0.75	6
2	462	0.46	5	5	415	0.73	9
3	550	0.82	6	6	420	1.05	10

硅胶的表面活性由其表面四面体结构所决定，表面被硅羟基（ $-\text{Si}-\text{OH}$ ）或硅氧桥（ $-\text{Si}-\text{O}-\text{Si}-$ ）所饱和。在吸附色谱中，硅胶表面硅羟基代表着可以与极性化合物或不饱和

表 8-10 硅胶活度与含水量的关系

活度	含水量 $w/\%$
I	0
II	5
III	15
IV	25
V	35

化合物形成氢键的表面活性中心。硅胶的吸附能力与其含水量有关，含水较多，大部分硅羟基被水饱和，从而减少了对其他组分分子的吸附能力。硅胶的吸附能力称为活度，通常分为五组，以 I 级为最强，V 级最弱。硅胶的活度与含水量的关系见表 8-10。

硅胶吸附水分在表面形成水合硅羟基（ $-\text{Si}-\text{OH}-\text{OH}_2$ ），使吸附能力降低。将硅胶加热到 100°C 左右时，水分能可逆地失去而使吸附活性增加，当游离水含量高达 1% 以上时，其吸附能力极低，只能作为分配色谱的载体使用。硅胶于 500°C 加热能不可逆地失去结合水，使硅醇结构变成硅氧烷结构。若加热至 1100°C 以上，则结合水尽失。由于

硅胶的吸附能力主要与硅羟基数目有关，在较高的温度下羟基彼此相互作用而脱水，使表面活性降低，因此加热温度一般不要高于 170°C 。

硅胶的吸附性能可用颗粒度（ μm ）、细孔直径（ nm 或 μm ）、细孔体积（ $\text{cm}^3 \cdot \text{g}^{-1}$ ）、比表面积（ $\text{m}^2 \cdot \text{g}^{-1}$ ）和密度（ $\text{g} \cdot \text{cm}^{-3}$ ）表示。硅胶的水悬浮液（通常为 $0.1 \text{ g} \cdot \text{mL}^{-1}$ ）的 pH 值及硅胶的纯度常对其吸附性能有较大影响。薄层色谱用硅胶的颗粒度常在 $(10 \sim 40) \mu\text{m}$ 范围，高效薄层色谱用硅胶常在 $(5 \sim 10) \mu\text{m}$ 范围。颗粒度水和颗粒分布范围窄可以大大提高薄层色谱

的检出灵敏度和分离度。分离度与吸附剂微粒半径的平方成反比，100 μm 左右颗粒制成的薄层板的理论塔板数为200左右，用小于20 μm 的颗粒，理论塔板数可增至数千或更多。

(二) 氧化铝

氧化铝是色谱法中常用的吸附剂之一，由氢氧化铝直接高温脱水制得。对氧化铝的表面吸附机理目前尚不清楚，有人认为氧化铝表面吸附外界水分形成铝羟基 Al-OH ，由于这些羟基的氢键作用而吸附其他化合物，因此氧化铝颗粒表面的吸附能力也与其含水量有关，一般根据含水量将氧化铝分为五级（见表8-11）。表8-12也列出了两种常用氧化铝的孔结构参数。

表 8-11 氧化铝活性与含水量的关系

含水量/%	活性级
0	I
3	II
6	III
10	IV
15	V

表 8-12 两种常用氧化铝的孔结构参数

氧化铝种类	比表面积/ $\text{m}^2 \cdot \text{g}^{-1}$	比孔体积/ $\text{ml} \cdot \text{g}^{-1}$	平均孔径/ nm
1	250	0.3	6
2	70	0.2	15

根据性质的差异，氧化铝可以分为碱性氧化铝($\text{pH}=9\sim 10$)、中性氧化铝($\text{pH}=7\sim 7.5$)、酸性氧化铝($\text{pH}=4\sim 5$)三种，根据分离的对象不同，可选用不同性质的氧化铝进行分离。

薄层色谱用氧化铝颗粒较细，一般在(180~250)目之间。若氧化铝碱性太高，可能引起样品的破坏或变化，碱性氧化铝能使许多物质发生碱催化反应，特别是经高温活化过的氧化铝，可对强酸性物质产生化学吸附，使酯、酞皂化，醛、酮缩合，双键改变位置。因此能与氧化铝发生反应的溶剂（如丙酮），不能作为溶剂与这种吸附剂一起使用。

(三) 聚酰胺

聚酰胺是由酰胺聚合而成的高分子物质，薄层色谱中常用聚己内酰胺作为薄层材料。聚酰胺分子内存在着很多酰胺基，可与酚类、酸类、酯类及硝基化形成氢键，因而对这些化合物产生吸附作用。由于聚酰胺对各类化合物形成氢键的能力不同，所以对它们的吸附能力也不同。聚酰胺的吸附能力与下列因素有关。

- ① 可以形成氢键的基团数——形成氢键基团多者吸附力大。
- ② 形成氢键的位置——对位、间位使吸附力增大，邻位使吸附力减小。
- ③ 芳核、共轭双键的数目——芳核、共轭双键多者吸附力大。
- ④ 分子内氢键——能形成分子内氢键的化合物使吸附力减小。

此外，聚酰胺与各类化合物形成氢键的能力与溶剂介质也有关。一般来讲在水中形成氢键的能力最强，在有机溶剂中形成氢键的能力较弱，在碱性溶剂中形成氢键的能力最弱，因此可以利用这些性质选择聚酰胺薄层色谱的流动相。

(四) 纤维素

纤维素是构成大多数植物细胞壁的大然多糖类物质，其结构中葡萄糖环之间通过氧桥形成糖苷键，与淀粉一样可被酸完全降解为葡萄糖。纤维素链很长，基本上没有支链，在链与链之间估计有很弱的氢键存在。

纤维素分子中带有许多羟基，因此其亲水性很强，能够吸收的水分可达自身质量的22%，其中大约6%的水分与纤维素结合成复合物。当用纤维素铺成薄层后，这些水形成了薄层的固定液，而流动相则因毛细管作用在薄层上移动，各组分因在两相间的不同分配而得到分离。此

外也可将纤维素作为载体，制成薄层板，再用甲酰胺、乙醇等固定液处理后进行分配色谱分离。

纤维素可分为天然纤维素和微晶纤维素两类。

(1) 天然纤维素 造纸工业中采用的优质纸浆是含有少量有机和无机杂质的大然纤维状纤维素的水的混合物，经干燥、粉碎后，即可作为薄层色谱用固定相。

(2) 微晶纤维素 纤维素由排列比较规则的微小结晶区域（一般约占分子组成的 85% 以上）和分子杂乱排列的非定型区域（一般占 15% 以下）接连而成。当纤维素与强酸一起加热水解时，分子中无定型区域大部分溶解，而其余部分则变成结晶型，结果便形成聚合度较低的微小结晶型纤维素即微晶纤维素。微晶纤维素用于薄层色谱，有良好的性能。

天然纤维素和微晶纤维素都具有较小的比表面积 ($2 \text{ m}^2 \cdot \text{g}^{-1}$)，用作液液分配薄层色谱的载体涂板时，因具有一定的粘着性，一般不需另加粘合剂。

(五) 硅藻土

硅藻土是一种化学中性吸附剂，吸附能力很弱，常用作 TLC 法分配色谱载体。其物理、化学性质随其来源和地质环境的不同而存在差异，常用 TLC 纯化硅藻土的比表面积为 $(1 \sim 4) \text{ m}^2 \cdot \text{g}^{-1}$ ，比孔体积为 $(1 \sim 3) \text{ ml} \cdot \text{g}^{-1}$ ，平均孔径为 $(1000 \sim 10000) \text{ nm}$ 。其化学组成为： SiO_2 、 Al_2O_3 、 Fe_2O_3 、 TiO_2 、 CaO 、 MgO 、 Na_2O 、 K_2O 等，其中 SiO_2 约占 90% 左右。

一般的硅藻土可用 $3 \text{ mol} \cdot \text{L}^{-1}$ 盐酸溶液处理，以除去可溶性杂质，再用蒸馏水洗到不含氯离子，在 105°C 烘干，过筛后即可应用。如含有机杂质再用甲醇、苯或氯仿等回流除去。

(六) 葡聚糖凝胶

凝胶又称凝胶分子筛，可将分子大小和形状不同的物质分离，多用于蛋白质、多糖等大分子物质的分离提纯。葡聚糖凝胶由一定分子量的葡聚糖（右旋糖酐）悬浮于有机相中，加入交联剂交联而成。

葡聚糖凝胶是白色珠状微粒，不溶于水、盐、碱和弱酸溶液，强酸能使它的糖苷键水解。葡聚糖凝胶具有立体多糖链的网状结构，孔隙大小与交联程度有关，加入不同比例的交联剂可以得到不同交联度的凝胶，交联度越小，网状结构越疏松，孔隙越大。由于其分子中具有许多亲水性基团，故能吸水，吸水后体积膨胀而呈透明网眼张开，因而具有分子筛的功能。凝胶的交联度不同，其应用范围亦有所不同，交联度大、孔隙小的凝胶，可用于小分子量物质的分离，交联度小、孔隙大者则可用于分离分子量大的物质。商品凝胶的型号一般按交联度分类，多以“吸水量”或“膨胀量”表示，即每克干凝胶能够吸收水的量 (ml)，如 G-25 的吸水量每克为 2.5 ml (型号为吸水量的 10 倍)，表 8-13 列出不同交联度商品凝胶的吸水程度和应用范围。

表 8-13 葡聚糖凝胶吸水量与应用范围

型 号	分离范围 (分子量)		吸水量 ($\text{ml} \cdot \text{g}^{-1}$)	膨胀体积 ($\text{ml} \cdot \text{g}^{-1}$)	浸泡时间/h	
	蛋白质	多糖			蒸馏水	自来水
G-10	3700	3700	1.0 ± 0.1	2~3	3	1
G-15	3700	3700	1.5 ± 0.2	2.5~3.5	3	1
G-25	1000~5000	100~5000	2.5 ± 0.2	4~6	3	1
G-50	1500~8 万	500~1 万	5.0 ± 0.3	9~11	3	1
G 75	3000~7 万	1000~5 万	7.5 ± 0.5	12~15	24	3
G 100	4000~15 万	1000~10 万	10 ± 1.0	15~20	72	3
G-150	5000~40 万	1000~15 万	15 ± 1.5	20~30	72	3
G-200	5000~60 万	1000~20 万	20 ± 1.0	30~40	72	3

用于薄层色谱的葡聚糖凝胶颗粒较细 (小于 40 μm)，因交联度大的凝胶不易制板，因此最好使用交联度较小的凝胶 (G-50 型以下)。凝胶充分膨胀后，放置沉降，倾去上层水即可铺制薄层，不必加粘合剂。

(七) 亲脂性葡聚糖凝胶

葡聚糖凝胶只能应用于水溶液或类水溶液，在葡聚糖分子上引入有机基团，可以增大其亲脂性，制成亲脂性葡聚糖凝胶。如既有亲水性又有亲脂性基团的 L11-20 型葡聚糖凝胶即为在 G-25 型凝胶上引入通过醚键与糖分子相连的羟内基基团制得。这种凝胶可以在氯仿、丁醇、四氢呋喃、二氧六环等多种有机溶剂中膨胀后应用，但在苯、乙酸乙酯等溶剂中膨胀体积变化较小，较少应用。

亲脂性葡聚糖凝胶的应用方法与一般葡聚糖凝胶相仿，适于如黄酮、萜醌、色素等有机样品的分离，所用洗脱剂的选择范围较广，包括含水的醇类或单一有机溶剂 (如甲醇、氯仿等)、混合有机溶剂 (如氯仿与甲醇的混合液)，改变溶剂时，凝胶体积的变化可能会影响分离效果，所以在使用该种薄层板进行对比实验时，应采用使凝胶膨胀相同或相近的溶剂。表 8-14 给出常用溶剂与凝胶膨胀体积之间的关系。

表 8-14 L11-20 型葡聚糖凝胶在不同溶剂中的膨胀体积

溶 剂	膨胀后体积 ($\text{ml} \cdot \text{g}^{-1}$ 干凝胶)	溶 剂	膨胀后体积 ($\text{ml} \cdot \text{g}^{-1}$ 干凝胶)
二甲亚砜	3.4~4.6	乙 醇	3.6~3.9
吡 啶	4.2~4.4	异丁醇	4.0~3.9
水	4.1~4.4	甲酰胺	3.8~3.9
二甲基甲酰胺	3.9~4.3	二氧甲烷	3.5~3.8
甲 醇	3.8~4.1	丁 醇	4.4~3.6
二氧乙烷	4.8~4.1	异丙醇	3.2~3.6
氯 仿	3.7~4.0	四氢呋喃	3.3~3.6
丙 醇	3.6~3.9	二氧六环	3.2~3.5

(八) 离子交换剂

离子交换剂通常为半合成或合成树脂，由较疏松的交联聚合物并带有阳离子或阴离子基团的网络组成，用于柱色谱的离子交换剂一般皆可以用于薄层色谱。凝胶离子交换剂具有离子交换剂性质，同时具有非特异性吸附很少等凝胶的优点，因此在生物化学、天然化合物方面得到广泛应用。离子交换纤维素、葡聚糖凝胶离子交换剂是薄层色谱中常用的两类离子交换剂。

离子交换纤维素是纤维素经化学反应后，将其分子中一部分羟基上的氢原子被阳离子或阴离子交换基团取代，或将纤维素浸入有离子交换性能的试剂 (例如聚乙烯胍 ($-\text{CH}_2-\text{CH}_2-\text{NH}_2$)) 后使其具有离子交换性能。常用离子交换纤维素活性基团的结构、性质和交换容量见表 8-15。

表 8-15 常用离子交换纤维素的特征

名 称	离子交换基团	性 质	交换容量 ($\text{mmol} \cdot \text{g}^{-1}$)
CM 纤维素	$-\text{OCH}_2\text{COOH}$	弱酸性	0.62 ± 0.1
P 纤维素	$-\text{OPO}_3\text{H}_2$	中强酸性	$0.3 \sim 0.5$
SE 纤维素	$-\text{OC}_2\text{H}_4\text{SO}_3\text{H}$	强酸性	$0.2 \sim 0.3$
DEAE 纤维素	$-\text{OC}_2\text{H}_4\text{N}(\text{C}_2\text{H}_5)_2$	弱碱性	$0.4 \sim 0.65$
TEAE 纤维素	$-\text{OC}_2\text{H}_4\text{N}^+(\text{C}_2\text{H}_5)_3$	中强碱性	$0.55 \sim 0.75$

续表

名 称	离子交换基团	性 质	交换容量/(mmol/g)
PXB纤维素	$-\text{CH}_2\text{CH}_2\text{O}_2\text{CH}_2\text{NH}_2$	弱碱性	0.17~0.2
AE纤维素	$-(\text{C}_2\text{H}_4\text{NH}_2)$	弱碱性	0.5~0.1
Eurella纤维素	$-\text{CH}_2-\text{CHOH}-\text{CH}_2\text{N}^+(\text{CH}_2-\text{CH}_2\text{OH})_3$	弱碱性	0.3~0.4
HO纤维素	$-\text{OC}_2\text{H}_4\text{N}(\text{C}_2\text{H}_5)_2$	中强碱性	0.8±0.05
CE纤维素	$-\text{OC}_2\text{H}_4\text{NHC}(\text{NH}_2\text{NH}_2)=\text{C}^-$	弱碱性	0.2~0.3
END纤维素	$-\text{OC}_2\text{H}_4\text{N}(\text{C}_2\text{H}_5)_2$	中强碱性	0.81±0.05

葡聚糖凝胶离子交换剂是在葡聚糖凝胶（一般用G 25或G 50型）上引入羧甲基、磺乙基、磺丙基（SP， $-\text{C}_3\text{H}_7\text{SO}_3\text{H}$ ）、二乙基氨基乙基等极性基团制成。这些离子交换剂在水、盐溶液、弱碱溶液、弱酸溶液及有机溶液中稳定，但在强酸溶液中水解，因此应避免在pH 小于2的条件下操作。常用葡聚糖凝胶离子交换剂的性能及适宜的操作pH范围见表8-16。

表 8-16 常用葡聚糖凝胶离子交换剂的性能

类 型	性质	交换容量	操作pH范围	类 型	性质	交换容量	操作pH范围
DEAE-Sephadex A-25	弱碱性	3~4	2~9	CM-Sephadex A 25	弱酸性	4~5	4~10
DEAE-Sephadex A-50	弱碱性	4~4	2~9	CM-Sephadex A-50	弱酸性	4~5	4~10
QAE-Sephadex A-25	弱碱性	2.6~3.4	2~10	SP-Sephadex A-25	弱酸性	2~2.6	2~10
QAE-Sephadex A-50	弱碱性	2.6~3.4	2~10	SP-Sephadex A 50	弱酸性	2~2.6	2~10

（九）多孔玻璃微球

将特殊的硅酸钠玻璃原料在(700~800)°C下加热，随后用酸液滤即可制得控制孔径的多孔玻璃微球(CPG)。热处理时可将玻璃分成连续而交错的相，一相富含耐酸的二氧化硅，另一相主要成分为氧化硼，易被酸腐蚀。滤出硼酸相后，在内部可形成直径为(3~6) nm的沟渠网状结构。进一步用适量苛性钠处理除去小孔内部某些含硅物质，可以使孔径扩大到4.5~250 nm的范围。多孔玻璃微球不易受洗脱液类型、pH值和离子强度变化的影响，保持孔径大小的一致性即能在色谱分离过程中得到良好的分离度和重现性。

在多孔玻璃微球的表面上含有在水溶液中呈弱负电荷的硅醇基，因而对某些蛋白质有非特异性吸附作用，未使用过的玻璃微球对多种酶，尤其对强碱性的酶有物理吸附作用，也能吸附中性蛋白质和某些病毒，但对大多数酸性蛋白质、多糖或核酸无吸附作用。

（十）反相键合硅胶

硅胶表面原硅醇基团，可与硅烷化试剂进行键合反应，从而使表面改性，得到键合硅胶，这种固定相克服了在载体表面涂覆非极性固定液（如液体石蜡）易流失的缺点，柱效高，性能稳定，并且可以制出带不同功能基团的键合相，以适用于非极性物质或强极性物质的分离。

硅烷化键合反应把非极性的不同碳链长度的烷基（通常为 $-\text{C}_2\text{H}_5$ ， $-\text{C}_4\text{H}_9$ 和 $-\text{C}_{18}\text{H}_{37}$ ）共价键合在硅胶表面的游离羟基上，形成 $\text{Si}-\text{O}-\text{Si}-\text{C}$ 键，反应需在无水条件下进行，以避免聚合层的生成。单分子层键合固定相在pH=1~9范围内稳定，其分离性能取决于烷基碳链的长度和键合度。应用键合硅胶制成的高效薄层板(HPTLC)，可使极性较强的组分具有较大的R_f值。

三、吸附剂的活化与活度标定

色谱用吸附剂除了过筛、活化和标定活度之外，一般不必再经其他处理即可应用。过筛

的目的是控制吸附剂的颗粒大小，以求得到较好的分离效果。

(一) 吸附剂的活化

氧化铝和硅胶等吸附剂表面能够可逆地吸附水分，由于这些水分占据了表面的活性位点，使得吸附剂对其他溶质的吸附能力减弱，因此必须在吸附剂被利用前将部分水分除去，以提高其吸附活性。这一过程称为吸附剂的活化。对于作为吸附剂的氧化铝、硅胶，活化可以提高在一定温度下烘烤完成，除去吸附水分，活化温度因吸附剂而异。

对特定样品的分离，吸附剂需要有适宜的吸附性能，太强或太弱都不利于分离。用于分配色谱的载体不应吸附被分离组分，所以不需要活化。

(二) 吸附剂的活度及标定方法

吸附剂的吸附活性以吸附活度度量。活度，按 Brockmann 和 Schodder 法活度可分为 I ~ V 级，采用其他方法也有不同的分级标准。

1. 氧化铝活度的标定

通常用 Hermanek 法，此法可标定 I ~ V 级的氧化铝，绝对不含水的氧化铝为 I 级。

称取偶氮苯 30 mg 及对甲氧基偶氮苯、苏丹黄、苏丹红 (苏丹 III) 和对氨基偶氮苯各 20 mg，溶于 50 ml 四氯化碳中，摇匀。取染料溶液 20 μ l 点于待测活性的氧化铝薄层上，用四氯化碳展开后，测量 R_f 值，由表 8-17 确定氧化铝的活度级别。

另一种标定氧化铝活度的方法是将在六种染料依极性大小编号：I——偶氮苯；II——对甲氧基偶氮苯；III——苏丹黄；IV——苏丹红；V——对氨基偶氮苯；VI——对羟基偶氮苯。分别把它们配成 0.04% 的干燥石油醚-苯 (体积比为 4:1) 溶液，把溶液点在薄层板上，每种约 (2~4) μ g，用干燥石油醚 [(60~80) $^{\circ}$ C] 展开，展距为 10 cm，

确定斑点中心移动距离在 (1 ± 0.5) cm 的染料，则吸附剂活度即为该染料对应的编号。例如对甲氧基偶氮苯的距离为 (1 ± 0.5) cm，属此吸附剂属 II 级，而苏丹黄在这一距离时则为 III 级，假使二者都在这一范围，则属 I-III 级。这种方法方便、快速，一般仅需 (5~10) min。

2. 硅胶活度的标定

测定含粘合剂硅胶薄层的吸附活度，可按 Stahl 方法进行。取对二甲氨基偶氮苯 (I)、酚蓝 (II)、苏丹红 (III) 三种染料各 10 mg，溶于 1 ml 氯仿中，将此溶液点于薄层板上，斑点直径为 (1~2) mm，用正己烷-乙酸乙酯 (体积比为 9:1) 展开，在 (30~60) min 内溶剂展开 10 cm 为宜。如三种染料能分开，而且 I 走在前，II 在其次，III 在最后，则认为其活度合格。这种硅胶吸附剂活度与 Brockmann 法标定的 II 级氧化铝活度相当。

硅胶的活度也可用柱上分离多种偶氮染料的方法进行测定。将偶氮苯 (A)、对甲氧基偶氮苯 (B)、苏丹黄 (C)、苏丹红 (D)、对氨基偶氮苯 (E)、对羟基偶氮苯 (F) 各约 20 mg 溶于 10 ml 苯中，加 50 ml 石油醚稀释。取此溶液 10 ml，加到 1.5 cm \times 10 cm 的硅胶柱上，用苯-石油醚 (体积比为 1:4) 20 ml 冲洗，流速 (1.0~1.5) ml \cdot min $^{-1}$ ，冲洗后观察染料的位置，由表 8-13 找出相应的活度 (共分 10 级)。

对氧化铝标定的第二种方法也可以用于硅胶的标定。常用的氧化铝和硅胶吸附剂活度为 I ~ III 级，若活度太大，可加入适当水分使其活度降低。聚酰胺吸附剂的吸附性一般不特别加以标定。

表 8-17 氧化铝活度级别

染料	活度级别			
	I	II	III	IV
偶氮苯	0.59	0.74	0.85	0.95
对甲氧基偶氮苯	0.16	0.49	0.69	0.89
苏丹黄	0.01	0.25	0.57	0.78
苏丹红	0.00	0.10	0.33	0.56
对氨基偶氮苯	0.00	0.03	0.08	0.19

表 8-18 硅胶层板级别

站 别	I	II _a	II _b	III _a	III _b	IV _a	IV _b	IV _c	V	VI
亮斑部	B		C		D		E		F	
暗部		B		C		D		F		F
柱内部	A		B		C		D		E	
流出液		A		D		C		D		E

第五节 薄层色谱扫描仪

一、仪器结构

TLC 进行斑点测量一般采用光密度机械扫描仪。表 8-19 列出部分厂家生产的多种扫描仪型号和性能指标。

TLC 扫描仪结构上主要包括光学元件组合系统、电子元件组合系统及机械元件组合系统。由于测光要求不同,光学系统结构(图 8-14)又可分为透射式、反射式、单波长单光束、单波长双光束、双波长双光束等扫描仪器。主要由光源、单色器、斩波器、光电测量器等部分组成。

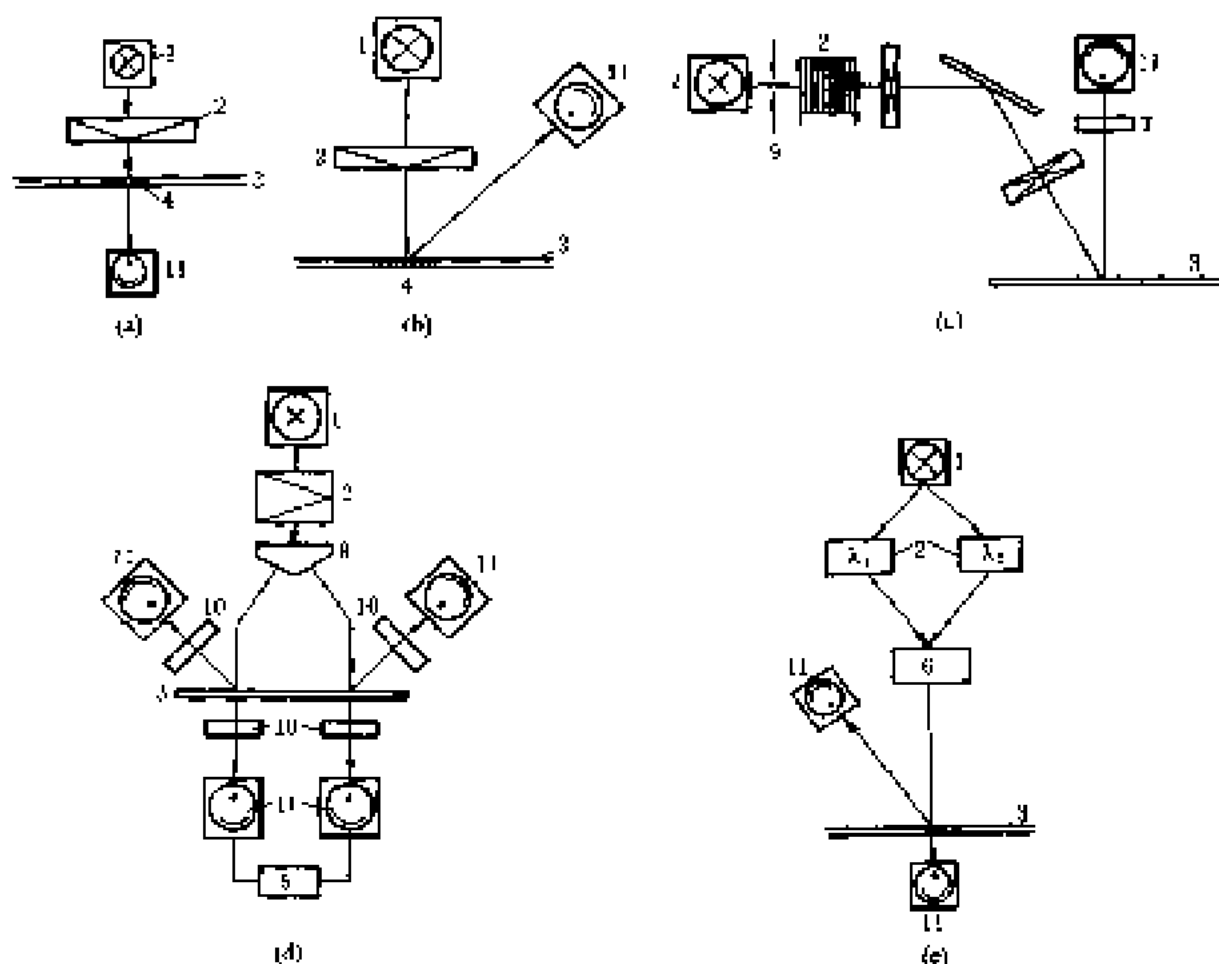


图 8-14 常用光路示意图

(a) 透射法扫描; (b) 反射法扫描; (c) 单光束单波长扫描; (d) 单光束双波长扫描; (e) 双光束双波长扫描

1—光源; 2—单色器; 3—狭缝; 4—斑点; 5—比例调节器; 6—斩波器; 7—聚光片;

8—光路切分装置; 9—狭缝; 10—楔形补偿器; 11—光电检测器。

表 8-19 几种常见颜色扫描显微镜的主要性能

仪器型号 及名称	CAMAG TLC/HP TLC 扫描仪	岛津 CS-010 双波长 TLC 扫描仪	CAMAG TLC 扫描仪 I 型	岛津 CS-950 双波长 门控扫描仪	岛津 CS-9000 双波长点扫描仪	Zeiss 颜色分析光亮度计	Scheffel 50000	Parad UV-VIS 梯度色度分析器
波长范围, nm	200~800	200~900	200~800	200~700	200~700	200~9500	200~700	200~700
单色器	无隙,滤光片	光栅	光栅	光栅	光栅	棱镜	棱镜	光栅
测量形式	反射,透光	反射,透射,透光	反射,透射,透光	反射,透射,透光	反射,透射,透光	反射,透射,透光	反射,透射,透光	反射,透光
光学系统	单波长单光束	双波长单光束,单波长双光束	单波长单光束,双波长单光束	单波长单光束,双波长单光束	双波长双光束	单波长单光束	单波长单光束	单波长单光束
光源	氘灯(可见),汞灯(紫外),氙灯(4354~578nm)	氘灯(紫外),汞灯(可见),氙灯(紫外)	氘灯(紫外),汞灯(可见),氙灯(紫外)	氘灯(紫外),汞灯(可见),氙灯(紫外)	氘灯(紫外),汞灯(可见),氙灯(紫外)	氘灯(紫外),汞灯(可见),氙灯(紫外)	氘灯,汞灯	150W Xe 灯
光束大小	$0.6 \times 2 \times 18$ mm ϕ $3 \times 3 \sim 6$ mm	$0.0 \sim 1.35 \times 18$ $\times (0 \sim 18)$ mm 透 透可调	$0.0 \sim 1.35 \times 18$ $\times (0.05 \sim 1.2) \times 18$ $\times (0.025 \sim 0.6) \times 18$ mm	矩形, 0.05×1.5 mm ϕ $\sim 0.4 \times 0.4$ mm ϕ 直线型, $0.4 \times 0.4 \sim 1 \times 15$ mm	矩形, 0.05×1.5 mm ϕ $\sim 0.4 \times 0.4$ mm ϕ 直线型, $0.4 \times 0.4 \sim 1 \times 15$ mm	$0.01 \sim 2$ mm \times $1.2, 12, 10, 0.7 \sim 6$ mm	0.2×10 mm	$1 \sim 30$ mm
扫描方式 扫描速度	直线型 4, 2, 1, 0.5 mm/s	直线型或点扫描型 横向: 30 mm \times 7 纵向: $0.5 \sim 80$ mm \times 5~50 扫描	直线型 $0.5 \sim 4$ mm \times 7 $0.5 \sim 1$ $(0.5 \sim 1)$ $(0.5 \sim 1)$ mm \times 7	直线型或点扫描型 横向: 30 mm \times 7 纵向: $0.5 \sim 80$ mm \times 5~50 扫描	直线型或点扫描型 横向: 30 mm \times 7 纵向: $0.5 \sim 80$ mm \times 5~50 扫描	直线型 300, 500 120, 100, 60, 30, 20, 10, 5, 1 mm \times 7	直线型 3, 4, 5, 7 0.85, 0.2, 0.21, 0.11 mm \times 7	直线型 0.2~ 5 mm \times 5~50 扫描
自动支调 检测器	光电倍增管	不可 光电倍增管	可 光电倍增管	可 二极管检测系统	可 二极管检测系统	不可 光电倍增管	不可 光电倍增管	不可 光电倍增管
线性校正单 元	无	有	无	有	有	无	无	无
非线性校正单 元	无	有	无	有	有	无	无	无
自动调零单 元	无	有	有	有	有	无	无	无
数据处理器 与显示器	另接计算机或记录仪	外接计算机或记录仪	记录, 计算机, 记录仪, 计算机	在扫描处联机记录	在扫描处联机记录	外接积分记录仪	外接积分记录仪	外接数字积分仪 或记录仪

二、主要功能

薄层色谱扫描仪主要用于 TLC 图被分离物质斑点和薄层空白的光学响应信号测量,要求仪器光源稳定、光波单色性能好,光波长范围在 (200~800) nm,检测器灵敏度高(高信噪比)。用通用型扫描仪可进行吸光度测量、反射光测量、透射光测量及荧光测量,同时可给出光信号的准确数据。评价 TLC 扫描仪性能优劣,还要求仪器本身设计功能合理、齐全;操作者能方便有效地调节可变参数,如光狭缝大小、扫描速率、数据采集和数据处理等装置,达到快速、准确测量的目的。

第六节 薄层色谱定性定量方法

薄层色谱的检测方法可分为紫外光显示等物理方法、化学试剂反应显色等化学方法,以及酶与生物检出法、放射线检出法等几类。物理方法不破坏斑点物质的性质;化学方法则使斑点物质的性质发生永久性不可逆改变。

一、斑点定位

斑点定位必须采用非破坏性方法。当斑点靠紫外光显示时,可采用长波长和短波长紫外灯,使用方便、灵活。

采用化学试剂显色时,通过手动或电动(前者居多)喷雾器向展开好的薄层板喷洒显色试剂。除需要氮气流外,薄层板应置于喷雾箱中,以免将化学试剂喷洒到周围物品上。化学显色的另一种方法是采用化学试剂浸渍器,将薄层板浸入显色试剂中,可以通过浸渍深度、浸渍时间、显色试剂溶液用量等控制显色。显色反应速度过慢时,常采用加热显色措施,这样需增设电加热及其控制设备。一般加热至 100℃,半小时为宜。对于特殊的显色技术,有时可能需要更高的温度和更长时间,但应注意薄层板涂层性质的变化,防止损伤。斑点检测可以采用专用薄层色谱光密度扫描仪。

1. 碘蒸气法

碘晶体在密封显色缸中升华成蒸气,使展开好的薄层板产生亮棕色斑点。切记薄层板放入碘显色缸中的时间不能过长,否则有些组分可能与碘作用而产生不可逆反应或衍生化反应。同时,吸附剂层也可吸附碘,使斑点信噪比降低。

碘显色也可用挥发性的溶剂配制成 1% 的碘溶液,喷洒到薄层板上进行显色,其效果与晶体碘蒸气显色相当。

碘显色方法还可以与其他检测技术相结合。例如,检测甾类化合物时,先用罗丹明 6G 溶液浸渍薄层板,点样,展开后,在碘蒸气中放置 (2~5) min,然后用紫外光照射薄层板,可显出很强的蓝色斑点。该方法检测灵敏度高于其他任何一种单独检测方法,也不破坏被测物质。

2. 化学显色法

化学显色法是 TLC 目前使用最为广泛的方法,采用特征化学试剂与被测组分在薄层板上发生反应生成有色化合物,进一步根据斑点的性质定性、定量。化学显色法不可逆地破坏被测物质。

3. 水斑点显示方法

水可以作为非破坏性显色试剂。向展开好薄层板喷水后,疏水化合物斑点便呈现白色,而

背景半透明。此方法可用于甾族化合物、环醇、烃类和胆酸等样品的显色。

4. pH 指示剂斑点显示方法

酸性或碱性样品可选用 pH 指示剂作显色剂。常用溴甲酚绿和溴酚蓝检测。

5. 荧光显示技术

薄层板中的荧光指示剂或能产生荧光的组分，在紫外短波长光激发下能发射较长波长的可见光。常用荧光衍生化技术将非荧光物质转化为荧光衍生物进行检测。

6. 生物检出法

生物检出法又称生物自显影法，是测定具有生物效应样品（如抗生素）的有效方法，基于检出物质的生物活性。将薄层板与已培养有适当微生物的琼脂表面接触，并置于适宜温度的培养箱中，经过一段时间后观察抑菌点，在有抗生素的位置微生物生长受到抑制，由抑菌点可以对抗生素组分定位。

7. 放射显影法

放射显影法就是含放射性同位素的化合物在薄层上显示位置的方法。一般将特制的底片与薄层板接触，放射性位置斑点使底片曝光。由于底片的暗度与斑点中放射性物质的浓度成正比，因此，这种方法不仅可以定位，而且也可以定量。

二、定性方法

色谱分析法定性能力远小于分离能力，TLC 也是如此，TLC 图提供的参数只有 R_f 可以提供定性信息，但也只能作为相对依据。为提高定性可靠性，TLC 经常利用保留值与化学反应、选择性检测、联用技术相结合的方法进行定性。

（一）利用保留值定性

在特定的色谱系统中，化合物的 R_f 值一定。比较未知物 and 标准物的 R_f 值，能够作为鉴定未知化合物的依据。 R_f 值的准确测定受多方面因素的影响。文献中有时报道一些物质的“标准” R_f 值，由于对应的色谱条件很难重复，其参考价值不如气相色谱中保留指数那么重要。为了增加保留值定性的可靠性，必须通过改变色谱系统的选择性，重复测定同一化合物的保留值。在薄层色谱中，改变选择性不仅能够通过变换固定相，而且可以很容易地通过改变流动相来实现。如果在分离机理不同的色谱体系中，比较保留值仍然能得到肯定的结果，那么其可靠性将更大。因此，二维色谱在复杂未知混合物定性中起着重要作用。

R_f 值在一定程度上反映了物质的结构特征，同系物中亚甲基（ $-\text{CH}_2-$ ）数目与其 R_f 值之间一般为线性关系。利用这种线性关联可以推测化合物的结构。在多种色谱体系中测定这种关联，将增加推测的可信性。此外，可以用 ΔR_f 值推测苯环上的取代基位置。在不同展开系统中衍生物与母体之间的 ΔR_f 值具有线性相关性。图 8-15 显示了酚衍生物在两种展开溶剂中与母体酚之间的 ΔR_f 值的线性相关性。由这种关系，能够鉴别苯环取代基，鉴别的可靠性依赖于实验数据（ ΔR_f 值测定）的准确度和精确度。

（二）板上化学反应定性

板上化学反应定性主要有以下两种方式：

① 反应后生成特征颜色的化合物，借以鉴定反应物。

② 反应生成复杂的、无法鉴定组分的混合物，但可根据生成物的“指纹”特征加以鉴定。

可以实现并用来定性的板上化学反应，包括乙酰化、硫酸酐脱水、偶氮化、酯化、卤化、催化加氢、酸碱水解、异构化、硝化、氧化还原、热解和光化学反应等。在利用化学反应定

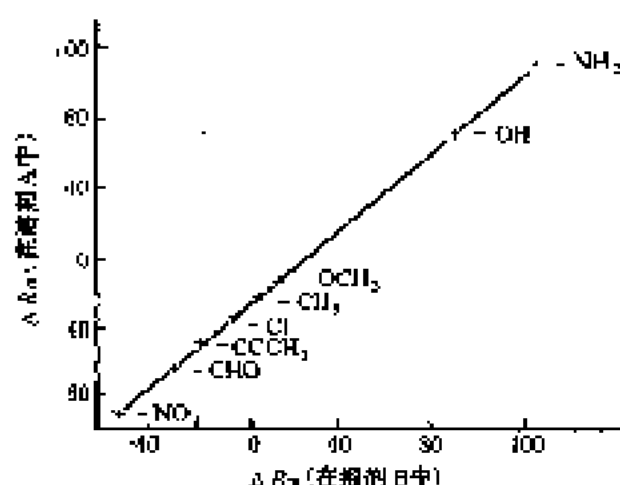


图 6-15 在两种展开溶剂中酚衍生物与
酚之间 ΔR_f 值的相关性

薄层板: 硅胶

流动相: A—正己烷-苯-氯仿

(体积比=1:1:1)

B—环己烷-二氯甲烷-乙醇

(体积比=4:1:1)

性时, 可以采用加热、辐射等手段, 也可以通过喷雾方法施加反应试剂, 还可以将反应试剂加载在固定相或流动相中。就色谱展开来说, 可以在单向展开前或后实现化学反应, 也可以在双向第一次展开前反应、两次展开之间反应或每次展开前反应, 还可以多种方法同时进行, 以获得多维信息。

板上化学反应定性与保留值定性相结合, 能够进一步增加定性的可靠性。

(三) 板上光谱定性

现代薄层色谱扫描仪一般都具有直接测定薄层板上斑点的紫外或可见吸收光谱图的功能, 有的还能够记录荧光激发光谱图。只有利用平行点加的标准样斑点谱图进行对照, 才可以进行板上光谱定性。随着薄层色谱技术的仪器化和自动化, 很容易获得具有良好再现性的结果。这就有可能建立不同类化合物在标准条件下的板上光谱图库, 并可用计

算机检索定性, 同时给出定性、定量及分离状况的直观信息 (见图 8-16)。图 8-17 是两种药物板上光谱图的计算机检索显示。因 TLC 的高线性和斑点的固定性, 可对同一斑点以不同波长进行重复扫描, 以获得更多的有用信息, 对检测器的响应速度无特殊要求。

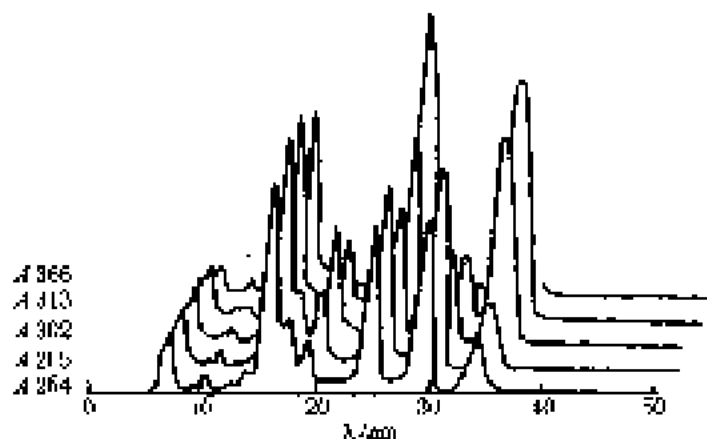


图 8-16 几种假结核药物的二维薄层色谱扫描图

(四) TLC 与其他联用技术间接联用定性

在联用方法中, TLC 这是一种快速制取微量纯组分的技术。只要待测物具有一定化学稳定性, 制备色谱 (PTLC) 是首选的制备方法, PTLC 与 TLC 的原理、操作技术大致相同, PTLC 常用直线展开法和离心展开法。PTLC 用的薄层更厚一些, 一般为 (0.5~2.0) mm, 其制备量为 (10~500) mg。板尺寸为 5 cm×20 cm, 10 cm×20 cm, 20 cm×20 cm, 20 cm×40 cm 等几种。若被分离物质为有色物质, 则直接观察定位; 若组分无颜色, 但有紫外线吸收或能发射荧光, 可在紫外光照射下或通过检测其荧光定位; 如组分既无色又无紫外吸收时, 则采用硅胶 F254 板展开, 以荧光淬灭进行谱带定位。另一种定位方法是碘蒸气显色定位, 定位

时要注意显色的可逆性变化。上述方法均难以定位时，则须采用化学反应显色定位的方法。因化学反应属破坏性方法，所以一定取一条展开薄层（此条与整板层间划割隔离带）来喷洒显色试剂。剥离开的大部分薄层用玻璃板或硬纸板盖严，若显色反应需加热，必须将显色小条薄层板裁下来，防止大部分板层因加热而将拟制备的组分破坏。定位后，将斑点吸附剂小心转移到试管中，用适宜溶剂（尽量采用极性小的溶剂，如氯仿、丙酮、甲醇等）洗脱吸附剂上的组分，过滤洗脱液，洗涤 2~3 次后合并，去除溶剂（蒸发或气吹），残留物经洗涤或重结晶，得到纯物质。

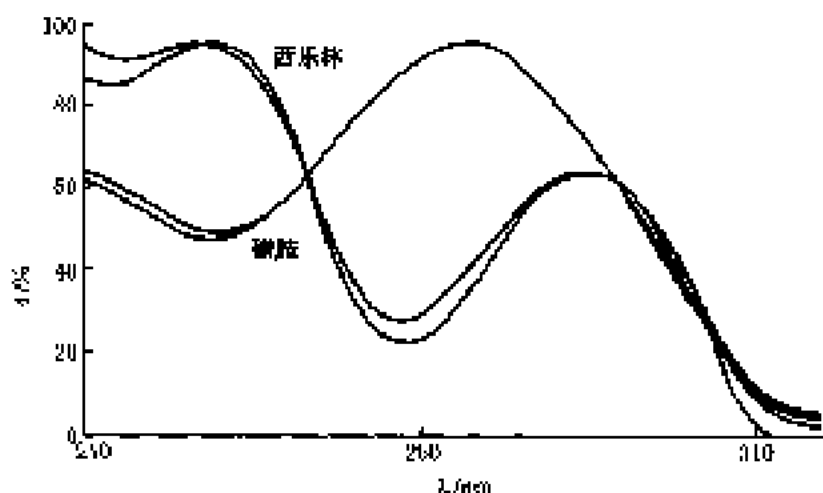


图 8-17 板上紫外吸收光谱图的计算机检索

原则上说，通过物质结构特征进行鉴定的技术和方法，都可用于 PTLC 法所得组分的鉴定。但一般 PTLC 方法所得组分量很少，故应选用那些样品需少量、方法可靠性较强的定性技术。如 MS 和 FIR 技术较适合。制备组分量较大时，也可采用 NMR 方法或其他物理、化学方法。

（五）薄层色谱-傅里叶变换红外光谱联用定性

傅里叶变换红外光谱仪（FTIR）具有快速扫描和很高的分辨率，并且能够进行弱信号多次累加，因而可被用来直接测定薄层色谱图上斑点的红外吸收光谱。目前，这种直接联用技术多采用漫反射法，此法要求红外光谱仪配有漫反射装置（如图 8-18）。这种联用早期一般采用以铝箔为载板的薄层板。展开后，将物质斑点剪下，放在漫反射附件的样品支持架上，这

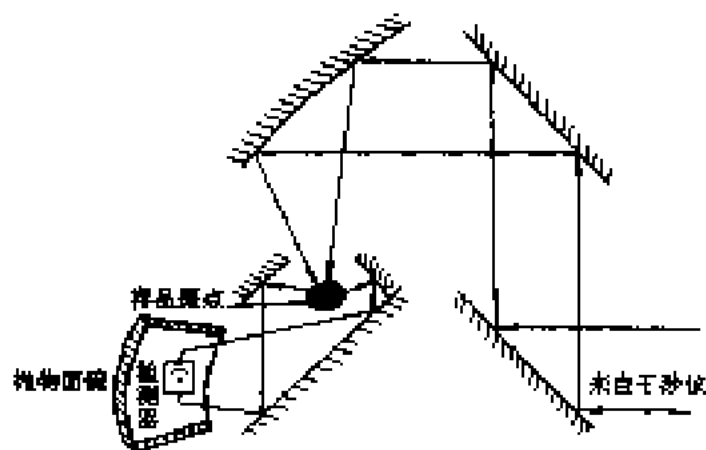


图 8-18 傅里叶红外光谱仪的漫反射装置

种方法由于硅胶介质的存在而需要补偿,并且由于硅羟基易与样品分子形成氢键,而使待测物质的某些基团的吸收峰发生位移。

计算机能够自动将薄层背景的红外光谱扣除。利用这一技术,甚至能够得到未完全分离的物质的光谱图。

(六) 薄层色谱·质谱联用定性

薄层色谱因斑点直接进行质谱分析的方法有两种,一种是将聚酰胺薄层板上的斑点(不

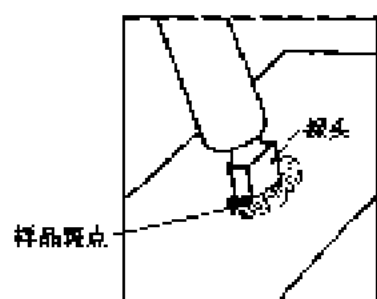


图 H-19 快原子轰击质谱
采样示意图

经溶剂洗脱)直接刮入质谱仪石英探头中,放入离子源,当离子源升温至 300°C 以上时,聚酰胺仍仅有很低的背景信号,不致影响质谱解析。这一方法可以测定 0.1 μg 水平的酚类、核苷类、甾族化合物及氨基酸等。对薄层色谱斑点直接进行质谱分析的另一种方法是快原子轰击质谱分析法(FAB-MS),用快速原子(如氦气等)撞击溶于挥发性较低的溶剂(如甘油或硫甘油等)中的样品使之离子化。快速原子的能量较低,较容易产生 $M+H$ 、 $M+Na^+$ 和 $M+K^+$ 等复合离子,以及 $M-H$ 等比较简单的碎片离子。

图 H-19 是快原子轰击质谱采样示意图,将采样探头(带有屏蔽装置)压在斑点上,转移斑点至探头,然后将 (1~2) μl 溶剂(甲醇或二氟甲烷)和 (2~5) μl 甘油或硫甘油等基础溶剂加到粘着在探头顶端的斑点吸附剂中,随即将探头插入质谱离子化装置进行分析。

三、定量方法

TLC 定量分析广泛采用光度扫描法进行定量鉴定,其他常规方法也有相当多的应用。

(一) 间接定量法

间接定量法就是将 TLC 已分离的物质斑点洗脱下来,再采用其他方法对该洗脱液进行定量分析。TLC 间接定量的关键是斑点组分的定量洗脱。选用怎样的洗脱方法,取决于组分和薄层吸附剂的性质。用来洗脱组分斑点的溶剂,对下一步定量方法应无影响。使用分光光度法定量时,洗脱溶剂在测量浓度下的吸光度应很小。

洗脱斑点组分时,可能将吸附剂中的杂质随之洗脱下来,增加定量误差。杂质包括吸附剂中原来含有的可溶解物质及吸附剂吸附的环境有机污染物(这类杂质可以在薄层点样前用甲醇或 5% 左右氨水的甲醇溶液进行预展开除去)。

(1) 分光光度法 将洗脱下来的斑点洗脱液配制成标准体积,在同样条件下对样品和标准液进行吸光度测量,实现定量。为除去杂质影响,同时可进行空白洗脱液的吸光度测量。

(2) 高效液相色谱法 以 TLC 法斑点洗脱液作 HPLC 法的样品,可以进行再分离和定量,这种联用经常被采用。

(3) 气相色谱法 以 TLC 法斑点洗脱液直接做 GC 试样或将其衍生化后再进样,已 GC 对 TLC 所得样品再行分离、鉴定和定量分析,一般可以得到较好的定量结果。

(4) 质谱法 采用组分质谱图中的特征离子峰可进行样品定量。

(二) 直接定量法

TLC 分离的组分斑点直接在板上进行定量,除扫描法外,也可采用下面两种方法进行估算。

(1) 斑点面积测量法 以半透明纸扫下 TLC 图上的斑点界限, 然后测量其面积。将斑点面积同平行操作的标准样面积相比较进行定量。这种定量方法简单, 易行, 系统误差可保持在 3%~5% 之间。但对分离不佳的斑点和痕量组分不吻合。

(2) 目测法 将被测样品和系列标准样品的溶液点在同 一薄层板上, 展开后用适当方法显色, 可以得到系列斑点。将样品的斑点面积大小及颜色与标准系列的斑点相比较, 可推测出样品的含量范围。这种定量方法非常适用于对常规大量样品的重复分析。如, 化工和药物产品质量控制分析等。

〈三〉定量校正方法

同其他色谱定量校正方法类似, 可以采用归一化法、内标法、外标法等多种校正方法对 TLC 定量结果进行校正。

1. 归一化法

同 HPLC 和 GC 一样, 将样品中所有组分含量之和作为 100%, 计算其中某一组分含量。如果是同系物, 校正因子相近时, 组分 i 的质量百分含量 (w_i) 为

$$w_i = \frac{A_i}{\sum A_i} \times 100\% \quad (8-26)$$

式中, w_i 表示组分 i 在样品中的质量百分数, A_i 表示峰面积。采用该方法的前提条件是所有组分必须都得到分离, 且校正因子已知, 否则易产生较大误差。

2. 内标法

向样品中加入适当内标物, 进行薄层色谱分析, 再用该内标校正待测组分的含量。该方法克服了归一化法的缺点, 只要待测组分显现就可以实现定量。采用该方法的条件是内标物在样品中可溶解, 且不与样品中的任何组分发生化学反应, 能与样品中各组分完全分开, 内标斑点与待测组分斑点靠近。

内标法组分含量的计算公式为

$$m_i = m_s \frac{f_i A_i}{f_s A_s} \quad (8-27)$$

式中, m_i 为待测样品中组分 i 斑点中组分 i 的含量, m_s 为内标物斑点中内标物的含量, f_i 、 f_s 分别为组分 i 和内标物 s 的相对质量校正因子, A_i 和 A_s 分别为组分 i 和内标物 s 的峰面积。

TLC 中的相对质量校正因子由实验测得, 采用含有内标物的待测组分标准溶液来校正测定含有内标物待测样品中组分的含量。将图 8-20 中所示两个组的数据代入式 (8-27), 分别得到两个方程, 整理得

$$m_{i, \text{样品}} = m_{i, \text{标准}} \frac{(A_i/A_s)_{\text{标准}}}{(A_i/A_s)_{\text{样品}}} \quad (8-28)$$

式 (8-28) 为 TLC 常用定量公式。

找不到适宜内标物时, 可以样品中任一组分的纯品作为内标物, 即可在样品溶液中加入待测组分纯品, 比较加入前后的峰面积, 加以定量。这种方法又称为叠加法 (特殊内标法)。

3. 外标法

外标法是薄层色谱法定量常用的校正方法。在相同分析条件下, 比较标准样与相应的待

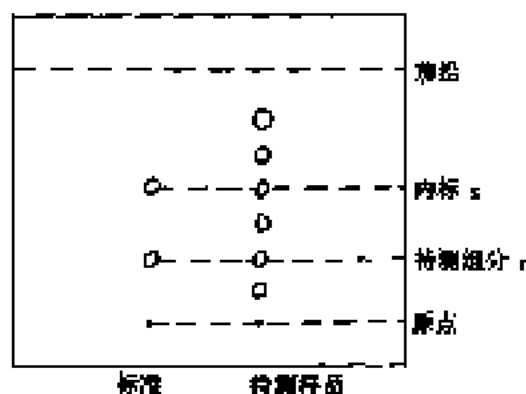


图 8-20 内标法定量示意图

测组分谱图进行定量。待测样品谱图中组分 i 斑点含组分 i 的量 ($m_{i, \text{样品}}$) 可按下式计算得到

$$m_{i, \text{样品}} = m_{i, \text{标准}} = \frac{A_{i, \text{样品}}}{A_{i, \text{标准}}} \quad (8-29)$$

式中, $m_{i, \text{标准}}$ 为组分 i 标准溶液斑点中 i 组分的含量, $A_{i, \text{标准}}$ 和 $A_{i, \text{样品}}$ 分别为 i 组分标准溶液斑点和待测样品溶液色谱图上 i 组分斑点的峰面积。

外标法校正要求点样体积准确。此外, 由于薄层色谱光密度扫描的线性范围一般较窄, 应使标准样斑点中组分含量尽可能接近于相应的待测组分斑点中所含的组分量。与内标法一样, 采用外标法校正定量时, 也应尽可能使校正曲线通过坐标原点。只有在不得已的情况下, 方可采用两点外标法, 以便计算出校正曲线的截距。

第七节 纸 色 谱

一、纸色谱简述

纸色谱法是以纸为载体的液相色谱方法, 操作时在长条滤纸的一端点上待分离的样品溶液, 待溶液挥发后, 将滤纸吊放在一个密闭的器内, 使滤纸被流动相蒸气所饱和, 然后使流动相自点有样品的一端通过毛细作用流向另一端, 样品中各组分在迁移过程中逐渐得到分离。

纸色谱法属分配色谱。滤纸本身是惰性的, 分离组分的过程中, 只起载体的作用, 真正固定相为与干燥纸纤维结合的水分, 一般能够作为纸色谱载体的滤纸, 其纤维吸收水分的质量可达自身质量的 20 倍以上, 其中 4% 左右的水分通过氢键与纤维素上的羟基结合, 形成液相色谱中的固定液。

分离由不同组分在流动相和纸上水分间的分配不同所引起, 因此在纸色谱中, 组分在两相间的分配系数直接影响到分离结果。与薄层色谱相同, 纸色谱中, 组分的移动情况可以采用比移值 (R_f) 来表示。

纸纤维有时也可能对某些化合物有吸附作用, 甚至也会因其含有一些羟基而显示出有阴离子交换作用, 从而使某些组分的 R_f 值与由分配系数计算所得的结果有所差别。通常的纸色谱都属于正相操作, 即以有机溶剂为流动相, 吸收在滤纸上的水分为固定相, 但有时也将滤纸用极性较小的液体 (如烃类) 处理作为固定相, 而以极性较大的含水溶剂为流动相, 这种操作称为反相纸色谱法。

二、纸色谱技术

纸色谱法与薄层色谱法的基本操作相同, 包括点样、展开、显点定位等步骤。

(一) 纸的准备

纸色谱法以滤纸为固定液载体, 因此只需选择适合色谱分离用的滤纸, 裁成适宜大小即可使用。在纸色谱法中, 分离在滤纸条上进行, 因此滤纸的特性是影响分离的重要因素, 对纸的要求包括:

- ① 质地必须均一, 厚薄均匀, 纸应平整无折痕, 否则会使流动相流速不均, 分离不规则。
- ② 纸纤维松紧程度适中, 过于疏松, 斑点易扩散; 过于紧密, 流速太慢, 分析时间太长。
- ③ 适宜的厚度, 使溶剂流动速度相当, 滤纸太厚, 流速慢, 分析时间过长; 太薄, 则流动过快, 分离不好。选择滤纸时应考虑所用流动相粘度, 粘度大 (如丁醇等) 宜用较薄滤纸, 粘度小 (如己烷, 氯仿等) 则可用较厚滤纸, 分离量较大或作制备用时也宜用较厚滤纸。

④ 有一定机械强度，不易断裂，以做成圆筒形被溶剂湿润后能站立不倒者为合格。

⑤ 纯度高，不含填充剂。灰分在 0.01% 以下，常见的金属离子杂质如铁、铜、钙、镁等含量不得过高，否则有时金属离子会与组分结合，影响分离效果，或出现其他斑点。

不同厂家、不同型号的滤纸，由于生产方法与条件不尽相同，吸收水分量也不相同，有时 pH 值也可能不同，因此虽按同一条件分离，同一组分的移动情况即 R_f 值会不完全相等，甚至有较大差别。所以在用纸色谱法进行定性鉴别时，应尽量将样品与已知标准品在同一张纸上进行展开，然后比较其 R_f 值，这样可避免由于纸的来源不同所引起的差别。此外，滤纸应保存在洁净的环境中，避免与各种化学物质及烟雾等接触。表 8-20 列出了几种国产滤纸的型号与性能。

表 8-20 几种国产滤纸的型号与性能

型号	标量 ($g \cdot m^{-2}$)	厚度/mm	吸水件 (30mm 内水上升高度, mm)	标量 ($g \cdot m^{-2}$)	展开速度
1	90	0.17	120~150	0.08	快
2	90	0.16	90~120	0.08	中
3	90	0.15	60~90	0.08	慢
4	140	0.34	120~150	0.08	快
5	190	0.32	90~120	0.08	中
6	180	0.30	60~90	0.08	慢

(二) 点样

在纸的一端约 (1~3) cm 处点上样品溶液，溶剂挥发后即可将纸放入槽内展开。

(三) 展开

展开是使流动相溶剂沿滤纸从点有样品的一端向另一端流动的过程，在此过程中，样品中组分被流动相带动前移，并由于与固定相的亲和力不同而得到分离。一般进行纸色谱分离时，要先将滤纸用流动相蒸气饱和，通常约需数小时，展开时间也比薄层色谱长些，因此总的分析时间较长。

(四) 定位

经上述展开至溶剂前沿到达纸的另一端时，即可将纸取出，待溶剂挥发后用适宜方法确定组分斑点的位置，如观察荧光，喷以溶剂使斑点显色。

(五) 定量

确定斑点位置之后，即可对其进行定量测定，可以将有斑点的纸剪下，用适当溶剂将组分溶出，再以适宜方法测定。近年来由于光密度仪器的发展，已较广泛地用于纸色谱与薄层色谱斑点的定量测定，斑点不必洗脱，直接在光密度计上测量斑点的吸光值或荧光，并与标准品同样处理的结果进行比较，可以较快速、较准确地测定。

纸色谱法和薄层色谱法的操作大体相同。相比之下，薄层分离所需时间较短，分离能力强，斑点集中，因此检出灵敏度较高，纸色谱展开时间较长，分离后斑点分散，灵敏度不如薄层色谱。有些水溶性样品如糖、苷、氨基酸等用纸色谱法比用薄层法的分离效果好些。二者共有的优点是不需特殊设备，操作简便，可分析微克量的样品。在 20 世纪 60 年代以前，纸色谱法广泛用于生化、医药及其他方面的微量分离分析工作。近来，纸色谱已逐步被薄层色谱法取代，但在一些常规分析中仍有应用。

(六) 固定相与流动相

纸色谱分离各类化合物的常用固定相和流动相见表 8-21。

表 8-21 振色譜分離各類化合物的固定相及流動相^[1]

续表

化 合 物	固 定 相	展 开 剂 ^①
其他环状含氮化合物 甾类	—	乙醇-氨水-水 (20 : 1 : 4)
有机磷化合物类	4%磷酸氧树脂溶液	正丁醇-甲醇-水 (3 : 1 : 1)
有机磷化合物类	—	正丙醇-5%氨水 (2 : 1)
单生甾类	—	正丁醇-乙醇-二乙酸-水 (90 : 10 : 0.1 : 97)
抗生素类	—	甲醇-乙酸-水 (16 : 5 : 1)
— 类 药	—	正丁醇-乙酸-水 (4 : 1 : 5)
— 类 药	—	正丁醇-水 (30 : 160 : 100)
— 类 药	—	异丁醇-戊烷-水-乙醇 (33 : 33 : 33 : 1)
— 类 药	—	正丁醇-乙酸-水 (4 : 1 : 5)
— 类 药	—	正丁醇用 pH3 磷酸缓冲液
— 类 药	—	0.1mol/L 1-EDTA 二钠盐溶液 正丁醇-氨水 (4 : 1 : 5)
— 类 药	20%冰乙酸溶液	己 烷
— 类 药	25%二甲基甲酰胺	石油醚
— 类 药	5%糠醛-丙酮-苯液	乙醇-水 (1 : 1)
— 类 药	庚代醇	戊烷-水 (1 : 1)
— 类 药	石蜡油	乙醇-水 (1 : 1)
— 类 药	—	异戊醇-乙醇-氨水-水 (4 : 4 : 1 : 2)

① 括号内数据为混合溶剂中各组分的体积比。

参 考 文 献

1. Stahl E. Thin-Layer Chromatography. Laboratory Handbook. Berlin, Heidelberg, New York. Springer-Verlag, 1969
2. 孙毓庆. 薄层色谱法及其在医药中的应用. 北京: 人民卫生出版社, 1988
3. 孙毓庆, 王强群, 林乐明. 薄层色谱法在药物分析中的应用. 北京: 人民卫生出版社, 1989
4. Lewis F. Fundamentals of Thin-Layer Chromatography (Planar Chromatography). Hoefting, Heidelberg, Basel, New York, 1987
5. Jovanovic D. E. Instrumental Thin-Layer Chromatography, in Handbook of Thin-Layer Chromatography, New York, Ed by Sheena J. Fried B, Marcel Dekker, Inc. Publishers, 1988
6. Jork H, Funk W, Fischer W, et al. Thin-Layer Chromatography, Reagents and Detection Methods. Weinheim. VCH Verlag, 1990
7. 曹治祝. 薄层显色试剂手册. 北京: 中国商业出版社, 1986
8. 何善一. 薄层显色方法及应用. 北京: 化学工业出版社, 2000, 96

第九章 样品预处理

第一节 概 述

样品制备是 HPLC 分析中必不可少的一部分，主要目的是使样品与所使用的 HPLC 方法相兼容；此外通过样品预处理可以相对除净损害色谱柱的物质、对试样进行预富集、消除与待测组分峰重叠的干扰组分、将待测组分转变为适于检测的形式，提高检测灵敏度和选择性。样品预处理包括样品采集、运输、储存、初步加工、实验室取样以及随后的称量、稀释等环节。表 9-1 中总结了样品预处理方法选择的一般规则。液相色谱方法的精密性与准确度往往决定于样品的预处理步骤^[1-3]，本章主要介绍样品的提取及衍生化方法。

表 9-1 样品预处理的选样^[1]

预处理	说 明
1) 样品的采集	采用统计学的方法获得有代表性的样品
2) 样品的贮藏与保存	用适宜的惰性、密封容器；要特别小心易挥发、不稳定或活性物质；生物样品有时需要按店
3) 样品的预处理	样品形式必须适于有效的样品预处理（如干燥、过滤、浓缩等）；细小的固体样品易于溶解或提取
4) 称量或定容稀释	注意活性、不稳定性或生物物质，称量时，需用经校正的定量容器
5) 其他样品加工方法	溶剂萃取、除盐、蒸发、冷冻干燥等
6) 除去微粒	过滤、固相萃取、离心分离
7) 样品的提取	液体样品的提取，固体样品提取
8) 衍生化	主要用于增强被测物的检测特性，有时用于改善分离

在进行液相色谱分析之前，必须把试样转化为溶液状态。此外，在样品预处理过程中，应注意：

- ① 在最终的液相色谱分离中，如果在接近死时间处存在过多干扰样品的组分，通常可以采用与液相色谱方法相似的分离体系进行预处理，如在硅胶上进行高效液相色谱分离之前，先进行低压硅胶柱分离以减少干扰。
- ② 样品干扰过多，并且是在接近欲测化合物的地方被洗脱时，最好采用与液相色谱不同的预分离方法来减少干扰（如在硅胶 HPLC 分析前进行萃取，或在反相液液 HPLC 之前进行低压硅胶分离）。
- ③ 除纯标准物质外，所有样品溶液进行液相色谱分析以前都应过滤。

液相色谱预处理用滤膜一般由纤维素、四氟乙烯或尼龙制成，商品滤膜孔径有 0.45μm、0.2μm 等种类，不同滤膜的适用范围见表 9-2。

表 9-2 各种滤膜对溶剂的适应性^[1]

序 列	纤维素滤膜	聚四氟乙烯膜	尼龙-66 膜
乙醇、二氧六环、二氯乙酸、醇、二氯甲烷、丙酮、四氢呋喃	(+)	(-)	(+)
氯仿、环己烷、己烷、庚烷、2,2,4-三甲基戊烷	(+)	(+)	(+)
水、盐酸 (1mol·L ⁻¹)	(+)	由于亲水性，水溶液难以通过	(+)
氢氧化钠 (5mol·L ⁻¹)	(-)	由于亲水性，水溶液难以通过	(+)

(+) 一般在被种溶剂中适用；(-) 一般在被种溶剂中不适用。

第二节 液液萃取

萃取操作有多种不同的方式，一般将粉碎的样品和溶剂一并放入适当的容器中，不断摇动，最后取上层清液作为液相色谱分析的样品。较难萃取的样品可以采用超声波振荡。另外，还可用多份同种溶剂或一系列不同溶剂对样品进行多次连续抽提使样品得到较彻底的萃取。对于较难萃取的样品也可使用热溶剂进行连续萃取（如索氏萃取）。

一、液液萃取基本操作

液液萃取操作中一相往往化为水相，另一相为有机溶剂。亲水强的化合物进入极性的水相多，而疏水化合物将主要在有机溶剂中。萃取进有机相的被测物经溶剂挥发容易回收，而进入水相中的被测物则经常能够用于反相色谱直接进样，图 9-1 给出了液液萃取的基本操作框图。

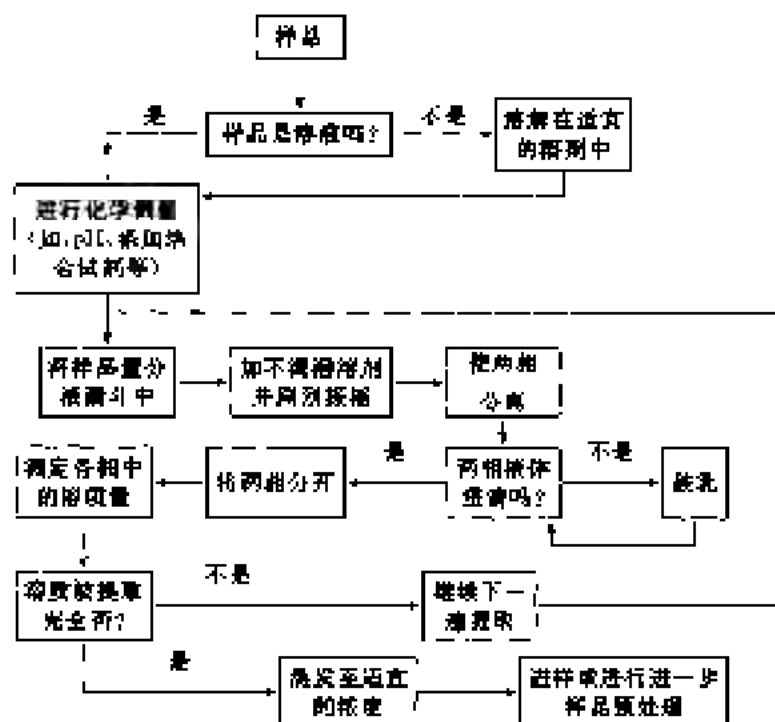


图 9-1 液液萃取步骤框图^[1]

萃取为效率有限的平衡过程，两相中皆存在数量可观的被测物。萃取溶剂的极性、样品-溶剂混合液的 pH 值、溶剂和样品的相对体积、样品与溶剂的接触方式等会影响萃取效率。可利用改变 pH、离子对作用、络合作用等方法使萃取平衡移向有利于回收样品的方向移动，提高被测物的回收率。

二、液液萃取用有机溶剂

液液萃取中有机溶剂应具有挥发性，萃取后易于除去，且在水中的溶解度足够低（<10%），同时能与被测物的 HPLC 检测技术相容（避免使用 UV 吸收强的溶剂）。常用液液萃取溶剂的特征参见表 2-1，表 9-3 列出了常用溶剂的类别。

当溶剂的 P 值和被分离组分的 P 值相近时通常能得到最大程度的萃取，因此在萃取非极性或脂肪族化合物时，常使用正己烷（ $P=0.1$ ）、甲苯（ $P=2.4$ ）和乙醚（ $P=2.8$ ）等非极

性溶剂,另一方面,在萃取极性较强的化合物时,需要使用极性溶剂,如丙酮($P=5.1$)、乙醇($P=5.8$)、甲醇($P=5.1$)或这些溶剂与水($P=10.2$)的混合溶液,氯仿具有中等极性($P=4.1$),通常被用来调节萃取溶剂的极性,改变样品溶剂体系的 pH 值常常会提高酸或碱的萃取效率。调节 pH 值既可以得到非离子型的样品组分(酸用低 pH 值,碱用高 pH 值),也可以得到离子型的样品组分(酸用高的 pH 值,碱用低的 pH 值),在前一种情况下,常使用极性较弱的萃取溶剂(如用氯仿从植物组织中萃取碱性生物碱时,向样品中加入碱),对于离子型化合物的萃取,萃取溶剂通常是加有酸(或碱)的水(或醇-水混合溶剂),如用硫酸-水-乙醇的混合溶剂可使植物组织中的生物碱以盐的形式被萃取。

表 9-3 液液萃取溶剂分类^①

水 溶 液	与水不混溶的有机溶剂	与水混溶的有机溶剂 (不适于液液萃取)
纯 水	脂肪烃类(己烷,异辛烷,石油醚等)	醇类(低分子量的)
酸溶液	二乙基醚或其他醚	酮类(低分子量的)
碱溶液	二氯甲烷	胺类(低分子量的)
盐液(盐析作用)	氯 仿	羧酸类(低分子量的)
络合物(离子交换-螯合,手性等)	乙酸乙酯和其他酯	乙 醇
以上两种或多种混合	脂肪醇类(C_4 及以上醇)	二甲基亚砜
	脂肪醛类(C_4 及以上醛)	二噁烷
	甲酸-二甲苯(有 UV 吸收)	
	以上两种或多种溶剂混合	

① 第一栏与第二栏的任一溶剂相匹配,与水混溶的有机溶剂不可与水溶液一起用于液液萃取。

溶剂的极性和 pH 值均调至最佳,而待测样品组分的萃取回收率仍然很低时,可通过增加溶剂量来提高回收率,使用多次连续萃取效果更好。在某些情况下,可能会因为萃取过程缓慢,而得不到良好的萃取结果,则可采用以下措施:

- ① 将样品粉碎得尽可能细,以便更好地与溶剂接触。
- ② 剧烈振荡使两相混合(如使用混合器或超声波振荡器)。
- ③ 使用能较好地润湿样品的溶剂(如对本溶性样品用水溶性的溶剂,对于油溶性样品,用非极性溶剂)。
- ④ 加热样品或溶剂,以索氏萃取的方式进行连续萃取。

许多情况下,萃取过程会产生不易分离的乳液。最常用的消除方法是加入固体盐(如氯化钠)的饱和水溶液。通过加热的方法(如使用红外灯),加速分液漏斗中下层液相的沉降。对较难破坏的乳液还可采用高速离心法分离,并用冰或液氮将混合液冷冻,最后可以把有机相倒出,而留下冻结的水相。

三、液液萃取后处理

样品萃取完成以后,一般要求过滤溶剂相,且在进样之前有时还要进一步处理,如用无水硫酸钠干燥,蒸发浓缩以及进一步净化等。在进行高效液相色谱(HPLC)分析以前,也可以采用开口柱或低压液相色谱进行样品的预分离,例如样品在进行反相液相色谱分离以前,可以使用硅胶、硅胶镁或活性炭进行预分离。用合适固定相涂渍的硅胶柱,在低压下进行的正相或反相液相色谱也可用于样品的预处理。对许多样品无论用高压还是低压排阻色谱都能方便、有效地使最后的液相色谱分析简化。

第三节 固相萃取法

固相萃取 (SPE) 采用高效、高选择性的固定相, 以经典的吸附柱色谱试样制备的方法, 进行样品分析前的净化、浓缩和富集, 相转换以及在线衍生化。与液液萃取相比较, 固相萃取有很多优点, 表 9-4 中列出了固相萃取的优缺点。

表 9-4 固相萃取的特点⁽¹⁾

优 点	缺 点
萃取效率高	SPE 萃取管的阻塞性
分离被检测物与干扰物的效率更高	有些被检测物会不可逆地吸附于 SPE 萃取管上
降低有机溶剂消耗	
易于收集全部被检测物部分	
人工操作更方便	
能除去杂质	

(1) 与液液萃取相比较。

一、固相萃取基本操作

固相萃取的一般步骤是将被萃取或溶解后的固态样品倒入活化过的 SPE 柱中, 并利用抽真空或加压使样品进入固定相床层。通常将目标组分和类似的其他组分保留在柱中, 尽量减少杂质的保留, 用一种溶剂先冲洗掉弱保留的杂质组分, 然后再用另一种溶剂把感兴趣的分析物组分从固定相上洗脱下来。有时, 可以让目标组分 (分析物) 直接通过固定相而不被保留, 而使大部分干扰物被保留在固定相上, 从而得到分离。在多数情况下, 使分析物得到保留更有利于样品净化。固相萃取器已商品化, 如图 9-2 所示, 表 9-5 列出了一般商品固相萃取管。

二、固相萃取固定相

与液相色谱分离机理相同, 固相萃取的固定相可分为正相、反相和离子交换等多种。正相固定相较强, 常带有极性基团 $-CN$ 、 $-Si$ 、 $-NH_2$ 等, 用来保留极性物质; C_{18} 、 C_8 等非极性反相固定相, 可用来保留非极性的分析物; 而离子交换固定相以离子静电作用作为保留机理, 当分析物离子与固定相带相反电荷时, 就会发生离子相互作用, 阳离子交换相可保留带正电荷的或阳离子化合物, 阴离子交换相保留带负电荷或阴离子化合物。对于胺和羧酸盐等样品, 可通过改变溶液 pH 值使之离子化后进行萃取。表 9-6 给出了固相萃取法中常用固定相的实用范围。

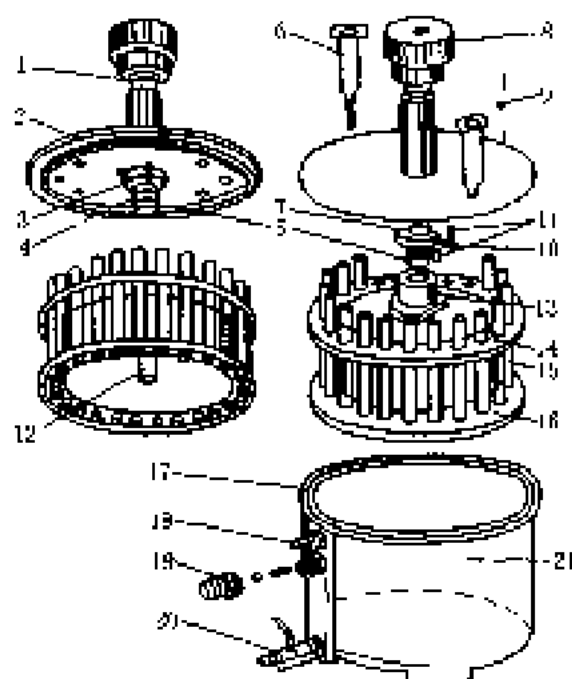


图 9-2 DL-1 型固相萃取器示意图

- 1—手柄弹簧; 2—活塞; 3—密封圈; 4—定位弹簧; 5—定位物; 6—萃取柱; 7—固定件; 8—手柄; 9—密封圈 (12只); 10—管子; 11—定位物; 12—固定螺母; 13—定位套; 14—上托管架; 15—螺母 (24支); 16—下托管架; 17—密封管; 18—排气嘴; 19—真空调节阀; 20—排液阀; 21—缸体

表 9-5 SPE 萃取管的一般商品

产 品	供 应 商	产 品 类 型	专 注 产 品
Backbond Dand Flur	J. T. Baker Yellon 样品制备产 品	硅烷基反萃取管在固相, SPE 30 号 产品基质为硅胶/聚合物; SPE 试 片	样品, 玻璃萃取管用于痕量分析 样品, SPE 匹配吸附剂/溶剂 环保 专用固定相
Maxi-Clear	Alltech 联合公司	C18 或 C8 产品; SPE 编号, 聚合 物萃取管	
Sep Pak	Waters 色谱	萃取管在固相, 聚合物萃取管	
Supelco Clean	Supelco	通用萃取管	
HLMA	Lisa	聚合物基质 SPE 萃取管	
WPL	Analyse	玻璃微球片及萃取管	样品 萃取管用于微量分析
Isolute	国际吸附剂技术	通用萃取管	微量吸附萃取管
Clean Screen	聚合化学技术	样品	环保清洗剂与特殊环保方法
Empore	3M 公司	内嵌吸附剂微球片	
DL 1	国家色谱研究所分析中 心(大连)	通用萃取管	

表 9-6 固相萃取常用固定相的实用范围

固定相	适 用 范 围
C ₁₈	水溶液中的疏水性化合物; 样品中的盐、药物及其代谢物; 环境水样中的微量有机物; 毒、饮料中的 有机酸; 中草药、中成药中的黄酮类、萜类、皂甙类生物碱、胆酸等
C ₈	上述样品中保留弱于 C ₁₈ 的组分
Silica	非水溶液中的盐、中等极性化合物; 脂溶性维生素; 农药; 植物色素; 合成有机物等。可代替经典的 硅胶柱萃取层色谱的预处理净化方法
SAX	水溶液或非水溶液中的阳离子分离; 可代替 DEAE 纤维素用于酸性蛋白和酶的提取, 免疫球蛋白 的分离, 酶的分级分离; 酒、水果汁、食物中酸性色素及脂类化合物的分离
SCX	低容量阳离子交换剂, 可代替硅胶的酸性氧化相或 TLC 的预处理净化方法, 用于水溶液或非水溶液中的 农药、除草剂、金属等的分离
NH ₂	低容量阴离子交换剂, 可分离药物及其代谢物、糖、酚类以及石油和润滑油的分级分离
CN	水溶液或有价溶质分析物, 主要用于样品中的药物及其代谢物、醇类和发酵产品的代谢物、农药、疏 水性的脂类等的分离
Phenyl	芳香类化合物
Duo1	有机酸、蛋白质的水溶液体积排斥色谱

三、固相萃取溶剂

正相固定相中, 溶剂强度随其极性增加而增加, 而反相固定相中, 溶剂强度随其非极性的增加而增加。通常使用水、甲醇、异丙醇和乙腈作为反相分离溶剂, 内酮、乙酸乙酯等作为正相分离溶剂。表 9-7 中列出了常用溶剂的强度次序。

表 9-7 溶剂强度

分离模式	溶剂强度次序
正 相	己烷 > 异辛烷 > 甲苯 > 氯仿 > 二氯甲烷 > 四氢呋喃 > 乙醚 > 乙酸 > 丙酮 > 乙腈 > 异丙醇 > 甲醇
反 相	水 < 甲醇 < 异丙醇 < 己酮 < 丙酮 < 乙醚 < 乙腈 < 四氢呋喃 < 二氯甲烷 < 氯仿 < 甲苯 < 异辛烷 < 己烷

固相萃取法一般包括固定相活化、样品上柱、淋洗和分析物洗脱四个步骤。活化的目的是创造一个样品溶剂相容的环境并除去在柱内的所有杂质, 通常先用与洗脱剂相同强度或强于洗脱剂的溶剂来净化固定相, 以除去所有可能与分析物一起洗出的物质, 再用弱于样品溶剂的溶剂建立一个使得样品组分有合适保留值的固定相环境, 上样是指样品加入到 SPE 柱并使样品溶剂通过固定相的过程, 这时分析物和少量样品干扰物保留在固定相上。分析物得到

保留后, 通常需要洗脱固定相以洗掉不需要的样品组分, 洗脱溶剂应略强于或等于上样溶剂。洗脱过程完成后, 将分析物从固定相上洗脱, 这一步骤采用溶剂强度适当, 如太强, 可能使一些更强保留的不必要的组分洗脱出来。溶剂太弱, 需较多的洗脱液来洗出分析物, 使固相萃取的浓缩功效削弱。

第四节 样品衍生化

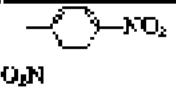
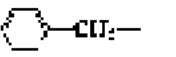

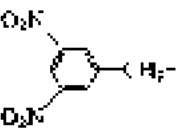
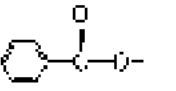

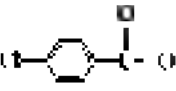

在液相色谱分离之前, 有时把样品组分制成衍生物, 这不仅可以提高从样品基体中萃取和预分离待测化合物的能力, 而且可通过降低样品的极性或改变样品组分的选择性来改善液相色谱分离; 还可以改变样品中不同化合物的相对检测器响应, 因而可在有谱带重叠的情况下, 检测和定量待测组分中的某些组分。目前使用的液相色谱检测器多数是光度计、紫外或荧光检测器, 所以对于在紫外或可见光区没有吸收或能产生荧光的样品, 衍生化是十分必要的。

一、紫外衍生化^[3-5]

液相色谱中应用最广的是紫外吸收检测器, 紫外吸收的波长范围一般为 (190~365) nm。由于一些强紫外吸收的基团在 254 nm 附近都有较高的摩尔吸收系数, 故单波长紫外检测器多数选用 254 nm。表 9-8 中给出了常用的紫外衍生化试剂及特性。

(一) 常用紫外衍生化基团

表 9-8 常用紫外衍生化试剂

名 称	结 构	最大吸收波长 λ_{\max}/nm	摩尔吸收系数 ϵ_{254}
2,4-二硝基基		—	$>10^4$
苯甲基		254	200
对硝基苯甲基		265	6200
3,5-二硝基苯甲基		—	$>10^4$
苯甲酰基		230	<1000
对甲苯酰基		236	5400
对氯苯甲酰基		235	6200
对硝基苯甲酰基		251	$>10^4$

续表

名 称	结 构	最大吸收波长 $\lambda_{\text{max}}(\text{nm})$	摩尔吸收系数 $\epsilon(\text{L})$
对甲氧基苯甲醛基酯		262	16000
苯甲酰甲基		250	$\sim 10^4$
对硝基苯酰甲基		260	18000
α -萘甲酰甲基		248	12000

(二) 应用

(1) 羧酸 在有机溶剂中, 羧酸或羧酸钾盐与具有强紫外吸收的对硝基溴化苯等衍生化试剂反应生成酯。

(2) 羟基化合物 3,5-二硝基苯甲酰氯等与脂肪醇反应生成相应的酯。

(3) 羰基化合物 醛、酮等羰基化合物与 2,4-二硝基苯肼反应, 生成具有紫外吸收的苯腙类衍生物。

(4) 胺类化合物 胺与酰氯、磺酰氯等反应生成酰胺氨基酸衍生物。

(5) 氨基酸衍生物 在 Na_2CO_3 溶液中, 氨基酸或肽的 α -氨基与异硫氰酸苯酯反应, 生成相应的苯氨基硫代甲酰基氨基酸 (phenylthio carbamyl amino acid 简称 PTC-氨基酸), 它在无水弱酸中环化为乙内酰苯硫脲 (3-phenyl-2-thiohydantion, 称为 PTH-氨基酸)。

二、荧光衍生化^{1)~6)}

荧光检测器的灵敏度比紫外检测器高 3 个数量级, 尤其适合于痕量分析。对痕量高级脂肪酸、氨基酸、生物胺、消体化合物和生物碱等本身不发荧光的样品, 可以通过与荧光试剂进行衍生化反应生成能够产生荧光的衍生化产物, 进一步进行荧光痕量检测。

(一) 常用的荧光衍生化试剂

表 9-9 是一些常用的荧光衍生化试剂。

表 9-9 常用荧光化试剂

名 称	简 称	结 构 式	应 用
1,2-二甲氧基苯-3-磺酸酐	丹磺酰氯 (DNS-Cl)		

续表

名 称	简 称	结 构 式	应 用
1-二甲氨基萘-5-磺酰基	丹磺酰基 (DNS-hydrox-amine)		$\begin{array}{c} \text{R} \\ \diagdown \\ \text{C=O} \\ \diagup \\ \text{R}' \end{array}$ RCHO
4-苯基-7-甲氧基-2-喹啉-1-酮-3,3'-二酮	荧光胺 (fluorescamine)		$\begin{array}{c} \text{RNH}_2 \\ \\ \text{RCHCOOH} \\ \\ \text{NH}_2 \end{array}$
邻苯二甲酰	OPA		$\begin{array}{c} \text{R-CHCOOH} \\ \\ \text{NH}_2 \end{array}$
4-溴甲基-7-甲氧基香豆素	Bz Mmk		ROOOH
3-重氮甲基萘	ADAM		ROOOH
荧光素异硫氰酸酯	FITC		$\begin{array}{c} \text{RNH}_2 \\ \\ \text{RCHCOOH} \\ \\ \text{NH}_2 \end{array}$
N-1-苕基-2-噻唑啉酮-5-羧基-马来酰亚胺	BLPM		RSH
4-氯-7-羟基-2-喹啉-1-酮-3,3'-二酮	NBD-Cl		$\begin{array}{c} \text{RNH}_2 \\ \\ \text{R} \quad \text{NH} \\ \quad \\ \text{R}' \end{array}$
吡哆醛			$\begin{array}{c} \text{RCH-COOH} \\ \\ \text{NH}_2 \end{array}$

(二) 应用

(1) 丹磺酰氯 (DNS-Cl) 是应用最广泛的荧光衍生化试剂。可与氨基酸、伯胺、仲胺快速反应。与酚反应较慢。而与醇反应非常慢。反应在 pH=9.5~10 的水-有机混合物 (如 $\varphi=1:1$ 丙酮-水) 中进行。一般反应需 (20~40) min, DNS 氨基酸的最低检出量为 10^{-16}g 。

(2) 荧光胺 (fluorescamine) 主要用于氨基酸、伯胺的衍生化。反应条件温和, 反应速

度快，在 $\text{pH} = 8 \sim 10$ 的条件下几秒钟可以完成。

(3) 邻苯二甲醛 (OPA) 在碱性介质中，有还原剂存在（如 α -巯基乙醇）下，OPA 与氨基酸、儿茶酚胺和多胺等氨基化合物生成很强的荧光衍生物，由于反应速度快，能用于柱前或柱后衍生化反应，最低检测量 10^{-12}g 。

(4) 吡哆醛 在碱性介质中和氨基酸缩合生成席夫 (Schiff) 碱络合物，后者用硼氢化钠还原成稳定的荧光产物。

三、电化学衍生化^[4]

电化学衍生化法是指样品与某些试剂反应生成具有电化学活性的衍生物，以便于在电化学检测器上有较高的响应。某些带硝基的衍生化试剂可分别与带有羟基、氨基、羧基和羰基的化合物反应生成电化学活性的衍生物。离子强度、 pH 值和溶剂组成等对电化学反应有很大影响。介质的电导是一种重要的影响因素，离子强度高于 $0.05 \text{ mol} \cdot \text{L}^{-1}$ 对安培检测有利， pH 值影响反应的电荷转移。表 9-10 列出了常用的电化学衍生化试剂。

表 9-10 电化学衍生化试剂

试 剂	简 称	反 应 物
	DNBC	$\text{ROH}, \begin{matrix} \text{R}_1 \\ \diagup \\ \text{C} \\ \diagdown \\ \text{R}_2 \end{matrix} \text{H}$
	SNPA	$\begin{matrix} \text{R}_1 \\ \diagup \\ \text{NH} \\ \diagdown \\ \text{R}_2 \end{matrix}$
	INTB	$\begin{matrix} \text{NH}_2 & \text{R}_1 \\ & \diagup \\ \text{RCH}_2\text{COOH} & \text{C} \\ & \diagdown \\ & \text{R}_2 \end{matrix} \text{NO}_2$
	INTS	$\begin{matrix} \text{NH}_2 & \text{R}_1 \\ & \diagup \\ \text{RCH}_2\text{COOH} & \text{C} \\ & \diagdown \\ & \text{R}_2 \end{matrix} \text{NH}_2$
	PNBD	RCOOH
	PNBS	RCOOH
	DNPH	$\text{R}-\text{C}(=\text{O})-\text{R}_2, \text{RCNO}$

四、柱后衍生化技术

柱后衍生化是指样品混合物经过分离随流动相流出色谱柱后，在反应检测器中与衍生化试剂混合并进行衍生化反应，然后再进入检测器的一种特殊的衍生化方法，如图 9-3 所示。表

9-11 列出了柱后衍生化技术的特点。

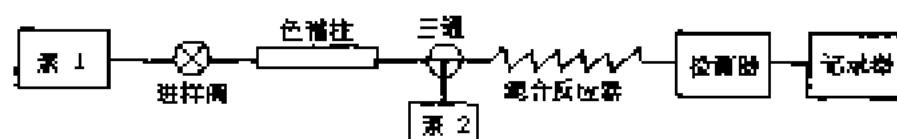


图 9-3 柱后衍生化示意图

表 9-11 柱后衍生化技术的特点

优 点	缺 点
人为因素影响较少，便于实现连续自动化分析	所有峰（除了反应很快的）都发生扩散，灵敏度
只要重现性好，不影响被测物的色谱行为	方法建立和日常应用麻烦
完全反应与否并不重要	流动相和衍生化试剂之间可能不相容
	需考虑动力学因素（反应完全的最长时间为 30 min）
	过量的试剂留在系统内，可能会干扰测定

氨基酸分析仪是柱后衍生化的典型例子。图 9-4 为自动氨基酸分析仪系统。氨基酸混合物通过 Amino×6 离子交换柱（内径 6 mm×250 mm），流动相分别为 pH 值 3、20、4、25 和 6、40 的三种柠檬酸盐缓冲液，被依次切换送入系统。开始用 pH3-20 的柠檬酸盐缓冲液，待谷氨酸洗出后被切换到 pH4、25，苯内氨酸被洗出后再切换到 pH6、40，洗脱液流速 25 ml·h⁻¹。试剂溶液包括：邻苯二甲醛（0.8 g·L⁻¹），乙醇（10 ml·L⁻¹）和 2-巯基乙醇（200 ml·L⁻¹）的 0.1 mol·L⁻¹ 硼酸盐缓冲液（pH10），流速为 30 ml·h⁻¹。洗脱液和试剂溶液在反应管内混合 5 min（室温下），直接进入荧光检测器的微量流动池进行检测。

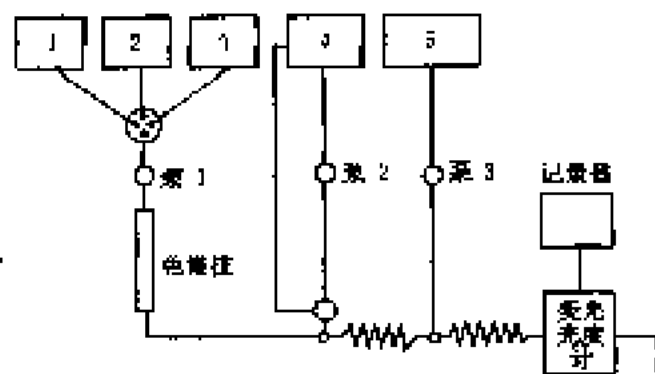


图 9-4 氨基酸分析系统

1—柠檬酸盐缓冲液 0.2 mol·L⁻¹, pH=3-20; 2—柠檬酸盐缓冲液 0.2 mol·L⁻¹, pH=4-25; 3—柠檬酸盐缓冲液 0.2 mol·L⁻¹, pH=6-40; 4—N-取代丁二酰亚胺 10⁻⁴ mol·L⁻¹, pH=2; 5—邻苯二甲醛+2-巯基乙醇, 0.1 mol·L⁻¹ 硼酸盐缓冲液, pH=10

氨基酸混合物经过分离后，依次与邻苯二甲醛在碱性有还原剂（如 2-巯基乙醇）存在条件下（或茚三酮）反应，然后通过荧光法（茚三酮用光度法）进行检测，激发波长 445 nm。

荧光胺与氨基酸的反应极为迅速，试剂的水解产物不发光，所以已被用作氨基酸柱后衍生化试剂，激发波长 390 nm，发射波长 475 nm，检测限约 10⁻¹¹ mol。这种方法要求试剂与反应液混合迅速、均匀，特别是在反应液密度不一致的情况下，对混合器设计的要求较高，且荧光胺只能同伯胺反应。

荧光胺和邻苯二甲醛的共同缺点是其与精氨酸及羟基精氨酸几乎不反应，与半胱氨酸反应的产率也很低。可由 N-取代丁二酰亚胺（pH2.0）或 7-氯-4-硝基苯呋喃（7-Chloro-4-nitro-benzofuran）与之反应，仍通过荧光检测。其他生物胺和多胺也可用此法分析。仲胺的柱后衍生化反应还可利用 NBD-Cl 作衍生化试剂。

五、柱前衍生化技术

柱前衍生化即被测物先经衍生化,然后再通过液相色谱分离、分析。与柱后衍生化相比柱前衍生化受仪器和化学反应的限制较少。如果所有试剂、被测物及衍生化产物均稳定,则衍生化反应不存在动力学时间限制。衍生化反应完成后,可以采用其他样品预处理步骤除去不需要的副产物及样品中的干扰物,也可以改变样品溶剂使之与液相色谱流动相兼容^[7,8]。

柱前衍生化由于没有反应动力学时间限制,因此可以采用特殊的反应装置,在复杂反应条件下从容完成相应的衍生化反应。

样品组分经衍生化反应形成相应的复合物,如采用荧光试剂衍生化可以使不产生荧光的样品产生荧光以提高其检测灵敏度;无机金属离子通过衍生化的方法转化成络盐衍生物等,由于样品与衍生化试剂复合物与原样品组分性质不同,往往更强地显示出衍生化试剂的性质,因此将会使液相色谱分离选择性产生较大变化^[9]。根据分析的需要,任何样品都可以通过抗药衍生化的方法改善其检测灵敏度和选择性。

柱前衍生化的缺点是可能损失被测物,也可能因反应引入另外的杂质,而且衍生化反应需要特殊的装置,增加了方法的复杂性,并导致方法精密度降低。

参 考 文 献

1. Majors R E. LC/GC, 1991, 9(1), 16
2. Snyder L R, Van Der Wal S. Anal Chem, 1981, 53: 877
3. Snyder L R, Kirkland J J, Glasek J J. Practical Hplc Method Development, Second Edition. New York: John Wiley & Sons, Inc., 1977, 169
4. 梁汉培, 甄玉华, 卢佩军. 高效液相色谱法. 北京, 科学出版社, 1988, 268
5. 柯以侃, 董雪丽. 分析化学手册. 第二版. 第三分册. 光谱分析. 北京. 化学工业出版社, 1998
6. 王俊德, 周保华, 邵基强. 高效液相色谱法. 北京, 中国石化出版社, 1993, 202
7. Abuja S. Selectivity And Densitometry Optimization in Hplc. New York: Wiley, 1989
8. Weiner J W. Liquid Chromatography in Pharmaceutical Development. Astor Publishing, Springfield, OR, 1985
9. Scott R P W. Liquid chromatography for the Analyst. New York: Marcel Dekker, Inc, 1991

第二篇 谱图选集

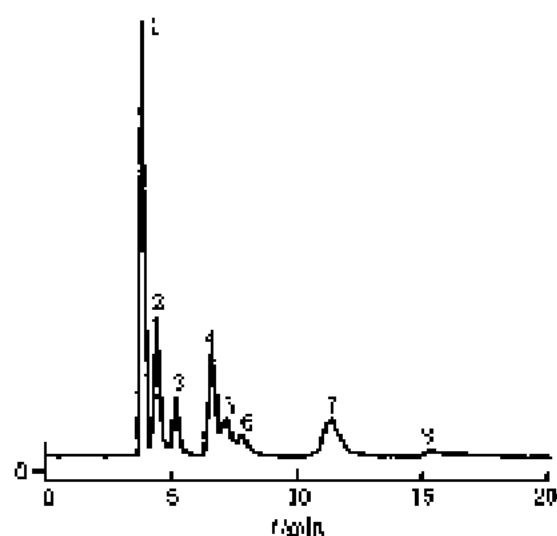
第十章 反相色谱谱图

第一节 糖类色谱图



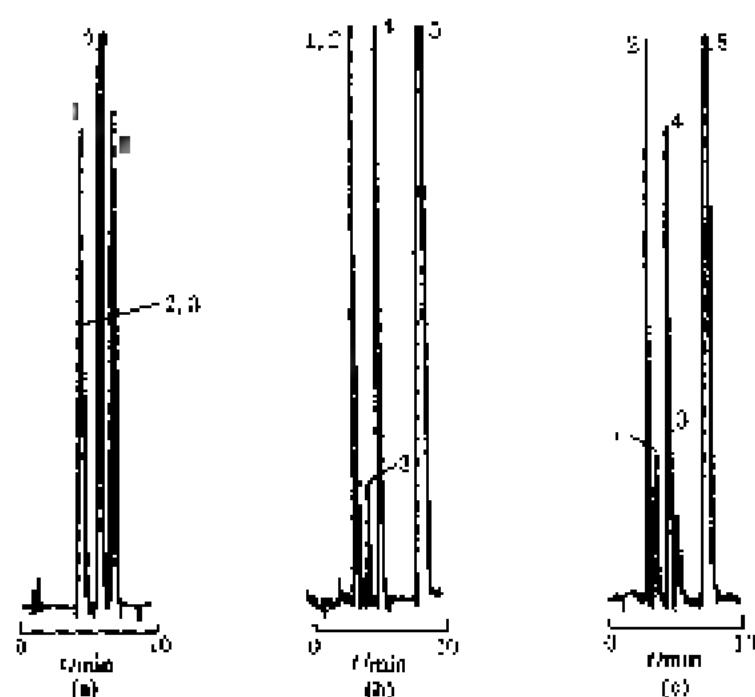
色谱柱: 1—蔗糖; 2—木糖醇; 3—甘露糖醇; 4—蔗糖;
 5—麦芽糖; 6—邻肌醇; 7—海藻糖
 色谱柱: Lichrospher Diol, 250 mm × 4 mm
 流动相: CH_2Cl_2 + 甲醇 (体积比 = 78 : 22)
 流速: $1 \text{ ml} \cdot \text{min}^{-1}$
 柱温: 40°C
 检测器: ELSD

图 10-1 二糖和多羟基化合物的等度分离谱图^[1]



色谱柱: 1—肌醇; 2—甘露糖醇; 3—甘油糖; 4—葡萄糖;
 5—蔗糖; 6—果糖; 7—龙葵糖; 8—葡萄糖
 色谱柱: T22 MPK 系列柱
 流动相: $1.5 \text{ mmol} \cdot \text{L}^{-1} \text{ KOH}$
 流速: $1 \text{ ml} \cdot \text{min}^{-1}$
 检测器: PAC 检测, 柱后加入 $0.5 \text{ mol} \cdot \text{L}^{-1} \text{ NaOH}$,
 (流速 $0.5 \text{ ml} \cdot \text{min}^{-1}$)

图 10-2 8 种碳水化合物分离谱图^[2]

图 10-3 5种戊糖基糖苷分离谱图^[4]

色谱峰：1—1-O-辛基- β -D-半乳糖苷；2—1-O-辛基- α -D-葡萄糖苷；3—1-O-辛基- β -D-甘露苷；4—1-O-辛基- β -D-葡萄糖苷；5—1-O-辛基- β -D-半乳糖苷。

色谱柱：(a) Zorbax ODS, 150 mm \times 4.6 mm (内径)；

(b), (c) Hypersil B₃, 100 mm \times 4.6 mm (内径)。

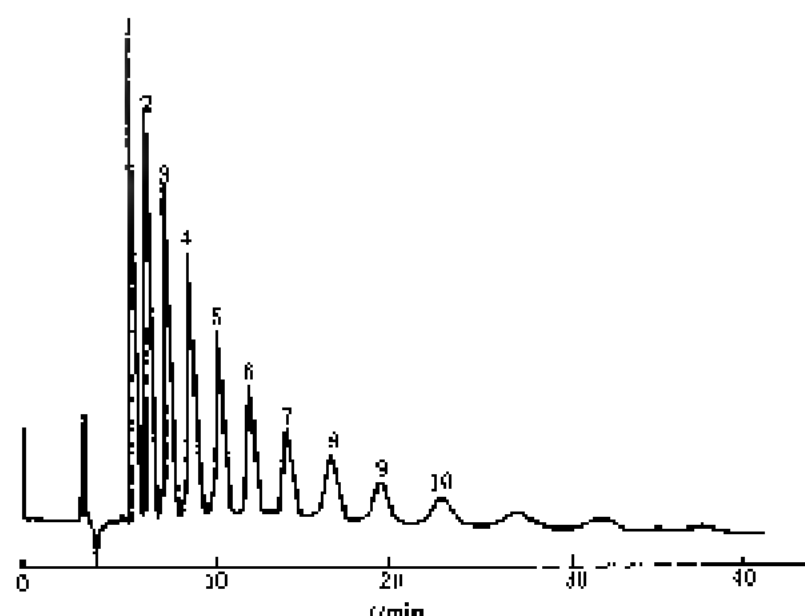
流动相：(a) 乙醇-水 (体积比=55:45)；

(b) 乙醇-水 (体积比=40:60)；

(c) MeOH-水 (体积比=55:45)。

流速：1 ml \cdot min⁻¹。

检测器：蒸发光散射检测器。

图 10-4 多糖分离谱图(一)^[4]

色谱峰：1—DP1；2—DP2；3—DP3；4—DP4；5—DP5；6—DP6；7—DP7；8—DP8；9—DP9；10—DP10。

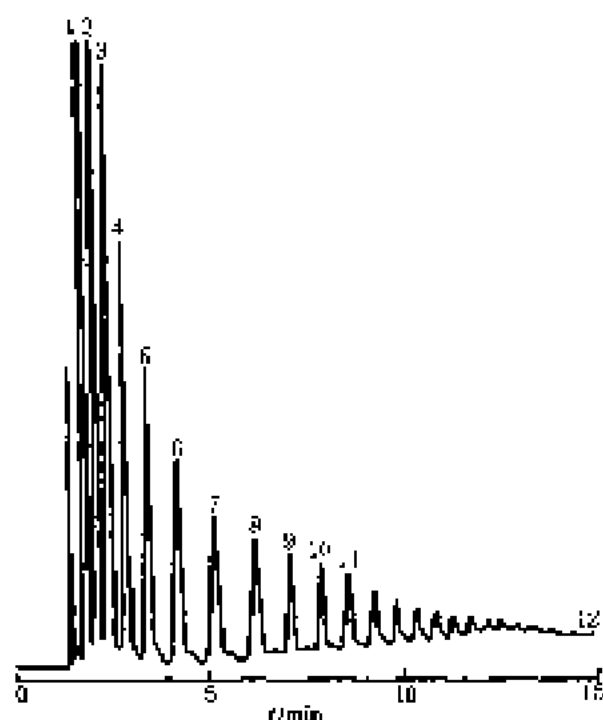
色谱柱：Recon Dynamax 80A NH₂，键合氨基硅，25 cm \times 4.6 mm (内径)，5 μ m。

流动相：乙醇-水 (体积比=50:50)。

流速：0.75 ml \cdot min⁻¹。

温度：室温。

检测器：折光率。

图 10-5 多糖分离谱图 (二)^[4]

色谱峰: 1—DP1, 2—DP2, 3—DP3, 4—DP4, 5—DP5, 6—DP6, 7—DP7, 8—DP8, 9—DP9, 10—DP10, 11—DP11, 12—DP12

色谱柱: 100mm×4mm (内径) 10 μ m 阴离子 Sycron-聚乙炔苯

流动相: A: 0.1 mol \cdot L⁻¹ NaOH

B: 0.15 mol \cdot L⁻¹ NaOH + 0.5 mol \cdot L⁻¹ NaAc

梯度程序: 50%A + 50%B, 1 min; 50%A + 50%B 升至 100%B, 5 min 内

流速: 1.0 ml \cdot min⁻¹

温度: 室温

检测器: 脉冲安培金电极

图 10-6 多糖类化合物分离谱图 (一)^[4]

色谱峰: 1—DP1, 2—DP2, 3—DP3, 4—DP4, 5—DP5, 6—DP6, 7—DP7, 8—DP8, 9—DP9, 10—DP10

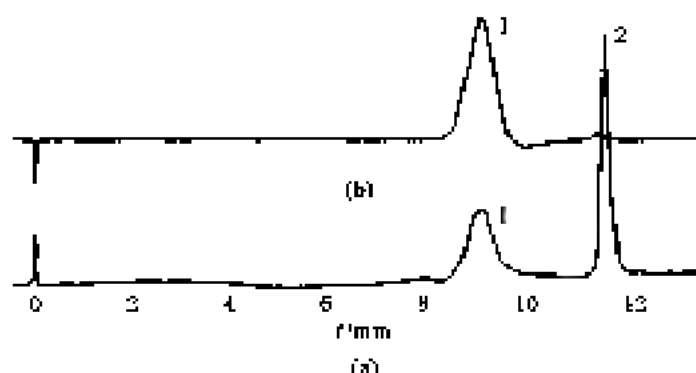
色谱柱: Du Pont Zorbax-NH₂ 键合硅胶柱, 25 cm×4.6 mm (内径), 5 μ m

流动相: 乙醇+水 (体积比=89:11)

流速: 1.0 ml \cdot min⁻¹

温度: 55°C

检测器: 折射率

图 10-7 多糖类化合物分离谱图 (一)^[5]

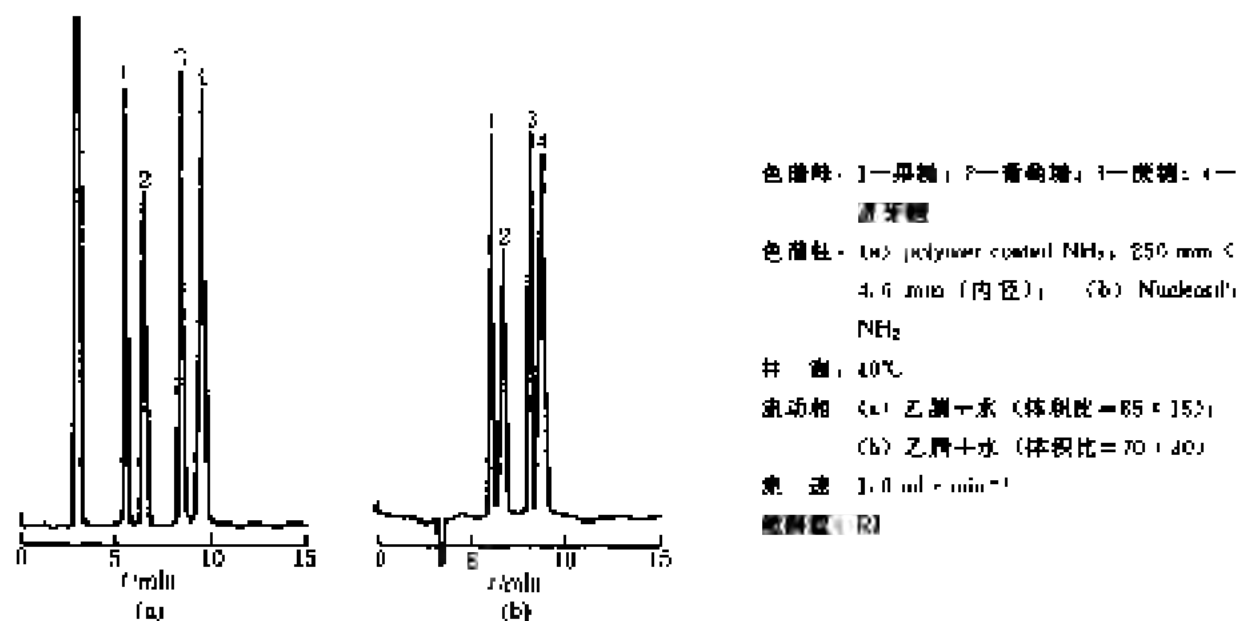
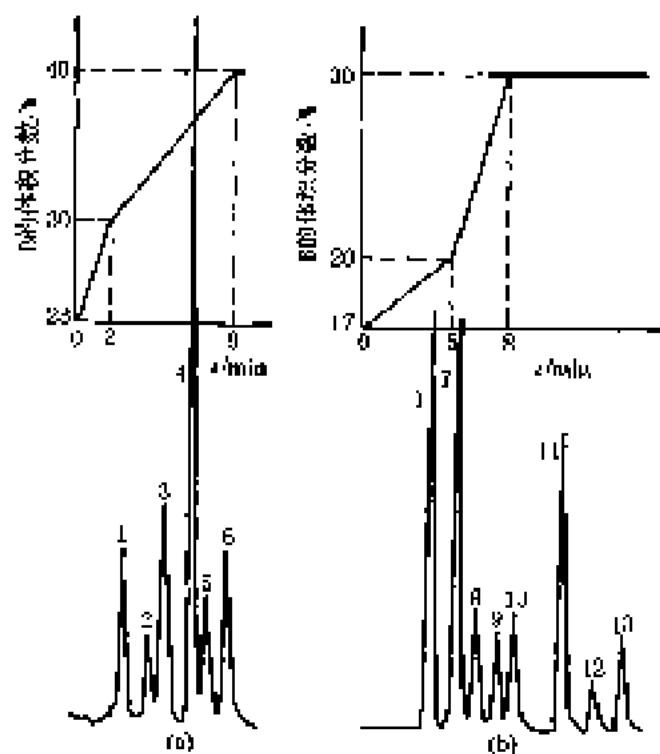
色谱峰: 1—Rheomacrodex (相对分子量 40 000), 2—葡萄糖

色谱柱: 阿根柱 Du Pont Zorbax Bio-Rad Ki 未键合硅胶, 25 cm×6.2 mm (内径), 6 μ m

流动相: 0.5 g \cdot L⁻¹ NaCl 水溶液梯度冲洗

流速: 50 ml \cdot min⁻¹

检测器: (a) UV (205 nm); (b) 折射率

图 10-8 单、双糖分离谱图^[7]图 10-9 单糖、二糖和三糖的梯度分离谱图^[1]

色谱峰: 1—蔗糖 (aR); 2—木糖 (X); 3—半乳糖 (Ga); 4—乳糖 (L); 5—半乳糖 (ml); 6—
乳糖 (Rh); 7—果糖 (F); 8—甘露糖 (Ma); 9—葡萄糖 (G); 10—葡萄糖 (G); 11—蔗糖 (S); 12—
蔗糖 (Me); 13—蔗糖 (R)

色谱柱: LK hrophen Chol, 250 mm \times 4 mm

流动相: CH_2Cl_2 和甲醇 (B) 混合物

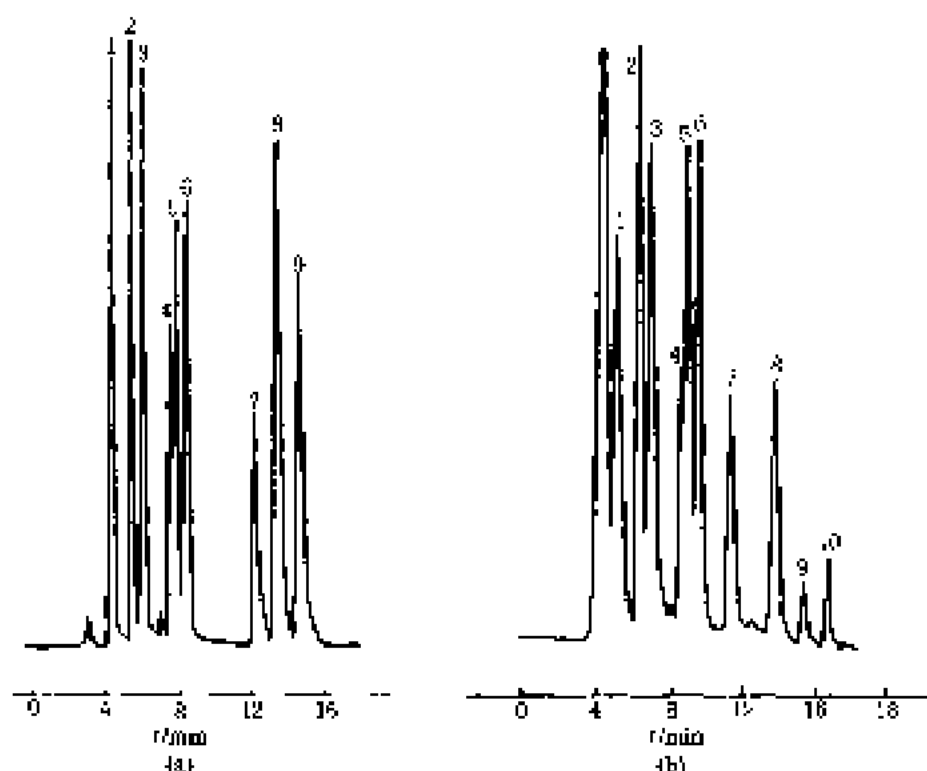
梯度冲洗: (a) 0~2 min 23%B 变至 30%B, 2~9 min 40%B 变至 40%B, 9 min 以后保持 40%B;

(b) 0~5 min 17%B 变至 20%B, 5~8 min 20%B 变至 30%B, 9 min 以后保持 30%B

流速: 1 ml \cdot min $^{-1}$

柱温: 40°C

检测器: ELSD

图 10-10 单糖的反相 HPLC 分离谱图^[4]

(a) 标准甲基苷谱图; (b) 糖甲醇分解中的甲基苷谱图

色谱峰: 1—内消旋肌醇; 2—甲基- α -D-半乳糖吡喃糖苷; 3—甲基- α -D-乳糖吡喃糖苷; 4—甲基- β -D-阿拉伯吡喃糖苷; 5—甲基- α -D-甘露糖吡喃糖苷; 6—甲基-D-赤糖; 7—甲基- α -D-N-乙酰基吡喃葡萄糖苷; 8—甲基- α -D-岩D-半乳糖; 9—D-乳糖; 10—D-木糖; 11—D-甘露糖; 12—D-蔗糖; 13—乙醇基-D-半乳糖; 14—N-乙醇基-D-半乳糖; 15—L-岩藻糖; 16—果糖

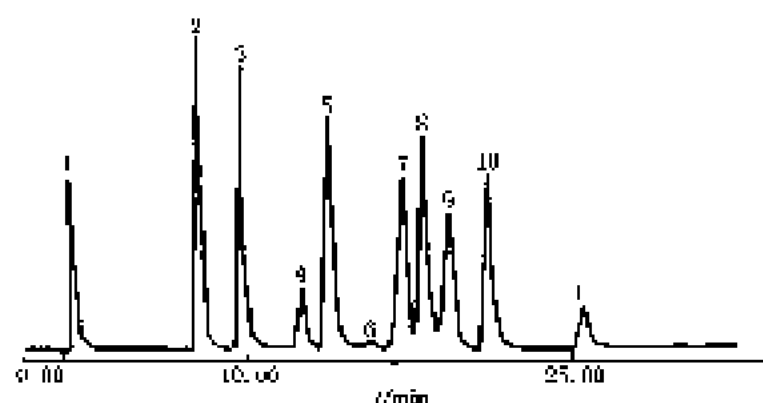
色谱柱: Sephemorb ODS-2 (C₁₈)

Société Française de Colonnes Chromatographiques—SFCCL, 25.0 cm/4.1 mm (内径), 5 μ m

流动相: 甲醇+水 (体积比=1:97)

流速: 0.5 ml \cdot min⁻¹ 温度: 45°C

检测器: 光散射

图 10-11 单糖的 (PMP 衍生化) 分离谱图^[7]

色谱峰: 1—杂质; 2—甘露糖; 3—葡萄糖; 4—N-乙酰基吡喃-乳糖; 5—半乳糖; 6—2-氨基葡萄糖; 7—N-乙酰基葡萄糖; 8— β -乳糖; 9—葡萄糖; 10—半乳糖; 11—果糖

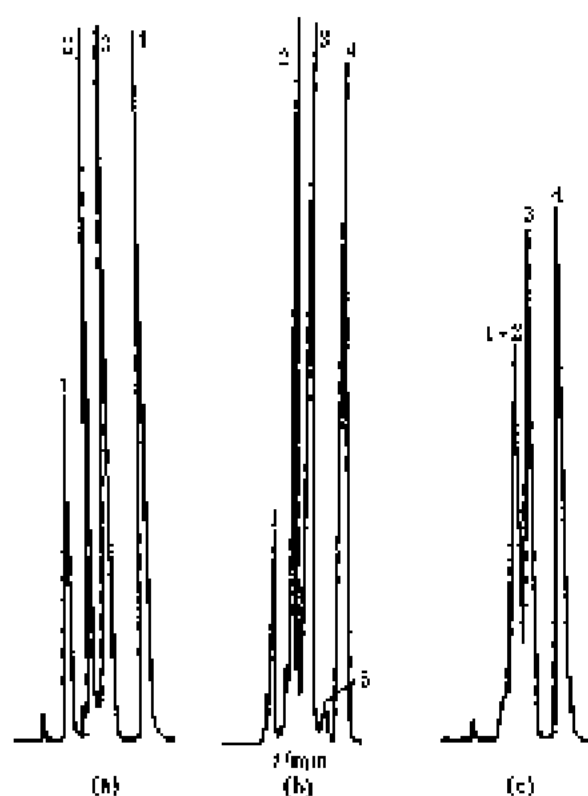
色谱柱: ϕ 4.6 mm \times 250 mm, Inertsil ODS

柱温: 室温

流速: 1 ml \cdot min⁻¹

流动相: 梯度冲洗 15%~25% 乙醇 55 min

检测器: UV (254 nm)



色谱峰: 1—脱氧核糖; 2—鼠李糖; 3—果糖; 4—甘露糖;
5—葡萄糖

色谱柱: Lichrospher B801, 250 mm×4 mm

流动相: CH_2Cl_2 + 甲醇 (体积比=85:15)

流速: 1 ml·min⁻¹

柱温: 40℃

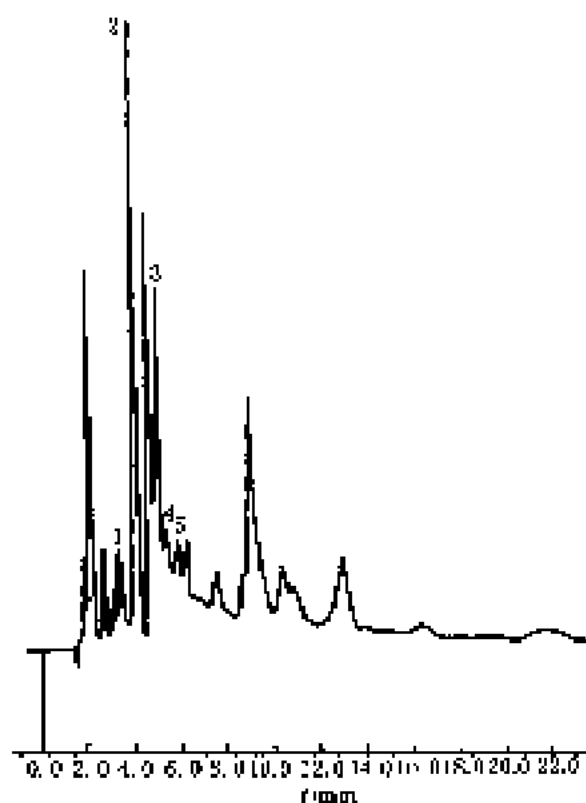
进样溶剂: (a) 甲醇+ CH_2Cl_2 (体积比=50:50);

(b) 甲醇+水 (体积比=85:15);

(c) 甲醇+水 (体积比=50:50)

检测器: ELSD

图 10-12 单糖的厚度分离谱图^[10]



样 品: 50 mg 咖啡粉溶于 10 ml 蒸馏水中, 然后过滤, 最后 1:20 稀释

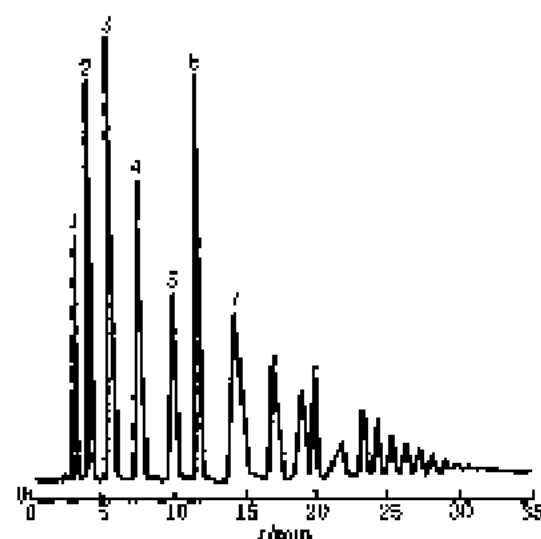
色谱峰: 1—甘露糖; 2—阿拉伯糖; 3—葡萄糖+半乳糖; 4—
甘露糖; 5—乳酸;

色谱柱: Carbopec P41

使用电压: 0.550V, Ag/AgCl

检测器: 电化学

图 10-13 咖啡溶液谱图^[10]



色谱峰: 1—蔗糖, 2—甘露糖醇, 3—甘油醇, 4—葡萄糖, 5—
蔗糖, 6—果糖, 7—麦芽糖

色谱柱: $246\text{ m}^2 \cdot \text{g}^{-1}$ SMP D&W

流动相: NaOH

梯度洗脱: 0 min, $10\text{ mmol} \cdot \text{L}^{-1}$ KOH + $10\text{ mmol} \cdot \text{L}^{-1}$
 LiClO_4 ; (1~15) min, $0 \sim 0.5\text{ mmol} \cdot \text{L}^{-1}$ LiOH +
 $10\text{ mmol} \cdot \text{L}^{-1}$ LiOH; (15~50) min, (0.3~
6.75) $\text{mmol} \cdot \text{L}^{-1}$ $[\text{LiNO}_3 + 10\text{ mmol} \cdot \text{L}^{-1}$ LiOH

流速: $1.0\text{ mL} \cdot \text{min}^{-1}$

检测器: DAD检测, 柱后以 $0.5\text{ mL} \cdot \text{min}^{-1}$ 加入 $0.2\text{ mol} \cdot$
 L^{-1} NaOH

图 10-14 直链淀粉标准糖分离谱图^[10]

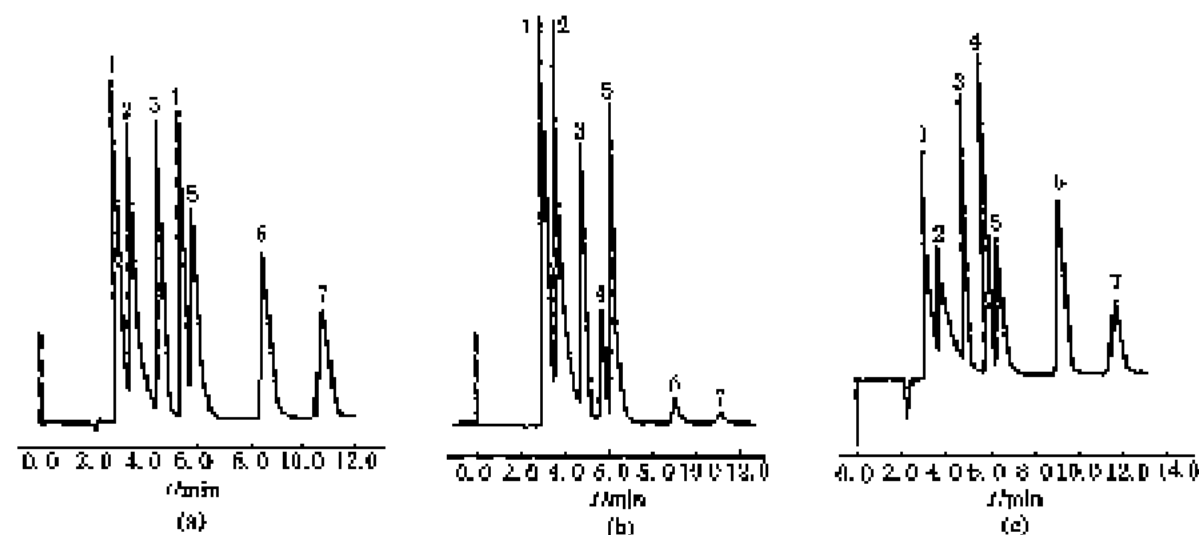


图 10-15 标准碳水化合物混合物谱图^[10]

色谱峰: 1—木糖醇, 2—山梨醇, 3—阿拉伯糖, 4—葡萄糖, 5—果糖, 6—乳糖, 7—蔗糖

(a) 色谱柱: Dionex Carbopac PA1, $250\text{ mm} \times 4\text{ mm}$ (内径)

流速: $0.6\text{ mL} \cdot \text{min}^{-1}$

电位: 0.550 V , Ag/AgCl

(b) 电位: 0.350 V

色谱柱: Dionex Carbopac PA1, $250\text{ mm} \times 4\text{ mm}$ (内径)

流动相: $0.2\text{ mol} \cdot \text{L}^{-1}$ NaOH (等度冲洗)

流速: $0.6\text{ mL} \cdot \text{min}^{-1}$

电位: 0.550 V , Ag/AgCl

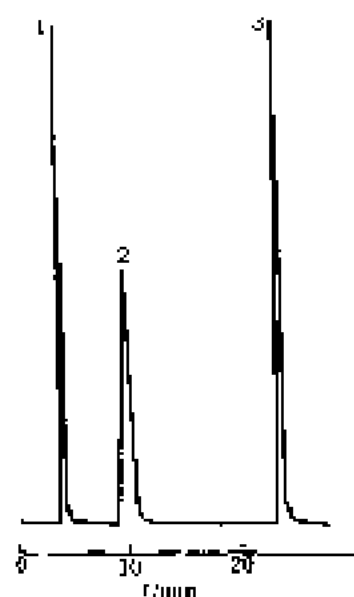
(c) 脉冲检测模式: $E_{L1} = 0.300\text{ V}$; $E_{L2} = 0.4\text{ V}$; $E_{L3} = 0.650\text{ V}$; $E_{L4} = 0.2\text{ V}$; $E_{M1} = 0.200\text{ V}$; $E_{M2} = 0.2\text{ V}$

色谱柱: Dionex Carbopac PA1, $250\text{ mm} \times 4\text{ mm}$ (内径)

流动相: $0.2\text{ mol} \cdot \text{L}^{-1}$ NaOH (等度冲洗)

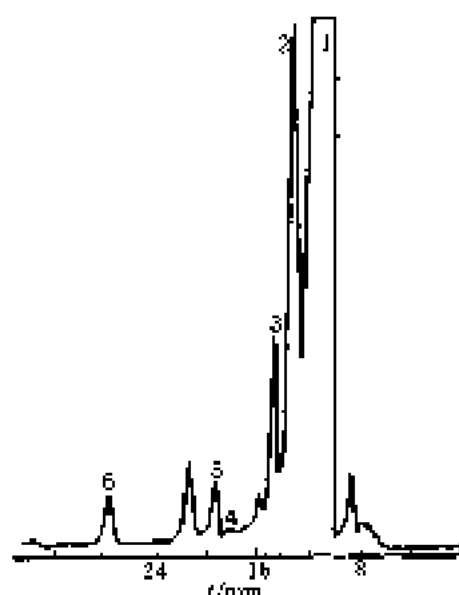
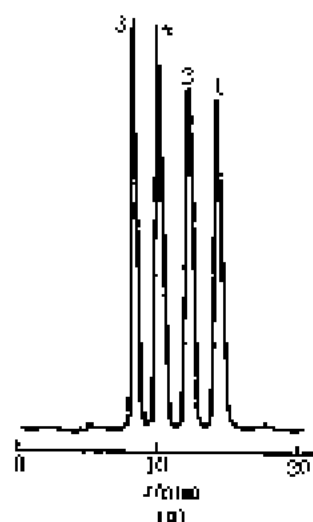
流速: $0.6\text{ mL} \cdot \text{min}^{-1}$

电位: 0.550 V , Ag/AgCl

图 10-16 梯度冲洗条件下 3 种脱氧糖苷谱图^[1]

色谱峰: 1— β -D-辛基- β -D-吡喃葡萄糖苷; 2— β -D-癸基- β -D-吡喃葡萄糖苷; 3— β -D-癸基- β -D-麦芽糖苷
 色谱柱: Hypercarb S, 100 mm \times 4.6 mm (内径)
 流动相: A 甲醇; B 乙腈+水 (体积比=70:30)
 梯度冲洗: A 冲洗 10 min, 然后冲洗到 B10 min, 最后保持 B 不变。

流速: 1 ml \cdot min⁻¹ 蒸发
 检测器: 激光光散射检测器

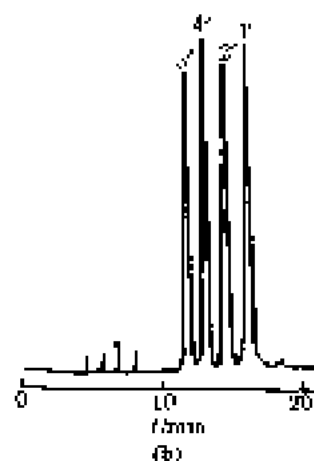
图 10-17 葡萄糖降解产物谱图^[2]

色谱峰: 1—葡萄糖; 2—果糖糖; 3—甘露糖; 4—二羟基丙酮; 5—1, 6 脱水 β -吡喃葡萄糖; 6—羟甲基糖醛
 色谱柱: HPS2 (CBo-Rad), 300 mm \times 7.8 mm (内径)
 流动相: 水, 柱后加 0.1 mol \cdot L⁻¹ NaOH (0.6 ml \cdot min⁻¹)

流速: 0.6 ml \cdot min⁻¹

柱温: 95 $^{\circ}$ C

检测器: 安捷检测 300 mV vs. Ag/AgCl⁺KCl 3 mol \cdot L⁻¹

图 10-18 葡萄糖衍生物谱图^[3]

色谱峰: 1—顺(1S,2R)2,3,4,6-四对乙酰- β -D-吡喃葡萄糖衍生物; 2—顺(1R,2S)2,3,4,6-四对乙酰- β -D-吡喃葡萄糖衍生物; 3—反(1S,2S)2,3,4,6-四对乙酰- β -D-吡喃葡萄糖衍生物; 4—反(1R,2R)2,3,4,6-四对乙酰- β -D-吡喃葡萄糖衍生物

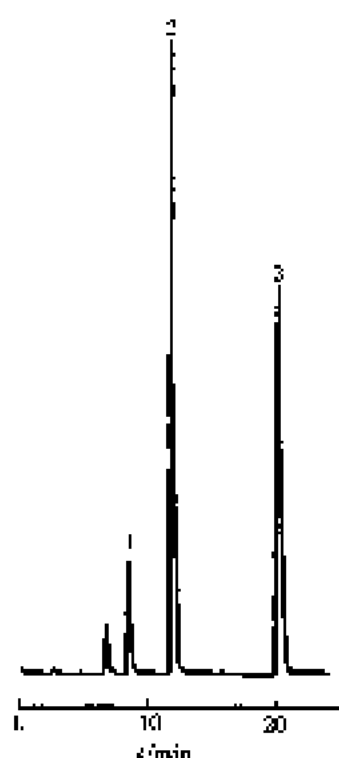
色谱柱: Vydac 218 TP54C₁₈, 250 mm \times 4.6 mm, 5 μ m

柱温: 室温

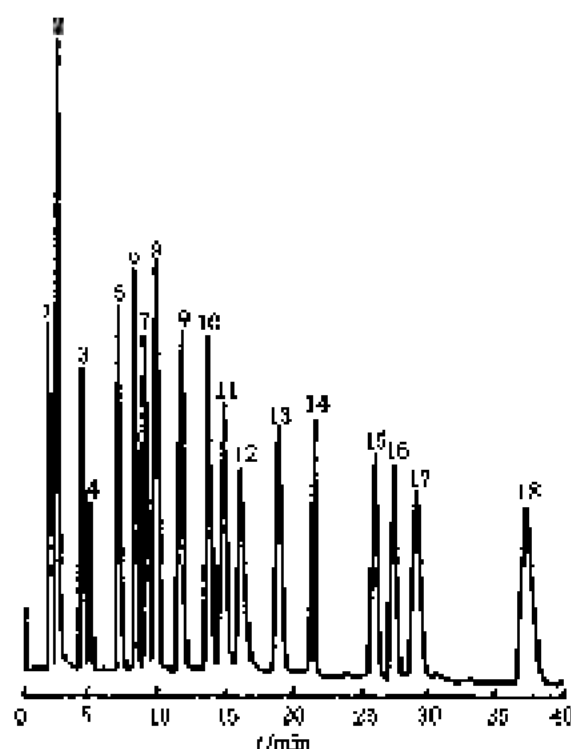
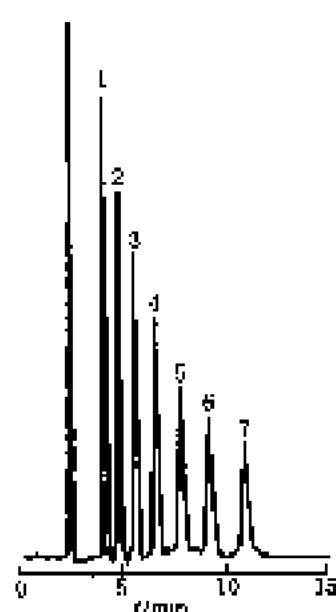
流动相: (a) 0.1% TFA + 甲醇 (体积比=50:50); (b) 0.01 mol \cdot L⁻¹ 乙酸酐+乙醇 (体积比=70:30)

流速: 0.8 ml \cdot min⁻¹

检测器: 二极管阵列检测

图 10-19 葡萄糖及其内酯谱图^[11]

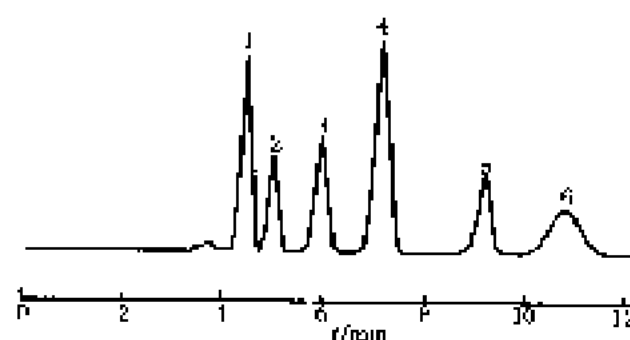
色谱峰 1—内标；2—葡萄糖；3—葡萄糖内酯
 色谱柱: Cosmosil 5C₁₈, 150 mm×6 mm (内径)
 流动相: 40 mmol·L⁻¹磷酸盐缓冲液 (pH7.0) + 乙腈-水
 (体积比=82:18)
 流速: 1 ml·min⁻¹
 柱温: 室温
 检测器: UV (245 nm)

图 10-21 碳水化合物分离谱图 (一)^[12]图 10-20 寡糖分离谱图^[12]

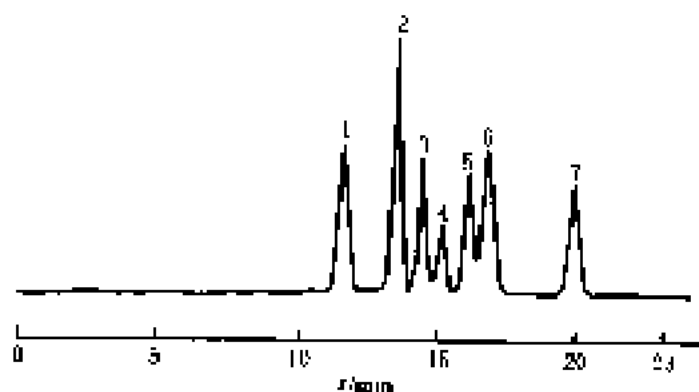
色谱峰: 1—葡萄糖, 2—麦芽糖, 3—麦芽三糖, 4—麦芽四糖;
 5—麦芽五糖; 6—麦芽六糖; 7—麦芽七糖
 色谱柱: polymercoated NH₂, 250 mm×4.6 mm (内径)
 柱温: 40°C
 流动相: 乙醇+水 (体积比=65:35)
 流速: 1.0 ml·min⁻¹
 检测器: RI

色谱峰: 1—果糖, 2—山梨醇, 3—岩藻糖, 4—脱氧核糖, 5—
 脱氧葡萄糖, 6—阿拉伯糖, 7—鼠李糖, 8—半乳糖,
 9—葡萄糖, 10—木糖, 11—甘露糖, 12—果糖, 13—
 蔗糖, 14—异麦芽糖, 15—龙胆二糖, 16—纤维
 素二糖, 17—土苏糖, 18—麦芽糖

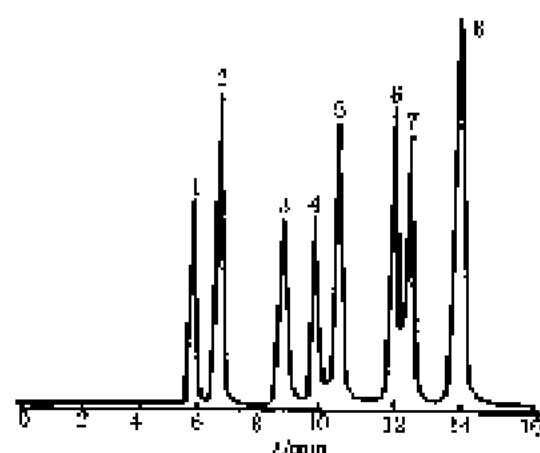
色谱柱: HPLC-A56A 阴离子, styrene-二乙烯基苯, 25 cm×
 4 mm (内径), 5 μm
 流动相: A 水; B 48 mmol·L⁻¹ NaOH + 1.5 mmol·L⁻¹
 乙腈
 梯度洗脱: 5%B→6%B (5 min) →100%B (10 min)
 流速: 0.8 ml·min⁻¹
 温度: 室温
 检测器: 脉冲安培金电极, 后注加 0.1 mol·L⁻¹ NaOH



色谱峰: 1—麦芽三糖, 2—蔗糖, 3—葡萄糖, 4—果糖, 5—甘露糖, 6—核糖
色谱柱: 多孔 L.A. 磺化聚合 styrene (钙型), 22 cm \times 4.6 mm (内径), 10 μ m
流动相: 水
流速: 0.3 ml \cdot min⁻¹
温度: 30°C
检测器: 折光

图 10-22 碳水化合物分离谱图 (一)^[14]

色谱峰: 1—纤维二糖, 2—葡萄糖, 3—木糖, 4—半乳糖, 5—阿拉伯糖, 6—甘露糖, 7—赤藓糖
色谱柱: 多孔 PH, 磺化聚合 styrene, 25 cm \times 4.6 mm (内径), 10 μ m
流动相: 水
流速: 0.3 ml \cdot min⁻¹
温度: 85°C
检测器: 折光

图 10-23 碳水化合物分离谱图 (二)^[14]图 10-24 碳水化合物分离谱图 (四)^[15]

色谱峰: 1—木糖, 2—果糖, 3—葡萄糖, 4—蔗糖, 5—麦芽糖, 6—乳糖, 7—松三糖, 8—棉子糖

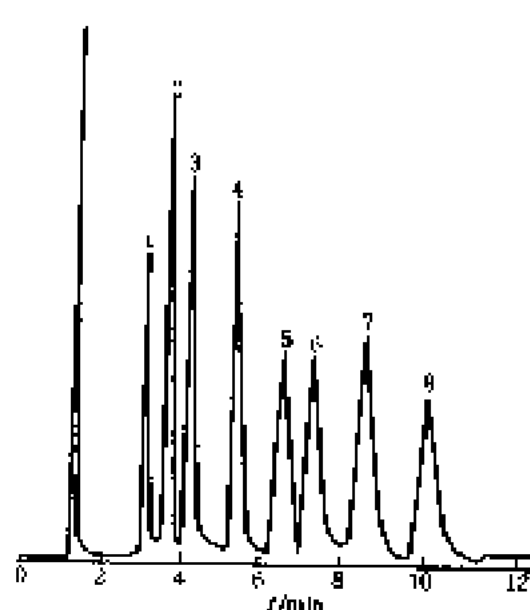
色谱柱: Alltech GooCH, 键合氨基硅, 30 cm \times 4.1 mm (内径), 10 μ m

流动相: 乙醇+水 (体积比=85:15)

流速: 2.5 ml \cdot min⁻¹

温度: 35°C

检测器: 折光

图 10-25 碳水化合物分离谱图 (五)^[15]

色谱峰: 1—麦芽三糖, 2—蔗糖, 3—葡萄糖, 4—半乳糖, 5—果糖, 6—甘露糖, 7—Arabinol, 8—山梨醇

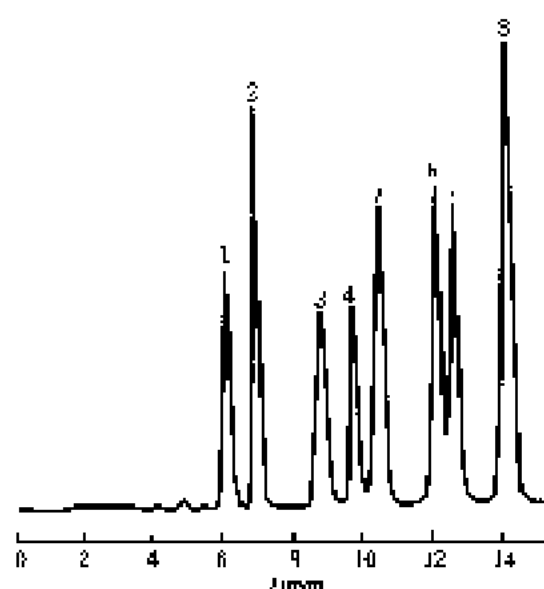
色谱柱: Alltech 700CH 磺化 styrene, 50 cm \times 6.5 mm (内径), 10 μ m (钙型)

流动相: 水

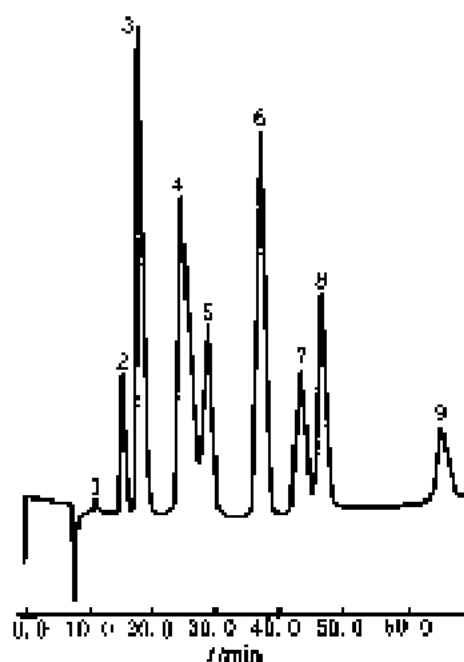
流速: 0.5 ml \cdot min⁻¹

温度: 50°C

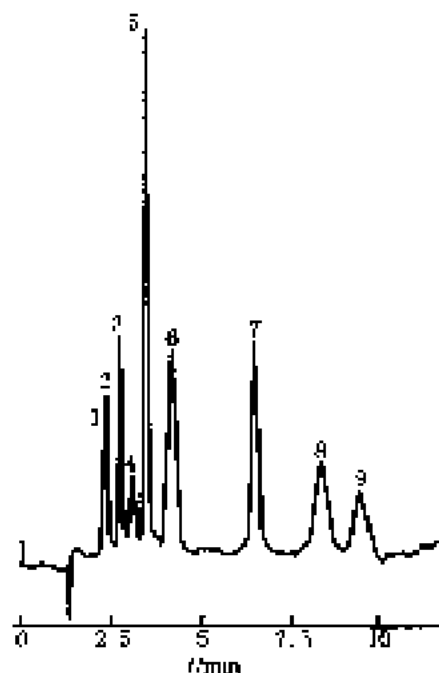
检测器: 折光

图 10-26 碳水化合物分离谱图 (六)^[14]

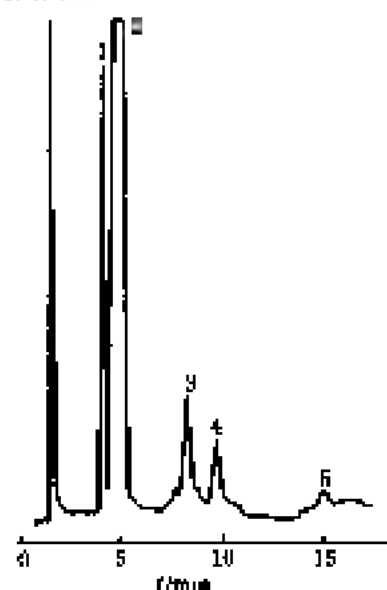
色谱峰: 1—麦芽三糖; 2—蔗糖; 3—葡萄糖; 4—半乳糖;
5—果糖; 6—甘露糖醇; 7—阿拉伯糖; 8—山梨醇;
色谱柱: 相互作用 IC-6080, 键合离子交换聚合物,
20 cm × 6.5 mm (内径), 10 μm
流动相: 水
流速: 0.5 ml · min⁻¹
温度: 90℃
检测器: 折光率

图 10-28 碳水化合物和氨基酸标准件谱图^[14]

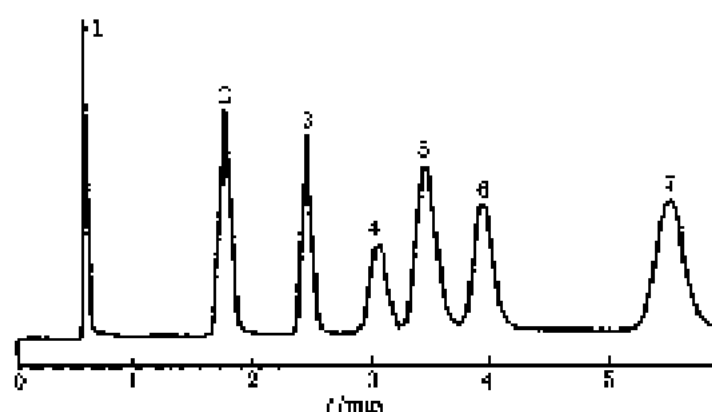
色谱峰: 1—1.0 mmol · L⁻¹ 甘氨酸; 2—1.0 mmol · L⁻¹ 赖氨酸;
3—0.2 mmol · L⁻¹ 木糖醇; 4—0.2 mmol · L⁻¹ 山梨醇;
5—0.2 mmol · L⁻¹ 甘露醇; 6—0.2 mmol · L⁻¹ 葡萄糖;
7—0.2 mmol · L⁻¹ 果糖; 8—0.2 mmol · L⁻¹ 蔗糖; 9—1.0 mmol · L⁻¹ 葡萄糖
色谱柱: Dionex Carbopac MA1, 350 mm × 4 mm (内径)
流动相: 0.4 mol · L⁻¹ NaOH
流速: 0.5 ml · min⁻¹
检测器: 电化学

图 10-27 碳水化合物分离谱图 (七)^[14]

色谱峰: 1—果糖; 2—蔗糖; 3—木糖; 4—阿拉伯糖; 5—
果糖; 6—葡萄糖; 7—蔗糖; 8—麦芽糖; 9—乳糖
色谱柱: Hyperul A(μ-2 (Unimpack)) 键合氨基硅, 10.0 cm
× 2.0 mm (内径), 5 μm
流动相: 乙醇 + 水 (体积比 = 80 : 20)
流速: 1.5 ml · min⁻¹
温度: 室温
检测器: 折光率 (4X)

图 10-29 酶催化处理玉米淀粉
残余糖谱图 (一)^[27]

色谱峰: 1—果糖; 2—右旋糖; 3—麦芽糖; 4—异麦芽糖;
5—麦芽三糖
色谱柱: Du Pont Zorbax NT1, 键合氨基硅, 25 cm × 4.6 mm
(内径), 5 μm
流动相: 乙醇 + 水 (体积比 = 76 : 24)
流速: 0.25 ml · min⁻¹
柱温: 25℃
检测器: 折光率

图 10-30 酶催化处理玉米淀粉残余糖液色谱图^[13]

色谱峰：1—水；2—葡萄糖；3—蔗糖；4—麦芽糖；5—乳糖；6—蜜二糖；7—麦芽三糖

色谱柱：Sphero- β 糖 (Applied Bioscience) 键合剂基柱，10 mm \times 4.6 mm (内径)，5 μ m

流动相：乙醇+水 (体积比=75:25)

流速：2.0 ml \cdot min⁻¹

温度：34℃

检测器：折光率

图 10-31 糖和糖苷同时分离色谱图^[14]

色谱峰：1—D-葡萄糖；2—麦芽糖；3—2,1- α -果糖- β -D-吡喃葡萄糖苷；4—3,1- α -果糖- β -D-吡喃葡萄糖苷

色谱柱：Hypercarb S, 100 mm \times 4.6 mm (内径)

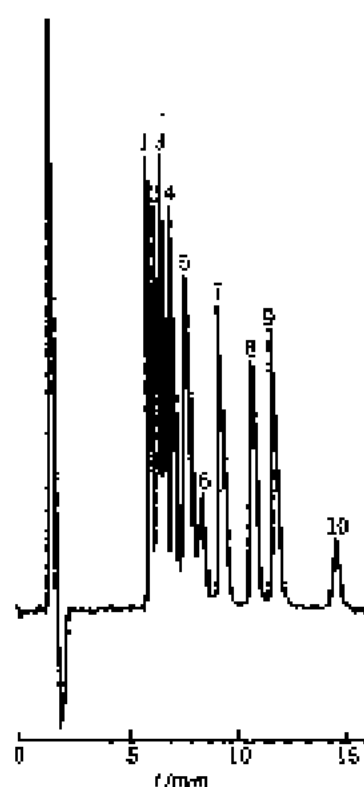
流动相：水+乙醇

梯度冲洗：水冲洗 4 min，然后水+乙醇 (体积比=50:50)

冲洗 11 min，最后保持它成为冲洗

流速：1 ml \cdot min⁻¹

检测器：蒸发光散射检测器

图 10-32 糖分离谱图^[14]

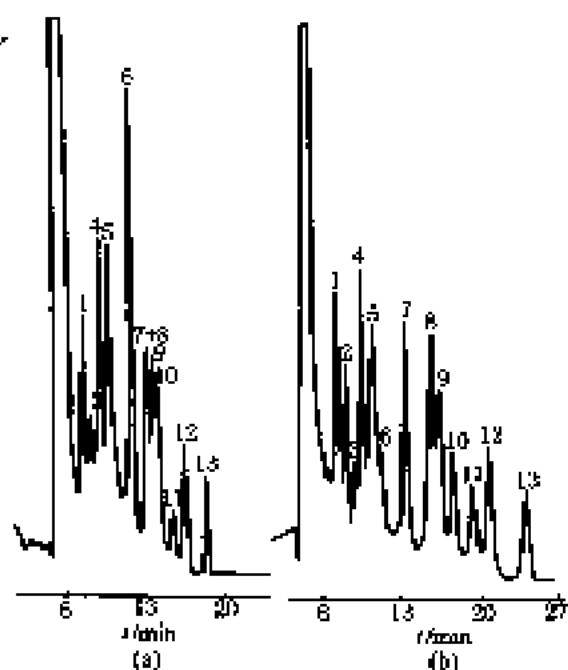
色谱峰：1—N-乙酰半乳糖；2—N-乙酰葡萄糖；3—甘露糖；

4—半乳糖；5—葡萄糖；6—山梨糖；7—果糖；8—核糖；9—木糖；10—岩藻糖

色谱柱：Cosmosil C₁₈, 150 mm \times 4.6 mm (内径)，5 μ m

流动相：30% (体积分数) 乙醇水溶液

检测器：蒸发光散射



色谱峰: 1—果糖; 2+3—木糖+葡萄糖; 4—果糖; 5—葡萄糖; 6—蔗糖; 7+8—纤维二糖+半乳糖; 9—海藻糖; 10—乳糖; 11—蜜二糖; 12—松三糖; 13—棉籽糖

色谱柱: (a) Shim-Pack CLC-NH₂ 柱, 150 mm×6 mm (内径); (b) Liqonacarb-NH₂, 250 mm×5 mm (内径)

流动相: 乙醇+H₂O (体积比=75:25)

检测器: 蒸发光散射检测

图 10-33 糖的标准溶液谱图^[12]

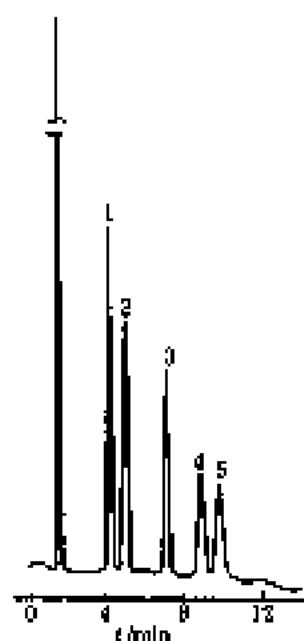


图 10-34 糖类化合物分离谱图^[32]

色谱峰: 1—果糖; 2—葡萄糖; 3—蔗糖; 4—麦芽糖; 5—乳糖

色谱柱: Supelco/LC-NH₂ 键合氨基柱, 25 cm×4.6 mm (内径), 5 μm

流动相: 乙醇+水 (体积比=75:25)

流速: 3 ml·min⁻¹

检测器: 折射率

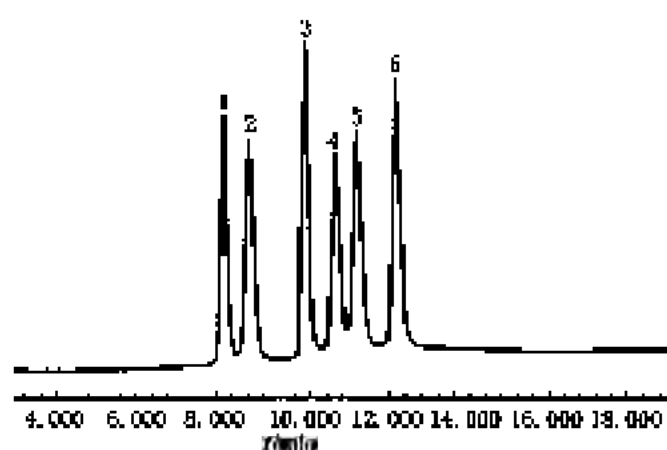


图 10-35 糖混合物分离谱图^[31]

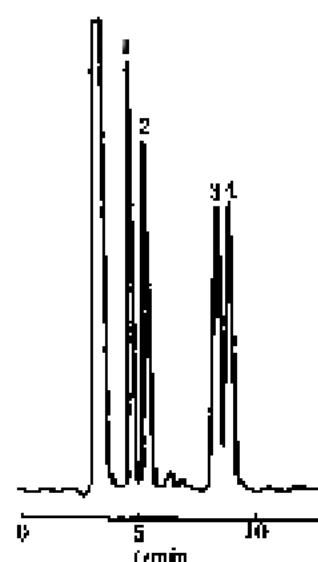
色谱峰: 1—果糖; 2—葡萄糖; 3—蔗糖; 4—麦芽糖; 5—乳糖; 6—棉籽糖

色谱柱: DuPont PRO-10 RP-18, 0.46 cm×25 cm, 10 μm

流动相: A 乙醇-B 水

梯度冲洗: 15%B $\xrightarrow{10 \text{ min 以上}}$ 40%B

检测器: 激光光散射检测



色谱峰: 1—甘油; 2—季戊四醇; 3—山梨醇; 4—甘露糖醇

色谱柱: polymer-coated NH_2 , 250 mm \times 4.0 mm (内径)

柱温: 40°C

流动相: 乙醇+水 (体积比=85:15)

流速: 1.0 ml \cdot min $^{-1}$

检测器: RI

图 10-36 糖醇谱图^[27]

第二节 氨基酸类色谱图

色谱峰:

1—精氨酸; 2—赖氨酸; 3—谷氨酰胺; 4—天冬酰胺; 5—苏氨酸; 6—丙氨酸; 7—甘氨酸; 8—丝氨酸; 9—缬氨酸; 10—脯氨酸; 11—异亮氨酸; 12—亮氨酸; 13—蛋氨酸; 14—组氨酸; 15—苯丙氨酸; 16—谷氨酸; 17—天冬氨酸; 18—半胱氨酸; 19—酪氨酸; 20—单氨酸

色谱柱: A—8阴离子交换柱 AG-6 作为保护柱

流速: 1.0 ml \cdot min $^{-1}$

流动相: A. 0.56 mol \cdot L $^{-1}$ NaOH+0.54 mol \cdot L $^{-1}$ $\text{H}_2\text{B}_4\text{O}_7$

B. 0.23 mol \cdot L $^{-1}$ NaOH+0.005 mol \cdot L $^{-1}$ $\text{N}_2\text{B}_4\text{O}_7$

C. 0.08 mol \cdot L $^{-1}$ NaOH+0.08 mol \cdot L $^{-1}$ $\text{N}_2\text{B}_4\text{O}_7$ +2%甲醇

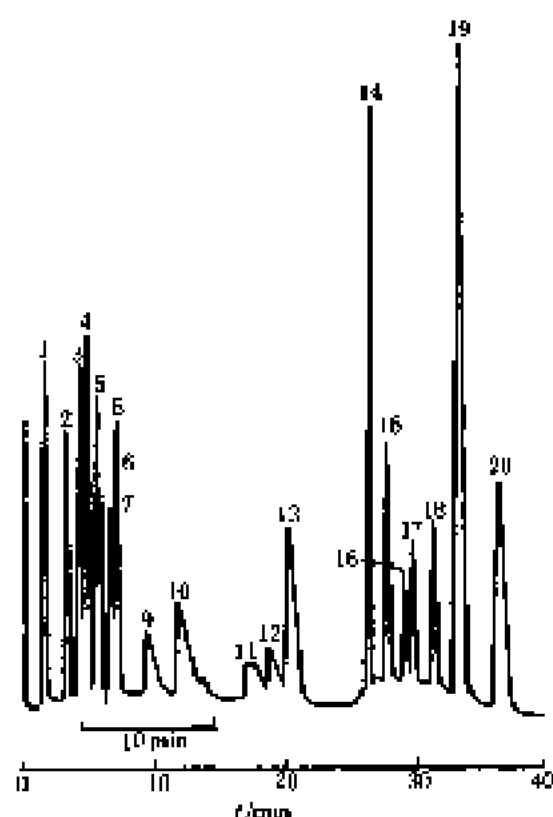
D. 0.4 mol \cdot L $^{-1}$ NaOAc+0.001 mol \cdot L $^{-1}$ NaOH+2%甲醇

梯度冲洗:

时间/min	各溶剂比例/%			
A	B	C	D	
0-0	100			
4-0	100			
4-1	100			
13-9	100			
14		100		
25.8(注样)		100		
28.0		100		
40-0		100		
46-1		80	10	
56-0				100

检测器: 电化学

图 10-37 20种氨基酸 LC/PS-PCD 谱图^[28]



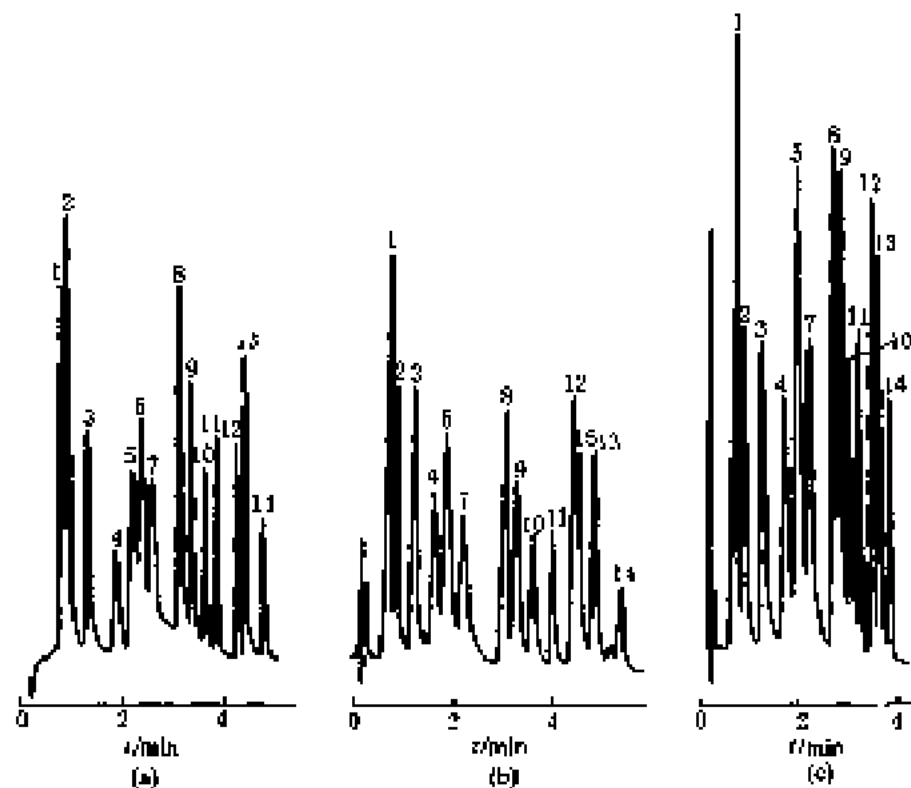


图 10-38 19 种氨基酸分离色谱图 (—) $^{100\text{nm}}$ 。

色谱峰: 1—氨基丙氨酸; 2—谷氨酸; 3—天冬氨酸; 4—丝氨酸; 5—甘氨酸; 6—苏氨酸; 7—丙氨酸; 8—精氨酸; 9—酪氨酸; 10—缬氨酸; 11—亮氨酸; 12—苯丙氨酸; 13—色氨酸; 14—组氨酸; 15—异亮氨酸

色谱柱: 聚合一十八烷基氧化硅, 30.0 mm × 4.6 mm

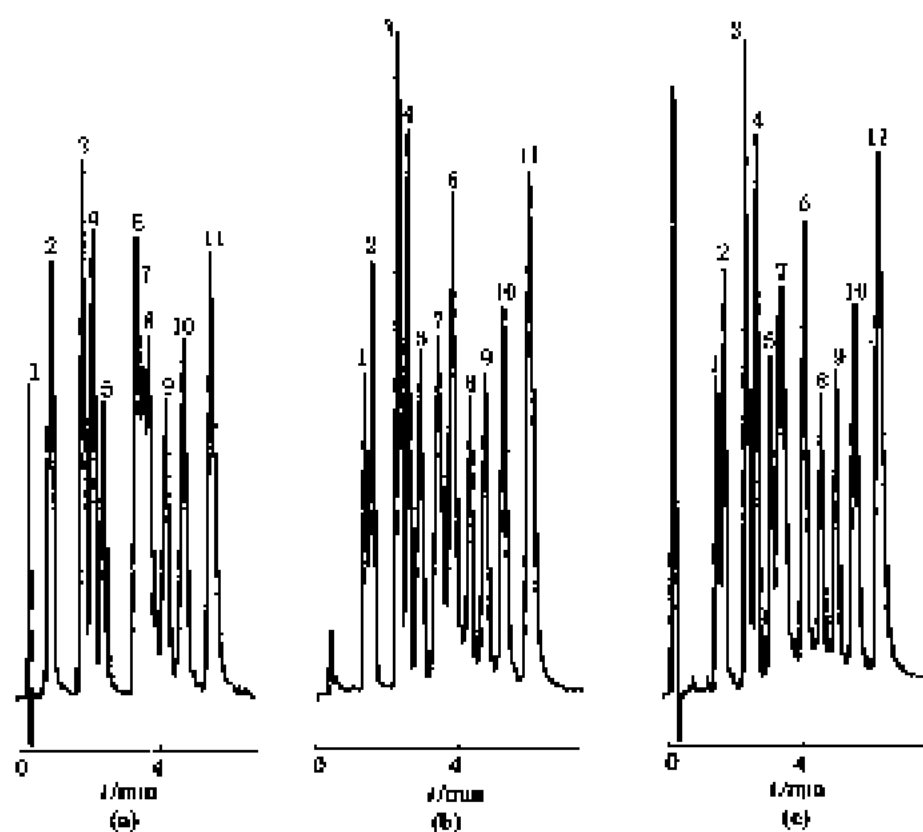
流动相: (a) 连续线性梯度 0.7 min 5.0%至 6.5% (φ) 乙醇, 0.10 min 6.5%至 10.0% (φ) 乙醇, 6.2 min 1.1%至 40.0% (φ) 乙醇, -50 mmol/L 磷酸钠含 0.5 mmol/L Li^+ 和 0.008 (φ) 三乙醇胺 (pH 6.0)

(b) 线性梯度 0.7 min 5.0%至 40.0% (φ) 乙醇, -50 mmol/L 磷酸钠 (pH 6.0)

(c) 连续线性梯度 0.1 min 5.0%至 6.5% (φ) 乙醇, 3.0 min 6.5%至 40.0% (φ) 乙醇, -50 mmol/L 磷酸钠 pH 6.0

流速: 2.0 ml · min⁻¹

检测器: UV (254 nm)

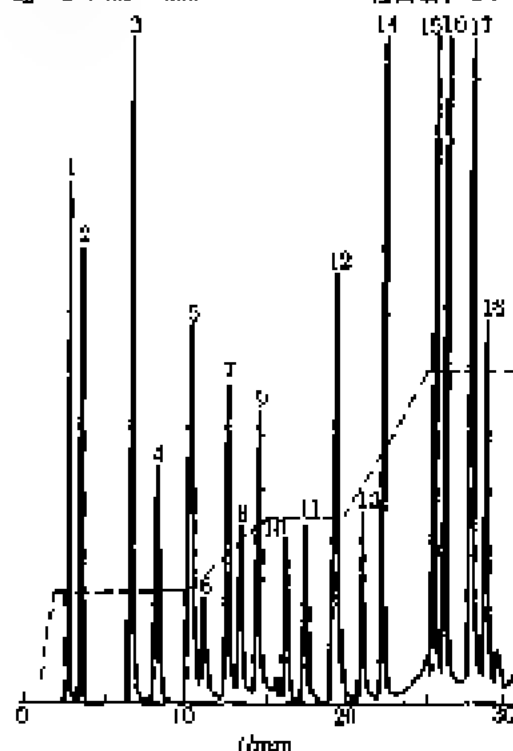
图 10-39 19种氨基酸分离色谱图 (二)^[14]

色谱峰: 1—天冬氨酸, 2—谷氨酸, 3—天冬酰胺, 4—谷氨酰胺, 5—苏氨酸, 6—脯氨酸, 7—精氨酸, 8—缬氨酸, 9—蛋氨酸, 10—亮氨酸, 11—色氨酸

色谱柱: 聚十八烷基氧化硅, 500 mm×4.6 mm

流动相: 线性梯度 2.0 min, 8.4%至 14.0% (v/v) 乙醇; 9.0 min, 14.0%至 30.0% (v/v) 乙醇, 含 80 mmol·L⁻¹ 磷酸盐和 40 mmol·L⁻¹ 酒石酸; (b) 50.0 mmol·L⁻¹ 酒石酸; (c) 100.0 mmol·L⁻¹ 酒石酸

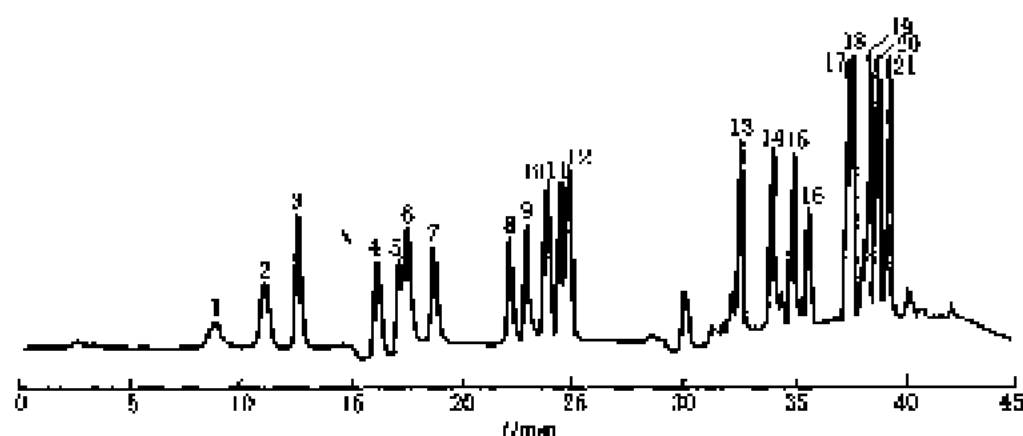
流速: 1.0 ml·min⁻¹ 检测器: UV (254 nm)



色谱峰: 1—Asp, 2—Glu, 3—Asn, 4—Ser, 5—Gln, 6—His, 7—Hsu, 8—Gly, 9—Thr, 10—Arg, 11—β-Ala, 12—Ala, 13—GABA, 14—Tyr, 15—Val, 16—Phe, 17—Ile, 18—Leu

色谱柱: Spharacrh C18, 15 cm×4.6 mm (内径), 5 μm
流动相: A. NaNO₃ 处理的 0.01 mol·L⁻¹ 二氢正磷酸盐, 离子强度为 0.08 mol·L⁻¹, 四氢呋喃 1%; B. 甲醇
检测器: 荧光检测器 (λ_{ex}=340 nm, λ_{em}=425 nm)

图 10-40 OPA-氨基酸的标准物分离色谱图^[28]

图 10-41 PTC-氨基酸标准混合物分离谱图^[28]

色谱峰: 1—GLU; 2—ASP; 3—SER; 4—HYP; 5—GLY; 6—GLN; 7—ASN; 8—HIS; 9—THR; 10—ALA; 11—ARG; 12—PRO; 13—TYR; 14—VAL; 15—MET; 16—CYS; 17—ILE; 18—LEU; 19—PHE; 20—TRP; 21—LYS

色谱柱: 填充 C_{18} Ultrasphere ODS 载体, $250\text{ mm} \times 4.6\text{ mm}$ (内径), $5\text{ }\mu\text{m}$

柱温: 室温

流动相: 溶剂 A $0.115\text{ mol} \cdot \text{L}^{-1} \text{NH}_4\text{Ac}$ (pH6.0)

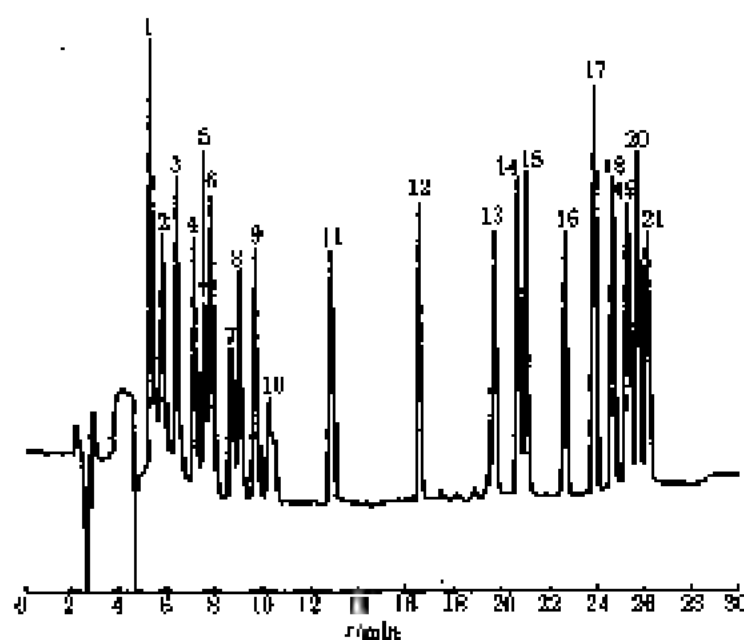
溶剂 B 乙醇-甲醇-水 (体积比=44:10:46)+ $0.23\text{ mol} \cdot \text{L}^{-1} \text{NH}_4\text{Ac}$ (pH6.0)

线性梯度冲洗:

时间/ min	$\varphi(\text{B})/\%$
0.0	0
0.1	15
15.0	50
30	100
35.0	0
50.0	结束

流速: $2.0\text{ ml} \cdot \text{min}^{-1}$

检测器: 荧光 ($\lambda_{\text{ex}}=360\text{ nm}$, $\lambda_{\text{em}}=455\text{ nm}$)



色谱峰: 1—His; 2—Asp; 3—Asn; 4—Arg; 5—Ser; 6—Glu; 7—Thr; 8—Gly; 9—Gln; 10—DMPTU; 11—Ala; 12—Tyr; 13—Pro; 14—Met; 15—Val; 16—DPTU; 17—Trp; 18—Phe; 19—Ile; 20—Lys; 21—Leu

色谱柱: Zorbax SB C8, $250\text{ mm} \times 3.1\text{ mm}$ (内径), $5\text{ }\mu\text{m}$

柱温: 55°C

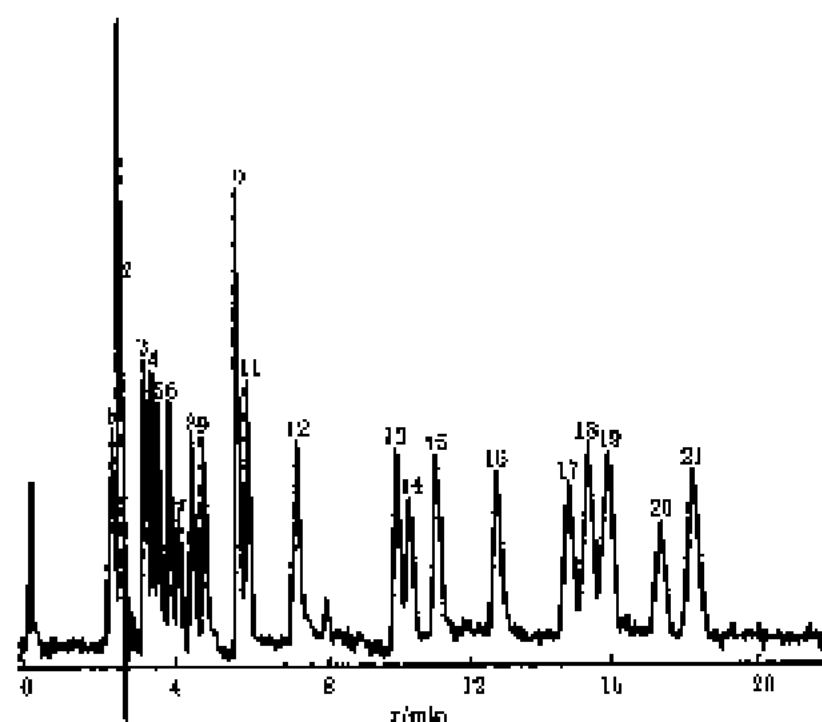
流动相: A. $0.04\text{ mol} \cdot \text{L}^{-1}$ 乙酸, 用 5% 四氢呋喃-三乙酸调节 pH 至 4.1.
B. 乙醇

梯度冲洗: $12\% \text{ B} \xrightarrow{18\text{ min}} 36\% \text{ B}$

流速: $0.25\text{ ml} \cdot \text{min}^{-1}$

检测器: UV

图 10-42 PTH 氨基酸的分离谱图 (—)^[29]



色谱峰: 1—CYS, 2—GLU, 3—ASN, 4—GLN, 5—SER, 6—PHE, 7—杂质, 8—GLY, 9—HIS, 10—ALA, 11—TYR, 12—ARG, 13—MET, 14—VAL, 15—PRO, 16—IRP, 17—PHE, 18—LYS, 19—ILE, 20—LEU, 21—NLE

色谱柱: 键合 C-18 (ISCO), 25 cm × 4 mm (内径), 5 μm

流动相: 乙腈-50 mmol · L⁻¹ 乙酸 (体积比 = 40 : 60), 用 NH₃ · H₂O 将 pH 调至 4.5

流速: 4.0 ml · min⁻¹

检测器: UV (269 nm)

图 10-43 PTH 氨基酸的分离谱图 (二)^[64]

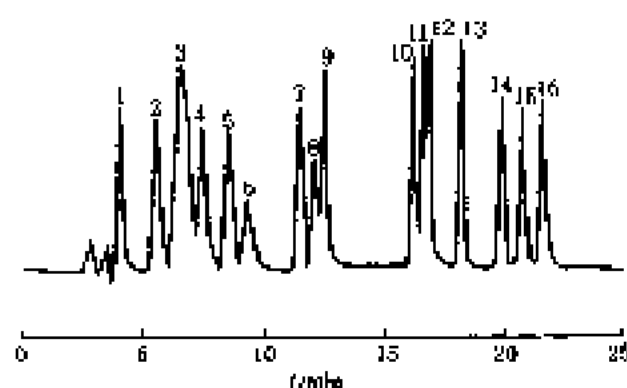


图 10-44 PTH 氨基酸标准混合物的分离谱图^[64]

色谱峰: 1—ASP, 2—ASN, 3—GLN+GLU+SER, 4—THR, 5—GLY, 6—ALA, 7—ARG, 8—TYR, 9—MET, 10—VAL, 11—PRO, 12—IRP, 13—PHE, 14—ILE, 15—LEU, 16—LEU

色谱柱: 填充 C₁₈ Ultraphase ODS 载体, 250 mm × 4.6 mm (内径), 5 μm 柱 径: 82%

流动相: 溶剂 A 0.01 mol · L⁻¹ NaAc (pH 4.5); 溶剂 B 乙醇

线性梯度冲洗:	时间/min	φ(B)/%
	0.0	24
	6.1	44
	14.0	24
	25.0	结束

流速: 1.0 ml · min⁻¹

检测器: 荧光 (λ_{ex} = 360 nm, λ_{em} = 355 nm)

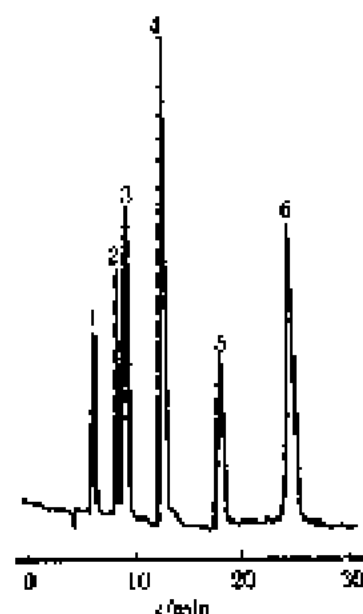


图 10-45 PTH 氨基酸衍生物分离谱图^[64]

色谱峰: 1—PTH-Asp, 2—PTH-Ala, 3—PTH-Arg, 4—PTH-Gly, 5—PTH-Ala, 6—PTH-Tyr

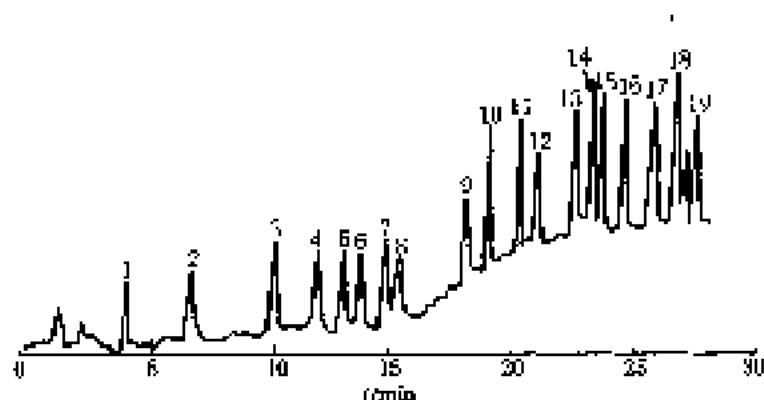
色谱柱: μBondapak C-18

柱 温: 27°C

流动相: 0.1 mol · L⁻¹ 乙酸 (pH 4.5) + 0.1 mol · L⁻¹ KNO₃ + 3% 乙醇

流速: 0.9 ml · min⁻¹

检测器: 二极管阵列检测器, Abs. 1. 2V (vs SCE)

图 10-45 PTH 氨基酸梯度分离谱图^[24]

色谱峰: 1—CYS, 2—ASP, 3—ASN, 4—SER, 5—THR, 6—GLY, 7—GLN, 8—GLU, 9—HIS, 10—ALA, 11—TYR, 12—ARG, 13—PRO, 14—MET, 15—VAL, 16—TRP, 17—LYS, 18—PHE, 19—LEU

色谱柱: Utrasphere (Beckman) 键合硅胶, 25 cm×2.0 mm (内径), 5 μm

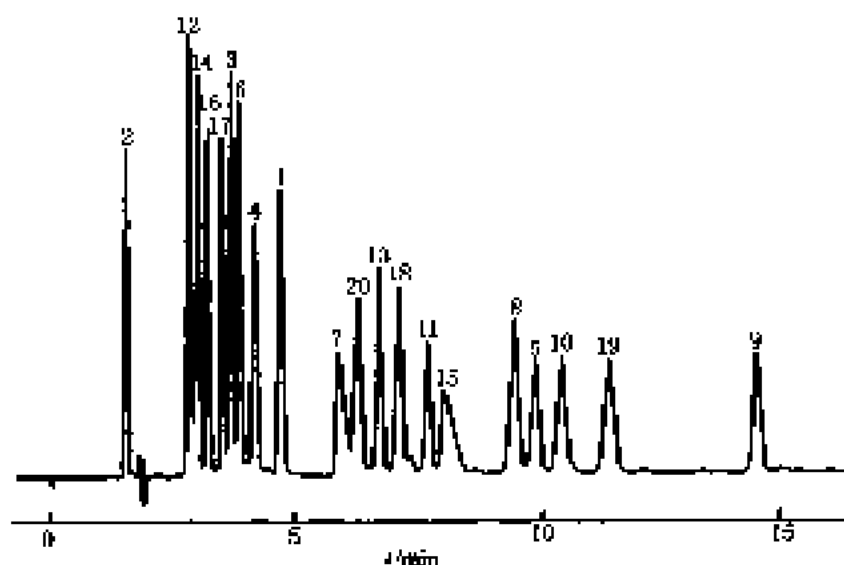
流动相: A. 5 mmol·L⁻¹ 乙酸钠 (pH=5) (90%) + 甲醇

B. 甲醇 (80%) + 丙酮 (20%) 6 + 95 的 B + A 变至 15 + 85 的 B + A (10 min 内) 接着 B + A (45 + 55) 保持 2 min

柱 温: (37~40)°C

流 速: 0.3 ml·min⁻¹

检测器: UV (202 nm)

图 10-47 PTH 氨基酸梯度分离谱图 (-)^[24]

色谱峰: 1—丙氨酸, 2—半胱氨酸, 3—天冬氨酸, 4—谷氨酸, 5—苯丙氨酸, 6—甘氨酸, 7—缬氨酸, 8—异亮氨酸, 9—赖氨酸, 10—亮氨酸, 11—组氨酸, 12—天冬酰胺, 13—精氨酸, 14—谷氨酰胺, 15—脯氨酸, 16—丝氨酸, 17—苏氨酸, 18—缬氨酸, 19—色氨酸, 20—酪氨酸

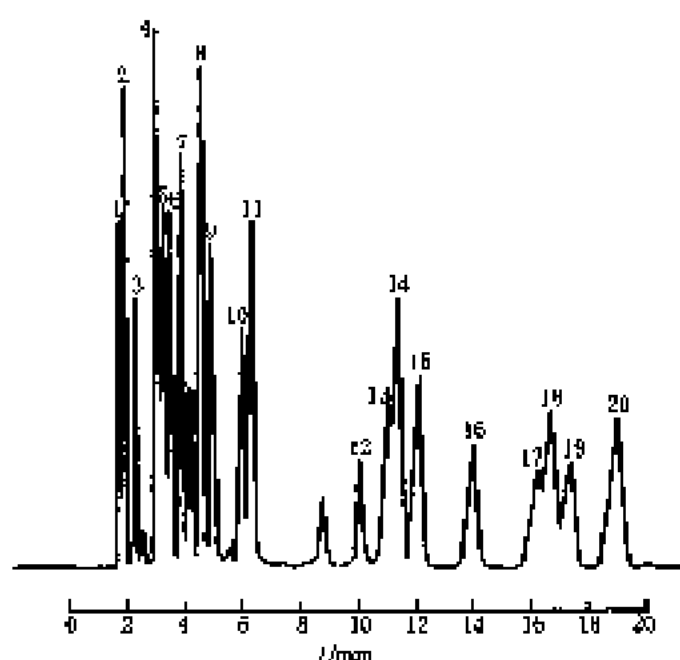
色谱柱: Zorbax PTH (duPont) 键合 C₁₈ 硅, 25 cm×4.6 mm (内径), 5 μm

流动相: 缓冲液乙腈-四氢呋喃 (66 + 18 + 16, 缓冲液: 6 mmol·L⁻¹ 磷酸盐缓冲液, 以 NaOH 调 pH=3.25)

流 速: 1.5 ml·min⁻¹

柱 温: 35°C

检测器: UV (254 nm)

图 10-48 PTH 氨基酸等度分离谱图 (二)^[23]

色谱峰: 1—半胱氨酸; 2—天冬氨酸; 3—谷氨酸; 4—入冬氨酸; 5—谷氨酰胺; 6—丝氨酸; 7—苏氨酸; 8—甘氨酸; 9—组氨酸; 10—丙氨酸; 11—苯氨酸; 12—精氨酸; 13—旦氨酸; 14—脯氨酸; 15—脯氨酸; 16—色氨酸; 17—苯丙氨酸; 18—缬氨酸; 19—异亮氨酸; 20—亮氨酸

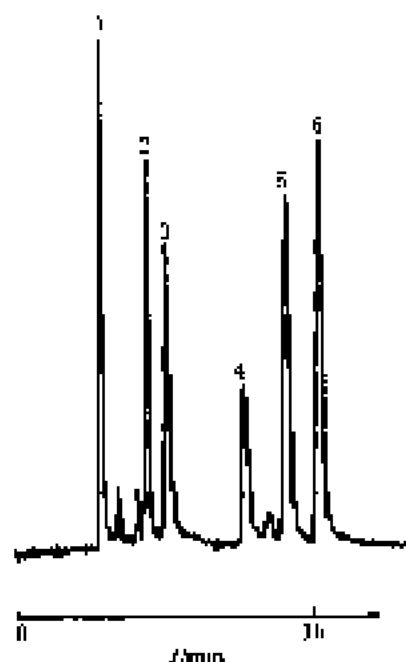
色谱柱: Microsorb TM (Ramos) 键合十八烷基硅, 25 cm × 4.6 mm (内径), 5 μm

流动相: 乙醇-0.01 mol/L 乙酸钠 (pH 5) (体积比 = 40:60)

流速: 1 ml · min⁻¹

柱温: 43°C

检测器: UV (254 nm)

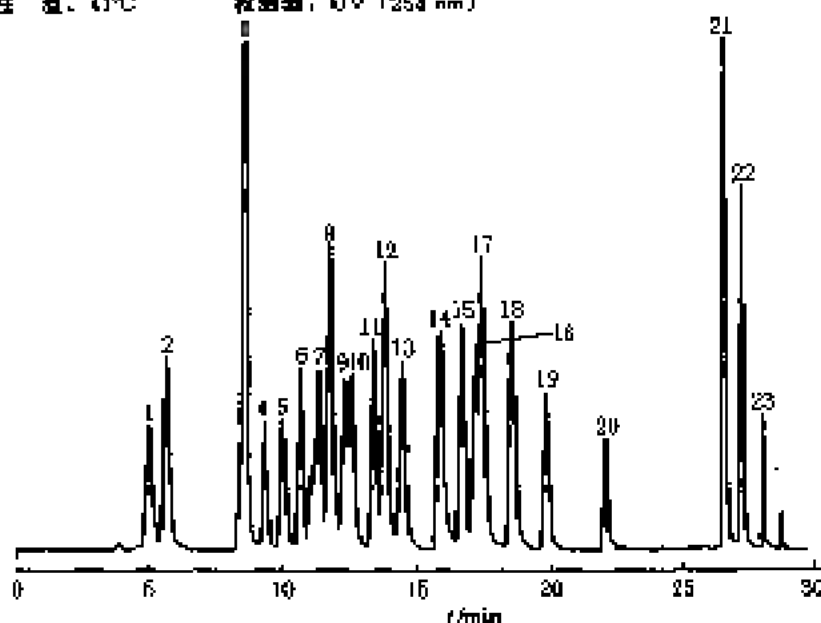
图 10-49 PTH 氨基酸的分离谱图^[20]

色谱峰: 1—PTH-内氨酸; 2—PTH-脯氨酸; 3—PTH-蛋氨酸; 4—PTH-苯丙氨酸; 5—PTH-亮氨酸; 6—PTH-正亮氨酸

色谱柱: LC 填充 RP-18, 15 cm × 2.0 mm (内径)

流动相: 水+甲醇 (体积比 = 50:50)

检测器: 火焰电离检测



色谱峰: 1—Asp; 2—GLU; 3—DABSYL OH; 4—ASN; 5—Gln; 6—SER; 7—THR; 8—GLY; 9—ALA; 10—ARG; 11—未知; 12—PRO; 13—VAL; 14—MET; 15—ILE; 16—LEU; 17—TRP; 18—PHE; 19—NH₂; 20—CYS; 21—LYS; 22—HIS; 23—TYR

色谱柱: 填充 Zorbax ODS-C₁₈, 100 mm × 3.0 mm

流动相: A 25 mmol/L 乙酸钠 (pH 5) 乙醇+甲醇 (体积比 = 75:20:5)

B 25 mmol/L 乙酸钠 (pH 5) + 乙醇+甲醇 (体积比 = 10:45:45)

图 10-50 20 种氨基酸的丹酰衍生物分离谱图^[20]

线性梯度冲洗:

时间 / min	φ(B) / %
0~20	0~50
20~27	50~100
27~32	100

流速: 1 ml · min⁻¹

检测器: UV-VIS (436 nm)

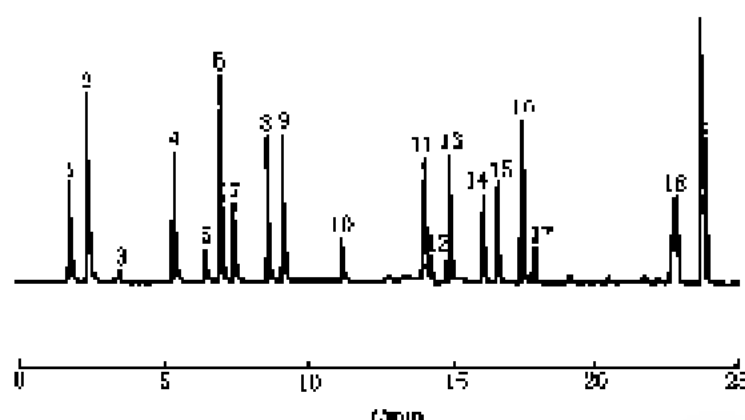


图 10-51 人豆牛筋水解产物的邻苯二磺苄基甲基羧基氨基酸衍生物谱图^[24]

色谱峰: 1—Asp, 2—Glu, 3—Gly, 4—Ser, 5—His, 6—Gly, 7—Thr, 8—Arg, 9—Ala, 10—Tyr, 11—Val, 12—Met, 13—Trp, 14—Phe, 15—Ile, 16—Leu, 17—Iys, 18—Pro

色谱柱: Hypersil ODC C₁₈, 150 mm×4.6 mm (内径)

流动相: A. 10 mmol·L⁻¹磷酸盐缓冲液 (用磷酸调 pH 至 2.5), 内含 0.8% THF

B. A+甲醇+乙腈 (体积比=20:50:30)

检测器: 荧光检测 (邻苯二磺衍生物, $\lambda_{\text{ex}}=335\text{ nm}$; $\lambda_{\text{em}}=440\text{ nm}$; 苄基甲基羧基氨基酸衍生物, $\lambda_{\text{ex}}=260\text{ nm}$; $\lambda_{\text{em}}=335\text{ nm}$)

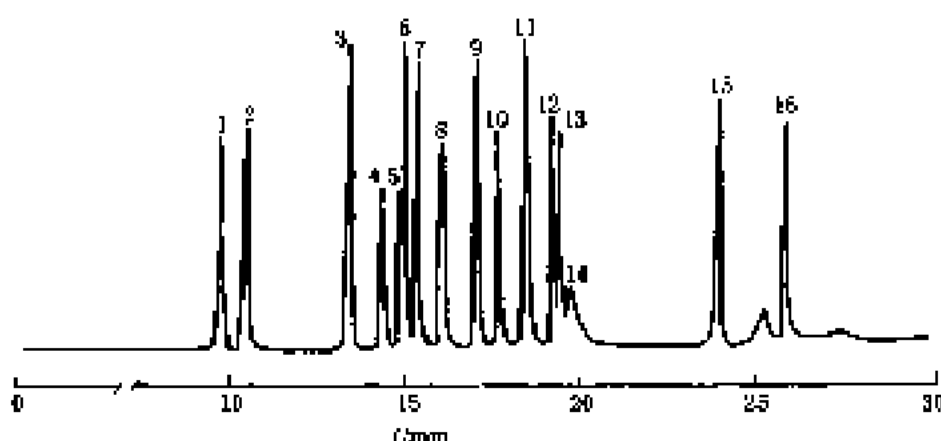


图 10-52 丹酰氨基酸标准混合物谱图^[25]

色谱峰: 1—ASP, 2—GLU, 3—ASN, HYP, 4—SER, 5—THR, 6—GLY, 7—ALA, 8—PRO, 9—VAL, 10—MET, 11—LEU+ILE, 12—PHE, 13—TRP, 14—CYS, 15—LYS, 16—TYR

色谱柱: 贝克 C₁₈ Ultrasphere ODS 填料, 250 mm×4.6 mm (内径) 5 μm

柱温: 62℃

流动相: A. 30 mmol·L⁻¹Na₂P₂O₇ 缓冲液 (用磷酸调节 pH 至 7.6)

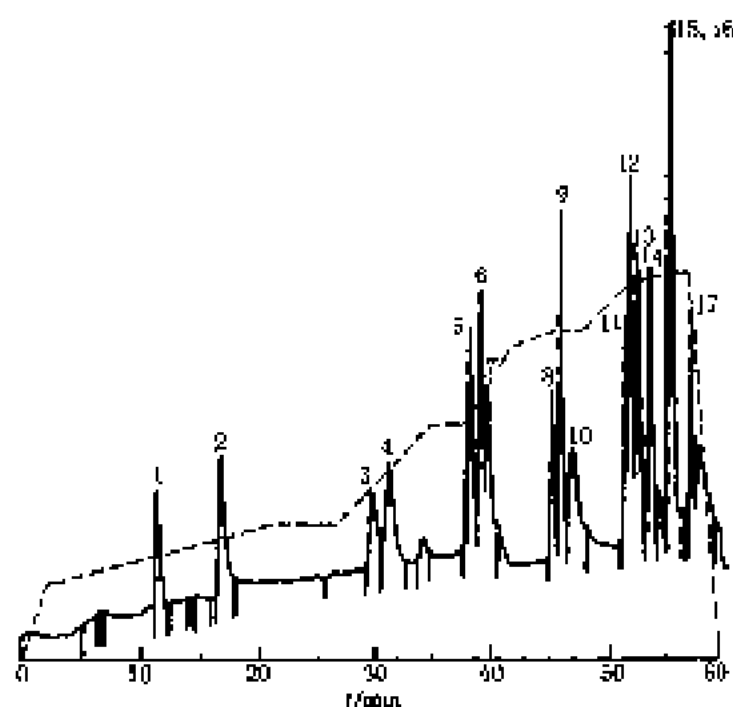
B. 乙腈

梯度洗脱程序:

时间/min	$\varphi(\text{B})/\%$
0.0	10.0
0.1	45.0
23.0	10.0

流速: 2 ml·min⁻¹

检测器: 荧光 ($\lambda_{\text{ex}}=360\text{ nm}$; $\lambda_{\text{em}}=455\text{ nm}$)

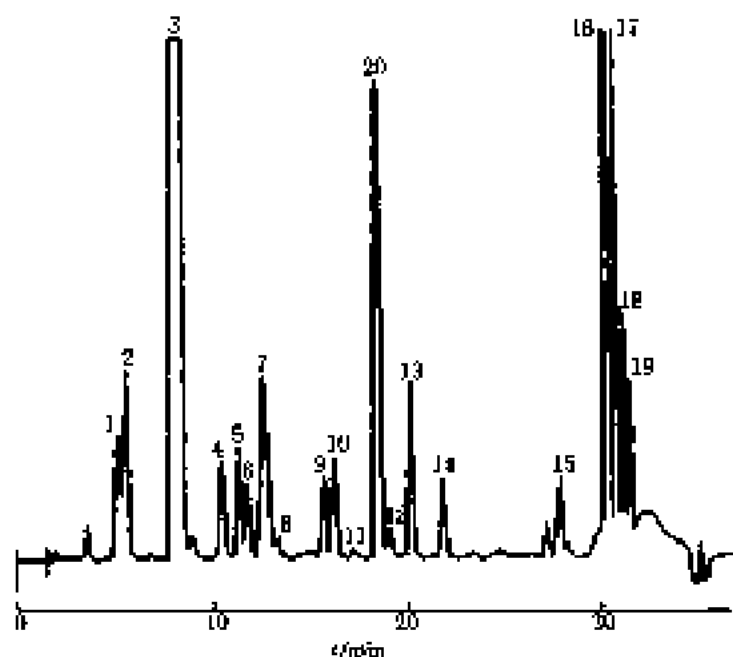
图 10-53 水解氨基酸标准物的分离谱图^[20]

色谱峰: 1—Asp, 2—Val, 3—Ser, 4—His, 5—Arg, 6—Gly, 7—Thr, 8—Tyr, 9—Ala, 10—X, 11—Trp, 12—Val, 13—Met, 14—Phe, 15—Leu, 16—Leu, 17—Lys

色谱柱: LaChrospher 100 RP-18, 25 cm × 3.9 mm (内径), 5 μm

流动相: A. $p=96\%$ 0.05 mol · L⁻¹ 柠檬酸钠 + 0.05 mol · L⁻¹ Na₂HPO₄ 缓冲液 (pH 6.5) + $p=2\%$ 乙醇 + $p=2\%$ 四氢呋喃
B. 甲醇-乙醇-水

检测器: 荧光检测器 ($\lambda_{\text{ex}}=334 \text{ nm}$, $\lambda_{\text{em}}=425 \text{ nm}$)

图 10-54 牛血清蛋白的水解氨基酸丹磺酰衍生物分离谱图^[21]

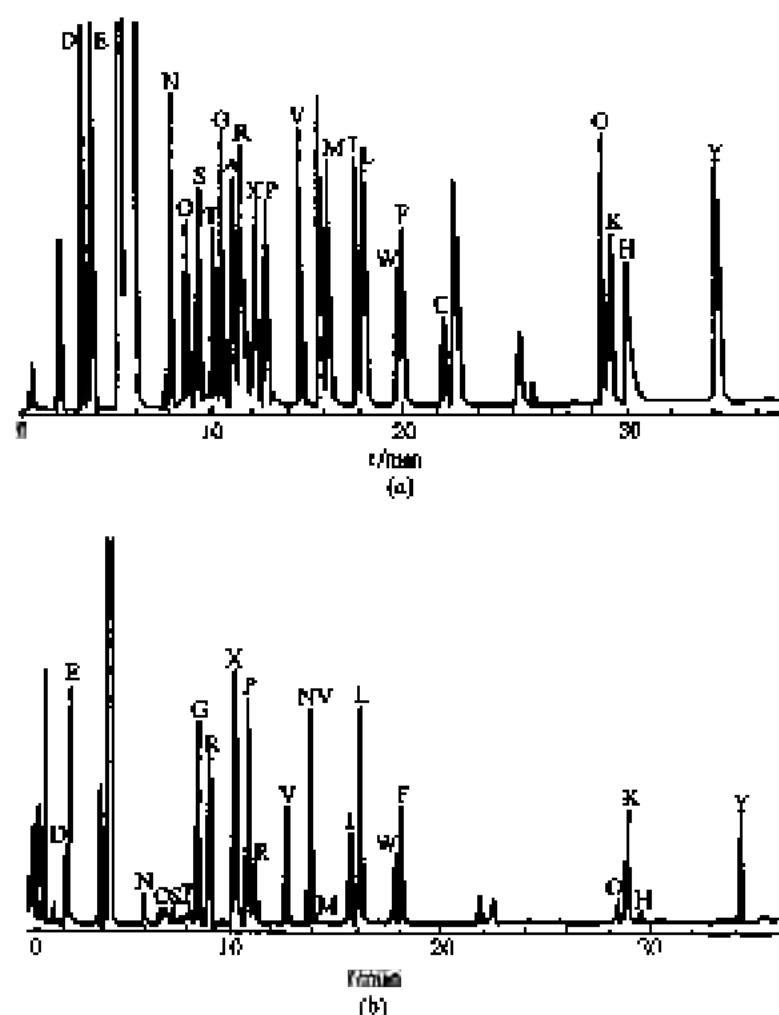
色谱峰: 1—Asp, 2—GLU, 3—DABSYL-OH, 4—SER, 5—THR, 6—GLY, 7—ALA, 8—ARG, 9—VAL, 10—PRO, 11—MET, 12—TRP, 13—LEU, 14—PHE, 15—CYS, 16—未知物, 17—LYS, 18—HIS, 19—TYR, 20—ILE

色谱柱: 填充 Hypersil OD5 150 mm × 4.6 mm (内径), 5 μm

流动相: 25 mmol · L⁻¹ NaAc (pH 5) + 乙醇 (体积比 = 72 : 28)

流速: 1 ml · min⁻¹

检测器: UV-Vis (436 nm)

图 10-55 发酵菌团中的丹酰氨基酸图谱^[24]

(A) 新氨基酸混合物 (B) 发酵菌团样品

色质谱: (D) Asp, (E) Glu, (N) Asn, (Q) Gln, (S) Ser, (T) Thr, (G) Gly, (A) Ala, (X) γ -氨基丁酸, (P) Pro, (R) Arg, (V) Val, (M) Met, (I) Ile, (L) Leu, (W) Trp, (F) Phe, (C) Cys, (O) Orn, (K) Lys, (H) His, (Y) Tyr

色谱柱: 填充 ODS 载体 83 mm \times 4.6 mm (内径), 3 μ m

柱温: 30°C

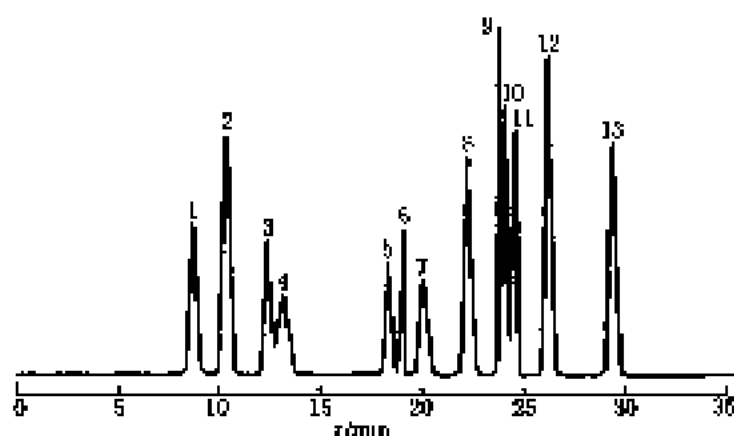
流动相: 溶剂 A: 12 mmol \cdot L⁻¹ K₂HPO₄ (pH7.0)

溶剂 B: 乙醇

线性梯度冲洗: 10% B $\xrightarrow{45 \text{ min}}$ 45-6% B

流速: 1.5 ml \cdot min⁻¹

检测器: UV

图 10-56 未衍生化氨基酸标准样分离谱图^[21]

色谱峰: 1—Asp; 2—His; 3—Arg; 4—Pro; 5—Val; 6—Nva; 7—Met; 8—DOPA; 9—Tyr; 10—Ile; 11—Leu; 12—Phe; 13—Trp

色谱柱: RP-8 Spherisorb, 100×4.6 mm (内径)

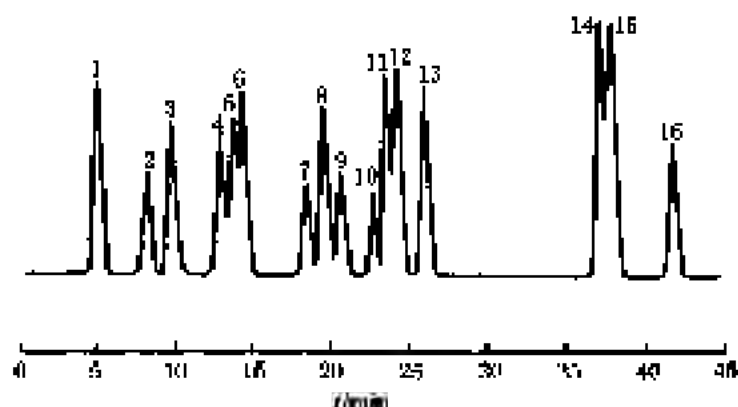
流动相: 溶剂 A TFA (pH1.87)

溶剂 B TFA (pH1.87) + 乙腈 (体积比=50:50)

梯度冲洗:

时间/min	流速/(ml·min ⁻¹)	φ(B)/%
0	0.3	0
12	0.3	0
20	1.0	35
25	1.2	35
28	1.5	40

检测器: 荧光发射

图 10-57 未衍生化氨基酸标准样离子交换 HPLC 分离谱图^[21]

色谱峰: 1—Asp; 2—Glu; 3—Cys; 4—Ser; 5—Thr; 6—Tyr; 7—Gly; 8—Ala; 9—Met; 10—Val; 11—Trp; 12—Phe; 13—Leu; 14—Ile; 15—Lys; 16—Arg

色谱柱: 填充 Paucal 10SCX, 250 mm×6.35 mm (内径)

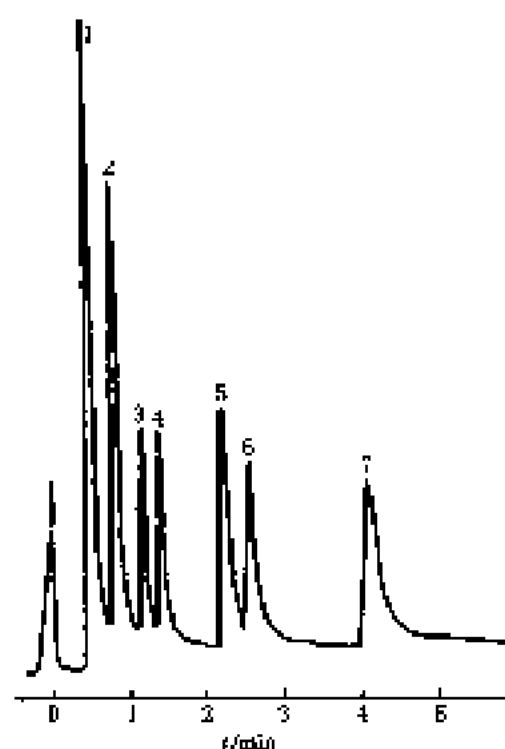
流动相: 溶剂 A TFA (pH4.20)

溶剂 B TFA 0.40% (体积分数)

梯度冲洗: 溶剂 A 等度冲洗 15 min, 接着按线性梯度冲洗到 70% B 15 min, 最后保持 70% B 冲洗

流速: 1.0 ml·min⁻¹

检测器: 荧光发射式

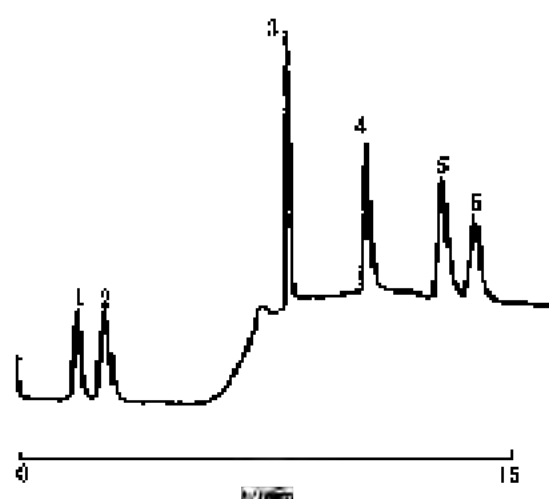
图 10-58 生物胺和氨基酸前体分离谱图^[43]

色谱峰: 1—甲苯, 2—苯乙胺, 3—苯丙氨酸, 4—酪胺, 5—酪氨酸, 6—多巴胺, 7—多巴

色谱柱: 填充硅胶

流动相: 丁醇-己烷, 乙酸乙酯+二丁基胺酸盐+己烷

检测器: UV (280 nm)

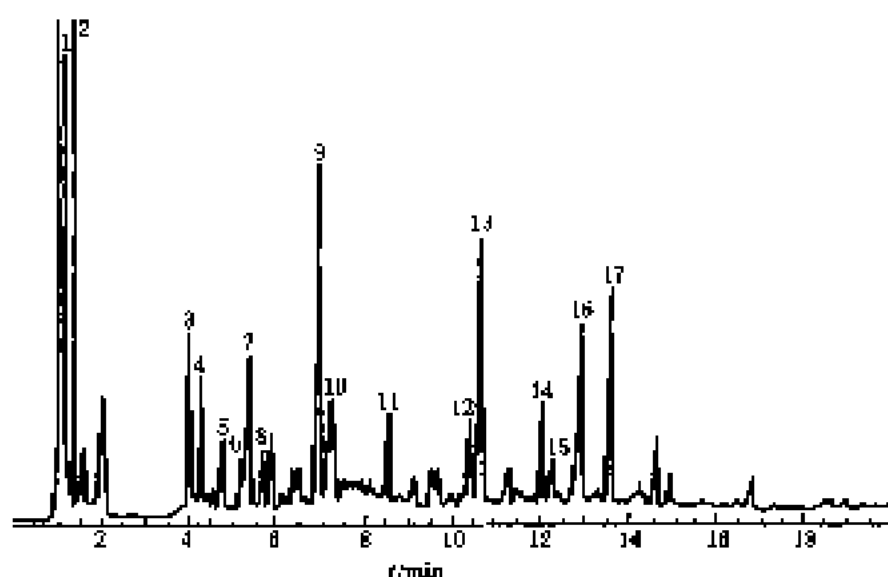
图 10-59 甲基麸氨酸和麸氨酸标样的分离谱图^[44]

色谱峰: 1—DJT, 2—TO, 3—T2, 4—Td, 5—γ-T3, 6—T4

色谱柱: Chromospher C₁₈, 100 mm×3 mm (内径), 5 μm

流动相: 0~3.5 min, 磷酸盐缓冲液 (0.05 mol·L⁻¹, pH2.5, 含有 2.5 mmol·L⁻¹ 庚磺酸) + 甲醇 (体积比=65:35) 3.5 min 以后, 磷酸盐缓冲液 (0.05 mol·L⁻¹, pH2.5, 含有 2.5 mmol·L⁻¹ 庚磺酸) + 甲醇 (体积比=42:58)

检测器: UV (231 nm)

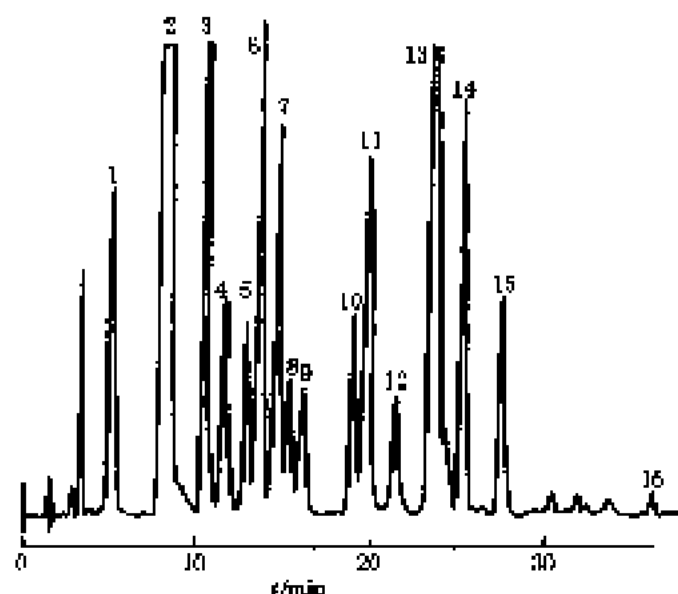
图 10-60 白葡萄酒中氨基酸的分离谱图^[34]

色谱峰: 1—Asp, 2—Glu, 3—Val, 4—Phe, 5—Gly, 6—Met, 7—Cys, 8—Phe, 9—Ala, 10—Arg, 11—Tyr, 12—Val, 13—Met, 14—Phe, 15—Ile, 16—Leu, 17—Lys

色谱柱: Akra 经表面 CDS 柱, 45 mm×4.6 mm (内径)

流动相: A. 乙醇-水 ($\phi=40\%$), B. β -环糊精

检测器: UV (254 nm)

图 10-61 细胞培养基中的氨基酸衍生物分离谱图^[35]

色谱峰: 1—GLU, 2—异亮氨酸, 3—GLN, 4—SER, 5—HIS, 6—GLY, 7—ALA, 8—ARG, 9—TYR, 10—VAL, 11—PRO, 12—MET, 13—ILE, 14—LEU, 15—PHE, 16—CYS

色谱柱: 填充 Hypersil CDS, 150 mm×4.6 mm (内径), 5 μ m

流动相: A. 100 mmol·L⁻¹ NaAC (pH=5) + 乙腈-甲醇 (体积比=65:10:25)

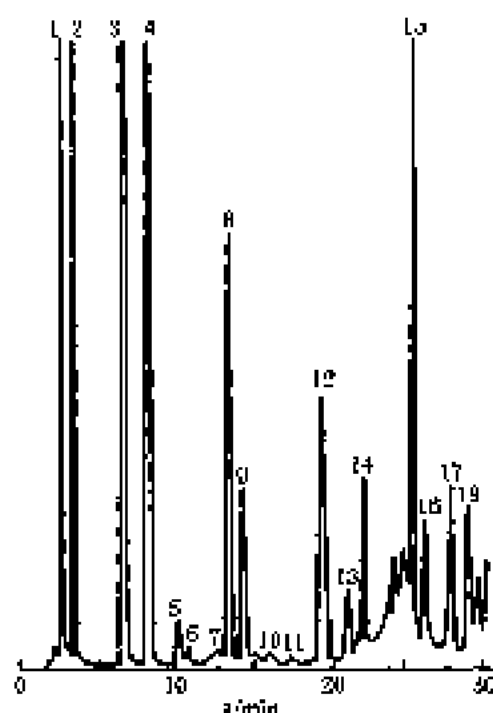
B. 100% 甲醇

流速: 1 ml·min⁻¹

梯度洗脱:

时间/min	ϕ (B)/%	时间/min	ϕ (B)/%
0~5	0	35~40	40~100
5~30	0~40	40~43	100
30~35	40		

检测器: UV Vis (436 nm)



色谱峰: 1-Asp, 2-Glu, 3-Asn, 4-Ser, 5-Gln, 6-His, 7-Hse, 8-Gly, 9-Thr, 10-Arg, 11- β -Ala, 12-Ala, 13-GABA, 14-Tyr, 15-Val, 16-Phe, 17-Ile, 18-Leu
 色谱柱: Spherisorb ODS, 15 cm \times 4.6 mm (内径), 5 μ m
 流动相: A. NaNO₂ 处理的 0.01 mol \cdot L⁻¹ 二氢正磷酸盐, 离子强度为 0.08 mol \cdot L⁻¹, 四氢呋喃 1%
 B. 甲醇
 检测器: 荧光检测器 (λ_{ex} = 340 nm, λ_{em} = 425 nm)

图 10-62 苹果提取物中二异半基磷胺(OPA) 氨基酸的典型色谱图^[43]

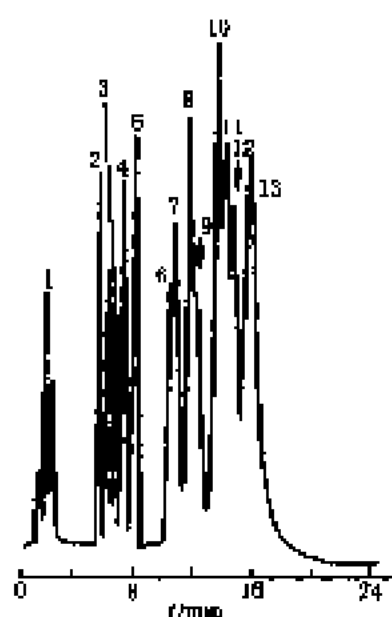


图 10-63 氨基酸的分离谱图^[45]

色谱峰: 1-PHE, 2-LEU, 3-MET, 4-PRO, 5-VAL, 6-GLU, 7-THR, 8-ALA, 9-ASP, 10-GLN, 11-GER, 12-GLY, 13-ASN

色谱柱: 填充 PolySulfethylA 载体, 200 mm \times 4.6 mm (内径)

柱温: 室温

流动相: 5 mmol \cdot L⁻¹ TEAP (pH 2.8) + 80% 乙醇 (等度洗脱)

流速: 2 ml \cdot min⁻¹

检测器: UV (260 nm)

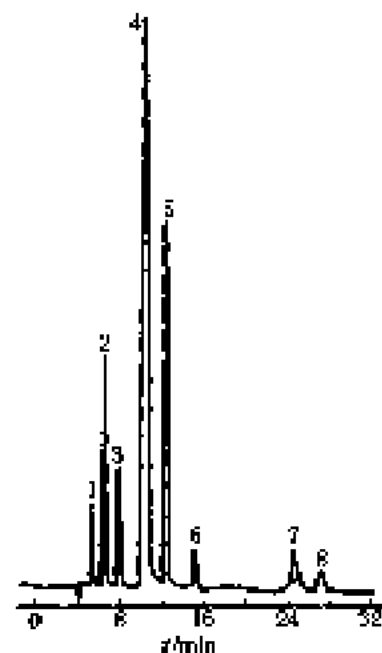


图 10-64 MTH 氨基酸衍生物分离谱图^[46]

色谱峰: 1-MTH-Glu, 2-MTH-Gly, 3-MTH-Ala, 4-MTH-Lys, 5-MTH-Tyr, 6-MTH-Val, 7-MTH-Ile, 8-MTH-Leu

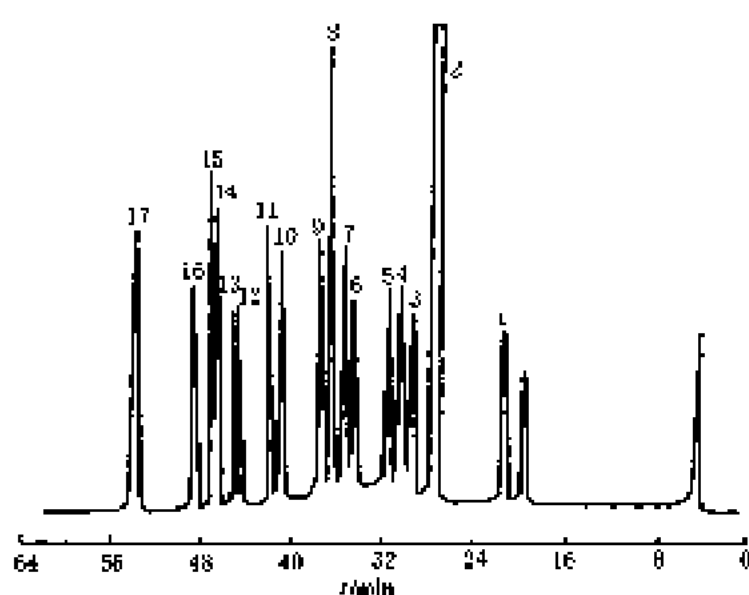
色谱柱: uBondapak C-18

柱温: 25°C

流动相: 0.1 mol \cdot L⁻¹ 乙酸 (pH 4.5) + 0.1 mol \cdot L⁻¹ KNO₃ + 2% 乙醇

流速: 0.8 ml \cdot min⁻¹

检测器: 直流阳极检测, Au, 1.2V (vs. SCE)



色谱峰: 1-ASP, 2-HSA, 3-GLU, 4-SER, 5-THR, 6-GLY, 7-ARG, 8-HSA, 9-THR, 10-ALA, 11-PHE, 12-CYS, 13-TYR, 14-VAL, 15-MET, 16-LYS, 17-PIE

色谱柱: Spherisorb C₁₈, 200 mm × 4.6 mm (内径)

柱温: 25°C

流动相: A. 20 mmol/L $\text{NH}_4\text{H}_2\text{PO}_4$ (pH 7.0) + 10 mmol/L LiCl (pH 7.0) 甲醇 (体积比=20:10)

B. 乙醇-水 (体积比=75:25)

梯度冲洗:	时间/min	梯度
	0-6	10%B
	10-15	10~15%B
	15-25	15%B
	25-30	15~25%B
	30-40	25~40%B
	40-45	40~50%B
	45-55	50~80%B
	55-65	80~90%B

流速: 0.9 mL · min⁻¹

检测器: 荧光检测器 ($\lambda_{\text{ex}}=365 \text{ nm}$)

$\lambda_{\text{em}}=435 \text{ nm}$)

图 10-65 氨基酸(HSAA衍生物)分离谱图^[46]

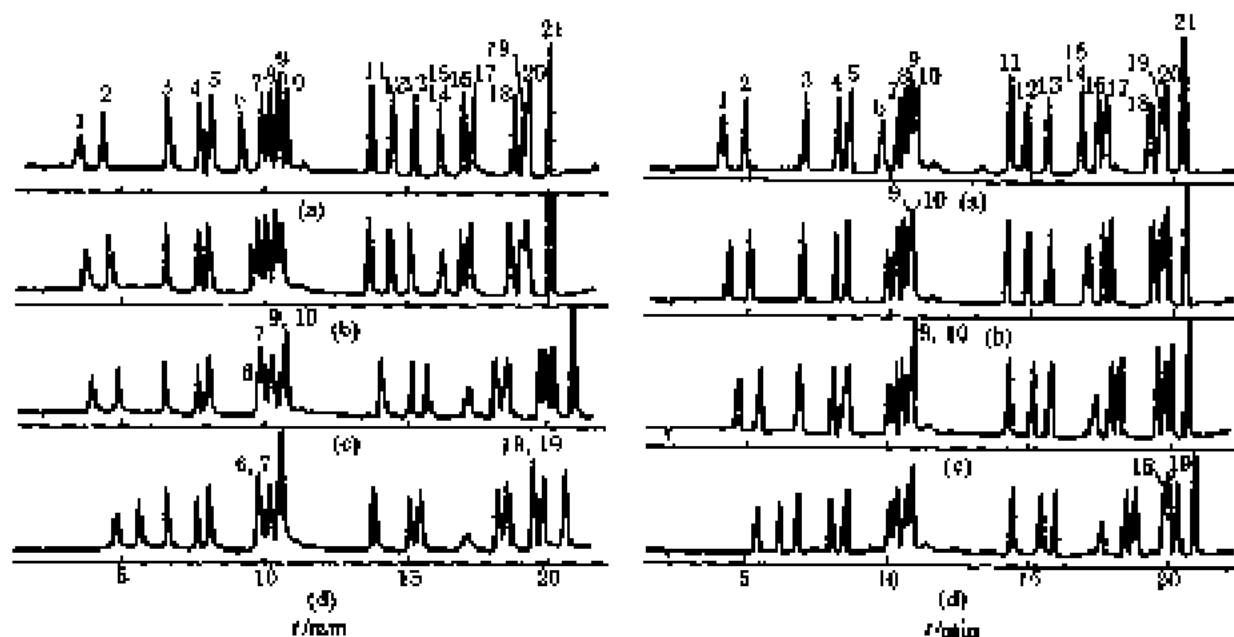


图 10-66 氨基酸在不同液相色谱上分离谱图^[47]

色谱峰: 1-天冬氨酸, 2-谷氨酸, 3-缬氨酸, 4-丝氨酸, 5-甘氨酸, 6-组氨酸, 7-苏氨酸, 8-丙氨酸, 9-脯氨酸, 10-精氨酸, 11-酪氨酸, 12-苯丙氨酸, 13-蛋氨酸, 14、15-半胱氨酸, 16-异亮氨酸, 17-亮氨酸, 18-苯丙氨酸, 19-鸟氨酸, 20-色氨酸, 21-赖氨酸

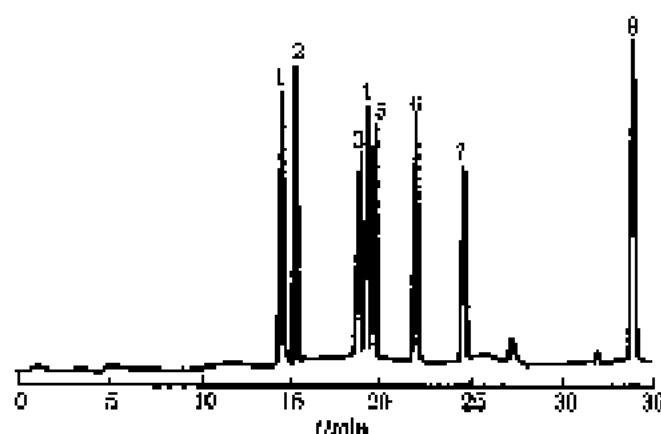
色谱柱: 填充 Hypersil C₁₈S, 15 cm × 4.6 mm (内径)

流动相: A. 0.05 mol/L NaAc (a) pH 7.2, (b) pH 6.4, (c) pH 6.0, (d) pH 5.6

B. 0.1 mol/L NH_4Ac (a) pH 7.2, (b) pH 6.4, (c) pH 6.0, (d) pH 5.6

梯度洗脱: 22 min 冲洗以 100% A 至 100% B, 然后 100% B 冲洗 5 min, 接着 2 min 后冲洗回到 100% A, 最后用 A 洗脱 4 min

检测器: 紫外

图 10-67 氨基酸 (PTTC 衍生化) 分离谱图^[40]

色谱峰: 1—Asp; 2—Glu; 3—Ser; 4—Gln; 5—Gly; 6—牛磺酸; 7—GABA; 8—正亮氨酸

色谱柱: 填充 Raman Dynamics C₁₈ Microcarb 载体, 250 mm×4.6 mm (内径)

柱温: 4°C

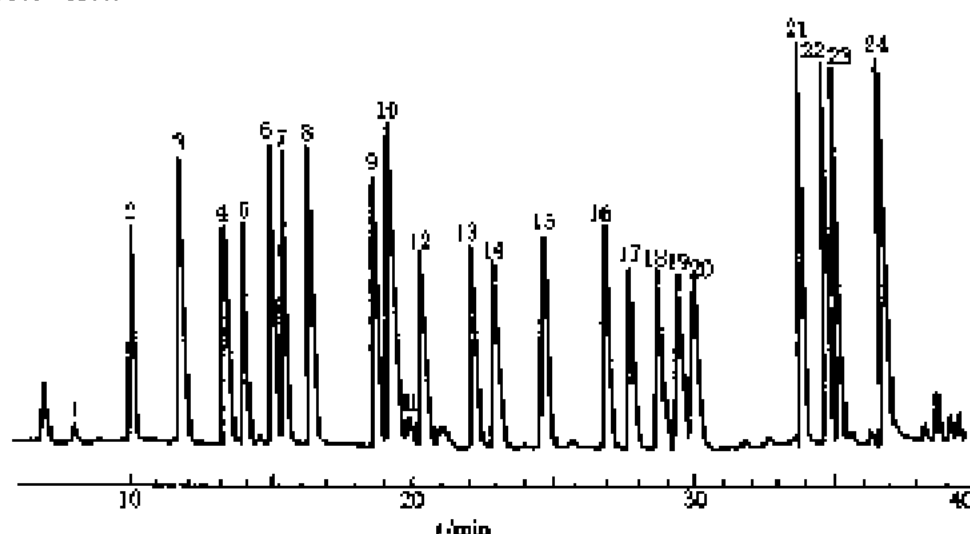
流动相: 溶剂 A 0.1 mol·L⁻¹ NaAc 缓冲液 (pH6.7)

溶剂 B 0.5 ml 三乙胺+0.7 ml 冰乙酸+5 ml 乙醇

梯度冲洗	A %		时间/min	B %	
	时间/min		时间/min		
	0.0	100	0	55	45
	2.0	85	15	55	45
	8.0	25	15	0	100
	12.0	75	25	0	100
	20.0	75	25	100	0
	24.0	75	25	100	0

流速: 0.6 ml·min⁻¹

检测器: 可变波长检测器 (λ=245 nm)

图 10-68 氨基酸标准物 (FMOC 衍生化) 谱图^[41]

色谱峰: 1—单衍生化 His; 2—Arg; 3—Asn-Gln; 4—Ser; 5—Asp; 6—Glu; 7—Thr; 8—Gly; 9—Ala; 10—FMOC 醇; 11—单衍生化 Tyr; 12—Pro; 13—内标物 (C-allylglycine); 14—Met; 15—Val; 16—Phe; 17—Try; 18—Le; 19—Leu; 20—(Cys)₂; 21—二衍生化 Tyr; 22—Cys; 23—Lys; 24—二衍生化 Tyr

色谱柱: 填充 (ODS-80TMC 载体, 150 mm×4.5 mm (内径), 5 μm

柱温: 室温

流动相: 溶剂 A 乙醇+15 mmol·L⁻¹ 柠檬酸+10 mmol·L⁻¹ 氯化四甲基胺 (NaOH 调节 pH3.25) (27+73)

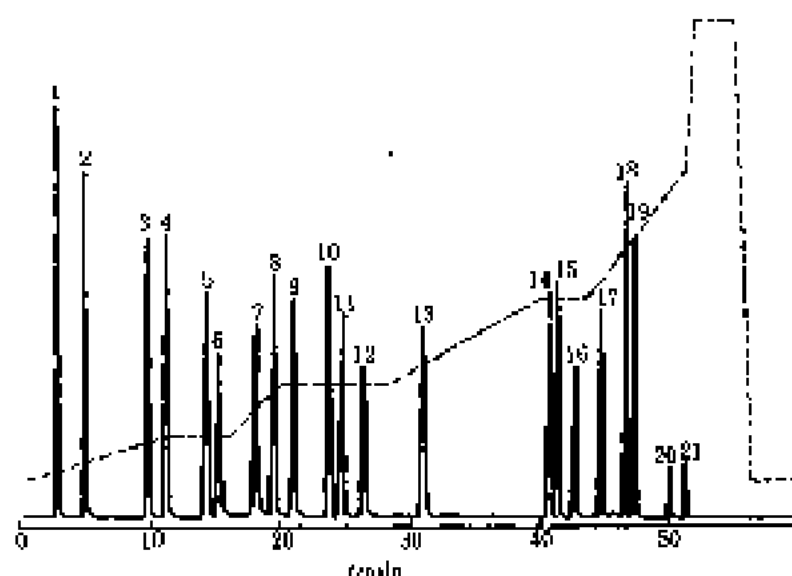
溶剂 B 乙醇+THF+15 mmol·L⁻¹ 柠檬酸+10 mmol·L⁻¹ 氯化四甲基胺 (NaOH 调节至 pH3.2) (体积比=35:5:60)

(乙醇+THF+15 mmol·L⁻¹ 柠檬酸+10 mmol·L⁻¹ 氯化四甲基胺 (NaOH 调节 pH6.2) (体积比=62:12:25)

线性梯度冲洗: A + B + C 分别为 95% + 0% + 5% $\xrightarrow{4 \text{ min}}$ 85% + 0% + 15% $\xrightarrow{8 \text{ min}}$ 45% + 50% + 5% $\xrightarrow{17 \text{ min}}$ 0% + 100% + 0% $\xrightarrow{12 \text{ min}}$ 0% + 90% + 10% $\xrightarrow{26 \text{ min}}$ 0% + 37% + 13% $\xrightarrow{27 \text{ min}}$ 0% + 38% + 62% $\xrightarrow{32 \text{ min}}$ 0% + 34% + 66% $\xrightarrow{35 \text{ min}}$ 0% + 0% + 100%

流速: 1.4 ml·min⁻¹

检测器: UV (264 nm)

图 10-66 氨基酸标准衍生物谱图^[60]

色谱峰: 1-ASP, 2-GLU, 3-ASN, 4-SER, 5-GLN, 6-HIS, 7-GLY, 8-THR, 9-ARG, 10-TAU, 11-ALU, 12-GABA, 13-TYR, 14-MET, 15-VAL, 16-TMP, 17-PHE, 18-ILE, 19-LEU, 20-ORN, 21-LYS

色谱柱: 填充 Ultrasphere (ODS 载体, 75 mm × 4.6 mm (内径), 5 μm)

流动相: OPA

柱温: 21°C

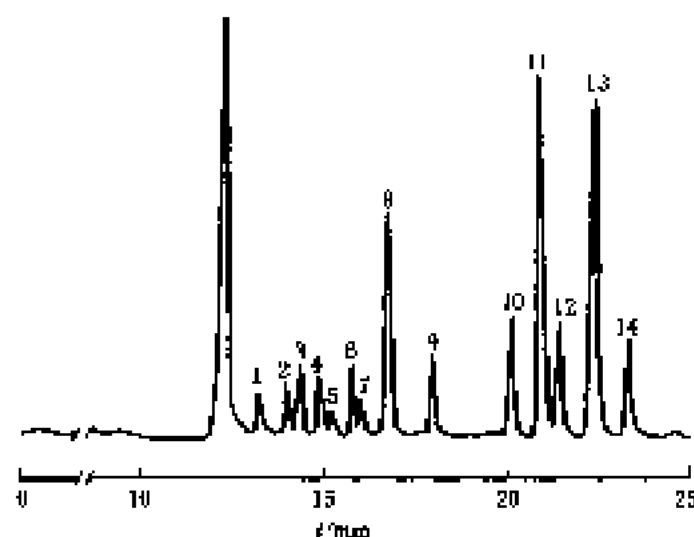
流动相: 溶剂 A 0.1 mol/L (NaAc 缓冲液, pH 3.2)

溶剂 B 甲醇 + THF (体积比 = 97:3)

线性梯度冲洗: 0%B $\xrightarrow[2.5 \text{ min}]{1.2 \text{ min}}$ 18%B $\xrightarrow[7.5 \text{ min}]{4 \text{ min}}$ 18%B $\xrightarrow[1 \text{ min}]{3 \text{ min}}$ 28%B $\xrightarrow[3 \text{ min}]{8 \text{ min}}$ 28%B $\xrightarrow[1 \text{ min}]{15 \text{ min}}$ 45%B $\xrightarrow[10 \text{ min}]{10 \text{ min}}$ 100%B

流速: 1.5 ml · min⁻¹

检测器: 荧光 ($\lambda_{\text{ex}} = 258 \text{ nm}$, $\lambda_{\text{em}} = 426 \text{ nm}$)



色谱峰: 1-GLY, 2-ASN, 3-GLN, 4-SER, 5-ASP, 6-GLU, 7-ARG, 8-THR, 9-GLY, 10-ALA, 11-MET, 12-POR, 13-VAL, 14-PHE+TMP, 15-LEU

色谱柱: 填充 C₁₈ Ultrasphere (ODS 载体 250 mm × 4.6 mm (内径), 5 μm)

柱温: 62°C

流动相: 溶剂 A 0.04 mol/L (Na₂PO₄ 缓冲液, pH 4.25)

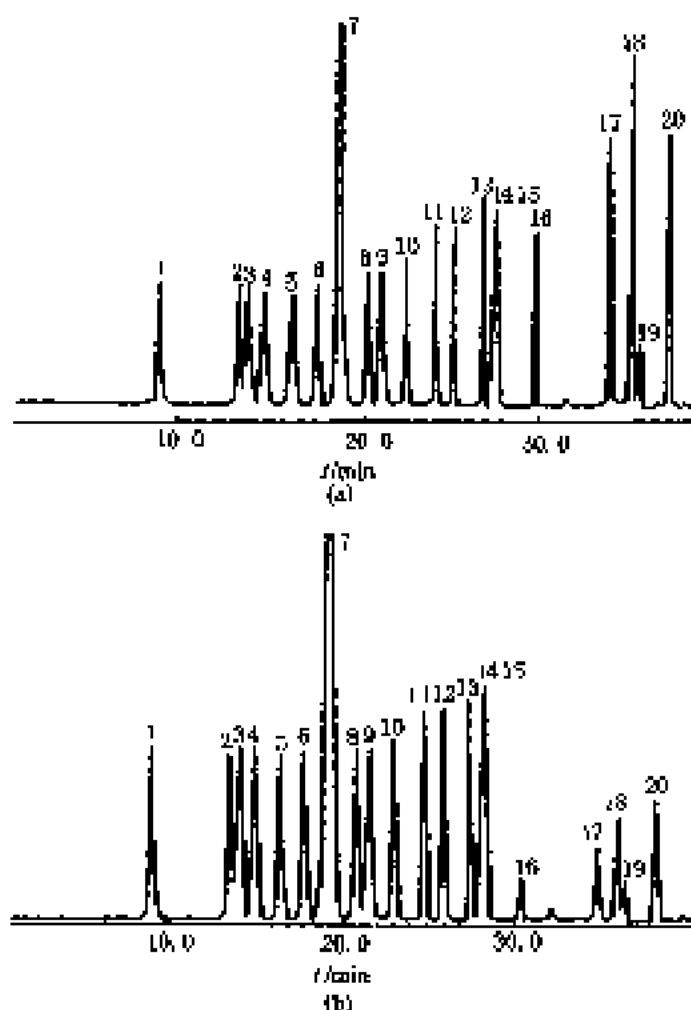
溶剂 B 乙醇

线性梯度冲洗: 时间/min	φ(B)/%
0.0	20.0
0.1	70
28.0	75
40.0	结束

流速: 1.2 ml · min⁻¹

检测器: 荧光 ($\lambda_{\text{ex}} = 260 \text{ nm}$, $\lambda_{\text{em}} = 455 \text{ nm}$)

图 10-70 氨基酸标准混合物 (DABSYL 衍生化) 谱图^[60]

图 10-71 氨基酸标准溶液分离谱图^[40]

色谱峰: 1—Arg, 2—Ser, 3—Asp, 4—Glu, 5—Ser, 6—Gly, 7—L 赖氨酸, 8—Ala, 9—Das-NH₂, 10—Phe, 11—Met, 12—Val, 13—Phe, 14—Ile, 15—Leu, 16—Cys, 17—His, 18—Lys, 19—2-(9-氧基) 乙基胺盐, 20—Tyr
色谱柱: Varian Amino-Tap QDS, 150 mm×4.6 mm (内径), 5 μm

柱 温: 室温

流动相: 样品经 2-(9-氧基) 乙基-氮乙胺柱前处理

- A. 硅酸钠(10 mmol·L⁻¹) + 氢氧化四甲铵, 磷酸缓冲 pH3
- B. 硅酸钠(25 mmol·L⁻¹) + 氢氧化四甲铵, 磷酸缓冲 pH5.5
- C. 乙醇+10%甲醇

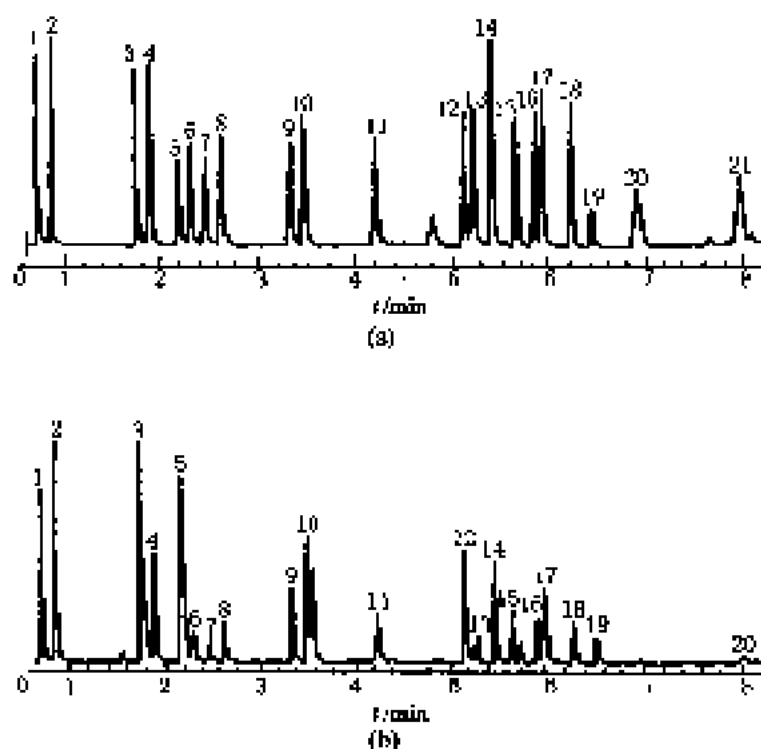
梯度洗脱:

时间/min	φ/%		
	A	B	C
5	46	0	34
15	12	42	46
37	25	5	70
40	20	0	80

流 速: 0.8 ml·min⁻¹

检测器: (a) UV(256 nm);

(b) 荧光检测器(λ_{ex} —256 nm, λ_{em} —420 nm)

图 10-72 氨基酸高速分析谱图^[41]

(a) 标准氨基酸混合物；

(b) 马铃薯片萃取液 (含内标物)；

色谱峰: 1-ASP, 2-GLU, 3-ASN, 4-SER, 5-GLN, 6-HIS, 7-GLY, 8-THR, 9-ALA, 10-ARG, 11-TYR, 12-VAL, 13-MET, 14-NVAL, 15-TRP, 16-PHE, 17-LEU, 18-LEU, 19-LYS, 20-HO-PRO, 21-PRO

色谱柱: Hypersil ODS, 100 mm×4.0 mm (内径), 3 μm

柱温: 40℃

流动相: 溶剂 A 0.018 mol·L⁻¹ NaOAc, pH=6.05%

TEA+pH=6.5% THF

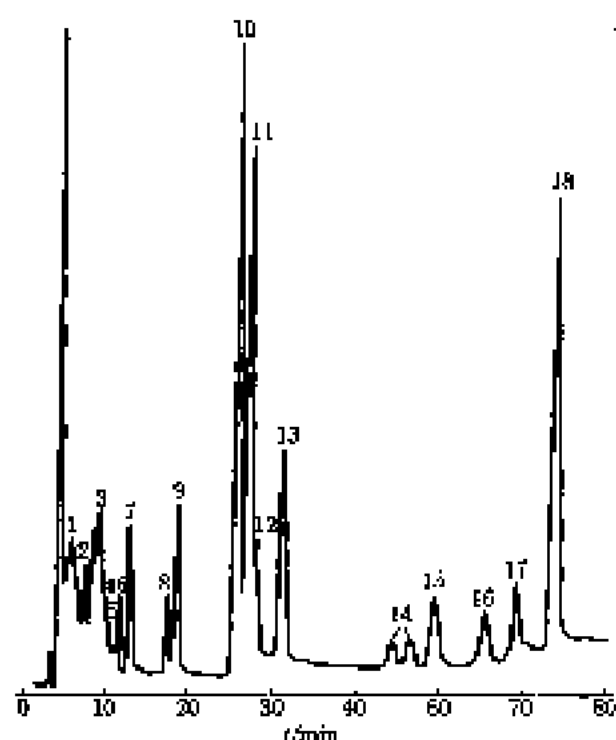
溶剂 B MeCN+MeOH+0.1 mol·L⁻¹ NaOAc (pH7.2) (体积比=2:2:1)

线性梯度洗脱

时间 /min	φ/%			
	A	B	λ _{ex} /nm	λ _{em} /nm
0	100	0	340	450
0.5	94	6		
3.0	80	20		
6.5	50	50		
6.8				
8.0	25	75	264	313
8.5	0	100		
12.5	0	100		
13.5	100	0		

流速: 1.4 ml·min⁻¹

检测器: 荧光



色谱柱: 1—Arg; 2—Gln; 3—His; 4—Gly; 5—Glu; 6—Cys; 7—Arg; 8—Ala; 9—氨基酸丁酯; 10—氨基酸丁酯; 11—Glu; 12—Tyr; 13—Val; 14—Met; 15—His; 16—正亮氨酸; 17—Leu; 18—Trp

色谱柱: 1—Bondapak C 18

柱温: 25°C

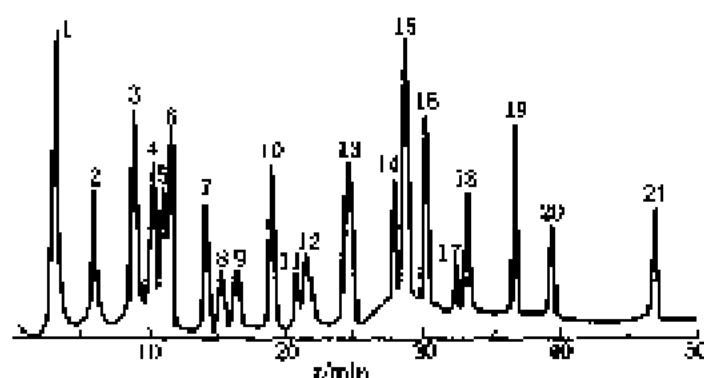
流动相: 溶剂 A: 0.1 mol·L⁻¹乙酸 (pH 4.5) + 0.03 mol·L⁻¹ KNO₃ + 0.5% 乙醇; 溶剂 B: 0.1 mol·L⁻¹乙酸 (pH 4.5) + 0.03 mol·L⁻¹ KNO₃ + 45% 乙醇

梯度洗脱:	t/min	F/%	
		A	B
	0	95	5
	5	70	30
	15	65	35
	20	60	40
	50	60	40
	80	45	55

流速: 0.8 ml·min⁻¹

检测器: Au; 1.2V (vs SCE)

图 10-73 MTH 氨基酸梯度冲洗分离谱图^[20]



色谱柱:

1—Arg(27); 2—Leu(36); 3—Glu(26); 4—Ala(19); 5—Thr(10); 6—Ala(70); 7—Gly(83); 8—Ala(70); 9—Val(59); 10—Pro(33); 11—His(45); 12—Leu(48); 13—Met(25); 14—氨基酸; 15—His(16); 16—Phe(25); 17—Glu(43); 18—Asp(47); 19—Cys + Cys(21); 20—Trp(21); 21—Trp(18)

图 10-74 氨基酸分离谱图^[40]

色谱柱: Amino Pac PA1 pellicular 阳离子交换树脂, 250 mm×4.0 mm (内径)

保护柱: AminoPac PA1, 25 mm×3 mm (内径)

柱温: 室温

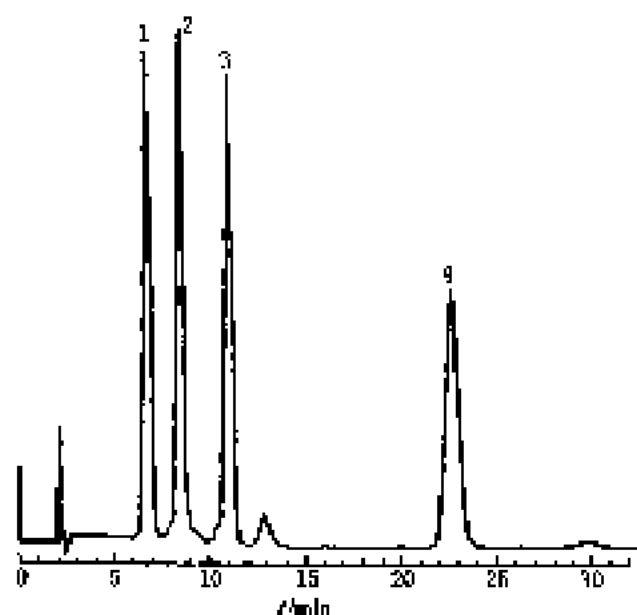
流动相: A: 33 mmol·L⁻¹ NaOH + 7 mmol·L⁻¹ 硼酸; B: 50 mmol·L⁻¹ NaOH; C: 23 mmol·L⁻¹ 硼酸; D: 0.65 mol·L⁻¹ 乙醇; E: 1 mol·L⁻¹ NaOH/0.3 mol·L⁻¹ 硼酸

梯度洗脱:

时间/min	F/%			
	A	B	C	D
0—10	100	0	0	0
10—16.5	100→0	100→0	0	0
16.5—20	0	100	0	0
20—32	0	100→0	100→0	0
32—50	0	0	100	0
50—60	0	0	0	100
60—70	100	0	0	0

流速: 0.8 ml·min⁻¹

检测器: PHAC-PAD

图 10-75 微胱氨酸的分离图谱^[40]

色谱峰: 1—RR; 2—YR; 3—LR; 4—LA

色谱柱: Nucleosil C₁₈, 150 mm×4.6 mm(内径), 5 μm

流动相: 甲醇+0.05 mol·L⁻¹磷酸盐缓冲液(pH3) (体积比=6:4)

流速: 1 ml·min⁻¹

检测器: UV(220 nm)

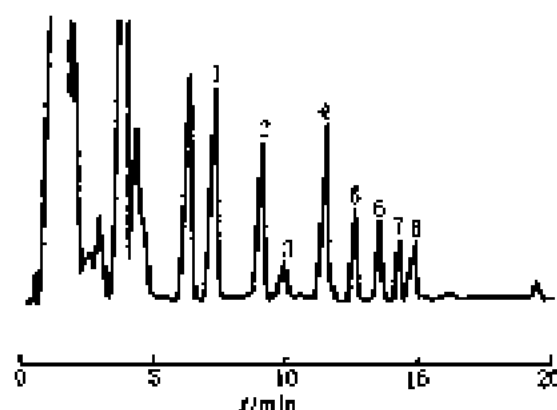
图 10-76 酪氨酸和甲状腺素氨酸的 FMOK 衍生物标准混合物图谱^[41]

色谱峰: 1—MIT; 2—TQ; 3—DNT; 4—T2; 5—T3; 6—T3; 7—T4

色谱柱: Chromaspher C₁₈, 100 mm×3.1 mm(内径), 5 μm

流动相: 酸性梯度 0 min 0.05 mol·L⁻¹乙酸酐(pH=6.2) + 甲醇(体积比=60:40)
40 min 0.05 mol·L⁻¹乙酸酐(pH=4.2) + 甲醇+乙醇(体积比=20:60:20)

检测器: (a) 荧光; (b) 紫外可见

图 10-77 酪氨酸和甲状腺素氨酸的丹酰衍生物标准混合物图谱^[42]

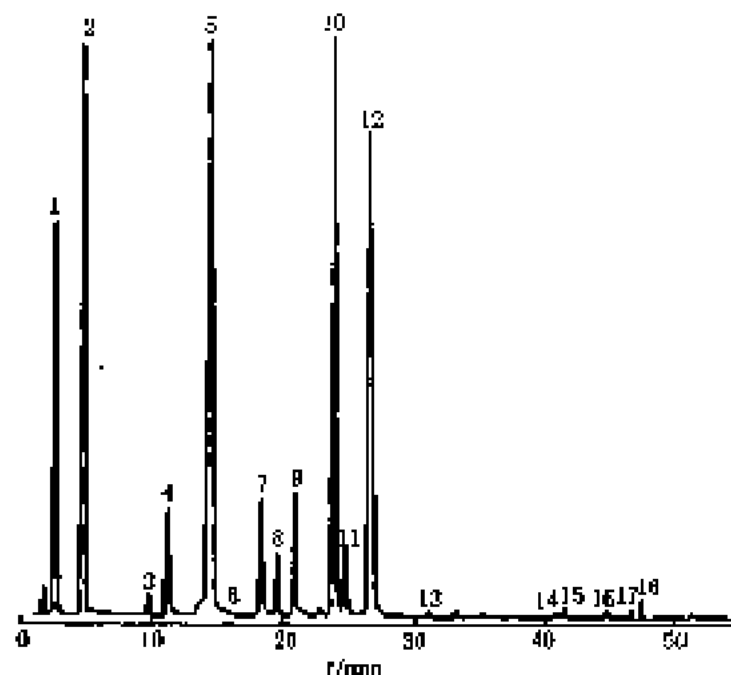
衍生物标准混合物图谱^[42]

色谱峰: 1—TYR; 2—MIT; 3—DNT; 4—TQ; 5—T2; 6—T3; 7—T4; 8—T3

色谱柱: Chromaspher C₁₈, 100 mm×3 mm(内径), 5 μm

流动相: 采用酸性梯度 0 min 0.025 mol·L⁻¹乙酸酐(pH=6.5) + 甲醇(体积比=30:70)
15 min 0.025 mol·L⁻¹乙酸酐(pH=5.5) + 甲醇(体积比=10:90)

检测器: UV(438 nm)



色谱峰: 1—ASP; 2—GLU; 3—ASN; 4—SER; 5—GLN; 6—HIS; 7—GLY; 8—THR; 9—ARG; 10—VAL; 11—ALA; 12—GABA; 13—TYR; 14—MET; 15—VAL; 16—PHE; 17—ILE; 18—LEU

色谱柱: 填充 Ultraphase ODS 载体: 75 mm × 4.5 mm (内径); 3 μm

梯度洗液: OPA

柱温: 21℃

流动相: 溶剂 A 0.1 mol·L⁻¹ NaAc 缓冲液 (pH 2)

溶剂 B 甲醇—THF (体积比—87:13)

梯度洗液: 0% B $\xrightarrow{12 \text{ min}}$ 18% B

1 min \rightarrow 18% B $\xrightarrow{4 \text{ min}}$ 28% B

28% B $\xrightarrow{8 \text{ min}}$ 28% B

12 min \rightarrow 45% B

3.5 min \rightarrow 45% B

7.5 min \rightarrow 70% B

1 min \rightarrow 100% B

3 min \rightarrow 100% B

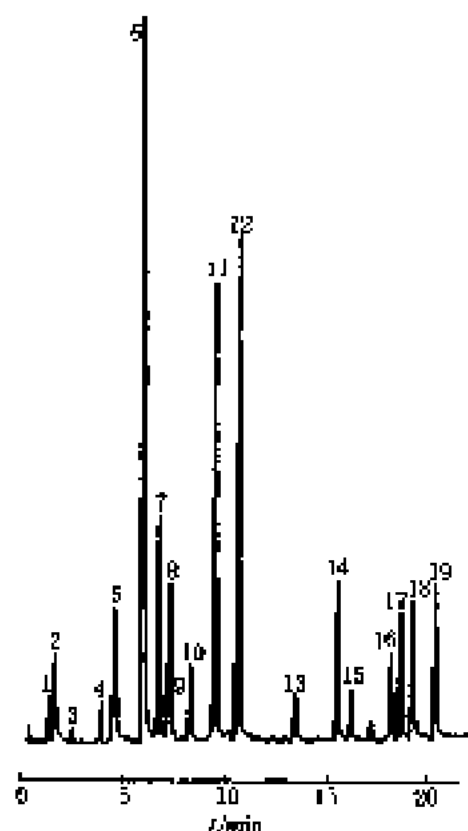
1 min \rightarrow 100% B $\xrightarrow{10 \text{ min}}$ 10% B

10% B

流速: 1.5 ml·min⁻¹

检测器: 荧光 ($\lambda_{ex}=280 \text{ nm}$, $\lambda_{em}=425 \text{ nm}$)

图 10-78 人脑中的氨基酸的分离谱图^[42]



色谱峰: 1—ASP; 2—GLU; 3—ADA; 4—ASN; 5—SER; 6—GLN; 7—GLY; 8—THR; 9—HIS; 10—CTR; 11—ALA; 12—ARG; 13—TYR; 14—VAL; 15—MET; 16—ILE; 17—PHE; 18—LEU; 19—LYS

色谱柱: 填充 3 μm Spherosorb ODS 3, 200 mm × 1.8 mm (内径)

柱温: 室温

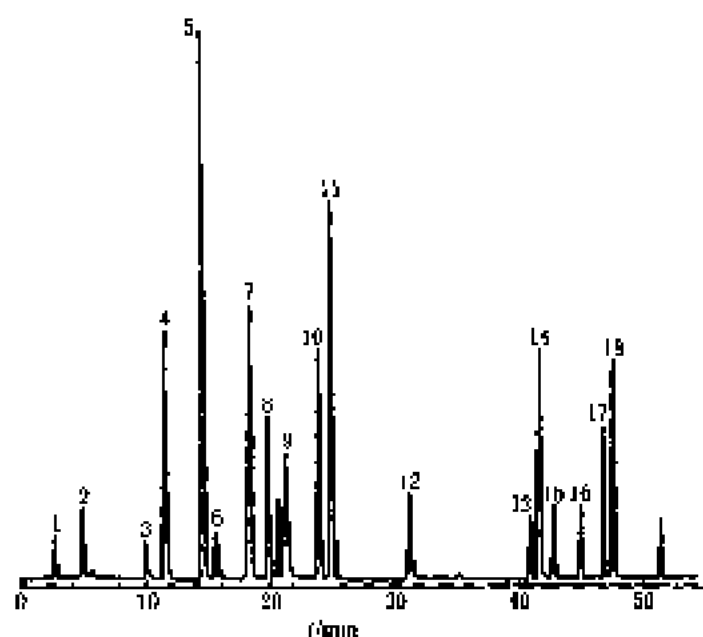
流动相: 同图 10-78

梯度洗液: 0% B $\xrightarrow{20 \text{ min}}$ 60% B

流速: 200 ml·min⁻¹

检测器: Merck F-1000 ($\lambda_{ex}=330 \text{ nm}$, $\lambda_{em}=450 \text{ nm}$)

图 10-79 人血浆 (OPA/3-MPA 衍生化) 谱图^[42]



色谱峰: 1—ASP, 2—GLU, 3—ASN, 4—SER, 5—GLN, 6—HIS, 7—GLY, 8—THR, 9—ARG, 10—TAU, 11—ALA, 12—TYR, 13—MET, 14—VAL, 15—TRP, 16—PHE, 17—ILE, 18—LEU

色谱柱: 填充 Ultrasphe® C18S 载体 75 mm × 4.6 mm (内径), 3 μm

预处理柱: OPA

柱温: 31℃

流动相: 溶剂 A 0.1 mol · L⁻¹ NaAc 缓冲液 (pH7.2)

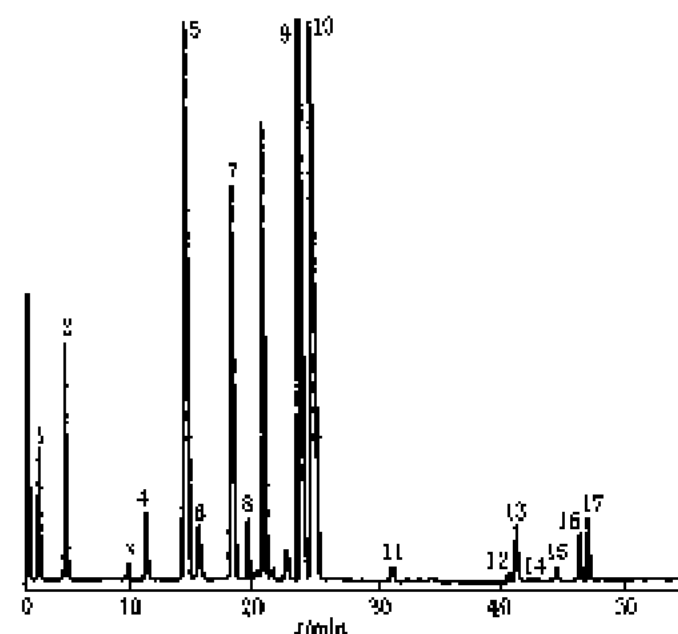
溶剂 B 甲醇 + THF (体积比 = 97 : 3)

图 10-80 鼠血浆中的氨基酸的分离谱图^[4]

梯度淋洗冲液: 0%B $\xrightarrow{12 \text{ min}}$ 18%B $\xrightarrow{4 \text{ min}}$ 18%B $\xrightarrow{4 \text{ min}}$ 28%B $\xrightarrow{6 \text{ min}}$ 28%B $\xrightarrow{12 \text{ min}}$ 45%B
 $\xrightarrow{6.5 \text{ min}}$ 45%B $\xrightarrow{7.5 \text{ min}}$ 70%B $\xrightarrow{1 \text{ min}}$ 100%B $\xrightarrow{1 \text{ min}}$ 100%B $\xrightarrow{3 \text{ min}}$ 10%B
 $\xrightarrow{19 \text{ min}}$ 10%B

流速: 1.5 ml · min⁻¹

检测器: 荧光 (λ_{ex} = 338 nm, λ_{em} = 425 nm)



色谱峰: 1—ASP, 2—GLU, 3—ASN, 4—SER, 5—GLN, 6—HIS, 7—GLY, 8—THR, 9—TAU, 10—ALA, 11—TYR, 12—MET, 13—VAL, 14—TAP, 15—PHE, 16—ILE, 17—LEU

色谱柱: 填充 Ultrasphe® C18S 载体 75 mm × 4.6 mm (内径), 3 μm

预处理柱: OPA

柱温: 21℃

流动相: 溶剂 A 0.1 mol · L⁻¹ NaAc 缓冲液 (pH7.2)

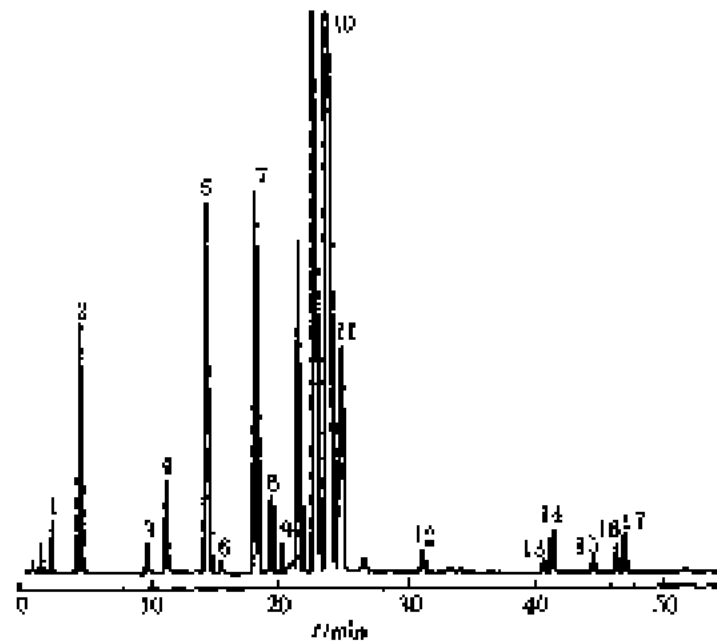
溶剂 B 甲醇 + THF (体积比 = 97 : 3)

梯度淋洗冲液: 0%B $\xrightarrow{12 \text{ min}}$ 18%B
 $\xrightarrow{4 \text{ min}}$ 18%B $\xrightarrow{4 \text{ min}}$ 28%B
 $\xrightarrow{6 \text{ min}}$ 28%B $\xrightarrow{12 \text{ min}}$ 45%B
 $\xrightarrow{6.5 \text{ min}}$ 45%B $\xrightarrow{7.5 \text{ min}}$ 70%B
 $\xrightarrow{1 \text{ min}}$ 100%B $\xrightarrow{3 \text{ min}}$ 100%B
 $\xrightarrow{1 \text{ min}}$ 10%B $\xrightarrow{19 \text{ min}}$ 10%B

流速: 1.5 ml · min⁻¹

检测器: 荧光 (λ_{ex} = 338 nm, λ_{em} = 425 nm)

图 10-81 鼠肝脏中的氨基酸的分离谱图^[4]

图 10-82 鼠脑肾中的氨基酸的分离谱图^[45]

色谱峰: 1-ASP; 2-GLU; 3-ASN; 4-SER; 5-GLN; 6-HIS; 7-GLY; 8-THR; 9-ARG; 10-TAU; 11-ALA; 12-TYR; 13-MET; 14-VAL; 15-PHE; 16-TLP; 17-LEU

色谱柱: 填充 Ultraspheare ODS 载体, 25 mm \times 4.5 mm (内径), 5 μ m

显色剂: OPA

柱温: 21 $^{\circ}$ C

流动相: 缓冲液 A 0.1 mol \cdot L $^{-1}$ NaAc 缓冲液 (pH3.2)

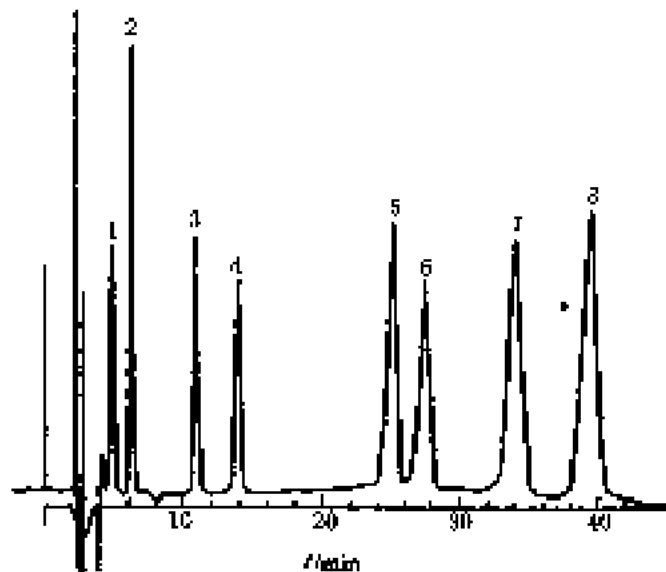
溶剂 B 甲醇 + THF (体积比=97:3)

梯度程序: 0% B $\xrightarrow[3.5\text{ min}]{12\text{ min}}$ 10% B $\xrightarrow[7.5\text{ min}]{4\text{ min}}$ 10% B $\xrightarrow[1\text{ min}]{4\text{ min}}$ 20% B $\xrightarrow[1\text{ min}]{8\text{ min}}$ 20% B $\xrightarrow[1\text{ min}]{12\text{ min}}$ 45% B $\xrightarrow[10\text{ min}]{10\text{ min}}$ 10% B

流速: 1.5 ml \cdot min $^{-1}$

检测器: 荧光 (λ_{ex} =333 nm, λ_{em} =425 nm)

第三节 生化医药类样品色谱图



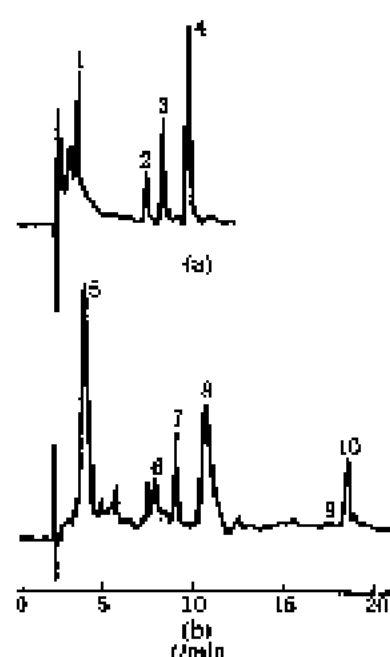
色谱峰: 1-3, 4-二羟基苯乙酸酯; 2-去甲肾上腺素; 3-肾上腺素; 4-3, 4-二羟基苯酸; 5-多巴胺; 6-3, 4-二羟基苯丙酸; 7-N-甲基多巴胺; 8-3, 4-二羟基苯乙醇

色谱柱: Nucleosil 5-C $_{18}$, 250 mm \times 4.6 mm \times 5 μ m

流动相: 60 mmol \cdot L $^{-1}$ 甲磺酸铵 + 30 mmol \cdot L $^{-1}$ 磷酸 + 0.15 mmol \cdot L $^{-1}$ 辛基磺酸铵 + 0.1 mmol \cdot L $^{-1}$ EDTA

检测器: 电化学检测

图 10-83 8 种不同凡茶酚衍生物分离谱图^[39]

图 10-84 典型血清样品分离谱图^[200]

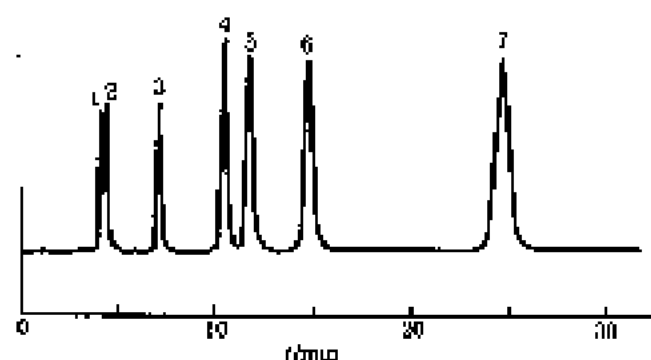
色谱峰: 1—维生素 A, 2— β -维生素 E, 3— α -维生素 F, 4— α -乙酰生育酚; 5—叶黄素和玉米黄质; 6—隐黄质; 7— β -胡萝卜素-4-酮; 8—番茄红素; 9— α -胡萝卜素; 10— β -胡萝卜素

色谱柱: 填充 Nova-Pak C_{18} 载体, 250 mm \times 3.9 mm

保护柱: Nova-pak 型

流动相: 乙醇+二氧甲烷+甲醇 (体积比=7:2:1)

检测器: UV, (a) $\lambda=280$ nm, (b) $\lambda=436$ nm

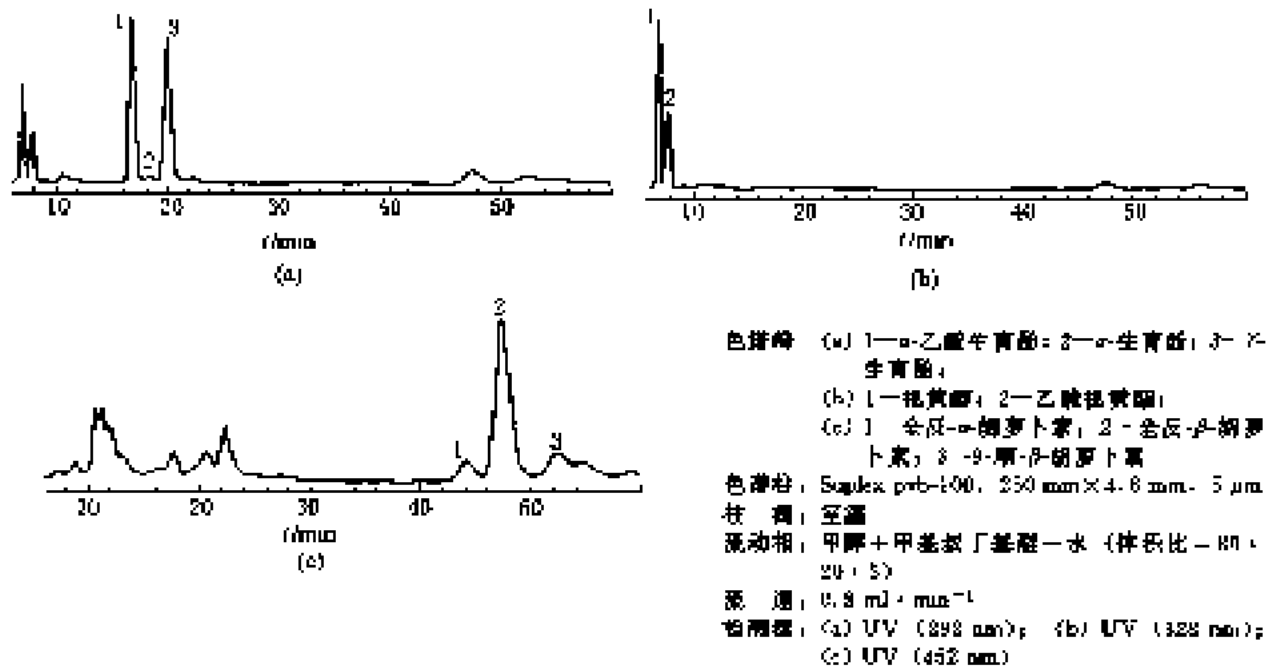
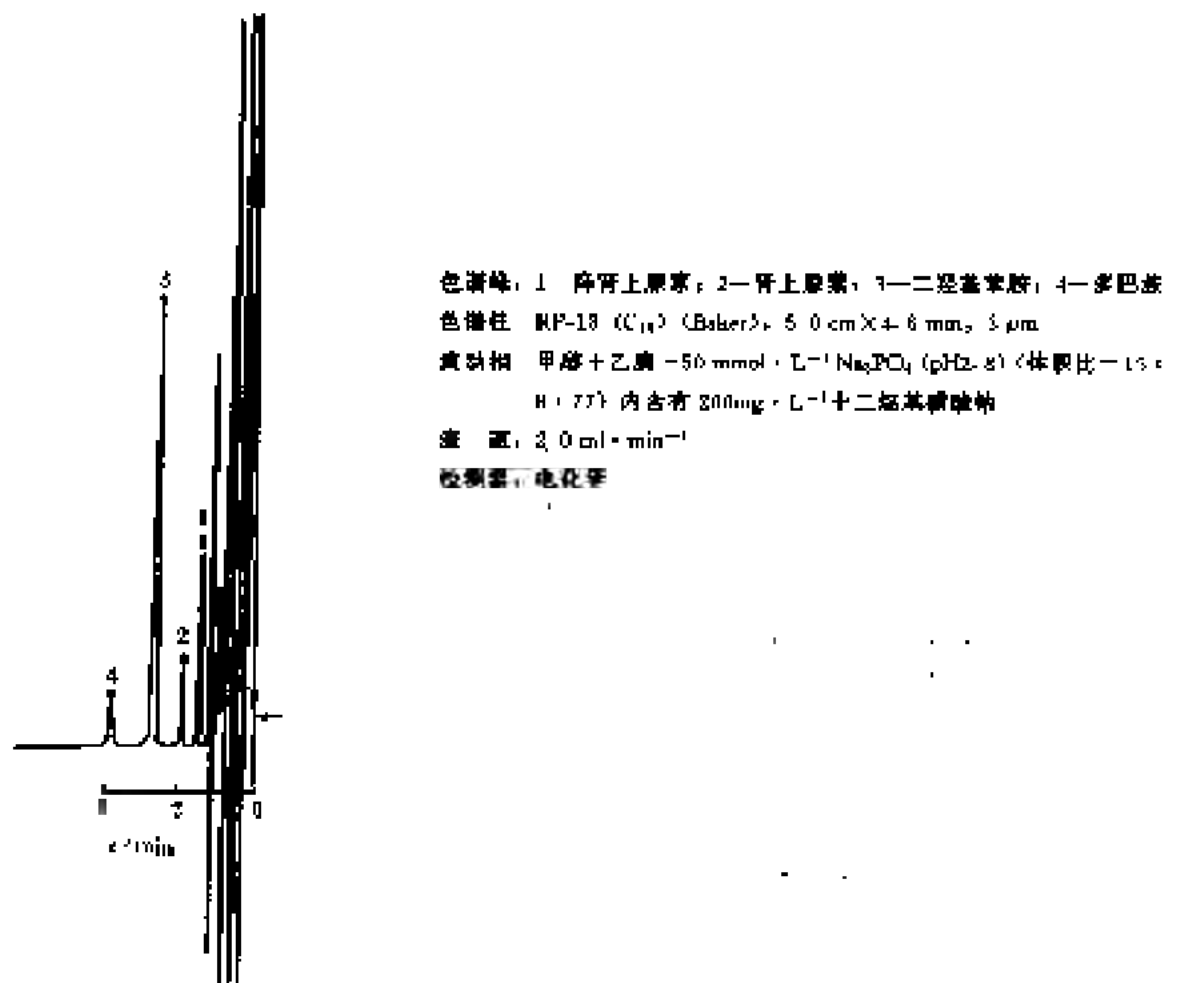
图 10-85 维生素 B₆ 和其代谢物分离谱图^[201]

色谱峰: 1—磷酸吡哆醛 (8 ng), 2—吡哆醇 (1.6 ng), 3—磷酸吡哆胺 (0.8 ng), 4—吡哆醛 (1.6 ng), 5—吡哆醇 (4.2 ng), 6—4-脱氢吡哆素 (16 ng), 7—吡哆胺 (3.2 ng)

色谱柱: 填充 micrnl 250 mm \times 4.6 mm (内径), 5 μ m

流动相: 0.015 mol \cdot L⁻¹柠檬酸+0.00185 mol \cdot L⁻¹正辛基胺磺酸

检测器: $\lambda_1=300$ nm, $\lambda_2=373$ nm

图 10-86 人血浆萃取物分离谱图^[54]图 10-87 人血浆儿茶酚胺及尿代谢物的分离谱图^[55]

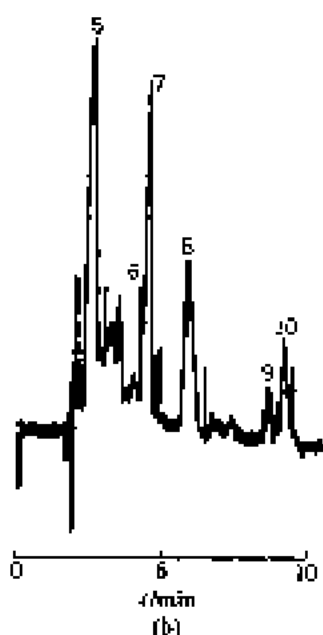


图 10-88 人血清萃取物分离谱图^[34]
 色谱峰: 1—视黄醇 (213 nm); 2—视黄基乙醇盐 (213 nm); 3— α -生育酚 (290 nm); 4—生育酚基乙醇盐 (290 nm) 紫外检测波长为 (450 nm); 5—叶黄素+玉米黄质; 6— β -胡萝卜素; 7— β -隐黄质; 8—番茄红素; 9— α -胡萝卜素; 10— β -胡萝卜素
 色谱柱: 填充 Sphern-5-RP-18, 120 mm \times 4.6 mm (内径), 5 μ m
 保护柱: 填充 ODS RP-18 15 mm \times 3.2 mm
 流动相: 乙腈+二氯甲烷+甲醇 (体积比=70:20:10)
 流速: 1.8 ml \cdot min⁻¹
 进样体积: (5~10) μ l
 检测器: (a) UV-Vis (213 nm, 290 nm); (b) UV-Vis (450 nm)

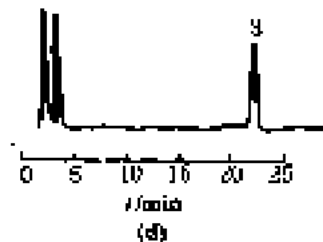
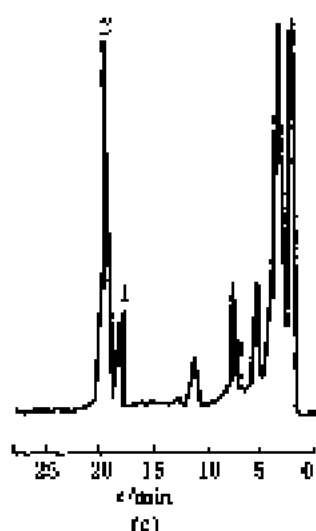
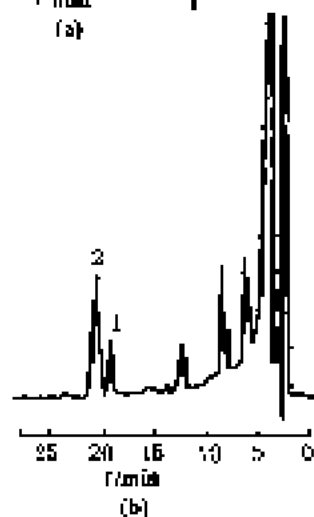
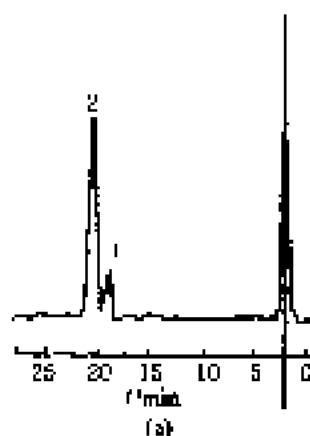
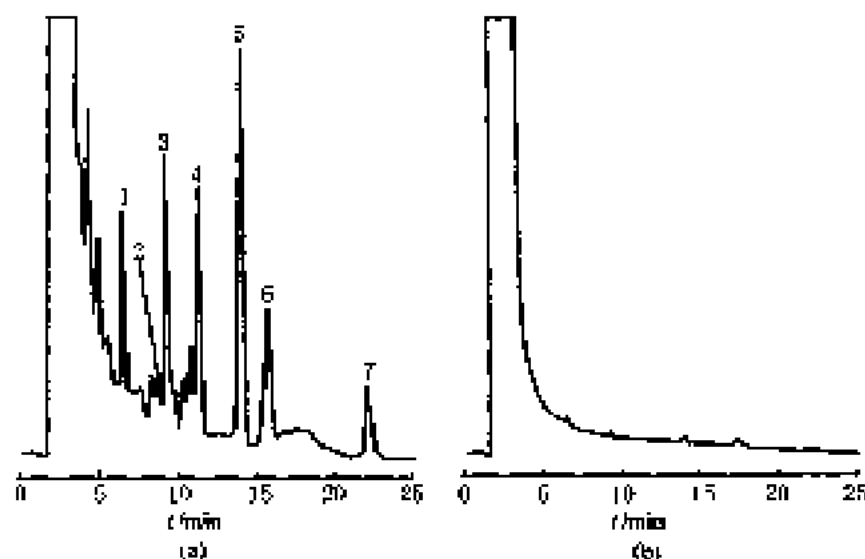


图 10-89 人血清中 α 、 β -类胡萝卜素分离谱图^[32]
 (a) 用 α 、 β -类胡萝卜素+内标视黄基乙醇盐;
 (b) 空白血清和内标物;
 (c) 真带一纯 α 、 β -类胡萝卜素+内标物
 色谱峰: 1— β -类胡萝卜素; 2— α -类胡萝卜素; 3—视黄基乙醇盐
 色谱柱: 填充 I C18, 250 mm \times 4.6 mm (内径), 5 μ m
 柱温: 室温
 流动相: 乙腈+二氯甲烷+甲醇 (75:15:10 体积分数)
 流速: 1.0 ml \cdot min⁻¹ (11 mm) - - - 1.4 ml \cdot min⁻¹ (10 mm)
 检测器: UV (525 nm)

图 10-90 人血清中脂肪酸分离谱图^[8]

(a) 试样; (b) 空白试剂

色峰峰: 1—月桂酸; 2—壬酸; 3—肉豆蔻酸; 4—棕榈酸; 5—软脂酸; 6—油酸; 7—硬脂酸

色谱柱: C_{18} , $150\text{ mm} \times 3.9\text{ mm}$

柱温: 室温

流速: $1.5\text{ ml} \cdot \text{min}^{-1}$ 流动相: $10\text{ mmol} \cdot \text{L}^{-1}$ 磷酸+乙醇 (体积比=20:80)

检测器: UV

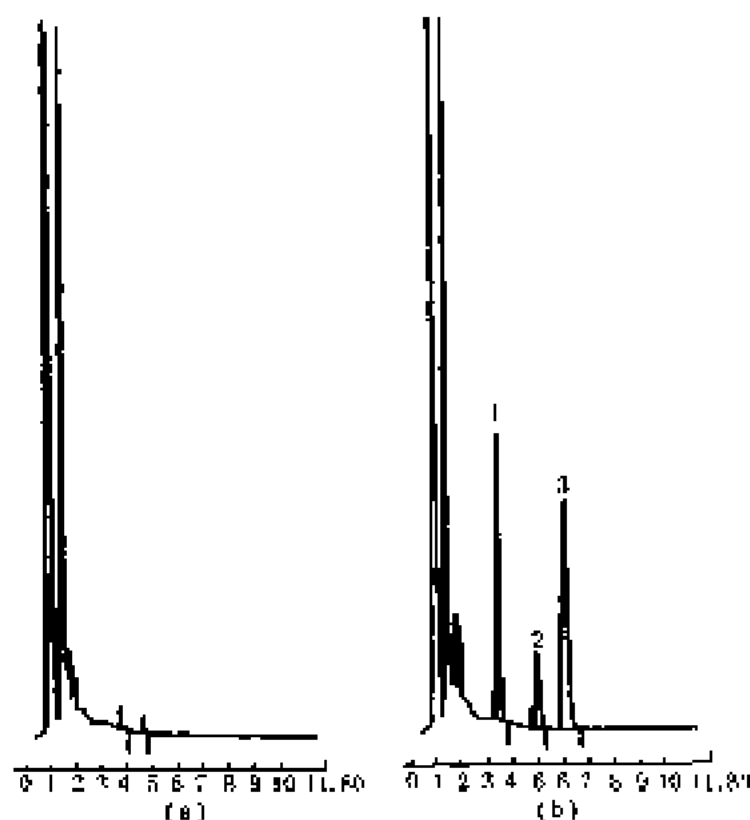
(a) 无药物原样品; (b) 掺入药物原样品

色峰峰: 1—4-羟基-异喹啉 ($2.0\text{ mg} \cdot \text{L}^{-1}$);
2—肌酐 ($0.4\text{ mg} \cdot \text{L}^{-1}$); 3—异
喹啉 ($2.0\text{ mg} \cdot \text{L}^{-1}$)色谱柱: 填充 *adsorbent* *adsorbent*, $150\text{ cm} \times$
 4.6 mm (内径), $5\text{ }\mu\text{m}$ 流动相: 乙腈 + $8\text{ mmol} \cdot \text{L}^{-1}$ KH_2PO_4
($\text{pH} 4.8$) (体积比=30:70), 等度梯
度洗脱流速: $1.5\text{ ml} \cdot \text{min}^{-1}$

柱温: 室温

进样量: $10\text{ }\mu\text{L}$

检测器: UV (208 nm)

图 10-81 人尿萃取物分离谱图^[8]

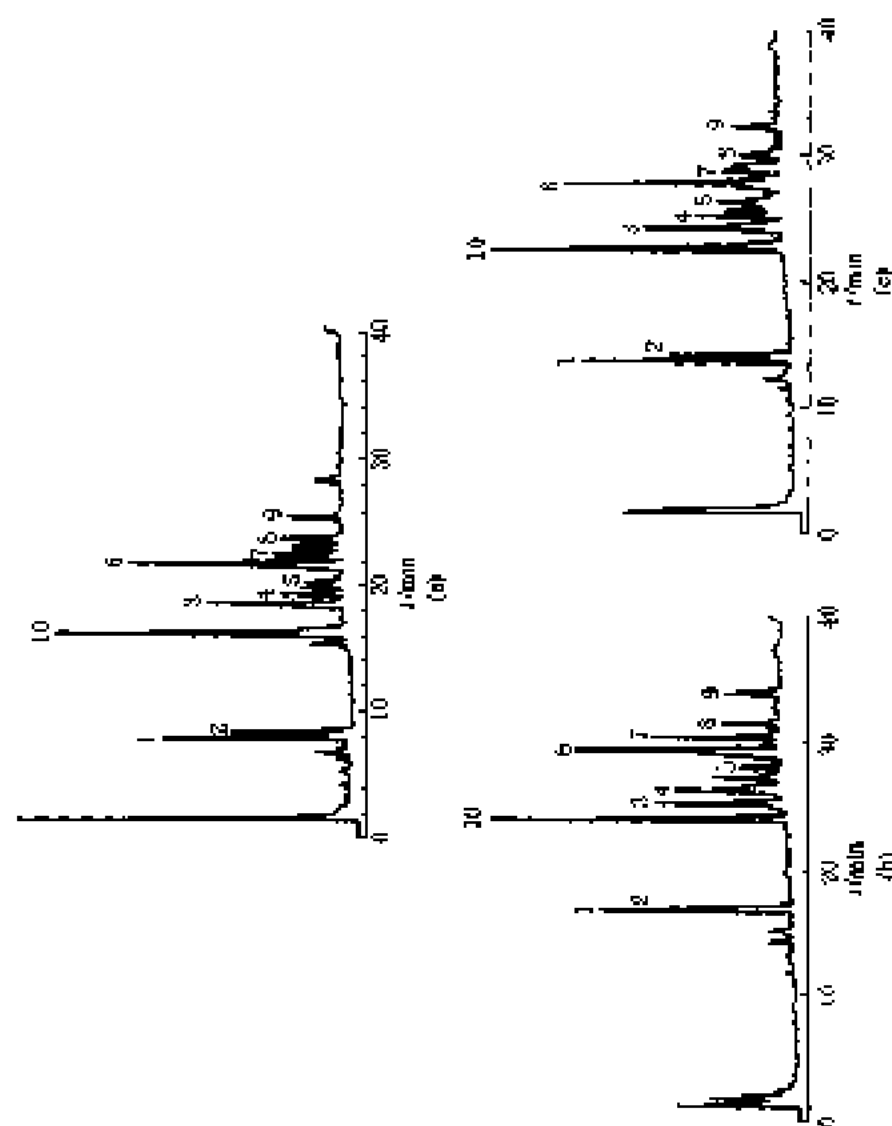


图 10-92 人参提取液在不同色谱柱上的色谱图^[10]

色谱柱: (a) 人参皂苷-R_{g1}; (b) 人参皂苷-R_{g1}; (c) 人参皂苷-R_{g1}; (d) 人参皂苷-R_{g1}; (e) 人参皂苷-R_{g1}; (f) 人参皂苷-R_{g1}; (g) 人参皂苷-R_{g1}; (h) 人参皂苷-R_{g1}; (i) 人参皂苷-R_{g1}; (j) 人参皂苷-R_{g1}。

色质柱: (a) 硅胶-ODS (8 nm), (b) 硅胶-ODS (8 nm), (c) 硅胶-ODS (8 nm)

流动相: (a) 甲醇-乙腈+50 mmol/L NaH₂PO₄ (体积比=15:85) - (50:50)

流速: 1.0 ml·min⁻¹

检测器: UV (203 nm)

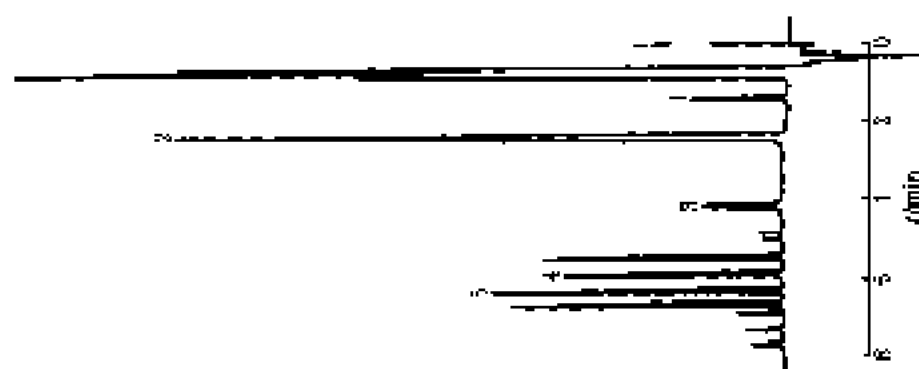


图 10-93 人参提取液在 C₁₈ 柱上的色谱图^[10]

色谱柱: 1-人参皂苷-R_{g1}; 2-人参皂苷-R_{g1}; 3-人参皂苷-R_{g1}; 4-人参皂苷-R_{g1}; 5-人参皂苷-R_{g1}

色质柱: 4-硅胶-ODS (8 nm), 5-硅胶-ODS (8 nm)

流动相: A 50 mmol/L NaH₂PO₄ pH 7.8, B 乙腈+50 mmol/L NaH₂PO₄ pH 7.8 (体积比=1:3)

流速: 1.0 ml·min⁻¹

检测器: UV (203 nm)

色质柱: 4-硅胶-ODS (8 nm), 5-硅胶-ODS (8 nm)

流动相: A 50 mmol/L NaH₂PO₄ pH 7.8, B 乙腈+50 mmol/L NaH₂PO₄ pH 7.8 (体积比=1:3)

流速: 1.0 ml·min⁻¹

检测器: UV (203 nm)

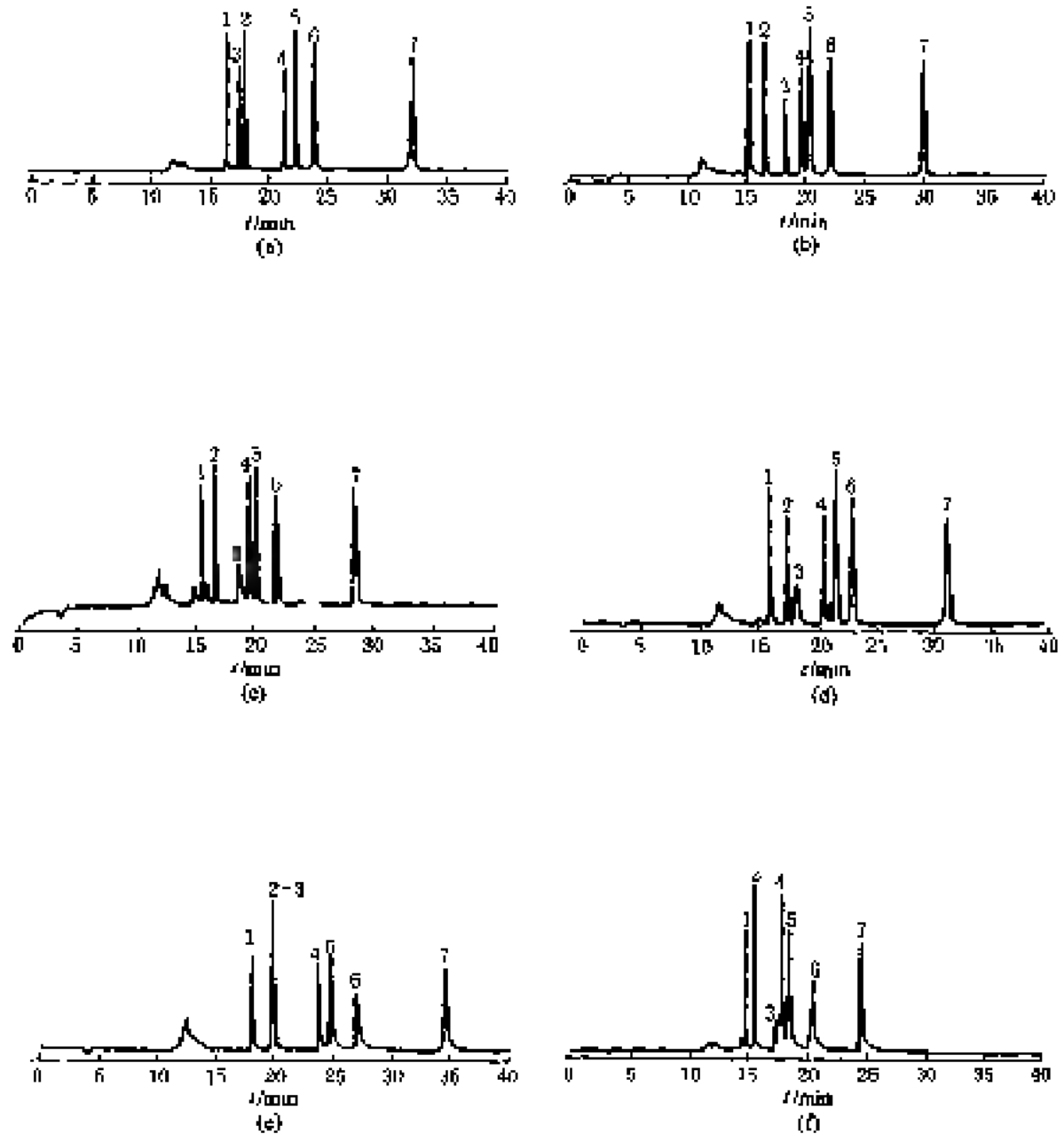


图 10-94 儿茶素和咖啡因分离谱图 (—)^(a)。

色谱峰: 1—表儿茶素; 2—儿茶素; 3—咖啡因; 4—没儿茶素; 5—没儿茶素醇; 6—没儿茶素; 7—表儿茶素醇
色谱柱: 250 mm×4.6 mm (内径)

(a) Zorbax Eclipse EDB C₁₈, 5 μm; (b) Zorbax Rx. C₁₈, 5 μm; (c) P/H Hypersil, 5 μm; (d) SMC CO-5-100, 6 μm; (e) Phenomenex Ultracarb 5 ODS, 5 μm; (f) Isobax ODS-C₁₈, 5 μm

流动相: A. 水+0.05%TFA

B. 乙醇+0.05%TFA

梯度冲洗:	时间/min	0	25	30	36
	p(B)/%	12	21	25	100

流速: 1 ml·min⁻¹

检测器: UV(210 nm)

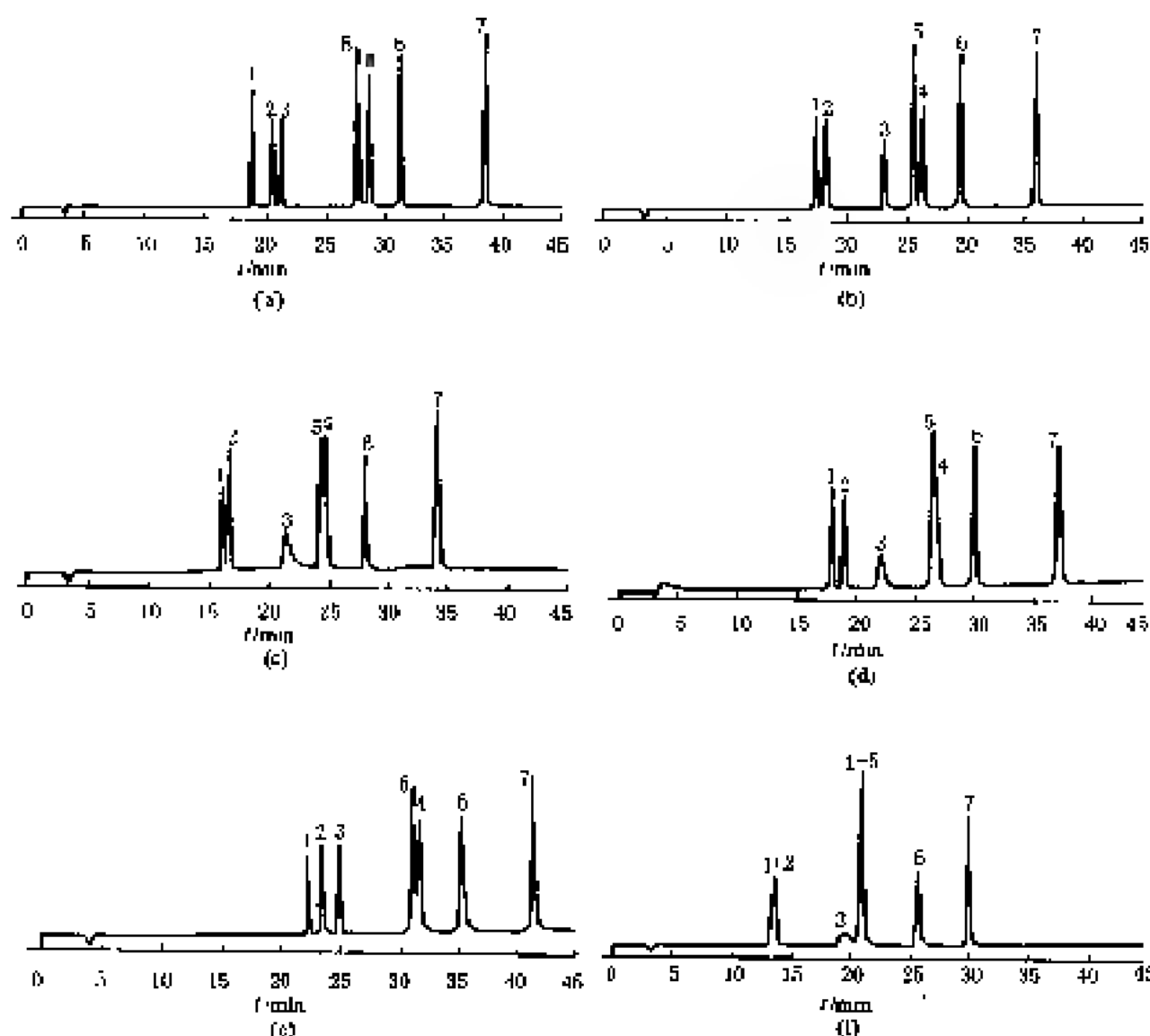


图 10-15 儿茶素和咖啡因分离谱图 (二)

色谱峰: 1—表儿茶素; 2—儿茶素; 3—咖啡因; 4—没儿茶素; 5—没儿茶素酮; 6—表儿茶酸; 7—没儿茶素酸

· 色谱柱: 250 mm×4.6 mm (内径)

(a) Zorbax Eclipse EDD C_{18} , 5 μm ; (b) Zorbax RX- C_{18} , 5 μm ; (c) PAH Hypersil, 5 μm ; (d) SBCT-OD 5 100,

5 μm ; (e) Phenomenex Ultimate 3 ODS, 5 μm ; (f) Zorbax ODS- C_{18} , 5 μm

流动相: A. 水+0.05%TFA

B. MeOH-乙腈+0.05TFA (体积比=60:40)

梯度冲洗	时间/min	0	5	50
	$\varphi(B)/\%$	10	15	40

检测器: UV(210 nm)

图 10-86 巴比妥酸盐谱图^[10]

色谱峰：1—苯巴比妥；2—丁巴比妥；3—已巴比妥；4—苯妥英；5—闭巴比妥

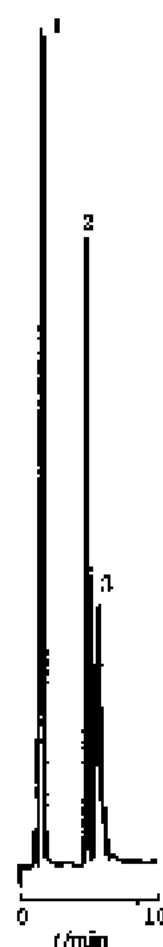
色谱柱：Chrom-Spher C₁₈ (Chrompack) 键合十八烷基硅，20.0 cm×3.0 mm (内径)，5 μm

流动相：乙醇+水 (体积比=30+70) (用磷酸调至 pH2.66)

流 速：0.5 ml·min⁻¹

检 测：直接

检测器：UV(254 nm) 0.04AUFS



色谱峰：1—4-乙酰氨基酚；2—乙酰水杨酸；3—水杨酸

色谱柱：Chrom-Spher C₁₈ (Chrompack) 键合十八烷基硅，20.0 cm×3 mm (内径)，5 μm

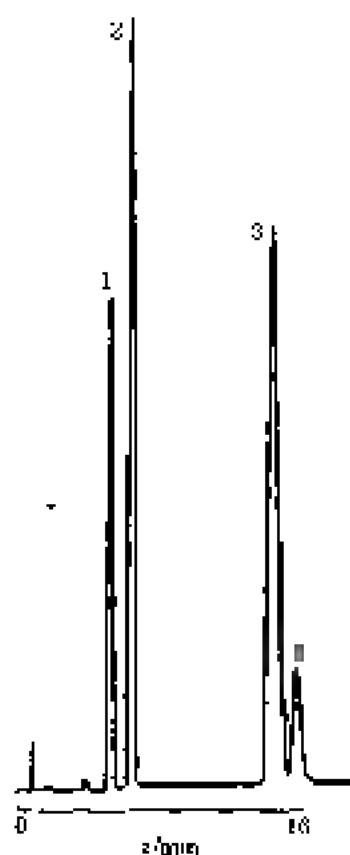
流动相：水+乙醇+乙醇

流 速：1 ml·min⁻¹

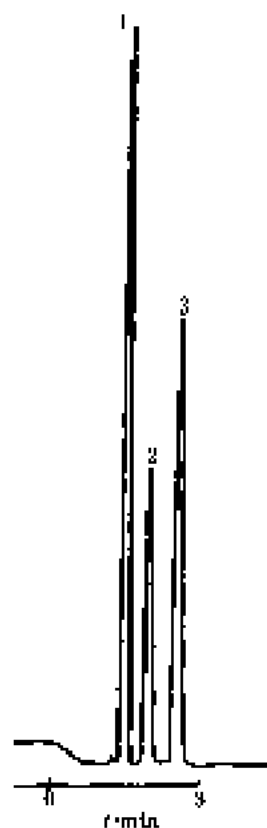
柱 温：室温

检测器：UV(230 nm)

图 10-87 止痛药的分离谱图 (-)^[10]

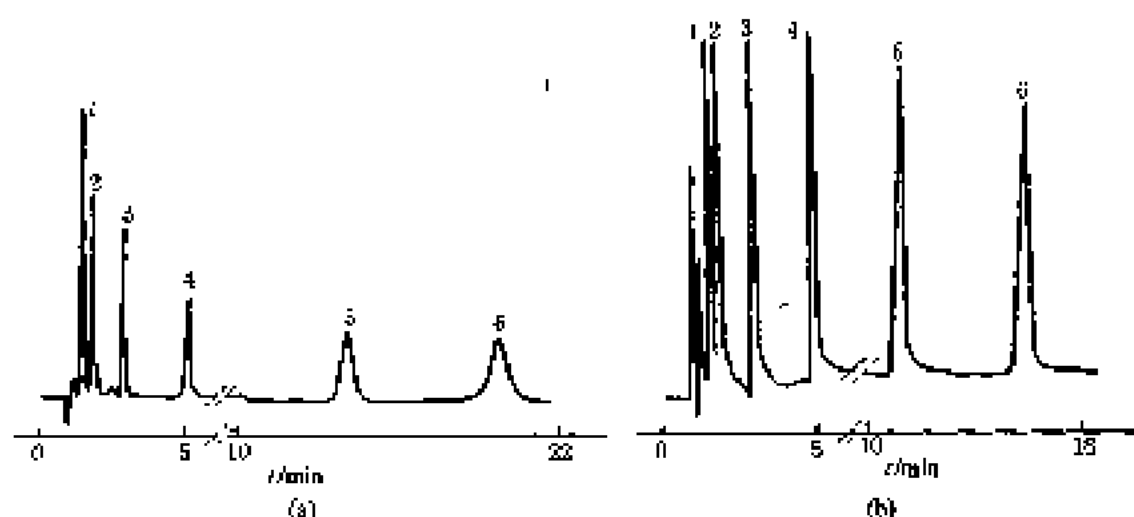


色峰峰: 1—氯普唑; 2—芬布芬; 3—喷脱美辛; 4—布洛芬
 色谱柱: Chromaspher C₁₈ (Chrompack) 键合十八烷基硅, 20.0 cm × 3 mm (内径), 5 μm
 流动相: 水—乙醇+乙酸 (体积比=62:37:1)
 流速: 1 ml · min⁻¹
 柱温: 室温
 检测器: UV(254 nm) 0.1AUFS

图 10-98 止痛药的分离谱图 (二)^[4]

色峰峰: 1—乙酰水杨酸; 2—加甲酚; 3—苯巴比妥
 色谱柱: Chromaspher C₁₈ (Chrompack) 键合十八烷基硅, 20.0 cm × 3.0 mm (内径), 5 μm
 流动相: 0.01 mol · L⁻¹ NH₄H₂PO₄ (pH3.0) + 乙醇 (体积比=85:15)
 流速: 1 ml · min⁻¹
 检测器: UV(215 nm)

图 10-99 止痛药的分离谱图 (三)^[4]

图 10-100 水溶性维生素谱图^[45]

色谱峰: 1—烟酸; 2—烟酰胺; 3—黄嘌呤核苷酸; 4—维生素 B₁₂; 5—叶酸; 6—核黄素

色谱柱: (a) LeChrompher RP-18, 125 mm×3.6 mm (内径), 5 μm

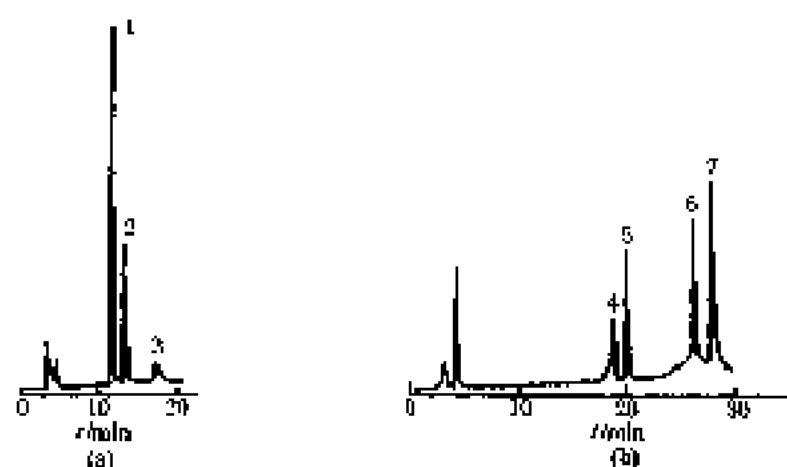
(b) Spentisack ODS-2, 100 mm×2.1 mm (内径), 3 μm

流动相: 5 mmol·L⁻¹ HSA, 20% 甲醇, 0.1% (三乙胺) KH₂PO₄/H₃PO₄, pH=2.8

流 速: (a) 1 ml·min⁻¹

(b) 0.2 和 0.3 ml·min⁻¹

检测器: UV (254 nm, 280 nm)

图 10-101 叶酸主要成分的荧光检测谱图^[46]

色谱峰: (a) 1—四氢叶酸; 2—5-甲基四氢叶酸; 3—5-甲酰基四氢叶酸; 4—二氢叶酸; 5—蝶酰谷氨酸; 6—蝶酰基; 7—3',5'-二氢叶酸

(b) 1—THF; 2—6-CN₂-THF; 3—5-CHO-THF; 4—DHF; 5—PreGlu; 6—MTK; 7—DCF

色谱柱: Shandon Hypersil ODS, 250 mm×4.6 mm (内径), 3 μm

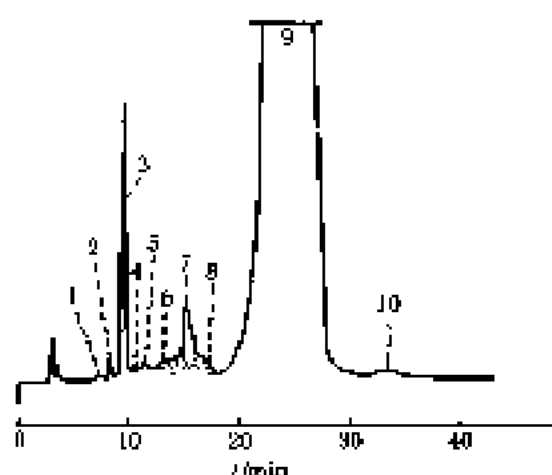
流动相: 5 mmol·L⁻¹ 磷酸 (pH2.5) + 乙醇

流 速: 0.9 ml·min⁻¹

温 度: 室温

检测器: 荧光 (a) λ_{ex} =295 nm, λ_{em} =356 nm;

(b) λ_{ex} =356 nm, λ_{em} =450 nm



色譜峰 1—ETC, 2—DMTC + EISOCTC, 3—TC, 4—EDMCTC, 5—ADTC, 6—ISOCTC, 7—DMCTC, 8—ECTC, 9—CTC, 10—ADCIC

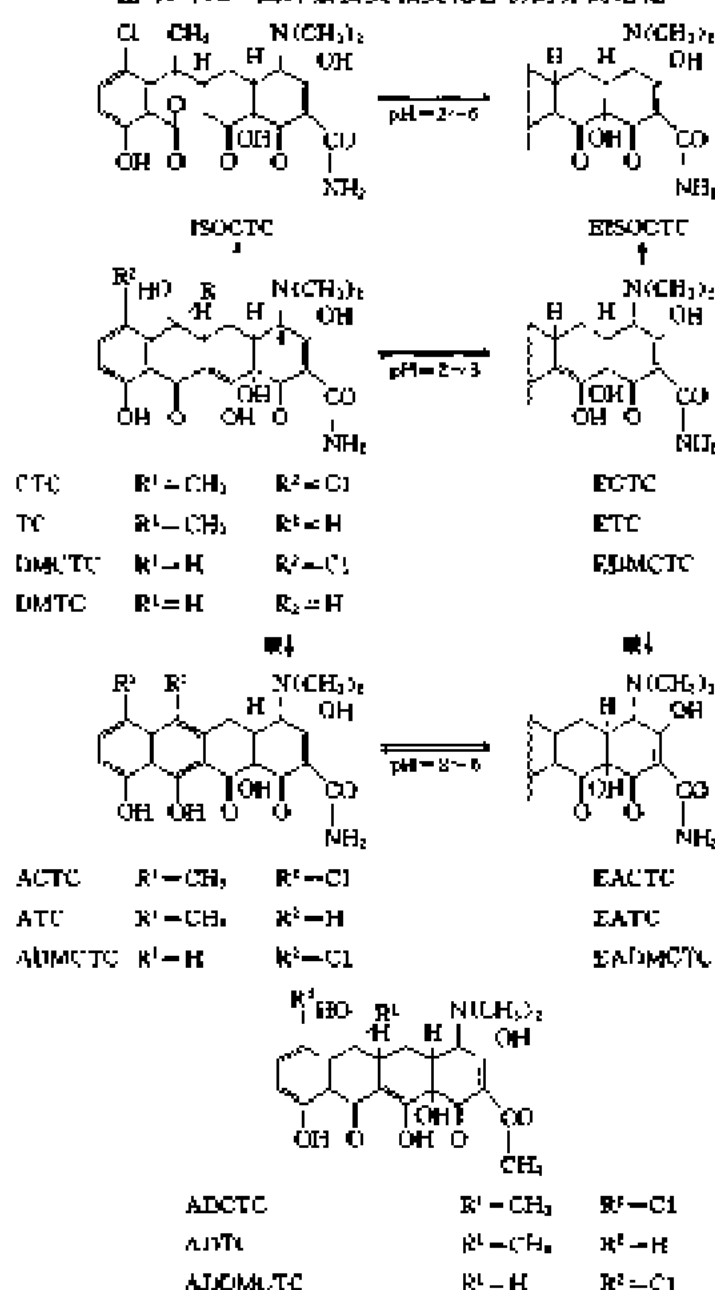
色譜柱, PLRP-S 100 nm, 250 mm×(4.6 mm (內徑)), 5 μm
柱 溫, 60℃

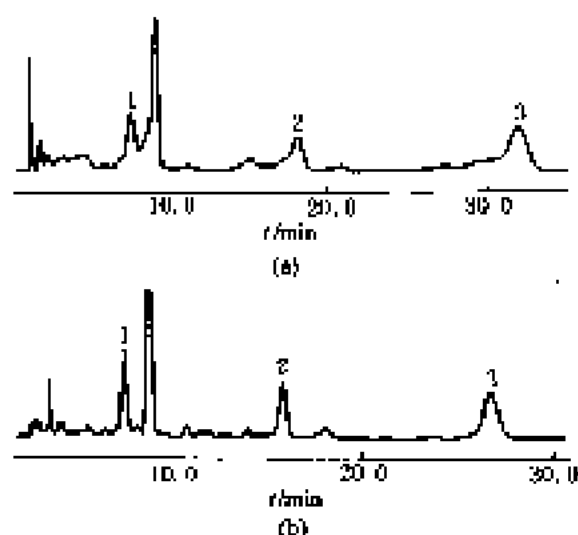
流動相, 2-甲 基-2-丙 醇 (2.5g) + 1.0 mol/L HClO₄ (5.0ml) + 水 (160.0ml)

流 速, 1.0 ml·min⁻¹

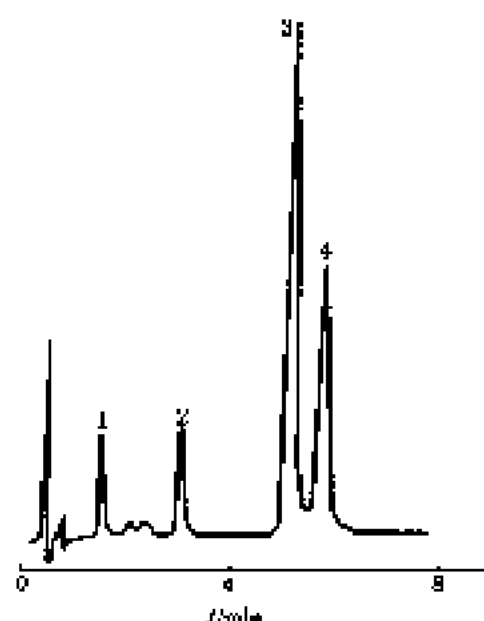
檢測器, UV (254 nm)

图 10-102 四环素及其相关化合物的分离谱图^[47]

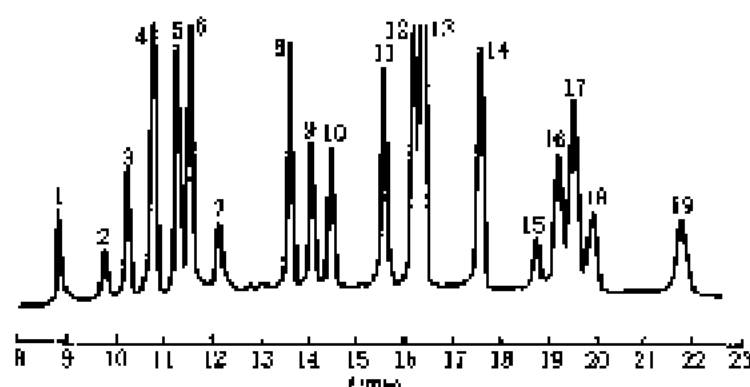


图 10-103 四环素类化合物分离谱图^[66]

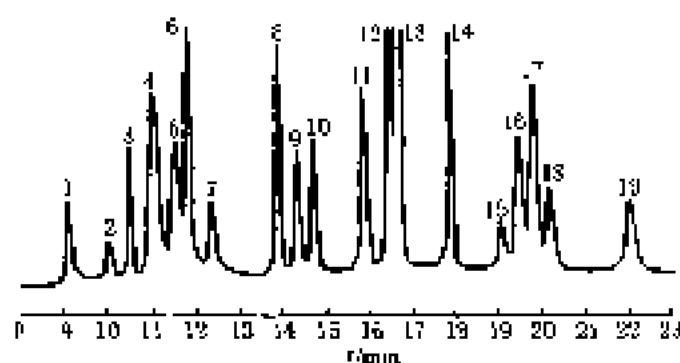
色谱峰: 1—二甲胺四环素; 2—四环素; 3—脱氧四环素
 色谱柱: 填充 SymmetryShield™ RP₁₈, 150 mm × 3.9 mm (内径), 5 μm
 保护柱: 20 mm × 3.9 mm
 流动相: (a) 甲醇;
 (b) 0.1% TEA + 4% 乙醇 + 5% 甲醇 + 水
 流速: 0.8 mL · min⁻¹
 检测器: UV (270 nm)

图 10-104 甲状腺素标准混合物的分离谱图^[67]

色谱峰: 1—T₂; 2—T₃; 3—T₃S; 4—T₄
 色谱柱: Chromosphere C₁₈, 100 mm × 4 mm (内径), 5 μm
 流动相: 磷酸盐缓冲液 (0.05 mol · L⁻¹, pH2.5, 含有 2.5 mmol · L⁻¹ 庚磺酸钠 60 mg · L⁻¹ Na-EDTA) — 甲醇 (体积比 = 30 : 70)
 检测器: 荧光等

图 10-105 多尿、咖啡因等标准样谱图(一)^[68]

色谱峰: 1—苯氧吡唑; 2—乙酰唑胺; 3—咖啡因; 4—氯唑; 5—氯代氯唑; 6—氯苯磺胺; 7—甲氧丙酮; 8—氯唑酮; 9—二氯苯磺胺; 10—氯唑酮; 11—氯甲磺胺; 12—卡马西平; 13—胺安唑; 14—苯唑酮; 15—丁苯磺胺; 16—利尿酸; 17—丁苯磺胺; 18—丙磺舒; 19—腺苷内酯
 色谱柱: 填充 Hypersil ODS 载体, 20 mm × 4 mm, 5 μm
 流动相: 0.05 mol · L⁻¹ 磷酸盐缓冲液—乙醇在 1000 mL 水中溶解 6.9g NaH₂PO₄ · H₂O 制成缓冲液
 梯度程序: 以 7% 乙醇冲洗到 15%, 3.5 min 冲洗至 50%, 12 min 然后保持在 50%, 12 min 然后保持在 50% 下冲洗 23 min
 流速: 1 mL · min⁻¹
 温度: 室温
 检测器: UV (230 nm)

图 10-106 多尿、咖啡因等标准样谱图 (二)^[10]

色谱峰: 1—双氯毗唑; 2—乙酰唑胺; 3—咖啡因; 4—氯噻; 5—氯代氯噻; 6—双苯胺; 7—甲吡丙酮; 8—氯噻酮; 9—二氯非那酮; 10—氯噻唑; 11—氯甲胺; 12—卡马西平; 13—咪唑啉; 14—苯噻唑; 15—下氯噻唑; 16—利尿酸; 17—丁基苯胺; 18—丙酮; 19—葡萄糖内酯

色谱柱: 填充 Asahipack CN 柱, 10 mm × 4.0 mm

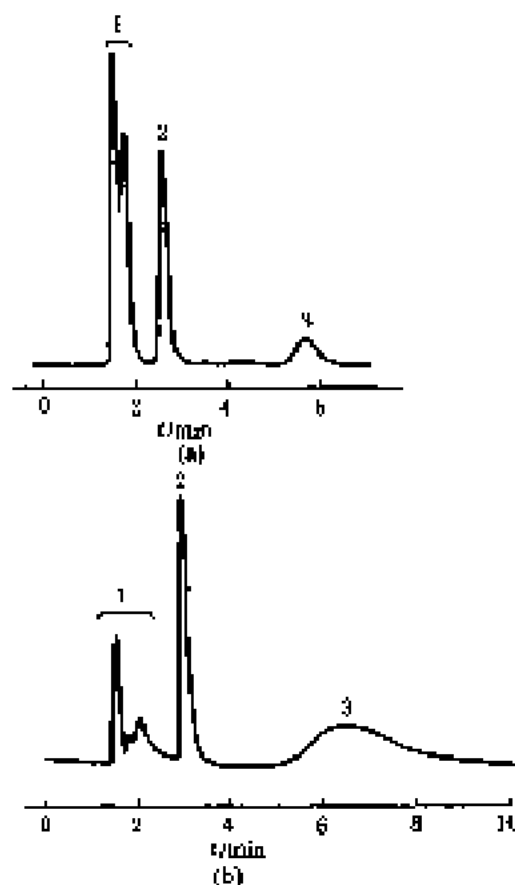
流动相: 0.05 mol/L 磷酸盐缓冲液 + 乙醇在 100% 水中溶解 6.9g $\text{NaH}_2\text{PO}_4 \cdot \text{H}_2\text{O}$ 制成缓冲液

线性梯度: 以 7% 乙醇冲洗到 15%, 5.5 min 冲洗至 50%, 12 min 然后保持在 50%, 12 min 然后保持在 50% 下冲洗 23 min

流速: 1 ml · min⁻¹

检测器: UV (230 nm)

温度: 室温

图 10-107 多维生素分离谱图^[10]

色谱峰: 1—维生素 B₁ + 维生素 D₃ + 维生素 C + VTP; 2—维生素 K₁; 3—维生素 B₂

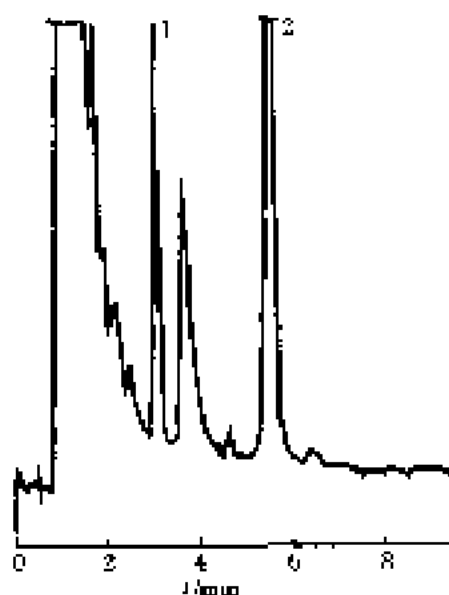
色谱柱: Supersorb C₁₈, 200 mm × 4 mm (内径), 5 μm

柱温: 室温

流动相: 0.2 mol/L HAc-NaAc + 0.01% 甲醇 (pH 5.5)

流速: 1.0 ml · min⁻¹

检测器: (a) 光电检测; (b) UV (254 nm)

图 10-108 血浆中替氯唑啉谱图^[10]

色谱峰: 1—替氯唑啉; 2—内标物

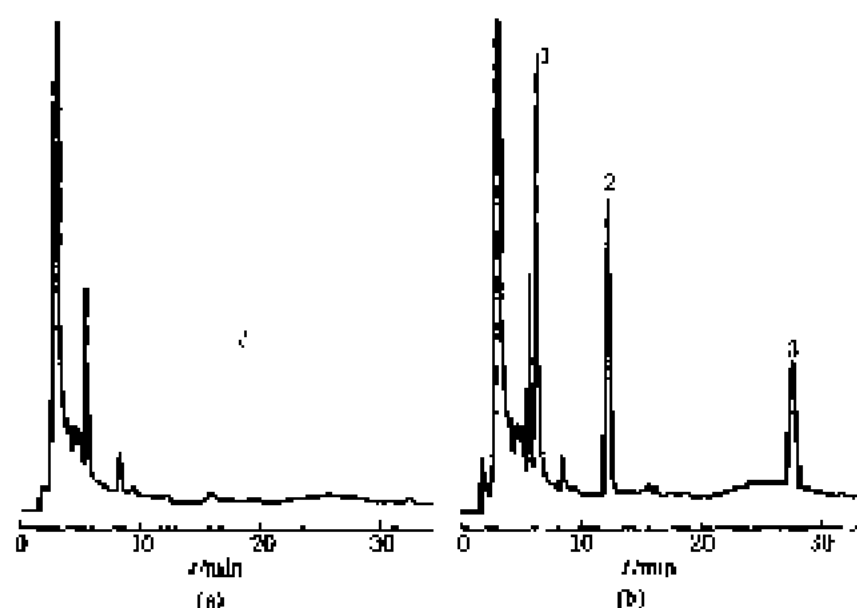
色谱柱: 填充 Zorbax ODS 填料, 250 mm × 4.6 mm (内径), 5 μm

柱温: 20°C

流动相: 乙醇 + 0.07 mol/L NaH_2PO_4 (pH 3), 等速冲洗

流速: 1.0 ml · min⁻¹

检测器: UV (280 nm)

图 10-109 血清中对氧硝基化合物分离谱图^[22]

色谱峰: 1—对硝基苯酚; 2—对氧酚; 3—对氧酚

色谱柱: Ultrazorb ODS 10, 250 mm×4.6 mm (内径), 5 μ m

保护柱: Inertsil-ODS

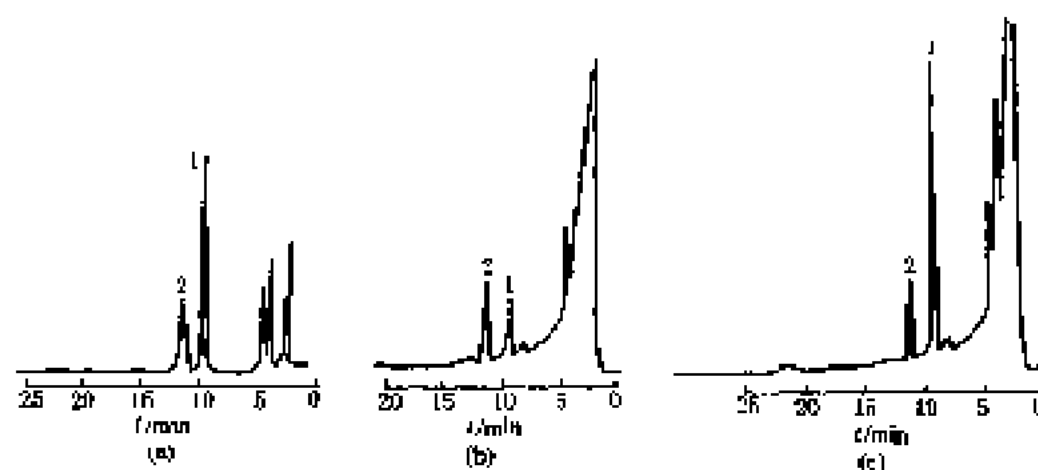
预柱: Li-chromoprep RP-8, 20 mm×9.9 mm (内径)

柱温: 室温

流动相: $0.02 \text{ mol} \cdot \text{L}^{-1}$ 磷酸盐缓冲液 (pH3.0) + 乙醇 (体积比=1:9)

流速: $1 \text{ mL} \cdot \text{min}^{-1}$

检测器: UV (280 nm)

图 10-110 血清中 α -维生素 E 分离谱图^[23]

(a) α -维生素 E 和内标物 α -维生素 E 乙酸酯; (b) 空白血清和内标物; (c) 血清和 α -维生素 E 以及内标物

色谱峰: 1— α -维生素 E; 2— α -维生素 E 乙酸酯

色谱柱: 填充 $5 \mu\text{m}$ LAC18, 250 mm×4.6 mm (内径)

柱温: 室温

流动相: 乙醇+二氯甲烷+甲醇 (体积比=75:15:10)

流速: $1.0 \text{ mL} \cdot \text{min}^{-1}$ (14 min) \rightarrow $1.4 \text{ mL} \cdot \text{min}^{-1}$ (10 min)

检测器: UV (322 nm)

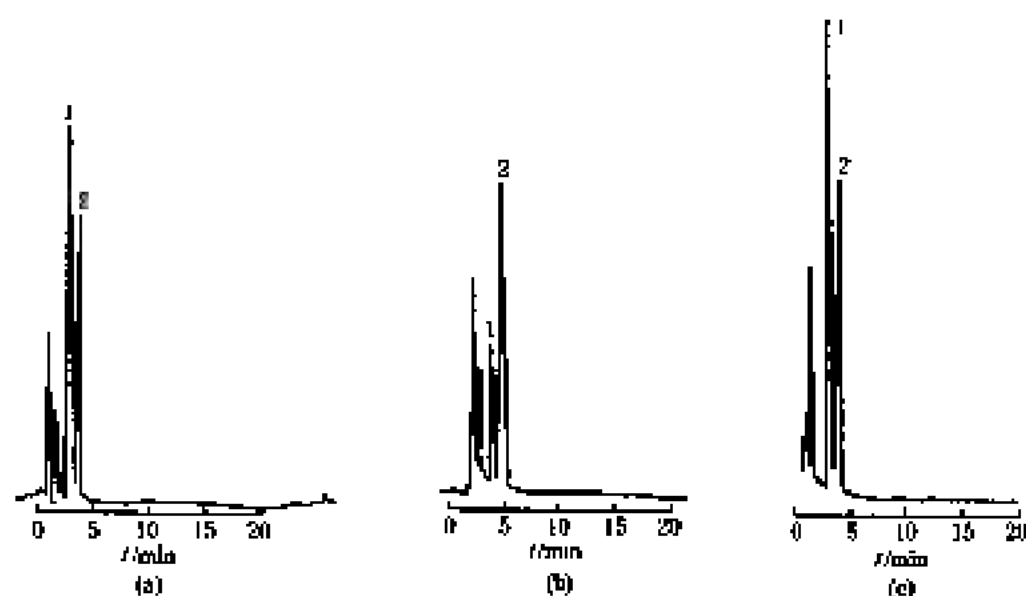


图 10-111 血清中视黄醇及内标物视黄基乙酸酯谱图^[75]

(a) 视黄醇和内标物视黄基乙酸酯; (b) 空白血清和内标物; (c) 血清和视黄醇以及内标物

色谱峰: 1—视黄醇, 2—视黄基乙酸酯

色谱柱: Supelcosil CDS, 250 mm×4.6 mm (内径)

预柱: 50 mm×4.6 mm

柱温: 室温

流动相: 乙醇+二氧甲烷+甲醇 (体积比=25+15+10)

流速: 1.0 ml·min⁻¹ (10 min) → 0.4 ml·min⁻¹ (10 min)

检测器: UV (325 nm)

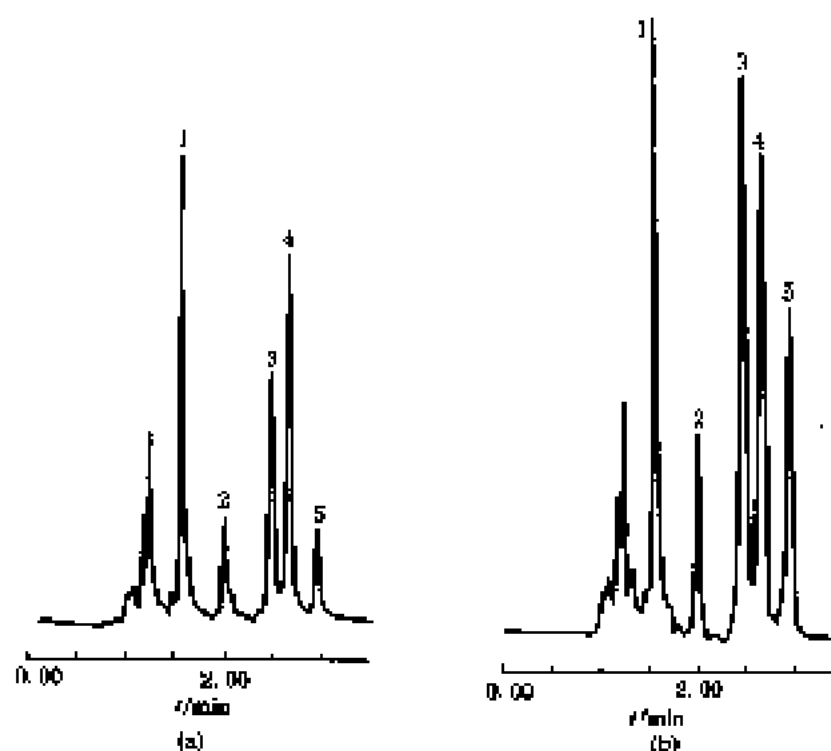


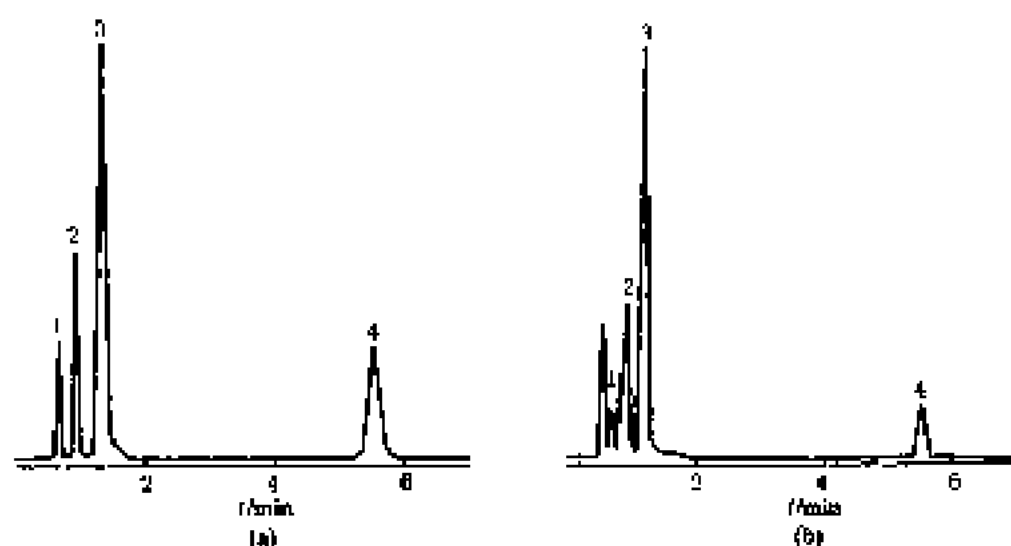
图 10-112 血清样品中抗癫痫药物谱图^[44]

色谱峰: 1—番氯米东, 2—苯巴比妥, 3—二甲苯乙内酰胺钠, 4—卡马西平, 5—苯丁巴比

色谱柱: 莫克 Chromasil C₁₈柱

流动相: 35%乙醇+24%甲醇+40%磷酸盐缓冲液 (pH=4.0)

检测器: 紫外型, (a) $\lambda=226$ nm; (b) 0~1.7 min, $\lambda=228$ nm; 1.7~2.5 min, $\lambda=225$ nm; 2.5 min后, $\lambda=230$ nm

图 10-113 尿中核酸的代表性谱图^[9]

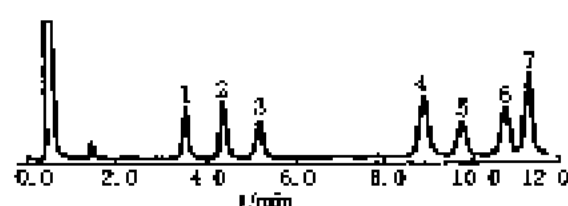
(a) 标准样; (b) 实际样

色谱峰: 1—肌酐; 2—腺嘌呤; 3—鸟嘌呤; 4—鸟嘌呤

流动相: $0.02 \text{ mol} \cdot \text{L}^{-1} \text{ KH}_2\text{PO}_4$ (pH 6.5)色谱柱: Nova-Pak C_{18} , $150 \text{ mm} \times 3.9 \text{ mm}$ (内径)流速: $1.6 \text{ mL} \cdot \text{min}^{-1}$

柱温: 室温

检测器: UV (220 nm)

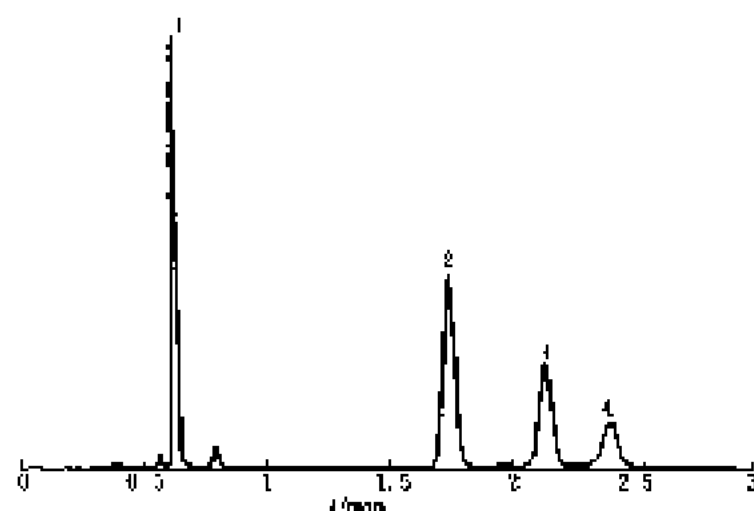
图 10-114 尿中麻黄素和相关化合物谱图^[10]色谱峰: 1—麻黄素; 2—麻黄碱; 3—伪麻黄碱; 4— β -苯基乙醇; 5—苯基丙胺; 6—甲基苯基丙胺; 7— β -苯基丙胺色谱柱: Lachropher 100 PR18, $5 \mu\text{m}$, $125 \text{ mm} \times 4 \text{ mm}$ (内径)

柱温: 室温

流速: $1.0 \text{ mL} \cdot \text{min}^{-1}$

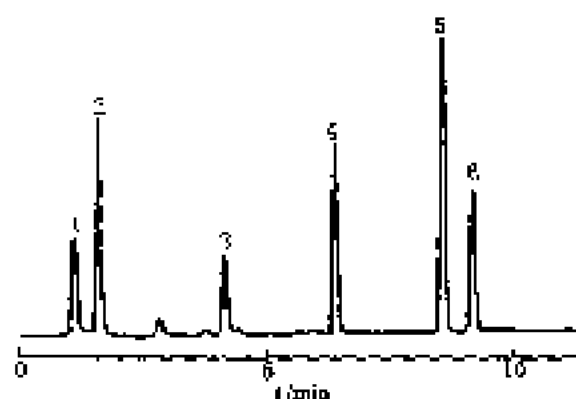
流动相: 水+乙醇

检测器: 二极管阵列检测器

线性范围: $0 \xrightarrow{5 \text{ min}} 40\% \text{ 乙醇} \xrightarrow{10 \text{ min}} 50\% \text{ 保持不变}$ 色谱峰: 1—维生素C; 2—维生素E; 3—
维生素A; 4—维生素B₁₂色谱柱: Zorbax SB-C₁₈, $75 \text{ mm} \times 4.6 \text{ mm}$
(内径), $3.5 \mu\text{m}$ 柱温: 60°C 流动相: 乙醇+0.1% TFA (体积比=98:
2)流速: $3.0 \text{ mL} \cdot \text{min}^{-1}$

检测器: UV (260 nm)

图 10-115 维生素高速分离谱图^[11]

图 10-116 抗菌素分离谱图^[11]

色谱峰: 1—阿莫西林; 2—氯比西林; 3—5-甲基-3-噁唑基-4-异噻唑青霉素衍生物; 4—青霉素 G; 5—羧苄西林; 6—5-甲基-3-噁唑基-4-异噻唑青霉素

色谱柱: Velocap RP-18 (Applied Biosystems), 10 cm × 3.2 mm (内径), 4 μm

流动相: A: 10 mmol·L⁻¹磷酸盐 (pH 6.5)

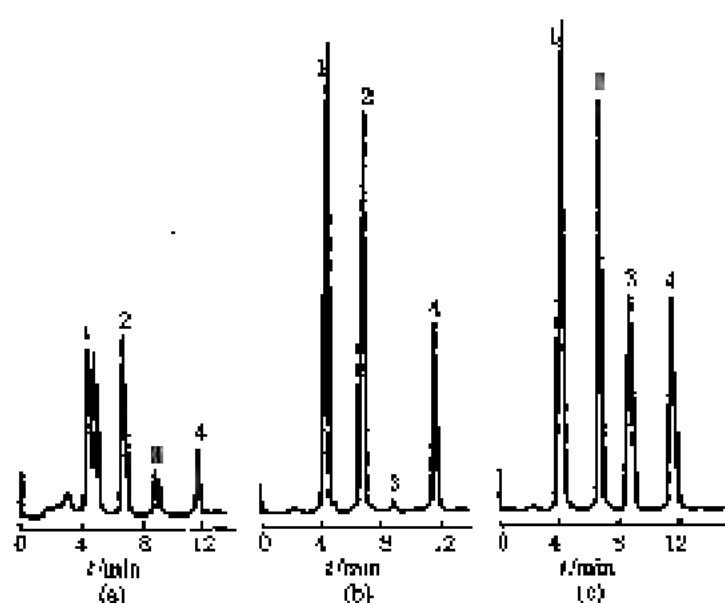
B: 50%异丙醇水溶液

线性梯度: 10 min 内从 5%B 变至 50%B

流速: 0.5 ml·min⁻¹

温度: 55°C

检测器: UV (230 nm)

图 10-117 肾上腺素分离谱图^[12]

衍生化: (a) PGN; (b) DA; (c) DPE

色谱峰: 1—去甲肾上腺素; 2—肾上腺素; 3—多巴胺; 4—去甲肾上腺素

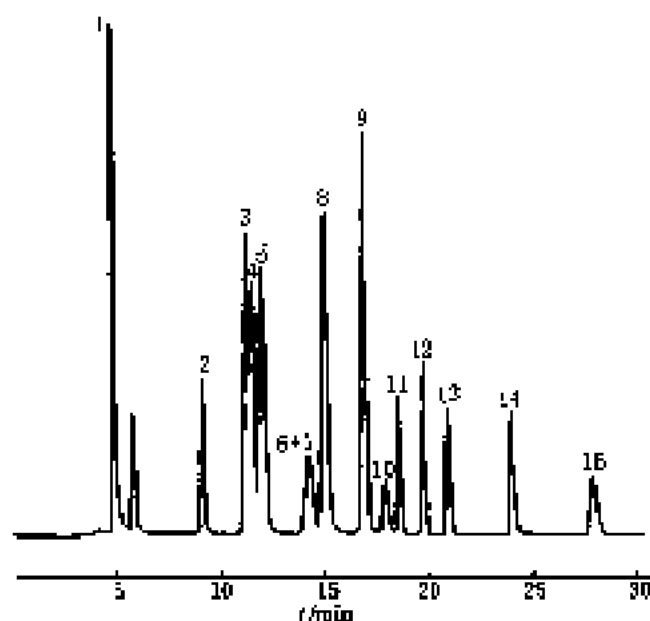
色谱柱: TSK gel ODS RUTM, 150 mm × 4.6 mm (内径), 5 μm

柱温: 33

流动相: 乙醇+甲醇+50 mmol·L⁻¹ Tris (pH 7.0) (体积比=5:1:5)

流速: 0.5 ml·min⁻¹

检测器: UV (475 nm)

图 10-118 视黄基酯类混合物的分离谱图^[10]

色谱峰: 1—视黄基乙酸酯; 2—视黄基癸酸酯; 3—视黄基亚油酸酯; 4—视黄基月桂酸酯; 5—视黄基花生四烯酸酯; 6+7—视黄基棕榈油酸酯/亚油酸酯; 8—视黄基肉豆蔻酸酯; 9—视黄基十五烷酸酯; 10—视黄基油酸酯; 11—视黄基软脂酸酯; 12—视黄基十七烷酸酯; 13—视黄基硬脂酸酯; 14—视黄基花生酸酯; 15—视黄基二十二烷酸酯

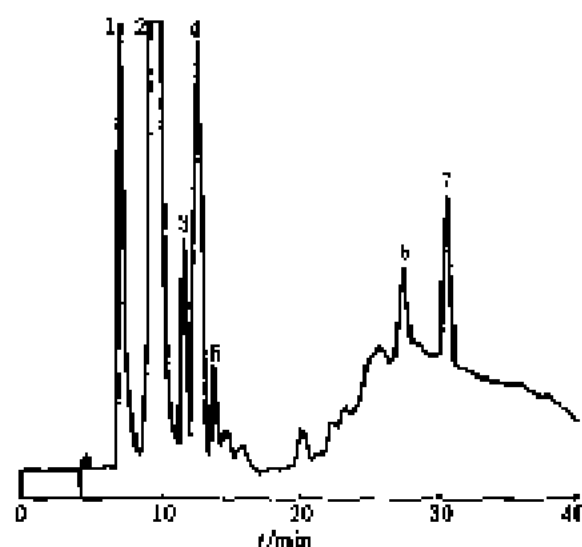
色谱柱: Suplex PKb100, 250 mm×4.6 mm (内径), 5 μ m

流动相: 溶剂 A—乙醇+甲苯+二氯甲烷+正己烷 (体积比=88:1:4:1)

溶剂 B—乙醇+甲苯+二氯甲烷+正己烷 (体积比=70:10:10:10)

梯度冲洗: 溶剂 A (1 ml·min⁻¹) 等度冲洗 14 min 然后线性冲洗至 10%B 2 min, 最后等度冲洗 14 min, 速度为 1.5 ml·min⁻¹。

检测器: UV (325 nm)

图 10-119 升放青霉南代菌物的谱图^[10]

色谱峰: 1—凡胆霉素; 2—展青霉素; 3—未确定; 4—甲基鹿醇; 5—间羟基苯甲酸; 6—8-甲基本鼠霉; 7—四甲基砒

色谱柱: Ultrasphere (Altex), 25 cm×4.6 mm, 5 μ m

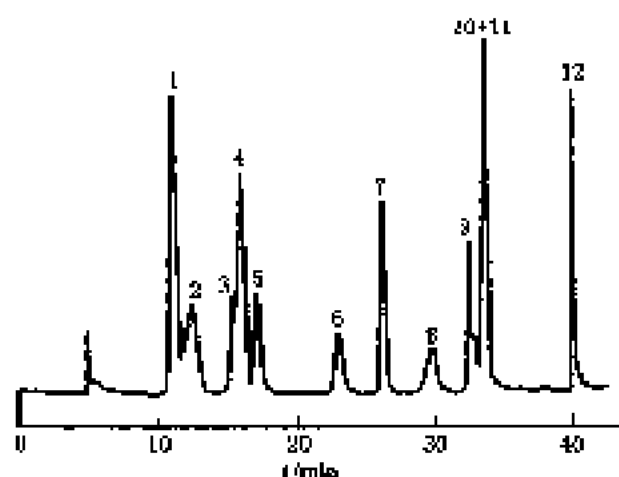
流动相: A—24 mmol·L⁻¹ K₂PO₄ (pH6.0) + 0.7 mmol·L⁻¹ [(C₄H₉)₄N]₂PO₄

B—14 mmol·L⁻¹ K₂PO₄ (pH6.0) + 0.7 mmol·L⁻¹ [(C₄H₉)₄N]₂PO₄ + ϕ =50% 甲醇

线性梯度: 0~10 min 0%B 至 60%B, 10~20 min 60%B 至 100%B, 20~30 min 保持 100%B

流速: 0.5 ml·min⁻¹

检测器: UV (280 nm)

图 10-120 开放青霉菌代谢物标准的谱图^[94]

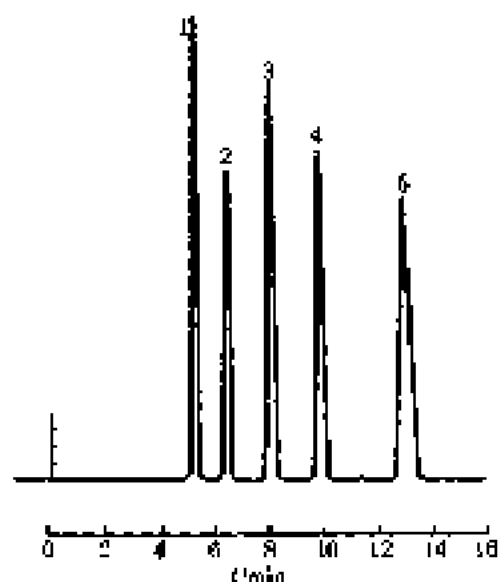
色谱峰: 1—龙胆苦苷, 2—叶点霉素, 3—新展开青霉素, 4—展开青霉素, 5—龙胆素, 6—平基酮醇, 7—间-羟基苯甲醇, 8—噻吩川霉素, 9—2,5-二羟基苯甲酯, 10—邻-羟基苯甲酯, 11—苯甲酸, 12—对甲氧基

色谱柱: Ultrasphere C₁₈ (Alltech), 25 cm × 4.6 mm, 5 μm

流动相: A 水, B 甲醇

梯度洗脱: 0—15 min 17.5% B 等度冲洗, (15—45) min 17.5% B 升至 100% B, (45—60) min 100% B 等度

检测器: UV (280 nm)

图 10-121 青霉素类化合物分离谱图^[95]

色谱峰: 1—青霉素 G; 2—青霉素 V; 3—青霉素 P; 4—邻氯青霉素; 5—二羧基青霉素

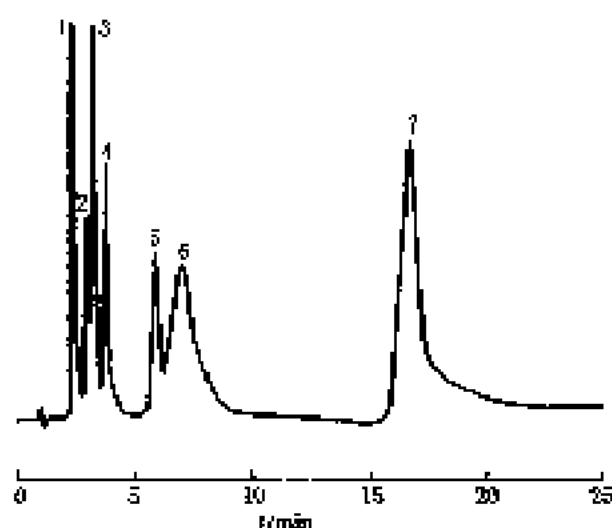
色谱柱: Partisil ODS-3, 5 μm

流动相: 含有 5 mmol/L TBAA 的乙腈 + 0.02 mol/L 磷酸盐缓冲液 (体积比 38:62) (pH 6)

流速: 1 mL/min

柱温: 40°C

检测器: UV-vis (220 nm)



色譜柱: 1—辛可宁, 2—辛可定, 3—奎尼定 (3 μg), 4—奎宁 (2 μg), 5—二氢奎宁 (3 μg), 6—奎腔 (8 μg), 7—辛可林

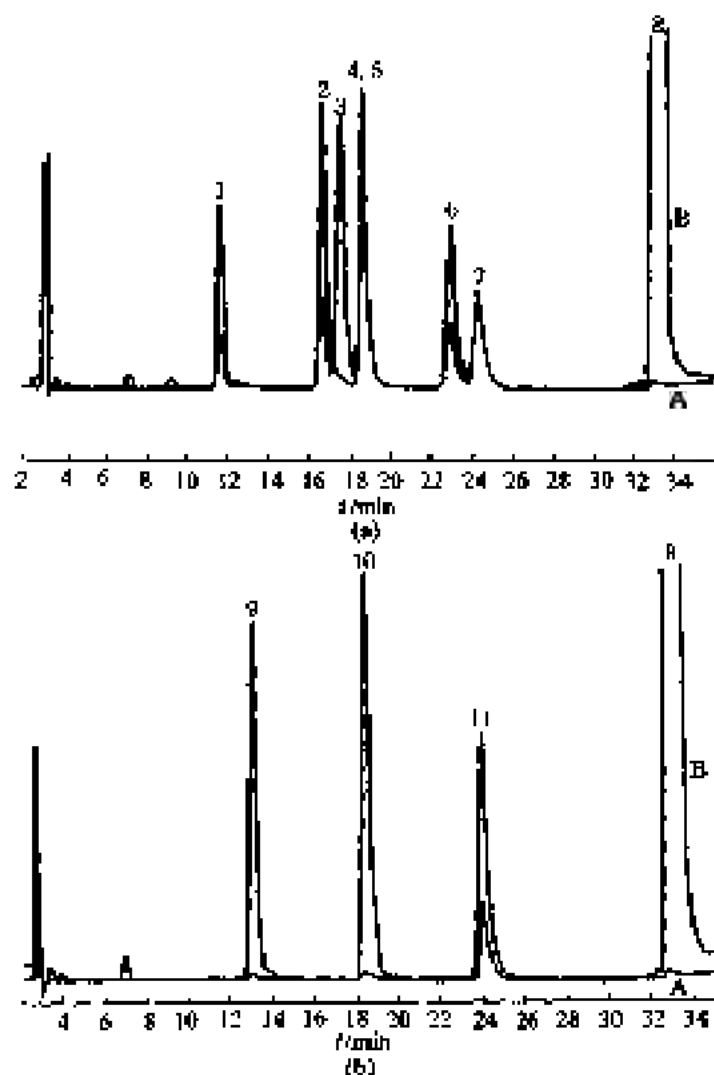
色譜柱: Lachromorb RP-8 选择 B 柱, 25 cm \times 4 μm (内径)

流动相: 0.1 mol \cdot L $^{-1}$ 磷酸钾缓冲液 + 乙醇 (体积比 = 85 : 15), 外加 5 mmol \cdot L $^{-1}$ 己酸; 以 80% H₃PO₄ 酸化至 pH 3.0, 并加入 2% 的四氢呋喃

泵: 型号 2150

检测器: UV (275 nm)

图 10-132 奎宁类化合物的分离谱图^[62]



色譜柱: 1—番泻甙, 2—五羟甙, 4—精氨酸, 4—麻黄碱, 5—槲皮素, 6—茯苓醇, 7—芹甙, 8—BHA (抗氧化剂), 9—苯酚, 10—槲皮素, 11—异鼠李素

色譜柱: Phenomenex RP C₁₈, 250 mm \times 4.6 mm (内径), 5 μm

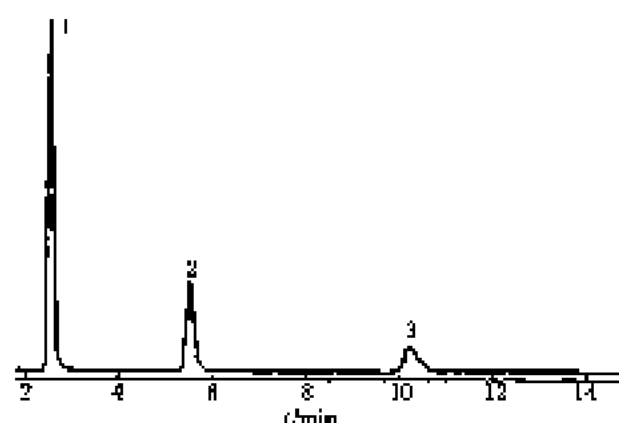
流动相: A. 甲醇 + 水 (体积比 = 30 : 70), 内含 1% 甲酸

B. 100% 甲醇

检测器: (a) UV (280 nm),

(b) UV (365 nm)

图 10-129 标准混合物的分离谱图^[62]



色质谱: 1—没药烯, 2—萹蓄酮, 3—没药酮

色谱柱: Absorbosphere RP-13, 10 mm, 4.6 mm × 85 cm

流动相: 甲醇-水 (体积比=70:30)

流速: 1.5 ml · min⁻¹

检测器: 激光光散射 (Vortex) 检测

图 10-124 类固醇分离谱图^[24]

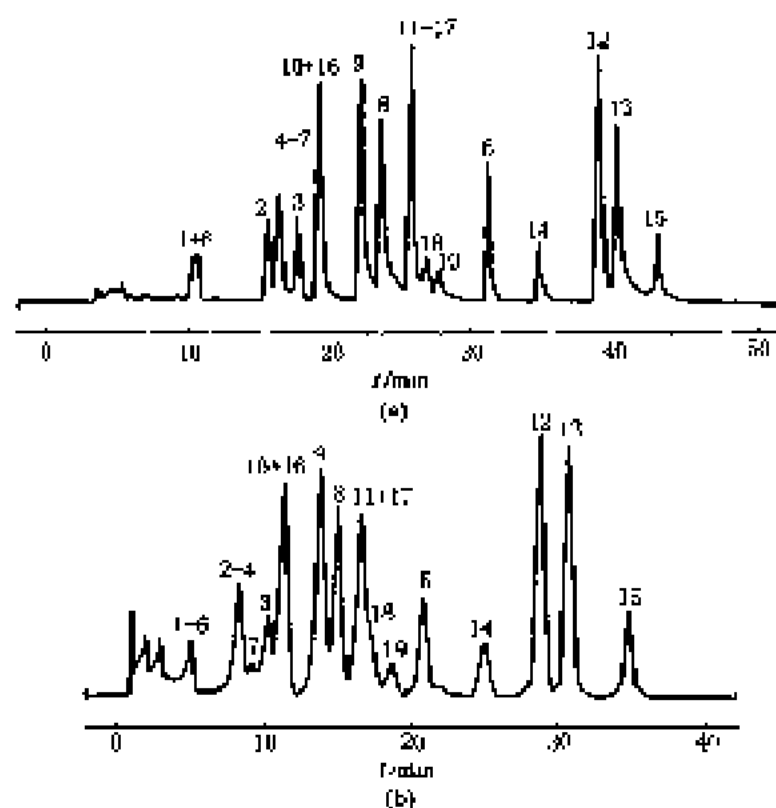


图 10-125 类皂甙标准混合物的分离谱图 (—)^[25]

色质谱: 1—生草酚; 2—4',5,7-三羟基黄酮; 3—橙皮甙; 4—柚叶甙; 5—松属素; 6—杨梅甙; 7—五羟基黄酮; 8—芸香甙; 9—3,4,7,4'-四羟基-8-甲氧基黄酮; 10—槲皮素; 11—异槲皮素; 12—3,7-二羟基黄酮; 14—高良姜素; 15—槲皮-3,7-二甲基醚; 16—槲皮-3-甲基醚; 17—槲皮-3-甲基醚; 18—异鼠李素; 19—槲皮-3,3'-二甲基醚

色谱柱: (a) Spherisorb ODS-2, 250 mm × 4 mm (内径), 3 μm

(b) LiChro CARTRP-18, 125 mm × 5 mm (内径), 5 μm

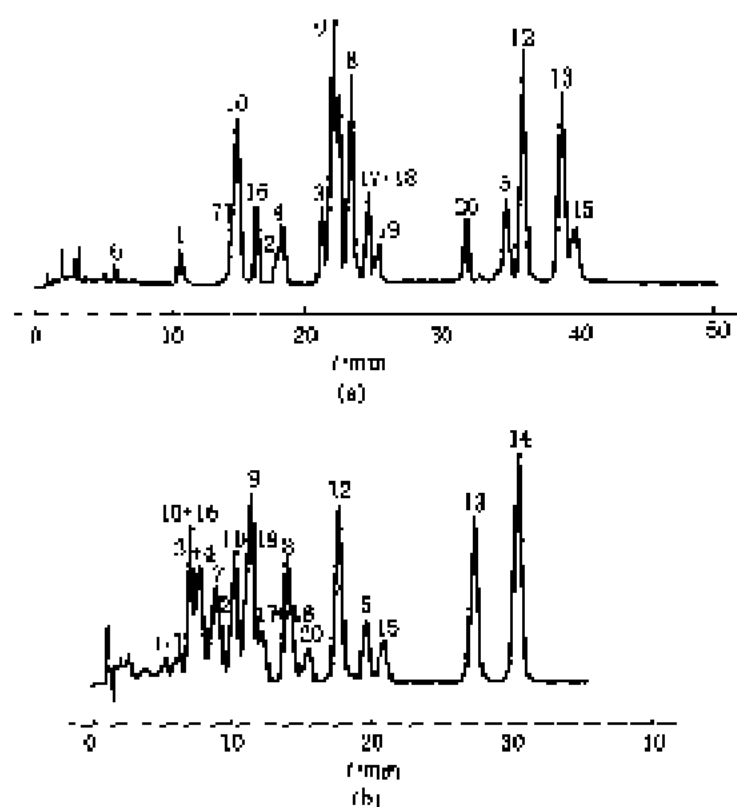
流动相: 溶液 A 水-乙醇 (体积比=95:5)

溶液 B 甲醇

梯度洗脱: 40%B —^{10 min}—15%B —^{25 min}—60%B —^{25 min}—60%B

流速: 1 ml · min⁻¹

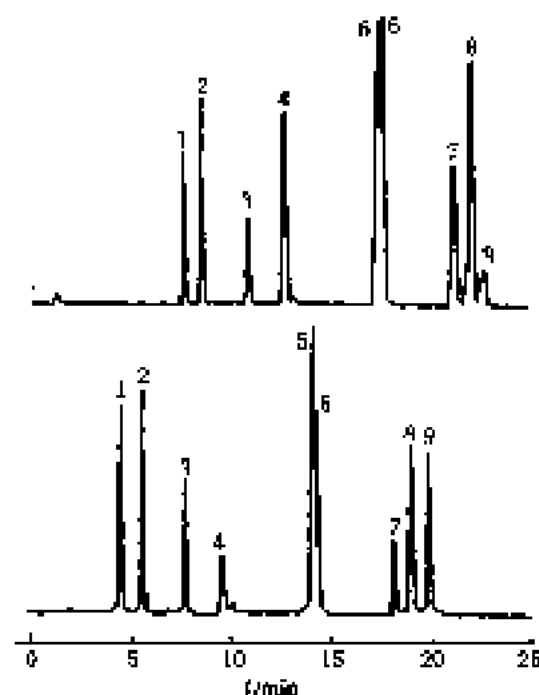
检测器: UV (254 nm)



色谱柱: 1—圣草酚; 2—4',5,7-二羟基黄酮; 3—黄皮素; 4—槲皮素; 5—槲皮素; 6—槲皮素; 7—五羟基黄酮; 8—槲皮素; 9—3,5,7,4'-四羟基-5-甲氧基黄酮; 10—槲皮素; 11—芹菜素; 12—5,7-二羟基黄酮; 13—高良姜素; 14—5-羟基-7-甲氧基黄酮; 15—槲皮素; 16—槲皮素-5-甲氧基; 17—槲皮素-3-甲氧基; 18—异鼠李素; 19—槲皮素-3,4'-二甲基醚; 20—槲皮素-3,7-二甲甲基醚
色谱柱: LichroCART RP-18, 5 μ m, 125 mm \times 4.6 mm (内径)
流动相: (a) A: 水+1%甲酸; B: 乙腈;
(b) A: 甲醇+四氢呋喃+水; 体积比=25:15:60(内含5%甲酸); B: 甲醇

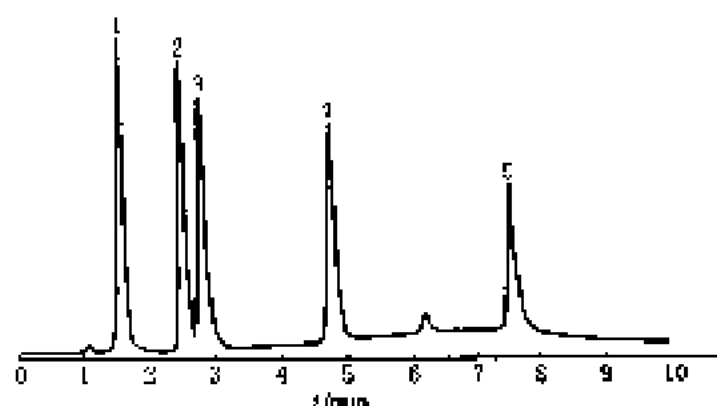
图 10-126 类黄酮标准混合物的分离谱图 (二)^[10]

梯度洗脱: (a) 20%B $\xrightarrow{5 \text{ min}}$ 20%B $\xrightarrow{15 \text{ min}}$ 25%B $\xrightarrow{50 \text{ min}}$ 15%B $\xrightarrow{50 \text{ min}}$ 45%B;
(b) 0%B $\xrightarrow{5 \text{ min}}$ 0%B $\xrightarrow{20 \text{ min}}$ 10%B $\xrightarrow{30 \text{ min}}$ 25%B $\xrightarrow{40 \text{ min}}$ 25%B
检测器: UV (340 nm)



色谱柱: 1—芦丁; 2—五羟基黄酮; 3—槲皮素; 4—槲皮素; 5—槲皮素; 6—槲皮素; 7—槲皮素; 8—槲皮素; 9—槲皮素
色谱柱: (a) C_{18} , 5 μ m, 150 mm \times 4.6 mm (内径);
(b) C_{18} , 4 μ m, 150 mm \times 4.6 mm (内径)
柱温: 室温
流动相: (a) (15~35)%乙醇+水, 用 TFA 调节 pH2.5;
(b) (20~40)%乙醇+水, 用 TFA 调节 pH2.5
流速: 1 ml \cdot min⁻¹
检测器: UV (365 nm)

图 10-127 类黄酮化合物的分离谱图^[10]

图 10-128 结合型柠檬酸的分离谱图^[14]

色谱峰: 1—半酮丙酮, 2—半酮酮脱氢丙酮酸, 3—半酮脱氢丙酮酸, 4—甘氨酸, 5—甘氨酸脱氢丙酮酸

色谱柱: Sphemacorb C₁₈ (细分离) F 八烷基硅, 5 μm , 25 cm \times 0.46 mm (内径)

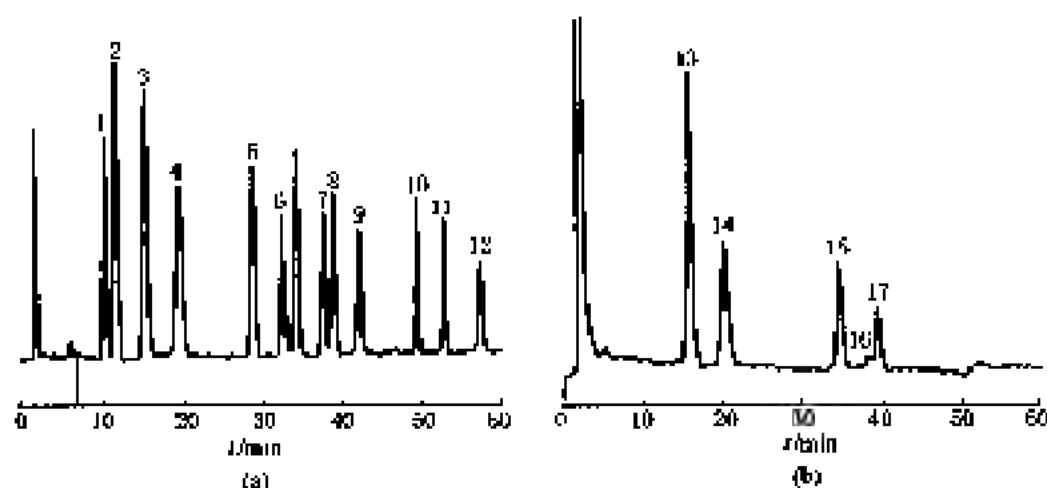
流动相: A: 0.01 mol \cdot L⁻¹三乙胺 (用 1.2 mol \cdot L⁻¹HCl 调至 pH2.5); B: 乙醇

梯度冲液: 35%B $\xrightarrow{1.3\text{ min}}$ 35%B $\xrightarrow{5.9\text{ min}}$ 50%B $\xrightarrow{3.4\text{ min}}$ 50%B $\xrightarrow{1.0\text{ min}}$ 35%B $\xrightarrow{0.8\text{ min}}$ 35%B

流速: 2.0 ml \cdot min⁻¹

温度: 室温

检测器: UV (210 nm)

图 10-129 组分的分离谱图^[15]

(a) 组份标准样谱图; (b) 人体 I 型组份柠檬谱图

色谱峰: 1—鸟氨酸脱氢丙酮酸, 2—丙酮酸, 3—甘氨酸, 4—半酮丙酮酸, 5—酮脱氢丙酮酸, 6—脱氢丙酮酸, 7—甘氨酸脱氢丙酮酸, 8—半酮脱氢丙酮酸, 9—半酮脱氢丙酮酸, 10—石胆酸, 11—甘氨酸石胆酸, 12—半酮石胆酸, 13—甘氨酸, 14—半酮丙酮酸, 15—甘氨酸脱氢丙酮酸, 16—甘氨酸脱氢丙酮酸, 17—半酮脱氢丙酮酸

色谱柱: PLRP S (反相树脂) (Polymer Labs), 5 μm , 150 cm \times 4.6 mm (内径)

流动相: A: 20%乙醇水溶液; B: 40%乙醇水溶液; C: 0.5 mol \cdot L⁻¹NaOH水溶液

梯度条件: (0~16) min, 保持 $V(A): V(B): V(C) = (60:20:20)$

(16~24) min, 非线性至 $V(A): V(B): V(C) = 40:20:20$

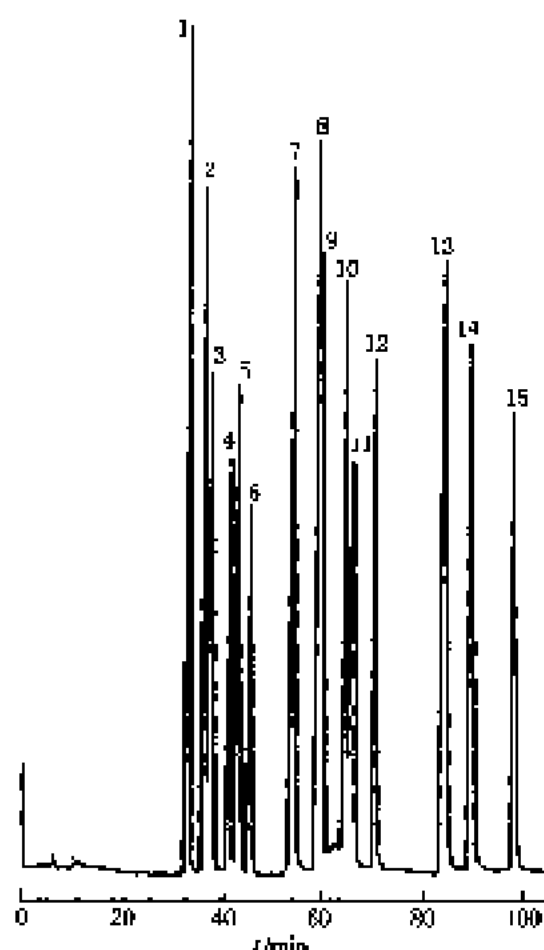
(24~42) min, 线性至 $V(A): V(B): V(C) = 15:65:20$

(42~55) min, 保持 $V(A): V(B): V(C) = 15:65:20$

流速: 1.3 ml \cdot min⁻¹

温度: 45 $^{\circ}\text{C}$

检测器: 脉冲电化学检测 (金电极)



色峰峰: 1—UDC; 2—C, 3—GUDC; 4—GC; 5—TUDC; 6—FC; 7—LDC; 8—IX; 9—GADC; 10—ODC; 11—TDC; 12—TDC; 13—LC; 14—GLC; 15—FLC

色峰柱: 填充 ODS 200 mm × 0.24 mm (内径)

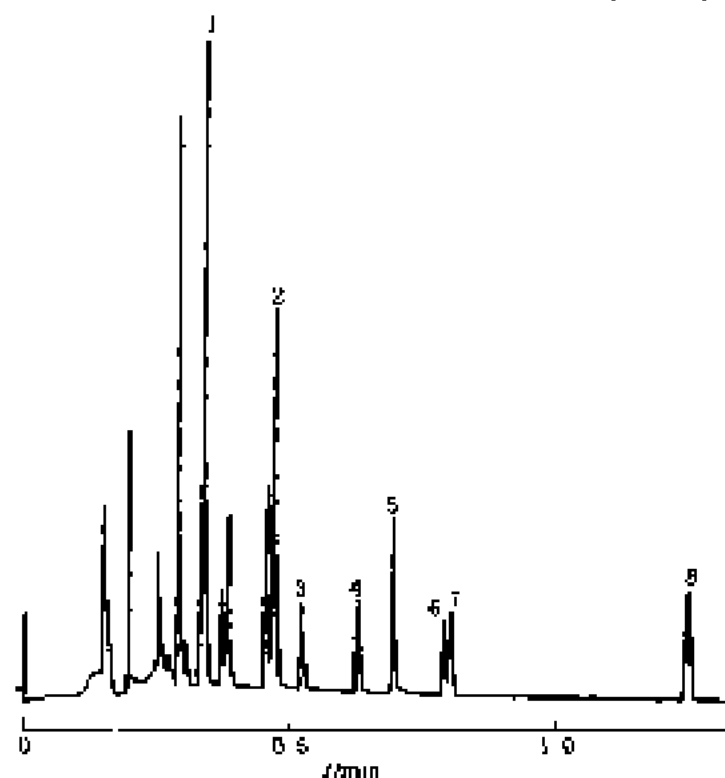
保护柱: 填充 ODS 5 mm × 0.20 mm (内径)

流动相: A. 40 mmol · L⁻¹ 磷酸盐 (pH 8.8) + 60 mmol · L⁻¹ 磷酸盐 (pH 8.8) (内含 18 mmol · L⁻¹ NAD) + 乙醇 (体积比 = 70 : 10 : 20)

B. 60 mmol · L⁻¹ 磷酸盐 (pH 8.8) + 60 mmol · L⁻¹ 磷酸盐 (pH 8.8) (内含 NAD) + 乙醇 (体积比 = 30 : 10 : 60)

同处理柱: 20 mm × 0.34 mm (内径), 填充 HSD

检测器: 荧光 (λ_{ex} = 565 nm, λ_{em} = 470 nm)

图 10-130 胆汁酸合成代谢物的分离谱图^[9]

色峰峰: 1—甘氨酸, 2—甘氨酸, 3—甘氨酸, 4—甘氨酸, 5—甘氨酸, 6—甘氨酸, 7—甘氨酸, 8—甘氨酸

色峰柱: C₁₈, 250 mm × 4.6 mm (内径), 5 μ m

柱: 内径

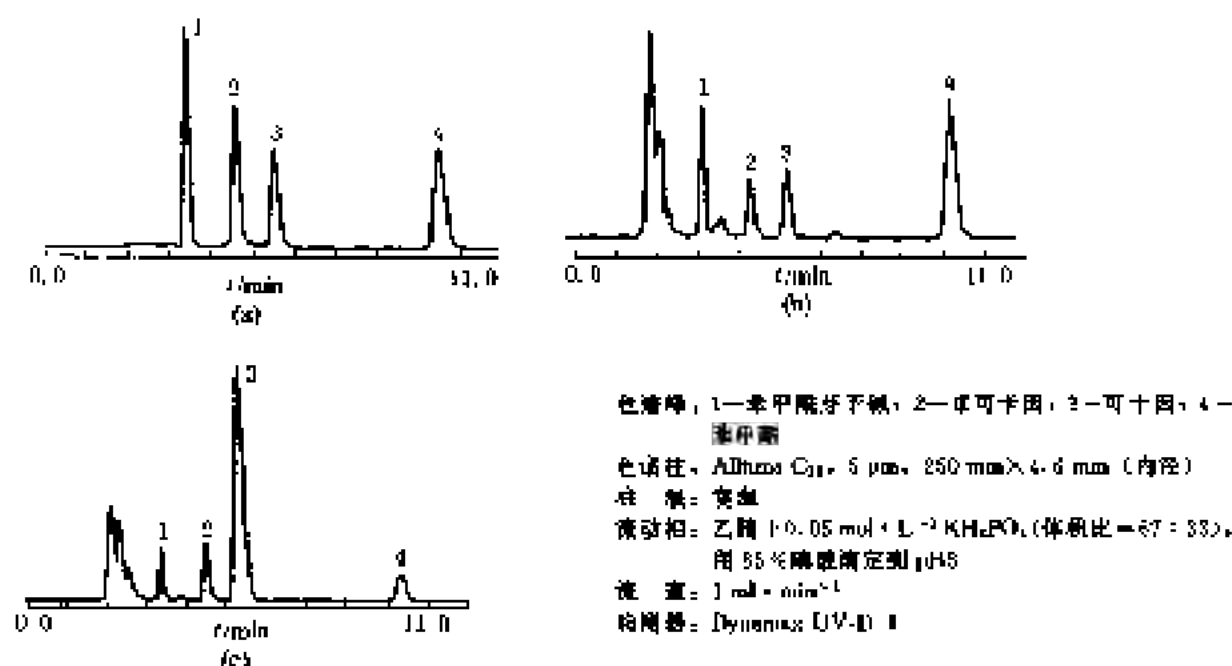
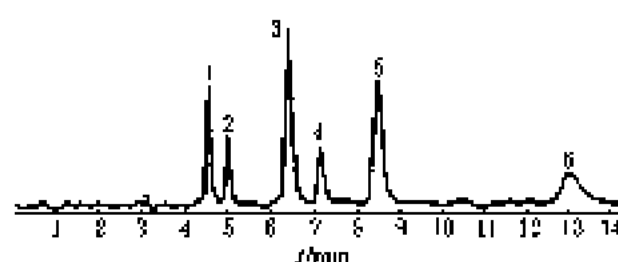
流动相: 水 + 乙醇

梯度冲洗法 (75 ~ 100) % 乙醇

流速: 1.5 ml · min⁻¹

检测器: UV

图 10-131 胆汁酸混合物标准样 (胆甲基香豆素衍生化) 分离谱图^[9]

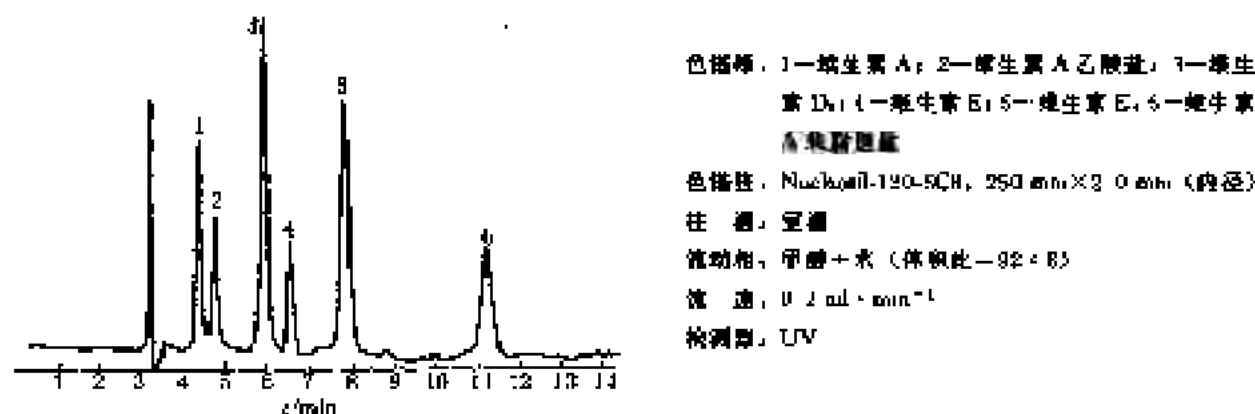
图 10-132 血液中的可可卡因的分离谱图^[10](a) 生物样品; (b) 对照品和标准品; (c) 对照和 1.2 mmol \cdot L⁻¹ 标准可可卡因图 10-133 脂溶性维生素分离谱图 (一)^[21]色谱峰: 1—维生素 A; 2—维生素 A 乙酸酯; 3—维生素 D₃; 4—维生素 E; 5—维生素 E; 6—维生素 A 棕榈酸酯色谱柱: Nucleosil-120-5C₁₈, 250 mm \times 4.0 mm (内径)

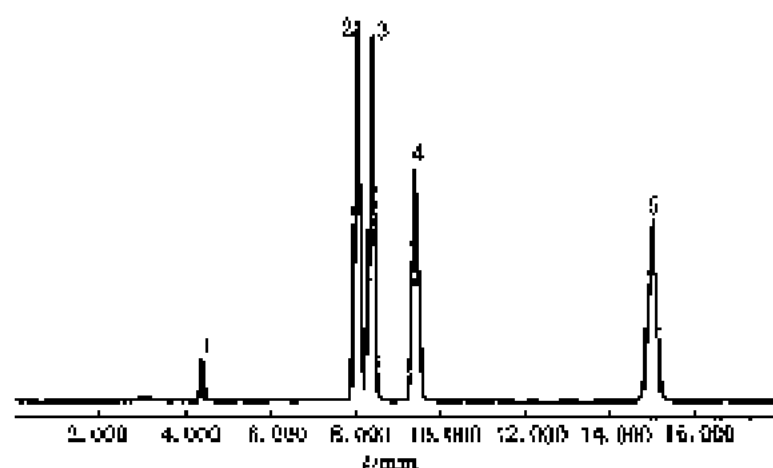
柱 温: 室温

流动相: 甲醇 + 水 (体积比 = 82 : 18)

流 速: 0.7 ml \cdot min⁻¹

检测器: UV

图 10-134 脂溶性维生素分离谱图 (二)^[21]

图 10-135 脂溶性维生素分离谱图 (三)^[30]

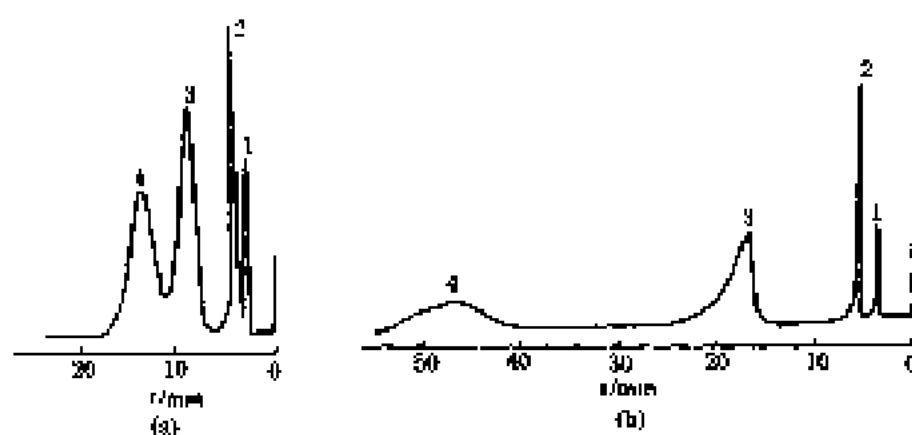
色谱峰: 1—维生素 A; 2—维生素 D₂; 3—维生素 D₃; 4—维生素 E; 5—维生素 K₁

色谱柱: DiPore PRO-15 RP-18, ϕ 46 cm \times 25 cm, 10 μ m

流动相: 甲醇+乙腈+己烷 (体积比=95:5:2)

流 速: 1.0 ml \cdot min⁻¹

检测器: 紫外检测器

图 10-136 麻黄碱等药物分离谱图^[31]

色谱峰: 1—麻黄碱; 2—苯哌卡因; 3—马钱子碱; 4—普鲁泡喹

色谱柱: (a) 填充 DaCN DVB 100 mm \times 4 mm (内径)

(b) PRP-1 150 mm \times 4.1 mm (内径), 5 μ m

流动相: 甲醇+0.25 mol \cdot L⁻¹ NaCl (体积比=90:10)

流 速: 0.5 ml \cdot min⁻¹

压 力: (a) 17.5 MPa; (b) 10.2 MPa

检测器: UV (254 nm)

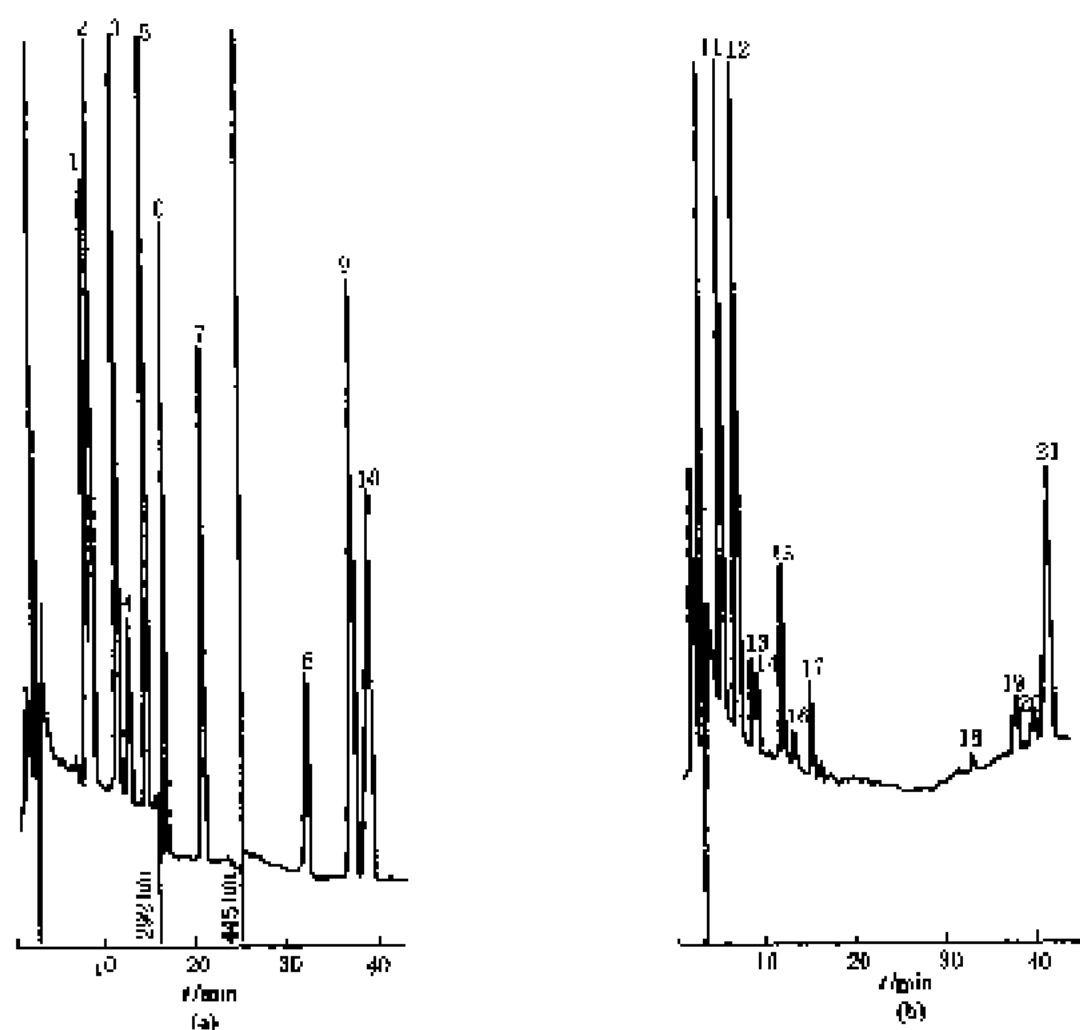


图 10-137 维生素 A 衍生物混合物谱图 (—)^[24]

色谱峰: 1— β -脱羟基-12'- β -叶黄素醇; 2— β -脱羟基-10'-叶黄素醇; 3— β -脱羟基-8'-叶黄素醇; 4— β -脱羟基-6'-叶黄素醇; 5—乙基- β -脱羟基-8'-carotenol; 6— α -生育酚; 7— α -生育乙酸; 8— γ -胡萝卜素; 9— α -胡萝卜素; 10— β -胡萝卜素; 11—视黄醇; 12—视黄醇乙酸; 13— β -从-12'-叶黄素醇; 14— β -脱羟基-10'-叶黄素醇; 15— β -脱羟基-8'-叶黄素醇; 16— β -从-6'-叶黄素醇; 17—乙基- β -从-8'-carotenol; 18— γ -胡萝卜素; 19— α -胡萝卜素; 20— β -胡萝卜素; 21—视黄基糠酸酯

色谱柱: (a) 填充 Hypersil ODS, 125 mm \times 4.6 mm (内径), 3 μ m

(b) 填充 Nucleosil 120-3 C₁₈ 载体, 125 mm \times 4.6 mm (内径)

流动相: (a) 乙醇+二氯甲烷+甲醇+水 (体积比=70:10:15:5);

(b) 乙醇+0.1 mol \cdot L⁻¹ NH₄AC (体积比=80:20)

流速: (a) 40.5~5.0 ml \cdot min⁻¹; (0~13) min, 0.5 ml \cdot min⁻¹; (14~24) min, 1.0 ml \cdot min⁻¹; (25~46) min, 1.5 ml \cdot min⁻¹; (47~57) min, 2.0 ml \cdot min⁻¹; (58~67) min, 0.5 ml \cdot min⁻¹

(b) 1.0 ml \cdot min⁻¹

检测器: (a) UV (445, 292, 445 nm);

(b) UV (350 nm)

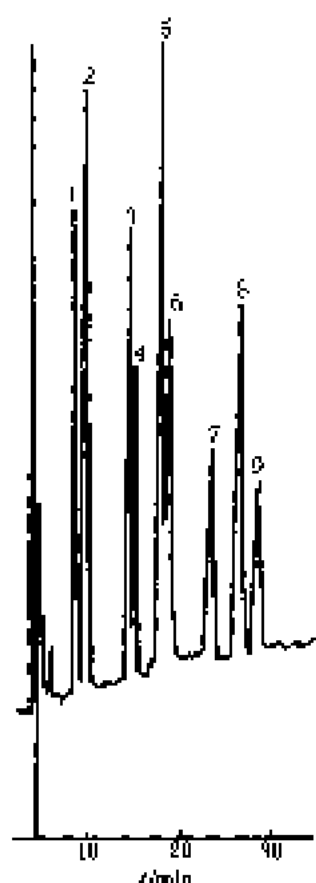


图 10-138 维生素 A 前生物混合物谱图 (二)^[25]
 色谱峰: 1—12-顺-视黄醇, 2—全反式视黄醇, 3—10-顺-视黄醇, 4—全反式视黄醇, 5—9-和 13-顺-视黄醇, 6—全反式视黄醇, 7—四顺 A 醇, 8—12-顺-视黄醇, 9—全反式视黄醇
 色谱柱: 填充 Nucleosil 120-3 C₁₈ 碳柱, (25 mm × 4.6 mm (内径))
 流动相: 乙醇 + 0.1 mol/L NH₄AC (体积比 = 80 : 20)
 流速: 1.0 ml · min⁻¹
 检测器: UV (350 nm)

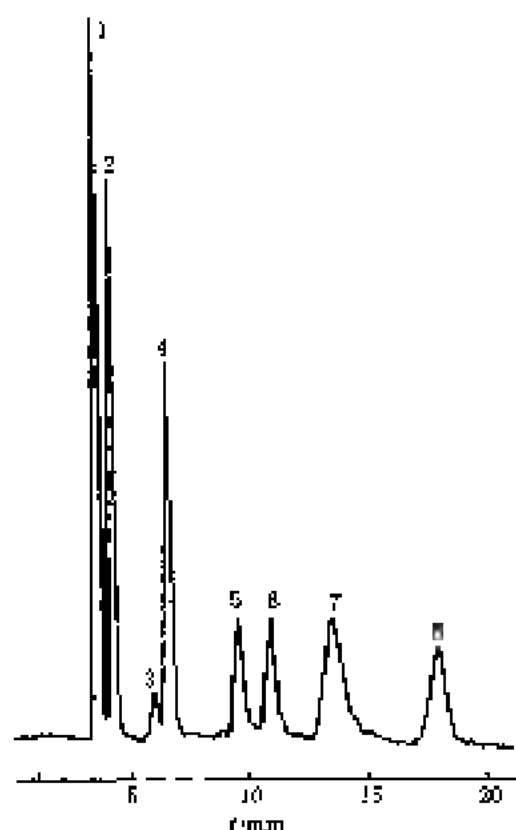


图 10-139 维生素 B₂ 及有关化合物分离谱图^[26]
 色谱峰: 1—7'-磷酸吡哆胺 (PMP), 2—吡哆胺 (PM), 3—5'-磷酸吡哆胺 (PLP), 4—5'-磷酸吡哆醛 (PNP), 5—吡哆醛 (PL), 6—异吡哆醛 (iso-PL), 7—吡哆素 (PS), 8—4-吡哆酮 (PA)
 色谱柱: Phenosphere ODS, 250 mm × 4.6 mm (内径), 5 μm
 保护柱: 3 μm Phenosphere ODS
 柱温: 室温
 流动相: 0.15 mol/L NaH₂PO₄ (用 HClO₄ 调至 pH 2.0)
 流速: 1 ml · min⁻¹
 检测器: 荧光 (λ_{ex} = 280 nm; λ_{em} = 369 nm)

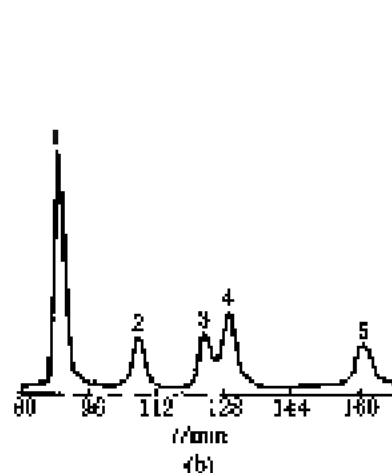
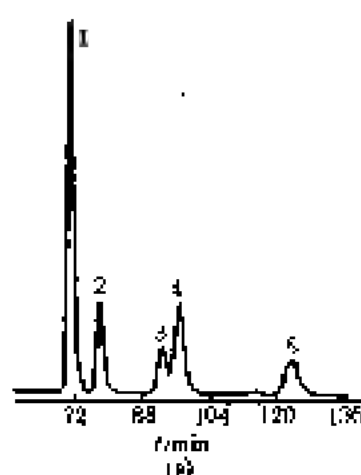
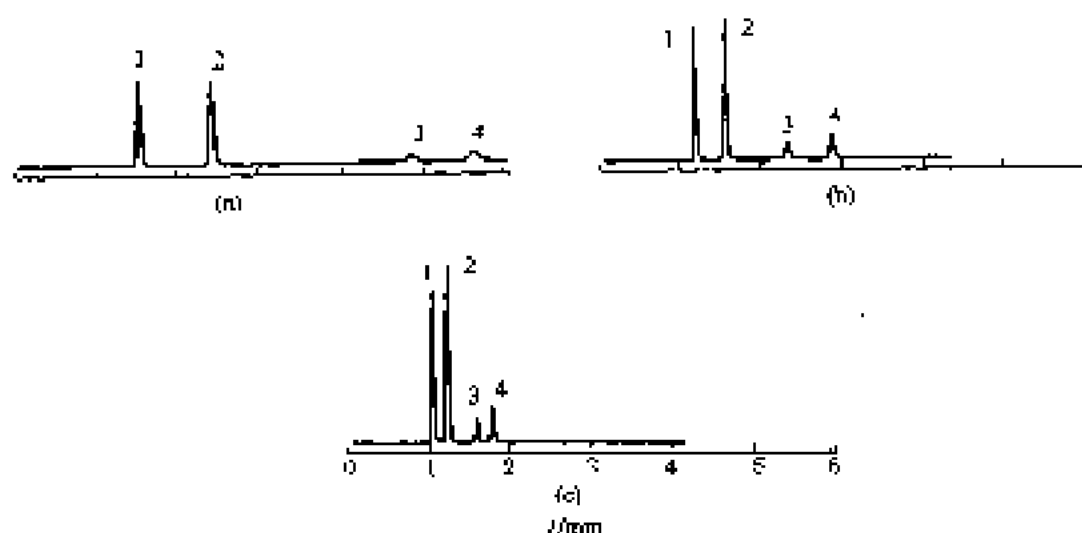


图 10-140 维生素 E 组分的分离谱图^[27]
 色谱峰: 1— δ -维生素 E; 2— δ_2 -维生素 E; 3— β -维生素 E; 4— γ -维生素 E; 5— α -维生素 E
 色谱柱: (a), (b) HPPVA; (c) PFPB
 流动相: (a) 乙醇 + 水 (体积比 = 85 : 15); (b), (c) 甲醇 + H₂O (体积比 = 85 : 15)
 流速: 1 ml · min⁻¹ 柱温: 室温 检测器: UV

图 10-141 酸度对水溶性维生素分离影响谱图^[2-1]

色质峰: 1—维生素 B₁; 2—维生素 B₂; 3—维生素 B₆; 4—维生素 B₁₂

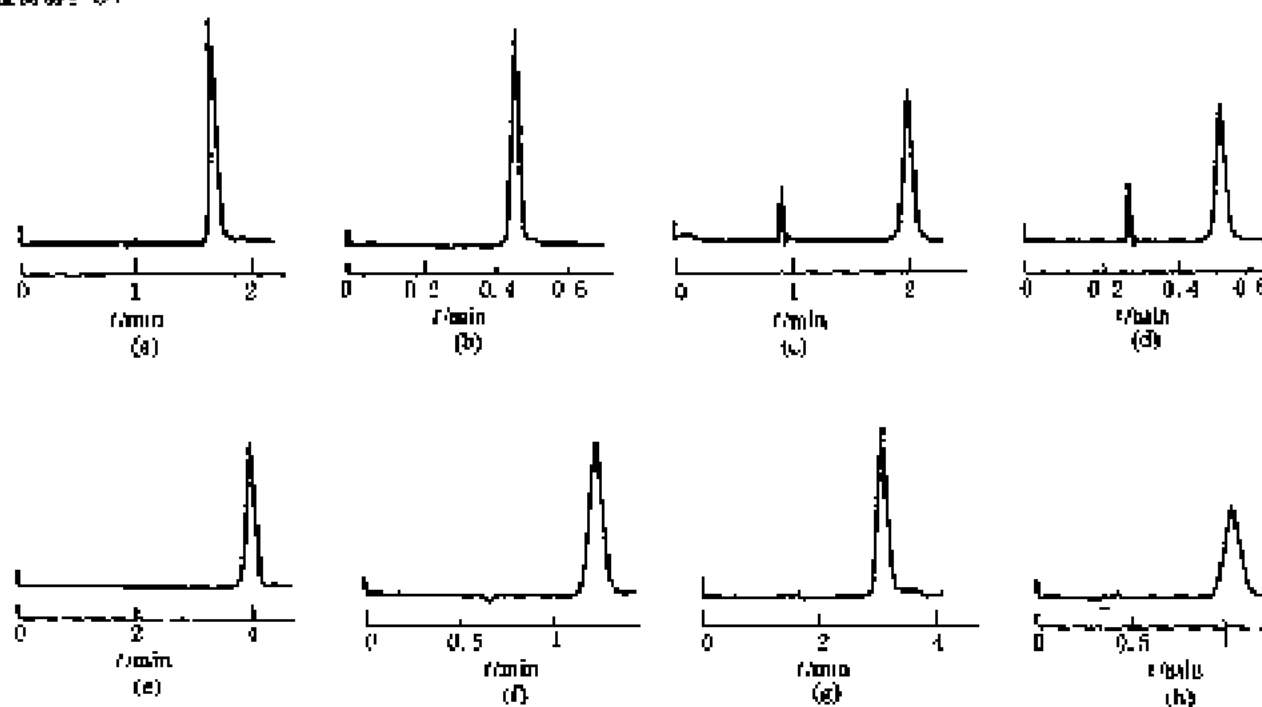
色谱柱: Zorbax SB-C8, 75 mm/4.6 mm (内径), d: 5 μm

柱温: 30°C, 60°C, 90°C

流动相: MeOH-水, 内含 10 mmol·L⁻¹ 己烷磺酸钠 ± 0.1% 磷酸

流速: 1 mL·min⁻¹

检测器: UV

图 10-142 胰岛素等度洗脱谱图^[2-1]

色质峰: 胰岛素

色谱柱: (a), (b) SR-(1)-C₁₈

(c), (d) SR-(1)-C₁₈

(e), (f) Capellapak C₁₈ SG₂

(g), (h) Capellapak C₁₈ U₂

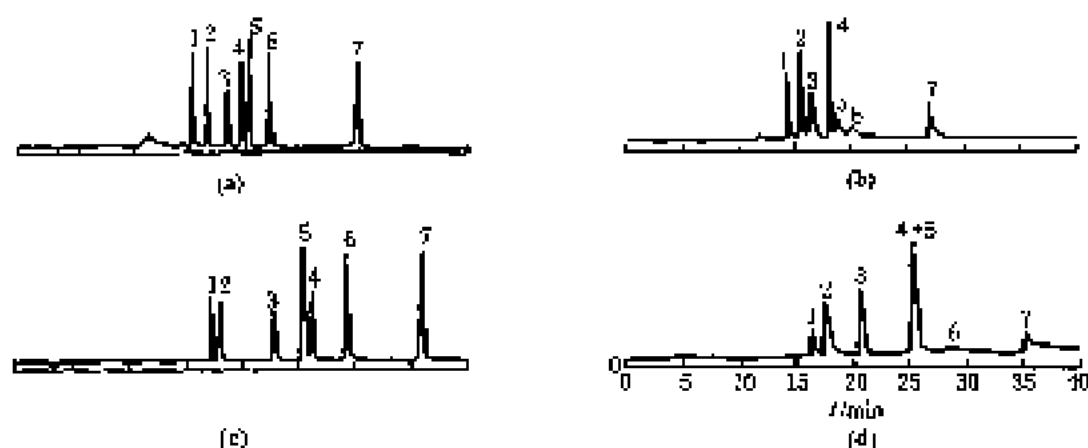
流动相: (a), (b), (c), (d) 乙醇+水 (体积比=30:70);

(g), (h) 乙醇+水 (体积比=21.5:68.5);

(e), (f) 乙醇+水 (体积比=32:68, 内含 0.1% TFA)

流速: (a) ~ (h) 分别为 1.4 mL·min⁻¹, 5.3 mL·min⁻¹, 1.5 mL·min⁻¹, 5.1 mL·min⁻¹, 1.5 mL·min⁻¹, 5.0 mL·min⁻¹, 1.8 mL·min⁻¹, 5.2 mL·min⁻¹

检测器: UV (215 nm)

图 10-143 溶剂对儿茶素混合物分离影响图例^[10]

色谱峰: 1—表儿茶素; 2—儿茶素; 3—咖啡因; 4—表儿茶素; 5—表儿茶素; 6—表儿茶素; 7—表儿茶素

色谱柱: Isobax Rx-4₁₀₀, 250 mm × 4.6 mm (内径)

流动相: (a) A 水 + 0.05% TFA; B 乙醇 + 0.05% TFA;

(b) A 水; B 乙醇;

(c) A 水 + 0.05% TFA; D MeOH-乙醇 + 0.05% TFA (体积比 = 60:40);

(d) A 水; B MeOH-乙醇

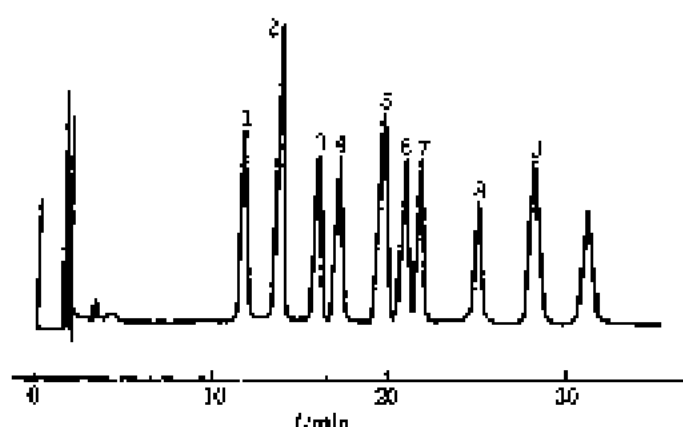
梯度冲洗: (a), (b)

时间/min	0	25	30	35
$\varphi(B)/\%$	12	20	84	100

时间/min	0	5	50
$\varphi(B)/\%$	10	15	40

(c), (d)

检测器: UV (210 nm)

图 10-144 腺苷类典型谱图^[11]

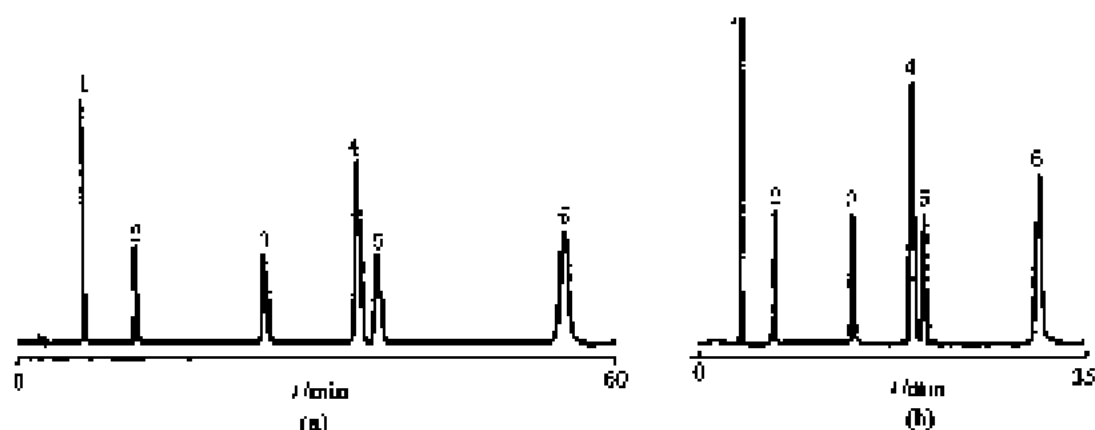
色谱峰: 1—17 β -D-组氨酸腺苷; 2—17 β -D-组氨酸腺苷; 3—17 β -D-组氨酸腺苷; 4—腺苷; 5—腺苷; 6—2-甲氧基腺苷; 7—腺苷; 8—2-甲氧基腺苷; 9—2-甲氧基腺苷

色谱柱: Cosmosil 5C₁₈-AR

流动相: 0.5% 乙腈/磷酸缓冲液 (pH 5.0) + 甲醇 + 乙醇 (体积比 = 40:40:20)

流速: 1.0 mL · min⁻¹

检测器: 电离子

图 10-145 磺胺类化合物谱图^[7]

色谱峰: 1—磺胺二甲嘧啶, 2—呋喃唑酮, 3—1,2,3,4-萘四磺酸, 4—磺胺二甲嘧啶, 5—磺胺嘧啶, 6—萘磺酸

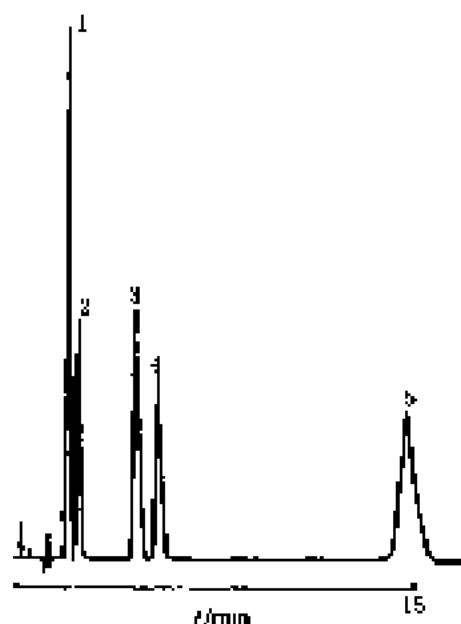
色谱柱: (a) Zorbax SB-C₁₈, 150 mm×4.6 mm (内径), 5 μm

(b) Zorbax SB-C₁₈, 150 mm×4.6 mm (内径), 5 μm

流动相: 7: 醇+0.1 mol/L 磷酸+0.2 mol/L NaH₂PO₄ (体积比=200: 711: 87)

流速: 1 ml·min⁻¹

检测器: UV

图 10-146 磺胺类化合物谱图 (一)^[8]

色谱峰: 1—磺胺嘧啶, 2—磺胺噻唑, 3—磺胺甲氧嘧啶,

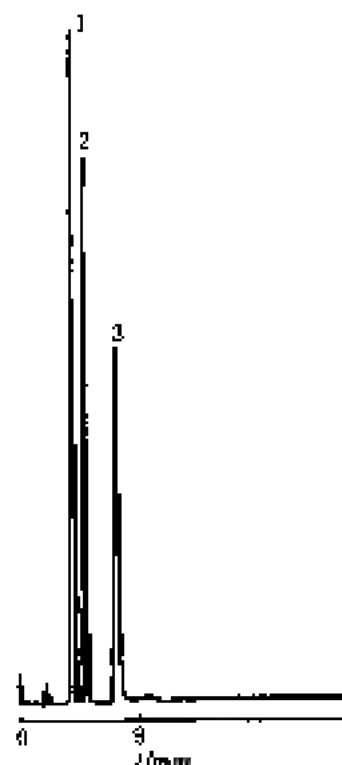
4—磺胺二甲嘧啶, 5—磺胺二甲氧嘧

色谱柱: ChromSphere C₁₈ (Chrompack) 键合十八烷基柱, 10 cm×3.0 mm, 4 (内径), 5 μm

流动相: 0.02 mol/L NaH₂PO₄ (pH 3.3) + 乙醇 (体积比=50: 10)

流速: 0.5 ml·min⁻¹

检测器: UV (254 nm)

图 10-147 磺胺类化合物谱图 (二)^[8]

色谱峰: 1—磺胺甲氧嘧啶, 2—磺胺二甲嘧啶, 4—磺胺二甲嘧啶

色谱柱: ChromSphere C₁₈ (Chrompack) 键合十八烷基柱, 20×0.2 cm×3.0 mm (内径), 5 μm

流动相: 甲醇-水 (体积比=25: 75)

流速: 0.5 ml·min⁻¹

检测器: 紫外 (254 nm; 0.05 AUFS)

第四节 环境物质样品色谱图

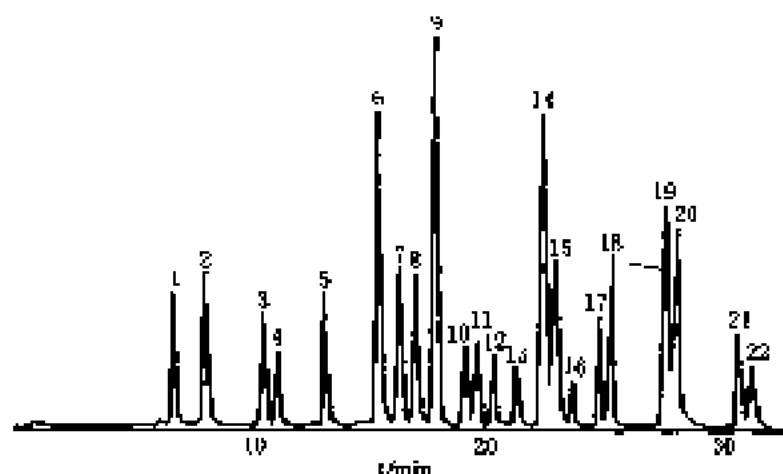


图 10-148 22 种硝化多环芳烃标准样谱图^[90]

色谱峰: 1—6-NQ; 2—5-NQ; 3—5-N-6-MQ; 4—8-N-7-MQ; 5—1,8-DNN; 6—2,5-DNN; 7—1-NN; 8—2-NN; 9—3-NN; 10—1,4-2-MN; 11—2,7-DNF; 12—4-NB; 13—3-NB; 14—2-NF; 15—5-NPH; 16—9-NA; 17—NPH; 18—1,6-DNP; 19—1-NP; 20—4-N-P-T; 21—6-NC; 22—3-NPex

色谱柱: Alltech UDS, 250 mm×3.1 mm (内径)

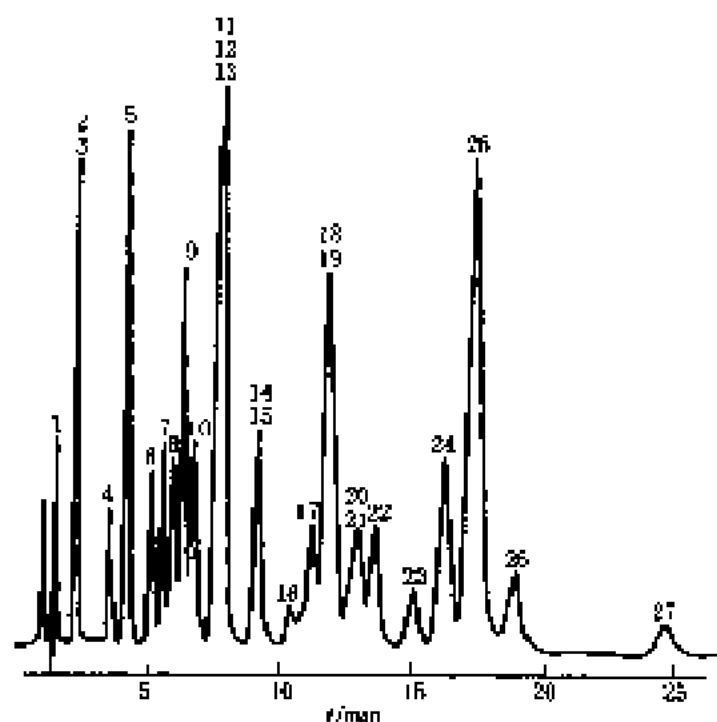
柱温: 35℃

流动相: 乙醇+水

线性洗脱: 24%乙醇 $\xrightarrow{31 \text{ min}}$ 80%乙醇

流速: 1 ml·min⁻¹

检测器: UV (254 nm)



色谱峰: 1—硝基苯; 2—2,6-二氨基-4-硝基甲苯; 3—八聚烯; 4—对硝基苯胺; 5—六聚烯; 6—1,3,5-三硝基苯; 7—2-氨基-4-硝基甲苯; 8—4-氨基-2-硝基甲苯; 9—1,4-二硝基苯; 10—2-氨基-6-硝基甲苯; 11—2,4-二硝基苯胺; 12—1,2-二硝基苯; 13—1,3-二硝基苯; 14—硝基苯; 15—2,4,5-三硝基甲苯; 16—2,4,6-三硝基苯甲酸钠; 17—4-氨基-8-二硝基甲苯; 18—2-氨基-4,5-二硝基甲苯; 19—苯; 20—2,4-二硝基甲苯; 21—2,6-二硝基甲苯; 22—2,4-二硝基甲苯; 23—3,4-二硝基甲苯; 24—2-硝基甲苯; 25—4-硝基甲苯; 26—3-硝基甲苯; 27—四聚烯

色谱柱: Nucleosil RP 18-5, 150 mm×4 mm (内径)

柱温: 室温

流动相: 甲醇+水 (体积比=45:55)

流速: 1 ml·min⁻¹

检测器: UV

图 10-149 27 种硝基化合物分离谱图 (—)[90]

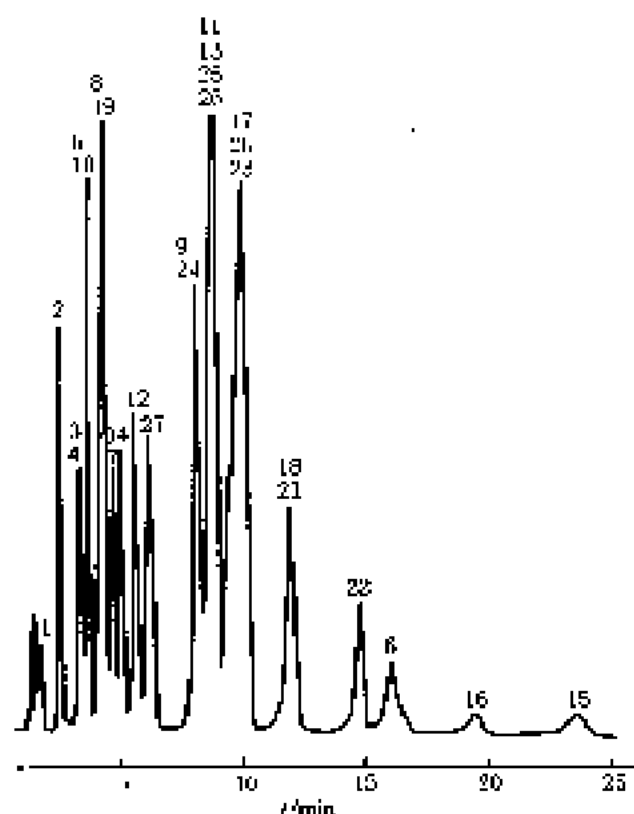


图 10-150 27 种硝基化合物分离谱图 (Liu, 1993)

色谱峰: 1—硝基苯; 2—2,6-二氨基-4-硝基甲苯; 3—八聚糖; 4—对硝基苯胺; 5—六聚糖; 6—1,3,5-三硝基苯; 7—2-氨基-4-硝基甲苯; 8—4-氨基-2-硝基甲苯; 9—3,4-二硝基苯; 10—2-氨基-6-硝基甲苯; 11—2,4-二硝基苯胺; 12—1,3-二硝基苯; 13—1,3-二硝基苯; 14—硝基苯; 15—2,4,6-三硝基甲苯; 16—2,4,6-三硝基苯甲酰胺; 17—4-氨基-2,6-二硝基甲苯; 18—2-氨基-4,6-二硝基甲苯; 19—苯; 20—3,4-二硝基甲苯; 21—2,6-二硝基甲苯; 22—2,4-二硝基甲苯; 23—3,4-二硝基甲苯; 24—2-硝基甲苯; 25—4-硝基甲苯; 26—3-硝基甲苯; 27—甲苯

色谱柱: Saclele Kromasil, 125 mm×4 mm (内径), 5 μ m

柱温: 室温

流动相: 甲醇+水 (体积比=50:50)

流速: 1 ml·min⁻¹

检测器: UV

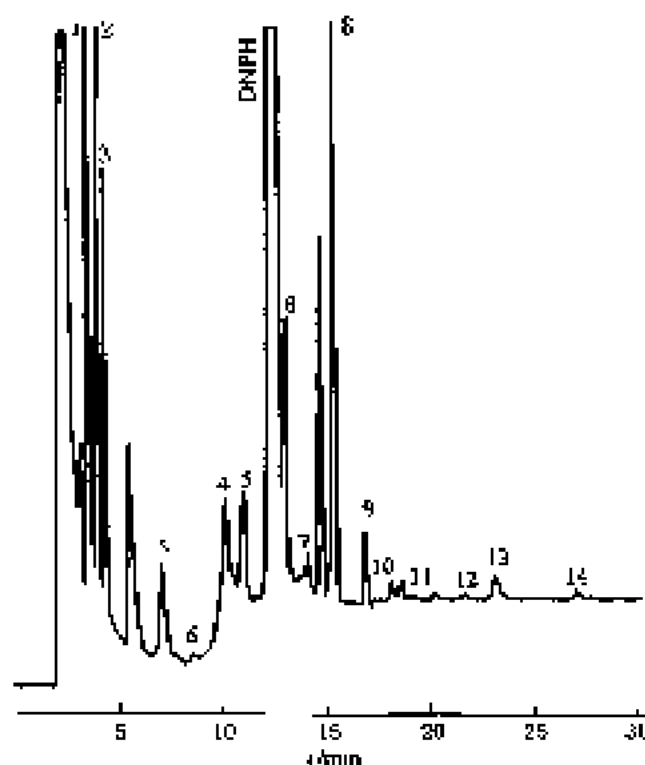


图 10-151 Elbe 港口水样中醛酮分离谱图 (Wu)

色谱峰: 1—草乙酸; 2—氧戊二酮; 3—二羟乙酸; 4—丙酮酸; 5—氧丁酸; 6—羟丙酮; 7—乙二酸; 8—甲酸; 9—乙酸; 10—丙酮; 11—丙酸; 12—丁酸; 13—苯甲酸; 14—环己酮

泵: 型号 855 A-12

色谱柱: 50 mm×4 mm RP-18, 250 mm×4 mm Nucleal 120 C₁₈, 5 μ m

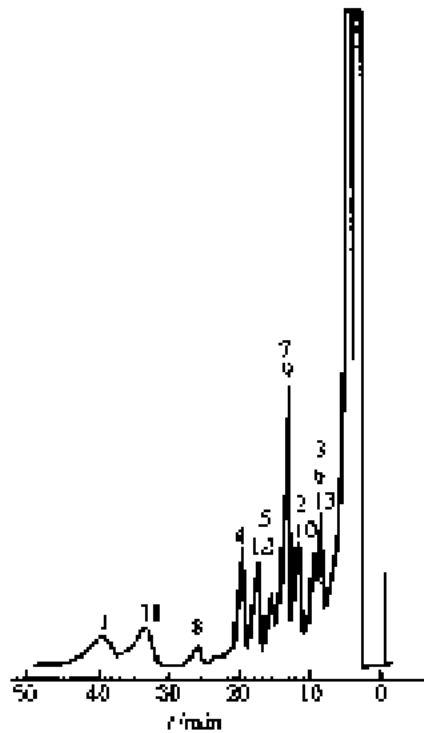
流动相: A—乙醇+甲酸+5 mmol·L⁻¹ KH₂PO₄ 缓冲液 (体积比=1:1.4:5)

B—乙醇+5 mmol·L⁻¹ KH₂PO₄ 缓冲液

柱温: 40℃

时间/min	洗脱剂	流速/(L·min ⁻¹)
0.0	B	0.6
2.0	B	0.6
10.0	A	1.25
25.0	A	1.25
27.0	B	1.25
32.0	B	0.6

检测器: multi channel photodiode-array detector (380 nm)

图 10-152 嘉陵河水样品分离谱图^[15]

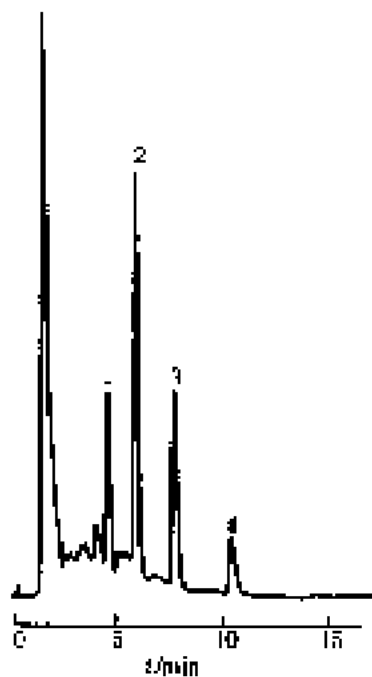
色谱峰：1—草不隆，2—阿特拉津，3—噻草平，4—氟草胺；
5—2, 6-二甲苯草胺，6—2, 4-滴阿联，7—2, 6-二
甲基苯胺，8—二硝甲酚，9—噻草隆，10—2-甲-4-
氯丙酸，11—异丙甲草胺，12—2-噻基苯胺，13—
丙间三嗪

固定相柱：PLRP-S

分析柱：25 mm PLRP-S

流动相：1% $\text{NaOH} \cdot \text{L}^{-1}$ CH_3COOH —磷酸缓冲液 (pH=3) (体
积比=50:50)

检测器：紫外

图 10-153 水中烷基苯磺酸盐谱图^[11]

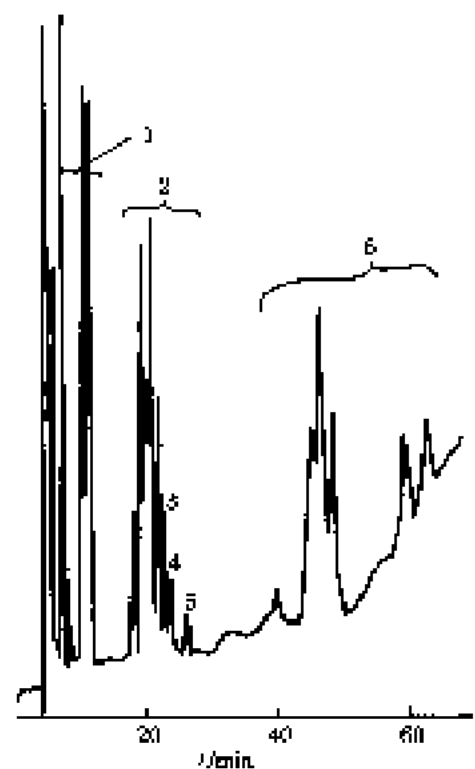
色谱峰：1— C_{11} ，2— C_{11} ，3— C_{12} ，4— C_{12}

色谱柱：Wakosil 5C-4，150 mm×4.6 mm (内径)

流动相：乙醇+水 (50+50) 含 0.1 mol·L⁻¹ NaClO_4

流速：1.0 ml·min⁻¹

检测器：UV (220 nm)

图 10-154 合成 PCDD 混合物色谱图^[12]

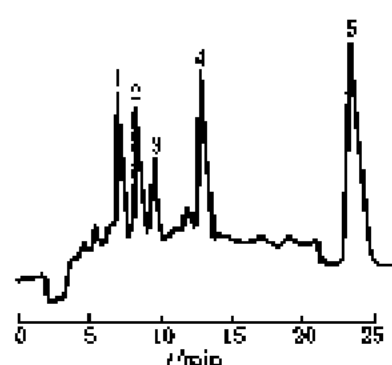
色谱峰：1—二氯联苯对二羟基，2—四氯联苯对二羟基，3—
1, 2, 6, 8-四氯联苯对二羟基，4—2, 3, 7, 8-四氯联
苯对二羟基，5—1, 4, 6, 9-四氯联苯对二羟基，6—
五氯联苯对二羟基

色谱柱：填充 PE 3G，250 mm×4.6 mm (内径)

流动相：己烷

流速：0.8 ml·min⁻¹

检测器：UV (425 nm)



色谱峰: 1—1,6-硝内酯; 2—1,8-硝丙酯; 3—1,3-硝丙酯;

4—2-硝硝基苯 (内标物); 5—1-NP

色谱柱: C₁₈ reversed phase, 250 mm × 4.6 mm (内径)

柱温: 室温

流动相: 20 mmol/L 咪唑啉缓冲液 (pH 7.8) + 乙腈 (体积比=1:1)

流速: 1 mL/min

检测器: TCPO 化学发光检测

图 10-155 大气粉尘的苯、乙酯萃取物谱图^[9]

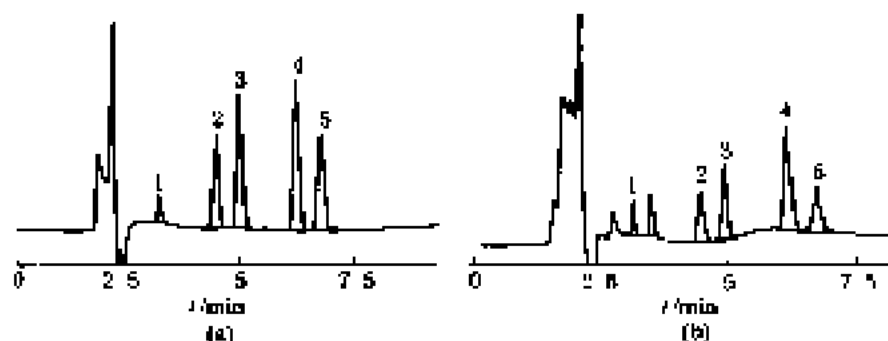


图 10-156 大米中农药残留谱图^[10]

色谱峰: 1—苯酚; 2—双百威; 3—西维因; 4—异丙威; 5—甲丙威

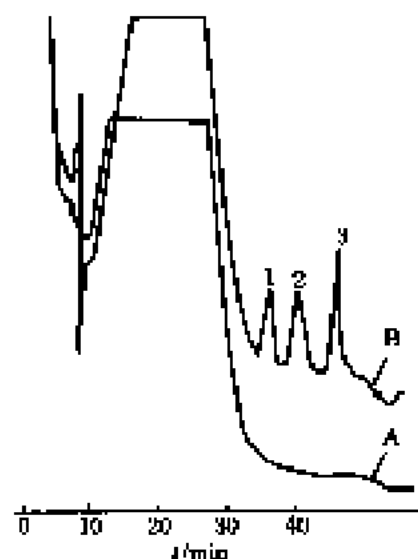
色谱柱: Hypersil C₁₈, 200 mm × 4.6 mm (内径), 5 μm

柱温: 40°C

流动相: 甲醇+磷酸盐缓冲液 (体积比=55:45)

流速: 1 mL/min

检测器: UV



色谱峰: 1—邻苯二酚; 2—间苯二酚; 3—间苯三酚

预处理柱: PGC, 2.1 cm × 0.46 cm (内径), 7 μm

分析柱: Hypersil C₁₈, 10 cm × 0.46 cm (内径)

流动相: 乙腈+0.05 高氯酸-高氯酸锂 (pH 4)

梯度冲洗:	时间/min	p(乙腈)/%
	0~18	5
	18	25

流速: 1 mL/min

检测器: 电化学检测 (0.85V, vs Ag/AgCl)

图 10-157 饮用水中酚类分析谱图^[11]

A—不含酚类; B—含有 0.1 μg/L 酚类物质

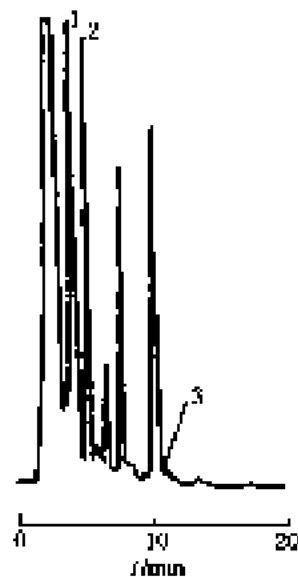


图 10-158 水果中 2,4-二硝基
苯酚的测定谱图 (杏汁)^[114]

色谱峰: 1—DNPH; 2—HMF-DNPH-1; 3—F-DNPH-1
色谱柱: Supelcosil LC-18, 250 mm×4.6 mm (内径), 5 μ m
柱温: 室温
流动相: 乙醇+水 (体积比=55:45), 等度冲洗
流速: 1 ml·min⁻¹
检测器: UV (385 nm)



图 10-159 水果中 2,4-二硝基
苯酚的测定谱图 (苹果汁)^[114]

色谱峰: 1—DNPH; 2—HMF-DNPH-1; 3—F-DNPH-1
色谱柱: Supelcosil LC-18, 250 mm×4.6 mm (内径), 5 μ m
柱温: 室温
流动相: 乙醇+水 (体积比=55:45), 等度冲洗
流速: 1 ml·min⁻¹
检测器: UV (385 nm)

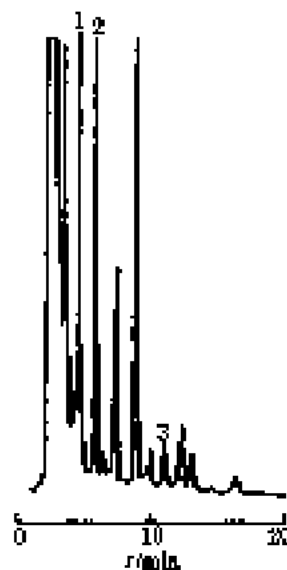


图 10-160 水果中 2,4-二硝基
苯酚的测定谱图 (桃汁)^[114]

色谱峰: 1—DNPH; 2—HMF-DNPH-1; 3—F-DNPH-1
色谱柱: Supelcosil LC-18, 250 mm×4.6 mm (内径), 5 μ m
柱温: 室温
流动相: 乙醇+水 (体积比=55:45), 等度冲洗
流速: 1 ml·min⁻¹
检测器: UV (385 nm)

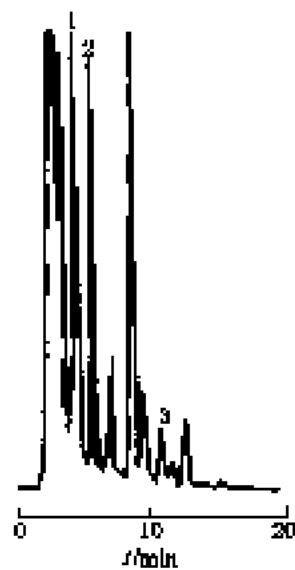


图 10-161 水果中 2,4-二硝基
苯酚的测定谱图 (果汁)^[114]

色谱峰: 1—DNPH; 2—HMF-DNPH-1; 3—F-DNPH-1
色谱柱: Supelcosil LC-18, 250 mm×4.6 mm (内径), 5 μ m
柱温: 室温
流动相: 乙醇+水 (体积比=55:45), 等度冲洗
流速: 1 ml·min⁻¹
检测器: UV (385 nm)

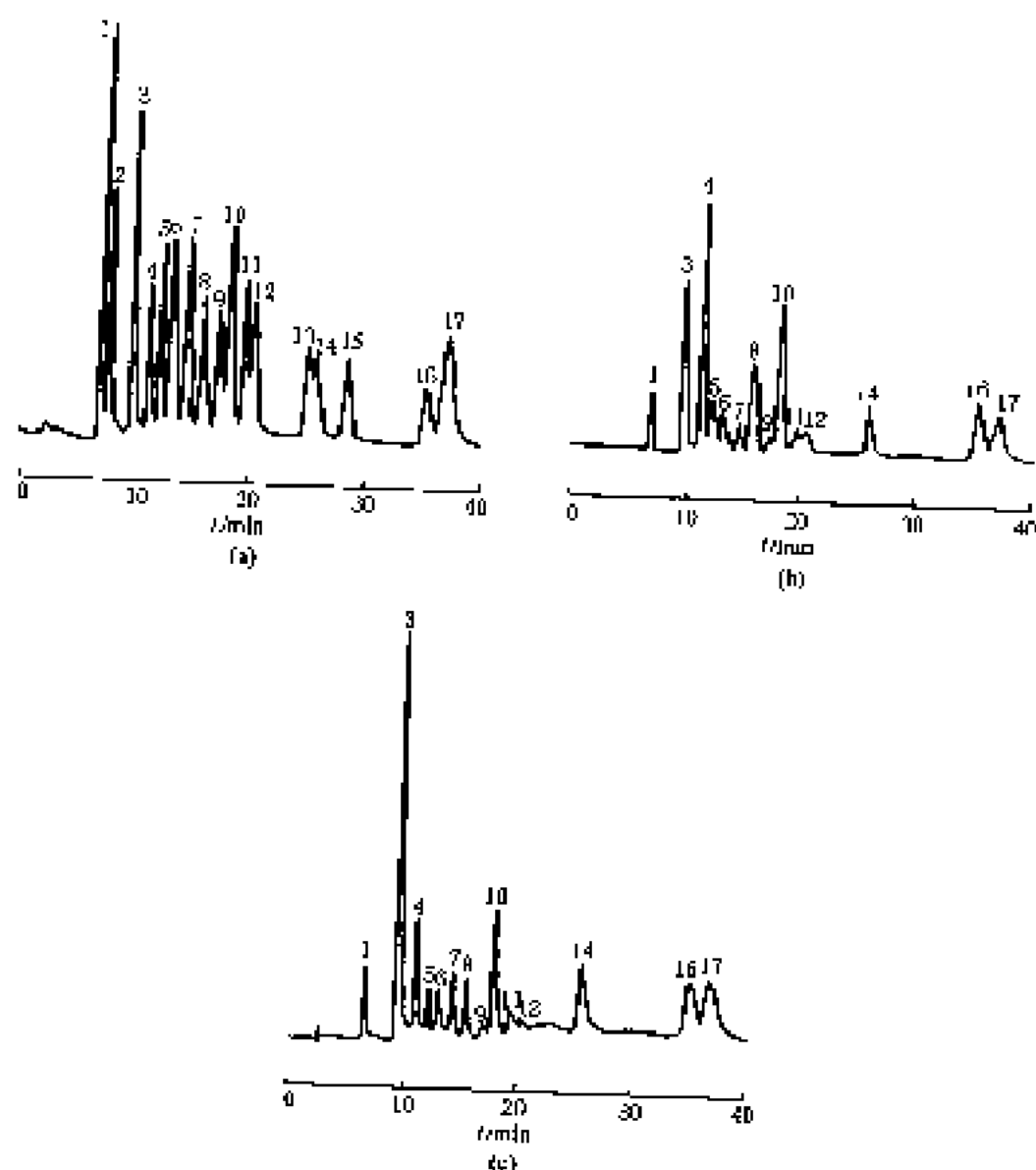


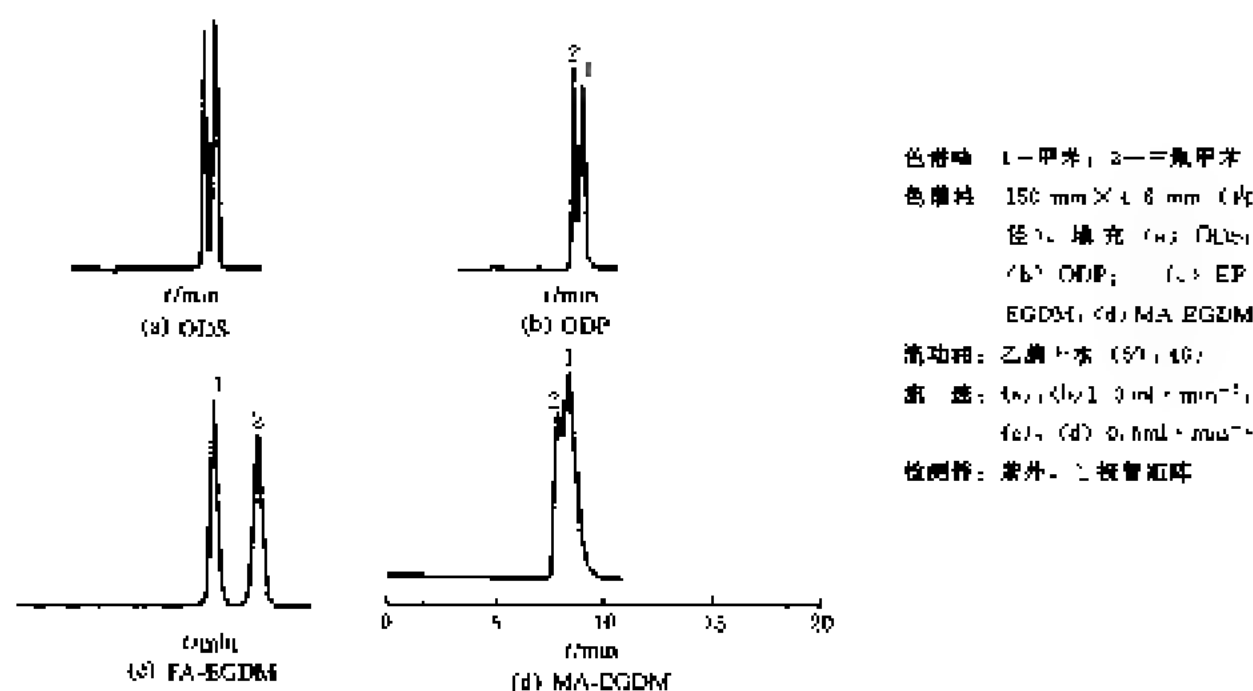
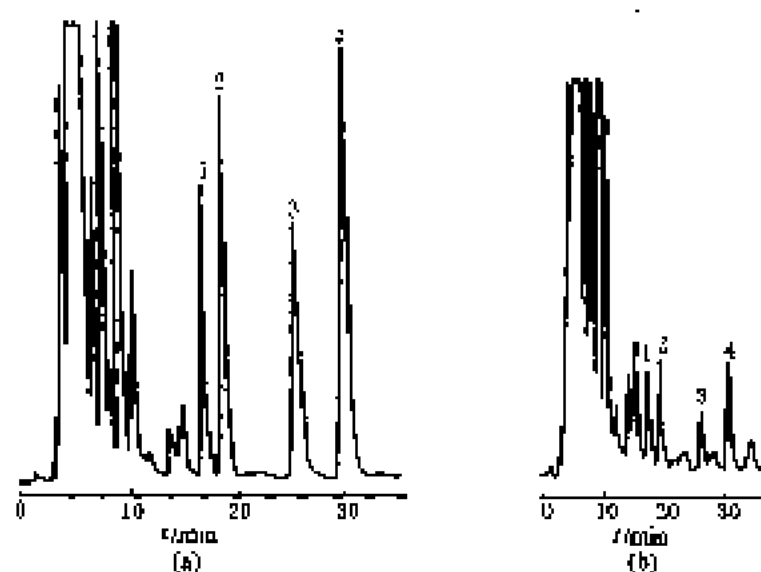
图 10-162 19 种酚 (其中 16 种硝基酚) 的分离谱图^[16]

色谱峰: 1—2,6-二硝基苯酚; 2—苯酚; 3—2,4-二硝基苯酚; 4—4-硝基苯酚; 5—3-硝基苯酚; 6—2,3-二硝基苯酚; 7—2,5-二硝基苯酚; 8—3,4-二硝基苯酚; 9—3-甲基-2-硝基苯酚; 10—2-硝基苯酚和 3-甲基-4-硝基苯酚; 11—4-甲基-3-硝基苯酚; 12—3-甲基-3-硝基苯酚; 13—2,5-二甲基苯酚; 14—4,6-二硝基-2-甲基苯酚; 15—2,6-二硝基苯酚; 16—2,6-二甲基-4-硝基苯酚; 17—5-甲基-2-硝基苯酚和 4-甲基-2-硝基苯酚

色谱柱: Merck Lichrosorb RP-18, 5 μ m, 250 mm

流动相: 甲醇+磷酸盐缓冲液 (体积比=40:60)

检测器: (a) UV (220 nm); (b) UV (317 nm); (c) UV (358 nm)

图 10-163 甲苯和邻二甲苯分离谱图^[307]图 10-164 地下水中除草剂的分离谱图^[114]

(a) 苯氧羧除草剂标准样 3-(2,4-二氯苯基)-2-甲基-5-吡啶基生物素的分离谱图;

(b) 以 3-(2,4-二氯苯基)-2-甲基-5-吡啶基生物素处理地下水提取物的 HPLC 谱图

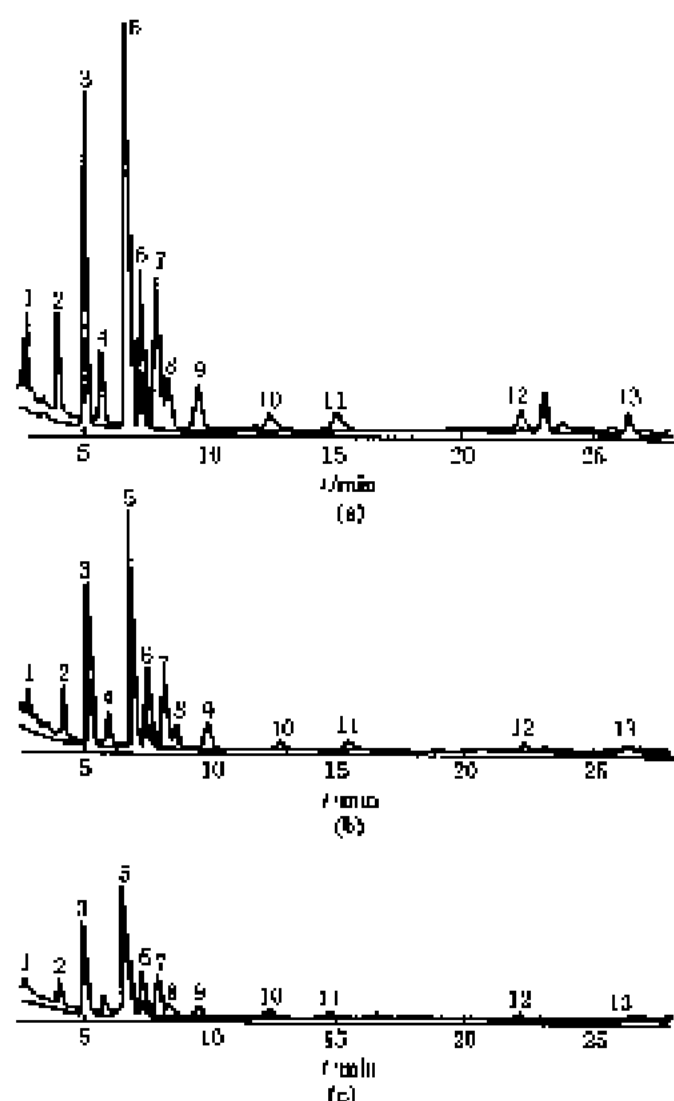
色谱峰: 1—(2,4-二氯苯氧)乙醇; 2—(4-氯-2-甲基苯氧)乙醇; 3—2-(4-氯-2-甲基苯氧)丙酸; 4—4-氯-2-甲基苯氧丁酸
 色谱柱: TsKgel ODS 120I (C₁₈) (Tosoh), 250 cm×4.6 mm (内径), 5 μm

流动相: 乙腈-水 (8-1) 含有 3% 四氢呋喃

流速: 1.0 ml·min⁻¹

温度: 室温

检测器: 荧光 (λ₁=365 nm, λ₂=412 nm)

图 19-165 地下水中的酚类化合物谱图^[111]

色质峰：1—凡奈酚；2—苯酚；3—4-硝基苯酚；4—4-甲基苯酚；5—2,4-二硝基苯酚；6—2-硝基苯酚；7—4-氯苯酚；8—3-氯苯酚；9—2,4-二甲基苯酚；10—4-氯-3-甲基苯酚；11—2,4-二氯苯酚；12—2,4,6-三氯苯酚；13—五氯苯酚
 吸附剂：(a) Lichrosul ENV；(b) Isolute ENV；(c) Purapak ROX

色质柱：Hyperul Green ENV，150 mm×4.6 mm

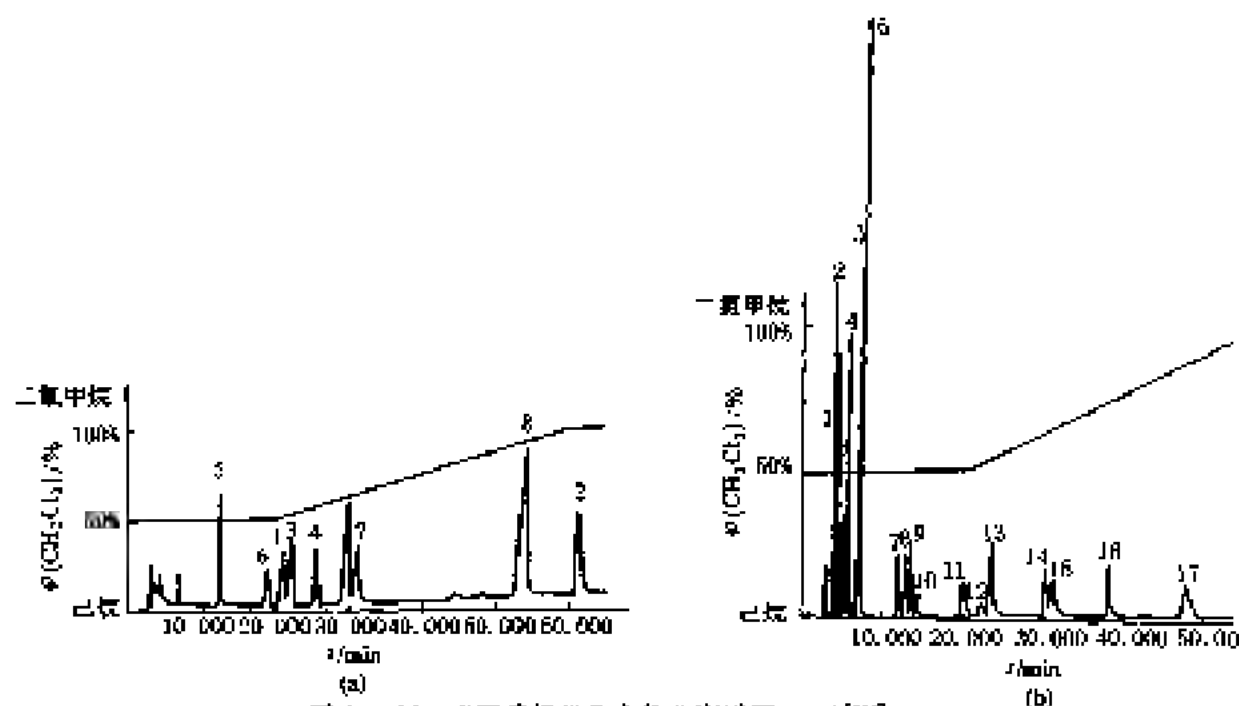
柱温：室温

流动相：乙醇+水+1%乙酸

梯度冲洗：乙醇+水（30—70）等度冲洗 15 min，然后 100%乙醇冲洗 15 min，再初始 5 min

流速：1 mL·min⁻¹

检测器：UV（峰 2 为 280 nm；峰 7 为 310 nm）

图 10-166 多环芳烃类化合物分离谱图 (一)^[100]

色谱峰: (a) 1—苯并[a]蒽; 2—二苯并[a,h]蒽; 3—苯并[a]荧蒽; 4—苯并[a]荧蒽; 5—苯并[a]荧蒽; 6—苯并[a]荧蒽; 7—苯并[a]荧蒽; 8—苯并[a]荧蒽

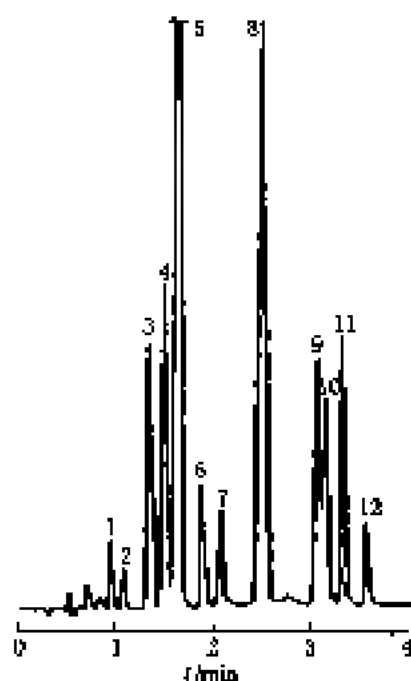
(b) 1—苯; 2—萘; 3—二萘; 4—萘; 5—萘; 6—萘; 7—萘; 8—萘; 9—萘; 10—萘; 11—萘; 12—萘; 13—萘; 14—萘; 15—萘; 16—萘; 17—萘

色谱柱: TCF Kromasil, 250 mm \times 4.6 mm (内径), 5 μ m

流动相: 己烷+二氯甲烷

流速: 1 ml \cdot min⁻¹

检测器: UV (254 nm)



色谱峰: 1—萘; 2—萘; 3—萘; 4—萘; 5—萘; 6—萘; 7—萘; 8—萘; 9—萘; 10—萘; 11—萘; 12—萘

色谱柱: MICROSORB™ SHORT-ONE C₁₈ 键合十八烷基硅
10 cm \times 4.6 mm (内径), 5 μ m

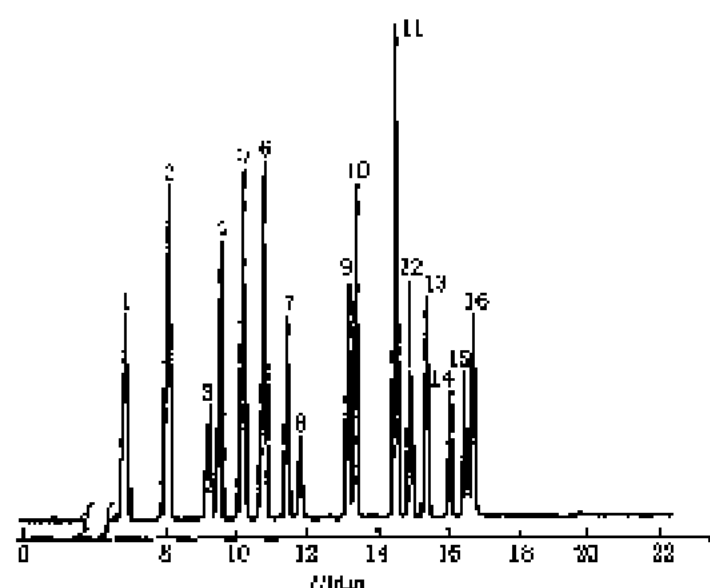
流动相: A 水; B 乙醇

梯度冲提: 25%A+75%B 1min, 25%A+75%B 变至 100%
B 在 3 min 内, 100%B 保持 1 min, 100%B 变至
25%A+75%B 在 1min 内

流速: 3.0 ml \cdot min⁻¹

检测器: UV (254 nm)

图 10-167 多环芳烃类化合物分离谱图(二)^[100]



色谱峰:

1—萘, 2—苊, 3—二氢苊, 4—苈, 5—苊, 6—苊, 7—苊, 8—苊, 9—苯并[a]苊, 10, 11—苯并[a]苊, 12—苯并[a]苊, 13—苯并[a]苊, 14—二苯并[a, b]苊, 15—二苯并[a, b]苊, 16—二苯并[a, b]苊。

图 10-168 多环芳烃化合物分离谱图(三)^[16]

色谱柱: SUPELCOSIL C₁₈-PAH (Supelco) 键合十八烷基硅, 15 cm × 4.6 mm (内径), 5 μm

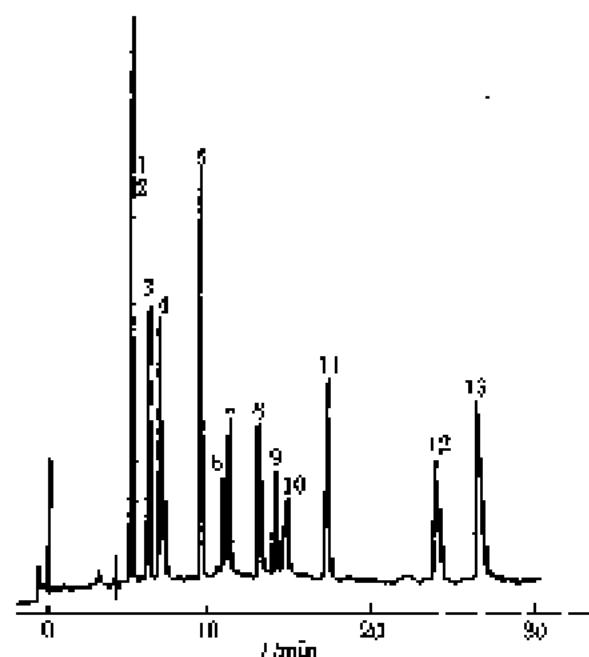
流动相: A 水; B 乙醇

梯度冲洗: 45% A—95% B 2 min, 85% A+95% B 变至 100% (14 min 内)

流速: 2 mL · min⁻¹

色谱柱温: 35℃

检测器: UV (250 nm)



色谱峰: 1—蒽, 2—萘, 3—乙萘, 4—萘, 5—萘, 6—萘, 7—萘, 8—萘, 9—萘, 10—二萘, 11—萘, 12—萘, 13—萘。

色谱柱: Isco C₁₈, 键合十八烷基硅, 25.4 cm × 1 mm (内径), 3 μm

流动相: 甲醇+水 (80+20)

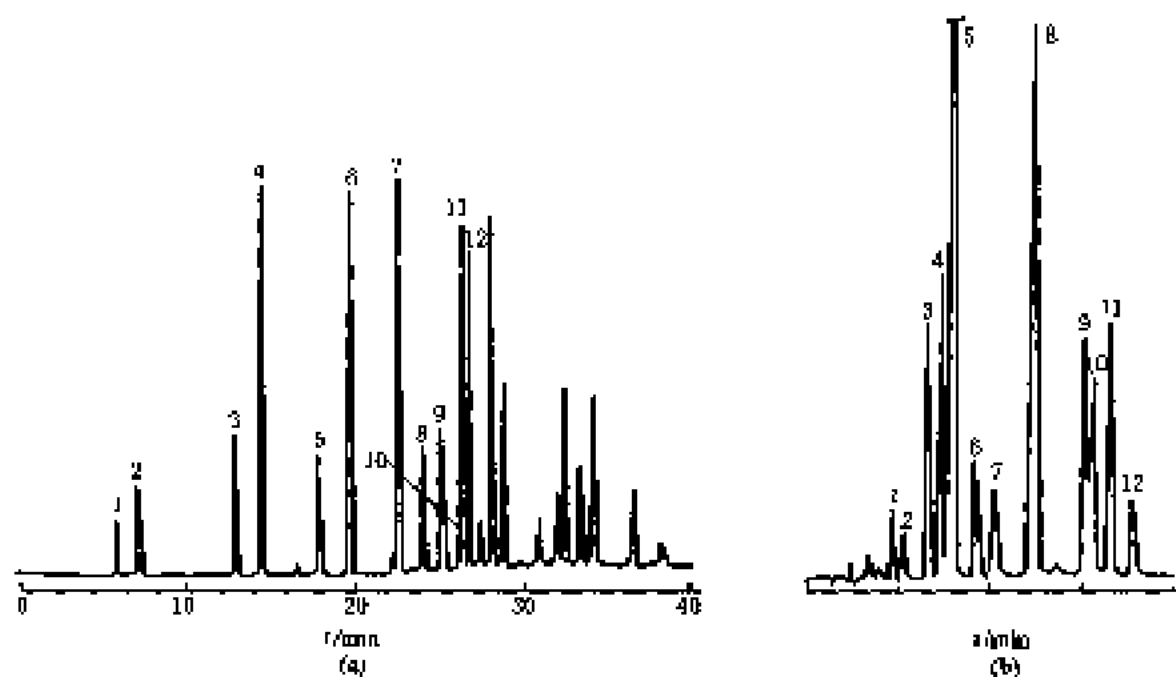
流速: 25 mL · min⁻¹

温度: 室温

进样体积: 0.1 μL

检测器: UV (254 nm)

图 10-169 多环芳烃化合物分离谱图(四)^[16]

图 10-170 多环芳烃化合物分离谱图(五)^[164]

色谱峰: 1—苯; 2—萘; 3—苊; 4—菲; 5—蒽; 6—荧蒽; 7—苝; 8, 9—苯并[a]荧蒽; 10—苯并[a]荧蒽; 11—苯并[a]芘; 12—二苯[a,h]蒽

色谱柱: Micromercarb 联合十八烷基硅, 10 μm \times 4.6 mm, 3 μm

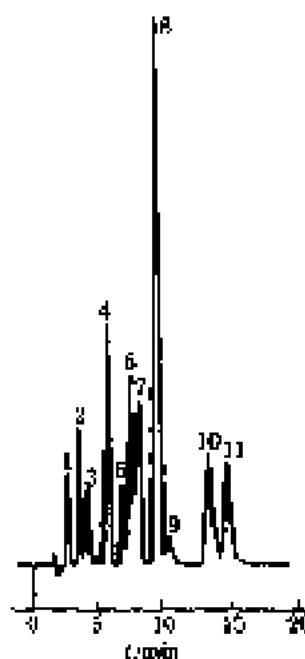
流 速: 30 $\text{ml} \cdot \text{min}^{-1}$

流动相: A 水; B 乙醇

柱 温: 室温

梯度程序: 25% A $\xrightarrow{1 \text{ min}}$ 25% A $\xrightarrow{1.4 \text{ min}}$ 0% A

检测器: UV (254 nm)



色谱峰: 1—萘; 2—菲; 3—菲; 4—菲; 5—荧蒽; 6—菲; 7—菲; 8, 9—菲; 10—菲; 11—菲

色谱柱: DuPont Zorbax ODS 联合十八烷基硅, 150 μm \times 4.6 mm (内径), 15 μm

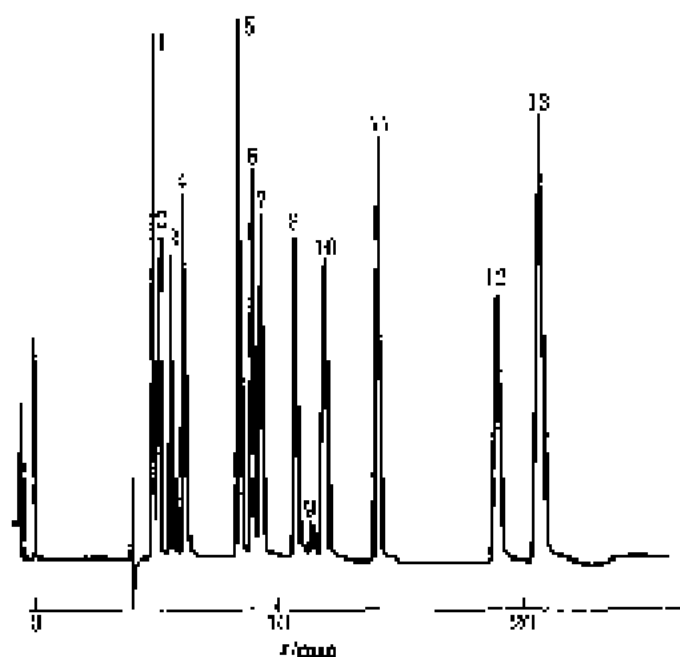
流动相: 甲醇+水 (85+15), 等度冲洗

流 速: 1 $\text{ml} \cdot \text{min}^{-1}$

柱 温: 室温

检测器: UV (254 nm)

图 10-171 多环芳烃化合物分离谱图(六)^[164]

图 10-172 多环芳烃化合物分离谱图(七)^[13]

色谱峰: 1—硝基苯酚; 2—苯酚; 3—乙酰苯酚; 4—硝基苯; 5—苯酚; 6—甲苯; 7—溴苯; 8—萘; 9—杂酚; 10—二甲苯; 11—联苯; 12—苯; 13—萘

色谱柱: hex C_{18} , 键合十八烷基硅, $300\text{ cm} \times 0.3\text{ mm}$ (内径), $3\text{ }\mu\text{m}$

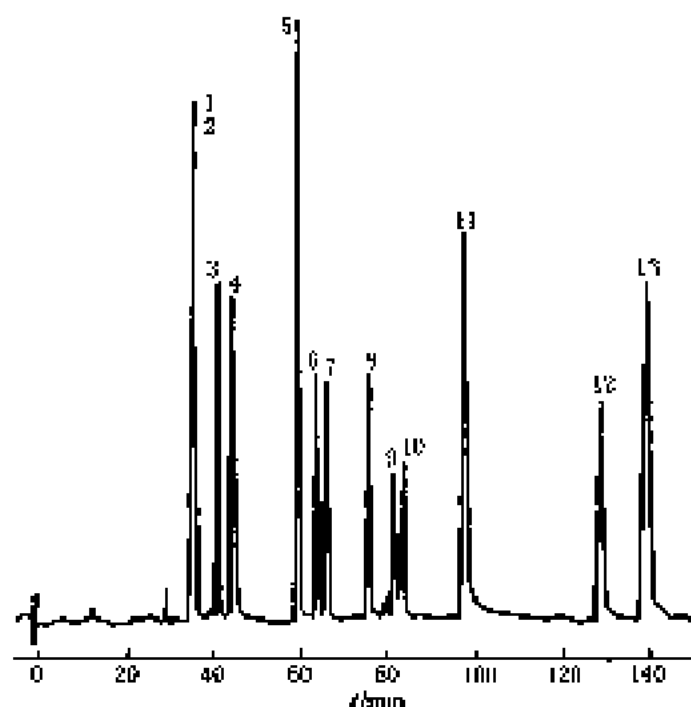
流动相: 甲醇—水 (80+20)

进样体积: $0.1\text{ }\mu\text{l}$

流速: $10\text{ }\mu\text{l} \cdot \text{min}^{-1}$

检测器: UV (254 nm)

柱温: 室温

图 10-173 多环芳烃化合物分离谱图(八)^[13]

色谱峰: 1—硝基苯酚; 2—苯酚; 3—乙酰苯酚; 4—硝基苯; 5—苯酚; 6—甲苯; 7—溴苯; 8—萘; 9—杂酚; 10—二甲苯; 11—联苯; 12—苯; 13—萘

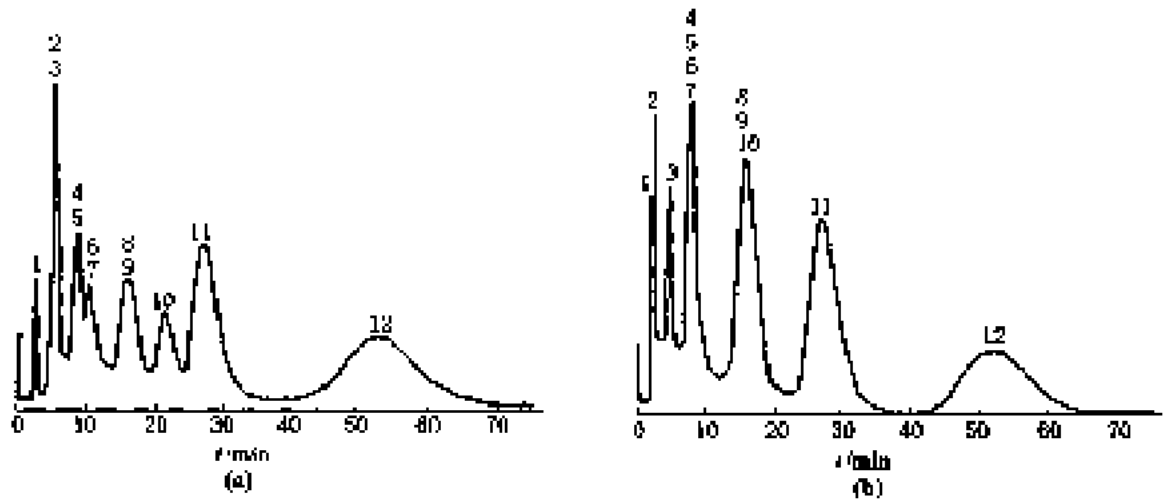
色谱柱: hex C_{18} , 键合十八烷基硅, $100\text{ cm} \times 0.2\text{ mm}$ (内径), $3\text{ }\mu\text{m}$

流动相: 甲醇—水 (80+20)

柱温: 室温

流速: $1\text{--}2\text{ ml} \cdot \text{min}^{-1}$

检测器: UV (254 nm)

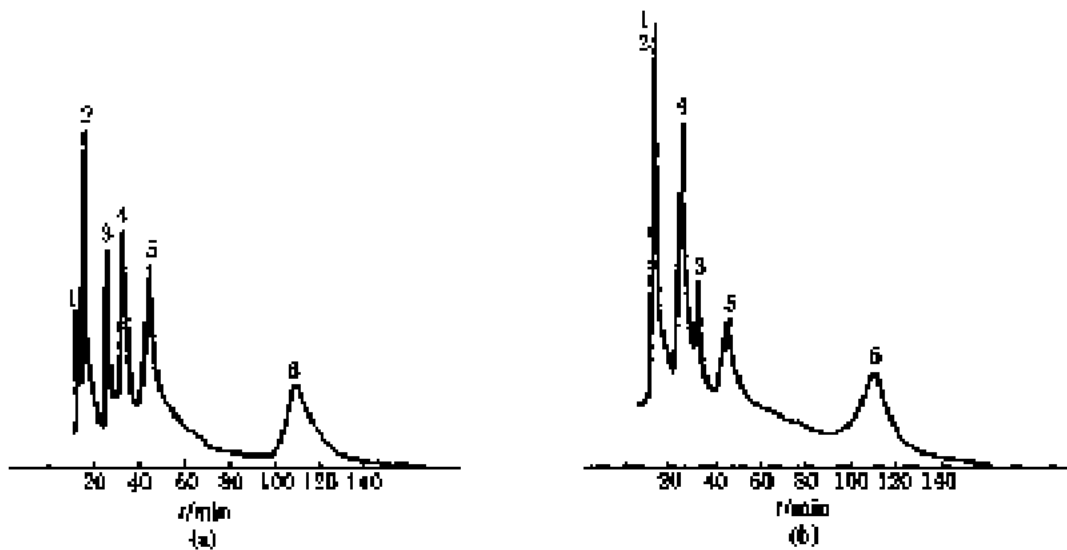
图 10-174 多环芳烃类化合物分离谱图 (九)^[10]

色谱峰: 1—苯; 2—1-甲基萘; 3—2-甲基萘; 4—菲; 5—1-乙基萘; 6—屈; 7—2-乙基萘; 8—1-甲基苝; 9—5-甲基苝; 10—2-甲基苝; 11—9,10-二甲基苝; 12—3-苯基苝

色谱柱: 填充 Alkylsilysphere ODS (Beckman), 45 mm × 4.6 mm (内径)

流动相: (a) 乙醇+水 (40+60); (b) 10 mmol/L β -CD

检测器: UV (254 nm)

图 10-175 多环芳烃类化合物分离谱图 (十)^[10]

色谱峰: 1—苯; 2—萘; 3—5-β-甲基萘; 4—2-甲基萘; 5—β,10-二甲基萘; 6—苯基萘

色谱柱: 填充 Alkylsilysphere ODS, 45 mm × 4.6 mm (内径)

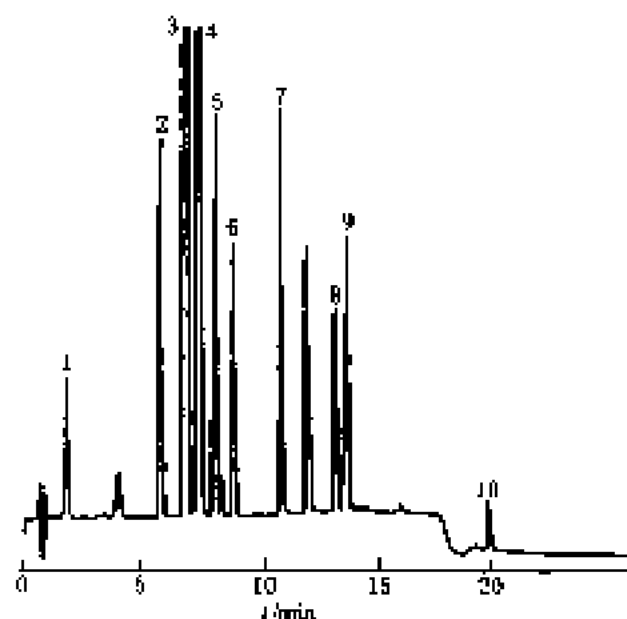
流动相: 50% 甲醇+水

(a) 无 β -环糊精;

(b) 4 mmol/L β -环糊精

柱温: 40°C

检测器: UV/vis (254 nm) 0.05AUFs



色谱柱: 1—苯; 2—萘; 3—苊; 4—苊; 5—菲; 6—苯并[a]芘; 7—苯并[a]芘; 8—1,2,3,4-二萘; 9—苯并[a]芘; 10—十环芳

色谱柱: Du Pont Zorbax[®] C18 键合十八烷基硅, 250 cm × 4.6 mm (内径), 5 μm

流动相: A—水; B—甲醇; C—乙腈; D—二氯甲烷
梯度洗脱: 20%A + 80%B 变化至 100%B (10 min 内); 100%B 变化至 95%B + 5%C (5 min 内); 95%B + 5%C 变化至 50%C + 50%D (12 min 内)

流速: 2.0 ml · min⁻¹

温度: 室温

检测器: UV (254 nm)

图 10-176 多环芳烃类化合物分离谱图 (十一)^[104]

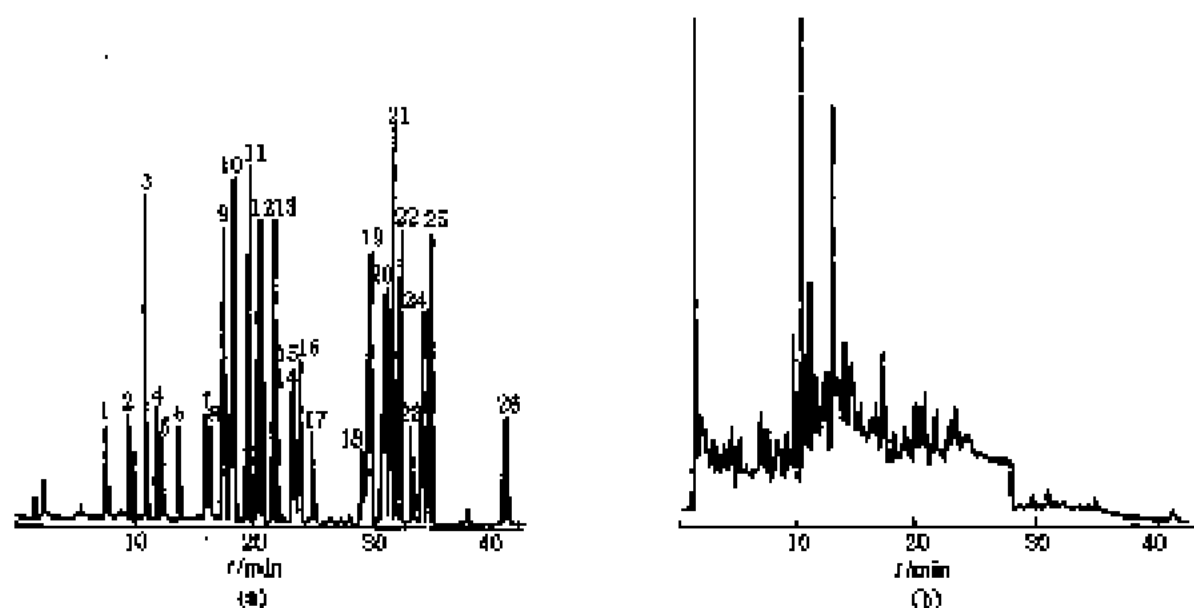


图 10-177 多环芳烃类化合物分离谱图 (十二)^[105]

(a) 多环芳烃标准分离谱图; (b) 汽车尾气中多环芳烃的分离谱图

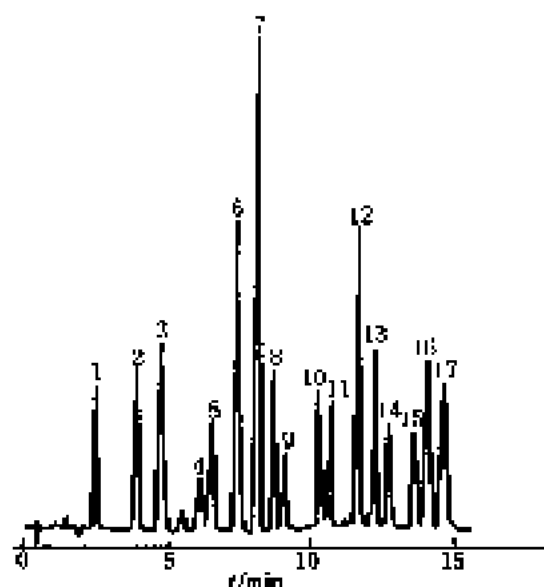
色谱柱: 1—苯; 2—甲苯; 3—吡啶; 4,5—萘; 6—萘; 7—二萘; 8—萘; 9—萘; 10—萘; 11—4,5-二甲萘; 12—萘; 13—萘; 14—萘并[5,6]萘; 15—9-10-二甲萘; 16—萘并[9,10]萘; 17,18—萘并[5,6]萘; 19—萘并[5,6]萘; 20—萘并[5,6]萘; 21—二萘并[5,6]萘; 22—二萘并[5,6]萘; 23—二萘; 24—萘并[1,2,3-cd]萘; 25—萘并[5,6,7]萘; 26—萘

色谱柱: Chromasil PAH, 25.0 cm × 4.6 mm (内径), 4 μm

流动相: A—乙腈; B—甲醇; C—水

线性梯度洗脱: A + B + C 10—50 + 40 $\xrightarrow{0.7 \text{ min}}$ 10 + 50 + 40 $\xrightarrow{15.5 \text{ min}}$ 20 + 50 + 30 $\xrightarrow{14.0 \text{ min}}$ 20 + 80 + 10 $\xrightarrow{7.5 \text{ min}}$ 100%A
 $\xrightarrow{13.7 \text{ min}}$ 100%A

检测器: UV (254 nm 0—28 min, 390 nm 28—43 min)

图 10-178 多环芳烃类化合物分离谱图 (十三)^[117]

色谱峰: 1—苯; 2—萘; 3—苊; 4—二氧苊; 5—蒽; 6—菲; 7—蒽; 8—荧蒽; 9—芘; 10—苯[a]荧蒽; 11, 12—苯并[b]荧蒽; 13—苯并[a]荧蒽; 14—苯[a]芘; 15—二苯[a, h]芘; 16—苯并[g, h, i]芘; 17—蒽并[1, 2, 3, i, j, k]蒽

色谱柱: VYDAC 201 TP5415 键合十八烷基硅, 15 cm×4.6 mm (内径), 5 μm

流动相: A 水, B 乙腈

梯度程序: 50% A+50% B 3 min, 50% A+50% B 升至 100% B 7 min

流速: 1.5 ml·min⁻¹

柱温: 室温

检测器: UV (254 nm)

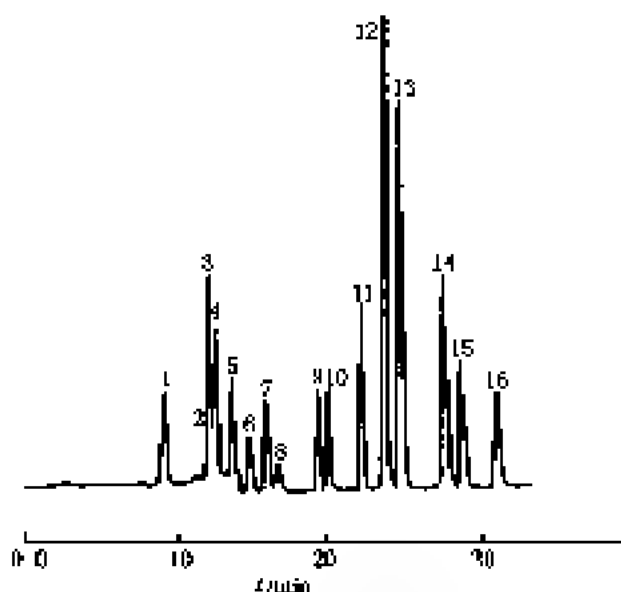


图 10-179 多环芳烃的标品混和物谱图

色谱峰: 1—苯; 2—萘; 3—二氧萘; 4—苊; 5—苊; 6—苊; 7—苊; 8—苊; 9—苯并[a]苊; 10—苊; 11—苯并[b]苊; 12—苯并[a]苊; 13—苊; 14—二苯[a, h]苊; 15—苯[a, h]苊; 16—苯并[g, h, i]苊; 17—蒽并[1, 2, 3, i, j, k]蒽

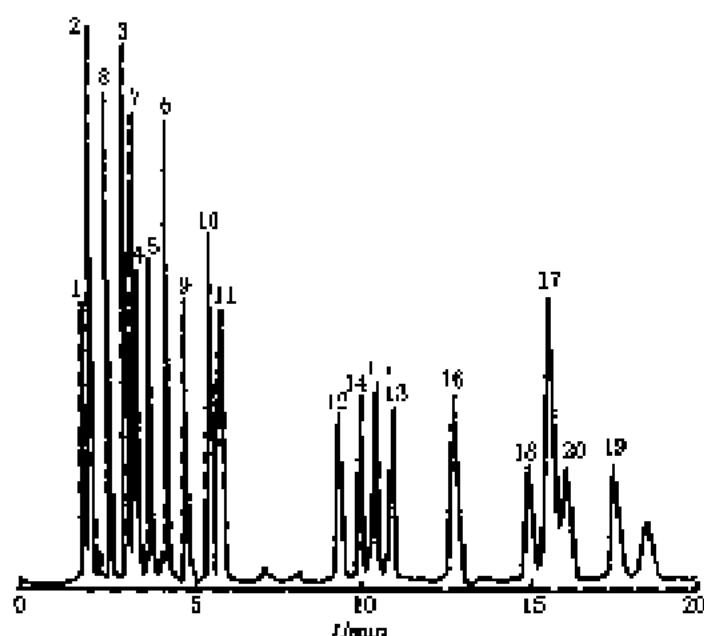
色谱柱: 填充 VYDAC 201TP, 250 mm×4.6 mm (内径), 10 μm

流动相: 乙醇+水

梯度程序:

时间/min	φ(乙醇)/%	时间/min	φ(乙醇)/%
0	50	20	100
5	50	35	100

检测器: 荧光检测器



色谱峰: 1—CYS; 2—ASP; 3—ASN; 4—SER;
5—THR; 6—GLY; 7—GLN; 8—
GLU; 9—HIS; 10—ALA; 11—TYR;
12—ARG; 13—PRO; 14—MET;
15—VAL; 16—TRP; 17—LYS; 18—
PHE; 19—IET; 20—ILE

色谱柱: Ultraspheare (Beckman) 键合硅胶砂,
250 mm×4.8 mm, 5 μ m

流动相: 0.012 mol/L 乙酸钠 (pH4.5 至
4.8) (60%) + 乙醇 (38%)

流速: 1.0 ml/min²

柱温: 35°C

检测器: UV (260 nm)

图 10-180 多环芳烃等度分析谱图^[100]

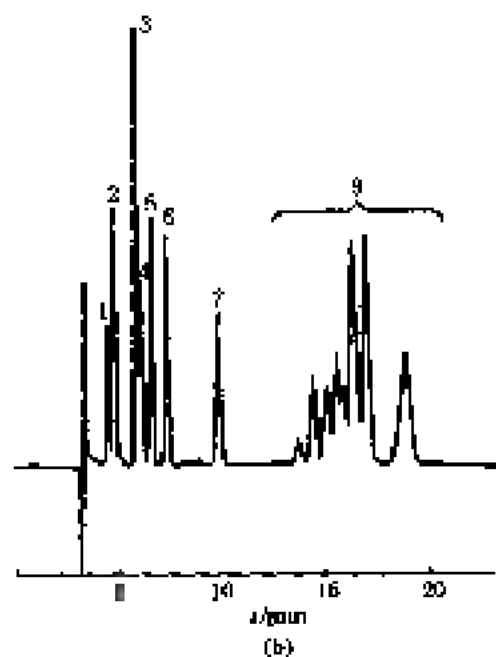
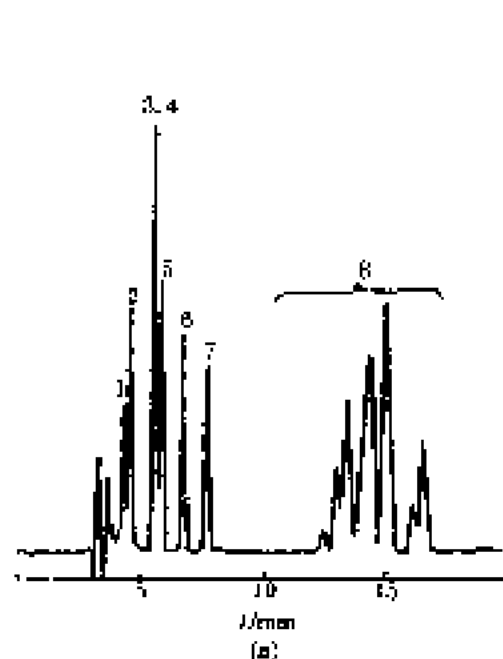


图 10-181 有机氯杀虫剂和五氯联二苯中 TCDD 同分异构体分离谱图^[101]

色谱峰: 1—*o,p'*-DDE; 2—*p,p'*-DDE; 3—多氯联苯-123; 4—*p,p'*-DDT; 5—*o,p'*-DDD; 6—多氯联苯-127; 7—*p,p'*-DDD;
8—四氯联苯对二羟基衍生物

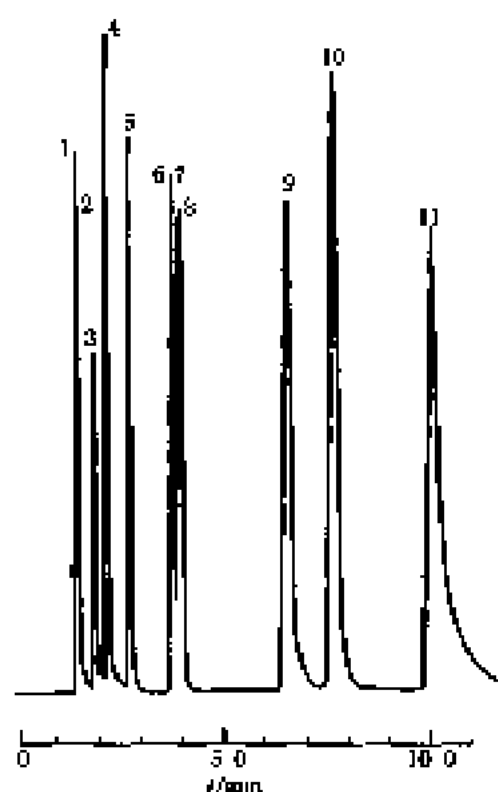
色谱柱: ZB-93, 250 mm×4.6 mm 内径

柱温: 25°C

流动相: (a) 己烷/甲苯 (95/5); (b) 己烷

检测器: UV (235 nm)

流速: 1 ml/min⁻¹



色谱峰: 1— $(C_6H_5)_4Sn$; 2— $(CH_3)_4Sn$; 3— $(C_6H_5)_3Sn$; 4— $(C_6H_5)_4Sn$; 5— $(C_6H_5)_3SnCl$; 6— $(C_6H_5)_2SnCl_2$; 7— $(CH_3)_3SnCl$; 8— $(i-C_4H_9)_3SnCl$; 9— $(i-C_4H_9)_2SnCl_2$; 10— $(C_6H_5)_2SnCl_2$; 11— $(CH_3)_2SnCl_2$

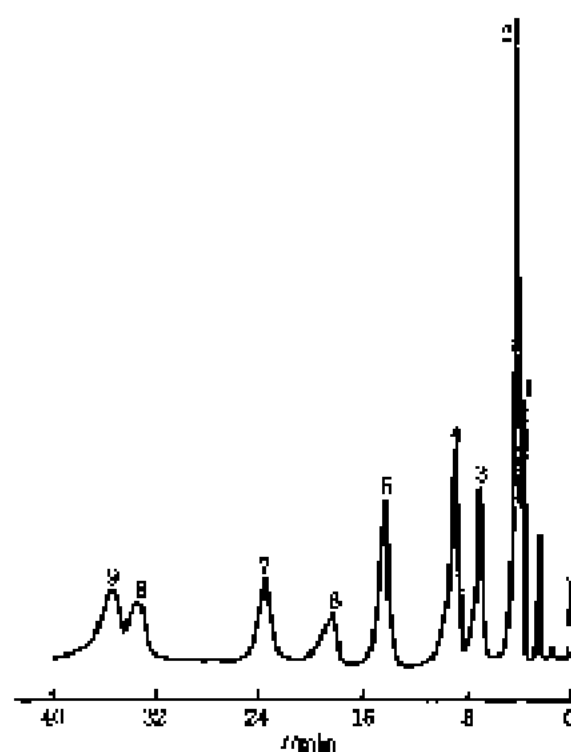
色谱柱: Road CN (Bio Rad RSL N. V) 用 HCl 预处理, $0.46\text{ cm} \times 15\text{ cm}$, $3\text{ }\mu\text{m}$

流动相: 己烷+四氢呋喃+乙醇 (体积比 80+6+14)

流速: $1\text{ ml} \cdot \text{min}^{-1}$

检测器: UV (220 nm)

图 10-182 有机锡化合物分离谱图^[84]



色谱峰: 1—对氨基苯酚; 2—间苯二胺; 3—邻苯二胺; 4—对苯二胺; 5—苯胺; 6—对甲氧基苯胺; 7—对硝基苯胺; 8—邻甲氧基苯胺; 9—邻甲苯胺

色谱柱: Lichrosorb RP 18 柱, $250\text{ mm} \times 4\text{ mm}$ (内径), $7\text{ }\mu\text{m}$

流动相: 甲醇+磷酸盐缓冲液 (pH=7) (体积比=16+84)

流速: $1\text{ ml} \cdot \text{min}^{-1}$

检测器: UV (222 nm)

图 10-183 芳香胺标准品混合物分离谱图^[210]

图 10-184 杀虫剂混合物标准分离谱图^[10]

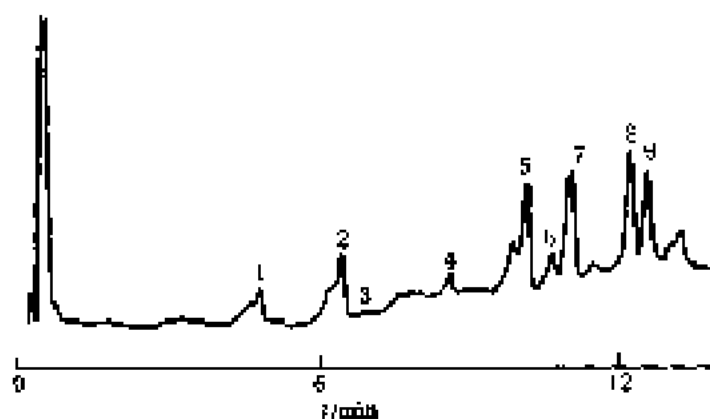
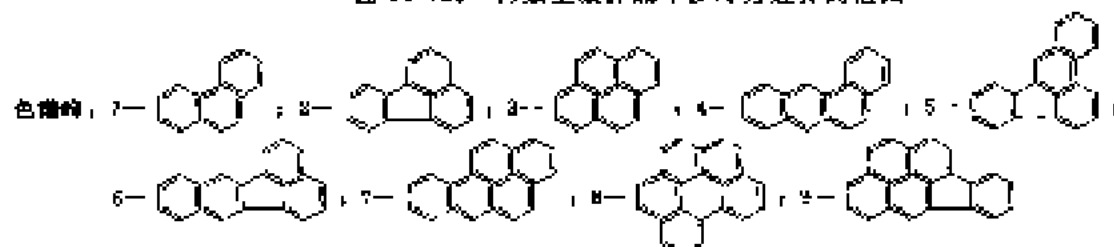
色谱峰: 1—狄氏剂; 2—七氯; 3—滴滴涕; 4—艾氏剂

色谱柱: Spherisorb ODS, 250 mm×4.6 mm, 连接 10 μ m CDS 预处理柱

流动相: 甲醇+水 (50—20)

流速: 1.0 ml·min⁻¹

检测器: 紫外 (220 nm)

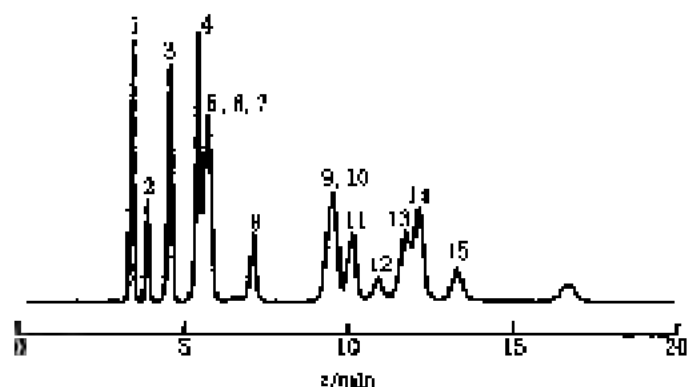
图 10-185 污染土壤样品中多环芳烃分离谱图^[10]

色谱柱: 填充 Perkin Elmer/HIS/5 HCCMS, 125 mm×4.6 mm (内径)

流动相: 50%乙醇 $\xrightarrow{1\text{ min}}$ 50%乙醇 $\xrightarrow{2\text{ min}}$ 100%乙醇 $\xrightarrow{2\text{ min}}$ 100%乙醇

流速: 2.5 ml·min⁻¹

检测器: UV (280 nm)

图 10-186 污染物——多环芳烃混合物梯度分离谱图^[100]

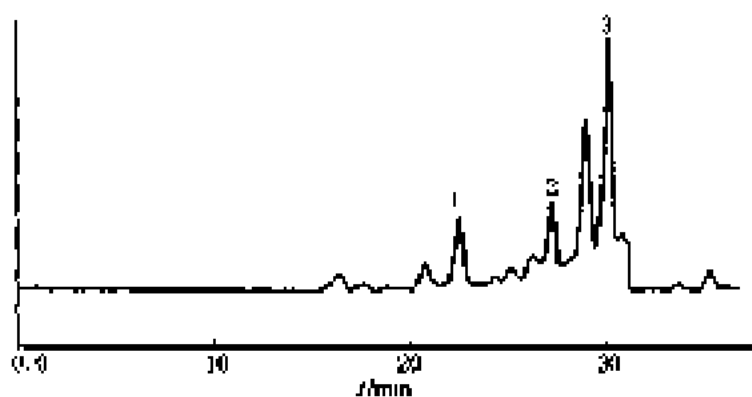
色谱峰：1—蒽；2—二苯基；3—萘；4—萘；5—7—苊、苊、苊；8—荧蒽；9、10—酚；11、12—苯并[a]蒽；13—苯并[a]蒽；14—苯并[a]蒽；15—苯并[a]蒽

色谱柱：LichroCART Lichrospher 60，长 185 mm，5 μ m

流动相：异辛烷

流速：0.5 mL \cdot min⁻¹

检测器：UV (254 nm)

图 10-187 污染沉积物中多环芳烃分离谱图^[100]

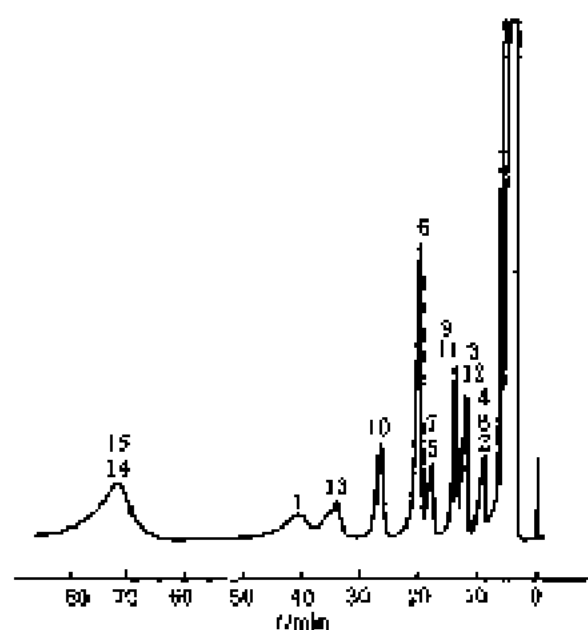
色谱峰：1—苯并[a]蒽；2—苯并[a]蒽；3—苯并[a]蒽；4—萘并[1,2,3-cd]蒽

色谱柱：填充 VYDAC 201TP，250 mm \times 4.6 mm (内径)，10 μ m

流动相：乙醇 + 水

梯度程序：0~7 min 50%乙醇水溶液，7~30 min 50%~100%乙醇水溶液，30~50 min 100%乙醇

时间/min	λ_{ex} /nm	λ_{em} /nm
0	290	340
14	290	420
30	290	500

图 10-188 自来水中 15 种取代芳烃峰的分析谱图^[128]

色谱峰:

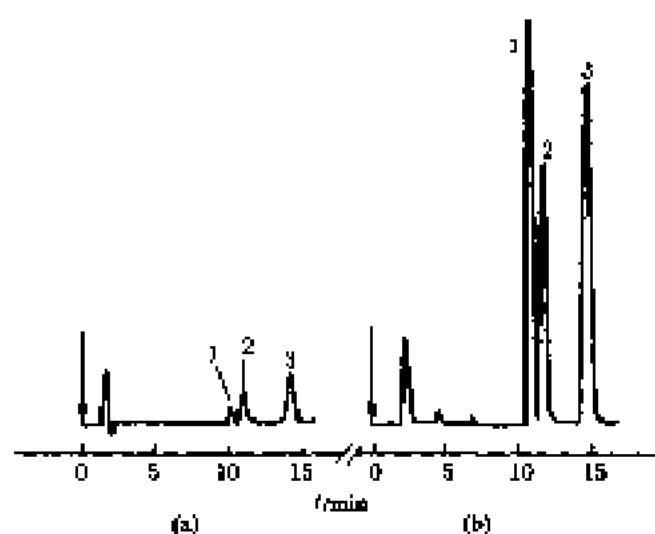
1—苯不绿, 2—四甲基绿, 3—阿特拉津, 4—氟草平,
5—硝基苯酚, 6—氯苯酚, 7—2,6-二甲基苯胺, 8—
2,4-滴丙酸, 9—2,6-二甲苯磺酸, 10—二硝基苯,
11—联苯胺, 12—2-甲-4-氯丙酸, 13—异丙基苯胺,
14—五氯苯酚, 15—2,4,5-三氯苯酚

预理柱: PLRP-S

分析柱: 25 μ m PLRP-S

流动相: $\text{CH}_2\text{Cl}_2 + 10 \text{ mmol/L}$ 磷酸缓冲溶液
(pH8) (体积比=20:80)

检测器: 紫外 (230 nm)

图 10-189 呋喃丹、西维因等分离谱图 (一)^[129]

(a) 无柱后衍生化, (b) 有柱后衍生化

色谱峰: 1—联苯胺, 2—CBF, 3—CYL

色谱柱: Ultrasphere C₁₈

流动相: 水+乙醇 (体积比=76:24)

检测器: UV-Vis (400 nm)

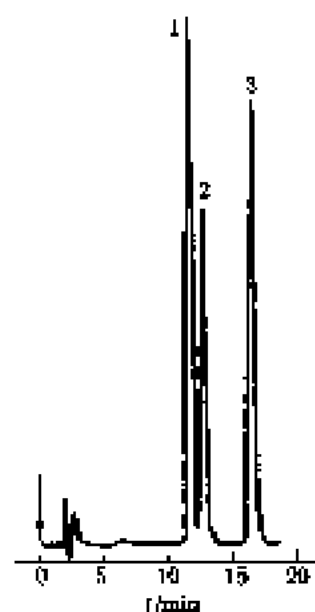


图 10-190 呋喃丹、西维因

等分离谱图 (二)^[129]

色谱峰: 1—联苯胺, 2—呋喃丹, 3—西维因

色谱柱: Ultrasphere C₁₈流动相: H_2O +乙醇 (体积比=70:30)

流速: 2.0 mL/min

检测器: UV-Vis (400 nm)



图 10-191 芳香醇类
化合物谱图

色谱峰: 1—对羟基苯醇; 2—3-硝基-4-羟基苯醇; 3—4-硝基苯醇

色谱柱: C_{18} Spheri 5 RP 18, 100 mm \times 4.6 mm (内径), 5 μ m

流动相: 水+0.1% TPA-甲醇 (体积比=55:45)

流速: 50 μ l \cdot min $^{-1}$

检测器: UV (254 nm)



图 10-192 空气样品中萘酮

分析谱图 (100%)

色谱峰: 1—甲萘; 2—乙萘; 3—丙萘; 4—苯甲萘; 5—甲萘甲萘

色谱柱: 填充 Hypersil ODS C_{18} 硅胶, 150 mm \times 4.6 mm (内径), 5 μ m

流动相: 乙腈+水 (体积比=40:60)

流速: 0.5 ml \cdot min $^{-1}$

进样阀: 型号 7135

检测器: 双极阵列检测器 (HP 1040A), 荧光检测器 (FS 970, Kratos)

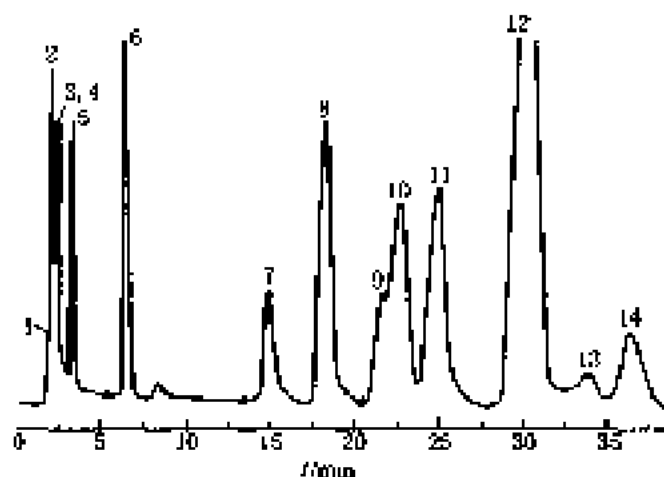


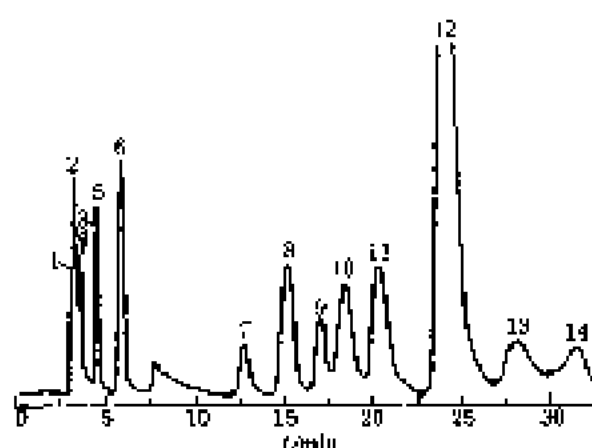
图 10-193 苯并 [a] 芘的 14 种代谢物谱图 (—)^[133]

色谱峰: 1—苯并 [a] 芘-*r*-7,8,9,10-四羟基; 2—苯并 [a] 芘-*r*-7,8,9,10-四羟基; 3—苯并 [a] 芘-*r*-7,8,9,10-四羟基; 4—苯并 [a] 芘-*r*-7,8,9,10-四羟基; 5—苯并 [a] 芘-*r*-7,8,9,10-四羟基; 6—苯并 [a] 芘-*r*-7,8,9,10-四羟基; 7—苯并 [a] 芘-1,6-二酮; 8—苯并 [a] 芘-3,8-二酮; 9—12-羟基苯并 [a] 芘; 10—8-羟基苯并 [a] 芘; 11—2-羟基苯并 [a] 芘; 12—7-羟基苯并 [a] 芘; 13—2-羟基苯并 [a] 芘; 14—5-羟基苯并 [a] 芘

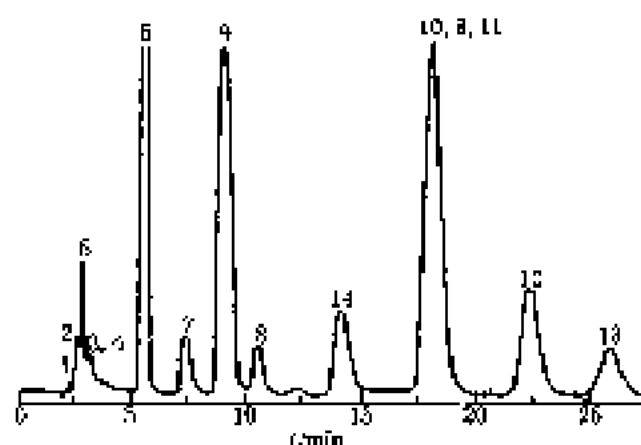
色谱柱: 填充 becker-Bond C_{18} 载体, 250 mm \times 4.6 mm (内径)

流动相: 甲醇+乙腈+水 (体积比=17:50:33)

检测器: UV (254 nm)

图 10-194 苯并[a]芘的 14 种代谢物谱图 (二)^[100]

色质谱: 1—苯并[a]芘-*r*-7,*r*-8,9,10-四羧咪唑; 2—苯并[a]芘-*r*-7,*r*-8,*r*-8,*r*-10-四羧咪唑; 3—苯并[a]芘-*r*-7,*r*-8,9,10-四羧咪唑; 4—苯并[a]芘-*r*-7,*r*-8,9,10-四羧咪唑; 5—苯并[a]芘-*r*-7,10-四羧咪唑; 6—苯并[a]芘-*r*-7,8-四羧咪唑; 7—苯并[a]芘-3,6-二酮; 8—苯并[a]芘-3,6-二酮; 9—12-羟基苯并[a]芘; 10—8-羟基苯并[a]芘; 11—2-羟基苯并[a]芘; 12—7-羟基苯并[a]芘; 13—3-羟基苯并[a]芘; 14—6-羟基苯并[a]芘
 色谱柱: 填充 becker-Bond C_{18} 载体, 250 mm \times 4.6 mm (内径)
 流动相: 乙醇+水 (体积比=65:35)
 检测器: UV (254 nm)

图 10-195 苯并[a]芘的 14 种代谢物谱图 (三)^[100]

色质谱: 1—苯并[a]芘-*r*-7,*r*-8,9,10-四羧咪唑; 2—苯并[a]芘-*r*-7,*r*-8,*r*-8,*r*-10-四羧咪唑; 3—苯并[a]芘-*r*-7,*r*-8,9,10-四羧咪唑; 4—苯并[a]芘-*r*-7,*r*-8,9,10-四羧咪唑; 5—苯并[a]芘-*r*-7,10-四羧咪唑; 6—苯并[a]芘-*r*-7,8-四羧咪唑; 7—苯并[a]芘-3,6-二酮; 8—苯并[a]芘-3,6-二酮; 9—12-羟基苯并[a]芘; 10—8-羟基苯并[a]芘; 11—2-羟基苯并[a]芘; 12—7-羟基苯并[a]芘; 13—3-羟基苯并[a]芘; 14—6-羟基苯并[a]芘
 色谱柱: 填充 becker-Bond C_{18} 载体, 250 mm \times 4.4 mm (内径)
 流动相: 甲醇+水 (体积比=81.75:18.25)
 检测器: UV (254 nm)

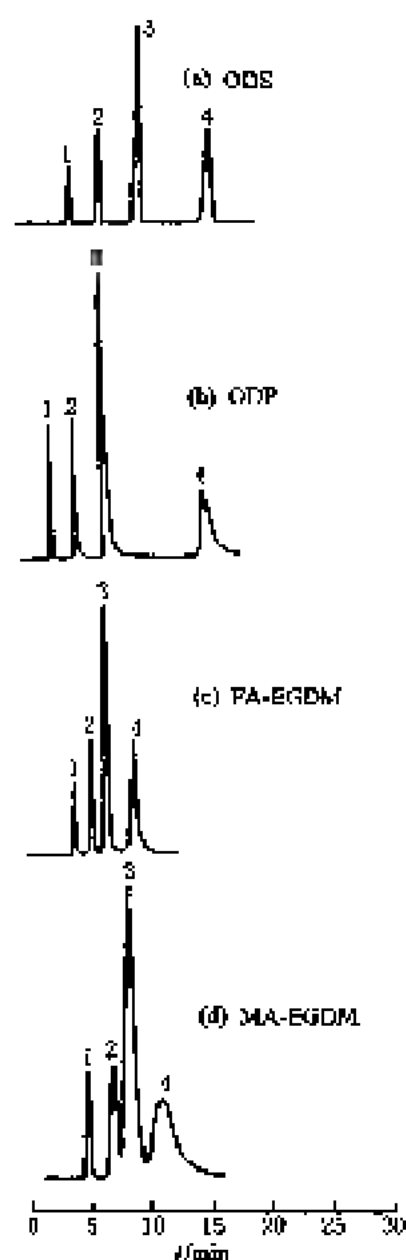
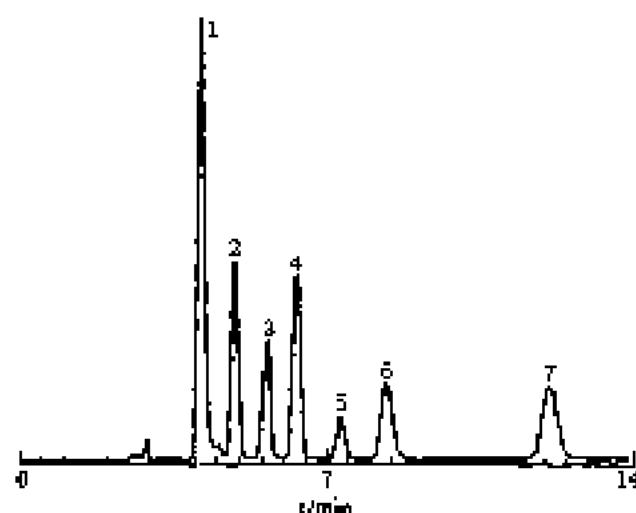


图 10-196 苯和 1,2,4-三氟苯分离谱图 (一)⁽¹²⁰⁾
 色谱峰: 1—苯; 2—苯; 3—苯; 4—苯
 色谱柱: 150 mm × 4.6 mm (内径), 填充 (a) ODS;
 (b) ODP; (c) EF-EGDM; (d) MA-EGDM
 流动相: 乙醇+水 (体积比=60:40)
 流 速: (a), (b) 1.0 ml · min⁻¹; (c), (d) 0.5 ml · min⁻¹
 检测器: 紫外, 二极管阵列



图 10-197 苯和 1,2,4-三氟苯分离谱图 (二)⁽¹²⁰⁾
 色谱峰: 1—苯; 2—1,2,4-三氟苯
 色谱柱: 150 mm × 4.6 mm (内径), 填充 (a) ODS;
 (b) ODP; (c) EF-EGDM; (d) MA-EGDM
 流动相: 乙醇+水 (体积比=60:40)
 流 速: (a), (b) 1.0 ml · min⁻¹; (c), (d) 0.5 ml · min⁻¹
 检测器: 紫外, 二极管阵列



色谱峰: 1—二氢代苯并咪唑; 2—氧化苄基咪唑;
3—对羟基苄基咪唑; 4—苄基咪唑;
5—甲苄咪唑; 6—四氢咪唑; 7—苄基
咪唑

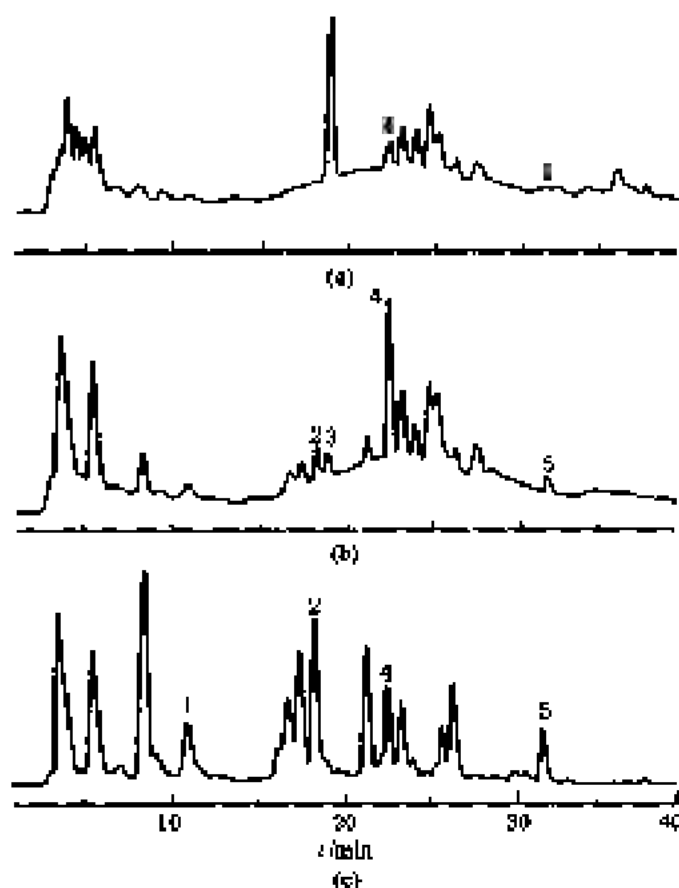
色谱柱: 填充 ODS 载体 30 cm × 4 mm (内径)

流动相: H_2PO_4 - 乙醇 (体积比 = 60 : 40)

柱温: 45°C

检测器: 光电二极管阵列 (290 nm)

图 10-198 几种苯并咪唑分离谱图^[100]



色谱峰:

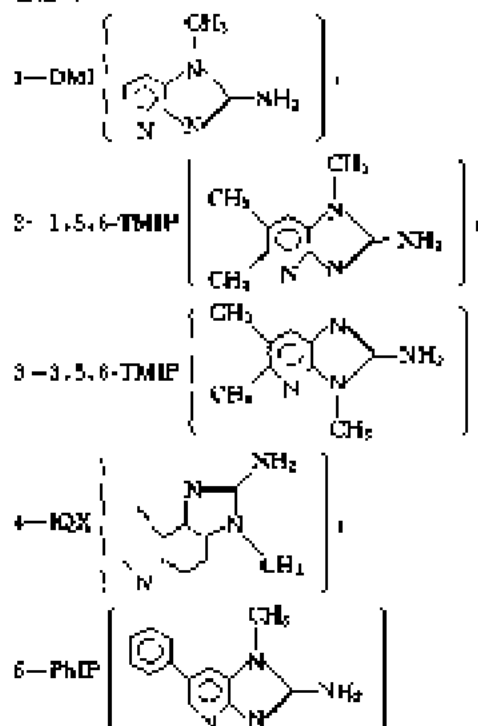


图 10-199 烟草中的真菌环化合物谱图^[106]

色谱柱: OD580-TM, 150 mm × 4.6 mm (内径)

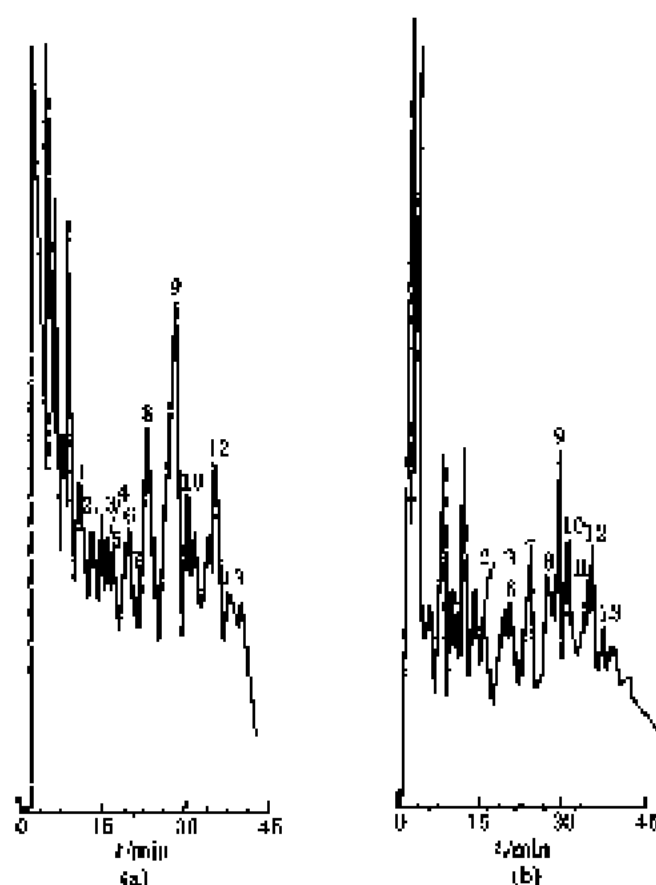
柱温: 室温

流动相: A—0.025 mol·L⁻¹磷酸三乙胺 (pH3.6), B—乙醇

梯度洗脱: 5%B $\xrightarrow{5 \text{ min}}$ 5%B $\xrightarrow{10 \text{ min}}$ 17%B $\xrightarrow{10 \text{ min}}$ 25%B $\xrightarrow{10 \text{ min}}$ 35%B $\xrightarrow{5 \text{ min}}$ 50%B

流速: 1 ml·min⁻¹

检测器: (a) UV (262 nm); (b) UV (305 nm); (c) 荧光 (λ_{ex} = 307 nm, λ_{em} = 370 nm)

图 10-200 空气样品中多环芳烃分析谱图^[127]

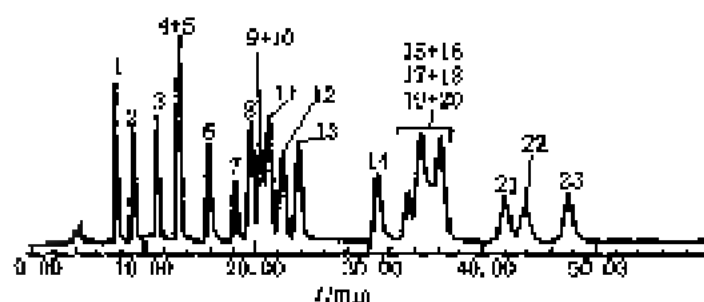
色质峰: 1—萘; 2—苊; 3—二氢苊; 4—菲; 5—苝; 6—荧蒽; 7—苉; 8—花; 9—苯并[a]芘; 10—苯[b]芘; 11—苯[a]蒽; 12—苯[a]蒽; 13—二苯基[a]蒽

色质柱: 填充 C₁₈ Hecelcell, 150 mm×4.6 mm, 5 μm 载体

流动相: (a) 乙腈+0.2 mol/L 磷酸; (b) 乙腈+Mobile-Q

流速: (a) 0.5 mL·min⁻¹; (b) 1 mL·min⁻¹

检测器: 荧光检测 (254 nm, 375 nm)

图 10-201 涕药有毒物地下水分离谱图^[128]

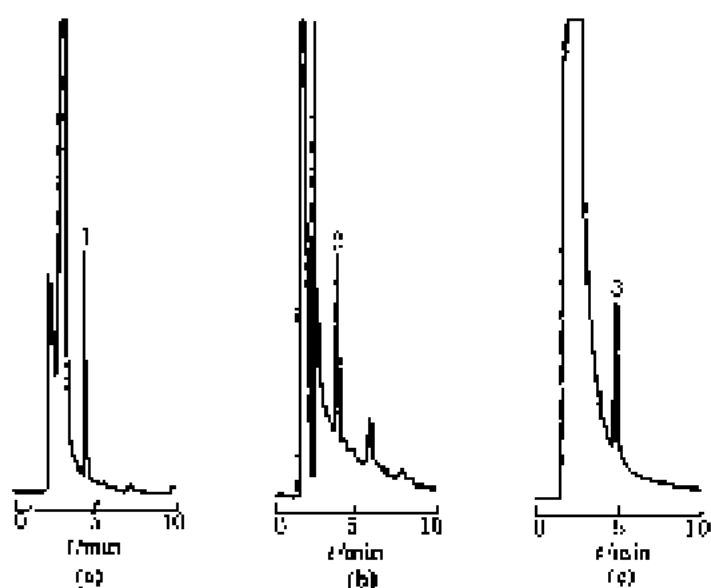
色质峰: 1—1,2,3,7-四硝基-1,2,3,7-四氢环平烷; 2—2,4-二硝基苯甲酸; 3—2-硝基苯甲酸; 4—1,2,6-三硝基六氢-1,3,5-三嗪; 5—三硝基; 6—1,2,5-三硝基苯; 6—苦味酸; 7—4-硝基苯酚; 8—4-硝基苯酚; 9—1,3-二硝基苯; 10—4-硝基苯甲酸; 11—3-硝基苯甲酸; 12—2,4,6-三硝基甲苯; 13—2,6-二硝基对甲苯酚; 14—2,5-二硝基苯酚; 15—2,4-二硝基甲苯; 16—2,6-二硝基甲苯; 17—3,4-二硝基甲苯; 18—2-氨基-4,6-二硝基甲苯; 19—4-氨基-2,6-二硝基甲苯; 20—4,6-二硝基邻甲苯; 21—2-硝基甲苯; 22—4-硝基甲苯; 23—3-硝基甲苯

色质柱: Merck Lichrospher 60 RP-select B C₁₈, 250 mm×4 mm (内径), 5 μm

流动相: 甲醇+水 (体积比=45:55)

流速: 0.5 mL·min⁻¹

检测器: UV (210 nm)



色谱峰：1-甲基-N-(2-氨基-2-氧代基)-L-氨基甲酰胺，2-2-氧乙酮，3-肌酐

色谱柱：WIS RP 柱，250 mm×4.6 mm（内径）

预柱：C₁₈，27 mm×7 mm（内径）

柱温：室温

流动相：A-乙醇+50 mmol/L 1- K_2PO_4 (pH3.2)（体积比=10+90），B-乙醇+100 mmol/L 1- K_2PO_4 (pH3.2)（体积比=20+80），C-乙醇+水（体积比=50+50）

流速：1 ml·min⁻¹

检测器：UV（270 nm）

图 10-202 河水样品中杀血剂谱图^[26]

(a) 甲基-N-(2-氨基-2-氧代基)-L-氨基甲酰胺；(b) 2-氧乙酮；(c) 肌酐

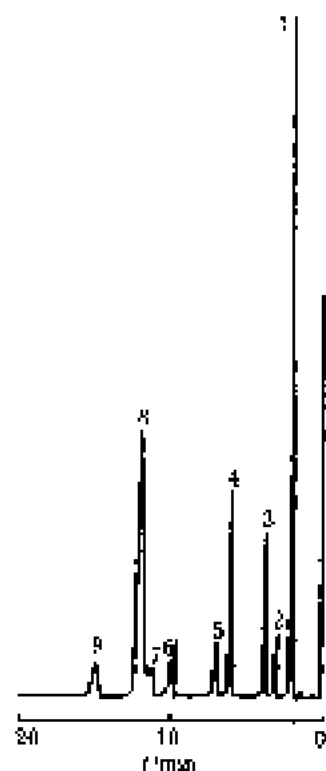


图 10-203 酚类化合物分离谱图^[26]

色谱峰：1-3,4-二羟基苯甲酸，2-糖醛，3-香草醛，4-苯酚，5-4-羟基香豆素，6-3,5-二甲氧基苯酚，7-1-硝基苯酚，8-苯甲酚，9-甲苯酚

色谱柱：Lichrospher 100 RP-18，125 mm×4.0 mm（内径）

流动相：乙醇+50 mmol/L 乙酸钠缓冲液 (pH4.2)（体积比=20+80）

流速：1 ml·min⁻¹

检测器：UV（280 nm）

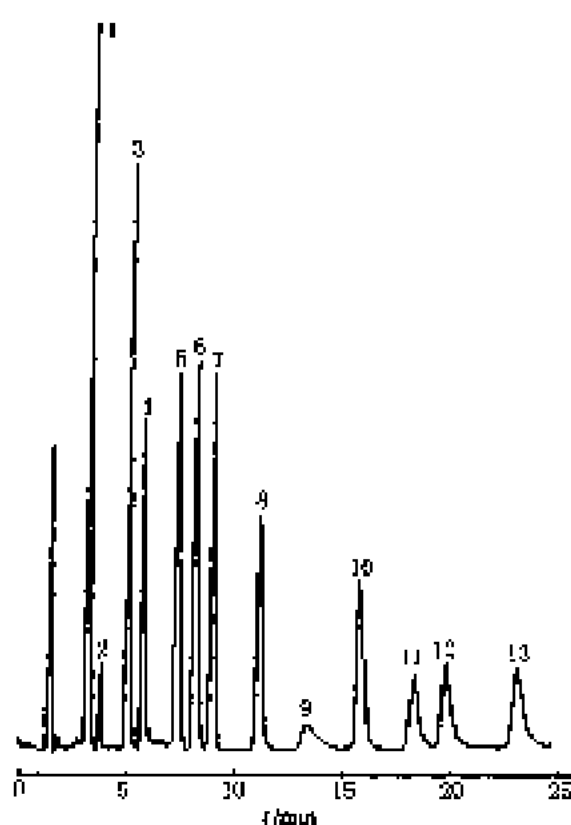


图 10-204 酚类化合物标准样谱图^[26]

色谱峰：1-苯酚，2-对硝基苯酚，3-邻硝基苯酚，4-邻硝基苯酚，5-2,4-二甲氧基苯酚，6-3,5-二氯苯酚，7-4-氯-3-甲氧基苯酚，8-2,4-二氯苯酚，9-亚硝基苯酚，10-2,4-二溴苯酚，11-2,4,6-三氯苯酚，12-3,3,4-三氯苯酚，13-2,4,5-三氯苯酚

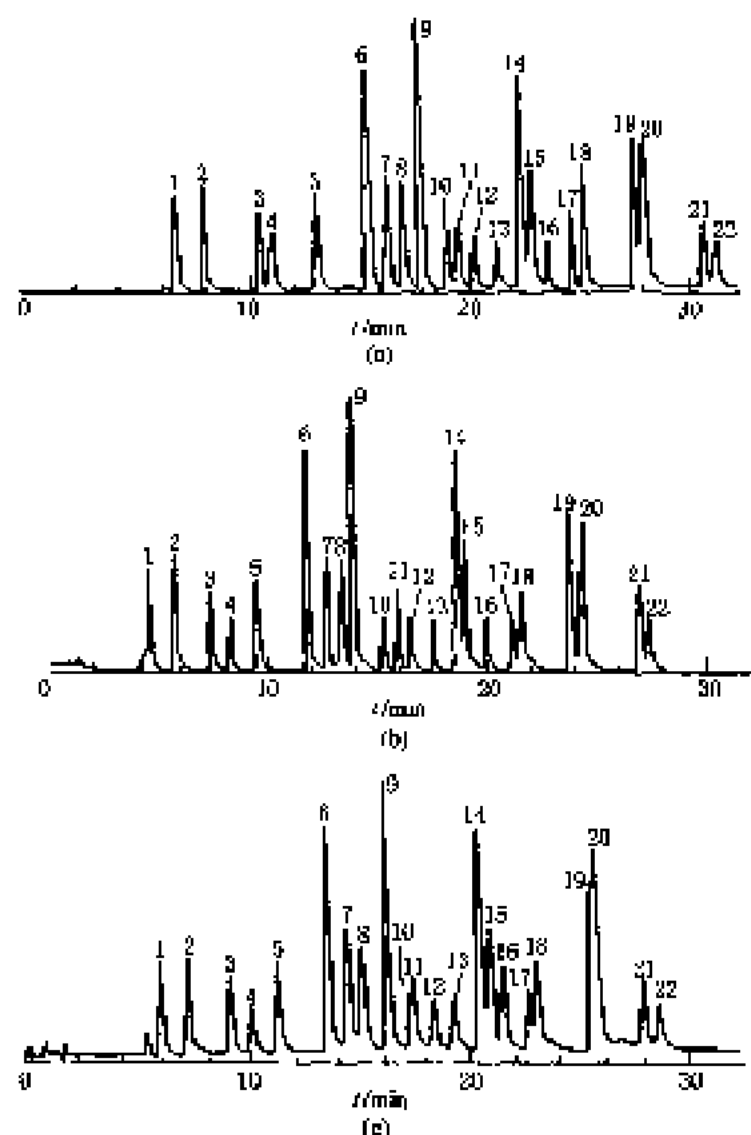
色谱柱：RP-Hypersil C₁₈，250 mm×4 mm（内径）

柱温：室温

流动相：10 mmol/L NaAc-HAc (pH5.3) + 乙醇+甲醇（体积比=60+80+10）

流速：2.5 ml·min⁻¹

检测器：安捷检测器（+350 mV，Ag-AgCl）

图 10-205 硝化多环芳烃的分离谱图^[102]

色谱峰: 1—6-硝基喹啉; 2—5-硝基喹啉;
3—5-硝基-8-甲基喹啉; 4—8-硝
基-7-甲基喹啉; 5—1,8-二硝基
喹; 6—1,5-二硝基喹; 7—1-硝基
喹; 8—2-硝基喹; 9—9-硝基联苯;
10—1-硝基- α -甲基萘; 11—2,7-二
硝基萘; 12—6-硝基联苯; 13—2
硝基萘; 14—9-硝基菲; 15—5-硝
基萘; 16—3-硝基萘; 17—1,6-二
硝基菲; 18—1-硝基菲; 19—4-硝
基-对-三苯; 20—6-硝基萘; 21—2-
硝基萘; 22—6-硝基苯并 [a] 芘

色谱柱: C_{18} 键合硅 (Alltech), 25.0 cm \times
2.1 mm (内径), 5 μ m

流动相: (a), (b) 84% 乙腈-水溶液
流速: 0.5 ml \cdot min⁻¹

柱温: 35 $^{\circ}$ C

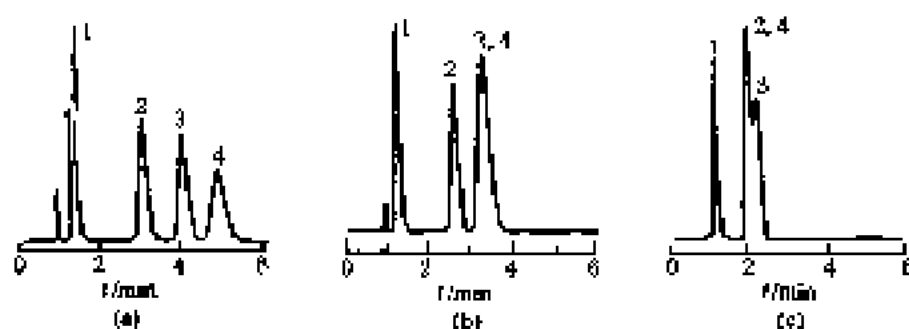
检测器: UV (254 nm)

溶剂: 乙腈-水溶液 + 10% 甲酸

流速: 0.5 ml \cdot min⁻¹

柱温: (a), (b) 35 $^{\circ}$ C; (c) 55 $^{\circ}$ C

检测器: UV (254 nm)

图 10-206 叠氮化合物的分离谱图^[103]

色谱峰: 1—叠氮苯; 2—叠氮氯化苯; 3—叠氮氯化苯; 4—叠氮甲基三氯苯

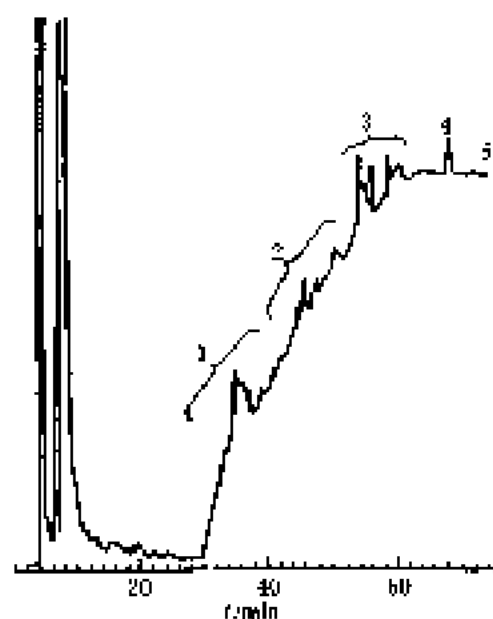
色谱柱: μ -Bondapak (H25-2, 120 mm \times 4.6 mm, 5 μ m)

流动相: 50% 水溶液, (a) 0.02 mol \cdot L⁻¹, (b) 0.06 mol \cdot L⁻¹, (c) 0.15 mol \cdot L⁻¹

流速: 1 ml \cdot min⁻¹

柱温: 室温

检测器: UV (275 nm)



色谱峰: 1—五氯联苯对二羟基-咪唑; 2—六氯联苯对二羟基-咪唑; 3—七氯联苯对二羟基-咪唑; 4—八氯联苯对二羟基; 5—八氯联苯咪唑

色谱柱: FB-501, 250 cm × 4.6 mm (内径)

流动相: 溶剂 A, 己烷; 溶剂 B, 二氯甲烷+己烷 (体积比=90:10)

梯度冲流: 0 min $\xrightarrow[0.8 \text{ ml} \cdot \text{min}^{-1}]{100\% \text{ A}}$ 31 min
 $\xrightarrow[0.8 \rightarrow 1.5 \text{ ml} \cdot \text{min}^{-1}]{100\% \text{ A} \rightarrow \text{B}}$ 60 min

检测器: UV (215 nm)

图 10-207 联苯中多氯联苯谱图^[100]

第五节 天然产物与食品色谱图

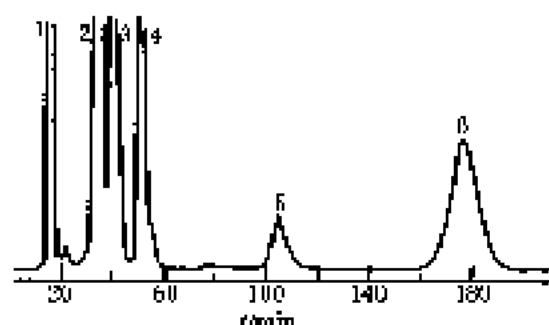


图 10-208 Bructulo 中类胡萝卜素分离谱图^[101]

色谱峰: 1— β -胡萝卜素; 2—叶黄素; 3—花药黄质; 4—紫黄质; 5—顺新黄质; 6—新黄质

色谱柱: 硅胶 50II 15 μm

流动相: 35% 丙酮+石油醚 (40℃~60℃ 沸程)

流速: 3 ml · min⁻¹

检测器: V1a (435 nm)

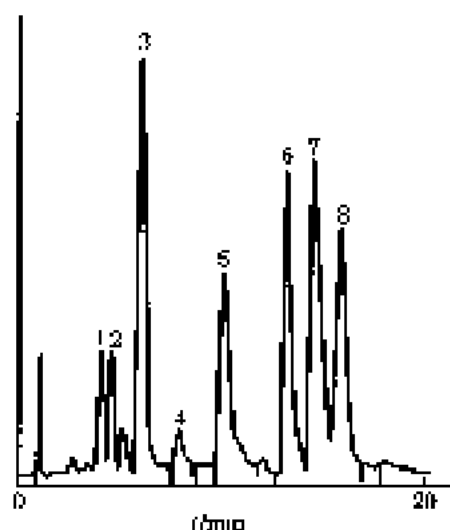


图 10-209 草中生物碱的分离谱图 (一)^[102]

色谱峰: 1—莽蒿炔基碱 (11-OH 二苯胺); 2—异莽蒿炔基碱 (11-OF 二苯胺); 3—波尔定碱 (二苯胺); 4—去一异莽蒿丁 (11-OH 单苯胺); 5—异莽蒿丁 N-氧化物 (11-OH 单苯胺); 6—六氢碱 (去一单苯胺); 7—异莽蒿丁 (11-OH 单苯胺); 8—N-甲基-六氢碱 (单苯胺)

色谱柱: Spherisorb S3 ODS S₂ (C18-粒), 25.0 cm × 4.6 mm (内径), 5 μm

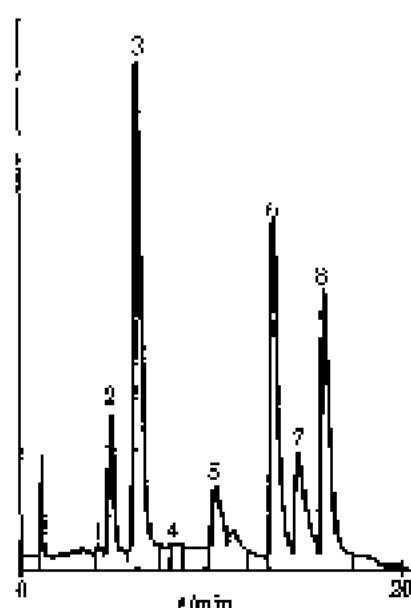
流动相: A 10.4% 乙腈水溶液, 含 0.8% 二乙基胺 (调节 pH₃PO₄ pH<4); B 乙腈

梯度冲流: 0~8 min 保持 100% A; (8~11) min 0% 升至 14% (线性); (11~18) min 保持 14% B

流速: 2.50 ml · min⁻¹

温度: 30℃

检测器: UV (289 nm)

图 10-210 草中生物碱的分离谱图 (二)^[10]

色谱峰: 1—新莨菪碱碱 (11-OH 二萜碱); 2—异莨菪碱碱 (11-OH 二萜碱); 3—波尔定碱 (二萜碱); 4—去—异莨菪碱 (11-OH 单萜碱); 5—异莨菪丁 *N*-氧化物 (11-OH 单萜碱); 6—六羟碱 (去—单萜碱); 7—异莨菪丁 (11-OH 单萜碱); 8—*N*-甲基 六羟碱 (单萜碱)

色谱柱: Sphenorb S5 ODS S (C₁₈-键), 25.0 cm×4.6 mm (内径), 5 μm

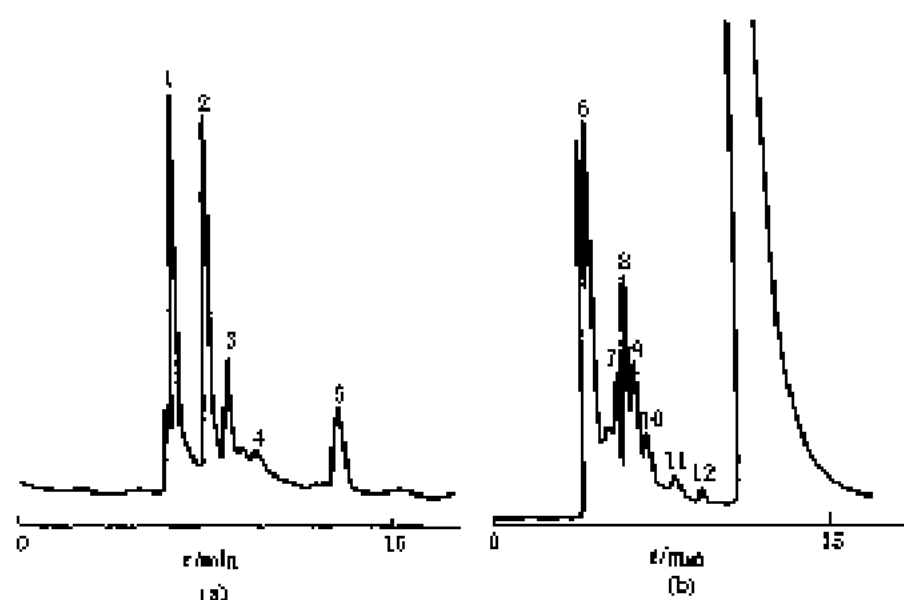
流动相: A 15.5% 乙腈水溶液, 含 0.2% 二乙基胺 (稀磷酸, pH<4); B 乙腈

梯度冲洗: 0.8 min 保持 100% A, (8~11) min 0% 升至 14% (线性), (11~18) min 保持 14% B

流速: 0.5 mL·min⁻¹

温度: 30°C

检测器: UV (214 nm)

图 10-211 大豆木质部 (a) 和树皮部 (b) 树汁中鞣酸分离谱图^[10]

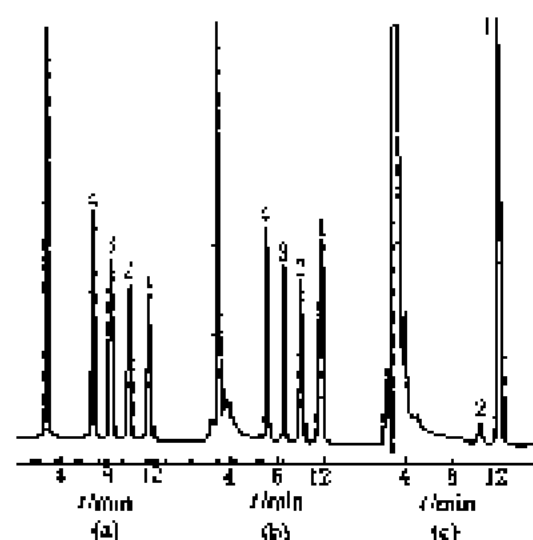
色谱峰: 1—鞣酸阴离子 (主要 NO_2^-); 2—苹果酸; 3—丙酮酸; 4—柠檬酸; 5—富马酸; 6—EDTA; 7—琥珀酸; 8—苹果酸; 9—丙二酸; 10—马来酸; 11—柠檬酸; 12—琥珀酸

色谱柱: ODS-Sphen S (C₁₈-键, 5 μm-反相) 和多孔-HI (亲苯乙基, 10 μm 离子排斥), 22.0 cm×4.6 mm (内径)

流动相: H₂SO₄ (pH2-10)

柱温: 室温

检测器: UV (210 nm)

图 10-212 小球藻萃取物分离谱图^[185]

(a) 对照标准; (b) 添加生育酚的小球藻素 [皂化后石硫醚+二异丙醚 (体积比=98:1) 萃取液]; (c) 添加生育酚的小球藻素 [皂化后石硫醚+二异丙醚 (体积比=3:1) 萃取液]

色谱峰: 1— α -生育酚; 2— γ -生育酚; 3— β -生育酚; 4— δ -生育酚

色谱柱: Hyperasil ODS, 150 mm \times 4.6 mm (内径), 5 μ m

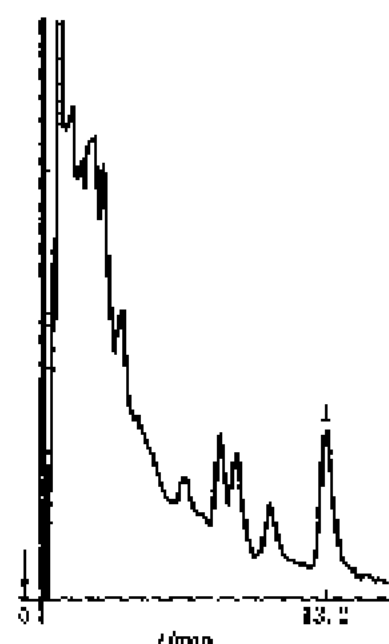
填料: RP50 mm \times 3 mm

流动相: 甲醇+水 (96+4 体积分数)

流速: 1 ml \cdot min⁻¹

柱温: 室温

检测器: UV(275 nm)

图 10-213 牛奶中黄曲霉毒素的分离谱图^[186]

色谱峰: 1—黄曲霉毒素 M1

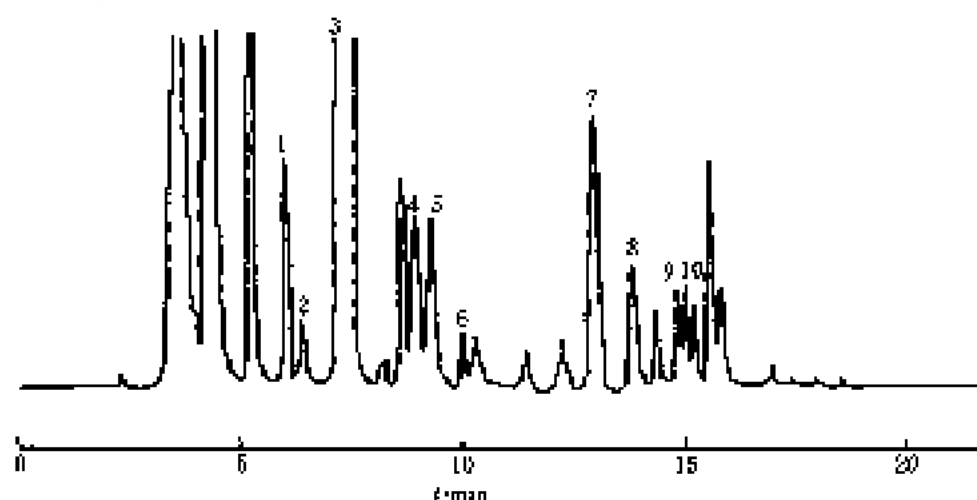
色谱柱: ChromSpher C₁₈, 500 mm \times 2.0 mm (内径), 5 μ m

柱温: 室温

流动相: 乙腈+甲醇+水 (体积比=10:10:80), 等度冲洗

流速: 0.5 ml \cdot min⁻¹

检测器: 荧光 (λ_{ex} =360 nm, λ_{em} ≥420 nm)

图 10-214 巴西郎蜂蜜中醇类标样谱图^[187]

色谱峰: 1—甲醇; 2—5-叔戊基醇; 3—乙醇; 4—丙醇; 5—正丁醇; 6—丙醇; 7—丁醇; 8—异丁醇; 9—异戊醇; 10—正戊醇

色谱柱: Shimaubeu C₁₈, 15 cm \times 8.0 mm (内径), 5 μ m

柱温: 室温

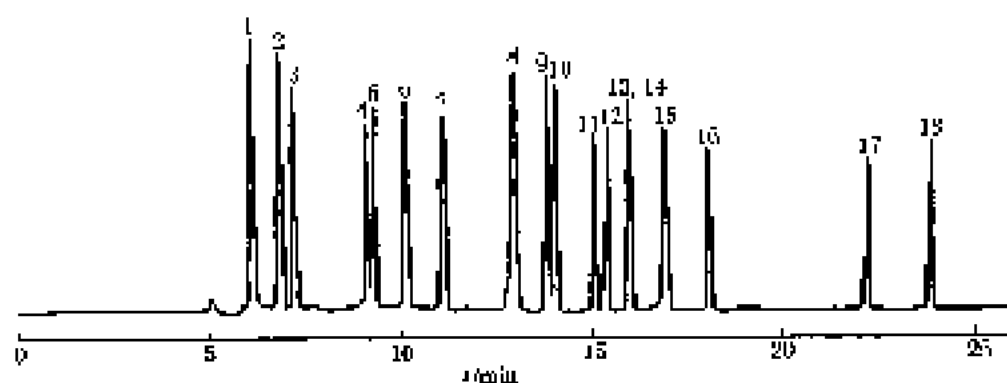
流动相: 甲醇+水

梯度冲洗: 甲醇+水 (65:35) $\xrightarrow{4\text{ min}}$ 甲醇+水 (65:35) \rightarrow 冲洗 5 min 然后甲醇+水 (85:15) $\xrightarrow{10\text{ min}}$ 甲醇+水 (85:15) \rightarrow 甲醇+水 (20:80) $\xrightarrow{20\text{ min}}$ 甲醇+水 (80:20) \rightarrow 甲醇+水 (65:35) $\xrightarrow{35\text{ min}}$ 甲醇+水 (65:35)

(注: 括号内为两种溶剂的体积比)

流速: 1 ml \cdot min⁻¹

检测器: UV (365 nm)

图 10-215 巴西郎姆酒中醇类分离谱图^[192]

色谱峰: 1—甲醇; 2—5-羟甲基糠醛; 3—乙醇; 4—丙醇; 5—糖醛; 6—丙醛; 7—糠醛; 8—丁醇; 9—苯甲醇; 10—巴豆醛; 11—异戊醇; 12—正戊醇; 13—肉桂醛; 14—2-甲基苯甲醇; 15—己醇; 16—庚醇; 17—壬醇; 18—癸醇

色谱柱: μ nitradex C₁₈, 15 cm/6.0 mm (内径), 5 μ m

柱温: 室温

流动相: 甲醇+水

梯度冲洗^①: 甲醇+水 (体积比=65:35) $\xrightarrow{4\text{ min}}$ 甲醇+水 (体积比=65:35) \rightarrow 冲洗 6 mm 然后甲醇+水 (体积比=85:15) $\xrightarrow{10\text{ min}}$ 甲醇+水 (体积比=85:15) \rightarrow 甲醇+水 (体积比=80:20) $\xrightarrow{20\text{ min}}$ 甲醇+水 (体积比=80:20) \rightarrow 甲醇+水 (体积比=65:35) $\xrightarrow{25\text{ min}}$ 甲醇+水 (体积比=65:35)

① 括号内为两种溶剂的体积比。

流速: 1 ml \cdot min⁻¹

检测器: UV (365 nm)

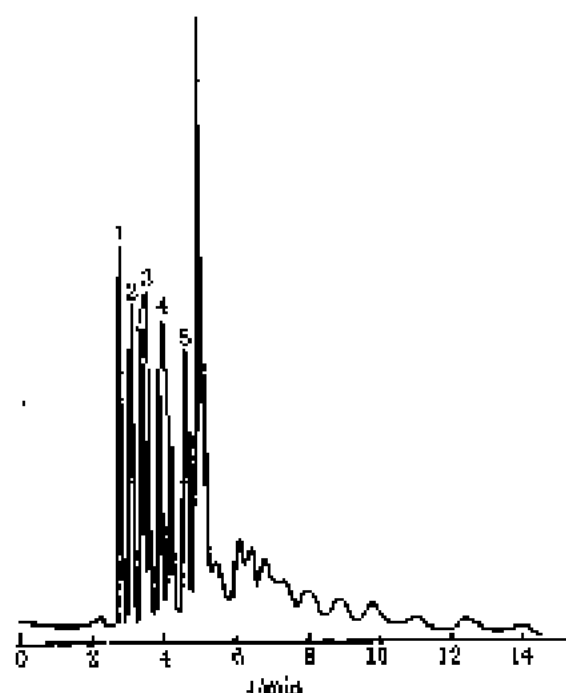


图 10-216 水解小麦淀粉分离谱图 (—)(361)

色谱峰: 1—DP1; 2—DP2; 3—DP3; 4—DP4; 5—DP5

保护柱: Supelguard LC-18 (Supelco), 2 cm \times 4.6 mm (内径)

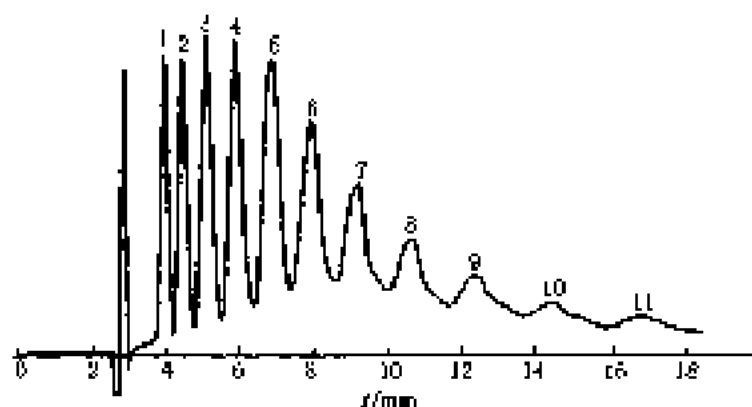
分析柱: Supelcosil LC-18 (Supelco) 键合十八烷基硅, 26 cm \times 4.6 mm (内径), 5 μ m

流动相: 水

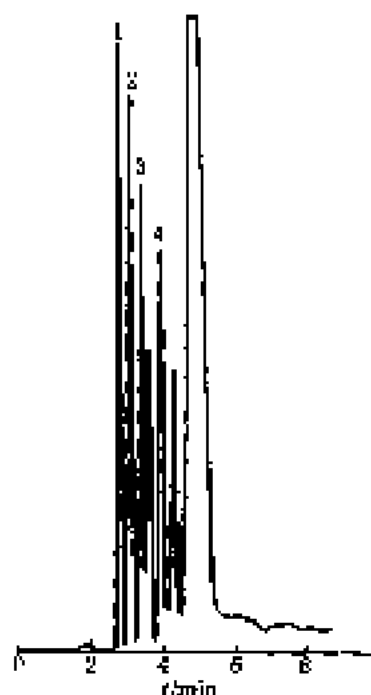
流速: 1 ml \cdot min⁻¹

温度: 35℃

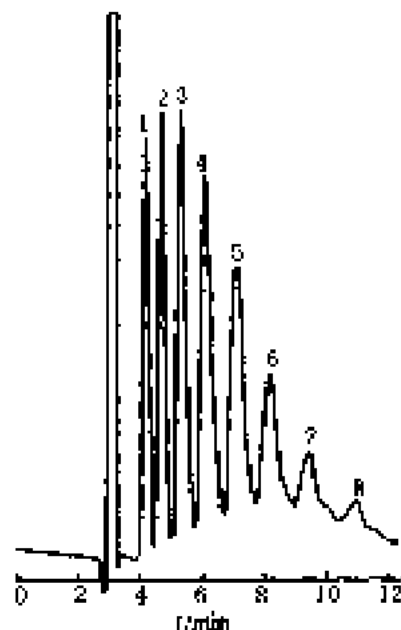
检测器: 折光率 (6X)

图 10-217 水解小麦淀粉分离谱图 (二)^[10]

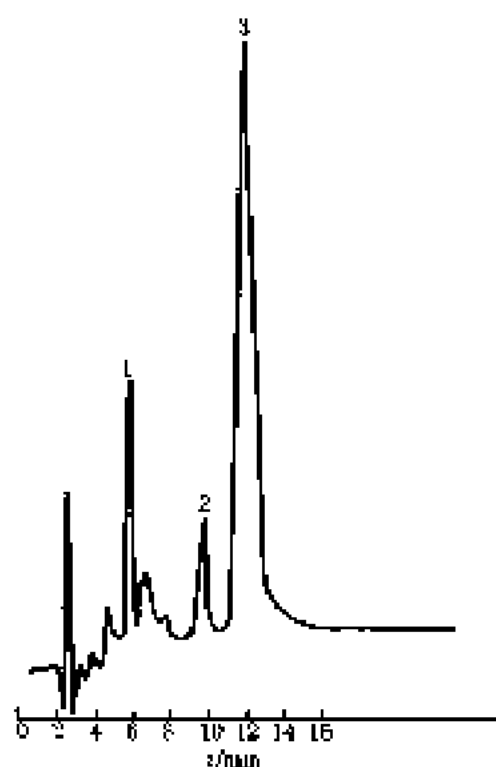
色谱峰: 1—DP1; 2—DP2; 3—DP3; 4—DP4; 5—DP5; 6—DP6; 7—DP7; 8—DP8; 9—DP9; 10—DP10; 11—DP11
 保护柱: Supelguard LC-NH₂ (Supelco), 2 cm×4.6 mm (内径)
 分析柱: Supelcosil LC-NH₂ (Supelco) 键合十八烷基硅, 25 cm×4.6 mm (内径), 5 μm
 流动相: 乙醇+水 (60+40)
 流 速: 1 ml·min⁻¹
 温 度: 35°C
 检测器: 折光率

图 10-218 水解玉米淀粉分离谱图 (一)^[10]

色谱峰: 1—DP1; 2—DP2; 3—DP3; 4—DP4
 色谱柱: 保护柱填充 Supelguard LC-18, 2 cm×4.6 mm (内径)
 分析柱填充 Supelguard LC-18 键合十八烷基硅, 25 cm×4.6 mm (内径), 5 μm
 流动相: 水
 流 速: 1 ml·min⁻¹
 温 度: 40°C
 检测器: 折光率 (5X)

图 10-219 水解玉米淀粉分离谱图 (二)^[10]

色谱峰: 1—DP1; 2—DP2; 3—DP3; 4—DP4; 5—DP5; 6—DP6; 7—DP7; 8—DP8
 色谱柱: 保护柱 Supelguard LC-NH₂, 2 cm×4.6 mm (内径)
 分析柱 Supelcosil LC-NH₂ (Supelco) 键合四基氟硅, 25 cm×4.6 mm (内径), 5 μm
 流动相: 乙醇+水 (60+40)
 流 速: 1 ml·min⁻¹
 温 度: 35°C
 检测器: 折光率



色谱峰: 1—酪胺; 2—苯丙氨酸; 3—色氨酸

色谱柱: 填充 Ultrahapak C-18

流动相: 水+甲醇(体积比=35:65)(内含 $0.005 \text{ mol} \cdot \text{L}^{-1}$ 1-庚基磺酸钠阳离子)

检测器: UV (251 nm)

图 10-220 奶酪中生物胺分离色谱图^[2,4]

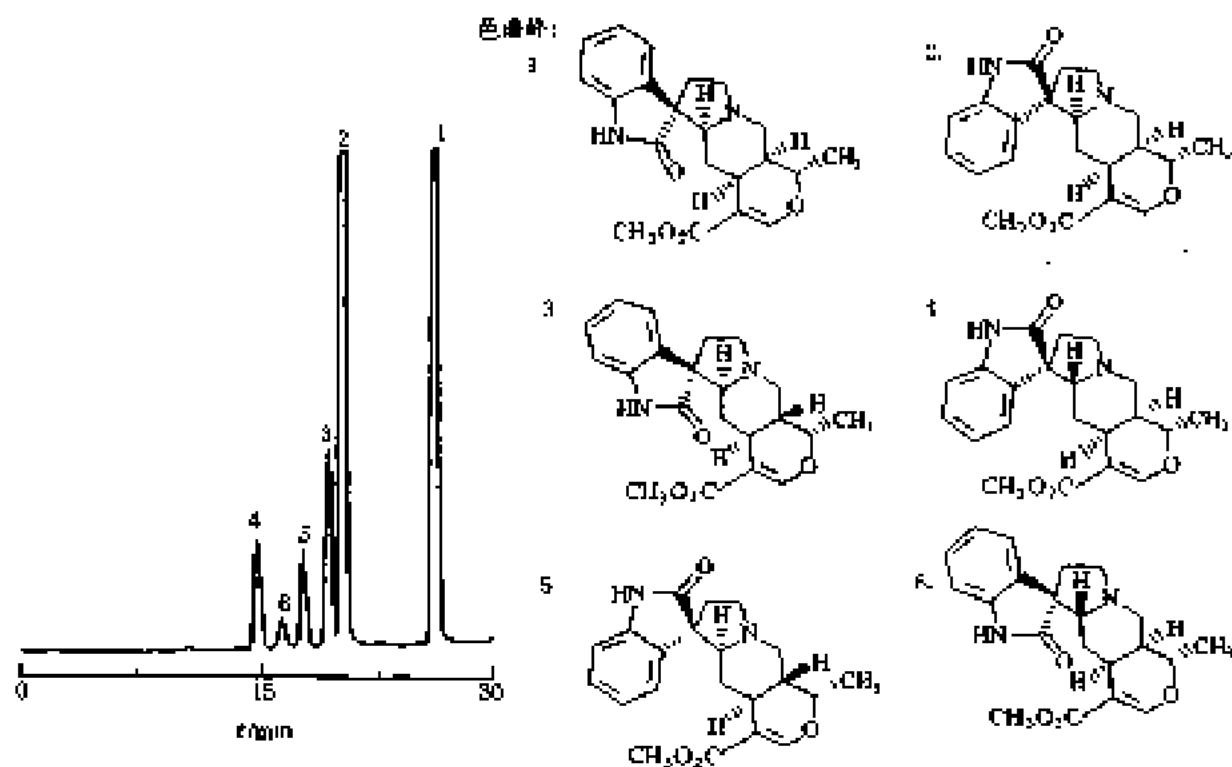


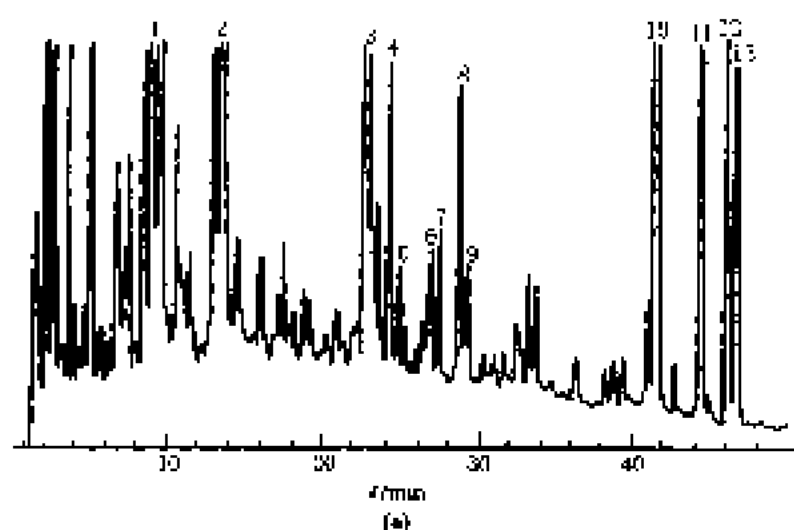
图 10-221 生物碱混合物分离色谱图^[20]

色谱柱: Li-Chrospher 100 CH-18, 125 mm×4 mm, 5 μm

流动相: 线性梯度 0 min: 甲醇+乙腈(体积比=1:1)含 60%磷酸盐缓冲液 (10 mmol/L, pH 6.6); 20 min: 缓冲液减至 30%磷酸盐缓冲液

流速: $1.0 \text{ mL} \cdot \text{min}^{-1}$

检测器: UV (245 nm)



色谱峰: 1—葡萄糖; 2—羟基没食子
茶素; 3—鞣表儿茶素; 4—
5—黄铜醇苷; 10—茶黄素;
11—茶黄素- β -吡喃; 12—茶
黄素- β -吡喃; 13—茶黄素
3,3'-二吡喃

色谱柱: Hypersil 50DS (C_{18})
(Hichrom Excel), 25 cm \times
4.6 mm (内径), 5 μ m

流动相: A 2%柠檬酸 (以 NaOH 调
pH2-3); B 乙醇

线性梯度洗脱: 5% B $\xrightarrow{30 \text{ min}}$ 29% B
流速: 1 ml \cdot min $^{-1}$

灵敏度: 灵敏

检测器: (a) UV (280 nm); (b) UV
(460 nm)

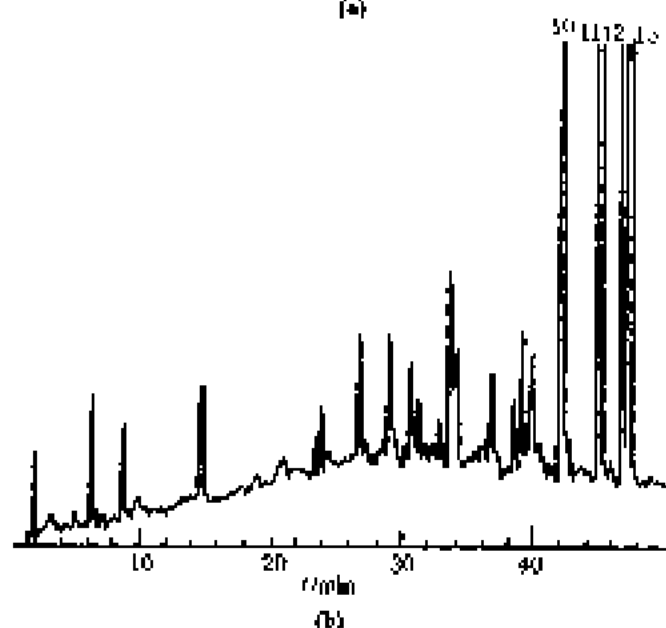
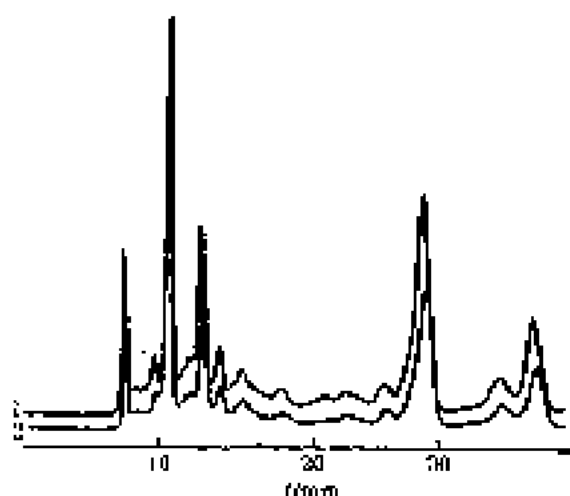


图 10-222 红茶汁的分离谱图^[10]



色谱峰: 1—葡萄酒样; 2—含有组胺的葡萄酒样

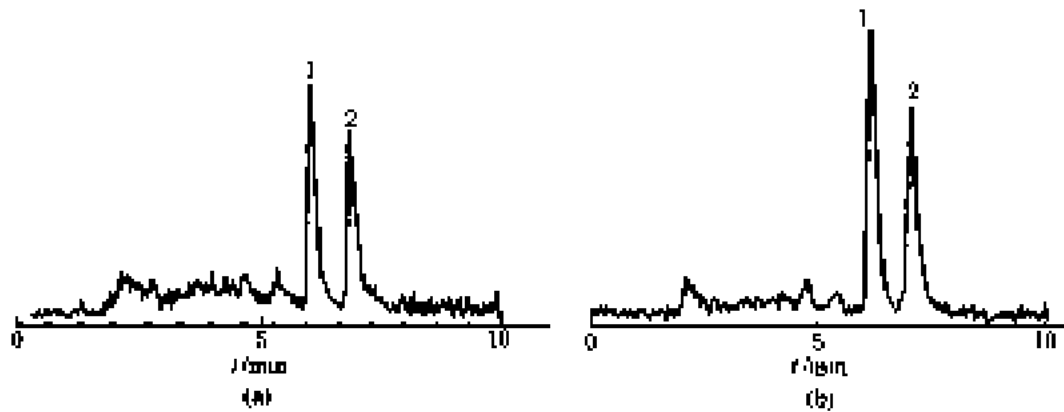
色谱柱: 填充 Lichrosorb Si-60

流动相: 0.5 mol \cdot L $^{-1}$ $(\text{NH}_4)_2\text{SO}_4$ (pH6)

流速: 0.6 ml \cdot min $^{-1}$

检测器: UV (210 nm)

图 10-223 红酒中组胺分离谱图^[11]

图 10-224 鸡肉中维生素 E 分析谱图^[4]

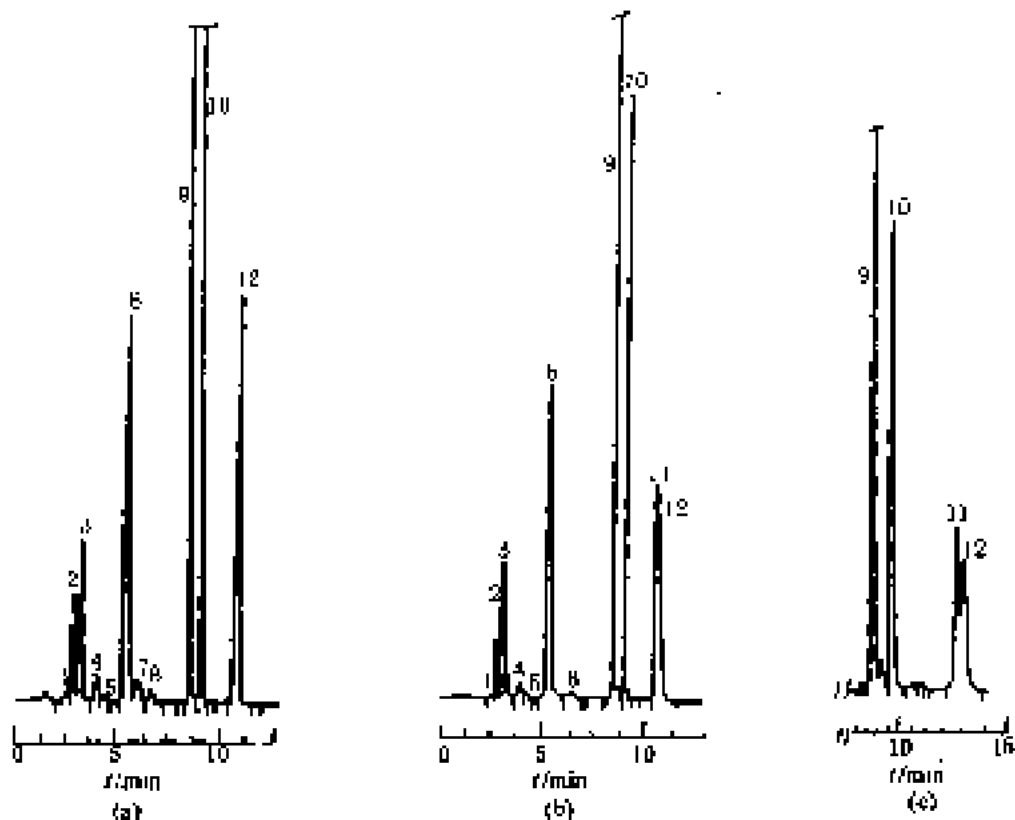
(a) 鸡胸肉; (b) 鸡腿肉

色质峰: 1- γ -维生素 E; 2- α -维生素 E色质柱: BioSil ODS-S₈ (C₁₈-键) (Bio-Rad), 25.0 cm × 4.6 mm (内径), 5 μ m

流动相: 100% 甲醇

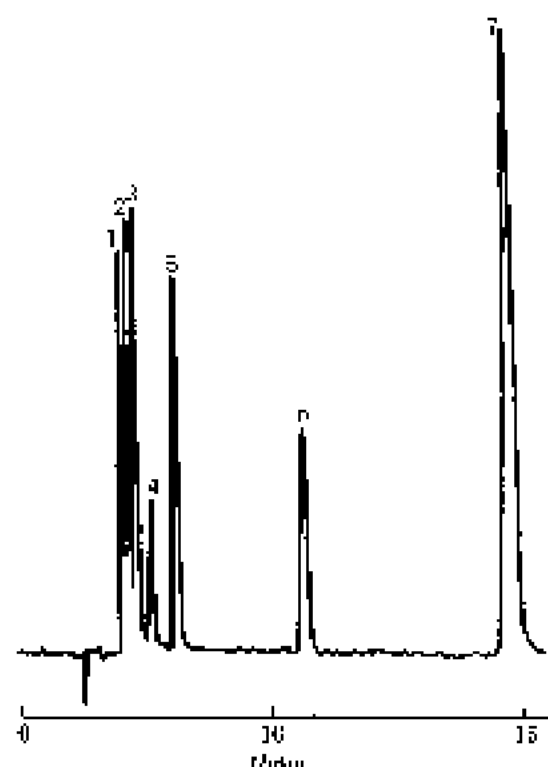
流速: 1.0 ml · min⁻¹

柱温: 室温

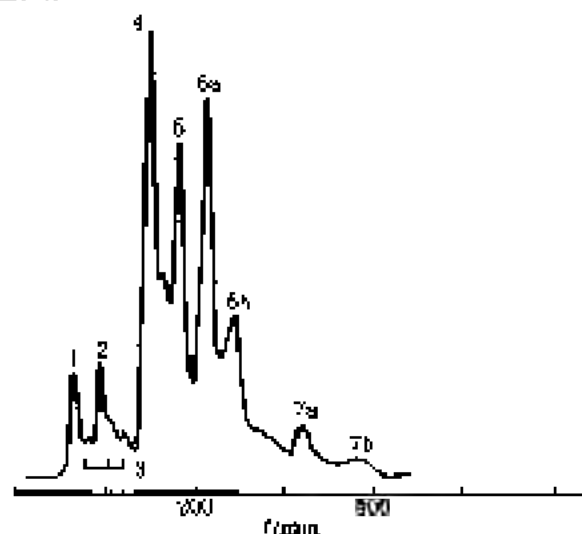
检测器: 荧光检测器 (λ_{ex} = 295 nm, λ_{em} = 330 nm)图 10-225 欧洲白桦树 (a) 和槲树 (b)、(c) 的绿叶色素萃取物分离谱图^[10]色质柱: 1-新叶黄素; 2-顺-新叶黄素; 3-紫黄质; 4-滑公黄质; 5-花药黄质; 6-叶黄素; 7-玉米黄质; 8-顺-叶黄素; 9-叶黄素; 10-叶黄素 a; 11- α -胡萝卜素; 12- β -胡萝卜素色质柱: NovaPak C₁₈ - 4 μ m, 100 mm × 2.0 mm (内径)

流动相: A 乙醇+甲醇 (7+1) (2 min); B 乙醇+甲醇+水 (7+0.96+0.04) 内含 20% 乙酸乙酯 (1.6 min); C 乙醇+甲醇+水 (7+0.96+0.04) 内含 50% 乙酸乙酯 (2 min)

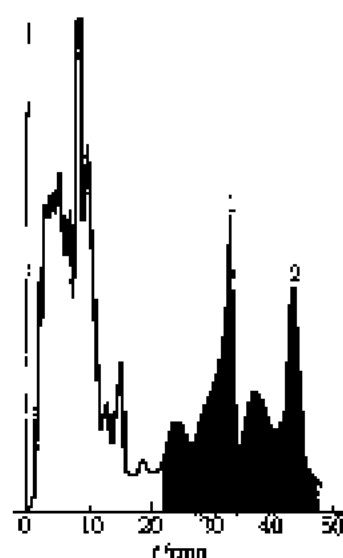
检测器: UV (450 nm)

图 10-226 绞尔多生物碱分析谱图^[14]

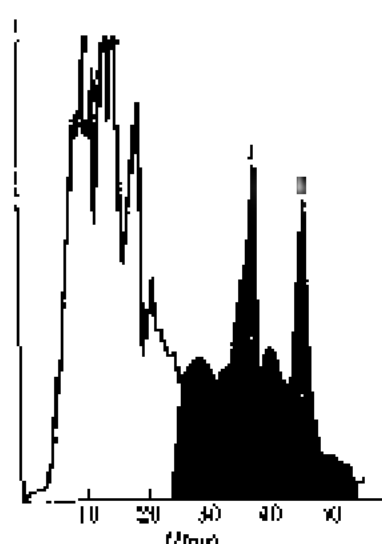
色谱峰: 1—槲皮素, 2—槲皮素, 3—槲皮素, 4—槲皮素, 5—槲皮素, 6—槲皮素, 7—槲皮素
 色谱柱: Ultrasphere 离子对 (C_{18} 柱) (Bedwinman) 25.0 cm \times 4.6 mm (内径), 5 μ m
 流动相: 乙腈—甲醇+0.1 mol \cdot L⁻¹ 磷酸盐缓冲液 (pH 4.0) (体积比—20:10:70)
 流速: 1.0 mL \cdot min⁻¹
 检测器: UV (280 nm)

图 10-227 玫瑰视子中类胡萝卜素谱图^[14]

色谱峰: 1—叶黄素, 2—玉米黄质, 3—叶黄素, 4— α -胡萝卜素, 5— β -胡萝卜素, 6— α , β -玉米黄质, 7— α , β -胡萝卜素
 色谱柱: Lichrospher RP-18, 250 mm \times 2 mm (内径)
 流动相: 石油醚/正己烷—甲醇—水 (体积比—10:15:65:10)
 流速: 0.2 mL \cdot min⁻¹
 检测器: Vis (435 nm)

图 10-228 鱼油中 ω -3-脂肪酸谱图 (—)^[14]

色谱峰: 1—二十碳 ω -3-脂肪酸, 2—二十二碳 ω -3-脂肪酸
 色谱柱: Waters Delta-Pak MC_{18} (Millipore) 250 mm \times 4.6 mm (内径), 5 μ m
 流动相: 乙腈+水 (体积比—80:20)
 流速: 1.0 mL \cdot min⁻¹
 温度: 室温
 检测器: UV (245 nm)

图 10-229 鱼油中 ω -3 脂肪酸谱图 (二)^[24]

色谱峰: 1—二十碳五烯酸; 2—二十二碳己烯酸

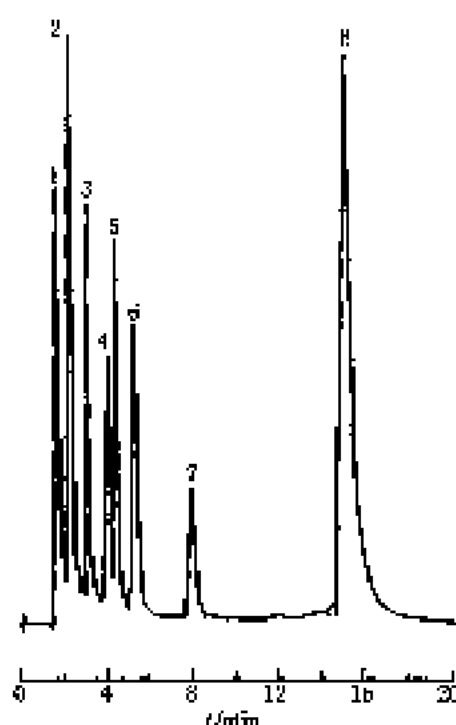
色谱柱: Waters PrepPak 柱 (键合十八烷基硅, 50 cm \times 5.7 mm (内径), 15 μ m)

流动相: 乙醇+水 (体积比=80:20)

流 速: 25 ml \cdot min⁻¹

温 度: 室温

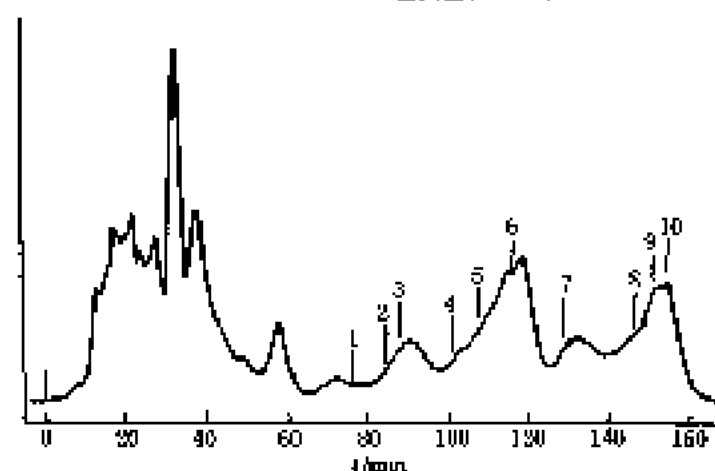
检测器: UV (245 nm)

图 10-231 类胡萝卜素分离谱图^[27]色谱峰: 1—甲萘红; 2—洋红五红素; 3—辣椒红; 4—叶黄素; 5—玉米黄质; 6—隐黄素; 7— β -胡萝卜素; 8— β -胡萝卜素色谱柱: Merck Superspher RP-18, 125 mm \times 4 mm (内径), 5 μ m保护柱: Merck, Lichrospher 100RP-18, 40 mm \times 4 mm (内径), 5 μ m柱 温: 0 $^{\circ}$ C

流动相: 乙醇+2-丙醇+乙酸乙酯 (体积比=80:10:10)

流 速: 0.8 ml \cdot min⁻¹

检测器: UV (452 nm)

图 10-230 鱼油中 ω -3 脂肪酸谱图 (三)^[25]

色谱峰: 1—样品基体; 2—样品基体; 3—样品基体; 4—二十碳五烯酸; 5—二十碳五烯酸; 6—二十碳五烯酸; 7—样品基体; 8—二十二碳己烯酸; 9—二十二碳己烯酸; 10—二十二碳己烯酸

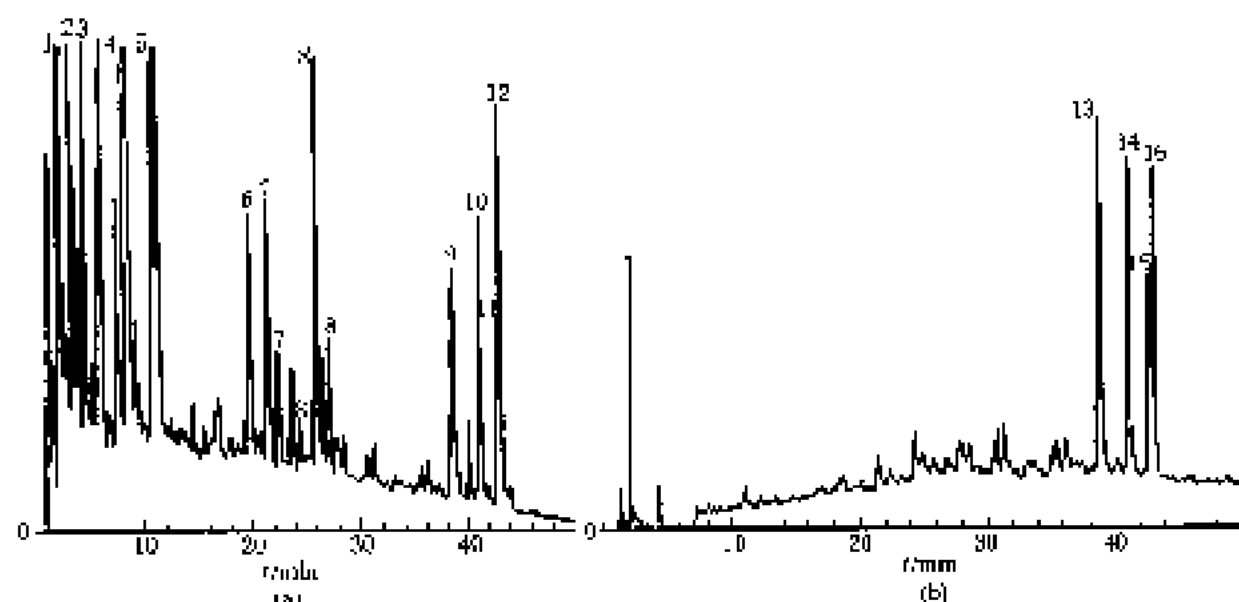
色谱柱: Waters RadwacTM250 柱 (Millipore); Waters Delta PakTMC₁₈ (Millipore) 键合十八烷基硅, 50 cm \times 10 mm (内径), (15~30) μ m

流动相: 乙醇+水 (体积比=80:20)

流 速: 2.75 ml \cdot min⁻¹

温 度: 室温

检测器: UV (245 nm)

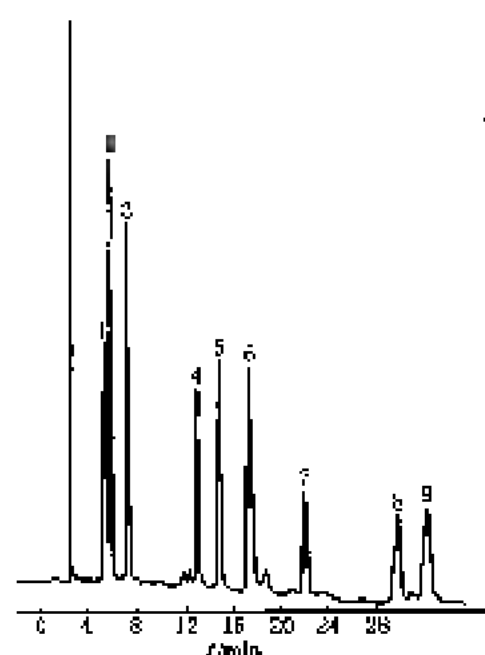
图 10-232 茶叶的分离谱图^[14]

色谱峰: 1—3-吡啶羧基苄基尼酸; 2—没食子酸; 4—可可碱; 4—咖啡碱; 5—(-)-脱表儿茶素; 5—脱表儿茶素; 7—原精茶儿茶素; 8—原精茶儿茶素; 9—茶黄素; 10—茶黄素-3-酸; 11—茶黄素-3'-酸; 12—茶黄素-3, 3'-二酸; 13—茶黄素; 14—茶黄素-3-酸; 15—茶黄素-3-酸; 16—茶黄素-3, 3'-二酸

色谱柱: Hyperil ODS

流动相: 线性梯度 (pH 2.0 乙腈水溶液+乙醇), 乙腈从 8% 变化至 91%; (50 min 以上)

检测器: (a) UV (280 nm); (b) UV (460 nm)

图 10-233 9 种类胡萝卜素标准样分离谱图^[14]

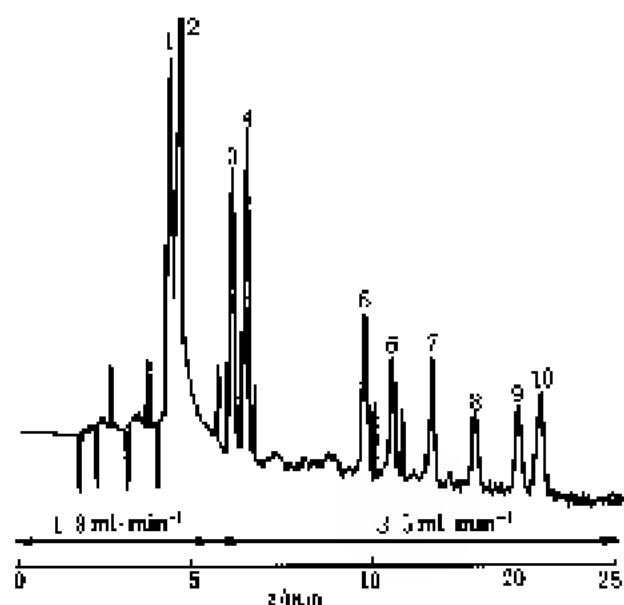
色谱峰: 1—叶黄素; 2—玉米黄质; 3—角黄素; 4—β-胡萝卜素; 5—β-胡萝卜素; 6—β-胡萝卜素; 7—β-胡萝卜素; 8—β-胡萝卜素; 9—β-胡萝卜素

色谱柱: Zorbax ODS, 150 mm×4.6 mm (内径)

流动相: 乙腈—二氯甲烷—甲醇 (70:20:10)

流速: 1 ml·min⁻¹

检测器: UV (450 nm)

图 10-234 类胡萝卜素标准样分离谱图^[14]

色谱峰: 1—叶黄素; 2—玉米黄质; 3—角黄素; 4—β-胡萝卜素; 5—β-胡萝卜素; 6—β-胡萝卜素; 7—β-胡萝卜素; 8—β-胡萝卜素; 9—β-胡萝卜素; 10—β-胡萝卜素

色谱柱: 填充 Spent-S-RP-18 柱, 220 mm×4.6 mm (内径); 3 μm

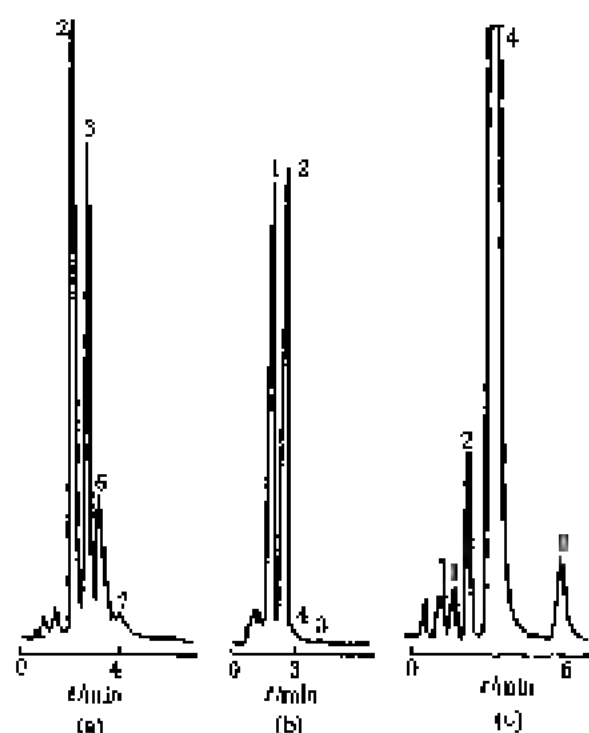
保护柱: 填充 ODS 型 RP-18, 15 mm×3.2 mm

流动相: 乙腈—甲醇 (85:15)

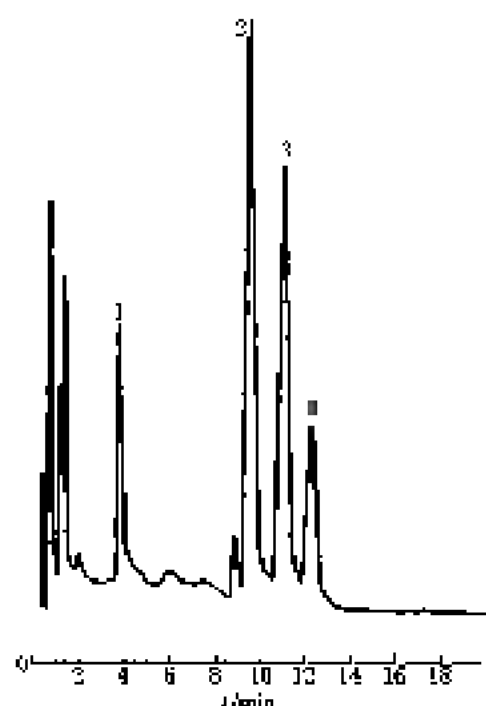
检测时间: ×0.02 AUFS 5 min 然后 ×0.05 AUFS

流速: 从 1.8 ml·min⁻¹ 增大到 3.5 ml·min⁻¹

检测器: 紫外 (450 nm)

图 10-235 甜菜汁中糖分离谱图^[10]

色谱峰: 1—果糖 (F); 2—葡萄糖 (G); 3—麦芽糖 (M); 4—蔗糖 (S); 5—蜜三糖 (R); 6—麦芽三糖; 7—麦芽四糖
 色谱柱: (a) Zorbax TM5; (b) 和 (c) Juiherapher (X)
 流动相: (a) CH_2Cl_2 +甲醇(b) 和 (c) CH_2Cl_2 +甲醇 (体积比=83:17)
 流 速: $2 \text{ ml} \cdot \text{min}^{-1}$
 柱 温: 40°C
 检测器: ELS-D

图 10-236 银杏皂苷类化合物分离谱图^[10]

色谱峰: 1—银杏 GC; 2—银杏 B; 3—银杏 GA; 4—GB
 色谱柱: Microsorb C_{18} 球状, (100 μm \times 4.6 mm) \times 3 μm
 流动相: 2-丙醇+水 (体积比=10:90)
 流 速: $1.0 \text{ ml} \cdot \text{min}^{-1}$
 检测器: UV (220 nm)

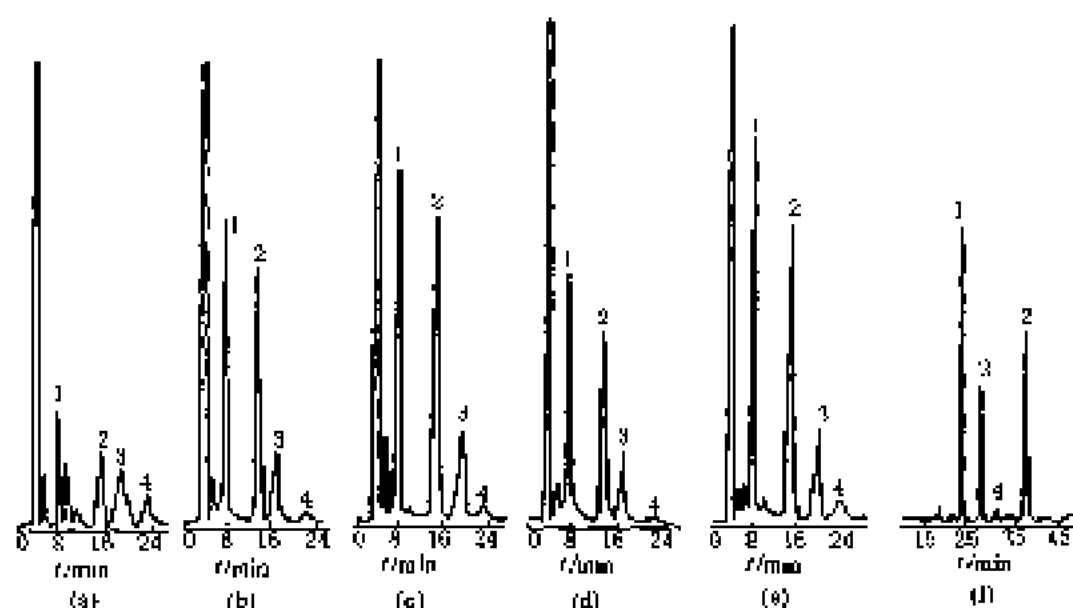


图 10-232 遗传改性和非遗传改性大豆油中磷脂成分分离谱图^[23]

(a) ~ (d) 从选择遗传改性大豆油样品中分离成分分离谱图；

(e) 非遗传改性大豆油中 PL 成分谱图；图 (f) 是图 (c) 样品的磷脂成分图

色谱峰：1—PE-磷脂酰乙醇胺；2—卵磷脂；3—肌磷脂酰醇；4—神经鞘磷脂

流动相：己烷+ISP+乙醇+水(5 mmol·L⁻¹ TMAP (pH6.3)) (体积比=35+32.7+26.8+5.5)

色谱柱：S₁₈柱

检测器：ELSD

流动相：己烷+ISP+乙醇+水(5 mmol·L⁻¹ TMAP (pH6.3)) (25+32.7+26.8+5.5)

检测器：UV (208 nm) ELSD



色谱峰：1—酒石酸；2—苹果酸；3—乳酸；4—乙酸

色谱柱：PRP-X300 (Hemulon) 磺酸化聚苯乙烯-二苯基，

(2.0 mm×4.0 mm (内径)，7 μm)

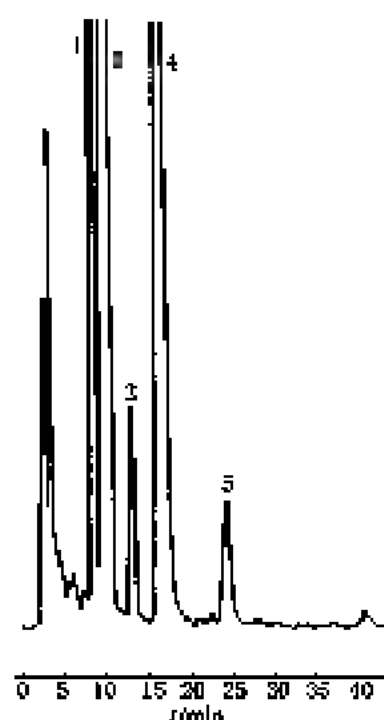
流动相：0.005 mol·L⁻¹ H₂SO₄

温度：室温

流速：2 mL·min⁻¹

检测器：UV (210 nm)

图 10-233 葡萄汁中有机酸分离谱图^[24]



色谱峰: 1—原香茅 2—葡萄糖; 2—原香茅 3—葡萄糖; 3—
葡萄糖; 4—葡萄糖; 5—葡萄糖

色谱柱: RP-18 Lichrospher (Merck), 25.0 cm × 4.6 mm
(内径), 5 μm

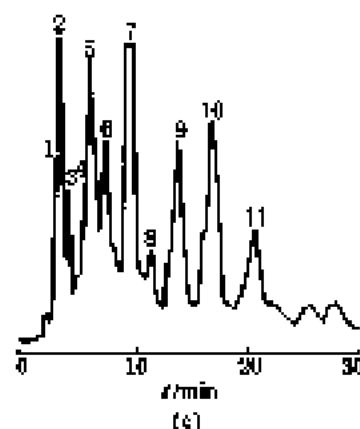
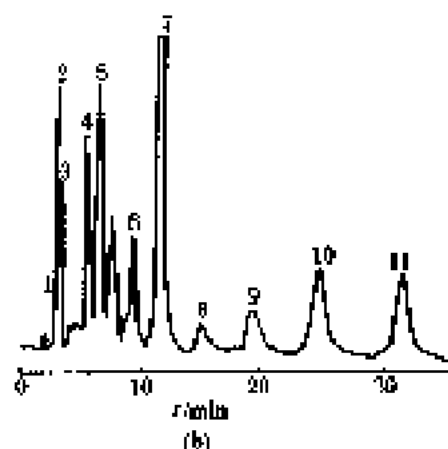
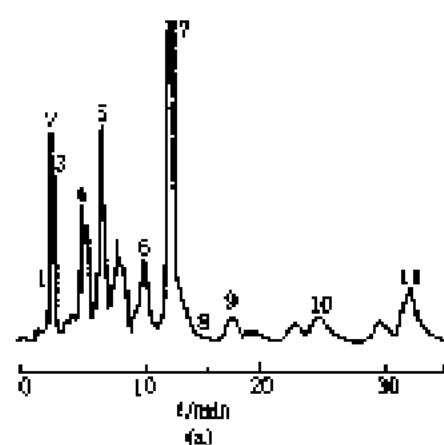
流动相: 水+乙醇+甲酸 (体积比=81:9:10)

流速: 1.0 ml · min⁻¹

柱温: 室温

检测器: UV (546 nm)

图 10-239 黑莓果汁的分析谱图^[39]



色谱峰: 1—原香茅; 2—原
香茅; 3—原香茅; 4—
原香茅; 5—原香茅; 6—
原香茅; 7—原香茅; 8—
原香茅; 9—原香茅; 10—
原香茅; 11—原香茅

色谱柱: 填充 Chromatod C₁₈-250
nm × 4.6 mm (内径)

流动相: (a) 丙酮+水 (体积比
=90:10)

(b) 丙酮+己烷+水
(体积比=37.5:
2.5:10)

(c) 乙醇+异丙醇+
水 (体积比=50:50:
4)

流速: 1 ml · min⁻¹

检测器: 紫外

图 10-240 新鲜黑莓粉分离谱图^[44]

图 10-242 辣椒生物碱分离谱图^[30]

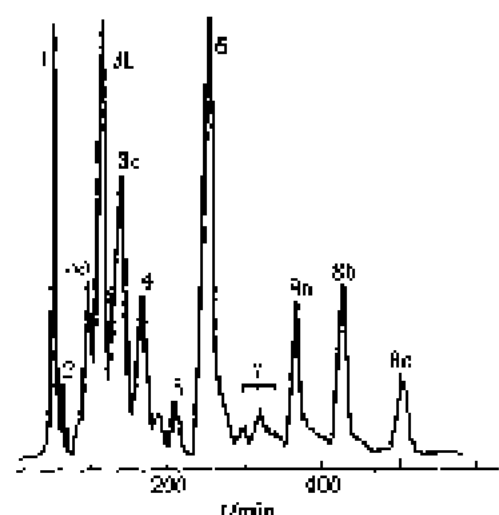
色谱峰: 1—四氢萘酚; 2—辣椒碱; 3—四氢萘酚甲酯; 4—辣椒碱

色谱柱: 阳离子交换树脂柱, 250 cm × 4.6 mm (内径)

流动相: 85% H_2PO_4 -甲醇+水 (体积比=3:400:570),
用氨水 (14.4%) 调节至 pH=9

流速: 1.8 ml · min⁻¹

检测器: UV (215 nm)

图 10-243 辣椒粉中美胡萝卜素的分离谱图 (二)^[30]

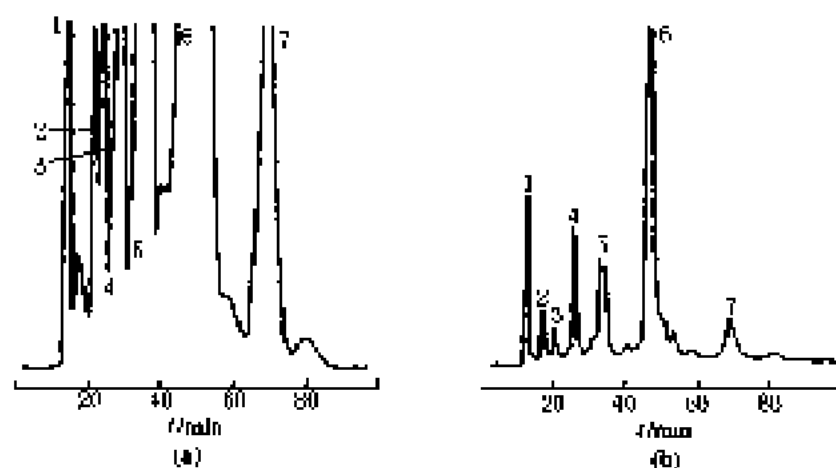
色谱峰: 1—β胡萝卜素; 2—玉米黄质; 3—*n*、*b*、*c* 辣椒碱单酯;
4—玉米黄质单酯; 5—辣椒素双酯; 6—β胡萝卜素;
7—辣椒素双酯; 8—辣椒素双酯; 9—辣椒素双酯;
10—辣椒素双酯

色谱柱: Lichrosorb RP-18, 200 mm × 2 mm (内径)

流动相: 石油醚/石油 (沸点 40~60°C) + 乙醇-甲醇-四氢呋喃 (体积比=10:17.5:70:2.5)

流速: 6.2 ml · min⁻¹

检测器: Vis (435 nm)

图 10-244 辣椒粉中美胡萝卜素的分离谱图 (三)^[30]

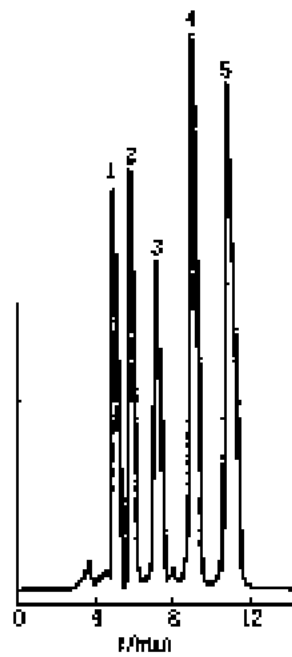
色谱峰: 1—β胡萝卜素; 2—玉米黄质; 3—环状玉米黄质; 4—玉米黄质; 5—玉米黄质和玉米黄质; 6—玉米黄质; 7—辣椒素

色谱柱: 硅胶 60H 15 μm

流动相: 35% 丙酮+石油醚 (40~60°C 沸点)

流速: 5 ml · min⁻¹

检测器: Vis (435 nm)



色谱峰, 1—蔗糖和麦芽糖, 2—葡萄糖, 3—果糖, 4—甘露糖, 5—山梨糖

色谱柱, 氨基键—硅胶柱

色谱柱, Hamultra HC 75 键合层 styrene (钙型), 30.5 cm × 7.8 mm (内径), (10~15) μm

流动相, 水

流速, 1.2 ml · min⁻¹

温度, 60℃

检测器, 折光率

图 10-244 糖类化合物分离谱图(m)

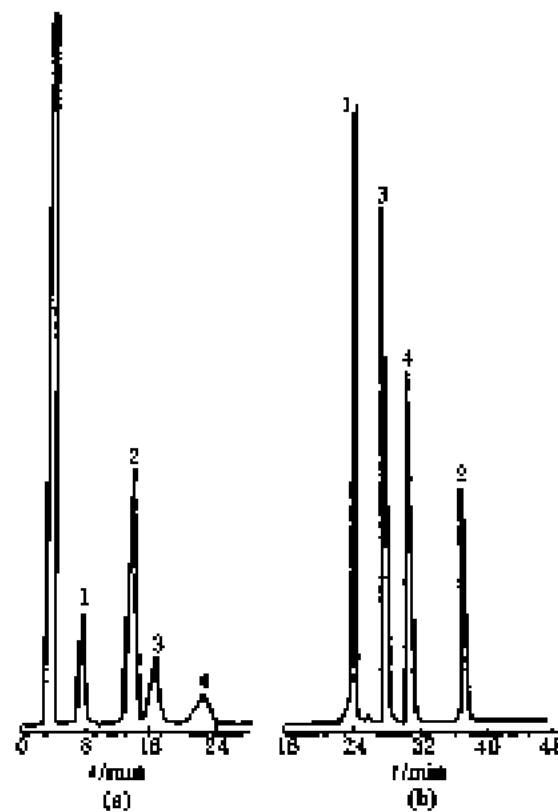


图 10-245 磷脂标准样分离谱图(m)

色谱峰, 1—PE-磷脂酰乙醇胺, 2—卵磷脂, 3—磷脂酰肌醇, 4—磷脂酰甘油

色谱柱, (a) β -CDS 柱, (b) SI 柱

流动相, (a) 己烷+ISP+乙醇+水-6 mmol · L⁻¹ TMAP (pH 8.3) (体积比=35:32.7:36.8:5.5); (b) 梯度洗脱

溶剂 A: 氯仿+丁甲氧酮

溶剂 B: 甲醇+氯仿+氨水 (体积比=98:1:1)

线性冲洗 从 100%A 至 100%B 30 min, 然后保持 100%B 冲洗 10 min, 最后线性梯度冲洗至 100%A, 10 min

流速, 0.5 ml · min⁻¹

检测器, (a) UV 紫外 (208 nm), (b) ELSD



色峰峰: 1—鉴定花青素-3-糖苷; 2—鉴定花青素-3-糖苷
葡萄糖苷; 3—鉴定花青素-3-糖苷; 4—鉴定
花青素-3-糖苷

色谱柱: RP-18 Lichrospher (Merkel), 25.0 cm × 4.6 mm
(内径), 5 μm

流动相: 水+乙醇+甲酸 (体积比=81:9:10)

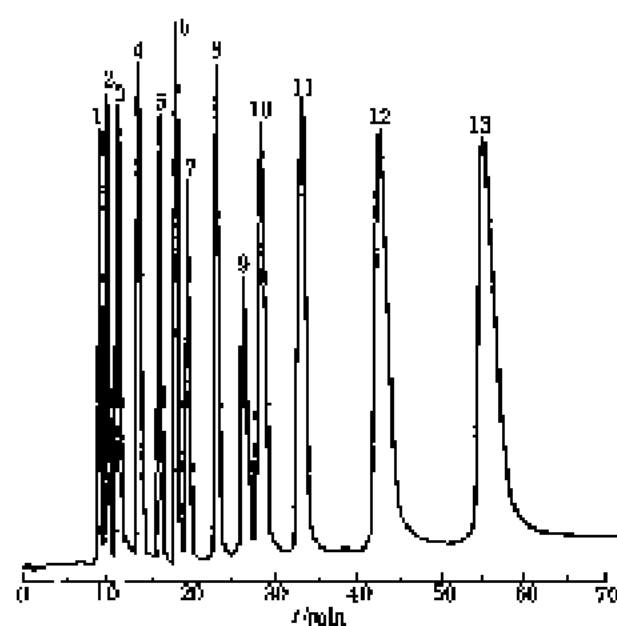
流速: 1.0 ml · min⁻¹

检测器: 二极管

检测器: UV (546 nm)

图 10-245 夏参汁的分析谱图^[10]

第六节 其他样品的反相色谱谱图



色峰峰: 1—丙酮醇, 2—乙醇醇, 3—甘油, 4—1,2-
二氯乙基二醇; 5—甲醇; 6—乙醇; 7—2-丙
醇; 8—1-丙醇; 9—2-丁醇; 10—2-甲基
丙醇; 11—1-丁醇; 12—3-甲基-1-丁醇;
13—1-戊醇

色谱柱: OmniPAC PCX-500

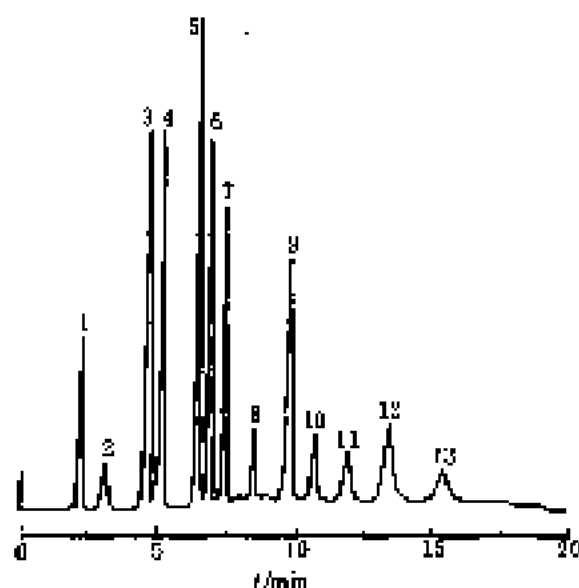
流动相: 50 mmol · L⁻¹ HClO₄—90%乙醇 (A) + 水
(B)

梯度冲洗: 20% A 5 min, 5~14 min 线性梯度冲洗至
95% A, 14.1 min 平衡冲洗

流速: 0.8 ml · min⁻¹

检测器: 电化学, Pt 工作电极

图 10-247 13 种醇族醇的分离谱图 (一)^[10]

图 10-248 13 种脂肪族醇的分离谱图 (二)^[10]

色谱峰: 1—乙醇; 2—1-丙醇; 3—2-甲基-1-丙醇; 4—环戊醇; 5—苯甲醇; 6—*n*-苯乙醇; 7—3-苯-*t*-丙醇; 8—2-乙基-1-己醇; 9—1-癸醇; 10—1-十一醇; 11—十二醇; 12—1-三醇; 13—十四醇

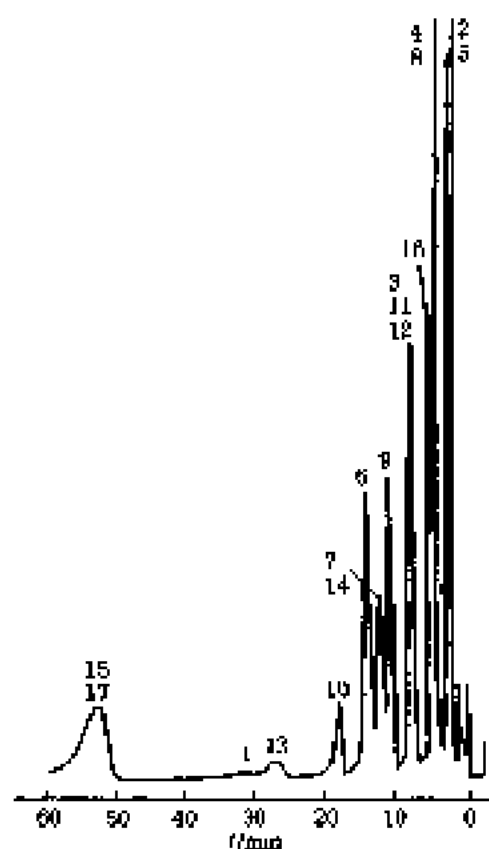
色谱柱: Omnipac PGC-500

流动相: 乙醇+水 (梯度洗脱从 18%~85.5% 乙醇)

柱后加 0.3 mol·L⁻¹ NaOH (1 ml·min⁻¹)

流 速: 1.0 ml·min⁻¹

检测器: 电化学 Au 电极



色谱峰: 1—雄二醇; 2—苯酚; 3—阿拉伯糖; 4—雌二醇; 5—孕酮; 6—睾酮; 7—2, 6-二甲基苯酚; 8—2, 4-二硝基酚; 9—2, 6-二甲基苯酚; 10—二硝基苯; 11—雌二醇; 12—2-甲-1-基丙醇; 13—异丙甲苯酚; 14—2-硝基苯酚; 15—五硝基酚; 16—四硝基酚; 17—2, 4, 5-三硝基苯

色谱柱: 25 cm PLRP-S 分析柱

流动相: 乙醇+乙醇缓冲液 (pH 4.2, 50 mmol·L⁻¹)

流 速: 1 ml·min⁻¹

检测器: UV (280 nm)

图 10-249 17 种甾体化合物的分离谱图^[11]

图 10-250 2-萘酚及其衍生物分离谱图^[125]

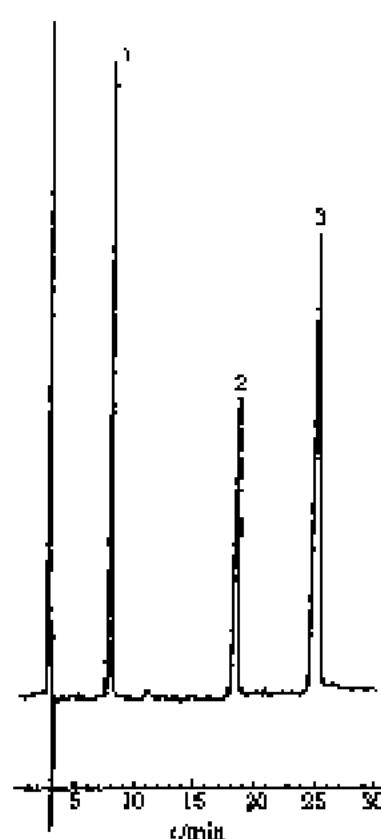
色谱峰: 1—1,2,3,4-四氢-2-萘酚 (52.0 μg); 2—7,8-二氢-6-甲氧萘-3 (2H)-酮 (1.0 μg); 3—2-萘醇 (1.8 μg); 4—2,5,7,8-四氢-3-萘醇 (17.2 μg); 5—5,6,7,8-四氢-2-甲氧基萘 (6.5 μg)

色谱柱: 填充 Chromasil C₁₈, 250 mm \times 4.6 mm (内径)

流动相: 乙醇+水 (体积比=60:40)

流速: 1.0 $\text{cm}^3 \cdot \text{min}^{-1}$

检测器: 紫外 (274 nm, 0.2 AUFS)

图 10-251 3种红色染料混合物分离谱图^[126]

色谱峰: 1—苋菜红, 2—茜素红, 3—桃红

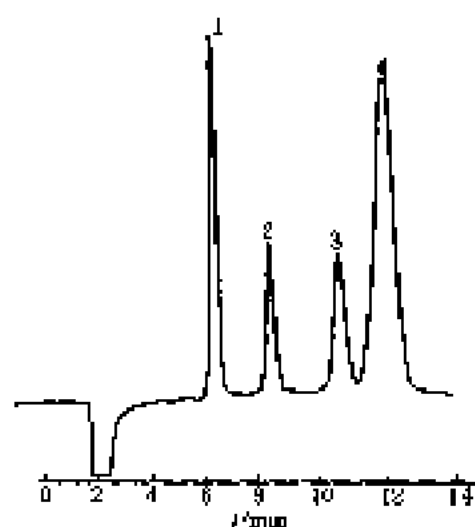
色谱柱: CDS-C₁₈phenylsili, 5 μm

柱温: 室温

流动相: 水+乙醇 (体积比=70:30), 5.00 $\text{mmol} \cdot \text{L}^{-1}$ 磷酸二钠 (pH6.5)

流速: 1.0 $\text{mL} \cdot \text{min}^{-1}$

检测器: UV (520 nm)



色谱峰: 1—琥珀醇, 2—戊二醇, 3—己二醇, 4—邻苯二甲醇

色谱柱: Wescan Azam Exclusion (磺酸化聚苯乙烯, 10.0 cm \times 4.6 mm (内径), 10~12 μm)

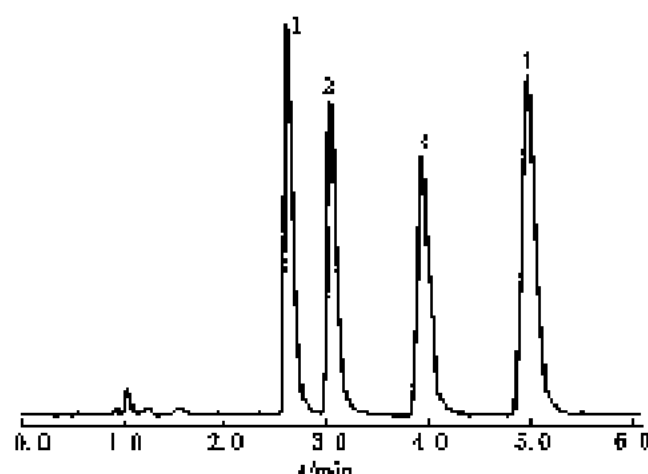
流动相: 1 $\text{mmol} \cdot \text{L}^{-1}$ 硝酸

流速: 1.2 $\text{mL} \cdot \text{min}^{-1}$

温度: 室温

检测器: 示差

图 10-252 4种二元醇分离谱图^[127]

图 10-253 4 种 *N*-甲基-2-吡啶基甲基胺分离谱图^[100]

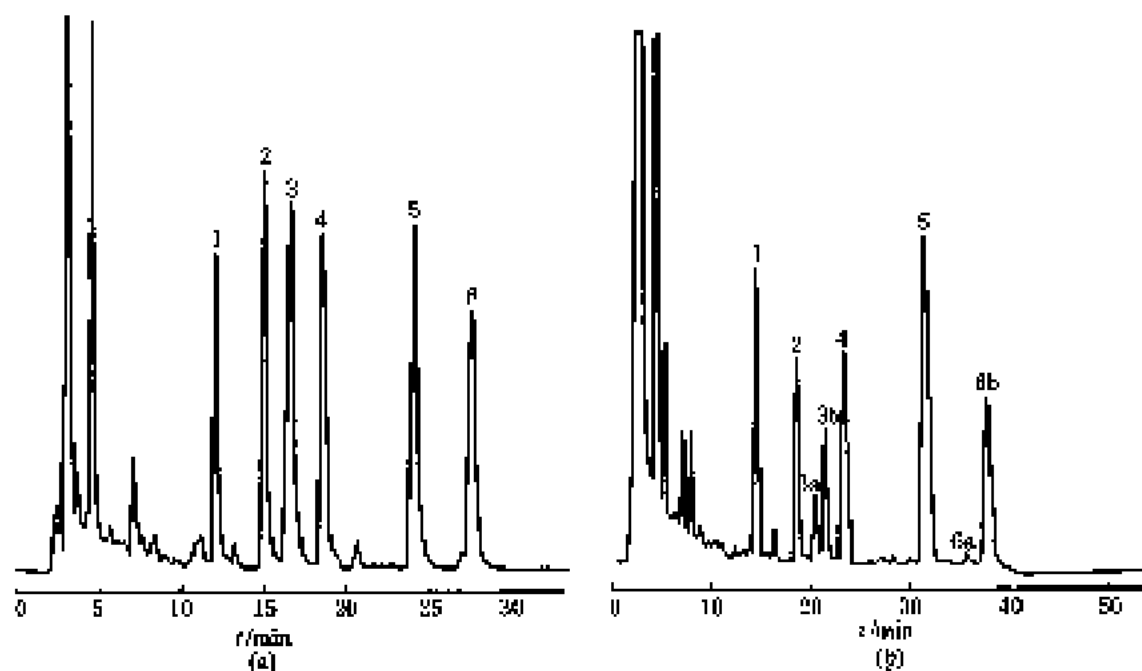
色谱峰: 1—*N*-甲基-2-氧-2-丙基丙胺; 2—*N*-甲基-2-氧-2-丙基丙胺; 3—*N*-甲基-2-氧-2-丙基丙胺; 4—*N*-甲基-1-(1,3-苯二氧)-2-丁醇

色谱柱: C_{18} AB Nucleosil 100, 125 mm \times 4 mm (内径), 5 μ m

流动相: NaH_2PO_4 (pH 5.8) - 乙醇 (体积比 85:15)

流速: 1 ml \cdot min⁻¹

检测器: 荧光检测, $\lambda_{\text{ex}} = 285 \text{ nm}$, $\lambda_{\text{em}} = 370 \text{ nm}$

图 10-254 8 种变性毒素标准样(NBD-F 衍生化)分离谱图^[101]

色谱峰: 1—NBD-环状变性毒素-a; 2—NBD-变性毒素-a; 3—NBD-二氢变性毒素-a; 4—NBD-环状高变性毒素-a; 5—NBD-高变性毒素-a; 6—NBD-二氢高变性毒素-a

色谱柱: (a) Ultramex C_{18} , 250 mm \times 3.2 mm, 3 μ m;

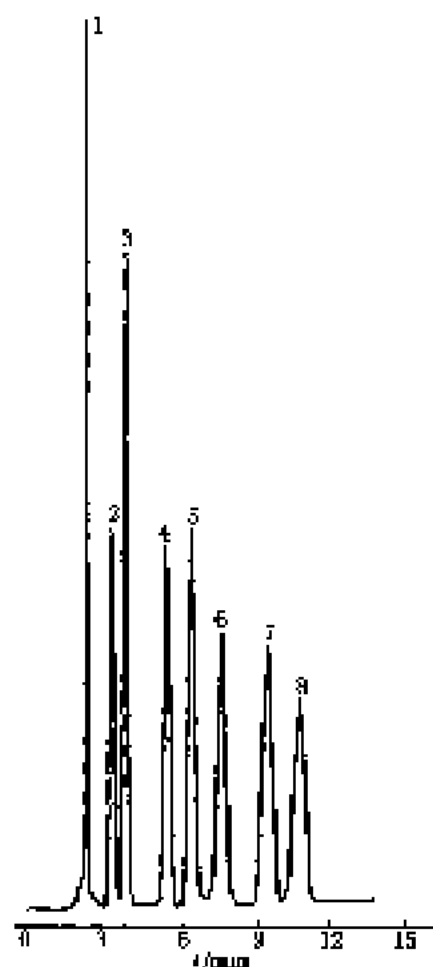
(b) Prodigy C_{18} , 250 mm \times 3.2 mm, 5 μ m

柱温: 35 $^{\circ}\text{C}$

流动相: 乙醇+水 (体积比=45:55)

流速: 0.5 ml \cdot min⁻¹

检测器: 荧光 ($\lambda_{\text{ex}} = 470 \text{ nm}$, $\lambda_{\text{em}} = 530 \text{ nm}$)



色氨酸, 1—乙酰胺, 2—脯氨酸, 3—脯氨酸, 4—新诺明, 5—磺胺甲基嘧啶, 6—磺胺对甲基嘧啶, 7—磺胺甲基嘧啶, 8—磺胺二甲嘧啶

色谱柱: Inertsil ODS 2, 150 mm×4.6 mm, 5 μm

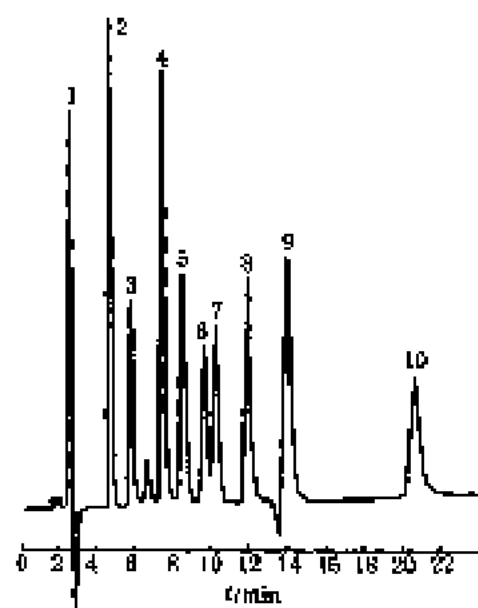
柱温: 室温

流动相: 80%甲醇+0.10 mol·L⁻¹ pH6.6 乙酸铵缓冲液

流速: 1.0 ml·min⁻¹

检测器: UV

图 10-255 7 种胺分离谱图^[107]



色氨酸, 1—甲苯, 2—苯酚, 3—甲酚, 4—苯乙醇, 5—苯甲酸, 6—甲基苯甲酸, 7—甲苯, 8—溴苯, 9—对二甲苯, 10—丙苯

色谱柱: phenylmethyl 相, 250 mm×4.0 mm (内径)

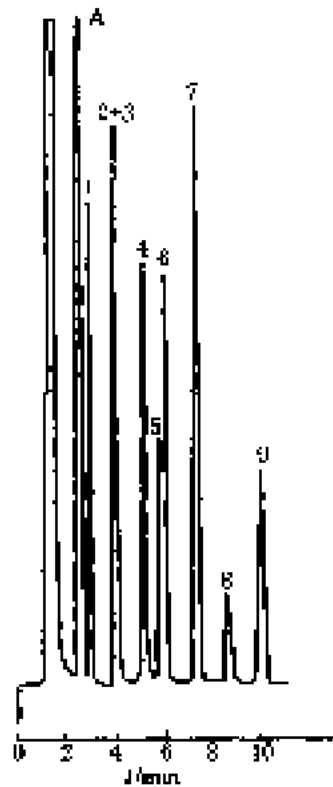
流动相: 甲醇+水(60+40)

流速: 1 ml·min⁻¹

柱温: 室温

检测器: 紫外(254 nm)

图 10-256 9 种芳烃化合物分离谱图^[108]

图 10-257 $C_1 \sim C_9$ 烷的分离谱图^[142]

色谱峰: 1—甲烷; 2, 3—乙烷和二甲烷; 4—异丙烷; 5—异丙烷; 6—正丙烷; 7—1, 2-二乙烷; 8—二乙烷; 9—正丁烷

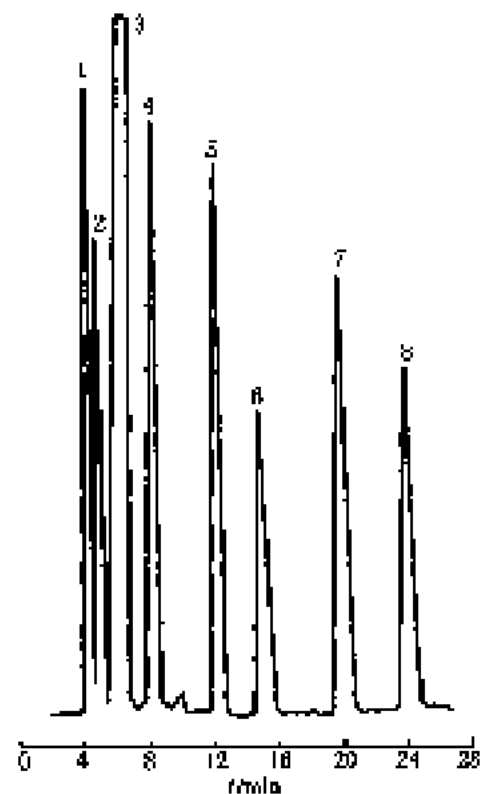
色谱柱: 不锈钢 Spherisorb C_{18} , 250 mm \times 4 mm, 5 μ m

流动相: 乙醇/水 (体积比=40:60)

流速: 1.0 ml \cdot min⁻¹

泵: Tascos 型 580Pa

检测器: UV (250 nm)

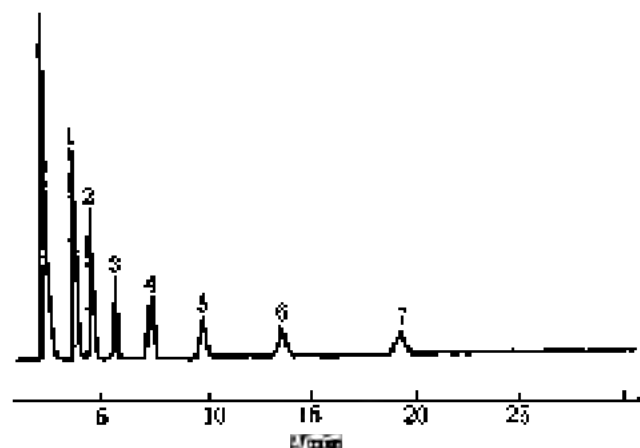
图 10-259 HSA 衍生物分离谱图^[143]

色谱峰: 1—Gly; 2—*N*-甘氨酸甘氨酸; 3—HSA; 4—Glu; 5—三甘氨酸; 6—HSA + OH; 7—Lys; 8—谷氨酰胺

色谱柱: Spherisorb C_{18} , 200 mm \times 4.6 mm (内径)

流动相: 乙醇/水 + 三乙胺 (体积比=38:60:2), 内含 20 mmol \cdot L⁻¹ $NH_4H_2PO_4$ (pH 7.0)

检测器: 荧光

图 10-258 $C_2 \sim C_8$ 正构烷烃的分离谱图^[141]

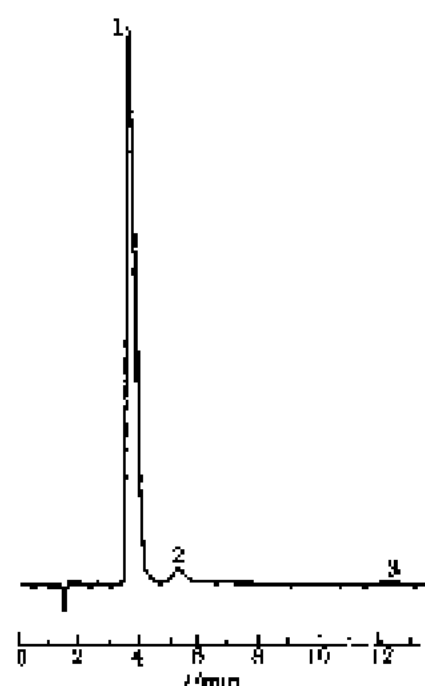
色谱峰: 1— C_2 ; 2— C_3 ; 3— C_4 ; 4— C_5 ; 5— C_6 ; 6— C_7 ; 7— C_8

色谱柱: Hyperal ODS C_{18} 载体, 150 mm \times 4.6 mm, 5 μ m

流动相: 乙醇/水 (体积比=60:40)

流速: 1.0 ml \cdot min⁻¹

检测器: 二极管阵列 UV (240 nm)

图 10-260 $\text{NaB}_2\text{H}_4\cdot\text{SH}$ 氧化样品分离谱图^[104]

色谱峰: 1— $[\text{B}_{10}\text{H}_{11}\text{SH}]^{2-}$; 2— $[\text{B}_{10}\text{H}_{11}\text{SSB}_2\text{H}_{11}]^{2-}$; 3— $[\text{B}_{10}\text{H}_{11}\text{S}(\text{O})\text{SB}_2\text{H}_{11}]^{2-}$

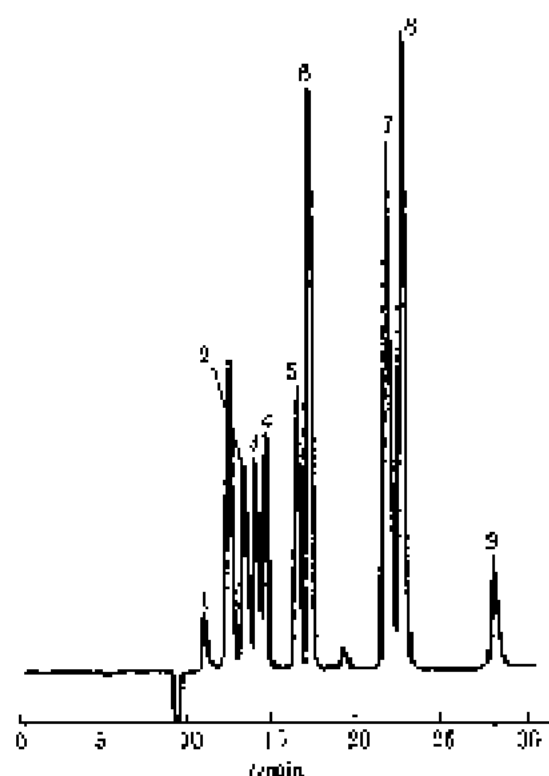
色谱柱: Separon HFMA-BIO 300, 150 mm×3.2 mm (内径), 12 μm

柱温: 40°C

流动相: 0.1 mol·L⁻¹ NaClO₄ + 0.01 mol·L⁻¹ 磷酸盐缓冲液 (pH 8.5)

流速: 0.5 ml·min⁻¹

检测器: UV(204 nm)

图 10-262 三羧酸酐环中羧酸的分离谱图^[105]

色谱峰: 1—顺乌头酸; 2—反乌头酸; 3—柠檬酸; 4—α-酮戊二酸; 5—丙酮酸; 6—苹果酸; 7—乳酸; 8—琥珀酸; 9—富马酸

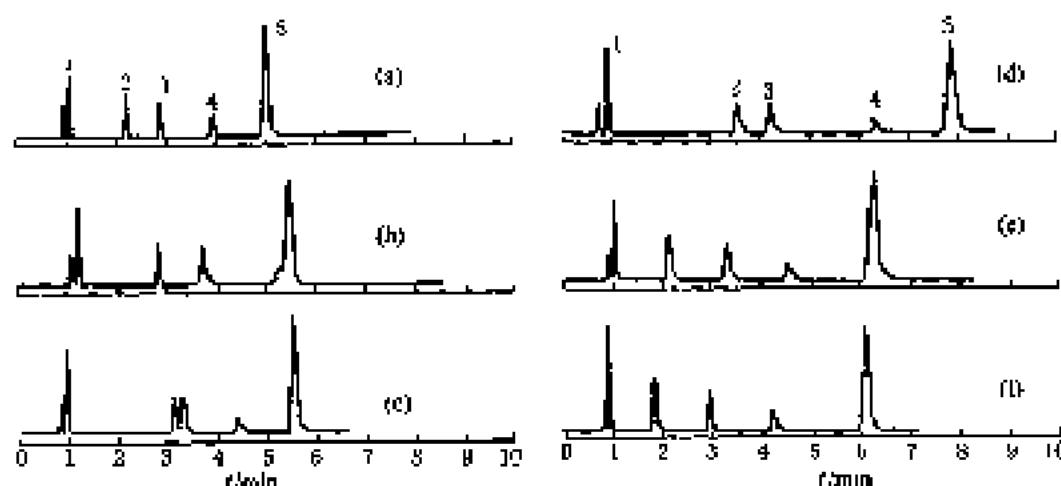
色谱柱: 相互作用 BC8201, 磷酸化康萃乙酯-二乙胺基, 50 μm ×7.8 mm (内径), 5 μm

流动相: 0.009 mol·L⁻¹ H₂SO₄

流速: 0.1 ml·min⁻¹

温度: 42°C

检测器: 折射率 (10%)

图 10-263 三环抗锈剂混合物分离谱图^[106]

色谱峰: 1—原萘啶; 2—多酸平; 3—去甲萘林; 4—阿来萘林; 5—曲米帕明

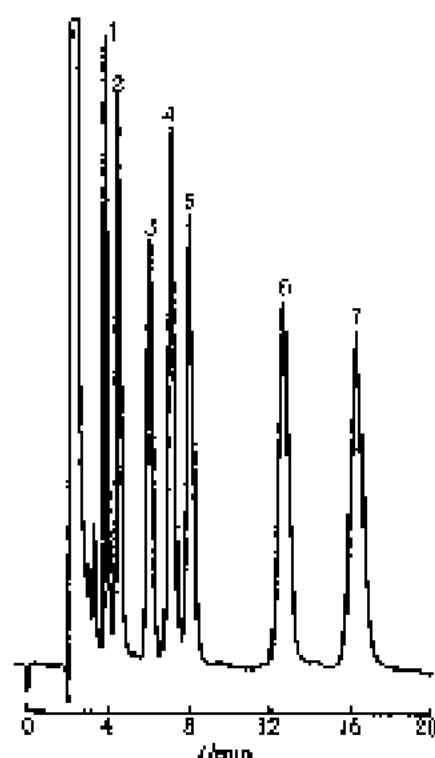
色谱柱: 15 cm×0.46 cm (内径) (a) HYPERSIL ODS-C₁₈ (5 μm); (b) NERTSIL C₁₈ (5 μm); (c) SUPELOCLIL ABZ, 5 μm ; (d) SYMMETRY-C₁₈, 5 μm ; (e) VME-BASIC ZORBAX, 5 μm ; (f) XDB-C₁₈, 5 μm

柱温: 40°C

流动相: 乙腈 (A)-0.1 mol·L⁻¹ 磷酸缓冲液 (pH 7.0) (体积比 = 60:40)

流速: 1.5 ml·min⁻¹

检测器: UV



色谱峰: 1- 苯丙醇胺; 2- 麻黄碱; 4- 伪麻胺; 4- 苯麻黄碱;
5- 羟基苯异丙胺; 6- 伪麻黄碱; 7- 肾上腺素
色谱柱: 填充 $5\ \mu\text{m}$ Hypersil ODS C_{18} 柱, $300\ \text{mm} \times 3.9\ \text{mm}$ (内径)
保护柱: 填充 $30\sim 40\ \mu\text{m}$ Co. Peil C_{18} , $70\ \text{mm} \times 2.1\ \text{mm}$ (内径)
流动相: 甲醇+水+乙酸+TEA (体积比=70+28+1.5+0.5)
检测器: 可变波长 ($\lambda=254\ \text{nm}$, 或 $335\ \text{nm}$)

图 10-263 丹磺酰衍生物分离谱图 (一)^[20]

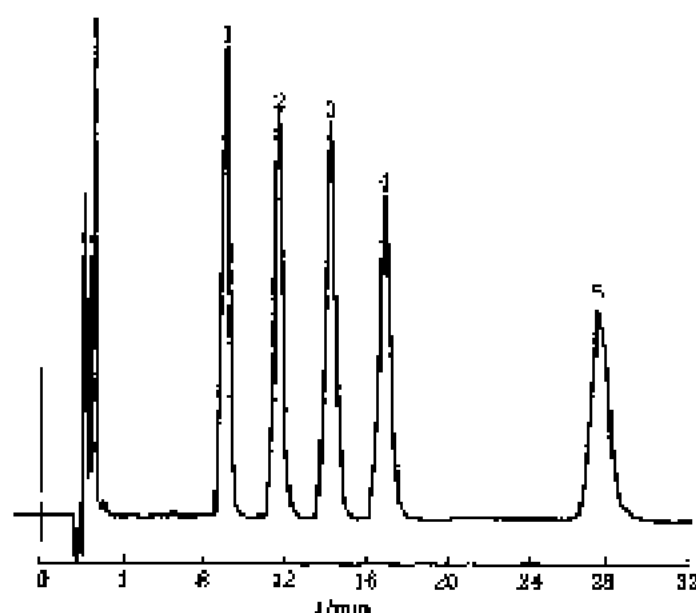


图 10-264 丹磺酰衍生物分离谱图 (二)^[20]

色谱峰: 1- 苯丙醇胺; 2- 麻黄碱; 3- 伪麻黄碱; 4- 苯异丙胺; 5- 伪麻黄碱
色谱柱: 填充 Hypersil ODS C_{18} 柱, $300\ \text{mm} \times 3.9\ \text{mm}$ (内径), $5\ \mu\text{m}$
保护柱: 填充 Co. Peil C_{18} , $(30\sim 40)\ \mu\text{m}$, $70\ \text{mm} \times 2.1\ \text{mm}$ (内径)
流动相: 甲醇+水+乙酸+TEA (体积比=60+38+1.5+0.5)
检测器: UV(254, 335 nm)

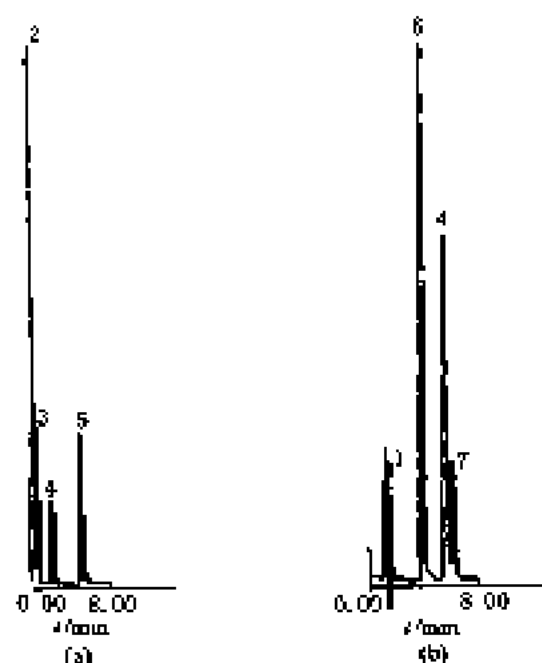


图 10-265 孔状石墨柱上吸附的衍生物分离谱图^[26]
色谱峰: 1—苯胺, 2—2-甲氧基苯胺, 3—*m*-氟苯胺, 4—*m*-硝基苯胺, 5—*p*-硝基苯胺, 6—3-硝基苯胺, 7—4-硝基苯胺

色谱柱: 孔状石墨柱, $1\mu\text{m}$, $100\text{mm} \times 4.7\text{mm}$ (内径)
流动相: (a) 甲醇-水 (95:1.5); (b) 甲醇-水 (97:5+2.5)

流速: $1\text{mL} \cdot \text{min}^{-1}$

检测器: UV (254 nm)

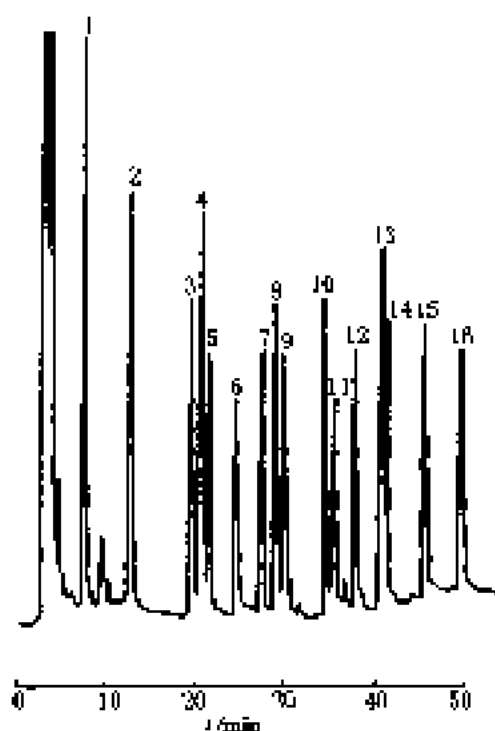


图 10-267 异构脂肪酸衍生物分离谱图^[26]

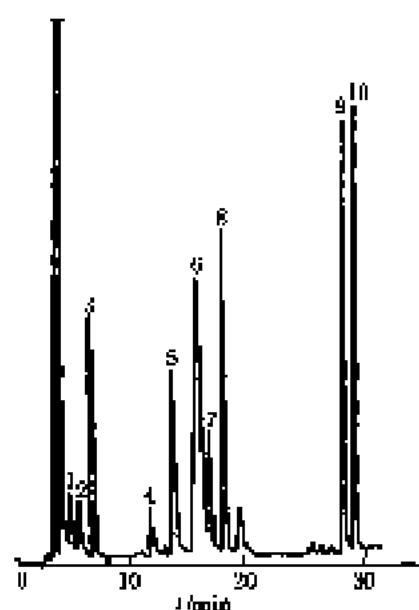


图 10-266 尿嘧及其降解产物分离谱图^[26]

色谱峰: 1—尿嘧, 2—尿嘧-6-羧酸, 3—对氨基苯甲酰基谷氨酸, 4—四氢尿嘧, 5—5-甲基四氢尿嘧, 6—5-甲酰基四氢尿嘧, 7—二氢尿嘧, 8—赖氨酸, 9—组氨酸, 10—2', 5'-二氢尿嘧

色谱柱: Shandon Hypersil ODS, $(250\text{mm} \times 4.6\text{mm})$ (内径), $5\mu\text{m}$

流动相: $5\text{mmol} \cdot \text{L}^{-1}$ 磷酸 ($\text{pH}2.3$) + 乙醇

流速: $0.9\text{mL} \cdot \text{min}^{-1}$

温度: 室温

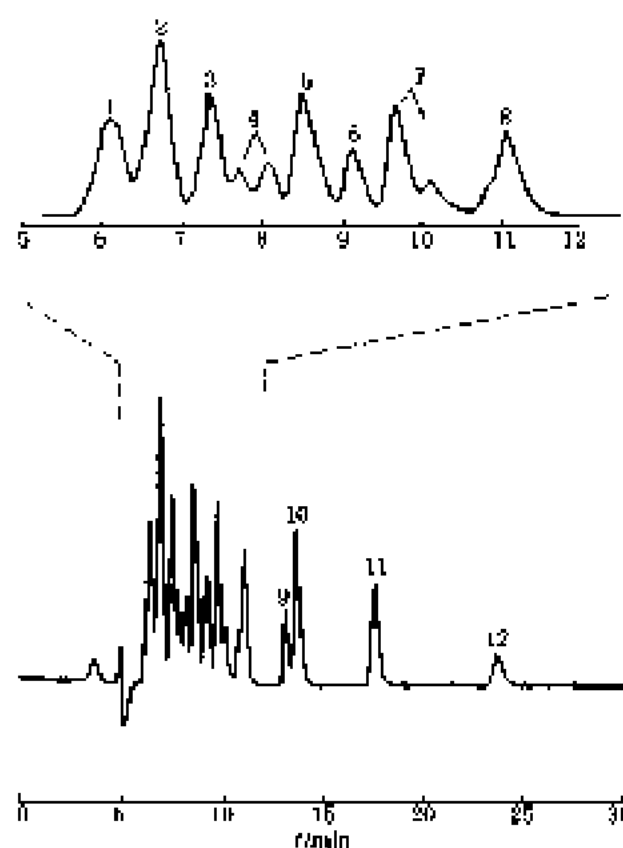
检测器: UV (285 nm)

色谱峰: 1—癸酸, 2—月桂酸, 3—肉豆蔻酸, 4—棕榈酸, 5—棕榈油酸, 6—硬脂酸, 7—棕榈酸, 8—油酸 (顺- $C_{18:1}$), 9—反油酸 (反- $C_{18:1}$), 10—硬脂酸, 11—二十酸, 12—十九酸 (内标), 13—花生酸, 14—芥酸, 15—山萘酸, 16—二十四酸

色谱柱: Nucleosil

流动相: 甲醇-磷酸盐缓冲液 (70%~96%甲醇)

检测器: UV (213 nm)



色谱峰: 1—1, 6-50, 104, 188, 201, 204, 206, 2—8, 18, 22, 104, 154, 3—28, 52, 101, 187, 4—44, 101, 153, 187, 198, 5—66, 87, 200, 6—136, 180, 195, 7—116, 128, 170, 194, 195, 8—103, 176, 9—127, 10—77, 11—126, 12—189, (根据IUPAC对多联联苯的编号规则)

色谱柱: 键合硅胶柱

流动相: 庚烷

柱温: 0℃

检测器: UV(264 nm)

图 10-268 平面和非平面多联联苯分离谱图^[137]

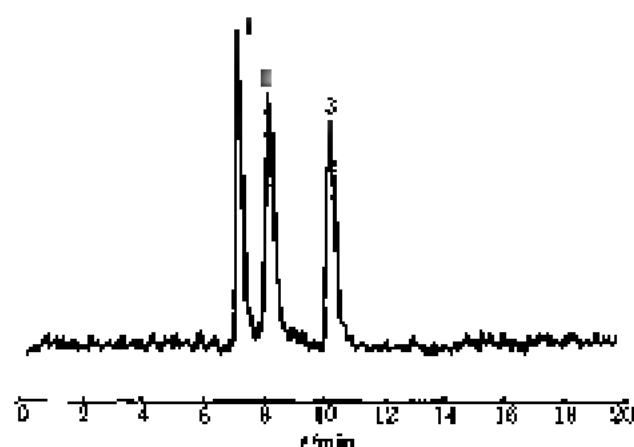


图 10-269 合成铁合剂的⁵⁷Fe配合物的分离谱图^[138]

色谱峰: 1—乙二胺四乙酸 (7 mmol); 2—二乙基三羧五乙稀酸 (30 mmol); 3—1, 2-二氨基环己烷-*N, N, N', N'*-四乙酸 (30 mmol)

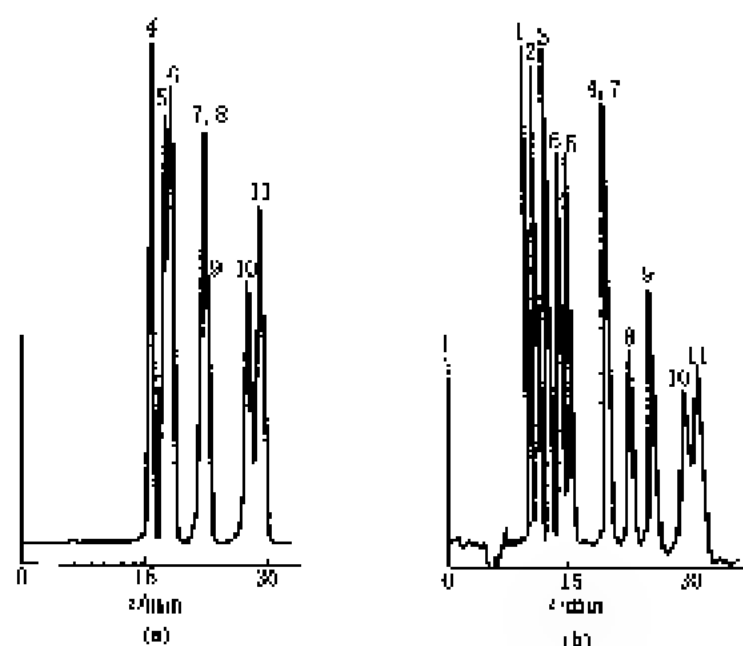
色谱柱: Ultrasorb ODS (C18) 30 (Phenomenex), 5 μ m, 15 cm \times 4.6 mm

流动相: A 100%水; B 75%乙腈水溶液+*p*-1%乙酸

梯度洗脱: 20 min内 0%B至 100%B

流速: 0.8 ml \cdot min⁻¹

检测器: ⁵⁷Fe 在线四极计数

图 10-270 多元醇类分离谱图 (一)^[263]

色谱峰: 1—甘油; 2—1, 2-乙二醇二酐; 3—四二酐; 4—肌醇; 5—核糖醇; 6—赤霉素; 7—阿糖醇; 8—甘露醇; 9—木糖醇; 10—半乳糖醇; 11—山梨醇

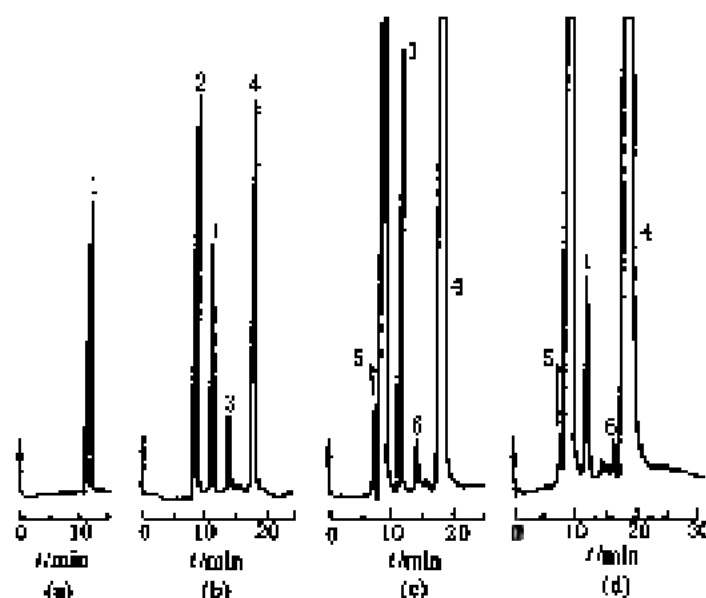
色谱柱: Hamilton HC-75 磺化聚苯乙烯 (型号), 10—15 μm , 30.5 cm \times 7.6 mm (内径)

流动相: (a) 水; (b) 乙醇+水 (40:60)

流速: 0.5 ml \cdot min⁻¹; 0.1 ml \cdot min⁻¹

温度: (a) 20°C; (b) 78°C

检测器: 折射率

图 10-271 多元醇类分离谱图 (二)^[263]

色谱峰: 1—甘油; 2—山梨醇; 3—四二酐; 4—乙醇; 5—果糖; 6—甲酯

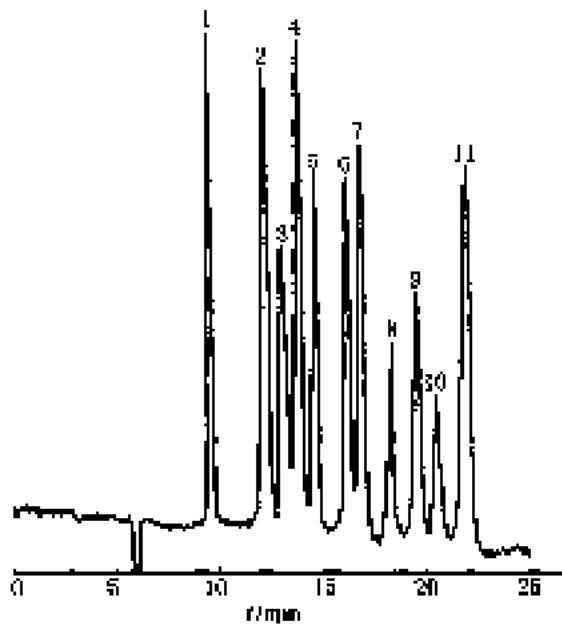
色谱柱: OmniPAC PLX-500

流动相: 50 mmol \cdot L⁻¹ HClO₄—90%乙醇 (A)—水 (B)

线性洗脱: 80%A 5 min, (5—14) min 线性梯度冲洗至 95%A, 14.1 min 平衡冲洗

流速: 0.8 ml \cdot min⁻¹

检测器: 电化学, Pt 工作电极

图 10-272 有机酸、糖和醇分离谱图^[104]

色谱峰: 1-蔗糖; 2-葡萄糖; 3-半乳糖; 4-果糖; 5-葡萄糖酸; 6-苹果酸; 7-甘油; 8-乙醇; 9-乳酸; 10-甲醇; 11-乙醇

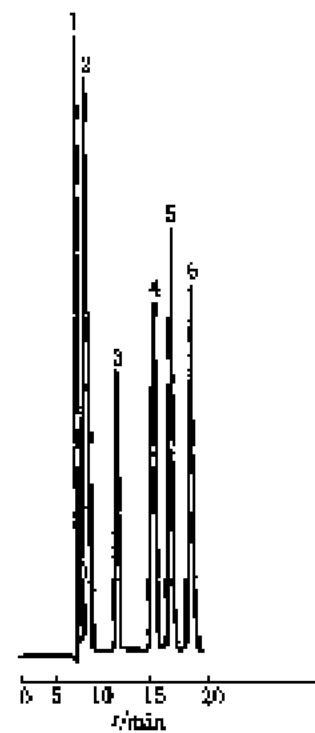
色谱柱: 相起作用 IC8201- 磺酸化聚苯乙烯-二乙烯苯, 30 cm × 7.8 mm (内径), 5 μm

流动相: 0.01 mol/L H_2SO_4

流速: 0.6 ml/min

温度: 30℃

检测器: 折光率(IX)

图 10-273 有机酸分离谱图 (一)^[105]

色谱峰: 1-苹果酸; 2-马来酸; 3-苹果酸; 4-琥珀酸; 5-甲酸; 6-乙酸

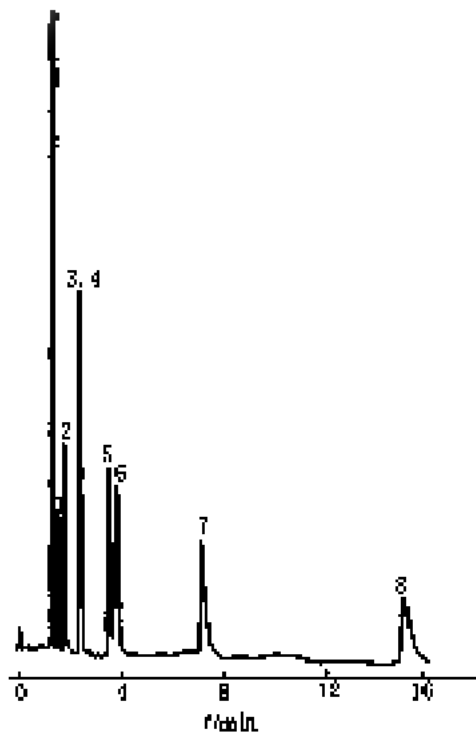
色谱柱: Watanabe Bx-Column 磺酸化聚苯乙烯, 30.0 cm × 7.8 mm (内径), 5 μm

流动相: 0.001 mol/L H_2SO_4

流速: 0.6 ml/min

温度: 室温

检测器: 电导



色谱峰: 1-乙酸; 2-丙酸; 3-异丁酸; 4-丁酸; 5-异戊酸; 6-戊酸; 7-己酸; 8-庚酸

色谱柱: ChromSep柱 (Chromapak) Chrom.Sber C₁₈ 键合十八烷基硅, 20 cm × 3 mm (内径), 5 μm

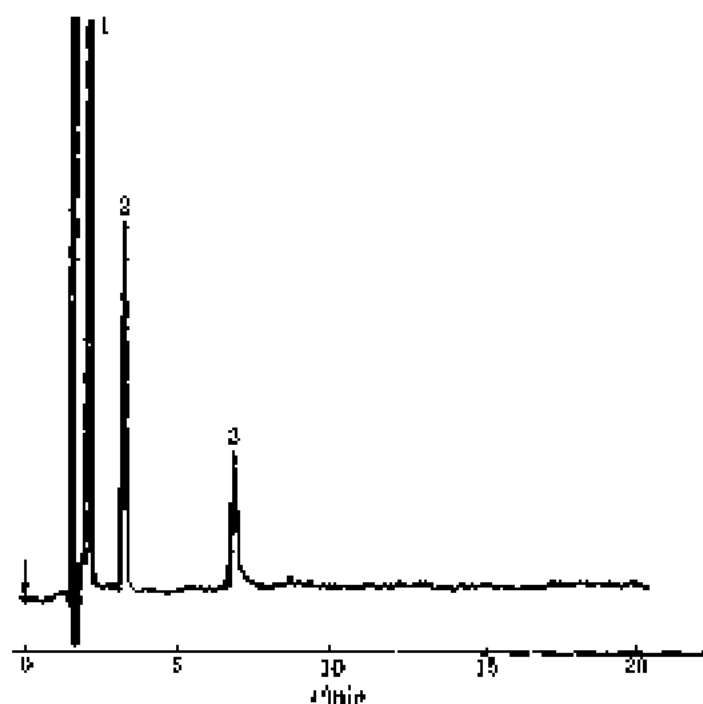
流动相: 甲醇+0.08 mol/L KH_2PO_4 (pH 8.5) (体积比=50:50) 等度冲洗

流速: 0.6 ml/min

温度: 室温

检测器: 折光率(IX)

图 10-274 有机酸分离谱图 (二)^[106]

图 10-275 有机酸分离谱图 (三)^[304]

色谱峰: 1—乙酸; 2—丙酸; 3—丁酸

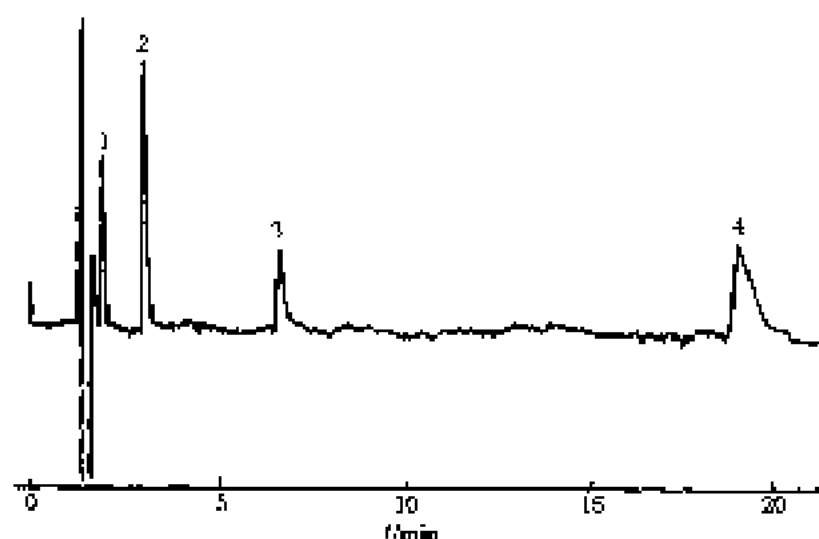
色谱柱: ChromSep_{er} 柱 (Chrompack) ChromSpher C₁₈ (Chrompack), 键合十八烷基硅, 20.0 cm×3 mm (内径), 5 μm

流动相: 甲醇+0.02 mol·L⁻¹ KH₂PO₄ (pH2.5) (体积比=20:80)

流速: 0.6 ml·min⁻¹

柱温: 室温

检测器: 折射率

图 10-276 有机酸分离谱图 (四)^[304]

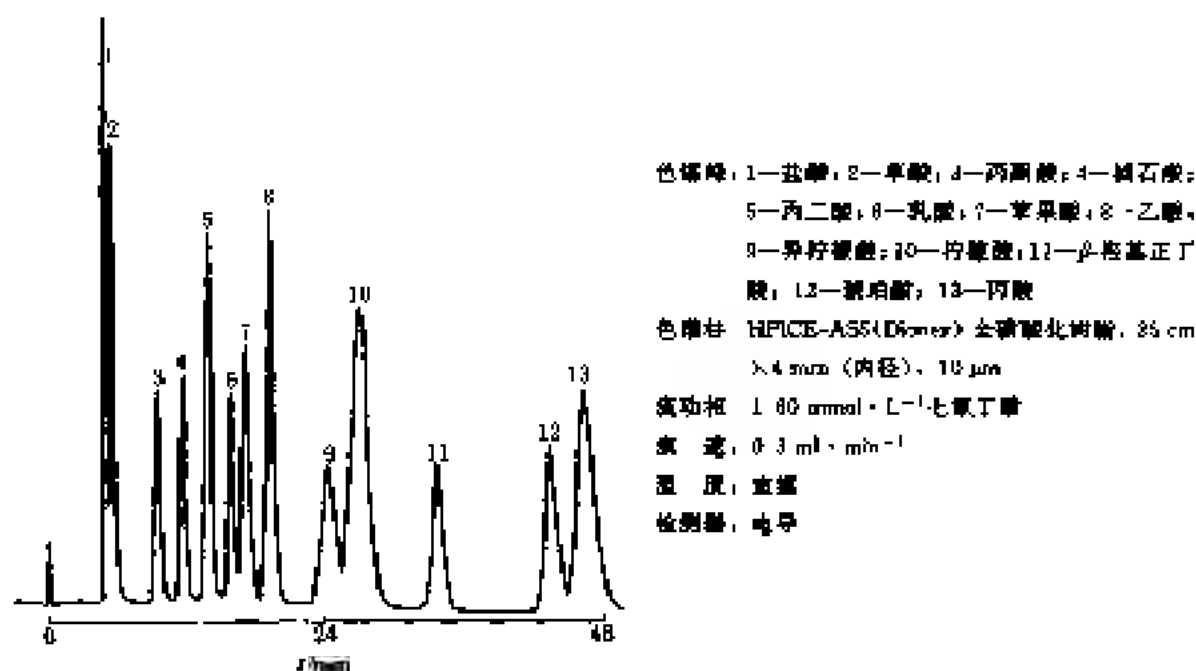
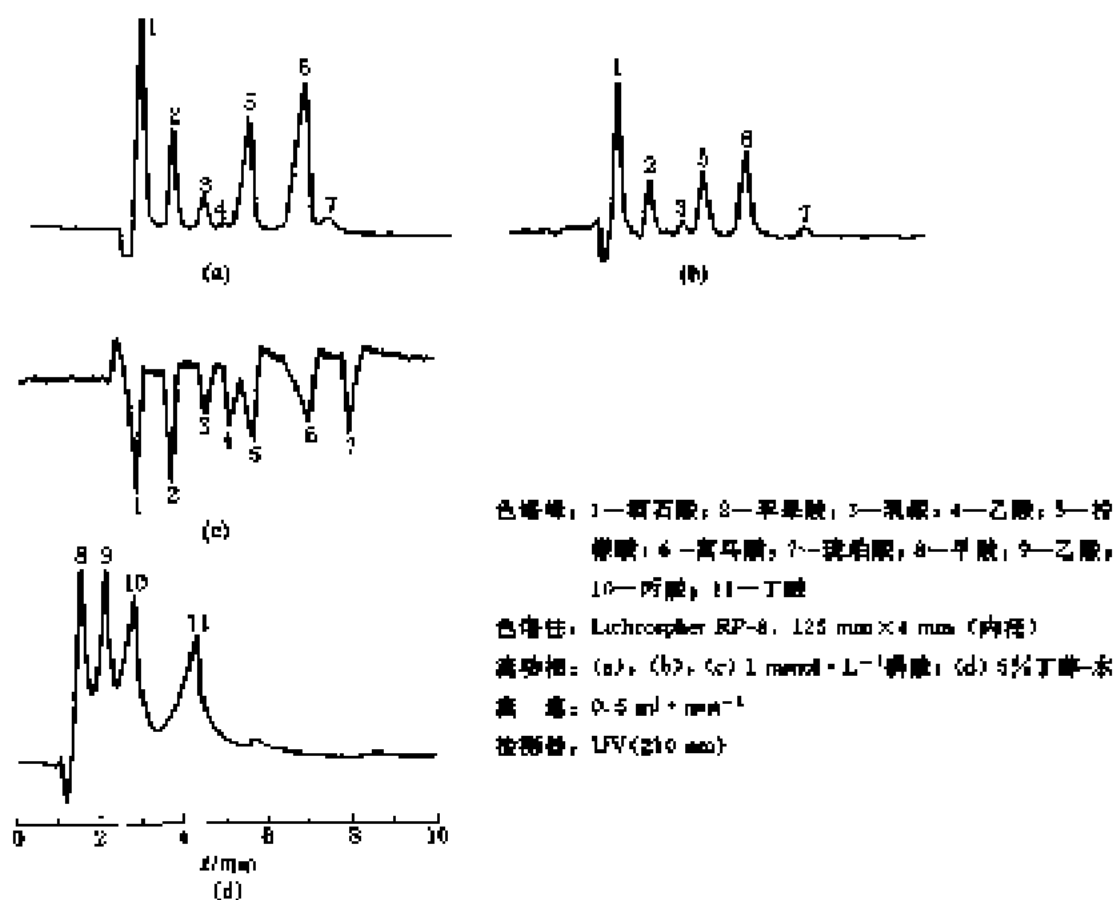
色谱峰: 1—乙酸; 2—丙酸; 3—丁酸; 4—戊酸

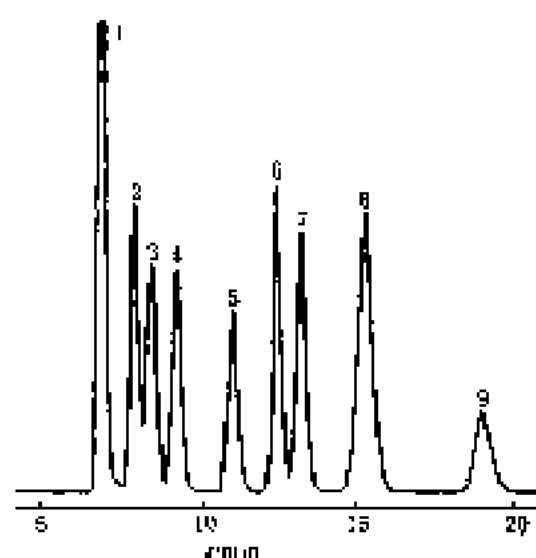
色谱柱: ChromSep_{er} 柱 (Chrompack) ChromSpher C₁₈ (Chrompack), 键合十八烷基硅, 20.0 cm×3 mm (内径), 5 μm

流动相: 甲醇+0.02 mol·L⁻¹ KH₂PO₄ (pH2.5) (体积比=20:80)

流速: 0.6 ml·min⁻¹

检测器: 折光率 (IX)

图 10-277 有机酸分离谱图 (五)^[29]图 10-278 有机酸分离谱图 (六)^[29]

图 10-279 有机酸分离谱图 (七)^[100]

色谱峰: 1—草酸; 2—柠檬酸; 3— α -酮戊二酸; 4—苹果酸; 5—琥珀酸; 6—甲酸; 7—乙酸; 8—富马酸; 9—丁酸

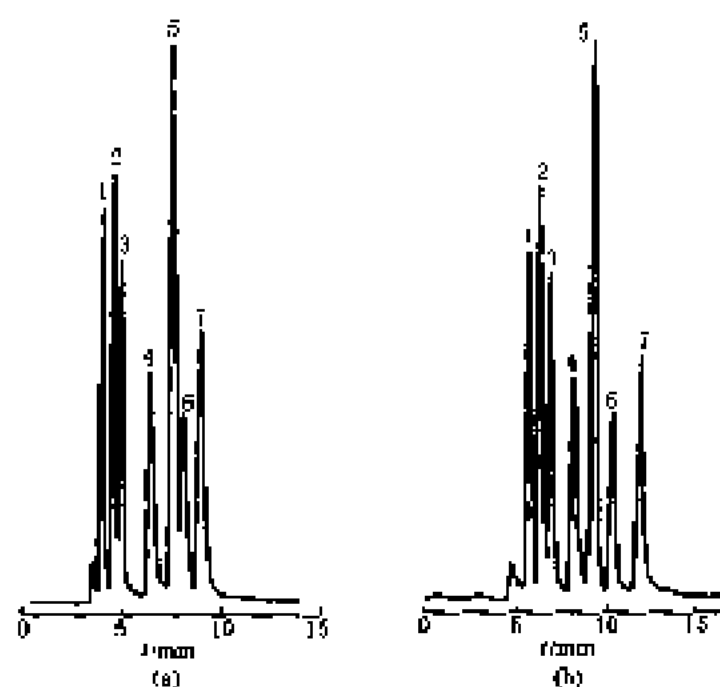
色谱柱: 多孔 II (Applied Biosystems) 键合化聚苯乙烯-二乙烯基苯, 28.5 cm \times 4.6 mm (内径), 10 μ m

流动相: 0.05 mol/L H_2SO_4

流速: 0.15 mL \cdot min $^{-1}$

温度: 25 $^{\circ}\text{C}$

检测器: UV(210 nm)

图 10-280 有机酸分离谱图 (八)^[104]

(a) 反相柱; (b) 反相柱与离子交换柱相串联

色谱峰: 1—奎尼酸; 2—苹果酸; 3—丙二酸; 4—马来酸; 5—柠檬酸; 6—琥珀酸; 7—富马酸

色谱柱: ODS 120 mm \times 4.6 mm (内径) 和多孔 II 柱 100 mm \times 4.6 mm (内径) 多孔 II 柱填充键合化聚苯乙烯-二乙烯基苯

键合 ODS-C-18 键合接枝状开环硅胶, 5 μ m

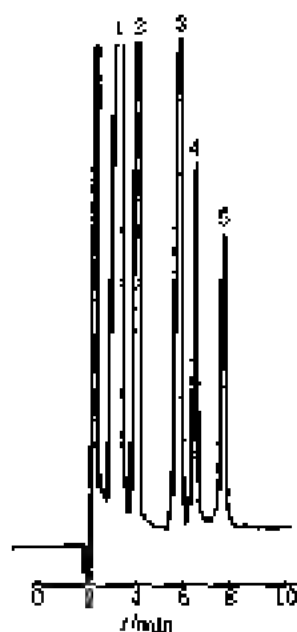
保护柱: ODS Spheri-7 筒型, 15 mm \times 3.8 mm (内径)

多孔 II 保护柱, 30 mm \times 4.6 mm (内径)

流动相: H_2SO_4 (pH2.10)

流速: 0.5 mL \cdot min $^{-1}$

检测器: 分光光度

图 10-281 有机酸标准样谱图^[289]

色谱峰: 1—柠檬酸, 2—苹果酸, 3—乳酸, 4—甲酸, 5—乙酸

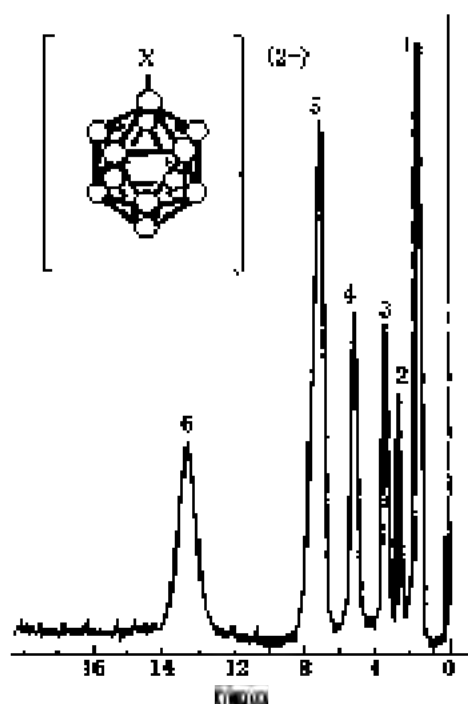
色谱柱: Womex Aristal Exclusion 磺酸化聚苯乙烯, 30.0 cm × 7.8 mm (内径), 5 μm

柱温: 室温

流动相: 3.0 mmol · L⁻¹ HNO₃

流速: 1.0 mL · min⁻¹

检测器: 电导

图 10-282 闭舍型-[B₁₀H₁₀]⁻阴离子及其取代衍生物分离谱图^[290]

色谱峰: 1—[B₁₀H₁₀(OH)]⁻; 2—[B₁₀H₁₀]⁻; 3—[B₁₀H₉(SH)]⁻; 4—[B₁₀H₉Cl]⁻; 5—[B₁₀H₉Br]⁻; 6—[B₁₀H₁₁]⁻

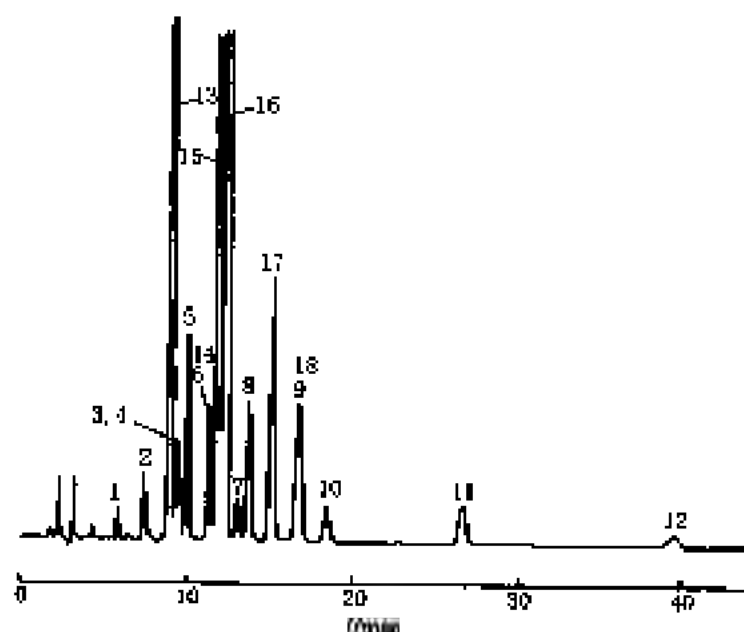
色谱柱: Separon HEMA-B01 500, 150 mm × 3.3 mm (内径), 12 μm

柱温: 40℃

缓冲液: 0.1 mol · L⁻¹ NaCO₃ + 0.01 mol · L⁻¹ 磷酸盐缓冲液 (pH 8.5)

流速: 0.5 mL · min⁻¹

检测器: UV(225 nm)

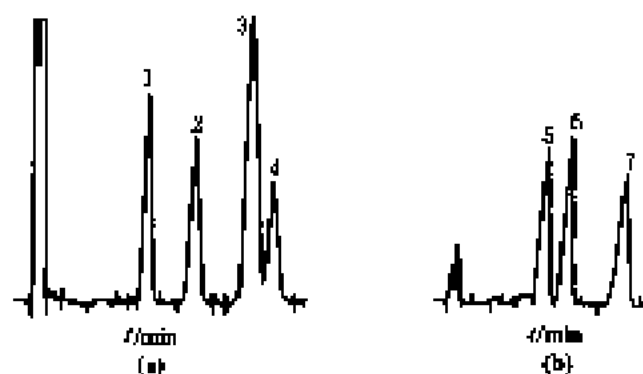
图 10-283 芳烃混合样品的分离谱图^[300]

色谱峰：1—苯；2—甲苯；3—邻二甲苯；4—间、对二甲苯；5—乙苯；6—异丙基苯；7—1,3,5-三甲苯；8—正丙基苯；9—异丁基苯；10—正丁基苯；11—正戊基；12—正己基；13—苯；14—联苯；15—1-甲基萘；16—2-甲基萘；17—萘；18—蒽

色谱柱：Develosil ODS, 250 mm×4.6 mm (内径)

流动相：乙醇+水 (70+30)

检测器：UV(220 nm)

图 10-284 芳香族甲酸分离谱图^[312]

(a) 芳香族单甲酸酯；(b) 芳香族多甲酸酯

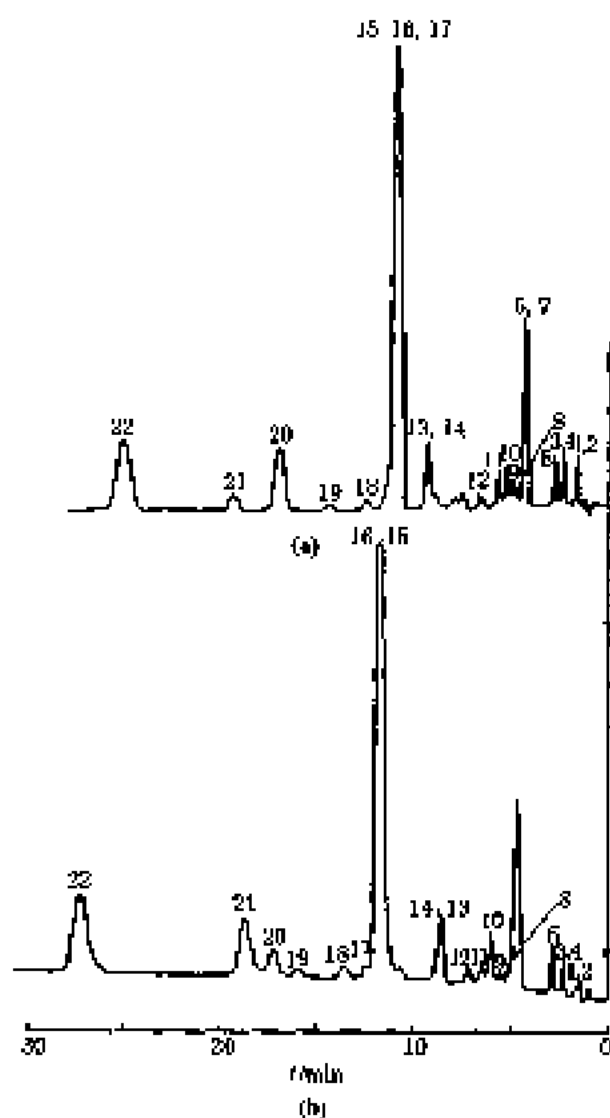
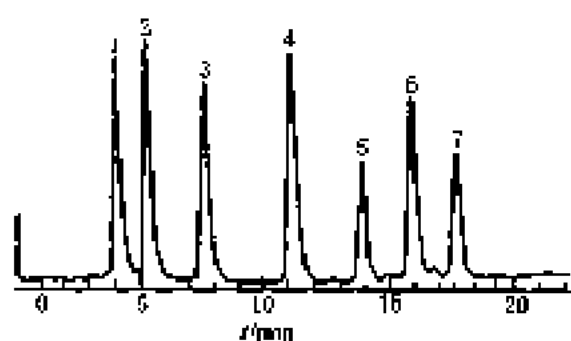
色谱峰：1—*m*-甲氧基苯甲酸；2—苯甲酸；3—4-甲氧基苯甲酸；4—3-甲氧基苯甲酸；5—2,4-二甲氧基苯甲酸；6—3,4-二甲氧基苯甲酸；7—3,4,5-三甲氧基苯甲酸

色谱柱：Nucleosil, 200 mm×4 mm, 5 μm

流动相：乙醇+0.1 mol·L⁻¹磷酸盐 (pH2) (体积比=20:80)

流速：1.5 ml·min⁻¹

检测器：UV(240 nm)

图 10-285 芳香醛类，酸分离谱图^[14]图 10-286 直链烷烃氢过氧化物梯度洗脱谱图^[14]

色谱峰：1—3, 5-二羟基苯甲酸；2—3, 4-二羟基苯甲酸；3—3, 4-二羟基苯甲酸；4—4-羟基苯甲酸；5—邻醛；6—香草醛；7—异香草醛；8—2-羟基香豆素；9—2, 4-羟基苯甲酸；10—苯酚；11—4-羟基香豆素；12—2-甲氧基苯酚；13—3-乙氧基-4-羟基苯甲酸；14—3, 5-二甲氧基苯酚；15—4-羟基苯酚；16—香豆素；17—苯甲酸；18—甲苯酚；19—2-氧苯酚；20—肉桂酸；21—5-甲氧基苯甲酸；22—肉桂酸

色谱柱：LiChrospher 100 RP 18, 125 mm×4.0 mm(内径)

流动相：(a) 乙腈—乙酸钠缓冲液 (50 mmol·L⁻¹, pH6) (体积比=22:78)

(b) 乙腈—乙酸钠缓冲液 (50 mmol·L⁻¹, pH4) (体积比=20:80)

流速：1 ml·min⁻¹

检测器：UV(280 nm)

色谱峰：1—C₆OOH；2—C₈OOH；3—C₁₀OOH；4—C₁₂OOH；5—C₁₄OOH；6—C₁₆OOH；7—C₁₈OOH

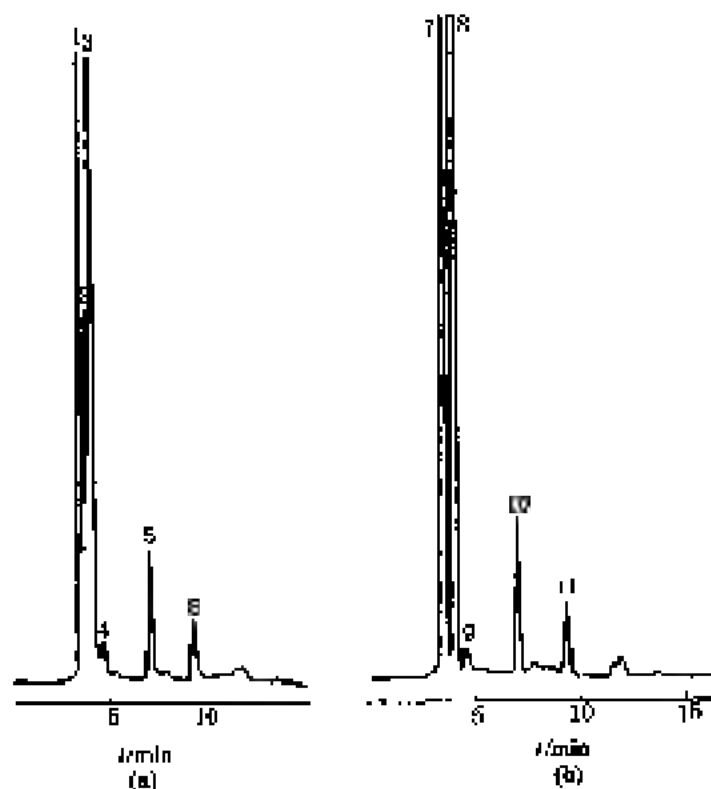
色谱柱：RPselect-B RP-8, 125 mm×4 mm, 5 μm

柱温：室温

流动相：80%甲醇-H₃PO₄ (pH3.5)，线性冲洗到95%甲醇 5 min

流速：0.5 ml·min⁻¹

检测器：荧光检测器 (λ_{ex}=295 nm, λ_{em}=415 nm)

图 10-287 季戊四醇及相关化合物分离谱图^[23]

色谱峰: 1—甲醇钠; 2—甲醚; 3—季戊四醇; 4— $(\text{HOCH}_2)_2\text{CCH}_2$ 基代季戊三醇; 5—二季戊四醇; 6— $(\text{HOCH}_2)_3\text{CCH}_2$ 基代内环化季戊醇; 7—甲酸钠; 8—季戊四醇; 9— $(\text{HOCH}_2)_2\text{CCH}_2$ 基代季戊三醇; 10—二季戊四醇; 11— $(\text{HOCH}_2)_3\text{CCH}_2$ 基代内环化季戊醇

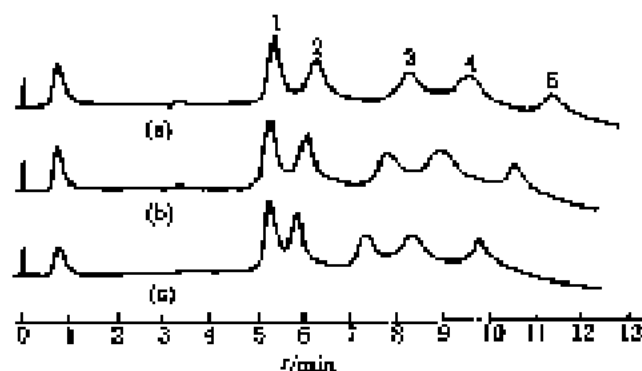
色谱柱: Shim-Pack CLC-ODS, 150 mm \times 4.6 mm (内径)

柱温: 50°C

流动相: 水

流速: 0.8 ml \cdot min⁻¹

检测器: 紫外 ($\lambda_{\text{ex}}=280 \text{ nm}$, $\lambda_{\text{em}}=389 \text{ nm}$)

图 10-288 苯乙烯-马来酐共聚物分析谱图^[24]

色谱峰^①: 1—S-MMA (56.5%); 2—S-MMA (47.3%); 3—S-MMA (28.7%); 4—S-MMA (14.7%); 5—聚(甲基丙烯酸丁酯)

① 括号内为苯乙烯含量的摩尔百分数。

色谱柱: 硅胶柱, 3 nm 孔大小 (Nomura Chemical), 5.0 mm \times 4.6 mm (内径), 5 μm

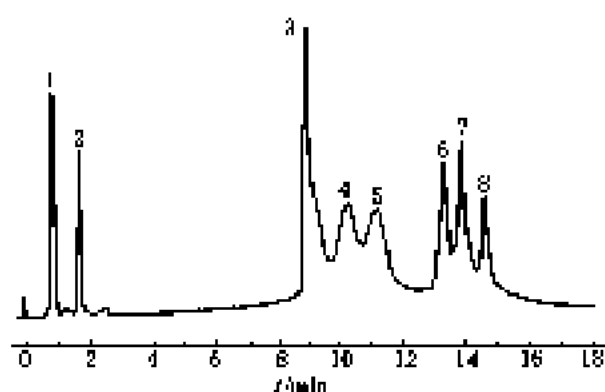
流动相: A—二氯乙烷, B—乙醇

梯度条件: 20 min 内 1% B 变至 10% B, 线性

温度: (a) 50°C, (b) 60°C, (c) 70°C

流速: 0.5 ml \cdot min⁻¹

检测器: UV (253 nm)

图 10-288 苯乙烯-甲基异丁烯酸聚合物的分离谱图^[294]

色谱峰①: 1—S-MMA(85.3%); 2—溶剂杂质: 3—S-MMA(73.4%) + S-MMA(63.7%) 和 S-MMA(57.4%) 的混合物; 4—S-MMA(48.7%); 5—S-MMA(42.1%); 6—S-MMA(26.5%); 7—S-MMA(13.2%); 8—聚(甲基异丁烯酸)

① 括号内为苯乙烯含量的摩尔百分数。

色谱柱: 硅胶柱, 3 nm 孔大小 (Nomena Chemical), 5.0 mm × 4.6 mm (内径), 5 μm

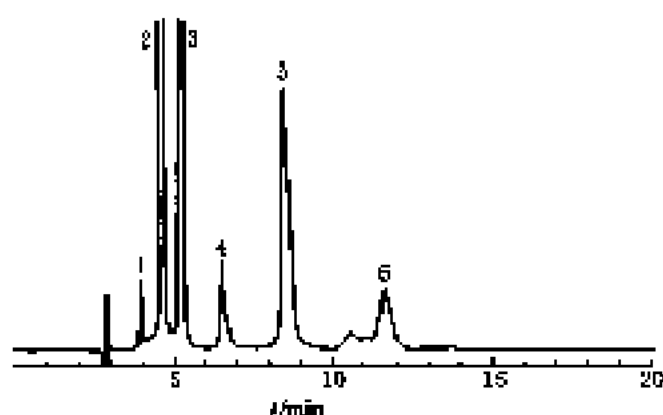
流动相: A 二氯乙烷, B 乙醇

梯度条件: 20 min 0%B 变至 5%B, 5 min 5%B 变至 10%B

流 速: 0.5 mL · min⁻¹

温 度: 50℃

检测器: UV (253 nm)

图 10-290 苯酚酸钠反应混合物样品谱图^[295]

色谱峰: 1—苯酚; 2—对羟基苯酚羧酸; 3—邻羟基苯酚羧酸; 4—对羟基苯邻羟基苯乙酸; 5—对羟基间二羧酸; 6—2-羟基苯羧酸

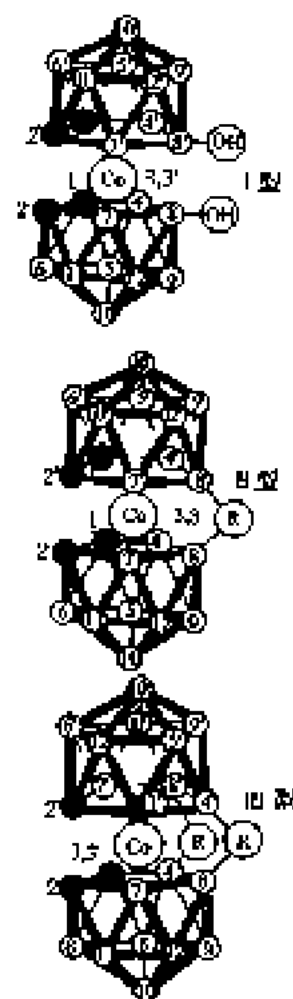
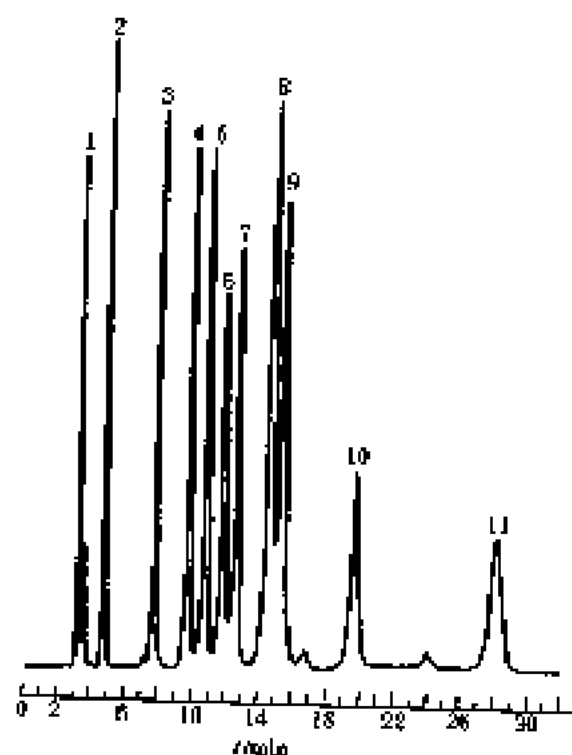
色谱柱: Cyclabond J, 250 mm × 4.6 mm (内径)

柱 温: 35℃

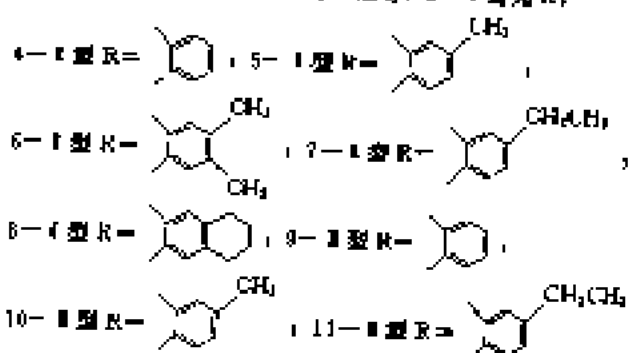
流动相: 甲醇—0.1 mol · L⁻¹ 水杨乙酸 (体积比—43 : 57)

流 速: 1 mL · min⁻¹

检测器: UV (220 nm)

图 10-20 带芳基的卟啉络合物分离层析^[105]

色层柱: t-1型 8、8' 羟基, 2-1型 8 羟基, 3-1型 无 R₁



色层柱: Sephadex SGX, 250 Jmm × 4 mm, 7 μm

柱温: 40°C

流动相: 乙醇 + 水 (57:43) + 3×10^{-3} mol · l⁻¹ n-C₄H₉NH₂ · HCl

流速: 0.8 ml · min⁻¹

检测器: 一联脉冲检测器 (290 nm)

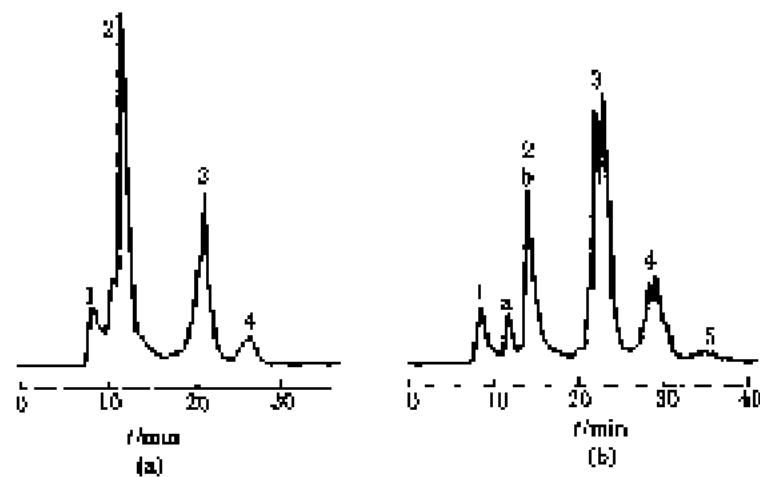


图 10-292 带有酯官能团的季离子表面活性剂的反相 HPLC 分析^[20]

(a) Rysto 销售 Q-1570 成分相分离谱图; (b) DMC 销售 E-50 成分分离谱图

色谱峰: 1—吡啶醇, 2—单酯 (α -C₁₀), 3—C₁₀, 4—二酯, 5—四酯

色谱柱: Hitachi 销售 3057 (C₁₈), 15.0 cm × 4.6 mm (内径), 3 μm

流动相: A 含有 5.7 mmol/L 乙酸的甲醇+水 (体积比=85:15)

B 乙醇+甲醇 (75:25), 含有 5.7 mmol/L 乙酸钠

线性梯度:

时间/min	φ (B)/%	时间/min	φ (B)/%
5	40	20	86
10	72	25	100
15	88		

流速: 0.8 mL · min⁻¹

温度: 50°C

检测器: 并后反应 UV(250 nm)

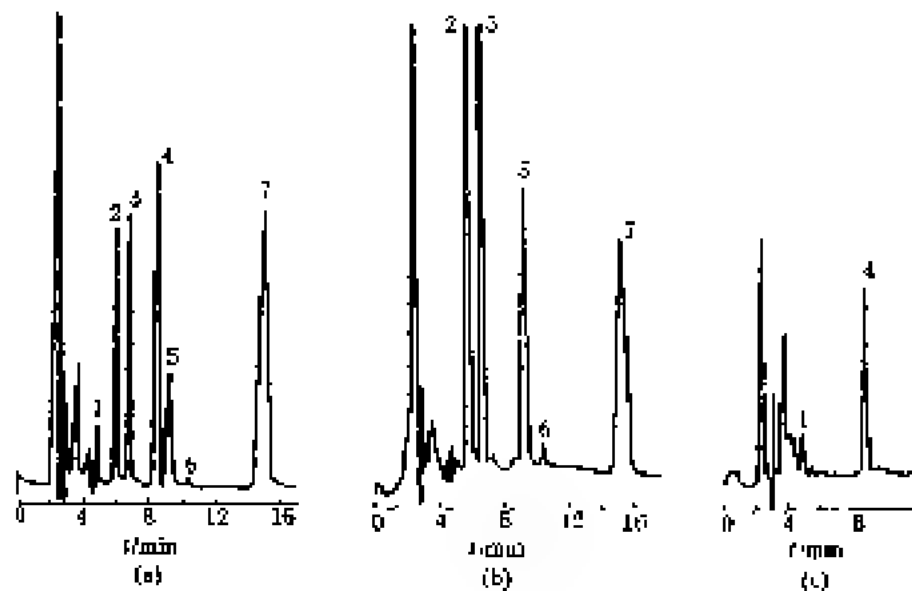


图 10-293 染料剂分离谱图 (—)^[20]

(a) 经过 SPE 处理前; (b) 经过 SPE 处理后; (c) 经过 SCX 前处理

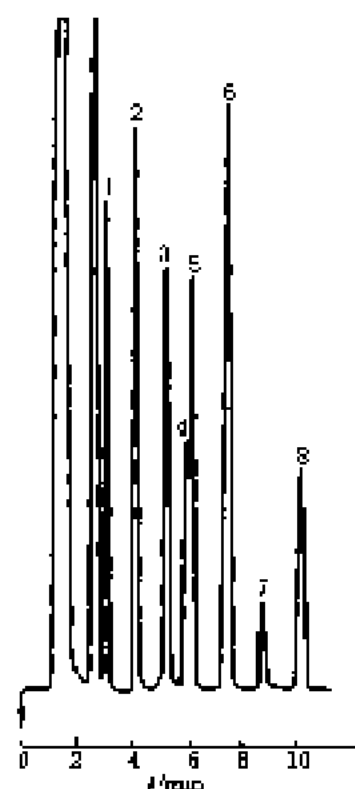
色谱峰: 1—4 羟基 1-萘磺酸及钠盐; 2—1, 4-苯二胺; 3—4-氨基苯酚; 4—间苯二酚; 5—4-甲氧基苯酚; 6—3-氨基苯酚; 7— α -萘基 1, 4-苯二胺

色谱柱: 填充 Phenomenex 销售 Bondelone C₁₈, 300 mm × 3.9 mm (内径), 10 μm

流动相: 乙醇+水 [含有 5 mmol/L 乙酸钠, 0.2 mmol/L 庚基磺酸钠和 20 mmol/L 庚基磺酸钠溶液 (pH 4.5)] (5:1:95)

流速: 1.5 mL · min⁻¹

检测器: UV(275 nm)



色谱峰: 1—1-氨基苯酚; 2—3-氨基苯酚和 4-氨基苯酚; 3—4-氨基邻甲苯酚; 4—8-氨基-4, 6-二硝基苯酚; 5—*N*, *N*-二甲基-1, 4-苯二胺; 6—2-氨基-1, 4-苯二胺; 7—4-甲氧基酚; 8—8-硝基-1, 4-苯二胺

色谱柱: Phenomenex Bondclone C₁₈-500 mm×3.9 mm (内径), 10 μm

流动相: 乙腈+水相 [含有 1, 8-二氧杂平烷和 20 mmol·L⁻¹庚磺酸钠 (pH4.5)] (15—85)

流速: 1.3 ml·min⁻¹

检测器: UV(275~290 nm)

图 10-294 染发剂分离谱图 (二)^[106]

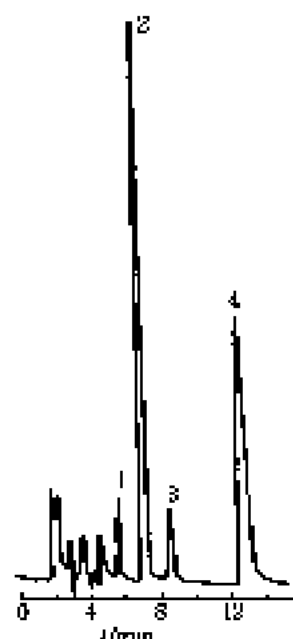


图 10-295 染发剂分离谱图 (三)^[106]

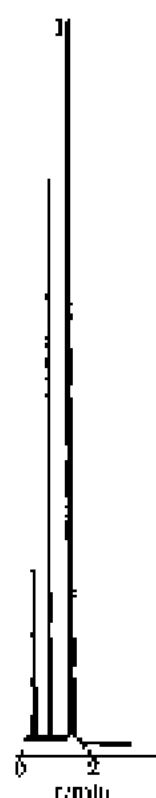
色谱峰: 1—3, 4-苯二胺; 2—4-氨基苯酚; 3—5-氨基苯酚; 4—8-硝基-1, 4-苯二胺

色谱柱: 填充 Phenomenex Bondclone C₁₈-500 mm×3.9 mm (内径), 10 μm

流动相: 乙腈+水相 [含有 5 mmol·L⁻¹ 1, 8-二氧杂平烷和 20 mmol·L⁻¹ 庚磺酸钠溶液 (pH4.5)] (15+85)

流速: 1.3 ml·min⁻¹

检测器: UV(275 nm)



色谱峰: 1—柠檬酸

色谱柱: ChromSep 色谱柱 (Chrompack), Chrom Spher C₁₈ (Chrompack)-键合十八烷基, 20.0 cm×3.0 mm (内径), 5 μm

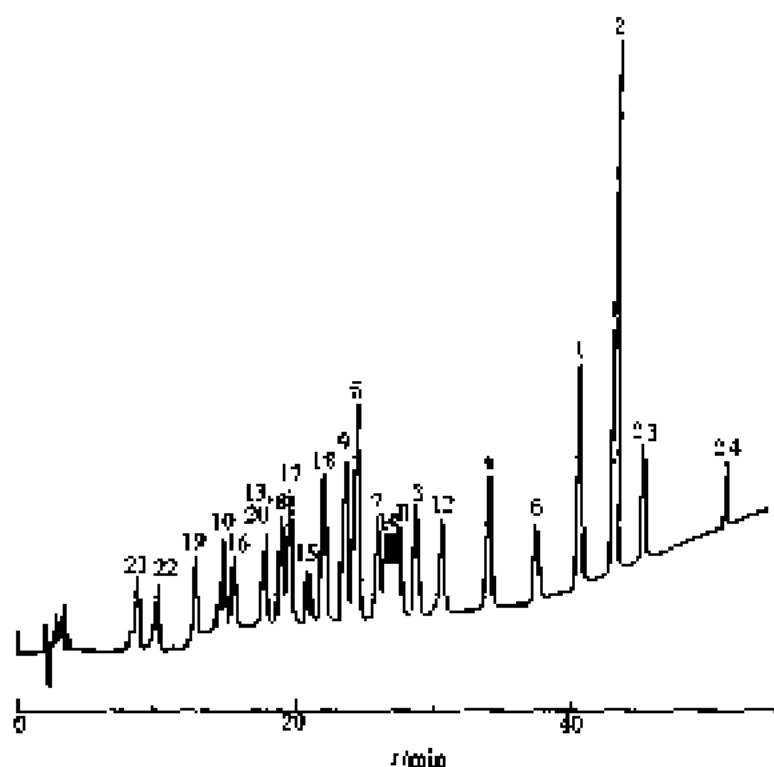
流动相: 15 g·L⁻¹ NH₄H₂PO₄ (用 H₃PO₄ 调整 pH1.25)

流速: 1.1 ml·min⁻¹

温度: 室温

检测器: UV(260 nm)

图 10-296 柠檬酸分离谱图^[106]



色谱柱: Cosmosil 5C18, 25 mm \times 0.46 cm (内径)

流动相: A 甲醇+乙酸 (体积比 = 100:0.5)

B 甲醇+水+乙酸 (体积比 = 80:20:0.5)

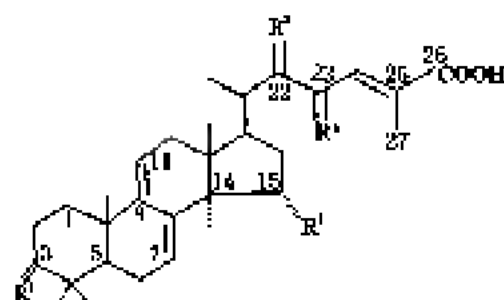
流速: 1.0 ml \cdot min $^{-1}$

梯度洗脱程序: 开始时 80% 甲醇, 15 min 线性增加至 84%, 在下一个 15 min 内增加至 88%, 接着 10 min 内增至 93%, 下 10 min 内增至 94%, 最后用 20 min 增至 100%

检测器: UV (245 nm)

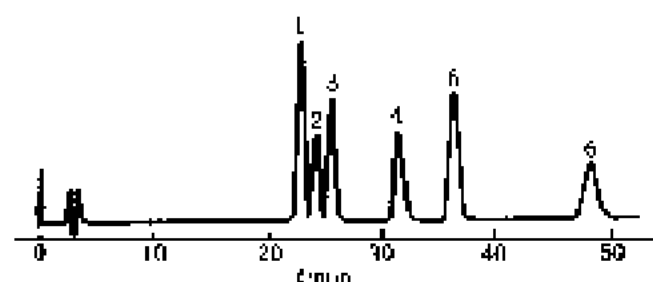
图 10-297 标准三萜化合物的分离谱图[20]

结构式



峰	R ¹	R ²	R ³	R ⁴
1	$\begin{smallmatrix} \diagup \text{OAC} \\ \diagdown \text{H} \end{smallmatrix}$	OAC	H ₁	H ₂
2	$\begin{smallmatrix} \diagup \text{H} \\ \diagdown \text{OAC} \end{smallmatrix}$	OAC	H ₂	H ₁
3	$\begin{smallmatrix} \diagup \text{OH} \\ \diagdown \text{H} \end{smallmatrix}$	OAC	H ₁	H ₂
4	$\begin{smallmatrix} \diagup \text{OAC} \\ \diagdown \text{H} \end{smallmatrix}$	OH	H ₃	H ₂
5	$\begin{smallmatrix} \diagup \text{H} \\ \diagdown \text{OH} \end{smallmatrix}$	OAC	H ₂	H ₁
6	$\begin{smallmatrix} \diagup \text{H} \\ \diagdown \text{OAC} \end{smallmatrix}$	OH	H ₁	H ₂
7	$\begin{smallmatrix} \diagup \text{OH} \\ \diagdown \text{H} \end{smallmatrix}$	OH	H ₂	H ₁
8	$\begin{smallmatrix} \diagup \text{H} \\ \diagdown \text{OH} \end{smallmatrix}$	OH	H ₂	H ₁
9	$\begin{smallmatrix} \diagup \text{OAC} \\ \diagdown \text{H} \end{smallmatrix}$	OH	H ¹ OAC	H ₂

峰	R ¹	R ²	R ³	R ⁴
10	$\begin{smallmatrix} \diagup \text{H} \\ \diagdown \text{OH} \end{smallmatrix}$	OAC	$\begin{smallmatrix} \diagup \text{H} \\ \diagdown \text{OAC} \end{smallmatrix}$	H ₁
11	$\begin{smallmatrix} \diagup \text{OAC} \\ \diagdown \text{H} \end{smallmatrix}$	OAC	$\begin{smallmatrix} \diagup \text{H} \\ \diagdown \text{OAC} \end{smallmatrix}$	H ₂
12	$\begin{smallmatrix} \diagup \text{H} \\ \diagdown \text{OAC} \end{smallmatrix}$	OAC	$\begin{smallmatrix} \diagup \text{H} \\ \diagdown \text{OAC} \end{smallmatrix}$	H ₂
13	$\begin{smallmatrix} \diagup \text{OH} \\ \diagdown \text{H} \end{smallmatrix}$	OAC	H ₂	O
14	$\begin{smallmatrix} \diagup \text{OAC} \\ \diagdown \text{H} \end{smallmatrix}$	OAC	H ₁	O
15	$\begin{smallmatrix} \diagup \text{OAC} \\ \diagdown \text{H} \end{smallmatrix}$	OH	H ₁	O
16	$\begin{smallmatrix} \diagup \text{OAC} \\ \diagdown \text{H} \end{smallmatrix}$	OH	$\begin{smallmatrix} \diagup \text{OH} \\ \diagdown \text{H} \end{smallmatrix}$	H ₁
17	$\begin{smallmatrix} \diagup \text{OAC} \\ \diagdown \text{H} \end{smallmatrix}$	OAC	$\begin{smallmatrix} \diagup \text{OH} \\ \diagdown \text{H} \end{smallmatrix}$	H ₂
18	$\begin{smallmatrix} \diagup \text{H} \\ \diagdown \text{OAC} \end{smallmatrix}$	OAC	$\begin{smallmatrix} \diagup \text{OH} \\ \diagdown \text{H} \end{smallmatrix}$	H ₂
19	$\begin{smallmatrix} \diagup \text{H} \\ \diagdown \text{OH} \end{smallmatrix}$	OH	$\begin{smallmatrix} \diagup \text{H} \\ \diagdown \text{OAC} \end{smallmatrix}$	H ₂
20	$\begin{smallmatrix} \diagup \text{OH} \\ \diagdown \text{H} \end{smallmatrix}$	OH	$\begin{smallmatrix} \diagup \text{H} \\ \diagdown \text{OAC} \end{smallmatrix}$	H ₂
21	$\begin{smallmatrix} \diagup \text{H} \\ \diagdown \text{OH} \end{smallmatrix}$	OH	$\begin{smallmatrix} \diagup \text{H} \\ \diagdown \text{OH} \end{smallmatrix}$	H ₂
22	$\begin{smallmatrix} \diagup \text{OH} \\ \diagdown \text{H} \end{smallmatrix}$	OH	$\begin{smallmatrix} \diagup \text{OH} \\ \diagdown \text{H} \end{smallmatrix}$	H ₁
23	$\begin{smallmatrix} \diagup \text{OH} \\ \diagdown \text{H} \end{smallmatrix}$	H	H ₂	H ₁
24	$\begin{smallmatrix} \diagup \text{OAC} \\ \diagdown \text{H} \end{smallmatrix}$	H	H ₁	H ₂

图 10-288 尿酸及其代谢物(酚类)谱图^[140]

色谱峰: 1-尿酸, 2-羟基尿酸, 3-次磺基尿酸, 4-亚基尿酸, 5-西维因, 6-羟基西维因

色谱柱: Ultrabase C₁₈

流动相: 水+乙醇 (75+25)

检测器: UV-VIS (400 nm)

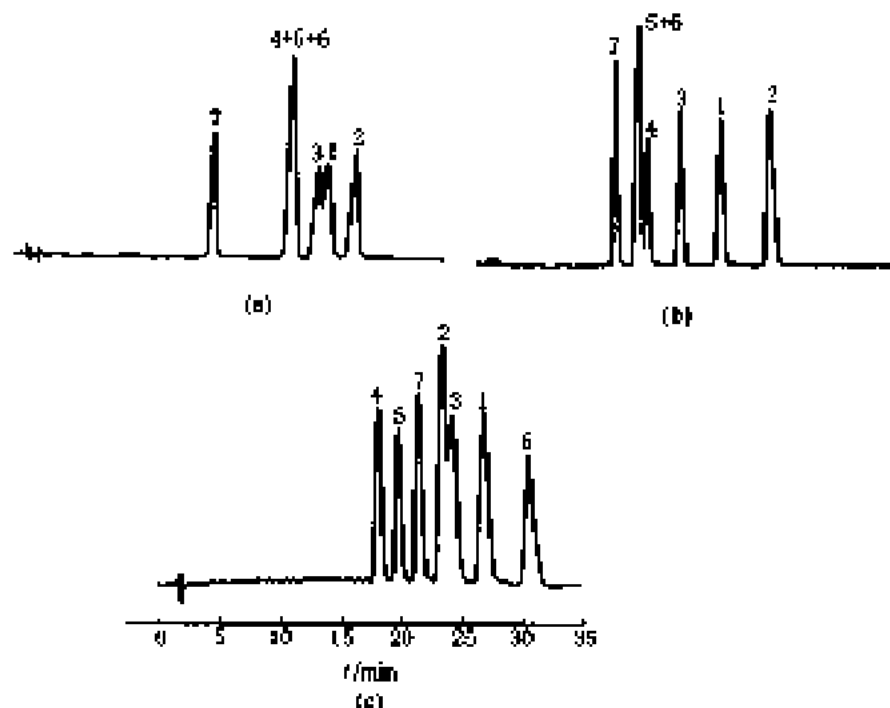
图 10-289 氨基酸等胺类物质分离谱图^[141]

色谱峰: 1-苄基胺 (3.940 min), 2-天仙子胺 (6.037 min), 3- (巴米基胺 8.750 min) (内标物) 苄

色谱柱: 填充 Spherisorb ODS-2 载体, 250 mm × 4.6 mm (内径), 10 μm

流动相: 乙醇+水 (0.05 mol·L⁻¹ 乙酸 (体积比=20:8+27:9+51:2)

检测器: UV (210 nm)

图 10-300 酚和甲基酚在不同色谱柱上分离谱图^[142]

色谱峰: 1-1-甲基酚, 2-2-甲基酚, 3-3-甲基酚, 4-4-甲基酚, 5-5-甲基酚, 6-6-甲基酚, 7-萘

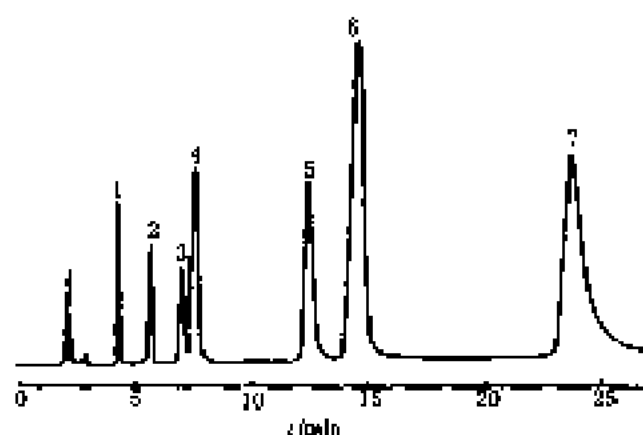
色谱柱: (a) 单柱 C₁₈; (b) 联合 C₁₈; (c) TCFP 电荷转移性

流动相: (a) 乙醇+水 (体积比=70:30);

(b) 乙醇+水 (体积比=70:30);

(c) 二氯甲烷+己烷 (体积比=25:75)

检测器: UV (254 nm)

图 10-301 氧化染发染料分离谱图 (—)(UV)

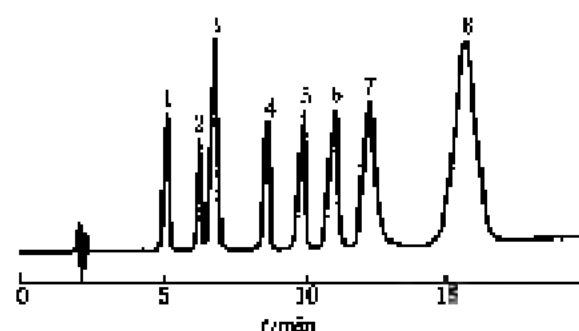
色谱峰: 1—1, 4-苯二胺; 2—4-氨基苯酚; 3—*N*, *N*-二甲基-1, 4-苯二胺; 4—2-羟基-1, 4-苯二胺; 5—4-氨基邻二甲苯酚; 6—2-双氨基-1, 4-苯二胺; 7—2-氨基-4, 6-二羟基苯酚

色谱柱: Phenomenex Bondclone C_{18} , 10 μm , 300 \times 3.9 mm (内径)

流动相: 乙醇+水 [含有 1, 8-二羟基辛酸和 20 mmol $\cdot \text{L}^{-1}$ 庚磺酸钠 (pH 4.5)] (体积比=15:85)

流 速: 1.3 ml $\cdot \text{min}^{-1}$

检测器: UV(275 nm)

图 10-302 氧化染发染料分离谱图 (—)(UV)

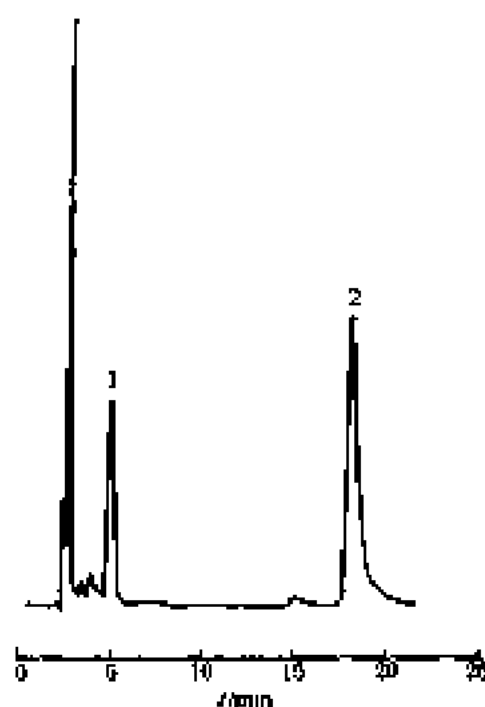
色谱峰: 1—1, 4-苯二胺; 2—4-氨基苯酚; 3—2, 3-苯二胺;
4—4-甲氧苯酚; 5—3-氨基苯酚; 6—*N*, *N*-二甲基-1, 4-苯二胺; 7—1-氨基苯酚; 8—1, 2-苯二酚

色谱柱: 莱克 Phenomenex Bondclone C_{18} , 10 μm , 300 \times 3.9 mm (内径)

流动相: 乙醇+水 [含有 5 mmol $\cdot \text{L}^{-1}$ 8-二羟基辛酸和 20 mmol $\cdot \text{L}^{-1}$ 庚磺酸钠溶液 (pH 4.5)] (5:95)

流 速: 1.3 ml $\cdot \text{min}^{-1}$

检测器: UV(275 nm)

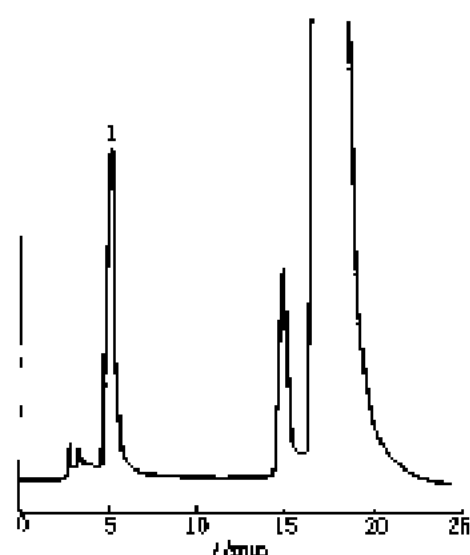
图 10-303 染发剂分离谱图 (—)(MS)

色谱峰: 1— $[\text{Fe}(\text{PZ})_2]^{2-}$; 2—PZ (PZ=3-(2-吡啶基)-5, 6-二羟基-1, 2, 4-三(4-吡啶-*p*, *p'*-二羟基基)苯磺酰胺)

色谱柱: Supelco LC-18, 5 μm , 250 mm \times 4.6 mm

流动相: 400 ml (0.0500 g SiO_2 , 0.5000 g NaCl , 0.0100 g TBA+ 100 ml methanol), 1 ml $\cdot \text{min}^{-1}$

检测器: UV-Vis(254 nm)

图 10-301 烟草剂分离谱图 (二)^[10]

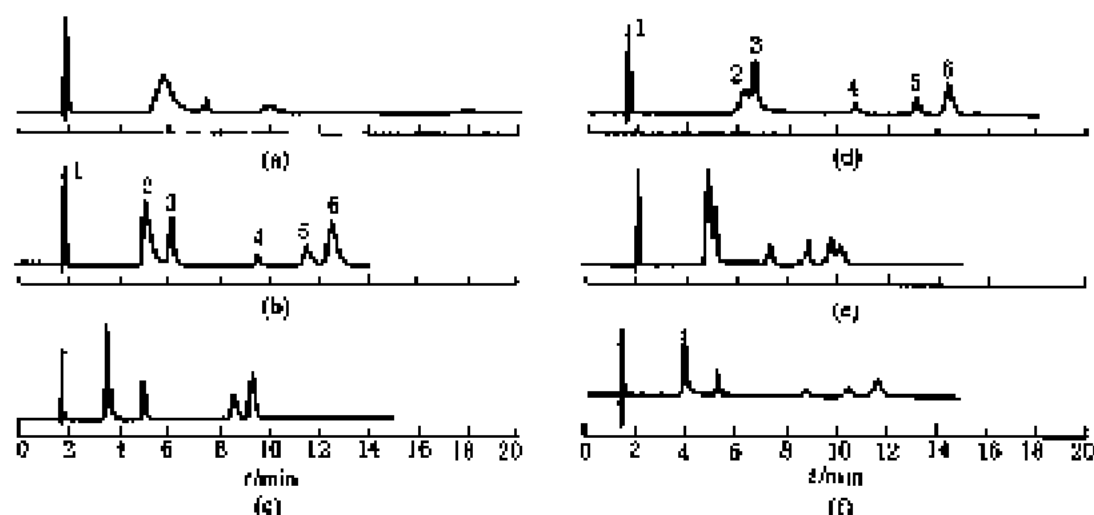
色谱峰: $[\text{Fe}(\text{P}_2\text{O}_7)_3]^{2-}$

色谱柱: Supelco LC-18, $5\ \mu\text{m}$, $250\ \text{mm} \times 4.6\ \text{mm}$

角柱填料: C18 Sep-Pak

流动相: $400\ \text{ml}$ (0.0500 g SDS, 0.5000 g NaCl, 0.0100 g TBA, $100\ \text{ml}$ methanol), $1\ \text{ml} \cdot \text{min}^{-1}$

检测器: UV Vis(254 nm)

图 10-305 胺基化合物在不同色谱柱上分离比较谱图^[14]

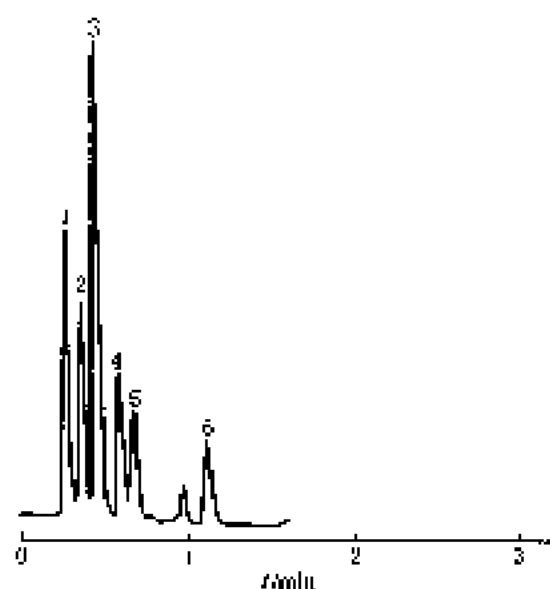
色谱峰: 1—甲氨基, 2—吡啶, 3—苯胺, 4—苯酚, 5—邻甲苯胺, 6—间和对甲苯胺

色谱柱: $150\ \text{mm} \times 0.46\ \text{mm}$ (内径): (a) HYPERASIL BDS- C_8 ($5\ \mu\text{m}$), (b) INERTSIL- C_8 ($5\ \mu\text{m}$), (c) SUPELCO LIL ABZ, $5\ \mu\text{m}$, (d) SYMMETRY- C_8 , $5\ \mu\text{m}$, (e) YMC-BASIC ZORBAX, $5\ \mu\text{m}$, (f) XTDR- C_8 , $5\ \mu\text{m}$

流动相: 甲醇—水 (体积比=30:70)

流 速: $1.0\ \text{ml} \cdot \text{min}^{-1}$

检测器: UV

图 10-306 脂肪酸分离谱图 (一)^[22]

色谱峰: 1—甲酸; 2—乙酸; 3—庚二酸; 4—丙酸; 5—己二酸; 6—丁酸

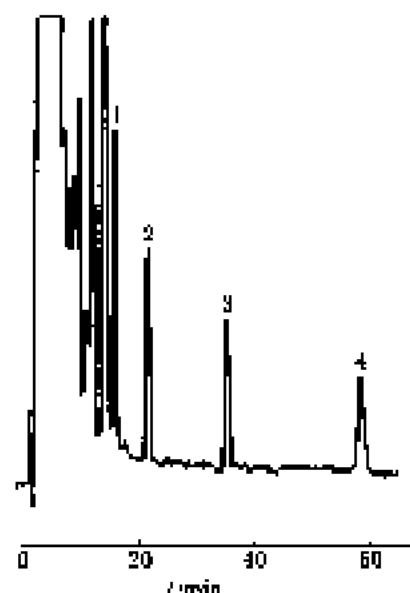
色谱柱: 黄金系列 Zorbax(Du Pont) 键合辛烷基硅, 8.0 cm × 6.3 mm (内径), 5 μm

流动相: 甲醇—0.025 mol/L NaH₂PO₄ (用 H₃PO₄ 调整 pH2.0) (体积比=20:80)

流速: 6 ml·min⁻¹

色谱柱温: 50℃

检测器: UV210 nm

图 10-307 脂肪酸分离谱图 (二)^[22]

色谱峰: 1—C₁₇; 2—C₁₄; 3—C₁₄; 4—C₁₈

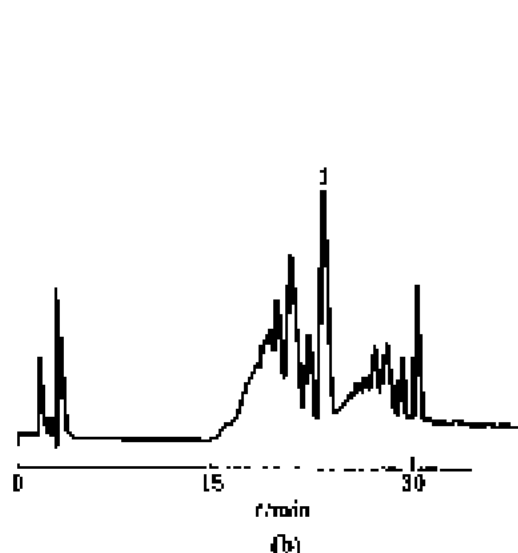
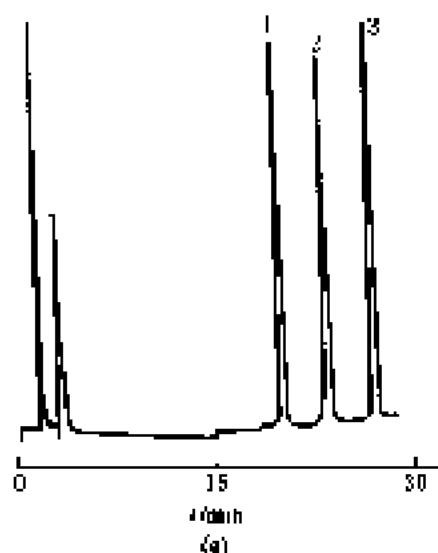
色谱柱: 170 mmol/L C₁₈ 柱, 25 cm × 3.2 mm (内径), 填充 Zorbax C18 晶体

流动相: 960 ml 乙醇/40 ml 水

流速: 1.2 ml·min⁻¹

温度: 40℃

检测器: 电化学检测器

图 10-308 脂肪醇及其聚氧乙烯醚分离谱图^[22]

色谱峰: 1—十二烷醇; 2—十一烷醇; 3—十四烷醇; 4—C₁₂-TEO

色谱柱: Lachrosorb RE18 250 mm × 4.6 mm (内径) 5 μm

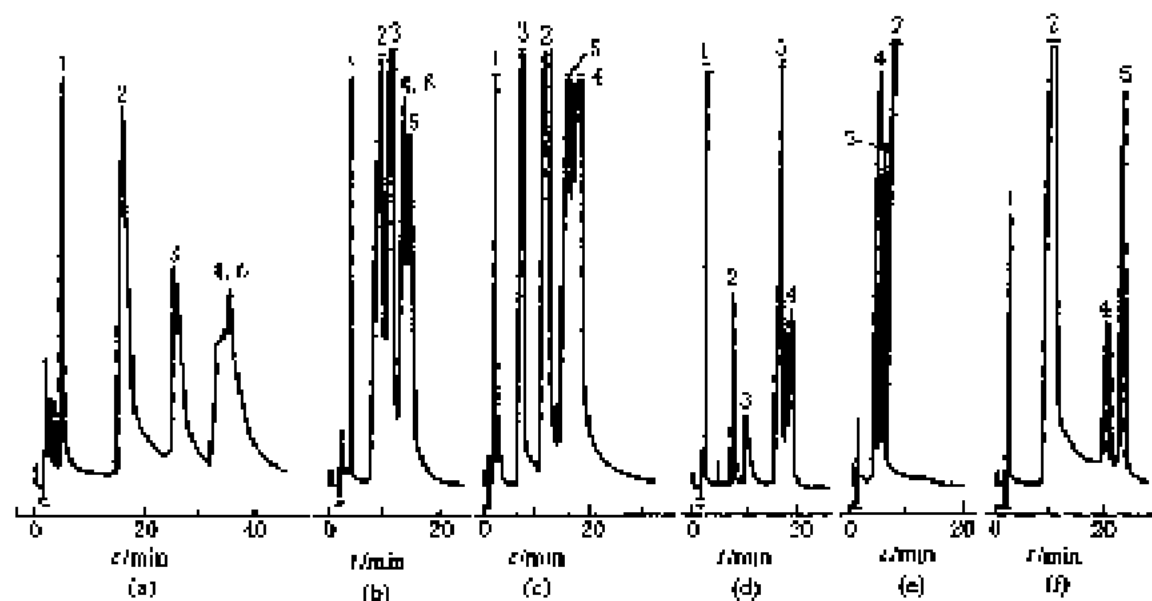
柱温: 室温

流动相: A 甲醇+水 (体积比=80:20); B 甲醇

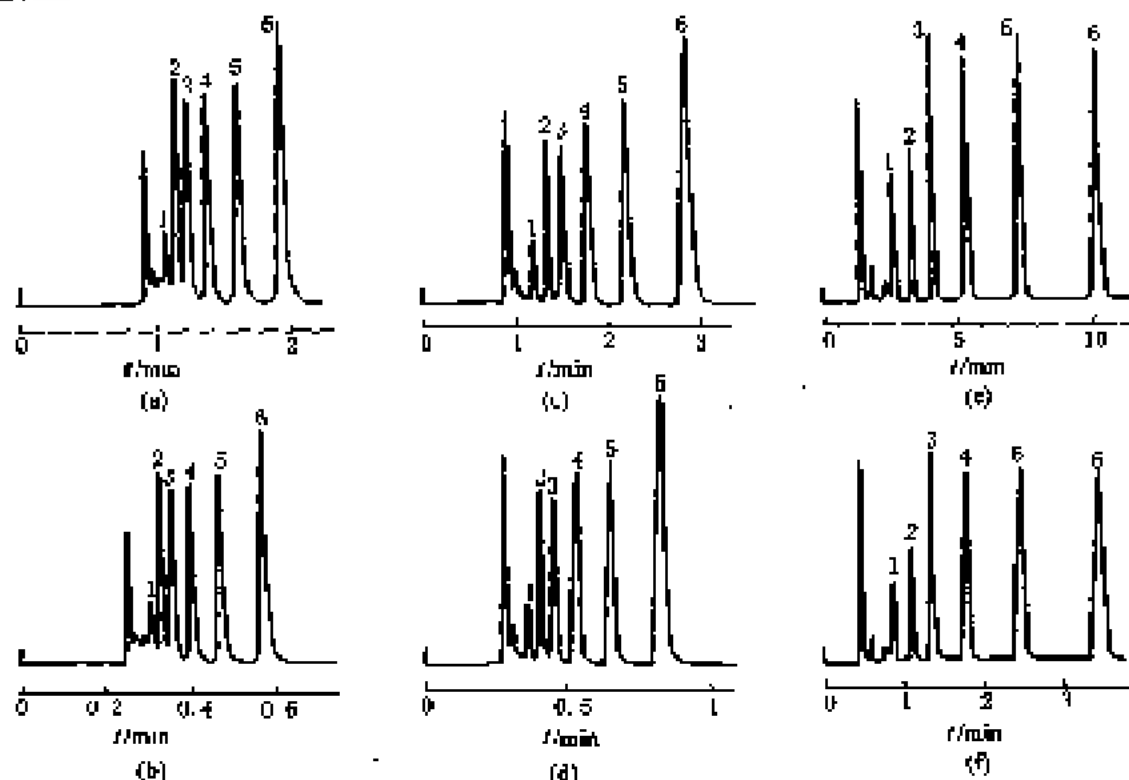
梯度冲洗: 20%B $\xrightarrow{15 \text{ min}}$ 80%B

流速: 1 ml·min⁻¹

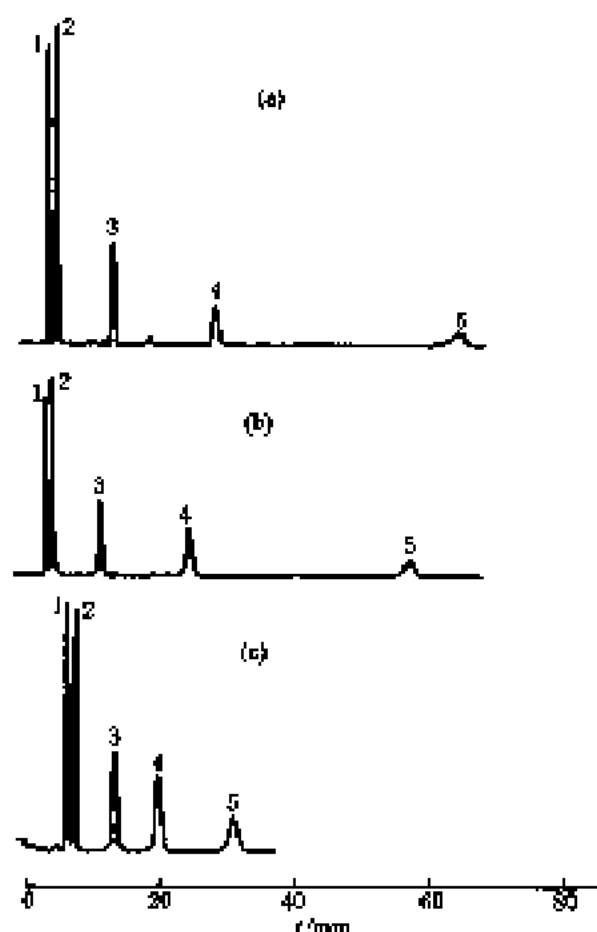
检测器: UV (276 nm)

图 10-309 偶氮染料分离谱图^[20]

色峰峰: 1—V; 2—R; 3—Co; 4—Fe; 5—Ni; 6—Al
 色谱柱: Lichrosorb 505 mm × 4 mm, 7 μm
 筛柱: Lichrosorb RP18, 10 mm × 4 mm
 流动相: 乙醇+水 (含 TBA 10^{-2} mol · kg⁻¹, α (乙醇) → 50%)
 流速: 1.0 ml · min⁻¹
 检测器: UV—Vis (550 nm)

图 10-310 烷基苯 ($C_6H_5C_nH_{2n+1}$, $n=0\sim5$) 分离谱图^[20]

色谱柱: 1—苯; 2—甲苯; 3—乙苯; 4—丙苯; 5—丁苯; 6—戊苯
 色谱柱: (a), (b) 5R-(1)-F C_{12} ; (c), (d) 8.1 mm, 5R-(1)-S C_{12} ; (e), (f) 15 mm, Capodellpik C_{12} UG
 流动相: 甲醇+水 (80—20)
 流速: (a), (b) 0.5 mm · s⁻¹; (c), (d) 0.5 mm · s⁻¹; (e), (f) 0.5 mm · s⁻¹; (g), (h) 0.7 mm · s⁻¹
 检测器: UV (215 nm)



色谱峰：1—苯；2—甲苯；3—丁基苯；4—己基苯；5—辛基

色谱柱：(a) ODS, 150 mm×4.6 mm (内径)；(b) ODP A-shipek, 150 mm×4.6 mm (内径)；(c) PA-BGDM, 150 mm×4.6 mm (内径)

流动相：乙醇+水 (体积比=80:40)

流速：(a) 1.0 ml·min⁻¹；(b) 1.0 ml·min⁻¹；(c) 0.5 ml·min⁻¹

检测器：紫外，二极管矩阵

图 10-311 烷基苯分离谱图^{〔22〕}



色谱峰：1—葡萄糖基-BR；2—葡萄糖；3—葡萄糖基-LR；4—葡萄糖基-YR；5—葡萄糖基-LA

色谱柱：ISRP GEF-35-SO, 250 mm×4.6 mm (ISRP 预处理柱)

流动相：A 90% 0.1 mol·L⁻¹ KH₂PO₄ (用 HCl 调至 pH2) + 乙醇 (体积比=90:10)

B 0.2 mol·L⁻¹ KH₂PO₄ (用 HCl 调至 pH2) + 乙醇 (体积比=50:50)

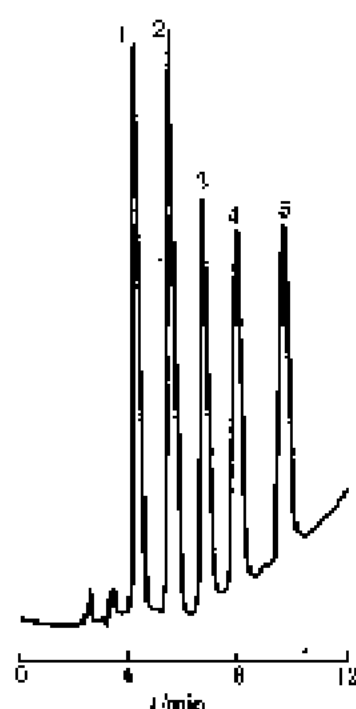
100%A $\xrightarrow{12 \text{ min}}$ 78%A

流速：1 ml·min⁻¹

柱温：24℃

检测器：UV (235 nm)

图 10-312 氧化苷肽毒素分离谱图 (pH2.0)^{〔22〕}



色谱峰: 1—聚茴蒿素-LA; 2—结节素; 3—微茴蒿素-LR;
4—微茴蒿素-YR; 5—微茴蒿素-RR

色谱柱: ISRP C₁₈-S₁-80, 250 mm × 4.6 mm (ISRP 横柱型柱)

流动相: A 0.1 mol · L⁻¹ KH₂PO₄ (以 10 mol · L⁻¹ KOH 调 pH=7.00) 乙腈

B 50% v/v 0.1 mol · L⁻¹ KH₂PO₄ (以 KOH 调 pH=7.0) + 50% 乙腈

100%A $\xrightarrow{18 \text{ min}}$ 78%A

流速: 1 ml · min⁻¹

柱温: 24℃

检测器: UV (338 nm)

图 10-313 氯化苣荬草分离谱图 (pH7.0)^[24]

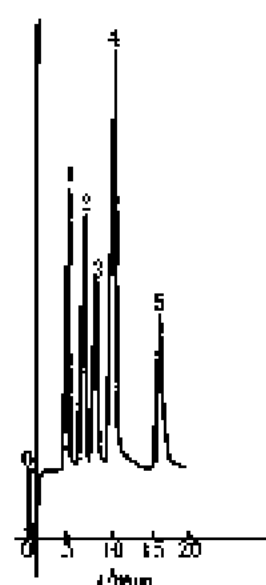


图 10-314 氟氯草及其代谢物分离谱图 (一)^[25]

色谱峰: 1—地美西泮; 2—去甲氟氯草; 3—去甲羟基安定;
4—氟氯草; 5—去甲地美西泮

色谱柱: Nucleosil C₁₈, 100 mm × 4.6 mm, 5 μm

流动相: 乙腈

流速: 1 ml · min⁻¹

检测器: 二极管矩阵紫外 (265 nm)

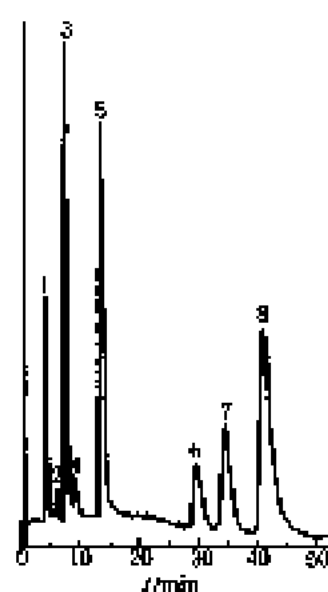


图 10-315 氟氯草及其代谢物分离谱图 (二)^[25]

色谱峰: 1—地美西泮; 2—去甲氟氯草; 3—奥沙西泮; 4—
氟氯草; 5—去甲地美西泮; 6—oxazepam of
desmethyfludaz; 7—oxazepam of desmethyfludaz; 8—
oxazepam of fludaz

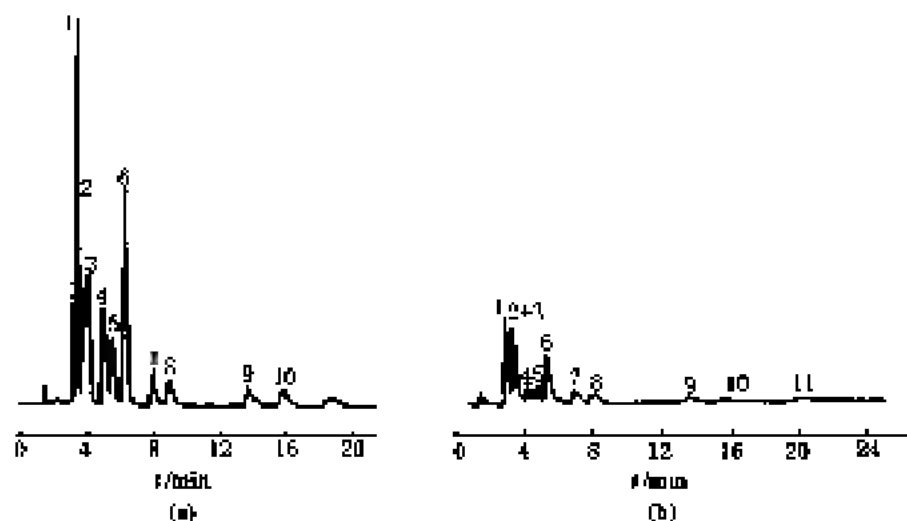
色谱柱: Nucleosil C₁₈, 100 mm × 4.6 mm, 5 μm

柱温: 26℃

流动相: 乙腈

流速: 1 ml · min⁻¹

检测器: 二极管矩阵紫外 (265 nm)

图 10-316 8-氨基磷酸酯类分离谱图^[27]

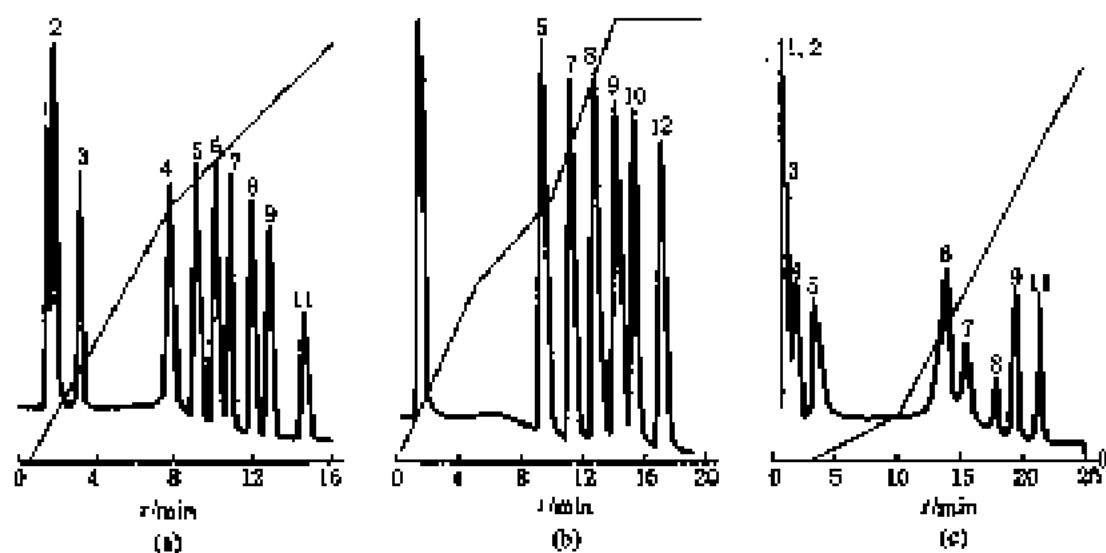
色谱峰: 1—甲胺; 2—二甲胺; 3—乙胺; 4—丙胺; 5—二乙胺; 6—丁胺; 7—戊胺; 8—正丙胺; 9—庚胺; 10—二丁胺; 11—辛胺

色谱柱: RP-C₁₈; 250 mm×1.6 mm (内径)

流动相: (a) MeCN+乙酸铵缓冲液+TEA (体积比=50:50:0.01);

(b) MeOH+乙酸铵缓冲液+TEA (体积比=50:40:0.01)

检测器: UV (251 nm)

图 10-317 链烷基和烷基磷酸盐的分离谱图 (—)^[28]

色谱峰: 1—C₂; 2—C₃; 3—C₄; 4—C₅; 5—C₆; 6—C₇; 7—C₈; 8—C₉; 9—C₁₀; 10—C₁₁; 11—C₁₂; 12—C₁₃

色谱柱: SPK-1 柱, 150 mm×4.1 mm (内径), 10 μm

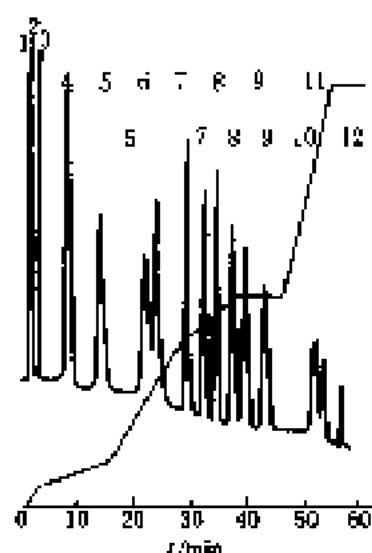
分析物: 烷基磷酸盐

流动相: (a), (b) A 水含 10 mmol·L⁻¹ LiOH 溶液 B 乙醇+水 (体积比=4:1) 含 1 mmol·L⁻¹ LiOH;

(c) A 水, 溶剂 B 乙醇

泵: M-110-A

检测器: 电导



色谱峰: 1— C_{12} , 2— C_{11} , 3— C_{10} , 4— C_9 , 5— C_8 , 6— C_7 , 7— C_6 , 8— C_{10+8} , 9— C_{12+8} , 10— C_{14+8} , 11— C_{16+8} , 12— C_{18}
 色谱柱: PRP-1 柱, 150 mm×4.1 mm (内径), 10 μ m
 流动相: A: H_2O 含 $10 \text{ mmol} \cdot L^{-1} LiOH$; B: 乙醇+水 (4+1) 含 $1 \text{ mmol} \cdot L^{-1} LiOH$
 泵: M-110 A
 检测器: 电导

图 10-318 羟烷基和烷基磷酸盐的分离谱图 (二)^[9]



图 10-319 硫代氨基甲酸盐的分离谱图^[9]

色谱峰: 1—万灵, 2—棉灵威, 3—草夏灵, 4—替车灵, 5—灵草灵, 6—苏达灵, 7—野麦根
 色谱柱: 匀浆填充 Rosil- C_{18} 载体 10 cm×250 mm (内径)
 流动相: 水+甲醇 (10+90)
 检测器: 火焰电离检测

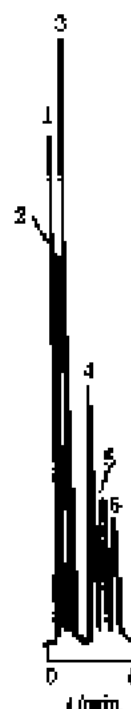
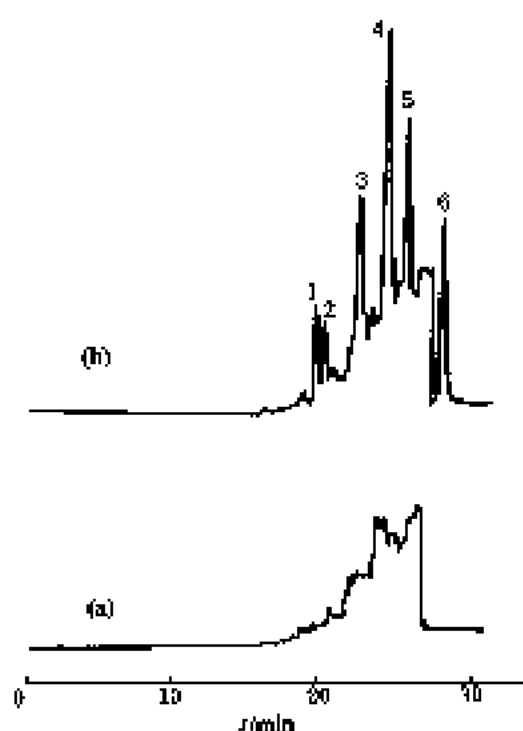


图 10-320 氨基酸的分离谱图^[10]

色谱峰: 1— α -酮戊二酸, 2— α -酮丁酸, 3— α -酮异戊酸, 4— α -酮- β -甲基-正戊酸, 5— α -酮异己酸, 6— α -酮正己酸
 色谱柱: PRP-X300 (Hamilton) 氨基酸阴离子交换-二乙基胺
 15.0 cm×4.1 mm (内径), 2 μ m
 流动相: 乙醇+0.005 mol· $L^{-1} H_3PO_4$ (1+9)
 流速: 1.5 ml·min⁻¹
 泵: 泵
 检测器: UV (260 nm)

图 10-321 煤洗提取物分离谱图^[109]

(a) 未掺入样品; (b) 掺入样品

色谱峰: 1—苯并 [a] 蒽, 2—蒽, 3—苯并 [b] 蒽, 4—菲并 [a] 蒽, 5—二苯并 [a, b] 蒽, 6—苊并 [1,2,3-cd] 蒽

色谱柱: 填充 VVDAc 201TP, 250 mm×4.6 mm (内径), 10 μ m

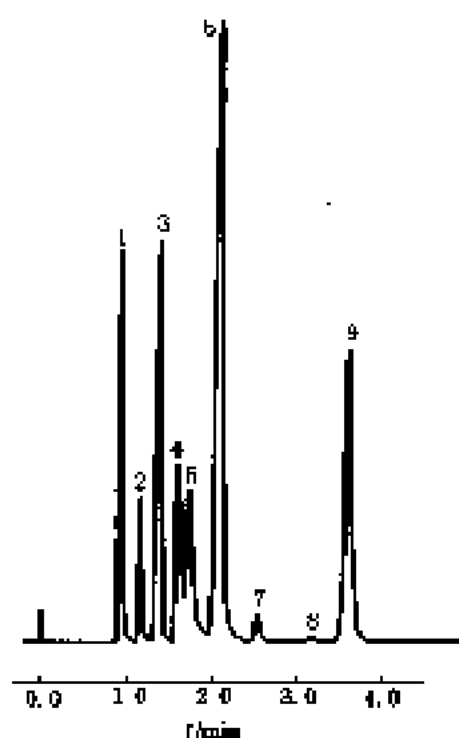
流动相: 乙醇+水

梯度冲洗:

时间/min	φ (乙醇)/%	时间/min	φ (乙醇)/%
0	50	20	100
5	50	35	100

荧光检测:

时间/min	λ_{ex}/nm	λ_{em}/nm
0	290	340
14	290	420
30	290	500



色谱峰: 1— $W(CO)_2$; 2— $(p-C_6H_5)_2SnW(CO)_2(p-C_6H_5)_2$; 3— $(CH_3)_2SnW(CO)_2(p-C_6H_5)_2$; 4— $(i-C_4H_9)_2SnClW(CO)_2(p-C_6H_5)_2$; 5— $W_2(CO)_4(p-C_6H_5)_2$; 6— $(CH_3)_2SnClW(CO)_2(p-C_6H_5)_2$; 7— $(CH_3)_2Sn(WCO)_2(p-C_6H_5)_2$; 8—未知物; 9— $ClW(CO)_2(p-C_6H_5)_2$

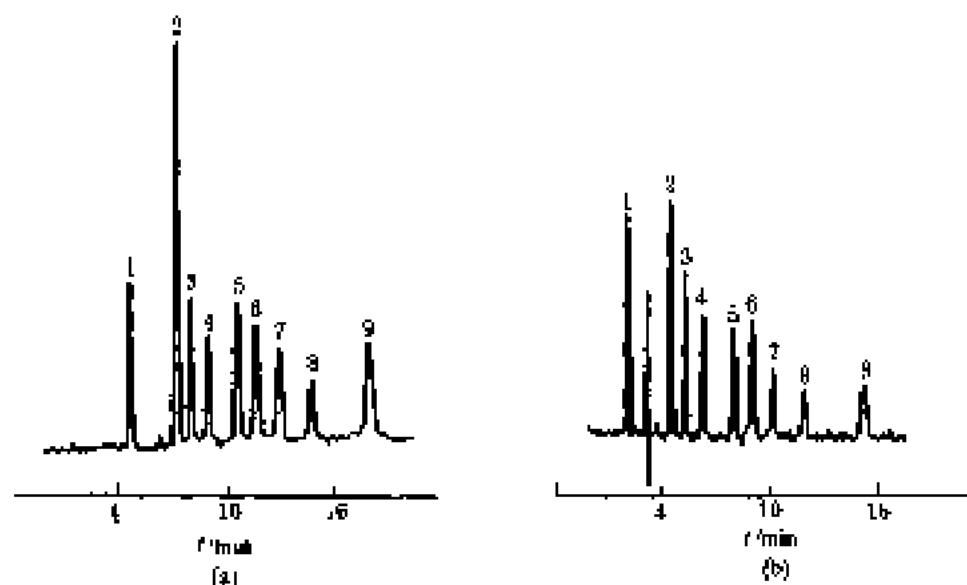
色谱柱: Rasil CN (Bio-Rad ECL N. V.), 0.46 cm×15 cm, 3 μ m

流动相: 四氢呋喃+己烷 (10+90)

流速: 2 ml·min⁻¹

检测器: UV (220 nm)

图 10-322 锡有机化合物分离谱图^[109]

图 10-323 糖类化合物分离谱图^[245]

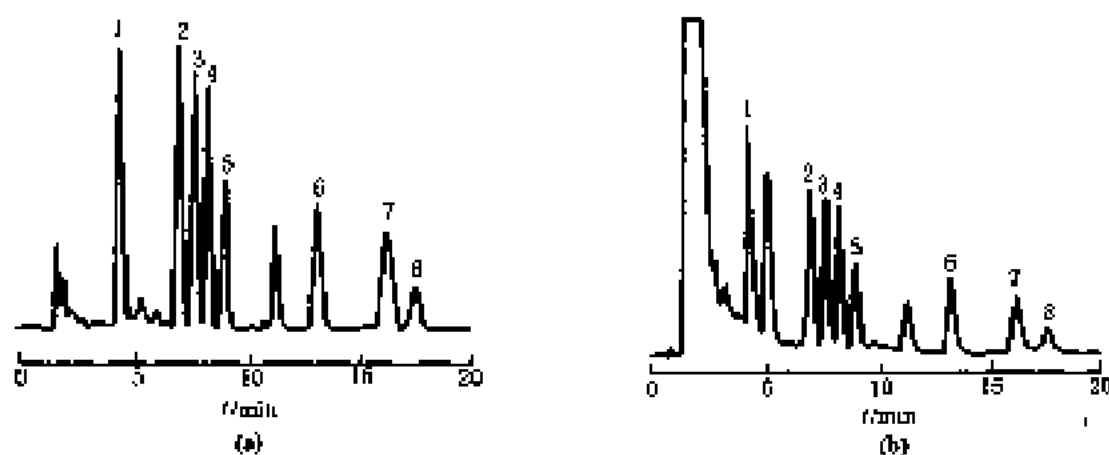
色谱峰: 1—9,10-蔗糖-2-磺酸; 2—1,4-蔗糖; 3—2-甲基-1,4-蔗糖; 4—2,7-二甲基-1,4-蔗糖; 5—9,10-蔗糖; 6—1,5-二氧-9,10-蔗糖; 7—2-甲基-9,10-蔗糖; 8—2-乙基-8,10-蔗糖; 9—2-叔丁基-9,10-蔗糖

色谱柱: 填充 ODS 载体, 250 mm×4.6 mm

流动相: 甲醇+水 (89:11)

流速: 0.8 ml·min⁻¹

检测器: (a) PCL; (b) UV (251 nm)

图 10-324 磺酰胺类化合物分离谱图^[246]

(a) 磺酰胺类分离谱图; (b) 强化牛奶提取物中磺酰胺分离谱图

色谱峰: 1—磺胺二甲氧嘧啶; 2—磺胺嘧啶; 3—磺胺甲基嘧啶; 4—磺胺二甲嘧啶; 5—磺胺甲氧嘧啶; 6—磺胺半异型; 7—磺胺二甲氧嘧啶; 8—磺胺嘧啶

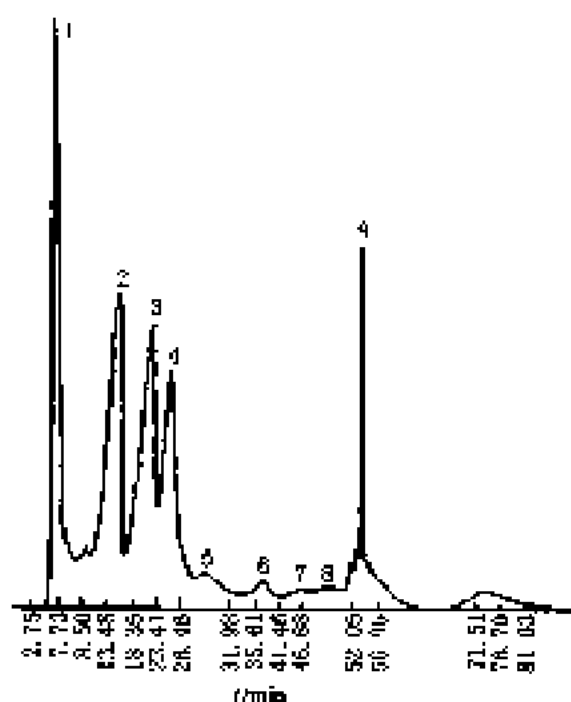
色谱柱: Inertsil ODS-2 (C₁₈) (GL Sciences), 150 cm×4.6 mm (内径)

流动相: 乙腈+2%乙酸; (体积比=3:5)

流速: 1.0 ml·min⁻¹

柱温: 55℃

检测器: 激光诱导荧光 ($\lambda_{ex}=405\text{nm}$, $\lambda_{em}=485\text{nm}$)



色谱峰: 1—未知 (22%), 2—邻氨基苯胺 (内标物), 3—香草醛 (34%), 4—对羟基苯甲醛 (29%), 5—阿魏醛 (0.5%), 6—对羟基苯甲酸 (0.5%), 7—香草酸 (0.5%), 8—阿魏酸 (0.5%), 9—未知物 (0.5%)
 色谱柱: 填充 Watarman Partisphere-8 WCK (三根柱依次联接), 11 μm \times 4.6 mm (内径)
 流动相: 己烷+乙醇+水 (体积比=300:30:0.75)
 流速: 0.4 $\text{ml} \cdot \text{min}^{-1}$
 检测器: UV (280 nm)

图 10-325 醛、酚类化合物分离谱图^[164]

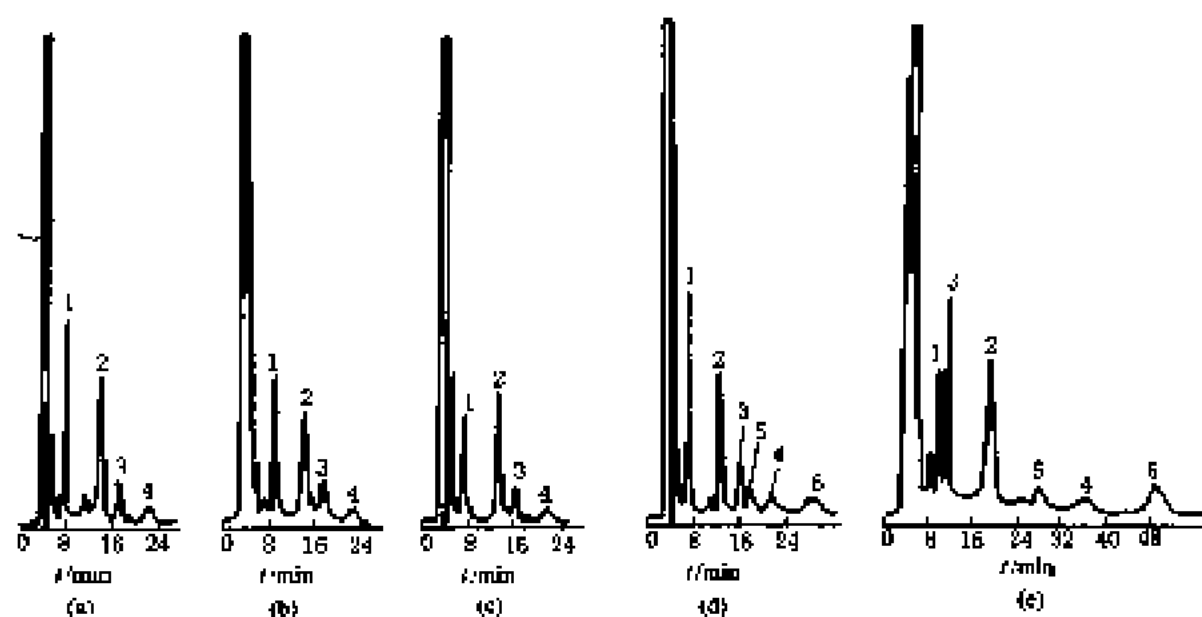


图 10-326 磷脂类化合物分离谱图^[165]

(a)~(d)食品大豆卵磷脂谱图, (e)为 (d) 样品的磷脂成分分离谱图

色谱峰: 1—PE-磷脂酰乙醇胺, 2—PC磷脂酰胆碱, 3—磷脂酰肌醇, 4—磷脂酰丝氨酸, 5—LPE, 6—LPC

色谱柱: β -CDS

流动相: 己烷+ISP+乙醇+水=5 mmol/L TMAP (pH6.3) (体积比=25:33.7:26.8:5.5)

(e) 己烷+ISP+乙醇+水=5 mmol/L TMAP (pH6.3) (体积比=25:34.5:33.5:5.0)

检测器: UV (208 nm)

参 考 文 献

- 1 Herbretou B., Lafosse M., Morin-Alfery L. *Chromatogr.*, 1992;35:925
- 2 Nudelkhusen I. L., Hühling J., Polzon N. A. et al. *J Chromatogr. A.*, 1998;804:69
- 3 El Fakir C., Lafosse M. *J Chromatogr. A.*, 1997;782:395
- 4 *J Chromatogr. Sci.*, 1987;25:591
- 5 *J Chromatogr. Sci.*, 1987;25:596
- 6 *J Chromatogr. Sci.*, 1998;30:512
- 7 Shen X., Perreault H. *J Chromatogr. A.*, 1998;811:67
- 8 Casella I. G., Górriz M., Domercq E. *J Chromatogr. A.*, 1992;614:63
- 9 Buchberger W. *Chromatographia*, 1990;30:577
- 10 Peter A., Turek G., Csomos P. *J Chromatogr. A.*, 1987, 761:103-113
- 11 Suzuki S., Hayase S., Nakano M. et al. *J Chromatogr. Sci.*, 1998;36:375
- 12 Kutsawa H., Ohara Y., Yamaguchi M. *J Chromatogr.*, 1993;535:187
- 13 *J Chromatogr. Sci.*, 1987;25:318
- 14 *J Chromatogr. Sci.*, 1987;25:317
- 15 *J Chromatogr. Sci.*, 1987;25:270
- 16 *J Chromatogr. Sci.*, 1988;26:86
- 17 *J Chromatogr. Sci.*, 1988;26:43
- 18 Zhang R., Liu G., Hidaka Y. *J Chromatogr.*, 1993;646:65
- 19 郑春雄, 梁永强, 阮玲. *分析测试学报*, 1998;17:46
- 20 *J Chromatogr. Sci.*, 1987;25:271
- 21 *J Chromatogr. Sci.*, 1991;29:129
- 22 Welch L. E., Lacombe W. R., Mowat Jr. D. A. *Anal. Chem.*, 1989;61:555
- 23 *J Chromatogr. Sci.*, 1991;29:90
- 24 Lawrence E., Welch L. E., Johnson D. C. *J L. Chromatogr.*, 1992;13:1987
- 25 Gooss D. B., Lobo A. M. P., Guenzler A. M. D. et al. *Chromatographia*, 1990;29(3/4)
- 26 Chung G. M., Fran Jr. W. T. *J Liq Chromatogr.*, 1988;11:613
- 27 Bödingerweyer B. A. *J Chromatogr. Sci.*, 1987;25:392
- 28 *J Chromatogr. Sci.*, 1987;25:176
- 29 *J Chromatogr. Sci.*, 1987;25:177
- 30 Chang H. C. K., Taylor L. T. *Anal. Chem.*, 1991;63:496
- 31 Eugene H. J. M. J., Van den Berg R. H., Bosh-Muizena R. B. et al. *J Chromatogr.* - 1991;123
- 32 Heems D., Luck G., Froidoux C. et al. *J Chromatogr. A.*, 1996;798:9
- 33 Pecanar A., Procek M., Petrov-Jemeljanov D. *Chromatographia*, 1990;30:159
- 34 Collin C., Merinat-Anaya M. A., *J Liq Chromatogr.*, 1994;17:3437
- 35 Neves J. C., Moraes Z. B. *J High Resol Chromatogr.*, 1987;20:115
- 36 Hurst W. J. *J Liq Chromatogr.*, 1990;13:1
- 37 Lambert D., Eugene H. J. M., Janssen, Rolaf van Laumen F. X. *J Chromatogr.* 1991;558:135
- 38 Calvo M., Fabregas J., Marco R. M. *Chromatographia*, 1991;31:272
- 39 Gombi D. B., Plánez-Lobo A. M., Alvarez M. D. G. *Chromatographia*, 1990;29:155
- 40 Albert A. J. *J Chromatogr.*, 1990;499:177
- 41 Gunawan S., Walton N. Y., Friedman P. M. *J Chromatogr.*, 1990;503:177
- 42 Imoto Y., Xingjun F., Qingyun Z., Yushen S. *Analytica Chimica Acta* - 1998;387:69
- 43 Morra M., Pabian V., Méndez-Pérez I. *J Chromatogr.* 1992;600:87
- 44 Méndez M. *J Chromatogr. Sci.*, 1991;29:228
- 45 Rayendra W. *J L. Chromatogr.*, 1987;10:941

- 46 Bjorklund J, Einarsson S, Engstrom A, Gosciniak A, Becker H D, Isaksson B. *J Chromatogr A*, 1996;793:1
- 47 Berek T, Szala G, Losicz Z. *J Liq Chromatogr*, 1994;17:4381
- 48 Martens D A, Frankenberger Jr W J. *J Liq Chromatogr*, 1992;15:423
- 49 Merlino J. *Analytica Chimica Acta* 1997;352:277
- 50 Furst P, Pollack L, Graser T A. *J Liq Chromatogr*, 1989;12:873d
- 51 Bauch H J, Stramer E, Kelsch V. *Chromatographia*, 1989;28:78
- 52 Argundelis C B. *J Chromatogr A* 1997;790:83
- 53 Qureshi S A, Huang H. *J Liq Chromatogr*, 1990;13:181
- 54 Lane J R, Webb L W, Asadi R V. *J Chromatogr A*, 1997;787:111
- 55 Inoue H, Ikeda M, Ishi Y, Tsuruta Y. *J Chromatogr A*, 1998;816:137
- 56 Olmosalla B, Gonzalez F, Rojas-Hidalgo E. *J Liq Chromatogr*, 13,1455
- 57 *J Chromatogr Sci*, 1997;29:461
- 58 Goubier C, Girard L, Ferry S. *Chromatographia*, 1991;32:523
- 59 Zhou D, Petryk D J. *Anal Chem*, 1992;64:1008
- 60 Kuczkowski H, Nagata Y, Kurooka E. *J Chromatogr*, 1993;652:79
- 61 Bellage J J, Nelson H C, Thomas J B. *J Chromatogr A*, 1998;793:265
- 62 Abida S L, Mounts T L. *J Chromatogr A*, 1997;782:25
- 63 *J Chromatogr Sci*, 1988;26:595
- 64 *J Chromatogr Sci*, 1988;26:594
- 65 Blanco D, Sanchez L A, Gutierrez M D. *J Liq Chromatogr*, 1994;17:1525
- 66 Hahn A, Stein J, Kamp U. *J Chromatogr*, 1991;540:227
- 67 Wang N, Roels E, Hoogenmans J. *Chromatographia*, 1990;30:105
- 68 Chang Y P, Phillips D J, Neus U. *Chromatographia*, 1997;44
- 69 Saarenen M, Siron H, Rekkola M L. *J Liq Chromatogr*, 1993;16:4065
- 70 Liu Z, Li T, Li J, Wang E. *Analytical Chemical Acta* 1997;338:67
- 71 *J Chromatogr Sci*, 1989;27:334
- 72 Lee H S, Kim K, Kim J H. *Chromatographia*, 1997;44:473
- 73 Alshamsi M A, Wright J, Dickerson J W T, et al. *Chromatogr*, 1998;12:89
- 74 Obmachi R, Marcus Z, Soos J. *Chromatographia*, 1995;32:81
- 75 Yoo-dong Y. *Biomed Chromatogr*, 1998;12:47
- 76 Herr6ez-Hern6ndez R, Camacho-FalcoP, Sevillano-Cabeza A. *J Chromatogr Sci*, 1997;26:169
- 77 *J Chromatogr Sci*, 1990;28:80
- 78 Nolte H. *Analytica Chimica Acta*, 1997;344:233
- 79 Wigganesh T, Kirsch G, Spengler B. *Anal Chem*, 1997;69:3855
- 80 *J Chromatogr Sci*, 1993;29:277
- 81 Fletouls D J, P6rezus J E, Mantas A J. *Chromatographia*, 1991;32:436
- 82 Hennink-Lokkerbol A, et al. *J Chromatogr*, 479:1889,39-51
- 83 Justesen U, Knuthsen P, Leib T. *J Chromatogr A*, 1988;789:101
- 84 *J Chromatogr Sci*, 1991;29:176
- 85 Tomaz-Barbosa F A, Fariaes F, Blazquez M A. *J Chromatogr*, 1993;631:41
- 86 Croder A, Jensen E, Lenn M E L. *J Chromatogr A*, 1997;761:335
- 87 *J Chromatogr Sci*, 1988;26:193
- 88 *J Chromatogr Sci*, 1983;31:42
- 89 Ishii D, Takeuchi T. *J Liq Chromatogr*, 1982;11:1885
- 90 Vissers J P C, Claessens H A, Cromers C A. *J Chromatogr A*, 1997;779:1
- 91 Kim K Y, Doerbeus L M. *J Chromatogr Sci*, 1997;35:287
- 92 Andreoli R, Careri M, Manini P, et al. *Chromatographia*, 1997;44:606

- 93 *J Chromatogr Sci.* 1991;29,129
- 94 T Van Vleet, F van Schaik, J van Schaauhoven, et al. *J Chromatogr.* 1991;555,179
- 95 Vleet T V, Schaik F V, Schaauhoven J V. *J Chromatogr.* 1991;553,179
- 96 Minakube H, Nakamichi K, Soga N. *J Chromatogr A.* 1997;762,135
- 97 Ikegawa S, Itoh M, Gboto J. *J Liq Chromatogr.* 1994;17,223
- 98 *J Chromatogr Sci.* 1990;28,147
- 99 Cizicki J, Barek J, Fogg A G, et al. *Analyst.* 1998;123,21
- 100 Köhne A P-Dornberger U, Welch T. *Chromatographia.* 1989;48,16
- 101 EideÅrset F, Bruckmann U. *Chromatographia.* 1990;20(7/8),432~435
- 102 Felix G, Thieringert A, Danneberg P. *Chromatographia.* 1992;34,177
- 103 *J Chromatogr Sci.* 1987;25,489
- 104 *J Chromatogr Sci.* 1987;25,175
- 105 Garcia A L, Gonzalez E B, Alonso J J G. *Chromatographia.* 1992;34,225
- 106 *J Chromatogr Sci.* 1987;25,176
- 107 *J Chromatogr Sci.* 1987;25,181
- 108 *J Chromatogr Sci.* 1987;25,129
- 109 *J Chromatogr Sci.* 1987;25,482
- 110 Brauwer F R, Liska I, Grootink R B. *Chromatographia.* 1991;32,445
- 111 Yokoyama Y, Sato H. *J Chromatogr.* 1991;555,155
- 112 Bohm H B, Feltes J, Volmer D. *J Chromatogr.* 1989,478:399
- 113 王彦华,史爱,林黎明. 分析测试学报,1998;17:30
- 114 Coqueret V, Kanner M C. *J Chromatogr.* 1992;600,195
- 115 Coco F L, Navelli V, Valentini C, et al. *J Chromatogr Sci.* 1997;35,578
- 116 *J Chromatogr Sci.* 1990;28,649
- 117 Hirayama C, Ihara H, Nagasaki S, et al. *Chromatographia* 1992;23(9,10)472~477
- 118 Castillo M, Puig D, Barcelo D. *J Chromatogr A.* 1997;778,301
- 119 *J Chromatogr Sci.* 1993;31,197
- 120 Lamparczyk H, Zarzycki P, Dethlefs R J. *Chromatographia.* 1991;31,157
- 121 Lamparczyk H, Zarzycki P, Olszewska R J. *Chromatographia.* 1990;30,91
- 122 *J Chromatogr Sci.* 1993;31,65
- 123 Pyell L, Gougeon P. *J Chromatogr A.* 1994,660,223
- 124 *J Chromatogr Sci.* 1990;28,649
- 125 Bruchwiler A, Smith F J. *Chromatographia.* 1990;30,128
- 126 Michael W Dong, Guntzelberg A. *J Liq Chromatogr.* 1988;11(9/10):1887~1905
- 127 Lamprecht G, Huber J F K. *Chromatographia.* 1992;34,376
- 128 Brauwer F R, Liska I, Grootink R B. *Chromatographia.* 1991;32,445
- 129 Laurels A L, Gonzalez E B, Alonso J J G. *Chromatographia.* 1992,32,225
- 130 Tena M T, Linares P. *Chromatogr.* 1992;44,449
- 131 Perganta S A, Cullen W R, Chow D T. *J Chromatogr A.* 1997;764,211
- 132 Nadeck L, Milatky R E, Birks J W. *Chromatographia.* 1991;32,33
- 133 Roebek M, Hurchieson R J. *J Liq Chromatogr.* 1994;17,335
- 134 Hirayama C, Ihara H, Nagasaki S. *Chromatographia.* 1992;34,473
- 135 Barbara G P. *J Chromatogr.* 1992;600,115
- 136 Knize M G, Salmon C P, Hopmann E C, et al. *J Chromatogr A.* 1997;763:179
- 137 Kagali M N, Rubio-Parrado S, Paez-Diez I, M. *J Liq Chromatogr.* 1991;17:3523
- 138 Godejohn M, Potts A, Maggees C. *Anal Chem.* 1997,69,3832
- 139 Suzuki T, Yaguchi K, Kano J. *J Chromatogr.* 1992;644,174

- 140 Marko-Varga G., Borsalo D. *Chromatography*, 1992;34,146
- 141 Jeuregui O., Galceran M.T. *Analytica Chimica Acta*, 1997;340,191
- 142 *J Chromatogr Sci.* 1992;30,155
- 143 Broch S.C., Esteve-Romero J.B., Alvarez-Loque M.C.G. *Analyst*, 1998;123
- 144 Celislaus B., Good H.G., Bass P.A. *J Liq Chromatogr.* 1969;12,2707
- 145 Pooleau J.R., Burke J.W. *Anal Chem.*, 1990;62,1242
- 146 Herbreteau B., Lafosse M., Monn-Alary L. *Chromatography*, 1992;34,385
- 147 Olmedillo B., Granada F., Rojas-Hidalgo E. *J Liq Chromatogr.* 13;1455
- 148 Lomlier E., Tchaplé A., Marty G. *J Chromatogr.* 1993;633;9
- 149 Chironack, Boden J.W.V.D. *J Chromatogr Sci.* 1989;27,414
- 150 Scuppner H., Sauren S., Konwallink G. *Chromatographia*, 1992;34,597-600
- 151 Papadogianniti I.N., Samanidou V.F., Tziandaidou G.A. *J Liq Chromatogr.* 1993;16,975
- 152 Poesmann M., Palo V.D. *Chromatographia*, 1990;29,151
- 153 Tournaud B., Astruc S. *Chromatographia*, 1990;30:388
- 154 *J Chromatogr Sci.* 1988;26:135
- 155 *J Chromatogr Sci.* 1991;29:539
- 156 Khurana A., H.T.C. *J L Chromatogr.* 1988;11-2294
- 157 Vincez A., Hussar M.L. *J Liq Chromatogr.* 1989;12,2887-2892
- 158 *J Chromatogr Sci.* 1985;23:842
- 159 *J Chromatogr Sci.* 1992;30,330
- 160 *J Chromatogr Sci.* 1993;31,441
- 161 *J Chromatogr Sci.* 1987;25,526
- 162 *J Chromatogr Sci.* 1988;26,243
- 163 *J Chromatogr Sci.* 1993;31,489
- 164 *J Chromatogr Sci.* 1993;31,539
- 165 *J Chromatogr Sci.* 1993;31,592
- 166 *J Chromatogr Sci.* 1987;25,527
- 167 *J Chromatogr Sci.* 1987;25, 271
- 168 Rivas J.D.L., Millera J.C.G., Gomez R. *J Chromatogr.* 1991;585-168
- 169 Huang J.L., Mellich M.J. *J Chromatogr.* 1989;473,447
- 170 Adachi M., Ogura K., Kuroda R. *Chromatography*, 1990;29, 579
- 171 Wenzelberg M., Schoedler I., Menagem E., et al. *J Chromatogr A.* 1997;757,89
- 172 Lukacs M., Francis G.W. *Chromatographia*, 1989;27:525
- 173 Naschizans R.F., Marques J.C., Neto B.S.L., et al. *J Chromatogr A.* 1997;782,13
- 174 Bailey R.G., Nussien H.E., McDowell L. *J Chromatogr.* 1991;542:115
- 175 Abidi S.L., Mounts T.L., Rennick K.A. *J Liq Chromatogr.* 1994;17,5705
- 176 Seelin S., Francis G.W. *Chromatographia*, 1989;28:129
- 177 Hume W.J. *J Liq Chromatogr.* 1990;13:1
- 178 Breuwer E.R., Jaska J., Gaudinik R.B. *Chromatographia*, 1991;32:445
- 179 Salah M.I., Pék P.W. *J Chromatogr A.* 1997;763:173
- 180 Soenjoyato-Waris V., Dubois J.G., Auzan G. *J Chromatogr A.* 1994;662:255
- 181 Szabo G., Csarcs E., Keresztes P. *J Liq Chromatogr.* 1989;12, 2820
- 182 Yu J., Xinghui F., Qingrun Z., et al. *Analytica Chimica Acta*, 1996;367,69
- 183 *J Chromatogr Sci.* 1988;26:134
- 184 William R.L., Johnson D.L., Ray M.A. *Anal Chem.* 1991;63,134
- 185 Akama Y., Iwamoto T., Tong A., et al. *J Chromatogr A.* 1997;789:479
- 186 Yu J., Russiz E. *J Liq Chromatogr.* 1993;16, 2991

- 187 Jen J., Lee H., Lee B. *J Chromatogr. A.*, 1998,795,278
- 188 Tong A.R., Hsieh L.C., Shuei C.R. *J Chromatogr.*, 1989,475,404
- 189 Gennaro M.C., Giacomini E., Angeleso S., et al. *J Chromatogr. A.*, 1997,767,87
- 190 Kirkland J.J., Henderson J.W., DeStefano J.J. *J Chromatogr. A.*, 1987,762,97
- 191 James K.J., Pacey A., Sherlock I.R., Seack M.A., et al. *J Chromatogr. A.*, 1998,798,147
- 192 Tenn M.T., Laurens P., Castro M.D.L.D. *Chromatography*, 1992,33,449
- 193 Fungoch E., Gombosi I. *J Chromatogr.*, 1992,607,43
- 194 *J. Chromatogr. Sci.*, 1993,31,240
- 195 Sedghipour F., Veurthy J. *J Chromatogr. A.*, 1997,787,137
- 196 Sender L.C., Parris R.M., Wile S.A. *Anal Chem.*, 1981,53,2582
- 197 *J Chromatogr Sci.*, 1988,26,296
- 198 *J Chromatogr Sci.*, 1991,29,319
- 199 *J Chromatogr Sci.*, 1987,25,271
- 200 *J Chromatogr Sci.*, 1993,31,240
- 201 Guenikow G., Streng J.R. *J Chromatogr.*, 1991,587,282
- 202 *J Chromatogr Sci.*, 1988,26,243
- 203 *J Chromatogr Sci.*, 1988,26,36
- 204 *J Chromatogr Sci.*, 1988,26,87
- 205 Poels I., Nagels L.J., Verreyt G. *Analytica Chimica Acta.*, 1998,370,105
- 206 *J Chromatogr Sci.*, 1988,26,297
- 207 *J Chromatogr Sci.*, 1988,26,182
- 208 Chuang C.Z., Troudeir G., Lopez-S.A. *J Liq Chromatogr.*, 1994,17,3635
- 209 Takeuchi T., Asai M., Haraguchi H. *J Chromatogr.*, 1980,439,549
- 210 Gawdzik B., Czervinski-Bil U. *Chromatographia.*, 1991,32
- 211 Marié B. *J Chromatogr.*, 1988,475,321
- 212 Roos R.W., Lau-tem C.A. *J Chromatogr.*, 1981,555,278
- 213 Hongyan L., Yihan L., Jianchen D., et al. *J Chromatogr. A.*, 1997,773,361
- 214 Heinzellet P., Kunth H.H., Rabeng R. *Anal Chem.*, 1998,70,1437
- 215 Willet D.R., Tindall G.W., Cunningham L.I. *J Chromatogr.*, 1993,633,221
- 216 Andrusano V., Gatti R.M., Diptera A. *J Liq Chromatogr.*, 1994,17,2919
- 217 *J Chromatogr Sci.*, 1983,31,108
- 218 *J Chromatogr Sci.*, 1988,26,193
- 219 Chyr Kongsaw. *J Chromatogr.*, 1991,542,327
- 220 *J Chromatogr Sci.*, 1992,30,112
- 221 Yi Z., Zhuang G.S., Brown P.R. *Anal Chem.*, 1992,64,2526
- 222 Hirayama C., Ihara H., Nagata S. *Chromatography*, 1992,33,473
- 223 Haraoka N. *J Chromatogr.*, 1990,503,165
- 224 Cheng S., Bond M., Anderson H.A., et al. *J Chromatogr. A.*, 1997,771,145
- 225 Muto J.T. *Anal Chem.*, 1990,62,1484
- 226 Minakawa H., Nakamachi K., Soga N. *J Chromatogr. A.*, 1987,762,135
- 227 Nondak L., Millosky R.S., Birks J.W. *Chromatography*, 1991,32,33

第十一章 反相离子对色谱、离子交换色谱和离子色谱谱图

第一节 阳离子色谱图

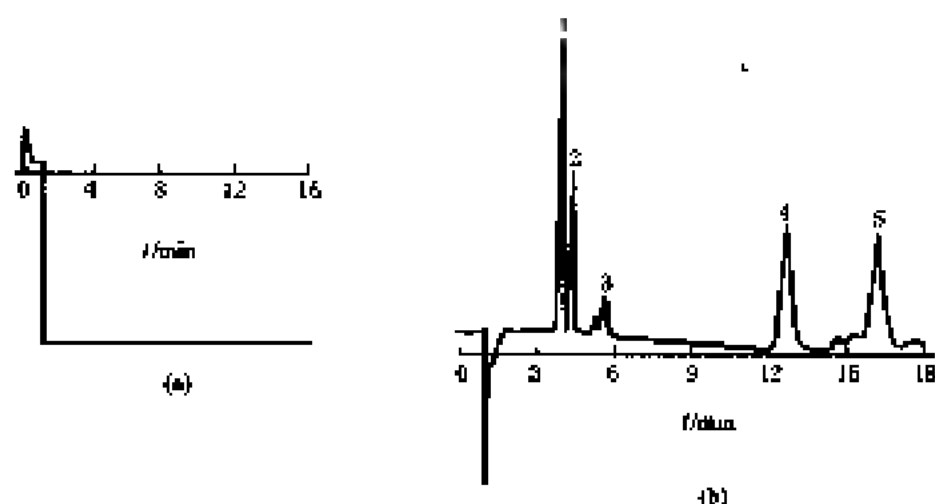


图 11-1 未处理的强酸性阳离子交换树脂 (a) 与处理过的强酸性阳离子交换树脂 (b) 色谱图^[1]

色谱峰: 1— Na^+ ; 2— NH_4^+ ; 3— K^+ ; 4— Mg^{2+} ; 5— Ca^{2+}

流动相: $3 \text{ mmol} \cdot \text{L}^{-1}$ 甲基磺酸

色谱柱: Universal 阳离子柱, $100 \text{ mm} \times 4.6 \text{ mm}$ (内径)

流速: $1.0 \text{ ml} \cdot \text{min}^{-1}$

柱温: 35°C

检测器: 电导检测

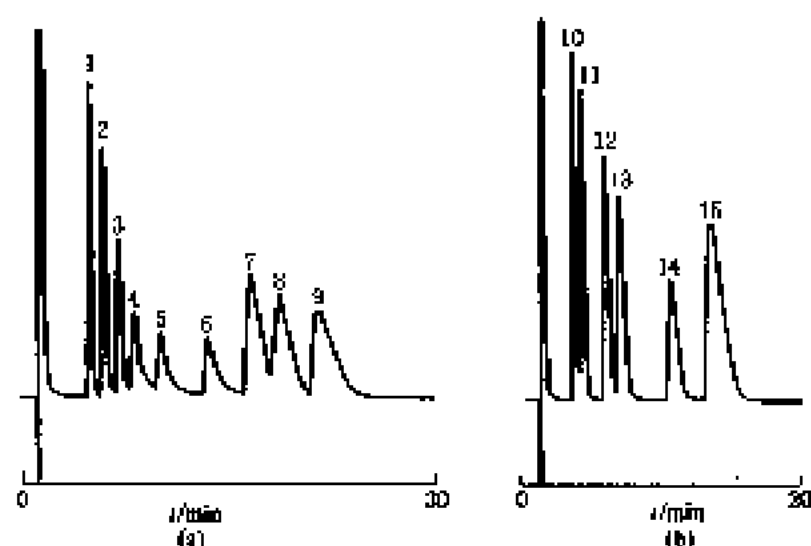


图 11-2 碱金属、碱土金属及过渡金属阳离子色谱图 ()^[2]

(a) 碱和碱土金属阳离子色谱图; (b) 过渡金属阳离子色谱图

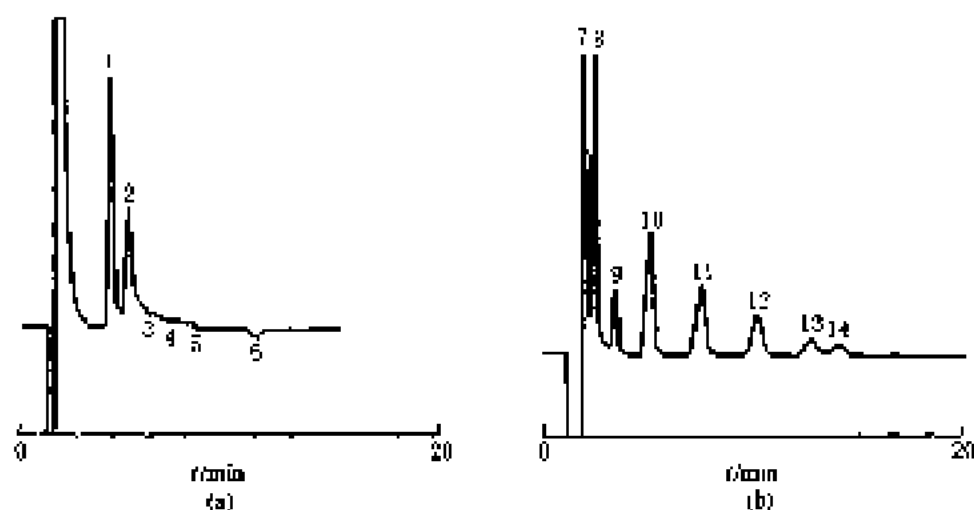
色谱峰: 1— Li^+ ; 2— Na^+ ; 3— NH_4^+ ; 4— K^+ ; 5— Rb^+ ; 6— Cs^+ ; 7— Mg^{2+} ; 8— Ca^{2+} ; 9— Ba^{2+} ; 10— Pb^{2+} ; 11— Ni^{2+} ; 12— Zn^{2+} ; 13— Co^{2+} ; 14— Fe^{2+} ; 15— $\text{Cd}^{2+} + \text{Mn}^{2+}$

色谱柱: Develoal 30-5, $150 \text{ mm} \times 4.6 \text{ mm}$ (内径)

流速: $1 \text{ ml} \cdot \text{min}^{-1}$

流动相: $1.5 \text{ mmol} \cdot \text{L}^{-1}$ 草酸

检测器: 间接电导

图 11-3 碱金属、碱土金属及过渡金属阳离子色谱图 (二)^[4]

(a) 碱金属色谱图; (b) 碱土和过渡金属阳离子色谱图

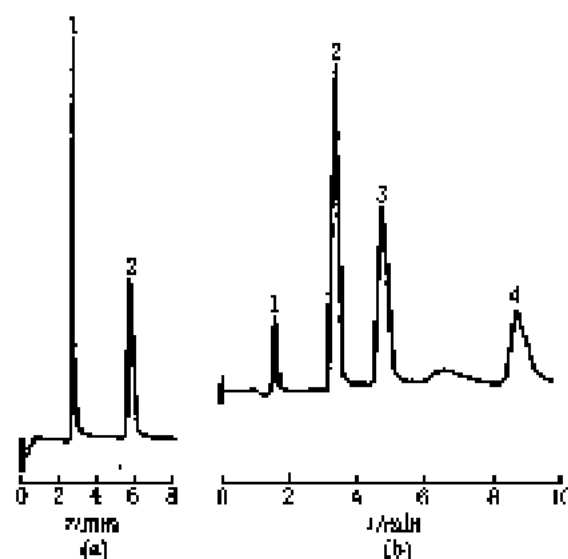
色谱峰: 1—Li⁺; 2—Na⁺; 3—NH₄⁺; 4—K⁺; 5—Rb⁺; 6—Cs⁺; 7—Ca²⁺; 8—Sr²⁺; 9—Ba²⁺; 10—Mg²⁺; 11—Mn²⁺; 12—Co²⁺; 13—Ni²⁺; 14—Zn²⁺

色谱柱: Nonsolv Chemical (solv. Japan) Desalant 30-5 孔状 spherical 未改性硅胶, 150 nm/4.6 nm (内径)

柱温: 35℃

流动相: 己二酸 (pH5.5)

检测器: 电导

图 11-4 阳离子表面活性剂等度分离色谱图^[5]

(a) 等度分离短链阳离子表面活性剂色谱图

色谱峰: 1—四甲基胺 (20 μl · L⁻¹); 2—四丙基胺 (20 μl · L⁻¹)

色谱柱: Alltech Surfactant/R, 150 nm × 4.6 mm (内径) (P/N, 2510L)

流动相: 2 mmol · L⁻¹ 九氟戊酸 + 30% 乙醇

流速: 1.0 ml · min⁻¹

检测器: 压缩电导

(b) 等度分离长链阳离子表面活性剂色谱图

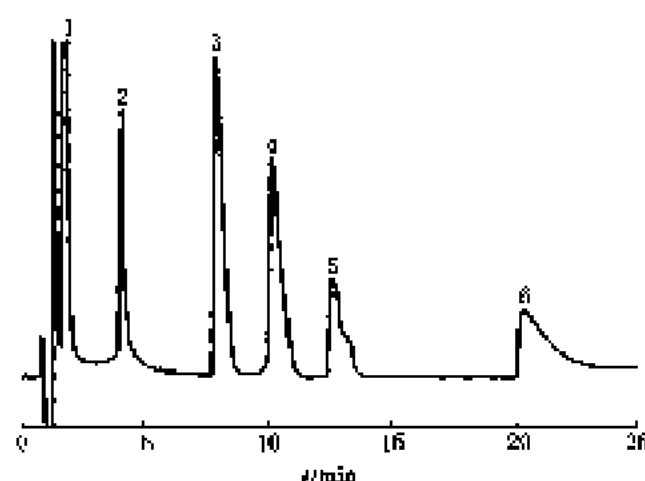
色谱峰: 1—四丁基胺 (10 μl · L⁻¹); 2—十二烷基二甲基胺 (20 μl · L⁻¹); 3—十六烷基三甲基胺 (20 μl · L⁻¹); 4—十八烷基三甲基胺 (20 μl · L⁻¹)

色谱柱: Alltech Surfactant/R, 150 nm × 4.6 mm (内径) (P/N, 2510L)

流动相: 2 mmol · L⁻¹ 九氟戊酸 + 45% 乙醇

流速: 1.5 ml · min⁻¹

检测器: 压缩电导



色谱峰: 1—Fe (III); 2—Cu (II); 3—V (III); 4—Fe (III); 5—Ni (II); 6—Cr (III)

色谱柱: NOVAs-Pak C₁₈反相柱, 150 mm×3.9 mm

预柱: NOVAs-Pak C₁₈, 5 mm×3.9 mm

流动相: 150 mmol·L⁻¹ H₂PO₄ + 60 mmol·L⁻¹ TBACl + 25%CH₃CN + 0.48 mmol·L⁻¹ NaClO₄

检测器: UV (215 nm)

图 11-5 6种金属-氯化物络合物优化分离色谱图^[4]

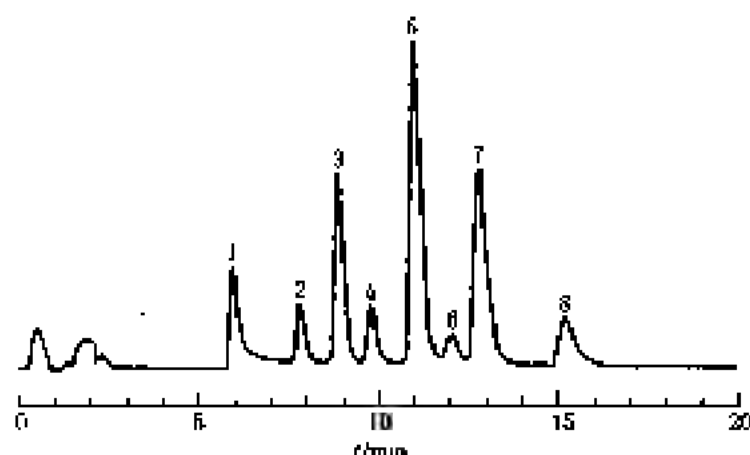


图 11-6 8种过渡金属和重金属标准溶液分离色谱图^[4]

色谱峰: 1—Fe³⁺; 2—Cu²⁺; 3—Ni²⁺; 4—Zn²⁺; 5—Co²⁺; 6—Cd²⁺; 7—Mn²⁺; 8—Fe²⁺

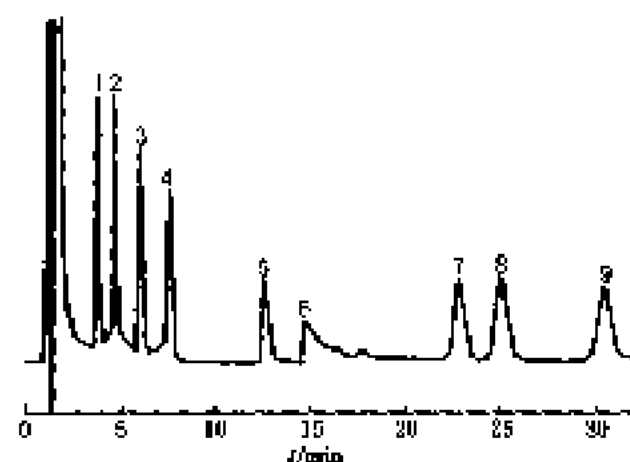
色谱柱: IcoPar C18A—CSbA

柱温: 室温

流动相: 7 mmol·L⁻¹ PDXA + 66 mmol·L⁻¹ KOH + 5.6 mmol·L⁻¹ K₂SO₄ + 74 mmol·L⁻¹ HCOOH (pH4.2)

流速: 1.0 ml·min⁻¹

检测器: 可见吸收 (530 nm)



色谱峰: 1—Mo (V); 2—Cu (I); 3—Co (II); 4—Fe (III); 5—Ni (II); 6—Cr (II); 7—Pd (II); 8—Pt (II); 9—Au (I)

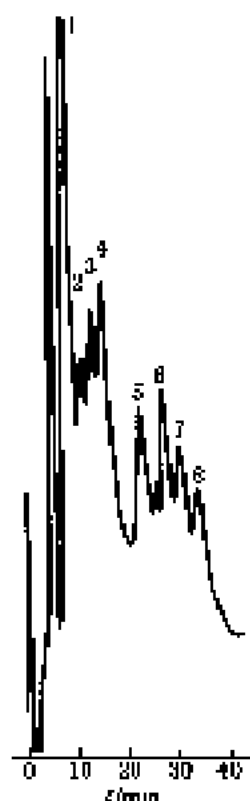
色谱柱: NOVAs-Pak C₁₈反相柱, 150 mm×3.9 mm

预柱: NOVAs-Pak C₁₈, 5 mm×3.9 mm

流动相: 150 mmol·L⁻¹ H₂PO₄ + 60 mmol·L⁻¹ TBACl + 25%CH₃CN + 2.84 mmol·L⁻¹ NaClO₄

检测器: UV (215 nm)

图 11-7 9种金属氯化络合物优化分离色谱图^[4]



色谱峰: 1—La (■); 2—Ce (■); 3—Pr (■); 4—Nd (■); 5—Sm (■); 6—Eu (■); 7—Gd (■); 8—Tb (■); 9—Dy (■); 10—Ho (■); 11—Er (■)

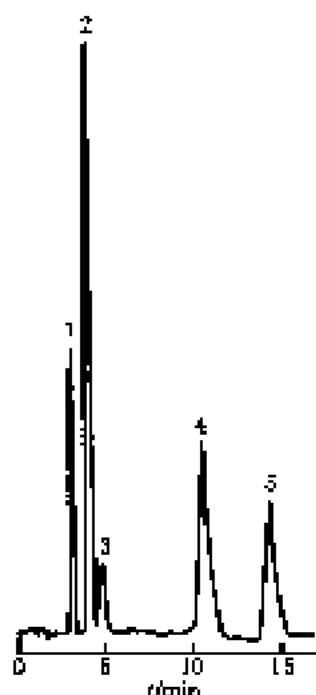
色谱柱: 填充 Dionex C8 E, 25 cm × 4.6 mm (内径)

流动相: 草酸 ($0.03 \text{ mol} \cdot \text{L}^{-1}$, pH 4.5) — 三甘醇胺 ($0.002 \text{ mol} \cdot \text{L}^{-1}$)

检测器: 紫外, $\lambda_{\text{max}} = 465 \text{ nm}$

柱后试剂: PAR ($5 \times 10^{-5} \text{ mol} \cdot \text{L}^{-1}$) — ZnEDTA ($1 \times 10^{-4} \text{ mol} \cdot \text{L}^{-1}$) / 氧-氟化氢缓冲液 ($0.3 \text{ mol} \cdot \text{L}^{-1}$ pH 10)

图 11-8 镧系元素分离色谱图^[8]



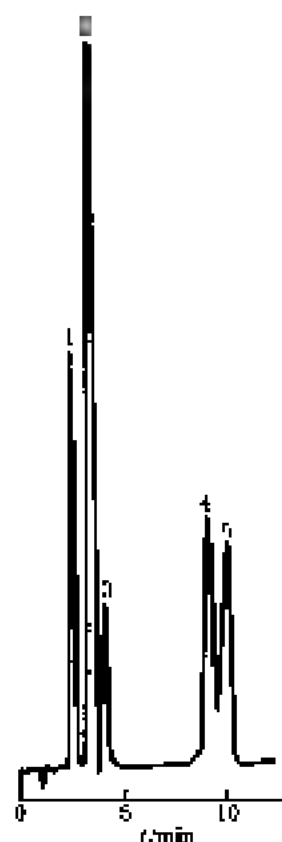
色谱峰: 1—Ba²⁺; 2—Fe³⁺; 3—Co²⁺; 4—Cu²⁺; 5—Pb²⁺

色谱柱: RP-18 Li (Chrospher, 25.0 cm × 4.5 mm (内径), 10 μm)

流动相: 缓冲液: 50 mmol · L⁻¹ 甲酸, 1.0 mmol · L⁻¹ Na₂ EDTA, 4.0 mmol · L⁻¹ (C₄H₉)₄NOH, 10 mmol · L⁻¹ NaNO₃, 以 NaOH 调至 pH 3.3, 体积比 = 95 : 5 的缓冲液-甲醇

柱温: 室温
检测器: 0~8 min UV (260 nm), 8 min~结束 UV (242 nm)

图 11-9 EDTA 预配合金属离子的反相 HPLC 分离谱图 (pH 3.3)^[9]



色谱峰: 1—Ba²⁺-EDTA; 2—Fe³⁺-EDTA; 3—Co²⁺-EDTA; 4—Cu²⁺-EDTA; 5—Pb²⁺-EDTA

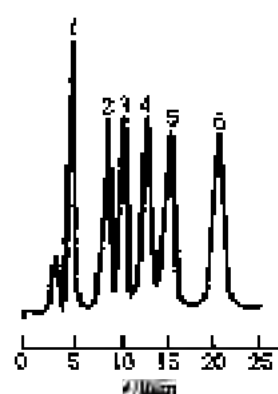
色谱柱: RP-18 LiChrospher, 25.0 cm × 4.5 mm (内径), 10 μm

流动相: 用 NaOH 将 pH 调至 3.8

柱温: 室温

检测器: 0~5 min (UV 260 nm), 5 min~结束 (UV 242 nm)

图 11-10 EDTA 预配合金属离子的反相 HPLC 分离谱图 (pH 3.8)^[9]

图 11-11 6种重金属阳离子分离色谱图^[10]

色谱峰: 1— Cu^{2+} , 2— Ni^{2+} , 3— Zn^{2+} , 4— Pb^{2+} , 5— Cd^{2+} , 6— Cd^{2+}

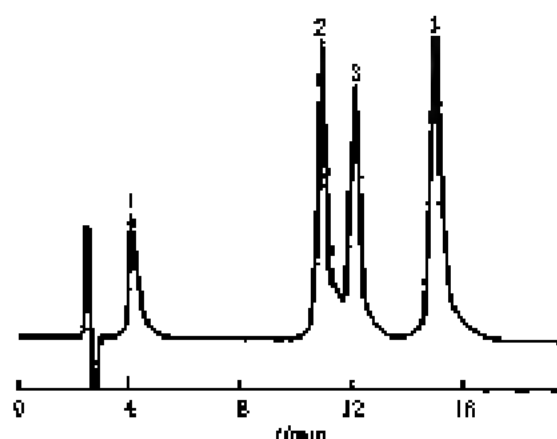
色谱柱: YSG 90, Na⁺ 阳离子交换树脂, 100 mm×6 mm (内径)

流动相: 0.140 mol·L⁻¹ 四乙酸钠— 1.55×10^{-2} mol·L⁻¹ 柠檬酸钠+0.150 mol·L⁻¹ NaCl (pH4.1)

流速: 1.0 ml·min⁻¹

检测器: 电导检测, 电解质 0.01 mol·L⁻¹ CaDTPA—0.1 mol·L⁻¹ NH_4NO_3 0.1 mol·L⁻¹ 氨溶液

检测电压: 0.75 V $\text{Fe}(\text{CN})_6^{4-}$ — $\text{Fe}(\text{CN})_6^{3-}$

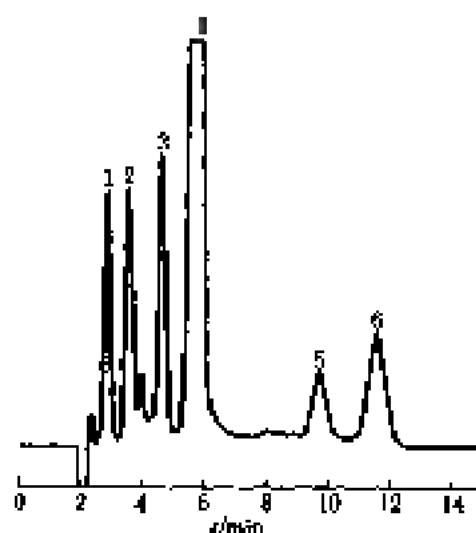


色谱峰: 1— Ru(II)- , 2— Co(II)- , 3— Rh(II)- , 4— Cu(II)-

色谱柱: Nucleosil C₁₈, 250 mm×4.6 mm (内径), 5 μm

流动相: 乙醇-水 (体积比=30:70), 内含有 0.01 mol·L⁻¹ 乙酸-乙酸钠缓冲液 (pH5.0), 0.01 mol·L⁻¹ TBAIBr

检测器: UV (580 nm)

图 11-12 Ru(II)- , Rh(II)- , Co(II)- 和 Cu(II)- PAN-6S 复合物色谱图^[11]图 11-13 Viverone 测水样分析色谱图^[12]

色谱峰: 1— Ni^{2+} ($200 \mu\text{g} \cdot \text{L}^{-1}$), 2— Cu^{2+} ($200 \mu\text{g} \cdot \text{L}^{-1}$), 3— V^{3+} ($300 \mu\text{g} \cdot \text{L}^{-1}$), 4—PCB ($0.1 \mu\text{mol} \cdot \text{L}^{-1}$), 5— Co^{2+} ($300 \mu\text{g} \cdot \text{L}^{-1}$), 6— Fe^{3+} ($300 \mu\text{g} \cdot \text{L}^{-1}$)

色谱柱: Lichromart Cartridge 包含 Lichromart 100 RP-18 材料, 250 mm×4 mm (内径)

流动相: 水+甲醇 (体积比=45:55), 内含有 20 mmol·L⁻¹ 乙酸, 5 mmol·L⁻¹ TBA, 30 mmol·L⁻¹ NaCl, (pH4.1)

氧化电压: 800 mV

检测器: ESA Coulchem 4



图 11-14 8 种二价无机阳离子分离色谱图⁽¹⁾
 色谱峰: 1— Ni^{2+} ; 2— Co^{2+} ; 3— Fe^{2+} ; 4— Cd^{2+} ; 5— Mn^{2+} ;
 6— Mg^{2+} ; 7— Sr^{2+} ; 8— Ba^{2+}
 色谱柱: GYQG SiO_2 , microporous, $5\ \mu\text{m}$
 柱温: 30°C
 流动相: $2\ \text{mmol}\cdot\text{L}^{-1}$ 2-乙二胺 + $4\ \text{mmol}\cdot\text{L}^{-1}$ 柠檬酸, $\text{pH}3.80$
 流速: $0.5\ \text{ml}\cdot\text{min}^{-1}$
 检测器: 电导

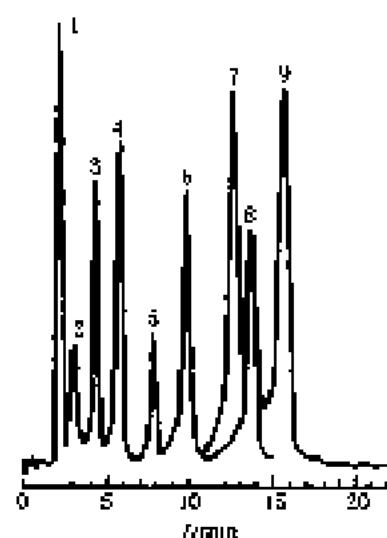


图 11-15 二价、三价金属阳离子分离色谱图 (一)⁽²⁾
 色谱峰: 1— Fe^{3+} ; 2— Cu^{2+} ; 3— Pb^{2+} ; 4— Ni^{2+} ; 5— La^{3+} ;
 6— Cd^{2+} ; 7— Ca^{2+} ; 8— Mn^{2+} ; 9— Mg^{2+}
 色谱柱: 磺胺乙基化 BioGel SEC7 阳离子交换剂 ($Q=0.13\ \text{mmol}\cdot\text{ml}^{-1}$ 床体积)
 流动相: $0.1\ \text{mol}\cdot\text{L}^{-1}$ 酒石酸 ($\text{pH}3.10$), 用 NaOH 调节
 流速: $1\ \text{ml}\cdot\text{min}^{-1}$
 检测器: UV, 柱后接测 Zn-EDTA-PAR

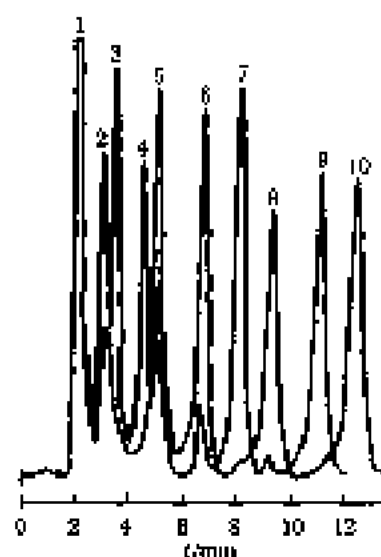
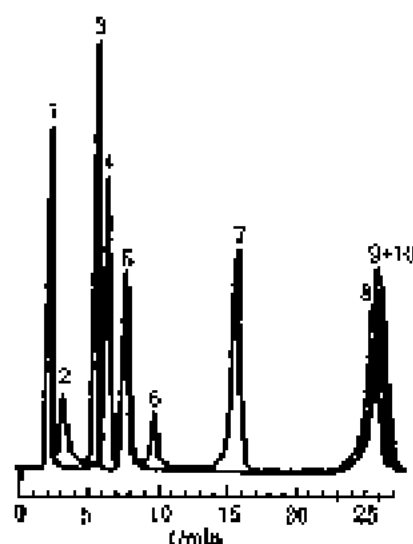


图 11-16 二价、三价金属阳离子分离色谱图 (二)⁽²⁾
 色谱峰: 1— Fe^{3+} ; 2— Cu^{2+} ; 3— Pb^{2+} ; 4— Zn^{2+} ; 5— Sr^{2+} ; 6— Co^{2+} ; 7— Cd^{2+} ; 8— Ca^{2+} ; 9— Mn^{2+} ; 10— Mg^{2+}
 色谱柱: 磺胺丁基化 BuGel SEC7 阳离子交换剂
 流动相: $0.1\ \text{mol}\cdot\text{L}^{-1}$ 酒石酸 ($\text{pH}3.10$) 用 NaOH 调节
 流速: $1.0\ \text{ml}\cdot\text{min}^{-1}$
 检测器: 柱后接测 Zn-EDTA-PAR



色谱峰: 1— Fe^{2+} , 2— Cu^{2+} , 3— Zn^{2+} , 4— Ni^{2+} , 5— Pb^{2+} ,
6— Co^{2+} , 7— Cd^{2+} , 8— Mn^{2+} , 9— Ca^{2+} , 10— Mg^{2+}

色谱柱: 凝胶四脂化 BioGel SEC7 阳离子交换剂 ($Q=0.43$ mmol \cdot ml $^{-1}$ 床体积)

流动相: 0.175 mol \cdot L $^{-1}$ 甜石酸 (pH3.12) (用 NaOH 调节)

流速: 1 ml \cdot min $^{-1}$

检测器: UV, 柱后检测 Zn-EDTA-PAR

图 11-17 二价、三价金属阳离子分离色谱图 (三)^[10]

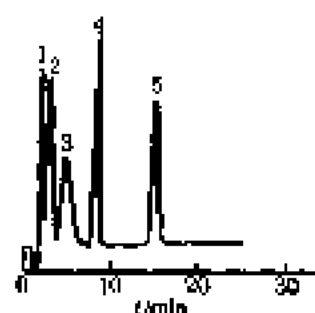


图 11-18 二价阳离子同时分离色谱图^[10]

色谱峰: 1— Mg^{2+} , 2— Sr^{2+} , 3— Ba^{2+} , 4— Cl^{-} , 5— Br^{-}

色谱柱: Dionex HPLC-CS15

流动相: 0.5 mmol \cdot L $^{-1}$ $\text{Ca}(\text{NO}_3)_2$

流速: 1.0 ml \cdot min $^{-1}$

检测器: EPD (254 nm)

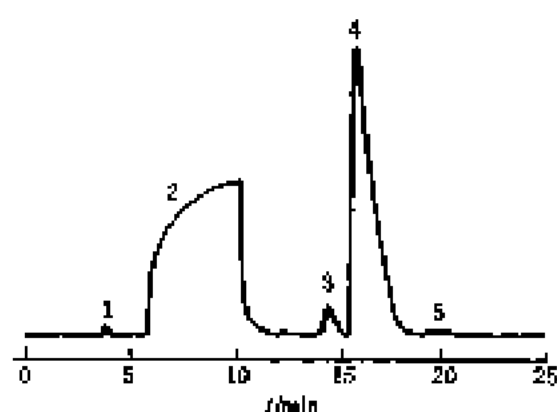


图 11-19 土壤样品中乙酸铵萃取物色谱图^[10]

色谱峰: 1— Na^{+} , 2— NH_4^{+} , 3— Mg^{2+} , 4— Ca^{2+} , 5— K^{+}

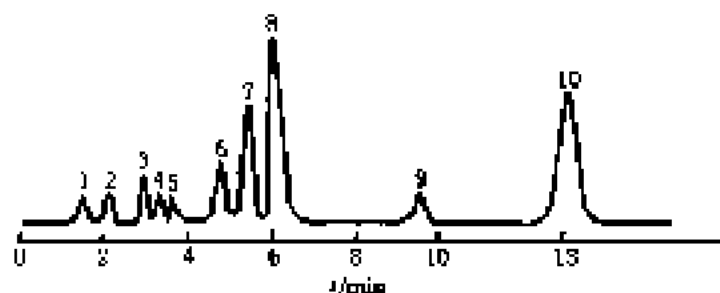
色谱柱: IonPac (CG15 和 CS15)

柱温: 40 $^{\circ}\text{C}$

流动相: 5 mmol \cdot L $^{-1}$ H_2SO_4 + 5% 乙醇

流速: 1.2 ml \cdot min $^{-1}$

检测器: 电导检测器



色谱峰: 1—TA, 2—NB, 3—V, 4—ZR, 5—
PE, 6—PE, 7—CU, 8—NI, 9—CO,
10—MN

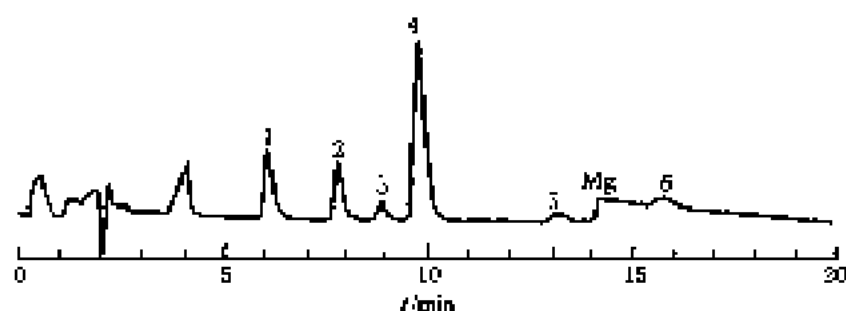
色谱柱: 填充 Supersorb S-5 ODS-1, 300 mm \times
3.9 mm (内径)

流动相: 10^{-2} mol \cdot L $^{-1}$ 磷酸二氢盐 + 2.305 \times
 10^{-2} mol \cdot L $^{-1}$ 甜石酸缓冲液
(pH6.0)

流速: 1 ml \cdot min $^{-1}$

检测器: UV (580 nm)

图 11-20 不锈钢样品 (SRMC 1151) 的丁二酮肟金属络合物分离色谱图^[10]

图 11-21 井水样品中过痕金属阳离子的色谱图^[31]

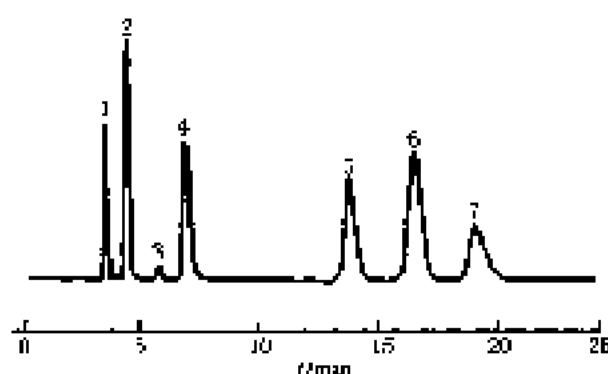
溶液为 HCl ($\text{pH}2$)，在上述重 $1:5$ 稀释

色谱峰：1— Fe^{3+} ($16.8 \mu\text{g} \cdot \text{L}^{-1}$)；2— Co^{2+} ($0.33 \text{ mg} \cdot \text{L}^{-1}$)；3— Ni^{2+} ($15.6 \mu\text{g} \cdot \text{L}^{-1}$)；4— Zn^{2+} ($0.61 \text{ mg} \cdot \text{L}^{-1}$)；5— Mn^{2+} ($18.2 \mu\text{g} \cdot \text{L}^{-1}$)；6— Fe^{2+} ($25.7 \mu\text{g} \cdot \text{L}^{-1}$)。

色谱柱：IonPac CS 5A (Jlenco)，250 mm \times 4 mm (内径)

保护柱：IonPac CS 5A，50 mm \times 4 mm (内径)

检测器：可见吸收 (510 nm)

图 11-22 从 6 种普通阳离子中进行乙醇胺分离色谱图^[32]

色谱峰：1— Li^+ ；2— Na^+ ；3—乙醇胺；4— NH_4^+ ；5— Mg^{2+} ；6— Ca^{2+} ；7— K^+

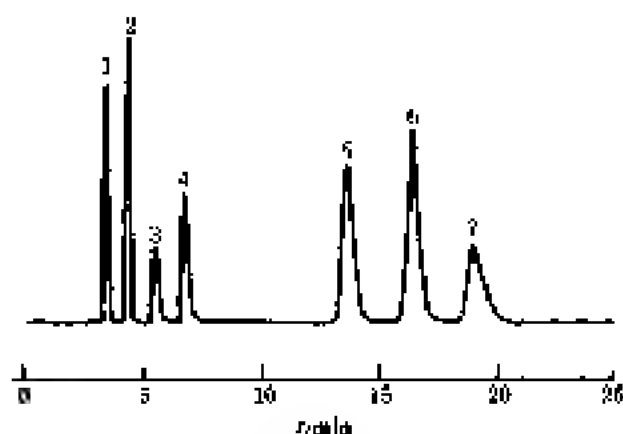
色谱柱：IonPac CG15 和 CS15

柱温：40℃

流动相：5 mmol $\cdot \text{L}^{-1}$ H_2SO_4 + 8%乙醇

流速：1.2 ml $\cdot \text{min}^{-1}$

检测器：电导检测器

图 11-23 从 6 种普通阳离子中进行等度分离吗啉色谱图^[33]

色谱峰：1— Li^+ ；2— Na^+ ；3—吗啉；4— NH_4^+ ；5— Mg^{2+} ；6— Ca^{2+} ；7— K^+

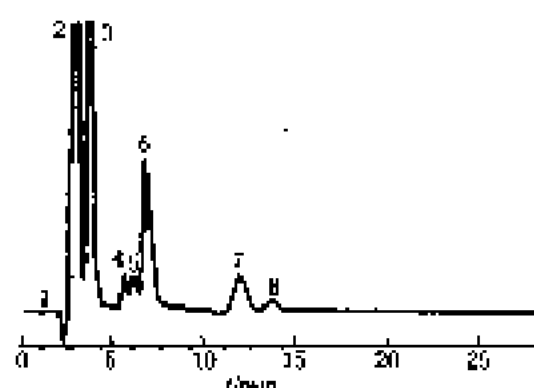
色谱柱：IonPac CG15 和 CS15

柱温：40℃

流动相：5 mmol $\cdot \text{L}^{-1}$ H_2SO_4 + 8%乙醇

流速：1.2 ml $\cdot \text{min}^{-1}$

检测器：电导检测器

图 11-24 醋苯仁浸取液中阳离子色谱图^[50]

色谱峰: 1, 2—系统峰; 3—甲醇; 4— Na^+ ; 5— NH_4^+ ; 6— K^+ ; 7— Mg^{2+} ; 8— Ca^{2+}

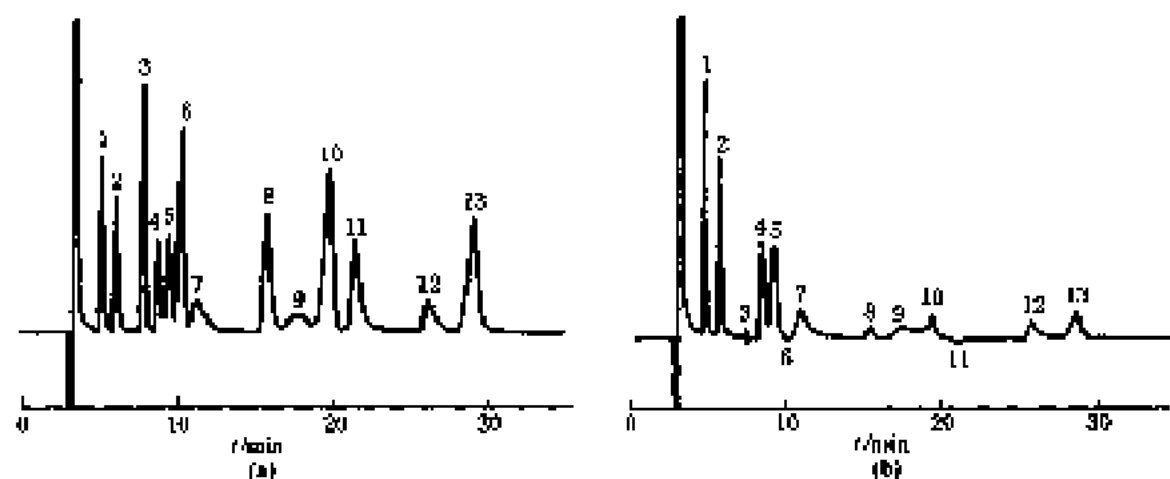
色谱柱: IC5-C85 (4.6 mm×150 mm, 硅胶基质- COOH 功能基)

流动相: 均苯四甲酸 ($2.5 \text{ mmol} \cdot \text{L}^{-1}$)

流速: $0.6 \text{ mL} \cdot \text{min}^{-1}$

柱温: 40°C

检测器: 电导

图 11-25 无机阴离子和二价阳离子色谱图^[51]

(a) 含有阳离子交换膜压柱器; (b) 不含有阳离子交换膜压柱器

色谱峰: 1— Mg^{2+} ; 2— Ca^{2+} ; 3— Cl^- ; 4— Mn^{2+} ; 5— Co^{2+} ; 6— NO_3^- ; 7— Ni^{2+} ; 8— I^- ; 9— Zn^{2+} ; 10— SO_4^{2-} ; 11— SCN^- ; 12— Ox^{2-} ; 13— $\text{S}_2\text{O}_3^{2-}$

色谱柱: 填充 Toxoh TSK 柱, $5 \mu\text{m}$, $250 \text{ mm} \times 4.6 \text{ mm}$

流动相: 1,2,4,5-苯四酸 ($0.15 \text{ mmol} \cdot \text{L}^{-1}$) $\text{pH} 5.4$

检测器: 电导检测

再生剂: $10 \text{ mmol} \cdot \text{L}^{-1} \text{H}_2\text{SO}_4$ ($1 \text{ mL} \cdot \text{min}^{-1}$)

样品: $0.05 \text{ mmol} \cdot \text{L}^{-1} \text{CoCl}_2$, CaCl_2 , $\text{Co}(\text{NO}_3)_2$, $\text{Ni}(\text{NO}_3)_2$, MgSO_4 , MnSO_4 , ZnSO_4 , $0.15 \text{ mmol} \cdot \text{L}^{-1} \text{Na}_2\text{S}_2\text{O}_3$, $0.2 \text{ mmol} \cdot \text{L}^{-1} \text{KI}$ 和 $0.2 \text{ mmol} \cdot \text{L}^{-1} \text{KSCN}$

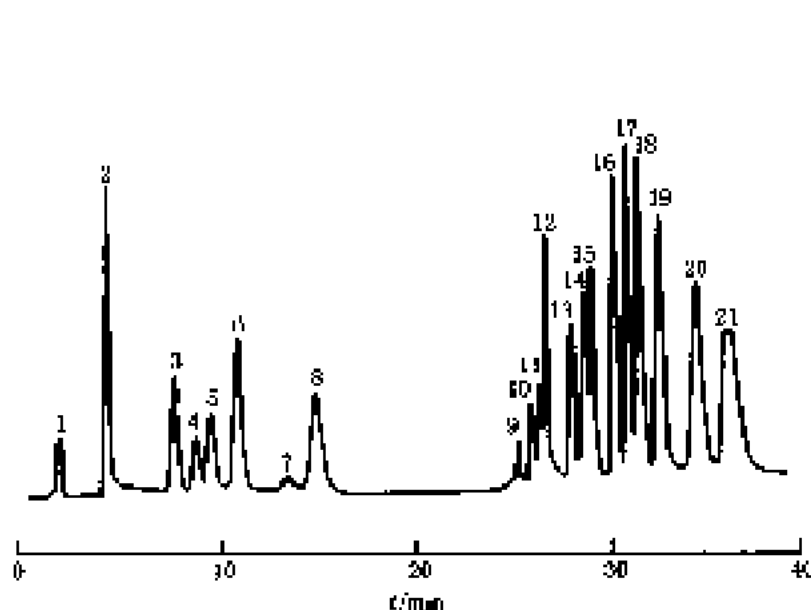


图 11-26 以 PAR 作柱后显色剂的过渡
金属和稀土金属离子的分离谱图^[14]

色峰峰: 1—Zr; 2—Fe; 3—Cu; 4—Ni; 5—Zn; 6—Co; 7—Mn; 8—Fe; 9—La;
10—Ce; 11—Pr; 12—Nd; 13—Sm; 14—Eu; 15—Gd; 16—Tb; 17—
Dy; 18—Ho; 19—Er; 20—Tm; 21—Yb
色谱柱: 300 mm×3.9 mm (内径)
流动相: 辛磺酸盐缓冲液+酒石酸 (pH5.5)
流速: 1 ml·min⁻¹
检测器: UV (535 nm)

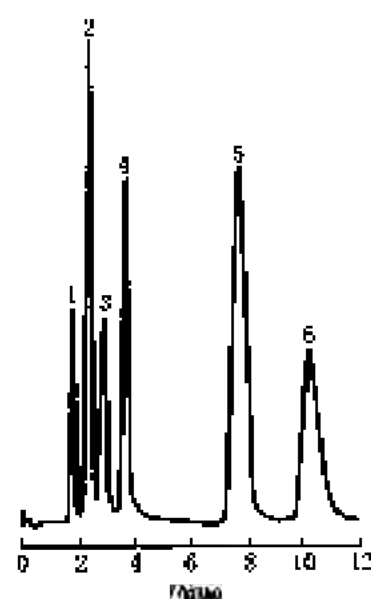
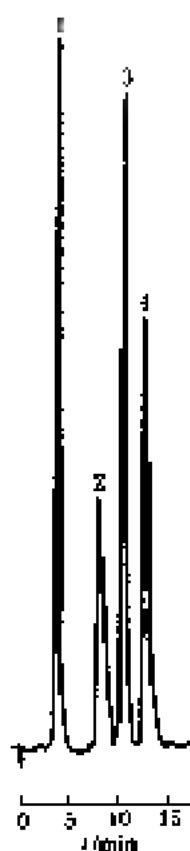


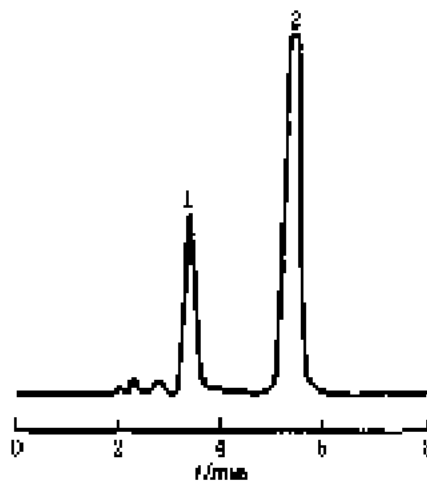
图 11-27 阳离子 (以盐酸为洗
脱剂) 分离色谱图^[15]

色峰峰: 1—Li⁺; 2—Na⁺; 3—NH₄⁺;
4—K⁺; 5—Mg²⁺; 6—Ca²⁺
色谱柱: Univertal Cation- 100 mm×
4.6 mm (内径)
流动相: 3 mmol·L⁻¹ 盐酸
流速: 1.0 ml·min⁻¹
检测器: 电导检测



色峰峰: 1—亚砷酸盐; 2—DMA; 3—MMA; 4—砷酸盐
色谱柱: 磺基硅阳离子交换剂 (Vydac 302-IC, 12 μm),
250 mm×4.6 mm (内径)
柱温: 40℃
流动相: 磷酸缓冲液 1 mmol·L⁻¹ (pH5.3)
流速: 1 ml·min⁻¹
进样量: 20 μl
样品浓度: 100 mg·L⁻¹
检测器: UV (190 nm)

图 11-28 4 种含砷化合物分离的阳离子交换色谱图^[16]



色谱峰: 1— Cu^{2+} ; 2—Platinochrome H

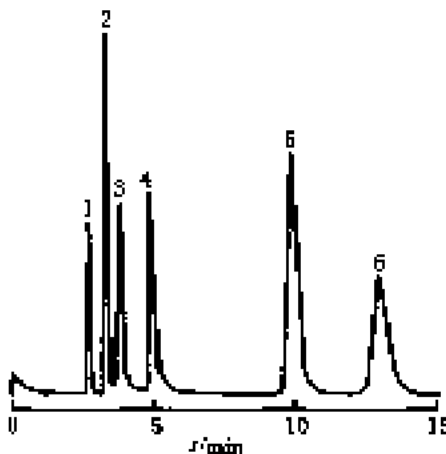
色谱柱: Lichrocart Cartridge 包含 Li-chrospher 100RP-18 材料, $250 \text{ mm} \times 4 \text{ mm}$ (内径)

流动相: 水+甲醇 (体积比=45:55), 内含有 $20 \text{ mmol} \cdot \text{L}^{-1}$ 乙腈, $5 \text{ mmol} \cdot \text{L}^{-1}$ TBA, $30 \text{ mmol} \cdot \text{L}^{-1}$ NaCl (pH5.5)

氧化电位: 800 mV

检测器: ESA Coulochem F

图 11-29 市自来水样分析色谱图^[32]



色谱峰: 1— Li^+ ; 2— Na^+ ; 3— NH_4^+ ; 4— K^+ ; 5— Mg^{2+} ; 6— Ca^{2+}

色谱柱: Universal Cation, $100 \text{ mm} \times 4.6 \text{ mm}$ (内径)

流动相: $1.5 \text{ mmol} \cdot \text{L}^{-1} \text{H}_2\text{SO}_4$

流速: $1.0 \text{ ml} \cdot \text{min}^{-1}$

检测器: 电导检测

图 11-30 用 H_2SO_4 为洗脱剂分离阳离子色谱图^[33]

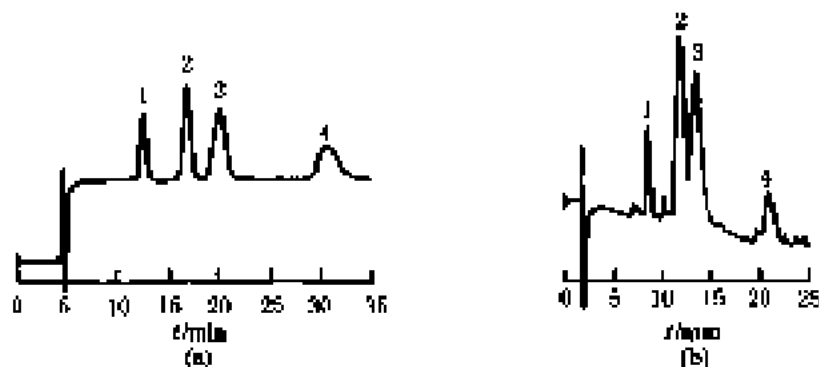


图 11-31 用弱电导流动相对阳离子电洗脱色谱图^[34]

(a) 没有外加电压; (b) 固定外加电压 28 V

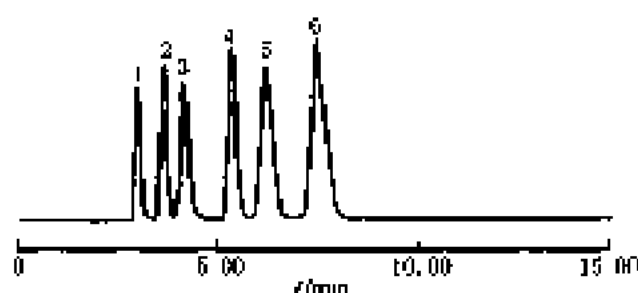
色谱峰: 1— Li^+ ; 2— Na^+ ; 3— NH_4^+ ; 4— K^+

色谱柱: Carbow, $30 \text{ mm} \times 4.6 \text{ mm}$ (内径)

流动相: $0.1 \text{ mmol} \cdot \text{L}^{-1}$ 甲酸

流速: $1.0 \text{ ml} \cdot \text{min}^{-1}$

检测器: 电导检测

图 11-32 碱金属阳离子的快速分析色谱图^[14]

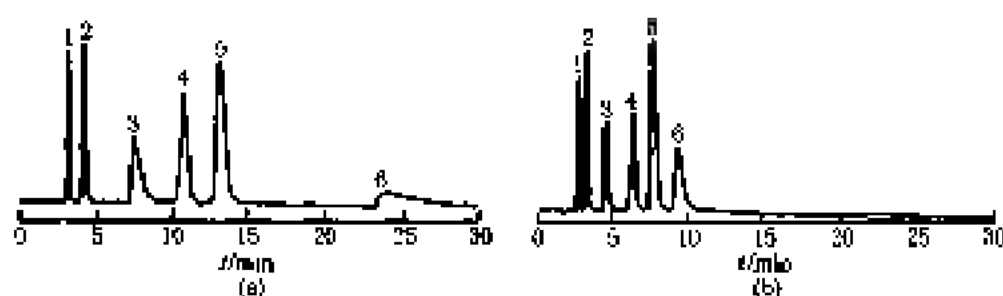
色谱峰: 1— Li^+ ; 2— Na^+ ; 3— NH_4^+ ; 4— K^+ ; 5— Mg^{2+} ; 6— Ca^{2+}

色谱柱: IonPac CG18A 和 CS12A

流动相: $15 \text{ mmol} \cdot \text{L}^{-1} \text{H}_2\text{SO}_4$

流 速: $1.0 \text{ mL} \cdot \text{min}^{-1}$

检测器: CD20 压阻电导检测器

图 11-33 阳离子 (在 CS15 柱上以 NH_4OH 作为洗脱剂) 的分离色谱图^[14]

色谱峰: 1— Li^+ ; 2— Na^+ ; 3— NH_4^+ ; 4— Mg^{2+} ; 5— Ca^{2+} ; 6— K^+

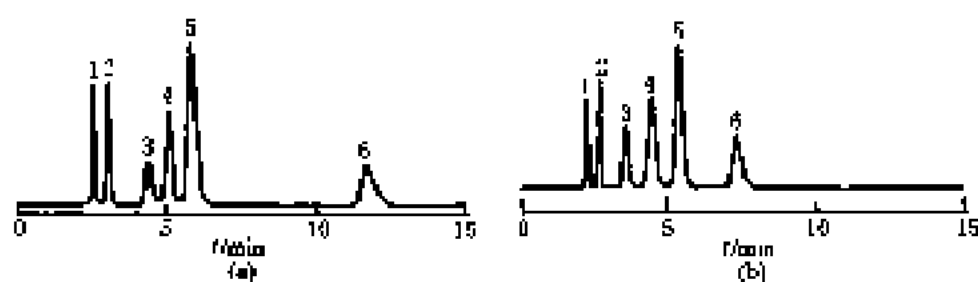
色谱柱: IonPac CG15 和 CS15

流动相: (a) $7.5 \text{ mmol} \cdot \text{L}^{-1} \text{H}_2\text{SO}_4$

(b) $7.5 \text{ mmol} \cdot \text{L}^{-1} \text{H}_2\text{SO}_4 + 7.5 \text{ mmol} \cdot \text{L}^{-1} \text{NH}_4\text{OH}$

流 速: $1.5 \text{ mL} \cdot \text{min}^{-1}$

检测器: CD20 压阻电导检测器

图 11-34 阳离子 (在 CS15 柱上) 的快速分析色谱图^[14]

色谱峰: 1— Li^+ ; 2— Na^+ ; 3— NH_4^+ ; 4— Mg^{2+} ; 5— Ca^{2+} ; 6— K^+

色谱柱: IonPac CG15 和 CS15

柱 温: 40°C

流动相: (a) $8 \text{ mmol} \cdot \text{L}^{-1} \text{H}_2\text{SO}_4 + 13\% \text{乙醇}$;

(b) $15 \text{ mmol} \cdot \text{L}^{-1}$ 甲酸铵 + $7.5 \text{ mmol} \cdot \text{L}^{-1} \text{NH}_4\text{H}_2\text{PO}_4 + 5\% \text{乙醇}$

流 速: $1.2 \text{ mL} \cdot \text{min}^{-1}$

检测器: CD20 压阻电导检测器

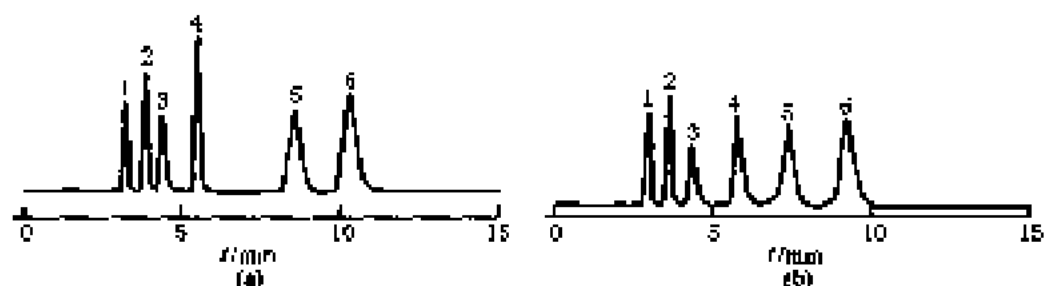


图 11-35 6 种普通阳离子在两个磺酸聚合固定相等度分离谱图^[14]

色谱峰: 1— Li^+ ; 2— Na^+ ; 3— NH_4^+ ; 4— K^+ ; 5— Mg^{2+} ; 6— Ca^{2+} ($5\text{mg} \cdot \text{L}^{-1}$)

固定相: (a) IonPac CS12A; (b) IonPac CS12

流动相: $11\text{ mmol} \cdot \text{L}^{-1} \text{H}_2\text{SO}_4$

流速: $1.0\text{ mL} \cdot \text{min}^{-1}$

检测器: 电导检测器

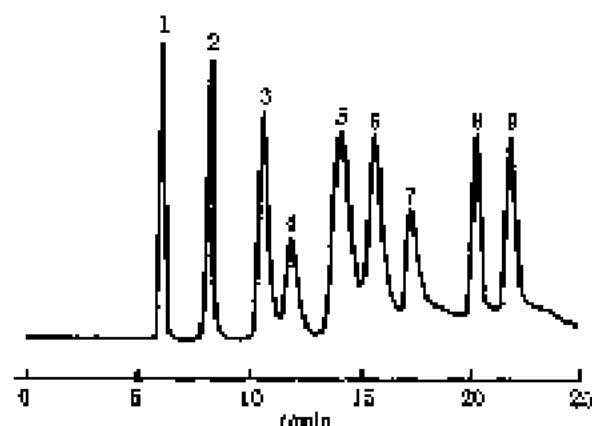


图 11-36 6 种普通阳离子和乙醇胺在磺酸性上分离的梯度洗脱色谱图^[14]

色谱峰: 1— Li^+ ; 2— Na^+ ; 3— NH_4^+ ; 4—乙醇胺; 5—二乙醇胺; 6— K^+ ; 7—三乙醇胺; 8— Mg^{2+} ; 9— Ca^{2+}

色谱柱: IonPac CS12

流动相: 甲醇胺

梯度洗脱: $5\text{ mmol} \cdot \text{L}^{-1}$ 甲醇胺 $\xrightarrow{18\text{ min}}$ $21\text{ mmol} \cdot \text{L}^{-1}$ 甲醇胺

检测器: 电导检测器

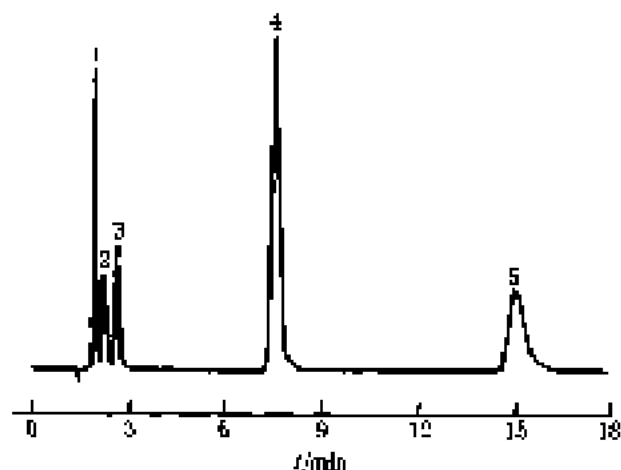


图 11-37 普通阳离子在磺酸聚合固定相等度分离谱图^[14]

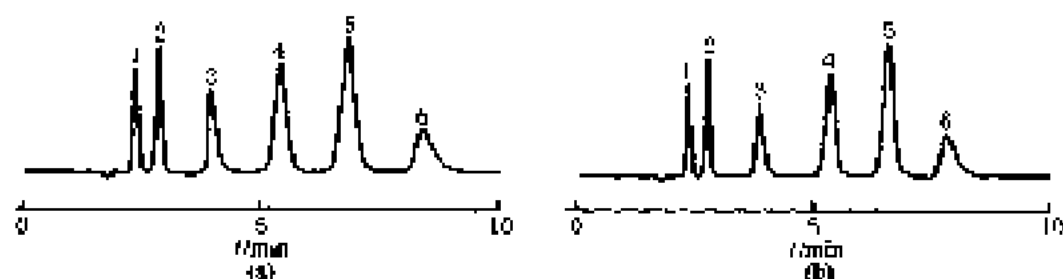
色谱峰: 1— Na^+ ; 2— NH_4^+ ; 3— K^+ ; 4— Mg^{2+} ; 5— Ca^{2+}

色谱柱: IonPac CS10 (dionex)

流动相: $40\text{ mmol} \cdot \text{L}^{-1} \text{HCl}$ + $4\text{ mmol} \cdot \text{L}^{-1}$ 2-二氯丙酸-氯化物

流速: $1.0\text{ mL} \cdot \text{min}^{-1}$

检测器: 电导检测器

图 11-38 缓冲液对阳离子分离影响谱图 (洗脱剂包含 $\text{NH}_3 \cdot \text{H}_2\text{O}$)^[14]

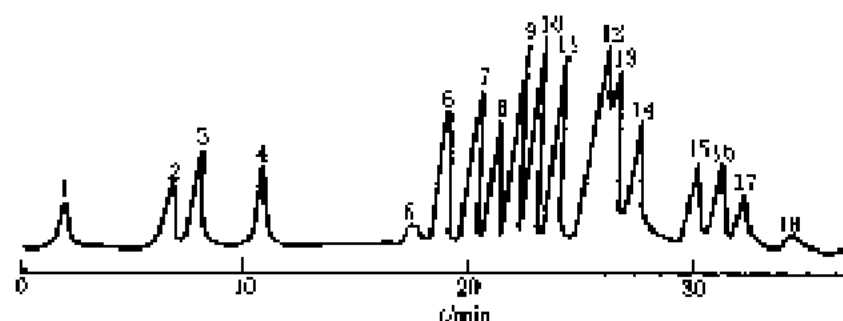
(a) 25 °C; (b) 49 °C

色谱峰: 1— Li^+ ; 2— Na^+ ; 3— NH_4^+ ; 4— Mg^{2+} ; 5— Ca^{2+} ; 6— K^+

色谱柱: IonPac CG-15 和 CS15

流动相: $15 \text{ mmol} \cdot \text{L}^{-1}$ 甲酸— $7.5 \text{ mmol} \cdot \text{L}^{-1}$ — $\text{NH}_3 \cdot \text{H}_2\text{O}$ 流速: $1.2 \text{ mL} \cdot \text{min}^{-1}$

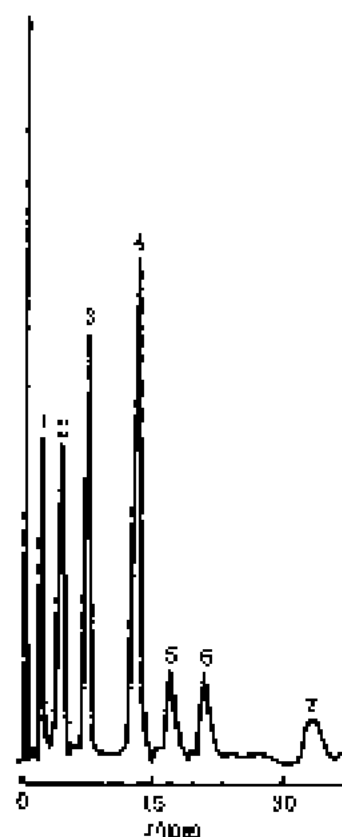
检测器: CD20 压缩电导检测器



色谱峰: 1—Zr; 2—Ce; 3—Zn;
4—Ue; 5—La; 6—Ce;
7—Pr; 8—Nd; 9—Sm;
10—Eu; 11—Gd; 12—
Tb; 13—Dy; 14—Ho;
15—Er; 16—Tm; 17—
Yb; 18—Lu

色谱柱: $300 \text{ mm} \times 3.9 \text{ mm}$ (内径)流动相: 辛酸胺盐缓冲液+四石
酸 (pH: 5)流速: $1 \text{ mL} \cdot \text{min}^{-1}$

检测器: UV (500 nm)

图 11-39 过渡金属与碱土金属离子分离谱图^[15]

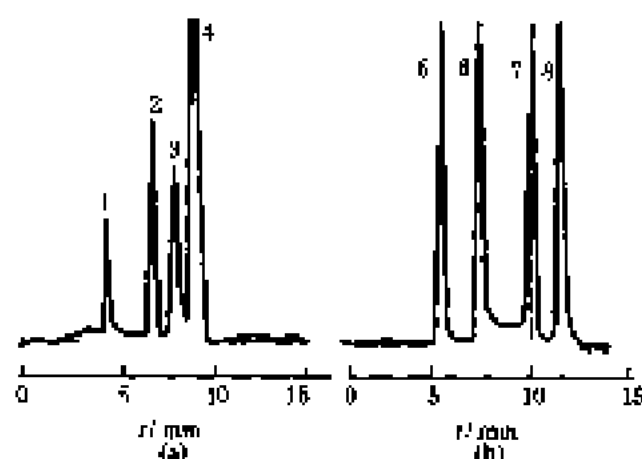
色谱峰: 1— Cu^{2+} ; 2— Zn^{2+} ; 3— Zn^{2+} ; 4— Fe^{2+} ; 5— Mn^{2+} ;
6— Ca^{2+} ; 7— Pb^{2+}

色谱柱: 相互作用 MCL210 磺酸化聚苯乙烯-二乙烯基苯, $16 \text{ cm} \times 2.1 \text{ mm}$ (内径), $5 \mu\text{m}$ 流动相: $10.5 \text{ mmol} \cdot \text{L}^{-1}$ 柠檬酸, $4.5 \text{ mmol} \cdot \text{L}^{-1}$ 1,3-二乙
胺流速: $1.0 \text{ mL} \cdot \text{min}^{-1}$

柱温: 室温

检测器: 电导

图 11-40 过渡金属阳离子谱图^[16]

图 11-41 阳离子分离色谱图 (一)^[28]

色谱峰: 1—Cu, 2—Zn, 3—Fe, 4—HL, 5—Cu, 6—HL, 7—Ni, 8—Ca

色谱柱: Kaseisorb LC, QDS-700-5, 250 mm×4.6 mm (内径)

柱温: 40℃

流动相: (a) 丙酮+水 (体积比=55:45)+ 1×10^{-3} mol·L⁻¹ NH₄SCN

(b) 乙腈+水 (体积比=60:40)+ 1×10^{-3} mol·L⁻¹ NH₄SCN

流速: 0.8 ml·min⁻¹

检测器: UV (400 nm~800 nm)

图 11-42 阳离子分离色谱图 (二)^[29]

色谱峰: 1—Mn²⁺, 2—Co²⁺, 3—Ni²⁺, 4—Cu²⁺

色谱柱: C₁₈硅胶 Separon SGX RPS, 150 mm×3.0 mm (内径), 5 μm

流动相: 2 mmol·L⁻¹ TBA-OH+2 mmol·L⁻¹ 草酸 + p=10% 甲醇 (pH 5)

检测器: UV (254 nm)

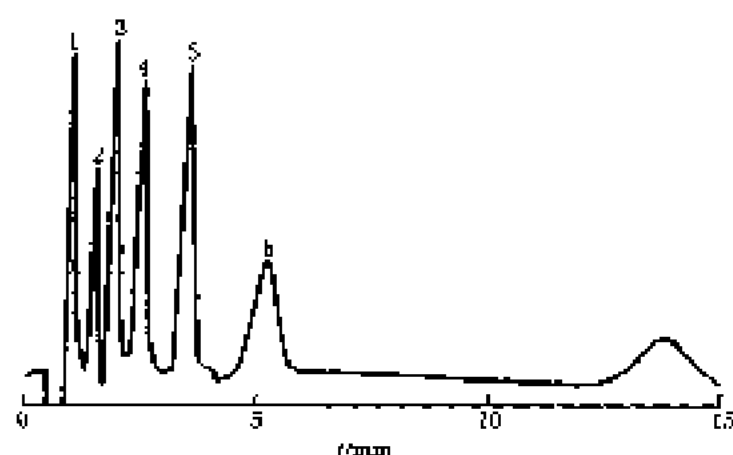
图 11-43 阳离子分离色谱图 (三)^[29]

色谱峰: 1—Cd²⁺, 2—Pb²⁺, 3—Co²⁺, 4—Zn²⁺, 5—Ni²⁺

色谱柱: C₁₈硅胶 Separon SGX RPS, 150 mm×3.0 mm (内径), 5 μm

流动相: 2 mmol·L⁻¹ TBA-OH+2 mmol·L⁻¹ 草酸 + p=5% 甲醇 (pH 5)

检测器: UV (520 nm), 柱后用 PAR 显生化反应



色谱峰: 1— Na^+ ; 2— NH_4^+ ; 3— K^+ ; 4— Rb^+ ;
5— Cs^+ ; 6— Mg^{2+} ; 7— Ca^{2+}

色谱柱: 相互作用 MC-320, 磺胺化聚苯乙烯
—乙氧基苯, $10\text{ cm} \times 3.2\text{ mm}$ (内
径), $5\text{ }\mu\text{m}$

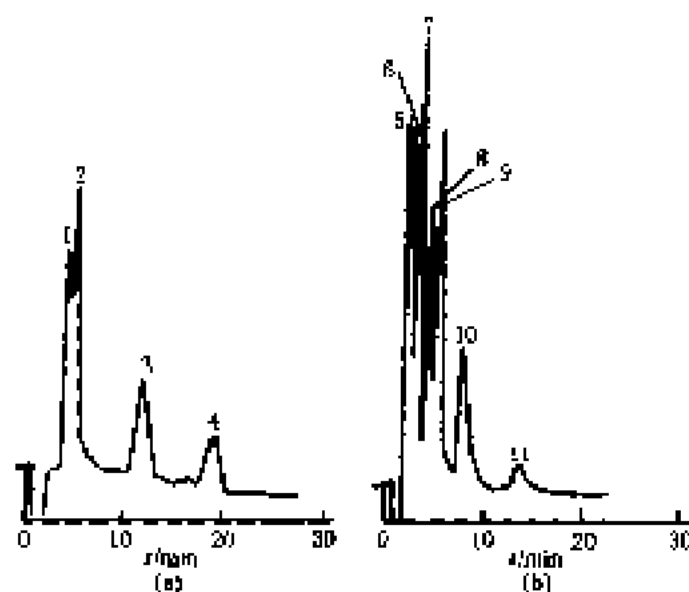
流动相: $0.05\text{ mmol} \cdot \text{L}^{-1} \text{Ca}_2\text{SO}_4$

流 速: $1.0\text{ ml} \cdot \text{min}^{-1}$

调 度: 空调

检测器: UV (254 nm) 反射信号

图 11-44 碱金属和碱土金属阳离子色谱图^[27]



色谱峰: 1— Sr^{2+} ; 2— Ba^{2+} ; 3— Cl^- ; 4— Br^- ;
5— Li^+ ; 6— Na^+ ; 7— Rb^+ ;
8— P^{3-} ; 9— Cl^- ; 10— Br^- ; 11— I^-

色谱柱: (a) Polysar-2r

(b) Zorbax

流动相: (a) $0.25\text{ mmol} \cdot \text{L}^{-1} \text{Ca}(\text{NO}_3)_2$

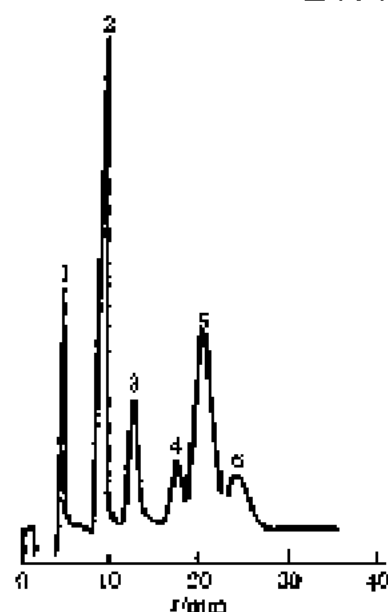
(b) $1.53\text{ mmol} \cdot \text{L}^{-1} \text{BTMA-PTS}$

流 速: $1.0\text{ ml} \cdot \text{min}^{-1}$

检测器: (a) IPD (240 nm);

(b) IPD (254 nm)

图 11-45 阴阳离子同时分离色谱图^[28]



色谱峰: 1— Cl^- ; 2— NO_3^- 和 Br^- ; 3— Na^+ ; 4— K^+ ; 5— Rb^+ ; 6— Cs^+

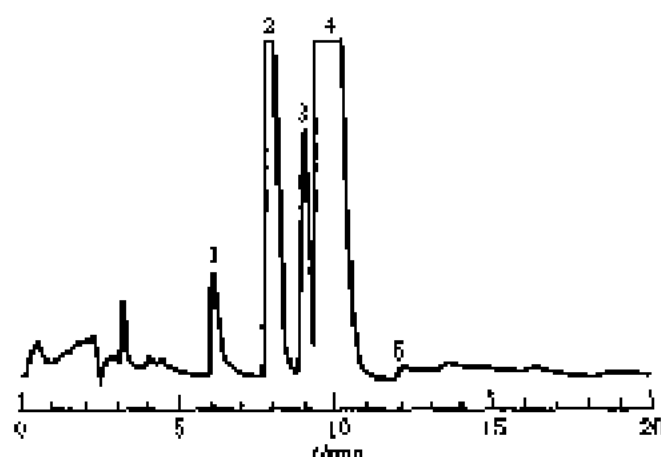
色谱柱: Dimec HPLC-CSS

流动相: $1.53\text{ mmol} \cdot \text{L}^{-1} \text{BTMA-PTS}$

流 速: $1.0\text{ ml} \cdot \text{min}^{-1}$

检测器: IPD (254 nm)

图 11-46 阴阳离子同时分离和 IPD 检测色谱图^[29]

图 11-47 阴沟处理厂人口液中过渡金属阳离子分离色谱图^[6]

[样品浓度为 HCl (pH2) 在上柱前体积比=1:10 稀释]

色谱峰: 1— Fe^{2+} ($0.29 \text{ mg} \cdot \text{L}^{-1}$); 2— Cu^{2+} ($5.87 \text{ mg} \cdot \text{L}^{-1}$); 3— Ni^{2+} ($0.12 \text{ mg} \cdot \text{L}^{-1}$); 4— Zn^{2+} ($23.2 \text{ mg} \cdot \text{L}^{-1}$); 5— Cd^{2+} ($0.12 \text{ mg} \cdot \text{L}^{-1}$)

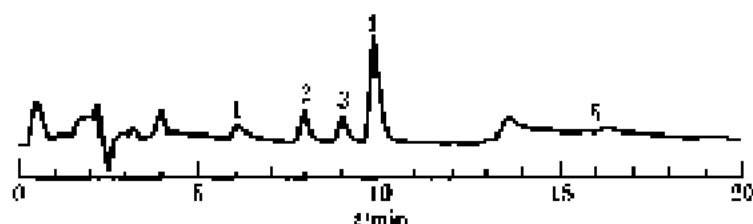
色谱柱: IonPac CG5A+CS5A

柱温: 室温

流动相: $7 \text{ mmol} \cdot \text{L}^{-1}$ PDCa + $66 \text{ mmol} \cdot \text{L}^{-1}$ KOH + $5.6 \text{ mmol} \cdot \text{L}^{-1}$ K_2SO_4 + $74 \text{ mmol} \cdot \text{L}^{-1}$ HCOOH (pH4.2)

流速: $1.0 \text{ mL} \cdot \text{min}^{-1}$

检测器: 可见吸收 (530 nm)

图 11-48 阴沟处理厂出口液中过渡金属阳离子分离色谱图^[6]

[样品浓度为 HCl (pH2) 在上柱前体积比=1:10 稀释]

色谱峰: 1— Fe^{2+} ($35.4 \text{ mg} \cdot \text{L}^{-1}$); 2— Cu^{2+} ($0.11 \text{ mg} \cdot \text{L}^{-1}$); 3— Ni^{2+} ($35.8 \text{ mg} \cdot \text{L}^{-1}$); 4— Zn^{2+} ($0.57 \text{ mg} \cdot \text{L}^{-1}$); 5— $\text{Fe}^{3+}(\text{F})$

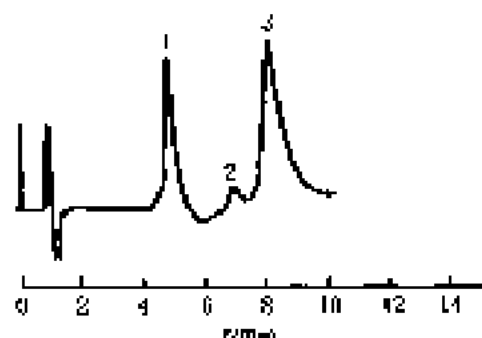
色谱柱: IonPac CG5A+CS5A

柱温: 室温

流动相: $7 \text{ mmol} \cdot \text{L}^{-1}$ PDCa + $66 \text{ mmol} \cdot \text{L}^{-1}$ KOH + $5.6 \text{ mmol} \cdot \text{L}^{-1}$ K_2SO_4 + $74 \text{ mmol} \cdot \text{L}^{-1}$ HCOOH (pH4.2)

流速: $1.0 \text{ mL} \cdot \text{min}^{-1}$

检测器: 可见吸收 (530 nm)



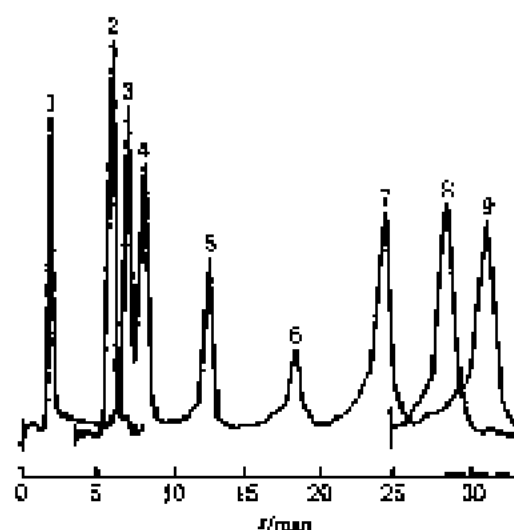
色谱峰: 1— AuCl_4^- ($4.0 \mu\text{L} \cdot \text{L}^{-1}$); 2— RhCl_4^- ($3.2 \mu\text{L} \cdot \text{L}^{-1}$); 3— PtCl_4^- ($0.5 \mu\text{L} \cdot \text{L}^{-1}$)

色谱柱: 奥龙 P8-DVB 二度树脂, $100 \text{ mm} \times 4.6 \text{ mm}$

流动相: $15 \text{ mmol} \cdot \text{L}^{-1}$ NaClO_4 (pH2.58)

检测器: UV (200 nm)

图 11-49 阴离子氯-金属络合物分离图谱^[6]

图 11-50 二价、三价金属离子分离色谱图^[20]

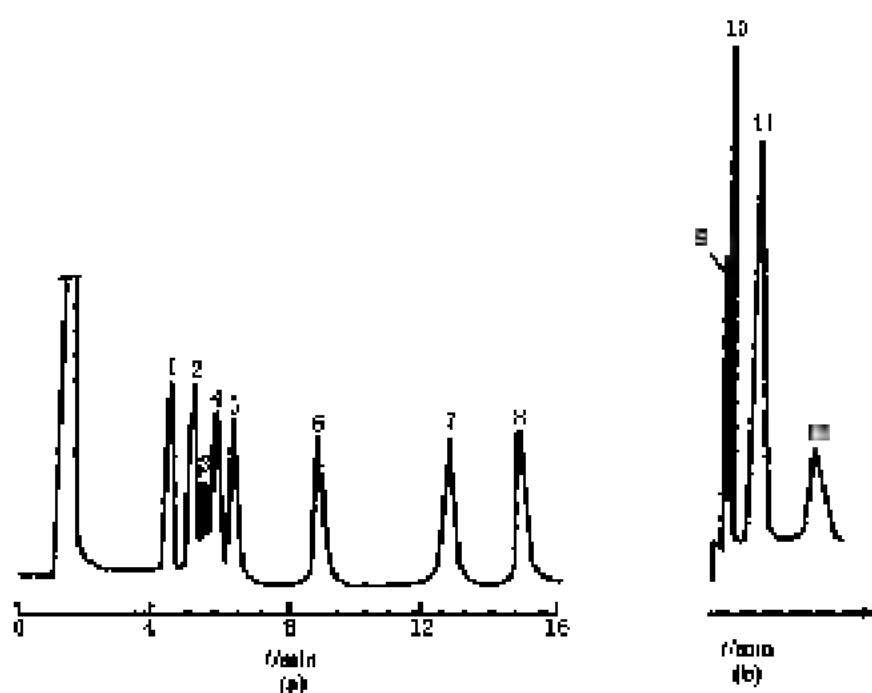
色谱峰: 1—Fe; 2—Pb; 3—Zn; 4—Ni; 5—Co; 6—Ca; 7—Cr; 8—Mn; 9—Mg

色谱柱: 磷酸丙酯化 BioGel SEC 7 阳离子交换剂 ($Q=0.295 \text{ mmol} \cdot \text{ml}^{-1}$ 床体积)

流动相: $0.1 \text{ mol} \cdot \text{L}^{-1}$ 酒石酸 (用 NaOH 调节至 pH3.12)

流 速: $1 \text{ ml} \cdot \text{min}^{-1}$

检测器: UV, 柱后检测 Zn-EDTA-PAR

图 11-51 碱土金属、过渡金属和重金属分离色谱图^[21]

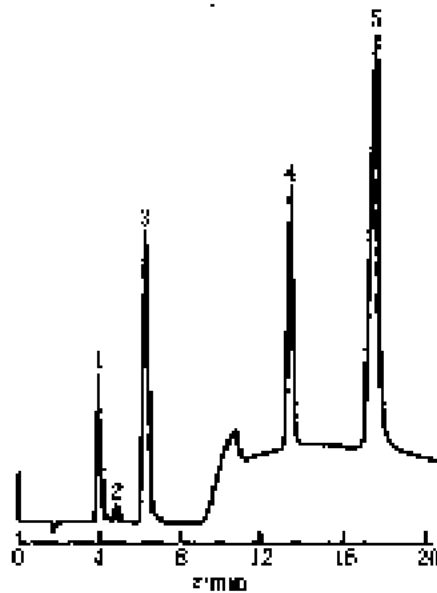
色谱峰: 1— Mg^{2+} ; 2— $\text{Cu}^{2+}/\text{Sr}^{2+}$; 3— Mn^{2+} ; 4— Be^{2+} ; 5— Be^{2+} ; 6— Co^{2+} ; 7— Cr^{3+} ; 8— Zn^{2+} ; 9—Mo (I); 10—Cd (I); 11—Zn (II); 12—Pb (I)

色谱柱: (a) 填充与氨基羧二乙基络合的硅胶; (b) 色谱柱, 用羧基凝胶的紫红色柱

流动相: (a) $7 \text{ mmol} \cdot \text{L}^{-1}$ HNO_3 ; (b) $1 \text{ mol} \cdot \text{L}^{-1}$ KNO_3 (pH3.7)

流 速: (a) $1 \text{ ml} \cdot \text{min}^{-1}$

检测器: (a) 间接电导; (b) 分光光度检测在柱后与 PAR 反应后检测 (540 nm)

图 11-52 芹菜叶中阳离子分离色谱图^[20]

色谱峰: 1— Na^+ ; 2— NH_4^+ ; 3— K^+ ; 4— Mg^{2+} ; 5— Ca^{2+}
 色谱柱: 分析柱: IonPac[®] CS3 (Dionex) 阴离子乙炔-二乙胺基季阳离子交换膜, 250 mm × 4 mm (内径), 10 μm
 保护柱: IonPac CG3 (Dionex) 阴离子乙炔-二乙胺基季阳离子交换膜, 50 mm × 4 mm (内径), 10 μm
 流动相: A: 12 mmol · L⁻¹ HCl; B: 50 mmol · L⁻¹ 单盐酸二乙基丙酸
 B: 48 mmol · L⁻¹ HCl; B: 0 mmol · L⁻¹ 单盐酸二乙基丙酸

梯度洗脱: 0% B $\xrightarrow{1 \text{ min}}$ 0% B $\xrightarrow{0.1 \text{ min}}$ 100% B

流速: 1.0 ml · min⁻¹

温度: 室温

检测器: 压阻电导

图 11-54 乙胺的单柱离子色谱分离色谱图^[21]

色谱峰: 1—单乙胺; 2—二乙胺; 3—三乙胺; 4— Mg^{2+} ; 5— Ca^{2+}

色谱柱: Alltech Universal Cation, 100 mm × 4.6 mm (内径)

流动相: 5 mmol · L⁻¹ HNO₃

流速: 1.0 ml · min⁻¹

检测器: 电导检测器

图 11-55 单价和二价离子分离色谱图^[22]

色谱峰: 1— Na^+ ; 2— Cl^- ; 3— Pb^{2+} ; 4— Mg^{2+} ; 5— Sr^{2+}

色谱柱: 填充 TSK IC Carlon SW, 50 mm × 7.8 mm (内径)

柱温: 30 °C

流动相: 3.5 mmol · L⁻¹ 1,2-乙二酸/10.0 mmol · L⁻¹ 柠檬酸 (pH=4.2用 HCl 调节)

流速: 1.0 ml · min⁻¹

检测器: 电导

图 11-56 单价和二价阳离子的单柱离子色谱同时分离谱图 (一)^[23]

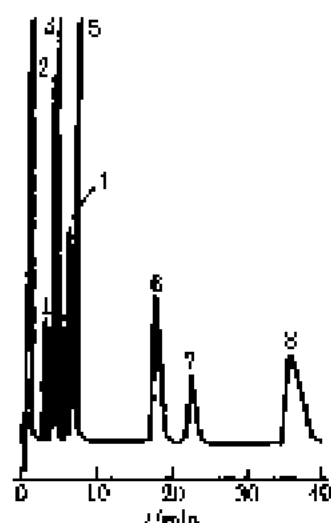
色谱峰: 1— Li^+ ; 2— Na^+ ; 3— NH_4^+ ; 4— K^+ ; 5— Mg^{2+} ; 6— Ca^{2+}

色谱柱: Alltech Universal Cation, 100 mm × 4.6 mm (内径)

流动相: 4 mmol · L⁻¹ HNO₃

流速: 1.0 ml · min⁻¹

检测器: 电导检测器



色谱峰: 1— Li^+ ; 2— Na^+ ; 3— NH_4^+ ; 4— K^+ ; 5— Rb^+ ; 6— Mg^{2+} ; 7— Ca^{2+} ; 8— Ba^{2+}

色谱柱: Alluach Universal Cation, 100 mm \times 4.6 mm (内径)

流动相: 5 mmol \cdot L $^{-1}$ HNO_3

流速: 1.0 ml \cdot min $^{-1}$

检测器: 电导检测器

图 11-56 单价和二价阳离子的单柱离子色谱同时分离谱图 (二)^[10]

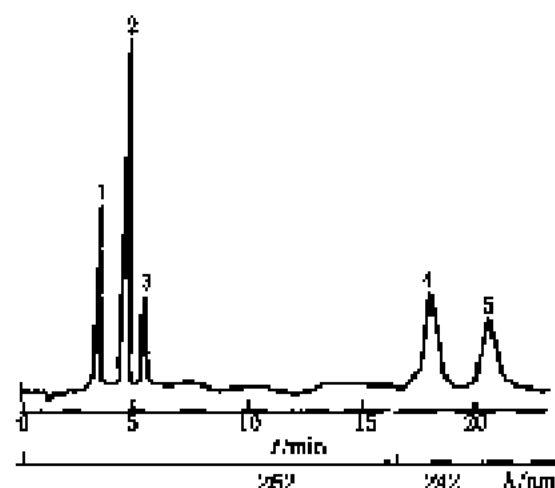


图 11-57 金属-EDTA 络合物分离色谱图 (一)^[10]

色谱峰: 1—Bi ($3\mu\text{g} \cdot \text{ml}^{-1}$); 2—Fe ($1\mu\text{g} \cdot \text{ml}^{-1}$); 3—Co ($1\mu\text{g} \cdot \text{ml}^{-1}$); 4—Cu ($5\mu\text{g} \cdot \text{ml}^{-1}$); 5—Pb ($5\mu\text{g} \cdot \text{ml}^{-1}$)

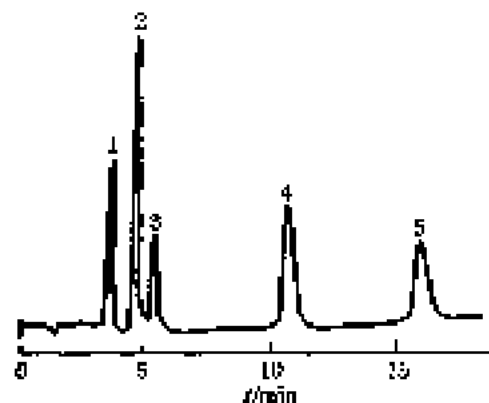
色谱柱: 填充 10 μm Lichrospher 100 RP-18, 250 mm \times 4 mm (内径)

流动相: 缓冲液 A 是 50 mmol \cdot L $^{-1}$ HCOOH + 1.0 mmol \cdot L $^{-1}$ Na_2EDTA + 10 mmol \cdot L $^{-1}$ TBAOH + NaOH (pH=2), 缓冲液 B 为缓冲液 A + 甲醇 (95+5 体积分数)

流速: 1.5 ml \cdot min $^{-1}$

进样量: 100 μl

检测器: 光电波长 254



色谱峰: 1—Bi (4); 2—Fe (2); 3—Co (2); 4—Cu (10); 5—Pb (10)

色谱柱: 填充 Lichrospher 100 RP-18, 250 mm \times 4 mm (内径), 10 μm

流动相: 缓冲液 A 是 50 mmol \cdot L $^{-1}$ HCOOH + 1.0 mmol \cdot L $^{-1}$ Na_2EDTA + 10 mmol \cdot L $^{-1}$ TBAOH + NaOH (pH=2.5)

流速: 1.5 ml \cdot min $^{-1}$

进样品: 100 μl

图 11-58 金属-EDTA 络合物分离色谱图 (二)^[10]

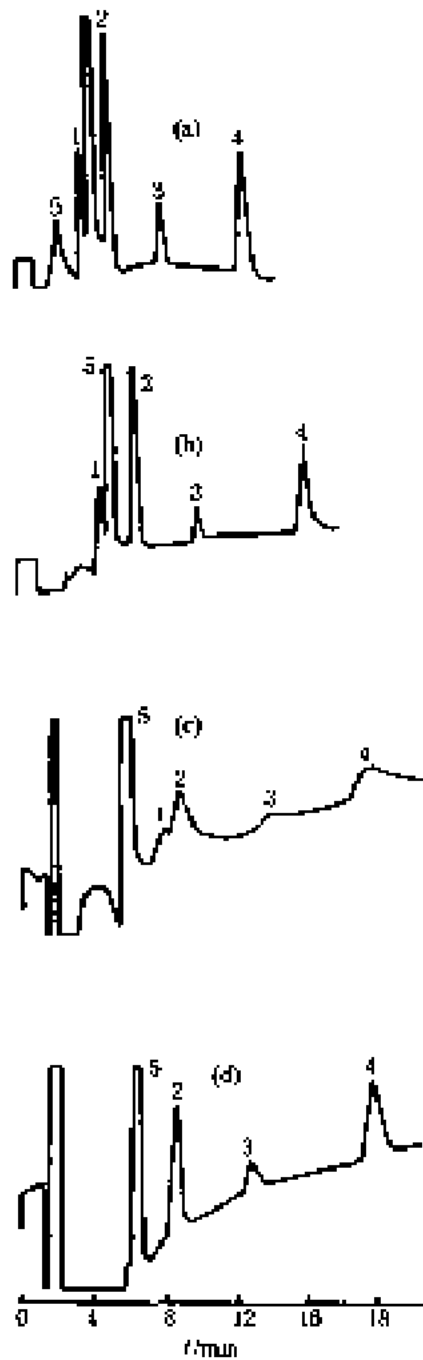


图 11-59 金属的 8-羟基喹啉
络合物谱图^[52]

色谱峰: 1—Cu; 2—Al; 3—Fe; 4—Mn; 5—8-羟基喹啉

色谱柱: (a) μ -Bondasphere(Waters);
(b) Ultrasphere-IDS (Pekman);
(c) Lichrosorb RP-18 (Mack);
(d) Iskrel CDS-90TM (Tosch)

流动相: 乙醇+乙酸铵缓冲液 (体积比=2:3,
含有 8-羟基喹啉)

检测器: UV (390 nm)

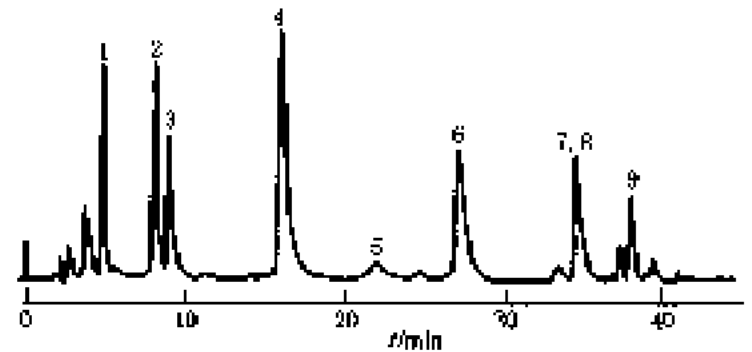


图 11-60 金属 8-羟基喹啉标准样反相分离谱图^[52]

色谱峰: 1—VOP₂; 2—VOP₄; 3—NIP₂; 4—NIP₄; 5—VOP₁; 6—VOP₂;
7—NIP₁; 8—NIP₃; 9—NIP₂

色谱柱: Zorbax CDS

流动相: A 甲醇+水 (体积比=1:1); B 冰醋酸

梯度冲液: 5 min 冲洗到 45%B, 20 min 线性梯度冲液到 60%B, 10 min
线性梯度冲液到 65%B, 10 min 线性梯度冲液到 100%B

检测器: 可见光 (405 nm)



图 11-61 金属氰化络合物分离色谱图^[53]

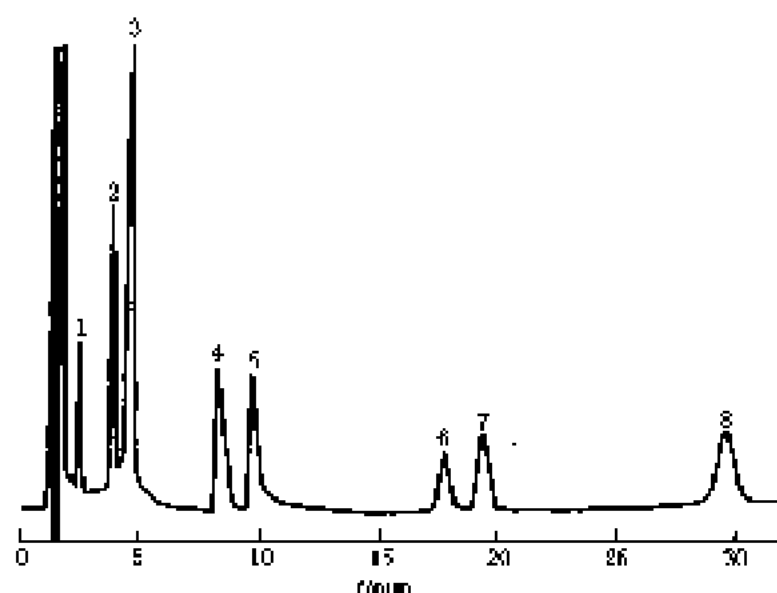
色谱峰: 1—Ag(I); 2—Au(I); 3—Cu(I); 4—Ni(I); 5—Fe(I);
6—Pd(I); 7—Co(I); 8—Pt(I) (浓度为 $10 \text{ mg} \cdot \text{L}^{-1}$)

色谱柱: IonPac AS5 250 mm \times 4 mm 阴离子交换柱

流动相: 0~18 min 内, $50 \text{ mmol} \cdot \text{L}^{-1} \text{NaClO}_4$ 线性升为 $125 \text{ mmol} \cdot \text{L}^{-1}$
 NaClO_4 , 18 min 后以 $20 \text{ mmol} \cdot \text{L}^{-1} \text{NaCN}$ 和 $20 \text{ mmol} \cdot \text{L}^{-1}$
 NaOH 洗脱相

流速: $1 \text{ mL} \cdot \text{min}^{-1}$

检测器: UV (215 nm)

图 11-62 金属-草氧化物络合物分离色谱图 (一)^[6]

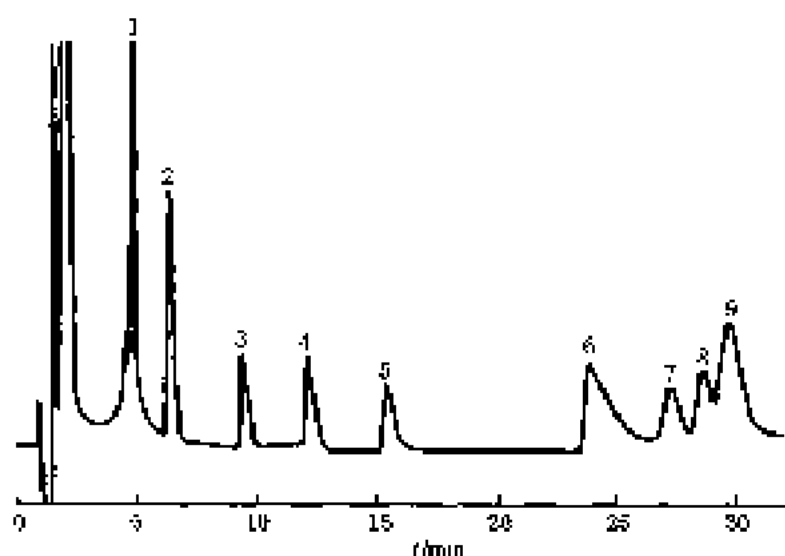
色谱峰: 1— $\text{Mn}(\text{C}_2\text{O}_4)_2$; 2— $\text{Ca}(\text{C}_2\text{O}_4)_2$; 3— $\text{Fe}(\text{C}_2\text{O}_4)_3$; 4— $\text{Co}(\text{C}_2\text{O}_4)_2$; 5— $\text{Ni}(\text{C}_2\text{O}_4)_2$; 6— $\text{Pd}(\text{C}_2\text{O}_4)_2$; 7— $\text{Pt}(\text{C}_2\text{O}_4)_2$; 8— $\text{Au}(\text{C}_2\text{O}_4)_3$

色谱柱: NOVAsorb-Pak C_{18} 反相柱, 150 mm \times 3.9 mm

填料: NOVAsorb-Pak C_{18} , 5 mm \times 3.9 mm

流动相: 5.02 mmol \cdot L⁻¹ NaClO_4

检测器: UV (215 nm)

图 11-63 金属-草氧化物络合物分离色谱图 (二)^[6]

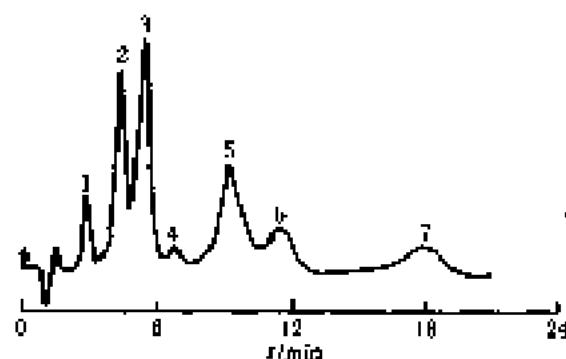
色谱峰: 1— $\text{Cu}(\text{C}_2\text{O}_4)_2$; 2— $\text{Mg}(\text{C}_2\text{O}_4)_2$; 3— $\text{Co}(\text{C}_2\text{O}_4)_2$; 4— $\text{Fe}(\text{C}_2\text{O}_4)_3$; 5— $\text{Ni}(\text{C}_2\text{O}_4)_2$; 6— $\text{Ca}(\text{C}_2\text{O}_4)_2$; 7— $\text{Pd}(\text{C}_2\text{O}_4)_2$; 8— $\text{Pt}(\text{C}_2\text{O}_4)_2$; 9— $\text{Au}(\text{C}_2\text{O}_4)_3$

色谱柱: NOVAsorb-Pak C_{18} 反相柱, 150 mm \times 3.9 mm

填料: NOVAsorb-Pak C_{18} , 5 mm \times 3.9 mm

流动相: 0.04 mmol \cdot L⁻¹ NaClO_4

检测器: UV (215 nm)

图 11-64 标准金属离子混合样色谱图^[2]

色谱峰: 1— Ba^{2+} ; 2— Mg^{2+} ; 3— Zn^{2+} ; 4— Fe^{2+} ; 5— Cu^{2+} ; 6— Al^{3+} ; 7— Pb^{2+}

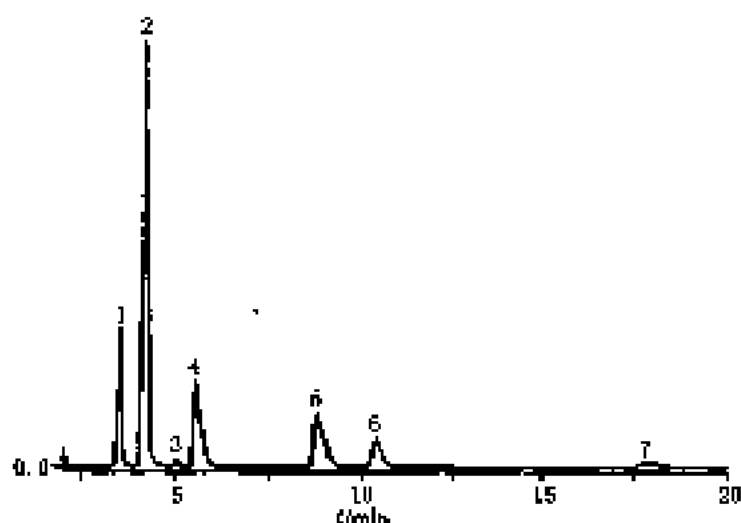
色谱柱: PEEK, 50 mm \times 4.5 mm (内径)

柱温: 45℃

流动相: 2.0×10^{-3} mol \cdot L⁻¹ HNO_3

流速: 1.4 mL \cdot min⁻¹

检测器: UV (465 nm)

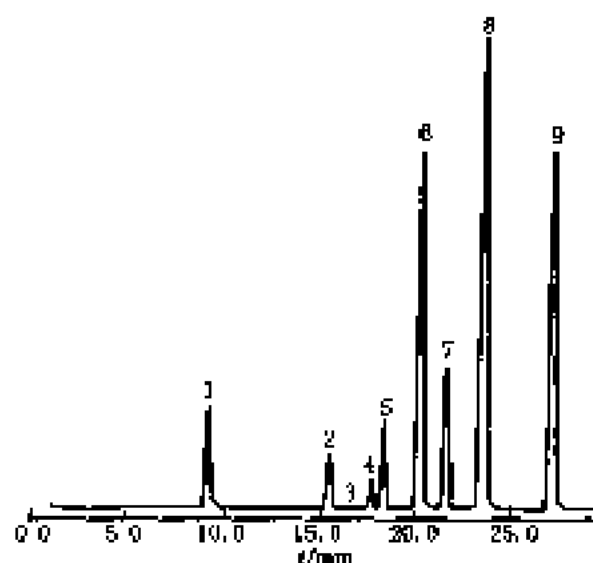
图 11-65 标准硫氰化物和 6 种金属硫氰化物络合物色谱图^[34]

色谱峰: 1— SCN^- ; 2— $\text{Cu}(\text{I})$; 3— Ag ; 4— $\text{Fe}(\text{I})$; 5— $\text{Co}(\text{I})$; 6— $\text{Ni}(\text{II})$; 7— $\text{Au}(\text{I})$

色谱柱: NoVa-Pak C_{18} , 15 cm

流动相: 25%乙醇 + $5 \text{ mmol} \cdot \text{L}^{-1}$ 高紫外 FIDA, $75 \mu\text{mol} \cdot \text{L}^{-1}$ NaCl (pH 8.0)

检测器: UV (214 nm)

图 11-66 独居石砂中轻稀土元素分离谱图^[37]

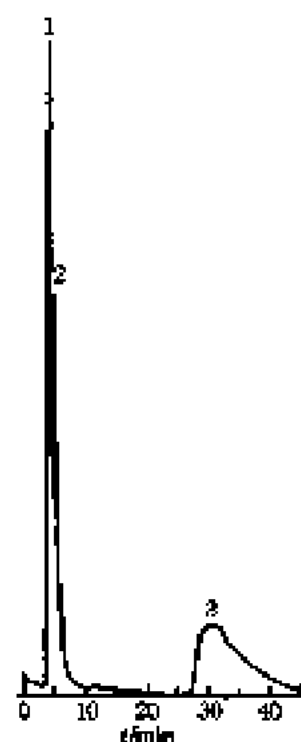
色谱峰: 1—钍; 2—铈和钇; 3—铈; 4—铈和钆; 5—铈; 6—铈; 7—铈; 8—铈; 9—铈

色谱柱: Hitachi ODS NC 3050, 4 mm × 150 mm, 5 μm

流动相: 乳酸 $0.05 \text{ mol} \cdot \text{L}^{-1}$ 至 $0.5 \text{ mol} \cdot \text{L}^{-1}$ (30 min)
(pH 5), $0.01 \text{ mol} \cdot \text{L}^{-1}$ 1-辛磺酸

流速: $1 \text{ ml} \cdot \text{min}^{-1}$

检测器: 柱后与 Arsenazo II 反应检测

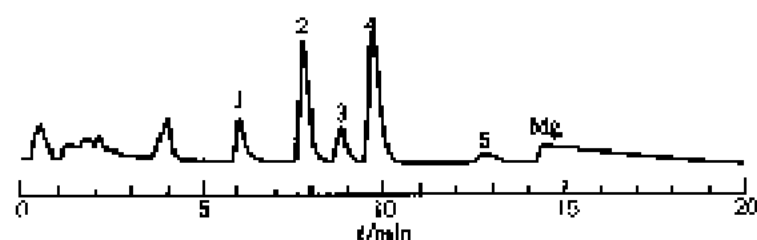
图 11-67 重金属离子分析色谱图^[38]

色谱峰: 1—Zn; 2—Cd; 3—Pb

色谱柱: 填充 PEEK, 150 mm × 4.6 mm (内径)

流动相: $0.5 \text{ mol} \cdot \text{L}^{-1}$ KNO_3 + $0.05 \text{ mol} \cdot \text{L}^{-1}$ 乳酸
用 NH_3 调节至 pH 4.5

检测器: PAR (490nm)

图 11-68 某菌河水色谱图^[5]

【样品溶液为 HCl (pH2) 在上柱前体积比=1:10 稀释】

色谱峰: 1— Fe^{2+} (0.11 $\text{mg} \cdot \text{L}^{-1}$); 2— Cu^{2+} (0.64 $\text{mg} \cdot \text{L}^{-1}$); 3— Ni^{2+} (56.8 $\text{mg} \cdot \text{L}^{-1}$); 4— Zn^{2+} (0.78 $\text{mg} \cdot \text{L}^{-1}$); 5— Mn^{2+} (22.9 $\text{mg} \cdot \text{L}^{-1}$)

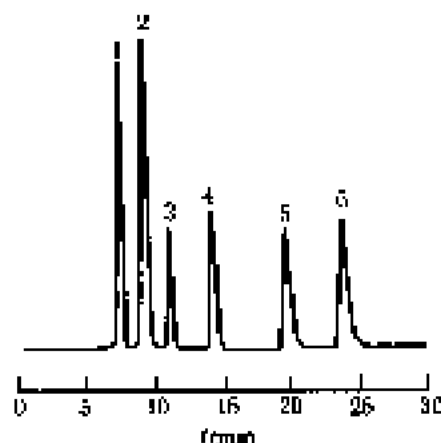
色谱柱: IonPac CS5A+CS5A

柱温: 室温

流动相: 7 mmol $\cdot \text{L}^{-1}$ PDCA+66 mmol $\cdot \text{L}^{-1}$ KOH+5.8 mmol $\cdot \text{L}^{-1}$ $\text{K}_2\text{S}_2\text{O}_8$ +74 mmol $\cdot \text{L}^{-1}$ HCOOH (pH4-2)

流速: 1.0 $\text{ml} \cdot \text{min}^{-1}$

检测器: 可见吸收 (620 nm)

图 11-69 通过柱切换分离无机阳离子的谱图^[29]

色谱峰: 1— Mg^{2+} ; 2— Ca^{2+} ; 3— Li^+ ; 4— Na^+ ; 5— NH_4^+ ; 6— K^+

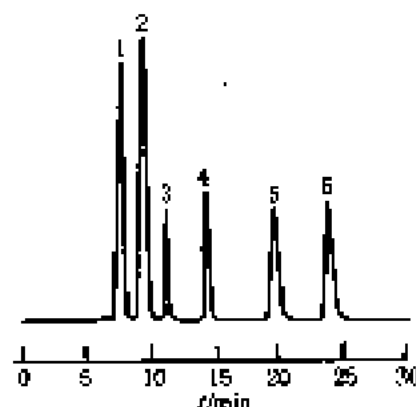
色谱柱: (1) 250 mm \times 2 mm IonPac CS12A; (2) 250 mm \times 2 mm IonPac CS10, 6 min 进样柱切换

柱温: 室温

流动相: 24 mmol $\cdot \text{L}^{-1}$ 甲磺酸

流速: 0.25 $\text{ml} \cdot \text{min}^{-1}$

检测器: 压电电极



色谱峰: 1— Mg^{2+} ; 2— Ca^{2+} ; 3— Li^+ ; 4— Na^+ ; 5— NH_4^+ ; 6— K^+

色谱柱: IonPac CS 12A 和 CS10

流动相: 24 mmol $\cdot \text{L}^{-1}$ 甲磺酸

流速: 1.0 $\text{ml} \cdot \text{min}^{-1}$

检测器: 电导检测器

图 11-70 通过柱切换分离 6 种常见阳离子的色谱图^[30]

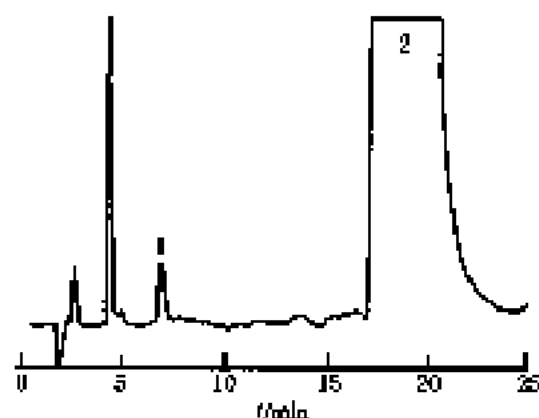


图 11-71 高浓度 K^+ 与低浓度 NH_4^+ 分离色谱图^[11]

色谱峰: 1— NH_4^+ ; 2— K^+

色谱柱: kmPac OX15 和 CS15

柱温: $40^\circ C$

流动相: $5 \text{ mmol} \cdot L^{-1} H_2SO_4 + 9\%$ 乙醇

流速: $1-2 \text{ ml} \cdot \text{min}^{-1}$

检测器: 电导检测器

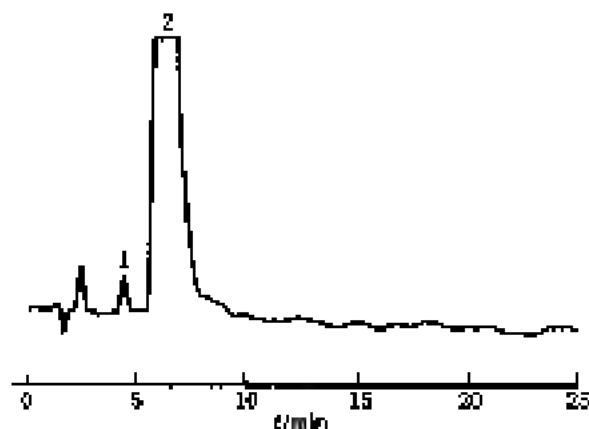


图 11-72 高浓度乙醇胺与低浓度

Na^+ 分离色谱图^[12]

色谱峰: 1— Na^+ ; 2—乙醇胺

色谱柱: IonPac CG15 和 CS15

柱温: $40^\circ C$

流动相: $5 \text{ mmol} \cdot L^{-1} H_2SO_4 + 9\%$ 乙醇

流速: $1-2 \text{ ml} \cdot \text{min}^{-1}$

检测器: 电导检测器

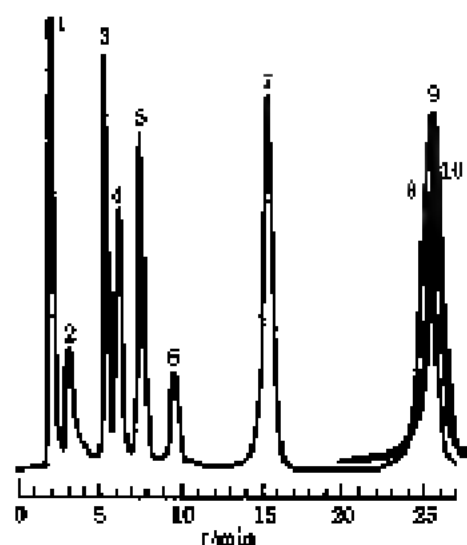


图 11-73 高能力磺酸内酯化

BioGel SEC 7 阳离子交换剂对

二价和三价阳离子分离色谱图^[20]

色谱峰: 1— Fe^{2+} ; 2— Cu^{2+} ; 3— Zn^{2+} ; 4— Ni^{2+} ; 5— Pb^{2+} ; 6— Co^{2+} ; 7— Cd^{2+} ; 8— Mn^{2+} ; 9— Ca^{2+} ; 10— Mg^{2+}

色谱柱: 磺酸丙酯化 BioGel SEC 7 阳离子交换剂

流动相: $0.1\% \text{ mol} \cdot L^{-1}$ 酒石酸 (用 $NaOH$ 调节 pH 至 8.42)

流速: $1 \text{ ml} \cdot \text{min}^{-1}$

检测器: UV, 柱后检测 2a-EDTA-PAR

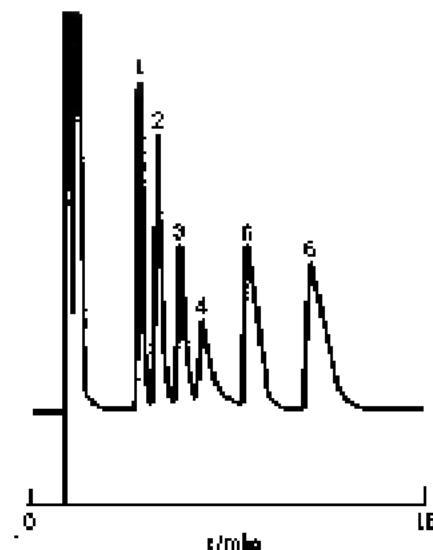


图 11-74 普通磺金属和碱土

金属阳离子色谱图 (一)^[13]

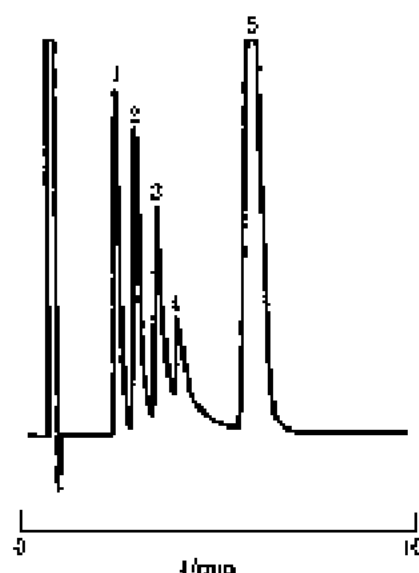
色谱峰: 1— Li^+ ; 2— Na^+ ; 3— NH_4^+ ; 4— K^+ ; 5— Ca^{2+} ; 6— Mg^{2+}

色谱柱: Ixodacod 30-5, $150 \text{ mm} \times 4.6 \text{ mm}$ (内径)

流动相: $5 \text{ mmol} \cdot L^{-1} HNO_3 + 0.5 \text{ mmol} \cdot L^{-1}$ 吡啶-2,6-二酸

流速: $1 \text{ ml} \cdot \text{min}^{-1}$

检测器: 荧光检测



色谱峰: 1— Li^+ ; 2— Na^+ ; 3— NH_4^+ ; 4— K^+ ; 5— Mg^{2+} 、 Ca^{2+}

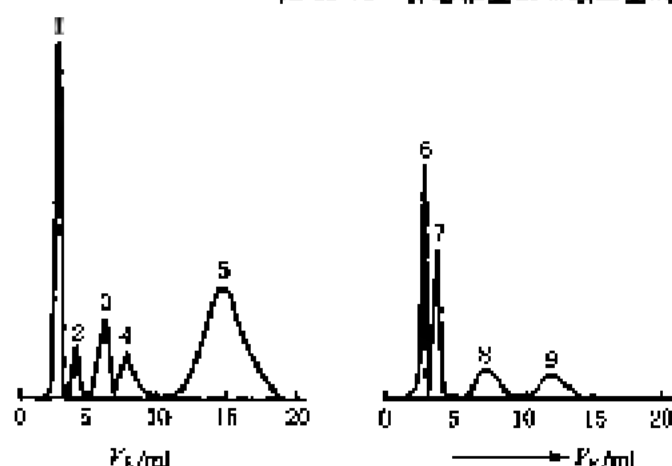
色谱柱: Develoal 20-5, 150 mm \times 4.6 mm (内径)

流动相: $0.5 \text{ mmol} \cdot \text{L}^{-1} \text{ CuSO}_4$

流速: $1 \text{ mL} \cdot \text{min}^{-1}$

检测器: 间接紫外型 (210 nm)

图 11-75 普通碱金属和碱土金属阳离子色谱图 (二)^[10]



色谱峰: 1— H_2O ; 2— $(\text{CH}_3)_2\text{NH}^+\text{Cl}^-$; 3— $(\text{CH}_3)_3\text{NH}^+\text{Cl}^-$; 4— $(\text{CH}_3)_4\text{N}^+\text{Cl}^-$; 5— $\text{CH}_3\text{NH}_3^+\text{Cl}^-$; 6— H_2O 和 $(\text{C}_6\text{H}_5)_3\text{NH}_3^+\text{Cl}^-$; 7— $(\text{C}_6\text{H}_5)_2\text{NH}^+\text{Cl}^-$; 8— $(\text{C}_6\text{H}_5)_3\text{N}^+\text{Cl}^-$; 9— $\text{C}_6\text{H}_5\text{NH}_3^+\text{Cl}^-$

色谱柱: 二苯基-18-冠-6 配合物

流动相: 甲醇

检测器: 紫外

图 11-76 氧化烷基胺分离色谱图^[10]

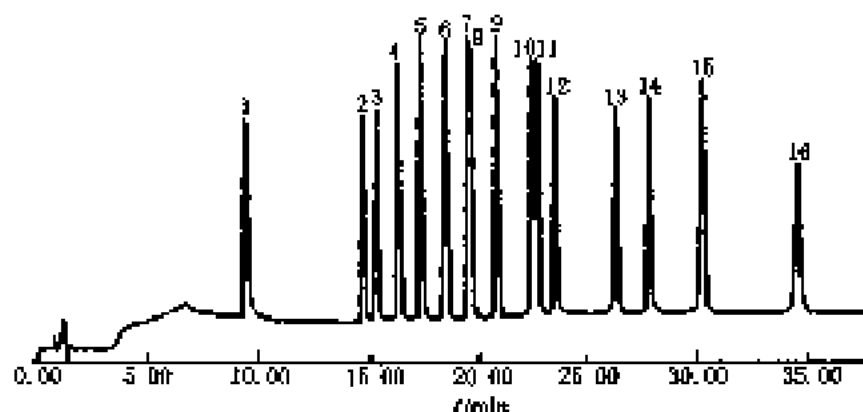


图 11-77 稀土元素分离色谱图 (一)^[12]

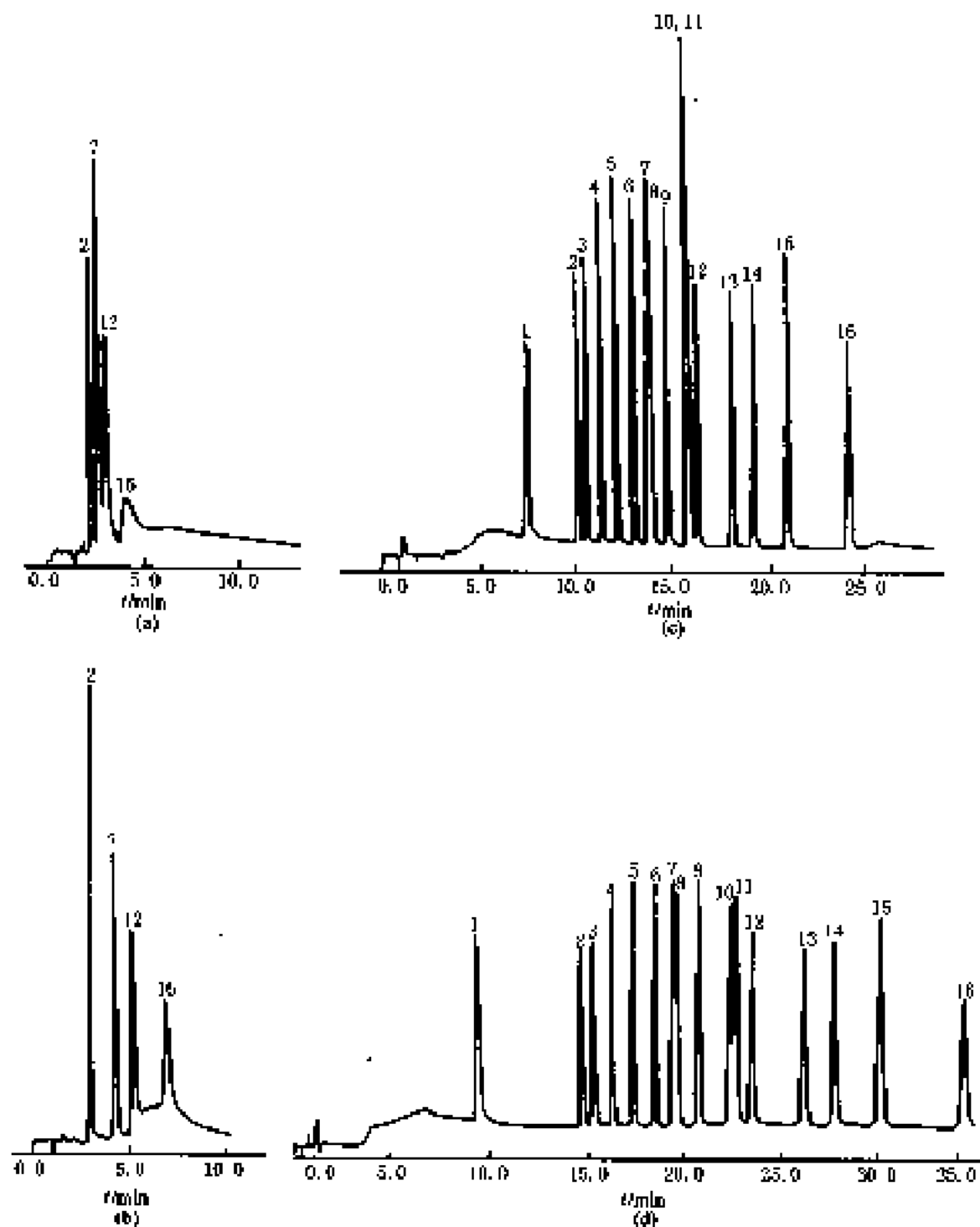
色谱峰: 1—钪; 2—镧; 3—铈; 4—铈; 5—铈; 6—铈; 7—铈; 8—铈; 9—铈; 10—铈; 11—铈; 12—铈; 13—铈; 14—铈; 15—铈; 16—铈

色谱柱: Fluka ODS, NO. 3056, 4 mm \times 150 mm, 5 μm

流动相: 乳酸 ($0.05 \sim 0.5 \text{ mol} \cdot \text{L}^{-1}$ (pH2.5)), 通过 30 μm 梯度洗脱

进样量: 10 μL

检测器: 色谱柱后与 Arsenazo III 反应检测

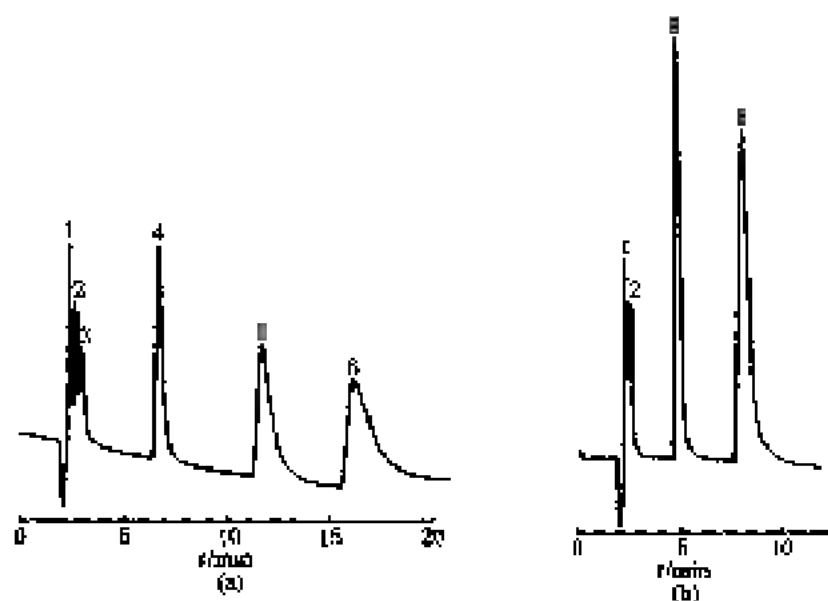
图 11-72 稀土元素分离色谱图 (二)^[11]

色谱峰: 1—Yt, 2—La, 3—Yb, 4—Tm, 5—Er, 6—Ho, 7—Dy, 8—Y, 9—Tb, 10—Gd, 11—Eu, 12—Sm, 13—Nd, 14—Pr, 15—Ce, 16—Li

色谱柱: Hitachi ODS No 3056, 4 mm \times 150 mm, 5 μ m

流动相: (a) 甲酸胺; (b) *p*-甲苯甲酸; (c) *t*-壬烷磺酸; (d) 1,2-二氯乙烷, 经过 30 mm, 用乳酸; [(0.25—0.5) mol/L], pH 3.5]

检测器: UV-Vis (650 nm)

图 11-79 等度分离单价、二价无机阳离子色谱图⁽⁴⁷⁾

色谱峰: 1— Na^+ ($2\text{mg} \cdot \text{L}^{-1}$); 2— K^+ ($2\text{mg} \cdot \text{L}^{-1}$); 3— Co^+ ($2\text{mg} \cdot \text{L}^{-1}$); 4— Mg^{2+} ($4\text{mg} \cdot \text{L}^{-1}$); 5— La^{2+} ($4\text{mg} \cdot \text{L}^{-1}$); 6— Sr^{2+} ($12\text{mg} \cdot \text{L}^{-1}$)

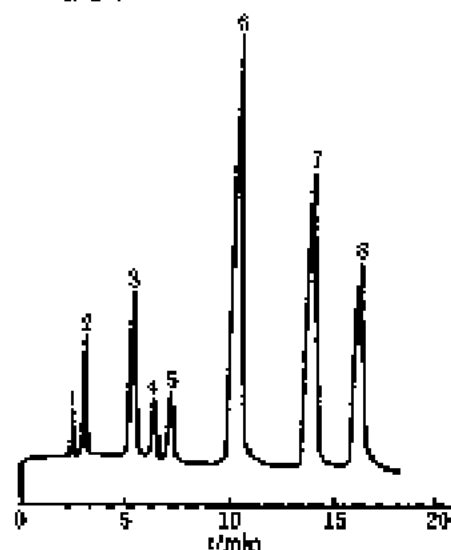
保护柱: CG3 阳离子交换保护柱, $50\text{ mm} \times 4\text{ mm}$, Ionpac CS3

分析柱: $250\text{ mm} \times 4\text{ mm}$

流动相: (a) $4.5\text{ mmol} \cdot \text{L}^{-1}$ 组氨酸 + $27.5\text{ mmol} \cdot \text{L}^{-1}$ HCl ;

(b) $6\text{ mmol} \cdot \text{L}^{-1}$ 组氨酸 + $27.5\text{ mmol} \cdot \text{L}^{-1}$ HCl

检测器: 压阻电导

图 11-80 碱金属、碱土金属和过渡金属离子混合物的分离色谱图⁽⁴⁷⁾

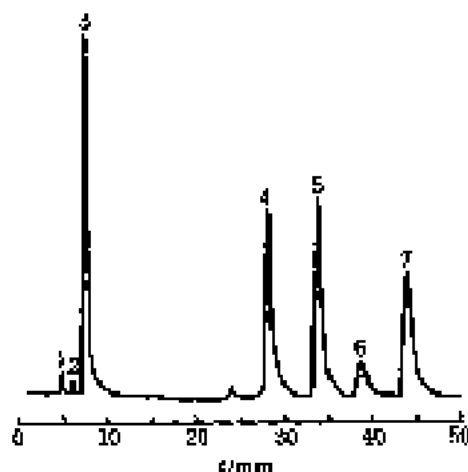
色谱峰: 1— Li ; 2— Na ; 3— Mg ; 4— La ; 5— Ba ; 6— Co ; 7— Cd ; 8— Zn

色谱柱: 填充亚氨基二乙酸的硅载体, $250\text{ mm} \times 4.6\text{ mm}$ (内径)

流动相: $10\text{ mmol} \cdot \text{L}^{-1}$ 磷酸水杨环醚

流速: $1.0\text{ ml} \cdot \text{min}^{-1}$

检测器: 电导

图 11-81 碱土金属和过渡金属离子混合物的分离色谱图⁽⁴⁸⁾

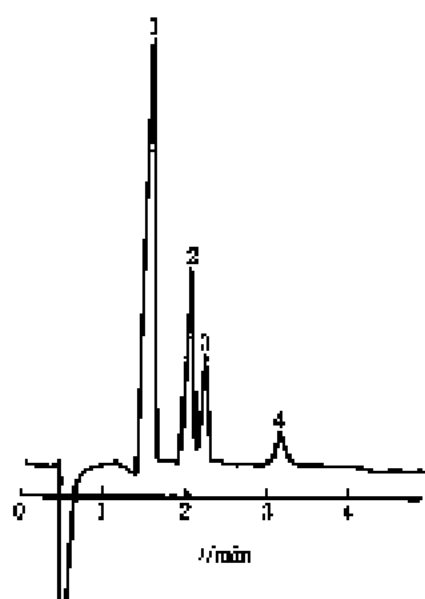
色谱峰: 1— Mg^{2+} ($3\mu\text{g} \cdot \text{ml}^{-1}$); 2— Ca^{2+} ($3\mu\text{g} \cdot \text{ml}^{-1}$); 3— Mn^{2+} ($4\mu\text{g} \cdot \text{ml}^{-1}$); 4— Cd^{2+} ($4\mu\text{g} \cdot \text{ml}^{-1}$); 5— Co^{2+} ($4\mu\text{g} \cdot \text{ml}^{-1}$); 6— Zn^{2+} ($4\mu\text{g} \cdot \text{ml}^{-1}$); 7— Ni^{2+} ($13\mu\text{g} \cdot \text{ml}^{-1}$); 8— Cu^{2+} ($4\mu\text{g} \cdot \text{ml}^{-1}$)

色谱柱: 填充亚氨基二乙酸的硅载体, $250\text{ mm} \times 4\text{ mm}$ (内径)

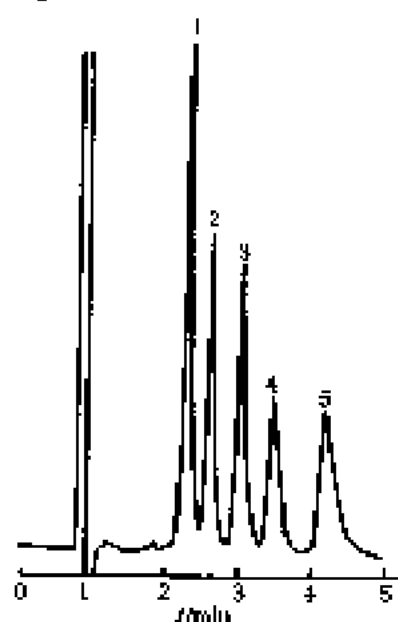
流动相: 三步梯度冲洗: 5~10 min 用 $0.5\text{ mol} \cdot \text{L}^{-1}$ KCl + $5 \times 10^{-4}\text{ mol} \cdot \text{L}^{-1}$ HNO_3 冲洗; 10~30 min $0.08\text{ mol} \cdot \text{L}^{-1}$ 亚硝酸冲洗; 30~50 min $0.01\text{ mol} \cdot \text{L}^{-1}$ 亚硝酸冲洗

流速: $0.8\text{ ml} \cdot \text{min}^{-1}$

检测器: UV (490 nm)

图 11-82 碱土金属离子分离色谱图^[20]

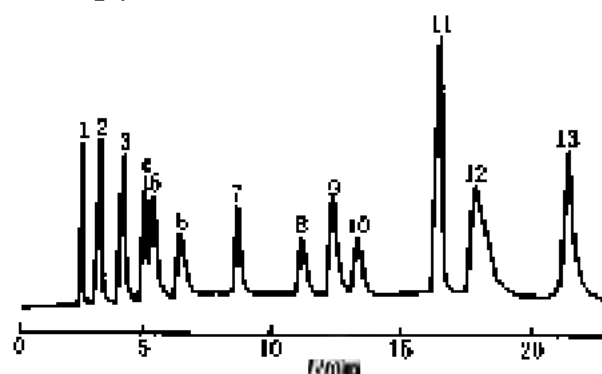
色谱峰: 1— Mg^{2+} ; 2— Ca^{2+} ; 3— Sr^{2+} ; 4— Ba^{2+}
 色谱柱: PRP-X200 (Hamilton) 磺化苯乙烯-二乙烯基苯, $26.0\text{ cm} \times 4.1\text{ mm}$ (内径), $10\text{ }\mu\text{m}$
 流动相: $0.0015\text{ mol} \cdot \text{L}^{-1}$ 硝酸乙二胺
 流速: $2\text{ ml} \cdot \text{min}^{-1}$
 柱温: 室温
 检测器: 电导

图 11-85 碱金属阳离子色谱图^[24]

色谱峰: 1— Li^{+} ; 2— Na^{+} ; 3— NH_4^{+} ; 4— K^{+} ; 5— Cs^{+}
 色谱柱: PRP-X200 (Hamilton) 磺化聚苯乙烯-乙烯基苯, $15.0\text{ cm} \times 4.1\text{ mm}$ (内径), $10\text{ }\mu\text{m}$
 流动相: 水-甲醇 (70+30), $0.004\text{ mol} \cdot \text{L}^{-1}$ 磷酸, 梯度冲洗
 流速: $2\text{ ml} \cdot \text{min}^{-1}$
 柱温: 室温
 检测器: 电导

图 11-83 碱金属、碱土金属和过渡金属离子分离色谱图^[24]

色谱峰: 1— Na^{+} ($5\text{ mg} \cdot \text{L}^{-1}$); 2— K^{+} ($50\text{ mg} \cdot \text{L}^{-1}$); 3— Cu^{2+} ($10\text{ mg} \cdot \text{L}^{-1}$); 4— NH_4^{+} ($10\text{ mg} \cdot \text{L}^{-1}$); 5— Co^{2+} ($10\text{ mg} \cdot \text{L}^{-1}$); 6— Zn^{2+} ($10\text{ mg} \cdot \text{L}^{-1}$); 7— Fe^{2+} ($10\text{ mg} \cdot \text{L}^{-1}$); 8— Mn^{2+} ($20\text{ mg} \cdot \text{L}^{-1}$); 9— Cl^{-} ($10\text{ mg} \cdot \text{L}^{-1}$); 10— Ca^{2+} ($15\text{ mg} \cdot \text{L}^{-1}$)
 色谱柱: 填充 TSK MC Cation SW, $50\text{ mm} \times 7.8\text{ mm}$ (内径)
 柱温: 20°C
 流动相: $3.5\text{ mmol} \cdot \text{L}^{-1}$ 2-乙二胺/ $10.0\text{ mmol} \cdot \text{L}^{-1}$ 柠檬酸 (pH=2.8 用 HCl 调节)
 流速: $1.0\text{ ml} \cdot \text{min}^{-1}$
 检测器: 电导

图 11-84 碱金属、碱土金属和有机胺分离色谱图^[24]

色谱峰: 1— Li^{+} ; 2— Na^{+} ; 3— NH_4^{+} ; 4— $[(CH_3)_3NH]^{+}$; 5— K^{+} ; 6— $[(CH_3)_2NH]^{+}$; 7— $[(CH_3CH_2)_2NH]^{+}$; 8— $[(CH_3CH_2)_3NH]^{+}$; 9—葡萄糖离子; 10— $[(CH_3CH_2)_3N]^{+}$; 11—环己胺阳离子; 12— Mg^{2+} ; 13— Ca^{2+}
 色谱柱: $250\text{ mm} \times 4\text{ mm}$ 阴离子交换柱, 填充 Dionex IonPac CS-III
 流动相: HCl, 2,3-二氨基丙酸和乙醇
 流速: $1\text{ ml} \cdot \text{min}^{-1}$

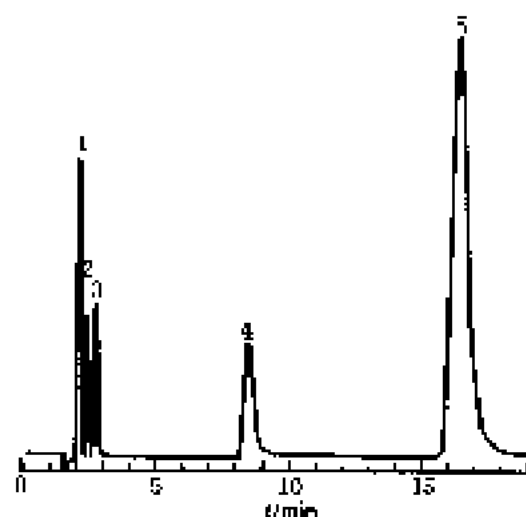


图 11-86 碱金属和碱土金属同时
分离色谱图 (一)^[24]

色谱峰: 1— Na^+ , 2— NH_4^+ , 3— K^+ , 4— Mg^{2+} , 5— Ca^{2+}
 色谱柱: IonPac CS10
 流动相: $0.04 \text{ mol} \cdot \text{L}^{-1} \text{ HCl} + 0.004 \text{ mol} \cdot \text{L}^{-1} 2,3\text{-二氨基丙醇}$
 流速: $1 \text{ mL} \cdot \text{min}^{-1}$
 检测器: 电导检测

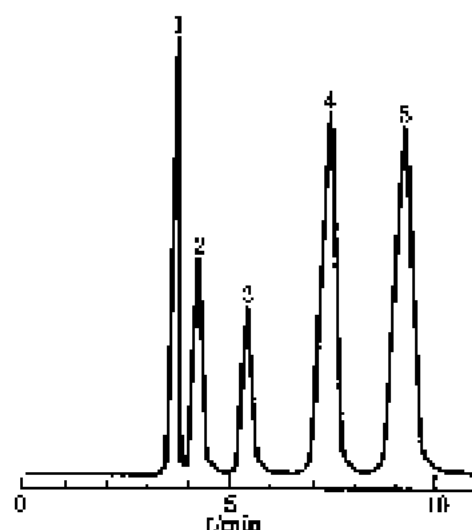


图 11-87 碱金属和碱土金属同时
分离色谱图 (二)^[24]

色谱峰: 1— Na^+ , 2— NH_4^+ , 3— K^+ , 4— Mg^{2+} , 5— Ca^{2+}
 色谱柱: IonPac CS12
 流动相: $0.02 \text{ mol} \cdot \text{L}^{-1}$ 甲基磺酸
 流速: $1 \text{ mL} \cdot \text{min}^{-1}$
 检测器: 电导检测

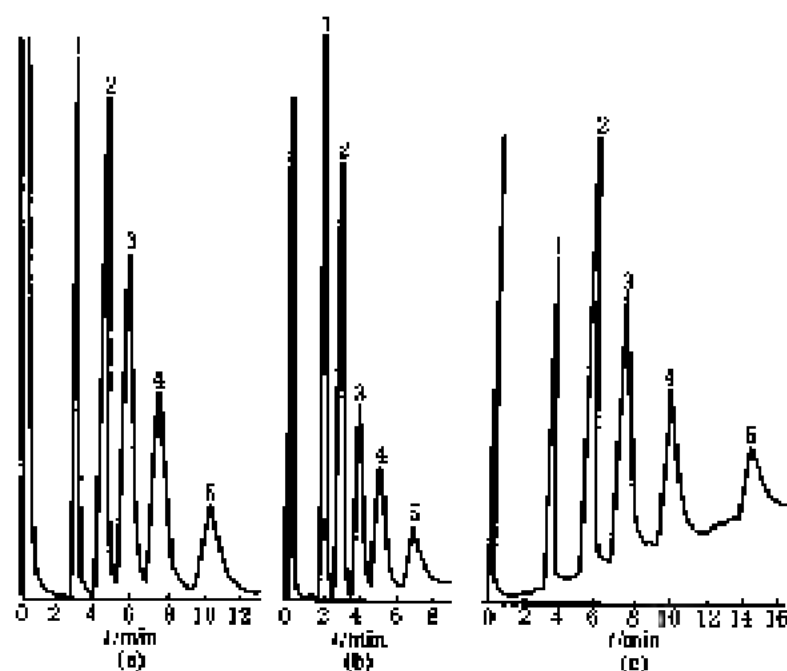
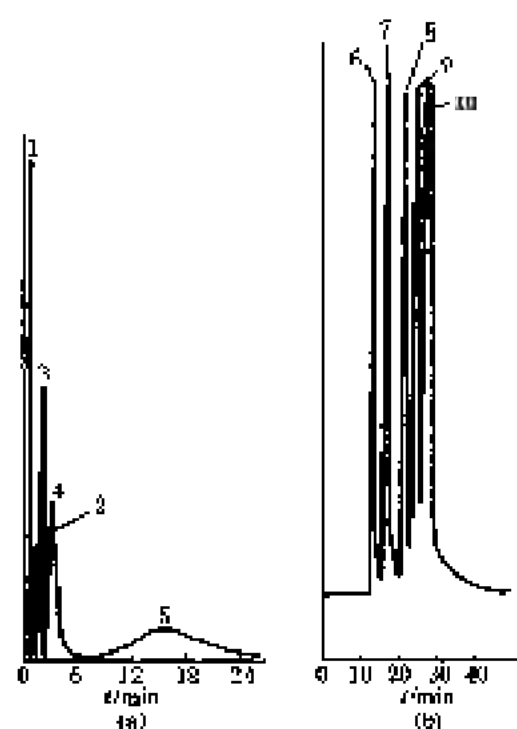


图 11-88 碱金属离子色谱图^[26]

色谱峰: 1— Na^+ , 2— NH_4^+ , 3— K^+ , 4— Rb^+ , 5— Cs^+
 色谱柱: 硅阳离子交换柱, $50 \times 4.6 \text{ mm}$ (内径)
 泵: Pekin Elmer LC-10
 进样器: Model 7125
 流动相: (a) 二氧乙酸, (b) 氨基磺酸, (c) 草酸
 流速: $3 \text{ mL} \cdot \text{min}^{-1}$
 检测器: 电导, Pekin Elmer LC-21

图 11-88 碱金属氧化物分离色谱图^[10]

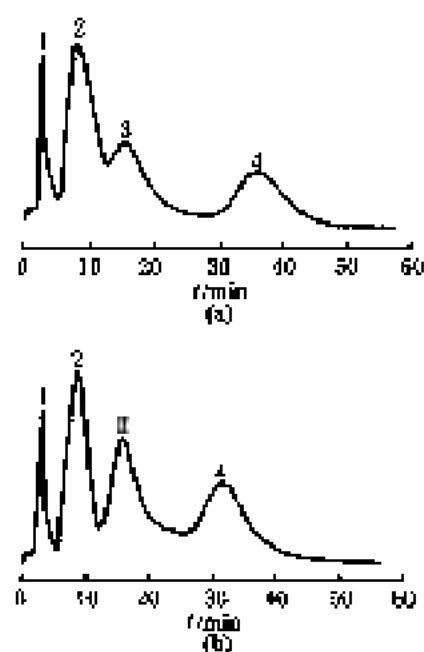
色谱峰: 1—LiCl; 2—H₂O; 3—NaCl; 4—CaCl₂; 5—KCl;
6—LiCl; 7—NaCl; 8—RbCl; 9—CsCl; 10—
KCl

色谱柱: (a) 苯基-15-冠-5 共价键合到 Si 颗粒上;
(b) silica-based 苯基-15-冠-5 树脂

流动相: 水

流 速: 0.16~0.26 ml·min⁻¹

检测器: 电导

图 11-90 镧系元素分离色谱图^[11]

色谱峰: 1—Er(III); 2—Eu(III); 3—Sm(III); 4—La(III)

色谱柱: 45 cm×3 mm (内径), 填充 *N*-甲基 P13

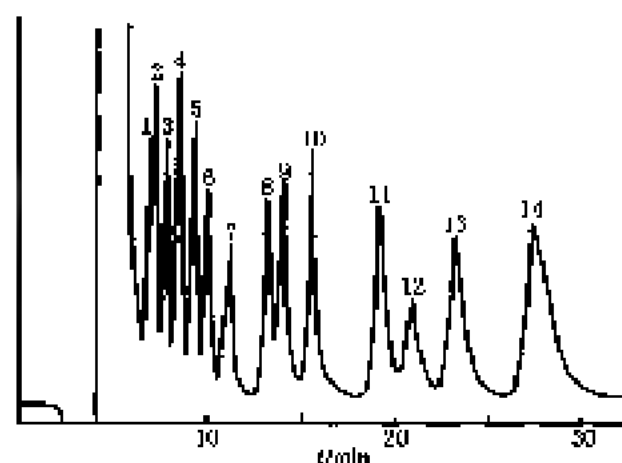
流动相: (a) 草酸 (4 mmol·L⁻¹, pH4); (b) 草酸冲液;

(b) 草酸

线性梯度冲洗:

时间/min	0	5	10	15
浓度/(mmol·L ⁻¹)	3	4	3	5

检测器: 紫外

图 11-91 镧系元素阳离子分离色谱图^[12]

色谱峰: 1—La³⁺; 2—Ce³⁺; 3—Pr³⁺; 4—Nd³⁺; 5—Eu³⁺; 6—Dy³⁺; 7—Tb³⁺; 8—Gd³⁺; 9—Er³⁺; 10—Sm³⁺; 11—
Nd³⁺; 12—Pr³⁺; 13—Ce³⁺; 14—La³⁺

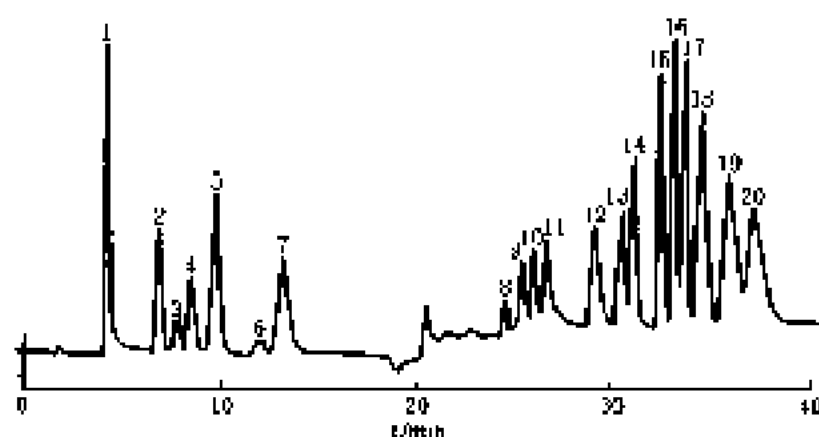
色谱柱: GYQG-SiO₂ micro-particles silica-5 μm

柱 温: 30℃

流动相: 1 mmol·L⁻¹; 2-乙二醇+6 mmol·L⁻¹ α-羟基异丁酸, pH5.76

流 速: 0.5 ml·min⁻¹

检测器: 电导

图 11-82 稀土元素和过渡金属离子分离色谱图^[88]

色谱峰: 1— Fe^{3+} ; 2— Cu^{2+} ; 3— Ni^{2+} ; 4— Zn^{2+} ; 5— Co^{2+} ; 6— Mg^{2+} ; 7— Pb^{2+} ; 8— La^{3+} ; 9— Ce^{3+} ; 10— Pr^{3+} ; 11— Nd^{3+} ; 12— Sm^{3+} ; 13— Eu^{3+} ; 14— Gd^{3+} ; 15— Tb^{3+} ; 16— Dy^{3+} ; 17— Ho^{3+} ; 18— Er^{3+} ; 19— Tm^{3+} ; 20— Yb^{3+}
 分析柱: IonPac C_{18} (Dionex) 萘磺基乙基-二乙基萘基阴/阳离子交换器, 250 mm \times 4.0 mm (内径), 15 μm
 保护柱: IonPac C_{18} (Dionex) 萘磺基乙基-二乙基萘基阴/阳离子交换器, 60 mm \times 4.0 mm (内径), 15 μm
 流动相: A 去离子水
 B 6 mmol $\cdot\text{L}^{-1}$ 吡啶-2, 6-二羧酸 50 mmol $\cdot\text{L}^{-1}$ 乙酸铵
 C 100 mmol $\cdot\text{L}^{-1}$ 草酸, 190 mmol $\cdot\text{L}^{-1}$ LiOH
 D 100 mmol $\cdot\text{L}^{-1}$ 甘氨酸, 190 mmol $\cdot\text{L}^{-1}$ LiOH

梯度冲洗:

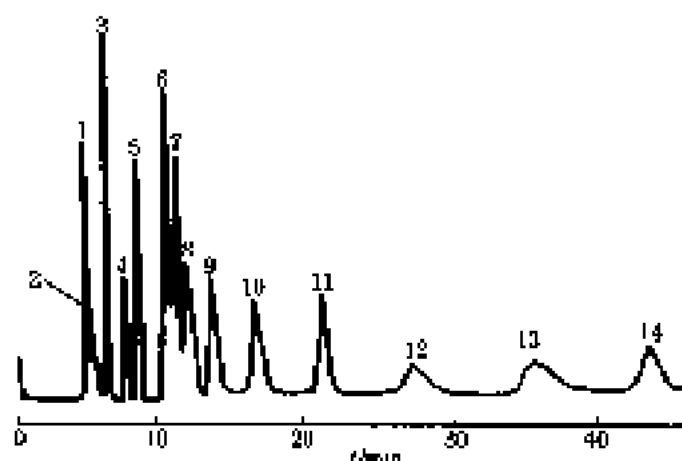
时间/min	F/%			
	A	B	C	D
0.0	0	100	0	0
12.0	0	100	0	0
12.1	100	0	0	0
17.0	100	0	0	0
17.1	40	0	60	0
21.0	40	0	60	0
21.1	20	0	80	0
30.0	51	0	26	23

流速: 1 ml $\cdot\text{min}^{-1}$

柱温: 室温

检测器: UV (520nm)

第二节 阴离子色谱图

图 11-93 14种阴离子分离色谱图^[88]

色谱峰: 1— F^{-} ; 2—乙酸根; 3— Cl^{-} ; 4— NO_2^{-} ; 5— Br^{-} ; 6— SO_4^{2-} ; 7— NO_3^{-} ; 8—草酸根; 9— CrO_4^{2-} ; 10—邻苯二甲酸盐; 11— I^{-} ; 12— PO_4^{3-} ; 13—柠檬酸根; 14— SCN^{-}
 色谱柱: 10-硅烷-6
 流动相: 50 mmol $\cdot\text{L}^{-1}$ 水相 KOH + 乙醇 (30+20)
 检测器: 电导检测

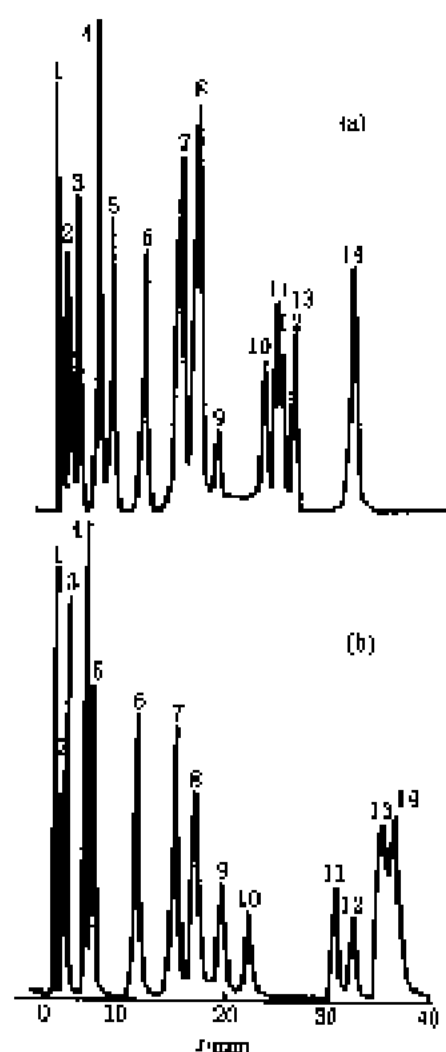


图 11-94 14 种阴离子容量梯度分离色谱图 (—) (a)

色峰峰: 1— F^- ; 2—乙酸根; 3— Cl^- ; 4— NO_2^- ; 5— Br^- ; 6— NO_3^- ; 7— SO_4^{2-} ; 8—草酸根; 9— $C_2O_4^{2-}$; 10— I^- ; 11— PO_4^{3-} ; 12—邻苯二甲酸根; 13—柠檬酸根; 14— SCN^-

(a) D-2,2,2 (结构式为



结构式:

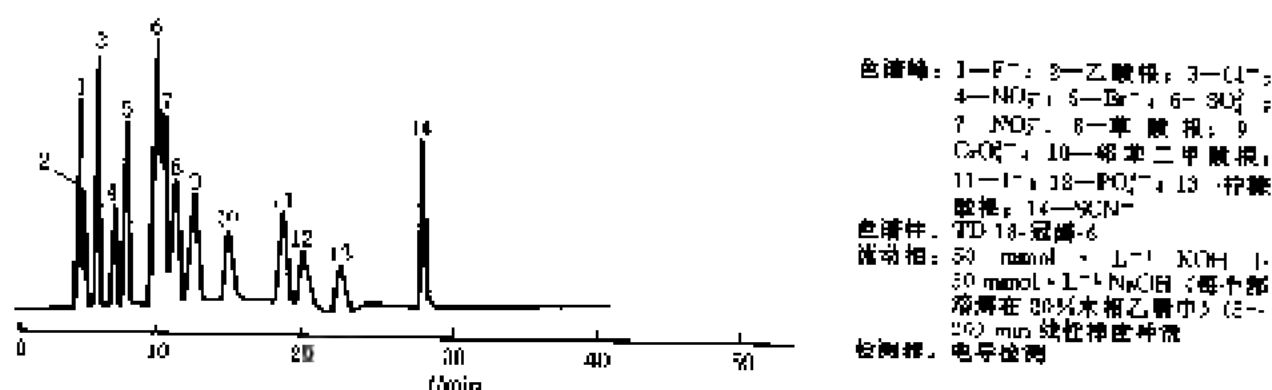
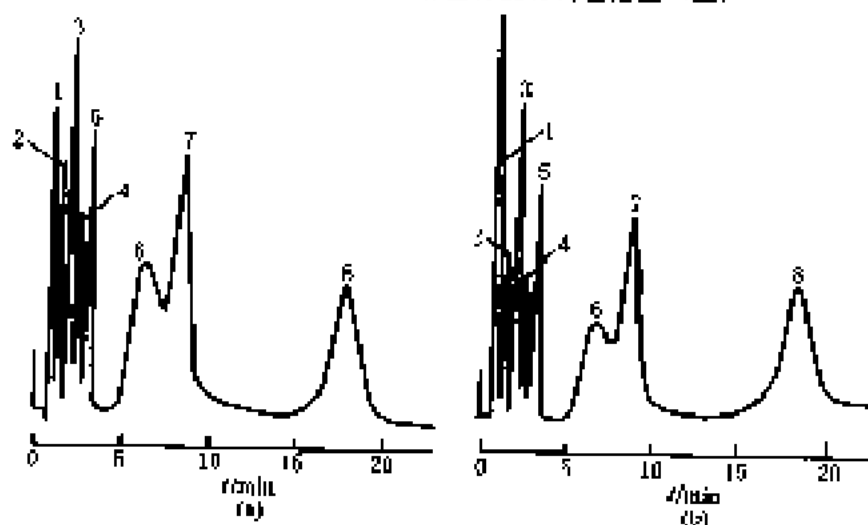
(b) D-2,2,1 (结构式为



流动相: (a) $50 \text{ mmol} \cdot L^{-1} NaOH$ — $30 \text{ mmol} \cdot L^{-1} LiOH$ 线性梯度冲洗 20 min;

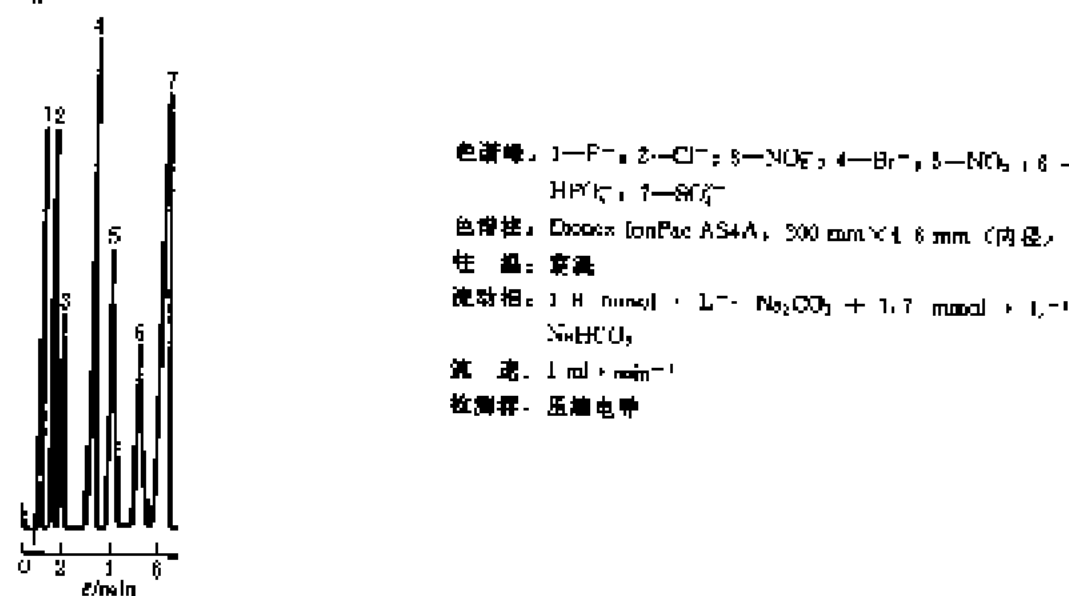
(b) $50 \text{ mmol} \cdot L^{-1} K_2H_2O_4$ — $30 \text{ mmol} \cdot L^{-1} LiOH$ 线性梯度冲洗 20 min

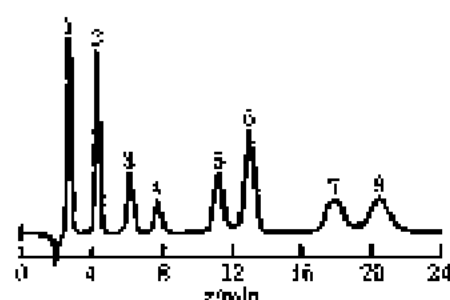
检测器: 电导检测

图 11-95 14 种阴离子容量梯度分离色谱图 (二)^[6]图 11-96 8 种阴离子在水中 (a) 和 20000 mg \cdot L $^{-1}$ 磷酸盐中 (b) 分离色谱图^[6]

色谱峰: 1— NO_2^- (25 mg \cdot L $^{-1}$); 2— BrO_3^- (50 mg \cdot L $^{-1}$); 3— NO_3^- (5 mg \cdot L $^{-1}$); 4— Br^- (25 mg \cdot L $^{-1}$); 5— NO_2^- (10 mg \cdot L $^{-1}$); 6— VO_3^- (50 mg \cdot L $^{-1}$); 7— I^- (10 mg \cdot L $^{-1}$); 8— SCN^- (50 mg \cdot L $^{-1}$)

色谱柱: Waters IC Pak, 50 mm \times 4.6 mm (内径)
流动相: 10 mmol \cdot L $^{-1}$ Na $_2$ SO $_4$ 内含 5 mmol \cdot L $^{-1}$ 磷酸盐缓冲液 (pH 5.5)
流速: 1.2 ml \cdot min $^{-1}$
检测器: UV (210 nm)

图 11-97 7 种阴离子分离色谱图^[6]

图 11-98 8种阴离子分离色谱图^[98]

色谱峰: 1— F^- ; 2— Cl^- ; 3— NO_3^- ; 4— Br^- ; 5— SeO_3^{2-} ; 6— SeO_4^{2-} ; 7— MoO_4^{2-} ; 8— MnO_4^-

色谱柱: Asiap Anion, 100 mm \times 4.6 mm (内径)

流动相: 1.7 mmol \cdot L $^{-1}$ NaHCO $_3$ + 1.8 mmol \cdot L $^{-1}$ Na $_2$ CO $_3$

流 速: 0.8 ml \cdot min $^{-1}$

检测器: 电导检测

图 11-100 4种阴离子分离色谱图^[99]

色谱峰: 1— F^- ; 2— S^{2-} ; 3— Cl^- ; 4— CO_3^{2-}

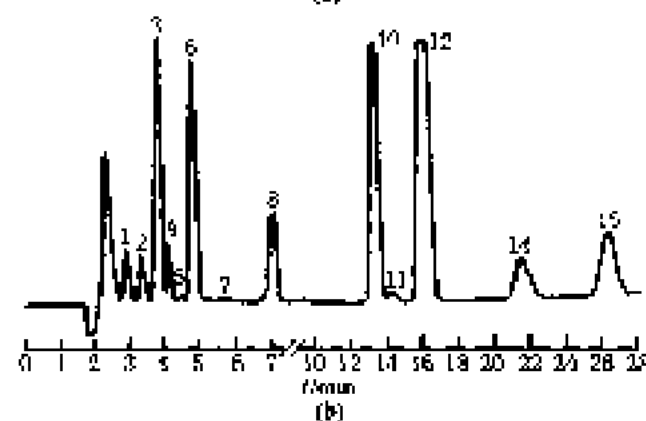
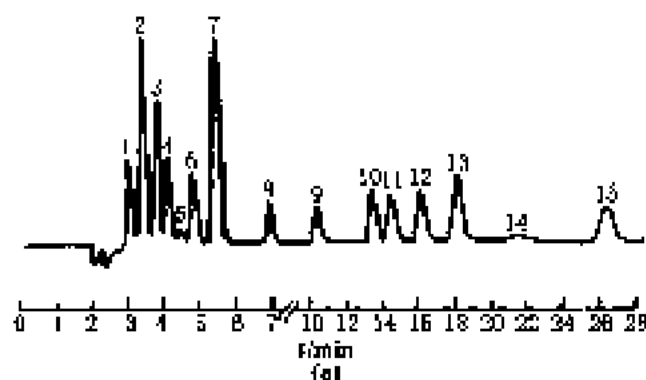
色谱柱: PRP-X100 (Hemlock) 氮甲基化聚苯乙烯-二乙烯基苯, 25.0 cm \times 4.0 mm (内径), 10 μ m

流动相: 0.4 mmol \cdot L $^{-1}$ 苯甲酸钠 (pH 11.6), 等度冲洗

流 速: 2 ml \cdot min $^{-1}$

柱 温: 室温

检测器: 电导

图 11-99 15种阴离子分离色谱图^[97]

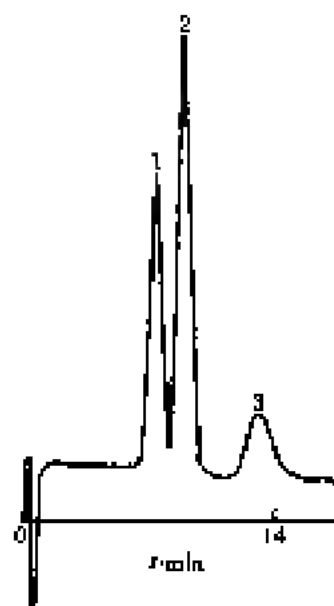
色谱峰: 1—乙酸根; 2—甲酸根; 3— ClO_3^- ; 4—氯乙酸根; 5— CO_3^{2-} ; 6— BrO_3^- ; 7— Cl^- ; 8—二氯乙酸根; 9— PO_4^{3-} ; 10— Br^- ; 11— ClO_2^- ; 12— NO_3^- ; 13— SO_4^{2-} ; 14—三氯乙酸; 15—草酸根 (溶液浓度均为 2 mg \cdot L $^{-1}$ (除 CO_3^{2-})]

色谱柱: IonPac AG 12A/AS 12A

流动相: H $_2$ BO $_3$, Na $_2$ B $_4$ O $_7$ + 10H $_2$ O

流 速: 1.0 ml \cdot min $^{-1}$

检测器: 紫外和压阻电导检测器

图 11-101 3种阴离子分离色谱图^[100]

色谱峰: 1— BrO_3^- ; 2— F^- ; 3— SO_3^{2-}

色谱柱: PRP-X100 (Hemlock) 氮甲基化聚苯乙烯-二乙烯基苯, 25.0 cm \times 4.0 mm (内径)

流动相: 0.0082 mol \cdot L $^{-1}$ KOH, 等度冲洗

流 速: 3 ml \cdot min $^{-1}$

柱 温: 室温

检测器: 电导

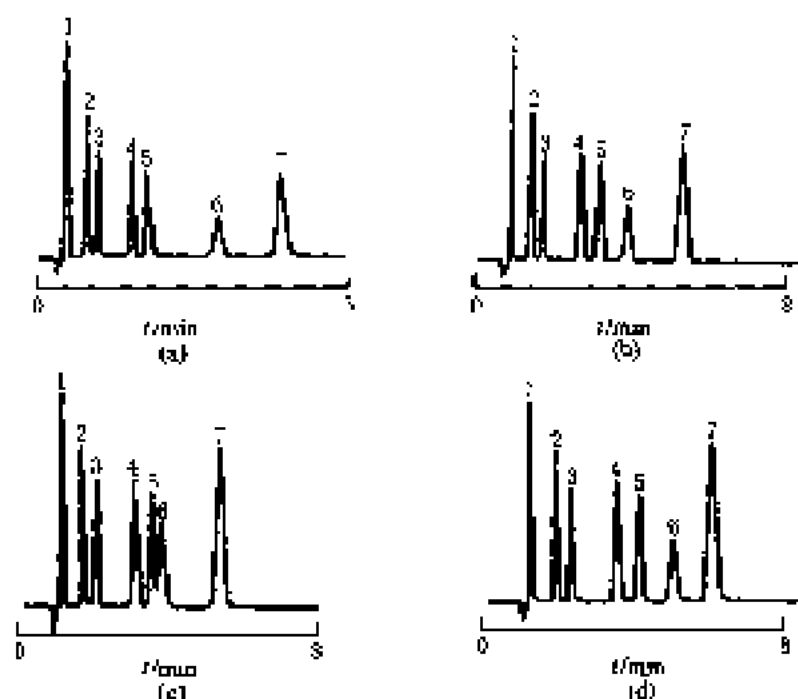


图 11-102 CO_3^{2-} - HCO_3^- 流动相组分对阴离子交换选择性影响色谱图^[61]

色谱峰: 1— F^- ; 2— Cl^- ; 3— NO_3^- ; 4— Br^- ; 5— NO_2^- ; 6— PO_4^{3-} ; 7— SO_4^{2-}

色谱柱: Dornex AS1A-SC

流动相: (a) $1.8 \text{ mmol} \cdot \text{L}^{-1} \text{Na}_2\text{CO}_3 + 1.7 \text{ mmol} \cdot \text{L}^{-1} \text{NaHCO}_3$

(b) $2.7 \text{ mmol} \cdot \text{L}^{-1} \text{Na}_2\text{CO}_3 + 2.6 \text{ mmol} \cdot \text{L}^{-1} \text{NaHCO}_3$

(c) $5.6 \text{ mmol} \cdot \text{L}^{-1} \text{Na}_2\text{CO}_3 + 5.2 \text{ mmol} \cdot \text{L}^{-1} \text{NaHCO}_3$

(d) $4.4 \text{ mmol} \cdot \text{L}^{-1} \text{Na}_2\text{CO}_3 + 1.5 \text{ mmol} \cdot \text{L}^{-1} \text{NaHCO}_3$

流速: $2.0 \text{ mL} \cdot \text{min}^{-1}$

检测器: 压阻电导

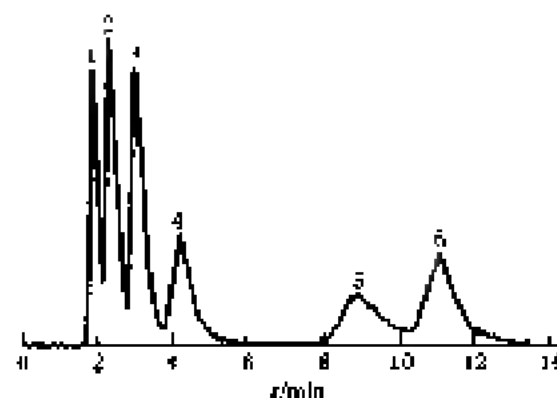


图 11-103 Se 标准样的阴离子交换色谱图^[62]

色谱峰: 1—硒代胱氨酸; 2—甲基-硒代胱氨酸; 3—亚硒酸盐; 4—硒代蛋氨酸; 5—Se-烯丙基 DL-硒代胱氨酸; 6— SeO_4^{2-}

色谱柱: Hamsdon PRP-X-100 PERK 阴离子交换柱, $150 \text{ mm} \times 4.6 \text{ mm}$ (内径)

流动相: $5 \text{ mmol} \cdot \text{L}^{-1}$ 柠檬酸缓冲液 (pH 4.0) + 2% 甲酰胺; 流速: $1.0 \text{ mL} \cdot \text{min}^{-1}$

检测器: Perkin Elmer Elm 5000 诱导耦合血浆质谱仪

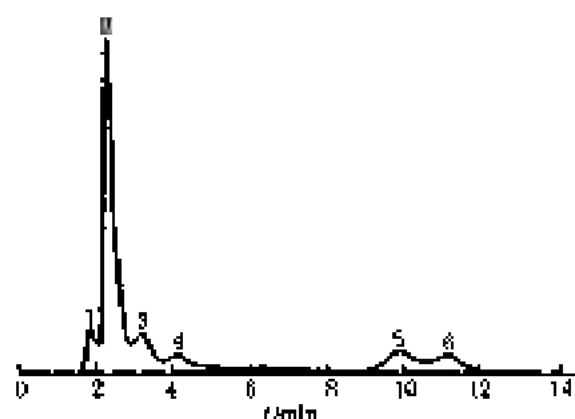


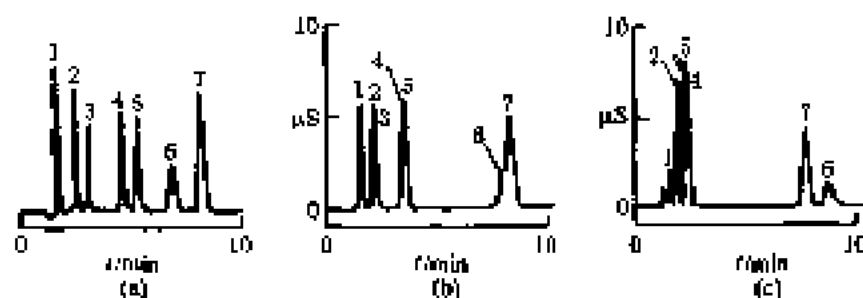
图 11-104 Se 阴离子交换色谱图^[62]

色谱峰: 1—Se 代胱氨酸; 2—Se 甲基 DL-硒代胱氨酸; 3—亚硒酸盐; 4—硒代蛋氨酸; 5—未知; 6— SeO_4^{2-}

色谱柱: Hamsdon PRP-X-100 PERK 阴离子交换柱, $150 \text{ mm} \times 4.6 \text{ mm}$ (内径)

流动相: $5 \text{ mmol} \cdot \text{L}^{-1}$ 柠檬酸缓冲液 (pH 4.0) + 2% 甲酰胺; 流速: $1.0 \text{ mL} \cdot \text{min}^{-1}$

检测器: Perkin Elmer Elm 5000 诱导耦合血浆质谱仪

图 11-105 乙醇加入对阴离子交换选择性的影响^[24]

色谱峰: 1— F^- ; 2— Cl^- ; 3— NO_2^- ; 4— Br^- ; 5— NO_3^- ; 6— PO_4^{3-} ; 7— SO_4^{2-}

色谱柱: Dionex AS4A SC

流动相: $1.8 \text{ mmol} \cdot \text{L}^{-1} \text{Na}_2\text{CO}_3 + 1.7 \text{ mmol} \cdot \text{L}^{-1} \text{NaHCO}_3$ 含有 (a) 0% 乙醇; (b) 30% 乙醇; (c) 50% 乙醇

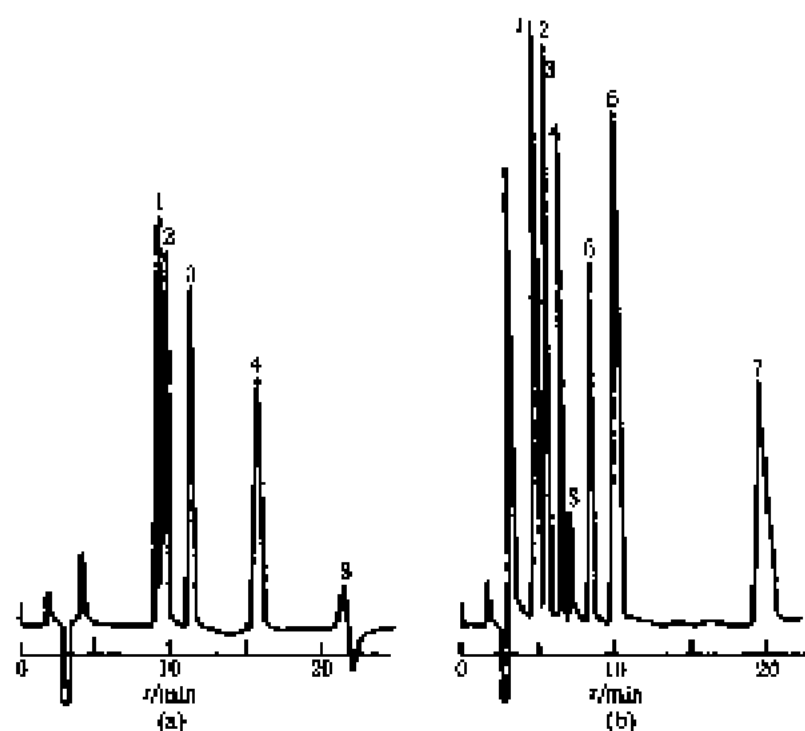
固定相: (a) 5% 交联 VBC Luxem;

(b) 1% 交联 VBC Luxem;

(c) 5% 交联 GM Luxem

流 速: $2.0 \text{ mL} \cdot \text{min}^{-1}$

检测器: 压滴电导

图 11-106 7 种硫的氧化阴离子混合物色谱图^[26]

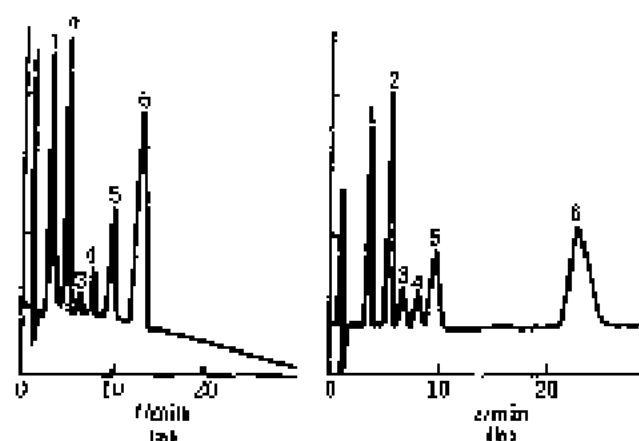
色谱峰: 1— SO_3^{2-} (50 μM); 2— $S_2O_3^{2-}$ (50 μM); 3— $S_2O_4^{2-}$ (50 μM); 4— $S_2O_5^{2-}$ (50 μM); 5— $S_2O_6^{2-}$ (50 μM); 6— $S_2O_7^{2-}$ (100 μM); 7— $S_2O_8^{2-}$ (100 μM); 8—系统峰

色谱柱: Kaseusorb LC ODS Super, $150 \text{ mm} \times 4.6 \text{ mm}$ (内径)

流动相: (a) $(\text{CH}_3\text{CN} + \text{水})$ (体积比 = 10 : 90) pH5, 0 内含 $0.2 \text{ mmol} \cdot \text{L}^{-1}$ 邻苯二甲酸和 $7 \text{ mmol} \cdot \text{L}^{-1}$ TPACOH;

(b) $(\text{CH}_3\text{CN} + \text{水})$ (体积比 = 20 : 80) pH5, 0 内含 $0.2 \text{ mmol} \cdot \text{L}^{-1}$ 邻苯二甲酸和 $7 \text{ mmol} \cdot \text{L}^{-1}$ TPACOH

检测器: 电导

图 11-107 二价和一价洗脱剂选择性比较谱图^[4]

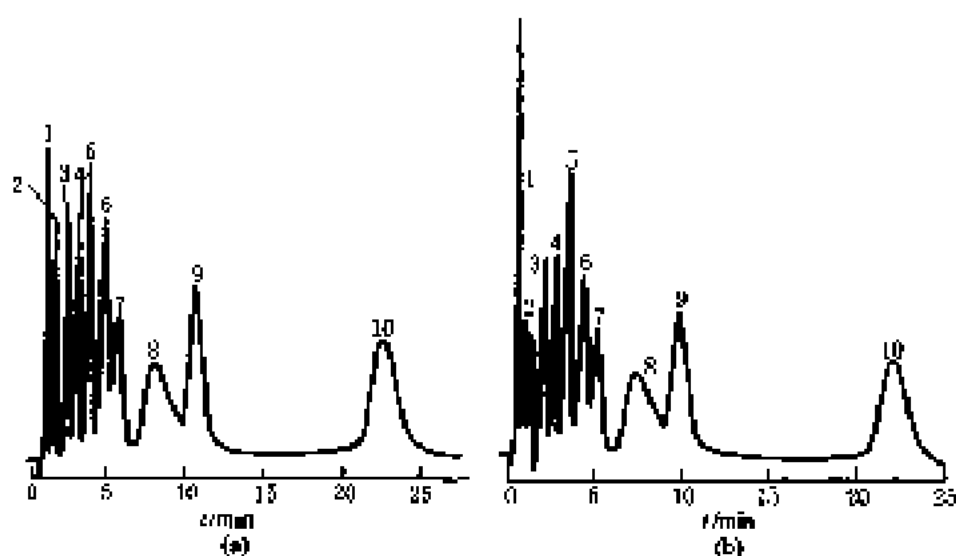
色谱峰: 1- F^- ; 2- Cl^- ; 3- NO_3^- ; 4- Br^- ; 5- $n-NO_3^-$; 6- SO_4^{2-}

色谱柱: HEMA S 1000Q + PEEK, 150 mm \times 4.6 mm (内径), 10 μ m

流动相: (a) 0.5 mmol \cdot L $^{-1}$ 磷酸基水杨酸 (pH5.4); (b) 4.0 mmol \cdot L $^{-1}$ 水杨酸 (pH5.8)

流 速: 1 ml \cdot min $^{-1}$

检测器: UV (254 nm)

图 11-108 10 种阴离子在水 (a) 和 20000 mg \cdot L $^{-1}$ 氧化剂中 (b) 分离色谱图^[4]

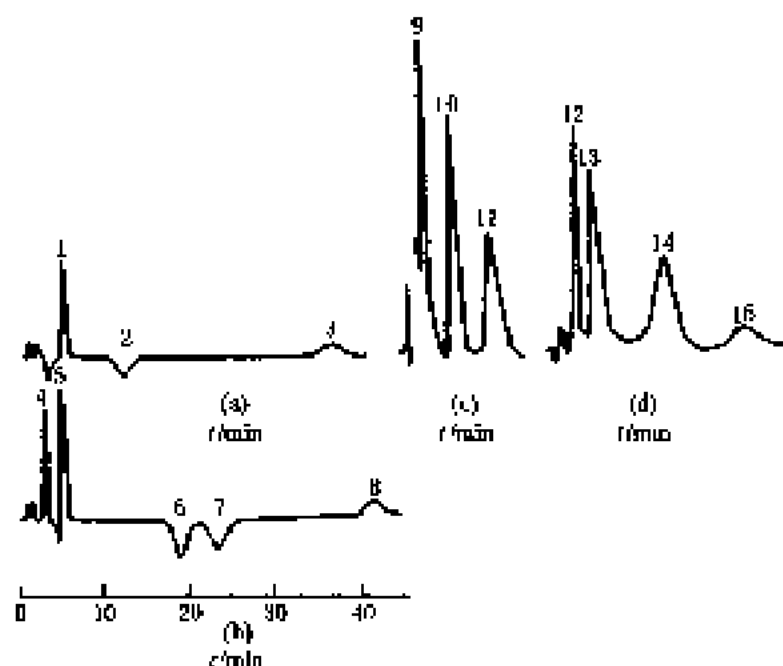
色谱峰: 1- HCO_3^- (35 mg \cdot L $^{-1}$); 2- BrO_3^- (50 mg \cdot L $^{-1}$); 3- NO_3^- (5 mg \cdot L $^{-1}$); 4- Br^- (25 mg \cdot L $^{-1}$); 5- NO_2^- (10 mg \cdot L $^{-1}$); 6- MnO_4^{2-} (20 mg \cdot L $^{-1}$); 7- CrO_4^{2-} (50 mg \cdot L $^{-1}$); 8- VO_3^- (50 mg \cdot L $^{-1}$); 9- I^- (10 mg \cdot L $^{-1}$); 10- SCN^- (50 mg \cdot L $^{-1}$)

色谱柱: Waters IC Pak, 50 mm \times 4.6 mm (内径)

流动相: 15 mmol \cdot L $^{-1}$ NaCl, 内含 5 mmol \cdot L $^{-1}$ 磷酸盐缓冲液 (pH8.5)

流 速: 1.2 ml \cdot min $^{-1}$

检测器: UV (210 nm)

图 11-109 无机阴离子分离色谱图 (一)^[32]

色谱峰: 1— Br^- , 2— I^- , 3— ClO_4^- , 4— Cl^- , 5— Br^- , 6— I^- , 7— SCN^- , 8— ClO_4^- , 9— ClO_4^- , 10— I^- , 11— Cl^- , 12— ClO_4^- , 13— I^- , 14— Br^- , 15— Cl^-

色谱柱: PTFE, 50 mm \times 4.6 mm (内径)

流动相: (a) 0.02 mol \cdot L $^{-1}$ $\text{LiNO}_3 + \text{MeOH}$;

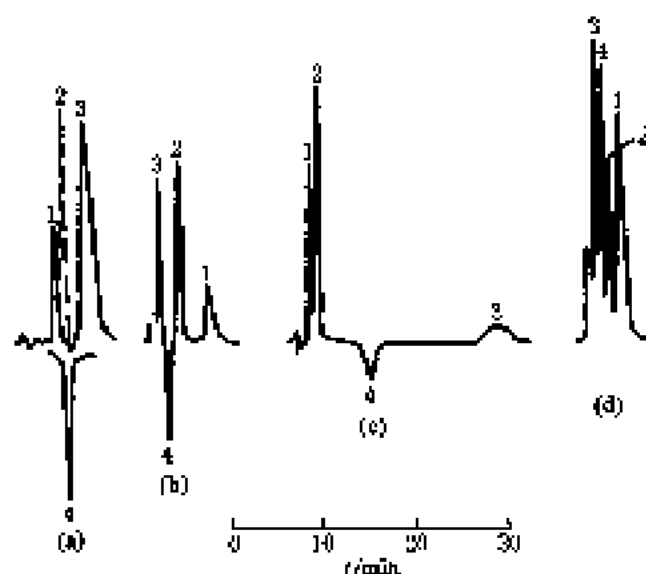
(b) 0.01 mol \cdot L $^{-1}$ $\text{Et}_4\text{NpNB} + \text{MeCN}$;

(c) 0.02 mol \cdot L $^{-1}$ $\text{LiNO}_3 + \text{MeCN} + \text{H}_2\text{O}$ (体积比 = 60 : 40);

(d) 0.01 mol \cdot L $^{-1}$ $\text{Et}_4\text{NpNB} + \text{DMF}$

检测器: 紫外型, NO_3^- 流动相检测波长 246 nm, PNB^- 流动相检测波长 395 nm

流 速: (a) ~ (c) 1 ml \cdot min $^{-1}$; (d) 0.7 ml \cdot min $^{-1}$



色谱峰: 1— Cl^- , 2— Br^- , 3— ClO_4^- , 4— I^-

色谱柱: 50 mm \times 4.6 mm (内径) PTFE

流动相: (a) 0.02 mol \cdot L $^{-1}$ $\text{LiNO}_3 + \text{MeOH}$;

(b) 0.02 mol \cdot L $^{-1}$ $\text{Et}_4\text{NpNB} + \text{MeCN} + \text{MeOH}$ (体积比 = 80 : 20);

(c) 0.02 mol \cdot L $^{-1}$ $\text{LiNO}_3 + \text{H}_2\text{O}$;

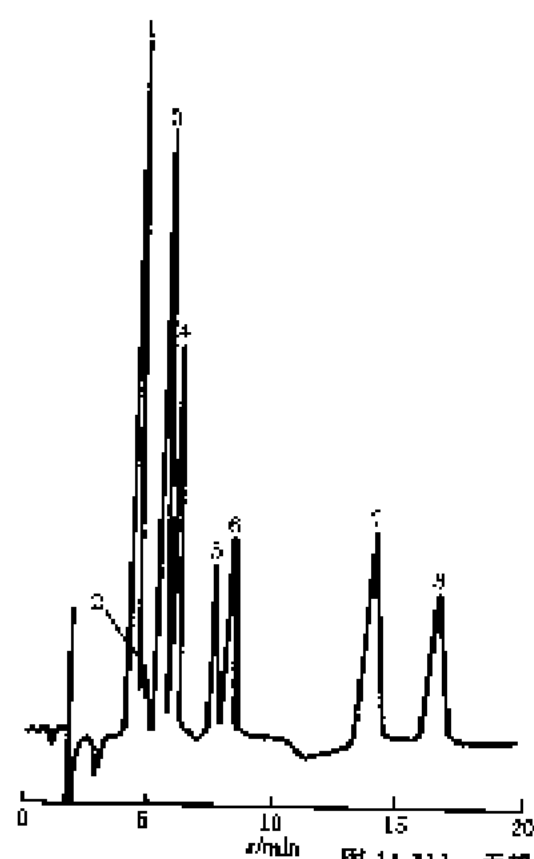
(d) 0.01 mol \cdot L $^{-1}$ $\text{Et}_4\text{NpNB} + \text{DMF} + \text{MeOH}$ (体积比 = 75 : 25)

检测器: 紫外型, NO_3^- 流动相检测波长 (246 nm), PNB^- 流动相检测波长 (395 nm)

流 速: (a) ~ (c) 1 ml \cdot min $^{-1}$;

(d) 0.6 ml \cdot min $^{-1}$

图 11-110 无机阴离子分离色谱图 (二)^[32]

图 11-111 无机阴离子分离色谱图 (三)⁽¹⁰⁾

色谱峰: 1— F^- ; 2— HCO_3^- ; 3— Cl^- ; 4— NO_3^- ; 5— Br^- ; 6— NO_2^- ; 7— PO_4^{3-} ; 8— SO_4^{2-}

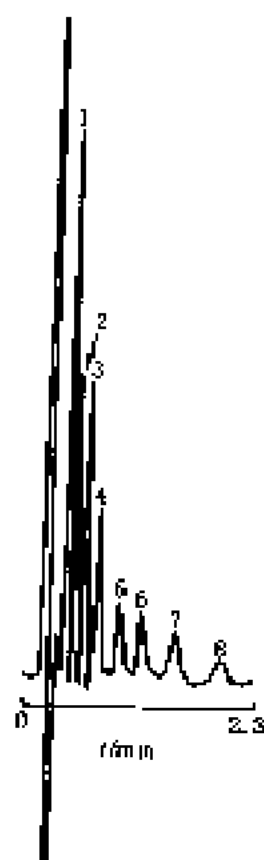
色谱柱: 相互作用 XLA-100, 季胺聚苯乙烯-二乙烯基苯, 25 cm × 3.2 mm (内径), 8 μm

流动相: 0.0025 mol/L 水杨酸精 (以 NaOH 调至 pH 8.0)

流速: 0.8 mL/min

温度: 室温

检测器: UV (270 nm) 反转信号

图 11-112 无机阴离子分离色谱图 (四)⁽¹⁰⁾

色谱峰: 1— F^- ; 2— CO_3^{2-} ; 3— Cl^- ; 4— NO_2^- ; 5— Br^- ; 6— NO_3^- ; 7— PO_4^{3-} ; 8— SO_4^{2-}

色谱柱: PRP-X100

聚甲基化聚苯乙烯-二乙烯基苯, 10.0 cm × 4.4 mm (内径), 10 μm

流动相: 40 mmol/L 对羟基苯甲酸 (pH 8.5) - 甲酸 (体积比 = 97.5 : 2.5)

流量: 4.0 mL/min

温度: 室温

检测器: UV (310 nm)



色谱峰: 1—砷酸; 2—砷硫酸根; 3— F^- ; 4—甲酸; 5—乙酸

色谱柱: 相互作用 KROM 磺酸化羧基乙烯-二乙烯基苯, 8 μm

流动相: $0.003 \text{ mol} \cdot \text{L}^{-1} / 2 \text{ H}_2\text{SO}_4$ 等度冲洗

流速: $0.06 \text{ mL} \cdot \text{min}^{-1}$

温度: 35°C

检测器: 电导

图 11-113 无机和有机离子分离谱图^[20]

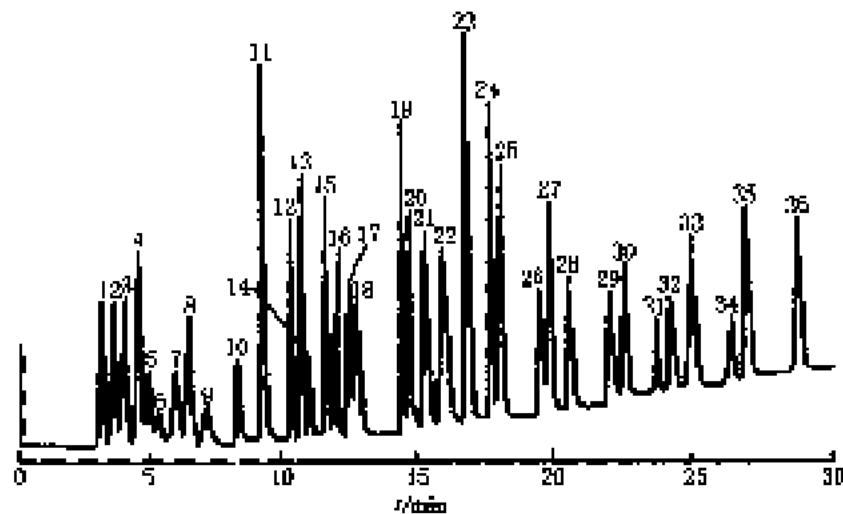


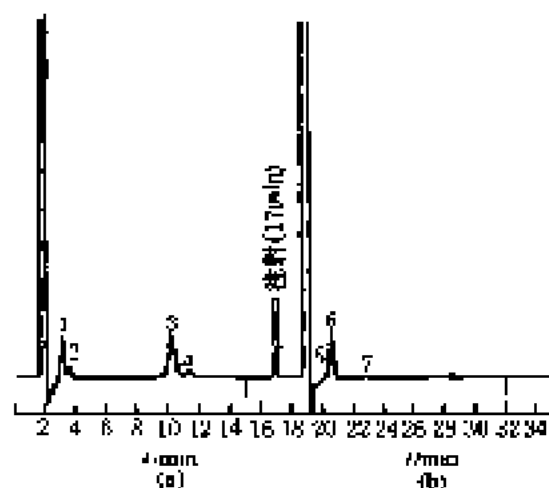
图 11-114 无机及有机阴离子梯度洗脱色谱图^[21]

色谱峰: 1— F^- ($1.5 \text{ mg} \cdot \text{L}^{-1}$); 2— α -羟基丁酸根 ($10 \text{ mg} \cdot \text{L}^{-1}$); 3—乙酸根 ($10 \text{ mg} \cdot \text{L}^{-1}$); 4—甘氨酸根 ($10 \text{ mg} \cdot \text{L}^{-1}$); 5—丁酸根 ($10 \text{ mg} \cdot \text{L}^{-1}$); 6—葡萄糖酸根 ($10 \text{ mg} \cdot \text{L}^{-1}$); 7— α -羟基戊酸根 ($10 \text{ mg} \cdot \text{L}^{-1}$); 8—甲酸根 ($5 \text{ mg} \cdot \text{L}^{-1}$); 9—戊酸根 ($10 \text{ mg} \cdot \text{L}^{-1}$); 10—丙氨酸根 ($10 \text{ mg} \cdot \text{L}^{-1}$); 11— β -氯乙酸根 ($10 \text{ mg} \cdot \text{L}^{-1}$); 12— BrO_3^- ($10 \text{ mg} \cdot \text{L}^{-1}$); 13— Cl^- ($3 \text{ mg} \cdot \text{L}^{-1}$); 14—半乳糖酸根 ($10 \text{ mg} \cdot \text{L}^{-1}$); 15— NO_2^- ($5 \text{ mg} \cdot \text{L}^{-1}$); 16—葡萄糖酸根 ($10 \text{ mg} \cdot \text{L}^{-1}$); 17—二氯乙酸根 ($10 \text{ mg} \cdot \text{L}^{-1}$); 18—三氯乙酸根 ($10 \text{ mg} \cdot \text{L}^{-1}$); 19— HPO_4^{2-} ($10 \text{ mg} \cdot \text{L}^{-1}$); 20— SeO_4^{2-} ($10 \text{ mg} \cdot \text{L}^{-1}$); 21— Br^- ($10 \text{ mg} \cdot \text{L}^{-1}$); 22— NO_3^- ($10 \text{ mg} \cdot \text{L}^{-1}$); 23— SO_4^{2-} ($10 \text{ mg} \cdot \text{L}^{-1}$); 24—草酸根 ($10 \text{ mg} \cdot \text{L}^{-1}$); 25— SeO_3^{2-} ($10 \text{ mg} \cdot \text{L}^{-1}$); 26— α -酮戊二酸根 ($10 \text{ mg} \cdot \text{L}^{-1}$); 27—富马酸根 ($10 \text{ mg} \cdot \text{L}^{-1}$); 28—邻苯二甲酸根 ($10 \text{ mg} \cdot \text{L}^{-1}$); 29—草乙酸根 ($10 \text{ mg} \cdot \text{L}^{-1}$); 30— PO_4^{3-} ($10 \text{ mg} \cdot \text{L}^{-1}$); 31— AsO_4^{3-} ($10 \text{ mg} \cdot \text{L}^{-1}$); 32— CrO_4^{2-} ($10 \text{ mg} \cdot \text{L}^{-1}$); 33—柠檬酸根 ($10 \text{ mg} \cdot \text{L}^{-1}$); 34—异柠檬酸根 ($10 \text{ mg} \cdot \text{L}^{-1}$); 35—酒石酸根 ($10 \text{ mg} \cdot \text{L}^{-1}$); 36—反乌头酸根 ($10 \text{ mg} \cdot \text{L}^{-1}$)

色谱柱: polycrubic 阴离子交换树脂

流动相: NaOH $0.75 \text{ mmol} \cdot \text{L}^{-1}$ 梯度洗脱 $\rightarrow 100 \text{ mmol} \cdot \text{L}^{-1}$

检测器: 压缩电导光度计, 阴离子膜膜压操作



色谱峰: 1— Cl^- ; 2— NO_2^- ; 3— SO_3^{2-} ; 4— SO_3^{2-} ; 5— Cl^- ; 6— NO_2^- ; 7— NO_2^-

色谱柱: IonPac-AG4A, IonPac-AS4A

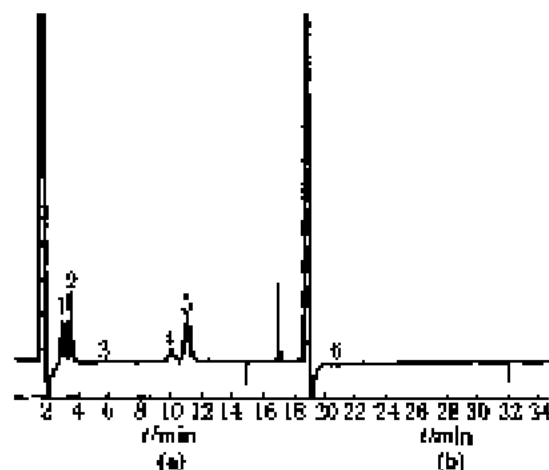
流动相: $1.6 \text{ mmol} \cdot \text{L}^{-1} \text{Na}_2\text{CO}_3 + 1.7 \text{ mmol} \cdot \text{L}^{-1} \text{NaHCO}_3$

吸收液: 5%TEA, 10ml

检测器: 电导

图 11-115 无机阴离子 (收集 NO , SO_2 和 HCl 之后) 的谱图 (一)^[10]

(a) 第一吸收瓶; (b) 第二吸收瓶



色谱峰: 1— Cl^- ; 2— NO_2^- ; 3— NO_2^- ; 4— SO_3^{2-} ; 5— SO_3^{2-} ; 6— NO_2^-

色谱柱: IonPac-AG4A, IonPac-AS4A

流动相: $1.6 \text{ mmol} \cdot \text{L}^{-1} \text{Na}_2\text{CO}_3 + 1.7 \text{ mmol} \cdot \text{L}^{-1} \text{NaHCO}_3$

吸收液: 5%TEA, 10ml

检测器: 电导

图 11-116 无机阴离子 (收集 NO_2 , SO_2 和 HCl 之后) 的谱图 (二)^[10]

(a) 第一吸收瓶; (b) 第二吸收瓶

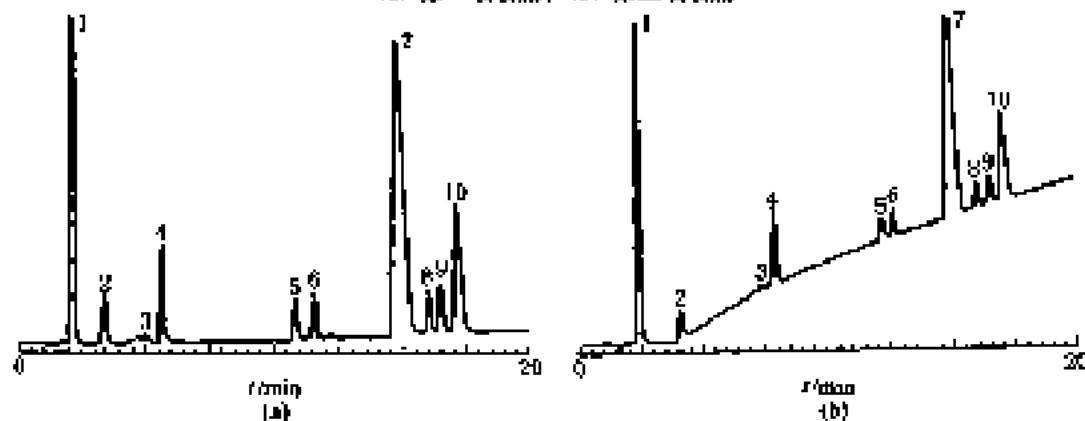


图 11-117 无机阴离子和碳酸根离子分离谱图 (一)^[10]

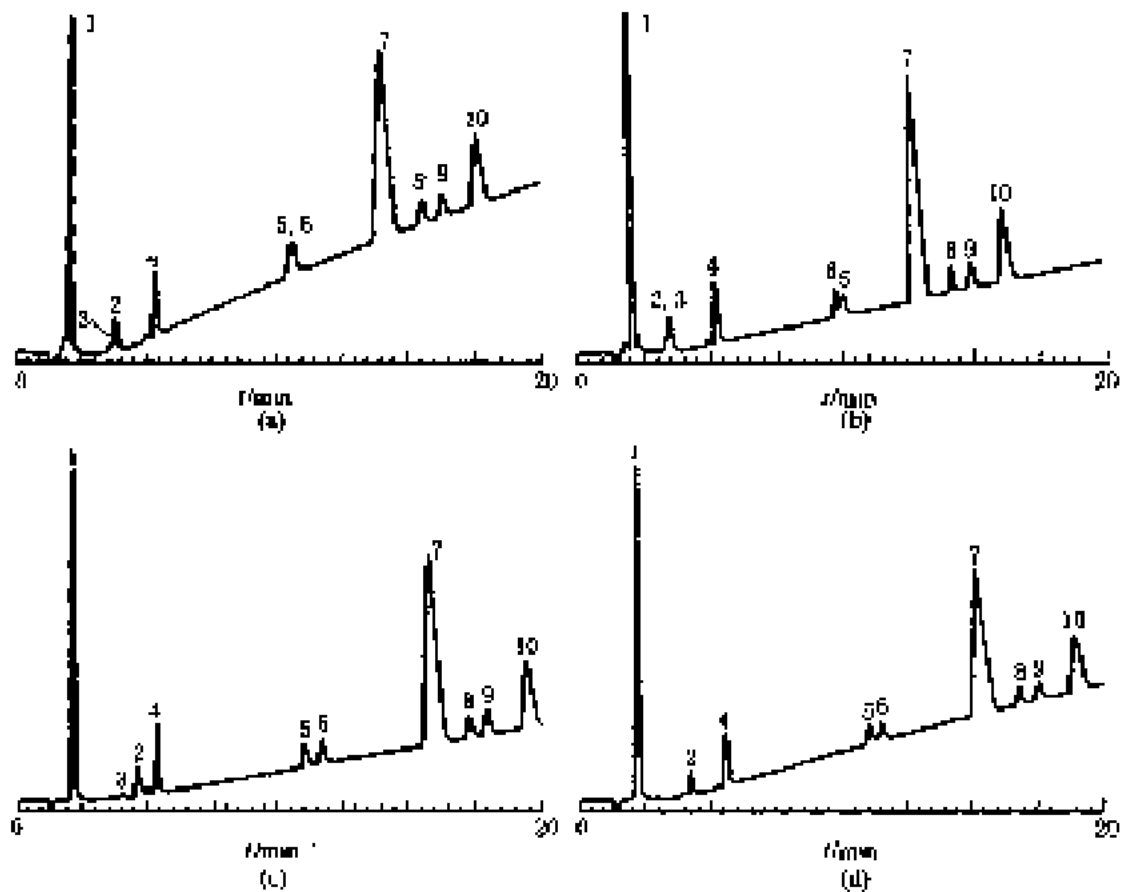
色谱峰: 1— Cl^- ; 2— NO_2^- ; 3—二氯酸(1); 4— SO_3^{2-} ; 5— PO_4^{3-} ; 6—三氯酸(1); 7—二氯甲酸(1); 8—二氯甲酸(1); 9—二氯甲酸(1); 10—二氯甲酸(1)

色谱柱: IonPac AS5

柱温: 35°C

流动相: $(10 \sim 100) \text{ mmol} \cdot \text{L}^{-1} \text{NaOH}$ 溶液 20 min 内含有 (a) 0% (体积分数) CH_3CN (b) 10% (体积分数) CH_3CN

检测器: 环型方式压电电导

图 11-118 无机阴离子和硝酸根离子分离谱图 (二)^[2,3]

色谱峰: 1— Cl^- , 2— NO_3^- , 3—二元酸(I), 4— SO_4^{2-} , 5— PO_4^{3-} , 6—三元酸(I), 7—氯乙酸(V), 8—一氯二甲基二羧酸, 9—二甲基二羧酸, 10—氨基二羧酸

色谱柱: OsmuPac PAX100

柱温: 45°C

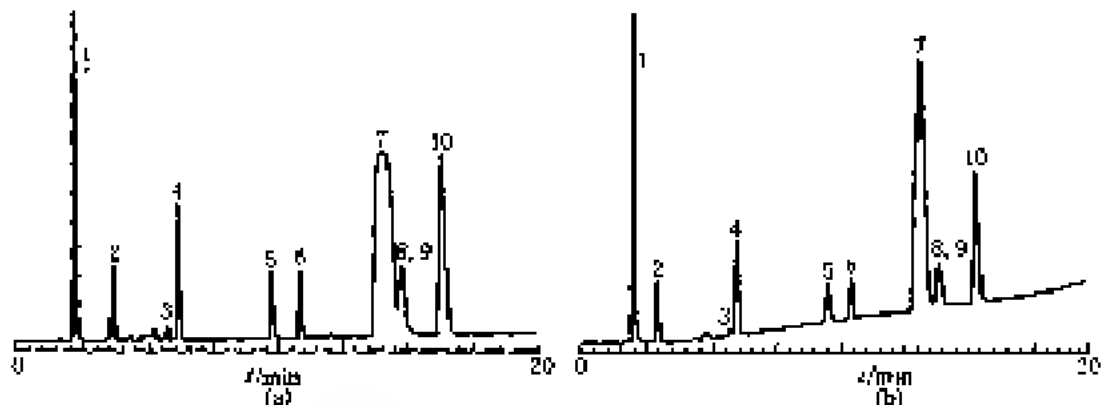
流动相: (20~100) mmol $\cdot \text{L}^{-1}$ NaOH 冲洗 20 min 内含

(a) $\varphi=0\%$ CH_3CN , (b) $\varphi=100\%$ CH_3CN

(c) $\varphi=15\%$ CH_3CN , (d) $\varphi=20\%$ CH_3CN

流速: $1.0 \text{ mL} \cdot \text{min}^{-1}$

检测器: 外置本模式压电电导

图 11-119 无机阴离子和硝酸根离子分离谱图 (三)^[2,3]

色谱峰: 1— Cl^- , 2— NO_3^- , 3—二元酸(I), 4— SO_4^{2-} , 5— PO_4^{3-} , 6—三元酸(I), 7—Clodronic acid(V), 8—一氯二甲基二羧酸, 9—二甲基二羧酸, 10—氨基二羧酸

色谱柱: IonPac AS11

柱温: 45°C

流动相: (20~100) mmol $\cdot \text{L}^{-1}$ NaOH 冲洗 20 min 内含 (a) 0% CH_3CN , (b) $\varphi=10\%$ CH_3CN

流速: $1.0 \text{ mL} \cdot \text{min}^{-1}$

检测器: 环形方式压电电导

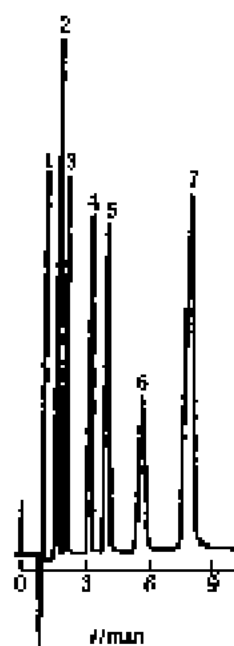


图 11-120 双柱 IC 分离无机阴离子色谱图^[4]

色谱峰: 1— F^- ($0.5 \text{ mg} \cdot \text{L}^{-1}$); 2— Cl^- ($1.5 \text{ mg} \cdot \text{L}^{-1}$); 3— NO_3^- ($0.5 \text{ mg} \cdot \text{L}^{-1}$); 4— Br^- ($5.0 \text{ mg} \cdot \text{L}^{-1}$); 5— NO_2^- ($5.0 \text{ mg} \cdot \text{L}^{-1}$); 6— HPO_4^{2-} ($7.5 \text{ mg} \cdot \text{L}^{-1}$); 7— SO_4^{2-} ($7.5 \text{ mg} \cdot \text{L}^{-1}$)

色谱柱: HPX-AS1A

流动相: $2 \text{ mmol} \cdot \text{L}^{-1} \text{Na}_2\text{CO}_3$, $0.75 \text{ mmol} \cdot \text{L}^{-1} \text{NaHCO}_3$

流速: $2 \text{ mL} \cdot \text{min}^{-1}$

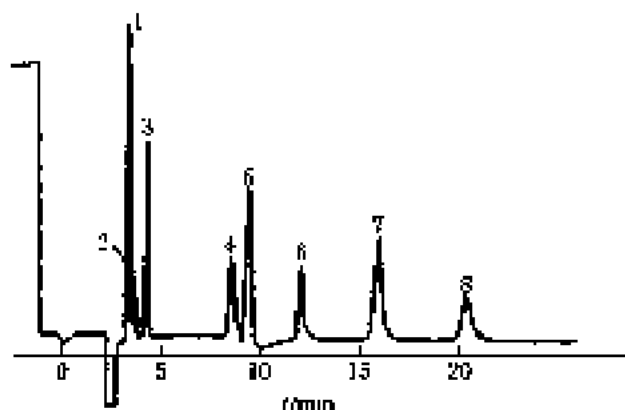


图 11-121 水中阴离子分离色谱图^[4]

色谱峰: 1— F^- ; 2— Cl^- ; 3—甲酸根离子; 4— CO_3^{2-} ; 5— Cl^-

6— NO_3^- ; 7— SO_4^{2-} ; 8—草酸根离子

色谱柱: Dionex Ion Pac AS10, $250 \text{ mm} \times 4 \text{ mm}$ (内径)

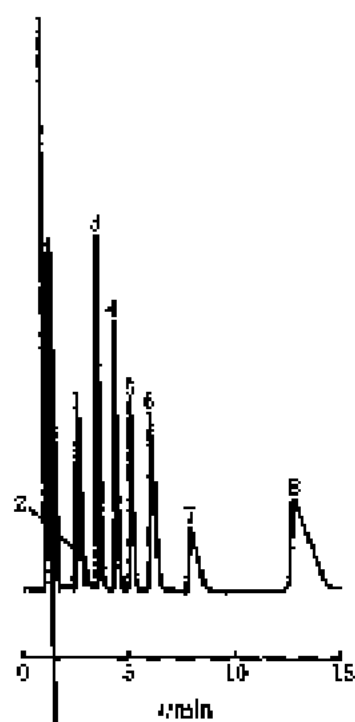
分离柱: Dionex Ion Pac AG10, $50 \text{ mm} \times 4 \text{ mm}$ (内径)

柱温: 室温

流动相: $0.85 \text{ mmol} \cdot \text{L}^{-1} \text{NaOH}$

流速: $1 \text{ mL} \cdot \text{min}^{-1}$

检测器: 压阻电导



色谱峰: 1— F^- ; 2— CO_3^{2-} ; 3— Cl^- ; 4— NO_3^- ; 5— Br^- ; 6— NO_2^- ; 7— PO_4^{3-} ; 8— SO_4^{2-}

色谱柱: Allsep 阴离子柱, $100 \text{ mm} \times 4.6 \text{ mm}$ (内径)

流动相: $4 \text{ mmol} \cdot \text{L}^{-1} \text{PBBA}$ (pH 7.5 用 LiOH 调整)

流速: $1.0 \text{ mL} \cdot \text{min}^{-1}$

检测器: 电导检测

图 11-122 以对羟基苯甲酸为洗脱剂的阴离子分离色谱图^[4]

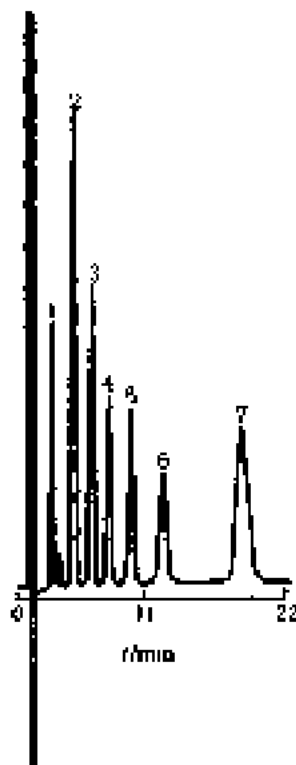


图 11-123 以对羟基苯甲硫醇为标准阴离子分离色谱图^[40]

色谱峰: 1— F^- ($10 \text{ mg} \cdot \text{L}^{-1}$); 2— Cl^- ($20 \text{ mg} \cdot \text{L}^{-1}$); 3— NO_3^- ($20 \text{ mg} \cdot \text{L}^{-1}$); 4— Br^- ($20 \text{ mg} \cdot \text{L}^{-1}$); 5— NO_2^- ($20 \text{ mg} \cdot \text{L}^{-1}$); 6— PO_4^{3-} ($30 \text{ mg} \cdot \text{L}^{-1}$); 7— SO_4^{2-} ($50 \text{ mg} \cdot \text{L}^{-1}$)

色谱柱: 奥龙 Alltech Universal 阴离子, $150 \text{ mm} \times 4.6 \text{ mm}$ (内径)

流动相: $5 \text{ mmol} \cdot \text{L}^{-1}$ 对羟基苯甲硫醇, 用 LiOH 调节 pH 至 7.8

流速: $1.0 \text{ mL} \cdot \text{min}^{-1}$

检测器: 电导

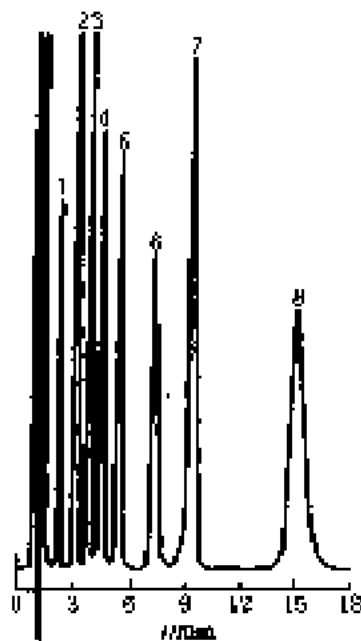


图 11-124 以苯二甲酸为洗脱剂的标准阴离子分离色谱图^[41]

色谱峰: 1— F^- ; 2— Cl^- ; 3— NO_3^- ; 4— Br^- ; 5— NO_2^- ; 6—草酸根; 7— SO_4^{2-} ; 8— $S_2O_3^{2-}$ 色

色谱柱: Allsep 阴离子柱, $100 \text{ mm} \times 4.6 \text{ mm}$ (内径)

流动相: $4 \text{ mmol} \cdot \text{L}^{-1}$ 苯二甲酸 (pH 用 LiOH 调节)

流速: $1.0 \text{ mL} \cdot \text{min}^{-1}$

检测器: 电导检测

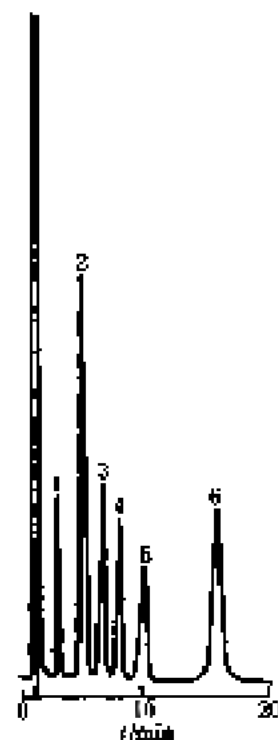


图 11-125 以苯二甲酸为洗脱剂的标准阴离子混合物分离色谱图^[42]

色谱峰: 1— F^- ($10 \text{ mg} \cdot \text{L}^{-1}$); 2— Cl^- ($20 \text{ mg} \cdot \text{L}^{-1}$); 3— NO_3^- ($20 \text{ mg} \cdot \text{L}^{-1}$); 4— Br^- ($20 \text{ mg} \cdot \text{L}^{-1}$); 5— NO_2^- ($20 \text{ mg} \cdot \text{L}^{-1}$); 6— PO_4^{3-} ($30 \text{ mg} \cdot \text{L}^{-1}$)

色谱柱: 奥龙 Alltech Universal 阴离子, $150 \text{ mm} \times 4.6 \text{ mm}$ (内径)

流动相: $4 \text{ mmol} \cdot \text{L}^{-1}$ 苯二甲酸, 用 LiOH 调节 pH 至 4.5

流速: $1.0 \text{ mL} \cdot \text{min}^{-1}$

检测器: 电导

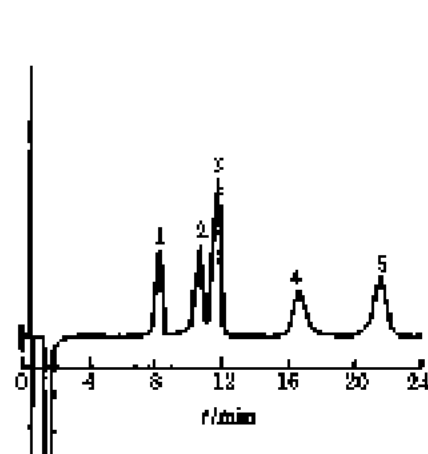


图 11-126 以琥珀酸为洗脱剂的
阴离子分离色谱图^[8]

色谱峰: 1— PO_4^{3-} ; 2— PO_4^{2-} ; 3— PO_4^{3-} ; 4— Cl^- ; 5— NO_3^-
 色谱柱: Allsep 阴离子柱, 100 mm×4.6 mm (内径)
 流动相: 20 mmol·L⁻¹ 琥珀酸 (pH3.0 用 LiOH 滴定)
 流速: 1.5 ml·min⁻¹
 检测器: 电导检测



图 11-128 以碳酸氢盐-碳酸盐为洗脱剂的
阴离子分离色谱图^[8]

色谱峰: 1— F^- ; 2— Cl^- ; 3— NO_3^- ; 4— Br^- ; 5— NO_2^- ; 6— PO_4^{3-} ; 7— SO_4^{2-}
 色谱柱: Allsep 阴离子柱, 100 mm×4.6 mm (内径)
 流动相: 0.85 mmol·L⁻¹ NaHCO_3 + 0.9 mmol·L⁻¹ Na_2CO_3
 流速: 1.2 ml·min⁻¹
 检测器: 电导检测

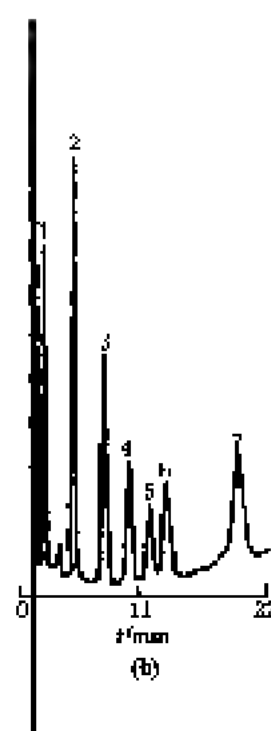
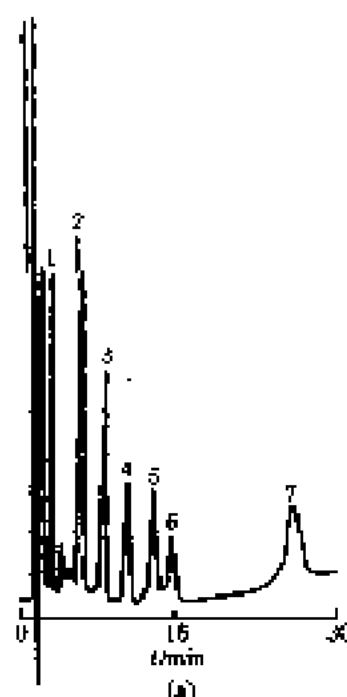


图 11-127 以硼酸-葡萄糖酸为洗脱剂的标准阴离子混合物分离色谱图^[9]

色谱峰: 1— F^- (10 mg·L⁻¹); 2— Cl^- (20 mg·L⁻¹); 3— NO_3^- (20 mg·L⁻¹); 4— Br^- (20 mg·L⁻¹); 5— NO_2^- (20 mg·L⁻¹); 6— PO_4^{3-} (50 mg·L⁻¹); 7— SO_4^{2-} (30 mg·L⁻¹)
 色谱柱: 150 mm×4.6 mm (内径), 填充 Alltech Universal 阴离子
 流动相: (a) 硼酸-葡萄糖酸 1, 用 180 ml 乙醇和 840 ml 水稀释 40 ml 含 25.5 g·L⁻¹ 硼酸、13.2 ml·L⁻¹ 葡萄糖酸 (w=50%)、7.2 g·L⁻¹ LiOH·H₂O 和 940 ml·L⁻¹ 蔗糖的混合物制成;
 (b) 硼酸-葡萄糖酸 2, 用 900 ml 水稀释 40 ml 含 25.5 g·L⁻¹ 硼酸、13.2 ml·L⁻¹ 葡萄糖酸 (w=50%) 和 7.2 g·L⁻¹ LiOH·H₂O 混合物制成。
 流速: 1.0 ml·min⁻¹ 检测器: 电导

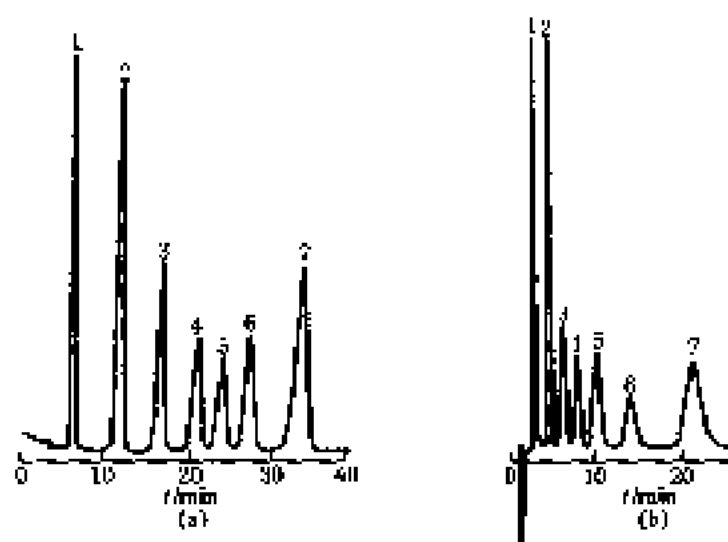


图 11-129 以碳酸盐-碳酸氢盐为洗脱剂的阴离子混合物分离色谱图^[10]

色谱峰: 1— F^- ($10 \text{ mg} \cdot \text{L}^{-1}$); 2— Cl^- ($20 \text{ mg} \cdot \text{L}^{-1}$); 3— NO_2^- ($20 \text{ mg} \cdot \text{L}^{-1}$); 4— Br^- ($20 \text{ mg} \cdot \text{L}^{-1}$); 5— NO_3^- ($20 \text{ mg} \cdot \text{L}^{-1}$); 6— PO_4^{3-} ($20 \text{ mg} \cdot \text{L}^{-1}$); 7— SO_4^{2-} ($40 \text{ mg} \cdot \text{L}^{-1}$)

色谱柱: (a) Alltech Universal Anion, $150 \text{ mm} \times 4.6 \text{ mm}$ (内径);

(b) Alltech Universal Anion, $50 \text{ mm} \times 4.6 \text{ mm}$ (内径)

流动相: (a) $2.2 \text{ mmol} \cdot \text{L}^{-1} \text{Na}_2\text{CO}_3 + 2.8 \text{ mmol} \cdot \text{L}^{-1} \text{NaHCO}_3$;

(b) $0.3 \text{ mmol} \cdot \text{L}^{-1} \text{Na}_2\text{CO}_3 + 0.7 \text{ mmol} \cdot \text{L}^{-1} \text{NaHCO}_3$

流速: (a) $0.7 \text{ mL} \cdot \text{min}^{-1}$; (b) $0.8 \text{ mL} \cdot \text{min}^{-1}$

检测器: 电导

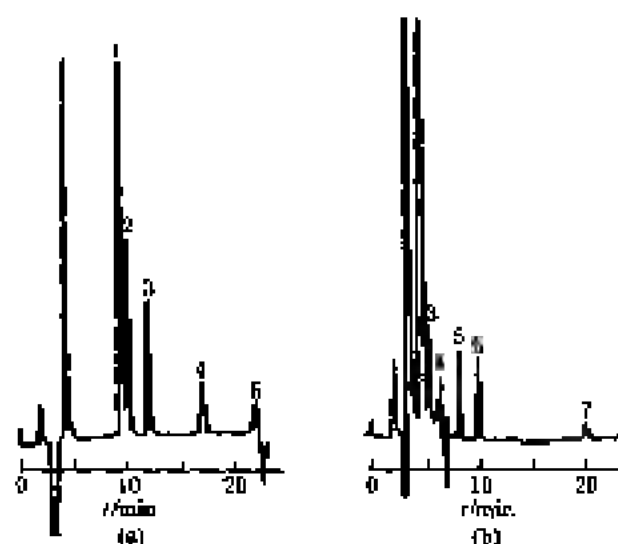


图 11-130 加入到热泉水中碘的氧化阴离子色谱图^[10]

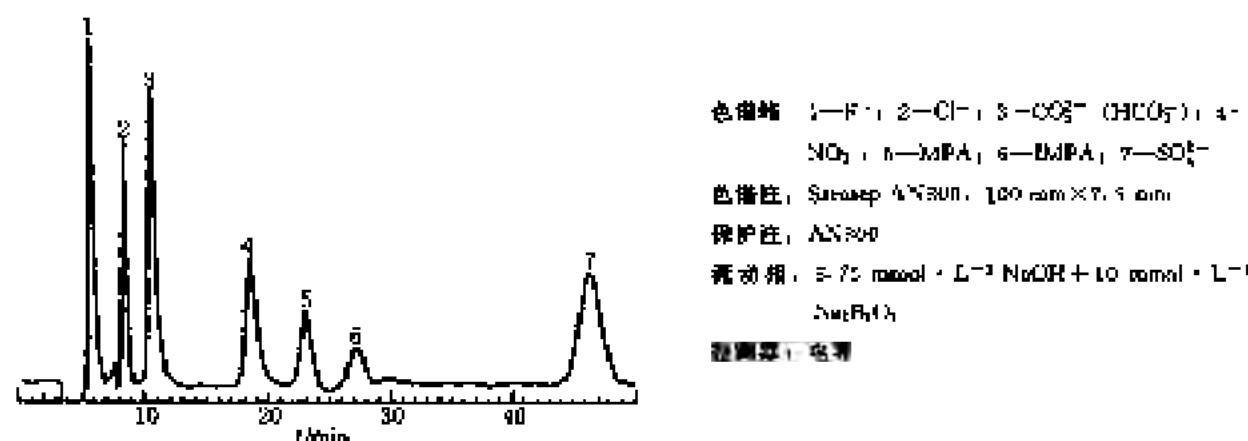
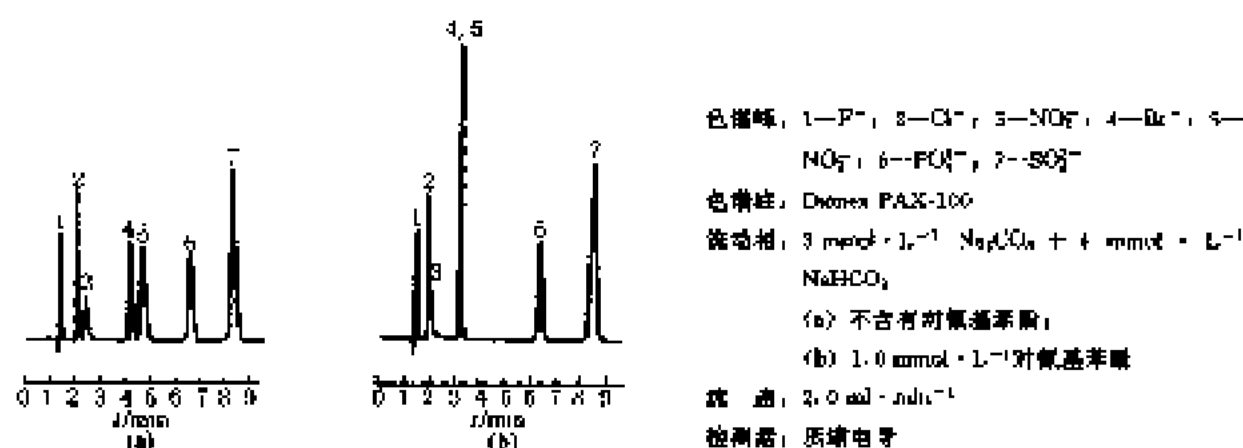
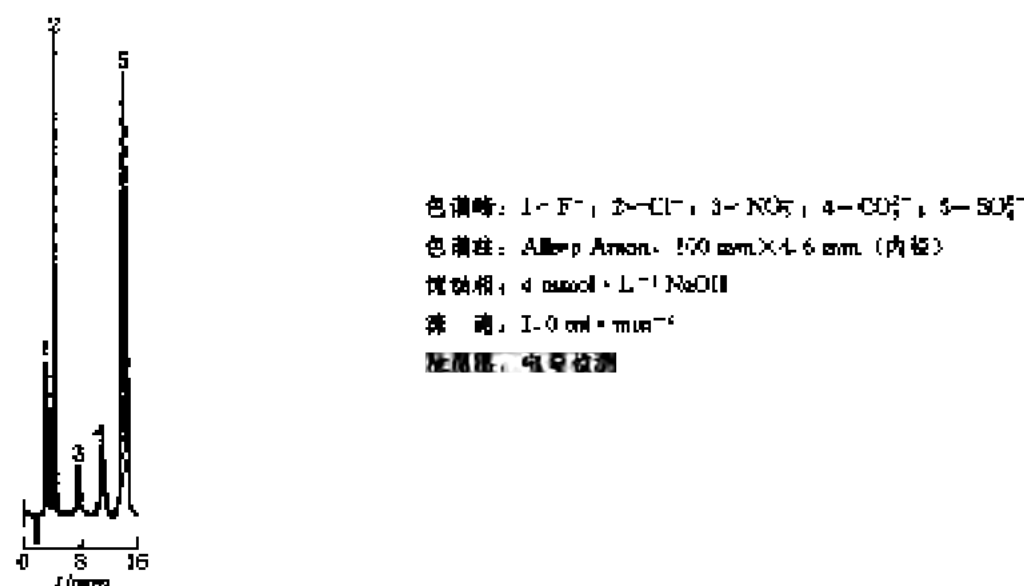
(a) 25 倍稀释原样到 SO_3^{2-} , $S_2O_3^{2-}$, $S_2O_4^{2-}$ 和 $S_2O_5^{2-}$ 浓度分别为 $10.0 \mu\text{mol} \cdot \text{L}^{-1}$, $36.0 \mu\text{mol} \cdot \text{L}^{-1}$, $30.0 \mu\text{mol} \cdot \text{L}^{-1}$ 和 $21.0 \mu\text{mol} \cdot \text{L}^{-1}$; (b) 5 倍稀释原样到 $S_2O_3^{2-}$, $S_2O_4^{2-}$, $S_2O_5^{2-}$, $S_2O_6^{2-}$ 和 $S_2O_7^{2-}$ 浓度都达到 $13 \mu\text{mol} \cdot \text{L}^{-1}$

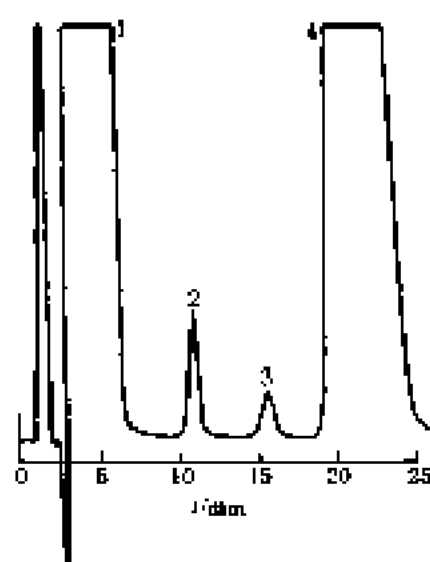
色谱峰: 1— SO_3^{2-} ; 2— $S_2O_3^{2-}$; 3— $S_2O_4^{2-}$; 4— $S_2O_5^{2-}$; 5— $S_2O_6^{2-}$; 6— $S_2O_7^{2-}$; 7— $S_2O_8^{2-}$

流动相: (a) 乙醇-水 (1:1+80) pH5.0, 内含 $0.2 \text{ mmol} \cdot \text{L}^{-1}$ 邻苯二甲酸和 $7 \text{ mmol} \cdot \text{L}^{-1}$ TPAOH;

(b) 乙醇-水 (20+80) pH5.0, 内含 $0.2 \text{ mmol} \cdot \text{L}^{-1}$ 邻苯二甲酸和 $7 \text{ mmol} \cdot \text{L}^{-1}$ TPAOH

检测器: 电导

图 11-131 去离子水中普遍阴离子和 MPA/UmPA 混合物的色谱图^[42]图 11-132 对氨基苯酚加入对阴离子交换选择性影响色谱图^[43]图 11-133 用 NaOH 作洗脱剂分离自来水中阴离子色谱图^[44]

图 11-134 用含有甲醇的洗脱剂分离海水中阴离子色谱图^[10]

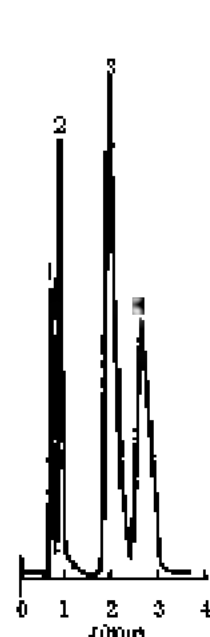
色谱峰: 1— Cl^- ; 2— Br^- ; 3— NO_3^- ; 4— SO_4^{2-}

色谱柱: $\mu\text{Bond} \text{ PBC}$, 150 mm \times 4.6 mm (内径)

流动相: 2.5 mmol \cdot L $^{-1}$ NaHCO_3 + 2.5 mmol \cdot L $^{-1}$ Na_2CO_3 - 10% 甲醇

流速: 1.4 ml \cdot min $^{-1}$

检测器: 电导检测

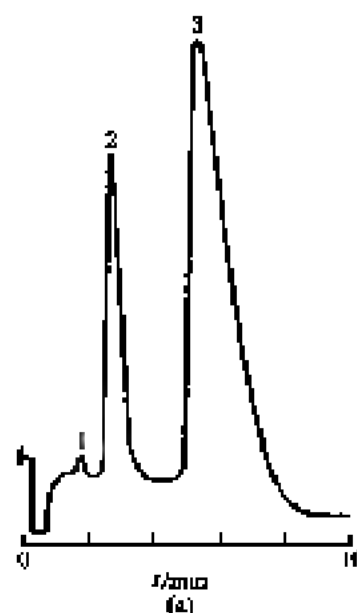
图 11-135 阴离子分离色谱图^[10]

色谱峰: 1— Cl^- ; 2— Br^- ; 3— I^- ; 4— CNS^-

色谱柱: $\mu\text{Bond} \text{ C18}$ 阴离子交换树脂

流动相: 0.1 mol \cdot L $^{-1}$ NaNO_3 , 柱后用 0.01 mol \cdot L $^{-1}$ AgNO_3 和磷酸盐洗

检测器: 紫外 (230 nm)

图 11-136 后洗脱阴离子分离色谱图^[10]

(a) 色谱峰: 1— PO_4^{3-} ; 2—磷酸根; 3—三磷酸根

色谱柱: Alltech 强阴离子 PEEK, 150 mm \times 4.6 mm (内径)

流动相: 8 mmol \cdot L $^{-1}$ EDTA 二钠盐

流速: 0.5 ml \cdot min $^{-1}$

检测器: 电导检测

(b) 色谱峰: 1— Cl^- ; 2— NO_3^- ; 3— I^- ; 4— SCN^- ; 5— SO_4^{2-} ; 6— $\text{S}_2\text{O}_8^{2-}$

色谱柱: Alltech 强阴离子 PEEK, 150 mm \times 2.1 mm (内径)

流动相: 1.5 mmol \cdot L $^{-1}$ 氨基磺酸钠

流速: 0.5 ml \cdot min $^{-1}$

检测器: 电导检测

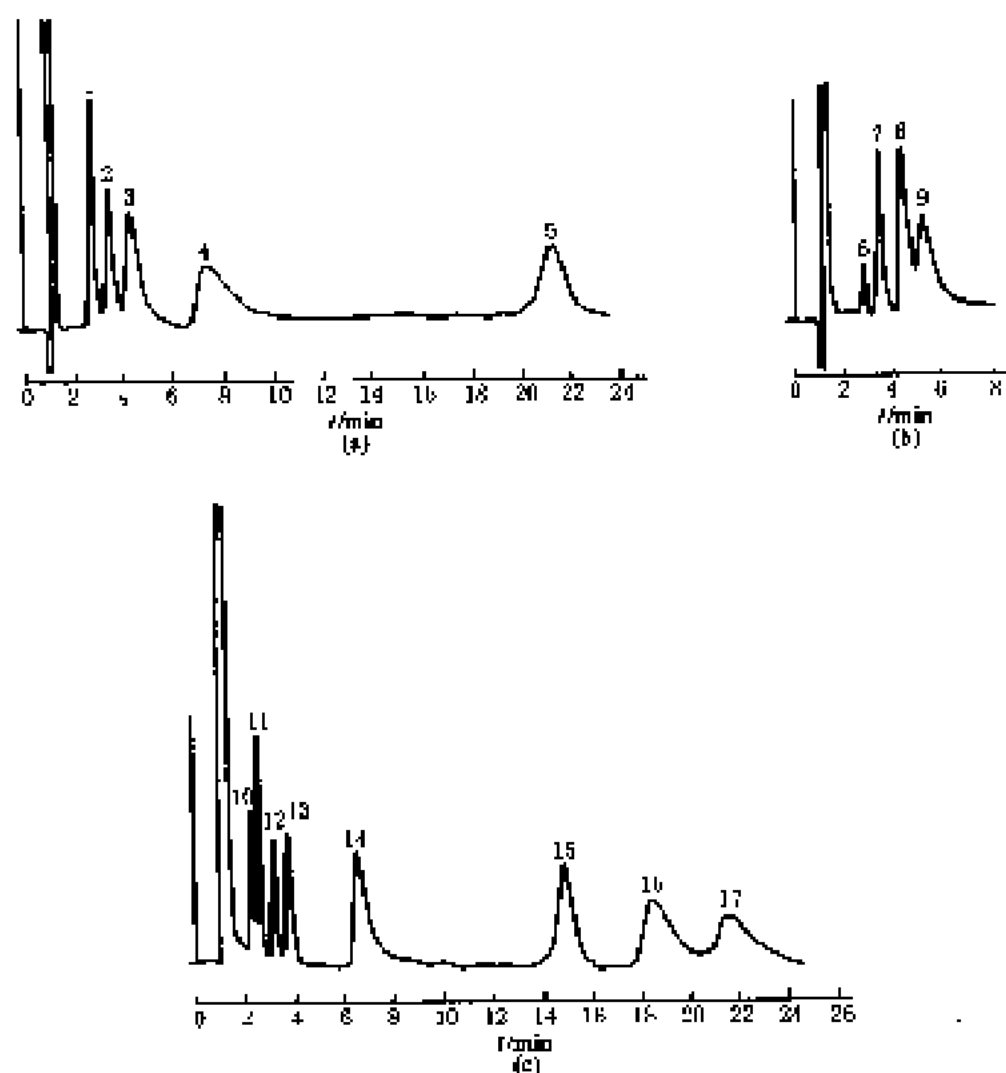


图 11-137 在 PS-DVB 二胺树脂上无机离子分离色谱图^[20]

色谱峰: 1— Cl^- ($40 \text{ mg} \cdot \text{L}^{-1}$), 2— Br^- ($118 \text{ mg} \cdot \text{L}^{-1}$), 3— NO_3^- ($485 \text{ mg} \cdot \text{L}^{-1}$), 4— I^- ($300 \text{ mg} \cdot \text{L}^{-1}$), 5— SO_4^{2-} ($100 \text{ mg} \cdot \text{L}^{-1}$), 6— IO_3^- ($200 \text{ mg} \cdot \text{L}^{-1}$), 7— BrO_3^- ($200 \text{ mg} \cdot \text{L}^{-1}$), 8— NO_2^- ($30 \text{ mg} \cdot \text{L}^{-1}$), 9— CO_3^{2-} ($150 \text{ mg} \cdot \text{L}^{-1}$), 10— F^- ($22 \text{ mg} \cdot \text{L}^{-1}$), 11— Cl^- ($20 \text{ mg} \cdot \text{L}^{-1}$), 12— Br^- ($63 \text{ mg} \cdot \text{L}^{-1}$), 13— NO_3^- ($45 \text{ mg} \cdot \text{L}^{-1}$), 14— I^- ($200 \text{ mg} \cdot \text{L}^{-1}$), 15— SO_4^{2-} ($100 \text{ mg} \cdot \text{L}^{-1}$), 16— MoO_4^{2-} ($200 \text{ mg} \cdot \text{L}^{-1}$), 17— CrO_4^{2-} ($200 \text{ mg} \cdot \text{L}^{-1}$)

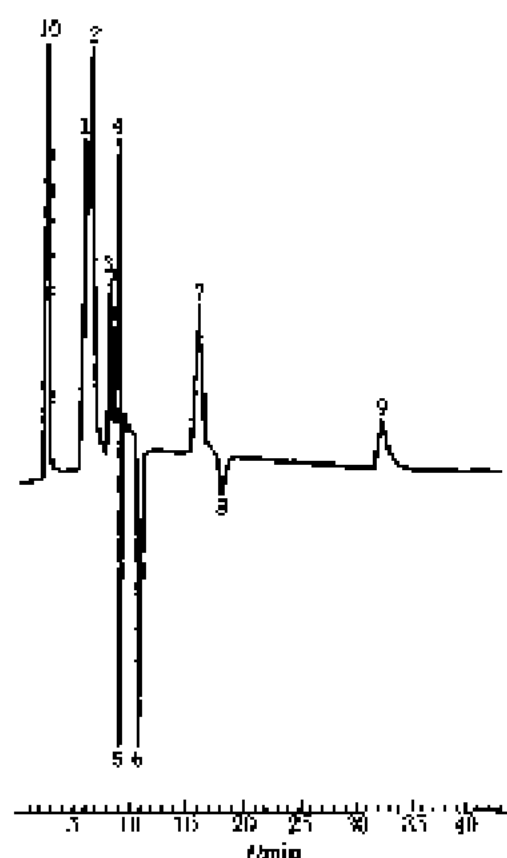
流动相: (a) 邻苯二甲酸氢钠 pH3.77;

(b) 邻苯二甲酸氢钠 pH3.77;

(c) $5.0 \text{ mmol} \cdot \text{L}^{-1}$ 苯甲酸 pH3.40

色谱柱: $300 \text{ mm} \times 4.6 \text{ mm}$

检测器: 电导



色谱峰: 1—丙胺; 2—7.4 苯二胺; 3—己胺; 4—2 苯乙胺;
5— NO_2^- ; 6— NO_3^- ; 7—庚胺; 8— CO_3^{2-} ; 9—苯胺;
10—总样峰

色谱柱: (Bibac Lichrospher RP-18 (Merk)), ϕ 4 cm \times 25 cm,
5 μm

流动相: 0.0050 mol \cdot L $^{-1}$ 水杨酸苯胺, pH 调至 5.4

流量: 0.7 ml \cdot min $^{-1}$

进样体积: 100 μl

检测器: UV (254 nm)

图 11-138 在 UV 吸收离子相互作用试剂存在下胺和阴离子分离色谱图^[48]

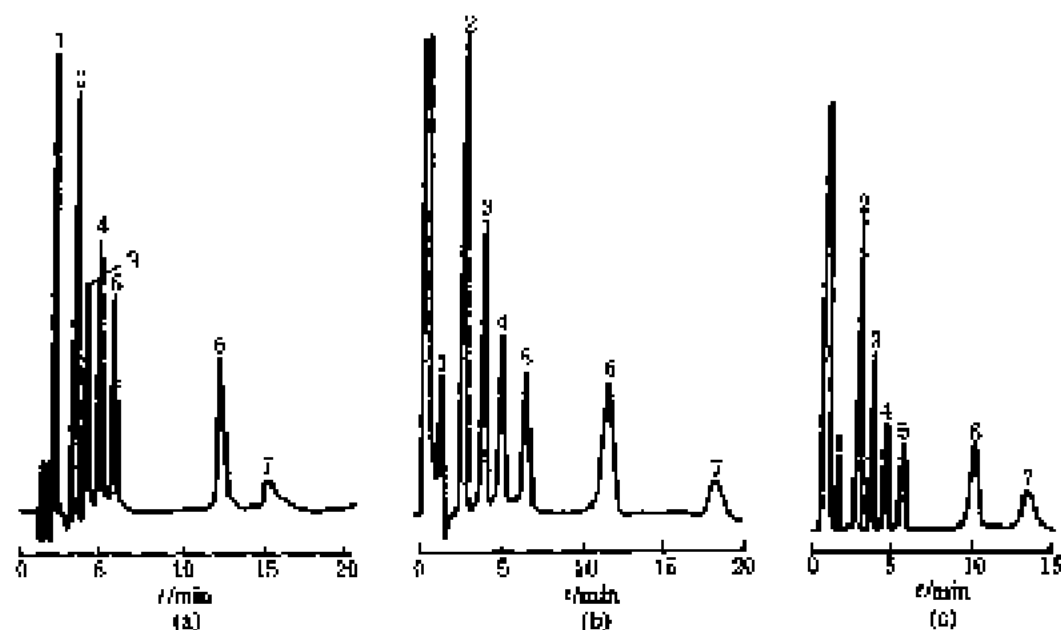


图 11-139 在不同色谱柱上单柱分离无机阴离子色谱图^[49]

色谱峰: 1— F^- ; 2— Cl^- ; 3— NO_2^- ; 4— Br^- ; 5— NO_3^- ; 6— SO_4^{2-} ; 7— I^-

色谱柱: (a) Hamilton PRP-3, 100;

(b) Bio-Gel TSK IC Anion PW;

(c) Waters IC Pak A;

流动相: (a) 邻苯二甲酸盐 (pH3.5);

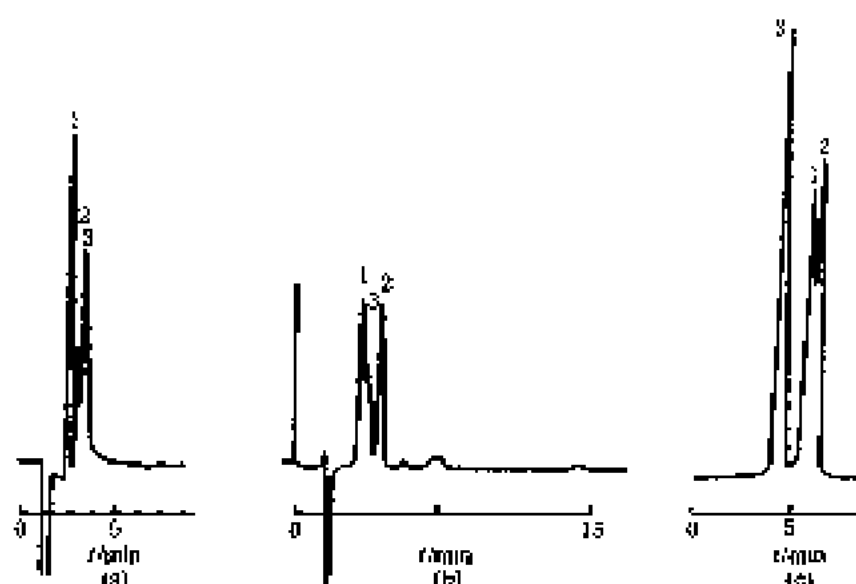
(b) 邻苯二甲酸盐 (pH5.3);

(c) 邻苯二甲酸盐 (pH7.0)

流量: (a) 2 ml \cdot min $^{-1}$;

(b) 1.2 ml \cdot min $^{-1}$;

(c) 1.2 ml \cdot min $^{-1}$

图 11-140 在乙酸盐和甲酸盐存在时 F^- 分离色谱图^[20]

色谱峰: 1—乙酸盐; 2—甲酸盐; 3— F^-

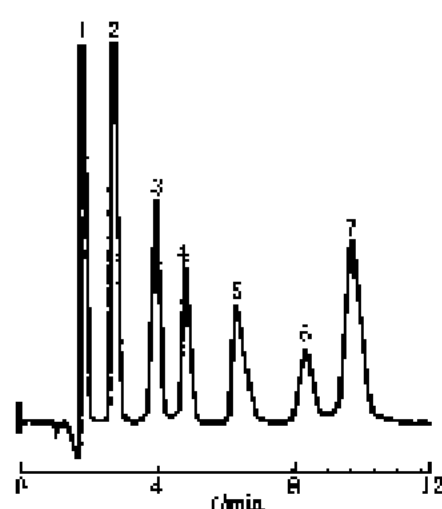
色谱柱: HEMA 91000Q L, 150 mm×4.6 mm (内径), 30 μ m

流动相: 0.5 mmol·L⁻¹ 磷酸基水杨酸—5% MeOH

(a) pH 3.2; (b) pH 4.5; (c) 1.5 mmol·L⁻¹ Na₂CO₃

流速: 0.6 ml·min⁻¹

检测器: (a)、(b) 间接分光光度计 (254 nm); (c) 压阻电导检测

图 11-141 在试剂水中快速分离无机阴离子色谱图^[21]

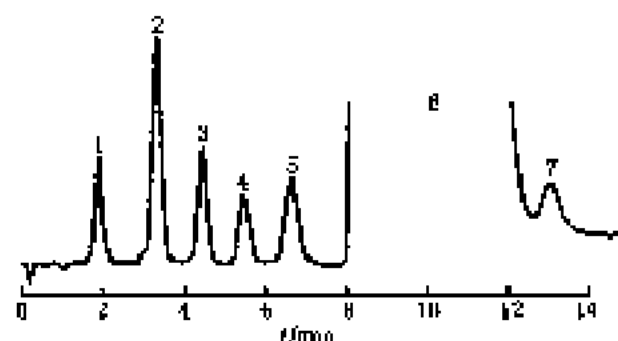
色谱峰: 1— F^- ; 2— Cl^- ; 3— NO_3^- ; 4— Br^- ; 5— NO_2^- ; 6— PO_4^{3-} ; 7— SO_4^{2-}

色谱柱: Allsep 阴离子柱, 20 mm×4.6 mm (内径)

流动相: 0.85 mmol·L⁻¹ NaHCO₃; 0.9 mmol·L⁻¹ Na₂CO₃

流速: 1.1 ml·min⁻¹

检测器: 电导检测

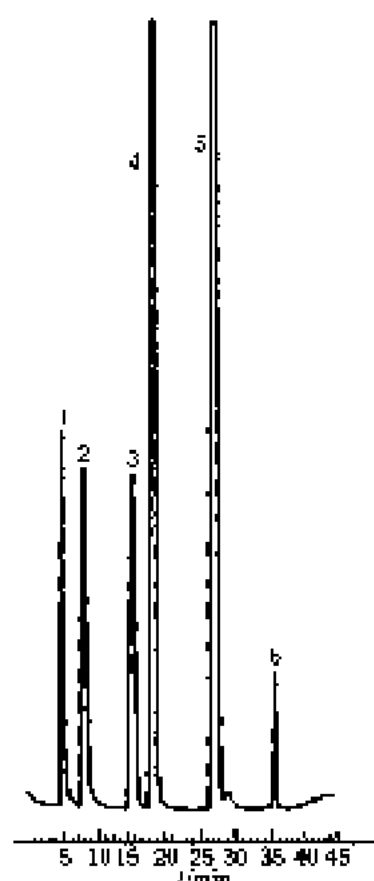
图 11-142 在高浓度磷酸盐化合物中低浓度阴离子分析色谱图⁽²²⁾

色谱峰: 1— F^- (0.5 mg·L⁻¹); 2— Cl^- (1 mg·L⁻¹); 3— NO_3^- (2 mg·L⁻¹); 4— Br^- (2 mg·L⁻¹); 5— NO_2^- (2 mg·L⁻¹); 6— PO_4^{3-} (500 mg·L⁻¹); 7— SO_4^{2-} (2 mg·L⁻¹)

色谱柱: IC Pak Anion

流动相: 溶剂 A 为水, 溶剂 B 为 100 mmol·L⁻¹ 磷酸, 用 NaOH 调节 pH 至 8.3

线性检测:	时间/min	$\phi(B)/\%$
	0	50
	7	50
	20	100



色谱峰: 1—1,4-苯二胺; 2—2-苯乙醇; 3—3-苯丙胺; 4— NO_2^- ; 5— NO_3^- ; 6—二苯胺

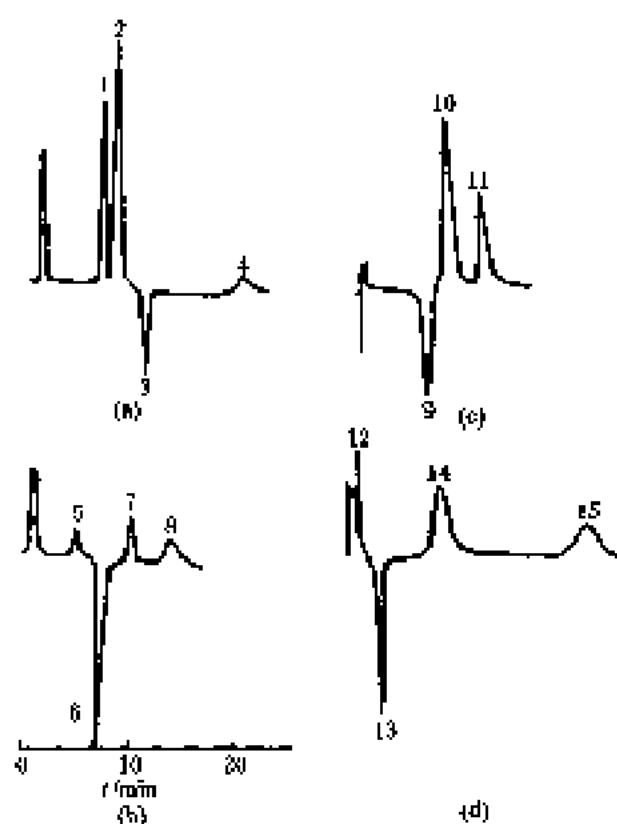
色谱柱: Hibar LiChrospher RP-18 (Merck), $0.4 \text{ cm} \times 25 \text{ cm}$; 5 μm

流动相: $0.0050 \text{ mol} \cdot \text{L}^{-1}$ 正磷酸的甲醇水溶液, pH 调至 6.2

流速: $0.7 \text{ mL} \cdot \text{min}^{-1}$

检测器: UV (220 nm)

图 11-143 在紫外非吸收离子相互作用试剂下胺和阴离子分离色谱图^[8]



色谱峰: 1— Cl^- ; 2— Br^- ; 3— I^- ; 4— ClO_4^- ; 5— ClO_3^- ; 6— I^- ; 7— Br^- ; 8— Cl^- ; 9— I^- ; 10— ClO_3^- ; 11— Cl^- ; 12— ClO_4^- ; 13— I^- ; 14— Br^- ; 15— Cl^-

固定相: (a), (b) Tugel IC-Anion-SW (—N $^+$ (Et) $_2$ Me $^+$ 阴离子树脂);

(c), (d) 配丙化硅胶(—NH $_2$) 阴离子交换树脂

流动相: (a) $0.01 \text{ mol} \cdot \text{L}^{-1} \text{LiNO}_3 + \text{MeOH}$;

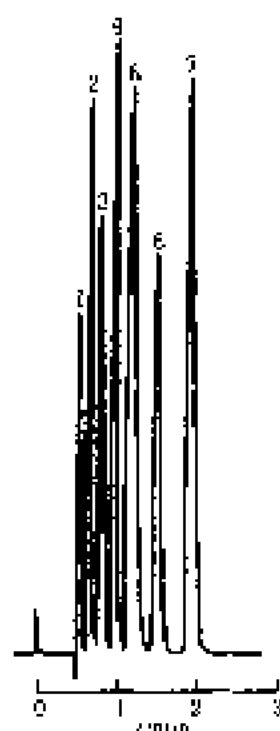
(b) $0.01 \text{ mol} \cdot \text{L}^{-1} \text{Et}_4\text{NNO}_3 + \text{MeCN} + \text{MeOH}$ (体积比 = 75 : 25);

(c) $0.01 \text{ mol} \cdot \text{L}^{-1} \text{LiNO}_3 + \text{MeOH}$;

(d) $0.01 \text{ mol} \cdot \text{L}^{-1} \text{Et}_4\text{NNO}_3 + \text{MeCN} + \text{MeOH}$ (体积比 = 80 : 20)

检测器: UV (246nm)

图 11-141 阴离子交换树脂的硅胶阴离子交换色谱图^[22]



色谱峰: 1— F^- ; 2— Cl^- ; 3— NO_2^- ; 4— Br^- ; 5— NO_3^- ; 6— HPO_4^{2-} ; 7— SO_4^{2-}

色谱柱: Easi Anion (Jhance) 表面功能化季铵阴离子交换剂, $25.0\text{ cm} \times 4\text{ mm}$ (内径), $15\text{ }\mu\text{m}$

流动相: $2\text{ mmol} \cdot \text{L}^{-1}$ 磷酸盐, 以 $15\text{ mmol} \cdot \text{L}^{-1}\text{HCO}_3^-$ 盐, 等度冲洗

流速: $2\text{ ml} \cdot \text{min}^{-1}$

柱温: 室温

检测器: 电导

图 11-145 阴离子快速分离色谱图^[20]

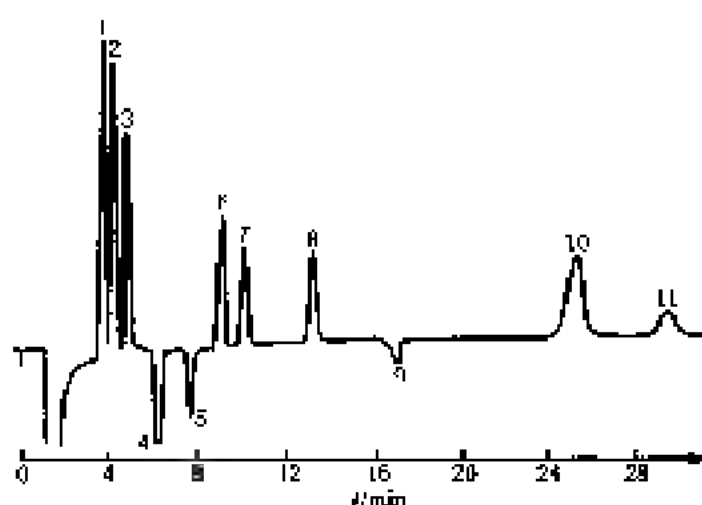


图 11-148 阴离子标准样色谱图^[22]

色谱峰: 1— Cl^- ($4\text{ }\mu\text{g} \cdot \text{ml}^{-1}$); 2— HCO_3^- ($5\text{ }\mu\text{g} \cdot \text{ml}^{-1}$); 3— CH_3COO^- ($1\text{ }\mu\text{g} \cdot \text{ml}^{-1}$); 4— NO_2^- ($4\text{ }\mu\text{g} \cdot \text{ml}^{-1}$); 5— I^- ($5\text{ }\mu\text{g} \cdot \text{ml}^{-1}$); 6— ClO_2^- ($5\text{ }\mu\text{g} \cdot \text{ml}^{-1}$); 7— $\text{ClCH}_2\text{COO}^-$ ($5\text{ }\mu\text{g} \cdot \text{ml}^{-1}$); 8— ClO_3^- ($5\text{ }\mu\text{g} \cdot \text{ml}^{-1}$); 9— SCN^- ($10\text{ }\mu\text{g} \cdot \text{ml}^{-1}$); 10— $\text{Cl}_2\text{CHCOO}^-$ ($5\text{ }\mu\text{g} \cdot \text{ml}^{-1}$); 11— SO_4^{2-} ($5\text{ }\mu\text{g} \cdot \text{ml}^{-1}$)

色谱柱: 填充 Lichrospher RP-18 (Merck) $200\text{ mm} \times 4.6\text{ mm}$ (内径)

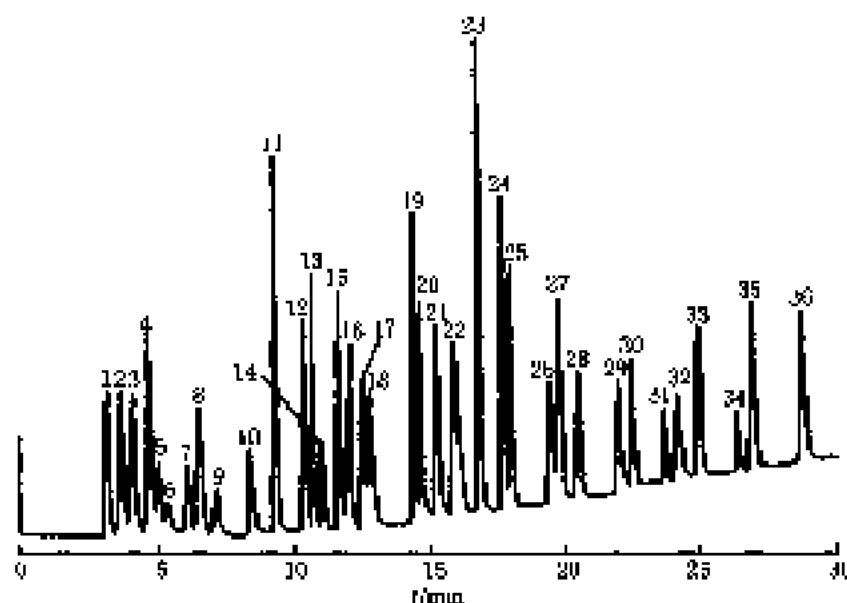
流动相: $23\text{ mmol} \cdot \text{L}^{-1}$ $[\text{Fe}(\text{CN})_6]^{3-}$

流速: $1\text{ ml} \cdot \text{min}^{-1}$

进样体积: $20\text{ }\mu\text{l}$

检测器: 1 UV (205 nm)

2 电导

图 11-147 阴离子梯度分离色谱图^[147]

色谱峰: 1— F^- ; 2— α -羟基丁酸离子峰; 3— CH_3COO^- ; 4—甘氨酸阴离子; 5—丁酸根离子; 6—葡萄糖根离子; 7—戊酸根离子; 8—甲酸根; 9—乙酸根; 10—丙酸根; 11—乙酸根; 12—乳酸根; 13— Cl^- ; 14—单乳糖酸根阴离子; 15— NO_3^- ; 16—葡萄糖酸根; 17—乙二酸根; 18—三氯乙酸根; 19— HPO_4^{2-} ; 20—亚硫酸根; 21— Br^- ; 22— NO_2^- ; 23— SO_4^{2-} ; 24—草酸根; 25—砷酸根; 26— α -酮戊二酸根; 27—富马酸根; 28—邻苯二甲酸根; 29—草乙酸根; 30—磷酸根; 31—砷酸根; 32—硫酸根; 33—柠檬酸根; 34—异柠檬酸根; 35—顺-乌头酸; 36—反-乌头酸。

色谱柱: IonPak AS5A (Dionex) 表面功能化学按阴离子交换器; $15.0\text{ cm} \times 4.0\text{ mm}$ (内径); $5\text{ }\mu\text{m}$

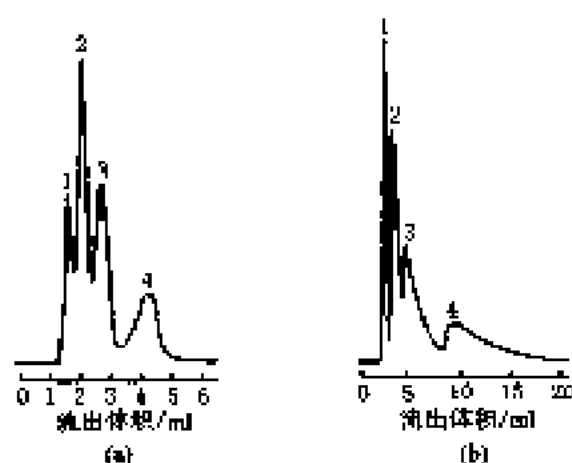
流动相: A: $0.75\text{ mmol} \cdot \text{L}^{-1}\text{ NaOH}$, B: $100\text{ mmol} \cdot \text{L}^{-1}\text{ NaOH}$

梯度冲液: 5 min 内 100% A, 10 min 内从 100% A 变至 70% A + 30% B, 15 min 70% A + 30% B 变至 14% A + 86% B

流速: $1.0\text{ ml} \cdot \text{min}^{-1}$

柱温: 室温

检测器: 电导

图 11-148 卤化物分离色谱图^[148]

色谱峰: 1— NaF , 2— $NaCl$, 3— $NaBr$, 4— NaI

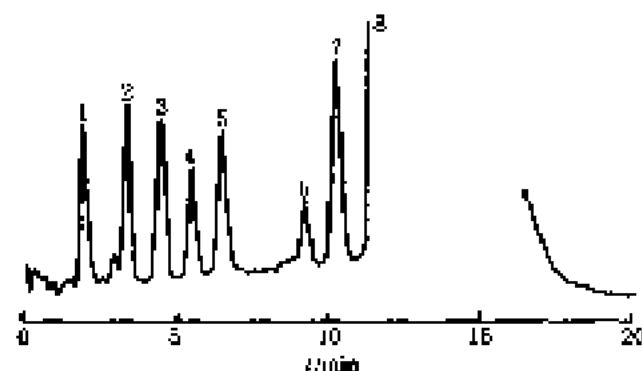
色谱柱: (a) 聚胺强碱性树脂;

(b) 聚胺强碱性树脂/硅胶

流动相: 水

流速: (a) $0.15\text{ ml} \cdot \text{min}^{-1}$, (b) $0.30\text{ ml} \cdot \text{min}^{-1}$

检测器: 电导

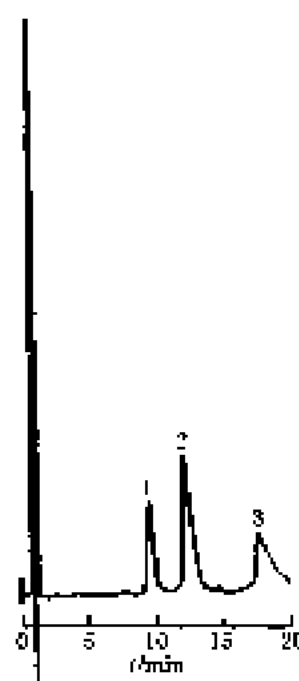
图 11-149 卤素化合物中无机离子分离色谱图^[149]

色谱峰: 1— F^- ($0.5\text{ mg} \cdot \text{L}^{-1}$); 2— Cl^- ($1\text{ mg} \cdot \text{L}^{-1}$); 3— NO_3^- ($2\text{ mg} \cdot \text{L}^{-1}$); 4— Br^- ($2\text{ mg} \cdot \text{L}^{-1}$); 5— NO_2^- ($2\text{ mg} \cdot \text{L}^{-1}$); 6— PO_4^{3-} ($2\text{ mg} \cdot \text{L}^{-1}$); 7— SO_4^{2-} ($2\text{ mg} \cdot \text{L}^{-1}$); 8— CrO_4^{2-} ($500\text{ mg} \cdot \text{L}^{-1}$)

色谱柱: IC Pak Anion

流动相: 溶剂 A 为水, 溶剂 B 为 $100\text{ mmol} \cdot \text{L}^{-1}$ 磷酸, 用 $NaOH$ 调节 pH 至 8.3

线性洗脱, 时间/min	$\sigma(B)/\%$
0	25
5	50
20	50

图 11-150 阴离子交换分离色谱图^[62]

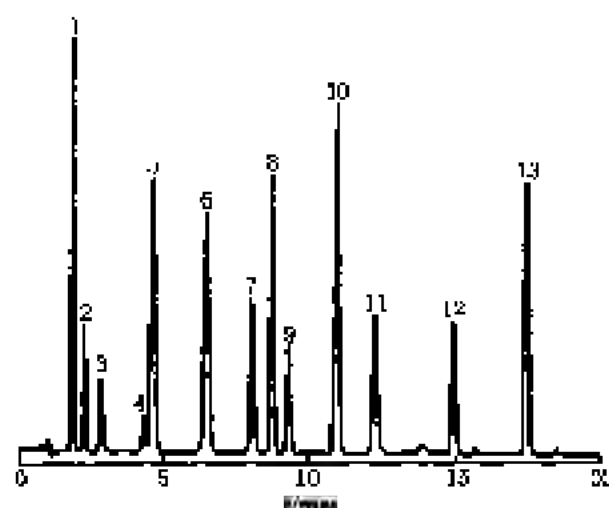
色谱峰: 1— I^- , 2— $S_2O_3^{2-}$, 3— SCN^-

色谱柱: Allsep 阴离子柱, 100 mm × 4.6 mm (内径)

流动相: 4 mmol · L⁻¹ 苯二甲酸 (pH 2 用 10% NaOH 滴定)

流速: 1.2 ml · min⁻¹

检测器: 电导

图 11-151 芳香族阴离子的交换分离色谱图^[36]

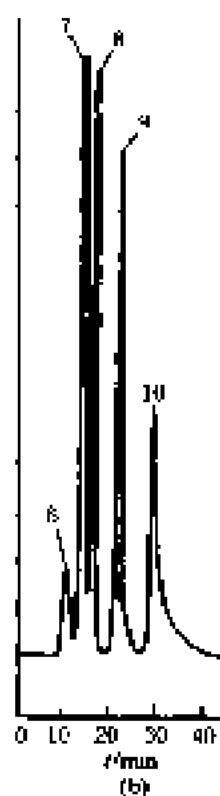
色谱峰: 1—苯甲酸盐 (40 mg · L⁻¹), 2—苯硝酸盐 (40 mg · L⁻¹), 3—对甲苯磺酸盐 (40 mg · L⁻¹), 4—对氯苯磺酸盐 (40 mg · L⁻¹), 5—对溴苯磺酸盐 (50 mg · L⁻¹), 6—3,4-二硝基苯磺酸盐 (10 mg · L⁻¹), 7—邻苯二甲酸盐 (40 mg · L⁻¹), 8—对苯二甲酸盐 (6 mg · L⁻¹), 9—对羟基苯磺酸盐 (3 mg · L⁻¹), 10—对羟基苯硝酸盐 (2 mg · L⁻¹), 11—2,5-二羟基苯磺酸盐 (10 mg · L⁻¹), 12—1,4,5-三羟基苯 (80 mg · L⁻¹), 13—1,2,4,6-苯四磺酸盐 (10 mg · L⁻¹)

色谱柱: 填充 Dionex Q mm Pac PAX-1, 250 mm × 4 mm

流动相: 20% 乙醇, 1 mmol · L⁻¹ NaOH, 0.05 ~ 0.4 mol · L⁻¹ NaCl

流速: 1 ml · min⁻¹

检测器: UV (254 nm)



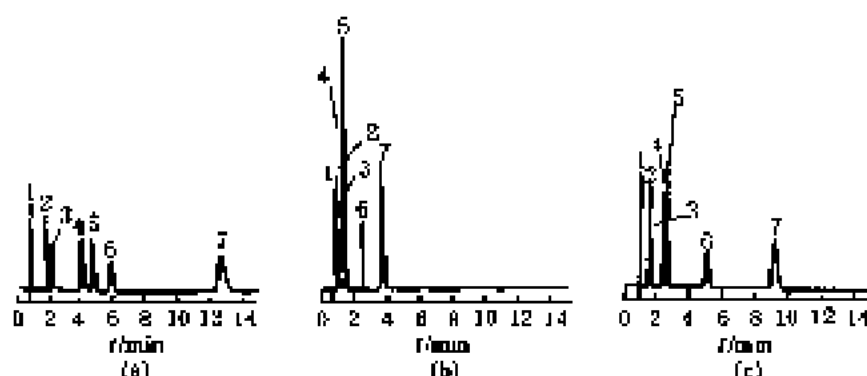
色谱峰: 1—NaCl, 2—NaBr, 3—NaNO₃, 4—NaI, 5—NaSCN, 6—KCl, 7—KBr, 8—KNO₃, 9—KI, 10—KSCN

色谱柱: Silica 苯基-18-双-6

流动相: 水

检测器: 电导

图 11-152 具有共同阳离子的分离色谱图^[34]

图 11-153 固定相组成对阴离子交换选择性影响色谱图^[41]

色谱峰: 1— F^- ; 2— Cl^- ; 3— NO_3^- ; 4— Br^- ; 5— NO_2^- ; 6— PO_4^{3-} ; 7— SCN^-

固定相: (a) 5%交联 VDC Latex;

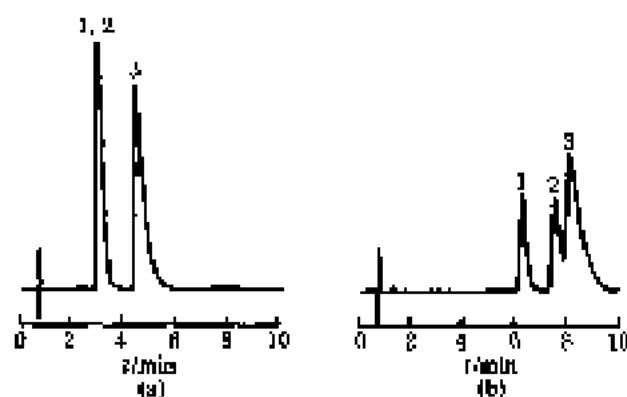
(b) 1%交联 VDC Latex;

(c) 5%交联 GM Latex

流动相: $9 \text{ mmol} \cdot \text{L}^{-1} \text{Na}_2\text{CO}_3$

流 速: $2.0 \text{ ml} \cdot \text{min}^{-1}$

检测器: 压电电极



色谱峰: 1— I^- ; 2— Br^- ; 3— SCN^-

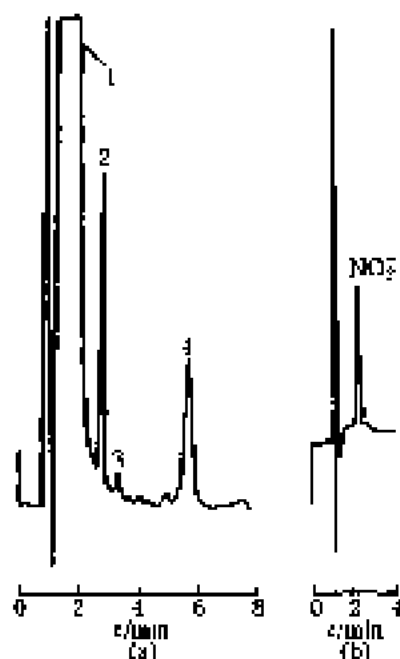
固定相: (a) 1%交联 VDC Latex;

(b) 5%交联 GM Latex

流动相: $9 \text{ mmol} \cdot \text{L}^{-1} \text{Na}_2\text{CO}_3$

流 速: $2.0 \text{ ml} \cdot \text{min}^{-1}$

检测器: 压电电极

图 11-154 固定相组成对极化阴离子分离选择性影响色谱图^[44]

色谱峰: 1— Cl^- 和 NO_3^- ; 2— Br^- ; 3— NO_2^- ; 4— PO_4^{3-}

色谱柱: $250 \text{ mm} \times 4.0 \text{ mm}$ (内径), AS1A

保护柱: $50 \text{ mm} \times 4.0 \text{ mm}$ AG4A

流动相: (a) $0.002 \text{ mol} \cdot \text{L}^{-1} \text{Na}_2\text{CO}_3$ + 水;

(b) $0.02 \text{ mol} \cdot \text{L}^{-1} \text{NaCl}$ + 水

流 速: $2 \text{ ml} \cdot \text{min}^{-1}$

进样体积: $50 \mu\text{l}$

检测器: (a) 压电电极;

(b) 安培计, 工作电极为玻璃碳, 反电极 Pt, 参
考电极为 Ag/AgCl /饱和 KCl

图 11-155 海水稀释 20 倍离子色谱图^[75]

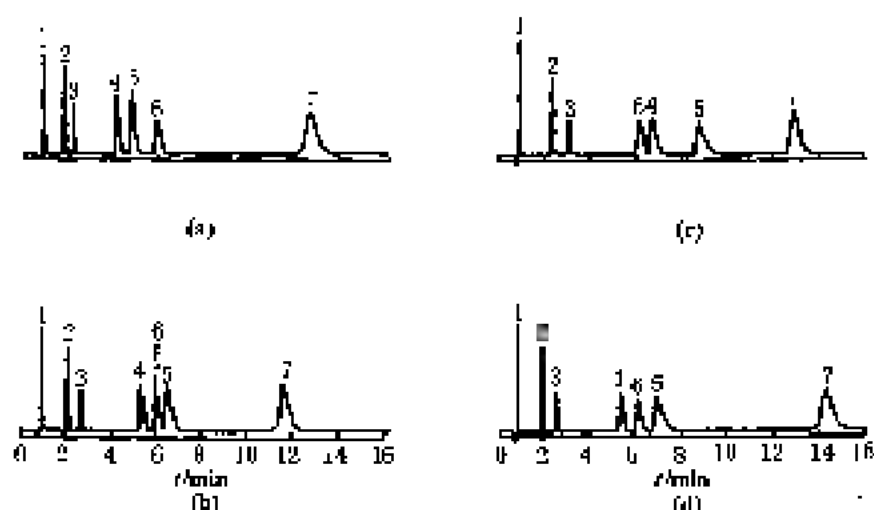


图 11-156 离子交换位结构对阴离子交换选择性影响色谱图^[54]

色谱峰: 1— F^- ; 2— Cl^- ; 3— NO_2^- ; 4— I^- ; 5— NO_3^- ; 6— HCO_3^- ; 7— SO_4^{2-}

固定相: (a) VBC Latex (与 TMA 作用);

(b) VBC Latex (与 DMAEA 作用);

(c) VBC Latex (与 DMAA 作用);

(d) VBC Latex (与 DMAP 作用)

流动相: $5 \text{ mmol} \cdot \text{L}^{-1} \text{Na}_2\text{CO}_3$

流 速: $2.0 \text{ ml} \cdot \text{min}^{-1}$

检测器: 脉冲电极

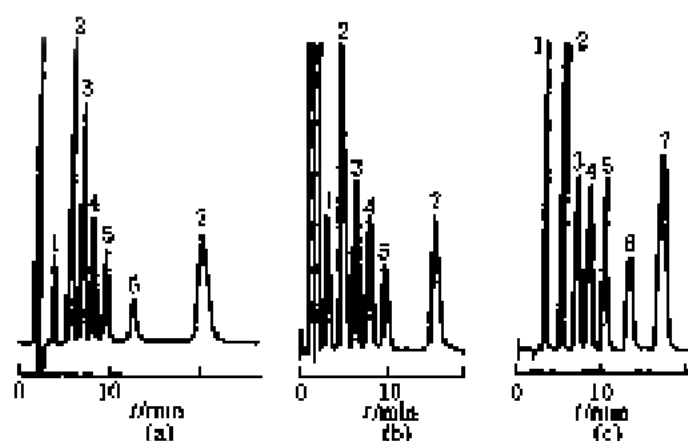


图 11-157 常用洗脱剂比较图^[55]

色谱峰: 1— F^- ; 2— Cl^- ; 3— NO_2^- ; 4— Br^- ; 5— NO_3^- ; 6— CO_3^{2-} ; 7— SO_4^{2-}

色谱柱: Alltech 茚阴离子 PEEK 柱, $150 \text{ mm} \times 4.6 \text{ mm}$ (内径)

流动相: (a) $5 \text{ mmol} \cdot \text{L}^{-1}$ 2-氨基苯甲酸盐 (pH 7.9); (b) $4 \text{ mmol} \cdot \text{L}^{-1}$ 邻苯二甲酸盐 (pH 4.5); (c) $2 \text{ mmol} \cdot \text{L}^{-1} \text{HCO}_3^-$ + $2.2 \text{ mmol} \cdot \text{L}^{-1} \text{CO}_3^{2-}$

流 速: $1.0 \text{ ml} \cdot \text{min}^{-1}$

检测器: 电导检测

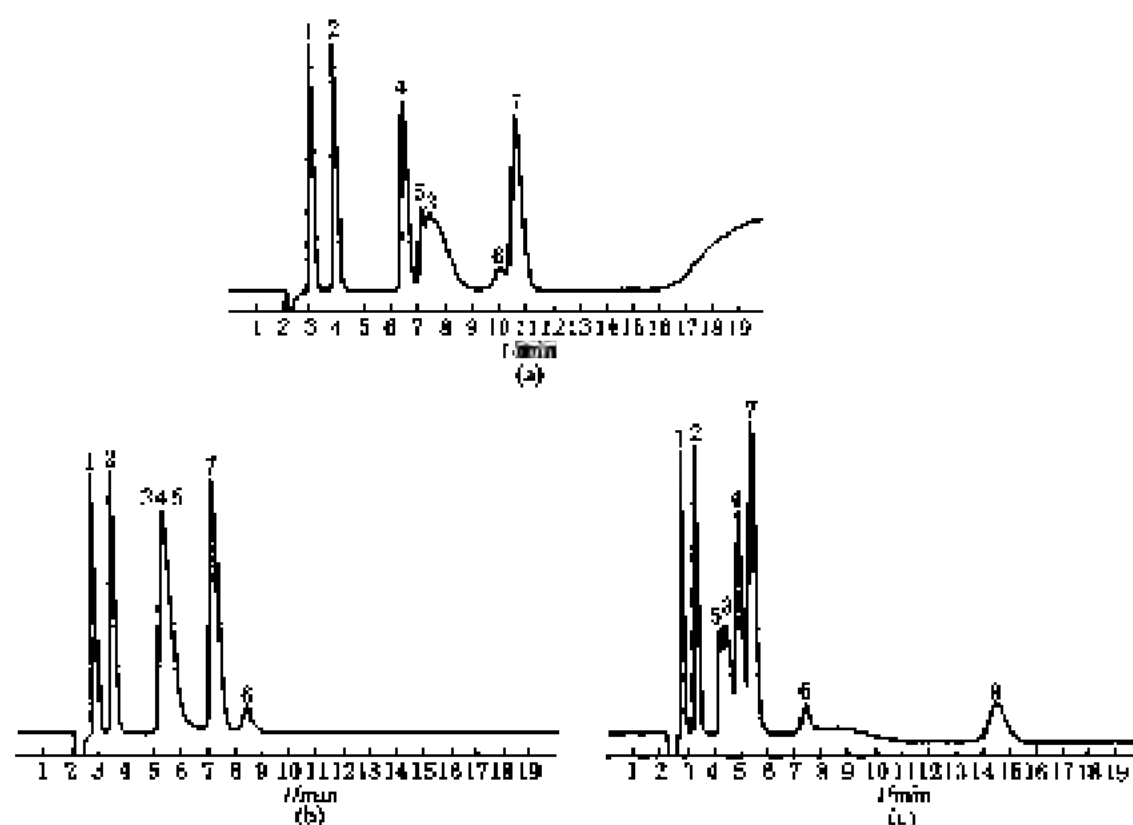


图 11-158 普通土壤阴离子和 DMPA/MPA 分离色谱图^[24]

色谱峰号: 1— P^- ; 2— Cl^- ; 3— CO_3^{2-} ; 4— NO_3^- ; 5—MPA; 6—DMPA; 7— SO_4^{2-} ; 8— PO_4^{3-}

① MPA——甲基膦酸; DMPA——异丙基膦酸。

色谱柱: Sarssep AN300, 100 $\mu\text{m} \times 7.5 \text{ mm}$

保护柱: AN300

流动相: (a) $10 \text{ mmol} \cdot \text{L}^{-1} \text{ NaOCl}$;

(b) $15 \text{ mmol} \cdot \text{L}^{-1} \text{ NaOH}$;

(c) $20 \text{ mmol} \cdot \text{L}^{-1} \text{ NaOH}$

流 速: $1.5 \text{ ml} \cdot \text{min}^{-1}$

检测器: 电导

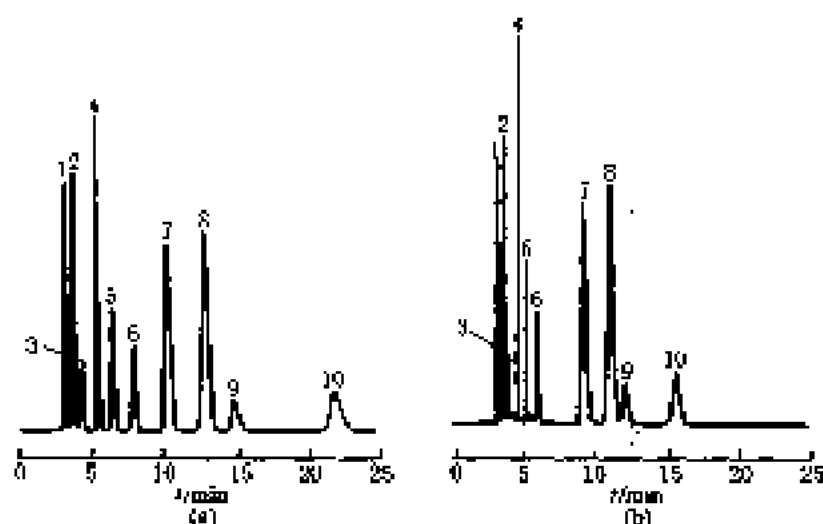


图 11-159 温度对离子交换选择性影响谱图^[24]

色谱峰: 1— Li^+ ; 2— Na^+ ; 3— NH_4^+ ; 4— K^+ ; 5— Rb^+ ; 6— Cs^+ ; 7— Mg^{2+} ; 8— Ca^{2+} ; 9— Sr^{2+} ; 10— Ba^{2+}

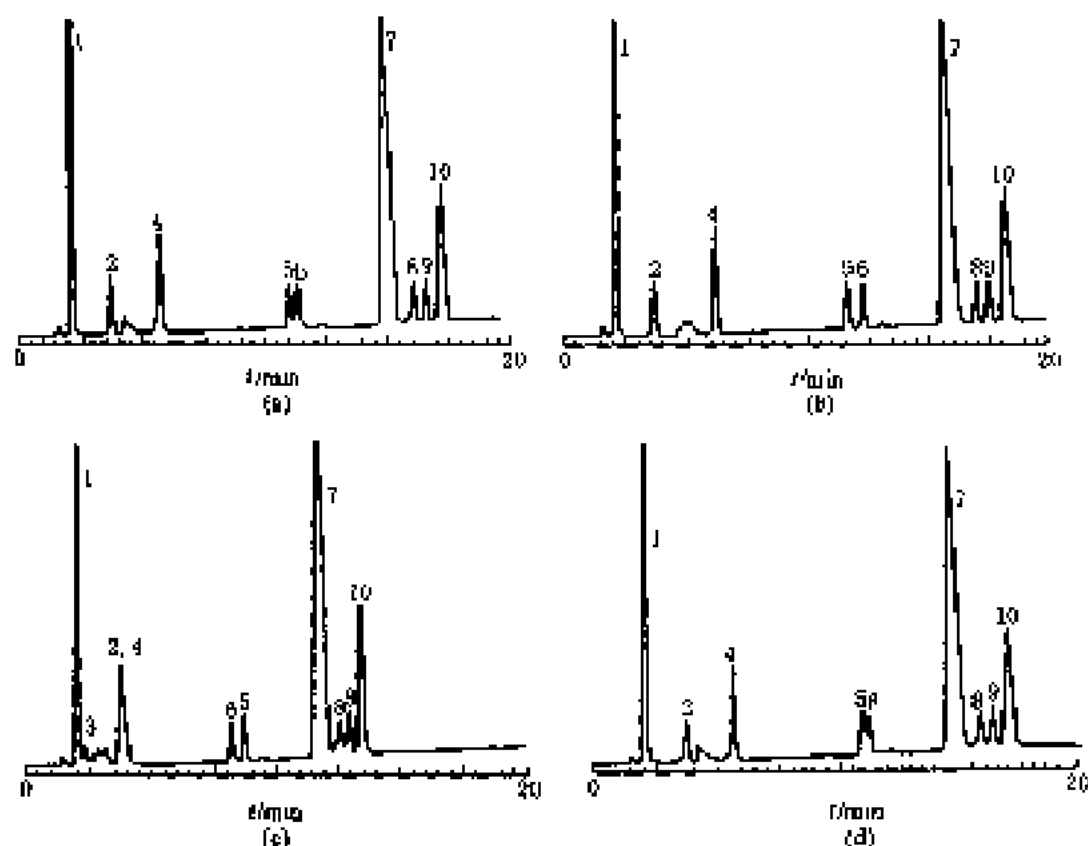
色谱柱: Domez CS 12A

柱 温: (a) 27°C ; (b) 50°C

流动相: $18 \text{ mmol} \cdot \text{L}^{-1}$ 甲酸

流 速: $10 \text{ ml} \cdot \text{min}^{-1}$

检测器: 压敏电导

图 11-160 温度对系统适应性影响谱图⁽⁵⁷⁾

(a) 40°C; (b) 25°C; (c) 35°C; (d) 45°C

色谱峰: 1— Cl^- ; 2— NO_3^- ; 4—二元酸(1); 4— SO_4^{2-} ; 6— PO_4^{3-} ; 6—二元酸(1); 7—Clodromic acid(5); 8—氨基甲基二磺酸; 9—亚甲基二磺酸; 10—羧基二磺酸

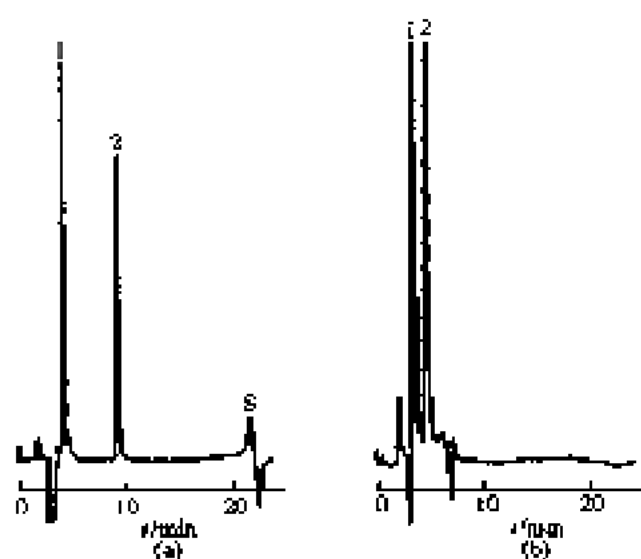
色谱柱: InPac ASi1

柱温: 45°C

流动相: 20~100 mmol·L⁻¹ NaOH 冲洗 20 min, 内含有 (a) $\phi=0\%$ CH_3CN (b) $\phi=10\%$ CH_3CN

流速: 1.0 ml·min⁻¹

检测器: 环彤方式压阻电导



(a) 25 度稀释原样; (b) 35 度稀释原样

色谱峰: 1— Cl^- ; 2— SO_4^{2-} ; 3—系统峰

流动相: (a) 乙醇+水(体积比=10:90) pH5.0

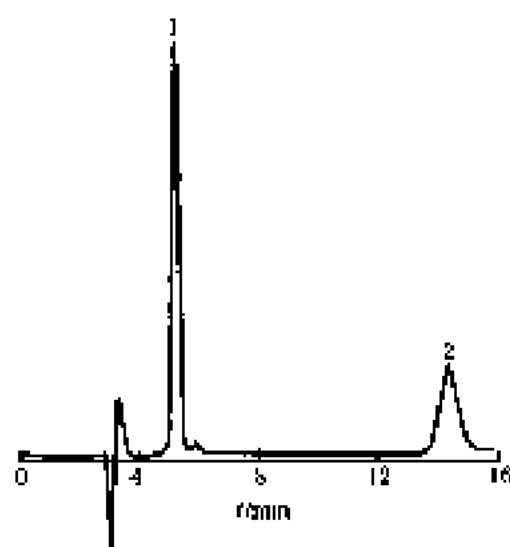
内含 0.2 mmol·L⁻¹ 邻苯二甲酸酐
7 mmol·L⁻¹ TPAOH

(b) 乙醇+水(体积比=10:90) pH5.0,

内含 0.2 mmol·L⁻¹ 邻苯二甲酸酐
7 mmol·L⁻¹ TPAOH

检测器: 电导

图 11-161 稀释的热泉水色谱图⁽⁵⁷⁾

图 11-162 超纯水中微量阴离子色谱图^[1]

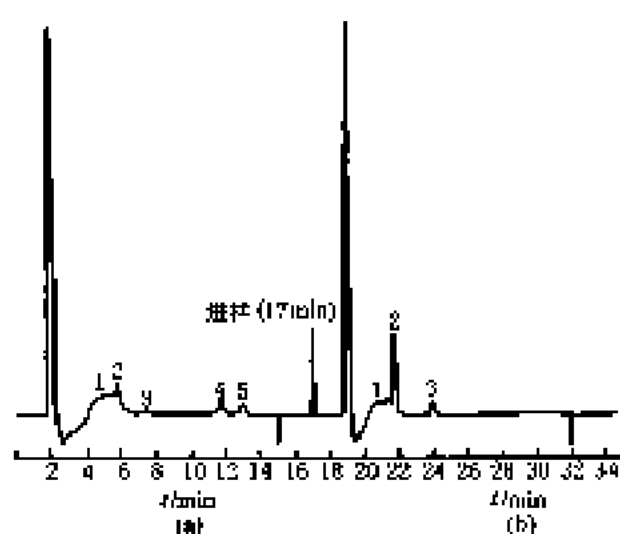
色谱峰: 1— Cl^- ; 2— SO_4^{2-}

色谱柱: Samesep AN1, 250 mm×4.8 mm (内径)

流动相: 1.7 mmol/L NaHCO_3 + 1.8 mmol/L Na_2CO_3

流速: 1.0 mL·min⁻¹

检测器: 压差电导

图 11-163 锅炉烟道气中含氧酸根离子色谱图^[11]

(a) 第一吸收瓶; (b) 第二吸收瓶

色谱峰: (a) 1— Cl^- ; 2— NO_3^- ; 3— NO_3^- ; 4— SO_4^{2-} ; 5— SO_4^{2-}

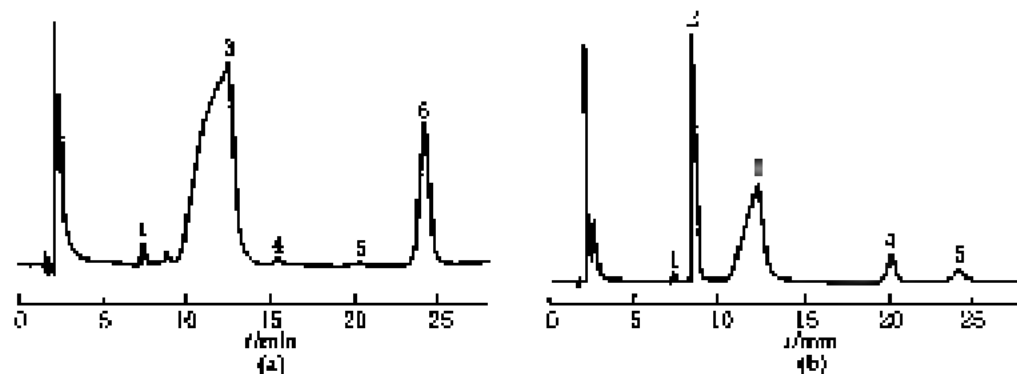
(b) 1— CO_3^{2-} ; 2— NO_3^- ; 3— NO_3^-

色谱柱: IonPac-AG14, IonPac-AS14

流动相: 1.8 mmol/L Na_2CO_3 + 1.7 mmol/L NaHCO_3

吸收溶液: 5% TEA, 10 mL

检测器: 电导

图 11-164 锅炉烟道气中 Cl^- 和含氧酸根离子色谱图^[11]

(a) 第一吸收瓶; (b) 第二吸收瓶

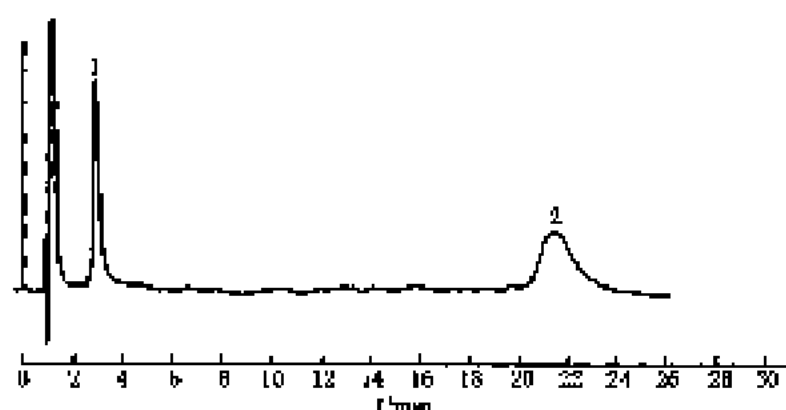
色谱峰: 1— Cl^- ; 2— NH_4^+ ; 3— CO_3^{2-} ; 4— SO_4^{2-} ; 5— NO_3^- ; 6— SO_4^{2-}

色谱柱: IonPac AG7, IonPac AS7

流动相: 20 mmol/L NaOH + 10 mmol/L 对氨基苯酚

吸收溶液: 5% TEA, 每个 10 mL

检测器: 电导

图 11-165 新固定相分析自来水的色谱图^[53]

色谱峰: 1— Cl^- , 2— SO_4^{2-}

色谱柱: 填充 PS DVB 三嵌树脂, $100\text{ mm} \times 4.6\text{ mm}$

流动相: $2.5\text{ mmol} \cdot \text{L}^{-1}$ 邻苯二甲酸氢钾 (pH 3.20)

检测器: 电导



图 11-166 酸和阴离子

分离色谱图^[62]

色谱峰: 1—乙醇酸

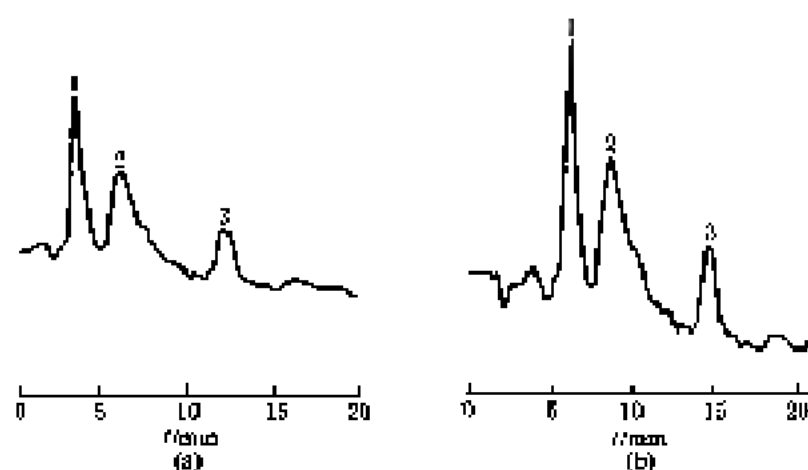
色谱柱: Waters Assoc Exclusion, 硫酸
化聚苯乙烯, $85.0\text{ cm} \times 7.1\text{ mm}$ (内径), $10\text{ }\mu\text{m}$

流动相: $3\text{ mmol} \cdot \text{L}^{-1}\text{HNO}_3$ 等度冲液

流速: $1.0\text{ mL} \cdot \text{min}^{-1}$

柱温: 室温

检测器: 电导

图 11-167 酸的离子作用色谱图^[74]

色谱峰: 1—甲酸, 2—乙酸, 3—丙酸

色谱柱: sphecl-10RP 1H, $100\text{ mm} \times 4.6\text{ mm}$

流动相: $0.3\text{ mmol} \cdot \text{L}^{-1}$ 异基叔木精 (pH 5)

流速: $0.5\text{ mL} \cdot \text{min}^{-1}$

检测器: (a) UV (210 nm)

(b) 银氯化银电极的电位检测器

第三节 其他样品的色谱图

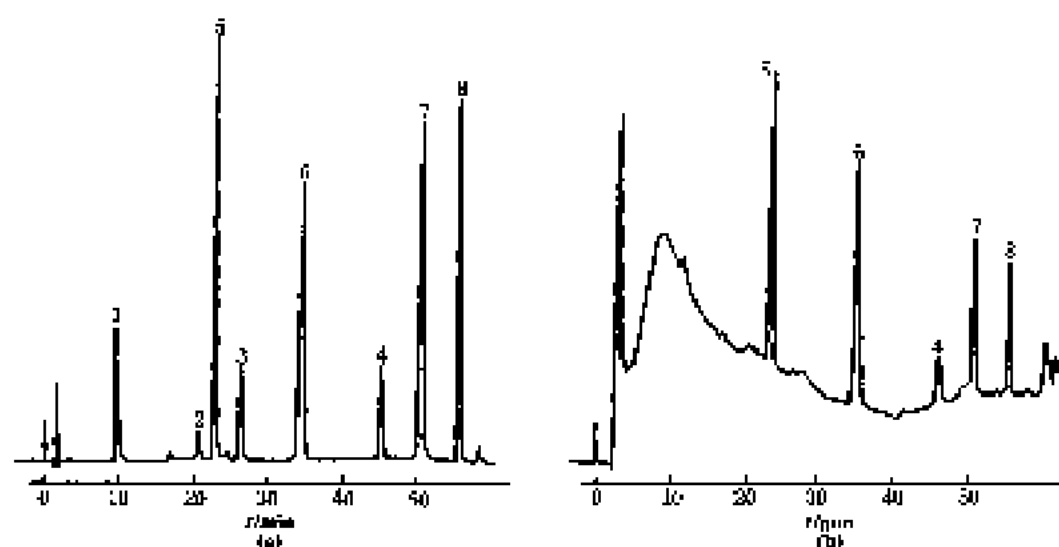


图 11-168 胺类化合物分离谱图^[7]

(a) 氯化三硝基四种胺类衍生物谱图, (b) 季铵胺类化合物的饮用水标准品在线阳离子交换谱图

色谱峰: 1—3-氯-4-甲氧苯胺; 2—3-氯-4-甲苯胺; 3—4-异丙基苯胺; 4—3,4-二氯苯胺; 5—S; 6—A; 7—P; 8—T

色谱柱: 填充 5 μm Nucleosil C₁₈, 6 mm \times 0.46 cm (内径)

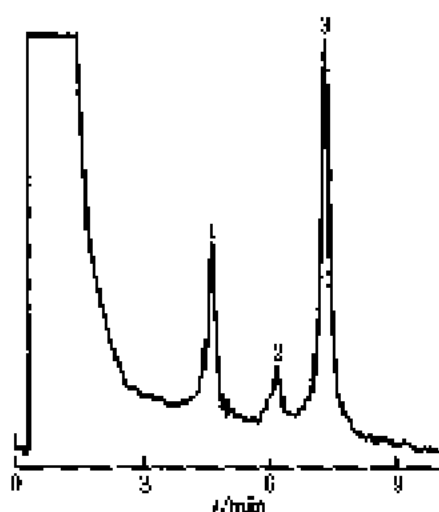
预柱: 填充 7 μm PRP-1 (pH6), 15 mm \times 3.2 mm (内径)

阳离子交换预柱: 填充 15—20 μm EC X₂ (用含 25% 乙醇的 5 ml pH1.0 高氯酸) 10 mm \times 2 mm (内径)

流动相: 0.05 mol \cdot L⁻¹ 高氯酸+高氯酸钠 (pH4) + 乙醇

梯度冲洗	时间/min	φ (乙醇)/%
	0	15
	20	23.5
	35	25.4
	60	45

检测器: UV (230 nm)



色谱峰: 1—PCR 放大 HIV115-bp 片段; 2—PCR 放大 HIV 100-bp; 3—PCR 放大 HIV 127-bp 内标物

色谱柱: PS-DVB-C₁₈, 50 nm \times 4.6 mm (内径), 2.1 μm
柱温: 50 $^{\circ}\text{C}$

流动相: A 0.1 mol \cdot L⁻¹ TEAA pH7.0

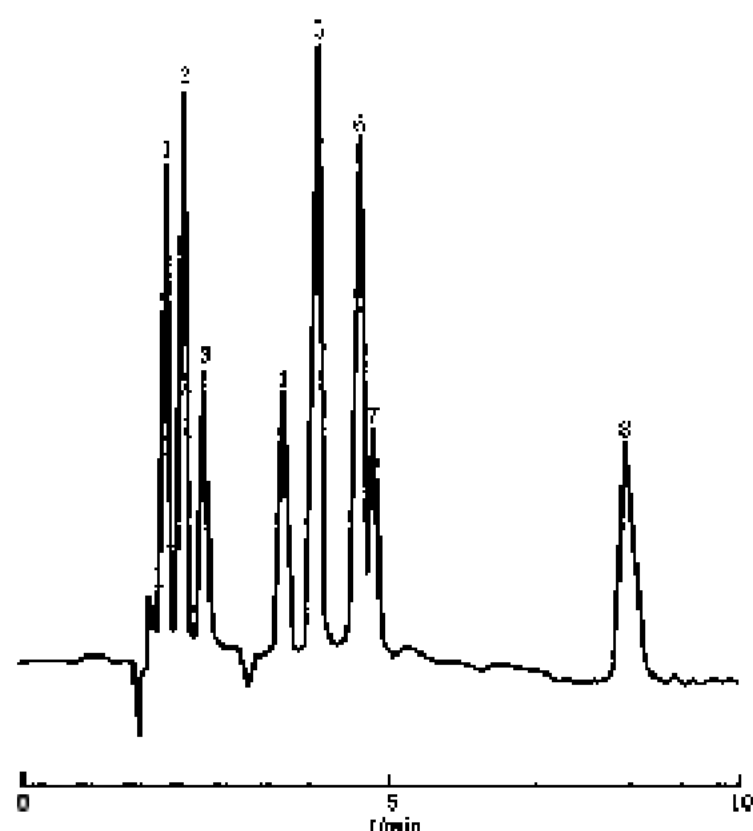
B 0.1 mol \cdot L⁻¹ TEAA, 25% 乙醇 pH7.0

线性梯度冲洗: 45%~55% B 10 min

流速: 1 ml \cdot min⁻¹

检测器: 荧光检测 (λ_{ex} —488 nm; λ_{em} —520 nm)

图 11-169 5-羟基荧光素标记 HIVPCR 产品的离子对色谱图^[7]

图 11-170 8 种苯胺、苯胺磺酸分离色谱图^[27]

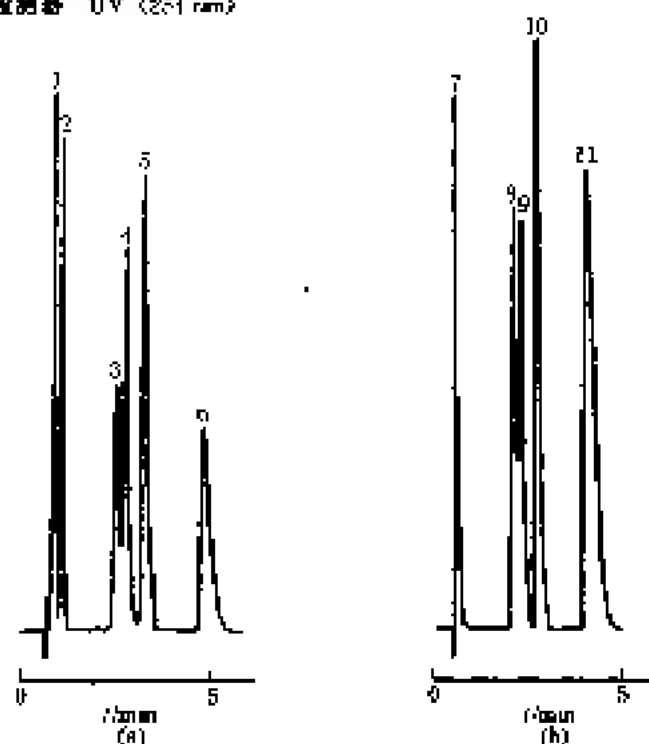
色谱峰: 1—1-氨基苯-2,5-二磺酸; 2—1,3-二氨基苯-4,6-二磺酸; 3—1-氨基苯-3-磺酸; 4—1-氨基苯-2-磺酸; 5—2-氨基苯-2,6-二磺酸; 6—1-氨基-4-甲苯-3-磺酸; 7—1-氨基萘-5-磺酸; 8—2-氨基萘-5-磺酸

色谱柱: 填充 $5\ \mu\text{m}$ Sphersorb C_{18} 载体, $200\ \text{mm} \times 4.0\ \text{mm}$ (内径), $5\ \mu\text{m}$

泵: Waters 510

流动相: 溶剂 A 为甲醇, 溶剂 B 为缓冲液, 内含 $10\ \text{mmol} \cdot \text{L}^{-1}\ \text{NaH}_2\text{PO}_4$, $5\ \text{mmol} \cdot \text{L}^{-1}\ \text{TBAI}$, $0.5\ \text{mol} \cdot \text{L}^{-1}\ \text{KCl}$, A—B = 25+0.75, $\text{pH}=6.97$

检测器: UV (254 nm)



色谱峰: 1—乳酸 ($0.5\ \text{mmol} \cdot \text{L}^{-1}$); 2—氯化物; 3—砷酸盐; 4—偏磷酸 ($0.25\ \text{mmol} \cdot \text{L}^{-1}$); 5—草酸 ($0.25\ \text{mmol} \cdot \text{L}^{-1}$); 6—富马酸 ($0.25\ \text{mmol} \cdot \text{L}^{-1}$); 7—乳酸 ($0.5\ \text{mmol} \cdot \text{L}^{-1}$); 8—丙二酸 ($0.25\ \text{mmol} \cdot \text{L}^{-1}$); 9—马来酸 ($0.25\ \text{mmol} \cdot \text{L}^{-1}$); 10—草酸 ($0.25\ \text{mmol} \cdot \text{L}^{-1}$); 11—富马酸 ($0.25\ \text{mmol} \cdot \text{L}^{-1}$)

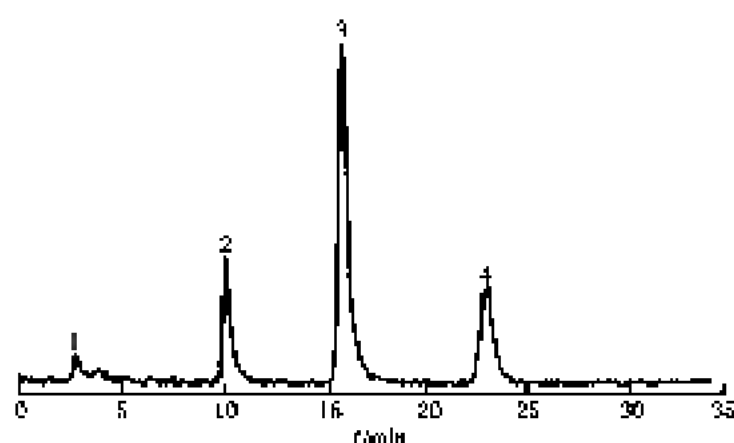
固定相: IonPac AS4A-SC

流动相: $\text{pH}(0.5\ \text{M})\ [\text{H}_2\text{CO}_3] = [\text{HCO}_3^-] = 6.4\ \text{mmol} \cdot \text{L}^{-1}$

(a) $[\text{HCO}_3^-] + [\text{CO}_3^{2-}] = 2.5\ \text{mmol} \cdot \text{L}^{-1}$

检测器: 电导

图 11-171 CO_3^{2-} 浓度对酸性分析物分离的影响^[28]

图 11-172 DNB 衍生物标准样反相色谱图^[8]

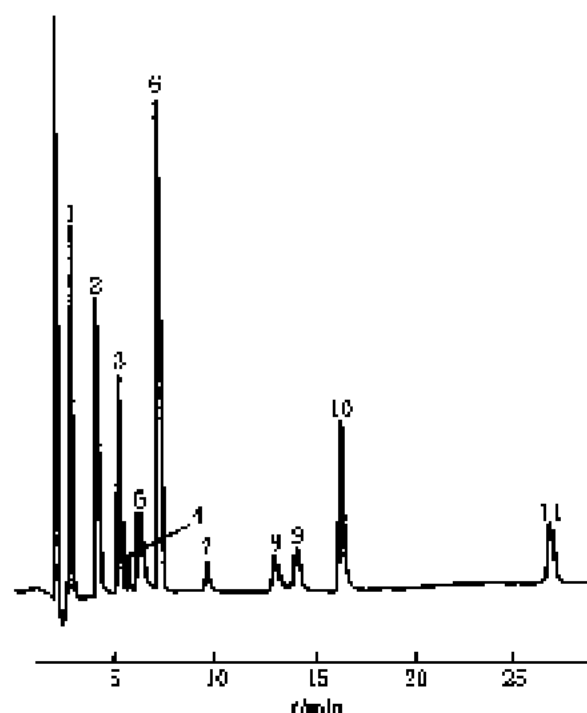
色谱峰: 1—未加物; 2—Se-甲基-DL-蛋氨酸; 3—蛋氨酸; 4—Se-正丙基-DL-蛋氨酸

色谱柱: Perkin-Elmer Brownlee C₁₈ PTC 柱, 330 mm×2.1 mm (内径)

流动相: 甲醇-水 (52+38), 内含 0.024% TEA

流速: 0.2 ml·min⁻¹

检测器: Perkin-Elmer Eln 5000 荧光仪

图 11-173 酚类混合物分离色谱图^[9]

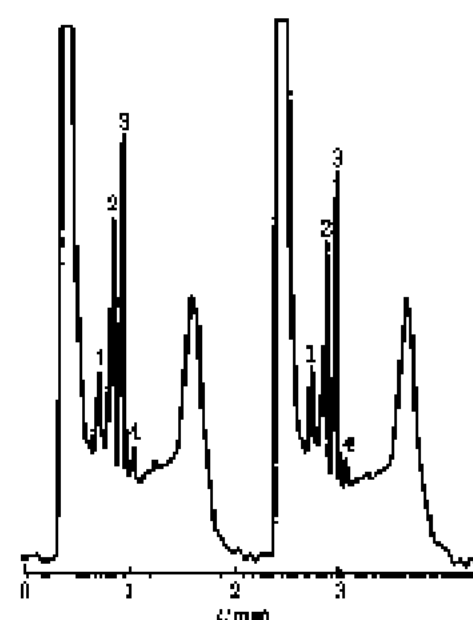
检测器: 1—对羟基苯酚; 2—2,4-二羟基苯酚; 3—邻羟基苯酚; 4—苯酚; 5—2,4-二羟基-6-甲基苯酚; 6—邻氯苯酚; 7—2,4-二羟基苯酚; 8—2,4,6-三羟基苯酚; 9—4-氯-3-甲基苯酚; 10—2,4-二氯苯酚; 11—2,4-二氯苯酚

色谱柱: Merck RP-18 LiChroCART 250×4, 5 μm

流动相: 8.0 mmol·L⁻¹ 磷酸氢盐溶液-乙醇 (体积比=65:1.35 (pH=0))

流速: 4—(0~7) min 时 $F=1.0 \text{ ml} \cdot \text{min}^{-1}$
7—(7~22) min 时 $F=1.0 \text{ ml} \cdot \text{min}^{-1} \sim 2.0 \text{ ml} \cdot \text{min}^{-1}$
22~25 min 时 $F=2.0 \text{ ml} \cdot \text{min}^{-1}$

检测器: UV (255 nm)

图 11-174 PCR 产品常规分析的快速分离
以及柱再生色谱图^[10]

色谱峰: 1—非特异 PCR 产品; 2—120-bp PCR 产品; 3—132-bp PCR 产品; 4—142-bp PCR 产品

色谱柱: PS-HVB-C₁₈, 50 mm×4.6 mm (内径), 2.1 μm
柱温: 50℃

流动相: A 0.1 mol·L⁻¹ TEAA, pH7.0

B 0.1 mol·L⁻¹ TEAA, 25% 乙醇 pH7.0

梯度冲洗: 45% B $\xrightarrow[线性梯度]{1 \text{ min}}$ 55% B 90% B 冲洗 1 min
流速: 0.1 mm, 45% B 平衡冲洗 0.9 mm

流速: 3 ml·min⁻¹

检测器: UV (254 nm)

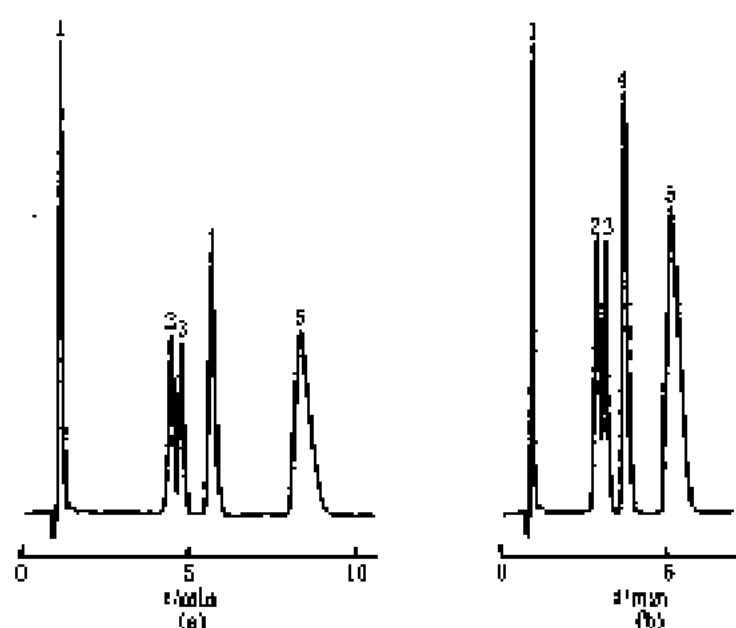


图 11-175 pH 对被分析物分离效果影响谱图^[21]

色谱峰: 1—乳酸($0.5 \text{ mmol} \cdot \text{L}^{-1}$); 2—丙二酸($0.25 \text{ mmol} \cdot \text{L}^{-1}$); 3—马来酸($0.25 \text{ mmol} \cdot \text{L}^{-1}$); 4—草酸($0.25 \text{ mmol} \cdot \text{L}^{-1}$); 5—富马酸($0.5 \text{ mmol} \cdot \text{L}^{-1}$)

固定相: IonPac AS4A-SC, $250 \text{ mm} \times 4 \text{ mm}$ (内径)

流动相: $[\text{H}_2\text{O}_5^-] + [\text{CO}_3^{2-}] = 7.5 \text{ mmol} \cdot \text{L}^{-1}$, (a) pH5.8; (b) pH10.1

检测器: 电导

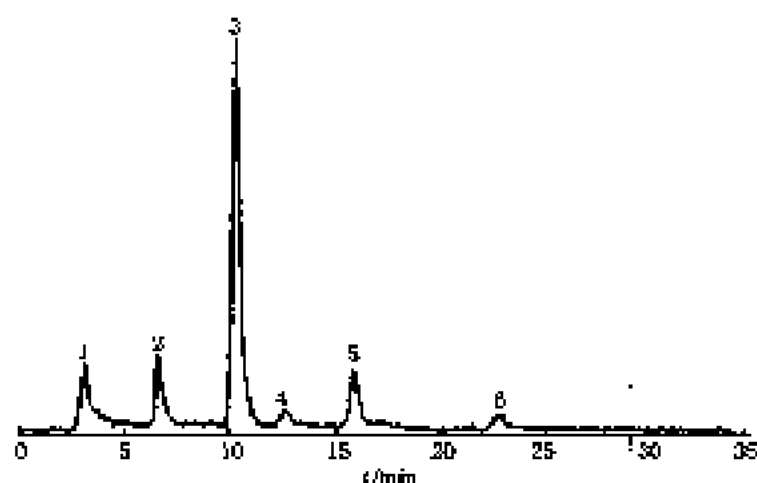


图 11-176 硒代氨基酸分离谱图^[22]

色谱峰: 1—未知; 2—未知; 3—Se-甲基-DL-硒代胱氨酸; 4—未知; 5—硒代电氨酸; 6—Se-正丙基-DL-硒代胱氨酸

色谱柱: Perkin-Elmer Brownlee C₁₈ PTC 柱, $320 \text{ mm} \times 2.1 \text{ mm}$ (内径)

流动相: 甲醇+水 (体积比=62:38), 内含 0.0024% TFA

流速: $0.5 \text{ mL} \cdot \text{min}^{-1}$

检测器: Perkin-Elmer Elan 6000 诱导耦合等离子体谱仪

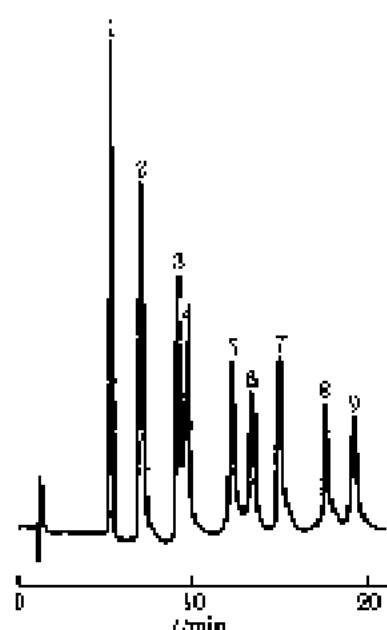


图 11-177 乙基苯酸和二甲基苯酸离子对色谱图^[12]
色质峰: 1—2,6-二甲代苯酸; 2—邻乙基苯酸; 3—2,5-二甲代苯酸; 4—2,3-二甲代苯酸; 5—间乙基苯酸; 6—2,4-二甲代苯酸; 7—3,5-二甲代苯酸; 8—对乙基苯酸; 9—3,4-二甲代苯酸

色质柱: 填充 Develsil ODS 3, 100 mm×4.6 mm (内径)
柱温: 25°C

流动相: 甲醇+水 (60+40 体积分数), 用 0.1% 乙酸调节 pH 至 4.8; 离子对试剂为 2 mmol·L⁻¹ 十二烷基磺酸钠

流速: 1.0 ml·min⁻¹
进样压力: 28.2 Pa·cm⁻²
检测器: UV (254 nm)

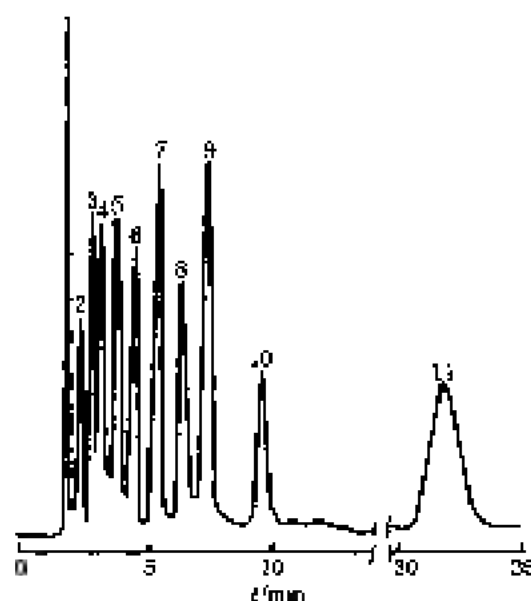


图 11-178 11 种苯胺磺酸和苯胺磺酸混合物色谱图^[20]

色质峰: 1—苯胺-4-磺酸; 2—苯胺-3-磺酸; 3—苯胺-2,5-二磺酸; 4—苯胺-2-磺酸; 5—4-甲基苯胺-3-磺酸; 6—2-氨基-3-磺酸; 7—2-氨基-3,6-二磺酸; 8—2-氨基-5-磺酸; 9—4-硝基苯胺-2-磺酸; 10—2-氨基-1-磺酸; 11—苯胺-8-磺酸

色质柱: 填充 5 μm Spharacorb C₁₈ 载体, 200 mm×4.0 mm (内径), 5 μm

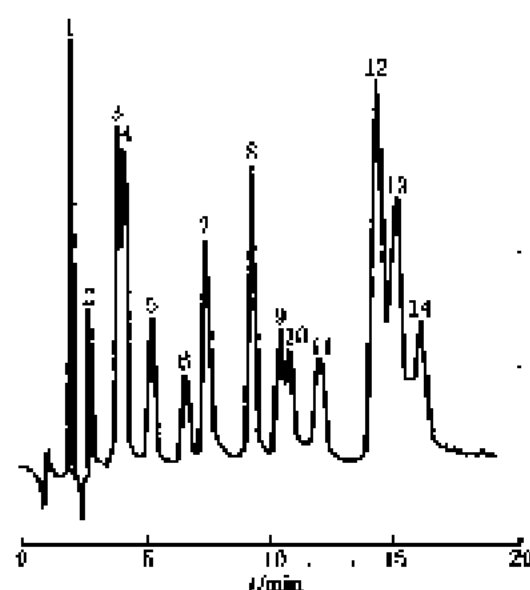
柱温: 室温

流动相: 甲醇+磷酸盐缓冲液 (0.281+0.719), 内含 10 mmol·L⁻¹ NaH₂PO₄, 离子对试剂 4 mmol·L⁻¹ 氯化四丁基胺 (pH7.16)

泵: Waters model 510

流速: 1.0 ml·min⁻¹

检测器: UV (254 nm)



色质峰: 1—苯胺-4-磺酸; 2—苯胺-3-磺酸; 3—苯胺-2,5-二磺酸; 4—苯胺-2-磺酸; 5—4-甲基苯胺-3-磺酸; 6—苯胺-5-磺酸; 7—2-氨基-5-磺酸; 8—2-氨基-3,4-二磺酸; 9—2-氨基-6-磺酸; 10—4-硝基苯胺-2-磺酸; 11—4-甲基苯胺-2-磺酸; 12—2-氨基苯-4,6,8-三磺酸; 13—2-氨基苯-5,6,8-三磺酸; 14—2-氨基苯-1-磺酸

色质柱: 填充 Spharacorb C₁₈ 载体, 200 mm×4.0 mm (内径), 5 μm

柱温: 室温

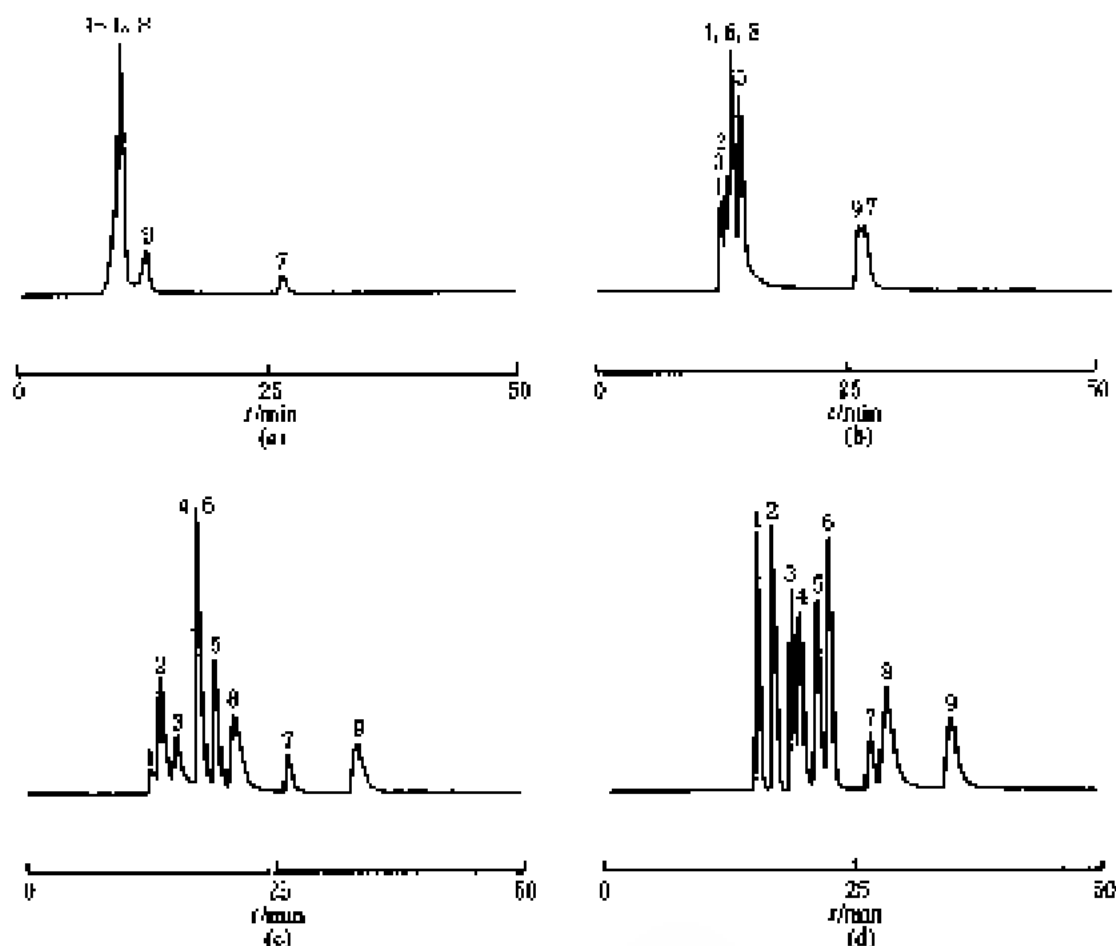
流动相: 甲醇+磷酸盐缓冲液 (0.281+0.719), 内含水量 10 mmol·L⁻¹ NaH₂PO₄, 离子对试剂 4 mmol·L⁻¹ 氯化四丁基胺 (pH7.16)

泵: Waters model 510

流速: 1.0 ml·min⁻¹

检测器: UV (254 nm)

图 11-179 14 种苯胺磺酸和苯胺磺酸混合物色谱图^[20]

图 11-180 不同浓度流动相下苯甲酸和苯酚离子排斥色谱图^[44]

色谱峰: 1—1,2,4,5-苯四酸, 2—1,2,4-苯三酸; 3—1,2,3-苯三甲酸, 4—对苯二甲酸; 5—间苯二甲酸, 6—邻苯二甲酸, 7—苯酚, 8—水杨酸; 9—苯甲酸

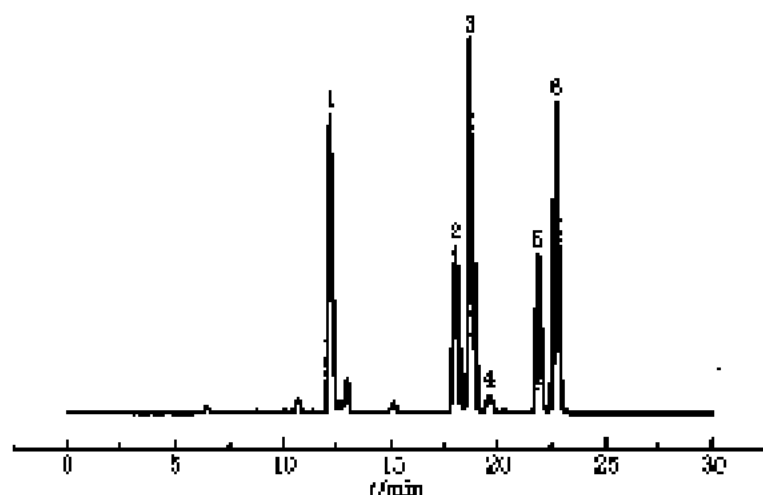
色谱柱: 2根 Develsil 50-5, 300 mm×7.8 mm (内径)

柱温: 35℃

流动相: (a) 水; (b) $0.05 \text{ mmol} \cdot \text{L}^{-1} \text{H}_2\text{SO}_4$; (c) $0.5 \text{ mmol} \cdot \text{L}^{-1} \text{H}_2\text{SO}_4$; (d) $5 \text{ mmol} \cdot \text{L}^{-1} \text{H}_2\text{SO}_4$

流速: $1 \text{ mL} \cdot \text{min}^{-1}$

检测器: UV (200 nm)

图 11-181 与 OPA 衍生化后的氨基酸片段的分离谱图^[45]

色谱峰: 1—Tyr; 2—Met; 3—Val; 4—Phe; 5—Leu; 6—Ile

色谱柱: Chromabond SA, 250 mm×10 mm (内径)

流动相: $0.01 \text{ mol} \cdot \text{L}^{-1}$ 乙酸 (pH2.8) — $0.02 \text{ mol} \cdot \text{L}^{-1}$ 甲酸 (pH5.5) (体积比=1:1)

流速: $0.6 \text{ mL} \cdot \text{min}^{-1}$

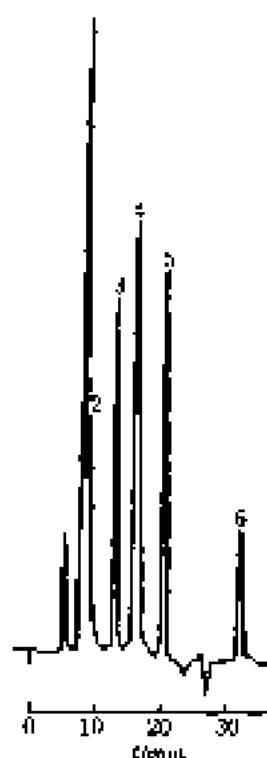


图 11-182 4 种含神样品离子对的
反相色谱分离谱图^[60]

色谱峰: 1—正神酸盐; 2—偶神酸苯盐; 3—DMA; 4— Δ DMA;
5—神甲碱; 6—神酸盐

色谱柱: 填充 C_{18} (Pardal ODS, 250 mm \times 4.6 mm (内径), 5 μ m)

柱温: 25°C

流动相: 5 mmol \cdot L⁻¹ 胍基四丁基水 (pH=7.3)

流速: 0.5 ml \cdot min⁻¹

进样量: 20 μ l

样品浓度: 100 μ g \cdot L⁻¹

检测器: UV (190 nm)



图 11-183 一、二、三磺酰化(*S,S*)-2,4-双(二苯基)
戊烷氧化物分离色谱图^[61]

色谱峰: 1—一磺酰化物; 2—二磺酰化物; 3—三磺酰化物
色谱柱: 填充 Hyperal SAS (C1-键), 250 mm \times 4.6 mm (内径)

柱温: 室温

流动相: 水+四醇 (5+2), 27 mmol \cdot L⁻¹ 氯化四丁基

流速: 0.6 ml \cdot min⁻¹

检测器: UV (254 nm)

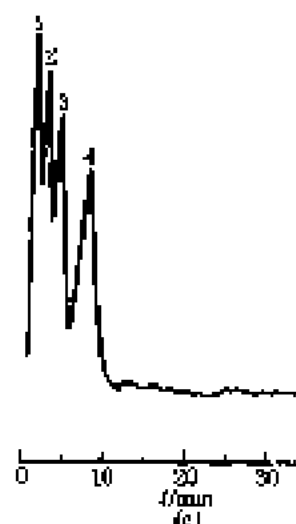
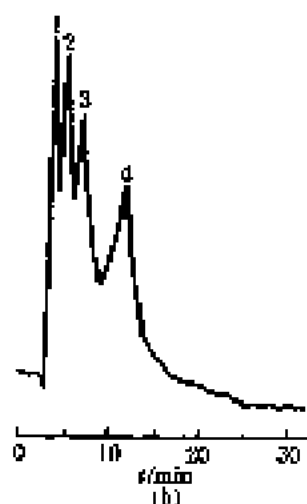
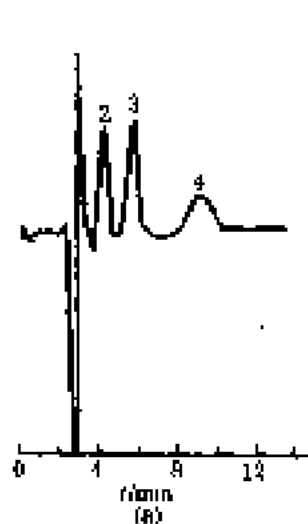


图 11-184 用不同检测器得到酸的反相色谱图^[62]

色谱峰: 1—甲酸; 2—乙酸; 3—丙酸; 4—丁酸

色谱柱: polypore H, 100 mm \times 4.6 mm

流动相: 0.1 mmol \cdot L⁻¹ 羧基水相 (pH=5)

流速: 0.5 ml \cdot min⁻¹

检测器: (a) UV (220 nm);

(b) 氧化电极;

(c) 氨电极

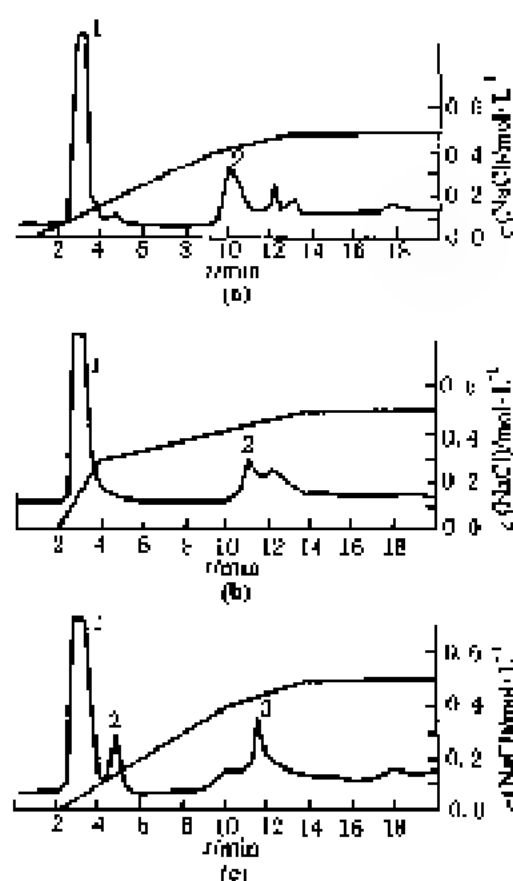


图 11-185 羧肽杆菌外膜蛋白 DEAE 离子交换色谱图^[8]

色谱峰: (a) 1—含有外膜蛋白 E、G 和 H; 2—含有外膜蛋白 C、D 和 F;
(b) 1—含有外膜蛋白 G 和 H; 2—外膜蛋白 E;
(c) 1—外膜蛋白 D; 2—外膜蛋白 C; 3—外膜蛋白 F
色谱柱: TSK gel-DEAE SPW 75 mm × 7.5 mm
流动相: Tris-HCl 缓冲液 (pH8.0); 0~0.5 mol · L⁻¹ NaCl 梯度洗脱
流速: 1 ml · min⁻¹
检测器: UV (250 nm)



色谱峰: 1—鸟嘌呤核苷; 2—3'-二氧腺基-2-甲基咪唑鸟嘌呤核苷; 3—5'-二氧腺基鸟嘌呤核苷

色谱柱: HEM A-1EX BMO 2 (Alltech), 250 mm × 4.6 mm (内径), 10 μm

流动相: A=2 mmol · L⁻¹ Tris-HClO₄ (pH12), B=2 mmol · L⁻¹ Tris-HClO₄ (pH12) + 0.4 mol · L⁻¹ NaClO₄

梯度冲洗: 2% $\xrightarrow{15 \text{ min}}$ 30%B $\xrightarrow{47.5 \text{ min}}$ 100%B

流速: 1.0 ml · min⁻¹

检测器: UV (254 nm)

图 11-187 鸟苷和鸟苷衍生物离子交换色谱图^[8]

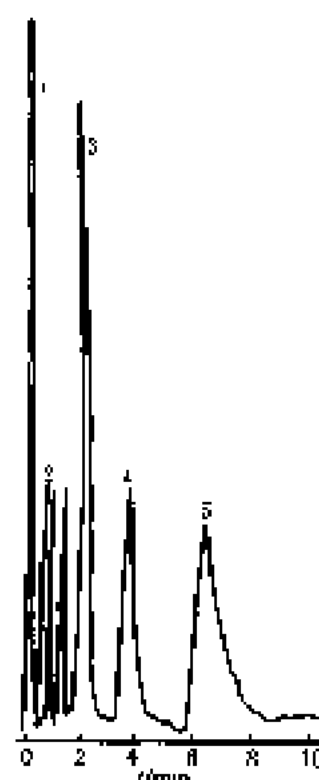


图 11-186 甲基胺分离色谱图^[8]

色谱峰: 1—Na⁺; 2—NH₄⁺; 3—甲基胺(10 mg · L⁻¹); 4—二甲胺(10 mg · L⁻¹); 5—三甲胺(20 mg · L⁻¹)

色谱柱: 强阳离子交换柱, 50 mm × 1.6 mm (内径) 聚, Pektel Chrom LC-10

检测器: Model 7126

流动相: 4 mmol · L⁻¹ 氨基磺酸

流速: 3 ml · min⁻¹

检测器: 电导, Pektel Eluent LC-2

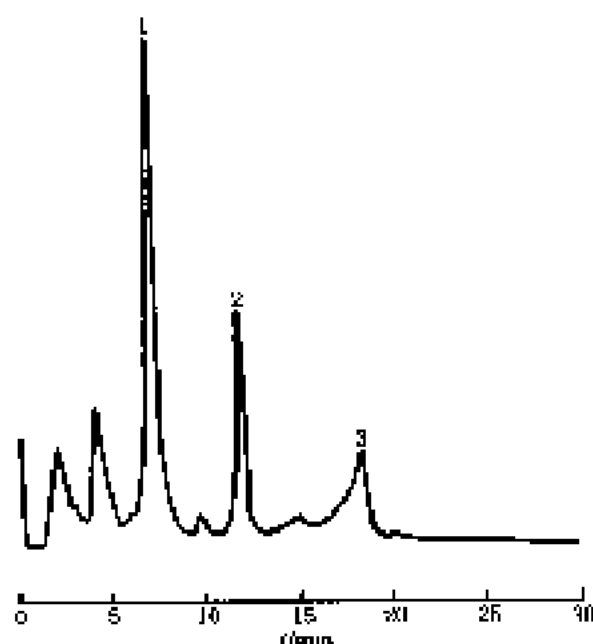


图 11-188 在 ProtEx-DEAE 固定相上人类血红蛋白变体分离色谱图^(a)

色谱峰: 1-Hb A₂(10 μg); 2-Hb S(10 μg); 3-Hb Ao(10 μg)

色谱柱: protEX-DEAE

柱温: 25°C

流动相: A 20 mmol · L⁻¹ Tris-HCl (pH8.2)

B 溶剂 A+0.5 mol · L⁻¹ NaCl

0~10% B 梯度冲洗 20 min

流速: 0.5 ml · min⁻¹

检测器: UV (280 nm)

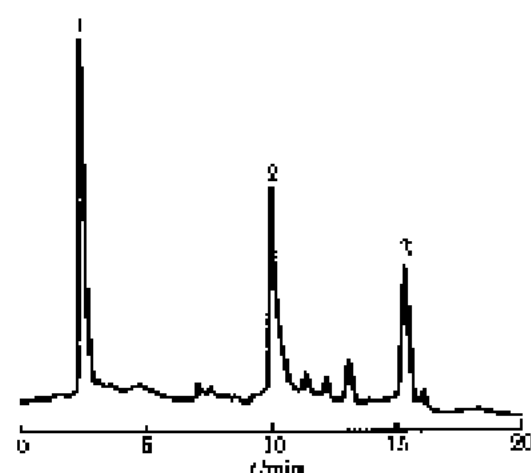


图 11-189 在 ProtEx-DEAE 固定相上标准蛋白质混合物分离色谱图^(a)

色谱峰: 1- 鸡血红蛋白 (1 μg); 2- 蜂清蛋白 (1 μg); 3- 胰蛋白酶抑制剂 (2 μg)

色谱柱: ProtEX-DEAE

柱温: 25°C

流动相: A 20 mmol · L⁻¹ Tris-HCl (pH8.2)

B 溶剂 A+0.5 mol · L⁻¹ NaCl

0~100% B 梯度冲洗 20 min

流速: 0.5 ml · min⁻¹

检测器: UV (280 nm)

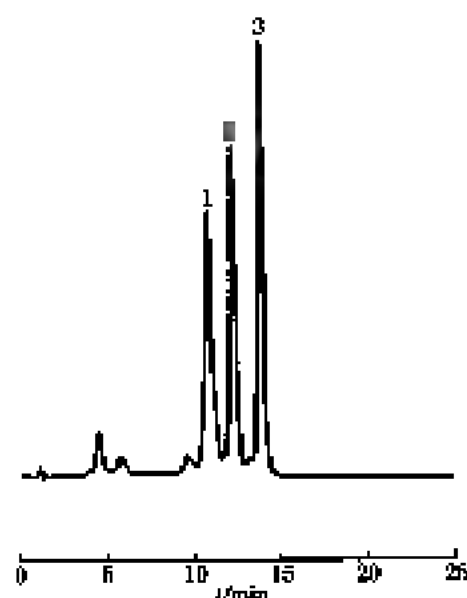


图 11-190 在 ProtEx-SP 固定相上细胞色素 C 物种变体分离色谱图^(a)

色谱峰: 1-牛细胞色素 C 变体(10 μg); 2-马细胞色素 C 变体(10 μg); 3-兔细胞色素 C 变体(10 μg)

色谱柱: protEX-SP

柱温: 25°C

流动相: A 20 mmol · L⁻¹ Bar-Tris-HCl (pH7.0)

B 溶剂 A+0.5 mol · L⁻¹ NaCl

40~60% B 梯度冲洗 20 min 以上

流速: 0.5 ml · min⁻¹

检测器: UV (280 nm)

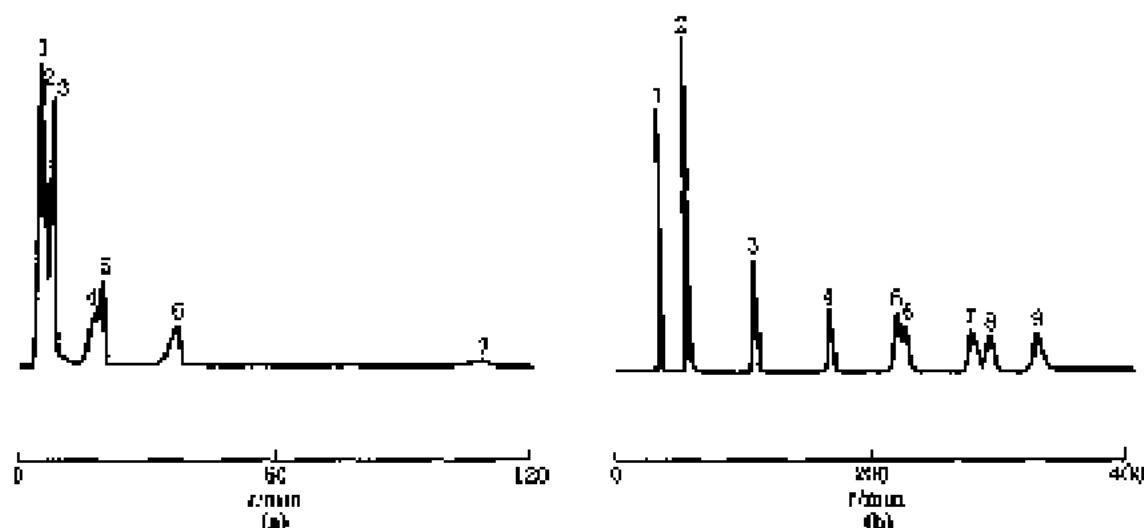


图 11-191 在 Tskgel OA-PakA 柱上离子排斥苯甲酸和苯酚的色谱图^[86]

色谱柱: (a) 1~3—1,2,4,5-苯四酸; 1,3,5-苯三酸; 1,3,4-苯三酸; 1,2,5-苯三酸; 邻苯二甲酸; 间苯二甲酸; 水杨酸; 4-苯甲酸; 5-间羟基苯甲酸; 6-对羟基苯甲酸; 7-苯酚

(b) 1—1,2,3-苯三甲酸; 2—1,3,4,5-苯四酸和邻苯二甲酸; 3—1,2,4-苯三酸和苯酚; 4-苯甲酸; 5-间羟基苯甲酸; 6-对羟基苯甲酸; 7-间苯二甲酸; 8-对苯二甲酸; 9-1,2,3-苯三酸

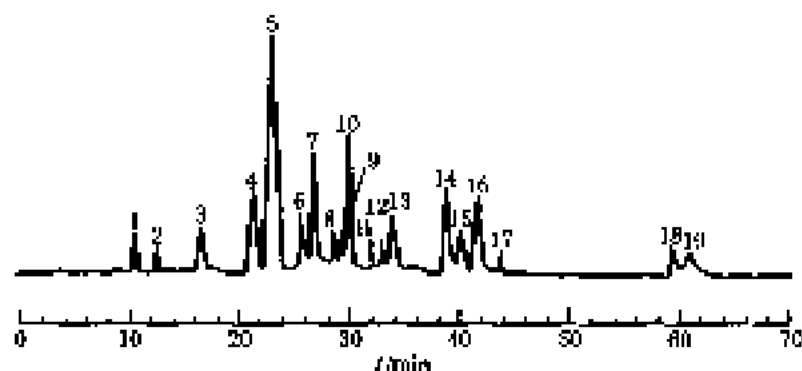
色谱柱: Tskgel OA-PakA, 500 mm × 7.8 mm (内径)

柱温: 35°C

流动相: (a) 水; (b) 5 mmol · L⁻¹ H₂SO₄

流速: 1 ml · min⁻¹

检测器: UV (200 nm)



色谱峰:

1—天冬氨酸; 2—丝氨酸; 3—谷氨酸; 4—甘氨酸; 5—丙氨酸; 6—未知; 7—精氨酸; 8—旦氨酸; 9—异亮氨酸; 10—亮氨酸; 11—未知; 12—缬氨酸; 13—苯丙氨酸; 14—未知; 15—缬氨酸; 16—NIT; 17—组氨酸; 18, 19—洗脱的不纯物

图 11-192 污水中过筛物氨基酸含量色谱图^[87]

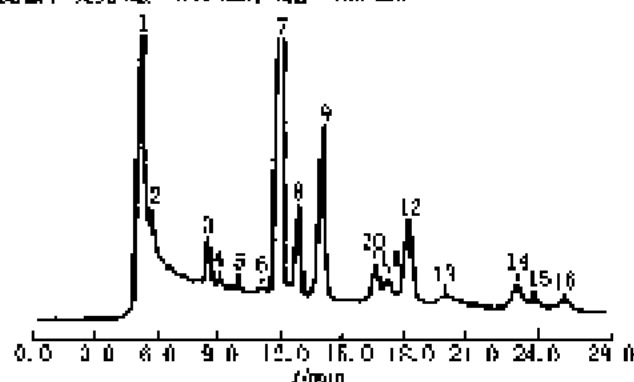
色谱柱: 阳离子交换柱 (Pickering)

流动相: Pickering 缓冲液 (pH=3.15~3.4) 和 0.2 mol · L⁻¹ NaOH

柱温: 50°C

流速: 0.4 ml · min⁻¹

检测器: 荧光 $\lambda_{ex}=340$ nm, $\lambda_{em}=455$ nm



色谱峰:

1—空白体积; 2—草酸; 3—丙酮酸; 4—乙醛酸; 5—甘氨酸; 6—未知; 7—乳酸; 8—富马酸; 9—乙酸; 10—丙酸; 11, 12—未知物; 13—丁酸; 14—异戊酸; 15, 16—未知物

色谱柱: Merck Polypher OA-IIY

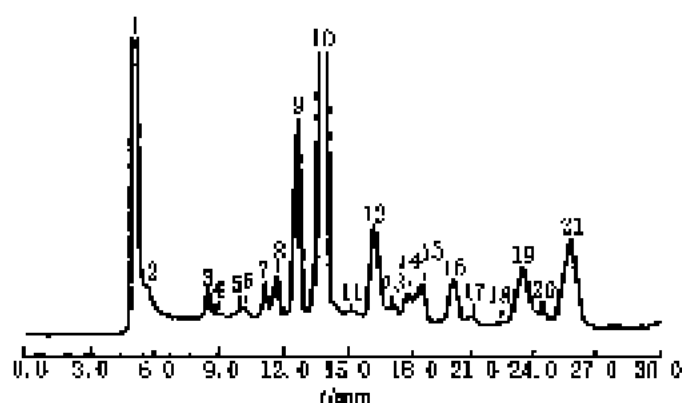
柱温: 45°C

流动相: 5 mmol · L⁻¹ H₂SO₄

流速: 0.5 ml · min⁻¹

检测器: UV (210 nm)

图 11-193 有机酸分离色谱图 ()^[88]

图 11-194 有机酸分离色谱图 (二)^[9]

色谱峰: 1—空白体积; 2—草酸; 3—丙酮酸; 4—乙醛酸; 5—未知物; 6—甘油酸; 7—琥珀酸; 8—乙醇酸+乳酸; 9—青马酸+戊二酸; 10—乙酸; 11—己二酸; 12—丙酸; 13, 14—未知; 15—异丁酸; 16—丁酸; 17, 18—未知; 19—异戊酸; 20, 21—未知物

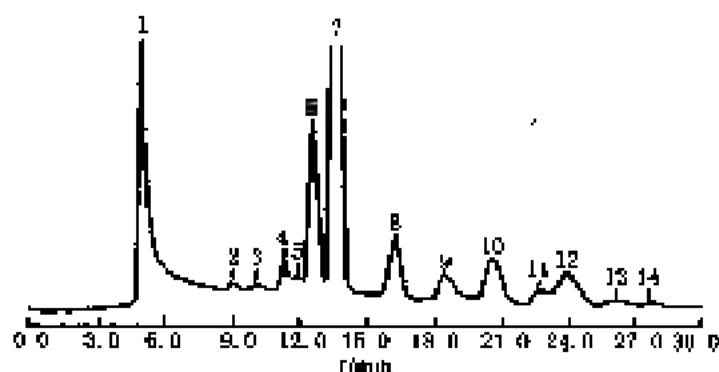
色谱柱: Merck Polysphar QA-HV

流速: $0.5 \text{ ml} \cdot \text{min}^{-1}$

柱温: 45°C

检测器: UV (320 nm)

流动相: $5 \text{ mmol} \cdot \text{L}^{-1} \text{ H}_2\text{SO}_4$

图 11-195 有机酸分离色谱图 (三)^[9]

色谱峰: 1—空白体积; 2—丙酮酸; 3—甘油酸; 4—乙醇酸+乳酸; 5—琥珀酸; 6—青马酸; 7—乙酸; 8—丙酸; 9—异丁酸; 10—丁酸; 11—未知物; 12—异戊酸; 13, 14—未知物

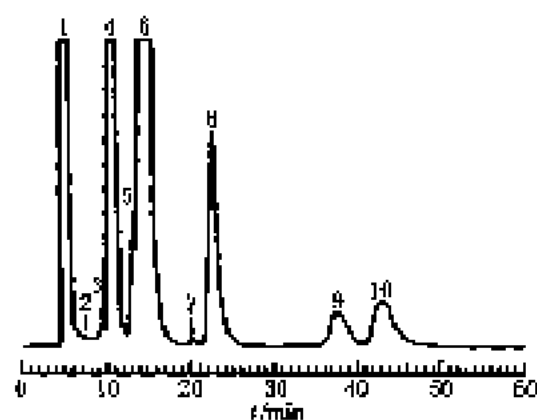
色谱柱: Merck Polysphar QA-HV

流速: $0.5 \text{ ml} \cdot \text{min}^{-1}$

柱温: 40°C

检测器: UV (310 nm)

流动相: $50 \text{ mmol} \cdot \text{L}^{-1} \text{ H}_2\text{SO}_4$



色谱峰: 1—空白体积; 2—未知; 3—乙醇酸; 4—青马酸; 5—琥珀酸; 6—乙酸; 7—戊二酸; 8—丙酸; 9—异丁酸; 10—丁酸

色谱柱: Dionex IonPac HPICE-A36

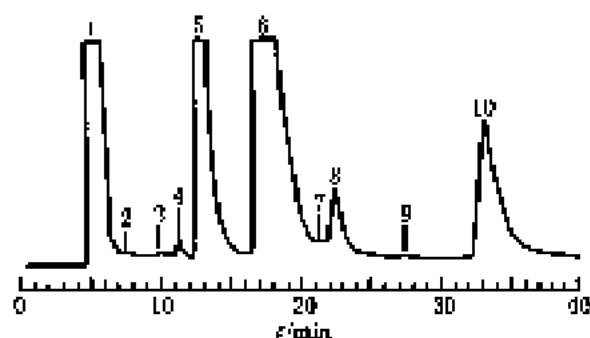
柱温: 50°C

流动相: 全氟丁酸 ($0.4 \text{ mmol} \cdot \text{L}^{-1}$)

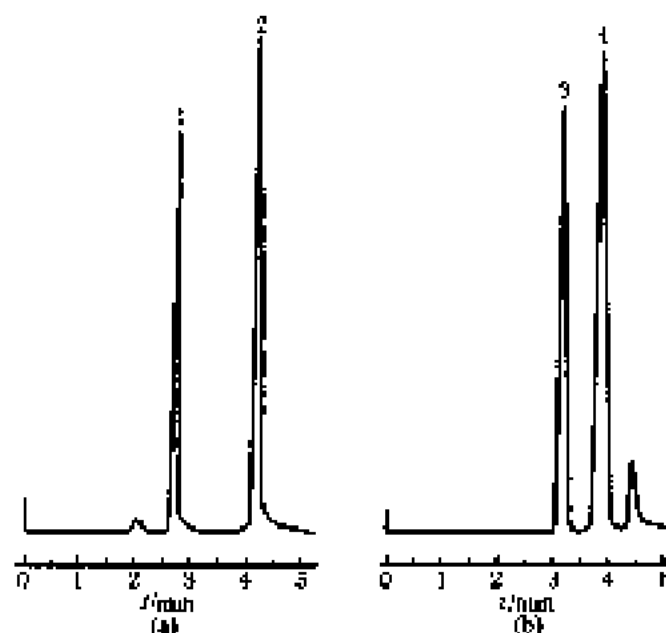
流速: $1 \text{ ml} \cdot \text{min}^{-1}$

检测器: UV (210 nm)

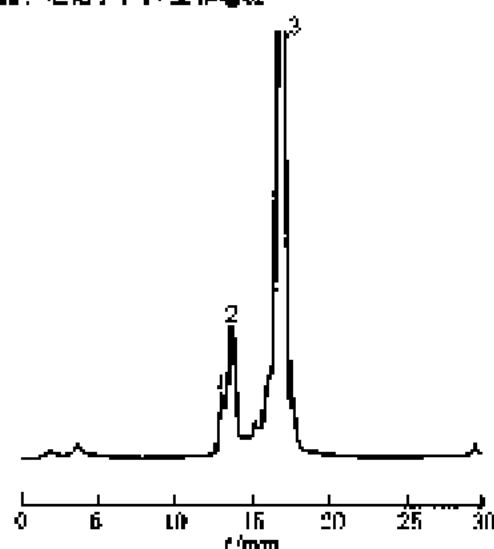
图 11-196 有机酸分离色谱图 (四)^[9]



色谱峰: 1—空白体积, 2—丙酮酸, 3—甘油酸, 4—乙醇酸;
5—富马酸—乳酸, 6—乙醇, 7—琥珀酸, 8—未知
物, 9—未知物, 10—丙酸
色谱柱: Daxdex IonPac HPHCE-AS6
柱温: 10°C
流动相: $1.6 \text{ mmol} \cdot \text{L}^{-1}$ 全氟丁酸
流速: $1 \text{ ml} \cdot \text{min}^{-1}$
检测器: 电导

图 11-197 有机酸分离色谱图 (五)^[61]图 11-198 阳离子交换树脂反相色谱分析头孢抗菌素和己二胺化合物色谱图^[62]

色谱峰: 1—对甲苯磺酸, 2—头孢唑啉, 3—3,6-己二胺, 4—1,4-环己二胺
色谱柱: OdsamPAC PCX-500
流动相: A 15%~67.5%乙醇, B $50 \text{ mmol} \cdot \text{L}^{-1}$ HClO_4
线性洗脱: 20% A 5 min, (5~14) min 线性梯度冲洗至 95% A, 14.5 min 平衡冲洗
流速: $0.8 \text{ ml} \cdot \text{min}^{-1}$
检测器: 电化学, Pt 工作电极



色谱峰: 1, 2—GEB₂ A₂, 3—Hb A₂
固定相: PoronEX-SF
柱温: 25°C
流动相: A $50 \text{ mmol} \cdot \text{L}^{-1}$ Bis-Tris-HCl (pH6.5)
B $0.5 \text{ mol} \cdot \text{L}^{-1}$ NaCl
(7~40) %B 梯度冲洗 20 min
流速: $0.5 \text{ ml} \cdot \text{min}^{-1}$
检测器: UV (280 nm)

图 11-199 血红蛋白类化合物分离色谱图^[63]

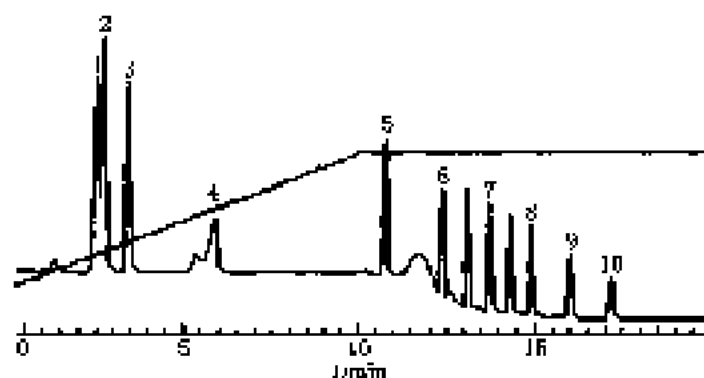


图 11-200 直链烷烃磺酸盐标准物甲基磺酸盐 (C_1) 到十四烷基磺酸盐 (C_{14}) 色谱图^[26]

色谱峰: 1— C_1 ; 2— C_2 ; 3— C_3 ; 4— C_4 ; 5— C_5 ; 6— C_6 ; 7— C_7 ; 8— C_8 ; 9— C_9 ; 10— C_{10}

色谱柱: Nova-pak C_{18}

流动相: 溶剂 A 为 $0.5 \text{ mmol} \cdot \text{L}^{-1}$ TBAF, 溶剂 B 为 $0.5 \text{ mmol} \cdot \text{L}^{-1}$ TBAF/乙醇, 溶剂 A+溶剂 B (体积比=25:15)

流速: $1 \text{ mL} \cdot \text{min}^{-1}$

检测器: 电导

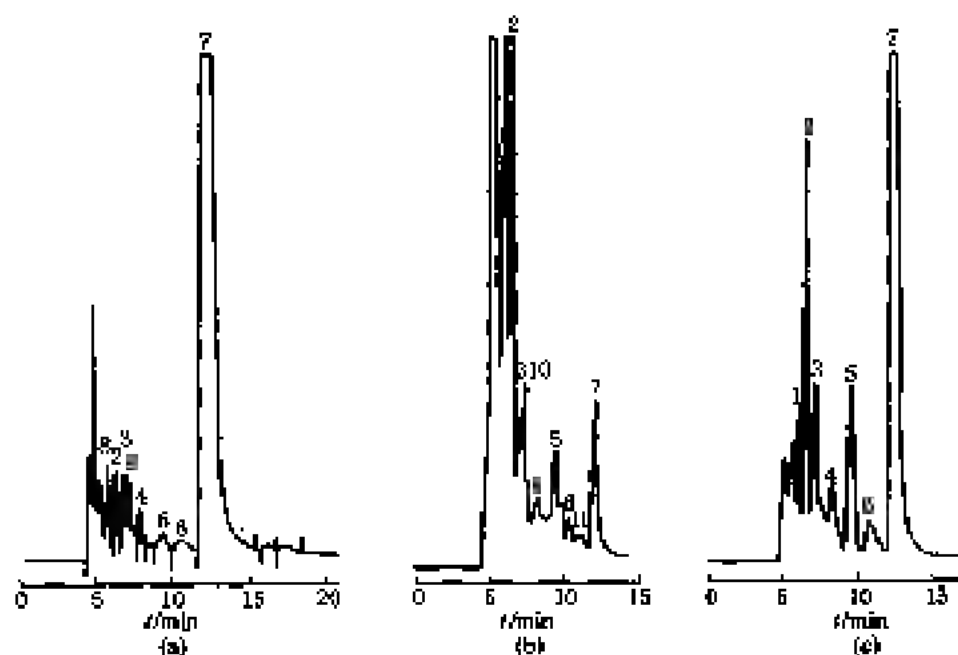


图 11-201 初皮渗出液 (a)、木质部汁液 (b) 和根组织萃取液 (c) 色谱图^[27]

色谱峰: 1—奎尼酸; 2—苹果酸; 3—丙二酸; 4—马来酸; 5—柠檬酸; 6—琥珀酸; 7—青马酸; 8—酒石酸; 9—草酸; 10—丙酮酸; 11—甲-马来酸

色谱柱: (KDS-220 $\text{mm} \times 4.6 \text{ mm}$ (内径) 和多孔 H 柱 $100 \text{ mm} \times 4.6 \text{ mm}$ (内径) 多孔 H 柱填充聚苯乙烯-二乙基硅氧烷 ODS-C-18 键合硅胶球形硅胶 $5 \mu\text{m}$

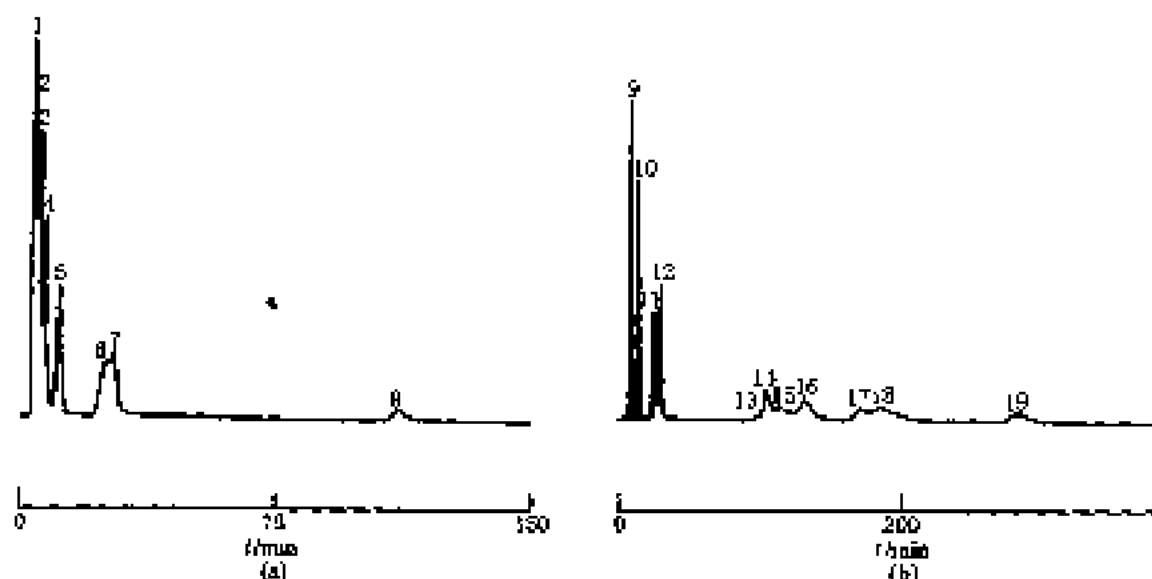
保护柱: ODS Sphero-7 微球, $15 \text{ mm} \times 3.2 \text{ mm}$ (内径)

多孔 H 保护柱: $30 \text{ mm} \times 4.6 \text{ mm}$ (内径)

流动相: H_2SO_4 (pH2.10)

流速: $0.5 \text{ mL} \cdot \text{min}^{-1}$

检测器: 分光光度

图 11-202 苯甲酸和苯酚离子排阻色谱图^[94]

色谱峰: 1-1,2,4,5-苯四酸; 2-1,2,4-苯三甲酸; 3-1,3,4-苯二酸; 4-1,5,5-苯三酸; 5-邻苯二甲酸; 6-对苯二甲酸; 7-间苯二甲酸; 8-水杨酸; 9-间羟基苯甲酸; 10-对羟基苯甲酸; 11-苯甲酸; 12-1,2,4,5-苯四酸; 13-1,2,4-苯三甲酸; 14-邻苯二甲酸; 15-对苯二甲酸; 16-间苯二甲酸; 17-对羟基苯甲酸; 18-邻羟基苯甲酸; 19-苯甲酸

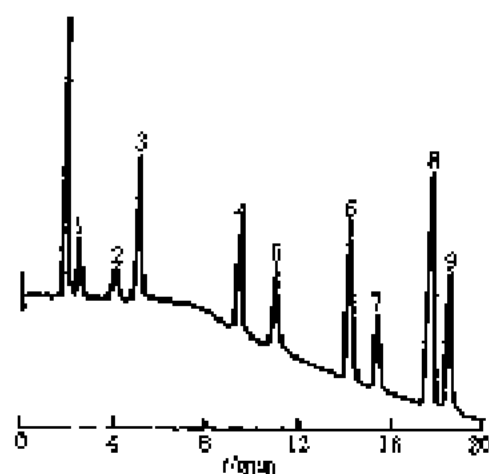
色谱柱: TSKgel SXL, 300 mm×7.8 mm (内径)

流动相: (a) 水; (b) 5 mmol·L⁻¹ H₂SO₄

柱温: 30°C

流速: 1 ml·min⁻¹

检测器: UV (200 nm)

图 11-203 表面活性剂离子色谱图^[95]

色谱峰: 1-硫酸酯 C₈ (5 mg·L⁻¹); 2-磺化 C₈ (5 mg·L⁻¹); 3-磺化 C₈ (10 mg·L⁻¹); 4-磺化 C₈ (20 mg·L⁻¹); 5-磺酸酯 C₁₂ (20 mg·L⁻¹); 6-磺化 C₁₂ (20 mg·L⁻¹); 7-硫酸酯 C₁₆ (50 mg·L⁻¹); 8-磺化 C₁₆ (50 mg·L⁻¹); 9-硫酸酯 C₁₈ (40 mg·L⁻¹)

色谱柱: Asitech Surfactant/R, 150 mm×4.6 mm (内径)

流动相: A 10 mmol·L⁻¹ HCl

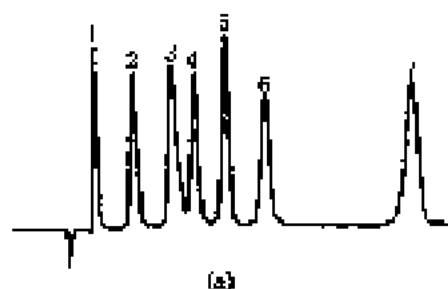
B 乙醇+水+甲酸 (体积比=60:20:20)

梯度冲洗:

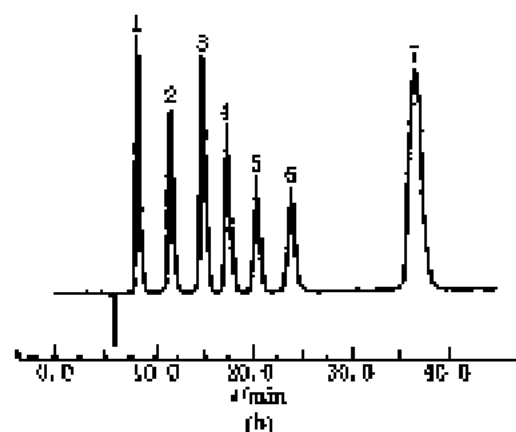
时间/min	A	B	时间/min	A	B
0	97	3	10	60	20
3	97	3	20	50	50

流速: 1.0 ml·min⁻¹

检测器: 压差电导



(a)



(b)

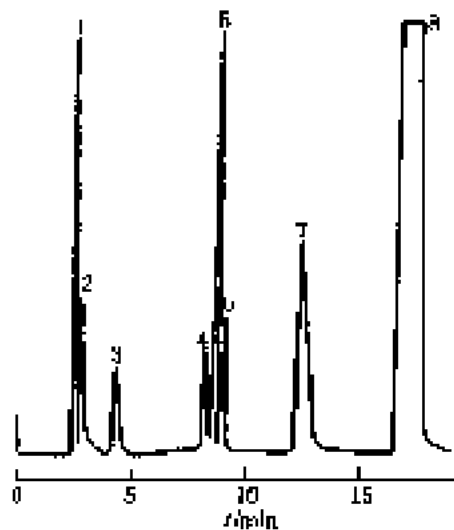
图 11-204 糖类化合物分离色谱图^[96]

色谱峰: 1-四糖; 2-木糖醇; 3-D-山梨糖; 4-D-甘露糖; 5-D-葡萄糖; 6-D-果糖; 7-蔗糖

色谱柱: CarboPac M4A1 (Dionex) 阴离子交换柱, 250 mm×4 mm (内径)

流动相: (a) 0.50 mol·L⁻¹ NaOH; (b) 0.5 mol·L⁻¹ NaOH + 0.5 mmol·L⁻¹ CsOH

检测器: 电化学检测



色谱峰: 1—HyP; 2—Xan; 3—腺糖; 4—Ado; 5—Ino; 6—Gua; 7—Ado; 8—AMP

色谱柱: Nova-Pak C₁₈柱, 100 mm×8 mm, 5 μm 微粒
流动相: 50 mmol·L⁻¹ KH₂PO₄ (pH 5.1), 2 mmol·L⁻¹ HCl
试剂 A2% 乙腈

流 速: 1.5 ml·min⁻¹

检测器: (a) UV (254 nm); (b) 放射

图 11-205 核苷降解物的离子对反相色谱图^[34]

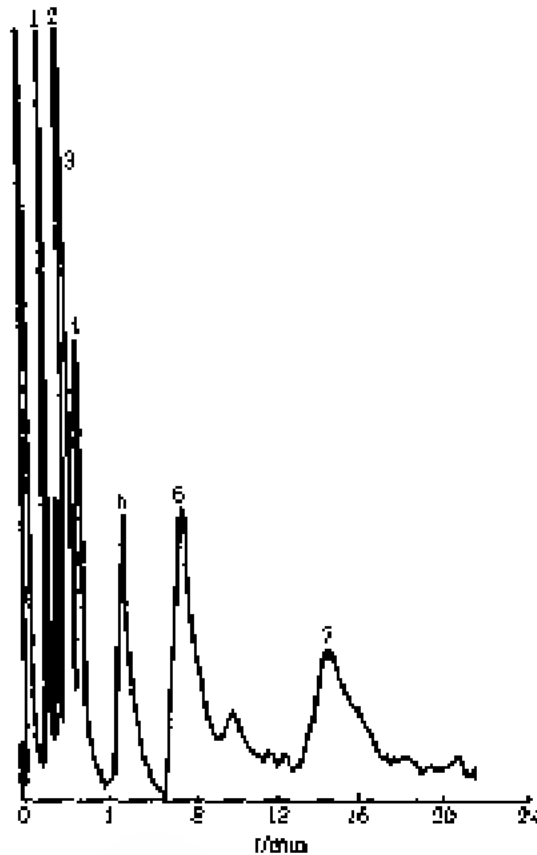


图 11-206 胺类化合物分离色谱图^[34]

色谱峰: 1—丙胺(5 mg·L⁻¹); 2—乙胺(10 mg·L⁻¹);
3—甲胺(5 mg·L⁻¹); 4—二甲胺(5 mg·L⁻¹);
5—异丙基胺(10 mg·L⁻¹); 6—三甲胺(5 mg·L⁻¹); 7—二乙胺(20 mg·L⁻¹)

色谱柱: 强阴离子交换柱, 50 mm×4.6 mm (内径),
泵: Pekin Elmer LC 10

进样器: Mark2 7125

流动相: 4 mmol·L⁻¹ 氨基磺酸

流 速: 3 ml·min⁻¹

检测器: 电导, Pekin Elmer LC-21

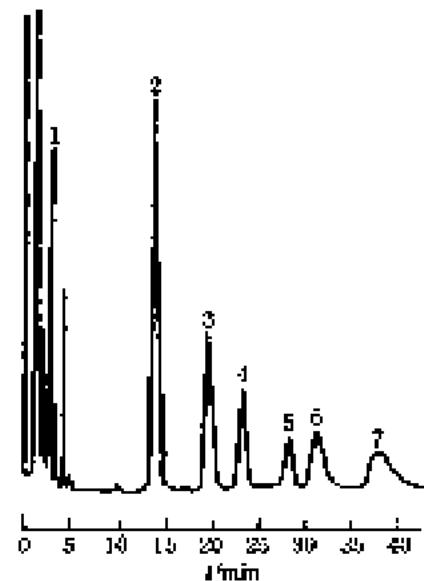


图 11-207 速溶咖啡中碳水化合物色谱图^[34]

色谱峰: 1—甘露糖醇(81 mg·L⁻¹); 2—阿拉伯糖(140 mg·L⁻¹); 3—蔗糖(78 mg·L⁻¹); 4—葡萄糖(24 mg·L⁻¹); 5—木糖(88 mg·L⁻¹); 6—甘露糖(51 mg·L⁻¹); 7—果糖(93 mg·L⁻¹)

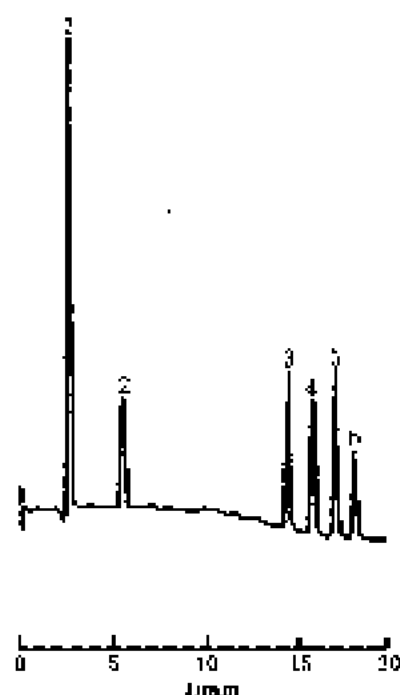
色谱柱: 250 mm×4 mm 阴离子交换柱, 填充 Dionex CarboPac PA4

流动相: 15 mmol·L⁻¹ NaOH, 去离子水

0 min 10 mmol·L⁻¹ NaOH 1 min 去离子水 → 结束

流 速: 1 ml·min⁻¹

检测器: 脉冲安培检测器



色谱峰: 1-四甲基胺($20 \text{ mg} \cdot \text{L}^{-1}$)、四乙基胺($20 \text{ mg} \cdot \text{L}^{-1}$)、2-四丙基胺($20 \text{ mg} \cdot \text{L}^{-1}$)、3-四丁基胺($20 \text{ mg} \cdot \text{L}^{-1}$)、4-十二烷基三甲基胺($20 \text{ mg} \cdot \text{L}^{-1}$)、5-十六烷基三甲基胺($40 \text{ mg} \cdot \text{L}^{-1}$)、6-十四烷基二甲基胺($50 \text{ mg} \cdot \text{L}^{-1}$)

色谱柱: Surfactant/R, $150 \text{ mm} \times 4.8 \text{ mm}$ (内径), μPN , 55100

流动相: A 7 mmol/L 三氟乙酸
B 100%乙醇

柱温: 30°C

时间/min	pH/%	
	A	B
0	70	30
5	70	30
8	65	35
20	20	80

流速: $1.0 \text{ mL} \cdot \text{min}^{-1}$

检测器: 质谱电导

图 11-208 梯度分离长、短链阳离子表面活性剂色谱图^[10]

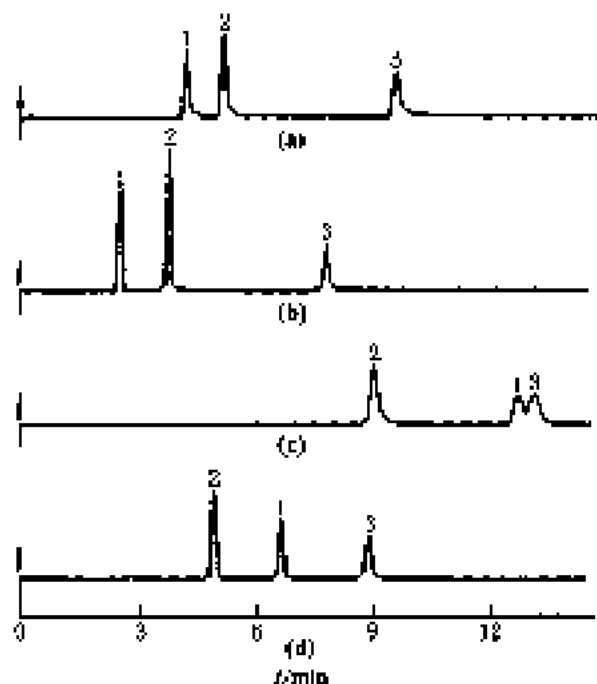


图 11-209 阿苯达唑类药物分离谱图 (—)(*)^[10]

色谱峰: 1-氟化阿苯达唑; 2-硝基阿苯达唑; 3-3-胺基阿苯达唑

色谱柱: Nucleosil 100 C_{18} , $5 \mu\text{m}$

柱温: 30°C

流动相: (a) 乙腈-0.01 mmol/L 磷酸盐缓冲液 (pH 2.5) (体积比=25:75) 内不含离子对;

(b) 有 $2.5 \text{ mmol} \cdot \text{L}^{-1}$ 四丁基胺; (c) 有 $5 \text{ mmol} \cdot \text{L}^{-1}$ 辛烷基胺;

(d) $2.5 \text{ mmol} \cdot \text{L}^{-1}$ 甲丁基胺+ $5 \text{ mmol} \cdot \text{L}^{-1}$ 辛烷基胺

流速: $1 \text{ mL} \cdot \text{min}^{-1}$

检测器: UV (292 nm)

柱压: $5 \text{ MPa} \cdot \text{min}^{-1}$

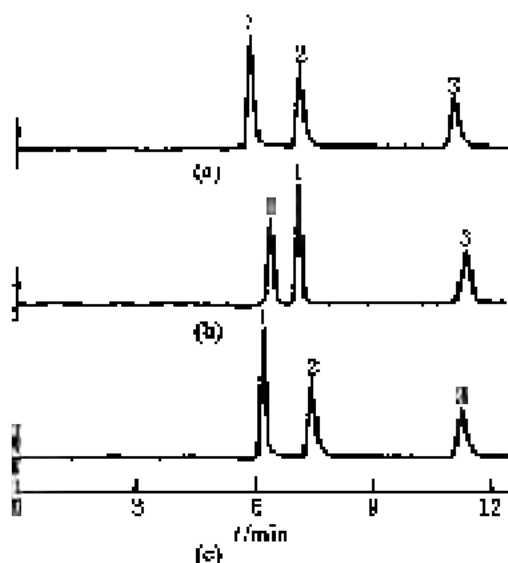


图 11-210 阿苯达唑类药物分离谱图 (—)(*)^[10]

色谱峰: 1-氟化阿苯达唑; 2-硝基阿苯达唑; 3-3-胺基阿苯达唑

流动相: (a) 乙腈-0.01 mmol/L 磷酸盐缓冲液 (pH 2.5) (体积比=25:75) 内不含离子对;

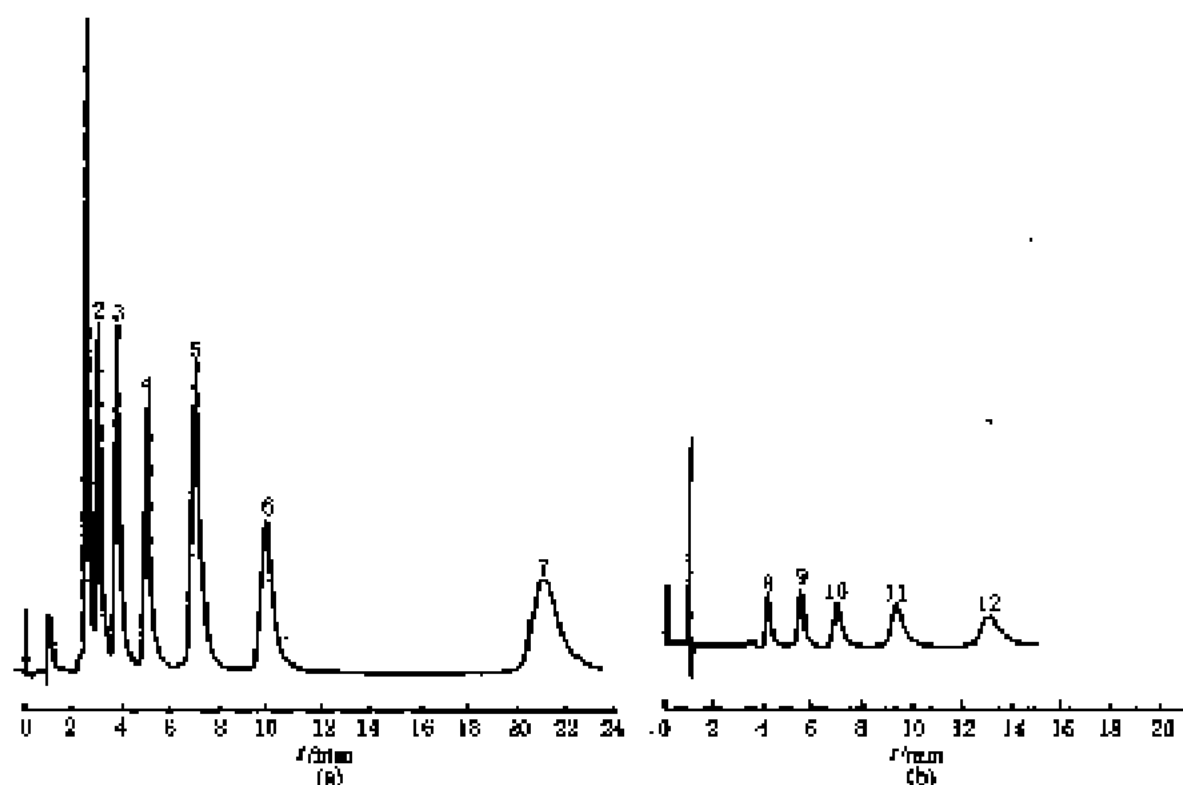
(b) 有 $10 \text{ mmol} \cdot \text{L}^{-1}$ 四丁基胺; (c) 有 $10 \text{ mmol} \cdot \text{L}^{-1}$ 辛烷基胺

色谱柱: Nucleosil 100, C_{18} , $5 \mu\text{m}$

柱温: 30°C

流速: $1 \text{ mL} \cdot \text{min}^{-1}$

检测器: UV (292 nm)

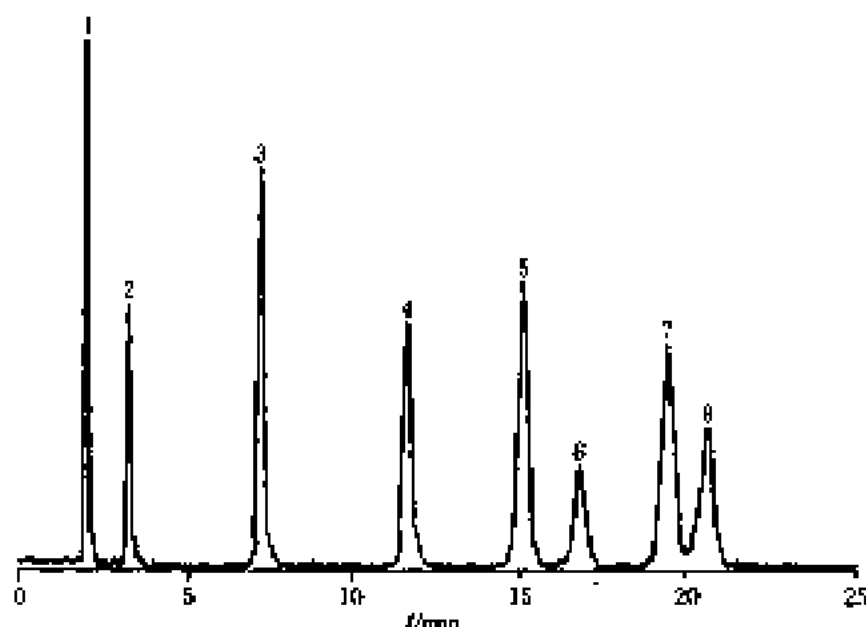
图 11-211 烷基苯酚和烷基苯分离色谱图^[9]

色谱峰: 1—苯酚($2.0 \text{ mg} \cdot \text{L}^{-1}$); 2—对甲氧基酚($10 \text{ mg} \cdot \text{L}^{-1}$); 3—*o*-乙基苯酚($10 \text{ mg} \cdot \text{L}^{-1}$); 4—*l*-正丙基苯酚($8.0 \text{ mg} \cdot \text{L}^{-1}$); 5—4-正丁基苯酚($15 \text{ mg} \cdot \text{L}^{-1}$); 6—4-戊基苯酚($20 \text{ mg} \cdot \text{L}^{-1}$); 7—4-庚基苯酚($25 \text{ mg} \cdot \text{L}^{-1}$); 8—苯($35 \text{ mg} \cdot \text{L}^{-1}$); 9—甲苯($45 \text{ mg} \cdot \text{L}^{-1}$); 10—乙苯($45 \text{ mg} \cdot \text{L}^{-1}$); 11—丙苯($60 \text{ mg} \cdot \text{L}^{-1}$); 12—丁苯($60 \text{ mg} \cdot \text{L}^{-1}$)

色谱柱: 填充 PS-DVB 硅胶树脂, $200 \text{ mm} \times 4.6 \text{ mm}$

流动相: (a) 50%乙醇-水; (b) 60%乙醇-水

检测器: UV (254 nm)

图 11-212 氨基酸衍生物离子对色谱图^[10]

色谱峰: 1—缬氨酸; 2—*N*-甲基-DL-缬氨酸; 3—缬氨酸; 4—3-萘丙基-DL-缬氨酸; 5—顺式-3-萘丙基-DL-缬氨酸; 6—反式-3-萘丙基-DL-缬氨酸; 7—缬氨酸; 8—缬氨酸

色谱柱: 填充 Zorbax SB-C8, $150 \text{ mm} \times 4.6 \text{ mm}$ (内径)

流动相: 水+甲醇 (98+2); 内含 0.1% TFA

流速: $1.0 \text{ ml} \cdot \text{min}^{-1}$

检测器: Perkin Elmer Elan 5000 诱导耦合等离子体质谱仪

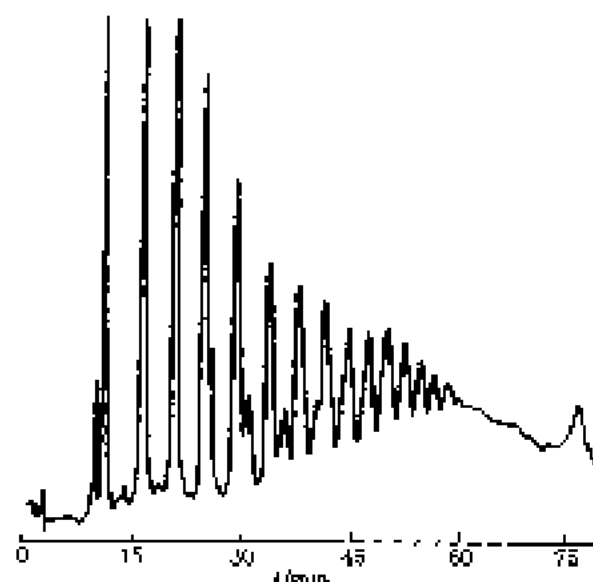


图 11-213 酒石酸水解产物的离子交换色谱图^[27]
 色谱柱: HEMA-IEC BIO-Q (Alltech), 16.0 cm \times 4.6 mm (内径), 10 μ m
 流动相: 溶液 A 2 mmol \cdot L⁻¹ Tris HClO₄ (pH12);
 溶液 B 7 mmol \cdot L⁻¹ Tris-HClO₄ (pH12) + 0.4 mol \cdot L⁻¹ NaClO₄
 梯度冲脱: 250% $\xrightarrow{15\text{ min}}$ 30% B $\xrightarrow{2.5\text{ min}}$ 100% B
 流速: 1.0 ml \cdot min⁻¹
 检测器: UV (254 nm)

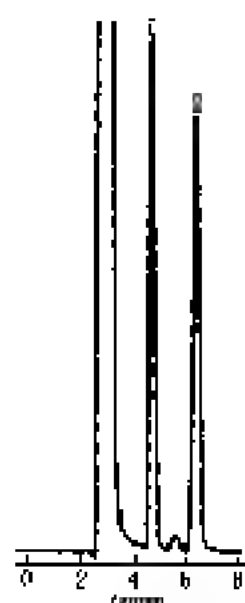


图 11-214 苹果酸和乳酸分离谱图^[27]
 色谱峰: 1—苹果酸, 2—乳酸
 色谱柱: Waters Anion ExChsion 磺酸化聚苯乙烯,
 30.0 cm \times 7.8 mm (内径), 5 μ m
 流动相: 3.2 mmol \cdot L⁻¹ HNO₃
 温度: 室温
 流速: 1.2 ml \cdot min⁻¹
 检测器: 电导

参 考 文 献

1. Montgomery R M, Sauri-Nordhaus R, Nair L M, et al. J Chromatogr A, 1998, 804: 55
2. Ohta K, Tanaka K, Paull B, Haddad P R. J Chromatogr A, 1997, 770: 219
3. Nair L M, Sauri-Nordhaus R. J Chromatogr A, 1998, 804: 834
4. Qiong H, Paull B, Haddad P R. J Chromatogr A, 1997, 770: 2
5. Carabanchio N, Ragone P, Carali S, et al. J Chromatogr A, 1997, 770: 185
6. Liu C, Lee N, Wang T. Analytica Chimica Acta, 1997, 337: 173
7. J Chrom Sci., 1992, 30: 41
8. Adachi T, Takayama H, Shoye A D. J Chromatogr A, 1997, 763: 57
9. Zhang X, Liang S, Lei Z, et al. J Chromatogr A, 1999, 789: 185
10. Sazanov C, Akellin O, Hrusavski M C, et al. J Chromatogr A, 1998, 804: 341
11. Tong C, Shan Z L, Zhu P J. Chromatographia, 1999, 27 (7,8)
12. Seibert A, Klengenber A. J Chromatogr A, 1997, 782: 135
13. Donald J P, Sauri M Q, David M R. J Chromatogr., 1991, 546: 161
14. Bey M A, Pohl C A, Jagodzinski J J, et al. J Chromatogr A, 1998, 804: 207-209
15. Saraswati R, Rao P H. J L Chromatogr., 1993, 16: 1601
16. Liu Y, Wang Q. J Chromatogr., 1993, 644: 73
17. Ohta K, Tanaka K. J Chromatogr A, 1996, 804: 87
18. Rajananda S. J L Chromatogr., 1999, 16: 1095
19. Sauri-Nordhaus R, Anderson J M Jr. J Chromatogr A, 1997, 782: 75
20. Morin P, Aouan M H, Lakkar M D, et al. Chromatographia, 1992, 33 (11/12)
21. Sauri-Nordhaus R, Nair L M, Montgomery R M, et al. J Chromatogr A, 1997, 782: 69
22. J Chrom Sci., 1988, 25: 539
23. Noma H, Yano T, Yuchi A, et al. J Chromatogr A, 1997, 789: 491

- 24 Jones P. *J Chromatogr.* 1993; 655- 757
- 25 Li J., Pitts J.S. *J Chromatogr. A.* 1998; 794; 231
- 26 Kitzberg A., Seubert A. *J Chromatogr. A.* 1998; 804; 63
- 27 Jones P., Nestarenko P.N. *J Chromatogr. A.* 1997; 789; 417
- 28 *J Chrom Sci.* 1988; 26; 484
- 29 KuyHamouli S., Boon G. *J Chromatogr.* 1988; 482; 289
- 30 Nair L. M., Ranaiah S., James M. A. *J Chromatogr.* 1993; 649; 41
- 31 Sanchez G., Aballino O., Porto V., et al. *Chromatographia.* 1991; 31(11/12)
- 32 de Wael W A J., Houtman S., Kozak J C., et al. *Chromatographia.* 1990; 30(1/2)
- 33 Nagase Y., et al. *Anal Chem.* 1991; 63- 28
- 34 Backlin R D. *J Chromatogr.* 1991; 546; 175
- 35 Nestarenko P.N., Zhukova O.S., Shapiga O.A., et al. *J Chromatogr. A.* 1996; 833- 47
- 36 Fagan P A., Hestdal P R., Mitchell T., et al. *J Chromatogr. A.* 1998; 804; 249
- 37 *J Chrom Sci.* 1994; 28; 606
- 38 Sutton R A C., Hill S.), Jones P. *J Chromatogr. A.* 1997; 789; 589
- 39 Rey M A., Rivello J M., Pohl C A. *J Chromatogr. A.* 1997; 789; 149
- 40 Elaab J., Smith R.G. *J Chromatogr.* 1991; 546; 73
- 41 Acosta M., Oguma K., Kuyala R. *Chromatogr.* 1999; 29(11/12)
- 42 Hajos P. *J Chromatogr. A.* 1997; 789; 141
- 43 Nestarenko P.N., Jones P. *J Chromatogr. A.* 1997; 770; 129
- 44 *J Chrom Sci.* 1988; 26; 538
- 45 Jensen D., Rey M A., Pohl C A. *J Chromatogr.* 1994; 649; 65
- 46 Daigle R., Mehra M.C., Mallet Y. *Chromatographia.* 1991; 32(3/4)
- 47 *J Chrom Sci.* 1988; 26; 797
- 48 Lemli J D., Smith R.G., Jagodzinski J. *J Chromatogr.* 1991; 649; 21
- 49 Marlsen P R H., Andersen R.M. *J Chromatogr.* 1991; 546- 221
- 50 Pohl C A., Stellan J R., Jackson P E. *J Chromatogr. A.* 1997; 789; 29
- 51 Taylor G E. *J Chromatogr. A.* 1997; 770; 261
- 52 Okada T. *J Chromatogr. A.* 1997; 758; 19
- 53 Bird S M., Ge H., Uden P C., et al. *J Chromatogr. A.* 1997; 789- 349
- 54 Pohl C A., Sullivan J K., Jackson P E. *J Chromatogr. A.* 1997; 789- 29
- 55 Mizra Y., Seirgh A., Kish T. *J Chromatogr. A.* 1997; 770- 157
- 56 Vira J., Swan-Nordhaus R. *J Chromatogr.* 1993; 649; 49
- 57 Ahmed A H., Sham S G., Rains D W. *J Chromatogr.* 1991; 546; 387
- 58 Small H. *J Chromatogr.* 1981; 546; 9
- 59 *J Chrom Sci.* 1988; 26; 439
- 60 *J Chrom Sci.* 1988; 26; 558
- 61 Tofani M., Sullivan J K., Pohl C A., et al. *J Chromatogr. A.* 1997; 761; 163
- 62 Nair L. M., Swan-Nordhaus R., Montgomery R M. *J Chromatogr. A.* 1997; 789; 127
- 63 Ranaiah S., Henderson T K., Anderson J M., Jr *J Chromatogr.* 1991; 646; 89
- 64 Vermillion W D., Crenshaw M D. *J Chromatogr. A.* 1997; 770; 433
- 65 *J Chrom Sci.* 1991; 29- 47
- 66 Guende DT., Cox D J., Janak P., et al. *J Chromatogr.* 1991; 546; 151
- 67 Nonomura M., Hobe T. *J Chromatogr. A.* 1994; 804; 351
- 68 Salama R S., Khaledi M G. *Anal Chem.* 1991; 66; 1151
- 69 Salazar J., Douek M. *J Chromatogr. A.* 1998; 804; 113
- 70 *J Chrom Sci.* 1988; 26- 359

71. *J Chrom Sci.* 1988; 26: 422
72. Groch T., Beckmann K. *J L Chromatogr.* 1992; 15: 2911
73. Paston P., Lavagnani F., Brankin A., et al. *J Chromatogr.* 1989; 475: 531
74. Chen Z., Alexander P.W., Hoddad P.R. *Analytica Chimica Acta.* 1997; 348, 42
75. Coquer V., Hennion M.C. *J Chromatogr.* 1991; 585: 67
76. Ghulur L. *J Chromatogr A.* 1998; 805: 3
77. Zhang Y.K., Zou H.F., Hong M.F., et al. *Chromatographia.* 1991; 32(11/12)
78. Brunzoni M.C., Meulacci E., Serrano C., et al. *J Chromatogr A.* 1997; 770; 13
79. Pied S.M., Ge H., Uden P.C., et al. *J Chromatogr A.* 1997; 789; 349
80. Angelino S., Genaro M.C. *Analytica Chimica Acta.* 1997; 346; 67
81. 王东花, 广明玉, 陈培德. 色谱. 1999; 17(3): 303
82. Nomura N., Yanaguchi K., Hara M. *J L Chromatogr.* 1991; 14: 491
83. Zou H.F., Zhang Y.K., Lu F.G. *J Chromatogr.* 1991; 545; 59
84. Qian K., Tanaka K., Hoddad P.R. *J Chromatogr A.* 1997; 782; 33
85. Larapicchi G., Fuchinayer R., Schmid E.R. *Chromatographia.* 1998; 47: 27.
86. *J Chrom Sci.* 1993; 31; 388
87. Pocher K., Charbon A., Krenlik J., et al. *J Chromatogr A.* 1997; 776; 229
88. 左映, 周建忠, 黄天爵. 色谱. 1999; 17(1); 46
89. *J Chrom Sci.* 1991; 29; 504
90. William R.L., Dennis C.J., Maria A.R., et al. *Anal Chem.* 1991; 63: 134
91. Touraine B., Astruc S. *Chromatographia.* 1990; 30(7/8)
92. Li J.B., Jandik P. *J Chromatogr.* 1991; 546: 385
93. Canali T.R.L., Casanova D., Casella T.G., et al. *J Chromatogr A.* 1997; 773; 115~121
94. Grane T., Genema W., Gerber G. *J Chromatogr.* 1991; 554; 193
95. Botnaglou N.A., Fletouris D.J., Pournazil E., et al. *Analytica Chimica Acta.* 1997; 354: 115

第十二章 正相色谱、亲和色谱和排阻色谱谱图

第一节 正相色谱谱图

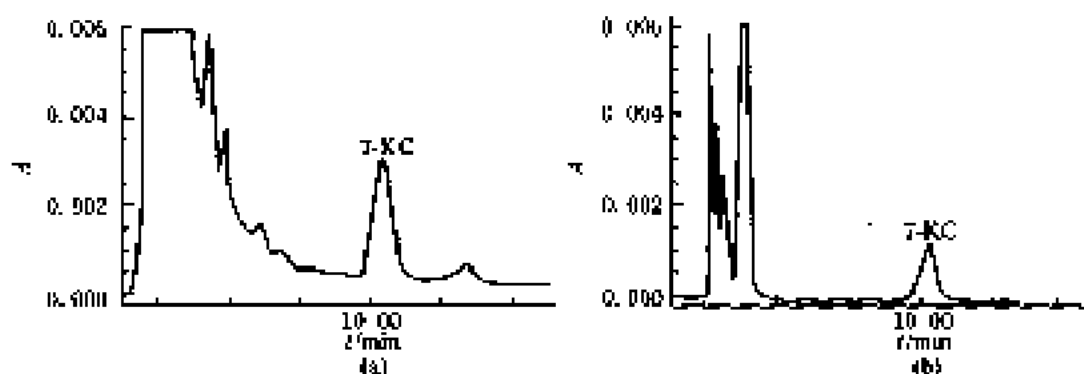


图 12-1 7-甲基腺嘌呤的分离色谱图^[1]

样 品: (a) 人肝细胞裂液样品; (b) 标准品

色谱柱: μ -Porasil, 5O_2 , $10\text{ }\mu\text{m}$, $4.6\text{ mm}\times 300\text{ mm}$

流动相: 正己烷-异丙醇 (体积比=91:9)

流 速: $1.0\text{ mL}\cdot\text{min}^{-1}$

检测器: 二极管阵列

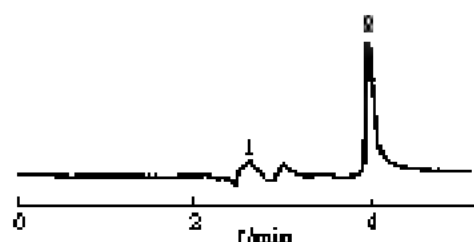


图 12-2 AFB₁ 标准品色谱图^[2]

色谱峰: 1—溶剂峰; 2—黄曲霉毒素 B₁ (AF B₁)

色谱柱: μ -Porasil, 3.9 mm (内径) $\times 300\text{ mm}$

流动相: 氯仿-环己烷+乙醇+异丙醇 (体积比=75:25+3+2)

流 速: $1\text{ mL}\cdot\text{min}^{-1}$

检测器: 420 型荧光, $\lambda_{\text{ex}}=365\text{ nm}$; $\lambda_{\text{em}}=435\text{ nm}$



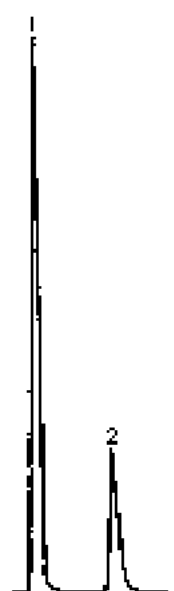
图 12-3 小分子色谱图^[3]

色谱柱: Lichrosorb SI 60, $5\text{ }\mu\text{m}$, $20\text{ cm}\times 4.0\text{ mm}$ (内径)

流动相: 二氯甲烷+甲醇+二乙胺+冰乙酸 (体积比=90:9+0.4+0.5)

流 速: $1\text{ mL}\cdot\text{min}^{-1}$

检测器: 岛津 RF-540 荧光分光光度计 ($\lambda_{\text{ex}}=265\text{ nm}$, $\lambda_{\text{em}}=510\text{ nm}$) Vol 18 No.1 January 54, 47 页 (色谱)

图 12-4 C_{10} 、 C_{12} 分离色谱图^[1]

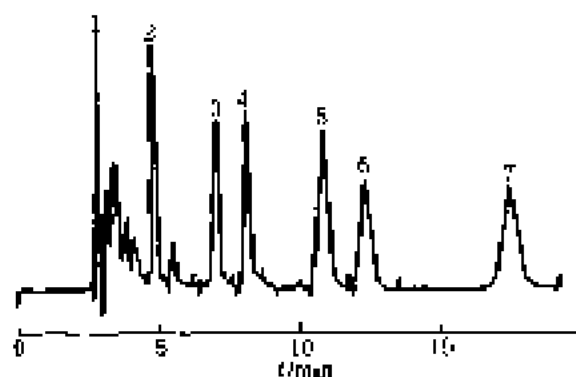
色谱峰: 1— C_{10} ; 2— C_{12}

色谱柱: Resolute C_{18} 柱 (170 mm \times 4.6 mm, 10 μ m)

流动相: 正己烷+异丙醇 (体积比=60:40)

流量: 1 ml \cdot min⁻¹

检测器: UV (254 nm)

图 12-5 N-DND-11-氨基酸丁酯的色谱图^[1]

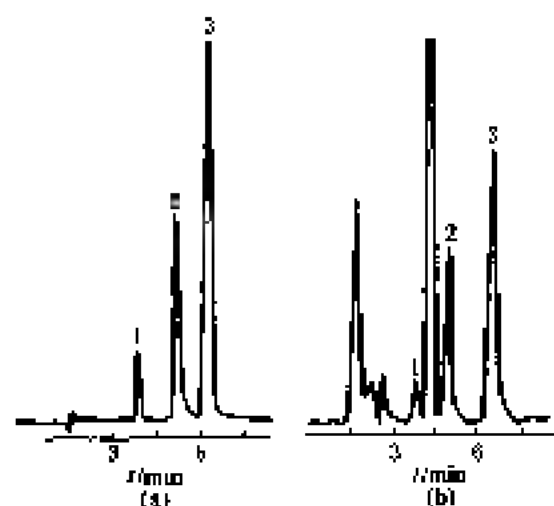
色谱峰: 1—乙酰乙酰 (2.72 min); 2—L-Val (4.57 min); 3—D-Val (6.15 min); 4—L-Thr (8.07 min); 5—L-Ser (11.65 min); 6—D-Thr (12.34 min); 7—D-Ser (17.34 min)

色谱柱: Phenomenex 手性色谱柱

柱温: 30℃

流动相: 正己烷+二氯乙烷+乙醇 (体积比=75:8:1)

流速: 1 ml \cdot min⁻¹

图 12-6 VD-HCD 化合物色谱图^[2]

(a) VD-HCD 化合物色谱图;

(b) VD 泡腾片色谱图

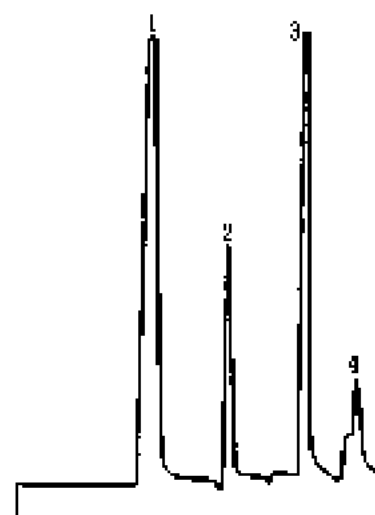
色谱峰: 1—前 VTh; 2—内标; 3—VD

色谱柱: Resolute C_{18} , 5 μ m, 4.6 mm \times 250 mm

流动相: 正己烷—正戊醇 (体积比=95:5)

流量: 1.5 ml \cdot min⁻¹

检测器: 岛津 SPD-M1A 光电二极管阵列

图 12-7 大庆催化裂解柴油分离色谱图^[3]

色谱峰: 1—饱和烃; 2—烯烃; 3—芳烃; 4—胶质

色谱柱: Ag-SCX 柱, 10 cm \times 3.9 mm

流动相: 正己烷 (含 8% 环己烷的正己烷)、二氯甲烷

流速: 1 ml \cdot min⁻¹

检测器: 示差折光



色谱峰：1—内标；2—马明唑

色谱柱：ZORBAX-CN 4.6 mm×25 cm

流动相：0.01 mol·L⁻¹磷酸氢二钠-甲醇（体积比=2:8）

流速：1.0 ml·min⁻¹

检测器：UV (254 nm)

图 12-8 马明唑分离色谱图^[1]

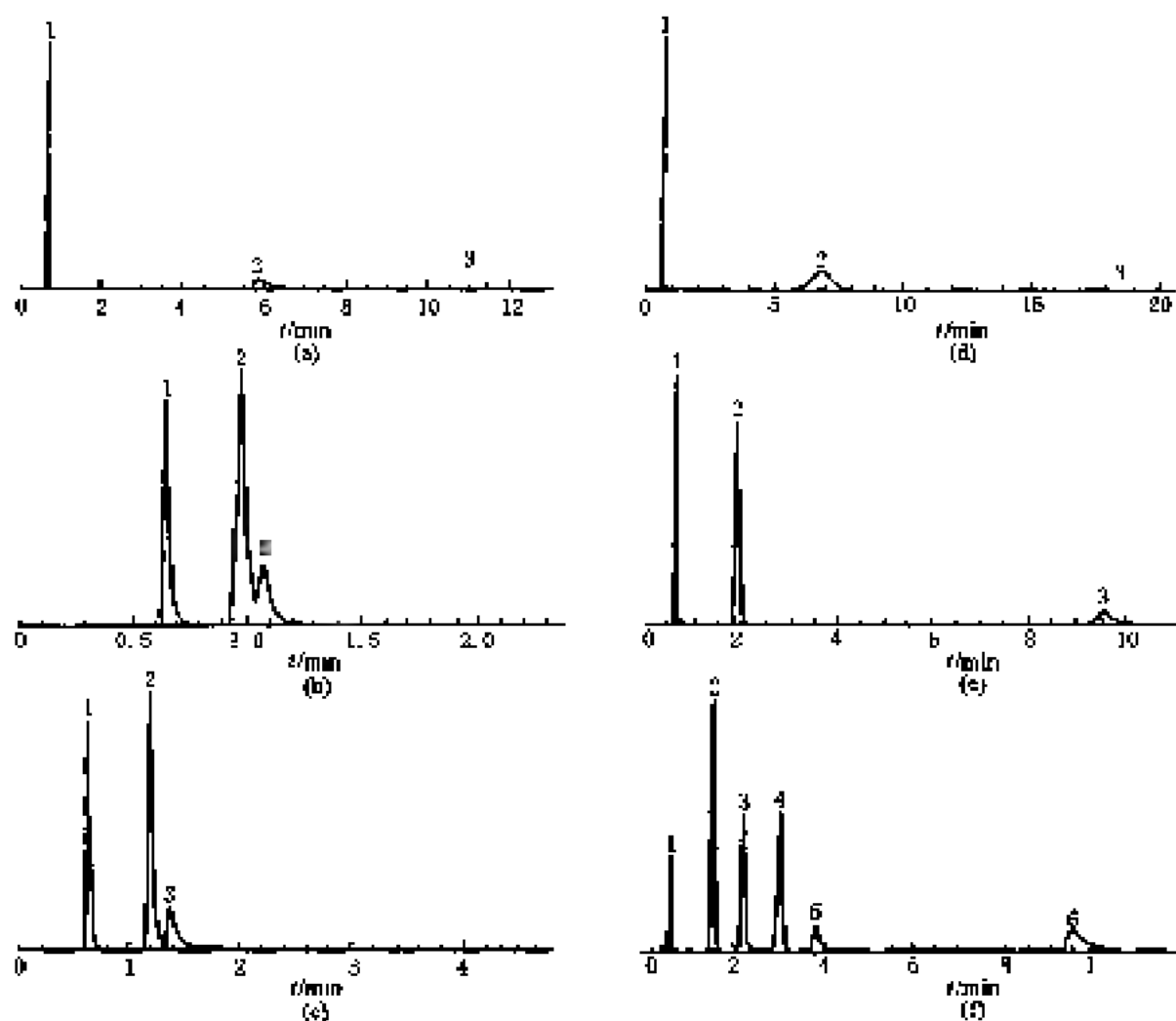


图 12-9 甲苯、苯甲酸、水杨酸等的正相谱图^[11]

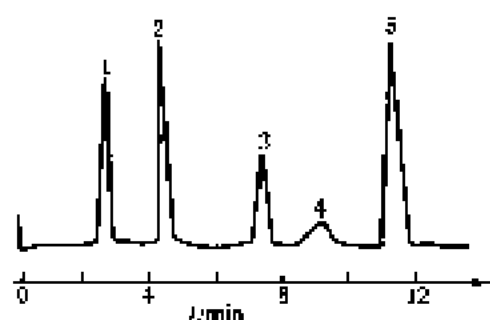
色谱峰：1—甲苯；2—苯甲酸；3—水杨酸；4—山梨酸；5—对羟基苯甲酸丙酯；6—羟苯甲酸甲酯

色谱柱：填充 Macack 100-CN, 125 mm×4.6 mm (内径), 5 μm

流动相：图(a)~(c)己烷+乙醇（体积比=90:10）(f) 己烷+乙醇（体积比=70:30）

检测器：二极管阵列紫外 (250 nm)

流速：2.0 ml·min⁻¹



色谱峰: 1—甲苯; 2—苯; 3—*o*-甲基苯甲醚; 4—*m*-甲基苯甲醚; 5—*p*-甲基苯甲醚

色谱柱: YWG-CM, 4.6 mm(内径)×300 mm, (10±2)μm

流动相: 正己烷 (AR)

流速: 1.0 ml·min⁻¹

检测器: UV (254 nm)

图 12-10 茚及其相关化合物分离色谱图^[29]

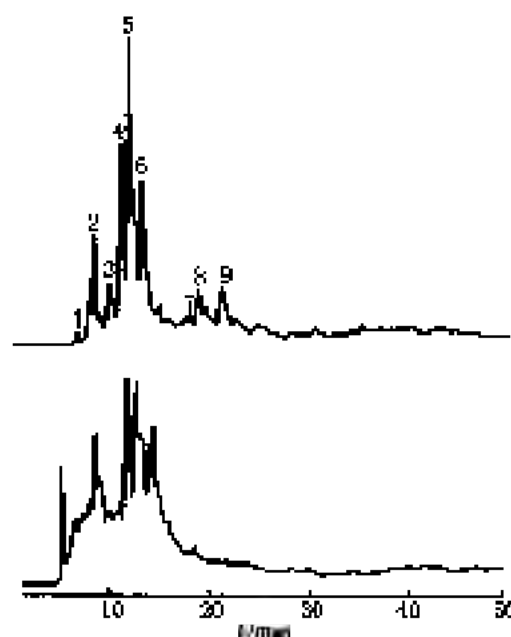


图 12-11 多环芳烃化合物分离色谱图^[11]

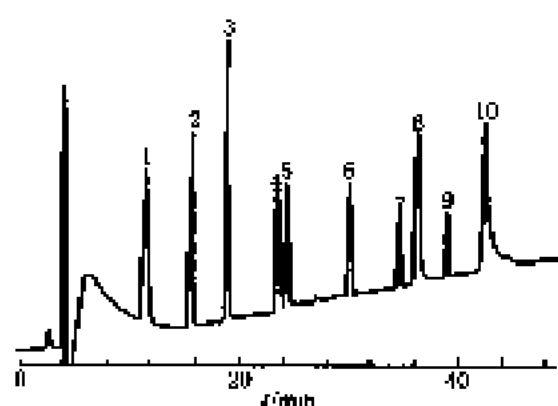
色谱峰: 1—萘; 2—蒽; 3—二氢蒽; 4—苊; 5—葱; 6—菲; 7—苝; 8—苯并[a]芘; 9—苉

色谱柱: 250 mm×4.6 mm(内径), 填充 Hyperal CTA, 5 μm

流动相: 己烷/二氯甲烷 (V/V) 梯度洗脱: 10%DCM, 20 min; 10%DCM, 60 min; 最后 100%DCM 等度冲洗

流速: 0.6 ml·min⁻¹

检测器: UV (254 nm)



色谱峰: 1—FY; 2—EGGF; 3—FLEE; 4—DYN+GWMDP-NH₂; 5—NFTYGGF; 6—ACSE; 7—WAGGEASGE; 8—YGGFMTSQESQT-PLVT; 9—ASTTINYT; 10—VLSEGEWQJ-VI-HVWAKVRADVA-GHQQDILRLFKSHPETLEKFDFTSILKTEGE

色谱柱: TSK gel Amide-80

流动相: 溶剂 A (最初) 乙醇+水 (97+3), 内含 0.1% TFA
溶剂 B: 0.1% TFA+乙醇+水 (55+45)

线性梯度洗脱: 溶剂 A, 70 min; 溶剂 B

检测器: UV (215 nm)

图 12-12 多肽分离色谱图^[30]



图 12-13 正构烷烃 ($C_{13} \sim C_{23}$) 的

微柱 HPLC-GC 联用分析色谱图^[6]

色谱峰: 1— C_{13} ; 2— C_{14} ; 3— C_{15} ; 4— C_{16} ;

5— C_{17} ; 6— C_{18} ; 7— C_{19}

色谱柱: 键合氨基柱, 4.6 mm (内径) \times

300 mm

流动相: 正己烷

流 速: $0.1 \text{ ml} \cdot \text{min}^{-1}$

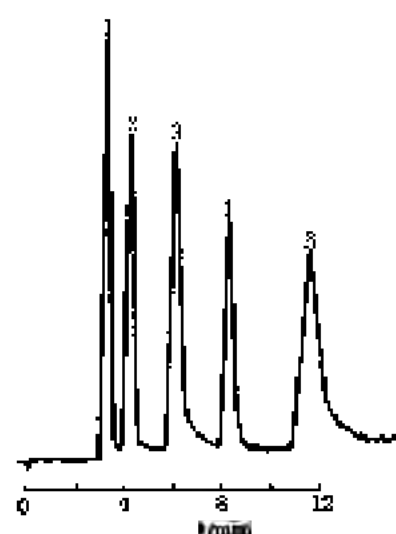
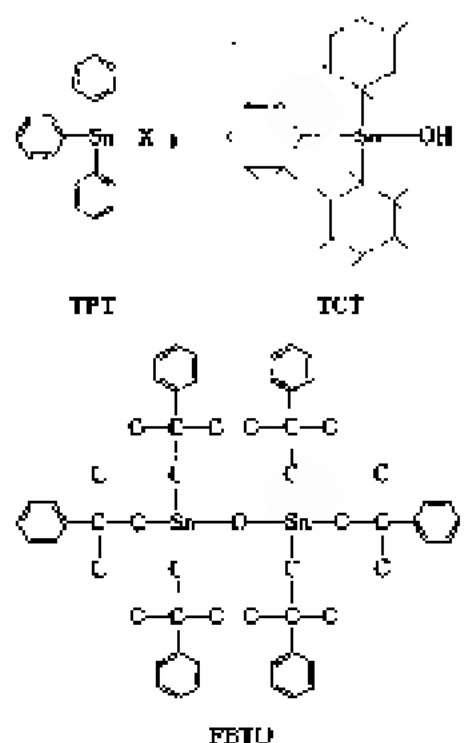


图 12-14 有机锡类化合物谱图^[14]

色谱峰: 1—TCT ($0.8 \mu\text{g}$); 2—FBTU ($0.2 \mu\text{g}$); 3—TPT ($0.3 \mu\text{g}$); 4—二正

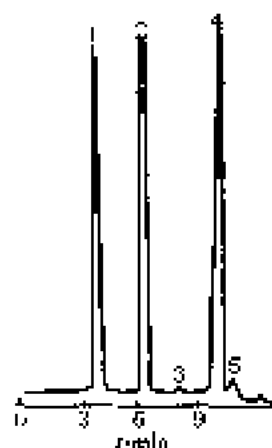
丁基锡二氧化物 ($0.6 \mu\text{g}$); 5—TBT ($0.9 \mu\text{g}$)



色谱柱: 填充 Rosal cyanopropyl, 150 mm \times 4.6 mm (内径), 3 μm

流动相: 正己烷+THF+乙醇 (体积比=96:2:2)

流 速: $1.0 \text{ ml} \cdot \text{min}^{-1}$

图 12-15 莠草敌的色谱图^[10]

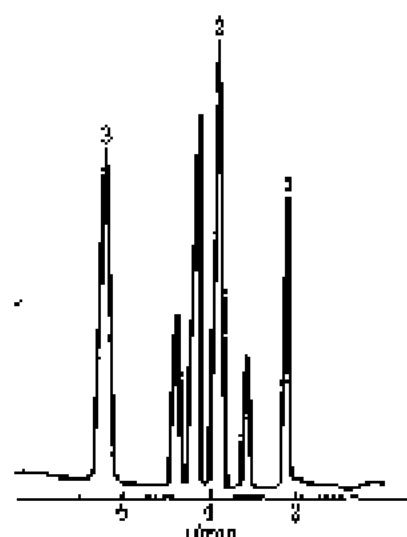
色谱峰: 1—内标物 (5.38 min); 2—敌草敌 (6.13 min); 3—
苯氧雌 (10.87 min); 4, 5—杂质

色谱柱: Lichrosorb Si-60, 20 mm×0.45 mm, 5 μ m

流动相: 氯仿+石油醚+乙醇+甲苯+异丙醇 (体积比=5:
80:5:5:5)

流速: 1.0 ml·min⁻¹

检测器: UV (254 nm)

图 12-16 取代苯及其酯类色谱图^[34]

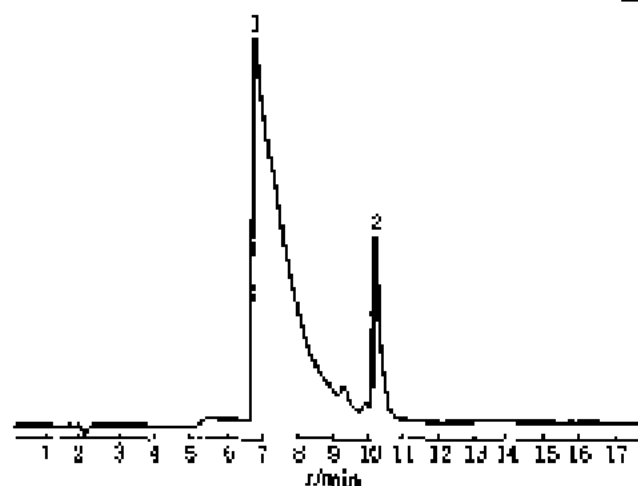
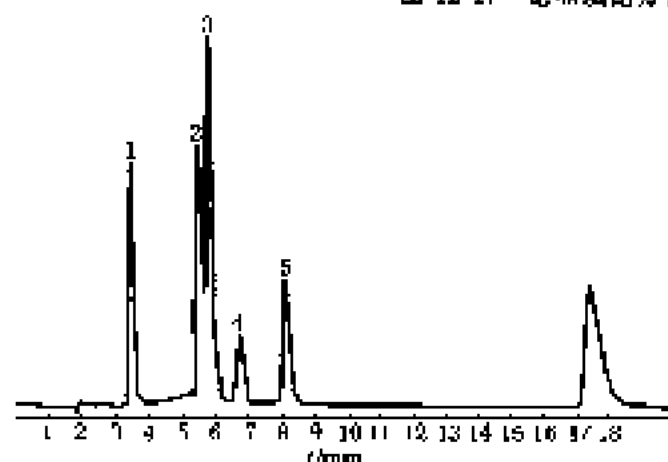
色谱峰: 1—2,4-二硝基甲苯; 2—邻羟基苯甲酸甲酯; 3—2,
4-甲氧二硝基甲酸二乙酯

色谱柱: YWG-CN, 4.6 mm (内径)×300 mm, 5 μ m

流动相: 己烷-乙醇 (体积比=97:3)

流速: 1 ml·min⁻¹

检测器: UV (254 nm)

图 12-17 芘和氟蒽分离色谱图^[34]图 12-18 氟蒽及相关化合物的色谱图^[23]

色谱峰: 1—1-氟蒽; 2—芘

色谱柱: 填充 Nucleosil 硅胶, 250 mm×4 mm (内
径), 5 μ m

柱温: 室温

流动相: 己烷

流速: 2.0 ml·min⁻¹

检测器: 二极管阵列紫外 (254 nm)

色谱峰: 1—1-氟蒽; 2—1-氟蒽; 3—4,5,9-三
氟-4,5-二氢蒽; 4—4,6,9-三氟-4,5-
二氢蒽; 5—4,5,9-二氟-4,5-二氢蒽;
6—4,5,9,10-四氟-4,6,9,10-四氢蒽

色谱柱: 填充 Lichrosorb 硅胶, 250 mm×4 mm
(内径), 5 μ m

柱温: 室温

流动相: 己烷

流速: 1.5 ml·min⁻¹

检测器: 二极管阵列紫外 (254 nm, 300 nm)



图 12-19 苯酚及其溴化物色谱图 (一)^[14]

色谱峰: 1—苯; 2—2,4-二溴苯酚; 3—3-溴苯酚; 4—4-溴苯酚

色谱柱: YWG-CN, 30 cm × 4 mm

流动相: 石油醚+四氢呋喃 (77+22)

流量: 1 ml · min⁻¹

检测器: UV (254 nm)

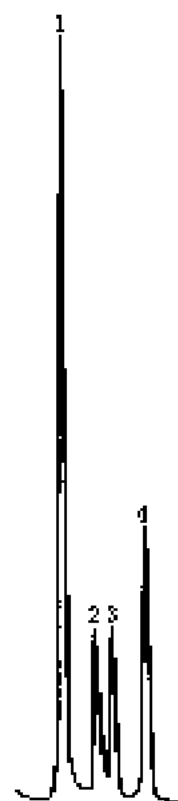


图 12-20 苯酚及其溴化物色谱图 (二)^[14]

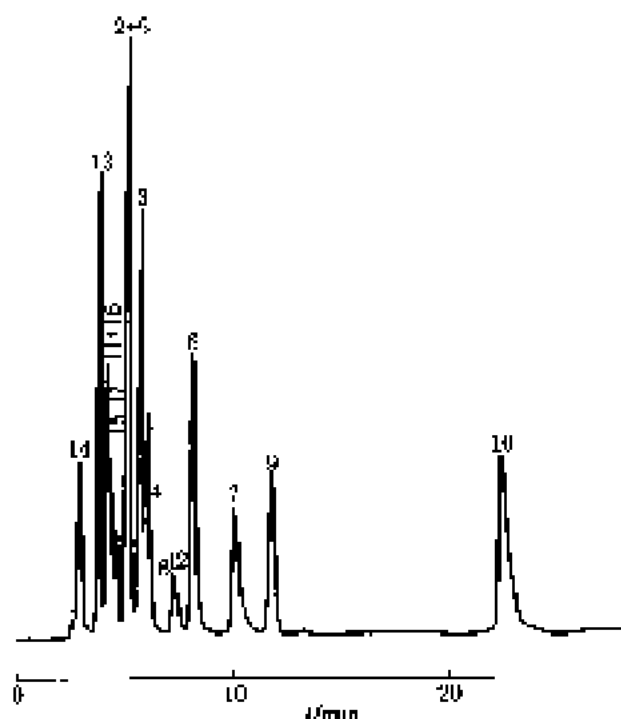
色谱峰: 1—苯; 2—3,4-二溴苯酚; 3—溴苯酚; 4—2-溴苯酚

色谱柱: Zorbax-SB, 15 cm × 4 mm

流动相: 石油醚+四氢呋喃 (70+30)

流量: 1 ml · min⁻¹

检测器: UV (254 nm)



色谱峰: 1—苯胺; 2—对甲苯胺; 3—间甲苯胺; 4—

对甲苯胺; 5—邻甲苯胺; 6—间甲氧基

苯胺; 7—对甲氧基苯胺; 8—邻硝基苯胺;

9—间硝基苯胺; 10—对硝基苯胺; 11—邻氯

苯胺; 12—间氯苯胺; 13—N-甲基苯胺;

14—N,N-二甲基苯胺; 15—2,5-二甲氧基

苯胺; 16—2,6-二甲氧基苯胺; 17—邻苯胺

色谱柱: Y-C18 反相柱

柱温: 25℃

流动相: 2-丙醇+戊烷 (体积比=7.5:92.5)

流量: 1 ml · min⁻¹

检测器: UV

图 12-21 苯胺类化合物正相分离谱图^[14]

图 12-22 烃类样品族分离色谱图^[20]

色谱峰: 1—烷烃; 2—单环芳烃; 3—多环芳烃

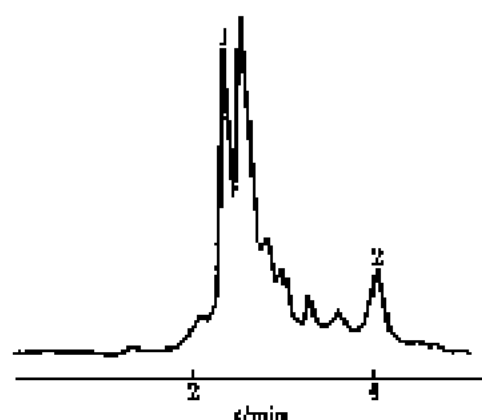
色谱柱: YMC 硅胶柱, 15 cm × 2 mm (内径),

5 μm

流动相: 正己烷, 0.3 ml · min⁻¹

流速: 0.3 ml · min⁻¹

检测器: UV (254 nm)

图 12-23 肝癌患者肝组织提取物色谱图^[21]

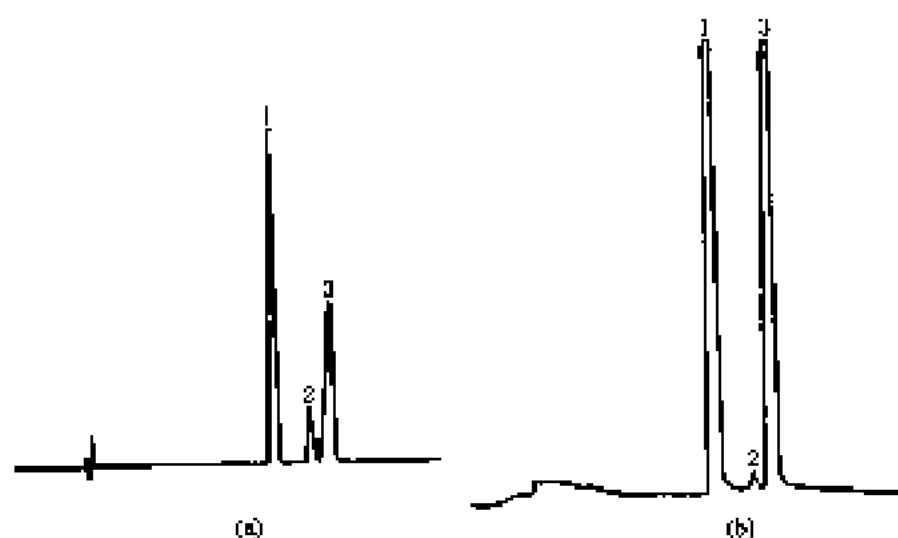
色谱峰: 1—推定苦参碱; 2—黄曲霉毒素 B₁

色谱柱: μ -Porasil, 3.0 mm (内径) × 300 mm

流动相: 氯仿—环己烷 + 乙醇 + 异丙醇 (体积比 = 75 : 25 : 5 : 2)

流速: 1 ml · min⁻¹

检测器: 荧光 ($\lambda_{\text{exc}} = 265 \text{ nm}$, $\lambda_{\text{em}} = 435 \text{ nm}$)

图 12-24 邻、间、对甲苯磺酰胺分离色谱图^[22]

(a) 标准图谱; (b) 样品图谱

色谱峰: 1—*o*-甲苯磺酰胺; 2—*m*-甲苯磺酰胺; 3—*p*-甲苯磺酰胺

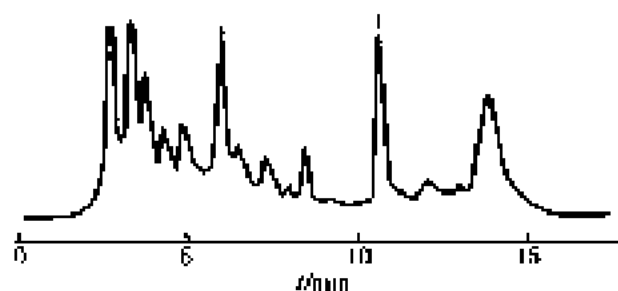
色谱柱: Shum-pack C18-8L 柱, 150 mm × 6 mm (内径), 5 μm

柱温: 50℃

流动相: 正己烷或石油醚 (60~90℃) + 四氢呋喃 + 甲醇 (体积比 = 78.5 : 21 : 0.5)

流速: 2 ml · min⁻¹

检测器: UV (268 nm)

图 12-25 阿拉伯酸二十二烷酸分离色谱图^[14]

色谱峰: 1—阿拉伯酸二十二烷酸

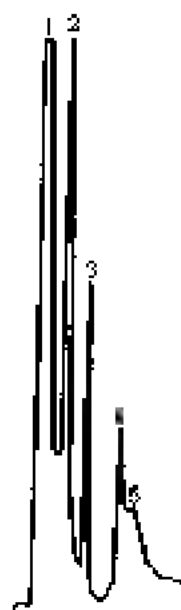
色谱柱: Spherisorb C₁₈, 250 mm×4.6 mm (内径), 5 μm

柱温: 40℃

流动相: 甲醇

流速: 1 ml·min⁻¹

检测器: UV (325 nm)

图 12-26 高分子高聚物的分离谱图^[15]

色谱峰: 1—甲苯; 2—C₈₀; 3—C₁₀₀; 4—C₁₁₀;

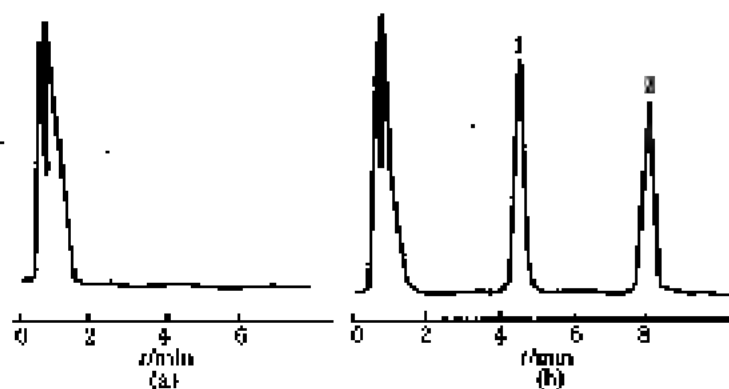
5—C₁₁₆

色谱柱: Vydac C₁₈柱

流动相: 正己烷—异丙醇 (体积比=75:25)

流速: 1.5 ml·min⁻¹

检测器: UV (254 nm)

图 12-27 甲酚分离色谱图^[16]

(a) 空白直液; (b) 加入样品后

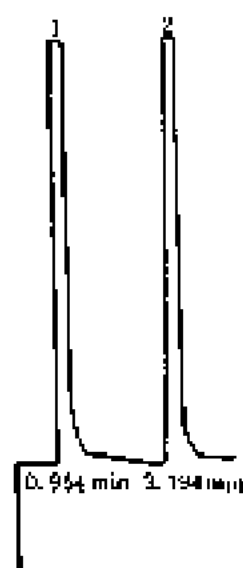
色谱峰: 1—甲基苯酚; 2—苯酚

色谱柱: Ultrasphere SI, 4.6 mm×250 mm

流动相: 二氯甲烷+异丙醇+二乙胺 (体积比=75:25:0.2)

流速: 1 ml·min⁻¹

检测器: UV (282 nm)

图 12-28 烯烃/白油分离色谱图^[6]

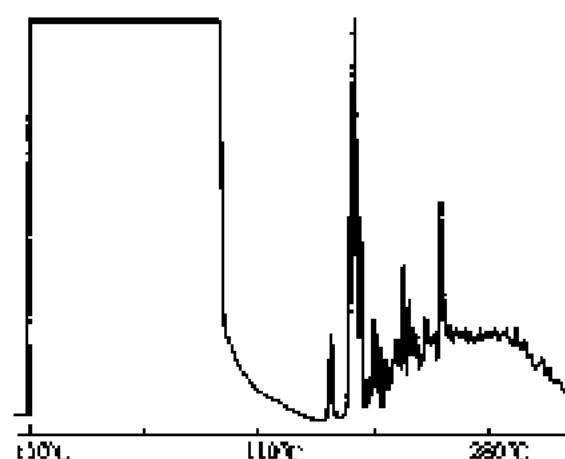
色谱峰: 1—白油, 2—烯烃 ($n-C_{16}$)

色谱柱: 氨基键合硅胶柱

流动相: 正己烷

流速: $1 \text{ ml} \cdot \text{min}^{-1}$

检测器: MW-FID

图 12-29 重质石油中芳烃的 HPLC-GC 联用分析^[7]

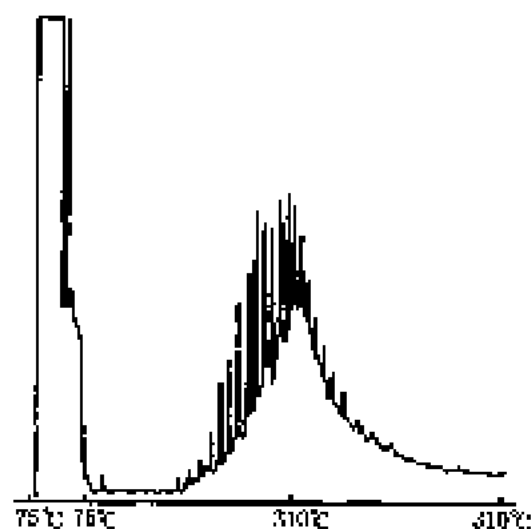
色谱柱: 键合氨基柱

流动相: 正己烷

流速: $0.8 \text{ ml} \cdot \text{min}^{-1}$

柱温: $110^\circ\text{C} \rightarrow 280^\circ\text{C}$ ($4^\circ\text{C} \cdot \text{min}^{-1}$)

检测器: Waters 410 示差折光

图 12-30 重质石油中饱和烃的
HPLC-GC 联用分析谱图^[8]

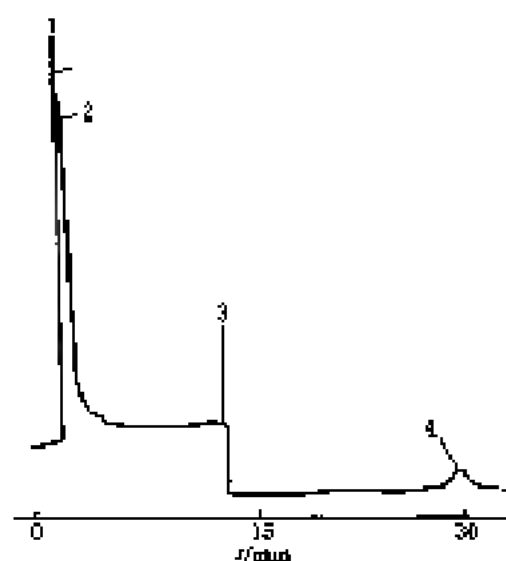
色谱柱: 键合氨基柱

流动相: 正己烷

流速: $0.8 \text{ ml} \cdot \text{min}^{-1}$

柱温: $110^\circ\text{C} \rightarrow 280^\circ\text{C}$ ($4^\circ\text{C} \cdot \text{min}^{-1}$)

检测器: Waters 410 示差折光

图 12-31 重质石油的烃类组成的
HPLC 联合反冲流程分析谱图^[5]

色谱峰: 1—饱和烃, 2—芳烃, 3—反冲, 4—裂化化合物

色谱柱: 键合氨基柱

流动相: 正己烷

流速: $0.8 \text{ ml} \cdot \text{min}^{-1}$

检测器: 示差折光

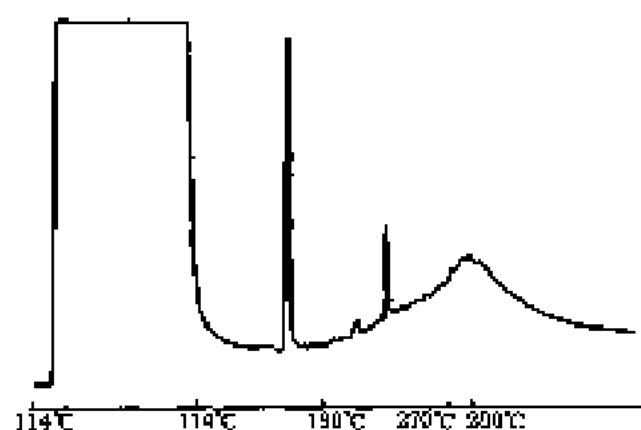


图 12-32 重质石油中硫化化合物的
HPLC-GC 联用分析谱图^[3]

色谱柱: 键合氨基柱

流动相: 正己烷

流速: $0.8 \text{ ml} \cdot \text{min}^{-1}$

柱温: $114^\circ\text{C} \rightarrow 280^\circ\text{C}$ ($4^\circ\text{C} \cdot \text{min}^{-1}$)

检测器: Waters 410 示差折光

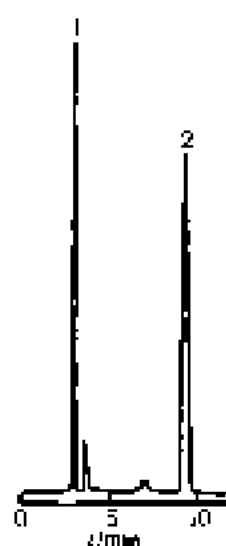


图 12-34 混合乳油“单敌”中灭草松和
2,4-滴丁酯分离色谱图^[15]

色谱峰: 1—灭草松; 2—2,4-滴丁酯

色谱柱: Shim-pack c18-C18 ($150 \text{ mm} \times 6 \text{ mm}$)

流动相: 甲醇+乙腈+柠檬酸缓冲液 (pH3.1) (体积比=29:21:50)

流速: $1.5 \text{ ml} \cdot \text{min}^{-1}$

检测器: UV 429.2 nm

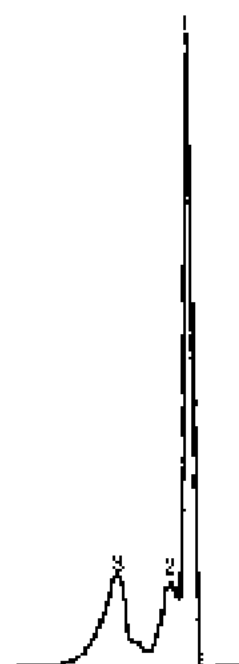


图 12-33 重质油脱芳组分在 Ag-SCX
柱上的分离色谱图^[17]

色谱峰: 1—饱和烯; 2—内烯; 3— α -烯

色谱柱: Ag-SCX 柱, $10 \text{ cm} \times 3.9 \text{ mm}$

流动相: 正己烷 (含 8% 环己烯的) 正己烷

流速: $1 \text{ ml} \cdot \text{min}^{-1}$

检测器: 示差折光 RI

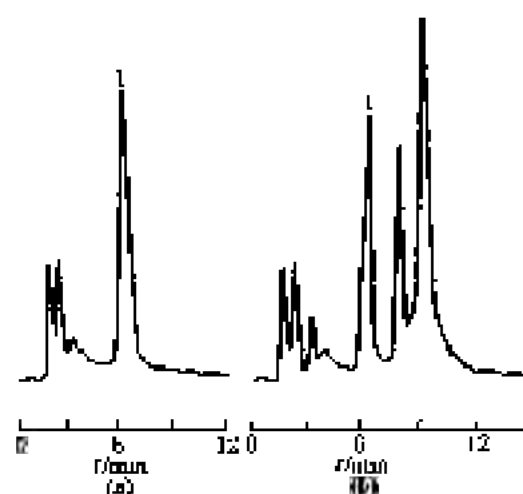


图 12-35 醇酸甘油分离色谱图^[18]

(a) 标样; (b) 动物脂肪后血样

色谱峰: 1—甘油

色谱柱: Ultrasil NT1, $250 \text{ mm} \times 4.6 \text{ mm}$ (内径), $10 \mu\text{m}$

流动相: 异辛烷+二氯甲烷+甲醇 (体积比=7:2:1)

流速: $1.5 \text{ ml} \cdot \text{min}^{-1}$

检测器: 质谱分析仪

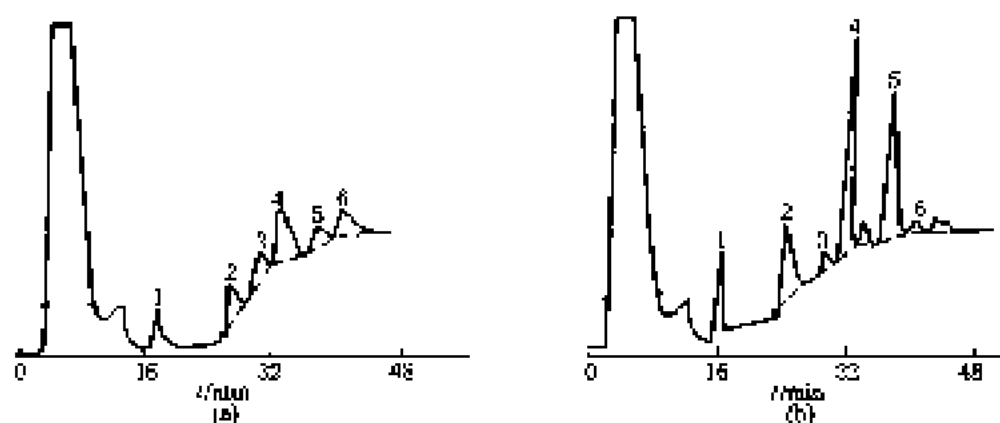


图 12-36 大鼠肝过氧化物酶体膜磷脂分离色谱图^[27]

(a) 标准样品; (b) 实际样品

色谱峰: 1—心磷脂, 2—磷脂酰乙醇胺, 3—磷脂酰甘油酯, 4—磷脂酰乙醇胺, 5—磷脂酰甘油酯, 6—鞘磷脂
 色谱柱: μ -Porecell 5.0 μ m, 250 mm \times 4.6 mm (内径)

流动相 A: 乙醇; 流动相 B: 乙醇-磷酸 (体积比为 98:2); 流动相 C: 甲醇-磷酸 (体积比为 98:2)

洗脱制度: (0~2) min 为 A 液, (3~5.1) min 由 A 液转换为 B 液, (5.1~15) min 为 B 液, (15~25) min 由 B 液转换为 C 液, (25~45) min 为 C 液

检测器: UV (265 nm)

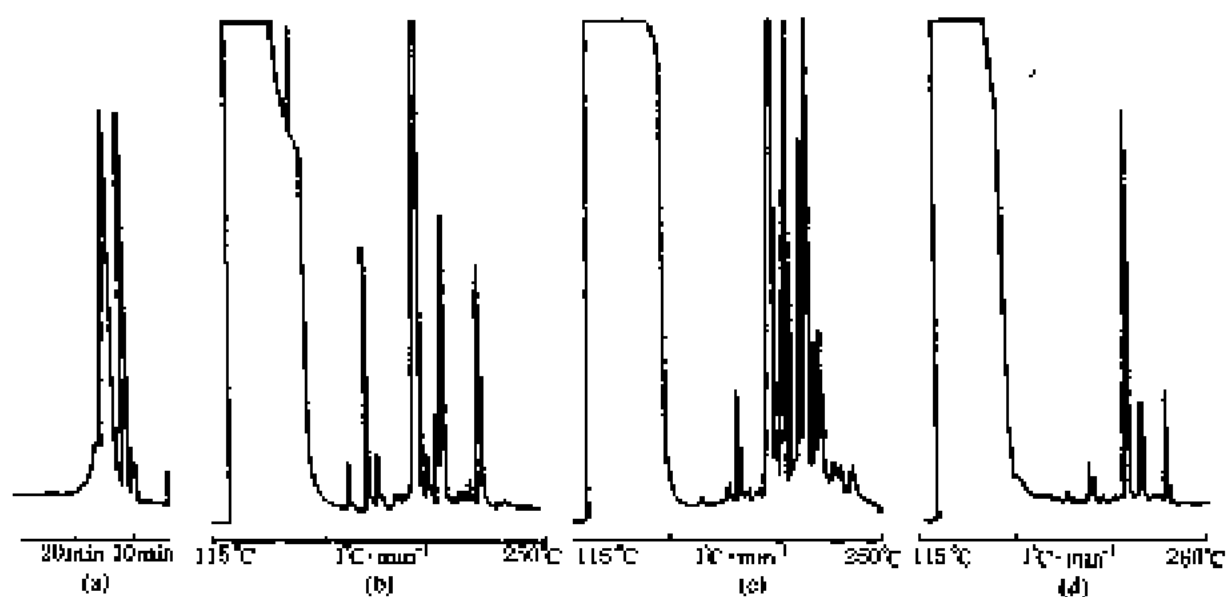


图 12-37 葱油的微柱 HPLC-GC 联用分析色谱图^[28]

色谱柱: 键合氟基柱, 4.6 mm (内径) \times 300 mm

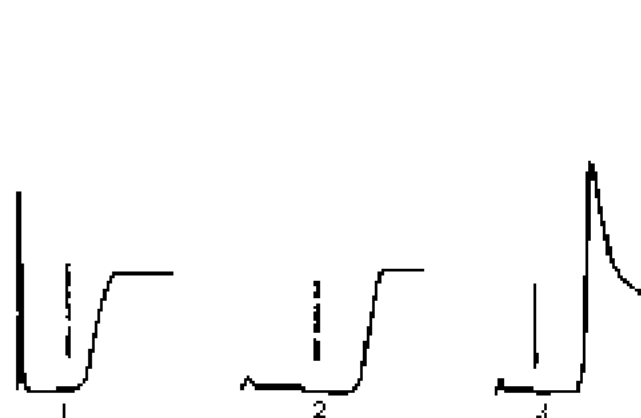
流动相: 正己烷

流速: 0.1 mL \cdot min⁻¹

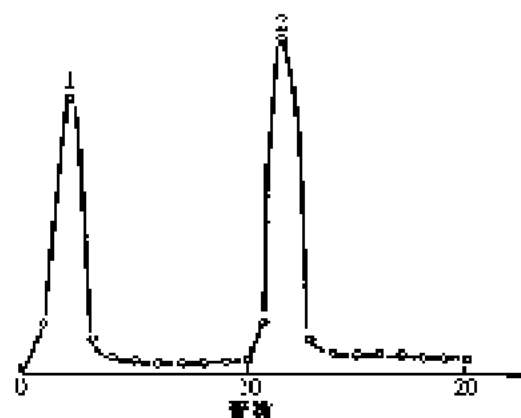
检测器: 紫外折光

温度: (a) 115°C; (b) 115°C \rightarrow 250°C (1°C \cdot min⁻¹); (c) 115°C \rightarrow 250°C (1°C \cdot min⁻¹); (d) 115°C \rightarrow 280°C (1°C \cdot min⁻¹)

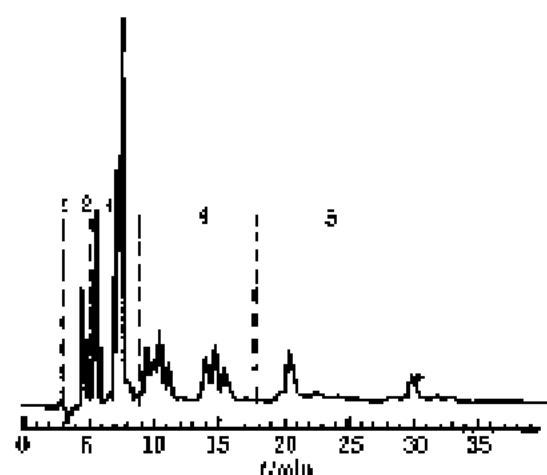
第二节 亲和色谱谱图

图 12-38 α 、 β 、 γ -球蛋白的色谱图^[24]色谱峰：1— α -球蛋白；2— β -球蛋白；3— γ -球蛋白色谱柱：NPS-ACB, 50 mm \times 5 mm (内径)流动相：5 mmol \cdot L⁻¹ Tris-HCl, pH7.8

检测器：UV (280 nm)

图 12-39 α -氨基酸与二肽混合物分离谱图^[24]色谱峰：1—二肽；2— α -氨基酸色谱柱：Cu²⁺-IDA-Sephacel (10 \times 25 cm \times 6.0 cm)洗脱液：1—Na₂B₄O₇-NaOH 缓冲液 (0.05 mol \cdot L⁻¹, pH10.5)；2—0.1 mol \cdot L⁻¹ HCl 溶液

检测器：UV (280 nm)

图 12-40 高温焦油中芳烃分布色谱图^[24]

色谱峰：1—正甲苯、1,3,5-三甲苯、正戊苯、异丙苯、间二甲苯、乙苯、对二甲苯、苯、甲苯；

2—乙基萘、2,7-二甲萘、 α -甲基萘、2,6-二甲萘、 β -甲基萘、2,5-二甲萘、2,3,6-二甲萘、2,4-二甲基萘、2,3-二甲萘、萘、萘磺干基、萘基、萘基；

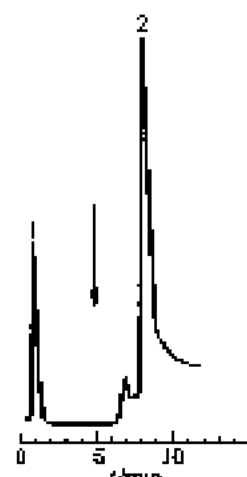
3—蒽、三甲基蒽、苯、5-甲基苯、9-甲基蒽、萘、邻三联苯、对三联苯、间三联苯；

4—蒽、三萘基、萘基、1,3,5-三萘基、9,10-二甲基蒽、1,2-萘并基、萘并[α]基、萘、萘并[α]基、8-甲基蒽基；5—萘并[β]基、20-甲基蒽基、萘并[α]基、萘、萘并[α]基、1-萘并[α]基、1-萘并[α]基、萘并[α]基、萘并[α]基色谱柱：Zorbax + NH₂, 250 mm \times 4.6 mm (内径)

流动相：正庚烷

流速：2.0 ml \cdot min⁻¹

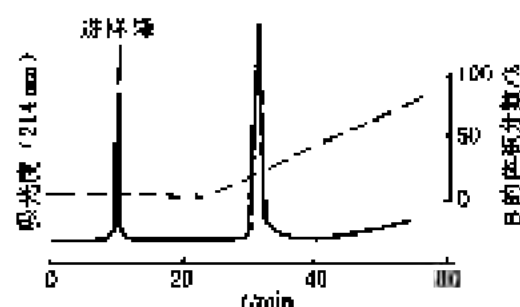
检测器：UV (254 nm)

图 12-41 卵清蛋白与氨基酸的分离色谱图^[24]

色谱峰：1—卵清蛋白；2—氨基酸

色谱柱：NPS-ACB, 50 mm \times 5 mm (内径)流动相：50 mmol \cdot L⁻¹ Tris-HCl (pH9.8)

检测器：UV (280 nm)

图 12-42 S₂肽的高效液相色谱图^[81]

S₂肽 = SerProArgLysSerProArgIysNH₂

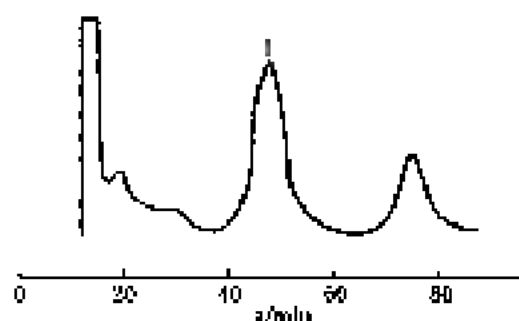
色谱柱: 2.0 cm × 3.0 mm (内径), (30~70) 异 DNA 肝素凝胶 无不锈钢柱

流动相: A 10 mmol · L⁻¹ Tris + HCl (pH8.0)

B 0.0 mol · L⁻¹ NaCl + 10 mmol · L⁻¹ Tris HCl (pH8.0)

流速: 2.0 ml · min⁻¹

检测器: Waters 490E 紫外 (214 nm) 1.000 AUFS

图 12-44 人血清白蛋白制剂分离谱图^[80]

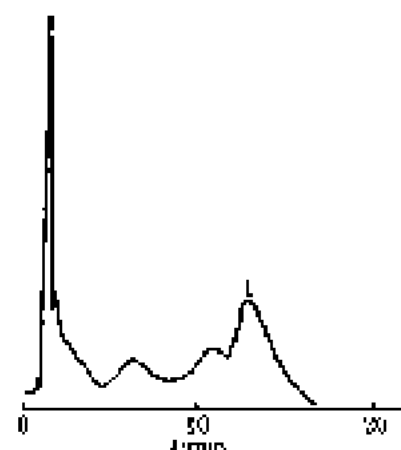
色谱峰: 1—人血清白蛋白

膜: 80 张 C18ACRON ULTE T&GA 复合膜 8 mm × 47 mm (内径)

流动相: 1.07 mol · L⁻¹ NaCl + (0 mmol · L⁻¹ 尿素) + 0.1 mol · L⁻¹ 乙酸钠 (pH7.5) 缓冲液

流速: 1.0 ml · min⁻¹

检测器: 分光光度计

图 12-43 SOD 的色谱图^[82]

色谱峰: 1—SOD

色谱柱: 20A-C₁₈ [100 mm × 4.6 mm (内径)]

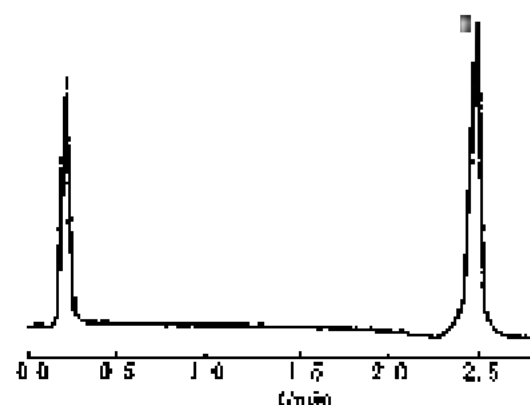
流动相: A 0.02 mol · L⁻¹ PB + 1.2 mmol · L⁻¹ Na₂SO₄ (pH6.5)

B 0.02 mol · L⁻¹ PB + 1.2 mmol · L⁻¹ NH₄Cl (pH6.5)

梯度 B0~100% (20 min)

流速: 1 ml · min⁻¹

检测器: UV (250 nm)

图 12-45 人体生长激素与抗体的色谱图 (—)^[83]

色谱峰: 1—抗原+过量人体生长激素; 2—人体生长激素与抗体络合物

色谱柱: G-蛋白免疫检测柱 [1 cm × 1 mm (内径)]

流动相: 上样溶剂为 0.15 mol · L⁻¹ NaCl + pH7.2 的 10 mmol · L⁻¹ 磷酸缓冲液;

冲洗剂为 pH2-6 的 0.15 mol · L⁻¹ NaCl 水溶液

流速: 2.0 ml · min⁻¹

检测器: Spectra 100 紫外 (220 nm)

进样: 上样冲洗剂为流动相, 1 min 后切换成洗脱冲洗剂

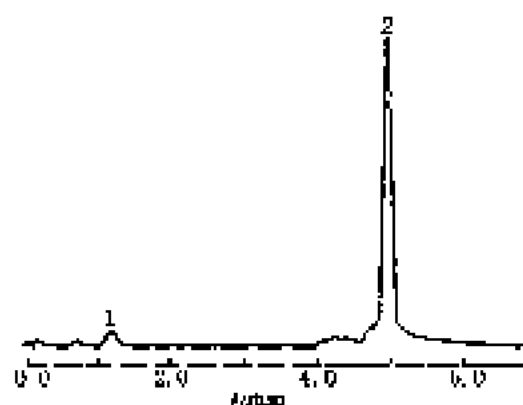


图 12-46 人体生长激素与抗体的色谱图 (二)^[14]
 色谱峰: 1—人体生长激素; 2—人体生长激素抗体结合物
 色谱柱: G-蛋白免疫检测柱 [$4.0\text{m} \times 1\text{mm}$ (内径)]
 流动相: $0.15\text{mol} \cdot \text{L}^{-1}\text{NaCl} + \text{pH}7.2$ 的 $10\text{mmol} \cdot \text{L}^{-1}$ 磷酸缓冲液 (上样缓冲剂); $\text{pH}2.8$ 的 $0.15\text{mol} \cdot \text{L}^{-1}\text{NaCl}$ 水溶液 (冲洗液)

流速: $1.5\text{ml} \cdot \text{min}^{-1}$

检测器: Spectra 100 紫外 (280nm)

进样: 在上样缓冲剂为流动相时先注入 $30\text{ }\mu\text{l}$ 浓度为 $1.60\text{mg} \cdot \text{ml}^{-1}$ 的抗体, 1min 后注入与图 1 同量的激素, 2min 后流动相切换为洗脱缓冲液, 实验条件同图 12-45

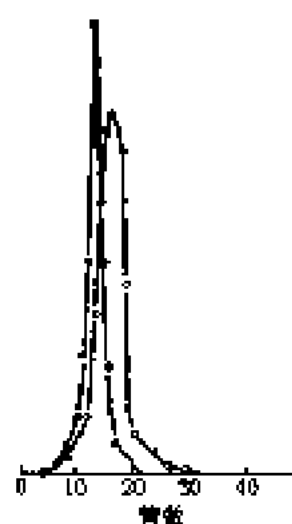


图 12-47 相分离 Cu, Zn-SOD 的 DEAE-52 色谱图^[15]

色谱柱: Cu^{2+} -Sephacree 4B 亲和色谱柱

洗脱液: A $50\text{mmol} \cdot \text{L}^{-1}$ 磷酸盐缓冲液 ($\text{pH}7.0$, 含 $0.5\text{mol} \cdot \text{L}^{-1}\text{NaCl}$)

B $50\text{mmol} \cdot \text{L}^{-1}$ Tris HCl 缓冲液 ($\text{pH}8.0$, 含 $0.5\text{mol} \cdot \text{L}^{-1}\text{NaCl}$)

检测器: 752 型分光光度计

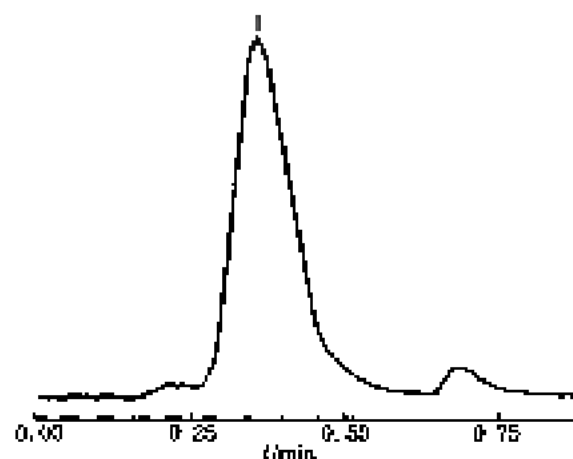


图 12-48 生长激素的色谱图^[16]

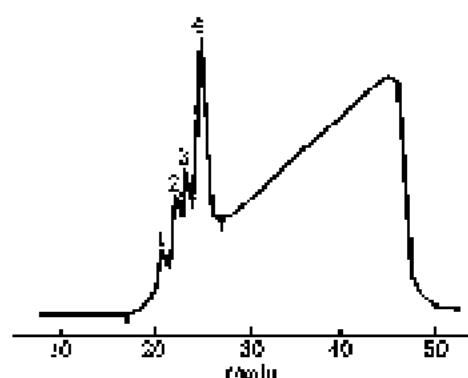
色谱峰: 1—人体生长激素

色谱柱: G-蛋白免疫检测柱 [$4.0\text{m} \times 1\text{mm}$ (内径)]

流动相: 上样缓冲剂为 $0.15\text{mol} \cdot \text{L}^{-1}\text{NaCl} + \text{pH}7.2$ 的 $10\text{mmol} \cdot \text{L}^{-1}$ 磷酸缓冲液; 冲洗液为 $\text{pH}2.8$ 的 $0.15\text{mol} \cdot \text{L}^{-1}\text{NaCl}$ 水溶液

流速: $1.5\text{ml} \cdot \text{min}^{-1}$

检测器: Spectra 100 紫外 (280nm)

图 12-49 牛血清转铁蛋白分离色谱图^[20]

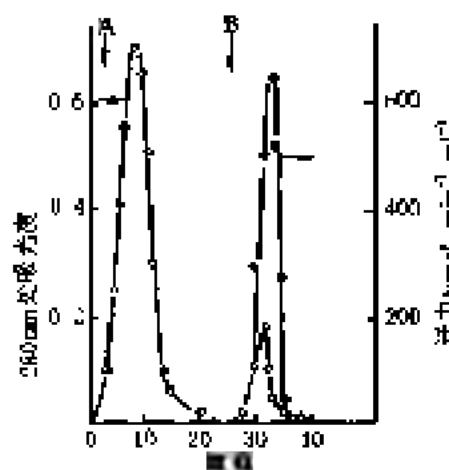
色谱峰: 1—FeNTfFe, 2—FeNTf, 3—TfFe, 4—Apo-Tf
 色谱柱: 螯合水和柱 TSK gel chelatez SPW (7.5mm × 7.5mm
 (内径))

洗脱液: A 含 0.5 mol · L⁻¹ NaCl 及 1 mmol · L⁻¹ 咪唑 HCl
 的 0.02 mol · L⁻¹ 磷酸缓冲液 (pH7.4)

B 含 0.5 mol · L⁻¹ NaCl 及 20 mmol · L⁻¹ 咪唑
 HCl 的 0.02 mol · L⁻¹ 磷酸缓冲液 (pH7.4)

流 速: 1 ml · min⁻¹

检测器: UV (280 nm)

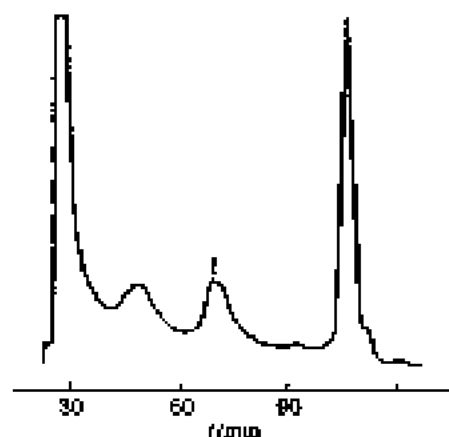
图 12-51 组胺液 Cu²⁺-Sepharose 4B 色谱图^[21]

色谱柱: Cu²⁺-Sepharose 4B 亲和色谱柱

洗脱液: A 50 mmol · L⁻¹ 磷酸盐缓冲液 (pH7.0, 含 0.5
 mol · L⁻¹ NaCl)

B 50 mmol · L⁻¹ Tris-HCl 缓冲液 (pH8.0 含
 0.5 mol · L⁻¹ NaCl)

检测器: 752 型分光光度计

图 12-50 商品巯基乙醇巯基丙酮和分离色谱图^[22]

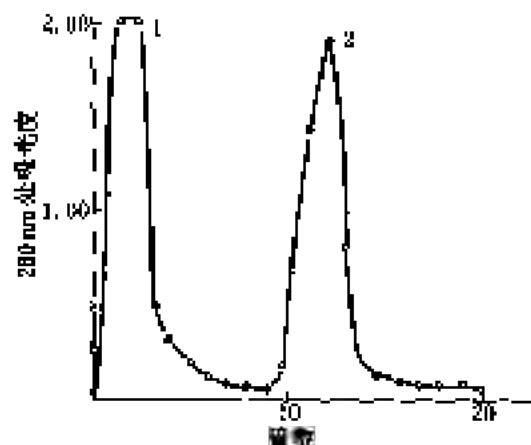
色谱峰: 1—巯基丙酮巯基

巯: 自制巯基醇 80 倍 w/w E-KED K2BP 亲和剂, 18 mm ×
 47 mm (内径)

流动相: 1—0 mol · L⁻¹ NaCl 及 4.0 mol · L⁻¹ 尿素 + 0.1
 mol · L⁻¹ 乙酸钠 (pH7.5) 缓冲液

流 速: 1.0 ml · min⁻¹

检测器: 上分 752C 分光光度计

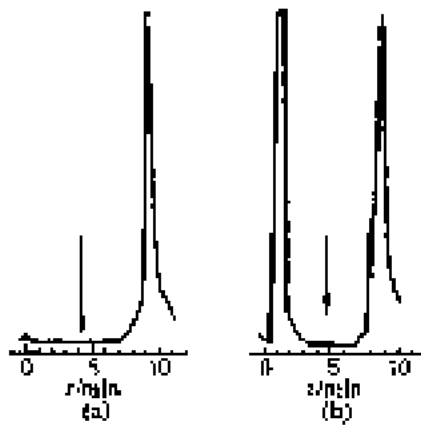
图 12-52 蛋白质水解液的分离谱图^[23]

色谱峰: 1—肽; 2—α-氨基酸衍生物

色谱柱: Cu²⁺-IDA-Sephadex G10 (4.0 mm × 6.0 cm)

洗脱液: 1—丙氨酸氧化物的缓冲液 (0.05 mol · L⁻¹,
 pH10.5), 2—0.1 mol · L⁻¹ HCl

检测器: UV (280 nm)

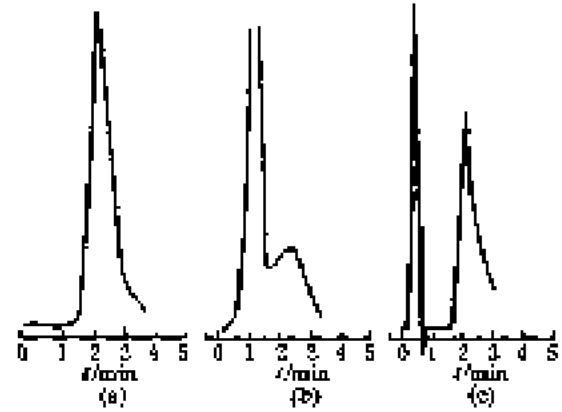
图 12-53 糖菌酶分离色谱图^[34]

样 品: (a) 高凝酶, (b) 冯藻酶

色谱柱: NP5-ACB, 50 mm×5 mm (内径)

流动相: 50 mmol·L⁻¹ Tris-HCl (pH7.8)

检测器: UV (280 nm)

图 12-54 溶菌酶粗制液分离的谱图^[35]

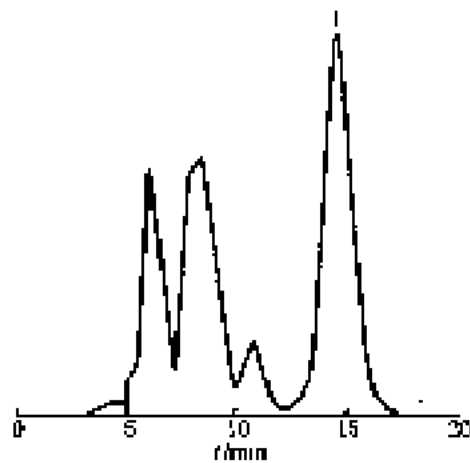
样 品: (a) 溶菌酶纯样, (b) 未经透析的溶菌酶, (c) 透析后的溶菌酶

色谱柱: NP5-ACB, 50 mm×5 mm (内径)

流动相: 50 mmol·L⁻¹ Tris-HCl 缓冲液中含 0.5 mol·L⁻¹ NaCl

检测器: UV (280 nm)

第三节 体积排阻色谱谱图

图 12-55 18 种氨基酸在 HW-40S 柱上的色谱图^[36]

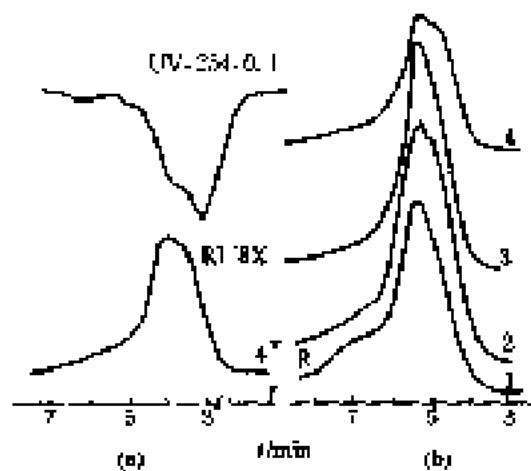
色谱峰: 1—色氨酸

色谱柱: TOYOPEARL HW-40S 凝胶柱 (φ2.75 cm×8 cm)

流动相: 0.06 mol·L⁻¹ Tris-HCl (pH8.9) 缓冲液为母液, 加入各种改良试剂

流 速: 400 μL·min⁻¹

检测器: UV, HUBO 型分光光度计



(a) 4 号 SOD 样品的 RI, UV GPC 图;

(b) 1~4 号 SOD 样品的 RI GPC 图

色谱峰: 1—未修饰 SOD, 2—牛血 SOD 修饰原来过柱, 3—4-吡啶 SOD 修饰后过柱第一组分, 4—牛血 SOD 修饰后过柱第二组分 (SOD-超氧化歧化酶)

色谱柱: μ-Bondagel E-400 Å + E-500 Å 双柱串联

流动相: 0.02% 叠氮化钠水溶液

流速及压力: 1.0 ml·min⁻¹, 1.342×10⁷ Pa

检测器: UV 254 nm 2 和 RI/HX

图 12-56 SOD 样品的 GPC 图^[37]

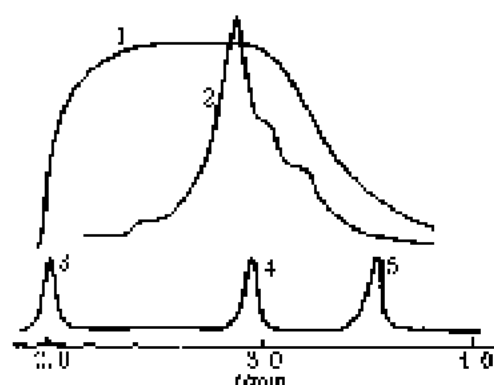


图 12-57 木质素磺酸盐与苯
乙腈磺酸盐分离色谱图^[40]

色谱峰: 1—高分子量的木质素磺酸盐; 2—木质素磺酸盐;
3—苯基乙炔磺酸盐标准; 4—苯基乙炔磺酸盐的标
样; 5—苯基磺酸盐

色谱柱: μ -Bondagel E-125, 39 mm \times 50 cm

流动相: 4.1 mol/L NaCl + 乙腈

流速: 0.8 ml \cdot min⁻¹ 检测器: UV (280 nm)

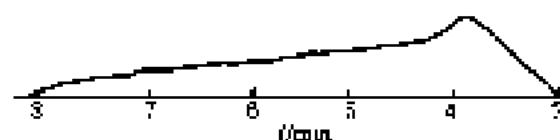


图 12-58 木质素磺酸盐色谱图^[41]

色谱柱: 串联使用 Waters M-Bondagel E300 + E500

柱温: 15°C

流动相: 纯水 + 0.01% NaN₃ 水溶液

检测器: RI/UV

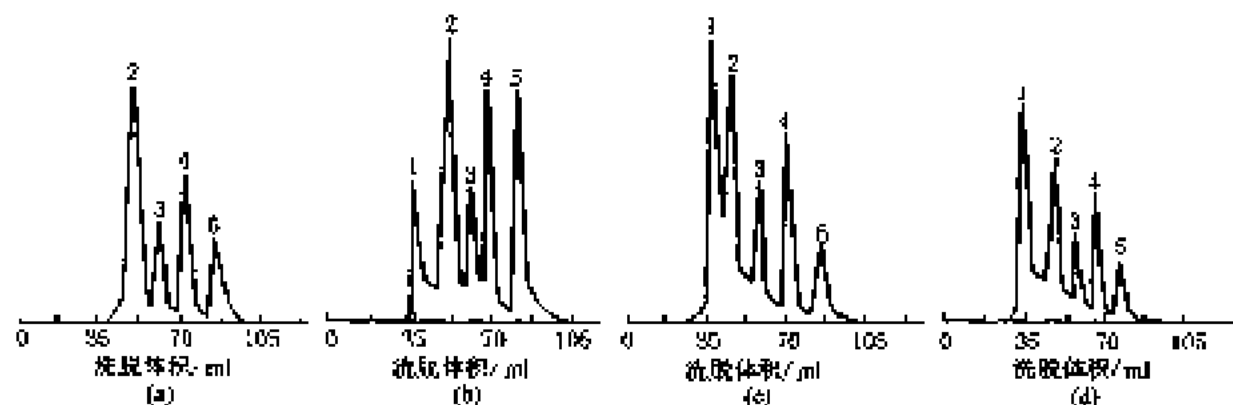


图 12-59 卵清蛋白与糖苷等分离色谱图^[42]

色谱峰: 1—蓝色石蕊糖苷 ($M=200000$); 2— β -球蛋白 ($M=160000$); 3—血清蛋白 ($M=43000$); 4—偶氮色素 ($M=13000$); 5—谷胱甘肽 ($M=812.6$)

色谱柱: 1.4 cm \times 50 cm (a) Sepharyl S-200; (b) Sepharyl S-300; (c) Acrydex A-300; (d) Acrydex A-300

洗脱液: Tris-HCl (pH 7.6)

流速: 12-14 ml \cdot cm⁻² \cdot h⁻¹

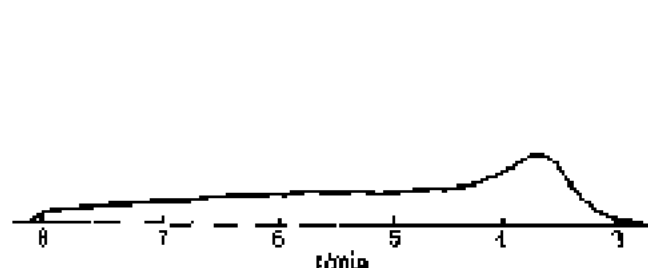


图 12-60 甲壳胺色谱图^[43]

色谱峰: 甲壳胺的分子量分布

色谱柱: 串联使用 Waters μ -Bondagel E300 + E500

柱温: 15°C

流动相: 纯水 + 0.01% NaN₃ 水溶液

流速: 1 ml \cdot min⁻¹

检测器: RI/UV

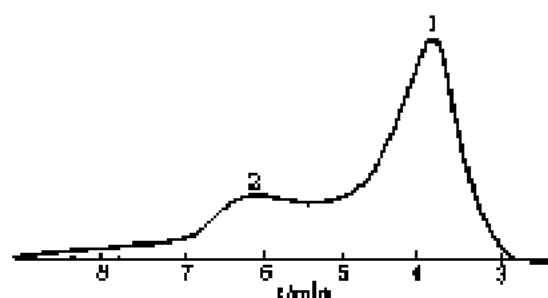


图 12-61 羟丙基甲壳胺色谱图^[44]

色谱峰: 1—羟丙基甲壳胺; 2—降解产物

色谱柱: 串联使用 Waters M-Bondagel E300 + E500

柱温: 15°C

流动相: 纯水 + 0.02% NaN₃ 水溶液

流速: 1 ml \cdot min⁻¹

检测器: RI/UV

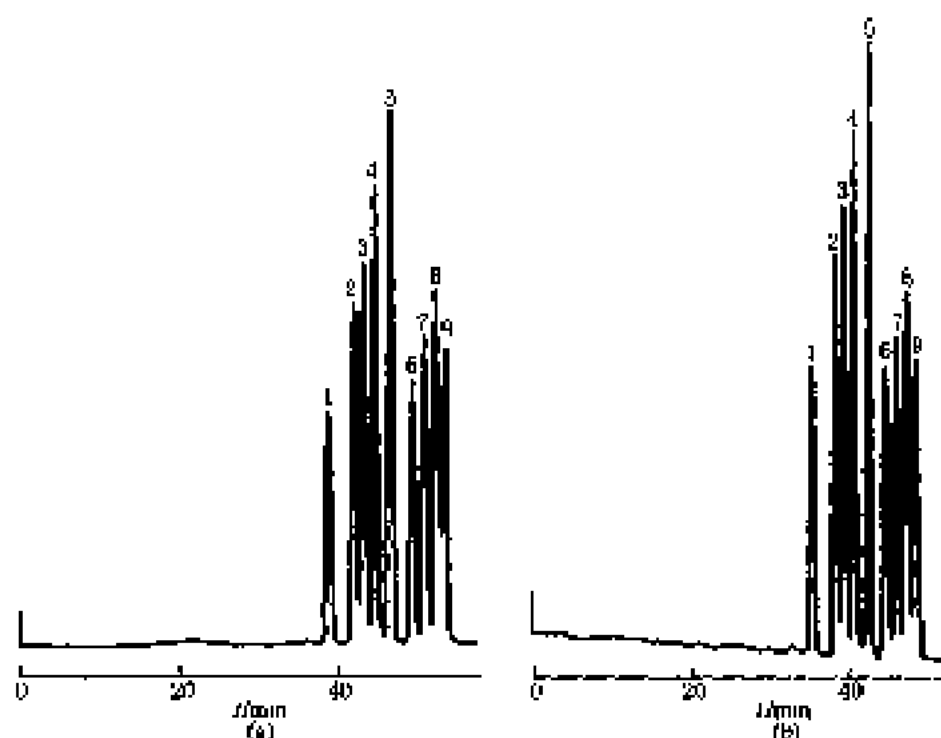


图 12-62 烷基苯二甲酸盐和烷基苯人工合成物分离色谱图^[54]

色谱峰：1—二-*o*-乙基己基邻苯二甲酸盐；2—二-正丁基邻苯二甲酸盐；3—二-正丙基邻苯二甲酸盐；4—二乙基邻苯二甲酸盐；5—二甲基邻苯二甲酸盐；6—正丙基苯；7—乙苯；8—甲苯；9—苯

色谱柱：Jovex GPC KF-804，1 m×0.32 mm（内径）

流动相：四氢呋喃

流速：1.0 ml·min⁻¹

柱温：(a) 87℃；(b) 100℃

检测器：UV（254 nm）

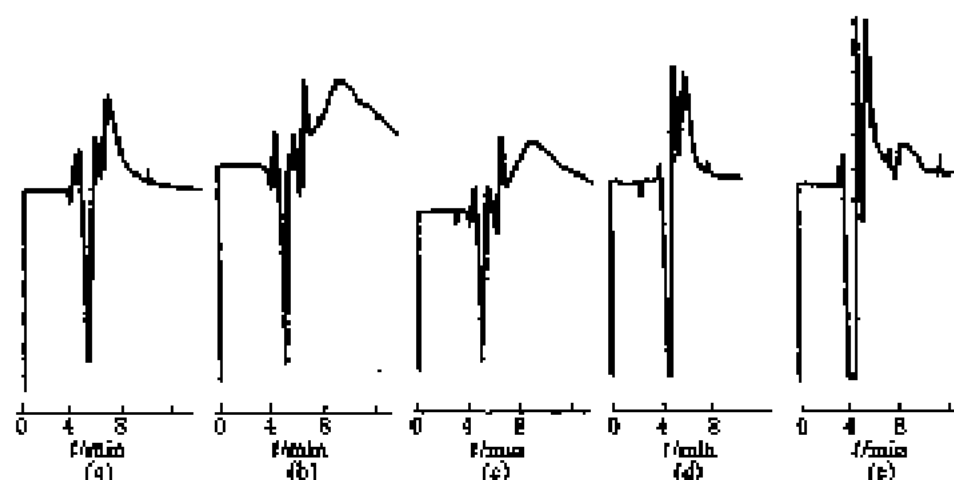


图 12-63 不同标准蛋白质色谱图^[54]

(a) 参质蛋白牛胸腺组蛋白色谱图；(b) 参质蛋白蛙血清蛋白色谱图；(c) 正常男性精液生殖细胞核膜蛋白色谱图；(d)、(e) 不育男性精液生殖细胞核膜蛋白色谱图

色谱柱：TSK G8000 SW 分子筛

流动相：2 mol·L⁻¹ 胍素

流速：1 ml·min⁻¹

检测器：2151 多波长 UV（216 nm）

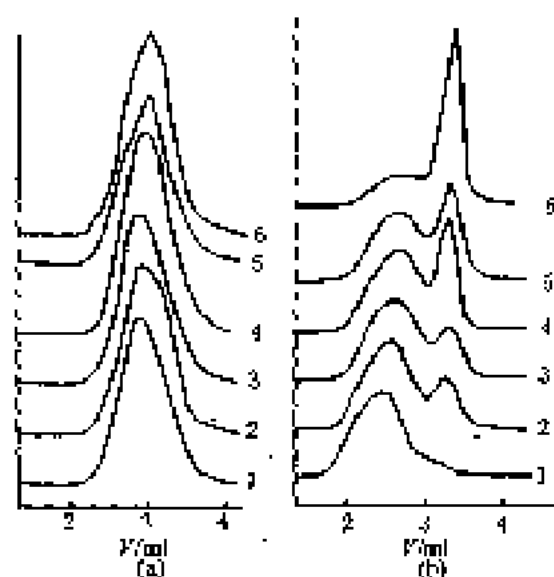


图 12-64 褐藻酸钠在不同离子强度下的高效凝胶色谱图^[45]

(a) Dextran T500; (b) 褐藻酸钠 (sodium alginate)

色质峰: 1— H_2O ; 2— $0.01 \text{ mol} \cdot L^{-1} NaCl$; 3— $0.05 \text{ mol} \cdot L^{-1} NaCl$; 4— $0.10 \text{ mol} \cdot L^{-1} NaCl$; 5— $0.20 \text{ mol} \cdot L^{-1} NaCl$; 6— $0.20 \text{ mol} \cdot L^{-1} NaCl$

色管柱: Bondagel E-High A

流动相: 石英玻璃重聚水

检测器: RID 6A 示差折光

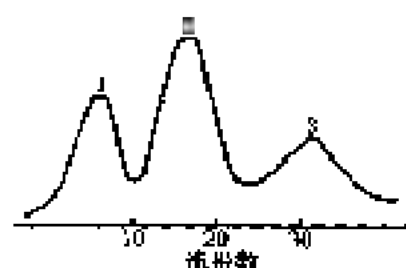


图 12-66 巴豆毒蛋白在凝胶柱上的分离谱图^[46]

色质峰: 1—巴豆毒蛋白 I; 2—巴豆毒蛋白 II; 3—非蛋白组分

分离柱: Sephadex G-75

洗脱剂: PBS

检测器: UV (280 nm)

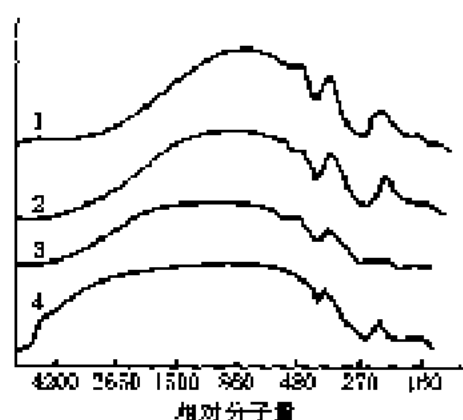


图 12-65 聚丙烯腈在不同合成阶段的 GPC 谱图

色质峰: 1~4 分别表示合成阶段的试样 (1) 原料加完后; 2—反应 30 min; 3—合成体系温度为 $100^\circ C$, 压力为 0.08 MPa 时; 4—反应结束时

色管柱: HSG-20, $500 \text{ mm} \times 7.8 \text{ mm}$ (内径)

流动相: 四氢呋喃

流速: $1 \text{ ml} \cdot \text{min}^{-1}$

柱温: $(90 \pm 0.5)^\circ C$

检测器: RI

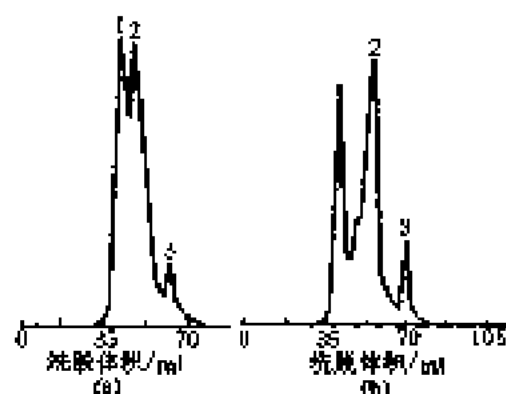


图 12-67 蛋白质分离的色谱图^[47]

(a) Acryldex A-200; (b) Acryldex A-300

色质峰: 1—蓝色右旋糖酐; 2—铁蛋白; 3—牛血清白蛋白

色管柱: $5.6 \text{ cm} \times 50 \text{ cm}$

流动相: Tris-HCl ($\text{pH} 7.5$)

流速: $13.14 \text{ ml} \cdot \text{min}^{-2} \cdot \text{h}^{-1}$

检测器: UV

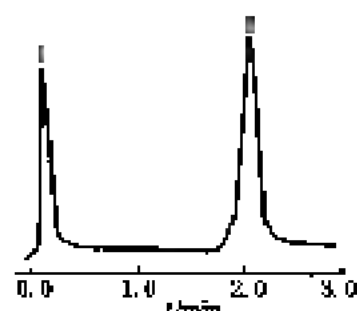


图 12-68 以蛋白质 A 为配基的膜色谱柱上 HlgG 分离谱图^[47]
色谱峰: 1—不纯物, 2—HlgG

色谱柱: 膜色谱柱, 20 mm×4 mm (内径)

流动相: 上样液: 50 mmol·L⁻¹磷酸缓冲液 (含 0.15 mol·L⁻¹NaCl) (pH7.0)

洗脱液: 0.2 mol·L⁻¹甘氨酸-盐酸缓冲液 (pH2.3) 上样后先用上样液冲洗 3 min, 再用洗脱液冲洗 2 min

检测器: UV (280 nm)

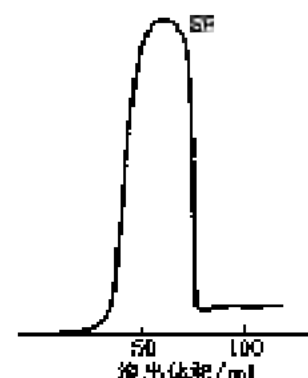
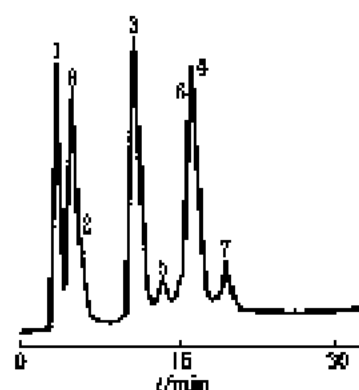


图 12-69 豆蔻种子粗提液在强阳离子交换柱上的分离谱图^[48]

分离柱: S-SPF, 2.6 cm×50 cm

洗脱液: 含 0.9% NaCl (pH7.2) 的 5 mol·L⁻¹磷酸盐缓冲液

检测器: UV (280 nm)



色谱峰: 1—细胞色素 c; 2—RNase; 3—溶菌酶; 4—BSA; 5—OVA; 6—α-糜蛋白酶; 7—α-糜蛋白酶原; 8—MYO

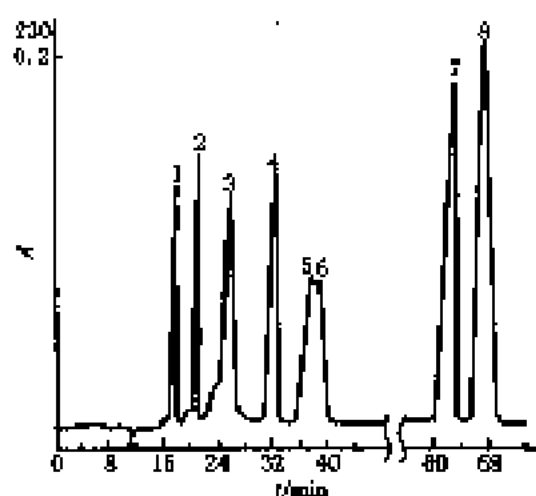
色谱柱: 丁基-TSK3000, 6 mm×150 mm

流动相: 0.1 mol·L⁻¹TPB, pH6.0, 磷酸盐从 1.5 mol·L⁻¹到 0 mol·L⁻¹ 60 min 线性梯度

流速: 1.0 ml·min⁻¹

检测器: UV

图 12-70 蛋白质排阻色谱分离谱图^[49]



色谱峰: 1—顺-5,6-二氢基-5,6-二氢胸苷; 2—胸苷; 3—cys-syn-Thy<>Thy, cs-syn-Ura<>Thy, cs-syn-Ura<>Ura; 4—尿苷+胸苷; 5—5-羟基-2-(5'-甲氧基噁唑-2'-one) 5,6-二氢胸苷; 6—5-二氢-5-(α-胸基)胸苷; 7—鸟苷; 8—腺苷

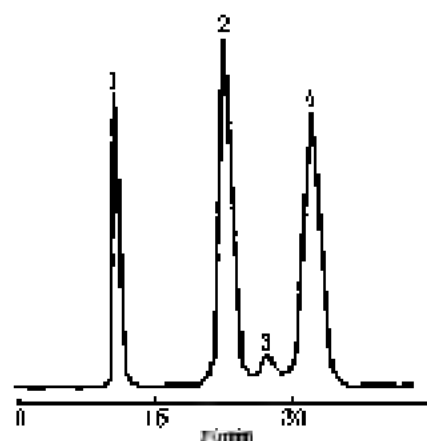
色谱柱: TSK G 1000P, 20 cm×0.75 cm (内径)

流动相: 水

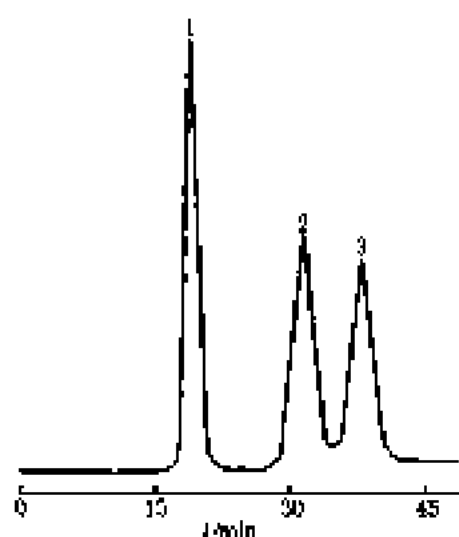
流速: 1.0 ml·min⁻¹

检测器: UV (250 nm)

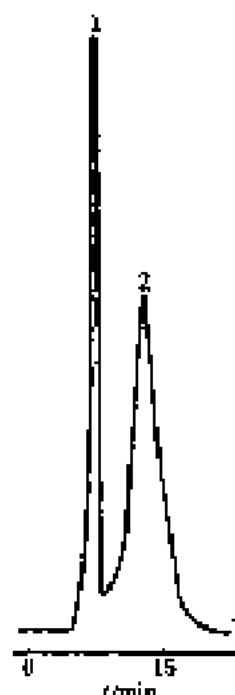
图 12-71 核苷碱基光导分解产物分离色谱图^[50]

图 12-72 核苷酸排阻分离色谱图 (一)⁽⁴⁰⁾

色谱峰: 1—噻西林林 A 片段; 2—3,6-二羟基-5,6-二氢胸苷 5'-单磷酸的 (+) 顺 (5*S*,6*R*) 和 (-) 顺 (5*R*,6*S*) 非对映体; 3—5,6-二羟基-5,6-二氢胸苷的 (+) 顺 (5*S*,6*R*), (-) 顺 (5*R*,6*S*), (-) 反 (5*S*,6*S*) 和反 (5*R*,6*R*) 的非对映体; 4—胸苷
 色谱柱: Fractogel HW 55P, 30 cm × 1.6 cm (内径)
 流动相: 0.1 mol · L⁻¹ 甲酸钠 (pH 6.5)
 流速: 1.0 ml · min⁻¹
 检测器: UV (254 nm)

图 12-73 核苷酸排阻分离色谱图 (二)⁽⁴⁰⁾

色谱峰: 1—2'-脱氧胸苷 5'-氧化物; 2—2-脱氧胸苷; 3—胸苷
 色谱柱: Fractogel HW 55P, 30 cm × 1 cm (内径)
 流动相: 0.1 mol · L⁻¹ 甲酸钠 (pH 6.5)
 流速: 1.0 ml · min⁻¹
 检测器: UV (254 nm)

图 12-74 核糖核酸的排阻分离色谱图⁽⁴⁰⁾

色谱峰: 1—脱氧核糖核酸; 2—核糖核酸
 色谱柱: Fractogel HW 55P, 30 cm × 1 cm (内径)
 流动相: 0.1 mol · L⁻¹ 甲酸钠 (pH 6.5)
 流速: 1.0 ml · min⁻¹
 检测器: UV (254 nm)

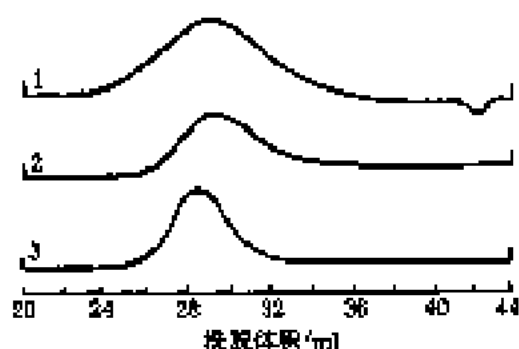


图 12-76 苯乙烯-丁二烯共聚产物的
体积排阻色谱图 (一)^[50]

色谱峰: 1—原试样; 2—分离除去聚苯乙烯后; 3—分离除去
聚苯乙烯和聚丁二烯后

色谱柱: Styragel 10⁴ mm, 10³ mm, 10² mm, 50 mm 串联

流动相: 甲苯

流 速: 1 ml · min⁻¹

检测器: 示差折光仪

柱 温: 25℃

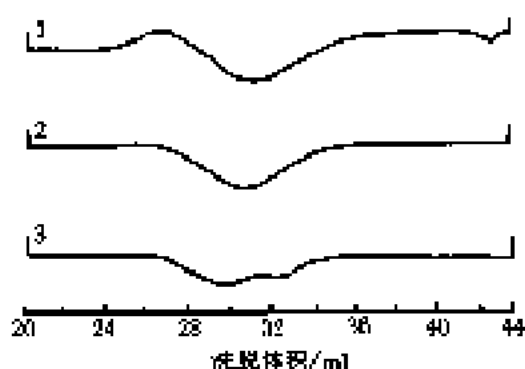


图 12-76 苯乙烯-丁二烯共聚产物的
体积排阻色谱图 (二)^[50]

色谱峰: 1—原试样; 2—分离除去聚苯乙烯后; 3—分离除去
聚苯乙烯和聚丁二烯后

色谱柱: Styragel 10⁴ mm, 10³ mm, 10² mm, 50 mm 串联

流动相: 甲苯

流 速: 1 ml · min⁻¹

检测器: 示差折光仪

柱 温: 25℃

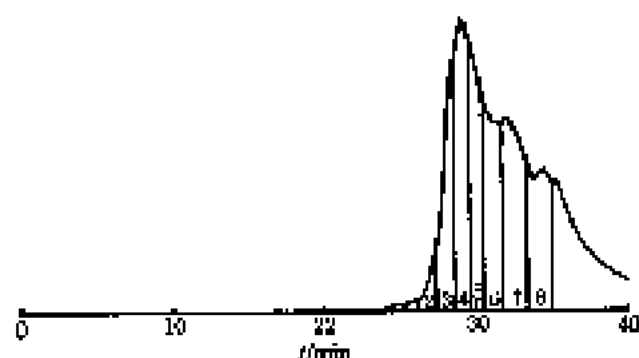


图 12-77 酪蛋白水解产物磷酸化排阻色谱图^[51]

色谱峰 (分子量范围): 1—10700~3667; 2—5657~1929; 3—1929~1670; 4—1670~694; 5—594~415; 6—415~183;
7—153~85; 8—86 以上

色谱柱: TSK G-200SW, 800 mm × 7.5 mm (内径)

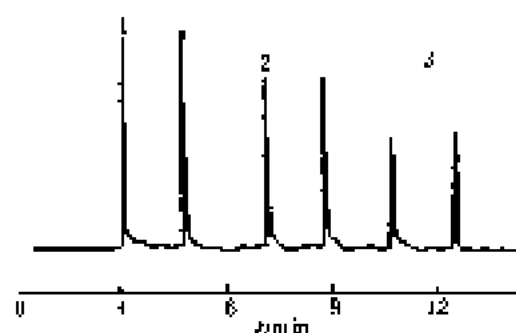
保护柱: 60 mm × 7.5 mm (内径)

流动相: 0.1% TFA + 0.12 mol · L⁻¹ 磷酸盐缓冲液 (pH5)

流 速: 0.75 ml · min⁻¹

柱 温: 22℃

检测器: Model 1040A 二极管阵列 (214nm)



色峰峰 (聚丙烯酰胺) : 1—100 mg · L⁻¹, 2—70 mg · L⁻¹, 3—40 mg · L⁻¹

色峰柱: TSK PW2000

流动相: Na₂HPO₄ + NaH₂PO₄ + 聚氧乙烯月桂醇

流速: 1.0 ml · min⁻¹

检测器: 17V (204 nm)

图 12-76 聚丙烯酰胺浓度-吸收高度关系谱图^[52]

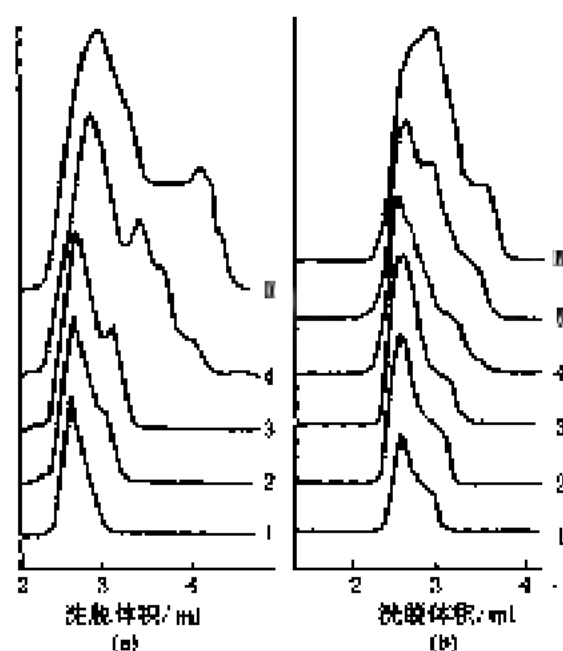


图 12-79 褐藻酸钠的凝胶色谱图^[53]

(a) 褐藻酸钠浓度对谱图的影响; (b) 洗脱体积对谱图的影响

色峰峰: (a) 褐藻酸钠的浓度

1—0.05%, 2—0.08%, 3—0.10%, 4—0.20%, 5—0.30%

(b) 褐藻酸钠的洗脱 (洗液浓度为 0.10%)

1—20 μl, 2—30 μl, 3—40 μl, 4—50 μl, 5—70 μl, 6—90 μl

色峰柱: Bondagel E-High A

流动相: 高盐缓冲液

检测器: 紫外光

洗液量: (a) 50 μl; (b) 0.10 %

检测器: RFL-6A 示波折光

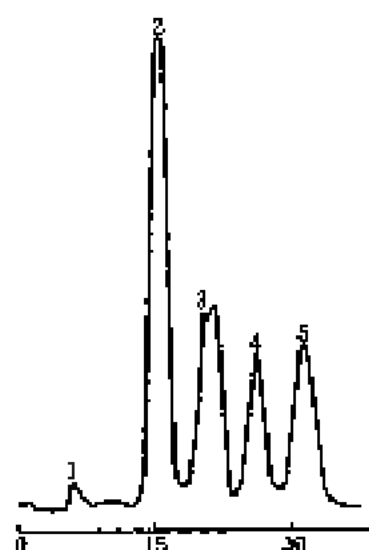


图 12-80 脱氧核糖核酸的
凝胶色谱图^[54]

色峰峰: 1—脱氧核糖核酸, 2—P1 水解物,
3—2'-脱氧核糖核苷酸, 4—2'-脱
氧核苷, 5—2'-脱氧腺苷

色峰柱: Fractagel HW 55P, 30 cm × 4 cm
(内径)

流动相: 0.1 mol · L⁻¹ 磷酸盐 (pH 6.5)

流速: 1.0 ml · min⁻¹

检测器: UV (254 nm)

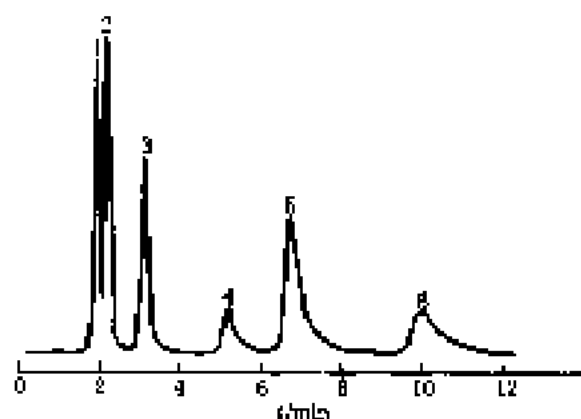
参 考 文 献

- 1 张庆林, 吴祖平, 曹树发. 色谱, 1997, 15, 79
- 2 周天平, 何光福, 彭文仲. 色谱, 1995, 13, 464
- 3 余琛, 洪育荣, 张强. 色谱, 1994, 12, 37
- 4 洪名敏, 何成胜, 张井立. 色谱, 1994, 12, 425
- 5 胡坪, 郭科夫, 陈卫东. 色谱, 1995, 14, 10
- 6 吕海清, 云岩峰. 色谱, 1995, 13, 10

- 7 唐桂源, 吴红京, 张怡. 色谱, 1994, 12, 374
- 8 商学明, 龙义成, 陆洲珍. 色谱, 1995, 13, 269
- 9 徐朝霞, 周树荣. 色谱, 1995, 13, 75
- 10 唐桂源, 吴红京. 色谱, 1993, 12, 63
- 11 Kautanen A. Chromatographia, 1990, 29(1/2)
- 12 郭治军, 赵景琳, 陈卫等. 色谱, 1999, 17(6), 670
- 13 Carol M, Colin E S, Anthony E F. Analyst, 1998, 123, 1532
- 14 Yoshida T. J Chromatogr. A, 1998, 811, 61
- 15 Shah J A, et al. J Chromatogr, 1992, 609, 195~203
- 16 赵秋雯, 张薇. 色谱, 1985, 3, 163
- 17 汤泰荣, 李映霞. 色谱, 1976, 14, 143
- 18 滕勇强, 程广西. 色谱, 1997, 15, 269
- 19 杨红, 陈加东, 蒋木庚. 色谱, 1997, 15, 266
- 20 Nakson U L, Coleman A L. Chromatographia, 1991, 32, 334
- 21 赵秋雯, 张永礼. 色谱, 1985, 3, 163
- 22 Cheng C A, Wu Q. J Chromatogr, 1987, 10(7), 1359~1368
- 23 陈岩平, 夏成东, 张乐华. 色谱, 1997, 15, 222
- 24 廖根照, 陈德, 毋红景. 色谱, 1993, 11, 253
- 25 张先刚, 文为. 色谱, 1997, 15, 147
- 26 金祖光, 沈晓航, 蔡厚隆. 色谱, 1992, 10, 158
- 27 黄秋芬, 梁于生, 中兴发等. 色谱, 2000, 18(2), 142
- 28 沈丽, 陈博群, 丛莉波. 色谱, 1998, 17(5), 427~430
- 29 程景文, 邵无梦. 色谱, 1997, 15(5), 405
- 30 陈昌峰, 李爱英, 李英等. 色谱, 1999, 17(5), 474
- 31 侯杏苗, 陈雪, 李洪强等. 色谱, 1999, 17(4), 297
- 32 陈开梅, 陈国亮, 曹瑞都. 色谱, 1998, 16(4), 297~300
- 33 郭力, 高振华, 于亿年. 1996, 14(3), 168
- 34 郭汉松, 张玉雯. 色谱, 1996, 14(5), 359
- 35 邵无梦, 刘宇新, 陈昌平. 色谱, 1996, 14(3), 213
- 36 袁启松, 袁下强夫, 矢岛健彦. 色谱, 1996, 14(3), 176
- 37 谢平凡, 刘树强, 张惠真. 色谱, 1997, 15, 193
- 38 孙定一, 柯桐, 陆兴东. 色谱, 1994, 12, 282
- 39 韩洪, 方文奎, 李喜朝. 色谱, 1995, 13, 487
- 40 王香, 赵恒德, 张国生. 色谱, 1995, 13, 208
- 41 罗康, 吴伟志, 李杰. 色谱, 1992, 10, 376
- 42 袁海仁, 柯梅, 李学. 色谱, 1995, 13, 464
- 43 Takasaka T. J Chromatogr, 1989, 12(6), 937
- 44 刘智敏, 何才云. 色谱, 1994, 12, 453
- 45 甘维利, 林权. 色谱, 1997, 15, 143
- 46 唐毅强, 陈明楚, 吴江翠. 色谱, 1994, 12, 245
- 47 周永梅, 郭汉松, 高利军. 色谱, 1998, 16(3), 195
- 48 吴红, 郝琼, 唐桂源. 色谱, 1997, 15, 153
- 49 Polverelli M, Montez L. J Chromatogr, 1991, 539, 373~381
- 50 周树时, 赵石林. 色谱, 1991, 9, 348
- 51 Lemieux L, Fox J M, Gualicheon D, et al. Chromatographia, 1991, 33, 11, 12
- 52 叶美玲, 傅冬, 陆虎和. 色谱, 1995, 13, 17
- 53 魏立安. 高效液相色谱法纯化蛋白质理论与技术. 西安: 陕西科学技术出版社, 1993. 235

第十三章 生物大分子、异构体及手性化合物色谱图

第一节 蛋白质、肽和核苷色谱图



色谱峰: 1—胸腺嘧啶; 2—尿嘧啶; 3—5'-胞苷单磷酸; 4—5'-腺苷单磷酸; 5—5'-肌苷单磷酸; 6—5'-鸟苷单磷酸
色谱柱: MPS-DEA, 150 mm×4.6 mm (内径)
流动相: 0.06 mol·L⁻¹ KH₂PO₄, pH3
流速: 1.0 ml·min⁻¹
检测器: UV (254 nm)

图 13-1 核苷及核苷酸混合样品分离色谱图^[1]

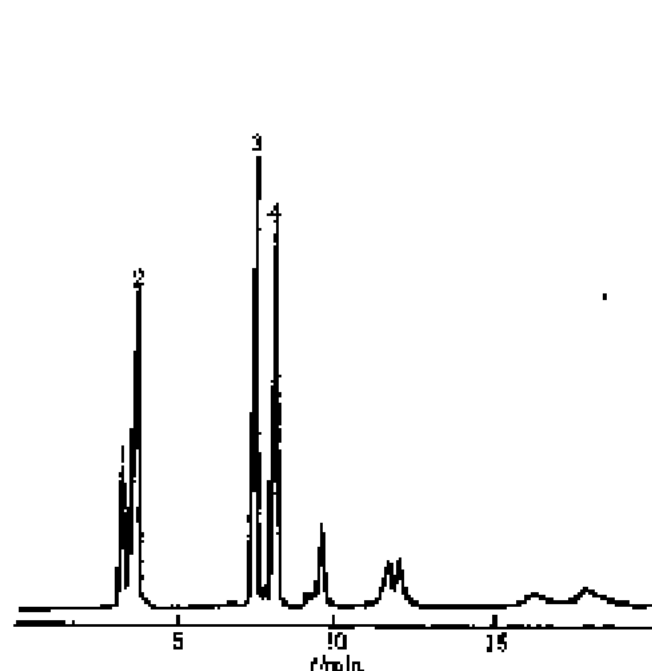


图 13-2 1', 3'-和 5'-磷酸核苷酸分离色谱图^[2]

图 a 是样品; 图 b RNA 水解液; 图 c 碱 RNA 水解液
色谱峰: 1—2', 3'-cCMP; 2—2', 3'-cAMP; 3—2', 3'-cUMP; 4—
5', 4'-cUMP

色谱柱: NucleoPac PA 100

流动相: A 水 (pH6.8); B 磷酸氢钠 (pH7.9)

梯度冲洗:

时间/min	φ(B)/%
0	5
20	20
5	100

流速: 1 ml·min⁻¹

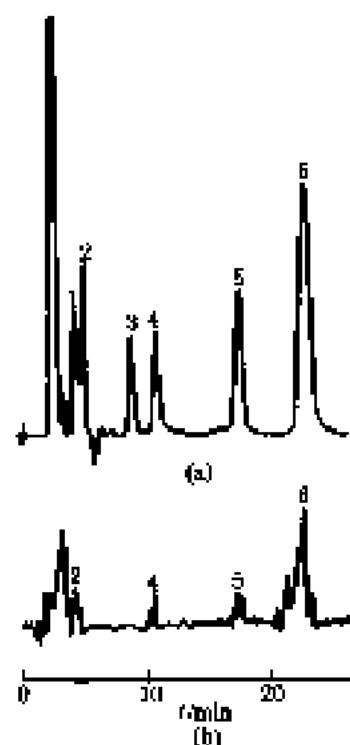


图 13-3 Ehrlich 鼠腹水细胞悬液
提取液中核苷酸分离色谱图^[3]

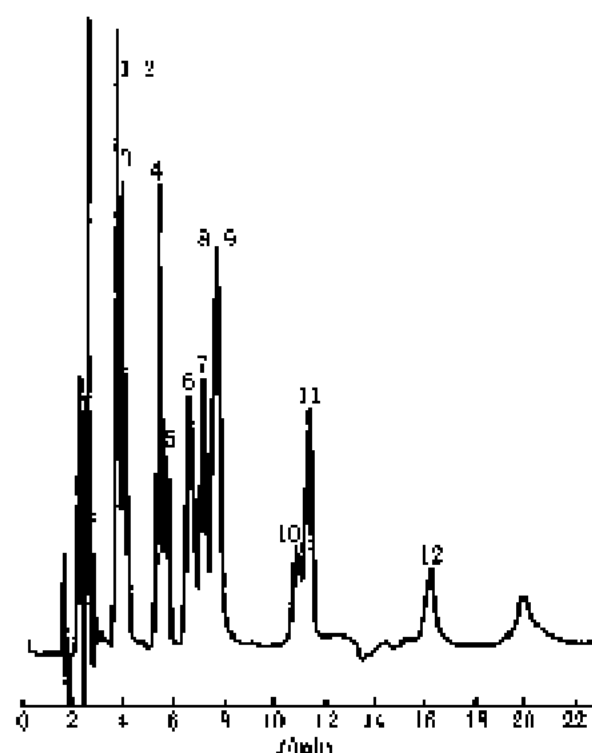
色谱峰: 1—TMP+GMP; 2—AMP; 3—GDP; 4—
ADP; 5—GTP; 6—ATP

色谱柱: Nova-Pak C₁₈柱, 100 mm×3 mm, 5 μm 颗粒

流动相: 10 mmol·L⁻¹ (NH₄H₂PO₄), 2 mmol·L⁻¹ PIC
试剂 A, 18% 乙醇

流速: 1.5 ml·min⁻¹

检测器: (a) UV=254 nm; (b) 放射检测



色谱峰: 1, 2—(dG, dGMP); 3—dA; 4—dAMP;
5—dGDP; 6—ddA; 7, 8—mAMP, mdA;
9—ddGTP; 10—AZT; 11—dATP; 12—
ddATP

色谱柱: 填充 Adsorbosphere HS C₁₈, 150 mm × 4.6 mm (内径), 5 μm

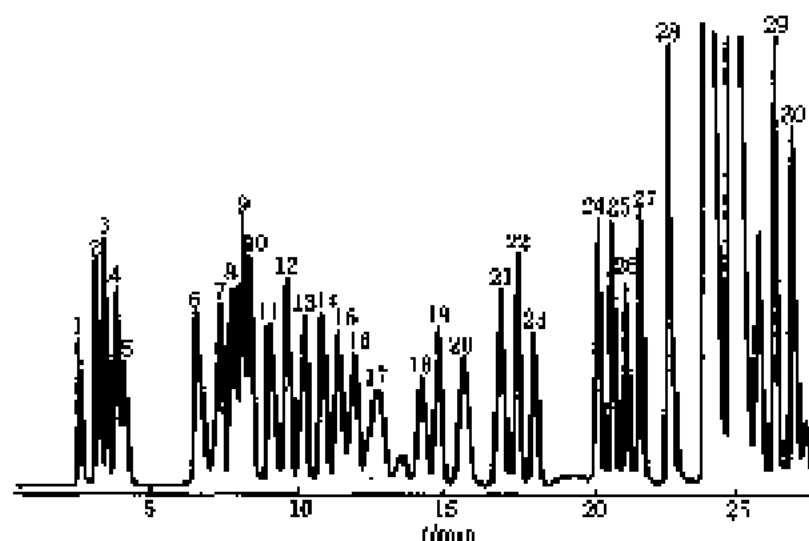
柱温: 55°C

流动相: 0.05 mol · L⁻¹ (NH₄)₂PO₄ + 2.0 mmol · L⁻¹ TRAA + p—7.0% 乙醇

流速: 1.0 ml · min⁻¹

检测器: UV (252 nm)

图 13-4 13 种核苷和核苷酸离子对色谱图^[1]



色谱峰: 1—脯氨酸氨酸; 2—天冬氨酸;
3—谷氨酸; 4—α-氨基己二酸;
5—5-羧甲基半胱氨酸; 6—羟脯氨酸 (Hyp); 7—
天冬氨酸; 8—谷氨酸; 9,
10—丝氨酸; 11—组氨酸;
12—甘氨酸; 13—Thr; 14—
β-Ala; 15—Ala; 16—牛磺酸;
17—Pro; 18—Iys; 19—
ε-氨基丁酸; 20—Arg; 21—
缬氨酸; 22—Val; 23—
Met; 24—Leu; 25—Leu;
26—正亮氨酸; 27—Phe; 28—Iys;
29—鸟氨酸; 30—Ile

色谱柱: Spherisorb ODS 2, 150 mm × 4.6 mm (内径)

柱温: 35°C

图 13-5 30 种氨基酸 (PMOC 衍生化) 色谱图^[1]

流动相: 磷酸 A 0.02 mol · L⁻¹ (NH₄)₂ H₂PO₄ (pH 6.8) + 甲醇 (体积比 = 95 : 5)

溶剂 B 甲醇—水 (体积比 = 90 : 10)

梯度冲洗:

t/min	φ(B)/%
0	18
2	18
3	23
10	23
20	45
21	48
26	48
28	55
29	95

流速: 1 ml · min⁻¹

检测器: 荧光 (λ_{ex} = 235 nm, λ_{em} = 315 nm)

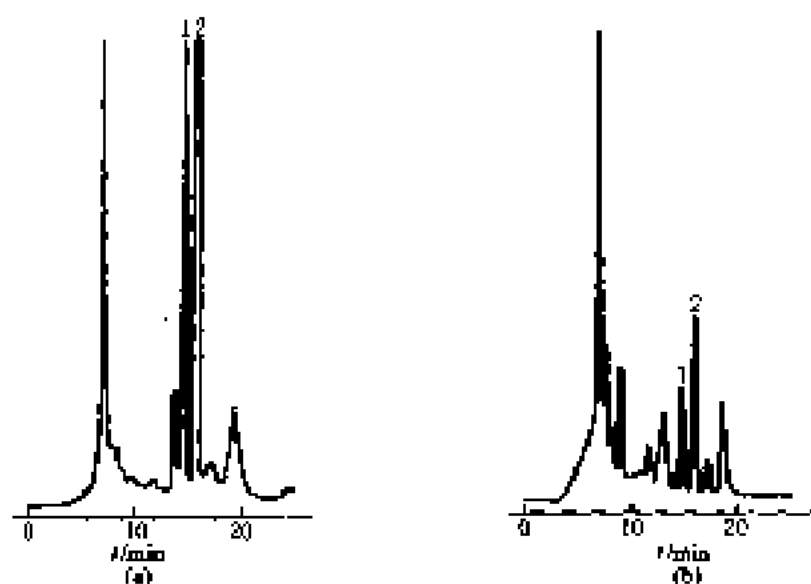


图 12-6 直肠癌病人的尿样中 5, 6-二羟尿苷和伪尿苷分离色谱图^[4]
(a) 干燥前; (b) 干燥后

色谱峰: 1—5, 6-二羟尿苷; 2—伪尿苷

色谱柱: 两根连在一起 Capcell 键合 C_{18} (Shimadzu), $30\text{ cm} \times 4.6\text{ mm}$

流动相: 水

流 速: $0.8\text{ ml} \cdot \text{min}^{-1}$

检测器: UV (250 nm)

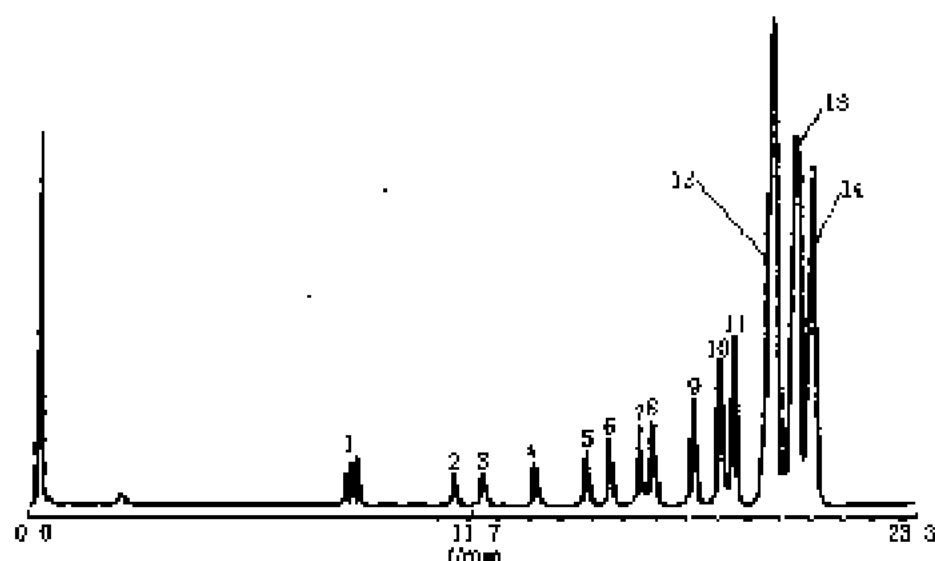


图 13-7 DNA 碎片分离色谱图^[4]

色谱峰: 1—bp24, bp40, bp42; 2—bp48; 3—bp66; 4—bp82; 5—bp100; 6—bp116; 7—bp140; 8—bp151; 9—bp206; 10—bp249; 11—bp331; 12—bp413, bp417, bp427, bp500; 13—563, 713; 14—726

色谱柱: TSK-Gel DEAE-NPR (苯孔树脂) (ToyoSoda), $3.5\text{ cm} \times 4.6\text{ mm}$ (内径), $2.6\text{ }\mu\text{m}$

流动相: A $25\text{ mmol} \cdot \text{L}^{-1}\text{ Na}_2\text{PO}_4$ (pH7)

B $25\text{ mmol} \cdot \text{L}^{-1}\text{ Na}_2\text{PO}_4$ (pH7) + $1\text{ mol} \cdot \text{L}^{-1}\text{ NaCl}$

线性梯度冲洗: $45\% \text{ B} \xrightarrow{60\text{ min}} 100\% \text{ B}$

流 速: $1.8\text{ ml} \cdot \text{min}^{-1}$

温 度: 室温

检测器: UV (254 nm)

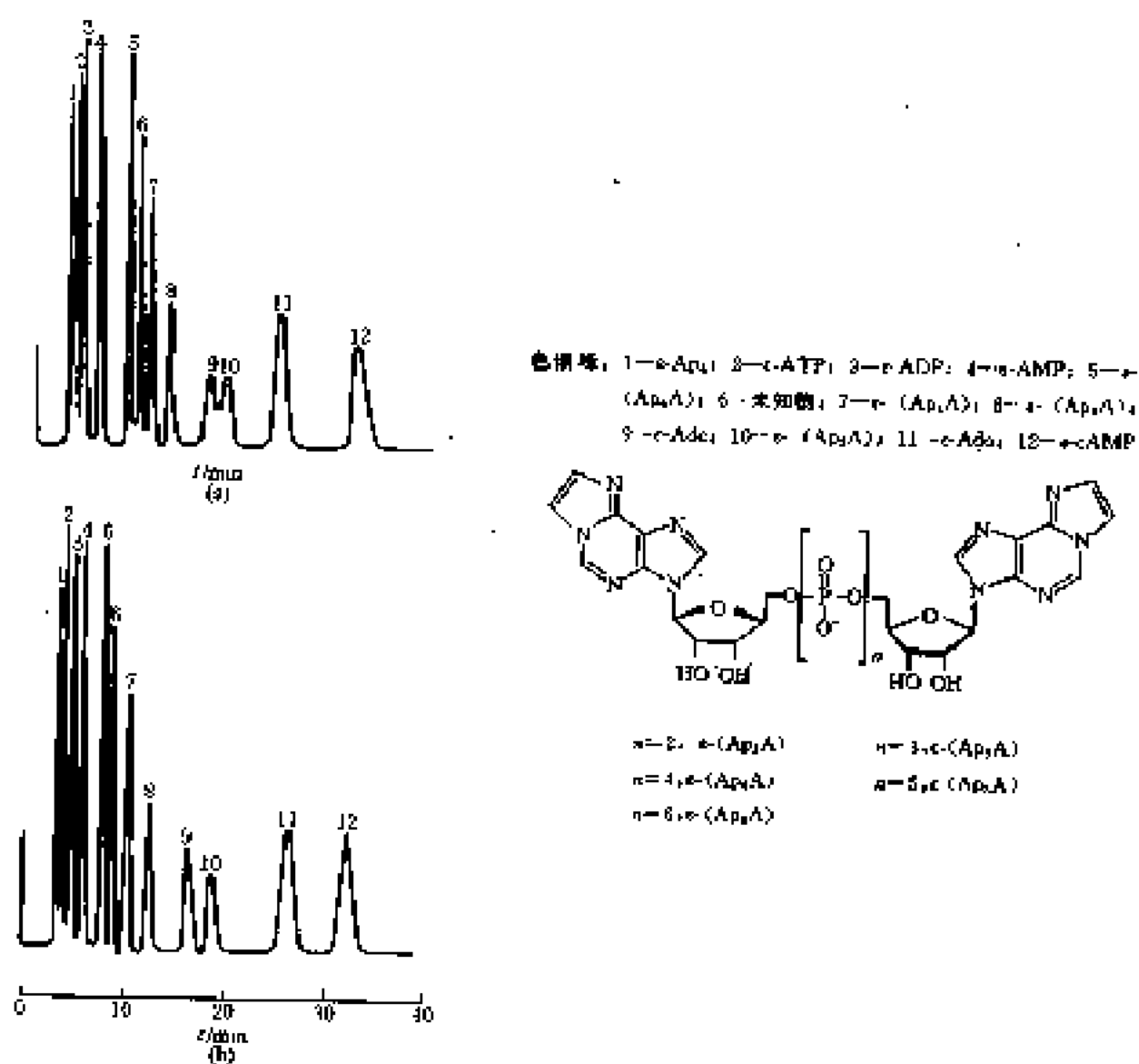


图 13-8 ATP 及相关化合物分离色谱图^[2]

色谱柱: μ -Bondapak C₁₈

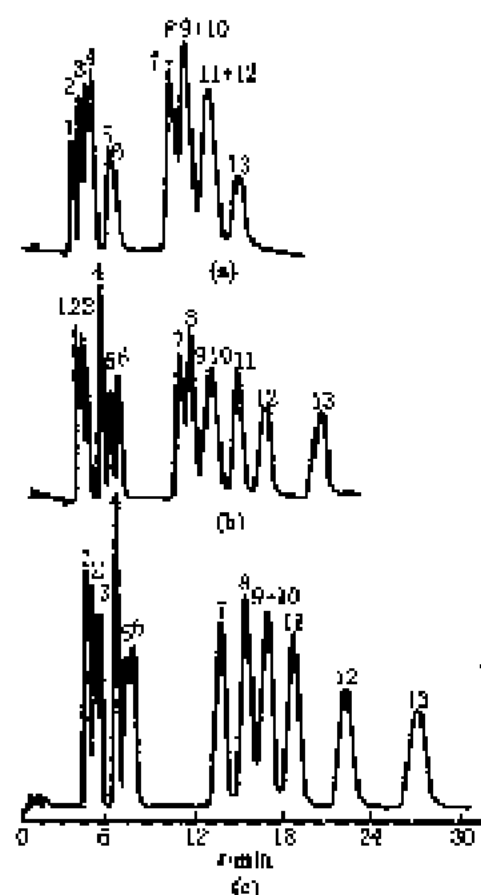
流动相: (a) KH₂PO₄ (pH6.5) + 10% 甲醇;

(b) 4% 乙醇

流速: 1.5 mL · min⁻¹

检测器: (a) UV (264 nm);

(b) 荧光 (300~400 nm)



色谱峰: 1—Gly-Phe; 2—Gly-Leu; 3—Gly-Ile; 4—Gly-Met;
5—Gly-Val; 6—Gly-Tyr; 7—Gly-Ala; 8—Gly-Glu;
9—Gly-Asp; 10—Gly-Thr; 11—Gly-Gly; 12—Gly-Ser;
13—Gly-Asn

色谱柱: 羧化 Poly(hydroxyethyl A) 载体, 200 mm × 4.6 mm
(内径)

柱温: 室温

流动相: 80%乙醇 + TEAP (等度冲洗)

(a) 40 mmol · L⁻¹ (pH3.0);

(b) 40 mmol · L⁻¹ (pH2.8);

(c) 10 mmol · L⁻¹ (pH2.8)

流速: 2 ml · min⁻¹

检测器: UV (280 nm)

图 13-9 二肽标准物色谱图^[3]

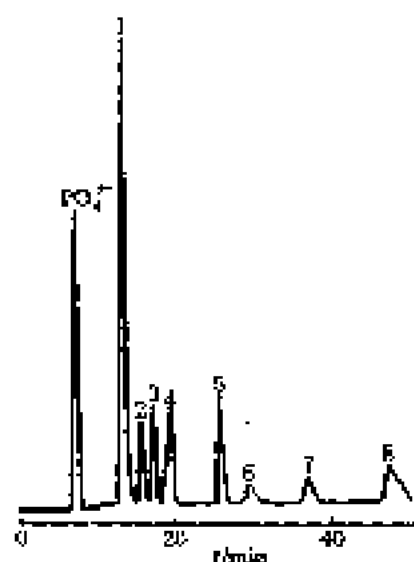


图 13-10 人工合成核苷酸分离色谱图^[10]

色谱峰: 1—IMP; 2—AMP; 3—UMP; 4—ADP; 5—ATP; 6—TMP; 7—UMP; 8—GMP

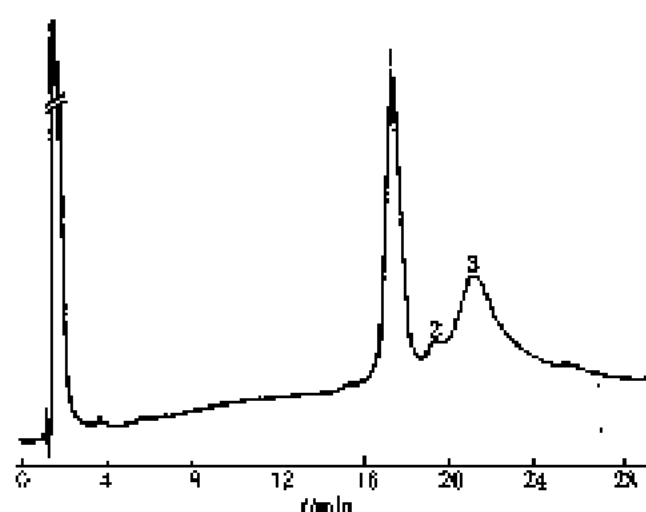
色谱柱: 羧化 Develco ODS S, 250 mm × 4.6 mm (内径)

柱温: 128℃

流动相: 溶液 A 醋酸钠 (pH3.4) + 1 mmol · L⁻¹ 氯化四丁胺
溶液 B 5 mmol · L⁻¹ 柠檬酸 + 乙醇 (体积比 = 98 : 2)

流速: A, 0.7 ml · min⁻¹; B, 0.1 ml · min⁻¹

检测器: UV (280 nm)



色谱峰: 1—清蛋白; 2—转铁蛋白; 3—IgG
色谱柱: 填充 SUPPEL-COSIL LC 18NT 载体, 100
mm×4.6 mm (内径), 5 μm

柱温: 室温

流动相: 溶剂 A 3.0 mmol·L⁻¹ (NH₄)₂SO₄ + 0.5
mmol·L⁻¹ NH₄Ac (用冰乙酸调至 pH6.0)

溶剂 B 0.5 mol·L⁻¹ NH₄Ac (用冰乙酸调
至 pH5.0)

线性梯度冲洗

t/min	μ% A	
	A	B
0	100	0
20	0	100
30	0	100
25	100	0
60	100	0

流速: 1 ml·min⁻¹
检测器: UV (280 nm)

图 13-11 人血清蛋白分离色谱图^[10]

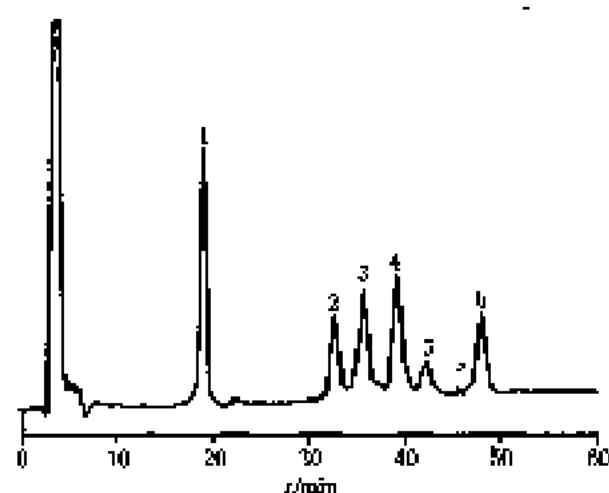


图 13-12 人血清胰岛素分离色谱图 (一)^{UV}

色谱峰: 1—胰岛素; 2—分裂 (32-33) 胰岛素原; 3—脱 (31-32) 胰岛素原; 4—胰岛素原; 5—分裂 (65-64) 胰岛素原; 6—脱 (64-65) 胰岛素

色谱柱: Nucleosil 300-5C₁₈ (Macherey-Nagel), 25.0 cm×4.0 mm
(内径), 5 μm

流动相: A 0.1%三氟乙酸

B 0.1%三氟乙酸+60%乙醇

梯度条件: 0~60 min 49%B至 51%B

检测器: UV (210 nm)

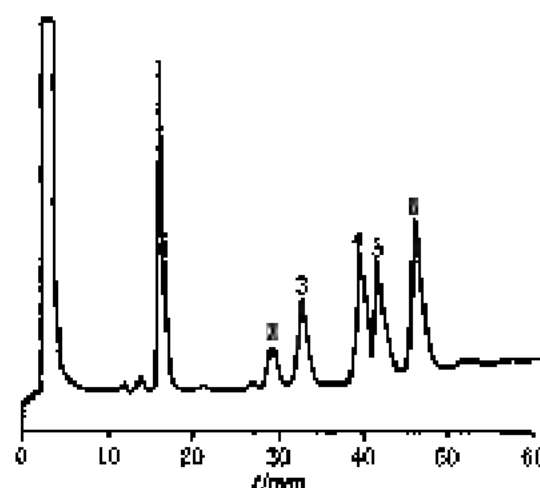


图 13-12 人血清胰岛素分离色谱图 (二)^{UV}

色谱峰: 1—胰岛素; 2—分裂 (65-66) 胰岛素原; 3—
分裂 (32-33) 胰岛素原; 4—脱 (64-65) 胰
岛素原; 5—脱 (31-32) 胰岛素原; 6—胰岛素

色谱柱: LiChrosorb RP-18 (Merck), 25.0 cm×4.0 mm
(内径), 5 μm

流动相: A 0.125 mol·L⁻¹ (NH₄)₂SO₄ + 22.5%乙醇
(pH4.0)

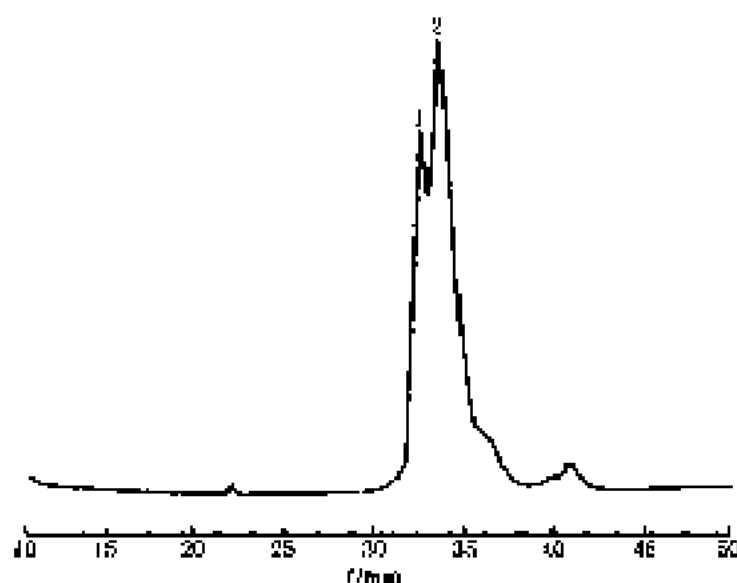
B 0.125 mol·L⁻¹ (NH₄)₂SO₄ + 45.0%乙醇
(pH4.0)

梯度条件: 0~6 min, 22%至 30%B

流速: 1.0 ml·min⁻¹

温度: 22~25℃

检测器: UV (210 nm)

图 13-14 人体生长激素分离色谱图^[14]

色谱峰: 1—5-脱甲基-MetoCys 53, 145, 182, 189 人体生长激素;

2—MetoS-脱甲基-Cys 53, 145, 182, 189 人体生长激素

色谱柱: Vydac C₁₈ (Separations 美国) 30 nm 孔, 25 cm×4.6 mm (内径)-5 μm

流动相: A 0.1%—氯乙酸的 40% B 水溶液

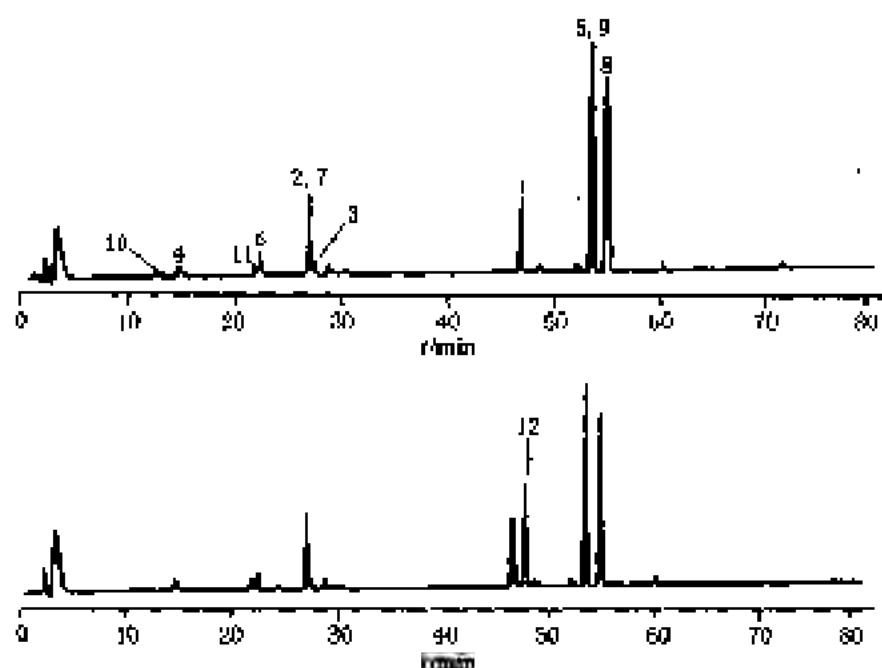
B 0.1%—氯乙酸的乙醇

梯度程序: 40% B $\xrightarrow{10 \text{ min}}$ 52% B $\xrightarrow{30 \text{ min}}$ 53.8% B $\xrightarrow{30 \text{ min}}$ 54.5% B $\xrightarrow{40 \text{ min}}$ 60% B $\xrightarrow{50 \text{ min}}$ 75% B

流 速: 0.5 ml·min⁻¹

柱 温: 35°C

检测器: UV (214 nm)

图 13-15 人体松弛肽与合成肽 Asp⁸ A1~9 分离色谱图^[15]

色谱峰: 1—A1~9; 2—A10~17; 3—A18; 4—A19~27; 5—A28~34; 6—B1~9; 7—B10~13; 8—B14~17; 9—B18~30; 10—B26~30; 11—B31; 12—B32~33; 13—Asp⁸T₁ (A、B 分别表示两条肽, 并称为氨基酸链长)

色谱柱: Nucleosil C₁₈ (Macherey-Nagel) 30 nm 孔, 15 cm×4.6 mm (内径)-5 μm

流动相: A 0.08% 二氯乙酸的 3% B 水溶液;

B 0.08% 二氯乙酸的乙醇

梯度程序: 54 min 内从 0% B 变至 50% B, 然后在 40 min 内变至 70% B

流 速: 1.0 ml·min⁻¹

柱 温: 55°C

检测器: UV (214 nm)

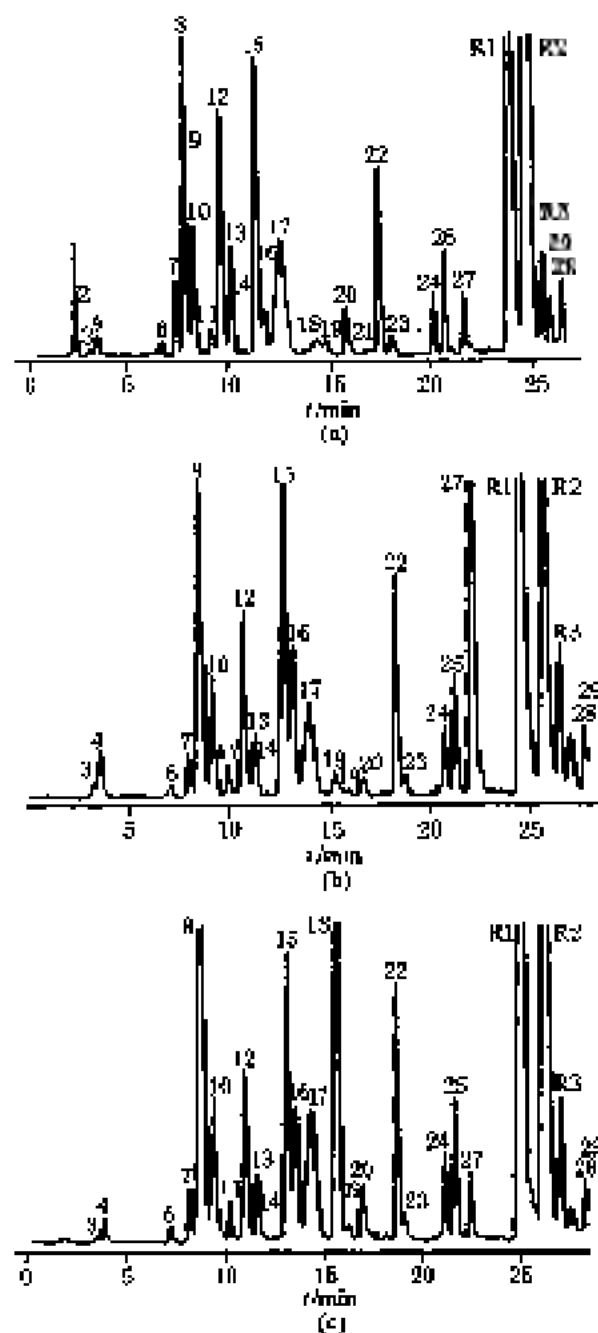


图 13-16 3 种氨基酸成人血浆 (FMOC 衍生化) 色谱图^[4]

(a) 正常成人血浆; (b) 患有苯丙酮酸尿症成人血浆; (c) 4 岁小童患有苯丙酮酸尿症的血浆

色峰峰: 1—苯丙氨酸; 2—Asp; 3—Glu; 4— α -氨基己二酸; 5—3-羟基丁酸半胱氨酸; 6—丝氨酸; 7—Asn; 8—Gln; 9—瓜氨酸; 10—Ser; 11—His; 12—Gly; 13—Thr; 14— β -Ala; 15—Ala; 16—Tyr; 17—Pro; 18—Gly; 19— α -酮丁酸; 20—Arg; 21—高缬氨酸; 22—Val; 23—Met; 24—Ile; 25—Leu; 26—正亮氨酸; 27—Phe; 28—鸟氨酸; 29—Lys

色谱柱: 150 mm \times 4.6 mm (内径), 填充 SpBensorb 3 μ m (VDS)

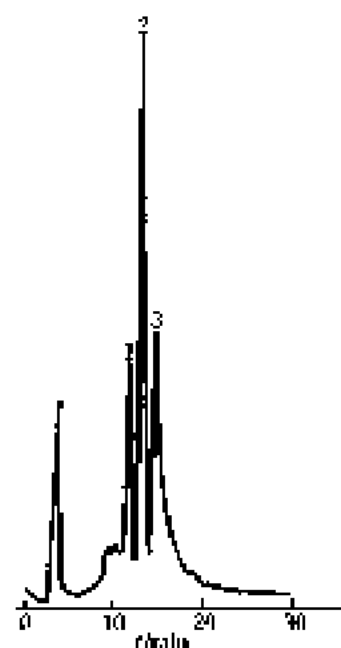
保护柱: 16 mm \times 2.2 mm (内径), Brownlee Newguard 7 μ m ODS

流动相 溶液 A: 0.02 mol \cdot L⁻¹ (NH₄)₂HPO₄ (pH6.5) + 甲醇 (体积比 = 85 : 15)
溶液 B: 甲醇-水 (体积比 = 90 : 10)

梯度冲液	t/min	$\phi(B)/\%$
	0	18
	2	18
	3	23
	10	23
	20	36
	21	48
	26	48
	28	55
	29	95

流速: 1 ml \cdot min⁻¹

检测器: 荧光, λ_{ex} = 263 nm; λ_{em} = 313 nm



色谱峰: 1—核糖核酸酶 A; 2—胰岛素; 3—舒组织肽

色谱柱: 填充 PRP-S (Hamilton) 载体, 50 mm×4.1 mm (内径), 10 μm

柱温: 室温

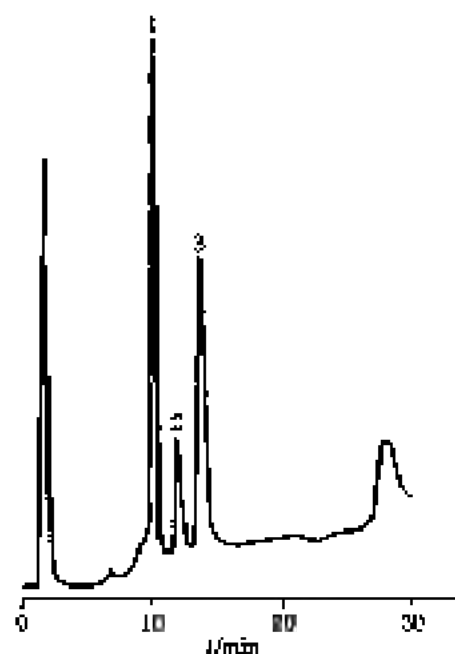
流动相: 溶剂 A 50 mmol·L⁻¹ NaOH+0.1% 三氯乙酸水溶液;

溶剂 B 0.1% 三氯乙酸/乙醇

线性梯度冲洗: 0% B $\xrightarrow{30 \text{ min}}$ 50% B

流速: 0.5 mL·min⁻¹ 检测器: UV (220 nm)

图 13-17 胰岛素、舒组织肽和核糖核酸酶 A 分离色谱图 (一)^[15]



色谱峰: 1—舒组织肽; 2—核糖核酸酶 A; 3—胰岛素

色谱柱: 填充 PRP-S (Hamilton) 载体, 50 mm×4.1 mm (内径), 10 μm

柱温: 室温

流动相: 溶剂 A 0.1% 三氯乙酸+水 (pH2.0);

溶剂 B 0.1% 三氯乙酸+乙醇

线性梯度冲洗: 0% B $\xrightarrow{30 \text{ min}}$ 30% B

流速: 0.5 mL·min⁻¹

检测器: UV (215 nm)

图 13-18 胰岛素、舒组织肽和核糖核酸酶 A 分离色谱图 (二)^[16]

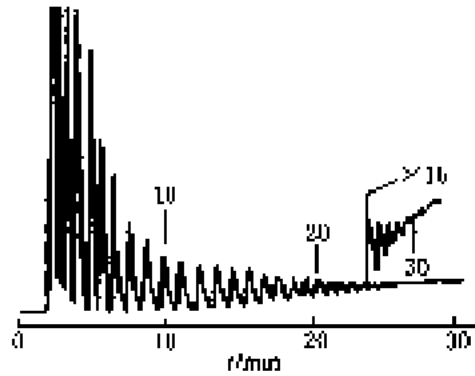


图 13-19 腺苷嘧啶核苷酸的部分
酶水解色谱图 (一)^[1]

色谱柱: 聚酰胺吸附层

色谱柱: 氧化硅, 150 $\mu\text{m} \times 1.6 \text{ m}$ (内径)

流动相: 将 A 0.1 mol $\cdot \text{L}^{-1}$ 乙酸铵

溶液 B 10% 糖水溶液

梯度冲洗: 5% B $\xrightarrow{60 \text{ min}}$ 50% B

流 速: 2 ml $\cdot \text{min}^{-1}$

检测器: UV (260 nm)

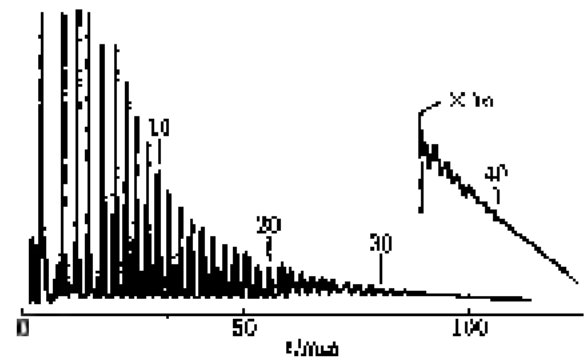


图 13-20 腺苷嘧啶核苷酸部分酶水解色谱图 (二)^[1]

色谱柱: 聚酰胺吸附层

色谱柱: 10 μm 氧化硅

流动相: 溶液 A 10 mmol $\cdot \text{L}^{-1}$ NaClO_4 + 10 mmol $\cdot \text{L}^{-1}$ 二乙酸铵

缓冲液 (pH 7.5) 1 mmol $\cdot \text{L}^{-1}$ Na_2EDTA

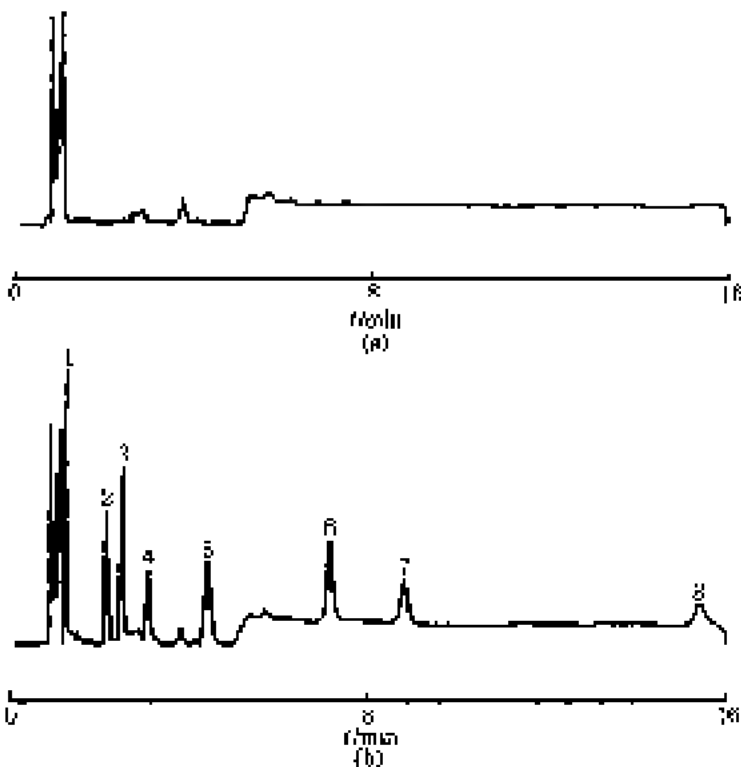
溶液 B 0.5 mol $\cdot \text{L}^{-1}$ NaClO_4 + 10 mmol $\cdot \text{L}^{-1}$ 二乙酸铵

缓冲液 (pH 7.5) 1 mmol $\cdot \text{L}^{-1}$ EDTA

线性梯度冲洗: 5% B $\xrightarrow{150 \text{ min}}$ 50% B

流 速: 1.0 ml $\cdot \text{min}^{-1}$

检测器: UV (260 nm)



色谱峰: 1—磺胺; 2—磺胺噻唑; 3—磺
胺嘧啶; 4—磺胺二甲苯嘧啶;
5—磺胺二甲嘧啶; 6—
Sulfamethoxazole; 7—磺胺嘧啶;
8—磺胺二甲嘧啶

色谱柱: 填充 Supelcoasil LC-18 颗
粒, 75 $\mu\text{m} \times 4.6 \text{ mm}$ (内径),
3 μm

柱 温: 室温

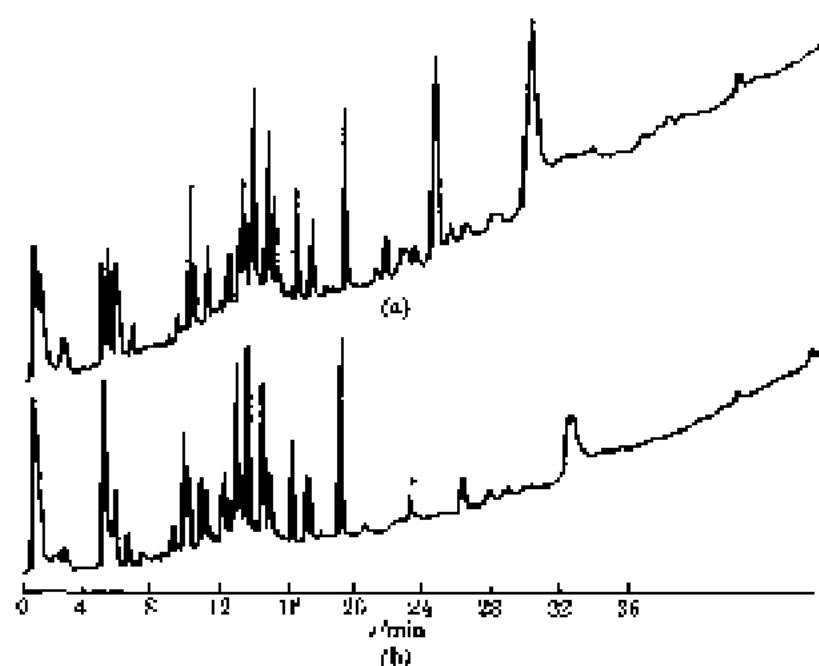
流动相: 0.017 mol $\cdot \text{L}^{-1}$ 草酸 + 乙醇
(体积 90:10)

流 速: 2 ml $\cdot \text{min}^{-1} \xrightarrow{5 \text{ min}} 1 \text{ ml} \cdot \text{min}^{-1} \xrightarrow{5 \text{ min}} 2 \text{ ml} \cdot \text{min}^{-1} \xrightarrow{10 \text{ min}} 10 \text{ ml} \cdot \text{min}^{-1}$

检测器: 二极管阵列 (270 nm)

图 23-21 牛奶的二氯甲烷萃取物分离色谱图^[14]

(a)空白牛奶 (b)用标准磺胺类 (250 ng $\cdot \text{ml}^{-1}$) 和丙酮磺胺二甲嘧啶 (25 ng $\cdot \text{ml}^{-1}$) 强化的牛奶



色谱柱: 牛血清蛋白代换物
 色谱柱: 50 mm × 4.6 mm (内径)
 (a) SUPELCOSIL LC-404,
 5 μm
 (b) SUPPLCOSIL LC-368,
 5 μm

并 注: 至真
 流动相: 溶剂 A 磷酸水 + 三氟乙酸
 (体积比 = 1000 + 1)
 溶剂 B 乙醇 + 磷酸水 + 二
 氟乙酸 (体积比 = 800 +
 200 + 0.5)

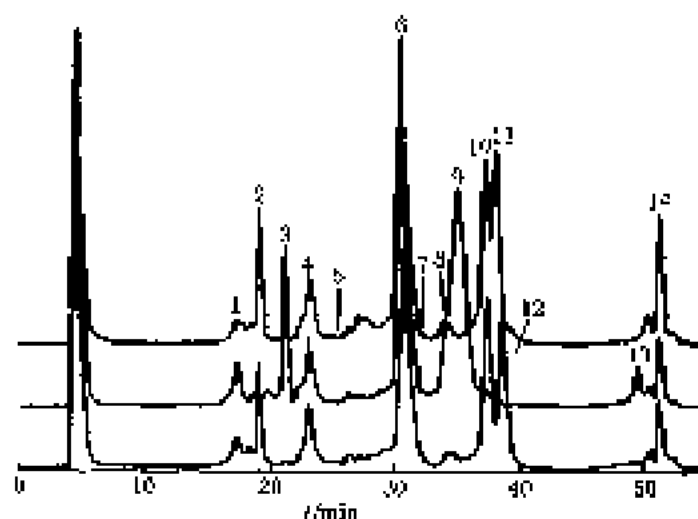
线性梯度冲洗:

时间, min	%, %	
	A	B
0	80	10
40	0	100
70	0	100
70.1	80	10

流 速: 0.5 mL · min⁻¹

检测器: UV (220 nm)

图 13-22 牛血清蛋白代换物分离色谱图^[10]



色谱峰: 1—K-酪蛋白 A + -B (带 富);
 2—K-酪蛋白 A (纯-自由); 3—
 K-酪蛋白 D (纯-自由); 4—α₂-
 酪蛋白 A; 5—α₂-酪蛋白 A
 (只指出位置); 6—α₂-酪蛋白
 B; 7—α₂-酪蛋白 D (只指
 出位置); 8—α₂-酪蛋白 B; 9—β₂-
 酪蛋白 B; 10—β₂-酪蛋白 A1;
 11—β₂-酪蛋白 A2; 12—β₂-酪蛋
 白 A3; 13—β₂-酪蛋白 B; 14—
 β₂-酪蛋白 A

图 13-23 牛血清蛋白遗传变体的分离色谱图^[10]

色谱柱: HiPore RP-318 (C₁₈) (Bio-Rad), 250 mm × 4.6 mm (内径), 5 μm

流动相: A 乙醇 + 水 + 三氟乙酸 (体积比 = 10 + 90 + 0.1);

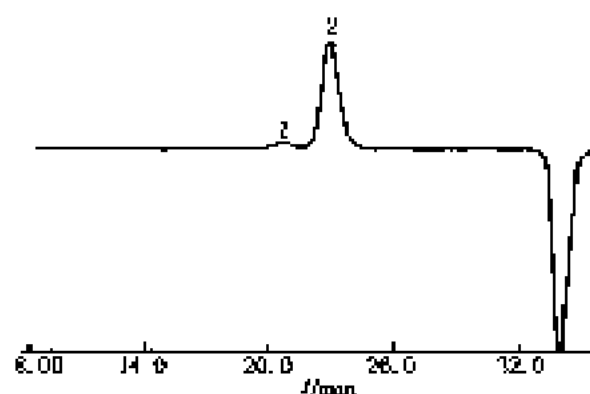
B 乙醇 + 水 + 三氟乙酸 (体积比 = 90 + 10 + 0.07)

梯度条件: 15 min 26% B 至 35% B 保持 7 min; 3 min 35% B 至 47% B 保持 7 min; 18 min 37% B 至 45% B 保持 5 min 至
 70% B

流 速: 0.8 mL · min⁻¹

温 度: 30°C

检测器: UV (220 nm)

图 13-24 牛血清蛋白色谱图^[20]

色谱峰: 1—二聚体; 2—单体

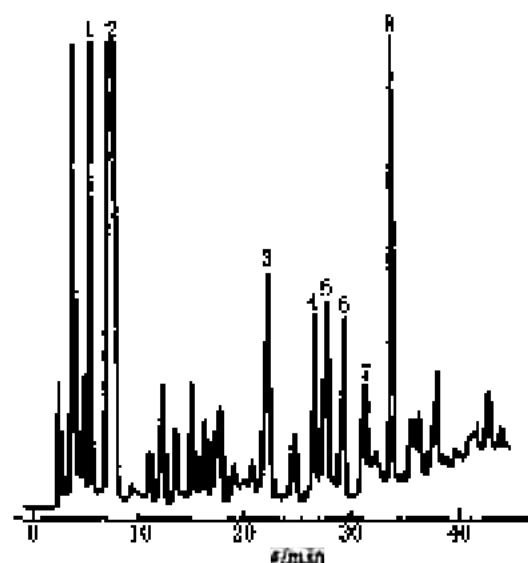
色谱柱: Tsk-凝胶 G3000SW

流动相: 10 mm 磷酸钠 (pH7.0)

流速: 0.5 ml · min⁻¹

温度: 25℃

检测器: 差示折光计

图 13-25 正常人尿样中核苷分离色谱图 (—)^(A)

色谱峰: 1—甲基腺苷; 2—伪尿苷; 3—1-核糖吡啶-4-酮基-β-核糖酐; 4—1-甲基肌苷; 5—1-甲基鸟苷; 6—N⁶-甲基鸟苷; 7—腺苷; 8—N⁶, N⁷-二甲基鸟苷

色谱柱: Develasil 耦合 C₁₈ (Nomura Chemical), 30 cm × 4.6 mm (内径), 5 μm

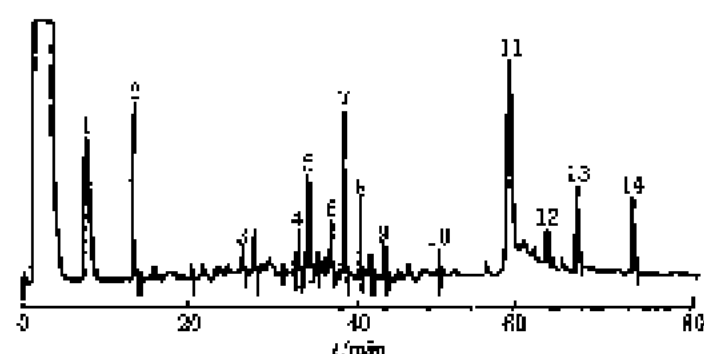
流动相: A 水; B 甲醇

梯度洗脱:

时间/min	φ(B)/%
0	0
25	13
40	40

流速: 1.1 ml · min⁻¹

检测器: UV (260 nm)

图 13-26 正常人尿样中肽甘分离色谱图 (二)^[22]

色谱峰: 1—二硫赤霉素; 2—自前型肽; 3— KANNQVGLAPVA ; 4— SSYYTGSL ; 5— NWVPYIVE ;
 6— $\text{GSCISGPGQGMNLPTESGE}$; 7— $\text{XVPSVYASSLAXTNHCYFNP}$; 8— YDEQPLENYLDME ;
 9— $\text{TGSSNLWVTSVYNSSLAXTNXNXP}$; 10— YYAPFDGILG (42.56); 11— $\text{YFGTIGGTTPAQDFTVVPDT}$;
 GSSNLWVPSVYCS ; 12— $\text{XXPGSELYYAPFUXLXLAY}$; 13— $\text{LWILGDVFIRQYFXVFORAKNQVGLAPVA}$;
 14— $\text{GSXISGPGQGMNLPTESGE}$; XILGDVPIKQYPTVFD

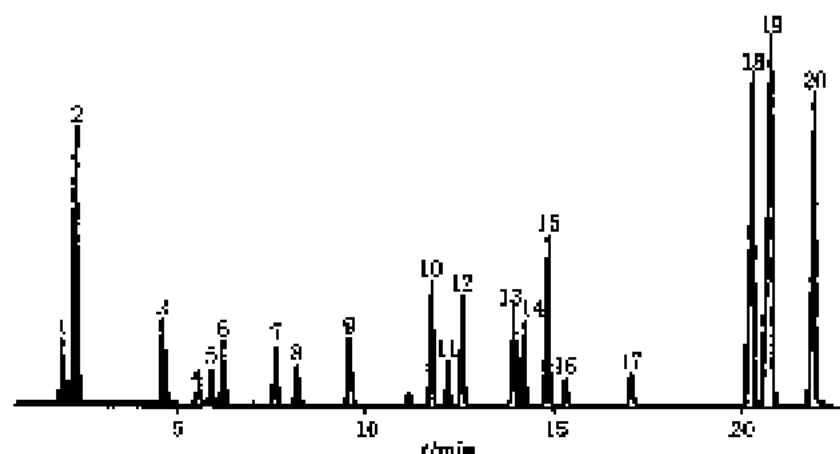
色谱柱: 填充 Ex-10 20 nm C_{18} - $150\text{ mm} \times 4.6\text{ mm}$ (内径), $5\text{ }\mu\text{m}$

流动相: 溶剂 A 为 0.1% 三氟乙酸+水 (体积比=0.1:99.9)

溶剂 B 为溶剂 A+乙醇 (体积比=40:60)

流速: $1.5\text{ ml} \cdot \text{min}^{-1}$

检测器: UV (280 nm)

图 13-27 奶溶液解液中氨基酸色谱图^[23]

色谱峰: 1— RSX ; 2— GLX ; 3— SER ; 4— HIS ; 5— GLY ; 6— THR ; 7— ALA ; 8— ARG ; 9— TYR ; 10— VAL ; 11— MET ;
 12— NVA ; 13— ILE ; 14— PHE ; 15— LEU ; 16— LYS ; 17— LYS ; 18— SAR ; 19— PRO ; 20— PIOR

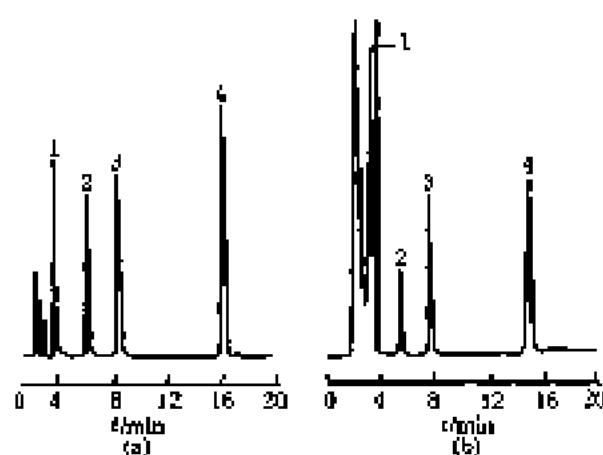
色谱柱: Hewlett Packard Type 100CM

流动相: 溶剂 A 为 $30\text{ mmol} \cdot \text{L}^{-1}$ NaOAc ($\text{pH}=8$) + 0.25% TFA + $0.1\text{ mol} \cdot \text{L}^{-1}$ triplex III; 溶剂 B 为 $100\text{ mmol} \cdot \text{L}^{-1}$ NaOAc ($\text{pH}=8$) + 50% 乙醇 + $0.1\text{ mol} \cdot \text{L}^{-1}$ triplex III

线性梯度冲洗: $3.3\% \text{ B} \xrightarrow{20\text{ min}} 40\% \text{ B} \xrightarrow{4\text{ min}} 100\% \text{ B}$

流速: $1.0\text{ ml} \cdot \text{min}^{-1}$

检测器: 荧光检测器 ($\lambda_{\text{ex}}=408\text{ nm}$, $\lambda_{\text{em}}=455\text{ nm}$)



色谱峰: 1—dCMP; 2—dGMP; 3—dTTP; 4—dAMP

色谱柱: Ultrasphear-5 C18, 150 mm × 4.6 mm (内径)

柱温: 室温

流动相: 乙腈 + 0.1 mol · L⁻¹ K₂HPO₄ (pH=5)

线性梯度冲洗: 0%乙腈 $\xrightarrow{9\text{ min}}$ 6%乙腈 $\xrightarrow{21\text{ min}}$ 35%乙腈

流速: 1 ml · min⁻¹

检测器: 二极管矩阵紫外, (a) λ=260 nm; (b) λ=215 nm

图 13-28 白细胞中 5'-单磷酸-脱氧核苷色谱图^[14]

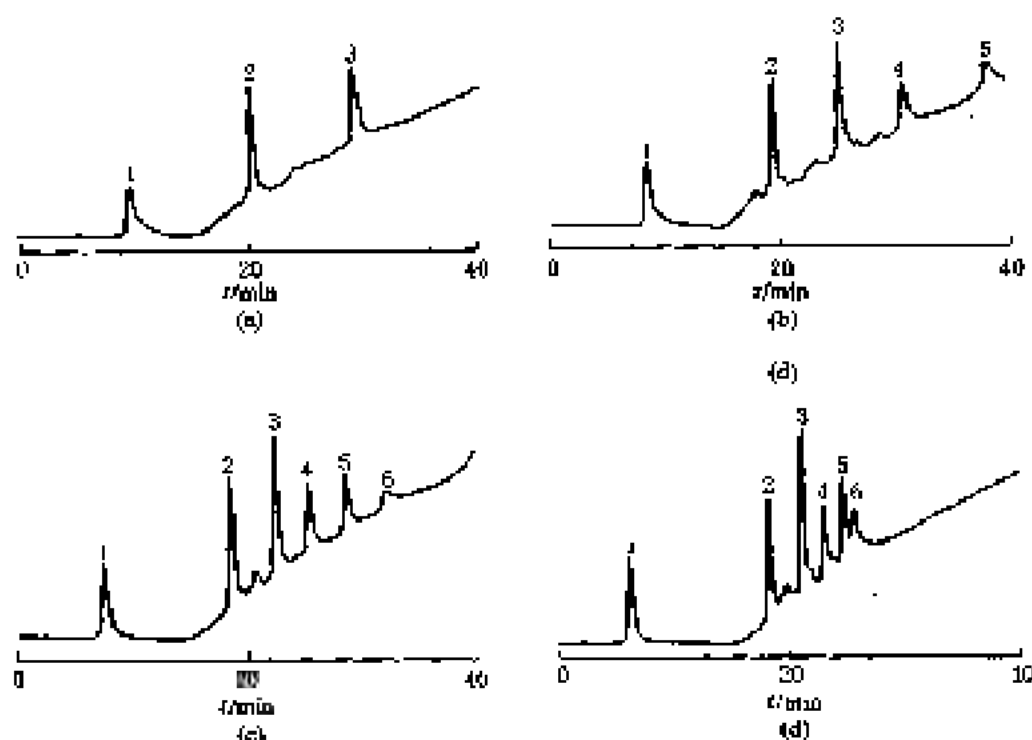


图 13-29 合成小肽阳离子交换色谱分离谱图^[15]

色谱峰: Ac-(Leu-Gly-Leu-Lys-Ala)_n-NH₂

1—n=1; 2—n=2; 3—n=4; 4—n=6; 5—n=8; 6—n=10

色谱柱: 填充 SynChropak S300 载体, 250 mm × 4.1 mm (内径)

柱温: 26°C

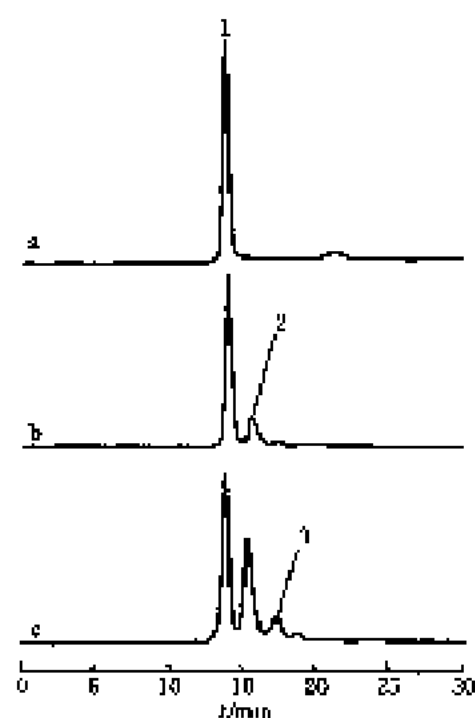
流动相: 溶剂 A 5 mmol · L⁻¹ KH₂PO₄ (pH=5)

溶剂 B 溶剂 A + 0.3 mol · L⁻¹ NaCl

两种溶剂都含有乙醇, (a) — (d) 液相 (体积分数) 分别为 30%, 20%, 20% 和 40%

流速: 1 ml · min⁻¹

检测器: HP 1080A



色谱峰: 1—hGH; 2、3—desamido衍生物

色谱柱: μ rowEX-DEAE

柱温: 25℃

流动相: A: 20 mmol \cdot L $^{-1}$ Tris-HCl (pH8.0)

B: 溶剂 A+0.5 mol \cdot L $^{-1}$ NaCl

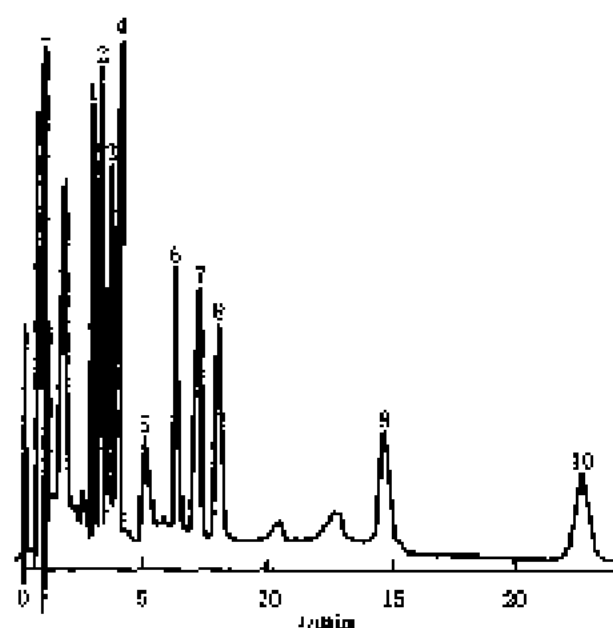
5%~70% B 梯度冲液 30 min 以上

流速: 0.5 ml \cdot min $^{-1}$

检测器: UV (280 nm)

图 13-30 hGH 重组体和脱酰胺类异构重组体阴离子交换色谱图^[28]

(a) 无热处理的 hGH; (b) 60℃ 6h 热处理; (c) 70℃ 6h 热处理



色谱峰: 1—强的松; 2—可的松; 3—氢化泼尼松;

4—氢化可的松; 5—14-羟基脱氢皮质酮;

6—皮质酮; 7—地塞米松; 8—11-脱

氢氢化可的松; 9—11-脱氢皮质酮; 10—

17-羟基黄体酮

色谱柱: 填充 Zorbax C $_8$ 载体, 80 mm \times 6.2 mm (内径), 3 μ m

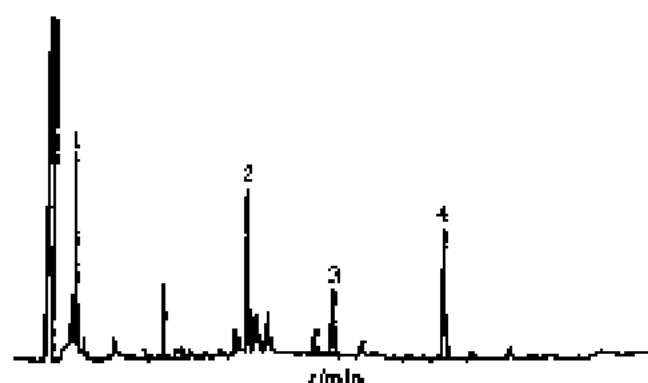
柱温: 50℃

流动相: 水+THF+乙醇(体积比=77:12:11), 等度冲液

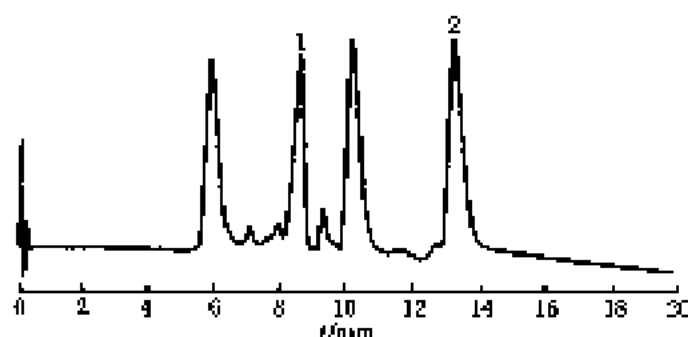
流速: 2.5 ml \cdot min $^{-1}$

检测器: UV (242 nm)

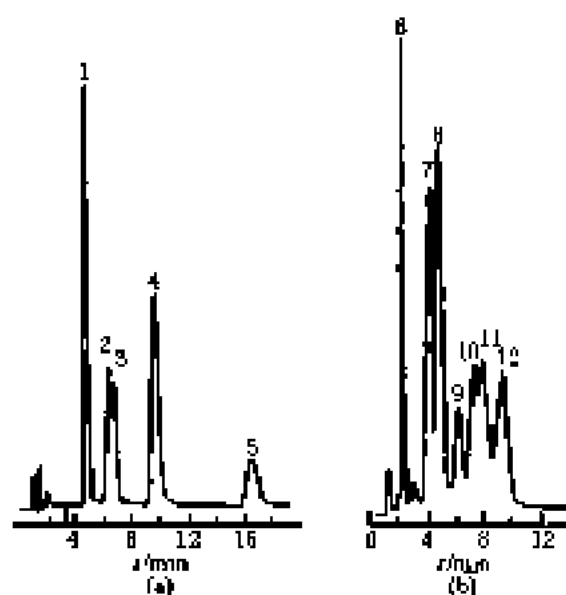
图 13-31 血清中甾类化合物分离色谱图^[14]



色谱峰: 1- 舒肤酸; 2- COOH [MET-
ARG]- NH_2 ; 3- 羧基; 4- [CMT]-
[MET-ASP]- NH_2
色谱柱: Nova Pak C_{18} , $4\mu\text{m}$, 2.1mm (内径) $\times 150$
mm
流动相: 乙腈-水+0.1% TFA
线性冲液: 20% 乙腈 $\xrightarrow{90\text{ min}}$ 60% 乙腈
柱温: 室温
检测器: 紫外二极管阵列 (200 nm)

图 13-32 血浆中舒肤酸分离色谱图^[2]

色谱峰: 1- 卵清蛋白; 2- 卵清蛋白
色谱柱: 填充 Supelguard LC-204 30 nm 载体, 250
mm $\times 4.6$ mm (内径), $5\mu\text{m}$
柱温: 40°C
流动相: 溶剂 A 乙腈+0.1% 三氟乙酸 (体积比-
10:90)
溶剂 B 乙腈+0.1% 三氟乙酸 (体积比-
90:10)
线性梯度冲液: 5% B $\xrightarrow{15\text{ min}}$ 60% B $\xrightarrow{5\text{ min}}$ 100% B
 $\xrightarrow{8\text{ min}}$ 5% B
流速: $2\text{ ml} \cdot \text{min}^{-1}$
检测器: UV (215 nm)

图 13-33 鸡蛋白蛋白分离色谱图^[2]

色谱峰⁽¹⁾: 1-Asp-Val; 2-Val-Asp; 3- Tyr-Gly; 4-Gly-Tyr;
4-Glu-Ala; 5-Glu-Ala; 6-Asn; 7-[Tyr¹]-SRIF; 8-SRIF; 9-[Tyr¹]-SRIF;
10-[Des-Glu]-P-物质; 11-P-物质; 12-
[Arg⁸]-抗利尿激素

① SRIF—生长激素释放抑制因子; TEAP—新配三
乙胺

色谱柱: 填充 PolyHydroxyethyl A 载体, $200\text{ mm} \times 4.6\text{ mm}$
(内径)

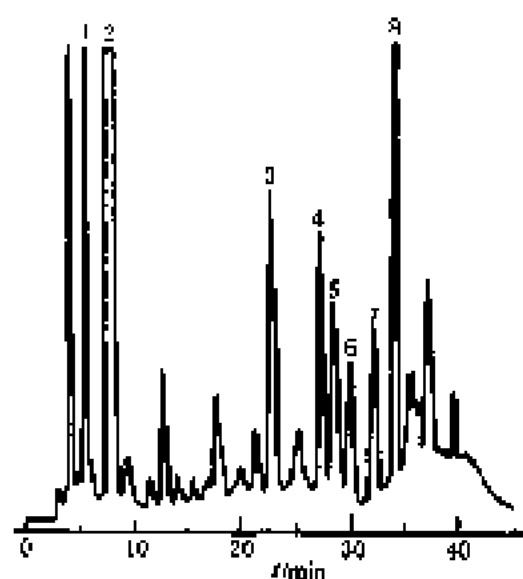
柱温: 室温

流动相: $40\text{ mmol} \cdot \text{L}^{-1}$ TEAP (pH=8) - 乙腈
(a) 80% 乙腈; (b) 70% 乙腈

流速: $2\text{ ml} \cdot \text{min}^{-1}$

检测器: UV (200 nm)

图 13-34 肽标准物 (梯度冲液) 色谱图^[1]



色谱峰: 1—甲基葡萄糖; 2—糖原苷; 3—1-糖精吡啶; 4- α -D-葡萄糖吡啶; 4—1-甲基吡啶; 5—1-甲基葡萄糖; 6— N^2 -甲基葡萄糖; 7—腺苷; 8— N^2 - N^2 -二甲基腺苷

色谱柱: Develosil 键合 C_{18} (Nacura Chemical), 20 cm \times 4.6 mm (内径); 5 μ m

流动相: A 水; B 甲醇

时间/min	(A:B)/%
0	0
25	15
40	40

流速: 1.1 ml \cdot min $^{-1}$

检测器: UV (260 nm)

图 13-35 肺癌病人的尿核苷分离色谱图^[4]

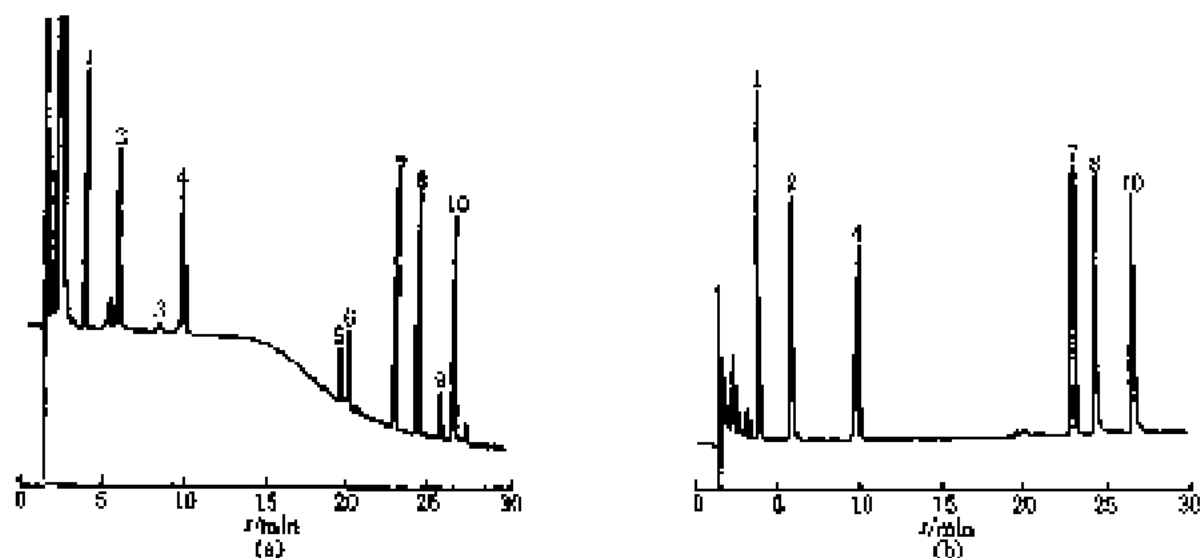


图 13-36 MEA 混合物分离色谱图^[30]

色谱峰^①: 1—Tyr; 2—Tyr-D-Ala-Gly; 3—Phe; 4—Tyr-D-Ala; 5—Phe-Met; 6—D-Ala-Gly-Phe-Met-NH $_2$; 7—Tyr-D-Ala-Gly-Phe; 8—MEA; 9—SCH 38370; 10—ME

(MEA 代表 [D-Ala 2]-Met 高苯胺酰胺)

色谱柱: 键合 Kromasil C_{18} , 150 mm \times 4.6 mm (内径)

流动相: 溶剂 A 35 mmol/L 磷酸二氢钾缓冲液 (pH2.5)

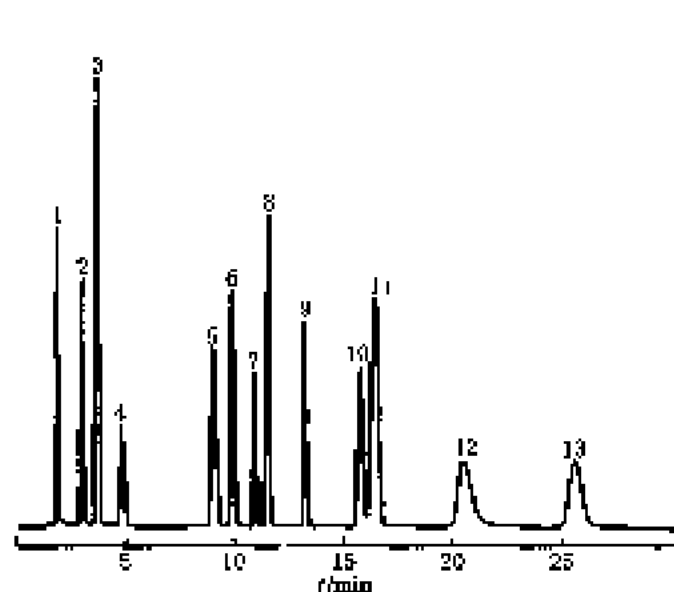
溶剂 B 39 mmol/L 磷酸二氢钾缓冲液 (pH2.5) + 乙腈 (体积比=60:40)

梯度洗脱: 4% 乙腈填充 5%, 9 min 增加到 15% 5 min, 最后增加到 30% 21 min

流速: 1.0 ml \cdot min $^{-1}$

检测器: (a) UV (265 nm);

(b) ED (60 V)

图 13-37 核苷酸分离色谱图 (一)^[2]

色谱峰: 1—鸟嘌呤核苷 (UMP); 2—鸟嘌呤核苷 (UMP); 3—鸟嘌呤核苷 (AMP); 4—二磷酸腺苷; 5—鸟嘌呤核苷 (GMP); 6—UMP; 7—CTP; 8—ADP; 9—UTP; 10—UDP; 11—ATP; 12—3,5-CGMP; 13—GTP

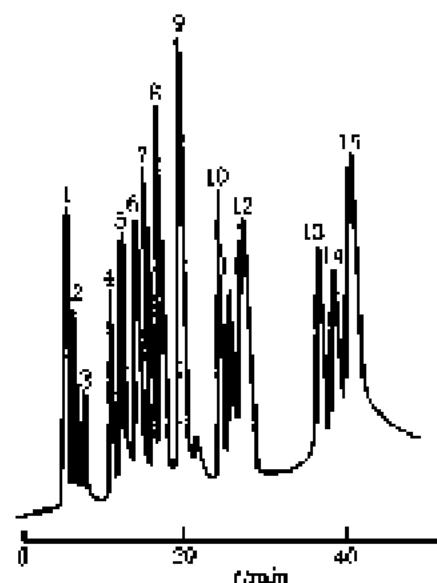
色谱柱: Poragac PA1, 10 μ m

流动相: a. 水 (pH6.8);

b. 0.3 mol/L Li^+ 磷酸 (pH2.9)

梯度冲液: 50%B $\xrightarrow{5 \text{ min}}$ 50%B $\xrightarrow{5 \text{ min}}$ 100%B $\xrightarrow{20 \text{ min}}$ 100%B $\xrightarrow{5 \text{ min}}$ 50%B

流速: 1 ml \cdot min⁻¹

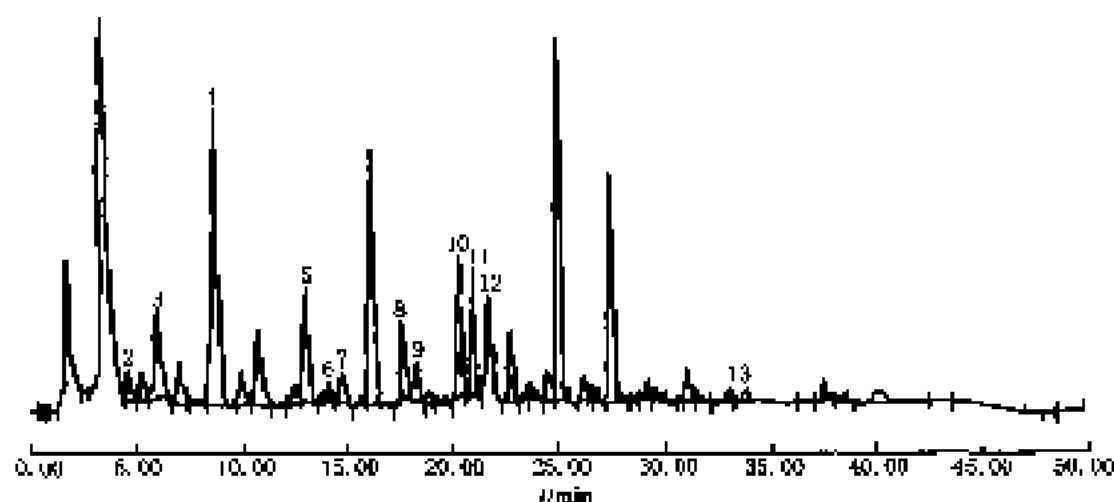
图 13-38 核苷酸分离色谱图 (二)^[2]

色谱峰: 1—次黄嘌呤; 2—黄嘌呤; 3—尿酸; 4—肌苷; 5—腺嘌呤; 6—腺苷; 7—AMP; 8—UMP; 9—AMP; 10—GMP; 11—UMP; 12—ADP; 13—CTP; 14—UTP; 15—ATP

色谱柱: 填充 Supelasil C₁₈ 载体, 150 mm \times 4.6 mm (内径)

流动相: 溶剂 A 为 10 mmol/L $\text{NH}_4\text{H}_2\text{PO}_4$ - 2 mmol/L PRL , 溶剂 B 为溶剂 A + 20% (体积分数) 乙醇

梯度冲液: 0%B $\xrightarrow{5 \text{ min}}$ 70%B $\xrightarrow{20 \text{ min}}$ 100%B

图 13-39 核苷酸分离色谱图 (三)^[2]

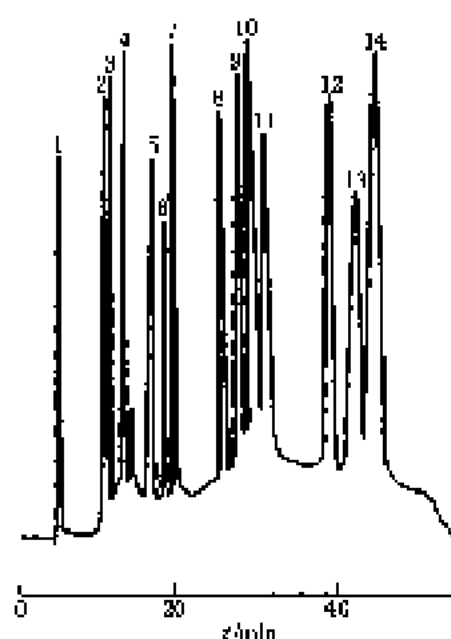
色谱峰: 1—腺苷; 2—腺苷; 3—腺苷; 4—1-甲基腺苷; 5—鸟苷; 6—肌苷; 7—腺苷; 8—腺苷; 9—3-甲基腺苷; 10—1-甲基腺苷; 11—1-甲基鸟苷; 12—腺苷; 13—5'-脱氧-5'-甲基腺苷

色谱柱: LiChrospher 100 C₁₈, 250 mm \times 4 mm (内径), 5 μ m

柱温: 室温

流动相: 100% 25 mmol/L KH_2PO_4 pH6.7 冲液, 然后 80% 甲醇 + 水 (3+2 体积分数) 40 min

检测器: UV



色谱峰: 1—次黄嘌呤, 2—腺苷, 3—鸟苷, 4—腺苷, 5—IMP, 6—GMP, 7—AMP, 8—GDP, 9—UDP, 10—ADP, 11—GTP, 12—GTP, 13—UTP, 14—ATP

色谱柱: Sephadex ODS, 250cm×4.6mm (内径)

流动相: 溶剂 A $10 \text{ mmol} \cdot \text{L}^{-1} \text{NH}_4\text{H}_2\text{PO}_4 + 2 \text{ mmol} \cdot \text{L}^{-1}$ 磷酸根
丁液: 溶剂 B 为溶剂 A + 乙醇 (20% 体积分数)

梯度冲液: $0\% \text{ B} \xrightarrow{5 \text{ min}} 0\% \text{ B} \xrightarrow{12 \text{ min}} 80\% \text{ B} \xrightarrow{50 \text{ min}} 20\% \text{ B} \xrightarrow{5 \text{ min}} 100\% \text{ B} \xrightarrow{2 \text{ min}} 0\% \text{ B}$

流速: $1.3 \text{ ml} \cdot \text{min}^{-1}$

检测器: UV (254 nm)

图 13-40 核苷酸、核苷分离色谱图 (一)^[24]

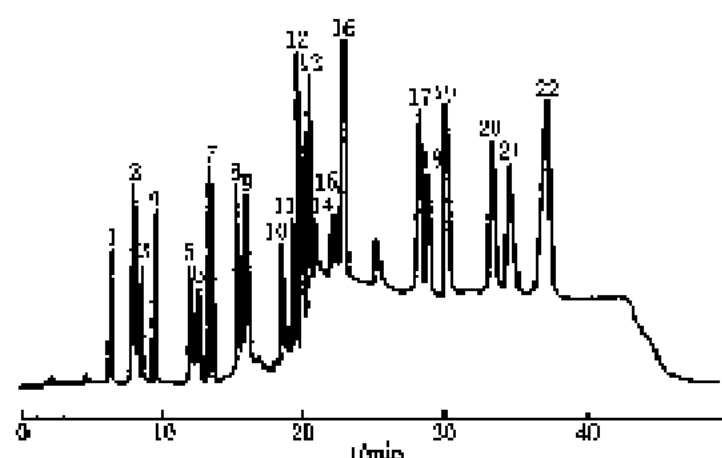


图 13-41 核苷酸、核苷分离色谱图 (二)^[24]

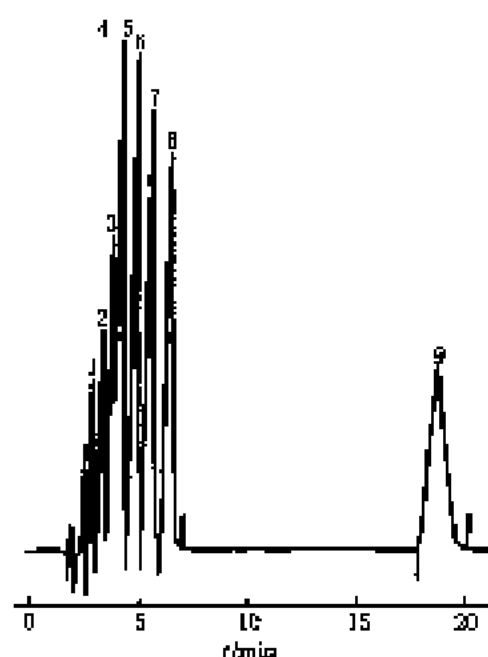
色谱峰: 1—腺嘌呤, 2—次黄嘌呤, 3—腺苷, 4—黄嘌呤, 5—氧化嘌呤, 6—别嘌呤, 7—腺苷, 8—腺苷, 9—鸟苷, 10—腺嘌呤, 11—腺苷, 12—NAD⁺, 13—GMP, 14—GMP, 15—IMP, 16—AMP, 17—GDP, 18—GDP, 19—ADP, 20—GTP, 21—LTP, 22—ATP

色谱柱: 填充 C₁₈, Si-X-S 填料, 250 mm×4.6 mm (内径)

流动相: 溶剂 A 为 $10 \text{ mmol} \cdot \text{L}^{-1} \text{NH}_4\text{H}_2\text{PO}_4 + 2 \text{ mmol} \cdot \text{L}^{-1} \text{PIC}$, 溶剂 B 为溶剂 A + 20% (体积分数) 乙醇

梯度冲液: $0\% \text{ B} \xrightarrow[10 \text{ min 线性度}]{12 \text{ min}} 80\% \text{ B} \xrightarrow[25 \text{ min 线性度}]{25 \text{ min}} 0\% \text{ B}$

流速: $1.3 \text{ ml} \cdot \text{min}^{-1}$



色谱峰: 1— α D, 2—Cyd, 3—C—HCl, 4— α arC, 5—Urd,
6— α ar, 7—2', 5'-An- α arC, 8—2', 5'-An- α arC, 9—
5'- α arC

色谱柱: 填充 Separon 5C-X C₁₈ 载体, 150 mm \times 3 mm (内
径), 7 μ m

柱温: 22 $^{\circ}$ C

流动相: 8% 甲醇 + 0.01 mol \cdot L⁻¹ KH₂PO₄ (pH 5.5)

流速: 0.45 ml \cdot min⁻¹

检测器: UV (275 nm)

图 13-42 核苷分离色谱图^[15]

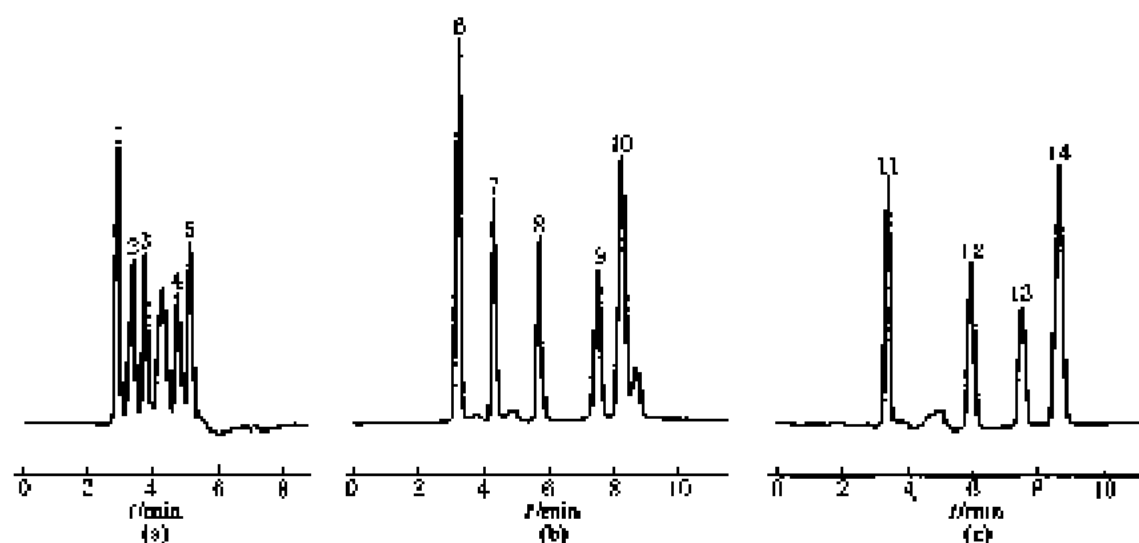


图 13-43 核酸标准品分离色谱图^[15]

(a) 1.0 μ mol \cdot L⁻¹ 碱基水样液图; (b) 1.0 μ mol \cdot L⁻¹ 核苷和胸苷水样液图;

(c) 1.0 μ mol \cdot L⁻¹ 脱氧核苷水样液图

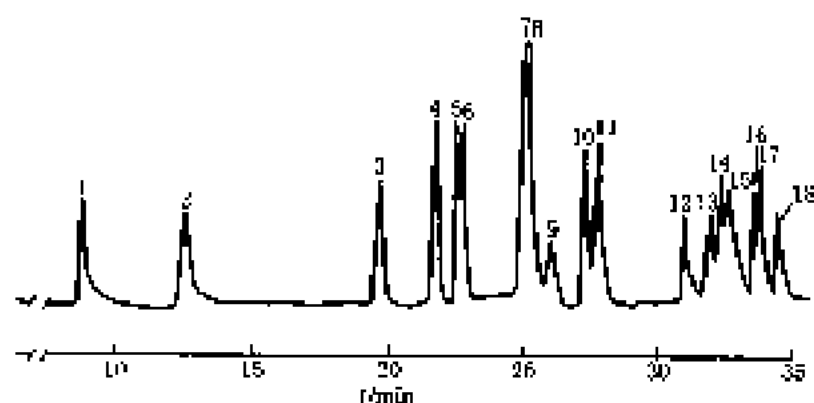
色谱峰: 1—胞嘧啶; 2—尿嘧啶; 3—鸟嘌呤; 4—腺嘌呤; 5—胸腺嘧啶; 6—胞苷; 7—尿苷; 8—鸟苷; 9—胸苷; 10—腺
苷; 11—脱氧胞苷; 12—脱氧尿苷; 13—脱氧胸苷; 14—脱氧腺苷

色谱柱: (HDS, 250 mm \times 4.6 mm (内径))

流动相: 纯水

流速: 1.0 ml \cdot min⁻¹

检测器: UV (250 nm)



色谱峰: 1—ASP, 2—GLU, 3—ASN, 4—SER, 5—HIS, 6—GLN, 7—GLY, 8—THR, 9—ARG, 10—TYR, 11—ALA, 12—TRP, 13—MET, 14—VAL, 15—PHE, 16—LEU, 17—ILE, 18—LYS

色谱柱: 填充 C_{18} Ultrasphere ODS 载体, 250 mm \times 4.6 mm (内径), 5 μ m

保护柱: Altra-ODS-5

柱温: 62°C

图 13-44 氨基酸标准混合物 (OPA 衍生化) 色谱图^[22]

流动相: A: THF + 甲醇—0.1 mol \cdot L⁻¹ NaAc (pH 7.2) (体积比=5:95+500); B: 甲醇

线性梯度冲洗:

时间/min	φ (B)/%	时间/min	φ (B)/%
0.0	0	27.0	100
0.1	20	32.0	0
12.0	45	40.0	0
20.0	60		

流速: 2 ml \cdot min⁻¹

检测器: 荧光 (λ_{ex} =360 nm, λ_{em} =455 nm)

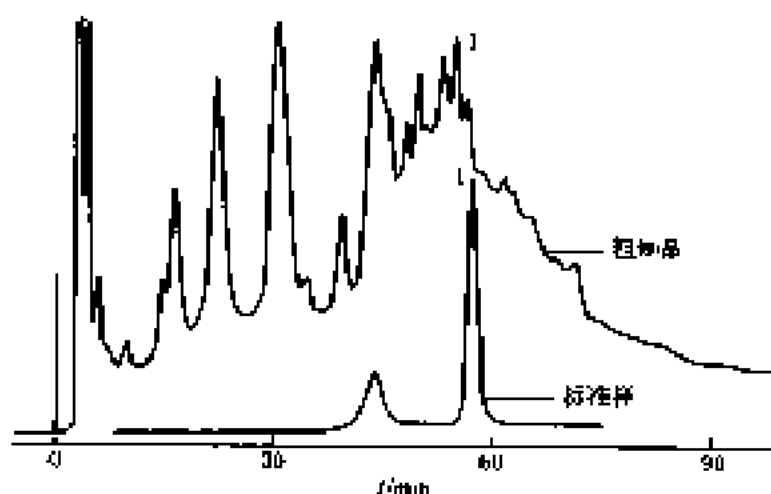


图 13-45 铁氧还蛋白 NADP 还原酶色谱图^[22]

色谱峰: 1—铁氧还蛋白

色谱柱: 填充 Progel TSK Phenyl-SPW (Supelco), 75 mm \times 7.5 mm (内径), 10 μ m

柱温: 35°C

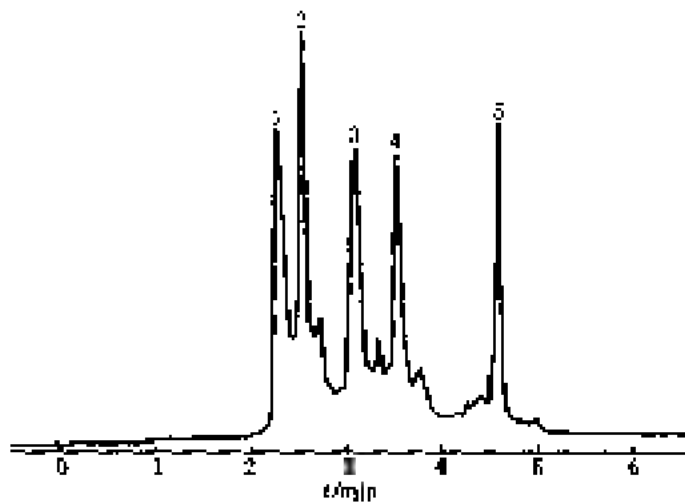
流动相: 溶液 A: 1.5 mol \cdot L⁻¹ (NH₄)₂SO₄ + 0.1 mol \cdot L⁻¹ 磷酸盐缓冲液 (pH 7)

溶液 B: 0.1 mol \cdot L⁻¹ 磷酸盐缓冲液 (pH 7)

线性梯度冲洗: 0%B $\xrightarrow{50 \text{ min}}$ 100%B

流速: 0.5 ml \cdot min⁻¹

检测器: UV (280 nm)

图 13-46 无孔弱阴离子交换树脂快速分离蛋白质谱图^[16]

色谱峰: 1—伴清蛋白; 2—快传递蛋白; 3— α -乳清蛋白; 4—肌清蛋白; 5—胰蛋白酶抑制剂

色谱柱: 填充 [5Kgel DEAE-NPR 树脂, 35 mm \times 4.6 mm (内径), $\geq 5 \mu\text{m}$]

柱温: 25 $^{\circ}\text{C}$

流动相: 溶剂 A 20 mmol \cdot L $^{-1}$ cit-HCl 缓冲液 (pH6.0)

溶剂 B 20 mmol \cdot L $^{-1}$ Tris-HCl 缓冲液 (pH8.0) + 0.5 mol \cdot L $^{-1}$ NaCl

线性梯度洗脱: 0% B $\xrightarrow{30 \text{ min}}$ 100% B

流速: 2.5 mL \cdot min $^{-1}$

检测器: UV (280 nm)

图 13-47 烷基苯胺色谱图 (一)^[17]

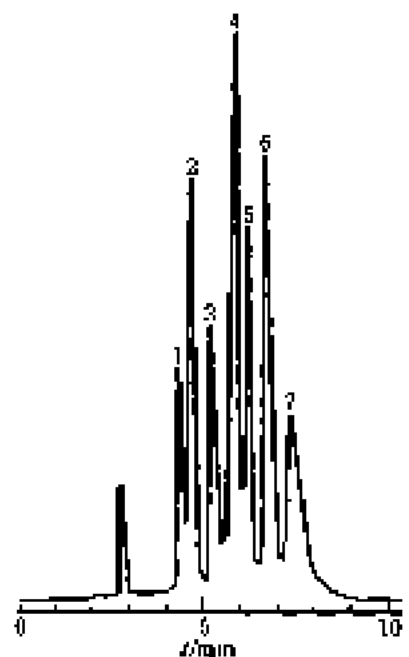
色谱峰: 1—正乙基苯胺; 2—2, 6-二甲基苯胺; 3—邻乙基苯胺; 4—2, 5-二甲基苯胺; 5—3, 4-二甲基苯胺; 6—4, 5-二甲基苯胺; 7—间甲基苯胺; 8—4, 4'-二甲基苯胺; 9—对甲基苯胺

色谱柱: 填充 JMTACHI GEL 3042, 250 mm \times 4.0 mm (内径)

流动相: 四氢呋喃/异辛烷-乙醇 (体积比=0.99:99.23:0.80)

流速: 0.45 mL \cdot min $^{-1}$

检测器: UV (254 nm)

图 13-48 烷基苯胺色谱图 (二)^[17]

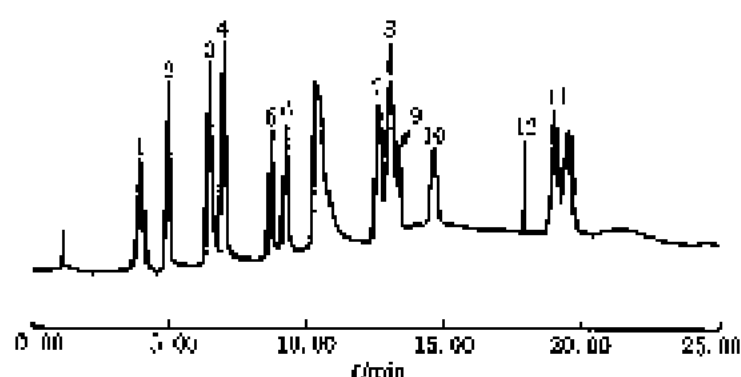
色谱峰: 1—间甲基苯胺; 2—对甲基苯胺; 3—2, 6-二甲基苯胺; 4—2, 5-二甲基苯胺; 5—2, 4-二甲基苯胺; 6—3, 5-二甲基苯胺; 7—3, 4-二甲基苯胺

色谱柱: 填充 JMTACHI GEL 3053, (50 mm \times 4.6 mm (内径))

流动相: 甲苯+水 (体积比=55:45)

流速: 0.75 mL \cdot min $^{-1}$

检测器: UV (254 nm)

图 13-49 脱氧核糖核酸色谱图^[27]

色谱峰: 1—单磷酸脱氧胞苷; 2—单磷酸脱氧胸苷; 3—单磷酸脱氧腺苷; 4—单磷酸脱氧鸟苷; 5—二磷酸脱氧胞苷; 6—三磷酸脱氧胞苷; 7—二磷酸脱氧腺苷; 8—二磷酸脱氧鸟苷; 9—三磷酸脱氧胞苷; 10—三磷酸脱氧胸苷; 11—二磷酸脱氧腺苷; 12—内标物中三磷酸脱氧鸟苷

色谱柱: AStA 改性聚苯乙烯 (Econex), 25 cm×4 mm (内径)

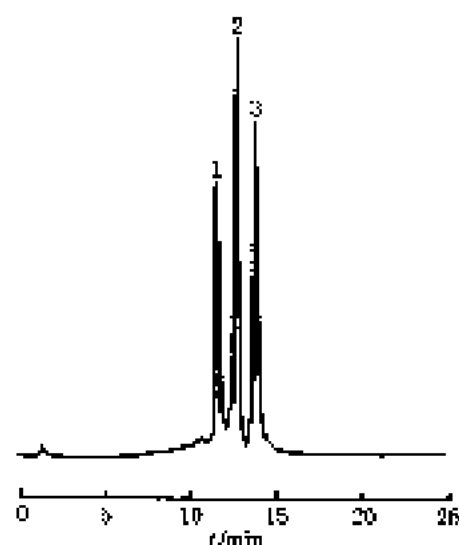
流动相: A. 5 mmol·L⁻¹ NH₄H₂PO₄ (pH3.8)

B. 25 mmol·L⁻¹ NH₄H₂PO₄ (pH4.7)

梯度冲洗: 25 min 内从 94B 变至 100%B

流速: 1.5 ml·min⁻¹

检测器: UV (254 nm)

图 13-50 标准蛋白质混合物分离色谱图^[28]

色谱峰: 1—核糖核酸酶 A (10μg); 2—溶菌酶 A (5μg); 3—肌酸激酶 C (5μg)

色谱柱: protEK-SF

柱 箱: 25℃

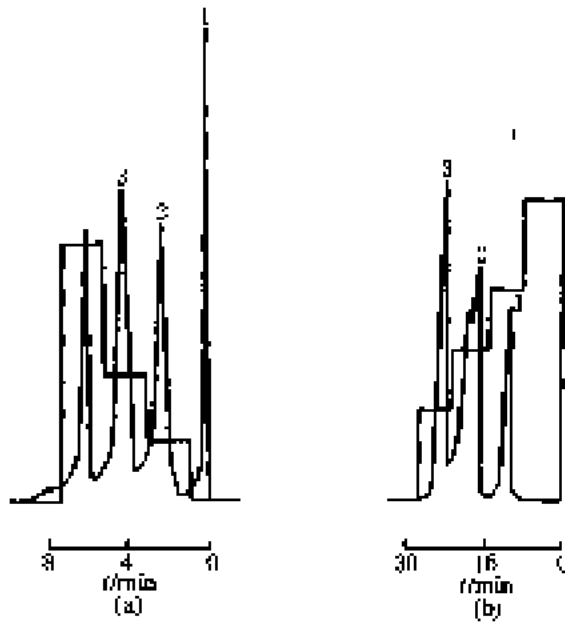
流动相: A. 20 mmol·L⁻¹ K₂HPO₄ (pH6.0)

B. 溶剂 A+0.5 mol·L⁻¹ NaCl

0%~100%B 梯度冲洗 20 min

流 速: 0.5 ml·min⁻¹

检测器: UV (280 nm)



色谱峰: 1—卵清蛋白; 2—溶菌酶; 3—胰凝乳蛋白酶
色谱柱: (a) GMA-EDMA (50+50) 修饰的膜含有 $7 \text{ mmol} \cdot \text{L}^{-1}$ p^{-2} DPA 基团;
(b) 甲基-异丁烯酸+GMA+EDMA (体积比=15+35+50)
流动相: (a) $0.01 \text{ mol} \cdot \text{L}^{-1}$ Tris 盐酸缓冲液 (pH7.6);
(b) $\text{pH} 5.2$ 的 2 -丙醇+ $0.02 \text{ mol} \cdot \text{L}^{-1}$ 磷酸盐缓冲液 (pH6.8)

图 13-51 蛋白质多元梯度分离色谱图^[4]

梯度冲液: (a)

时间/min	NaCl 浓度/ $\text{mol} \cdot \text{L}^{-1}$
1	0
2	0-15
2	0-30
2	0-6

(b)

时间/min	$(\text{NH}_4)_2\text{SO}_4$ 浓度/ $\text{mol} \cdot \text{L}^{-1}$
6	2
6	1.4
6	1.0
6	0.6

流速: $3 \text{ mL} \cdot \text{min}^{-1}$

检测器: 双波长紫外检测器

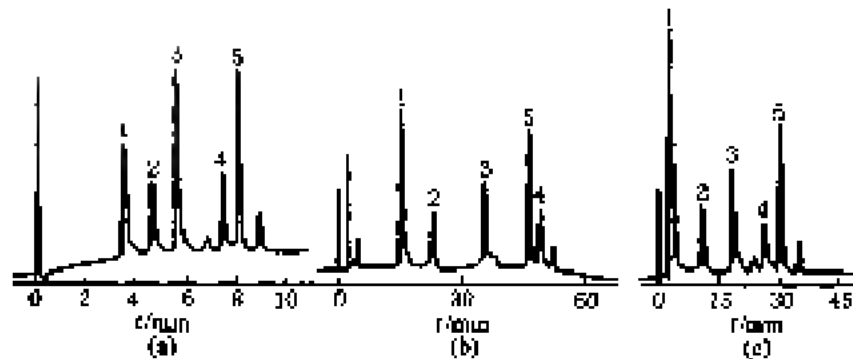


图 13-52 蛋白质的多孔和无孔疏水作用柱分离色谱图^[21]

色谱峰: 1—肌红蛋白; 2—核糖核酸酶; 3—溶菌酶; 4—α-酪蛋白酶; 5—α-胰凝乳蛋白酶

色谱柱: (a) TSKgel Butyl-NPR (TosoHaas), $3.5 \text{ cm} \times 4.6 \text{ mm}$ (内径), $2.5 \mu\text{m}$;

(b) TSKgel Phenyl-5PW (TosoHaas), 100 nm , $7.5 \text{ cm} \times 7.5 \text{ mm}$ (内径), $10 \mu\text{m}$;

(c) TSKgel Eubol-5PW (TosoHaas), $7.5 \text{ cm} \times 4.6 \text{ mm}$ (内径), $10 \mu\text{m}$

柱温: 25°C

流动相: $(\text{NH}_4)_2\text{SO}_4$ — $0.1 \text{ mol} \cdot \text{L}^{-1}$ 磷酸缓冲液 (pH7.0)

线性梯度洗脱: (a) $2.9 \text{ mol} \cdot \text{L}^{-1} (\text{NH}_4)_2\text{SO}_4 \xrightarrow{18 \text{ min}} 0 \text{ mol} \cdot \text{L}^{-1} (\text{NH}_4)_2\text{SO}_4$;

(b) (c) $1.8 \text{ mol} \cdot \text{L}^{-1} (\text{NH}_4)_2\text{SO}_4 \xrightarrow{35 \text{ min}} 0 \text{ mol} \cdot \text{L}^{-1} (\text{NH}_4)_2\text{SO}_4$

流速: $1.0 \text{ mL} \cdot \text{min}^{-1}$

检测器: UV (220 nm)

图 13-53 蛋白质混合物分离色谱图^[2]

色谱峰: 1—肌红蛋白; 2—卵清蛋白; 3—溶菌酶; 4—胰蛋白酶原

色谱柱: G40 C₈ 膜, 1 mm 厚膜柱, 250 mm × 4.6 mm (内径), 填充 μ -10

柱温: 室温

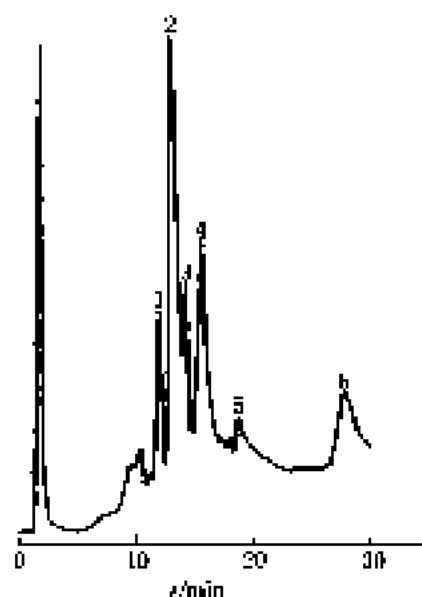
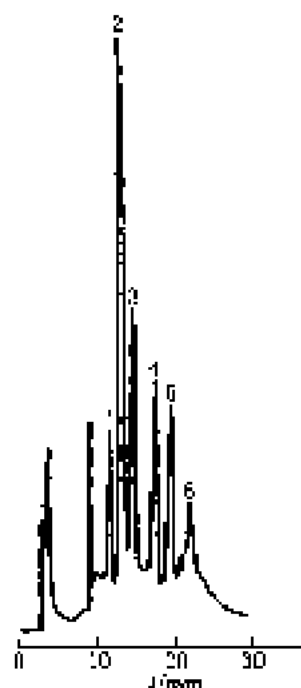
流动相: 溶液 A $2 \text{ mol} \cdot \text{L}^{-1}$ $(\text{NH}_4)_2\text{SO}_4 + 0.02 \text{ mol} \cdot \text{L}^{-1}$ 磷酸盐缓冲液 (pH 6.8)

溶液 B $0.02 \text{ mol} \cdot \text{L}^{-1}$ 磷酸盐缓冲液 (pH 8)

梯度冲洗: $0\% \text{ B} \xrightarrow{10 \text{ min}} 100\% \text{ B}$

流速: $0.5 \text{ ml} \cdot \text{min}^{-1}$

检测器: UV

图 13-54 蛋白质低 pH (2.0) 分离色谱图^[2]图 13-55 蛋白质高 pH (12.2) 分离色谱图^[2]

色谱峰: 1—核糖核酶 A; 2—胰岛素; 3—胰胞色素 C; 4—胰蛋白酶; 5—肌红蛋白; 6—溶菌酶

色谱柱: 填充 PRP-2 (Himedia) 膜柱, 50 mm × 4.1 mm (内径), $10 \mu\text{m}$

柱温: 室温

流动相: 溶液 A $50 \text{ mmol} \cdot \text{L}^{-1}$ NaOH + 0.1% 三氟乙酸 + 水
溶液 B 0.1% 三氟乙酸 + 乙醇

线性梯度冲洗: $0\% \text{ B} \rightarrow 50\% \text{ B}$

流速: $0.5 \text{ ml} \cdot \text{min}^{-1}$

检测器: UV (220 nm)

色谱峰: 1—核糖核酶 A; 2—胰岛素; 3—胰胞色素 C; 4—胰蛋白酶; 5—溶菌酶; 6—肌红蛋白

色谱柱: 填充 PRP-2 (Himedia) 膜柱, 50 mm × 4.1 mm (内径), $10 \mu\text{m}$

柱温: 室温

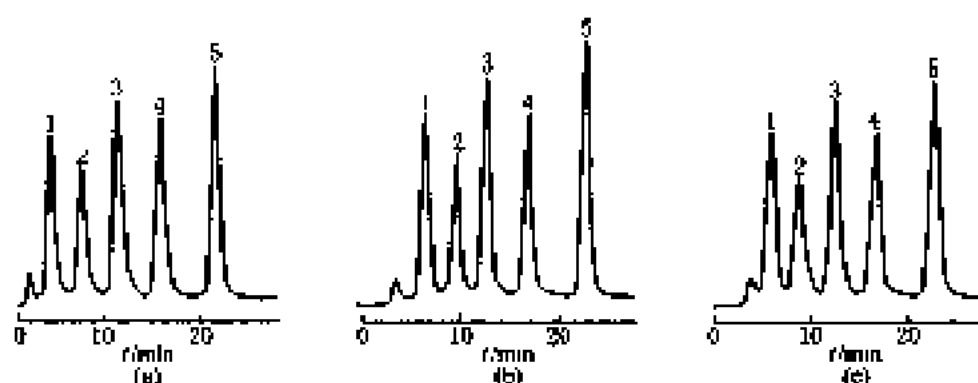
流动相: 溶液 A 0.1% 三氟乙酸 + 水 (pH 2.0)

溶液 B 0.1% 三氟乙酸 + 乙醇

线性梯度冲洗: $0\% \text{ B} \rightarrow 50\% \text{ B}$

流速: $0.5 \text{ ml} \cdot \text{min}^{-1}$

检测器: UV (215 nm)

图 13-56 蛋白质快速分离色谱图^[70]

色谱峰：1—胰岛素 B 链；2—胰岛素；3—溶菌酶；4— α 乳清蛋白；5—碳酸酐酶

色谱柱：NP-C₁₈，粒径分别为 (a) 2 μm ；(b) 5 μm 和 (c) 20 μm

柱温：75℃

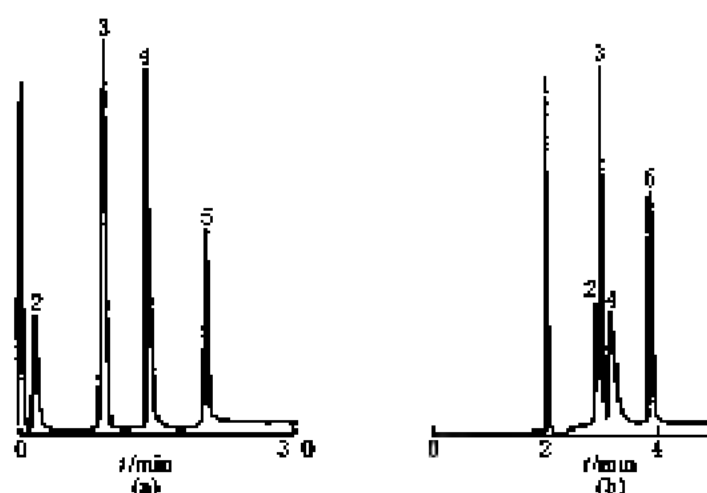
流动相：溶剂 A 0.1% TFA + 水

溶剂 B 0.1% TFA + 90% 水 + 10% 乙醇

梯度冲洗：22%B \rightarrow 100%B

流速：4 $\text{ml} \cdot \text{min}^{-1}$

检测器：UV (220 nm)

图 13-57 蛋白质的两种不同色谱柱快速分离色谱图^[80]

色谱峰：1—蔗糖脲酶；2—胰高血糖素；3—胰蛋白酶；4—牛血清蛋白；5—卵清蛋白

色谱柱：(a) 填充 TSK-Gel NPr-C₁₈ 载体，36 mm \times 4.6 mm (内径)，5 μm ；

(b) 填充 Vydac C₁₈ 载体，250 mm \times 4.6 mm (内径)，5 μm

柱温：40℃

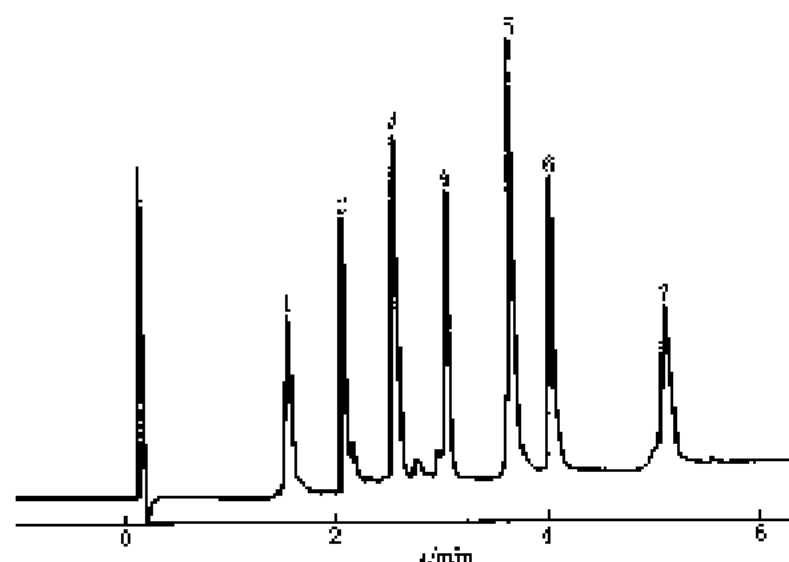
流动相：溶剂 A 0.1% TFA

溶剂 B 0.1% TFA + 乙醇

梯度冲洗：7.5%B \rightarrow 57.5%B

流速：1.5 $\text{ml} \cdot \text{min}^{-1}$

检测器：二极管矩阵



色谱峰: 1—核糖核酸酶; 2—胰岛素; 3—
细胞色素C; 4—溶菌酶; 5— α -
乳清蛋白; 6— β -乳球蛋白; 7—卵
清蛋白

色谱柱: 填充 TSKgel C₁₈-NPR 载体, 25
mm \times 4.6 mm (内径), 2.6 μ m

柱温: 25℃

流动相: 溶剂 A 0.05% 三氯乙酸—水

溶剂 B 0.05% 三氯乙酸+乙醇

线性梯度冲洗: 20% B $\xrightarrow{8 \text{ min}}$ 30% B

流速: 1.5 ml \cdot min⁻¹

检测器: UV (220 nm)

图 13-56 蛋白质、胰岛素等的无孔反相树脂分离色谱图^[17]

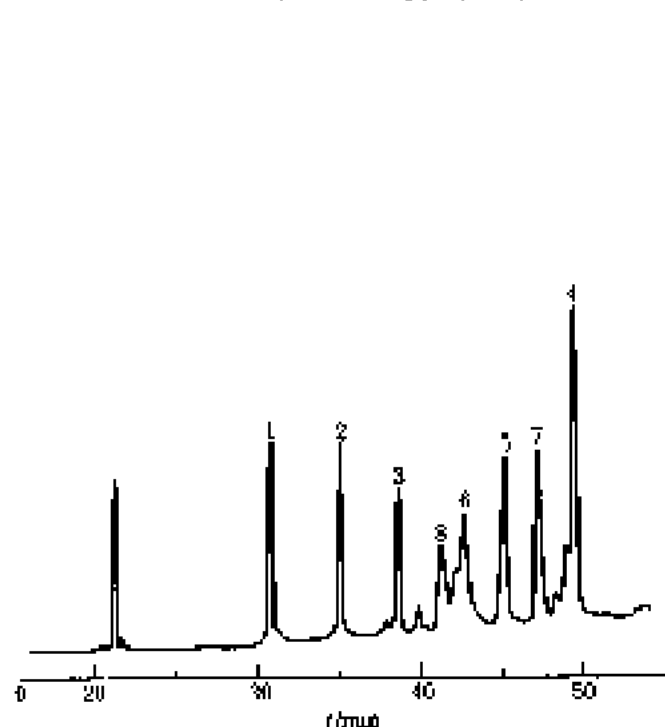


图 13-59 蛋白质混合物分离色谱图 (C₁₈)^[18]

色谱峰: 1—核糖核酸酶-A; 2—细胞色素 C; 3—溶菌酶; 4—RcTnCl

5— α -胰凝乳蛋白酶-A; 6—RcTnL; 7—胰凝乳; 8—BSA

色谱柱: 填充 Aquapore RP-300C, 载体, 250 mm \times 4.6 mm (内径)

柱温: 26℃

流动相: 溶剂 A 0.1% TFA

溶剂 B 0.1% TFA + 乙醇 (pH2.0)

梯度冲洗: 线性 A \rightarrow B 梯度 (1% \cdot min⁻¹ B)

流速: 1 ml \cdot min⁻¹

检测器: HP 1040A

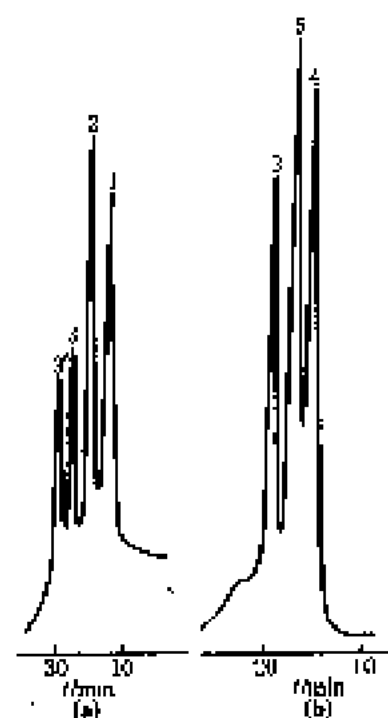


图 13-60 蛋白质混合物分离色谱图 (C₁₈)^[19]

色谱峰: 1—核糖核酸; 2—卵清蛋白; 3— β -度蛋白酶;
4—卵清蛋白; 5—溶菌酶

色谱柱: (a) 1 mm 厚硅胶柱, 200mm \times 4.6 mm (内
径), 填充 C₁₈载体;

(b) 毛细管柱, 140 mm \times 0.5 mm (内径)

柱温: 室温

流动相: 溶剂 A 2 mol \cdot L⁻¹ (NH₄)₂SO₄ + 0.02
mol \cdot L⁻¹ 磷酸盐缓冲液 (pH6.8)

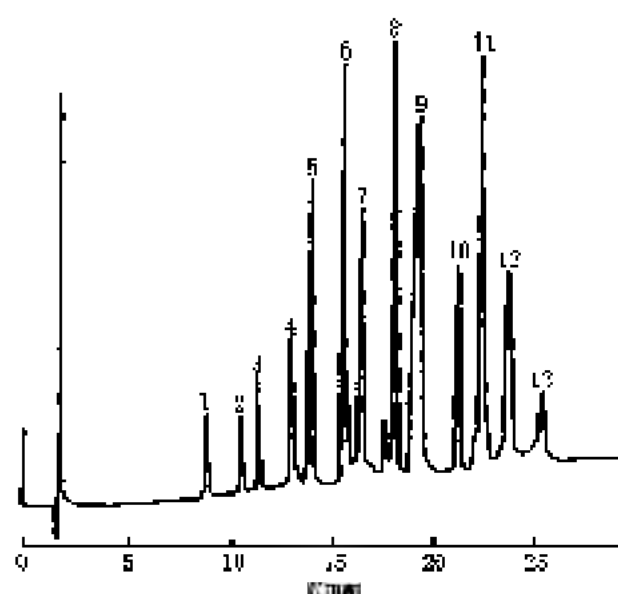
溶剂 B 0.02 mol \cdot L⁻¹ 磷酸盐缓冲液
(pH6.8)

梯度冲洗: (a) 0% B $\xrightarrow{5 \text{ min}}$ 100% B;

(b) 0% B $\xrightarrow{70 \text{ min}}$ 100% B

流速: (a) 0.5 ml \cdot min⁻¹; (b) 50 nl \cdot min⁻¹

检测器: UV



色谱峰: 1—蛋氨酸氨苄肽, 2—亮氨酸氨苄肽, 3—血管紧张肽 I, 4—血管紧张肽 II, 5—胰凝乳蛋白酶 A, 6—牛胰凝乳蛋白酶 C, 7—溶菌酶, 8—牛血清蛋白, 10—胰岛素, 12—硫酸软骨素, 12— β -淀粉酶, 1d—卵清蛋白

色谱柱: 填充 $5\ \mu\text{m}$ Zorbax C₈, 30 mm 盘体, 250 mm \times 4.6 mm (内径)

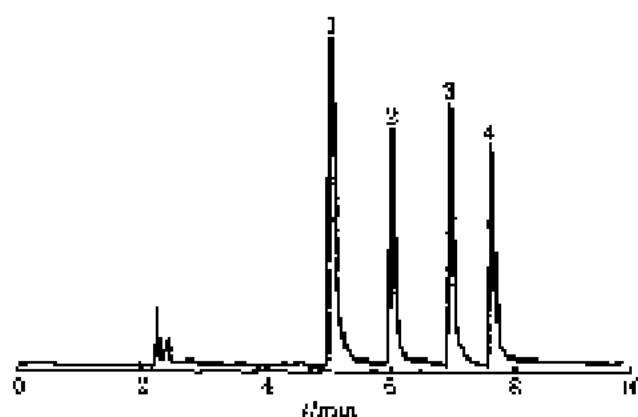
柱温: 室温

流动相: 溶剂 A 0.1% 三氟乙酸 + 水
溶剂 B 0.1% 三氟乙酸 + 乙醇

线性梯度冲注: 10% B $\xrightarrow{25\ \text{min}}$ 60% B

流速: $2\ \text{ml} \cdot \text{min}^{-1}$

检测器: UV (280 nm)

图 13-61 蛋白质混合物分离色谱图 (三)^[24]

色谱峰: 1—核糖核酸酶, 2—胆红素, 3—牛血清蛋白, 4—卵清蛋白 (浓度均为 $6\ \mu\text{g} \cdot \text{ml}^{-1}$)

色谱柱: RP8, 300 Å, 175 mm \times 4 mm (内径), $5\ \mu\text{m}$

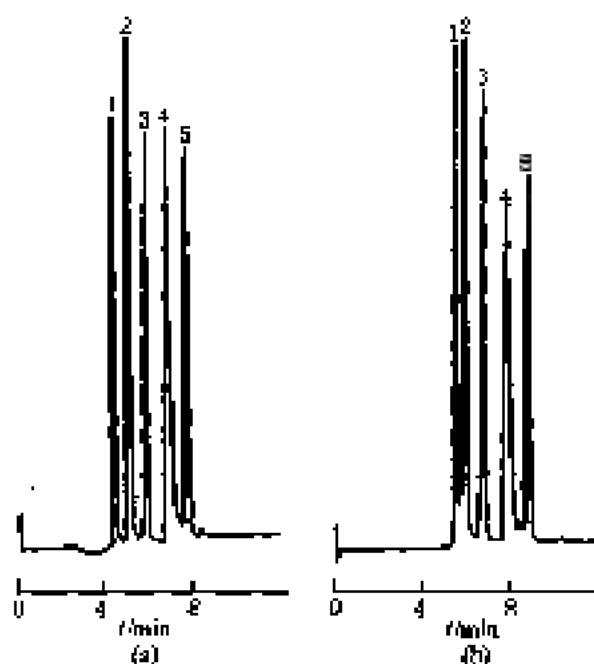
柱温: 室温

流动相: 水 + 乙醇, 内含 0.1% TFA

梯度冲注: $\text{H}_2\text{O} + \text{CH}_3\text{CN}$ (体积比 = 90 : 10) $\xrightarrow{15\ \text{min}}$ $\text{H}_2\text{O} + \text{CH}_3\text{CN}$ (体积比 = 10 : 90)

流速: $0.3\ \text{ml} \cdot \text{min}^{-1}$

检测器: 荧光检测器 ($\lambda_{\text{ex}} = 230\ \text{nm}$, $\lambda_{\text{em}} = 455\ \text{nm}$)

图 13-62 蛋白质混合物分离色谱图 (四)^[24]

色谱峰: 1—胰岛素; 2—胆红素 C; 3—溶菌酶; 4—牛血清蛋白; 5—硫酸软骨素

色谱柱: (a) NP-C₁₈-5 ($10\ \mu\text{m}$, $5\ \text{m}^2 \cdot \text{g}^{-1}$),
(b) NP-C₁₈-7 ($100\ \text{m}^2 \cdot \text{g}^{-1}$)

柱温: 室温

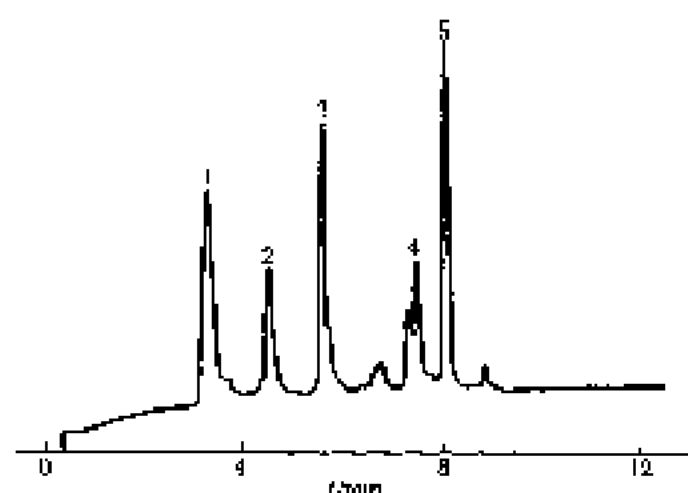
流动相: 溶剂 A 0.1% TFA + 水
溶剂 B 0.1% TFA + 90% 乙醇

线性梯度冲注: 10% B $\xrightarrow{20\ \text{min}}$ 100% B

流速: $2\ \text{ml} \cdot \text{min}^{-1}$

检测器: 分光光度

图 13-63 蛋白质混合物分离色谱图 (五)^[24]



色峰峰: 1—胰红蛋白; 2—胰凝乳蛋白酶; 3—溶菌酶; 4—α-胰蛋白酶; 5—α-胰蛋白酶原
 色谱柱: 填充 Baryl-NPR TSKgel 载体, 35 mm×4.6 mm (内径), 2.5 μm
 柱温: 25℃
 流动相: 溶剂 A 5.3 mol/L (NH₄)₂SO₄+0.1 mol/L 磷酸盐缓冲液 (pH7.0)
 溶剂 B 0.1 mol/L 磷酸盐缓冲液 (pH7.0)

线性梯度冲液: 0% B $\xrightarrow{10 \text{ min}}$ 50% B
 流速: 1.0 ml·min⁻¹
 检测器: UV (280 nm)

图 13-64 蛋白质混合物的分离色谱图 (A)^[10]

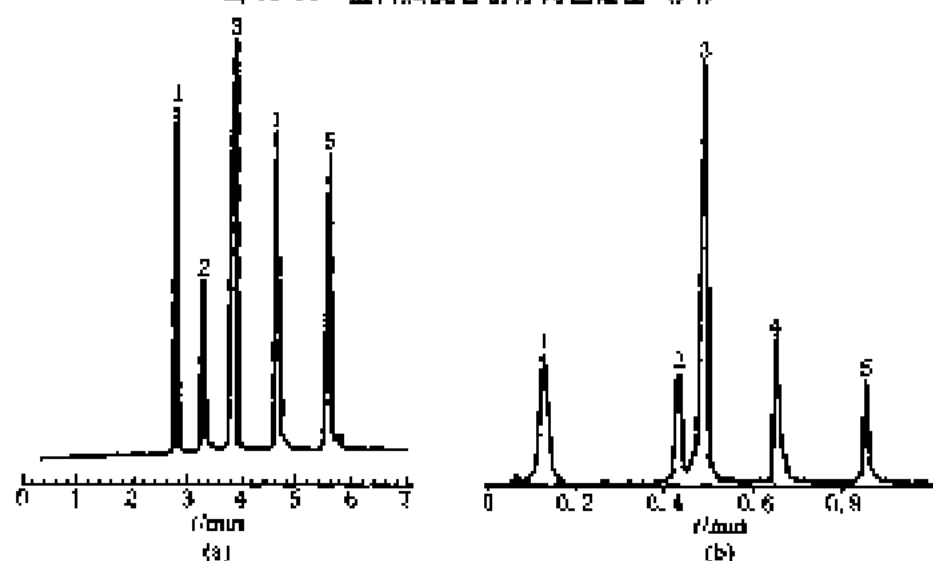
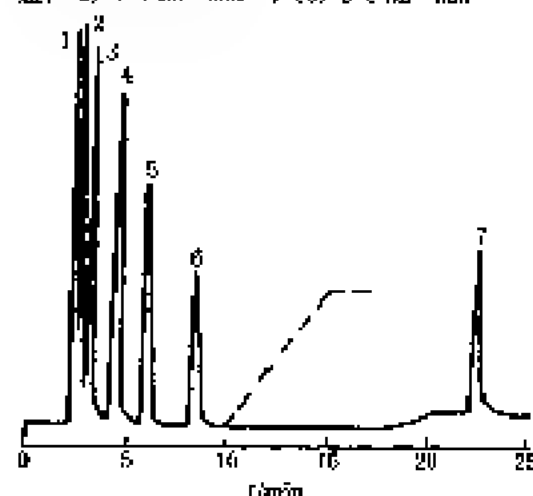


图 13-65 蛋白质混合物快速分离色谱图^[10]

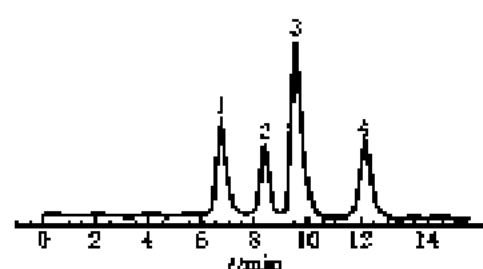
色峰峰: 1—胰凝乳蛋白酶; 2—胰凝乳酶; 3—溶菌酶; 4—牛血清蛋白; 5—卵清蛋白
 色谱柱: 填充 TSK-Gel NPB-C₁₈, 35 mm×4.6 mm (内径), 2.5 μm
 柱温: (a) 40℃, (b) 80℃
 流动相: 溶剂 A 0.1% TFA; 溶剂 B 0.1% TFA+乙醇
 流速: (a) 1.5 ml·min⁻¹, (b) 3.0 ml·min⁻¹

梯度冲液: (a) 10% B→60% B; (b) 20% B→60% B
 检测器: 二极管阵列



色峰峰: 1—次黄苷酸; 2—腺三磷; 3—腺二磷; 4—腺一磷; 5—次黄嘌呤; 6—肌苷; 7—腺苷
 色谱柱: Lichrosolv RP
 柱温: 室温
 流动相: 100 mmol/L KH₂PO₄+甲醇 (pH6.5)
 线性梯度冲液: 1.2% 甲醇 5 min 后变为 15% 甲醇, 10 min 后按图中虚线进一步增加甲醇浓度
 流速: 1.25 ml·min⁻¹
 检测器: UV (254 nm)

图 13-66 皂苷三磷酸及其降解产物分离色谱图^[10]

图 13-67 黄曲霉毒素的在线电化学衍生化分离色谱图^[24]

色谱峰: 1-ATF G₁; 2-ATF G₁; 3-ATF B₂; 4-ATF B₁
 色谱柱: Lichrospher 100, C₁₈ 5 μm, 125 mm × 4 mm (内径)
 流动相: 水+乙醇+甲醇 (体积比=70:15:15)
 流速: 1 ml · min⁻¹
 检测器: 荧光 (λ_{ex}=360 nm, λ_{em}=440 nm)

第二节 异构体和手性化合物色谱图

图 13-68 (+/-)-10-樟脑磺酸拆分数谱图^[25]

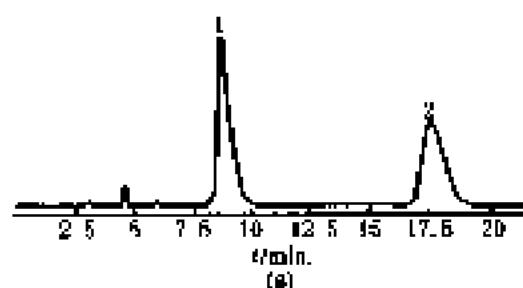
色谱峰: 1-(+)-10-樟脑磺酸; 2-(-)-10-樟脑磺酸
 色谱柱: Lichrosorb DIOL
 流动相: 0.35 mmol · L⁻¹奎尼定, 0.35 mmol · L⁻¹乙醇-二氧甲烷+1-戊醇 (体积比=89:1)



图 13-69 (±)-N-ε-BOC-苯丙氨酸

消旋体拆分数谱图^[26]

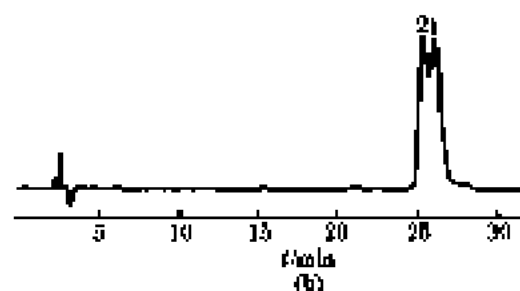
色谱峰: 1-(-)-N-ε-BOC-苯丙氨酸; 2-(+)-N-ε-BOC-苯丙氨酸
 色谱柱: Lichrosorb DIOL
 流动相: 0.35 mmol · L⁻¹奎尼定, 0.35 mmol · L⁻¹乙醇-二氧甲烷+1-戊醇 (体积比=89:1)

图 13-70 (±)-JA-(S)-苏氨酸甲酯的非对映异构体分离色谱图^[27]

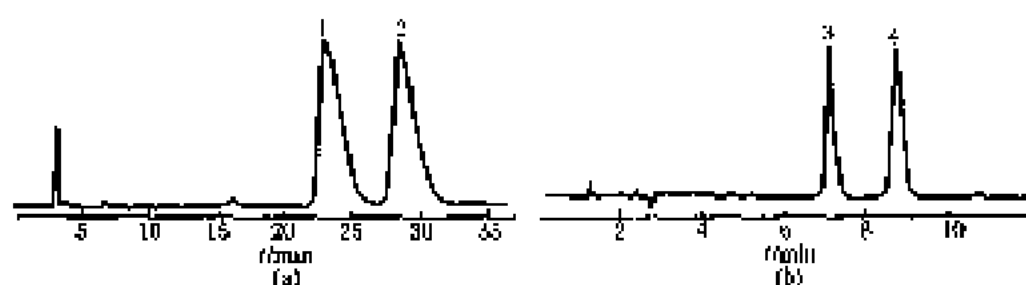
色谱峰: 1-(+)-JA-(S)-苏氨酸甲酯; 2-(-)-JA-(S)-苏氨酸甲酯

色谱柱: (a) chiralpak AS;
 (b) Lichrospher 100 RP-18

检测器: (a) UV (280 nm);
 (b) UV (330 nm)



流动相: (a) 正己烷+2-丙醇 (体积比=70:30);
 (b) 甲醇+0.2%乙醇 (体积比=40:60)

图 13-71 (+/-)-JA-S-苯酚手性分离色谱图^[55]

色谱峰: 1—(-)-JA-(S)-苯酚; 2—(+)-JA-(S)-苯酚; 3—(-)-JA-(S)-苯酚; 4—JA-(S)-苯酚

色谱柱: (a) Chromapak AS₈

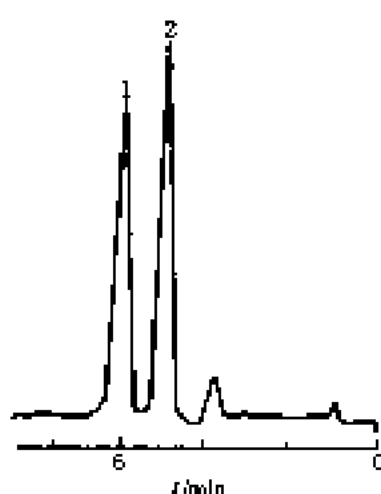
流动相: (a) 正己烷-2-丙醇 (体积比=95:5)

(b) Iachroaspher 100 RP 16

(b) 甲醇+0.2%乙酸 (体积比=80:20)

检测器: (a) UV (280 nm)

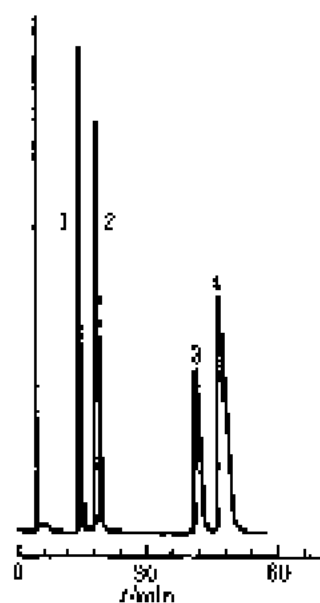
(b) UV (210 nm)



色谱峰: 1—S-阿普洛尔; 2—R-阿普洛尔

色谱柱: JLC Inertsil ODL

流动相: 2.5 mmol/L 2GP+1 mmol/L 三乙胺-二氯甲烷 (80 μL, 1 L H₂O)

图 13-72 (R,S)-阿普洛尔分离色谱图^[57]

色谱峰: 1—D-苏-[β-MePhe³] deltorphin C; 2—D-苏-[β-MePhe³] deltorphin C; 3—L-苏-[β-MePhe³] deltorphin C; 4—L-苏-[β-MePhe³] deltorphin C

① β-MePhe 代表 N-甲基苯丙氨酸

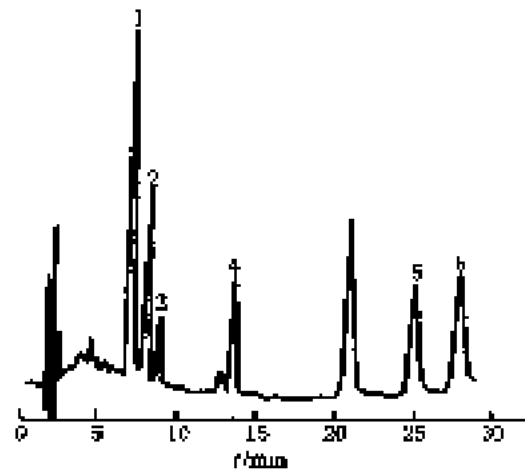
[β-MePhe³] deltorphin C 代表 Tyr-D-Ala-β-MePhe-Asp-Val-NH-Gly-NH₂

色谱柱: Vydac 218 TP104 C₁₈, 250 mm×4.6 mm (内径)

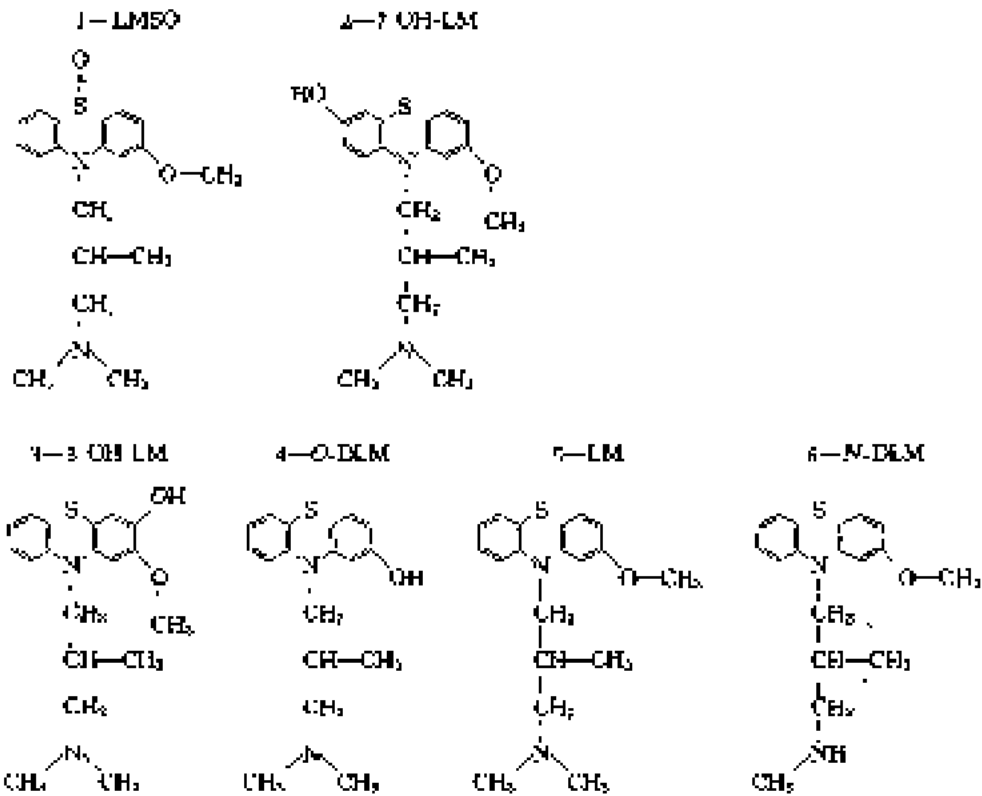
流动相: 乙腈-0.1% TPA (体积比=20:80)

检测器: UV (220 nm)

图 13-73 [β-MePhe³] deltorphin C 非对映体色谱图^[58]

图 13-74 左美丙咪及其代谢物的色谱图^[56]

色峰峰:

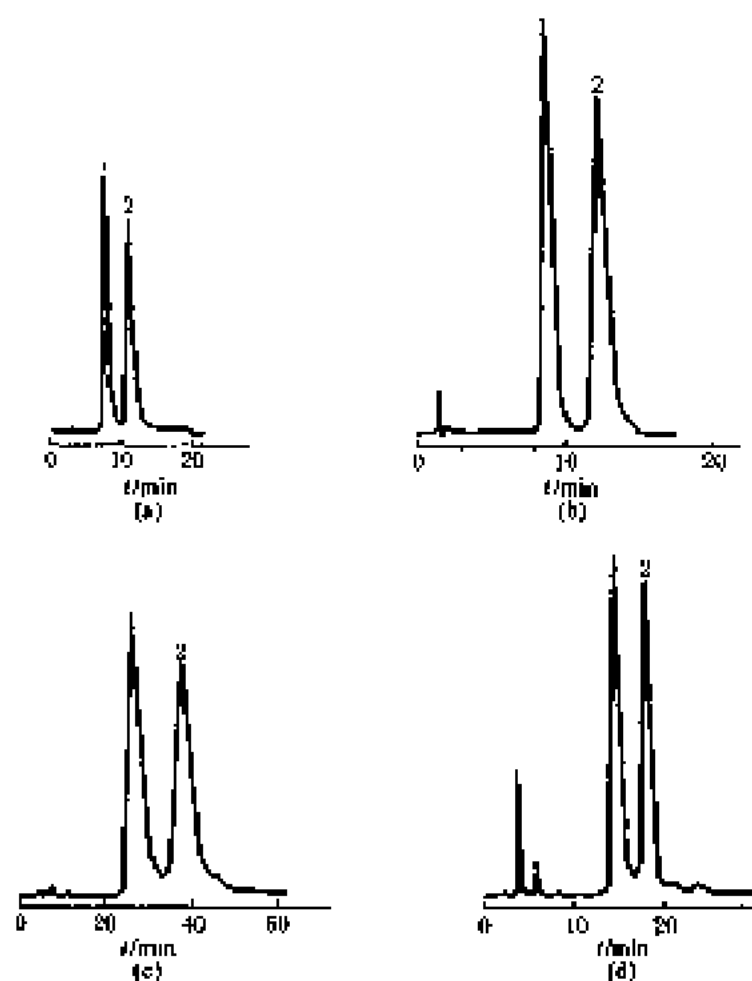


色谱柱: 250 mm × 4.6 mm (内径)

预处理柱: 填充 Supelcosil C₁₈, 100, 20 mm × 4.6 mm (内径), 5 μm

流动相: φ=50%乙醇含有 500 mmol · L⁻¹乙酸铵, 25 mmol · L⁻¹十二烷基磺酸钠 (pH5.0), φ=3% TFE

检测器: LTV (254 nm)



色谱峰: 1—R-H Bin-OH, 2—S-H Bin-OH

色谱柱: Chiral Dex, 250 mm×4 mm (内径), 5 μm

流动相: KH_2PO_4 (pH3) - 甲醇 (体积比=75:25)

流速: 0.8 mL·min⁻¹

检测器: UV (220 nm)

图 13-75 2',1',1,2,1'',2'',3,4-二羟基-1,3-二甲-6-氨基-6-旋糖(Bin)对映体分离色谱图^[11]

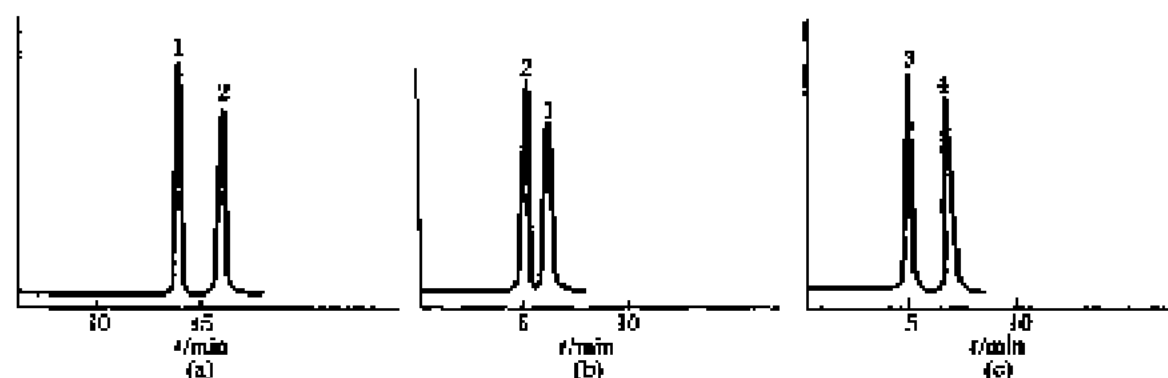


图 13-76 3-氨基丙氨酸和 3,3-二氨基丙氨酸对映体分离色谱图^[12]

色谱峰: (a), (b) 1—D-3-氨基丙氨酸; 2—L-3-氨基丙氨酸;

(c) 3—L-3,3-二氨基丙氨酸; 4—D-3,3-二氨基丙氨酸

色谱柱: (a) 填充 Chiral DPac(C₁₈) 载体, 250 mm×4.6 mm (内径), 5 μm

(b), (c) 填充 5 μm Nucleosil C₁₈ 载体, 250 mm×4.0 mm (内径)

流动相: (1+2:5) mmol/L H_2CO_3

流速: 0.75 mL·min⁻¹

检测器: UV (235 nm)

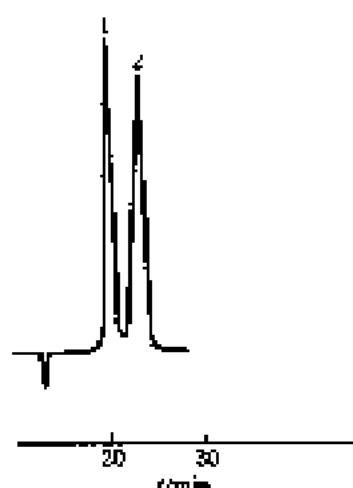


图 13-77 4-氟-DL- α -苯基氨基酸的对映体分离色谱图^[8]

色谱峰: 1—4-氟-DL- α -苯基甘氨酸, 2—4-氟-L- α -苯基甘氨酸
 色谱柱: Chiral Valcu, 250 mm \times 4.6 mm (内径), 5 μ m
 柱温: 35 $^{\circ}$ C
 流动相: 5.0 mmol \cdot L $^{-1}$ CsSO $_4$
 流速: 0.75 ml \cdot min $^{-1}$
 检测器: UV (230 nm)

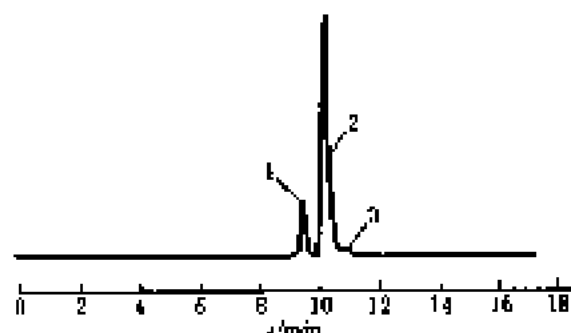


图 13-78 9-反, 11-顺-C $_{18}$, β -脂酸色谱图^[9]

色谱峰: 1—9-反, 11-反-十八 β -脂酸, 2—9-顺, 11-反-十八
 二烯酸, 3—9-顺, 11-顺-十八二烯酸
 色谱柱: 4.6 mm (内径) \times 250 mm, 5 μ m
 流动相: 0.5%乙醇+己烷
 流速: 1.0 ml \cdot min $^{-1}$
 检测器: UV (206 nm)

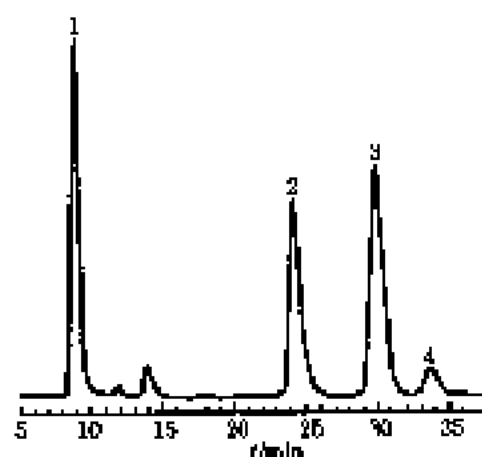


图 13-79 BA 反式二氢二醇反相分离色谱图^[9]

色谱峰: 1—BA 反式 1, 2-二氢二醇, 2—BA 反式 5, 6-二氢
 二醇, 3—BA-8, 9 和 10, 11-反式二氢二醇, 4—BA-
 反式-9, 4-二氢二醇
 色谱柱: 填充 Sydac C $_{18}$ 载体, 250 mm \times 4.6 mm (内径)
 流动相: 甲醇+水 (体积比=3:2)
 流速: 1.2 ml \cdot min $^{-1}$
 检测器: UV (254 nm)

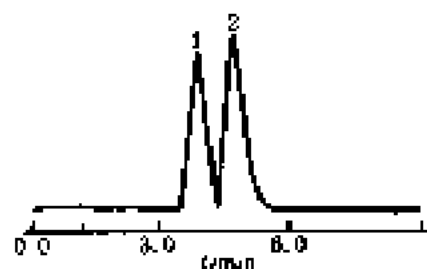
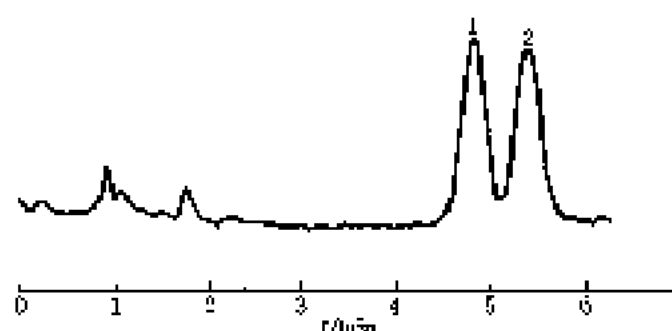


图 13-80 D、L-肾上腺素的色谱图^[10]

色谱峰: 1—D-肾上腺素, 2—L-肾上腺素
 色谱柱: Sephadex C $_{18}$ 柱 (200 mm \times 4.6 mm, 10 μ m); 流动相: V
 (甲醇): V(水)=40:60, 含 0.8 mmol \cdot L $^{-1}$ DM- β -CD,
 0.2% H $_3$ PO $_4$
 流速: 0.7 ml \cdot min $^{-1}$
 检测器: UV (254 nm)

图 13-81 L-色氨酸拆分色谱图^[7]

色谱峰: 1—L-色氨酸; 2—D-色氨酸

色谱柱: Lichrosorb RP-2

流动相: 20 μmol/L Tris-HCl + 磷酸盐缓冲液 (pH 6.5)

检测器: UV (280 nm)

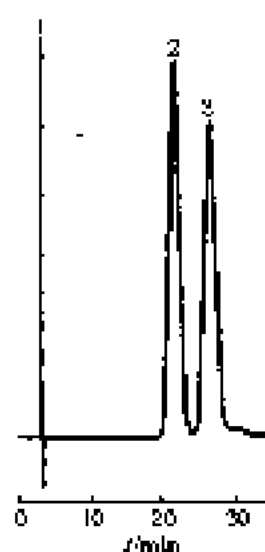


图 13-82 1、3'-联苯-2, 2'

二酚对应体拆分色谱图^[10]

色谱峰: 1— $(M)_1$; 2—5-联苯二酚; 3— R -联苯二酚

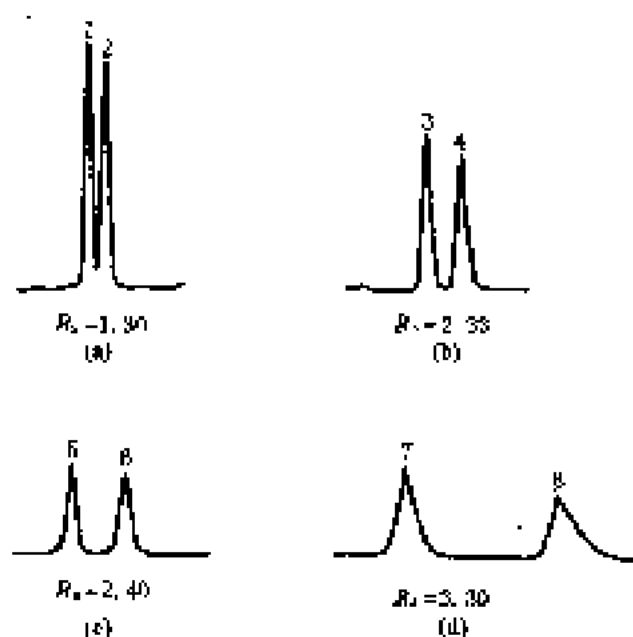
色谱柱: 填充 Lichrosorb RP-18 载体, 15 cm \times 0.35 mm (内径), 5 μ m

柱温: 20°C

流动相: 5%乙醇—200 mmol/L $NaCl$

流速: 3.8 μ l \cdot min⁻¹

检测器: UV (282 nm)

图 13-83 丹磺酰氯-D, L-氨基酸拆分色谱图^[11]

色谱峰: 1—丹磺酰氯-L-蛋氨酸; 2—丹磺酰氯-D-蛋氨酸; 3—丹磺酰氯-L-正亮氨酸; 4—丹磺酰氯-D-正亮氨酸; 5—丹磺酰氯-L-乙基亮氨酸; 6—丹磺酰氯-D-乙基亮氨酸; 7—丹磺酰氯-L-α-氨基正辛酸; 8—丹磺酰氯-D-α-氨基正辛酸

色谱柱: 填充 C18bond 3 载体, 250 mm \times 4.6 mm (内径)

柱温: 20°C

流动相: 甲醇+0.5%TEAA 缓冲液 (pH 6.2) (体积比=30:70)

流速: 1 ml \cdot min⁻¹

检测器: UV (254 nm)

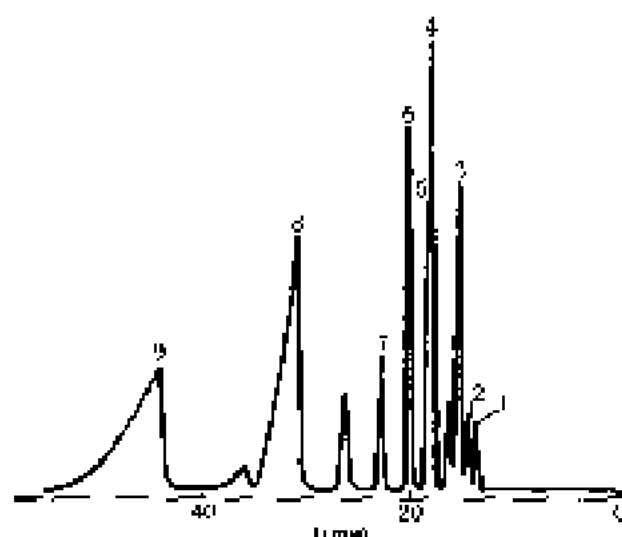


图 13-84 9 种 β -胡萝卜素立体异构体分离色谱图^[30]

色谱峰: 1—7, 13'-二顺- β -胡萝卜素; 2—9, 13, 13'-三顺- β -胡萝卜素; 3—5, 13'-二顺- β -胡萝卜素; 4—15 顺- β -胡萝卜素; 5—9, 13-顺- β -胡萝卜素; 6—13-顺- β -胡萝卜素; 7—9, 9'-顺- β -胡萝卜素; 8—全反- β -胡萝卜素; 9—9-顺- β -胡萝卜素

固定相: 硅胶

柱温: 30℃

流动相: 己烷

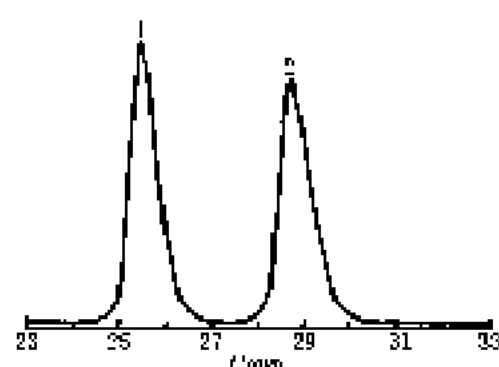


图 13-85 伊布利特对映体外消旋化色谱图^[30]

色谱峰: 1—(+)-伊布利特-NH; 2—(-)-伊布利特-NH

色谱柱: Pirkle 柱 250 mm \times 4.6 mm (内径)

流动相: A 甲醇—0.05% TPA

B 0.05% TPA

流速: 1 ml \cdot min⁻¹

检测器: UV (320 nm)

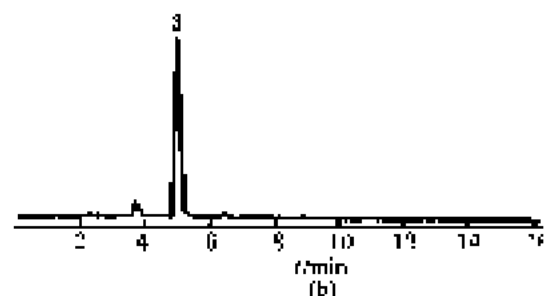
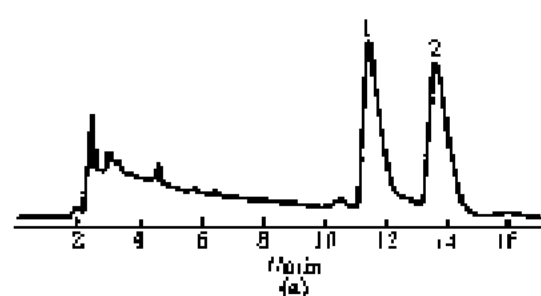


图 13-86 甘氨酸甲酯的手性分离色谱图^[30]

色谱峰: 1—(-)-L-甘氨酸甲酯; 2—(+)-D-甘氨酸甲酯; 3—(-)-L-甘氨酸甲酯

色谱柱: (a) elusopak AS;

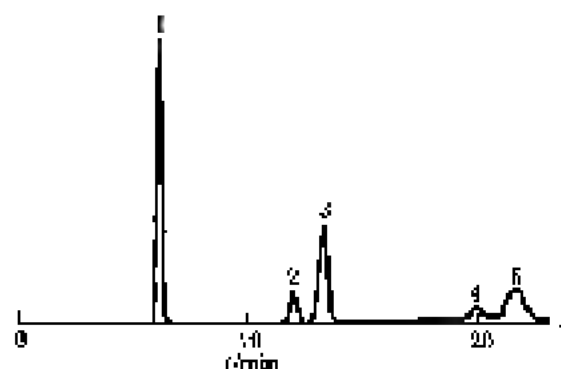
(b) Lichrospher 100 RP-18

流动相: (a) 正己烷— γ -丙醇 (体积比=70:30);

(b) 甲醇+0.2%乙酸 (体积比=60:40)

检测器: (a) UV (280 nm);

(b) UV (210 nm)



色谱峰: 1—丁本甲酯; 2—顺式高旋氯酯; 3—反式高旋氯酯;
4—顺式苯胺氯酯; 5—反式苯胺氯酯

色谱柱: Waters μ bondapak C₁₈, 3.9 mm \times 250 mm, 10 μ m

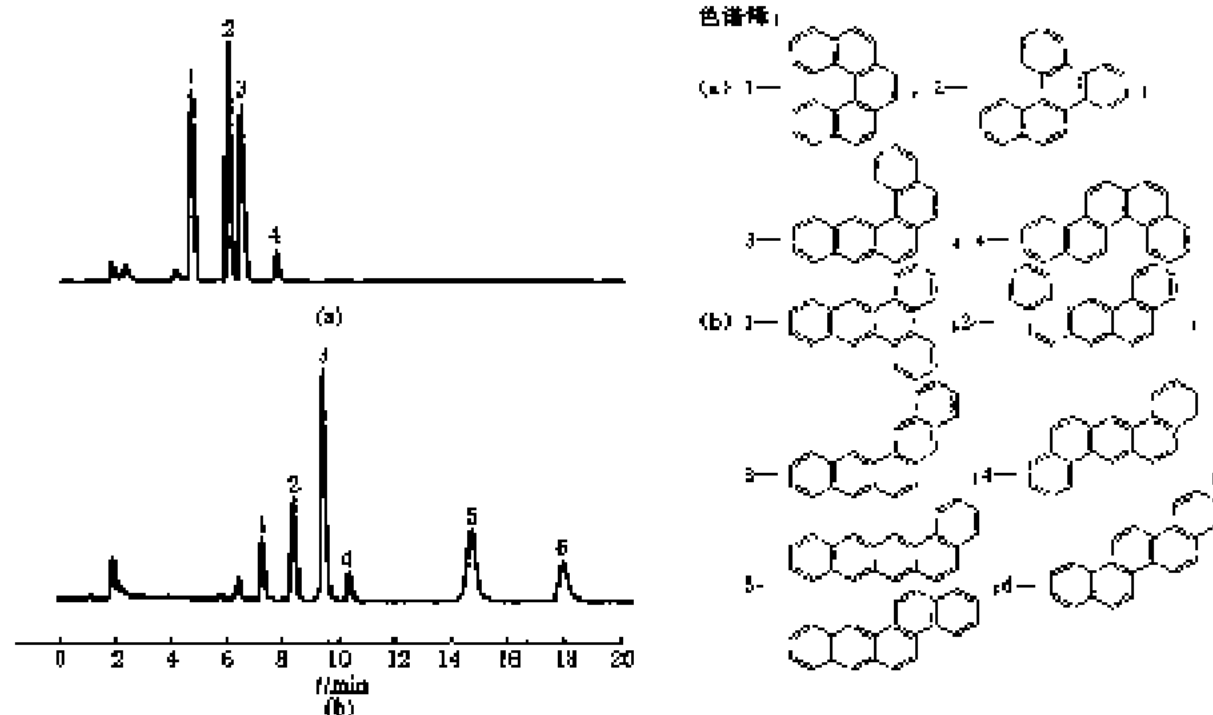
流动相: 甲醇—水

流速: 0.7—1.0 ml \cdot min⁻¹

柱温: 40℃

检测器: UV (330 nm)

图 13-87 除虫菊酯混合制剂异构体分离色谱图^[30]

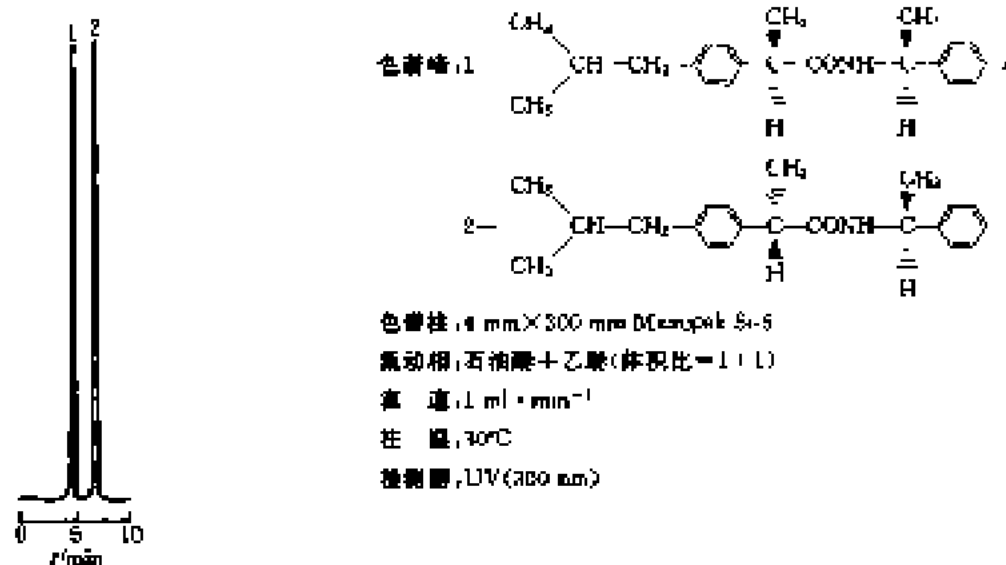
图 13-88 多环芳烃异构体分离色谱图^[20]

色谱柱: (a) 聚合 C_{18} 柱; (b) 聚合 C_{18} 柱

流动相: (a) 梯度洗脱: 85%~100% 乙醇 1 本, 5 min 内, 100% 乙醇 (5 min 后);

(b) 梯度洗脱: 85%~100% 乙醇 + 水, 5 min 内, 100% 乙醇 (5 min 后)

检测器: UV (254 nm)

图 13-89 对映体手性拆分色谱图⁽²¹⁾

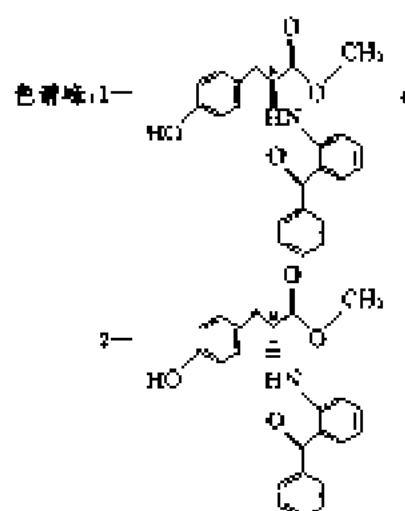
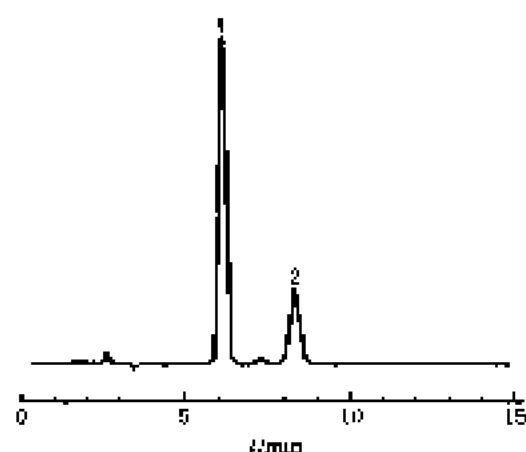


图 13-80 2-[(2-苯基-苯基)胺]-3-(4-羟基苯基)-丙酸甲酯的对应体拆分色谱图^[84]

色谱柱: μ bond (C₁₈ bonded CH) (250 mm \times 4.6 mm)

流动相: 乙醇+正己烷+三氯乙酸 (体积比=23:77:0.1)

柱温: 24 $^{\circ}$ C

流速: 1.0 ml \cdot min $^{-1}$

检测器: UV (230 nm)

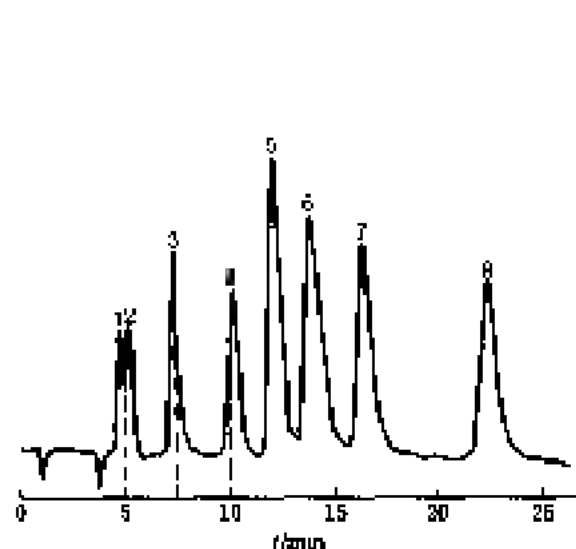


图 13-81 α -羟基酸外消旋物拆分色谱图 (一)^[85]

色谱峰: 1—*R*-乳酸; 2—*S*-乳酸; 3—*S*-苹果酸; 4—*R*-苹果酸; 5—*S*-酒石酸; 6—*R*-酒石酸; 7—*R*-扁桃酸; 8—*S*-扁桃酸

色谱柱: 填充 Deracal CDS-7 载体, 250 mm \times 4 mm (内径)

流动相: 8 mmol \cdot L $^{-1}$ Cu (Ac) $_2$ +16 mmol \cdot L $^{-1}$ L-脯氨酸+50 mmol \cdot L $^{-1}$ NaAc 缓冲液 (pH6.0)

检测器: UV (420 nm)

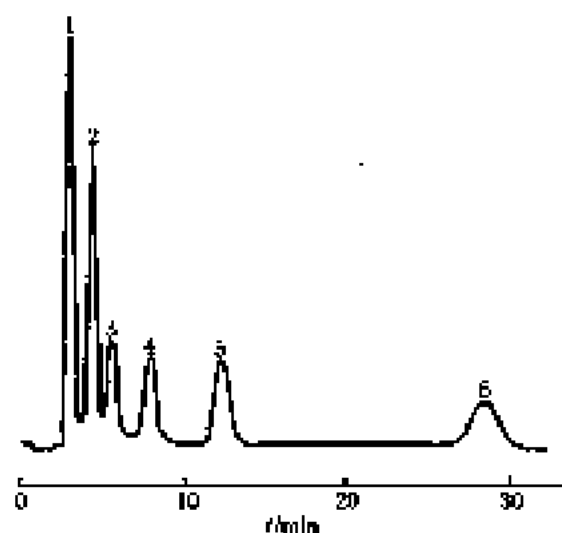


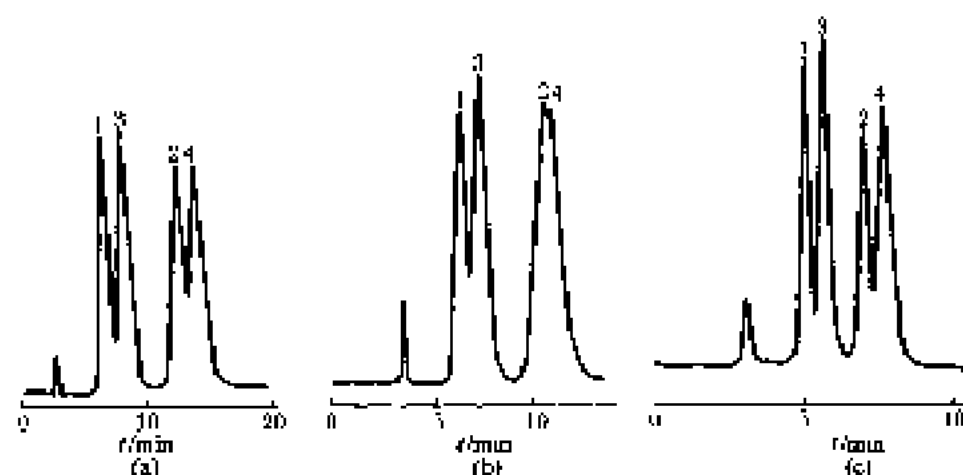
图 13-82 α -羟基酸外消旋物拆分色谱图 (二)^[85]

色谱峰: 1—*R*-扁桃酸; 2—*S*-扁桃酸; 3—*R*-丙氨酸; 4—*S*-丙氨酸; 5—*R*- β -苯基乳酸; 6—*S*- β -苯基乳酸

色谱柱: 填充 Deracal CDS-7 载体, 50 mm \times 4 mm (内径)

流动相: 8 mmol \cdot L $^{-1}$ Cu (OAc) $_2$ +16 mmol \cdot L $^{-1}$ L-脯氨酸 (pH6.8)

检测器: UV (420 nm)

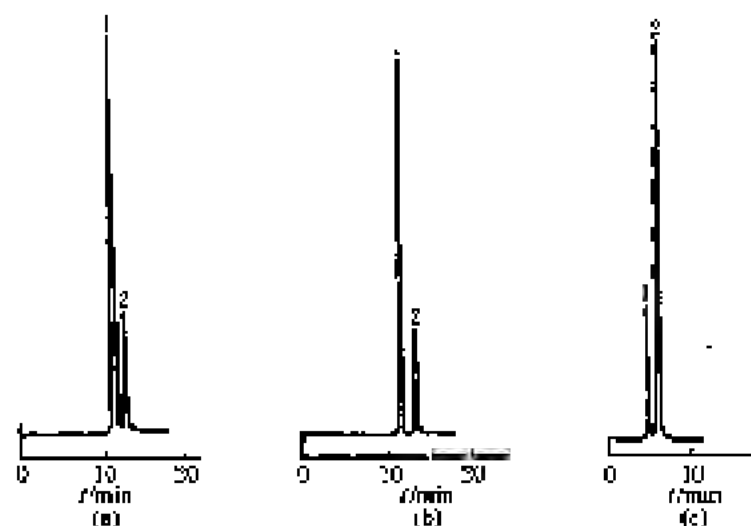
图 13-93 β -MePhe 对映体分离色谱图^[46]

色谱峰: 1—苏-L- β -MePhe; 2—苏-D- β -MePhe; 3—苏-L- β -MePhe; 4—苏-D- β -MePhe

色谱柱: Chromabond T, 250 mm \times 4.6 mm (内径), 5 μ m

流动相: 水—甲醇 (体积比 = 10 : 90)

检测器: UV (220 nm)



色谱峰: 1—DL-苏同系物; 2—DL-赤同系物

色谱柱: Vydac 213 TP54 C₁₈

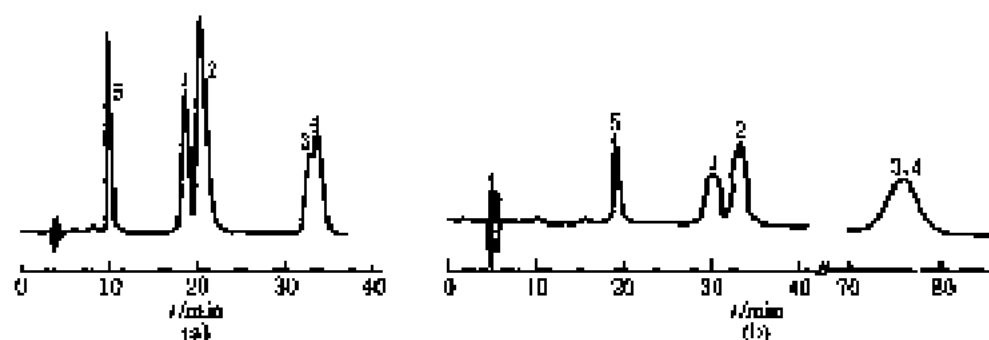
流动相: 0.1% 乙酸-水

流速: 1.5 ml \cdot min⁻¹

检测器: UV (210 nm)

图 13-94 β -H 基化氨基酸的 DL 苏同系物和 DL 赤同系物分离色谱图^[46]

(a) β -MePhe (b) β -MeTic (c) β -MeTyr

图 13-95 β -甲基苯丙氨酸的 1-氟-2, 4-二硝基苯-5-L-丙氨酸胺衍生物色谱图^[47]

色谱峰: 1—L-赤-1-氟-2, 4-二硝基苯-5-L-丙氨酸胺; 2—L-苏-1-氟-2, 4-二硝基苯-5-L-丙氨酸胺; 3—D-赤-1-氟-2, 4-二硝基苯-5-L-丙氨酸胺; 4—D-苏-1-氟-2, 4-二硝基苯-5-L-丙氨酸胺; 5—未反应的 1-氟-2, 4-二硝基苯-5-L-丙氨酸胺

色谱柱: Nucleosil 10C₁₈, 250 mm \times 4.6 mm (内径)

流动相: 甲醇+缓冲液 (0.01 mol \cdot L⁻¹ KH₂PO₄ (pH 6)) (体积比 = 40 : 60)

检测器: UV (340 nm)

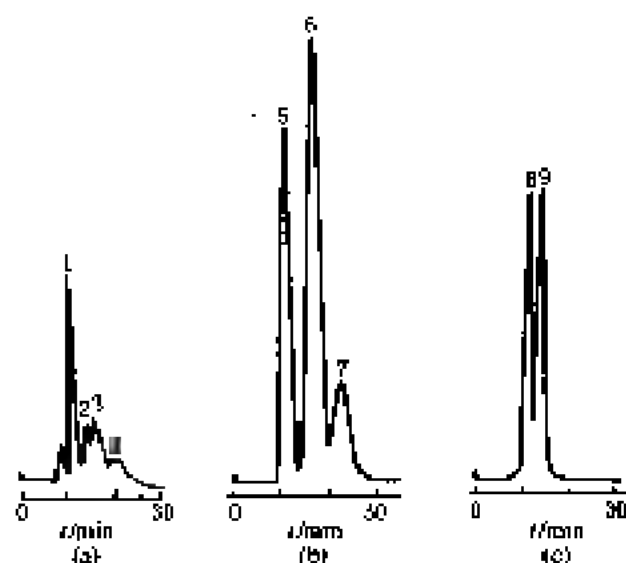


图 13-96 丁苯异构物、三联苯异构物和甲基苯异构物反相分离色谱图^[41]

(a) 丁苯异构物; (b) 三联苯异构物; (c) 甲基苯异构物

色谱峰: 1—正丁苯; 2—仲丁苯; 3—异丁苯; 4—叔丁苯; 5—邻联丁苯; 6—间联丁苯; 7—对联丁苯; 8—1-甲基苯; 9—2-甲基苯

色谱柱: (a) 250 mm×1 mm (内径);

(b) 450 mm×0.53 mm (内径);

(c) 250 mm×1 mm (内径)

流动相: (a) 甲醇+水 (体积比=25:75);

(b), (c) 甲醇+水 (体积比=65:35)

流速: (a) 30 $\mu\text{L} \cdot \text{min}^{-1}$

(b), (c) 15 $\mu\text{L} \cdot \text{min}^{-1}$

检测器: UV (254 nm)

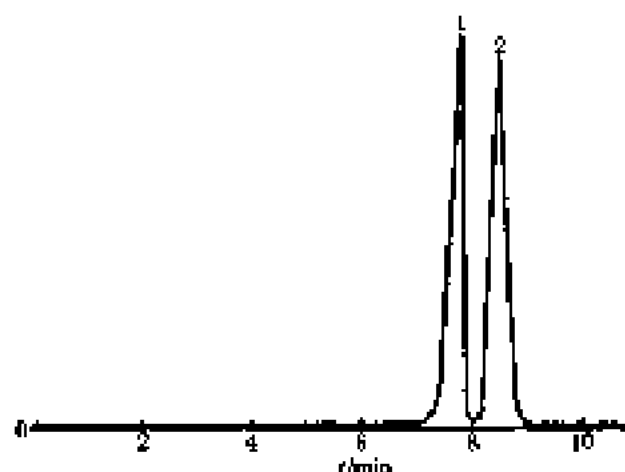


图 13-98 外消旋 RW7 20629 对映体的分离色谱^[42]

色谱柱: 250 mm×4.6 mm (内径), β -CD 柱

流动相: 甲醇+乙醇+乙酸铵 (体积比=5:73:72)

流速: 0.7 $\text{mL} \cdot \text{min}^{-1}$

检测器: 二极管阵列紫外

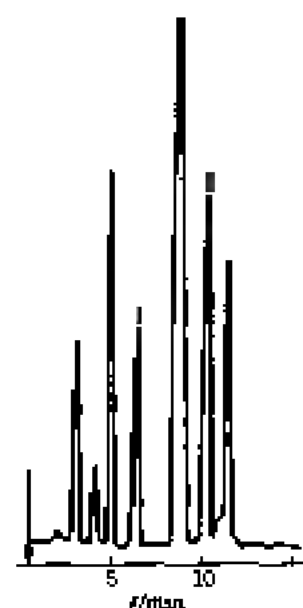


图 13-97 丁烯二酸-丁酯异构体色谱图^[43]

色谱峰: 1—反丁烯二酸-丁酯; 2—顺丁烯二酸-丁酯

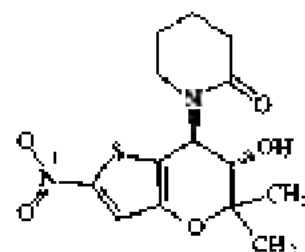
色谱柱: Zorbax C18, 4.6 mm (内径)×250 mm

流动相: 正己烷+二氯甲烷 (体积比=70:30)

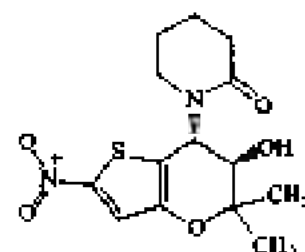
流速: 1 $\text{mL} \cdot \text{min}^{-1}$

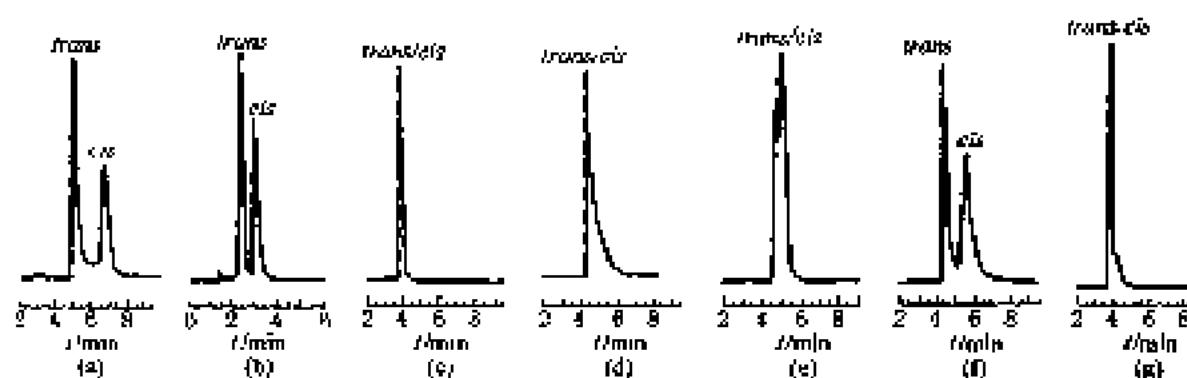
检测器: 光电二极管阵列 (254 nm)

色谱峰: 1.



2.



图 13-99 二肽 Ala-Pro 等度分离谱图^[12]

色谱峰：二肽 Ala-Pro 反式和顺式化合物

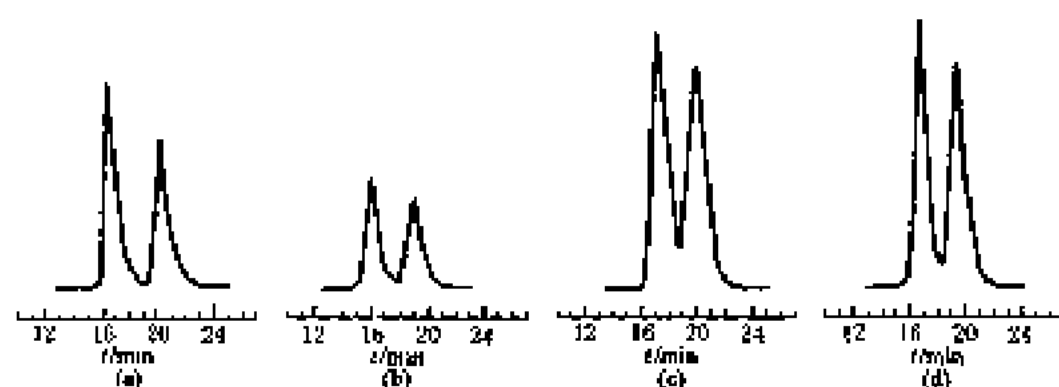
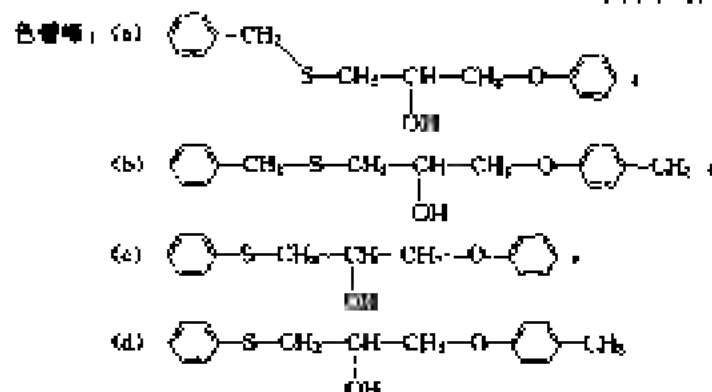
色谱柱：(a) 填充 $C_{18}-Si$ 100, $5\ \mu m$, $250\ mm \times 4\ mm$ (内径);

(b) 填充 $\beta CD-Si$ 100, $5\ \mu m$, $250\ mm \times 4\ mm$;

(c)~(g) 填充为经 $Ar-Si$ 100, $250\ mm \times 4.6\ mm$ (内径)

流动相: $0.02\ mol \cdot L^{-1}\ NH_4H_2PO_4$ (pH 6.2)

流速: $1\ ml \cdot min^{-1}$

图 13-100 苯基异氧碳酸酯分色谱图 (一)^[13]

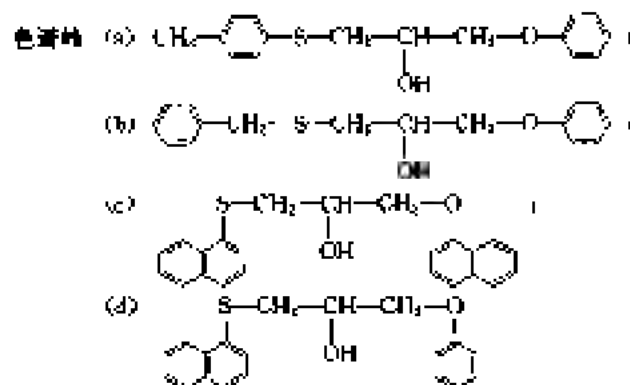
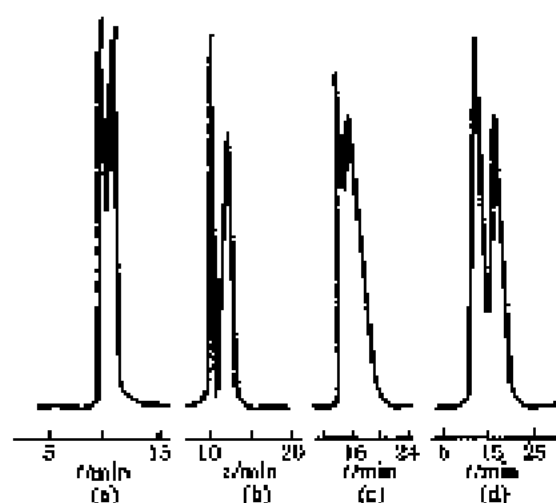
色谱柱: ADMPC, $150\ mm \times 4.6\ mm$

流动相: 正己烷, 异丙醇 (体积比=94:4)

流速: $1\ ml \cdot min^{-1}$

柱温: 室温

检测器: UV (254 nm)

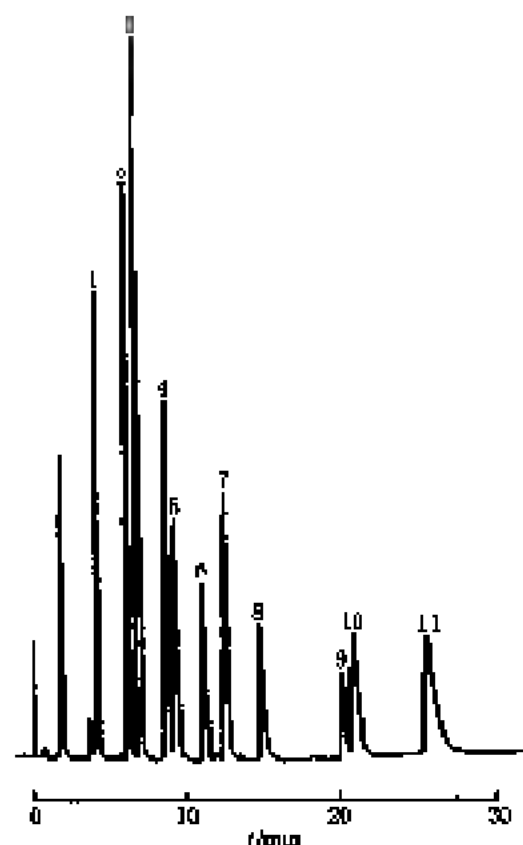
图 13-101 苯基异氨酸酯拆分色谱图 (二)^[37]

色谱柱: 准康图真核细胞手性固定相, 150 mm×4.6 mm

流动相: 正己烷+异丙醇 (体积比=95:5)

流速: 1 mL·min⁻¹

检测器: UV (254 nm)



色谱峰: 1-二苯并 [c, g] 菲; 2-菲并 [g] 菲; 3-二苯并 [b, g] 菲; 4-二苯并 [a, c] 菲; 5-菲并 [c] 菲; 6-二苯并 [a, g] 菲; 7-二苯并 [b, d] 菲; 8-二苯并 [u, h] 菲; 9-菲并 [a] 菲; 10-菲并 [b] 菲; 11-菲

图 13-102 11 种 PAH 同分异构物分离色谱图^[40]

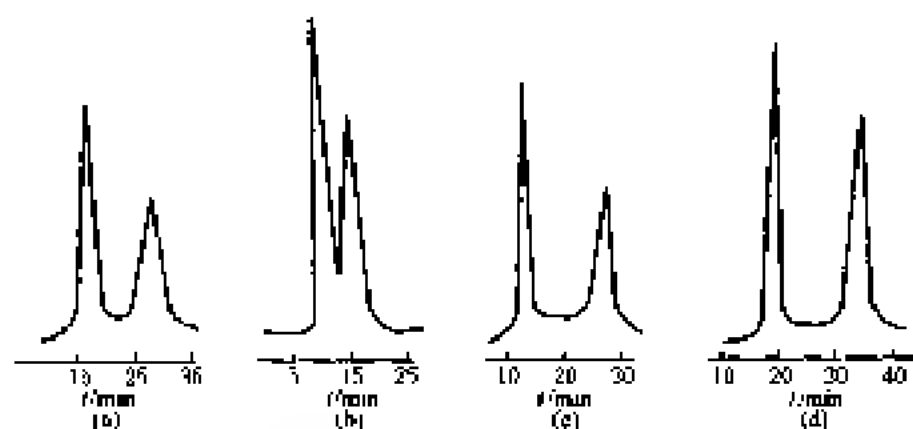
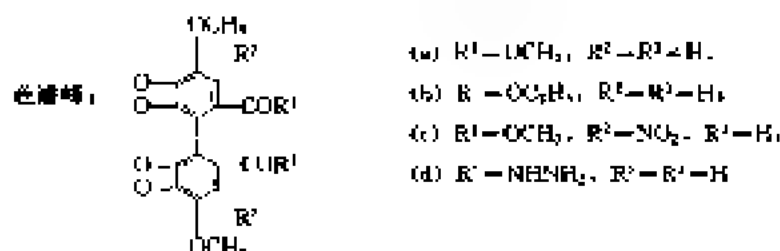
色谱柱: Vydac 201TP 柱, 填充 C₁₈ 载体

流动相: 乙醇+水

柱温并洗: 85%乙醇 $\xrightarrow{15 \text{ min}}$ 100%乙醇

流速: 1.5 mL·min⁻¹

检测器: UV (254 nm)

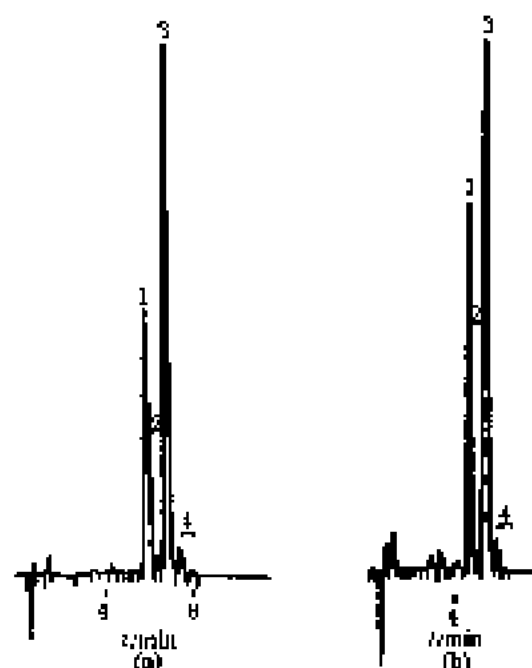
图 13-103 联苯双羧酸及其衍生物的析分色谱图^[50]

色谱柱: CDMPC, 150 mm × 4.6 mm

流动相: 正己烷 + 异丙醇 (体积比 = 70 : 30)

流速: 1.0 ml · min⁻¹

柱温: 室温

图 13-104 不同色谱柱上胡萝卜萃取物色谱图^[51]

色谱峰: 1—全反式- α -胡萝卜素; 2— α -胡萝卜素顺式异构体; 3—全反式- β -胡萝卜素; 4— β -胡萝卜素顺式异构体

色谱柱: (a) 填充 ChromaTech CT Sil C₁₈载体, 150 mm × 4.6 mm (内径);

(b) 填充 Spherosorb ODS-2 载体, 100 mm × 4.6 mm (内径)

柱温: 22°C

流动相: CO₂ + 甲醇 (体积比 = 90 : 10), 压力为 18 MPa

流速: 4 ml · min⁻¹

检测器: UV (450 nm)

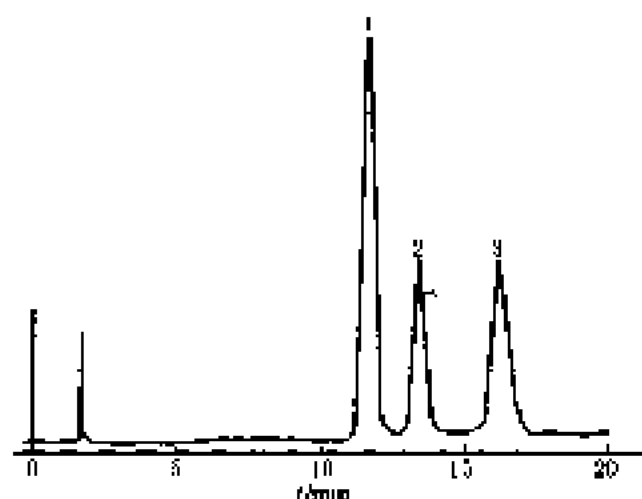
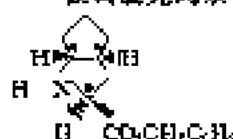


图 13-105 与三氟乙酸酐衍生物的前体 11
及其旋光同系物色谱图 (—)(+)

前体 11:



色谱峰: 1—顺-拉式; 2—顺-桥接式; 3—反-左式

色谱柱: Sphersorb Silica, 5 μ m

流动相: 2%乙醇+己烷

流速: 1 ml \cdot min $^{-1}$

检测器: UV (210 nm)

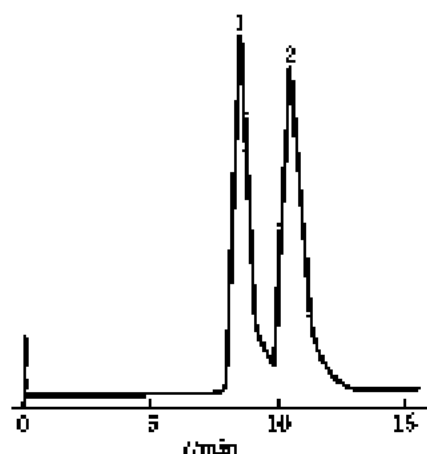


图 13-107 与三氟乙酸酐衍生物的前体 12
及其旋光同系物色谱图 (—)(+)

色谱峰: 1—SSS; 2—RRR

色谱柱: Chromapak OI (+)

流动相: 甲醇+水 (体积比=10:1)

流速: 1 ml \cdot min $^{-1}$

检测器: UV (254 nm)

① 前体 12 结构见图 13-106。



图 13-108 与三氟乙酸酐衍生物的前体 13
及其旋光同系物色谱图 (—)(+)

色谱峰: 1—顺-拉式; 2—顺-桥接式; 3—反-左式
色谱柱: Sunapax OA 100d

流动相: 0.5%乙醇+己烷

流速: 2 ml \cdot min $^{-1}$

检测器: UV (210 nm)

① 前体 13 结构见图 13-105。

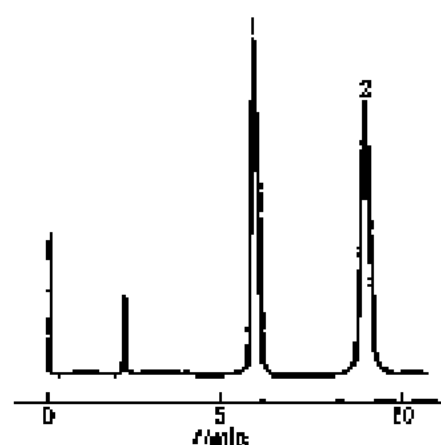
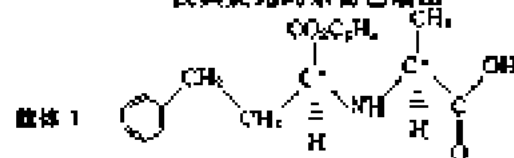


图 13-109 与重氮甲烷衍生物的前体 14
及其旋光同系物色谱图 (—)(+)



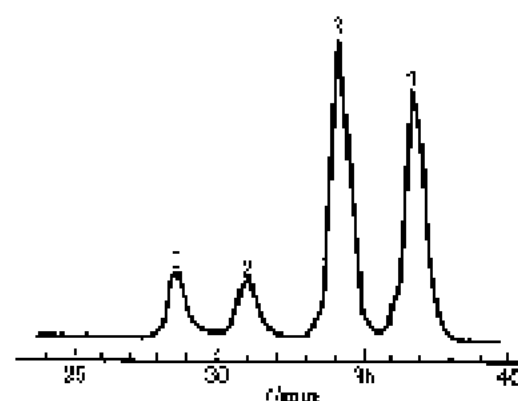
色谱峰: 1—SR+RS; 2—SS+RR

色谱柱: Nucleosil, 50-5, 5 μ m

流动相: 0.4%乙醇+己烷

流速: 2 ml \cdot min $^{-1}$

检测器: UV (210 nm)



色谱峰: 1, 2—BA 反式-10, 11-二氢二醇对映体; 3, 4—BA 反式-8, 9-二氢二醇对映体

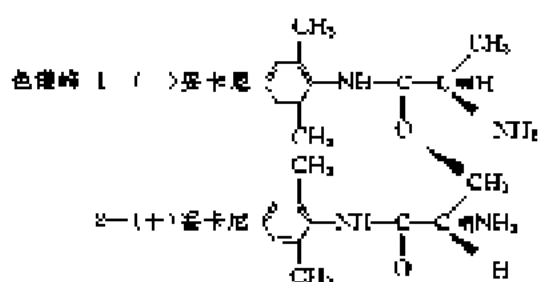
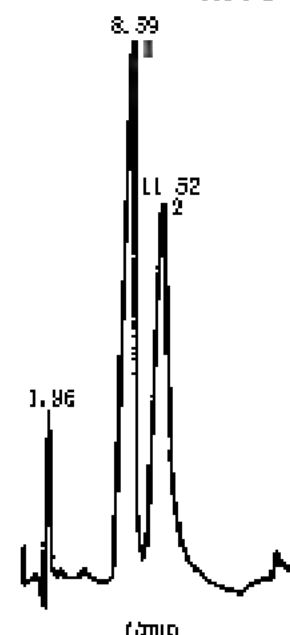
色谱柱: 填充 γ -氨丙基硅烷化硅(离子筛)载体, 250 mm \times 4.6 mm (内径)

流动相: 10%乙醇+乙醇(体积比=2:1), 己烷

流速: 2 ml \cdot min $^{-1}$

检测器: UV (254 nm)

图 13-109 BA 反式-10, 11-二氢二醇对映体和 BA 反式-8, 9-二氢二醇对映体分离色谱图^[40]



色谱柱: 填充 Crownpak CR(+) 载体, 250 mm \times 4.6 mm (内径)

柱温: 24 $^{\circ}$ C

流动相: 0.1 mol \cdot L $^{-1}$ 高氯酸

流速: 1.0 ml \cdot min $^{-1}$

压力: 3.46×10^5 Pa

检测器: UV (254 nm)

图 13-110 外消旋晏卡尼的 LC 分离色谱图^[40]

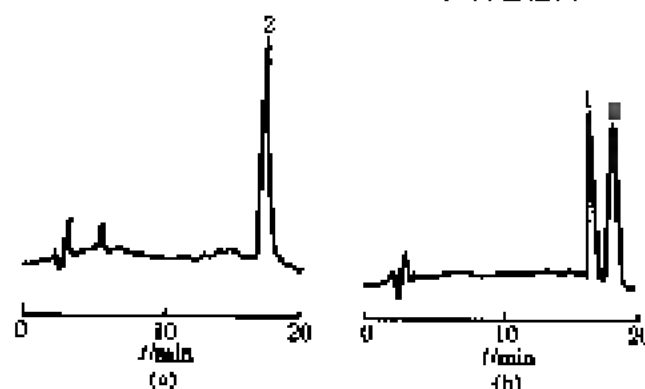


图 13-111 苯丙氨酸的高压对拆分离色谱图^[40]

色谱峰: (a) L-苯丙氨酸衍生物, (b) D,L-苯丙氨酸衍生物

色谱柱: ZORBAX SIL, 250 mm \times 4.6 mm

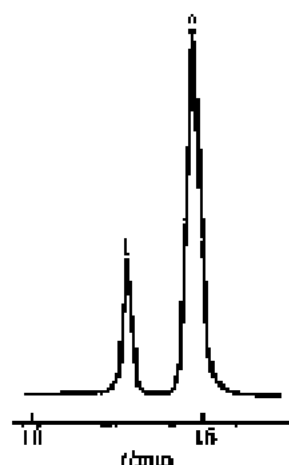
流动相: 溶剂 A: 二氧甲烷+正戊醇(体积比=99:1)

溶剂 B: 含 0.35 mmol \cdot L $^{-1}$ 奎宁的冰乙酸溶液

运行溶剂: 溶剂 A+溶剂 B (体积比=100:5)

流速: 1.0 ml \cdot min $^{-1}$

检测器: 二极管阵列 (190 nm~450 nm)



色谱峰: 1—反式-10, 11-二氢二醇; 2—反式-8, 9-二氢二醇
 色谱柱: 填充 7 氨基苄基硅烷化硅 (共价键) 载体, $250\text{ mm} \times 4.6\text{ mm}$ (内径), $5\text{ }\mu\text{m}$
 流动相: 10% 乙醇 + 乙腈 (体积比 = 2 : 1), 己腈
 流速: $2\text{ ml} \cdot \text{min}^{-1}$
 检测器: UV (254 nm)

图 13-112 苯并[α]萘反式-10, 11-二氢二醇和苯并[α]萘反式-8, 9-二氢二醇正相分离色谱图^[18]

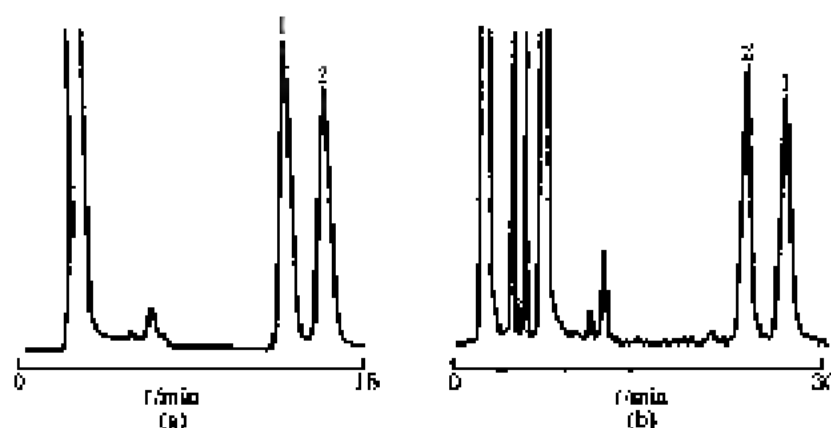


图 13-113 甘氨酸二肽对映体拆分色谱图^[19]

(a) FMOC-Gly-Nva; (b) FMOC-Gly-Asp

色谱峰: 1—LL 型 Gly 三肽, 2—DD 型 Gly 三肽

色谱柱: (a) α -环糊精, $250\text{ mm} \times 4.6\text{ mm}$ (内径), $5\text{ }\mu\text{m}$; (b) β -环糊精, $250\text{ mm} \times 4.6\text{ mm}$ (内径), $5\text{ }\mu\text{m}$

流动相: (a) 乙醇 + 甲醇 + 三乙胺 + 乙酸 (体积比 = 850 : 150 : 12 : 3);

(b) 乙醇 + 甲醇 + 三乙胺 + 乙酸 (体积比 = 900 : 100 : 8 : 1.5)

流速: $1\text{ ml} \cdot \text{min}^{-1}$

检测器: 荧光检测 ($\lambda_{\text{ex}} = 286\text{ nm}$, $\lambda_{\text{em}} = 315\text{ nm}$)

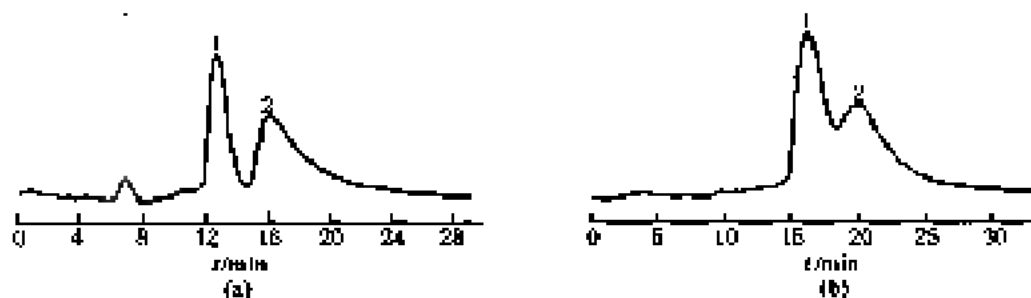


图 13-114 分子烙印手性固定相对生化氨基酸的手性拆分色谱图^[20]

色谱峰: (a) 1—苯甲氧羰基-D-Ala, 2—苯甲氧羰基 L-Ala;

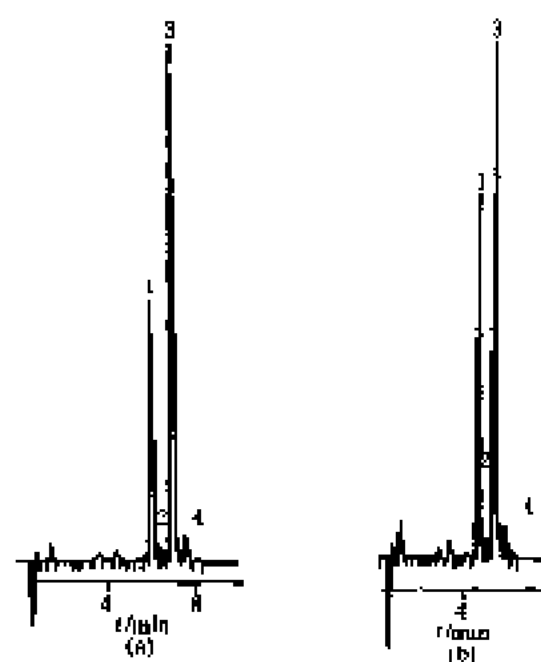
(b) 1—苯甲氧羰基-D-Ser, 2—苯甲氧羰基 L-Ser

色谱柱: 分子烙印硅胶柱 ($250\text{ mm} \times 4\text{ mm}$)

流动相: 乙腈 + 乙酸 (体积比 = 99.5 : 0.5)

流速: $0.5\text{ ml} \cdot \text{min}^{-1}$

检测器: UV (254 nm)



色谱峰: 1—全反式- α -胡萝卜素; 2— α -胡萝卜素顺式异构体; 3—全反式- β -胡萝卜素; 4— β -胡萝卜素顺式异构体

色谱柱: 填充 Sphero-5 ODS-SA 载体, 250 mm \times 4.6 mm (内径)

柱温: 22℃

流动相: (a) CO_2 +甲醇 (体积比=85:15);

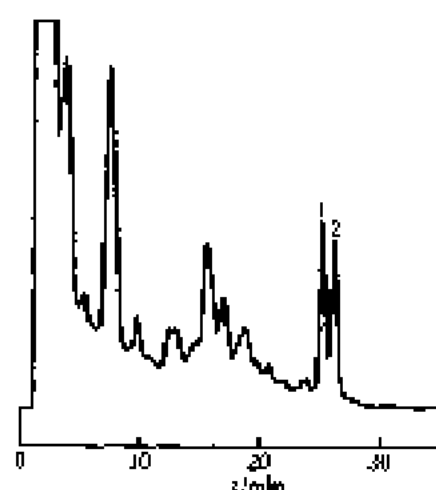
(b) CO_2 +甲醇+乙醇 (体积比=85:7:5);

压力为 15 MPa

流速: 3 mL \cdot min $^{-1}$

检测器: UV (430 nm)

图 13-115 胡萝卜素提取物色谱图^[12]



色谱峰: 1—(-) 人参皂; 2—(+) 人参皂

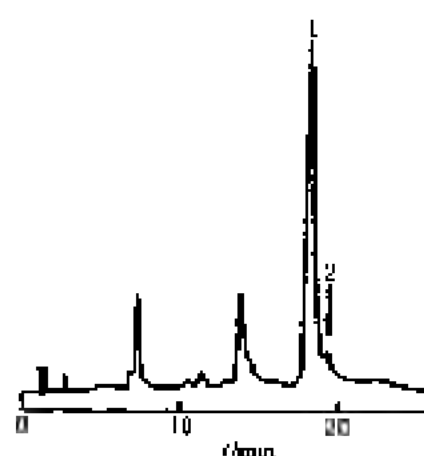
色谱柱: 填充 CTA-diol 载体, 125 mm \times 4.6 mm (内径)

流动相: A 水+甲醇+乙醇 (体积比=90:10:1);

B 甲醇

线性梯度冲洗: 10%B $\xrightarrow{5 \text{ min}}$ 10%B $\xrightarrow{30 \text{ min}}$ 80%B

图 13-116 西红柿萃取液中抽苷配基的分离色谱图^[17]



色谱峰: 1—(-) 圣草酚; 2—(+) 圣草酚

色谱柱: 填充 CTA-diol 载体, 125 mm \times 4.6 mm (内径)

流动相: A 正己烷+2-丙醇 (体积比=9:1)

B 甲醇+2-丙醇 (体积比=2:1)

线性梯度冲洗: 80%B $\xrightarrow{1 \text{ min}}$ 20%B $\xrightarrow{25 \text{ min}}$ 60%B

图 13-117 花生壳中圣草酚对映体的分离色谱图^[11]

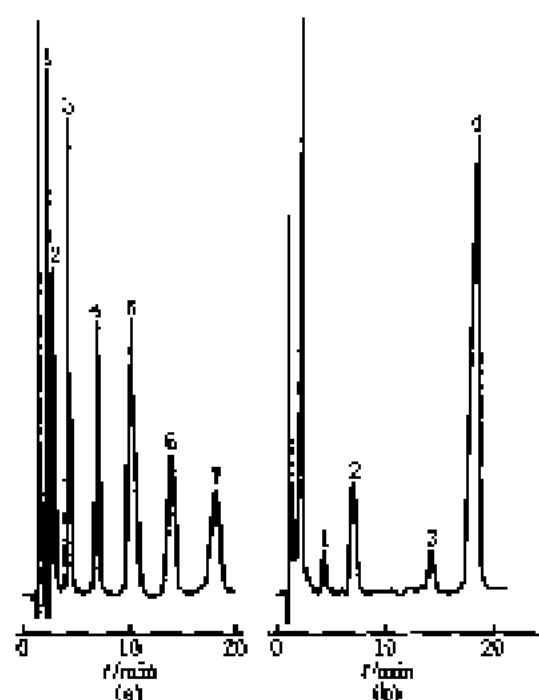


图 13-118 单胺类物质及其代谢产物色谱图^[42]

(a) 标准; (b) 兔脑液透析液

色谱峰: (a) 1—去甲肾上腺素 (NA); 2—肾上腺素 (A); 3—多巴胺 (DA); 4—2,4-二羟基苯乙酸 (DOPAC); 5—5-羟色胺 (5-HT); 6—5-羟吲哚乙酸 (5-HIAA); 7—高香草酸 (HVA);

(b) 1—DA; 2—DOPAC; 3—5-HIAA; 4—HVA

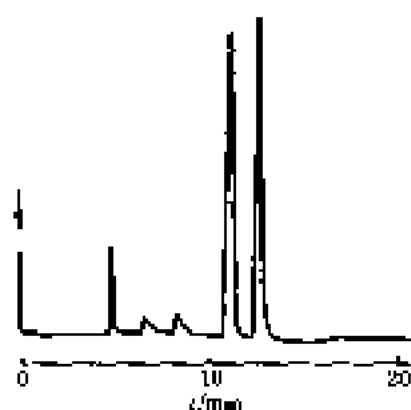
色谱柱: Nova Pack C_{18} 柱, 150 mm \times 3.9 mm (内径), 粒径 4 μm

流动相: A: 25 mmol \cdot L⁻¹ 乙酸钠缓冲液 (pH 8) + 甲醇 + 四氢呋喃 (体积比 = 800 : 192 : 8)

B: 25 mmol \cdot L⁻¹ 乙酸钠缓冲液 (pH 8) + 甲醇 (体积比 = 250 : 750)

流速: 0.8 mL \cdot min⁻¹

检测器: 电化学



色谱柱: Nucleosil 100-5 (5 μm), 50 cm \times 6.1 mm (内径)

柱温: 30°C

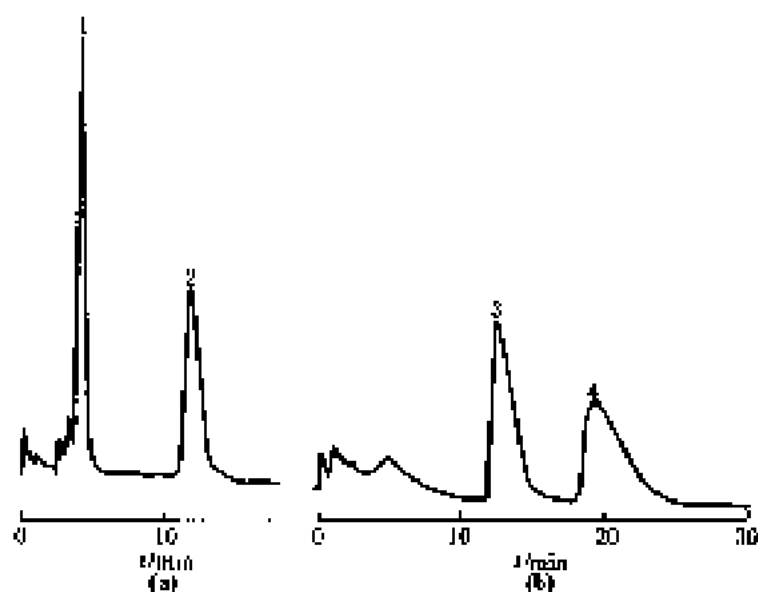
流动相: 己烷-氯仿 (体积比 = 30 : 70), 含 83-38 mmol N_4

N' -异丙基羧石碳酸酯

流量: 60 $\mu\text{L} \cdot \text{min}^{-1}$

检测器: UV (254 nm)

图 13-119 *N*-乙基- β -羟基- α -苯基丙酰胺对映体拆分色谱图^[43]

图 13-120 氨基酸手性拆分色谱图^[43]

(a) 苯二(甲)酰氯基-D- L-苏氨酸 (0.5 mmol);

(b) *N*-苯磺酰基-D, L-丝氨酸 (0.5 mmol)

色谱峰: 1—苯二(甲)酰氯基-D-苏氨酸; 2—苯二(甲)酰氯基-L-苏氨酸; 3—*N*-苯磺酰基-D-丝氨酸; 4—*N*-苯磺酰基-L-丝氨酸; 5—*N*-苯磺酰基-L-谷氨酸

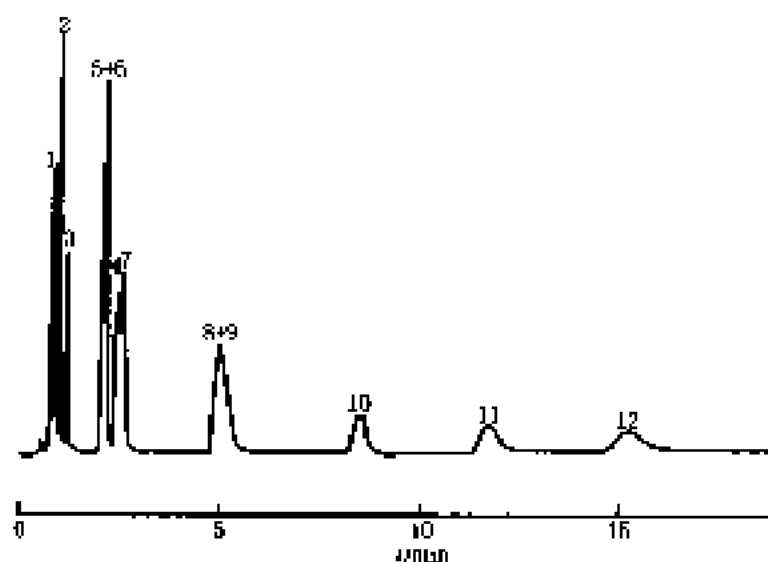
色谱柱: 填充 BDSA-Silica 填料, 150 mm × 4.6 mm (内径), 10 μm

流动相: (a) 磷酸盐缓冲液 (50 mmol/L, L⁻¹) + 2.0% 丙酮 (pH 7.10)

(b) 磷酸盐缓冲液 (50 mmol/L, L⁻¹) + 2.0% 丙酮 (pH 5.78)

流速: 1.0 mL · min⁻¹

检测器: UV (225 nm)

图 13-121 硅胶反相柱上 6 种外消旋氨基酸分离色谱图^[20]

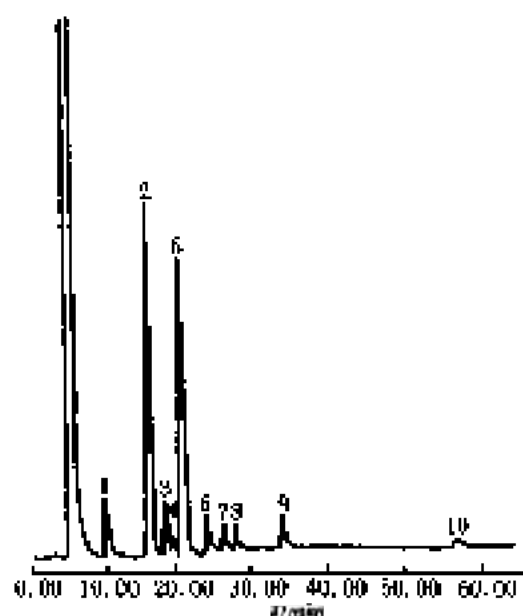
色谱峰: 1—L-Ala; 2—L-Glu; 3—D-Ala; 4—D-Glu; 5—L-Met; 6—L-Phe; 7—L-Leu; 8—D-Met; 9—D-Leu; 10—L-Phe; 11—D-苯基甘氨酸; 12—D-Phe

色谱柱: 硅胶

流动相: 0.01 mol/L 高氯酸

流速: 0.5 mL · min⁻¹

检测器: 紫外

图 13-122 胆固醇及其氧化产物色谱图 (一)^[20]

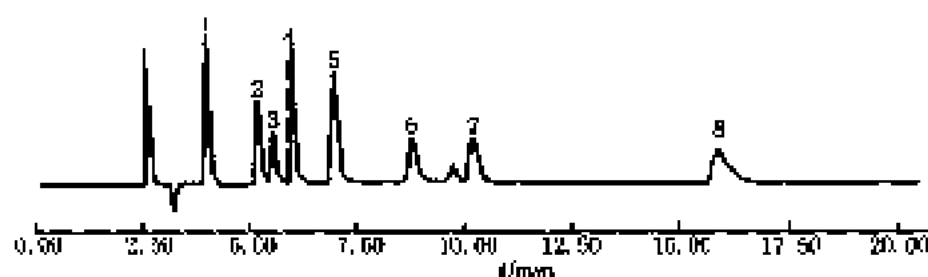
色谱峰: 1— $\alpha\beta$ -5 α , 6 β -胆甾烷三醇; 2—25-羟基胆固醇; 3—7 β -羟基胆固醇; 4—7-酮-胆固醇; 5—6-酮-胆固醇; 6—5, 6 α -环氧胆固醇; 7—5, 6 β -环氧胆固醇; 8—4, 4-二烯-3-酮-胆固醇; 9—胆固醇; 10—3, 5-二烯-胆固醇

色谱柱: C_{18} 柱

流动相: 乙腈+甲醇 (体积比=55:45)

流速: 0.5~3.0 ml \cdot min⁻¹

检测器: RI

图 13-123 胆固醇及其氧化产物色谱图 (二)^[20]

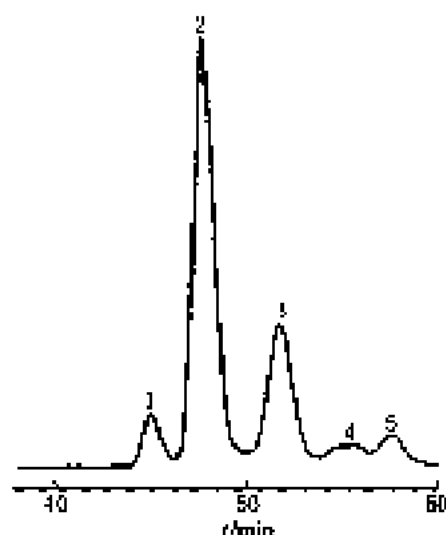
色谱峰: 1—胆固醇; 2—4, 6-二烯-3-酮-胆固醇; 3—5, 6 α -环氧胆固醇; 4—5, 6 β -环氧胆固醇; 5—25-羟基胆固醇; 6—7-酮-胆固醇; 7—6-酮-胆固醇; 8—2 β , 5 α , 6 β -胆甾三醇

色谱柱: 氰葡柱

流动相: 己烷+2-丙醇 (体积比=95:5)

流速: 1.0 ml \cdot min⁻¹

检测器: RI

图 13-124 胡萝卜素异构体色谱图^[9]

色谱峰: 1—反- α -胡萝卜素; 2—反- β -胡萝卜素; 3—9-顺- β -胡萝卜素; 4—11-顺- β -胡萝卜素; 5—13-顺- β -胡萝卜素
 色谱柱: Suplex pkB 100, 250 mm \times 4.6 mm, 5 μ m

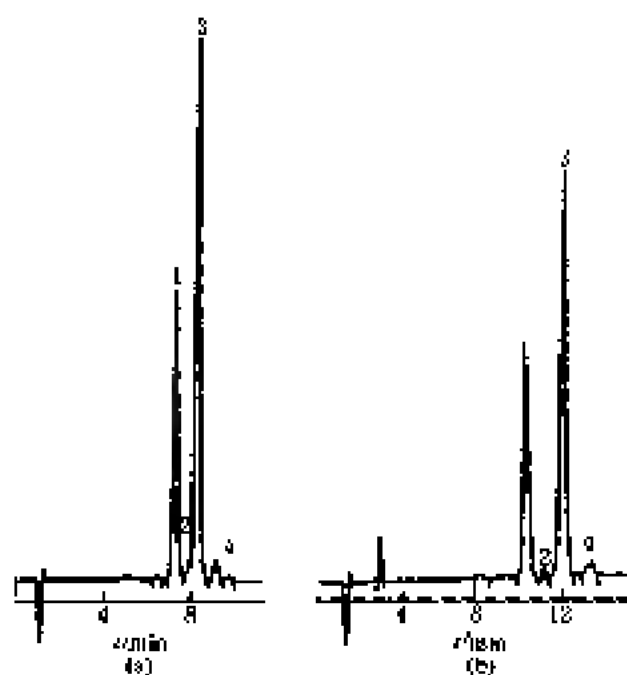
Supelguard 柱: 20 cm \times 4.6 mm, 5 μ m

柱温: 0 $^{\circ}$ C

流动相: 甲醇+甲基叔丁基醚-水 (体积比=80:20:5)

流速: 0.8 ml \cdot min $^{-1}$

检测器: UV (452 nm)

图 13-125 胡萝卜萃取物不同条件超临界色谱图比较^[11]

色谱峰: 1—全反式 α -胡萝卜素; 2— α -胡萝卜素顺式异构体; 3—全反式 β -胡萝卜素; 4— β -胡萝卜素顺式异构体
 色谱柱: 填充 Nucleosil C₁₈载体, 250 mm \times 4.6 mm (内径)

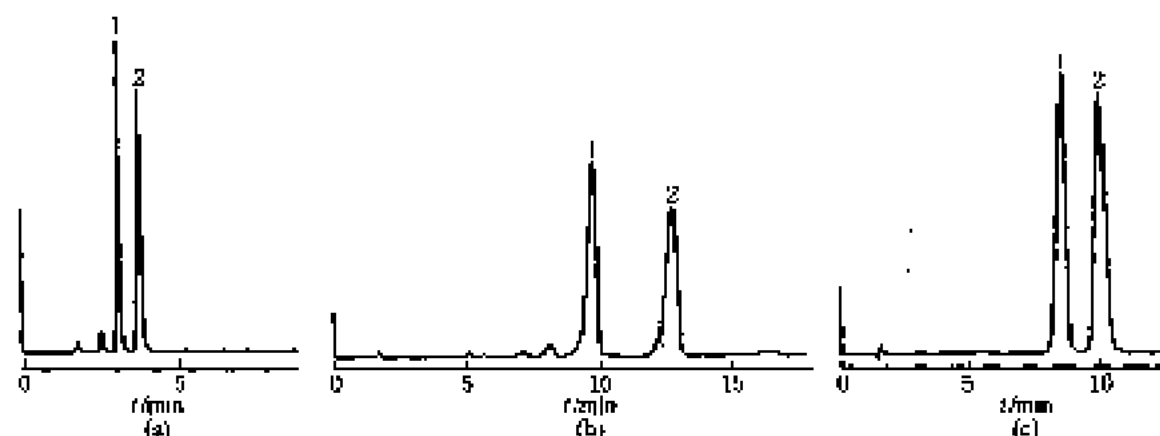
柱温: 32 $^{\circ}$ C

流动相: (a) CO₂+甲醇 (体积比=85:15), 压力 15 MPa;

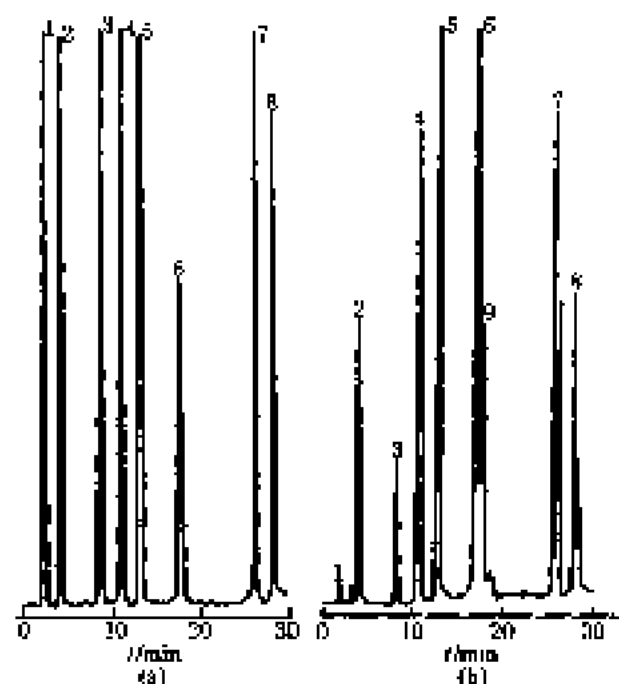
(b) CO₂+甲醇 (体积比=85:15), 压力 20 MPa

流速: 3 ml \cdot min $^{-1}$

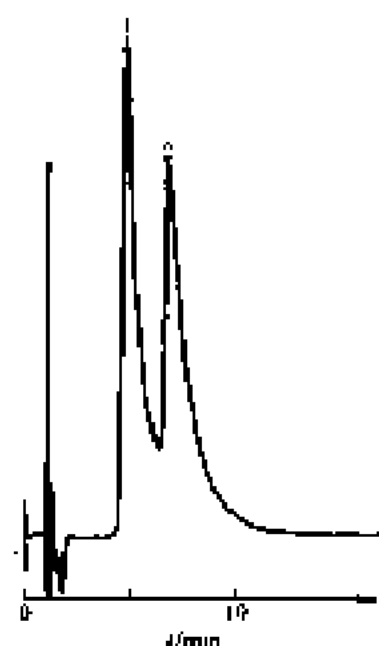
检测器: UV (450 nm)

图 13-126 衍生化的消旋普洛奈尔分离色谱图^[43]

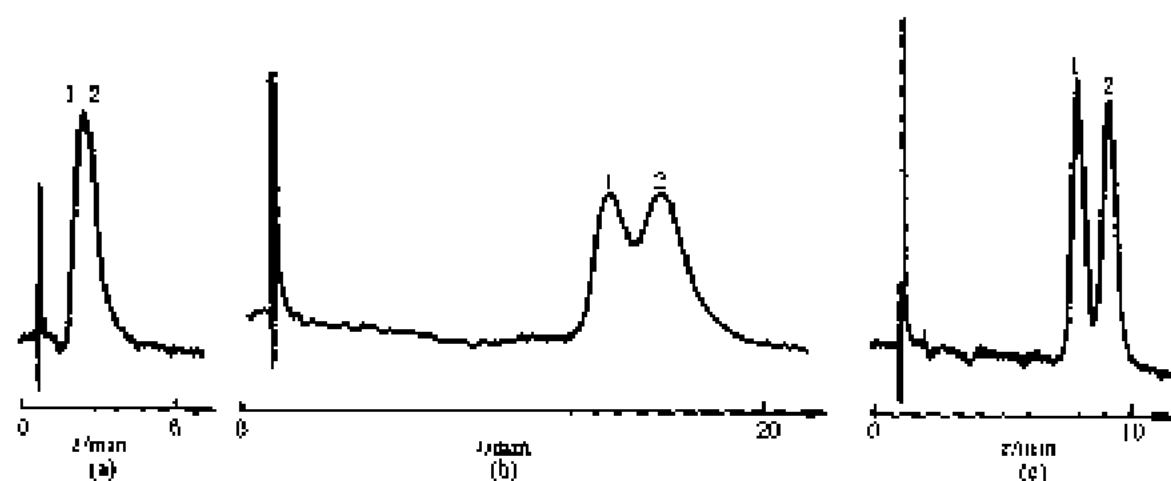
(a) 用 (S)-苯乙基异氰基衍生物, (b) 用 1,2,3,4,9-四对乙酰- β -D-吡喃葡萄糖衍生物, (c) 用仲胺肟氯化物衍生物
 色谱柱: 1-*R*-普洛奈尔, 2-*S*-普洛奈尔
 色谱柱: Lichrosorb 160, 120 mm \times 5 mm (内径), 5 μ m
 流动相: 甲醇+二氯甲烷+戊烷 (体积比=1:5:50+48:5)

图 13-127 氨基酸衍生物产物色谱图^[44]

(a) 标样, (b) 为尿液透析液
 色谱柱: 1—门冬氨酸, 2—谷氨酸, 3—门冬酰胺, 4—丝氨酸, 5—谷氨酰胺, 6—甘氨酸, 7—半胱氨酸, 8— γ -氨基丁酸, 9—苏氨酸
 色谱柱: Nova park C₁₈柱, 150 mm \times 3.9 mm (内径), 粒径 4 μ m
 流动相: A 20 mmol \cdot L⁻¹乙酸铵缓冲液 (pH5.8) + 甲醇+四氢呋喃 (体积比=800:192:8)
 B 25 mmol \cdot L⁻¹乙酸铵缓冲液 (pH5.8) + 甲醇 (体积比=1250:750)
 流速: 0.8 mL \cdot min⁻¹
 检测器: 电化学 LC 4B/117 型

图 13-128 旋光去甲基安定色谱图^[44]

色谱柱: 1—(+)-去甲基安定, 2—(-)-去甲基安定
 色谱柱: 填充 Nucleosil NH₂, 100 mm \times 4.6 mm (内径)
 流动相: 4.8 mmol \cdot L⁻¹ β -CD + 0.05 mol \cdot L⁻¹ NH₄AC (用乙酸调节 pH 至 4.7)
 流速: 1 mL \cdot min⁻¹
 进样器: Rheodyne 7125, 20 μ L
 进样量: 670 pmol
 检测器: LDC spectromonitor 4 可变波长

图 13-129 旋光性 1,2-二甲基-4-苯基吡咯宁色谱图^[8]

色谱峰: 1—(+)-1,2-二甲基-4-苯基吡咯宁; 2—(-)-1,2-二甲基-4-苯基吡咯宁

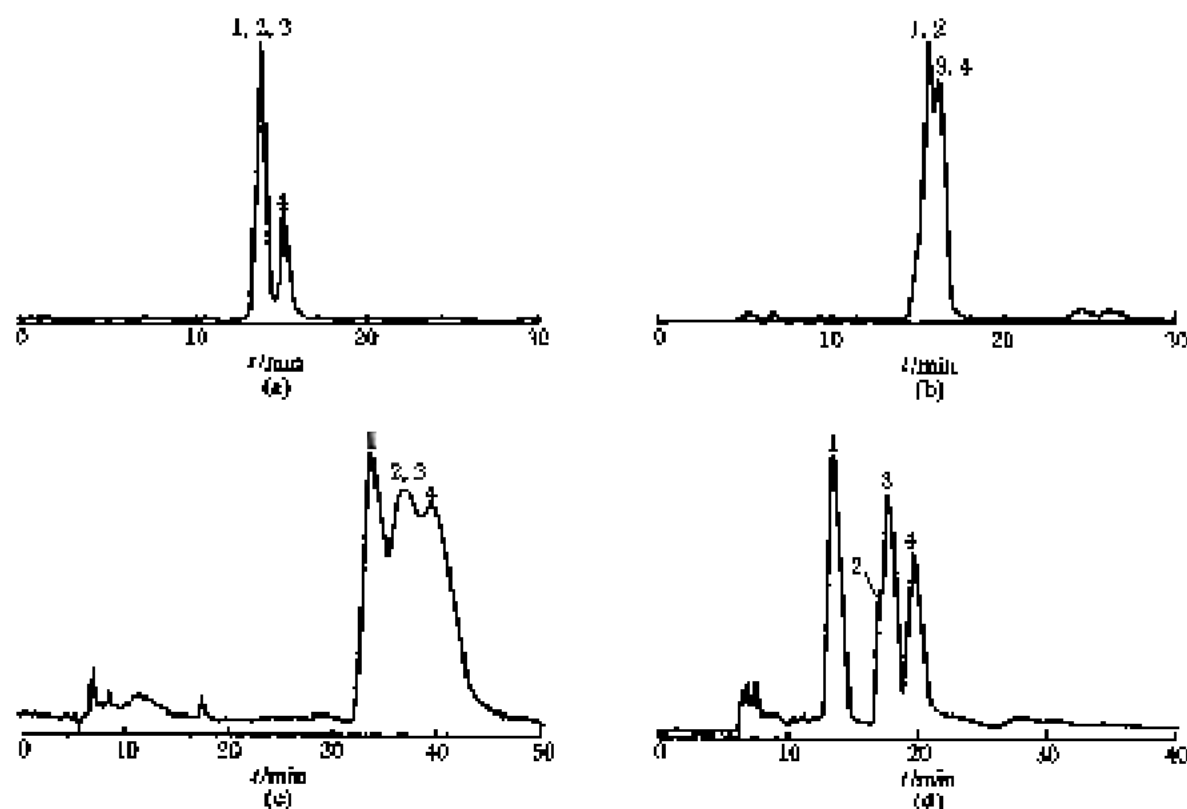
色谱柱: 填充 (a) kromasilTM C₁₈, (b) sphersorb ODS2 C₁₈, (c) Nucleosil C₁₈ 载体, 100 mm×4.6 mm (内径)

流动相: 0.4 mmol·L⁻¹ β-CD+0.05 mol·L⁻¹ NH₄Ac (用乙酸调节 pH 至 6)

流 速: 1 mL·min⁻¹

进样量: 200 pmol

检测器: UV (254 nm)

图 13-130 消旋物 *N,N'*-1,2-乙二氧基丙烷羧二乙酯的分离色谱图^[8]

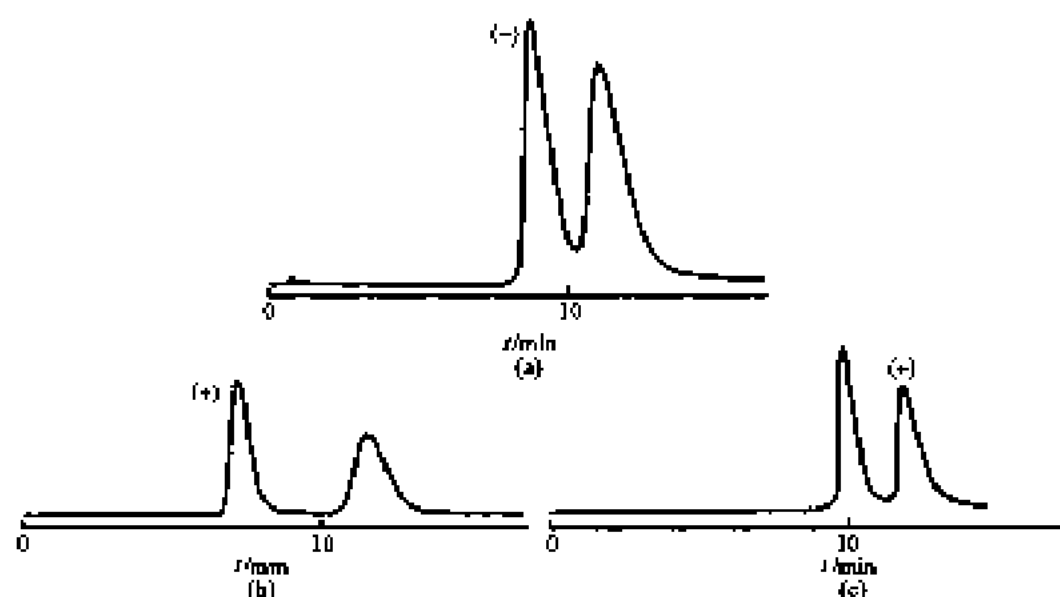
色谱峰: 1,4—内消旋 *N,N'*-1,2-乙二氧基丙烷羧二乙酯; 2—D-*N,N'*-1,2-乙二氧基丙烷羧二乙酯; 3—L-*N,N'*-1,2-乙二氧基丙烷羧二乙酯

色谱柱: α-环糊精柱, 500 mm×4.6 mm

流动相: 甲醇+水 (体积比=25:75)

流 速: 0.5 mL·min⁻¹

检测器: UV (220 nm)

图 13-131 奥美拉唑分离色谱图^[107]

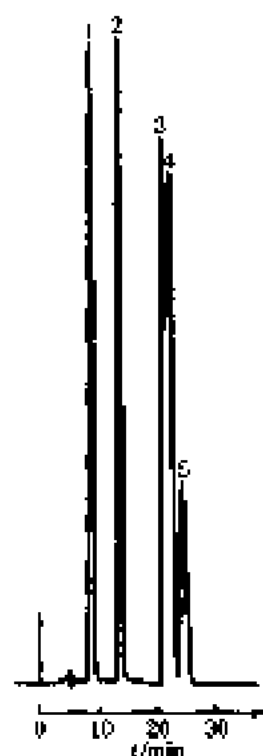
色谱峰：奥美拉唑对映体

色谱柱：(a) 填充 Chiral-AGP, 100 mm×4.0 mm (内径)；(b) 填充 BSA-DSL, 100 mm×4.6 mm (内径)；(c) 填充 Ulexon ES-OVM, 150 mm×4.6 mm (内径)

柱温：室温

流动相：2 丙醇，(a)，(b)，(c) 浓度分别为 $\varphi=2\%$ ， $\varphi=5\%$ 和 $\varphi=10\%$

流速：1.0 ml·min⁻¹

图 13-132 溶剂 1 分离 *o*-, *m*-和 *p*-NO₂

取代的顺反异构体色谱图^[64]

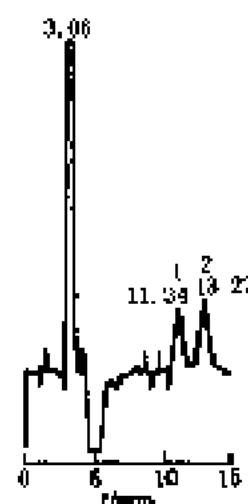
色谱峰：1—顺式 *m*-和 *p*-NO₂ 异构体，2—顺式 *o*-NO₂ 异构体，3—反式 *p*-NO₂ 异构体，4—反式 *m*-NO₂ 异构体，5—反式 *o*-NO₂ 异构体

色谱柱：YWG-SiO₂，150 mm×5 mm (内径)，5 μm

流动相：氯仿+乙醇+乙腈 (体积比=15:85:0.64)

流速：0.63 ml·min⁻¹

检测器：UV (254 nm)

图 13-133 噻利格洛对映体拆分色谱图^[107]

色谱峰：1—*S*-噻利格洛，2—*R*-噻利格洛

色谱柱：厚衍生物型手性固定相，4.6 mm (内径)×250 mm

柱温：30℃

流动相：正己烷+1, 2-二氯乙烷+乙醇 (体积比=77:21:2)

流速：1.0 ml·min⁻¹

检测器：UV (254 nm)

参 考 文 献

1. Hu W., Hasebe K., Reynolds D. M., Haraguchi H. *Analytica Chimica Acta*, 1997; 354: 143
2. *J High Resol Chromatogr.* 1997; 20
3. Robert L., St. Claire H. *Anal Chem.* 1991; 53: 2457
4. Haynes P. A., Shermack D., Greig L. G., et al. *J Chromatogr.* 1991; 588: 107
5. Garms J., Swine W. C., Garber G. *J Chromatogr.* 1991; 559: 193
6. *J Chrom Sci.* 1991; 29: 115
7. Kunkel A., Luehrs M., Kervan P. *Chromatographia*, 1991; 33(7/8)
8. *J Chrom Sci.* 1992; 30: 343
9. Anderson J. A. *J Chromatogr.* 1990; 499: 177
10. Hu W., Haraguchi H., Takeuchi T. *J Chromatogr.* 1991; 557: 441
11. Supelco Inc. *J Chrom Sci.* 1988; 26: 651
12. *J Chrom Sci.* 1992; 30: 329
13. *J Chrom Sci.* 1990; 28: 217
14. E. I. DuPont de Nemours & Co. *J Chrom Sci.* 1988; 27: 336
15. *J Chrom Sci.* 1989; 27: 50
16. Itoh H., Kinoshita T., Ninomiya N. *J Chromatogr. A*, 1994; 662: 95
17. Teichhaus. *J Chrom Sci.* 1989; 27: 155
18. Iong A. R., Scott C. R., Barker S. A. *J Chromatogr.* 1990; 508: 87
19. *J Chrom Sci.* 1992; 30: 456
20. *J Chrom Sci.* 1990; 28: 250
21. Bilalovic U., Fuchs D., Hoesel J. O. *Chromatographia*, 1991; 31(9/10)
22. Jones A. T., Keen J. N., Roberts N. B. *J Chromatogr.* 1993; 615: 207
23. Deen A. N. A., Lecchioli D. J., Guse P. W. *J Chromatogr.* 1992; 600: 229
24. Buckle J. W. I., Mann C. L., Black J. A. *J Chromatogr.* 1989; 476: 377
25. Adachi T., Tokusanagi H., Sharpe A. D. *J Chromatogr. A*, 1997; 783: 57
26. Tennikova B., Tennikova T. B., Svec P. *J Chromatogr.* 1993; 646: 279
27. Tennikova T. B., Belenien B. G., Svec P. *J L Chromatogr.* 1990; 13: 63
28. Hall D., Klinder H., Paschke A., et al. *J Chrom Sci.* 1998; 36
29. Peterson C., Schull G. *J L Chromatogr.* 1986; 9: 269
30. Kromell R., Schneider G., Miesch G. *Chromatographia*, 1997; 45: 104
31. Peter A., Toth G., Cserpan G. *J Chromatogr. A*, 1994; 660: 283
32. Loennechen T., Dahl S. G. *J Chromatogr.* 1990; 504: 205
33. Peter A., Toth G., Mrazek J. *J Chromatogr. A*, 1997; 790: 41
34. Gubashko S. V., Shushkina I. P., Gerasim I. I. *J Chromatogr. A*, 1992; 600: 23
35. Gubashko S. V., Shushkina I. P., Sokolovskiy V. A. *J Chromatogr. A*, 1994; 661: 57
36. Adlof R., Lamm T. *J Chromatogr. A*, 1998; 799: 289
37. Hu W., Takeuchi H. *Chromatographia*, 1992; 33 (1/2)
38. Li S., Parry W. C. *J Chromatogr.* 1997; 534: 105
39. Leedler E., Tichle A., Marty G. *J Chromatogr.* 1998; 63d: 9
40. Hu C. L., Welton R. R. *J Chromatogr.* 1991; 550: 621
41. Mihaj A. *Chromatographia*, 1991; 31(11/12)
42. Sender L. C., Patra R. M., Wase S. A. *Anal Chem.* 1991; 63: 2589
43. Horikawa R., Sakamoto H., Tatemura T. *J L Chromatogr.* 1986; 9: 537
44. Peter A., Toth G., Armstrong D. W. *J Chromatogr. A*, 1998; 790: 282
45. Peter A., Toth G. *Analytica Chimica Acta*, 1997; 352: 335

- 46 唐继德, 吴红景, 李光基. 色谱, 1993; 11: 57
- 47 J Chrom Sci, 1988; 38(8):.
- 48 Shaw C L, Sealiligo M P L, McNally J J. J Chromatogr, 1993; 631: 179
- 49 Wae S A, Sander I C, May W F. J chromatogr, 1995; 642: 329
- 50 张勤, 张艺兵, 赵卫东等. 色谱, 2000; 18(1):82
- 51 Lesellier E, Tchaplé A. J Chromatogr, 1994; 557: 59
- 52 Ito M, Goto T J. J L Chromatogr, 1990; 14: 991
- 53 Chiu P L, Yang S Y. J L Chromatogr, 1986; 9(4):701~710
- 54 曹晓玲等. 色谱, (1998)17(5):432
- 55 Zukowska J, Pawlowska M, Nagahisa M. J Chromatogr, 1983; 629: 169
- 56 李桦, 罗敏, 胡先明. 色谱, 1989; 17(4):403
- 57 Kriase M, Gekke R. Chromatographia, 1991; 32(1/2):
- 58 徐维群. 色谱, 1992; 10: 22
- 59 Chen B H, Chen Y C. J Chromatogr A, 1994; 661: 127
- 60 Lane J R, Wehl L W, Acuff R V. J Chromatogr A, 1997; 787: 111
- 61 Romagnoli B, Alloumk S. J L Chromatogr, 1986; 9: 667
- 62 Olsen L, Deonson Hansen K, Halboe P. J Chromatogr, 1993; 638: 237
- 63 叶海峰, 尹泽旋. 色谱, 1996; 14: 14
- 64 金国亮, 蔡德德, 金声. 色谱, 1985; 3: 136
- 65 Green J M, Jones R, Harrison R D. J Chromatogr, 1994; 635: 203
- 66 Wallingau A, Edelen I. E. Chromatographia, 1991; 32(5/6)
- 67 Balmer K. J Chromatogr A, 1994; 669—673
- 68 曾晓香, 袁白厚. 色谱, 1998; 16: 421
- 69 G P, RoZing, D Goetz. J Chromatogr, 1989; 476: 3
- 70 Hasehira O. J Chrom Sci, 1989; 27: 51
- 71 Nimura N, Itoh H, Kinoshita T. J Chromatogr, 1991; 585: 207
- 72 Supelco Inc. J Chrom Sci, 1982; 20: 650
- 73 Wickern B V, Muller B, Smet T, Seunhert H. J Chromatogr A, 1997; 756: 57
- 74 Werner A. Chromatographia, 1991; 31(7/8):
- 75 Rachelova V, Navratil L, Zima D. J Chromatogr, 1991; 583: 147
- 76 Werner A, Maiba R, Shimasaka H, et al. J Chromatogr, 1991; 553: 205
- 77 Liebich H M, Stefano C D, Wiedrich A, et al. J Chromatogr A, 1997; 753: 193
- 78 Chung G M, Pion W T J. J L Chromatogr, 1988; 11: 613
- 79 Ranza V, Urci A, Aurilio S. J Chromatogr A, 1997; 766: 35
- 80 Itoh H, Kinoshita T, Nimura N. J Chromatogr A, 1994; 662: 95
- 81 Nemura N, Yamaguchi K, Hara M. J L Chromatogr, 1991; 14: 481
- 82 Mast C T, Zhou N F, Hodge R S. J Chromatogr, 1989; 476: 363
- 83 E I DuPont de Nemours & Co. J Chrom Sci, 1989; 27: 369
- 84 Engelhardt H, Kramer M, Waldhoff H. Chromatographia, 1990; 30: 523
- 85 nariyuki namura, hiroshi, i kinoshita. chromatogr, 1991; 585: 207~211
- 86 Cunha R A, Sebastiao A M, Ribeiro J A. Chromatographia, 1989; 26: 510
- 87 Laub J D, Smith R G. J Chromatogr, 1991; 546: 73
- 88 梁晓梅, 吴景平, 王京辉. 色谱, 1997; 15: 485
- 89 张克清, 熊晓霞. 分析测试学报, 1998; 17(3): 37
- 90 Charlier A G, et al. J Chromatogr A, 2000; 878: 35
- 91 冯秀文, 刘震, 蒋生祥. 色谱, 2000; 18(1): 49
- 92 周本强, 丁兆文, 牛盛等. 色谱, 1994; 17(2):185

- 93 刘启月, 于兆文, 蒋华林等. 分析化学, 2000; 28(3):367
- 94 Hussen Y, Aboul-enein- Bark S A, et al. J L Chromatogr, 1991; 54(19): 3475
- 95 赖秀琼, 严建伟, 魏介华. 分析化学, 2000; 28(2):133
- 96 王进防, 周良模, 孟子晖等. 分析化学, 1999; 27(12):1420

第十四章 超临界色谱和薄层色谱谱图

第一节 超临界色谱谱图

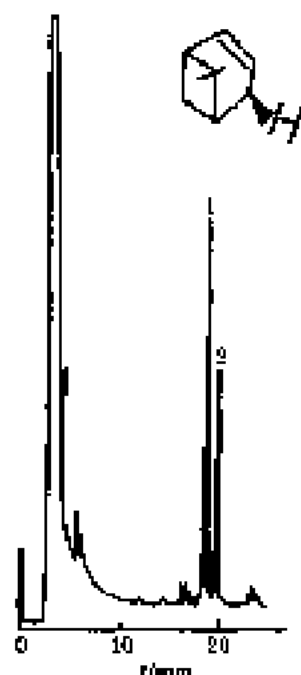


图 14-1 (+) 反式马鞭草烯醇的 SFC 分离谱图^[1]
色谱峰: 1-(+)-反式马鞭草烯醇, 2-(-)-反式马鞭草烯醇
色谱柱: 10m×50μm (内径), *N*-叔乙基苯基硅氧烷 (CSP), 液
膜厚度为 0.15μm

柱 温: 60℃

流动相: CO₂

检测器: 火焰离子化 (300℃)

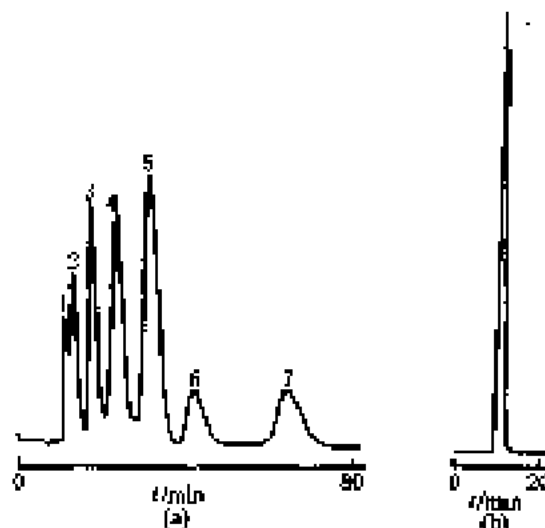


图 14-2 (D 柱上) 聚甲基苯 SFC (a) 和
正相 LC (b) 分离色谱图^[2]

色谱峰: 1—苯; 2—甲苯; 3—邻二甲苯; 4—1,2,3-三甲苯;
5—1,2,3,4-四甲基苯; 6—五甲基苯; 7—六甲基苯
色谱柱: (a) 250 mm×1 mm (内径); (b) 850 mm×1 mm
(内径)

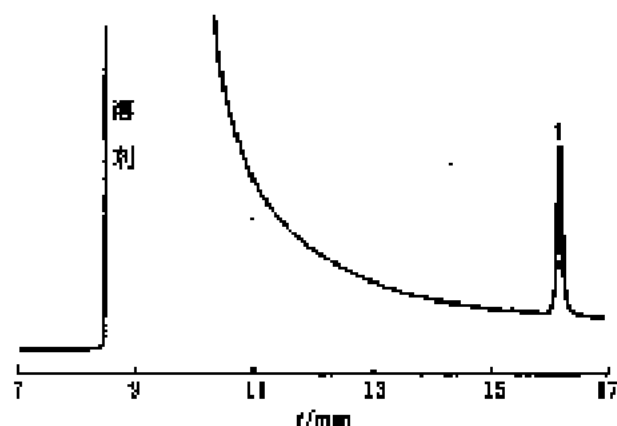
柱 温: (a) 室温; (b) 44℃

流动相: (a) CO₂ 压力: 120 kg·cm⁻² (1kgf·cm⁻² =
98.0665kPa);

(b) 正己烷+甲醇 (体积比=99:1)

流 速: (a) 出口气体流速为 12 ml·min⁻¹;

(b) 15 μl·min⁻¹



色谱峰: 1—1-甲基-3-硝基-5-苯基硅醚衍生物

色谱柱: 10m×50 μm (内径), DB-1, 液膜厚度
为 0.2 μm

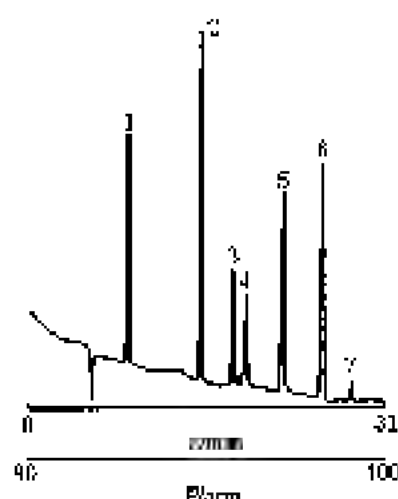
柱 温: 150℃

流动相: CO₂

柱 压: 150 atm; 10 atm·min⁻¹ (1 atm =
0.101325 MPa)

检测器: 火焰离子化 (300℃)

图 14-3 1-甲基-3-硝基-5-苯基硅醚的 SFC 分离谱图^[3]

图 14-4 PAHs 的 SFC 分离谱图^[4]

色谱峰: 1—萘; 2—芘; 3—苊烯; 4—芘; 5—蒽; 6—苯并[a]芘; 7—苯

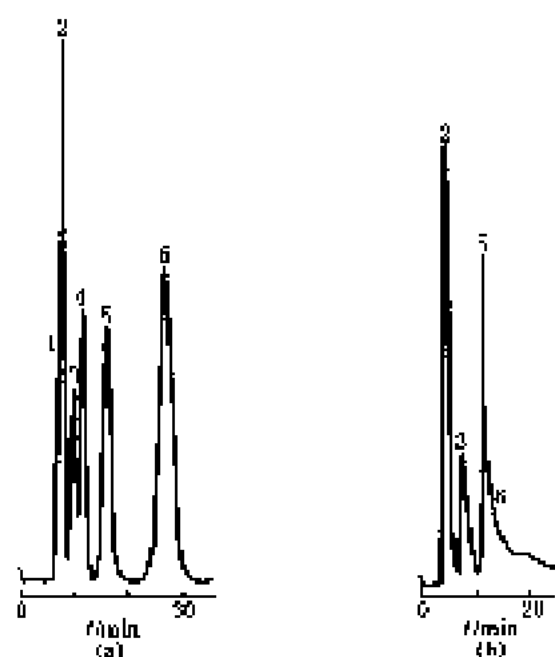
色谱柱: 10 mm × 50 μm (内径), 40% 聚苯基取代聚甲氧基硅烷, 膜厚 0.25 μm

流动相: CO₂

压力: 90 $\xrightarrow{10 \text{ MPa} \cdot \text{min}^{-1}}$ 400 atm (1 atm = 0.101325 MPa)

柱温: 100℃

检测器: 柱上 UV 扫描检测

图 14-5 多环芳烃生物正相 LC (a) 和 SFC (b) 分离谱图^[2]

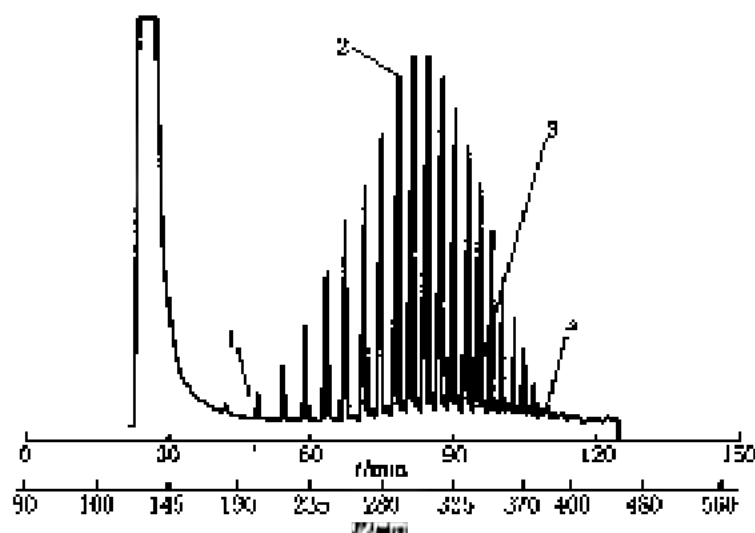
色谱峰: 1—甲苯; 2—萘; 3—对羟基甲苯; 4—邻羟基甲苯; 5—对硝基甲苯; 6—邻硝基甲苯

色谱柱: (a) 450 mm × 0.63 mm (内径); (b) 250 mm × 1 mm (内径)

柱温: (b) 44℃

流动相: (a) 正己烷—甲醇 (体积比 = 99:1); (b) CO₂ 压力为 120 kg · cm⁻²

流速: (a) 15 μl · min⁻¹; (b) 12 ml · min⁻¹

图 14-6 乙氧基苄基醇, 三甲苯苄基醇的 SFC 分离谱图^[5]

色谱峰: 1—5 乙氧基化物单元; 6—12 乙氧基化物单元; 3—乙氧基化 1,2-或 1,3-丙二醇; 4—24-乙氧基化物单元

色谱柱: 10 mm × 50 μm (内径), 柱相为 40% 二苯基 70% 甲基聚硅氧烷, 液膜厚度为 0.15 μm

柱温: 107℃

流动相: CO₂

检测器: 火焰离子化 (430℃)

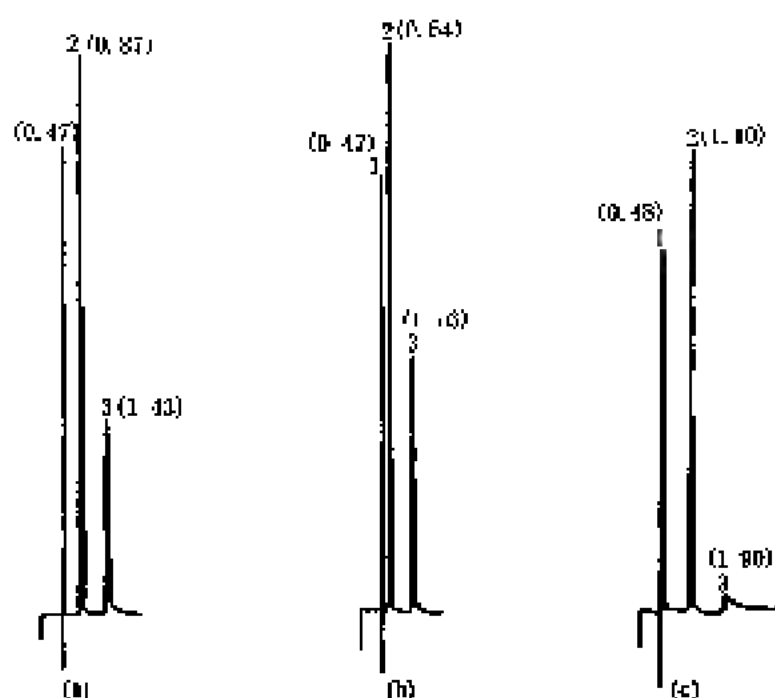


图 14-7 乙酰苯和苯酚的 SFC 分离谱图 (一)^[6]

色谱峰: 1—注射溶剂, CH_2Cl_2 ; 2—乙酰苯; 3—苯酚

色谱柱: 2 mm×100 mm, 固定相为聚丙基键合的 SiO_2 , 5 μm 填料; (a) 30 nm, 8 μm; (b) 50 nm, 8 μm; (c) 12 nm, 8 μm

柱温: 75°C

流动相: 100% CO_2 , 1.6×10^6 Pa, $700 \mu\text{L} \cdot \text{min}^{-1}$ (液体)

检测器: UV (254 nm)

注: 图中括号内数值为流出时间, 单位为 min。

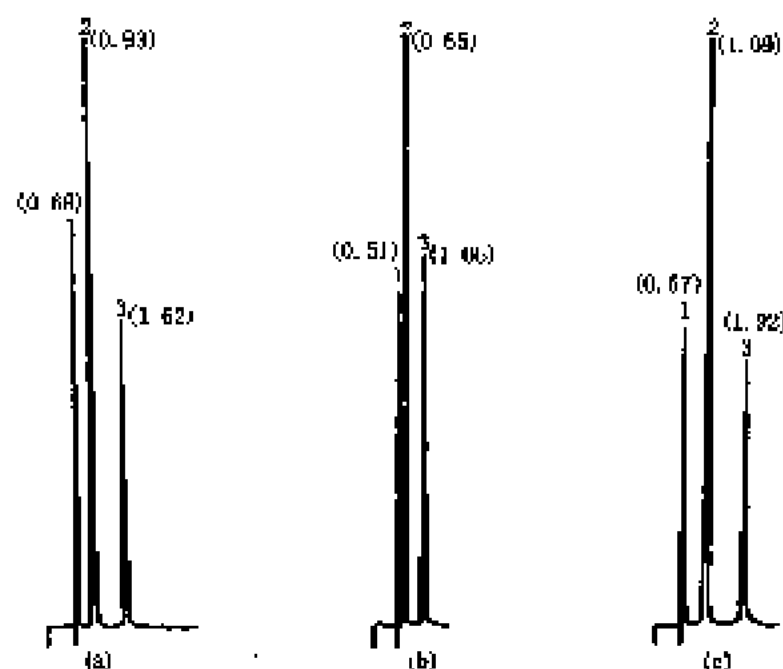


图 14-8 乙酰苯和苯酚的 SFC 分离谱图 (二)^[6]

色谱峰: 1—注射溶剂, CH_2Cl_2 ; 2—乙酰苯; 3—苯酚

色谱柱: 2 mm×150 mm, 固定相为聚丙基键合的 SiO_2 , 5 μm 填料; (a) 30 nm, 8 μm; (b) 50 nm, 8 μm; (c) 12 nm, Hypercell

柱温: 75°C

流动相: $\text{CH}_3\text{OH} + \text{CO}_2$ (体积比=2:98), 1.8×10^6 Pa, $100 \mu\text{L} \cdot \text{min}^{-1}$ (液体)

检测器: UV (254 nm)

注: 图中括号内数值为流出时间, 单位为 min。



图 14-9 乙苯和苯的柱上 SFC (a) 和 LC (b) 分离色谱图^[2]

色谱峰: 1—乙苯; 2—苯

色谱柱: 250 mm×1 mm (内径), 填充 C_{18} 载体

柱温: (a) 44°C; (b) 38°C

流动相: (a) CO_2 压力为 120 kg·cm⁻²;

(b) 乙醇+水 (体积比=65:35)

流速: (a) 出口气体流速为 12 ml·min⁻¹;

(b) 30 μ l·min⁻¹

检测器: (b) UV(254 nm)

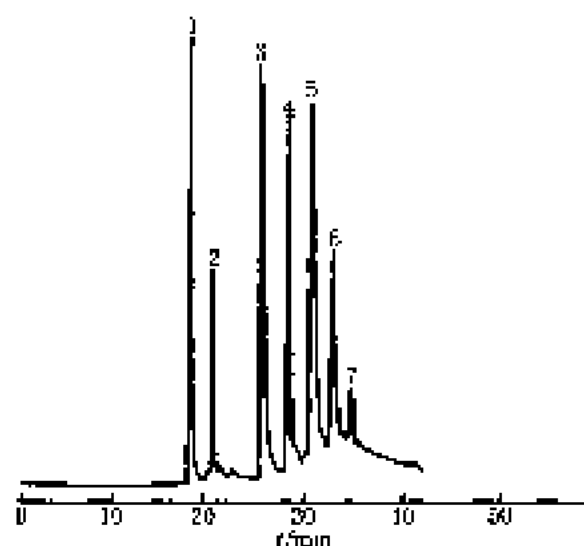


图 14-10 二、三-甘油酯的 SFC 分离谱图^[2]

色谱峰: 1—二月桂酸甘油酯; 2—二月豆蔻酸甘油酯; 3—二月豆蔻酸甘油酯和棕榈酸甘油酯; 4—二棕榈酸甘油酯和三油酸甘油酯; 5—二棕榈十棕榈酸酯; 6—三棕榈酸甘油酯; 7—三-二-十二酸酯

色谱柱: 8 m×50 μ m (内径), DB-1, 液膜厚度为 0.25 μ m
流动相: 10%

检测器: 电导 (250°C)

压力: 起始为 100 atm 以后以 0.4 atm·min⁻¹ 变化 (1 atm=0.101325 MPa)

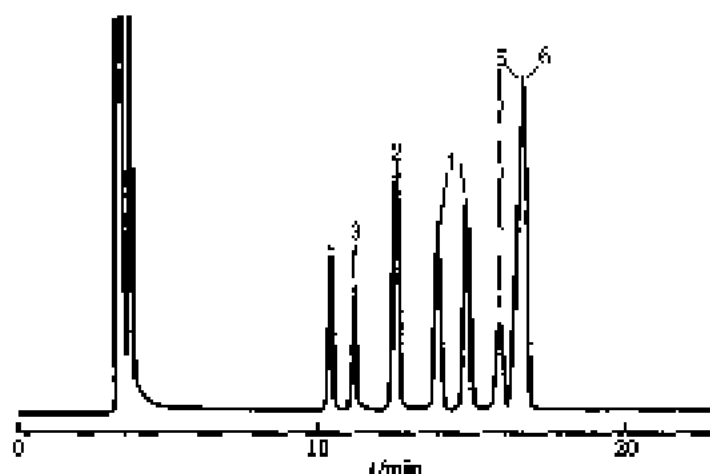


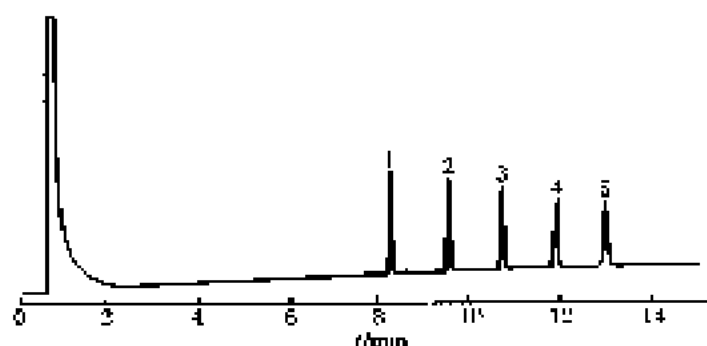
图 14-11 二异氰酸酯混合物的 SFC 分离谱图^[2]

色谱峰: 1—对苯基二异氰酸酯 (PDI); 2—1,6-己基二异氰酸酯 (HDI); 3—2,4-甲苯基二异氰酸酯 (TDI); 4—2,4-三甲基己烷基 1,6-二异氰酸酯 (THDI); 5—异佛尔酮-1,6-二异氰酸酯 (IPDI); 6—间苯二甲基二异氰酸酯 (XDI)

色谱柱: 5 m×100 μ m (内径), 柱相为 50%辛基-50%甲基-聚硅氧烷; 液膜厚度为 0.50 μ m

流动相: CO_2

检测器: 火焰离子化 (250°C)

图 14-12 三甘油酯的 SFC 分离谱图⁽¹⁾

色谱峰: 1—甘油三月桂酸酯; 2—二肉豆蔻酯; 3—二棕榈酯; 4—三硬脂酯; 5—三花生油酸酯

色谱柱: 25 cm \times 1.0 mm (内径), 填充硅胶, 30 mm, 7 μ m

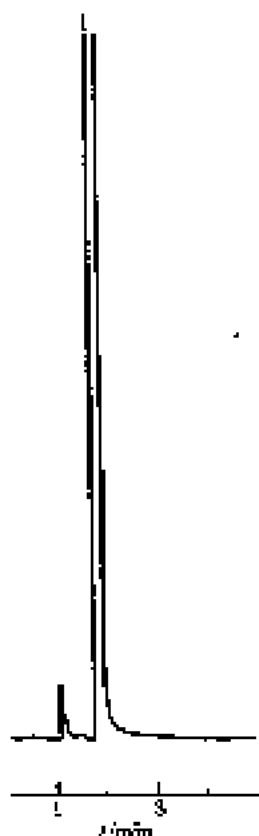
柱温: 100 $^{\circ}$ C

流动相: CO₂-0.1%甲酸+0.1%水

压力: 1.72×10^7 Pa (2mm) $\xrightarrow{10\text{mm}}$ 3.79×10^7 Pa

检测器: 火焰离子化(350 $^{\circ}$ C)

进样体积: 0.5 μ l

图 14-13 三甲氧基二氯硝基苯的 SFC 分离谱图⁽²⁾

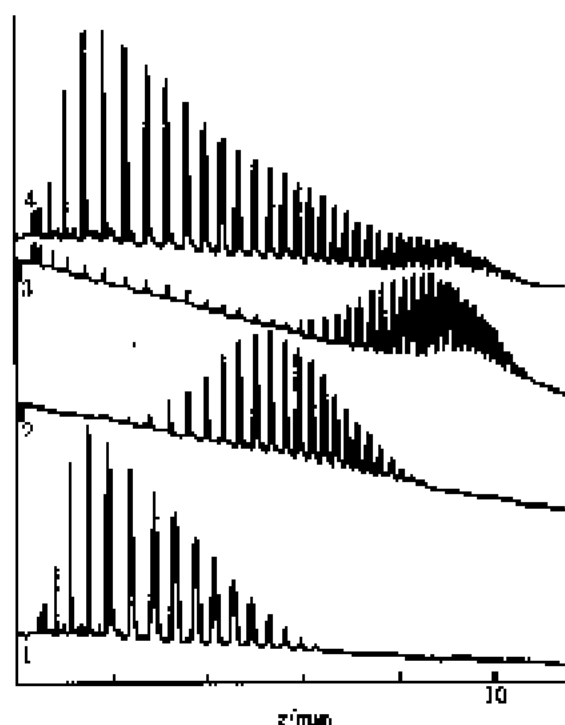
色谱峰: 1—三甲氧基二氯硝基苯

色谱柱: 250 mm \times 4.6 mm (内径), 8 μ m 键TM的键内基 (Key-stone), 5 μ m

流动相: CO₂ (2 ml \cdot min⁻¹) + 甲醇 (500 μ l \cdot min⁻¹) = 0.1 mol/L 四丁基氢氧化铵

柱温: 60 $^{\circ}$ C

检测器: UV (254 nm)

图 14-14 三硝基甲苯类化合物的 SFC 分离谱图⁽³⁾

色谱峰: 1—三硝基甲苯 X-114; 2—三硝基甲苯 X-165; 3—硝基甲苯 X-405; 4—X-114, X-165 和 X-305 混合物

色谱柱: 100 mm \times 2.0 mm (内径), 十八烷基硅氧烷 (Nucleosil)-5 μ m

柱温: 165 $^{\circ}$ C

流动相: CO₂ + 甲醇

检测器: UV (278 nm)

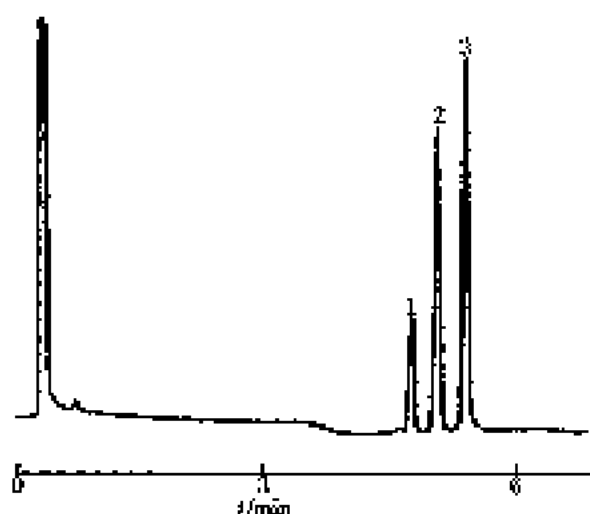


图 14-15 不饱和脂肪酸的 SFC 分离谱图^[14]

色谱峰: 1—三油烯 ($n=1$); 2—三硬油烯 ($n=2$); 3—三硬油烯 ($n=2$)

色谱柱: $2.0\text{ mm} \times 100\text{ mm}$, 键合硅胶相硅胶, $3\text{ }\mu\text{m}$
柱温: 80°C

流动相: CO_2 (含 1% 异丙醇)

柱出口压: $12.5\text{ MPa} \xrightarrow{12\text{ min}} >35.0\text{ MPa}$

检测器: UV (205 nm)

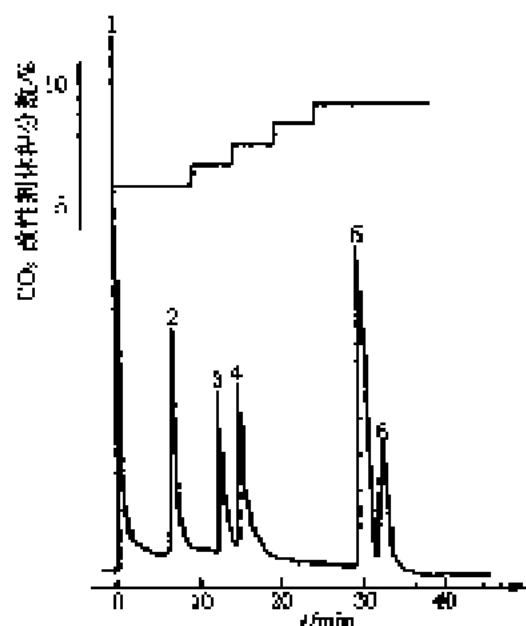


图 14-16 5 种 Fmoc-氨基酸的 SFC 分离谱图^[14]

色谱峰: 1—丙酮; 2—Val; 3—Ala; 4—Phe; 5—Lys; 6—Ser

色谱柱: $15\text{ cm} \times 0.46\text{ cm}$ (内径), $3\text{ }\mu\text{m}$ Nucleosil-100 键合硅胶

柱温: 45°C

流动相: 以甲醇—水—甲基胺 (体积比 = 98:99:100 + 0.01) 改性的 CO_2

流速: $1\text{ ml} \cdot \text{min}^{-1}$

平均压力: $3.7 \times 10^7\text{ Pa}$

检测器: UV (269 nm)

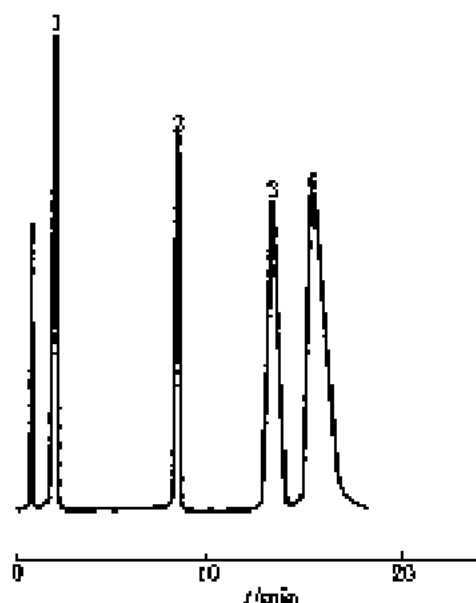


图 14-17 天然蜡组分的 SFC 分离谱图^[15]

色谱峰: 1—硬脂醇十四酸酯; 2—十八烷醇; 3—十六烷醇和十八烷醇的甘油酯; 4—十八烷醇

色谱柱: $400\text{ mm} \times 125\text{ mm}$, 二硬硅合硅胶 $5\text{ }\mu\text{m}$

柱温: 45°C

流动相: CO_2

柱出口压力: $18\text{ MPa} \xrightarrow{20\text{ min}} 28\text{ MPa}$

检测器: 示差折光计

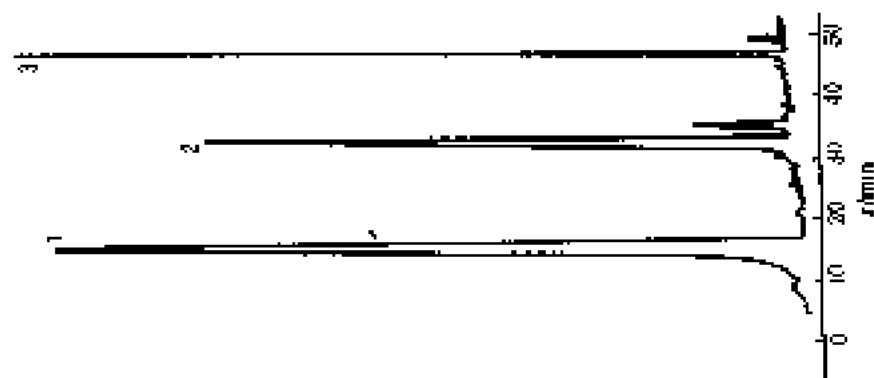


图 14-18 水溶性染料的分离谱图^(a)
色质峰: 1. 异吲哚, 2. 孔雀石绿, 3. 高氯酸喹啉
色质柱: 250 mm × 1.6 mm (内径), SiO_2 (Sphersil, 5, μ)

流动相: 丙酮-水+型 (2-乙基己基)羧化硫酸 (600 mmol/L + 50 mmol)

柱温: 103°C

检测器: UV (620 nm)

压力: 37.5 MPa

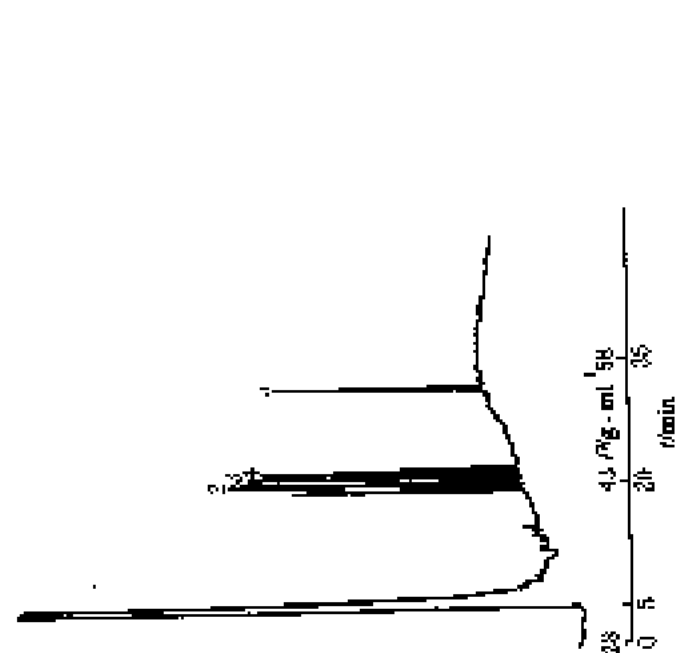
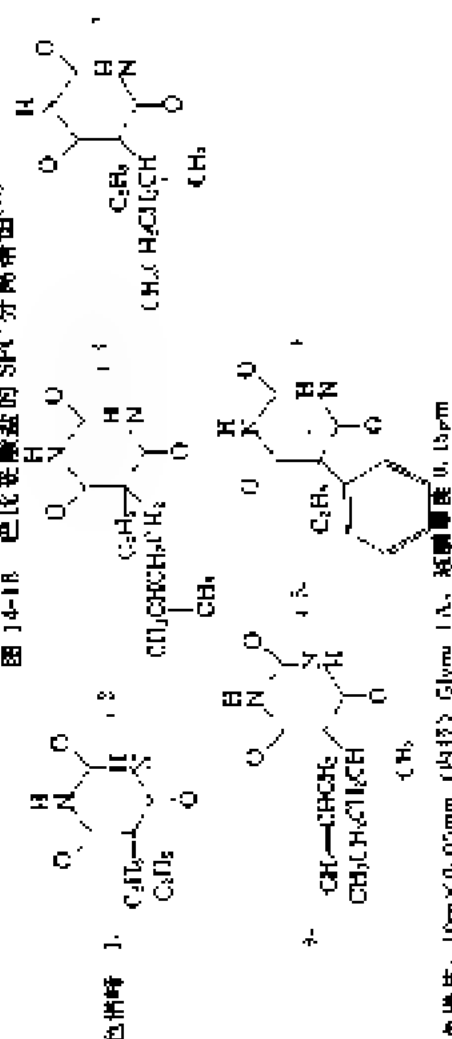


图 14-19 巴比妥酸盐的 SFC 分离谱图^(a)



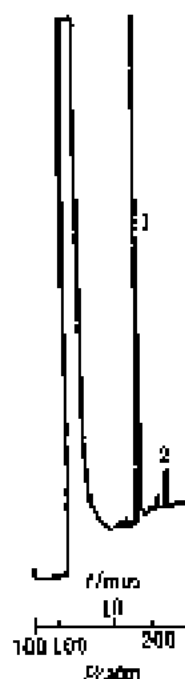


图 14-20 丙氧芬和降丙氧芬的
SFC 分离谱图^[1]

色谱柱: 1—丙氧芬; 2—降丙氧芬

色谱柱: 2.5 m × 50 μm (内径), 固定相为
50%二苯基聚硅氧烷, 50%甲基聚硅
氧烷, 膜厚厚度为 0.25 μm

柱温: 100°C

流动相: CO₂

检测器: 火焰离子化 (315°C)

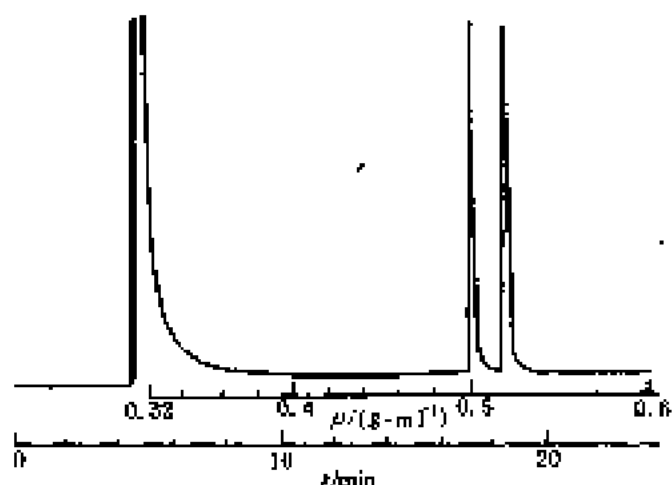


图 14-22 外消旋六巴比妥的 SFC 分离谱图^[1]

色谱柱: 6.5 m × 0.05 mm, 涂有固定相 Chiral-Dex 的键合硅胶
柱温: 90°C

流动相: CO₂ 52 g · min⁻¹ 5 ml, 0.015 g · ml⁻¹ · min⁻¹ 增加

检测器: 火焰电离 (315°C)

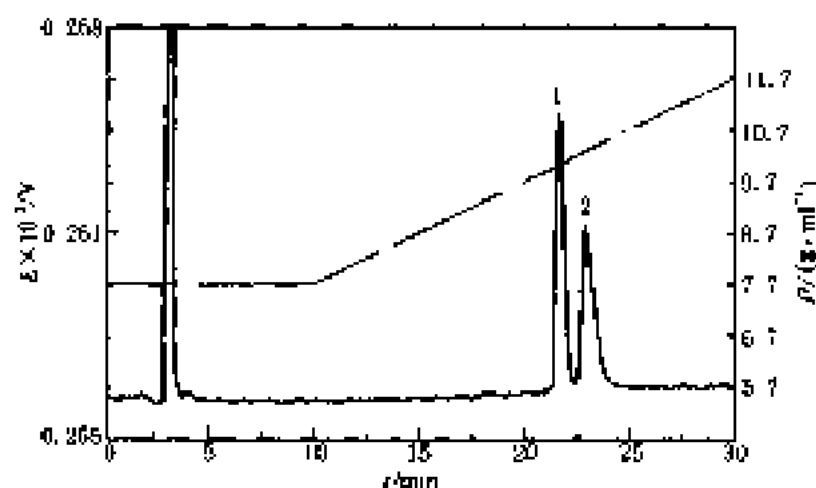


图 14-21 外消旋二乙基酒石酸的 SFC 分离谱图^[1]

色谱柱: 1—D-(+)-二乙基酒石酸; 2—L-(-)-二乙基酒石酸

色谱柱: 2.0 m × 0.05 mm 涂有固定相 Chiralcel-OD 的键合硅胶

柱温: 120°C

流动相: 0.01 g · ml⁻¹ 5 min, 然后以 0.16 g · ml⁻¹ · min⁻¹ 增加

检测器: 火焰电离检测器 (315°C)

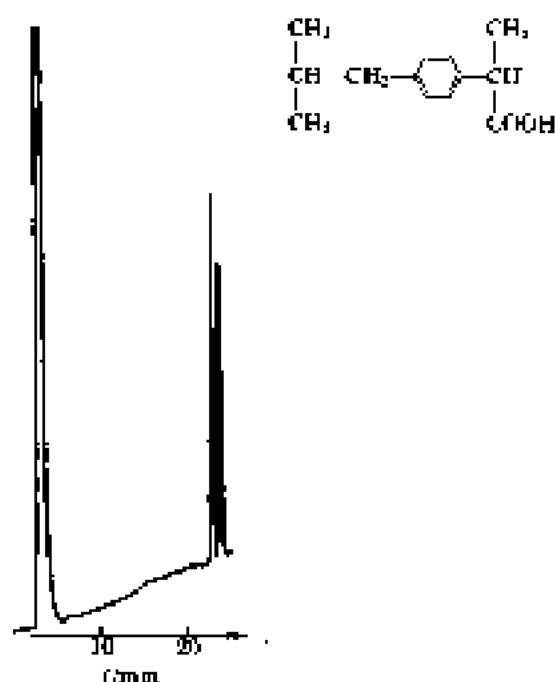


图 14-23 对映体的 SFC 分离谱图 (一)^[10]
 色谱柱: 2.5 m × 0.05 mm 涂有固定化 Chiralcel-Dex 非失活的键合硅胶
 柱温: 60°C
 流动相: CO₂, 0.25 g · min⁻¹ 2 min, 然后以 0.0036 g · mL⁻¹ · min⁻¹ 增加
 检测器: 火焰电离 (315°C)

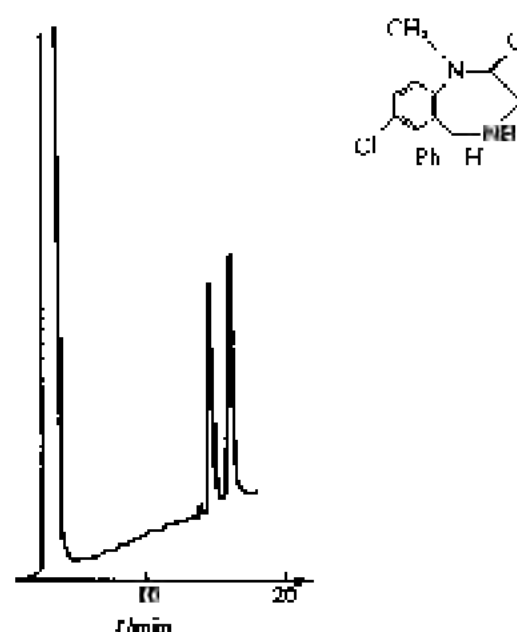


图 14-24 对映体的 SFC 分离谱图 (二)^[10]
 色谱柱: 2.5 m × 0.05 mm 涂有固定化 Chiralcel-Dex 非失活的键合硅胶
 柱温: 90°C
 流动相: CO₂, 0.31 g · min⁻¹ 2 min, 0.0029 g · mL⁻¹ · min⁻¹ 增加
 检测器: 火焰电离 (315°C)

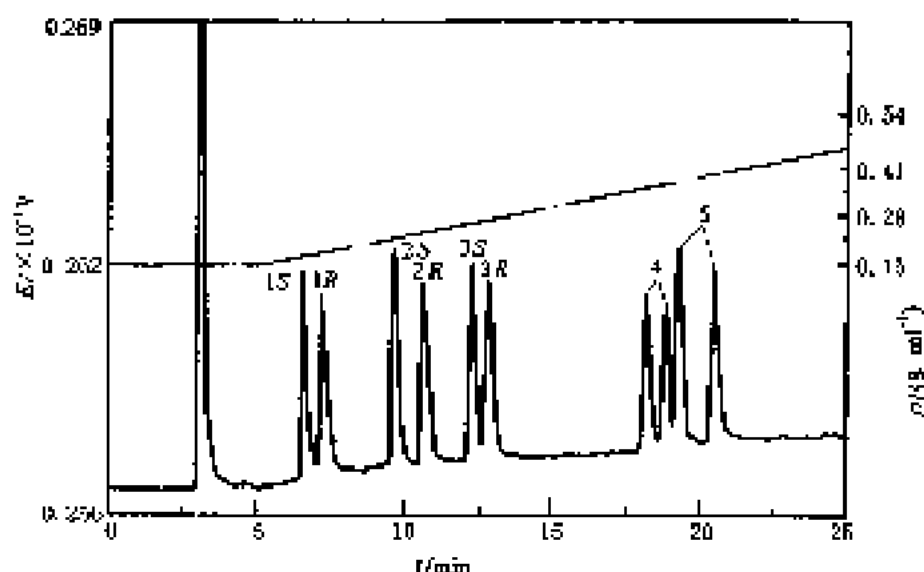
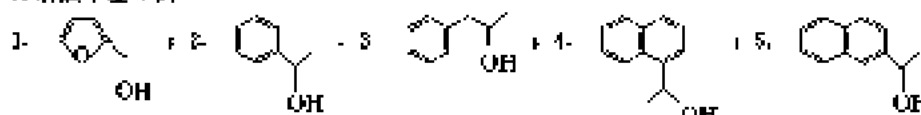


图 14-25 对映体的 SFC 分离谱图 (三)^[10]

色谱峰: 外消旋甲基苯醇



色谱柱: 7.0 m × 0.05 mm, 涂有固定化 Chiralcel-Dex 键合硅胶
 柱温: 120°C
 流动相: CO₂, 0.01 g · min⁻¹ 5 min, 0.16 g · mL⁻¹ · min⁻¹ 增加
 检测器: 火焰电离 (315°C)

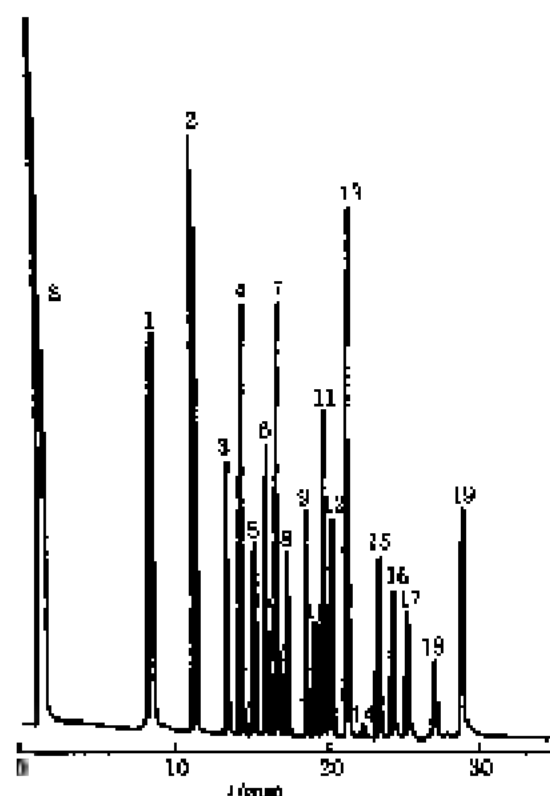


图 14-26 正构烷烃 ($C_{12} \sim C_{40}$) 的 SFC 分离谱图 (一)^[20]

色谱峰: 5—溶剂峰; 1—正十二烷烃; 2—正十四烷烃; 3—正十六烷烃; 4—正十七烷烃; 5—正十八烷烃; 6—正十九烷烃; 7—正二十烷烃; 8—正二十一烷烃; 9—正二十二烷烃; 10—正二十四烷烃; 11—正二十五烷烃; 12—正二十六烷烃; 13—正二十八烷烃; 14—正三十烷烃; 15—正三十二烷烃; 16—正三十四烷烃; 17—正三十六烷烃; 18—正四十烷烃; 19—正四十四烷烃

色谱柱: 100 mm \times 1.0 mm (内径), 填充 5 μ m 十八烷基键硅胶

柱温: 120°C 流动相: CO_2

压力: 9.12×10^6 Pa $\xrightarrow{5 \text{ min}}$ 9.12×10^6 Pa $\xrightarrow{30 \text{ min}}$ 5.55×10^6 Pa

检测器: FID (345°C)

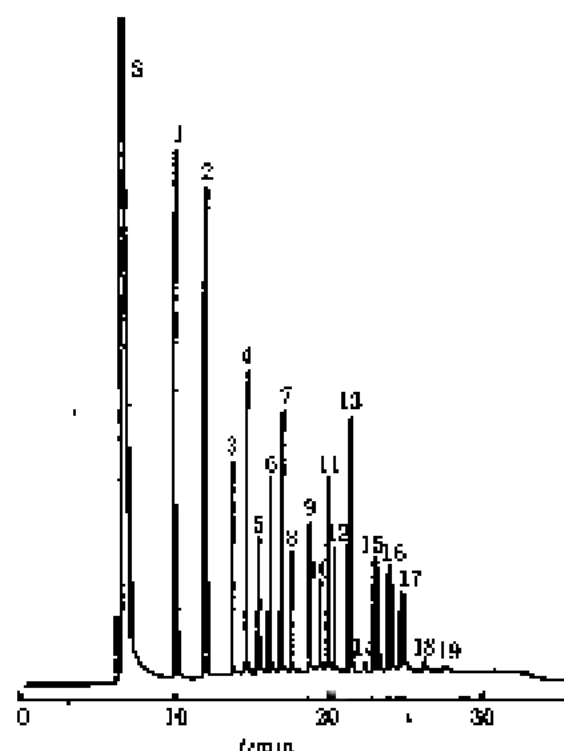


图 14-27 正构烷烃 ($C_{12} \sim C_{44}$) 的 SFC 分离谱图 (二)^[20]

色谱峰: 5—溶剂峰; 1—正十二烷烃; 2—正十四烷烃; 3—正十六烷烃; 4—正十七烷烃; 5—正十八烷烃; 6—正十九烷烃; 7—正二十烷烃; 8—正二十一烷烃; 9—正二十二烷烃; 10—正二十四烷烃; 11—正二十五烷烃; 12—正二十六烷烃; 13—正二十八烷烃; 14—正三十烷烃; 15—正三十二烷烃; 16—正三十四烷烃; 17—正三十六烷烃; 18—正四十烷烃; 19—正四十四烷烃

色谱柱: 10 mm \times 50 μ m (内径), 毛细管柱, 填充 5 μ m 苯基甲硅烷

柱温: 100°C

流动相: CO_2

压力: 9.12×10^6 Pa $\xrightarrow{5 \text{ min}}$ 9.12×10^6 Pa $\xrightarrow{25 \text{ min}}$ 5.55×10^6 Pa

检测器: FID (345°C)

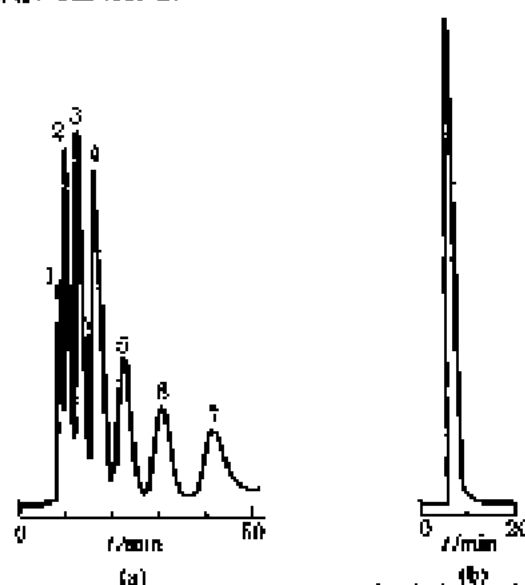


图 14-28 正烷基苯同系物 SFC (a) 和正相 LC (b) 分离谱图^[20]

色谱峰: 1—苯; 2—甲苯; 3—乙苯; 4—正丙苯; 5—正丁苯; 6—正戊基苯; 7—正己基苯

色谱柱: (a) 250 mm \times 1 mm (内径);

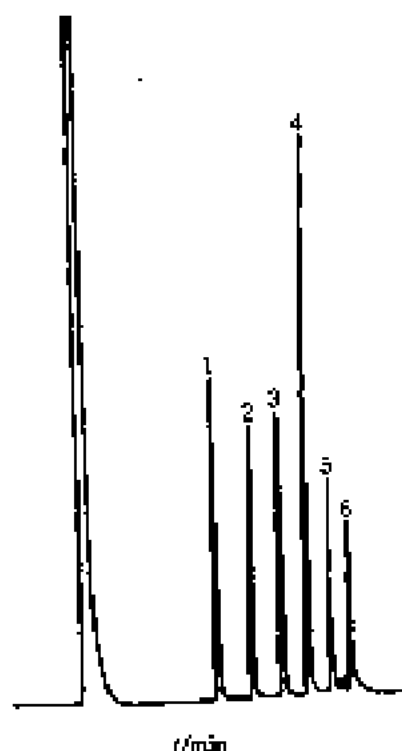
(b) 250 mm \times 1 mm (内径)

流动相: (a) CO_2 压力为 120 kg \cdot cm $^{-2}$;

(b) 正己烷+甲醇 (体积比=99:1)

流速: (a) 出口气体流速为 12 ml \cdot min $^{-1}$;

(b) 15 μ l \cdot min $^{-1}$

图 14-29 正烷基羧酸的 SFC 分离谱图^[20]

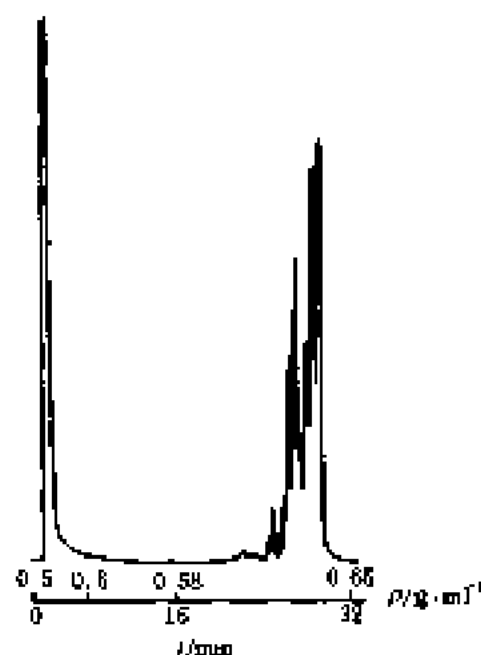
色谱柱: 1—辛酸; 2—癸酸; 3—月桂酸; 4—十四烷酸; 5—棕榈酸; 6—十八烷酸

色谱柱: 15 m × 50 μm (内径), 填充甲基苯基硅氧烷

柱温: 100°C

流动相: CO₂

检测器: 火焰离子化

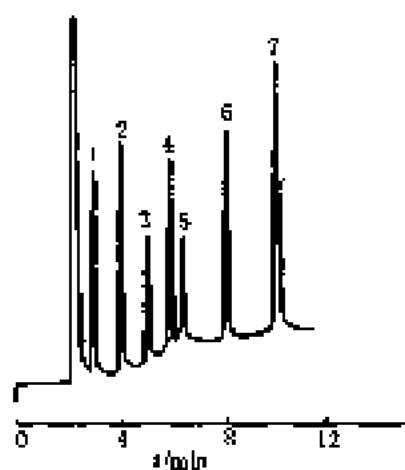
图 14-30 玉米油的 SFC 分离谱图^[20]

色谱柱: 400 mm × 6.25 mm (内径), 柱相为苯基硅氧烷, 5 μm

柱温: 100°C

流动相: CO₂

检测器: 火焰离子化 (385°C)



色谱峰: 1—1-单辛酸甘油酯; 2—单肉豆蔻酸甘油酯; 3—单二十碳烯酸甘油酯; 4—1,3-二肉豆蔻酸甘油酯; 5—1,3-二棕榈酸甘油酯; 6—三甘油十七烷酸酯; 7—三硬脂酸甘油酯

色谱柱: DR-1

柱温: 110°C

流动相: CO₂

压力: 13.8 MPa $\xrightarrow{10 \text{ min}}$ 34.47 MPa

检测器: FID

图 14-31 甘油酯的 SFC 分离谱图^[20]



图 14-32 生物碱的 SFC 分离谱图^[22]

色谱峰: 1—苦素碱; 2—二甲基吗啡; 3—可待因;
4—吗啡

色谱柱: 4.6 mm × 150 mm, 二甲基硅橡胶 5 μm

柱温: 40°C

流动相: 20% 改良 CO₂

柱出口压: 20 MPa

检测器: UV(280 nm)

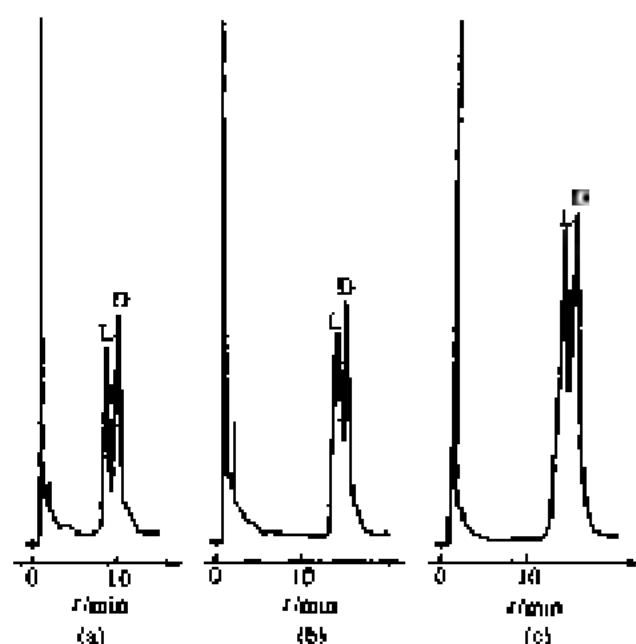


图 14-33 用 FLEC 分离氨基酸衍生物的 SFC 谱图^[23]

色谱峰: (a) DL-Val; (b) DL-Ala; (c) DL-Met

色谱柱: 15 cm × 0.46 cm (内径), 5 μm Nucleosil-100 裸硅胶柱
柱温: 42°C

流动相: (a) 以 4.5% 甲醇 + 水 + 甲基磺 (体积比 = 98.99 : 1.00 + 0.01) 改性的 CO₂

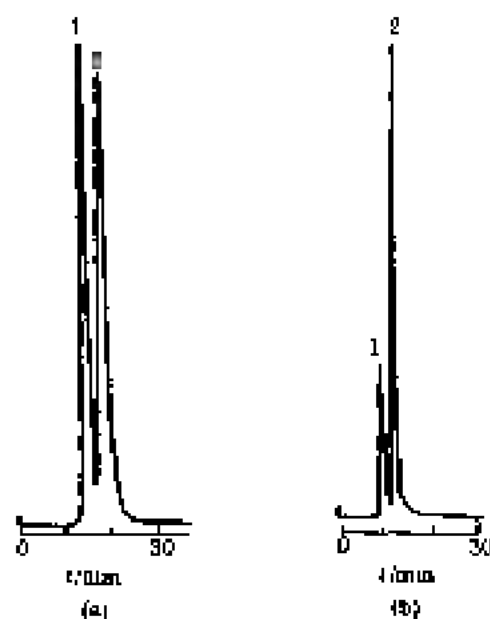
(b) 以 5.3% 甲醇 + 水 + 甲基磺 (体积比 = 98.99 : 1.00 + 0.01) 改性的 CO₂

(c) 以 5.9% 甲醇 + 水 + 甲基磺 (体积比 = 98.99 : 1.00 + 0.01) 改性的 CO₂

流速: 4 ml · min⁻¹

平均压力: 27 MPa

检测器: UV(269 nm)



色谱峰: 1—2-甲基苯; 2—1,2-二甲苯

色谱柱: 350 mm × 1 mm (内径)

柱温: (a) 28°C; (b) 44°C

流动相: (a) 甲醇-水 (体积比 = 65 : 35); (b) CO₂, 压力
为 120 kg · cm⁻²

流速: (a) 30 μl · min⁻¹; (b) 出口气体流速为 12
ml · min⁻¹

检测器: UV(254 nm)

图 14-34 2-甲基苯和1,2-二甲苯的 CD 柱反相 LC (a) 和 SFC (b) 分离谱图^[23]

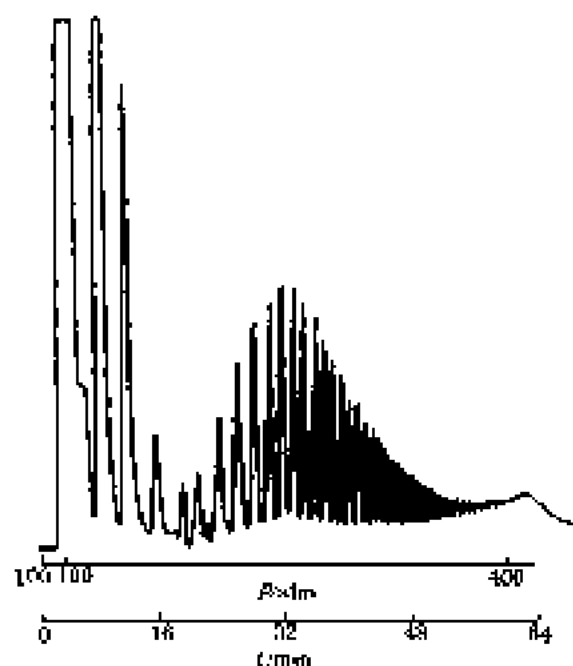


图 14-35 甲基聚硅氧烷 (平均相对分子质量 100~700) 的 SFC 分离谱图^[41]
 色谱柱: 10 cm × 1.0 mm (内径), 填充 5 μm Sphenosil + A 键合硅胶
 柱温: 150°C
 流动相: 0.5% 甲酸 + CO₂
 压力: 100 atm $\xrightarrow{2 \text{ min}}$ 100 atm $\xrightarrow{5.5 \text{ atm} \cdot \text{min}^{-1}}$ 100 atm
 (1 atm = 0.101325 MPa)
 进样体积: 1 μl
 检测器: FID (350°C)

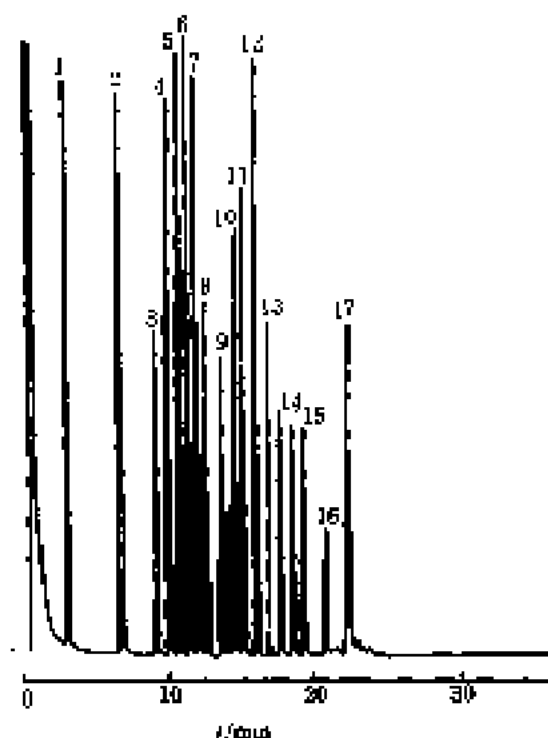
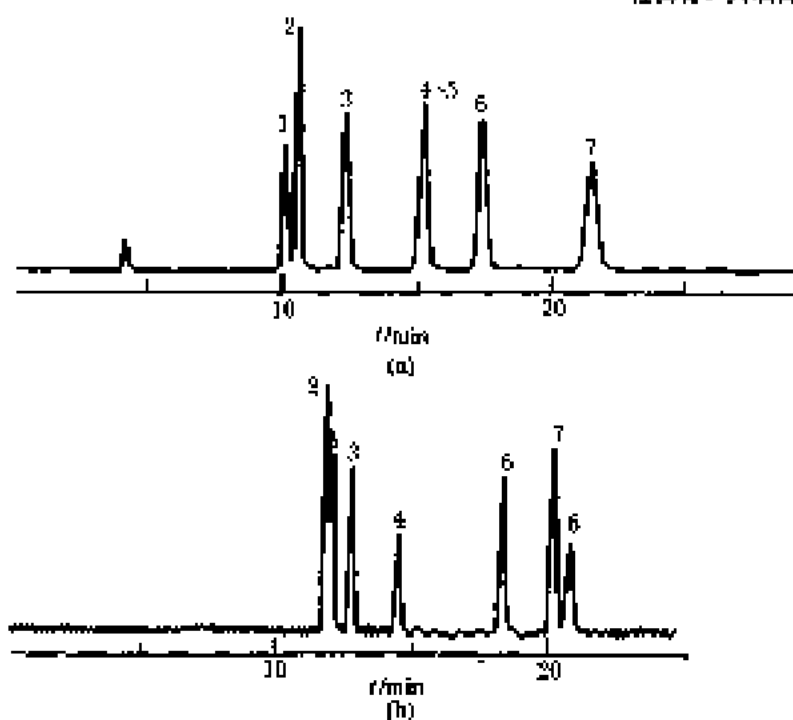


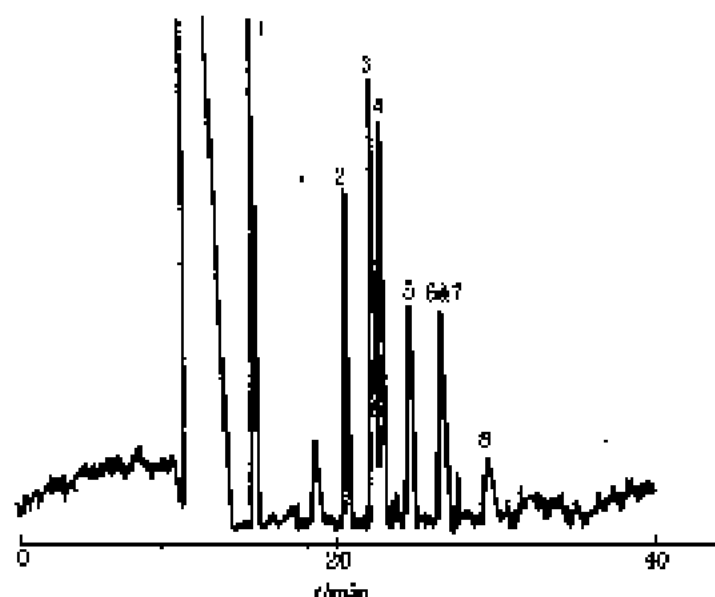
图 14-36 正烷烃的 SFC 分离谱图^[42]
 色谱柱: 1-C₁₂; 2-C₁₄; 3-C₁₆; 4-C₁₈; 5-C₂₀; 6-C₂₂; 7-C₂₄; 8-C₂₆; 9-C₂₈; 10-C₃₀; 11-C₃₂; 12-C₃₄; 13-C₃₆; 14-C₃₈; 15-C₄₀; 16-C₄₂; 17-C₄₄
 色谱柱: 10 cm × 1.0 mm (内径), 中性相, 5 μm
 柱温: 100°C 流动相: CO₂
 压力: 100 atm 保持 7 min, 然后以 10 atm · min⁻¹ 增加到 360 atm (1 atm = 0.101325 MPa), 最后保持此压力不变
 检测器: 火焰离子化 (385°C)



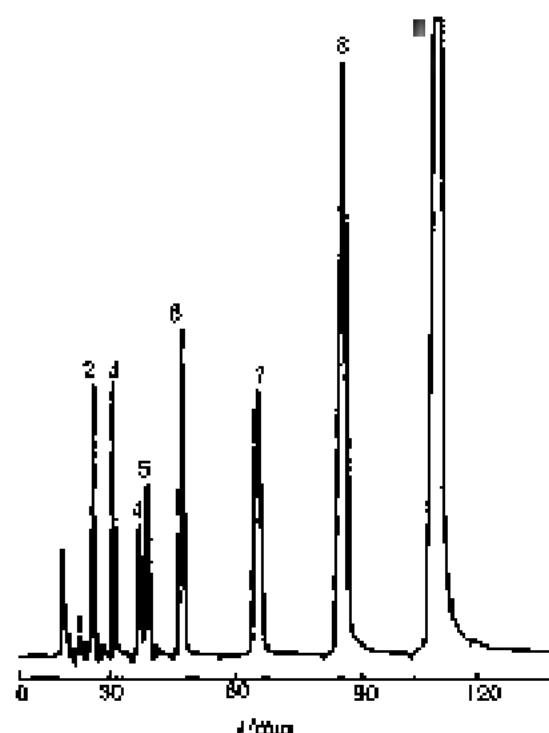
色谱峰: 1-正癸基二甲胺; 2-正癸基二乙胺; 3-正癸基二丙胺; 4-正癸基二丁胺; 5-正癸基四胺; 6-正癸基吡啶; 7-正癸基吡咯

色谱柱: (a) CPTm Spher-18, 250 mm × 1-35 mm (内径)
 (b) DB-WAX-20M, 10 m × 0.1 mm (内径), 液膜厚度为 0.2 μm
 柱温: (a) 40°C, (b) 60°C
 流动相: (a) CO₂ + 0.5% 甲醇; (b) CO₂
 检测器: 化学发光

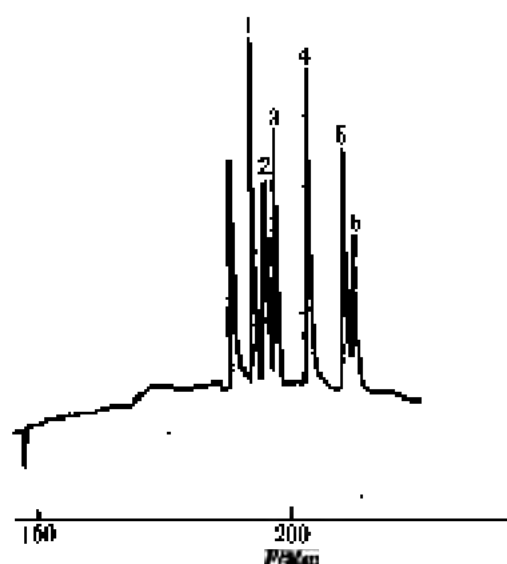
图 14-37 正烷烃混合物的 SFC 分离谱图^[43]

图 14-38 多环芳烃的 SFC 分离谱图^[50]

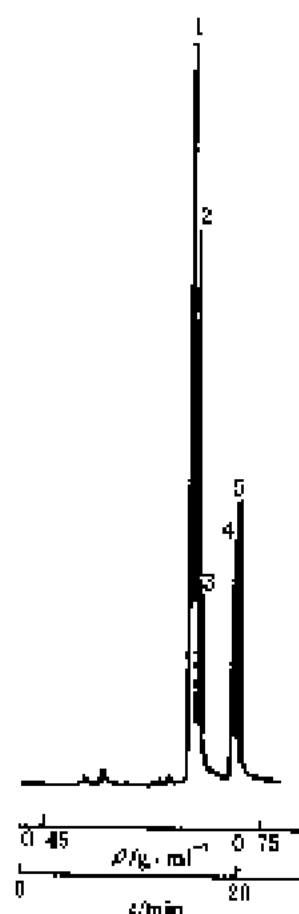
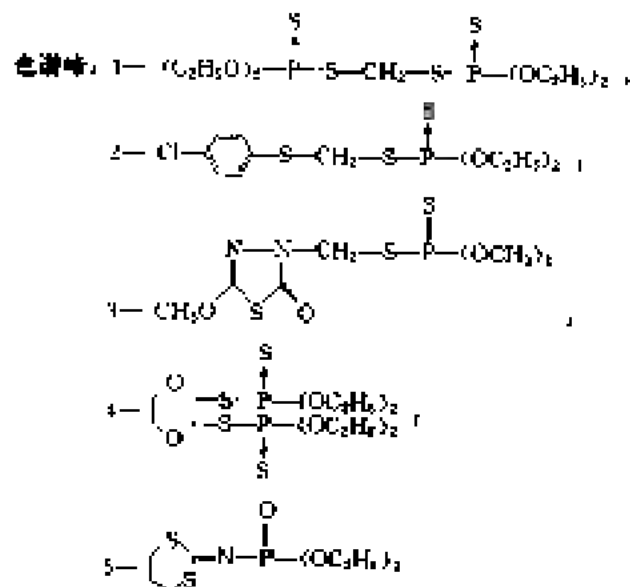
色谱峰: 1—萘; 2—苊; 3—苈; 4—荧蒽; 5—蒽; 6—9,10-二苯基蒽; 7—苝; 8—屈
 色谱柱: 10 m×100 μm(内径), 50%苯基 50%甲基聚硅氧烷 SB-苯基-50 (Dionex), 玻璃厚度为 0.5 μm
 柱温: 100°C
 流动相: 氦
 压力: 8.95×10^5 Pa, 10 min, 然后 $(5.95 \times 10^5 \sim 2.76 \times 10^5)$ Pa, 30 min
 检测器: Fourier 转换红外

图 14-39 多环芳烃的 SFC 分离谱图^[51]

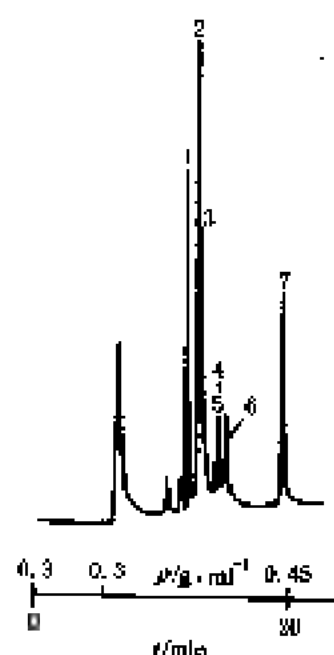
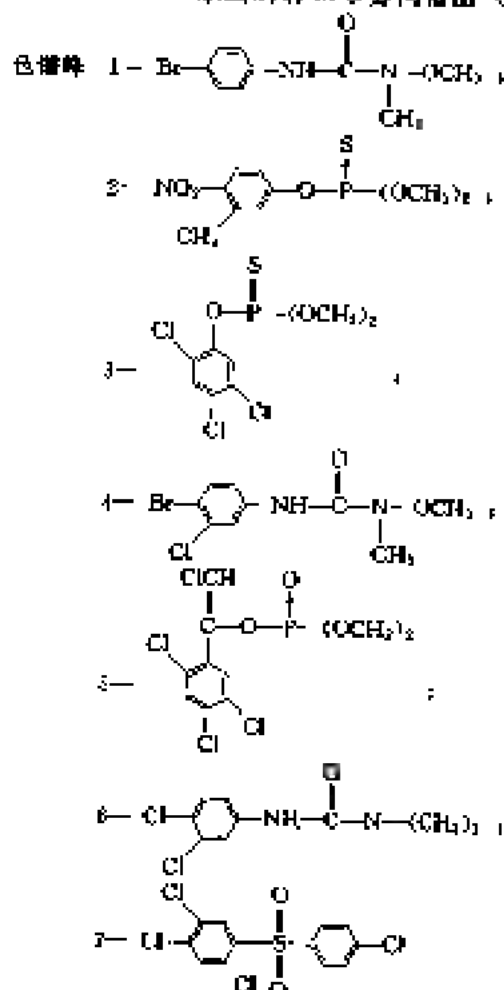
色谱峰: 1—萘; 2—苊; 3—苊; 4—荧蒽; 5—蒽; 6—苝; 7—
 苯并[a]苊; 8—苯并[a]苊; 9—屈
 色谱柱: 100 mm×2 mm(内径), 5 μm diol Silica
 柱温: 70°C
 流动相: 1.5%内解基硫酸盐+98.5%CO₂
 检测器: UV(294 nm)
 压力: 100 atm, 然后以 $10 \text{ atm} \cdot \text{min}^{-1}$ 速度增加
 ($1 \text{ atm} = 0.101325 \text{ MPa}$)

图 14-40 多环芳烃的 SFC 分离谱图^[52]

色谱峰: 1—萘; 2—二甲基萘; 3—苊; 4—苊; 5—荧蒽; 6—
 屈
 色谱柱: 20 m×50 μm(内径), 柱相为 DB-1 聚甲基硅氧烷
 玻璃厚度为 0.4 μm
 柱温: 100°C
 流动相: CO₂
 检测器: 光电(350°C)
 压力: 初始为 100 atm, 然后以 $10 \text{ atm} \cdot \text{min}^{-1}$ 变化
 ($1 \text{ atm} = 0.101325 \text{ MPa}$)

图 14-41 杀虫剂的 SFC 分离谱图 (一)^[10]

色谱柱: 200 mm × 0.25 mm (内径), 氟丙基 δ 键
 柱温: 50℃
 流动相: $CO_2 + 2\%$ 甲醇
 检测器: 磷化学发光

图 14-42 杀虫剂的 SFC 分离谱图 (二)^[10]

色谱柱: 4 m × 0.66 mm (内径), 熔化硅胶 SE-Phenyl 5
 柱温: 100℃
 流动相: CO_2
 检测器: 电子捕获

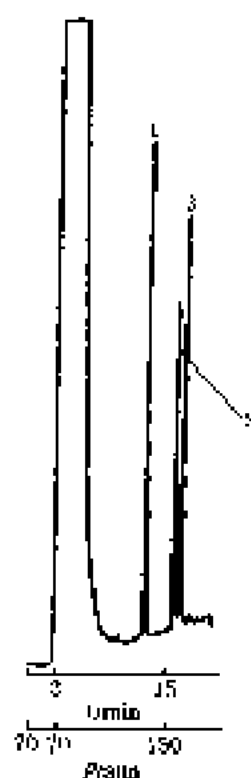
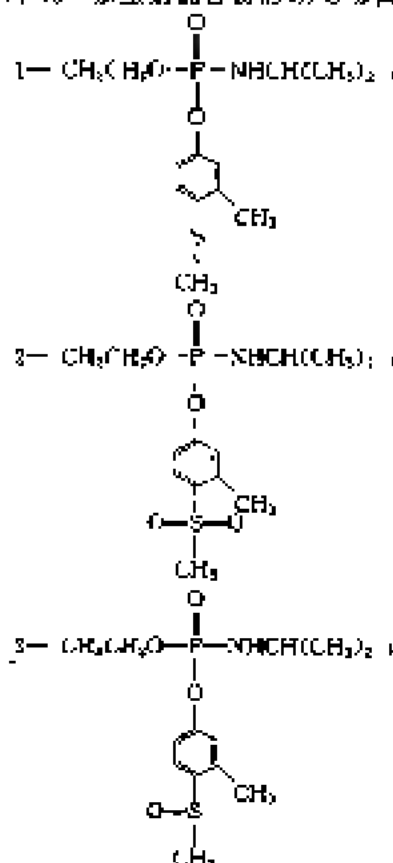


图 14-43 杀虫剂混合物的 SFC 分离谱图 (10)

色谱峰: 1— $\text{CH}_3(\text{H}_2\text{O})-\text{P}-\text{NHCH}(\text{CH}_3)_2$;



色谱柱: $8\text{ m} \times 50\text{ }\mu\text{m}$ (内径), 液膜厚度 $0.20\text{ }\mu\text{m}$, 柱剂为近晶状液体晶体

柱温: 20°C

流动相: CO_2

检测器: 火焰离子化 (350 $^\circ\text{C}$)



图 14-44 自由脂肪酸的 SFC 分离谱图 (一) (10)

色谱峰: 1— C_{12} ; 2— C_{14} ; 3— C_{16} ; 4— C_{18} ; 5— C_{20} ; 6— C_{22} ; 7— C_{24}

色谱柱: $10\text{ m} \times 50\text{ }\mu\text{m}$ (内径), 柱相为 25% 氟丙基, 75% 甲基硅氧烷, 液膜厚度为 $0.25\text{ }\mu\text{m}$

柱温: 150°C

流动相: CO_2 (零压) $11\text{ atm} = 0.101385\text{ MPa}$

检测器: 火焰离子化 (400°C)

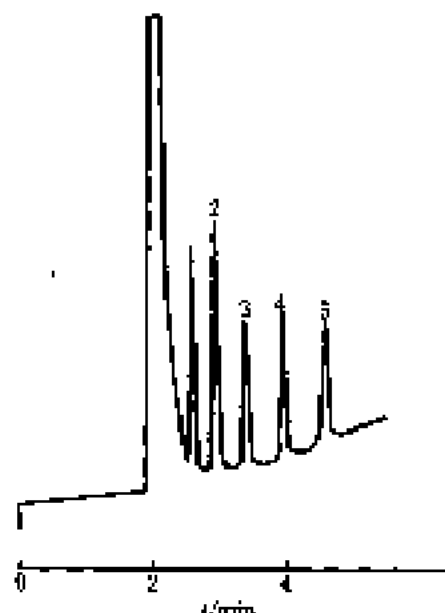


图 14-45 自由脂肪酸的 SFC 分离谱图 (二) (10)

色谱峰: 1—辛酸; 2—月桂酸; 3—十四酸; 4—十八酸; 5—花生酸

色谱柱: $10\text{ m} \times 50\text{ }\mu\text{m}$ (内径), 填充 DB-1 甲基硅氧烷

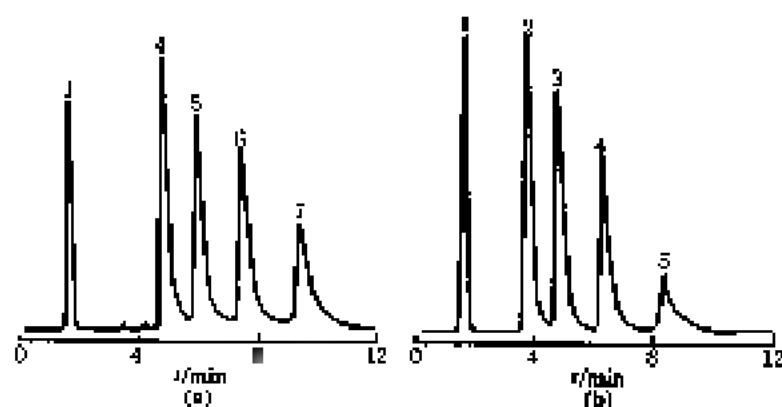
柱温: 180°C

流动相: CO_2

入口压力变化: $2000\text{ Pa} \xrightarrow[10\text{ min}]{\text{线性梯度}} 4000\text{ Pa}$

检测器: 火焰离子化

进样体积: $0.1\text{ }\mu\text{l}$

图 14-46 自由脂肪酸的 SFC 分离谱图 (三)^[20]

色谱峰: 1—溶剂 (异辛烷); 2—辛酸; 3—癸酸; 4—月桂酸; 5—十四烷酸; 6—棕榈酸; 7—十八烷酸

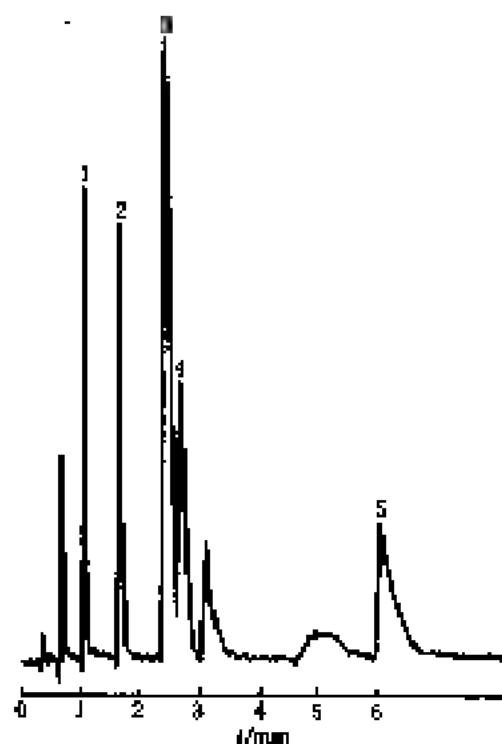
色谱柱: 15 cm × 4.6 mm (内径), PRP-L (Hamilton) 5 μ m

柱温: 50°C

流动相: CO₂

进口压力: (a) 31.0 MPa; (b) 2.82 MPa

检测器: FTIR [(1850~1650) cm⁻¹]

图 14-47 酚噻嗪衍生物的 SFC 分离谱图^[21]

色谱峰: 1—FP-516; 2—多塞平; 3—酚噻嗪; 4—氯化酚噻嗪; 5—甲硫酚噻嗪

色谱柱: 250 mm × 4.6 mm (内径), 丁基硅胶 C-4 (Vydac)

柱温: 50°C

流动相: 氟利昂-22 (3 ml · min⁻¹) + 0.25 mol · L⁻¹ 四正丁基氢氧化铵 + 甲醇

检测器: UV (230 nm, 430 nm)

图 14-48 安定类药物的 SFC 分离谱图^[22]

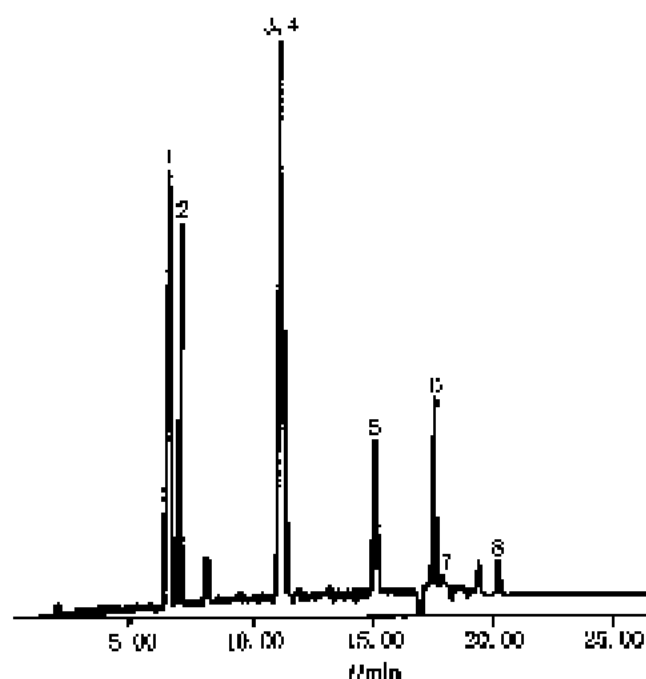
色谱峰: 1—去甲短效安定; 2—Lilium; 3—硝基安定

色谱柱: 3 m × 50 μ m (内径), 柱壁为聚乙氧基氧化取代聚硅氧烷, 液膜厚度为 0.15 μ m

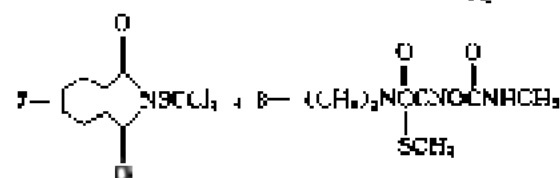
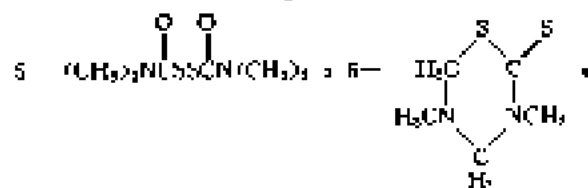
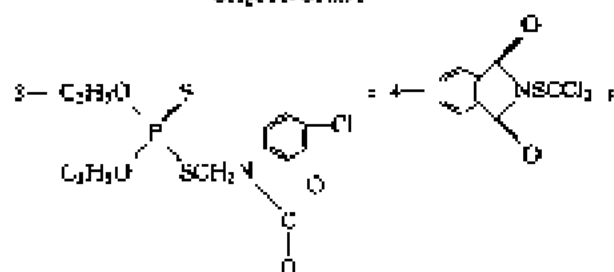
柱温: 100°C

流动相: CO₂

检测器: 火焰离子化 (350°C)

图 14-49 含硫杀虫剂的 SFC 分离谱图^[6]

色谱峰: 1— $\text{CH}_3\text{CH}_2\text{SCN}$ $\begin{array}{l} \text{O} \\ \parallel \\ \text{CH}_2\text{CH}(\text{CH}_3)_2 \\ \text{CH}_2\text{CH}(\text{CH}_3)_2 \end{array}$; 2— $\text{CH}_3(\text{CH}_2)_4\text{SCN}/\text{C}_2\text{H}_5)_2$;



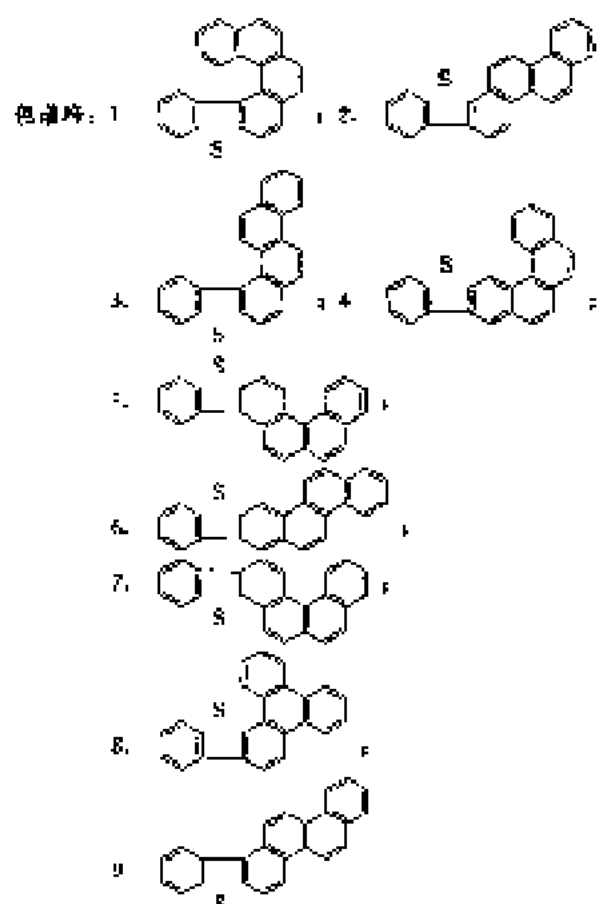
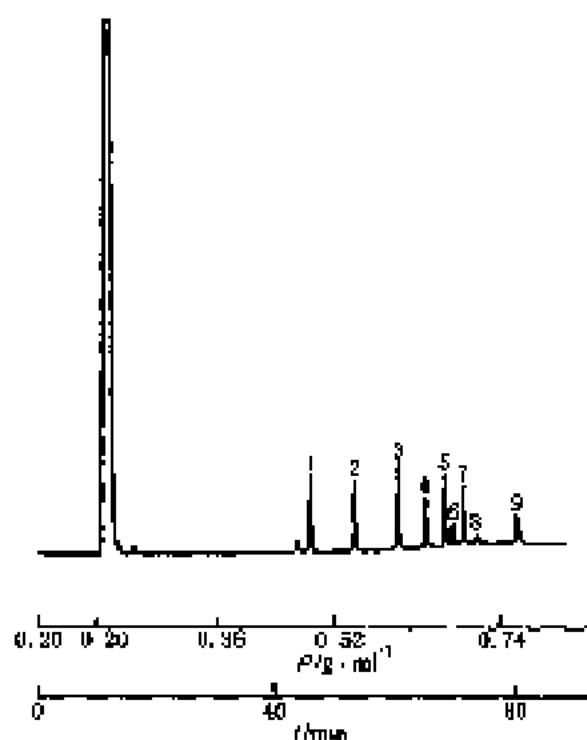
色谱柱: 250 mm×4.6 mm(内径), Adsorbosphere 硅胶, 5μm

流动相: CO_2 +甲醇, 甲醇浓度(体积分数)为 0.2% $\xrightarrow{0.2\%/min}$ 1.0% $\xrightarrow{1.0\%/min}$ 8.0% $\xrightarrow{15\%/min}$ 15%

柱出口压力 $7.5\text{ MPa} \xrightarrow{0.2\text{ MPa} \cdot \text{min}^{-1}} 11.5\text{ MPa} \xrightarrow{1.5\text{ MPa} \cdot \text{min}^{-1}} 30\text{ MPa}$

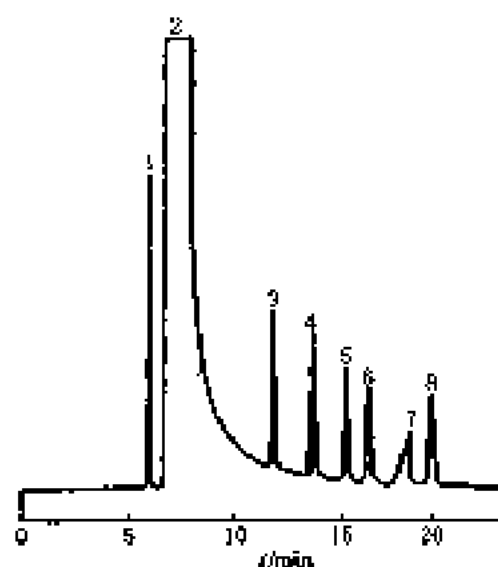
柱温: 40℃

检测器: UV(226nm)



色譜柱: 10 m × 50 μm (內徑), 50% 晶体状聚硅氧烷
柱 温: 120°C
流动相: CO₂
检测器: 火焰离子化 (375°C)

图 14-50 含氯多元环芳烃的 SFC 分离谱图^[33]



色譜峰: 1—甲苯; 2—二甲苯; 3—萘; 4—正辛醇; 5—
2,6-二甲氧苯酚; 6—1,6-己二醇; 7—正辛醇; 8—
正十二醇
色譜柱: 10 m × 0.05 mm (內徑) 填充 SB-甲基-100 甲基聚
硅氧烷
柱 温: 90°C
流动相: CO₂
检测器: FID (350°C)

图 14-51 极性差别较大化合物的 SFC 分离谱图^[34]

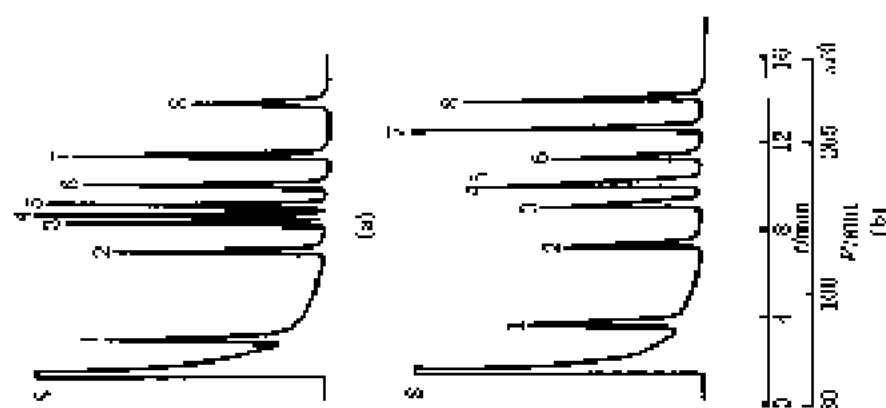


图 14-53 芳香烃化合物的

SFC 分离谱图 (—) (b)

色谱柱: 1—同一甲苯; 2—苯; 3—2,3-二甲基苯; 4

色谱柱: 5—萘; 6—萘; 7—萘; 8—萘

色谱柱: 10 mm × 1.0 mm 内径; (a) 苯; (b) 1,1-二苯基

苯基柱

柱温: 60°C

流动相: CO₂

注: 1. 100—10. 101325 MPa

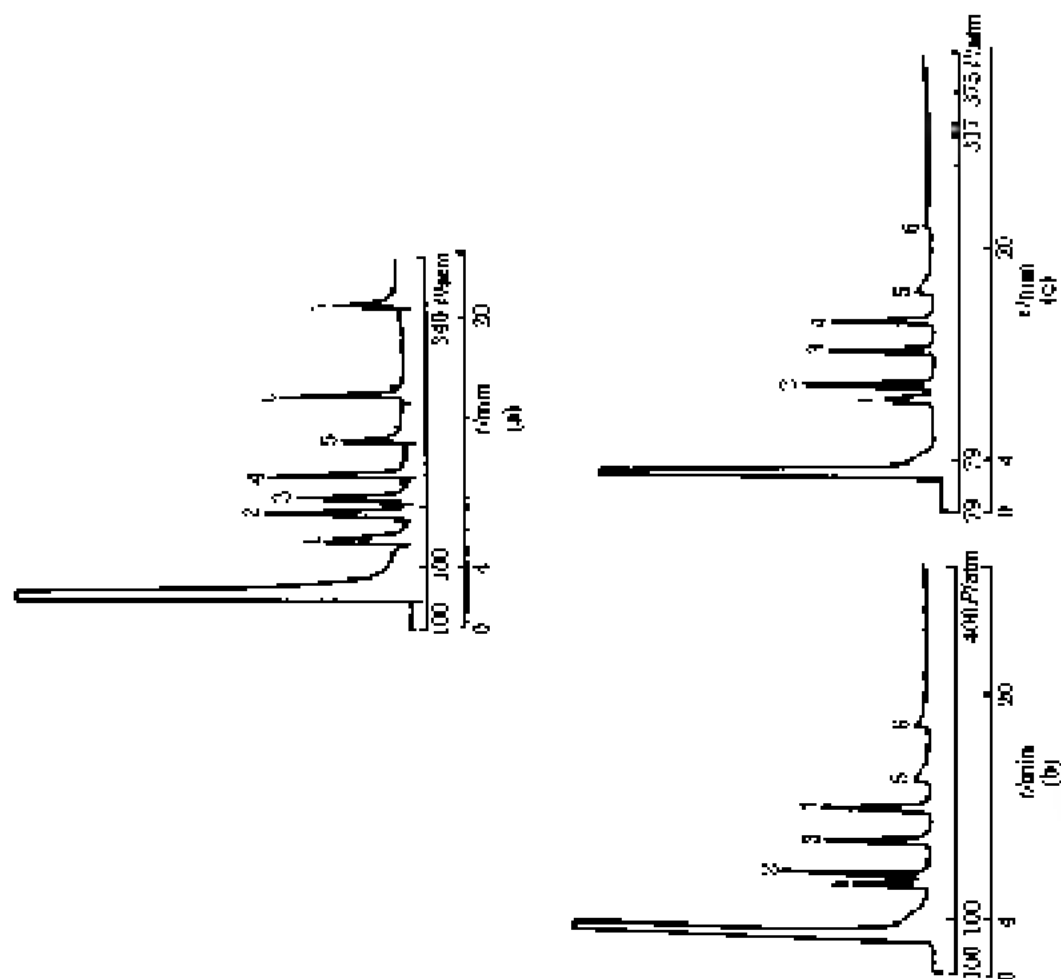


图 14-52 极性化合物的 SFC 分离谱图 (—)

色谱柱: 1—苯; 2—正戊烷; 3—苯; 4—苯; 5—萘; 6—萘; 7—萘; 8—萘

色谱柱: 30 mm × 3.20 mm 内径; 5.0 mm (8 mm)

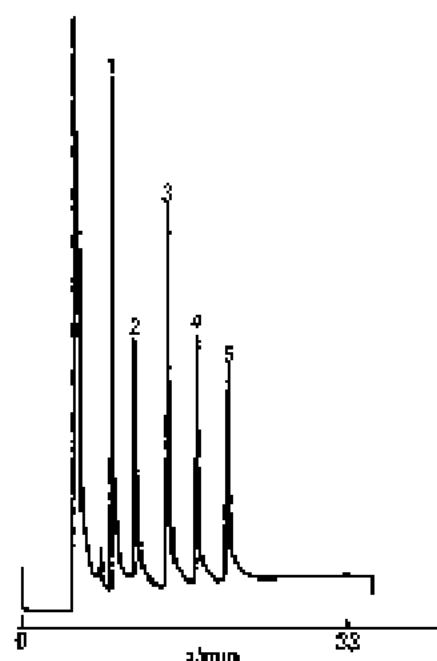
色谱柱: (a) CO₂; (b) CO₂; X₂

色谱柱: 10 mm × 1.0 mm 内径; 10 mm × 1.0 mm × 1.0 mm

色谱柱: 10 mm × 1.0 mm 内径; 10 mm × 1.0 mm × 1.0 mm

色谱柱: 10 mm × 1.0 mm 内径; 10 mm × 1.0 mm × 1.0 mm

色谱柱: 10 mm × 1.0 mm 内径; 10 mm × 1.0 mm × 1.0 mm



保留峰: 1—萘; 2—噻; 3—苯并「a」蒽; 4—二苯并「a, h」蒽; 5—芘

色谱柱: $6\text{ m} \times 50\text{ }\mu\text{m}$ (内径), 2%乙炔基+98%甲基聚硅氧烷 (SE-30), 柱膜厚度为 $R\text{ }25\text{ }\mu\text{m}$

柱温: 120°C

流动相: SO_2

检测器: 火焰离子化 (300°C)

图 14-54 芳香烃化合物的 SFC 分离谱图 (二) SO_2



图 14-55 抗生素的 SFC 分离谱图 CO_2

保留峰: 1—左旋 (四) 唑唑; 2—呋喃唑酮; 3—萘普生; 4—洛索洛芬
色谱柱: $100\text{ mm} \times 4.6\text{ mm}$ (内径), 填充 $5\text{ }\mu\text{m}$ 氨基键合 *Spherisorb*
柱温: 75°C

流动相: $\text{CO}_2 + 15\%$ 甲醇

流速: $4\text{ ml} \cdot \text{min}^{-1}$

柱压: 35.2 MPa

检测器: (a) UV (215 nm), $A=0.1$ (3.5 min) 然后变为 $A=0.01$;
(b) UV (200 nm), $A=0.1$



图 14-56 甾醇化合物的 SFC (压缩柱) 分离谱图 CO_2

保留峰: 1—黄体酮; 2—睾丸酮; 3—17-羟基黄体酮; 4—11-脱氧皮质酮; 5—皮质酮

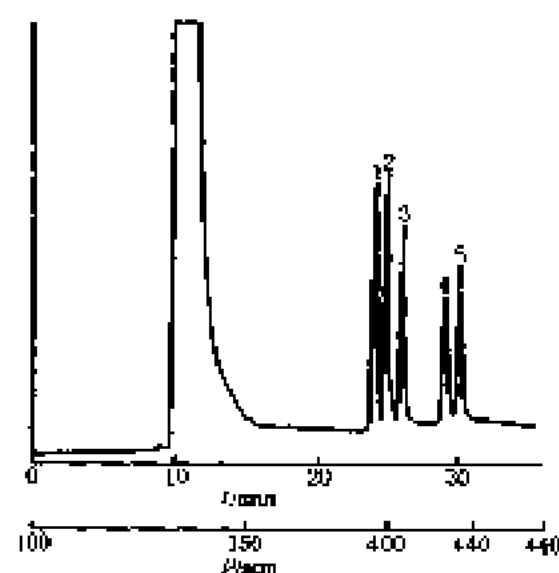
色谱柱: $100\text{ mm} \times 1.0\text{ mm}$ (内径), δ -氟丙基键, $5\text{ }\mu\text{m}$

柱温: 60°C

流动相: CO_2

检测器: 火焰离子化 (375°C)

注: $1\text{ MPa} = 0.101325\text{ MPa}$



色谱峰: 1—黄体酮; 2—睾丸酮; 3—17-羟基黄体酮; 4—11-脱氧皮质酮; 5—皮质酮

色谱柱: $10\text{ m} \times 100\text{ }\mu\text{m}$ (内径), SB-键丙基, 硅胶厚度为 $0.25\text{ }\mu\text{m}$

柱温: 60°C

流动相: CO_2

检测器: 大流量下化 (325°C)

注: $1\text{ au} = 0.101325\text{ MPa}$

图 14-57 固醇类化合物的 SFC (毛细管柱) 分离谱图^[40]

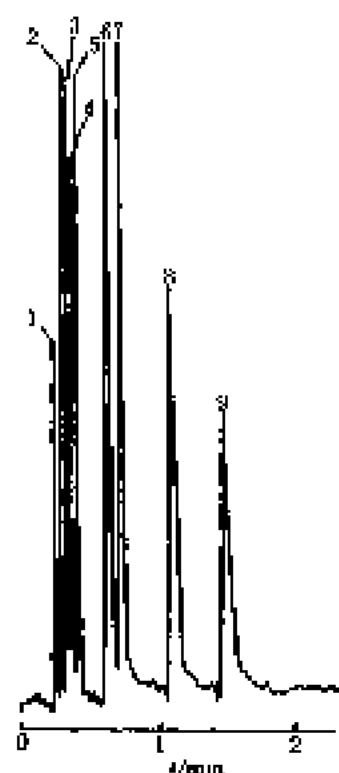


图 14-58 固醇类化合物的 SFC 分离谱图 (一)^[41]

色谱峰: 1—孕甾酮; 2—甲孕酮九氢索; 3—睾丸酮; 4—17- α -羟基孕甾酮; 5—雌酮; 6—雌二醇; 7—可的松; 8—氢化可的松; 9—雌三酮

色谱柱: $75\text{ mm} \times 4.6\text{ mm}$ (内径), 氟丙基硅胶 (suxelco), $5\text{ }\mu\text{m}$

柱温: 40°C

流动相: $5\text{ ml} + 995\text{ ml } ^1\text{CO}_2$; $1.525\text{ ml} \cdot \text{min}^{-1}$ 甲醇

检测器: UV (210 nm , 430 nm)

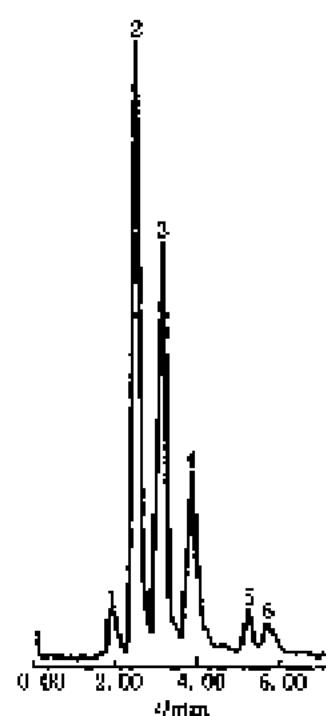


图 14-59 固醇类化合物的 SFC 分离谱图 (二)^[42]

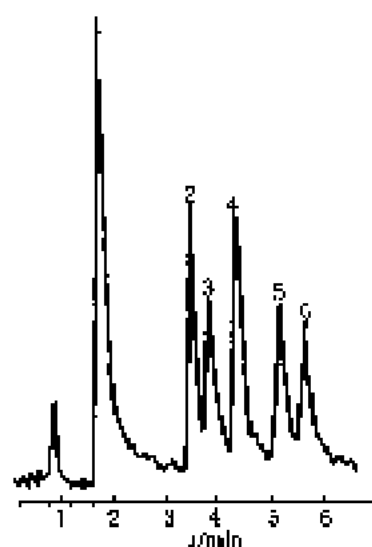
色谱峰: 1—孕甾酮; 2—黄体酮; 3—睾酮; 4—17 α -羟基黄体酮; 5—11-脱氧皮质酮; 6—皮质酮

色谱柱: $100\text{ mm} \times 1.0\text{ mm}$ 氟丙基硅胶 $5\text{ }\mu\text{m}$ (L-键)

柱温: 75°C

流动相: 4% 改良的 CO_2 ($1.52 \times 10^7\text{ Pa}$) (用甲醇)

检测器: 示波/粒子束界面



色谱峰: 1—可的松; 2—脱氢可的松; 3—氢化可的松; 4—
氢化泼尼松; 5—醋酸氢化泼尼松; 6—倍他米松
色谱柱: 250 mm×2.0 mm (内径), Sphenorex 53 CN, 3 μ m
柱温: 70℃
流动相: CH_3OH +(甲醇) (体积比=98:2)
检测器: 质谱仪 (EI mode), HP5985B (250℃)
压力: 2.07 MPa

图 14-60 甾醇类化合物的 SFC 分离谱图 (三)^[10]



色谱峰: 1— C_{11} ; 2— C_{11} ; 3— C_{12} ; 4— C_{13} ; 5— C_{14} ; 6— C_{15} ;
7— C_{16} ; 8— C_{17}
色谱柱: 150 mm×0.75 mm (内径), 固定相为 Omni-
PACSM- μ m PRN-300 (Dionex) polystyrene
柱温: 170℃
流动相: CO_2
检测器: FID (375℃)

图 14-61 直链饱和脂肪酸的 SFC 分离谱图^[10]

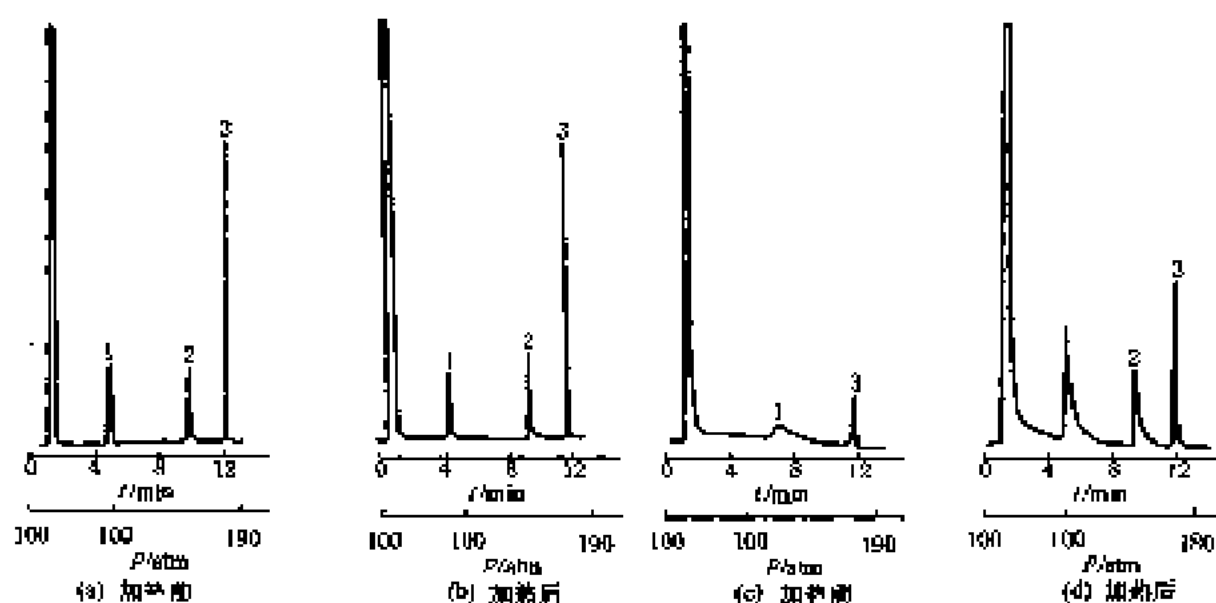


图 14-62 苯乙醇、苯酚和正二十四烷烃的 SFC 分离谱图 (一)^[20]

色谱峰: 1—苯乙醇; 2—苯酚; 3—正二十四烷烃

色谱柱: 10 cm×1.0 mm (内径), (a), (b) δ 键; (c), (d) Hyperall 甲基键

柱温: 60°C

流动相: 100% CO_2

注: 1 atm=0.101325 MPa

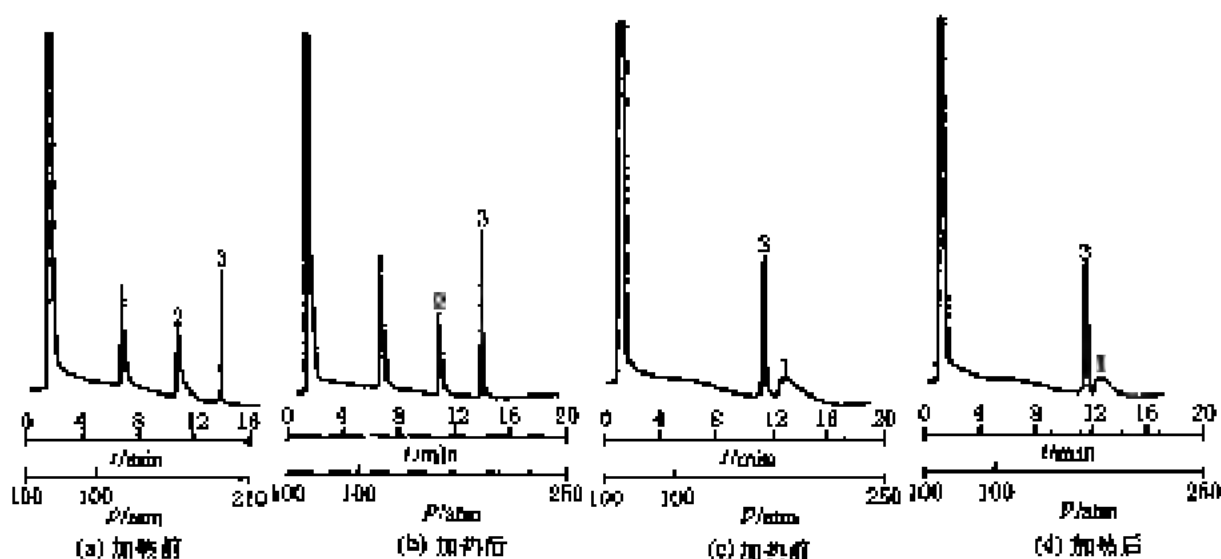


图 14-63 苯乙醇、苯酚和正二十四烷烃的 SFC 分离谱图 (二)^[20]

色谱峰: 1—苯乙醇; 2—苯酚; 3—正二十四烷烃

色谱柱: 10 cm×1.0 mm (内径), (a), (b) Delcobond C_{18} ; (c), (d) Hyperall C_{18}

柱温: 60°C

注: 1 atm=0.101325 MPa

流动相: 100% CO_2

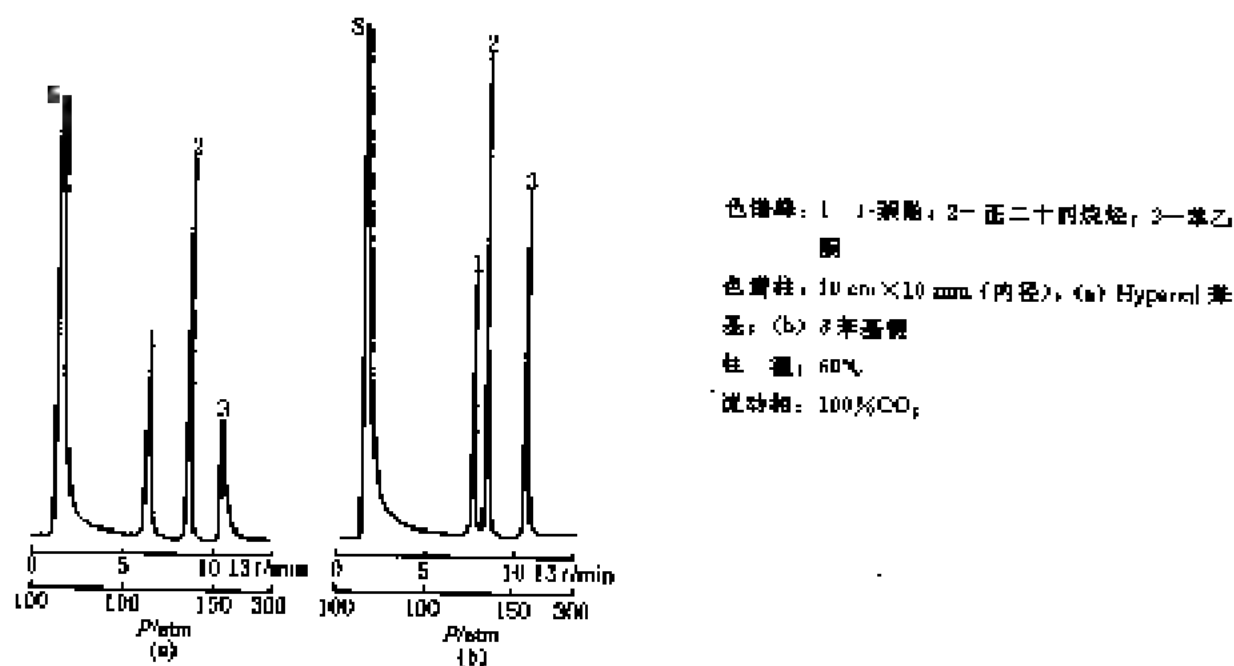


图 14-84 苯乙酮、苯酚和正二十四烷烃的 SFC 分离谱图 (三)^[92]

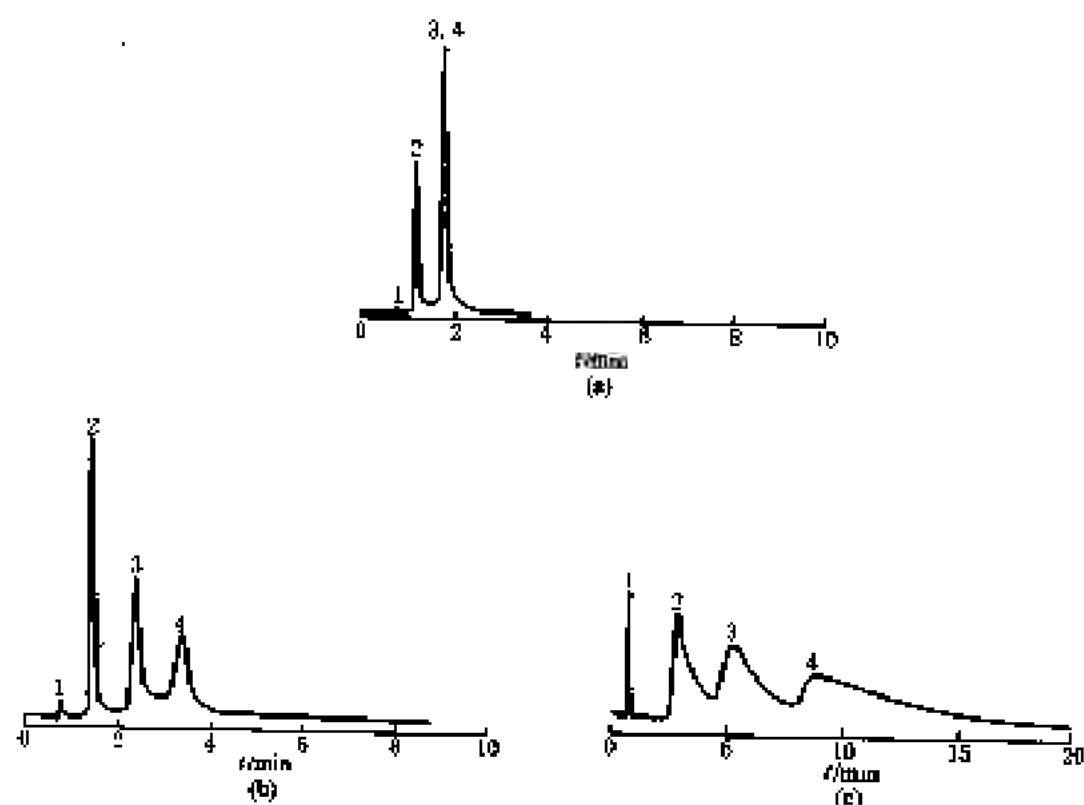


图 14-85 苯二甲酸的 SFC 分离谱图^[94]

色谱峰: 1—苯酚; 2—邻苯二甲酸; 3—间苯二甲酸; 4—对苯二甲酸

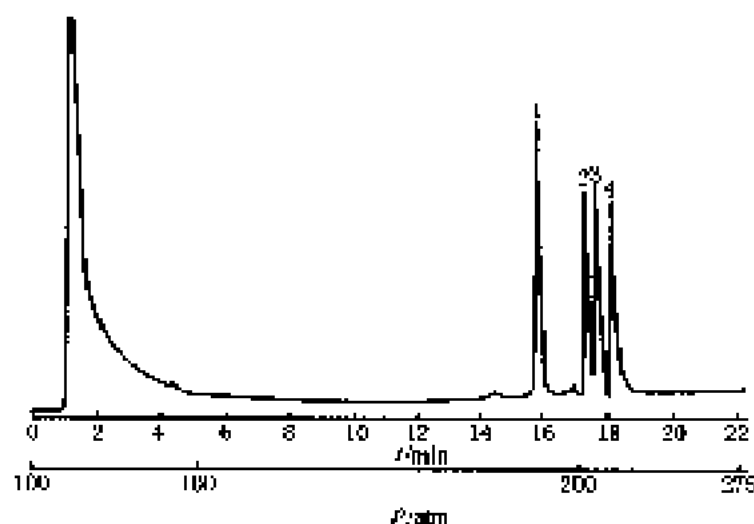
色谱柱: 100 mm×2.0 mm (内径), 6μm 氟丙基硅胶 (8 键)

柱温: 40℃

流动相: (a) 2%MeOH+TBAOH; (b) 1%MeOH+TBAOH; (c) 0.5%MeOH+TBAOH

柱压: 出口为 18.2 MPa

检测器: UV(220 nm, 430 nm)

图 14-66 苯并咪唑类化合物的 SEC 分离谱图 (一)^[46]

图例: 1—7,8-苯并咪唑; 2—2,3-苯并咪唑; 3—5,6-苯并咪唑; 4—5,6-苯并咪唑

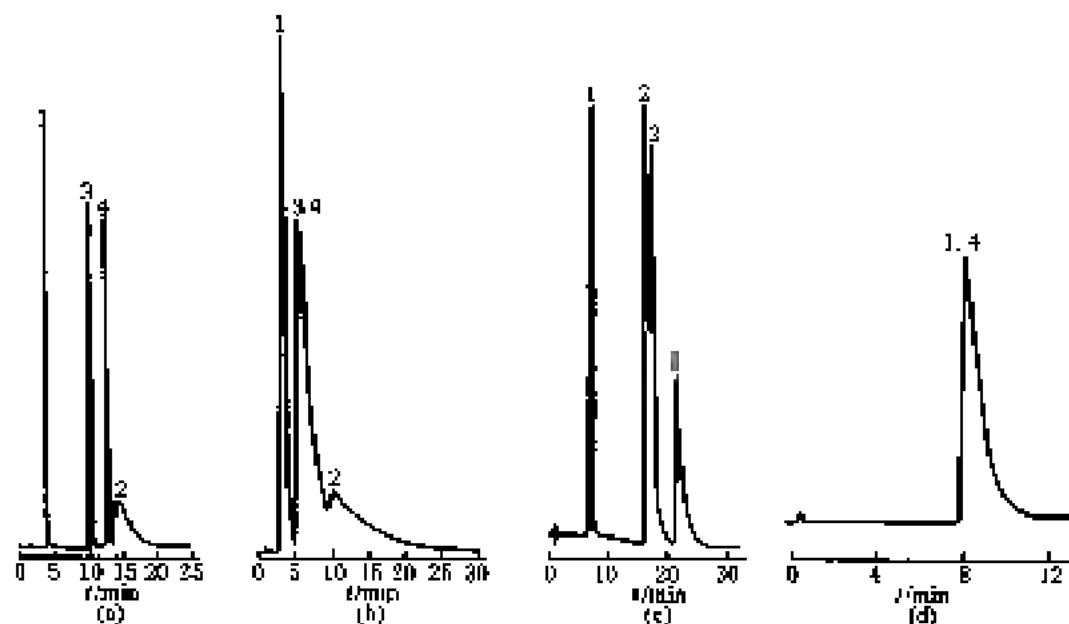
色谱柱: 250 mm×1.0 mm (内径), 氰丙基硅胶, 5 μm

柱温: 150°C

流动相: CH_2Cl_2

检测器: 火焰离子化 (380°C)

注: 1 atm=0.101325 MPa

图 14-67 苯并咪唑类化合物的 SEC 分离谱图 (二)^[47]

图例: 1—7,8-苯并咪唑; 2—2,3-苯并咪唑; 3—5,6-苯并咪唑; 4—5,6-苯并咪唑

色谱柱: (a) 250 mm×4.6 mm (内径), 硅胶 (Alltech), 5 μm;

(b) 250 mm×4.6 mm (内径), C_{18} 硅胶 5 μm (Alltech);

(c) 250 mm×4.6 mm (内径), 5 μm 丙氧基硅胶 (Alltech);

(d) 150 mm×4.6 mm (内径), PFR-1 (Hamilton)

柱温: 55°C

流动相: (a), (b) 99% CH_2Cl_2 —1% 甲醇; (c) CO_2 ; (d) 89.5% CO_2 + 0.5% 甲醇

流速: 2 ml·min⁻¹

检测器: UV (254 nm)

压力: 3.45 MPa



色谱峰: 1—2,4-二氧苯氧乙酸甲酯; 2—2-[4-[5-(2-氟甲基)-2-噁唑-5-基]-苯氧基]乙醇; 3—2,4-二氧苯氧基乙醇

色谱柱: 100×2.0 mm(内径), 微内基, 3 μm

柱温: 50°C

流动相: CO₂/乙醇(体积比=80/20)

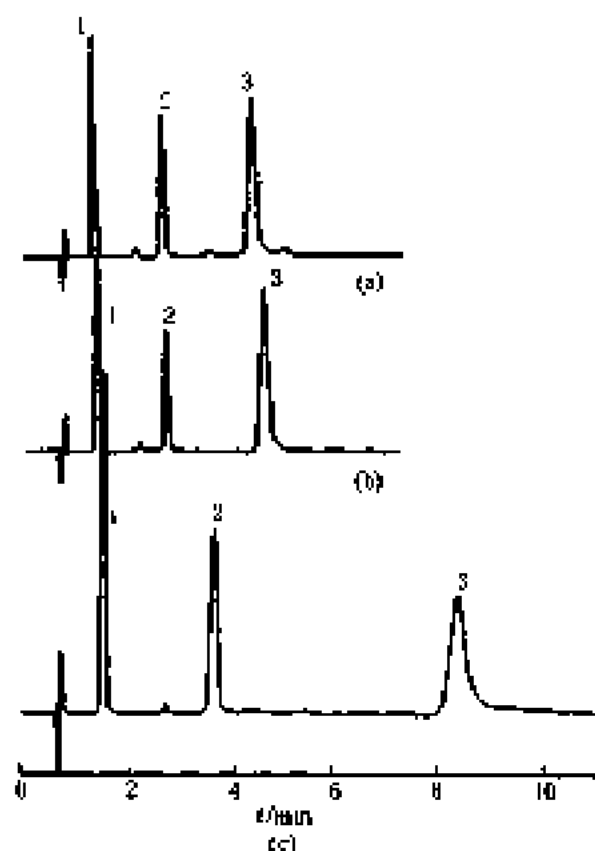
流速: 2 ml·min⁻¹

压力: 泵压入口为 26.8 MPa, 出口为 22.1 MPa

检测器: UV(284 nm)

注: 图中括号内数据为流出时间, 单位为 min。

图 14-68 苯氧基类化合物 SFC 分离谱图^[41]



色谱峰: 1—*N,N*-二甲基苯胺; 2—*N*-甲基苯胺;
3—苯胺

色谱柱: 100 mm×2.0 mm(内径), 填充(a) Delta-Dome CN(5 μm);

(b) STI Hypersil CN (5 μm); (c) Nucleosil Dk61 (7 μm)

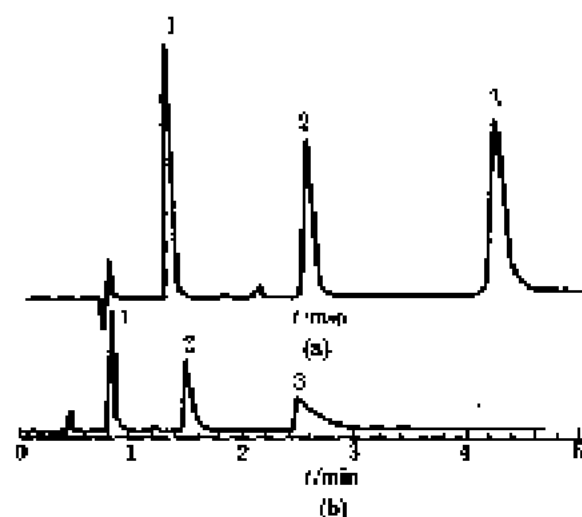
柱温: 40°C

流动相: 超临界二氧化碳-12, 0.5 ml·min⁻¹, 甲醇

柱压: 出口 9.7 MPa

检测器: UV(220 nm, 430 nm)

图 14-69 苯胺类化合物的 SFC 分离谱图 (—)^[42]



色质峰: 1—*N,N*-二甲基苯胺, 2—*N*-甲基苯胺, 3—苯胺
色质柱: 100 $\mu\text{m} \times 2.0 \text{ mm}$ (内径), 5 μm 氟内等硅粒 (Deltabond)

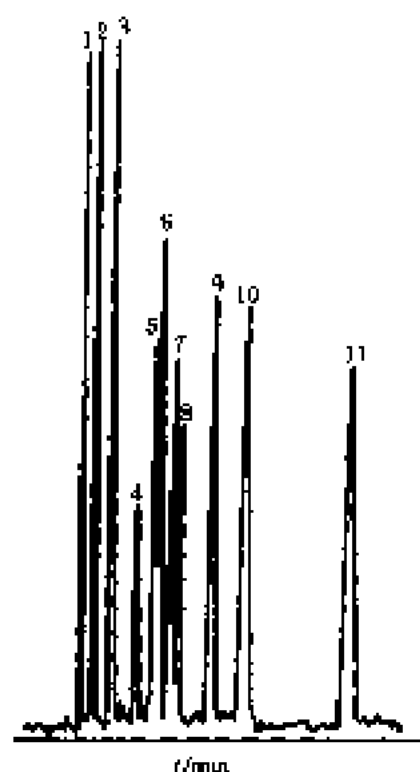
柱温: 40°C

流动相: (a) 氟利昂 11+1%MeOH, (b) 氟利昂-12

柱压: 出口 9.7 MPa

检测器: UV (220 nm, 450 nm)

图 14-70 苯胺类化合物的 SFC 分离谱图 (二)^[10]



色质峰(保留时间/min): 1—2-硝基苯酚 (0.64); 2—4-6-二硝基-邻甲苯酚 (0.77); 3—2,4-二硝基苯酚 (0.96); 4—2-叔苯酚 (1.23); 5—2,4-二硝基苯酚 (1.43); 6—2,4,6-三叔苯酚 (1.48); 7—2,4-二叔苯酚 (1.61); 8—苯酚 (1.68); 9—4-叔丁基苯酚 (2.03); 10—五叔苯酚 (2.56); 11—4-硝基苯酚 (3.46)

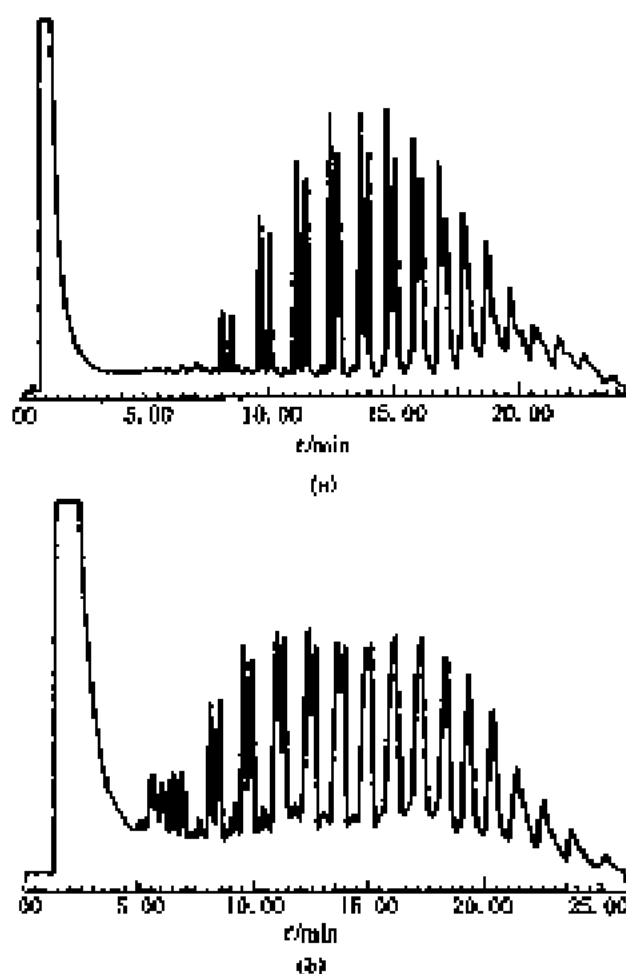
色质柱: 200 $\text{mm} \times 4.6 \text{ mm}$ (内径), μbond -柱 (Hewlett-packard), 5 μm

柱温: 37°C

流动相: 4 $\text{ml} \cdot \text{min}^{-1} \text{CO}_2$, 210 $\text{ml} \cdot \text{min}^{-1} 0.5\%$ 三叔乙胺 + 甲醇

检测器: UV (210 nm, 430 nm)

图 14-71 苯酚的 SFC 分离谱图^[10]

图 14-72 我国活性剂的 SFC 分离谱图^[90]

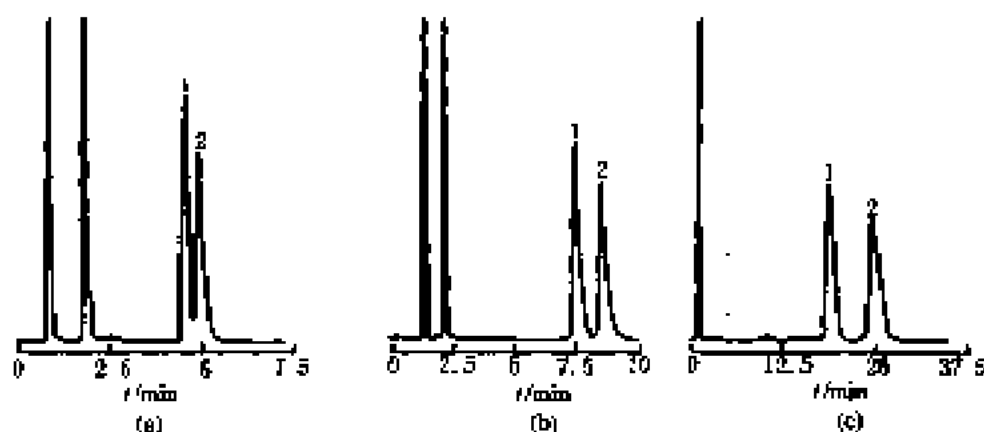
色谱柱: 30 cm × 320 μm, 氟丙基键合硅胶 5 μm 6 键-LC 填料,

柱温: 100°C

流动相: (a) CO₂; (b) Xe

压力: 150 atm $\xrightarrow{2 \text{ min}}$ 150 atm $\xrightarrow{2 \text{ min} \cdot \text{min}^{-1}}$ 400 atm (1 atm = 0.101325 MPa)

检测器: PTR

图 14-73 非对映体氨基甲酸酯的 SFC 分离谱图^[91]

色谱时: 1- (S,R)-氨基甲酸酯; 2- (R,R)-氨基甲酸酯

色谱柱: (a) 150 mm × 4.6 mm (内径), 填充 5 μm ODS Inertsil;

(b) 250 mm × 4.6 mm (内径), 填充 10 μm Finepak OH₂;

(c) 150 mm × 4.6 mm (内径), 填充 10 μm Coarsened NH₂

柱温: 40°C

柱压: (a) 10 MPa; (b) 20 MPa; (c) 25 MPa

流动相: 环己烷 + 0.3%乙醇

检测器: UV (275 nm)

流速: 30 ml · h⁻¹

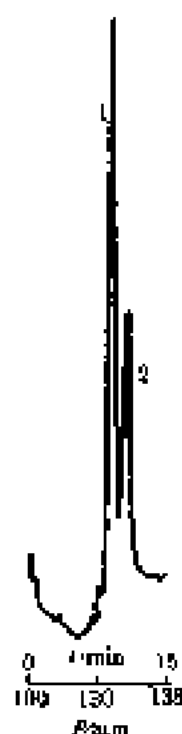


图 14-74 非衍生化氨基酸 Tyr 和 Trp 的 SFC 分离图^[10]

色谱峰: 1—酪氨酸; 2—色氨酸
色谱柱: 15 cm × 1.0 mm (内径), 填充 5 μm 聚二乙
胺基苯 (Omnapak, PAK-S00)
柱温: 145°C
流动相: 氧
检测器: UV (280 nm)

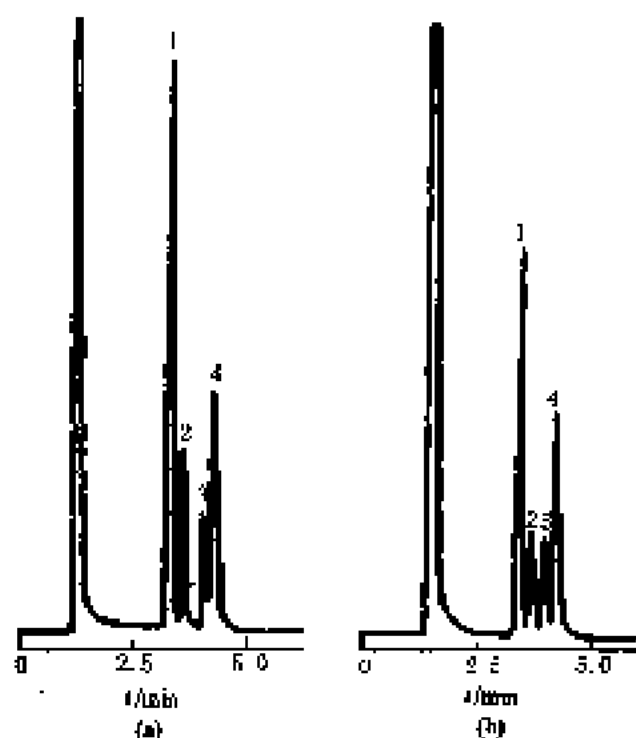


图 14-75 单苯酚的 SFC 分离图^[10]

色谱峰: 1—COOC(=O)C1CCCCC1; 2—COOC(=O)C1CCCCC1
3—COOC(=O)C1CCCCC1; 4—COOC(=O)C1CCCCC1
色谱柱: 250 mm × 4.0 mm (内径), 柱相为辛基聚硅氧烷
柱温: (a) 25°C (临界 F); (b) 40°C (超临界下)
流动相: CO₂
检测器: 火焰离子化 (140°C)
压力: (a) 11 MPa; (b) 15.7 MPa

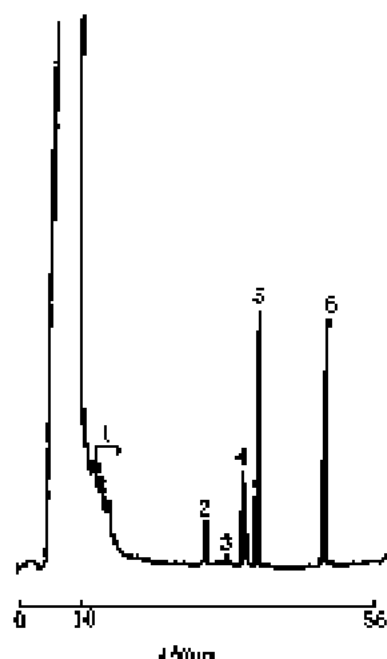


图 14-76 炸药和 PAHs 类化合物的 SFC 分离图^[10]

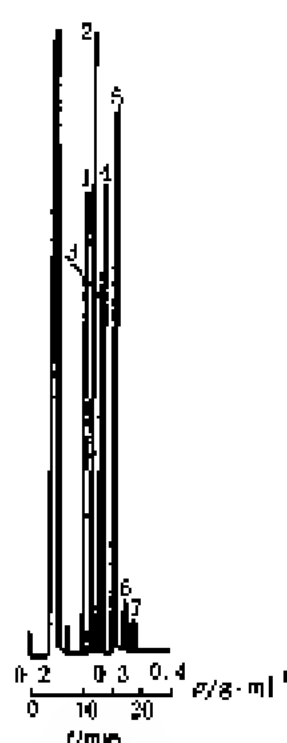
色谱峰: 1—小量炸药, 2—2-硝基苯基胺, 3—间苯二胺, 4—
硝基甘油, 5—三硝基, 6—二正丙基己二胺。

色谱柱: 25 cm × 250 μm (内径), 填充溶化硅胶和聚-30-C₂
改性的 Nucleosil

柱温: 120°C

流动相: 二氧甲烷

柱压: 75 atm $\xrightarrow{10 \text{ atm}}$ 75 atm $\xrightarrow{3 \text{ atm} \cdot \text{min}^{-1}}$ 400 atm (1
atm = 0.101325 MPa)

图 14-77 炸药的 SFC 分离谱图 (一)^[10]

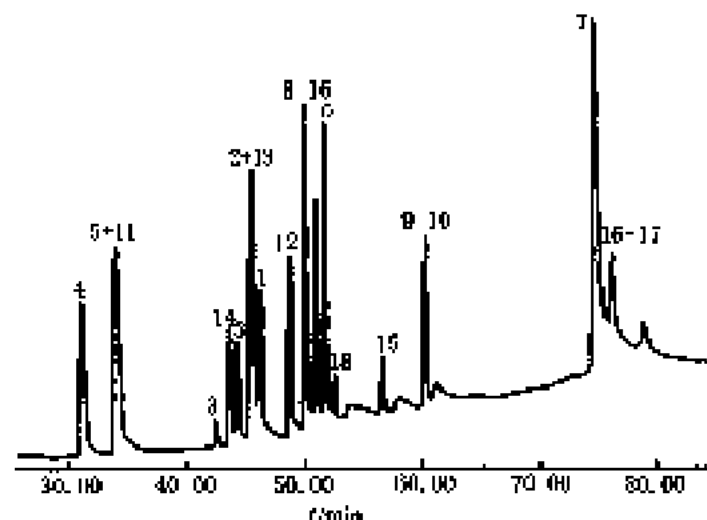
色谱峰: 1—1,2-二硝基苯; 2—2,4-二硝基甲苯; 3—2,4,6-三硝基甲苯; 4—1,3,5-二硝基甲苯; 5—2,4,6-三硝基苯胺; 6—1,3,5-三硝基-1,3,5-三氮杂环己烷(RDX); 7—1,3,5-三硝基-1,3,5-三氮杂环己烷(RDX)

色谱柱: 5 m×50 μm(内径), 固定相为 1% 乙炔基+5% 甲基+94% 甲基聚硅氧烷 (SE-54)

柱温: 120°C

流动相: CO₂

检测器: 火焰离子化(375°C)

图 14-78 炸药的 SFC 分离谱图 (二)^[10]

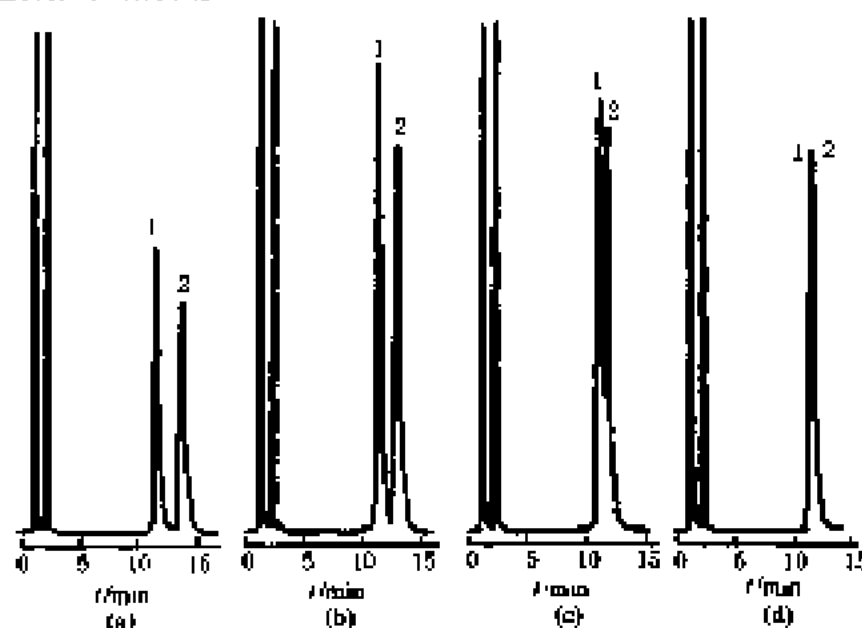
色谱峰: 1—1,2-二硝基苯; 2—2,4-二硝基甲苯; 3—2,4,6-三硝基甲苯; 4—2-硝基乙苯; 5—4-硝基乙苯; 6—2-硝基乙苯; 7—4-硝基乙苯; 8—2,4-二硝基二甲苯; 9—2,3,4-三硝基甲苯; 10—2,4,5-三硝基甲苯; 11—乙二胺二硝基醚; 12—2,3-二硝基甲苯; 13—2,4-二硝基甲苯; 14—2,6-二硝基甲苯; 15—3,4-二硝基甲苯; 16—2,4,6-三硝基甲苯; 17—1,3,5-三硝基-1,3,6-三氮杂环己烷(RDX); 18—季戊四醇-四硝酸酯

色谱柱: 10 m×100 μm(内径), 固定相为 Polyethylene, glycol

柱温: 100°C

流动相: CO₂

检测器: 火焰离子化(350°C)



色谱峰: (a) 1—(S,R)-2-环氧; 2—(R,R)-2-环氧

(b) 1—(S,R)-3-环氧; 2—(R,R)-3-环氧

(c) 1—(S,R)-4-环氧; 2—(R,R)-4-环氧

(d) 1—(S,R)-5-环氧; 2—(R,R)-5-环氧

色谱柱: 250 mm×4.6 mm(内径), 填充 10 μm Cosmosil NE₂

柱温: 40°C

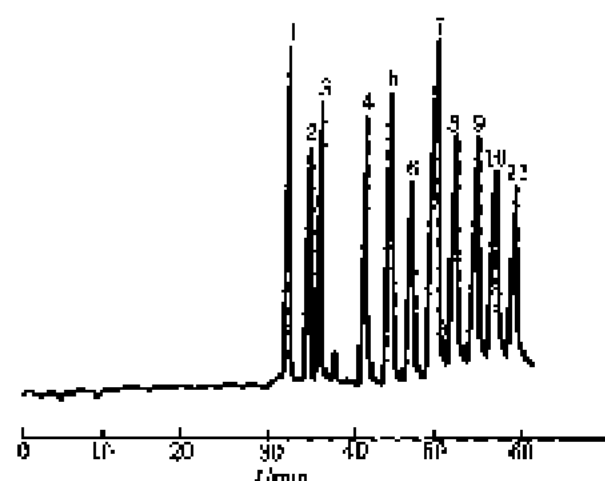
流动相: 环己烷-φ=0.2%乙醇

流速: 30 mL·h⁻¹

柱压: 15 MPa

检测器: UV(275 nm)

图 14-79 环氧类化合物的 SFC 分离谱图^[10]



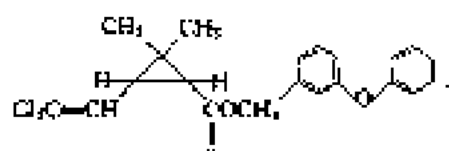
色谱峰: 1—四氢萘基乙酸酯; 2—四氢萘基正丁酸酯;
3—四氢萘基巴豆酸酯; 4—四氢萘基壬酸酯;
5—四氢萘基癸酸酯; 6—四氢萘基月桂酸酯;
7—四氢萘基肉豆蔻酸酯; 8—四氢萘基棕榈酸酯;
9—四氢萘基十八烷酸酯; 10—四氢萘基花生酸酯;
11—四氢萘基二十二烷酸酯

色谱柱: $8\text{ mm} \times 50\text{ }\mu\text{m}$ (内径), DB-1, 液膜厚度为 $0.4\text{ }\mu\text{m}$
检测器: 离子流度 (200°C)
流动相: CO_2
柱温: 110°C
压力: 初始为 120 atm , 以后以 $0.4\text{ atm} \cdot \text{min}^{-1}$ 变化
($1\text{ atm} = 0.101325\text{ MPa}$)

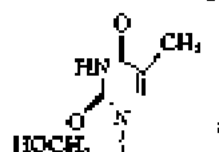
图 14-80 四氢萘基酯的 SFC 分离谱图^[1]



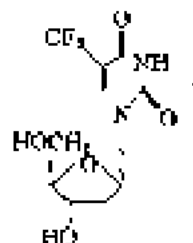
色谱峰: 1



2.



3



4.

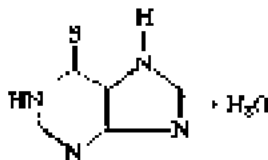


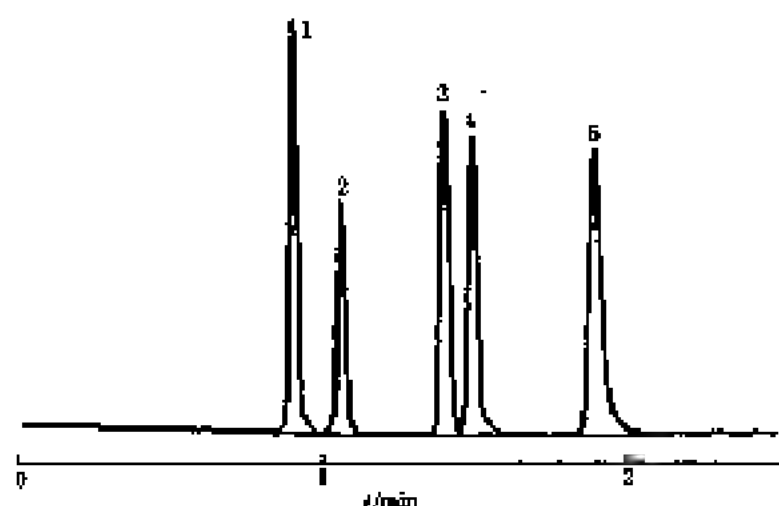
图 14-81 药物的 SFC 分离谱图 (—)^[10]

色谱柱: $250\text{ mm} \times 4.6\text{ mm}$ (内径), δ -键TM的氟丙基 (Raysorb), $5\text{ }\mu\text{m}$

柱温: 60°C

流动相: CO_2 ($2\text{ ml} \cdot \text{min}^{-1}$) + 甲醇 ($150\text{ }\mu\text{l} \cdot \text{min}^{-1}$, 1.5 min), 然后甲醇由 $150\text{ }\mu\text{l} \cdot \text{min}^{-1}$ 变化到 $450\text{ }\mu\text{l} \cdot \text{min}^{-1}$, 2.0 min

检测器: UV (254 nm)

图 14-82 药物的 SFC 分离谱图 (二)^[24]

色谱峰: 1—苯基丁氮酮; 2—苯巴比妥; 3—咖啡因; 4—氯霉素; 5—琥珀酸龙

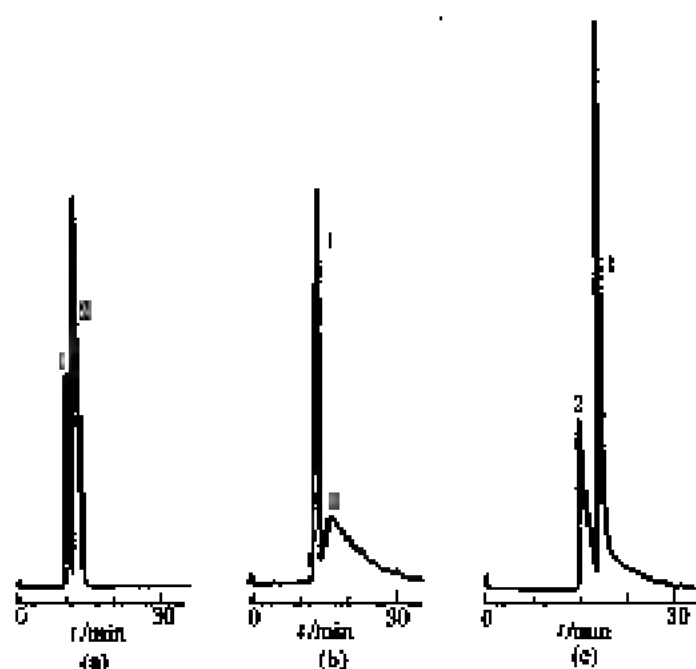
色谱柱: 250 mm×4.6 mm, 填料固定相为 TMS (supont zorbax) 6 μ m

柱温: 60°C

流动相: CO_2 梯度, 25 min 内从 10 至 36 MPa; 甲醇梯度固定在 16%

流速: 1.5 ml·min⁻¹

检测器: UV(254 nm)

图 14-83 顺、反异构体正相 LC (a) 和 SFC (b、c) 分离谱图^[25]

色谱峰: 1—顺式; 2—反式

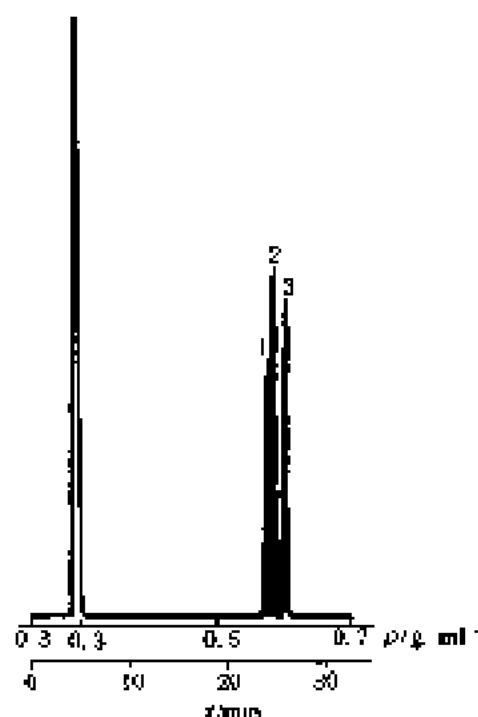
色谱柱: (a) 450 mm×0.53 mm(内径); (b)、(c) 250 mm×1 mm(内径)

柱温: (b)、(c) 44°C

流动相: (a) 正己烷+乙醇(体积比=99:1); (b) CO_2 , 压力为 11.73 MPa;

(c) CO_2 +水

流速: (a) 15 μ l·min⁻¹; (b)、(c) 12 ml·min⁻¹



色谱峰: 1—2',3',4'-三-O-甲基甲酰胺原苷; 2—6-三甲基硅乙
基-2',3',5'-三-O-甲基甲酰胺-原苷; 3—5-Iodo-2',
3',5'-三-O-甲基甲酰胺原苷
色谱柱: 5 m×50-μm(内径) 固定相为 1%乙烯基+6%苯基
+93%甲基氰硅氧烷 (SE-54)
柱温: 100°C
流动相: CO₂
检测器: 火焰离子化(375°C)

图 14-84 核苷类化合物的 SFC 分离谱图^[91]

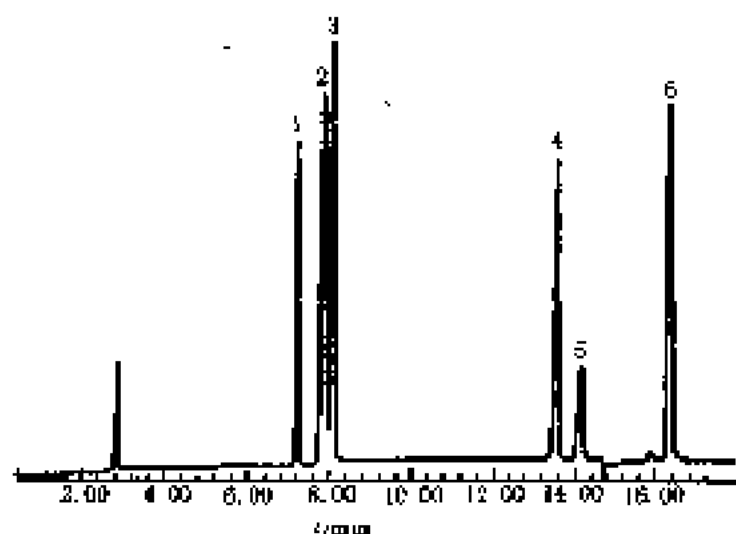
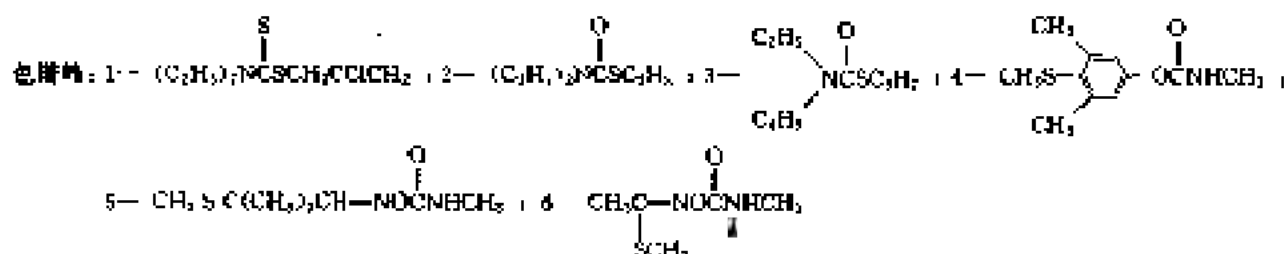


图 14-85 氨基甲酸酯类化合物的 SFC 分离谱图^[92]

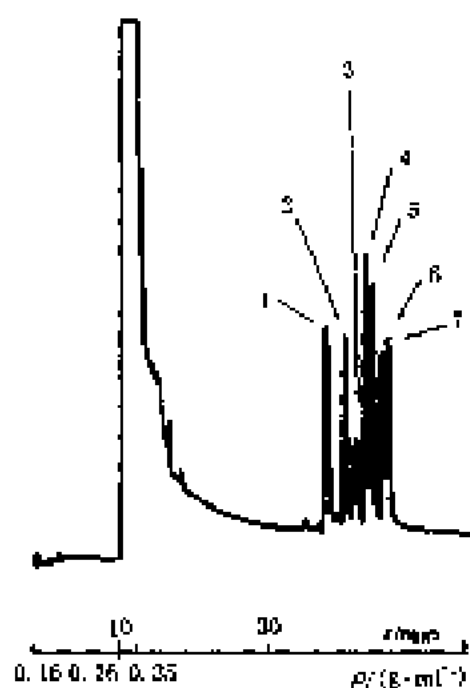


色谱柱: 250 mm×4.6 mm (内径), Adonbocypore 硅胶 5 μm

柱温: 40°C

流动相: CO₂+甲醇(体积分数梯度) 0.1% $\xrightarrow{0.2\%/min^{-1}}$ 1.0% $\xrightarrow{0.4\%/min^{-1}}$ 3.8% $\xrightarrow{1.0\%/min^{-1}}$ 15%

检测器: UV(225 nm)



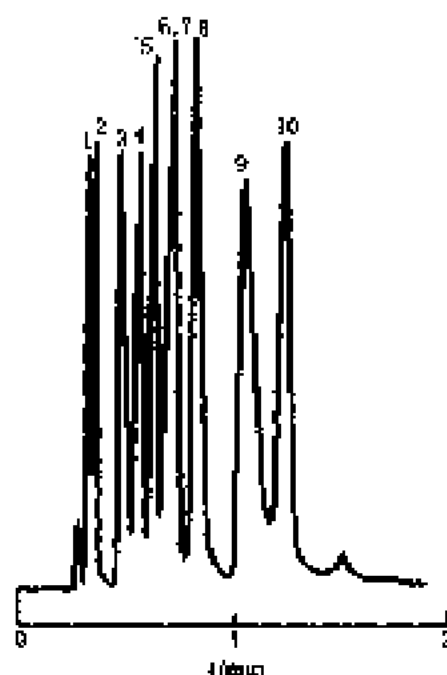
色谱峰: 1— C_{15+12} ; 2— C_{12+12} ; 3— C_{12+11} -顺-9; 4— C_{12+11} -顺-9, 12; 5— C_{21+12} -反-9, 12; 6— C_{21+12} -顺-9, 12, 15; 7— C_{21+12} -顺-8, 9, 12

流动相: CO_2

色谱柱: $12\text{ m} \times 50\text{ }\mu\text{m}$ (内径), 填充甲基聚硅氧烷

柱温: 65°C

图 14-86 脂肪族分析色谱图^[50]



色谱峰: 1—苯甲酸; 2—2-羟基苯甲酸; 3—2,6-二羟基苯甲酸; 4—3-羟基苯甲酸; 5—4-羟基苯甲酸; 6—2,4-二羟基苯甲酸; 7—2,5-二羟基苯甲酸; 8—2,3,4-三羟基苯甲酸; 9—2,4,5-三羟基苯甲酸; 10—3,5-二羟基苯甲酸

色谱柱: $100\text{ mm} \times 2.0\text{ mm}$ (内径), 柱相为氰丙基硅胶 (Nucleosil); 7 μm

柱温: 50°C

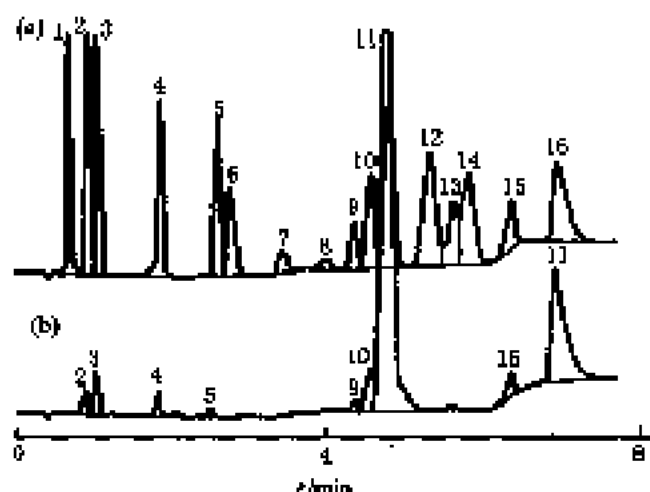
流动相: 7.4% 甲醇 + 0.5% 柠檬酸 + CO_2

流速: $1.0\text{ mL} \cdot \text{min}^{-1}$

检测器: UV (230 nm, 430 nm)

压力: 等压 (出口处为 20 MPa)

图 14-87 羟基苯甲酸的 SFC 分离谱图^[50]

图 14-88 松脂和肉桂油的 SFC 分离谱图^[84]

色谱峰: 1— α -蒎烯; 2— β -蒎烯; 3—对伞花烃; 4— α -松节烯; 5— β -松节烯; 6— α -萜品烯; 7— β -萜品烯; 8、10 和 15—乙酸肉桂酯和副产物; 9— β -蒎烯; 11—肉桂醛; 12— α -萜品烯; 13— β -萜品烯; 14— β -萜品烯; 16—丁基苯酚

色谱柱: 150 mm \times 4.6 mm, 固定相为二氧化硅 (Chromosorb), 5 μ m

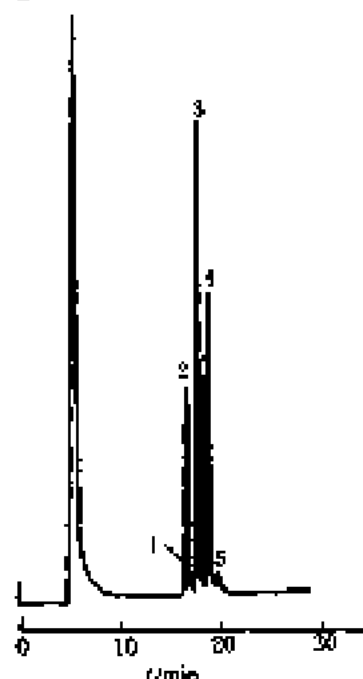
柱温: 125°C

流动相: (CO_2 梯度: 9 kPa, 流速 5.5 mm)

乙醇梯度: 0% 乙醇 0.5 min; 在 0.5 min 内升至 0.5%, 停留 4 min; 再在 1 min 内升至 7%, 停留 2 min

检测器: UV(210 nm)

流量: 1.5 ml \cdot min $^{-1}$ 至 2 ml \cdot min $^{-1}$ 0.5 min; 停 3.5 min; 1 min 内再升 4 ml \cdot min $^{-1}$, 停 2 min

图 14-89 菜油中三甘油的 SFC 分离谱图^[85]

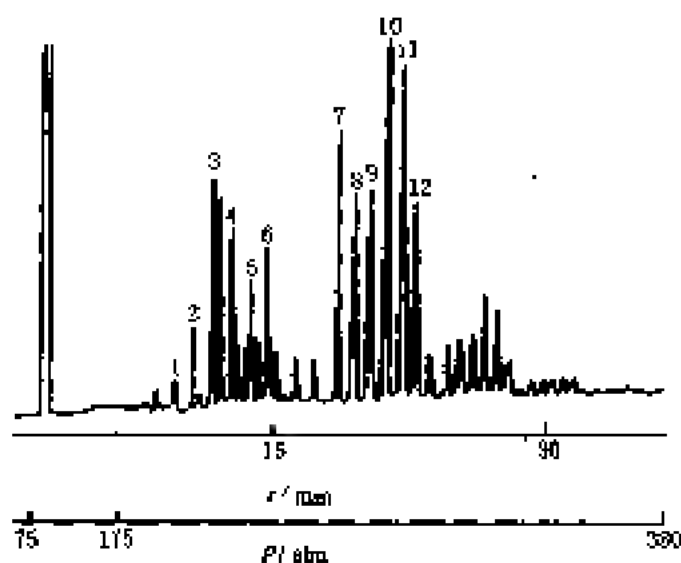
色谱峰: 1—甘油-1-十八酸-2,3-二(油酸)酯; 2—甘油-1,3-二(油酸)酯-2-油酸酯; 3—甘油-1-油酸-2-油酸-3-十八酸酯; 4—甘油-1,3-二(十八酸)-2-油酸酯; 5—甘油-1-十八酸-2-油酸-3-油酸酯; 6—甘油-1-十八酸-2-油酸-3-油酸酯

色谱柱: 10 m \times 50 μ m (内径)

流动相: CO_2 (200°C)

检测器: FID (325°C)

柱压压力: (250 ~ 400) atm [(25.3 ~ 40.6) MPa]

图 14-90 蜂蜡的 SFC 分离谱图^[86]

色谱峰: 1— C_{24} (324); 2— C_{26} (352); 3— C_{28} (380); 4— C_{30} (408); 5— C_{32} (436); 6— C_{34} (464); 7— $\text{C}_{25}\text{H}_{51}\text{CO}_2\text{C}_{20}\text{H}_{41}$ (592); 8— $\text{C}_{26}\text{H}_{53}\text{CO}_2\text{C}_{20}\text{H}_{41}$ (620); 9— $\text{C}_{27}\text{H}_{55}\text{CO}_2\text{C}_{20}\text{H}_{41}$ (648); 10— $\text{C}_{28}\text{H}_{57}\text{CO}_2\text{C}_{20}\text{H}_{41}$ (676); 11— $\text{C}_{29}\text{H}_{59}\text{CO}_2\text{C}_{20}\text{H}_{41}$ (704); 12— $\text{C}_{30}\text{H}_{61}\text{CO}_2\text{C}_{20}\text{H}_{41}$ (732)

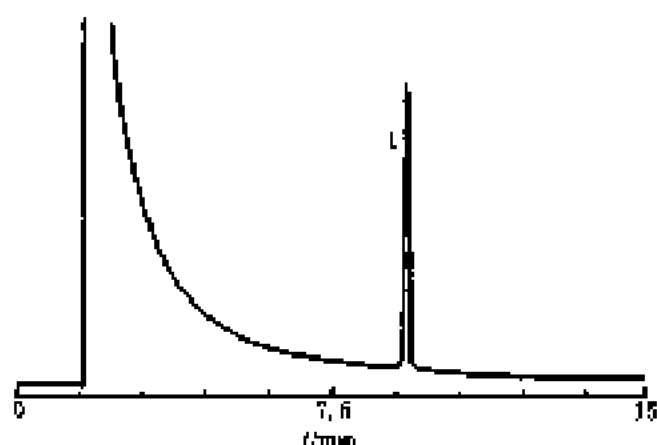
① 峰 1~6 为蜡类, 其他为酯类; 括号内数字为分子量

色谱柱: 10 m \times 50 μ m, SE-54, 固定相厚度 0.2 μ m

流动相: CO_2

柱温: 30°C

检测器: RID

图 14-81 酯类衍生物的气液分离谱图^[2]

色谱峰: 1—植草六烯酯-(TMS)₁₂

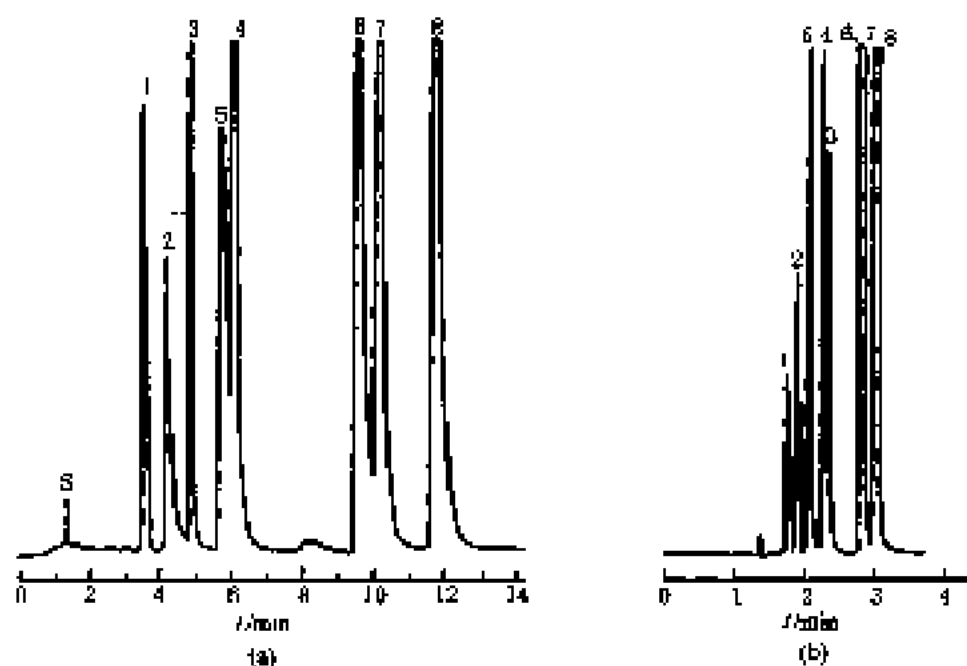
色谱柱: 3 m×30 μm(内径), DB-1, 液膜厚度为 0.2 μm

柱 温: 150°C

流动相: CO₂

柱 压: 130 atm, 10 atm·min⁻¹ (1 atm=0.101325 MPa)

检测器: 火焰离子化 (300°C)

图 14-92 萜类芳烃的气液分离谱图 (一)^[2]

色谱峰: 1—α-萜烯醇; 2—α-萜烯; 3—7,8-亚萜烯醇; 4—α-萜烯; 5—α-萜烯醇; 6—α-萜烯; 7—α-萜烯; 8—5,6-亚萜烯醇

色谱柱: 250 mm×4.6 mm(内径), Aminopropyl(Alltech), 5 μm

流动相: (a) 98.8%CO₂+0.2%甲醇; (b) 98%CO₂+2%甲醇

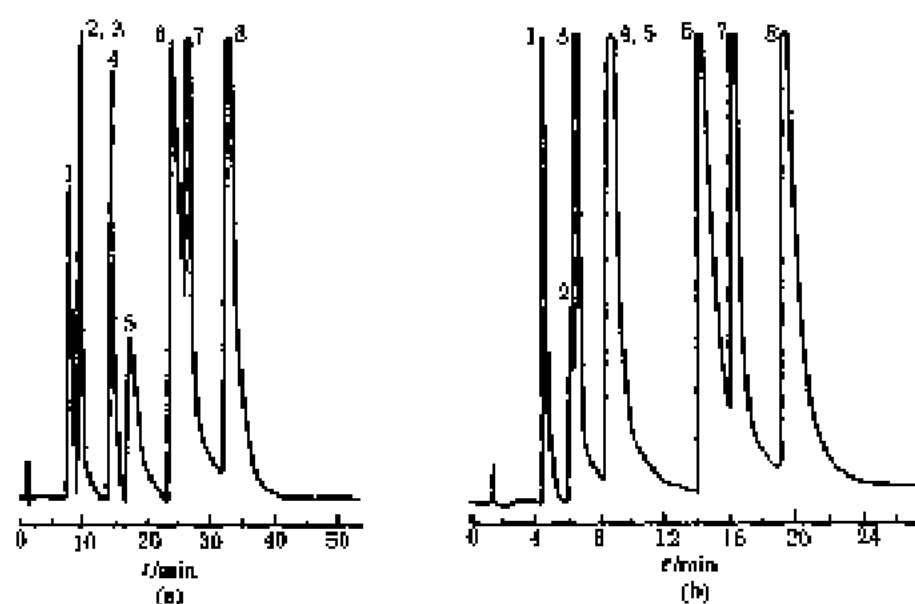
柱 温: 50°C

流 速: 2 ml·min⁻¹

检测器: UV(254 nm)

压 力: 44.5 MPa

进样体积: 2 μl

图 14-93 各种芳烃的 SFC 分离谱图 (二)^[42]

色谱峰: 1—咖啡因, 2—腺啉, 3—7,8-苯并噻啉, 4—噻啉, 5—噻啉, 6—噻啉, 7—噻啉, 8—5,6-苯并噻啉

色谱柱: 150 mm×4.6 mm(内径) Aminopropyl (Aldrich), 5 μm

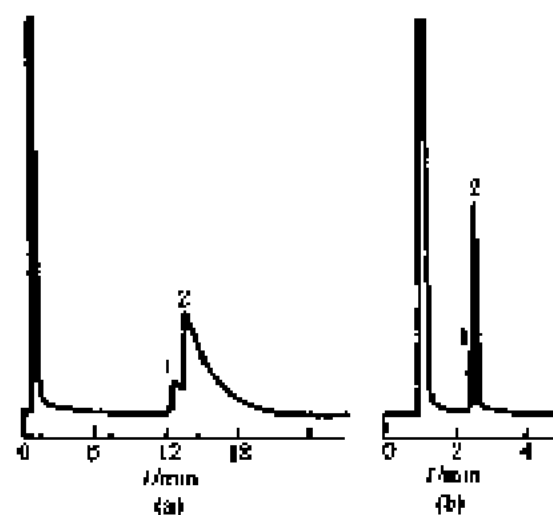
柱温: 50°C

流动相: (a) 100%CO₂, (b) 99.9%CO₂ + 0.1%甲醇

流速: 2 ml·min⁻¹

检测器: UV(254 nm)

进样体积: 2 μl

图 14-94 2-甲基吡啶的 SFC 分离谱图^[43]

色谱峰: 1—2-甲基吡啶, 2—2-甲基吡啶

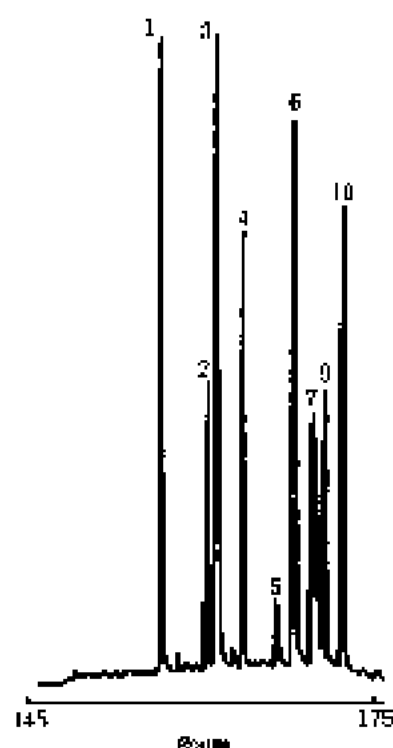
色谱柱: 150 mm×4.6 mm(内径), 聚合物硅胶 (Nucleosil), 5 μm

柱温: 50°C

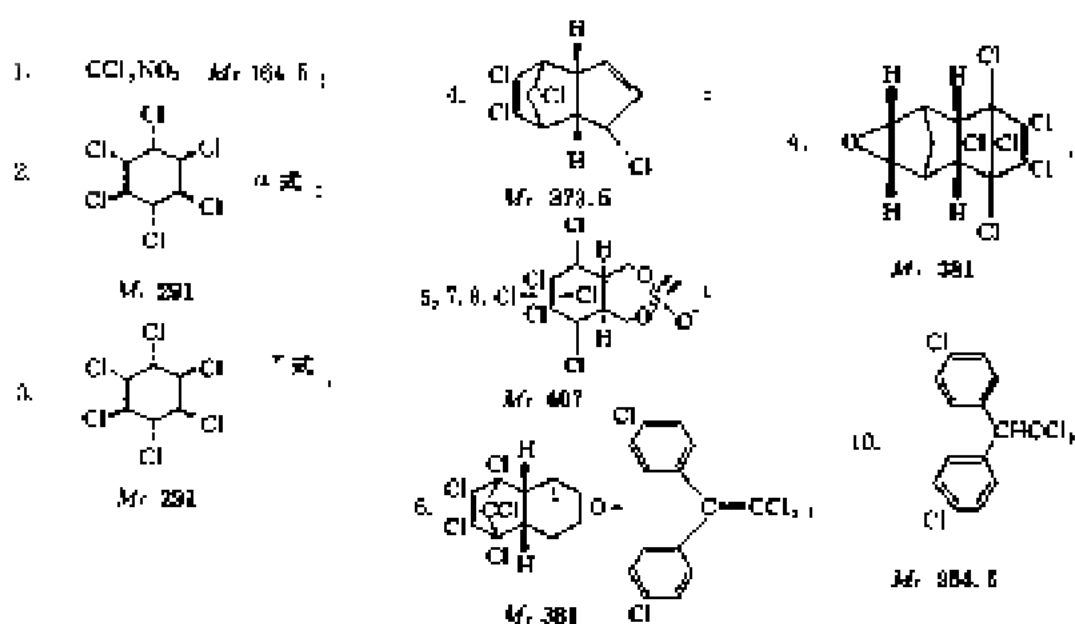
流动相: (a) CO₂, (b) 水+CO₂

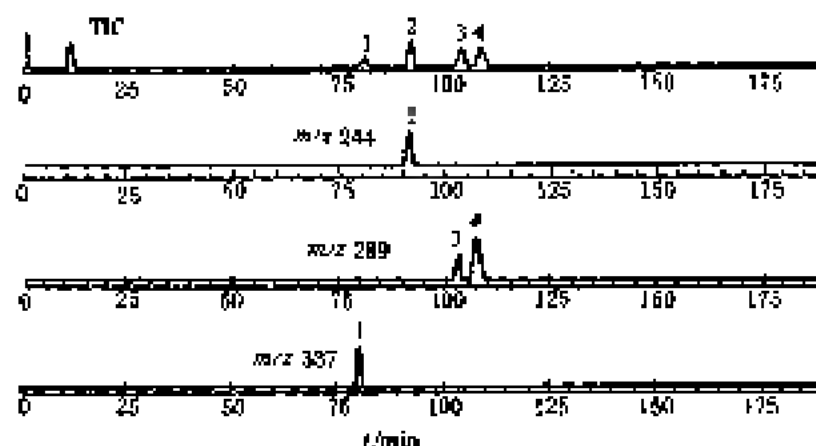
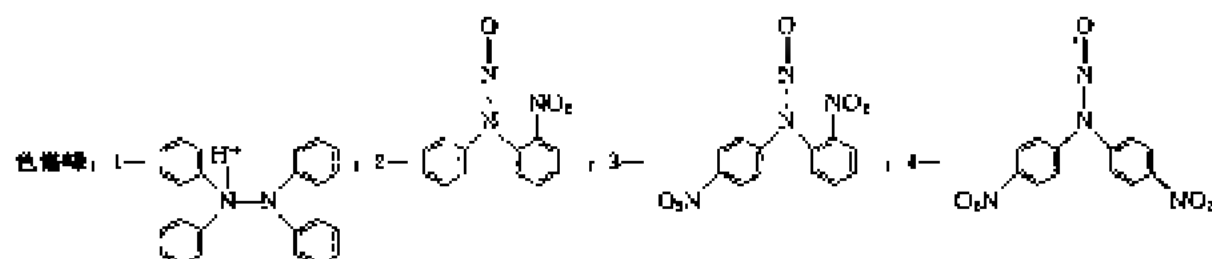
检测器: 火焰离子化 (140°C)

压力: (a) 19 MPa, (b) 27 MPa

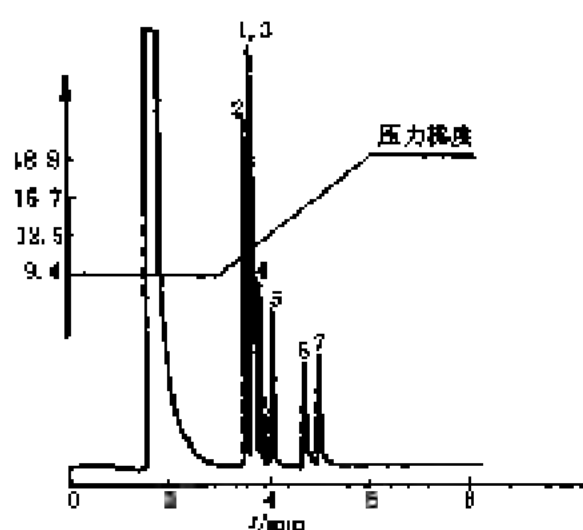
图 14-95 有机氯杀虫剂的 SPC 分离谱图^[90]

色谱图:

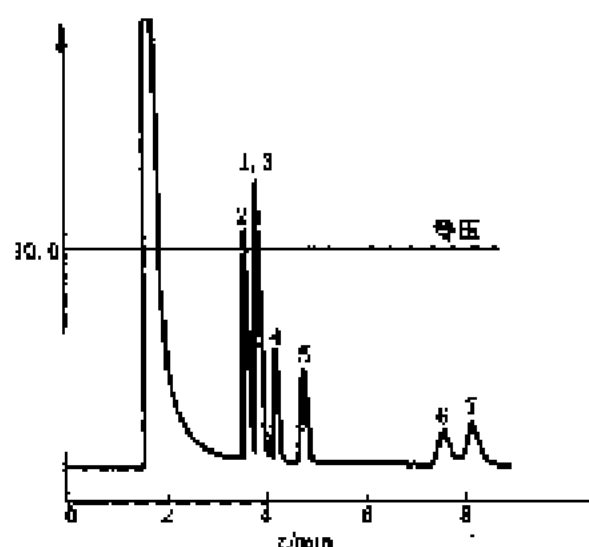
色谱柱: 20 m \times 50 μm (内径), 柱相为 DB-1 聚甲基硅氧烷, 液膜厚度为 0.4 μm 柱 温: 150 $^{\circ}\text{C}$ 流动相: CO_2 检测器: 离子捕获(250 $^{\circ}\text{C}$)压 力: 开始为 100 atm, 然后以 10 atm \cdot min $^{-1}$ 变化 (1 atm=0.101325 MPa)

图 14-96 硝基二苯胺的 SFC 分离谱图^[97]

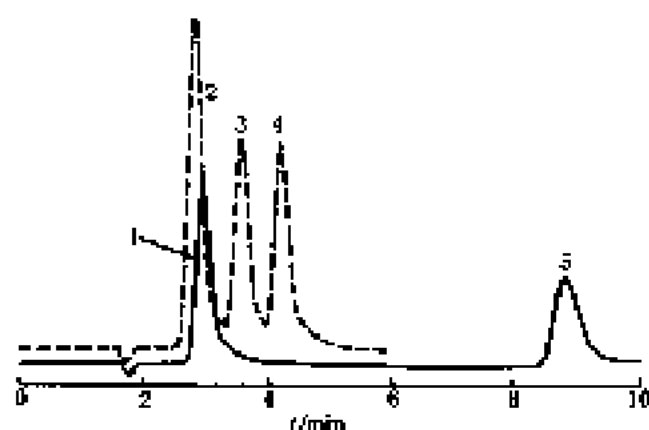
色谱柱: 150 mm×2.0 mm(内径), 5 μm 氟丙基硅胶
柱温: 60°C
流动相: CO₂
检测器: Varian 热离子 LC-MS 甲烷化学离子化
压力: 10.15 MPa, 2 min

图 14-97 硝基苯类化合物的梯度
压力 SFC 分离谱图^[98]

色谱峰: 1—1-硝基苯; 2—2-硝基甲苯; 3—3-硝基甲苯; 4—
4-硝基甲苯; 5—1-氯-2-硝基苯; 6—1-氯-2,4-二硝基
苯; 7—1-硝基萘
色谱柱: 250 mm×4.0 mm(内径), 柱相为辛基聚硅氧烷 (RP-
18)
柱温: 40°C
流动相: CO₂
压力: 梯度加帕斯卡
检测器: 火焰离子化(140°C)

图 14-98 硝基苯类化合物的
等压 SFC 分离谱图^[99]

色谱峰: 1—1-硝基苯; 2—2-硝基甲苯; 3—3-硝基甲苯; 4—
4-硝基甲苯; 5—1-氯-2-硝基苯; 6—1-氯-2,4-二硝
基苯; 7—1-硝基萘
色谱柱: 250 mm×4.0 mm(内径), 柱相为辛基聚硅氧烷
(RP-18)
柱温: 40°C
流动相: CO₂
压力: 100 bar
检测器: 火焰离子化(140°C)



色谱峰: 1—2-(2-噻吩基)乙酸; 2—2-(2-噻吩基)乙醇;
3—1-(2-噻吩基)丙酮; 4—甲基对甲基
苯硫脲; 5—苯基硫脲

色谱柱: 20 cm×318 μm(内径), 填充 7 μm Hypercarb PGC89

柱温: 50°C

流动相: CO₂+1.5%甲酸

柱压: 27.6 MPa

检测器: Sievers 350 紫外化学发光

图 14-99 硫脲类化合物的 SFC 分离谱图 (一)^[60]

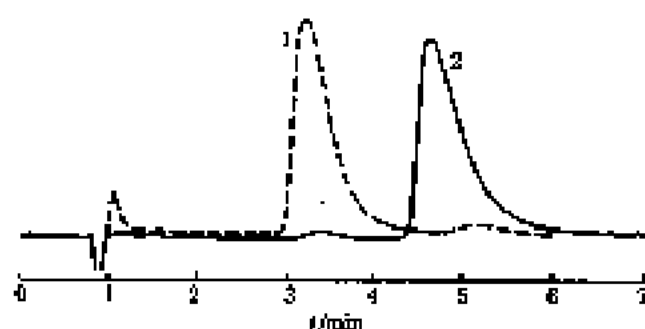


图 14-100 硫脲类化合物的 SFC 分离谱图 (二)^[60]

色谱峰: 1—2-(2-噻吩基)丙二酸; 2—2-(2-噻吩基)乙醇酸

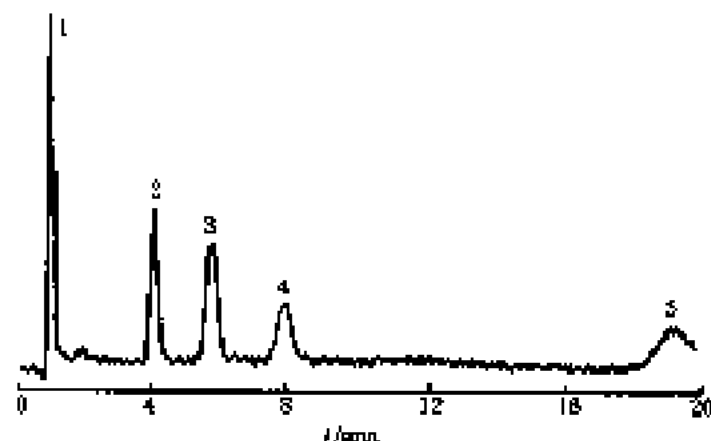
色谱柱: 20 cm×318 μm(内径), 填充 7 μm Hypercarb PGC89

柱温: 50°C

流动相: CO₂+1.5%甲酸

柱压: 27.6 MPa

检测器: Sievers 350 紫外化学发光



色谱峰: 1—四氢噻吩;
2—甲基对甲基苯硫脲;
3—苯并 [b] 噻吩;
4—苯基硫脲;
5—苯基二硫脲

图 14-101 硫脲类化合物的 SFC 分离谱图 (三)^[60]

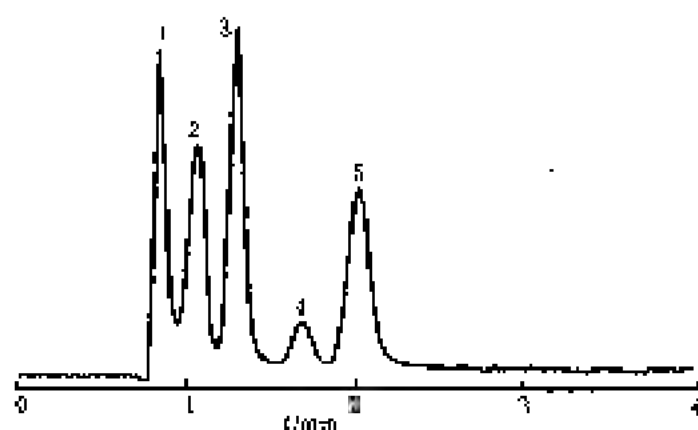
色谱柱: 20 cm×318 μm(内径), 填充 Hypercarb-S PGC89, 7 μm

柱温: 50°C

流动相: CO₂+1%苯

柱压: 27.8 MPa

检测器: Sievers 350 紫外化学发光

图 14-102 硫磺类化合物的 SFC 分离谱图 (四)^[27]

色谱柱: 1—四氢噻吩; 2—甲基对甲苯基砜; 3—苯并 [A] 噻吩; 4—苯基砜; 5—苯基二砜

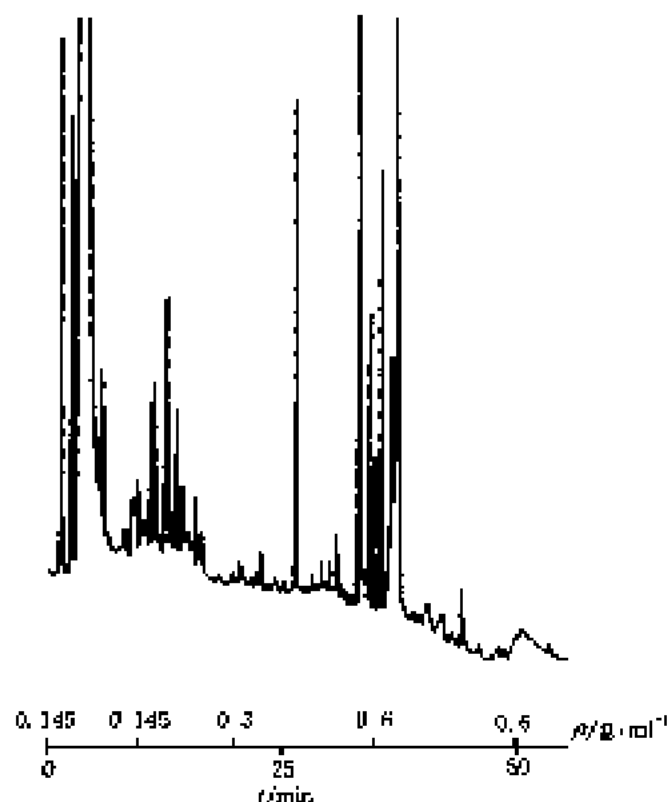
色谱柱: 20 cm × 3.18 mm (内径), 填充 Hypercarb-B PGC98, 7 μm

流动相: 1% 正十六烷 + CO₂

柱温: 50°C

柱压: 21.8 MPa

检测器: Seavers, 350 紫外化学发光

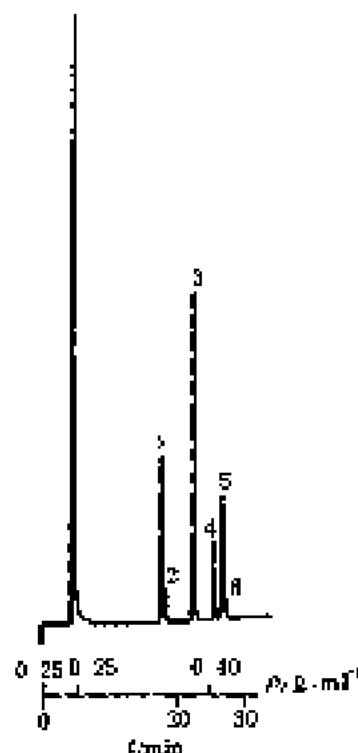
图 14-103 葡萄柚的 SFC 分离谱图^[28]

色谱柱: 200mm × 0.25mm (内径), 柱相为氢丙基键合硅胶, 5μm

柱温: 100°C

流动相: CO₂

检测器: 火焰离子化 (385°C)

图 14-104 雄甾烷二酮和三酮类化合物分离谱图^[29]

色谱柱: 1—5β-雄甾烷-3β,17β-二酮; 2—5β-雄甾烷-3α,17α-二酮; 3—5α-雄甾烷-3α,17α-二酮; 4—5β-雄甾烷-3α,11β,17β-三酮; 5—5α-雄甾烷-3β,11β,17β-三酮; 6—5β-雄甾烷-3α,11α,17β-三酮

色谱柱: 6.5 mm × 50 μm (内径), 50% 晶体状聚硅氧烷: 液膜厚度 0.15 μm

柱温: 120°C

流动相: CO₂

检测器: 火焰离子化 (375°C)

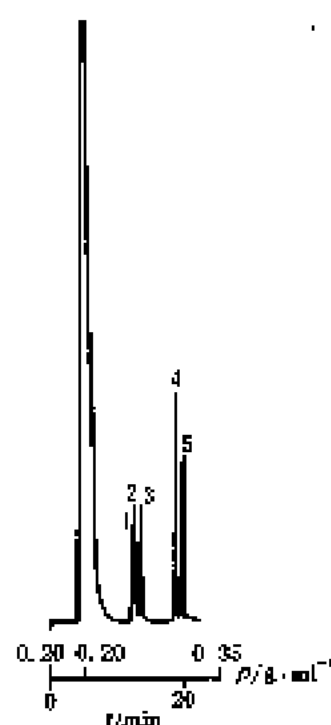


图 14-105 支链烷醇同系物的 SFC 分离谱图^[43]

色谱峰: 1—5β-萘基团烷-3α-醇; 2—5β-萘基团烷-3β-醇; 3—5β-萘基团烷-17β-醇; 4—5α-萘基团烷-17β-醇; 5—5α-萘基团烷-3β-醇
 色谱柱: 6.5 m × 50 μm (内径), 50% 二苯基丙酮酸苄基硅烷键合硅胶, 液膜厚度为 0.15 μm

柱温: 120℃

流动相: CO₂

检测器: 火焰离子化 (375℃)

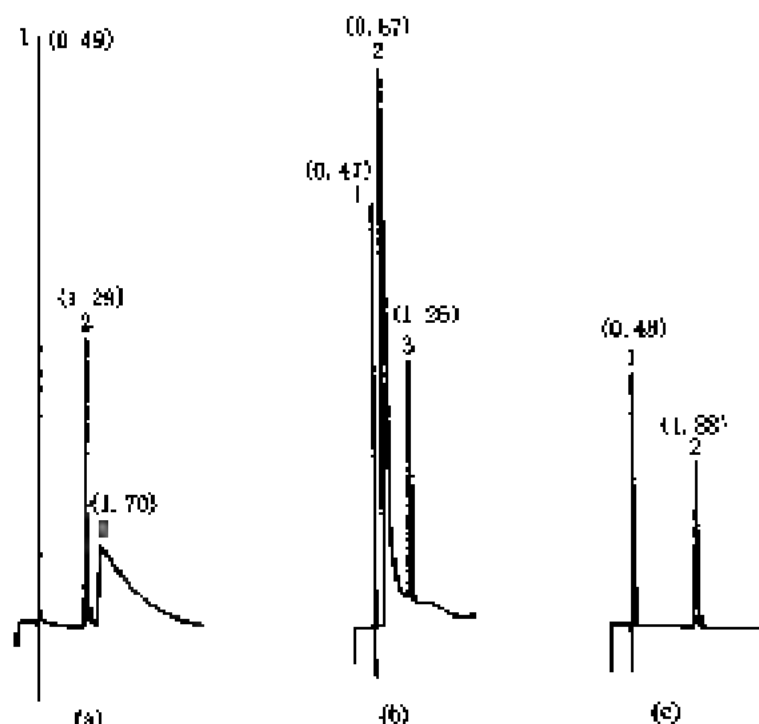


图 14-107 咖啡因和吡啶的 SFC 分离谱图 (—)(a)

色谱峰: 1—注射溶剂, CH₂Cl₂; 2—咖啡因; 3—吡啶
 色谱柱: 2 mm × 150 mm 固定相为氰丙基键合的 SiO₂, 5 μm 填料 (a) 30 μm, β 键; (b) 50 nm, β 键; (c) 12 nm, Hypersil
 柱温: 75℃
 流动相: 100% CO₂, 静压: 16 MPa, 700 μm × min⁻¹ (液体)
 检测器: UV (254 nm)
 注: 图中括号内数据为流出时间, 单位为 min。

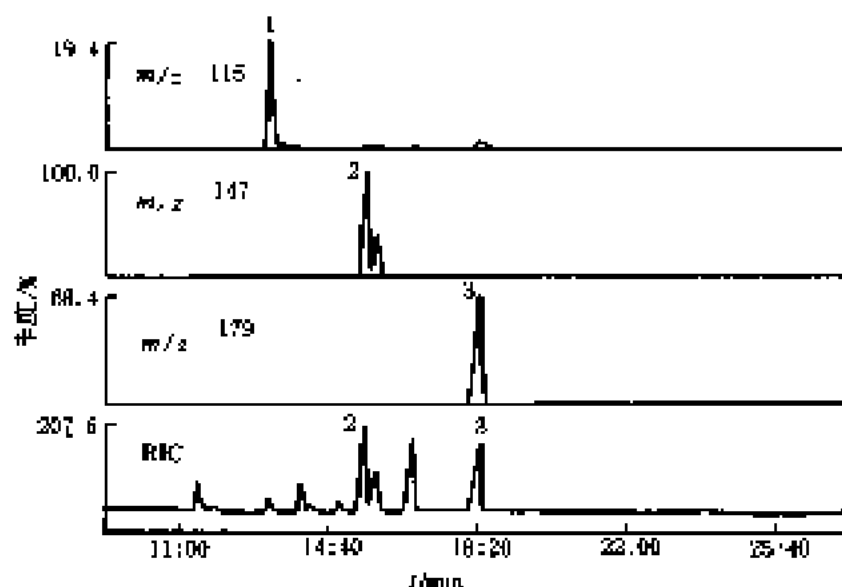


图 14-106 松油的 SFC 分离谱图^[44]

色谱峰: 1—二硫化二烯丙基; 2—二硫化二烯丙基; 3—三硫化二烯丙基
 色谱柱: 15 m × 0.06 mm (内径), 5% 苯基, 95% 甲基苯基硅烷键合, 液膜厚度为 0.25 μm
 柱温: 50℃
 流动相: CO₂
 检测器: 质谱仪, RIC

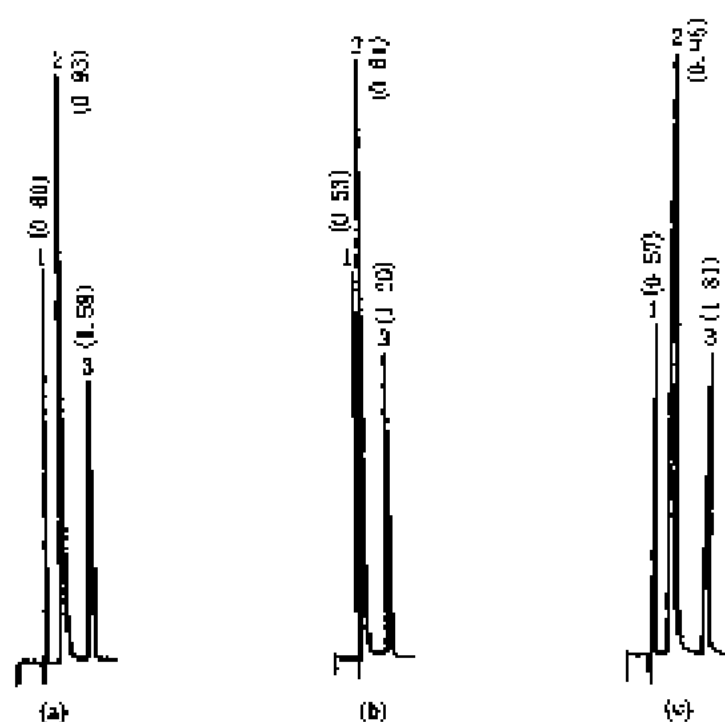


图 14-108 薄荷吡啶的 SFC 分离谱图 (二)⁽¹⁾

色谱峰：1—注射溶剂， CH_2Cl_2 ；2—萘；3—吡啶

色谱柱：2 mm×150 mm 固定相为氟丙基键合的 SiO_2 ，5 μm 填料：(a) 30 nm，8 μm；(b) 50 nm，8 μm；(c) 12 nm，Hyperasil

柱温：75 °C

流动相： $\text{CH}_3\text{OH}/\text{CO}_2$ (体积比=1:98) 预混合，每压，1.6 MPa，700 μm³·min⁻¹ (柱体)

检测器：UV(254 nm)

注：图中括号内数据为流出时间，单位为 min。

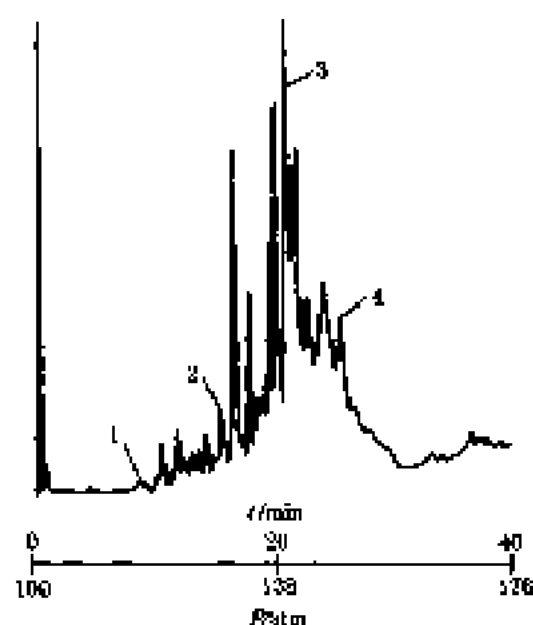


图 14-109 薄荷吡啶的 SFC 分离谱图⁽⁴⁾

色谱峰：1—萘；2—花；3—萘；4—萘

色谱柱：15 cm×0.5 mm (内径)，填充大孔二乙基萘(0 μm² Pore PRNC-200)，5 μm

柱温：145 °C

流动相：氮

检测器：UV(254 nm)

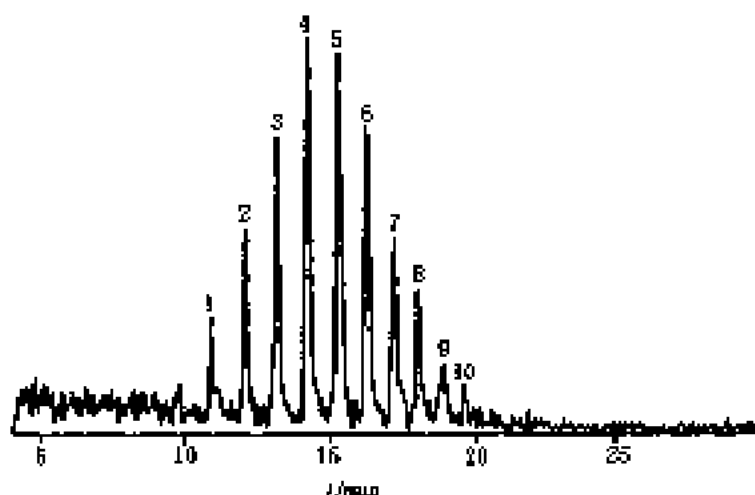


图 14-110 乙二醇(600)的 SFC 分离谱图^[31]

色谱柱: (以分子量大小为准) 1—634; 2—678; 3—722; 4—766; 5—810; 6—854; 7—898; 8—942; 9—986; 10—1030
 色谱柱: 30 m×50 μm (内径), 5%苯基和 95%甲基聚硅氧烷, 膜层厚度为 0.6 μm
 柱温: 起始 3 min 125 °C, 然后 2 °C·min⁻¹ 增加至 200 °C
 流动相: CO₂
 检测器: 质谱仪 (甲烷化学离子化)
 压力: 起始为 80 atm, 然后以 30 atm·min⁻¹ 增加至 170 atm, 最后以 10 atm·min⁻¹ 增加到 400 atm (1 atm=0.101325 MPa)

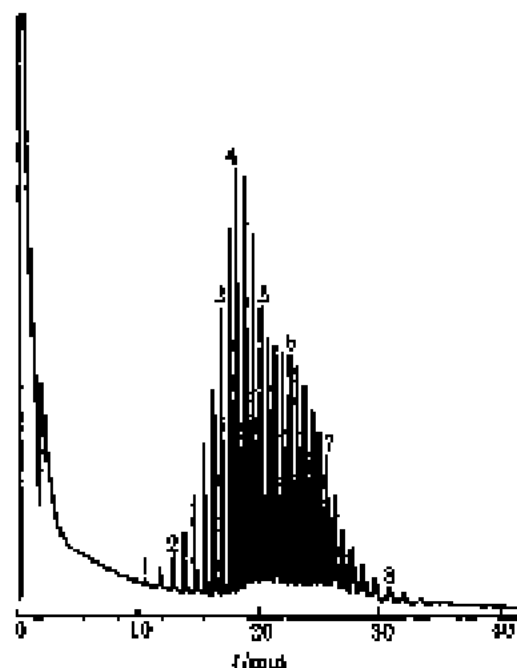


图 14-111 羧乙酯类化合物的 SFC 分离谱图^[32]

色谱柱: 1—C₁₀; 2—C₂₀; 3—C₄₀; 4—C₆₀; 5—C₈₀; 6—C₁₀₀; 7—C₁₂₀; 8—C₁₄₀
 色谱柱: 20 cm×1.0 mm (内径), 中性相, 5 μm
 柱温: 100 °C
 流动相: CO₂
 检测器: 火焰离子化 (325 °C)
 压力: 100 atm 保持 7 min, 然后以 10 atm·min⁻¹ 增加到 380 atm (1 atm=0.101325 MPa), 最后保持此压力不变

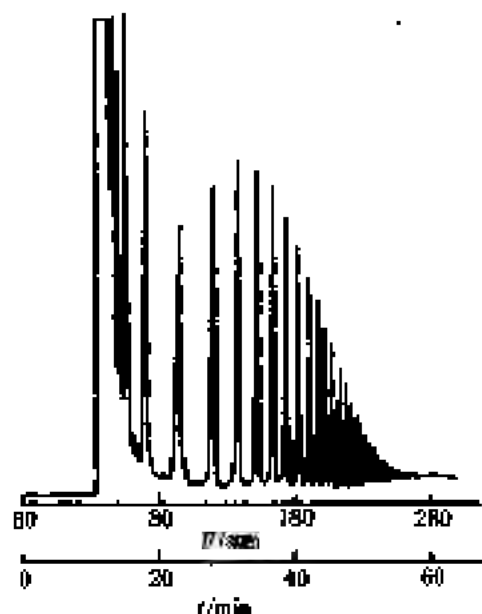


图 14-112 聚二甲基硅氧烷 (平均相对分子量为 400~700) 的 SFC 分离谱图^[33]

色谱柱: 10 m×100 μm, DB-5
 流动相: CO₂
 检测器: FID
 压力: 80 atm $\xrightarrow{2 \text{ atm} \cdot \text{min}^{-1}}$ 280 atm, 20 min 后保持 280 atm (1 atm=0.101325 MPa)

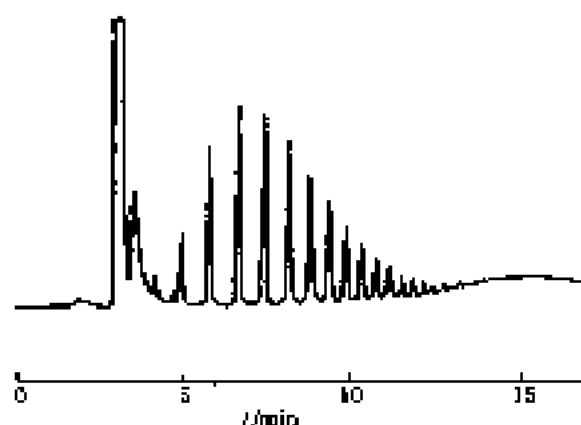


图 14-113 聚二甲硅氧烷 (平均相对分子质量为 770) 的 SFC 分离谱图^[62]

色谱柱: DB-1

柱 温: 100 °C

流动相: CO₂

检测器: FID

压 力: 13.6 MPa $\xrightarrow{10 \text{ ml/min}}$ 27.6 MPa

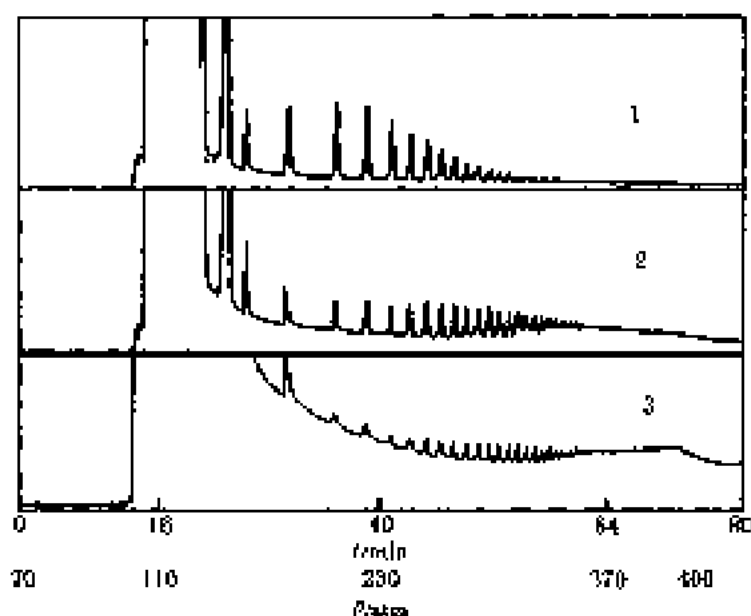


图 14-114 聚丙烯腈标样、叔丁基二甲硅烷衍生物的 SFC 分离谱图^[63]

色谱峰: 1—聚丙烯腈 (分子量 300); 2—聚丙烯腈 (分子量 200); 3—聚丙烯腈 (分子量 10 000)

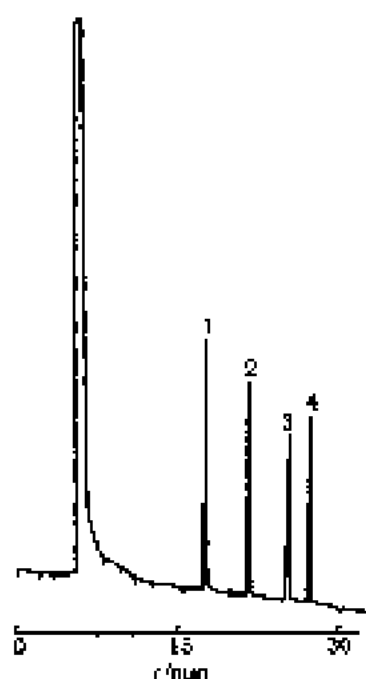
色谱柱: 10 m × 50 μm (内径), 100% 甲基聚硅氧烷, 膜层厚度 0.20 μm

柱 温: 120 °C

流动相: CO₂

检测器: 火焰离子化 (400 °C)

注: 1 atm = 0.101325 MPa



色谱柱: 20 mm × 0.5 μm (内径), 填充二甲基硅氧烷

流动相: CO₂

检测器: 火焰离子化(350 °C)

进样量: 100 μl

图 14-115 聚合物添加剂的 SFC 分离谱图^[1]

化合物: 1, 2 (2,2-苯并三唑-2-基)-2-丙醇

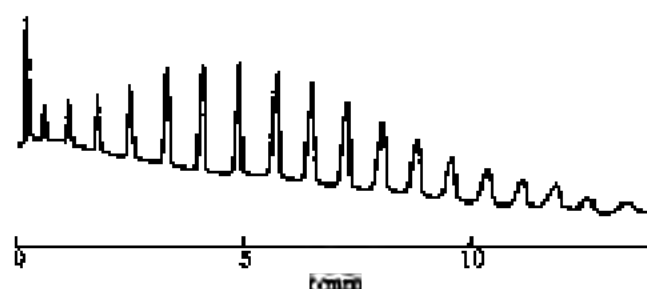
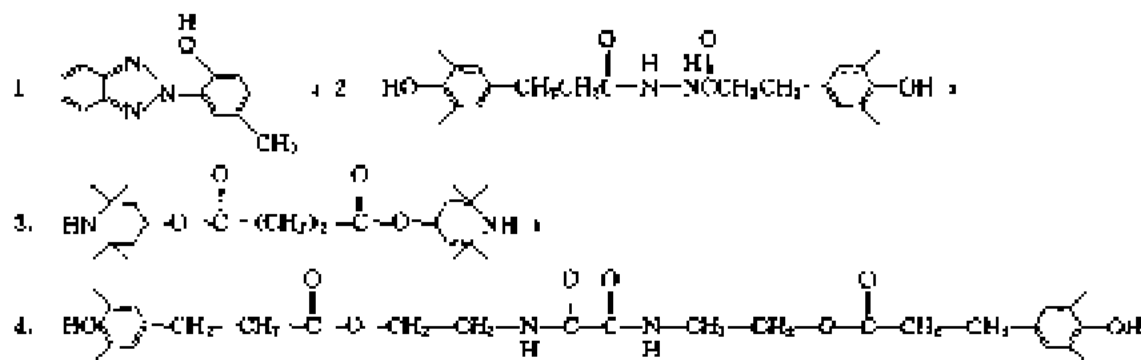


图 14-116 聚苯乙烯 1050 的 SFC 分离谱图^[1]

色谱柱: 2.0 mm × 100 mm 硅胶, 3 μm

柱温: 120 °C

流动相: 含 0.1% 二氧六环的 CO₂

柱出口压: 12.5 MPa $\xrightarrow{12 \text{ ml/min}}$ 35.0 MPa

检测器: UV(254 nm)

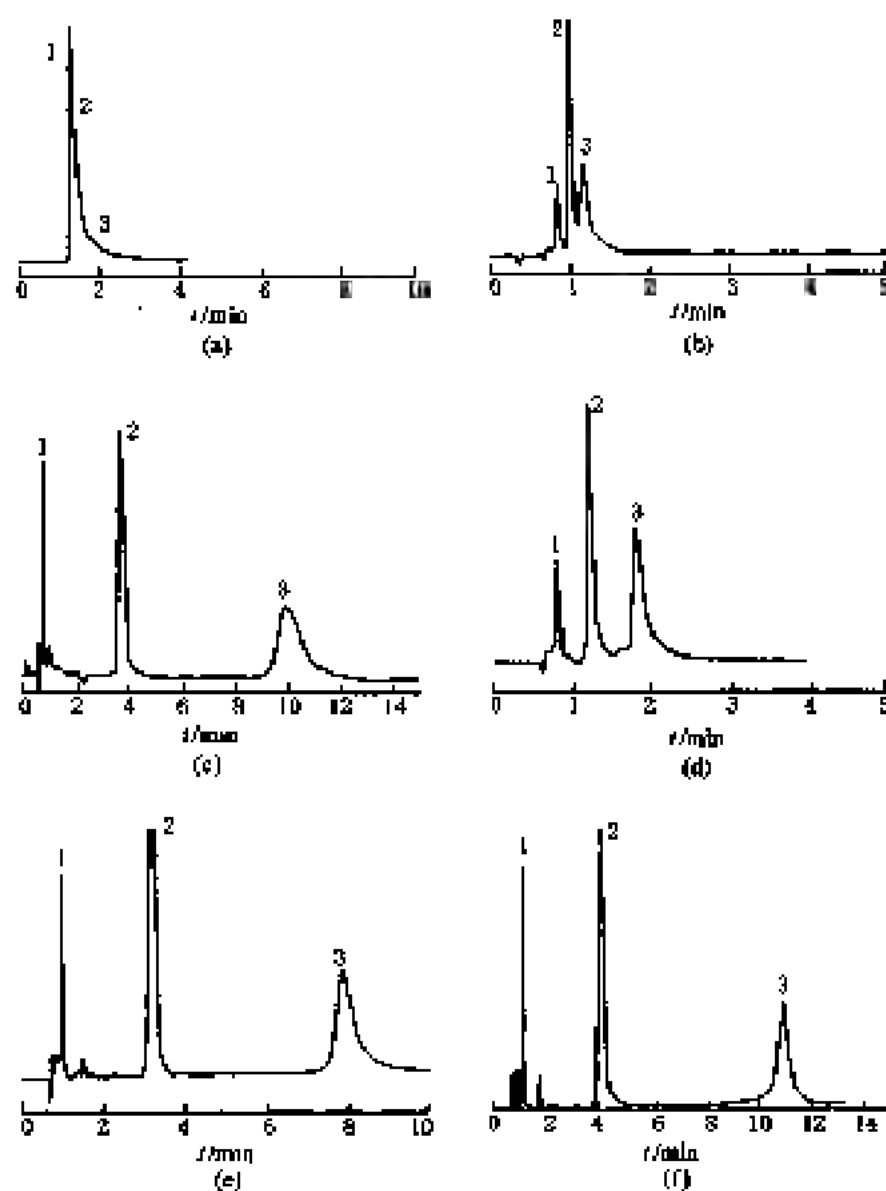


图 14-117 木质磺类化合物的 SEC 分离谱图 (—) [5]

色谱峰：1—三峰木质素，2—二峰木质素，3—二峰木质素

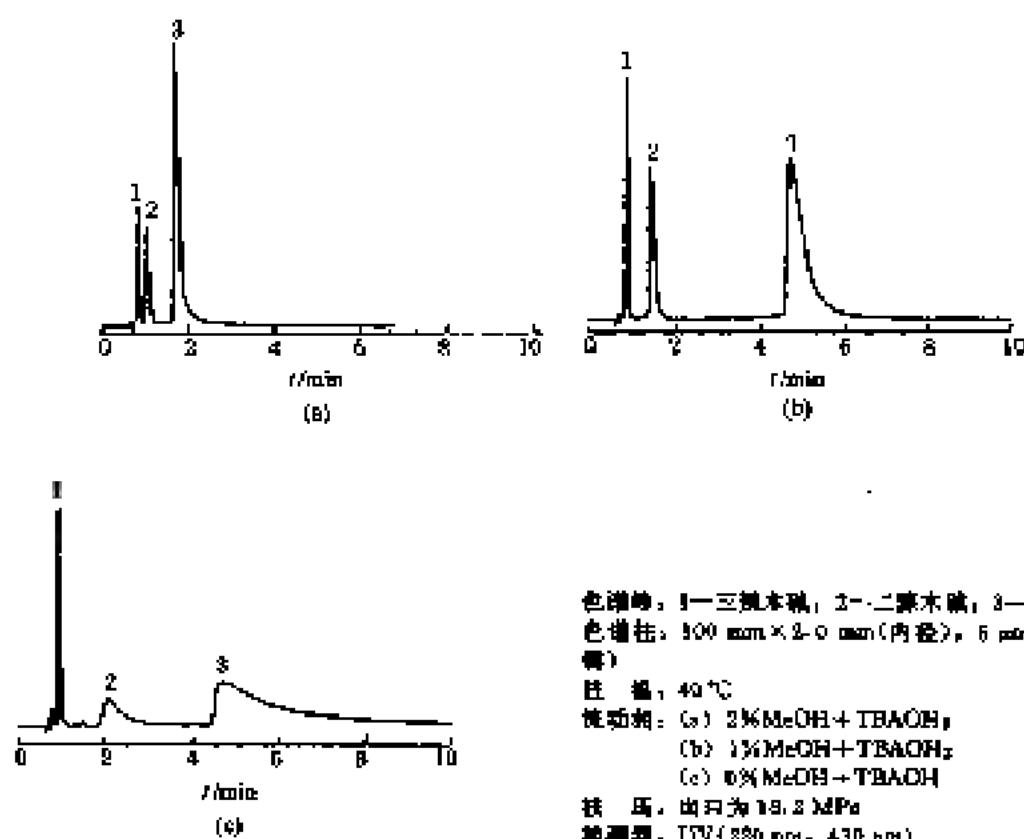
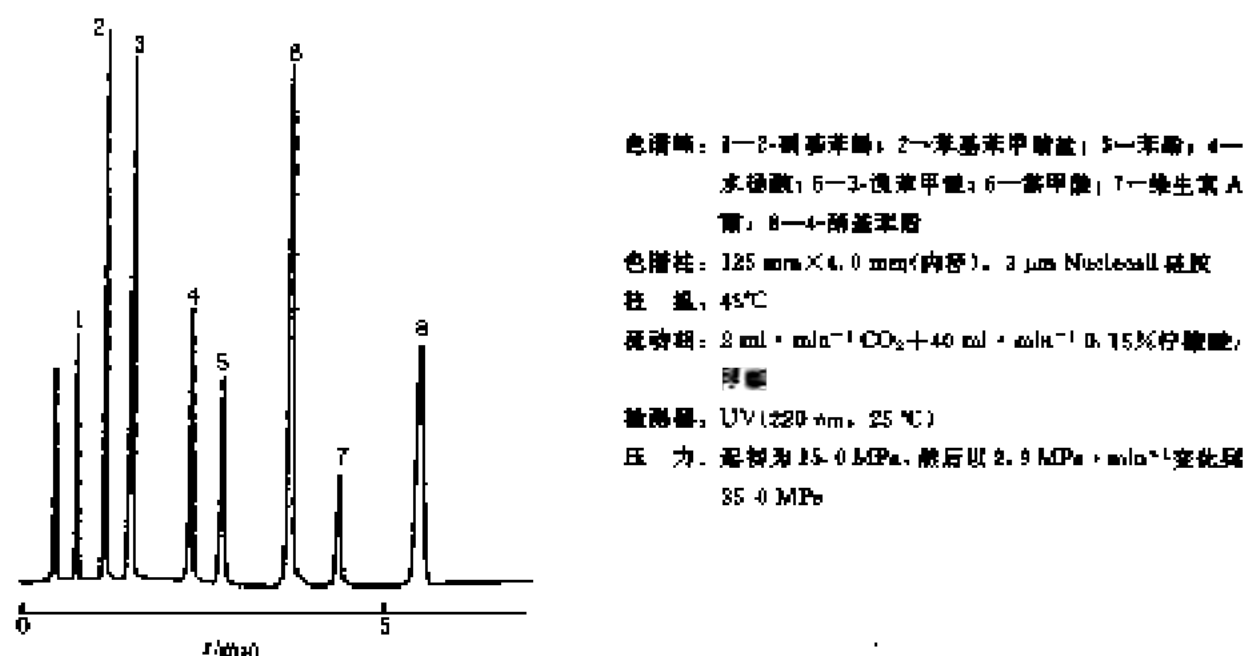
色谱柱：100 mm × 2.0 mm (内径)，填充 5 μ m (a) DeltaBond Oxyd1; (b) DeltaBond CN; (c) Hyperod APS; (d) Hyperod CPS; (e) Nucleosid Diol; (f) Nucleosid SA

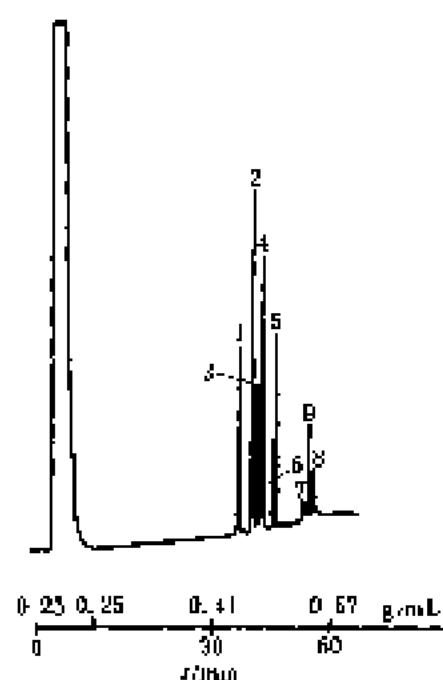
柱温：40 °C

流动相：85%超临界 CO₂ + 5%甲醇，内含 1%异丙醇

柱压：出口 18.2 MPa

检测器：UV (220 nm, 430 nm)

图 14-118 羧木素类化合物的 SEC 分离谱图 (二)^[66]图 14-119 酸组分的 SEC 分离谱图^[66]

图 14-120 胺性氨基酸的 SFC 分离谱图^[10]

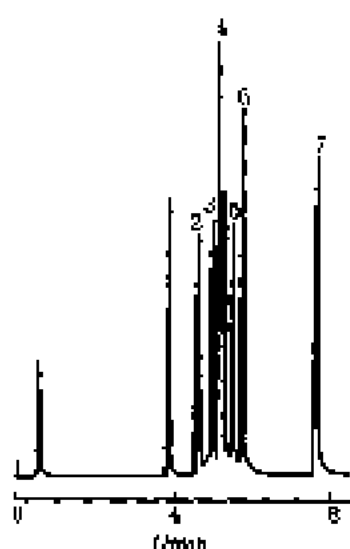
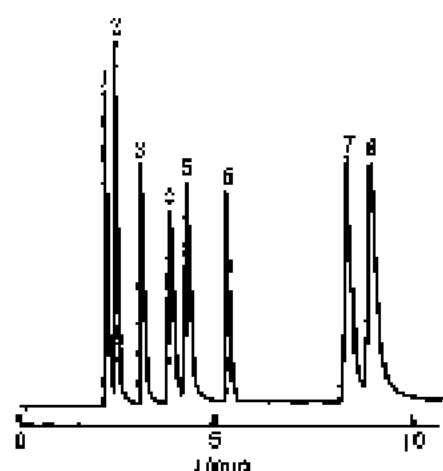
色谱峰: 1—3, 17 β -二羟基胆固醇-1, 3, 5 (10)-三烯; 2—3, 17 α -二羟基胆固醇-1, 3, 5 (10)-三烯; 3—3-羟基-17-含氧胆固醇-1, 3, 5 (10)-三烯; 4—3, 17 β -二羟基胆固醇-1, 3, 5 (10)-四烯; 5—3, 17 α -二羟基胆固醇-1, 3, 5 (10)-四烯; 6—3-羟基-17-含氧胆固醇-1, 3, 5 (10)-四烯; 7—3, 17 β -二羟基胆固醇-1, 3, 5 (10)-五烯; 8—3, 17 α -二羟基胆固醇-1, 3, 5 (10)-五烯; 9—3-羟基-17-含氧胆固醇-1, 3, 5 (10)-五烯

色谱柱: 8 μ m \times 50 μ m (内径), 50%二氧基硅烷液体硅胶键合硅胶; 液膜厚度为 0.15 μ m

柱温: 120 $^{\circ}$ C

载气相: CO_2

检测器: 火焰离子化 (175 $^{\circ}$ C)

图 14-122 固醇类化合物的 SFC 分离谱图 (二)^[10]图 14-121 固醇类化合物的 SFC 分离谱图 (一)^[10]

色谱峰: 1—醋酸多辛(1-SDX); 2—醋酸二甲噻唑(2-SMT); 3—醋酸甲噻唑(3-SMZ); 4—醋酸地索辛(4-SDM); 5—醋酸噻唑(5-SDZ); 6—醋酸噻吩(6-SQX); 7—醋酸吡达唑(7-SCP); 8—醋酸吡唑(8-STZ)

色谱柱: 100 mm \times 4.6 mm (内径), 填充 5 μ m 聚苯醚 Spherasorb

柱温: 90 $^{\circ}$ C

流动相: CO_2 +15%甲醇, 4 min 后变为 25%甲醇

流速: 4 ml \cdot min $^{-1}$

柱压: 35.1 MPa

检测器: UV(270 nm)

色谱峰: 1—醋酸多辛(1-SDX); 2—醋酸地索辛(4-SDM); 3—醋酸吡达唑(7-SCP); 4—醋酸噻吩(6-SQX); 5—醋酸二甲噻唑(2-SMT); 6—醋酸甲噻唑(3-SMZ); 7—醋酸吡唑(8-STZ)

色谱柱: 规格 100 mm \times 4.6 mm, 填充 5 μ m Spherasorb

柱温: 75 $^{\circ}$ C

流动相: CO_2 +12%甲醇, 5 min 后变为 20%甲醇

流速: 4 ml \cdot min $^{-1}$

柱压: 38.5 MPa

检测器: UV(254 nm)

第二节 薄层色谱谱图

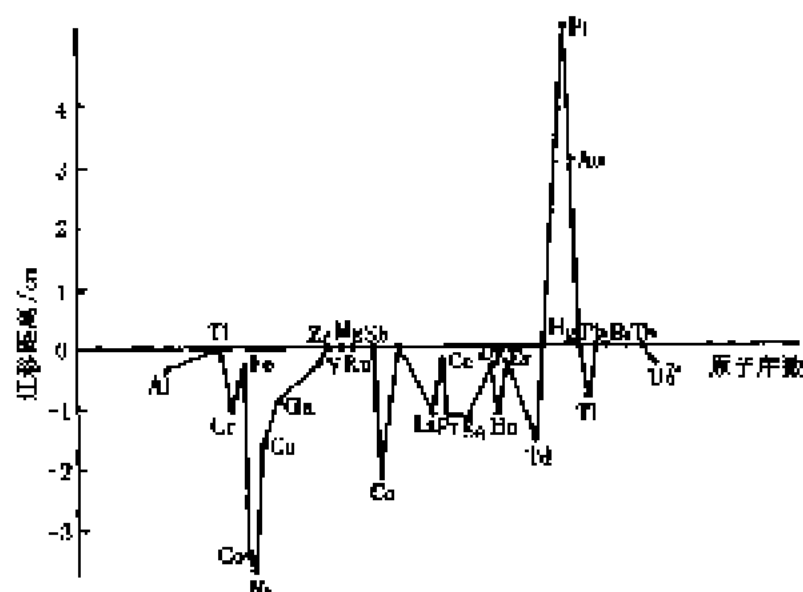


图 14-123 0.01 mol · L⁻¹ HCl 介质中离子迁移距离与原子序数关系图^[100]

薄层板: 硅胶/硅胶 G

展开剂: 0.01 mol · L⁻¹ HCl

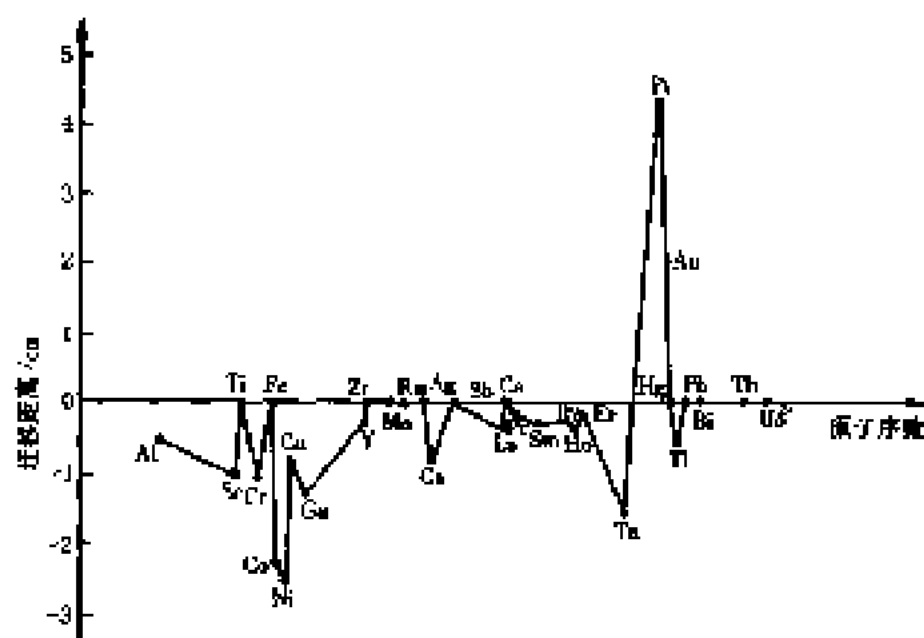


图 14-124 0.1 mol · L⁻¹ 柠檬酸介质中离子迁移距离与原子序数关系图^[100]

薄层板: 硅胶/硅胶 G

展开剂: 0.1 mol · L⁻¹ 柠檬酸

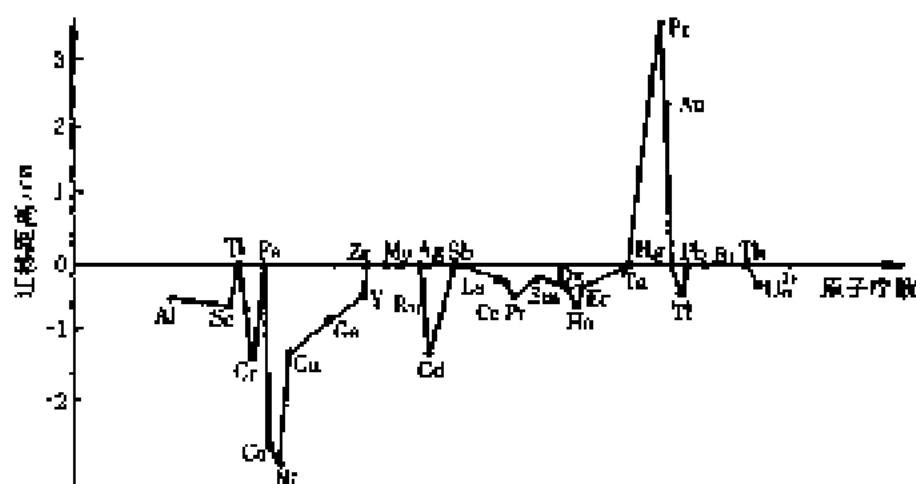


图 14-125 $0.10 \text{ mol} \cdot \text{L}^{-1}$ 酒石酸介质中离子迁移距离与原子序数关系图^[20]

薄层板: 硅胶 G 离子-硅胶 G 展开剂: $0.01 \text{ mol} \cdot \text{L}^{-1}$ 酒石酸

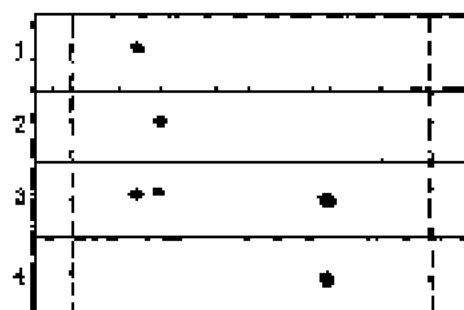


图 14-126 二氯乙酸胺类化合物(R-2578A)的 TLC 图^[21]

样 品: 1、2—二氯乙酸胺和胺类化合物; 3—二氯乙酸胺和胺类化合物反应混合物; 4—二氯乙酸胺类化合物

薄层板: 硅胶 G

展开剂: 二氯甲烷-甲醇(体积比=10:1)

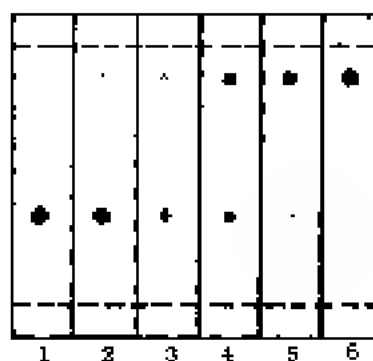


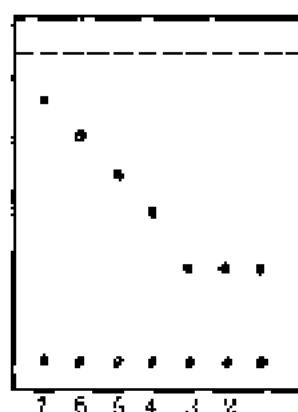
图 14-127 二氯乙酸胺与胺反应过程的 TLC 图^[22]

样 品: 1—原料; 2~6—不同反应时间的产物

薄层板: 硅胶 G

展开剂: 二氯甲烷-甲醇(体积比=10:1)

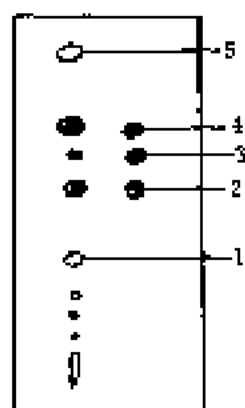
注: 反应为 二氯乙酸胺 + 胺 → 二氯乙酸胺 + HCl

图 14-128 丁硫长那毒素鉴别的 TLC 图^[38]

样品：1—丁硫卡那霉素对照液 $R_f=0.30$ ；2—丁硫卡那霉素供试液 $R_f=0.30$ ；3—等丙酰胺液 $R_f=0.30$ ；4—卡那霉素 B 对照品液 $R_f=0.58$ ；5—硫酸铁钾毒素注射液 $R_f=0.62$ ；6—新霉素对照液 $R_f=0.65$ ；7—硫酸庆大霉素注射液 $R_f=0.75$

薄层板：硅胶 G

展开剂：氯仿+甲醇+氨水+水（体积比=1:4:2:2）

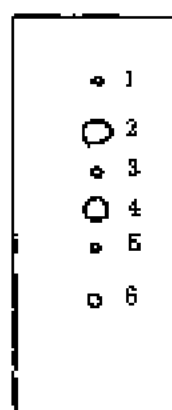


样品：样品（川白芷饮片用 10 倍量水浸提 12 h，上清液点样），对用品

斑点：1—氯化苄基内酯（黄绿色荧光）；2—异欧前胡素（紫色荧光）；3—欧前胡素（黄色荧光）；4—欧前胡素（紫色荧光）；5—樟脑素

薄层板：硅胶 4- CMCN_3

展开剂：苯+乙酸乙酯（体积比=10:0.5）

图 14-129 川白芷的 TLC 图^[39]

斑点：从前沿开始 6 个斑点的 R_f 值分别为 1—0.90；2—0.73；3—0.67；4—0.53；5—0.41；6—0.27

薄层板：硅胶 G

展开剂：石油醚+乙酸乙酯（体积比=2:1）

注：图中斑点 3 为葑烯内酯；斑点 4 为 2-丙基 1-己醇 3-酯

图 14-130 川芎干燥根茎挥发油的 TLC 图^[40]

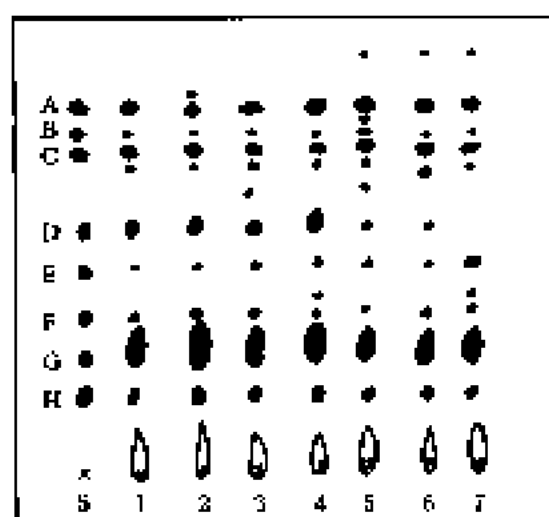


图 14-131 山荷叶中木脂素的 TLC 图^[61]

样 品: S—标准混合物; 1~7—不同产地山荷叶试样
斑 点: A—鬼臼酮; B—异苦鬼臼酮; C—苦鬼臼酮;
D—山荷叶素; E—去氢鬼臼素; F—苦鬼臼素;
G—鬼臼毒素; H—6'-去甲基鬼臼毒素
展开剂: 二氯甲烷+乙醇 (体积比=4:1)
显色剂: 2.5%硫酸钾饱和 20%磷酸溶液, 氨气熏

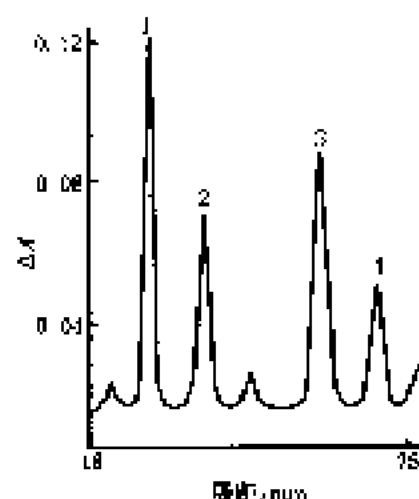


图 14-132 从牛蒡子中提取的
木脂素的 TLC 扫描图^[32]

色谱峰: 1—牛蒡甙元; 2—牛蒡 B; 3—牛蒡脂 A; 4—牛蒡
脂 P
薄层板: 高效硅胶板
展开剂: 二氯甲烷+乙醇+甲醇+己烷 (体积比=4:1:
0.4:1)

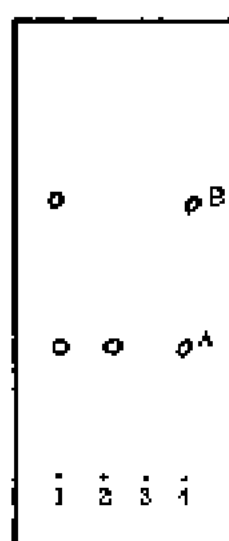


图 14-133 天仙子基质的 TLC 图^[33]

样 品: 1—天仙子; 2—中亚天仙子; 3—南天仙子; 4—
对照品
斑 点: A—莨菪碱; B—东莨菪碱
薄层板: 硅胶 G
展开剂: 乙酸乙酯+甲醇+水 (体积比=7:2:1)
显色剂: 碘化铋钾

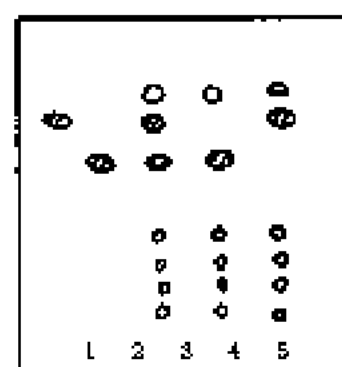
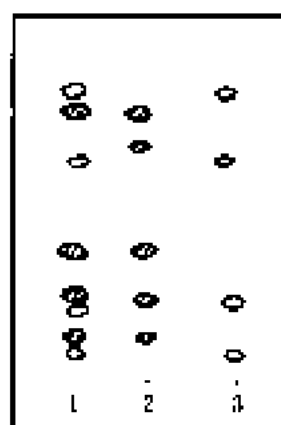
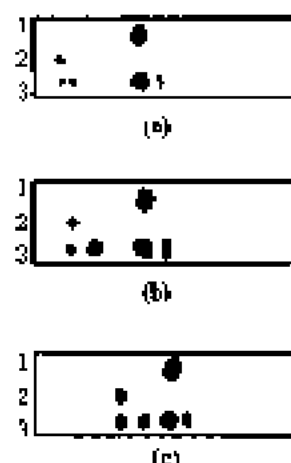


图 14-134 中何徐长卿、丁香 TLC 图^[34]

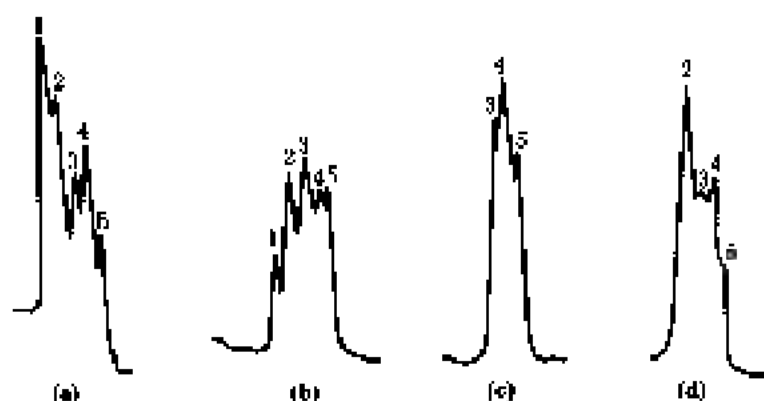
样 品: 1—丹皮酚; 2—丁香酚; 3—茴香; 4—桉油长
物空白对照; 5—缺丁香空白对照
薄层板: 硅胶 G—0.2%羟甲基纤维素钠
展开剂: 环己烷+氯仿+无水乙醇 (体积比=7:3:1)

图 14-135 中草药黄芪的 TLC 图^[26]

样品：1—药园；2—大货对照药材；3—缺人质空白对照
 薄层板：硅胶 G+0.3% 胶甲基纤维素酯
 展开剂：石油醚—甲酸乙酯—甲酸（体积比=15:5:2）

图 14-136 鉴别以人参类为主的 TLC 图^[27]

样品：1—甘薯根；2—甘薯根醇；3—粗品
 薄层板：硅胶 G
 展开剂：(a) 正己烷+乙酸乙酯（体积比=4:1），(b) 石油醚+乙酸乙酯（体积比=2:1），(c) 苯—甲醇（体积比=11:1）

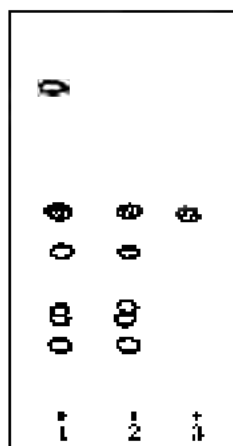
图 14-137 冬眠前后小鼠 LDH 酶谱的变化图^[28]

(a) 活动期；(b) 冬眠前；(c) 冬眠期；(d) 冬眠后

色谱峰：峰 1~5 分别代表 LDH₁~LDH₅

凝胶柱：聚丙烯酰胺凝胶

展开剂：Tris-Gly



样品：1—三参对照品；2—北五味子；3—五味子乙素
 薄层板：硅胶 GF₂₅₄+0.5%CMC Na
 展开剂：石油醚+甲酸乙酯+甲酸（体积比=15:5:1）
 显色：UV (254nm)

图 14-138 北五味子及其制剂中五味子乙素的 TLC 图^[29]



样品: 1—非酯化标准亚油酸 ($18:2$) $R_f=0.31$; 2—甲酯化标准亚油酸 ($18:2$) $R_f=0.56$; 3—非酯化亚麻子油脂肪酸 $R_f=0.20$; 4—甲酯化亚麻子油脂肪酸 $R_f=0.55$

薄层板: 硅胶 G

展开剂: 石油醚 + 乙酸 + 乙醇 (体积比 = 70 : 30 : 2)

显色剂: 溴蒸气

图 14-139 亚麻子油中脂肪酸检测的 TLC 图^[113]

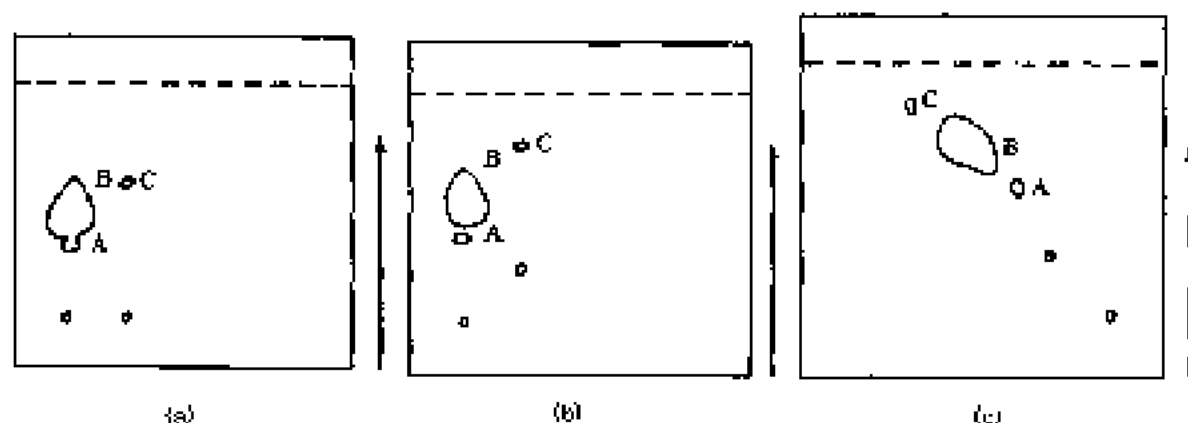


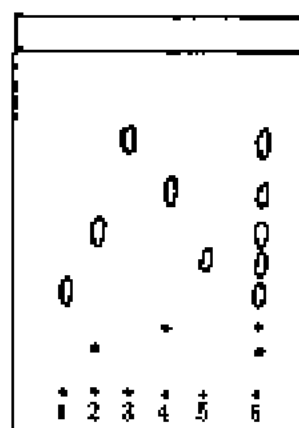
图 14-140 丙硫异烟胺的 TLC 谱图^[112]

(a) 药典法; (b) 第一次展开; (c) 第二次展开

样品: A—杂质斑点; B—样品的主斑点; C—样品对原斑的主斑点

薄层板: 硅胶 GF_{25}

展开剂: 氯仿 + 甲醇 (体积比 = 90 : 10)



样品: 1—土霉素 ($R_f=0.30$); 2—四环素 ($R_f=0.48$); 3—盐酸多西环素 ($R_f=0.74$); 4—盐酸金霉素 ($R_f=0.60$); 5—甲氧土霉素 ($R_f=0.41$); 6—混合对照品

薄层板: 硅胶 G + 5% EDTA- ZnSO_4

展开剂: 0.02mol/L Na_2OH 溶液 + 丙酮 + 乙醇 + 苯 (体积比 = 2 : 9 : 20)

图 14-141 四环素类抗生素的 TLC 谱图^[113]

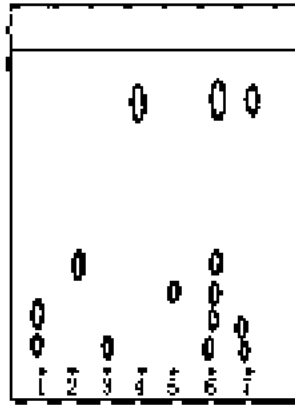


图 14-142 四环素有关物质的 TLC 图^[142]

样 品: 1—盐酸四环素样品; 2—盐酸金霉素样品;
3—4—盐酸四环素; 4—脱水四环素; 5—4-羟基
脱水四环素; 6—标准混合液; 7—试药
薄层板: 硅胶 G+硅胶土+5%乙二醇乙酸二钠溶液
展开剂: 丙酮+乙醇+氯水^[142]

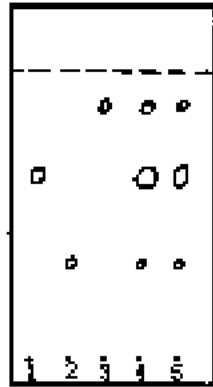


图 14-144 扑尔敏、咖啡因等样品的 TLC 图^[72]

样 品: 1—对乙酰氨基酚样品; 2—扑尔敏样品; 3—咖
啡因样品; 4—混合样品; 5—供试品
薄层板: 硅胶 G₂₅₄
展开剂: 氯仿+甲醇+丙酮+氨水

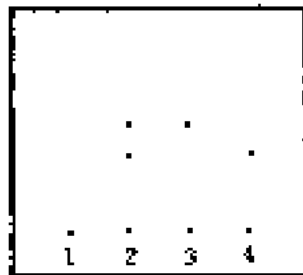


图 14-145 血中脱磷酶及铜安定的 TLC 图^[142]

样 品: 1—空白血清; 2—血中加入脱磷酶从铜安定; 3—脱
磷酶标准品; 4—铜安定标准品
薄层板: 硅胶 60F₂₅₄
展开剂: 乙酸乙酯+氯仿+丙酮+氨水 (体积比=1:1:
1:0.2)

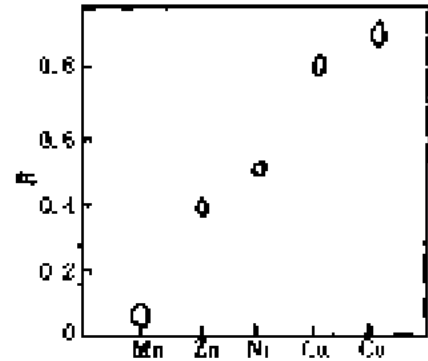


图 14-143 *N*-乙酰水杨基亮氨酸 Al
金属配合物的 TLC 图^[142]

薄层板: 硅胶 G
展开剂: 乙酸乙酯+甲醇+丙酮+水 (体积比=4:44:
3:33+2:23+0.5) 10 ml 展开剂中含 0.52 ml 36%
乙酸
注: 图中数值为 5 次实验平均值, 绝对误差为 ±0.02, 展
开距离 10 cm

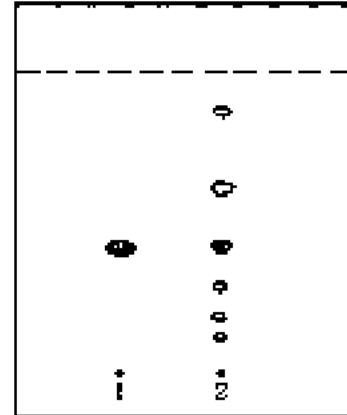


图 14-145 肉桂中肉桂酸测定的 TLC 图^[142]

样 品: 1—肉桂酸样品; 2—肉桂
薄层板: 硅胶 GF₂₅₄+0.2% CMC-Na
展开剂: 石油醚+甲酸乙酯+甲酸 (体积比=15:5:1)

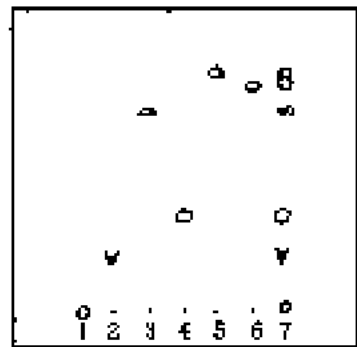


图 14-147 过渡金属离子的 TLC 图 (→)^[142]

样 品: 1—Fe³⁺; 2—Co²⁺; 3—Ni²⁺; 4—Cu²⁺; 5—Fe²⁺;
6—络合剂; 7—络合样品
展开剂: 甲醇+氯仿+乙酸丙酮 (体积比=1:10:0.005)
薄层板: 硅胶 G

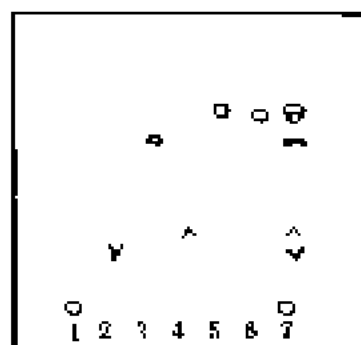


图 14-148 过渡金属离子的 TLC 图 (二)^[135]

样 品: 1— Fe^{2+} ; 2— Co^{2+} ; 3— Ni^{2+} ; 4— Cu^{2+} ; 5— Fe^{2+} ;

6—络合物; 7—混合物样品

薄层板: 硅胶 G

展开剂: 甲醇+氨水 (体积比=1:10)

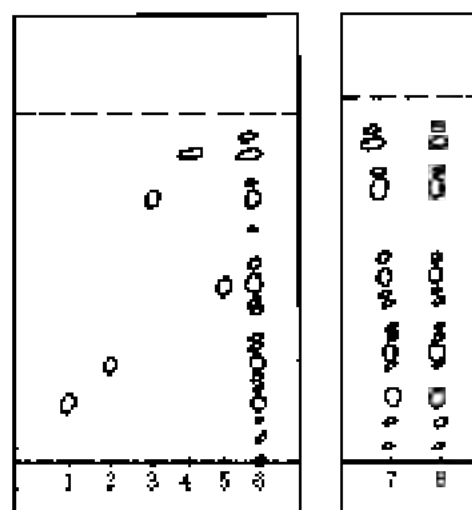


图 14-149 阿片生物碱的 TLC 图^[136]

样 品: 1—吗啡; 2—可待因; 3—罂粟碱; 4—那可丁;

5—蒂巴因; 6—阿片膏; 7—阿片酊; 8—阿片粉

薄层板: 硅胶 G

展开剂: 苯+丙酮+甲酸+水 (体积比=8:4:0.6:0.25)

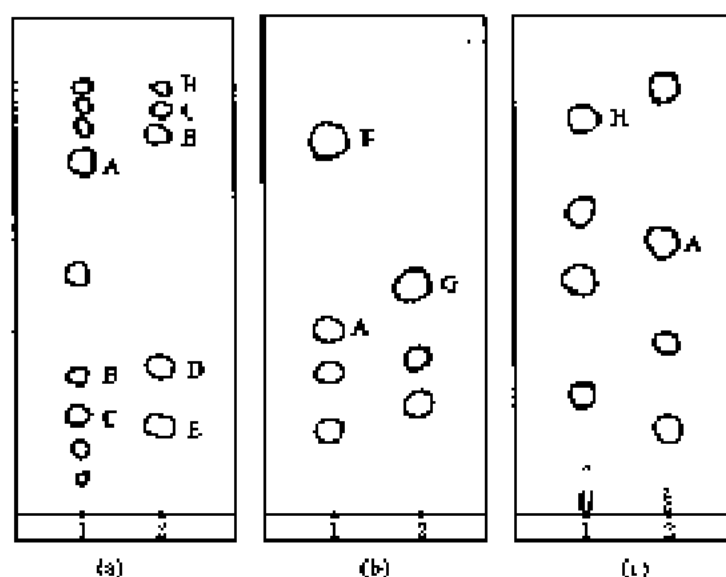


图 14-150 花椒及巴氏吴茱萸的 TLC 图^[137]

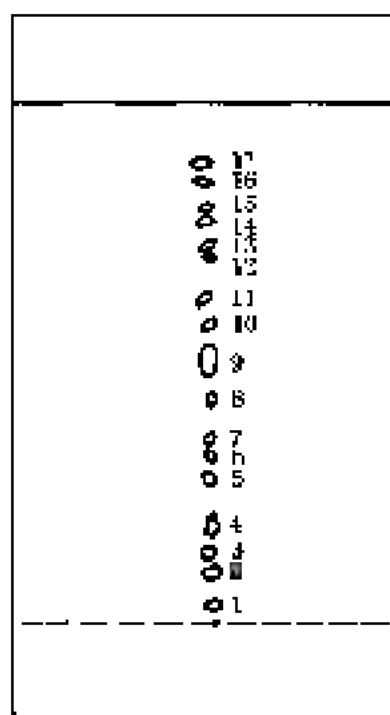
样 品: 1—巴氏吴茱萸; 2—花椒

斑 点: A—蓝; B—红; C—棕黄; D—玫瑰红; E—棕红; F—紫红; G—蓝紫; H—淡蓝

薄层板: 硅胶 G

展开剂: (a) 氯仿+乙酸乙酯 (体积比=8:2); (b), (c) 石油醚—乙酸乙酯 (体积比=9:1)

显色剂: (a) UV (255nm); (b) 5% 香草醛苯硫酸; (c) 5% 磷钼酸乙醇溶液

图 14-151 利格平胶囊的 TLC 图^[10]

样 品: 利格平胶囊

斑 点: 1—浅棕色; 2~5—黄色; 6—粉红色; 7—浅粉;
8—黄色; 9—橙红色(主斑点); 10~14—黄; 15—
紫色; 16—黄色; 17—浅紫色

薄层板: 硅胶 H+5% Na_2HPO_4

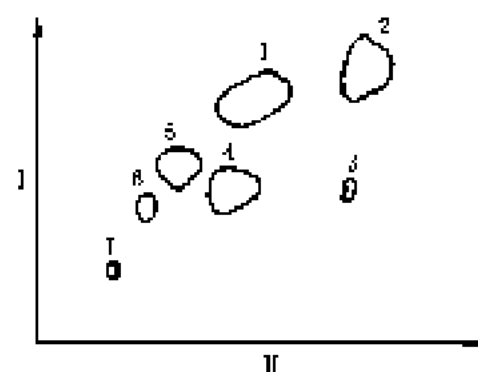
展开剂: 氯仿+甲醇+水 (体积比=90:10:1)

图 14-153 苏合香的 TLC 图^[10]

样 品: 1—苏合香; 2—桂皮醛对照品

薄层板: 0.5%CMC Na 硅胶 6F₂₄

展开剂: 石油醚+丙酮+冰乙酸 (体积比=10:5:
0.02)

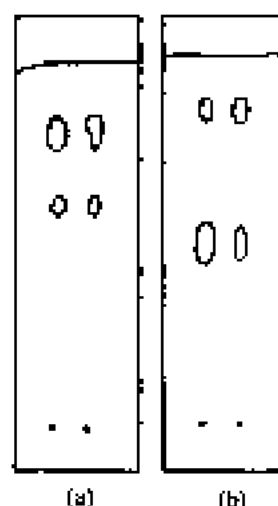
图 14-152 红细胞膜类脂的双向 TLC 图^[10]

斑 点: 1—PC; 2—PE; 3—磷脂酰; 4—磷脂酰丝氨酸;
5—神经鞘磷脂; 6—红细胞膜甘油; 7—上样点

薄层板: 硅胶 G

展开剂: I—氯仿+甲醇+氨水+水 (体积比=90:20:
15:3)

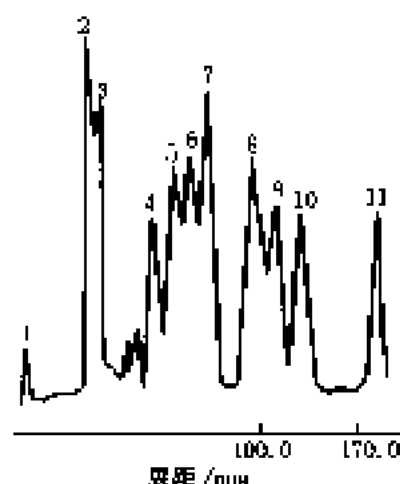
II—氯仿+甲醇+丙酮+乙酸+水 (体积比=18:
20:4:5:0.4)

图 14-154 两种手性药物的 TLC 图^[10]

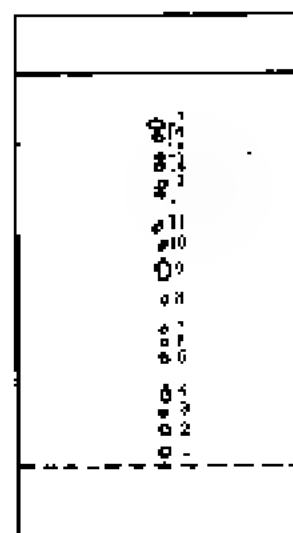
样 品: (a) 拉贝洛尔; (b) 普萘洛尔

薄层板: 硅胶 GF₂₅₄

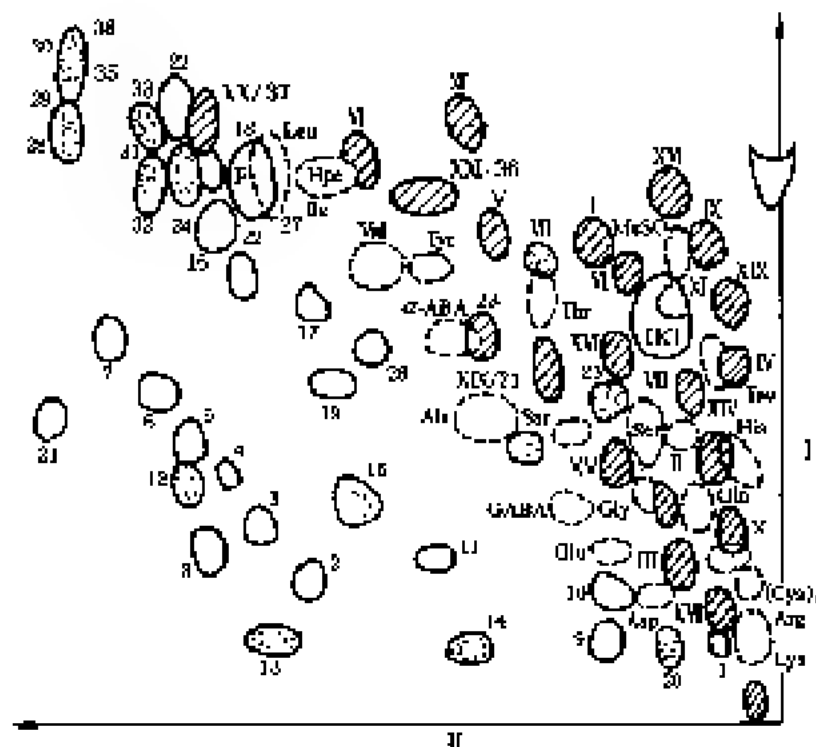
展开剂: 二氯甲烷+甲醇 (体积比=69:33), 含 D-10 稀
麻黄碱 6.8 mmol·L⁻¹

图 14-155 肾上腺皮质激素类的 TLC 图^[14]

样品: 1—注射剂; 2—氢化皮质松; 3—氢化可的松; 4—醋酸氢化皮质松; 5—醋酸氢化可的松; 6—醋酸皮质松; 7—醋酸可的松; 8—醋酸氢化可的松; 9—醋酸氢化可的松; 10—丙酸氢化可的松
薄层板: 硅胶 GF₂₅₄ + 0.5% CMC (5g/115 mL)
展开剂: 1, 2-二氯乙烷+苯+甲醇+水 (体积比=4:81:4.43:0.78=0.0001)

图 14-156 甾体平放法的 TLC 图^[14]

斑点: 1—橙棕色; 2~3—黄色; 4—紫红色; 5—紫棕色; 6—黄色; 7—橙红色(主斑点); 8~14—黄色; 15—紫色; 16—黄色; 17—浅紫色
薄层板: 硅胶 H 加 5% 磷酸氢二钠
展开剂: 氯仿+甲醇+水 (体积比=90:10:1)

图 14-157 有机酸混合物标准液的 2D-TLC 图^[24]

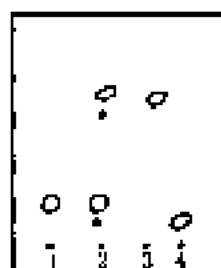
①碱基 核苷类(0.05%吸收); ②/③有机酸斑点, 其中②为紫外吸收; ④氨基酸斑点

斑点: 1—草酸; 2—丙二酸; 3—琥珀酸; 4—戊二酸; 5—己二酸; 6—庚二酸; 7—辛二酸; 8—甲基丙二酸; 9—柠檬酸; 10—酒石酸; 11—苹果酸; 12—延胡索酸; 13—乌头酸; 14—α-酮戊二酸; 15—丙酮酸; 16—乳酸; 17—乙醛酸; 18—丙酮酸; 19—乙醛酸; 20—乙醛酸; 21—乳酸; 22—β-羟丁酸; 23—原酮酸; 24—乳酸; 25—琥珀酸; 26—苹果酸; 27—丙酮酸; 28—苯甲酸; 29—苯乙酸; 30—桂皮酸; 31—β-苯乳酸; 32—对-羟基苯乙酸; 33—苯丙酮酸; 34—苯丙酮酸; 35—丙酮酸; 36—尼克酸; 37—马尿酸; 38—山梨酸

薄层板: 自制聚酰胺纤维膜—硅胶 G 混合层

展开剂: (I) 叔丁醇+乙醇+氨水+水 (体积比=10:12:2:6)

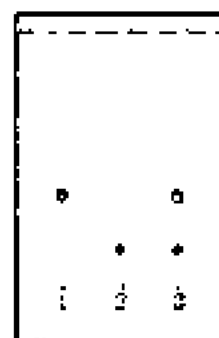
(II) 异戊醇+石油醚+乙醇+甲酸+丙酮+水 (体积比=9:14:6:5:0.6:0.6)

图 14-158 依托泊苷原料药的 TLC 图^[10]

样 品: 1—依托泊苷; 2—依托的苷原料药; 3—4—依托泊苷; 4—3 β -苷依托泊苷

薄层板: 硅胶 GF₂₅₄

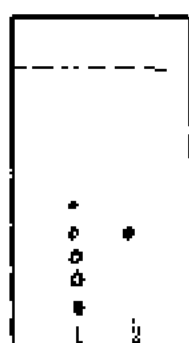
展开剂: 二氯甲烷+乙醚+甲醇 (体积比=10:12:0.5)

图 14-159 果糖二磷酸钠与葡萄糖酸钙的 TLC 图^[10]

样 品: 1—葡萄糖酸钙; 2—果糖二磷酸钠; 3—1、2 的混合物

薄层板: 硅胶纤维素

展开剂: 正丁醇+丙酮+冰乙酸+10%氨水+水 (体积比=25:15:20:7.5:32.5)

图 14-160 金水宝胶囊的 TLC 图^[10]

样 品: 1—金水宝胶囊; 2—对照品

固定相: 硅胶 GF₂₅₄

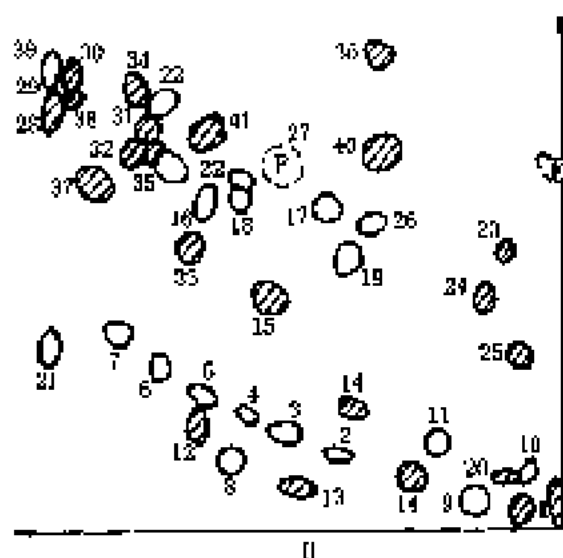
展开剂: 氯仿+乙酸乙酯+异丙醇+水+氨水 (体积比=11:21:6:0.5:0.12)

图 14-161 金银花的 TLC 图^[10]

样 品: 1—氯苯酸对照品; 2—供试品; 3—纯金银花空白对照品

薄层板: 硅胶板

展开剂: 乙酸乙酯+丁酮+甲醇+水 (体积比=8:6:1:1)



展 点: 1—草酸; 2—丙二酸; 3—琥珀酸; 4—戊二酸; 5—己二酸; 6—庚二酸; 7—辛二酸; 8—甲氧丙二酸; 9—丙酮酸; 10—樟石酸; 11—苹果酸; 12—延胡索酸; 13—乌头酸; 14—α-酮戊二酸; 15—丙酮酸; 16—乳酸; 17—乙酰甘氨酸; 18—丙酮甘氨酸; 19—乙酮酸; 20—乙酰酸; 21—乳酸; 22—β-羟丁酸; 23—尿酮酸; 24—乳酸; 25—抗坏血酸; 26—葡萄糖酸; 27—大尿酸; 28—苯甲酸; 29—苯乙酸; 30—桂皮酸; 31—β-苯乳酸; 32—对羟基苯乙酸; 33—对羟基苯甲酸; 34—苯丙酮酸; 35—茴香仁酸; 36—苦味酸; 37—喹啉乙酸; 38—喹啉丁酸; 39—山梨酸; 40—尼克酸; 41—马尿酸

薄层板: 硅胶纤维素板

展开剂: (I) 叔丁醇+乙醇+氨水+水 (体积比=10:12:2:6)

(II) 异戊醇+石油醚+乙醇+甲醇+丙酮+水 (体积比=9:20:5:4:0.6:0.8)

注: 阴影者为紫外吸收, 吸收 254 nm 紫外光, T 为荧光点

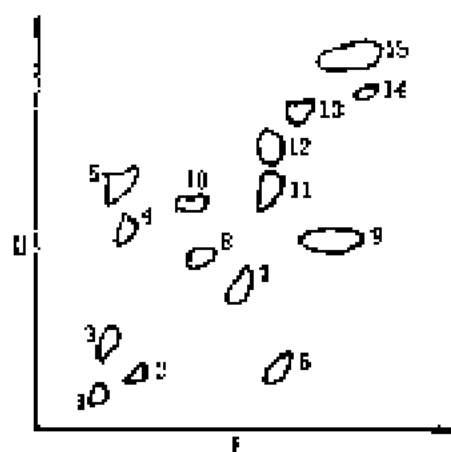
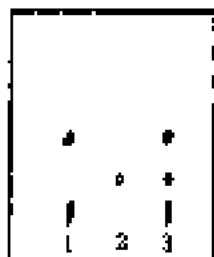
图 14-162 挥发性有机酸标准液的 2D-TLC 图^[10]

图 14-163 复方蒿甲醚的 TLC 图^[82]

样品: 1—对照品; 2—供试品; 3—阴性供试品

薄层板: 硅胶 G

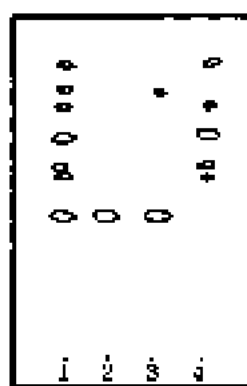
展开剂: 环己烷-乙酸乙酯-冰醋酸 (体积比=20:10:1)

图 14-165 鲎牛角水解物的 TLC 图^[100]图 14-166 栀子苷的 TLC 图^[69]

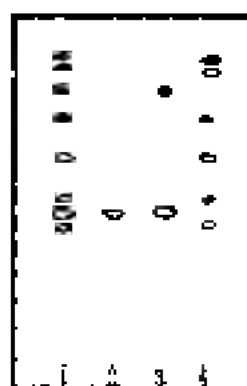
样品: 1—阴性供试液; 2—栀子苷对照品溶液 ($R_f=0.45$); 3—供试液

薄层板: 硅胶 GF₂₅₄+0.1% CMC Na (体积比=3:10)

展开剂: 氯仿+甲醇+浓氨水 (体积比=40:10:1)



(a)



(b)

图 14-164 复方升白灵中黄芪甲苷的 TLC 图^[91]

样品: 1—复方升白灵; 2—黄芪甲苷对照品; 3—黄芪; 4—不含黄芪甲苷的样品

固定相: 硅胶 G+水 (1:1)

展开剂: (a) 氯仿+甲醇+水 (体积比=85:15:10);

(b) 氯仿+甲醇+水 (体积比=50:1:1)

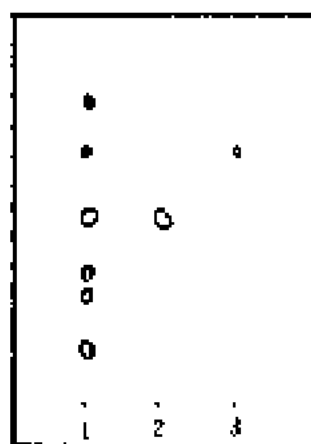
斑点: 1—鸟氨酸 (Orn); 2—脯氨酸 (Pro); 3—精氨酸 (Arg); 4—天冬氨酸 (Asp); 5—谷氨酸 (Glu); 6—组氨酸 (His); 7—丝氨酸 (Ser); 8—甘氨酸 (Gly); 9—苏氨酸 (Thr); 10—脯氨酸 (Pro); 11—丙氨酸 (Ala); 12—酪氨酸 (Tyr); 13—缬氨酸 (Val); 14—苯丙氨酸 (Phe); 15—异亮氨酸 (Ile)

位置: 75-1 薄层色谱仪

展开剂: 1—异丙醇+乙酸乙酯+四氢呋喃+异戊醇+氨水+水 (体积比=8:3:3:1:1:3:3)

2—正丁醇+丙酮+异丙醇+甲酸+水 (体积比=9:4:4:1.5:3); 双向展开

薄层板: 硅胶 G

图 14-167 骨刺宁胶囊的 TLC 图^[97]

样品: 1—骨刺宁胶囊供试品; 2—人参皂甙 R_{g1} 对照品; 3—空白样品 (缺三七)

固定相: 硅胶 G

展开剂: 氯仿+乙酸乙酯+甲醇+水 (体积比=15:40:22:10)

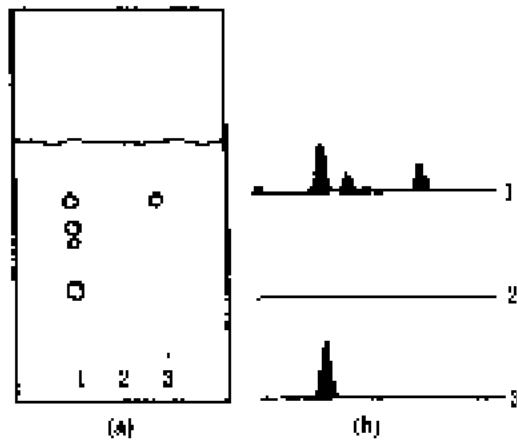


图 14-168 青霉素的 TLC 图 (a) 与 TLC 扫描图 (b)^[80]

样品: 1—青霉素样品; 2—空白样品(去三乙); 3—人血中试药₀对照品

薄层板: 硅胶 G-0.3% CMC-Na

展开剂: 正丁醇-乙酸乙酯+水 (体积比=4:1:5)

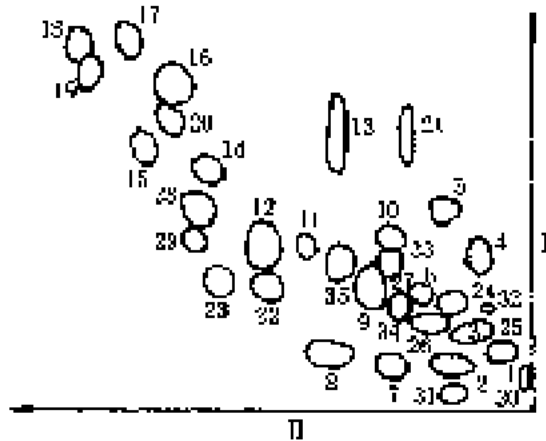


图 14-169 氨基酸标准的 2D TLC 图^[81]

斑点: 1—胱氨酸; 2—精氨酸; 3—赖氨酸; 4—组氨酸; 5—半胱氨酸; 6—谷氨酸; 7—门冬氨酸; 8—谷氨酸; 9—山氨酸; 10—丝氨酸; 11—脯氨酸; 12—丙氨酸; 13—苏氨酸; 14—缬氨酸; 15—缬氨酸; 16—色氨酸; 17—苯丙氨酸; 18—亮氨酸; 19—异亮氨酸; 20—甲硫氨酸; 21—甲硫氨酸; 22—β-丙氨酸; 23—γ-氨基丁酸; 24—门冬氨酸; 25—鸟氨酸; 26—同型亮氨酸; 27—丙氨酸; 28—α-氨基丁酸; 29—β-氨基异丁酸; 30—缬氨酸; 31—赖氨酸; 32—赖氨酸; 33—赖氨酸; 34—缬氨酸; 35—同型亮氨酸

展开剂: 第一维 (I) 叔丁醇+乙醇+氨水+水 (体积比=10:12:2:6)

第二维 (II) 异戊醇+正丁醇+乙醇+甲酸+丙酮+水 (体积比=9:20:9:4:0.6:0.6)

薄层板: 氨基处理-硅胶 G 型

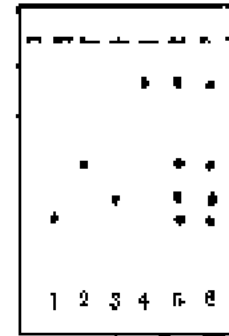


图 14-170 4 种 β-内酰胺类抗生素的 TLC 图^[82]
样品: 1—头孢拉定; 2—头孢唑林; 3—氯苯西林; 4—青霉素; 5—对照品混合液; 6—供试品混合液

薄层板: 硅胶 G; 5% NaH₂PO₄ 10:1% 乙二胺四乙酸二钠 (体积比=1:3)

展开剂: 乙腈+四氢呋喃+冰乙酸+5% 磷酸二氢钠与 0.1% 乙二胺四乙酸二钠+正丁醇 (体积比=50:40:10:5)

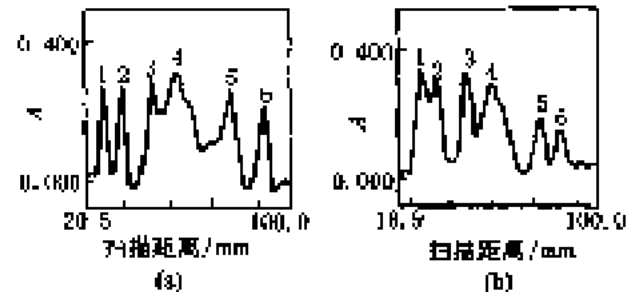


图 14-171 6 种喹诺酮类药物的 TLC 图^[83]
色谱峰: 1—诺氟沙星; 2—氧氟沙星; 3—环丙沙星; 4—依诺沙星; 5—萘啶酸; 6—未鉴定的喹诺酮

薄层板: 硅胶 G₂₅₄+0.5% CMC-Na (1+3)

展开剂: (a) 氯仿+丙酮+乙醇+甲酸 (体积比=0.64:0.09:0.16:0.11)

(b) 氯仿+丙酮+乙醇+甲酸 (体积比=0.58:0.25:0.09:0.10)

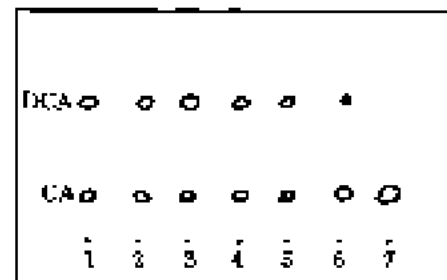


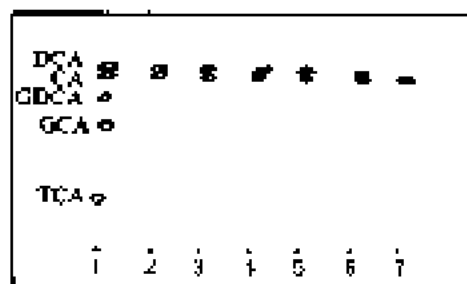
图 14-172 5 种胆盐分离胆汁酸的 TLC 图^[84]

样品: 1—对照品; 2—OXDID BILE SALT No. 3; 3—DIFCO BILE SALT No. 3; 4—生药 7 号胆盐; 5—海拉尔 7 号胆盐; 6—武汉胆盐 900116 批; 7—武汉胆盐 891820 批

斑点: CA—胆酸; DCA—去氧胆酸

薄层板: 硅胶 G

展开剂: 异辛烷+乙酸丁酯+冰乙酸 (体积比=4:5:2)

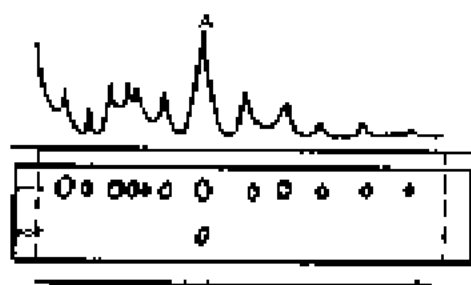
图 14-173 6种胆盐结合胆汁酸的 TLC 图^[10]

样 品: 1—对照品; 2—DIXID BILE SALT No. 3; 3—DIFCO BILE SALT No. 3; 4—生检 7 号胆盐; 5—博拉东 7 号胆盐; 6—武汉胆盐 880116 批; 7—武汉胆盐 891220 批

显 点: CA—胆酸; DCA—去氧胆酸; TCA—牛磺胆酸; GCA—甘氨酸胆酸; GDCA—甘氨酸去氧胆酸

薄层板: 硅胶 G

展开剂: 异戊醇+冰乙酸+水 (体积比=16:3:3)

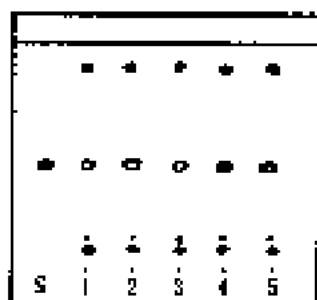
图 14-175 益寿永真口服液 TLC 及 TLCS 图^[100]

样 品: 1—供试品; 2—人参皂苷 R_{g1} 对照品

色 谱 峰: A—人参皂苷 R_{g1}

固定相: 硅胶 G

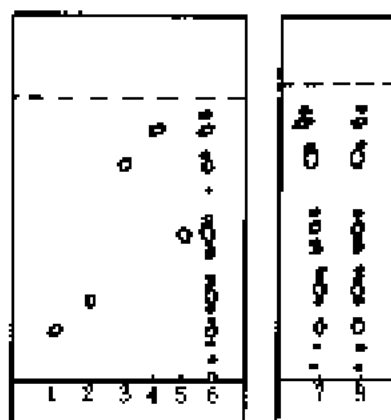
展开剂: 氯仿+甲醇+水 (体积比=65:35:100)

图 14-177 枸杞的 TLC 图^[10]

样 品: 5—对照品; 1~3—枸杞; 4—宁夏枸杞; 5—北方枸杞

薄层板: 硅胶 G

展开剂: 氯仿-丙酮 (体积比=5:1)

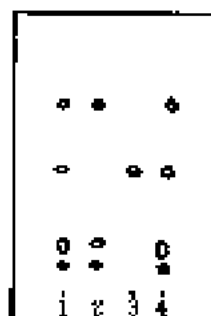
图 14-174 8种药物的 TLC 图^[101]

样 品: 1—吗啡; 2—可待因; 3—罂粟碱; 4—那可丁; 5—蒂巴因; 6—阿片酊; 7—阿片酊; 8—阿片酊

薄层板: 硅胶 G

展开剂: 苯-丙酮+甲苯+氨水 (体积比=18:1:0.8:0.25)

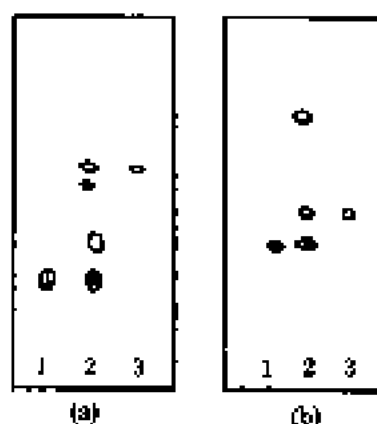
注: 那可丁 $R_f=0.83$; 罂粟碱 $R_f=0.72$; 蒂巴因 $R_f=0.51$; 可待因 $R_f=0.27$; 吗啡 $R_f=0.17$ 。

图 14-176 通尿灵口服液中厚儿茶素的 TLC 图^[51]

样 品: 1—供试液; 2—升麻空白对照液; 3—厚儿茶素对照液

固定相: 硅胶 G

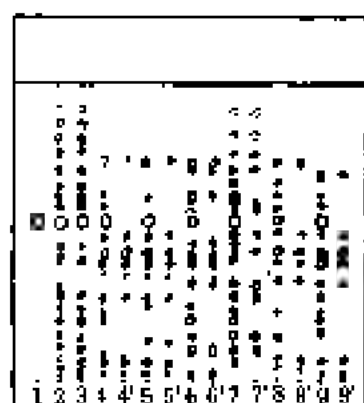
展开剂: 氯仿+丙酮+甲酸 (体积比=8:1:1)

图 14-178 黄芩的 TLC 图^[52]

样 品: 1—黄芩素对照品; 2—供试品; 3—黄芩空白对照

薄层板: 硅胶 G

展开剂: (a) 26% 乙酸; (b) 醋酸乙酯+丁酮+甲酸+水 (体积比=6:6:1:1)

图 14-179 黄芩类药物的 TLC 图^[10]

样品: 1—黄芩苷对照品; 2—黄芩; 3—酒黄芩; 4—棒黄片; 5—槐黄口服液; 6—中黄解毒片; 7—清风通圣丸; 8—清热解毒口服液; 9—双黄连口服液; 9'~9''—4~5 的阴性对照品

固定相: 薄层硅胶板

展开剂: SDS-正丁醇-正庚烷 (质量比=0.27:0.83:0.1)



斑点: 1— NO_2 -c1ccc(cc1)S(=O)(=O)CCOC(=O)C

2— NO_2 -c1ccc(cc1)S(=O)(=O)CCOC(=O)C

3— NO_2 -c1ccc(cc1)S(=O)(=O)CCOC(=O)C

展开剂: 石油醚+乙酸乙酯+二氯甲烷 (体积比=40:10:1)

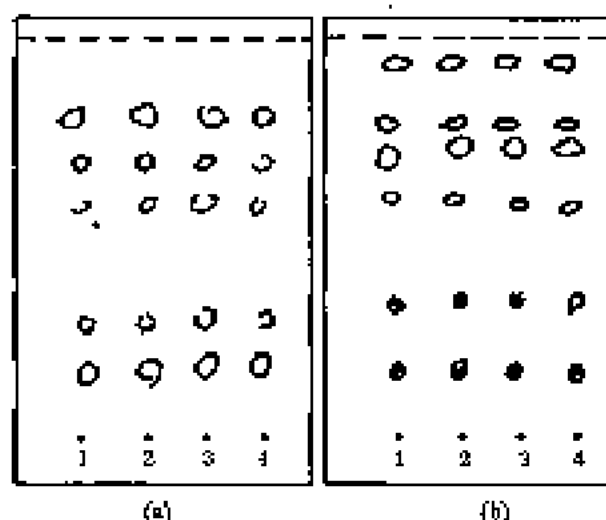
薄层板: 硅胶 GF₂₅₄

样品: 1—苯磺产蛋剂; 2—吐剂黄; 3—对羟基苯甲酰胺

薄层板: RP-18F₂₅₄

展开剂: 四氢呋喃+水 (体积比=40:54, 含 0.1% TBA)

图 1

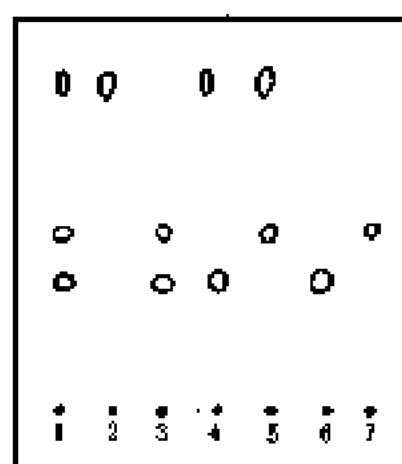
图 14-181 苯剂子的反相 TLC 图^[16]图 14-182 鉴别土木香 TLC 图^[10]

样品: 1—内蒙古蒙药厂; 2—内蒙古蒙药厂附属医院; 3—内蒙古蒙药厂研究所; 4—样品

薄层板: 硅胶 G+0.5% CMC-Na

展开剂: 石油醚+乙酸乙酯+苯 (体积比=12.5:7:7)

显色剂: (a) UV (254nm); (b) 5% 香草醛硫酸溶液

图 14-183 鉴别日-顺-4 烯基定的 TLC 谱图^[10]

样品: 1—试样; 2—黄芩 (+); 3—黄芩 (-); 4—黄柏 (-); 5—栀子 (-); 6—栀子 (-); 7—栀子标准品溶液

薄层板: 硅胶 GF₂₅₄

展开剂: 氯仿+甲醇+25% 氨水 (体积比=4:1:0.05)

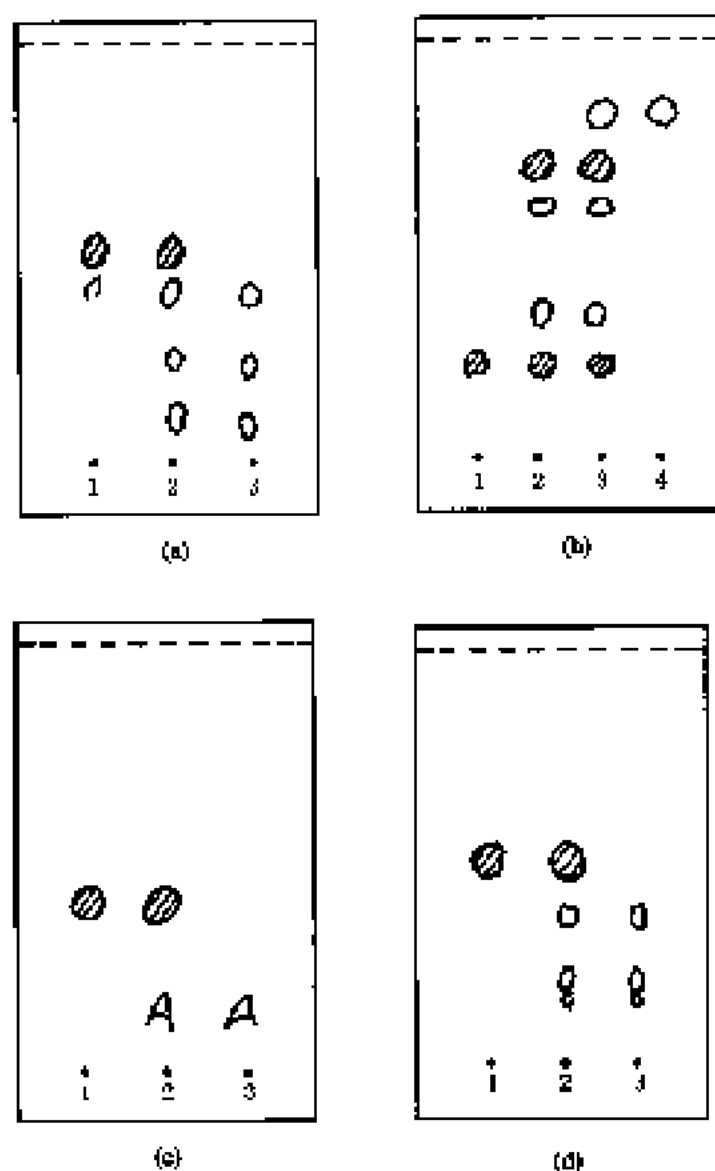


图 14-134 蒙药四味土木香散组成草药的 TLC 图^{[3][4]}

a. 土木香; b. 苦参; c. 珍珠母; d. 山麦

样品: (a) 1—土木香对照液; 2—模拟样品供试液; 3—空白对照液; (b) 1—氧化苦参碱标准对照品; 2—苦参对照液; 3—模拟样品供试液; 4—空白对照液; (c) 1—珍珠母对照液; 2—模拟样品供试液; 3—空白对照液; (d) 1—山麦对照液; 2—模拟样品供试液; 3—空白对照液

薄层板: (a), (b), (d) 硅胶 G+0.5% CMC-Na; (c) 聚酰胺板

展开剂: (a) 石油醚+乙酸乙酯+苯 (体积比=15:5:5); (b) 石油醚+乙酸乙酯+苯 (体积比=10:5:5); (c) 石油醚+乙酸乙酯+苯 (体积比=8:4:4); (d) 石油醚+乙酸乙酯+苯 (体积比=12:5:7)

显色剂: (a) 5%香草醛硫酸溶液; (b), (d) UV (254nm); (c) 氨气熏后, UV (254nm)

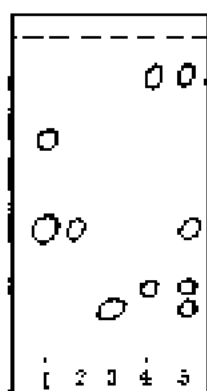


图 14-186 聚药嘴古拉-4 新的 TLC 图^[40]
 色谱峰: 1—小茴香; 2—草果; 3—木香; 4—丁香; 5—嘴古拉-4 新
 固定相: 硅胶
 展开剂: 石油醚-乙酸乙酯-正己烷 (体积比=9:1:17)

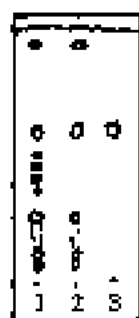


图 14-187 槟榔四消丸中大黄素的 TLC 图^[40]
 色谱峰: 1—样品; 2—阴性对照品; 3—对照品
 固定相: 硅胶高效薄层板
 展开剂: 甲苯-乙酸乙酯-甲酸 (体积比=15:2:1)

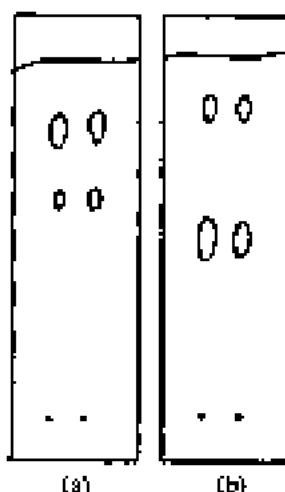


图 14-189 芳香醇酯药物对应体拆分 TLC 图^[40]
 色谱峰: (a) 拉贝乐尔; (b) 舒他乐克
 固定相: 硅胶 GF₂₅₄
 展开剂: (a) 二氯甲烷+甲醇 (体积比=67:33) 含 $6.8 \text{ mmol} \cdot \text{L}^{-1}$ D-10-樟脑磺酸盐
 (b) 二氯甲烷+甲醇 (体积比=60:40) 含 $6.8 \text{ mmol} \cdot \text{L}^{-1}$ D-10-樟脑磺酸盐

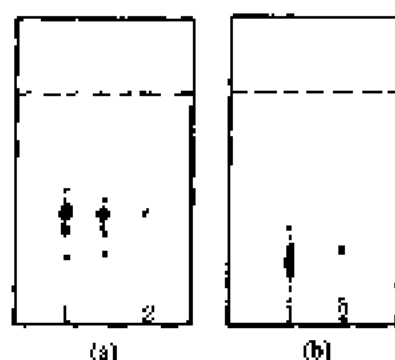


图 14-188 诺氟沙星不同方法处理下的 TLC 图^[40]
 样品: 1—诺氟沙星 ($25 \mu\text{g}$); 2—二甲氧甲氧酮和真药
 的诺氟沙星溶液
 薄层板: 硅胶 H
 展开剂: 氯仿+甲醇-乙酸乙酯+浓氨液 (体积比=15:10:2.5:3)
 注: (b) 按中国药典法

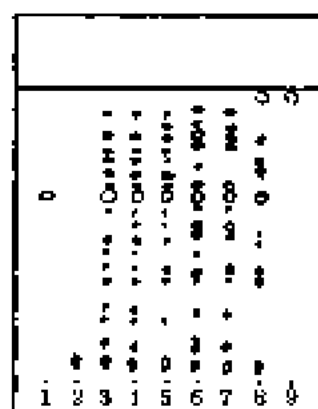


图 14-186 槐米类药物的 TLC 图^[40]
 样品: 1—芦丁对照品; 2—槲皮素对照品; 3—槐花; 4—槐米; 5—炒槐米; 6—槐角; 7—槐角炭; 8—复方芦丁片; 9—复方芦丁片阴性对照品
 固定相: 聚酰胺薄膜
 展开剂: $\text{SCS} + \text{正丁醇} + \text{正庚烷}$ (质量比=0.27:0.67:0.4)

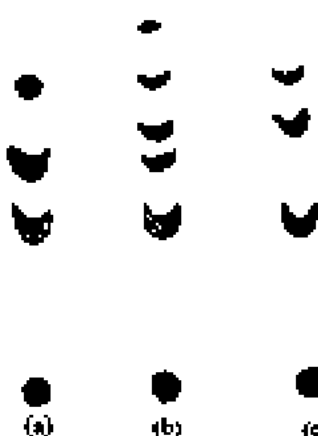
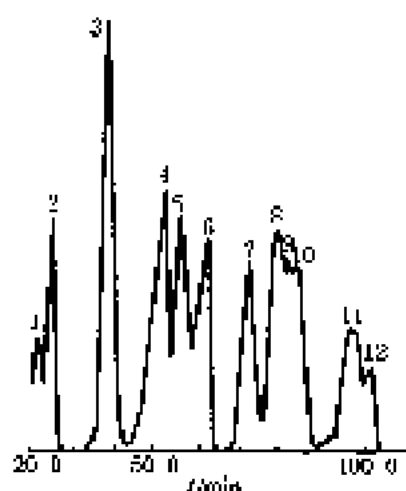
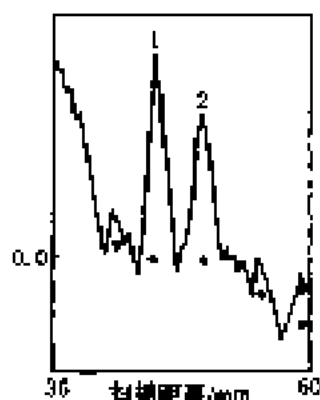


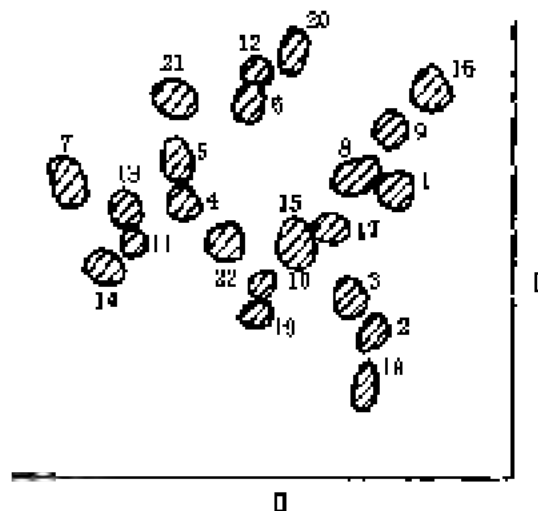
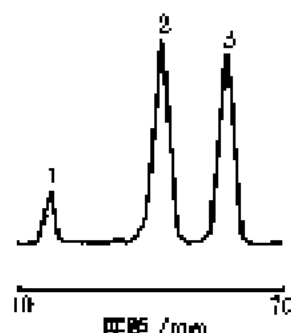
图 14-190 硝甲基化碱木质素分散剂的 TLC 图^[40]
 色谱峰: (a) DL5; (b) M-9; (c) Bexx-85A
 固定相: 硅胶 GF₂₅₄
 展开剂: 正丁醇-异丙醇+水 (体积比=8:10:8.5)

图 14-191 核苷类药物的 TLC 扫描图^[20]

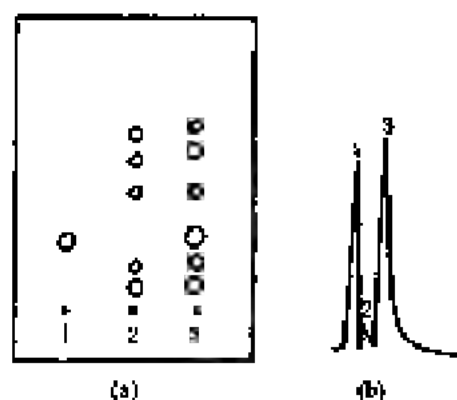
色谱峰: 1—磷酸腺苷原糖; 2—磷酸腺苷; 3—SG; 4—TMP; 5—SN; 6—二氢硫胺; 7—SP; 8—消旋腺; 9—SME; 10—SM₂; 11—周效硫胺; 12—叔碱丙酮
 固定相: 硅胶 GF₂₅₄+0.3% CMG-Na
 展开剂: 甲苯-甲醇-二氧乙烷+四氧化锇 (体积比=1:62:1:41:3:64:3:3)

图 14-193 腺嘌呤核苷和 6-氨基腺嘌呤的 TLC 扫描图^[21]

斑点: 1—腺嘌呤核苷; 2—6-氨基腺嘌呤
 薄板: 硅胶 GF₂₅₄, 100 mm×200 mm×0.5 mm, 110℃活化 1h
 展开剂: 正丁醇+异丙醇+氨水+水 (体积比=2:8:1:1)
 检测器: 紫外光片层析色层扫描

图 14-195 碱基-核苷类标准液的 2D-TLC 图^[22]图 14-192 核苷类药物的 TLC 图^[23]

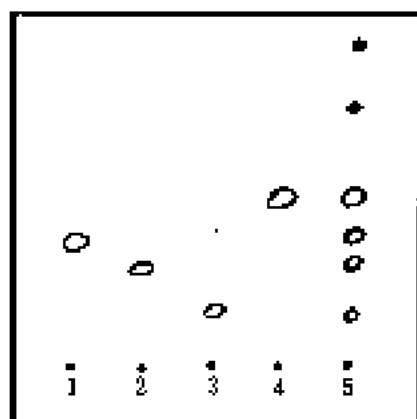
色谱峰: 1—TMP; 2—SD; 3—SME
 固定相: 硅胶 GF₂₅₄
 展开剂: 水饱和的乙酸乙酯+氨仿 (体积比=2:1)

图 14-194 血小板中血小板活化因子的 TLC 展开图^[24]

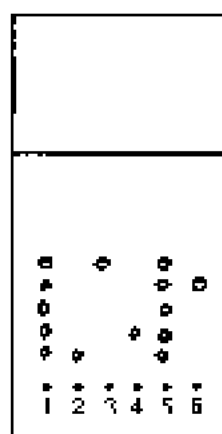
(a) 血小板裂解液展开图; (b) 血小板裂解液扫描图
 色谱峰: 1—标准品; 2—正常人血小板; 3—血小板患者的血小板
 固定相: 硅胶 G 板
 展开剂: 氯仿+甲醇+水 (体积比=45:35:5)
 显色剂: 100 μg·L⁻¹ 碘酞酮溶液
 扫描波长: 630 nm

斑点: 1—腺嘌呤 (A); 2—鸟嘌呤 (G); 3—黄嘌呤 (X); 4—次黄嘌呤 (HX); 5—尿嘧啶 (U); 6—胸腺嘧啶 (T); 7—胞嘧啶 (C); 8—氨基腺嘌呤 (m-A); 9—腺苷 (As); 10—鸟苷 (Gs); 11—尿苷 (Ud); 12—胸苷 (Td); 13—胞苷 (Cd); 14—腺苷苷 (Pod); 15—鸟苷 (Gd); 16—腺苷腺苷 (DoAs); 17—腺苷鸟苷 (DoGs); 18—尿苷 (Umc); 19—尿苷腺苷 (Urotus); 20—鸟苷腺苷 (Gmp); 21—尼克腺 (Niel); 22—腺苷 (Gs)

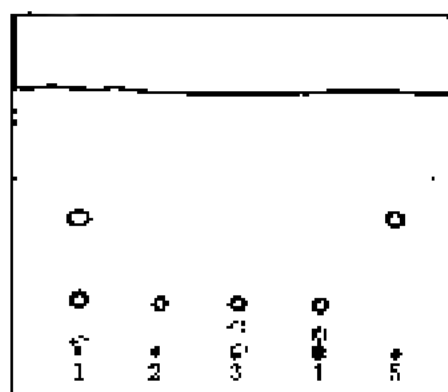
薄层板: 聚酰胺板-硅胶 G
 展开剂: 1—异丙醇+乙酸乙酯+甲醇+氨水+水 (体积比=10:6:2:6:87)
 2—异丙醇+饱和硫酸铵+水 (体积比=4:77:19)

图 14-196 银杏酚内酯的 TLC 图^[140]

样品: 1—GA, 2—GB, 3—GC, 4—BD, 5—EGb
 薄层板: 硅胶 G+0.5%CMC-Na (厚度比=3:10)
 展开剂: 乙酸乙酯—甲苯—丙酮—正己烷 (体积比=4:4:1:1)

图 14-197 盐酸四环素有关物质的 TLC 图^[141]

样品: 1—桂林市第三制药厂产盐酸四环素; 2—4-差内四环素对照品; 3—脱水四环素对照品; 4—4-差内脱水四环素对照品; 5—金霉素标准品; 6—盐酸四环素标准品
 薄层板: 微晶纤维素+5%乙二胺四乙酸二钠溶液
 展开剂: 5%乙二胺四乙酸二钠 (pH2.8) 饱和的正丁醇溶液
 显色: UV (365nm)

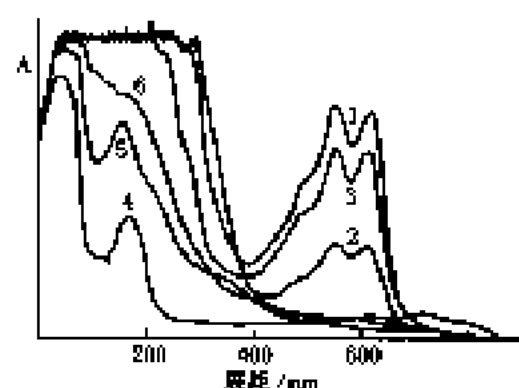
图 14-198 鹿药膏中乌头碱的 TLC 图^[142]

样品: 1—供试液; 2—乌头碱对照液; 3—川乌药材液
 对照: 4—草乌药材液对照; 5—对照样品液 (去川乌、草乌)

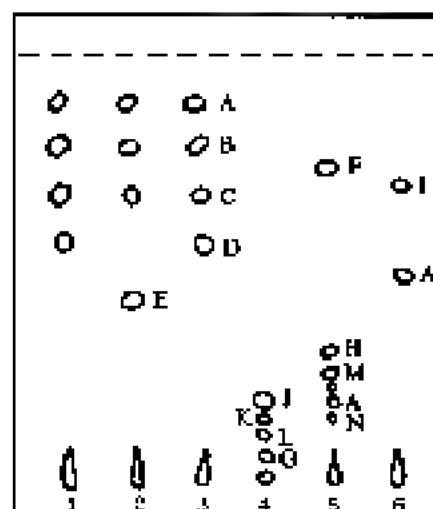
薄层板: 硅胶 G+0.5%CMC

展开剂: 石油醚+乙酸 (体积比=3:8)

显色剂: 稀碘化铋钾溶液



(a)



(b)

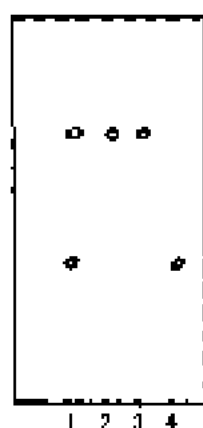
图 14-199 紫椴香及其混伪品的 TLC 图^[143]

(a) 可见紫外光谱图; (b) TLC 展开谱图

样品: (a) 1—紫椴香 (*Psittacopus indicus* Willd.) 对照品 (紫红色); 2—紫椴香 (*Psittacopus indicus* Willd.) 对照品 (紫红色); 3—紫椴香 (*Psittacopus indicus* Willd.) 对照品 (紫红色); 4—苏木 (*Cesalpinia sappan* L.); 5—降香 (*Dalbergia odorifera* T. Chen); 6—染色未知物

斑点: (b) A—紫红色; B—亮棕色; C—亮蓝色; D—浅蓝色; E—粉红色; F—亮蓝色; G—棕色; H—灰蓝色; I—黄色; J—浅蓝色; K—黄绿色; L—紫红色; M—黄绿色; N—红色

薄层板: 硅胶 G 展开剂: 氯仿+甲醇 (体积比=85:15)

图 14-200 硝苯地平注射液的 TLC 图^[100]

样 品: 1—光分解 5 天注射液; 2—标准溶液; 3—未光

分解注射液; 4—光分解 10 天注射液

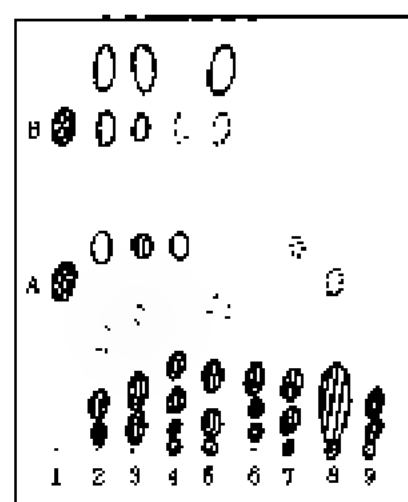
斑 点: A—硝苯地平斑点 (254nm); B—光解物斑点 (265nm)

薄层板: 硅胶 GF₂₅₄

展开剂: 苯+乙酸乙酯+二乙胺 (体积比=18:5:0.5)

显色条件: UV254nm; 365nm 照射

点样量: 15μl

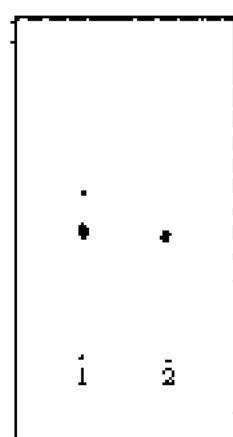
图 14-201 附子乙醚浸出物的 TLC 图^[28]

样 品: C—A. 乌头碱, B. 次乌头碱; 2—样品 10; 3—样品 18; 4—样品 9; 5—样品 8; 6—样品 11; 7—样品 12; 8—样品 13; 9—样品 14

薄层板: 氧化铝板

展开剂: 甲苯+水+氯仿+正己烷 (体积比=75:25:2:0.1)

显色剂: 碘蒸气



(a)



(b)



(c)



(d)

图 14-202 茶碱有关物质检测的 TLC 图^[101]

(a) (b) 薄层图; (c) (d) 对照液相色谱图

样 品: (a) 茶碱供试品和对照品; (b) 茶碱供试品和对照品及有关物质对照品

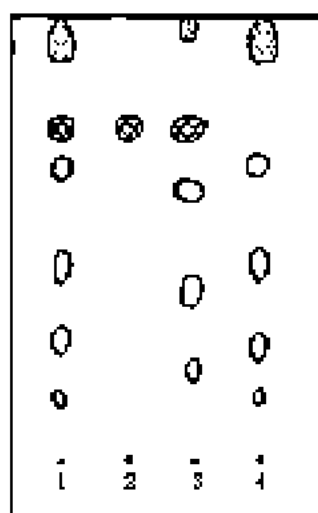
1—茶碱供试品; 2—茶碱对照品; 3—咖啡因对照品; 4—柯柯豆碱对照品; 5—对照品混合液

(c) 茶碱供试品; (d) 对照品

色谱峰: 1—茶碱; 2—杂质峰 (柯柯豆碱); 3—咖啡因

薄层板: 硅胶 GF₂₅₄ + 0.5% 羟甲基纤维素钠

展开剂: 丙酮+氯仿+甲醇+正丁醇+浓氨 (体积比=3:3:2:2:1)

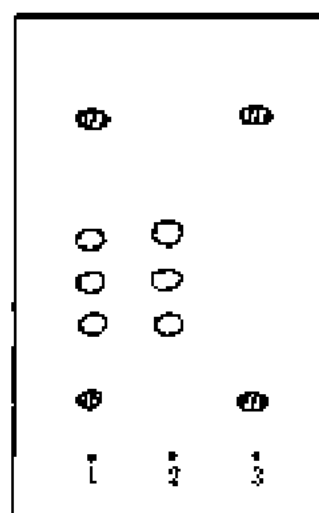
图 14-203 朕圣町中幌子检测的 TLC 图^[101]

样 品: 1—试样; 2—幌子对照; 3—幌子对照; 4—空白对照

薄层板: 硅胶 G+羧甲基纤维素

展开剂: 乙酸乙酯+丙酮+甲酸+水 (体积比=5:5:1:1)

显色剂: 硫酸乙醇溶液

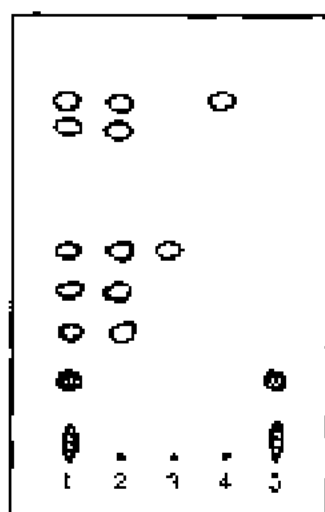
图 14-204 朕圣町中黄检测的 TLC 图^[101]

样 品: 1—朕圣町试样; 2—黄对照; 3—空白对照

薄层板: 硅胶 G+羧甲基纤维素

展开剂: 氯仿+无水乙醇+浓氨水 (体积比=30:2:0.5)

显色剂: 自然光下检视

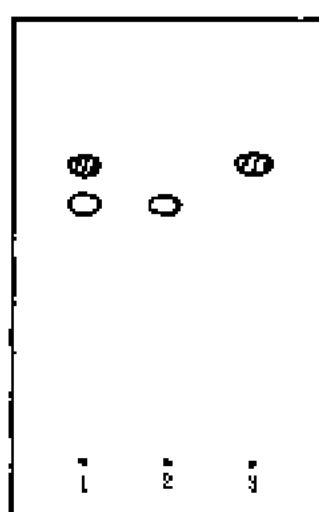
图 14-205 朕圣町中大黄检测的 TLC 图^[102]

样 品: 1—朕圣町试样; 2—大黄对照; 3—大黄素; 4—大黄酚; 5—空白对照

薄层板: 硅胶 G+羧甲基纤维素

展开剂: 石油醚+甲酸乙醇+甲酸 (体积比=15:5:1)

显色剂: 氨气

图 14-206 朕圣町中当归检测的 TLC 图^[103]

样 品: 1—试样; 2—当归对照; 3—空白对照

薄层板: 硅胶 G+羧甲基纤维素

展开剂: 正己烷+乙酸乙酯 (体积比=3:1)

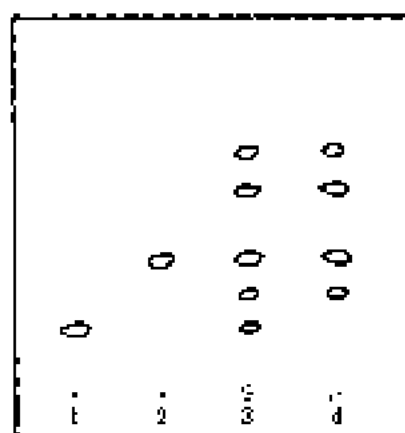


图 14-207 愈风宁心片中葛根素
测定的 TLC 图⁽¹⁾⁽²⁾

样 品：1—芦丁（内标），2—葛根素，3—样品（含内标），4—样品（不含内标）

薄层板：硅胶 GF₂₅₄

展开剂：乙酸乙酯+甲酸+水（体积比=8:1:1）

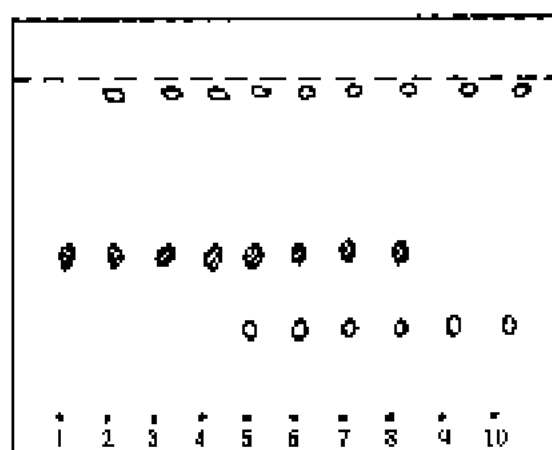


图 14-208 含益母草中成药中
水苏碱测定的 TLC 图⁽¹⁾⁽²⁾

样 品：1—水苏碱对照品溶液，2—益母草，3—益母草膏，4—益母草冲剂，5—益母草口服液，6—益母丸，7—益母冲剂，8—益母口服液，9—八珍益母丸，10—益母丸空白对照液

薄层板：硅胶 G+0.2%CMC-Na

展开剂：丙酮+无水乙醇+盐酸（体积比=10:8:1）

显色剂：改良碘化铋钾试液+1%三氯化铁无水乙醇溶液（5:1）

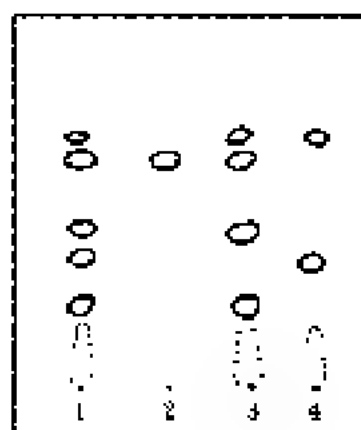


图 14-209 药物尿塞通的
TLC 图（一）⁽¹⁾⁽²⁾

样 品：1—药物尿塞通，2—丹参酮对照液，3—丹参药材液，4—丹参空白液

薄层板：硅胶 G+0.2%CMC-Na

展开剂：苯+乙酸乙酯（体积比=19:1）

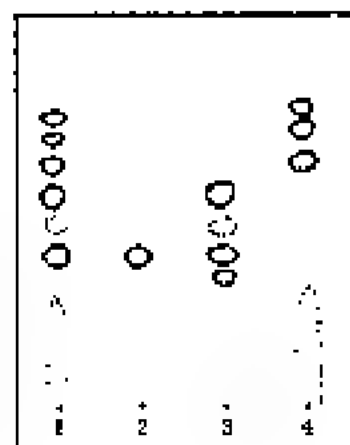
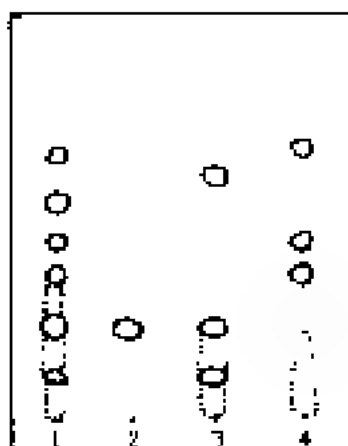


图 14-210 药物尿塞通的 TLC 图（二）⁽¹⁾⁽²⁾

样 品：1—尿塞通，2—盐酸小檗碱对照液，3—黄柏药材液，4—黄柏空白液

薄层板：硅胶 G+0.5%氢氧化钠

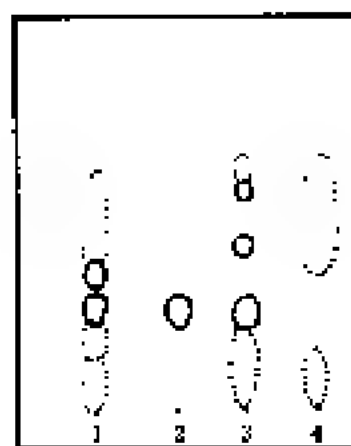
展开剂：氯仿+甲醇+水（体积比=13:5:2）

图 14-211 药物尿塞通的 TLC 图 (三)^[13]

样 品: 1—尿塞通; 2—呋喃苄标准液; 3—陈皮药材液;
4—陈皮空白液

薄层板: 硅胶 G + 0.5% NaH₂PO₄

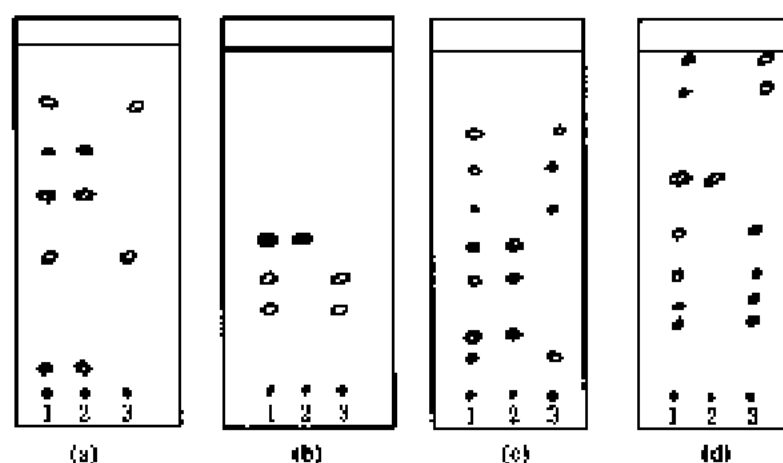
展开剂: 乙酸乙酯 + 甲醇 + 水 (体积比 = 100 : 17 : 13)

图 14-212 药物尿塞通的 TLC 图 (四)^[13]

样 品: 1—尿塞通; 2—呋喃苄标准液; 3—黄芩药材液;
4—黄芩空白液

薄层板: 硅胶 G

展开剂: 氯仿 - 乙酸乙酯 + 甲醇 + 甲酸 (体积比 = 20 :
2 : 3 : 5 : 0.1)

图 14-213 镇咳灵口服液中四种中草药的 TLC 图^[14]

(a) 射干; (b) 黄芩; (c) 桔梗; (d) 高良姜

样 品: 1—供试品; 2—相应的对照品溶液; 3—相应的空白对照溶液

薄层板: (a)、(b) 硅胶 G₂₅₄; (c)、(d) 硅胶 G₁

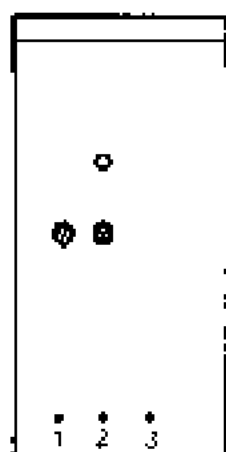
展开剂: (a) 氯仿 + 丙酮 + 甲酸 (体积比 = 4 : 2 : 1);

(b) 正戊醇 + 甲醇 + 甲酸 + 水 (体积比 = 7 : 1 : 1 : 1);

(c) 乙酸乙酯 + 甲醇 + 水 (体积比 = 4 : 1 : 1);

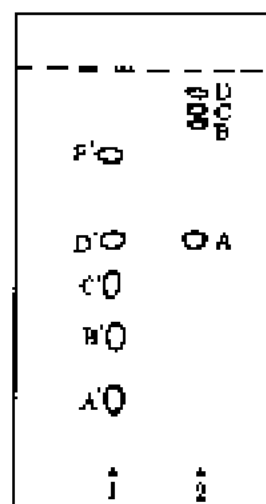
(d) 乙酸乙酯 + 环己烷 (体积比 = 9 : 1)

显色剂: (a)、(b) UV (254nm); (c) 10% 硫酸乙醇溶液; (d) 稀碘化铋钾溶液

图 14-214 姜黄素的 TLC 图^[352]

样 品: 1—对照品; 2—供试品粉末; 3—空白对照样液
薄层板: 硅胶 G

展开剂: 氯仿+甲醇+浓氨水 (体积比=20:5:0.5)

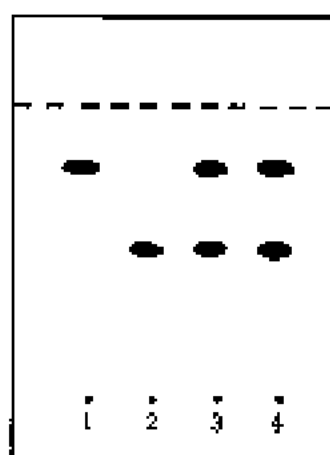
图 14-215 姜黄素和番红素的 TLC 图^[353]

样 品: 1—番红子; 2—姜黄子

斑 点: A—黄绿色; C—亮蓝色; B、D—暗红色; A'、B'、C'、E'—亮蓝色; D'—黄绿色

薄层板: 硅胶 G

展开剂: 甲苯+乙酸乙酯+甲醇 (体积比=5:5:3)

图 14-216 大鼠脑液中大黄酚和人参甙 R_{g1} 检测的 TLC 图^[354]

样 品: 1—大黄酚对照品; 2—人参甙 R_{g1} 对照品; 3—混合对照品; 4—供试品

薄层板: 硅胶 G

展开剂: 苯+乙酸乙酯 (体积比=3:1)

参 考 文 献

- 1 J Chrom Sci, 1989, 27, 537
- 2 Malik A, Jume K. Chromatographia, 1991, 31 (11/12): 561~568
- 3 J Chrom Sci, 1989, 27, 622
- 4 J Chrom Sci, 1993, 31, 154
- 5 J Chrom Sci, 1990, 28, 274
- 6 J Chrom Sci, 1992, 30, 113
- 7 J Chrom Sci, 1990, 28, 91
- 8 J Chrom Sci, 1990, 28, 218
- 9 J Chrom Sci, 1987, 25, 585

- 10 J Chrom Sci. 1989; 27: 415
- 11 J Chrom Sci. 1993; 31: 242
- 12 Veenhoj J L., Claude M., Rouzet R. *Chromatographie*, 1989; 27: 105
- 13 J Chrom Sci. 1992; 31: 138
- 14 J Chrom Sci. 1990; 28: 550
- 15 J Chrom Sci. 1988; 27: 267
- 16 J Chrom Sci. 1990; 28: 548
- 17 J Chrom Sci. 1993; 31: 107
- 18 J Chrom Sci. 1993; 31: 45
- 19 J Chrom Sci. 1993; 31: 66
- 20 J Chrom Sci. 1987; 26: 567
- 21 J Chrom Sci. 1987; 26: 178
- 22 J Chrom Sci. 1990; 28: 607
- 23 J Chrom Sci. 1987; 26: 89
- 24 J Chrom Sci. 1987; 26: 481
- 25 J Chrom Sci. 1988; 26: 244
- 26 Huang E C., BYU, Dept of Chemistry 106 ESC, Provo, UT, 84602
- 27 J Chrom Sci. 1989; 26: 194
- 28 J Chrom Sci. 1989; 27: 367
- 29 J Chrom Sci. 1990; 28: 48
- 30 J Chrom Sci. 1990; 28: 275
- 31 J Chrom Sci. 1990; 28: 135
- 32 J Chrom Sci. 1991; 29: 48
- 33 J Chrom Sci. 1987; 26: 179
- 34 J Chrom Sci. 1988; 26: 131
- 35 J Chrom Sci. 1988; 26: 360
- 36 J Chrom Sci. 1993; 26: 442
- 37 John R. P., David E. G., J Chromatogr. 1990; 640, 257
- 38 J Chrom Sci. 1993; 30: 295
- 39 Khorasani M. A., Taylor L. T., Henry R. A. *Chromatogr.* 1989; 28: 569
- 40 J Chrom Sci. 1990; 28: 538
- 41 J Chrom Sci. 1990; 26: 653
- 42 J Chrom Sci. 1993; 31: 581
- 43 J Chrom Sci. 1989; 27: 337
- 44 J Chrom Sci. 1991; 29: 274
- 45 J Chrom Sci. 1988; 26: 83
- 46 J Chrom Sci. 1988; 26: 45
- 47 J Chrom Sci. 1989; 27: 58
- 48 J Chrom Sci. 1991; 29: 139
- 49 J Chrom Sci. 1988; 26: 421
- 50 J Chrom Sci. 1993; 31: 846
- 51 Sekaki K., Hirata H. J Chromatogr. 1991; 586, 117
- 52 J Chrom Sci. 1991; 29: 462
- 53 Kunt M. P., Bryon J. T., Jerald D. B. *Anal Chem.* 1990; 62, 1379
- 54 J Chrom Sci. 1992; 30: 468
- 55 J Chrom Sci. 1988; 26: 540
- 56 J Chrom Sci. 1990; 28: 448

- 57 J Chrom Sci. 1987; 26: 424, 425
- 58 靳国华, 郑允东, 孙毓庆. 色谱, 1997; 15: 263
- 59 J Chrom Sci. 1991; 29: 369
- 60 J Chrom Sci. 1990; 28: 455
- 61 J Chrom Sci. 1991; 29: 173-177
- 62 葛保虎, 曹永民. 色谱, 1996; 14: 158
- 63 J Chrom Sci. 1998; 36: 228
- 64 J Chrom Sci. 1991; 29: 540
- 65 J Chrom Sci. 1987; 25: 1
- 66 J Chrom Sci. 1991; 29: 274
- 67 J Chrom Sci. 1991; 29: 324
- 68 John R P, David E G. J Chromatogr. 1991; 540: 239
- 69 于亚华, 李景清, 吴志英. 药物分析杂志, 1995; 15: 267
- 70 马翠英, 曹静, 陈福昌. 药物分析杂志, 1995; 15: 46
- 71 乌云, 李秉真, 田清华. 色谱, 1996; 14: 75
- 72 方静, 吕凤莲, 丁艳. 药物分析杂志, 1996; 16: 261
- 73 毛凤荣等. 药物分析杂志, 1995; 15: 340
- 74 王凤荣, 高静. 药物分析杂志, 1995; 15: 47
- 75 王梅等. 药物分析杂志, 1996; 16: 380
- 76 廖斌, 周润敏, 丁仲伯. 药物分析杂志, 2000; 20(2): 121
- 77 冯金娃, 孙金生. 色谱, 1994; 12: 380
- 78 冯金娃, 张生万, 张有智. 色谱, 1994; 12: 384
- 79 叶丰, 冯志刚, 徐宝荣. 色谱, 1996; 14: 317
- 80 白敬忠, 关大卫. 药物分析杂志, 1995; 15: 47
- 81 刘玉琴, 倪保全, 白进龙. 药物分析杂志, 1999; 19(4): 275
- 82 石力夫, 邓晖昭, 吴柏生. 药物分析杂志, 1995; 15: 26
- 83 吕武清, 顾华荣. 药物分析杂志, 1996; 16: 197
- 84 孙文基, 赵晓文, 曹利华. 药物分析杂志, 1996; 16: 59
- 85 吴有光, 赵德海, 吴飞. 色谱, 1996; 14: 259
- 86 张丁忠, 戴文敬. 药物分析杂志, 1995; 15: 13
- 87 张燕, 曹静. 药物分析杂志, 1996; 16: 255
- 88 李高兰, 倪嘉斌, 韩国生. 色谱, 1999; 17: 215
- 89 李怀群, 毕厚坤, 刘筱琦. 色谱, 1997; 15: 425
- 90 李育翠, 韩郁薇, 钟化人. 药物分析杂志, 1996; 16: 334
- 91 李琦琦, 李敏华, 何金山. 药物分析杂志, 1996; 16: 28
- 92 李雪文, 罗淑荣. 色谱, 1995; 13: 277
- 93 杨洪虎, 罗后芳. 药物分析杂志, 1995; 15: 17
- 94 杨海英, 方霞. 药物分析杂志, 1996; 16: 35
- 95 沈永寿. 色谱, 1997; 15: 388
- 96 邱敏, 崔升德, 孙康庆. 色谱, 1996; 14: 211
- 97 陈心慧, 刘云. 药物分析杂志, 1996; 16: 503
- 98 郑德光等. 药物分析杂志, 2000; 20(1): 65
- 99 陈兴超, 徐国柏, 王强. 药物分析杂志, 1998; 18: 311
- 100 张树彪, 丁厚春, 尹卫红. 分析化学, 1999; 27(1): 137
- 101 陈峰挺, 茅力, 陈小菁. 色谱, 1991; 9: 377
- 102 罗光明, 杨武亮, 魏平文. 药物分析杂志, 1995; 15: 338
- 103 金向群, 王莹. 药物分析杂志, 1996; 16: 112

- 104 姜世贤, 何晓真, 郭刚华. 药物分析杂志, 1985, 15, 46
- 105 胡之德, 张彦生. 色谱, 1985, 3, 191
- 106 赵玉兰, 李楠, 唐公. 色谱, 1996, 14, 248
- 107 张光东, 孙耀庆, 于云鹏. 色谱, 1992, 10, 103
- 108 郭文新, 和建国. 药物分析杂志, 1995, 15, 54
- 109 曹银虎, 郭治安, 孙明新. 色谱, 1985, 3, 184
- 110 曹银虎, 曹永昆. 色谱, 1996, 14, 158
- 111 靳国平, 张光东, 孙耀庆. 色谱, 1997, 15, 253
- 112 王寒, 张新江, 胡晓刚等. 色谱, 1999, 17(6), 591
- 113 李高兰, 黄嘉斌, 吴国梅等. 色谱, 1999, 17(3), 215
- 114 刘超英, 陈冠容. 药物分析杂志, 1993, 13(3), 314
- 115 王力, 刘殿平, 王飞等. 药物分析杂志, 1994, 14(1), 55
- 116 闵庆旺. 药物分析杂志, 1994, 14(1), 67
- 117 林 霞, 严厚喜, 鲁鲁. 药物分析杂志, 1994, 14(2), 27
- 118 苏 蕾, 王宝来. 药物分析杂志, 1994, 14(2), 35
- 119 白武龙. 药物分析杂志, 1994, 14(2), 49
- 120 张延齐, 祝玉露. 药物分析杂志, 1994, 14(2), 43
- 121 张 玲, 于永刚, 于宝国等. 药物分析杂志, 1996, 16(3), 185
- 122 乐佳, 周航. 药物分析杂志, 1996, 16(3), 193
- 123 袁泽乾. 药物分析杂志, 1994, 14(6), 25
- 124 冯志成, 杜增辉, 牛秀华. 药物分析杂志, 1994, 14(6), 36
- 125 郝国盛, 胡爱兰, 仲化人. 药物分析杂志, 1997, 17(4), 259
- 126 赵中华, 吕 晶. 梁维群等. 药物分析杂志, 1997, 17(4), 286
- 127 顾 华, 夏文娟, 方耀雄. 药物分析杂志, 1995, 15(4), 6
- 128 周文森, 董 格. 药物分析杂志, 1995, 15(4), 41
- 129 刘 冠, 徐景仁, 郑瑞珍. 药物分析杂志, 1996, 16(1), 33
- 130 梁世贤, 何晓真, 郭刚华等. 药物分析杂志, 1995, 15(4), 48
- 131 王凤英, 高 静. 药物分析杂志, 1995, 15(3), 47
- 132 金斌. 药物分析杂志, 1998, 18(4), 173
- 133 王映强, 胡明森, 周晓林等. 药物分析杂志, 1998, 18(3), 176
- 134 李汉丰, 杨明鑫. 药物分析杂志, 1998, 18(3), 207
- 135 梁华新, 李德友. 药物分析杂志, 1998, 18(3), 207
- 136 陈 杰, 廖德康, 侯国敏. 药物分析杂志, 1997, 17(5), 415
- 137 张继民. 药物分析杂志, 1995, 15(1), 33
- 138 马 斌, 罗淑东. 药学学报, 1992, 27(12), 934
- 139 马翠英, 陈德晋, 马光福. 药物分析杂志, 1996, 16(2), 119
- 140 周曼平, 乐云敏, 周亚梅等. 药物分析杂志, 1998, 18(1), 37
- 141 徐高翔. 药物分析杂志, 1998, 18(6), 406
- 142 中华人民共和国药典·二部, 1995, 295
- 143 张 玲, 单卫华, 时延增. 药物分析杂志, 1997, 17(6), 408
- 144 周于平, 楼凤周, 郑卫平. 药物分析杂志, 1998, 18(5), 306

第十五章 毛细管电泳谱图

第一节 毛细管区带电泳谱图

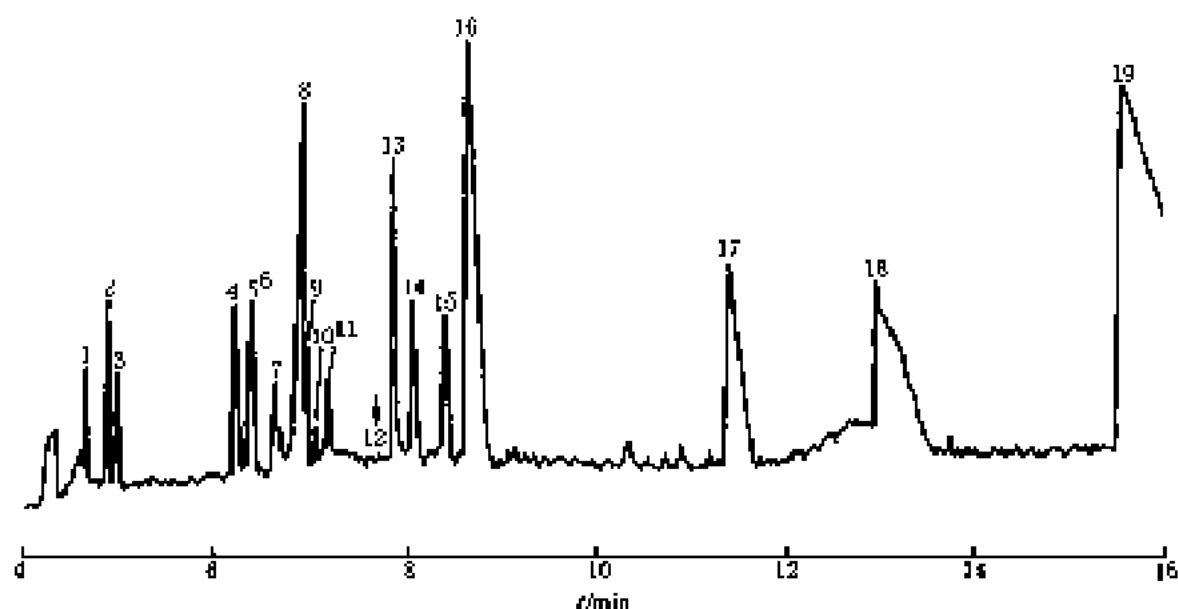


图 15-1 1,4-内酯与糖酸的电泳分离谱图^[1]

色谱峰：1—D-半乳糖酸-1,4-内酯；2—D-木糖酸-1,4-内酯；3— α -异己糖酸-1,4-内酯；4—D-赤糖酸-1,4-内酯；5—D-葡萄糖-1,4-内酯；6—L-甘露糖酸-1,4-内酯；7—D-核糖-1,4-内酯；8—奎宁酸；9— α 、 β -异己糖酸；10—D-葡萄糖酸；11—2-氨基-葡萄糖；12—D-核糖酸；13—D-赤糖酸；14—木糖酸；15—L-甘露糖酸+D-木糖酸；16—葡萄糖；17—D-苏糖酸；18—5-氨基-葡萄糖；19—葡萄糖二酸；20—酒石酸

毛细管柱：有效柱长 50 cm，全柱长 57 cm，内径 75 μ m，外径 375 μ m

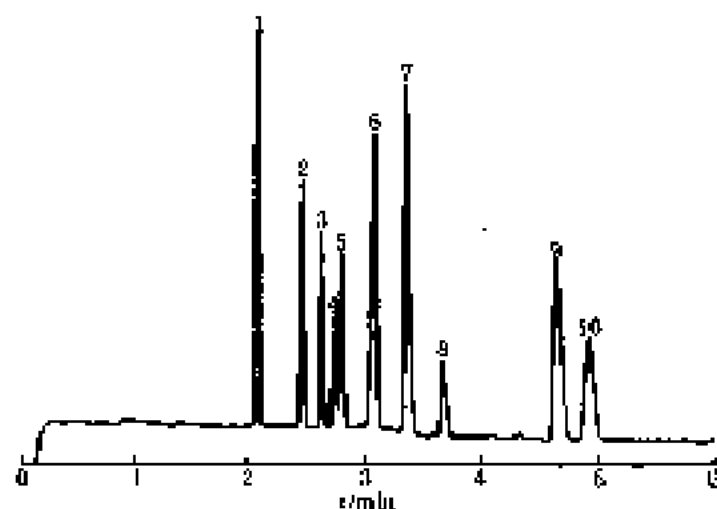
缓冲溶液：600 mmol/L H_2PO_4^- ，pH 7.0

进样：压力，5s

温度：30℃

电压：20 kV

检测器：紫外 200 nm



色谱峰：1— Br^- ；2— NO_3^- ；3— SeO_4^{2-} ；4— NO_2^- ；5— N_3^- ；6— $\text{Fe}(\text{CN})_6^{4-}$ ；7— MnO_4^{2-} ；8— WO_4^{2-} ；9— CrO_4^{2-} ；10— ReO_4^-

毛细管柱：有效柱长 33 cm，内径 50 μ m

缓冲溶液：10 mmol/L H_2PO_4^- ，pH 8.5

进样：40s

电压：-10 kV

检测器：紫外 (214 nm)

图 15-2 10 种无机阳离子的电泳分离谱图^[2]

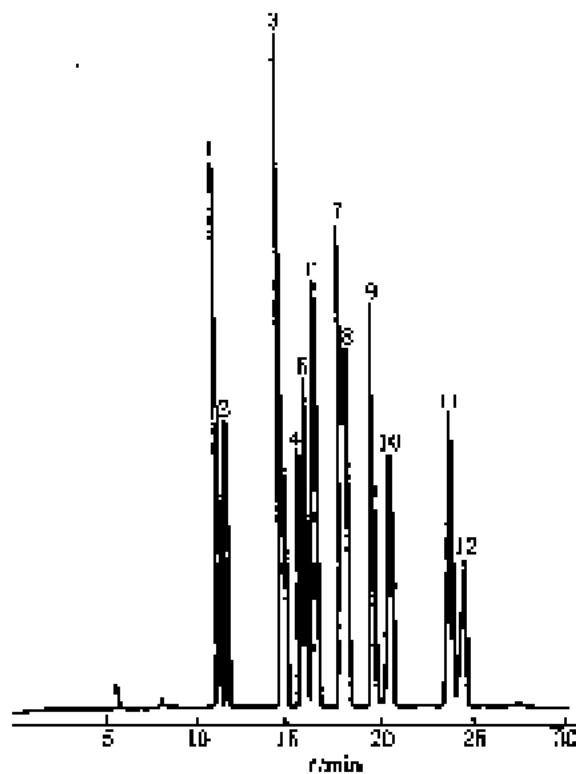


图 15-3 12 种 5'-核糖苷酸的电泳分离谱图(2)

色谱峰: 1—AMP; 2—CMP; 3—ADP; 4—GMP; 5—CDP; 6—ATP;
7—UMP; 8—CIP; 9—GDP; 10—GTP; 11—UDP; 12—UTP

毛细管柱: 有效柱长 60 cm, 总柱长 90 cm, 内径 75 μm

缓冲溶液: $50 \text{ mmol} \cdot \text{L}^{-1} \text{Na}_2\text{CO}_3 + \text{NaHCO}_3$ pH10

进样: 重力 10 cm 10s

电压: 18 kV

检测器: 紫外(254nm)

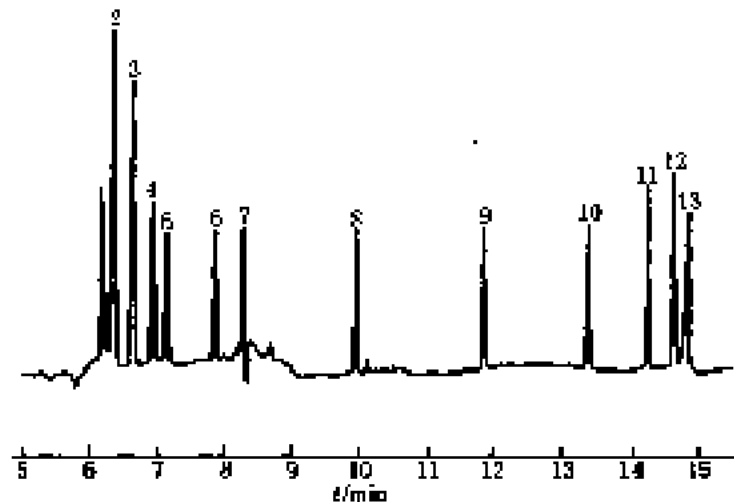


图 15-4 13 种氨基酸化合物电泳谱图(3)

色谱峰: 1—L-亮氨酸; 2—丙氨酸; 3—L-丙氨酸; 4—L-缬氨酸; 5—L-异丙氨酸; 6—L-丙氨酸; 7—L-异丁氨酸; 8—L-缬氨酸; 9—L-亮氨酸; 10—L-缬氨酸; 11—L-亮氨酸; 12—L-缬氨酸; 13—L-亮氨酸

毛细管柱: 有效柱长 50 cm, 总柱长 75 cm, 内径 75 μm

缓冲溶液: 缓冲溶液 $0.75 \text{ mmol} \cdot \text{L}^{-1} \text{resonance}$ & $5 \text{ mmol} \cdot \text{L}^{-1} \text{Na}_2\text{PO}_4$ $10 \text{ mmol} \cdot \text{L}^{-1} \text{Na}_2\text{B}_4\text{O}_7$ 10% 乙醇 pH8.5

电压: 20 kV

检测器: 激光散射光 ($\lambda_{\text{ex}} = 325 \text{ nm}$, $\lambda_{\text{em}} = 389 \text{ nm}$)

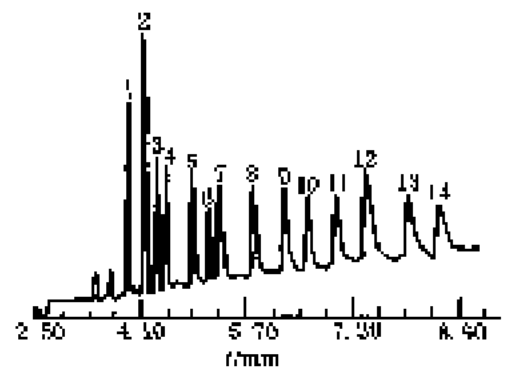


图 15-5 14 种稀土离子的毛细管电泳分离谱图(4)

色谱峰: 1—La; 2—Ce; 3—Pr; 4—Nd; 5—Sm; 6—Eu; 7—Gd; 8—Tb; 9—Dy; 10—Ho; 11—Er; 12—Yb; 13—Yb; 14—La

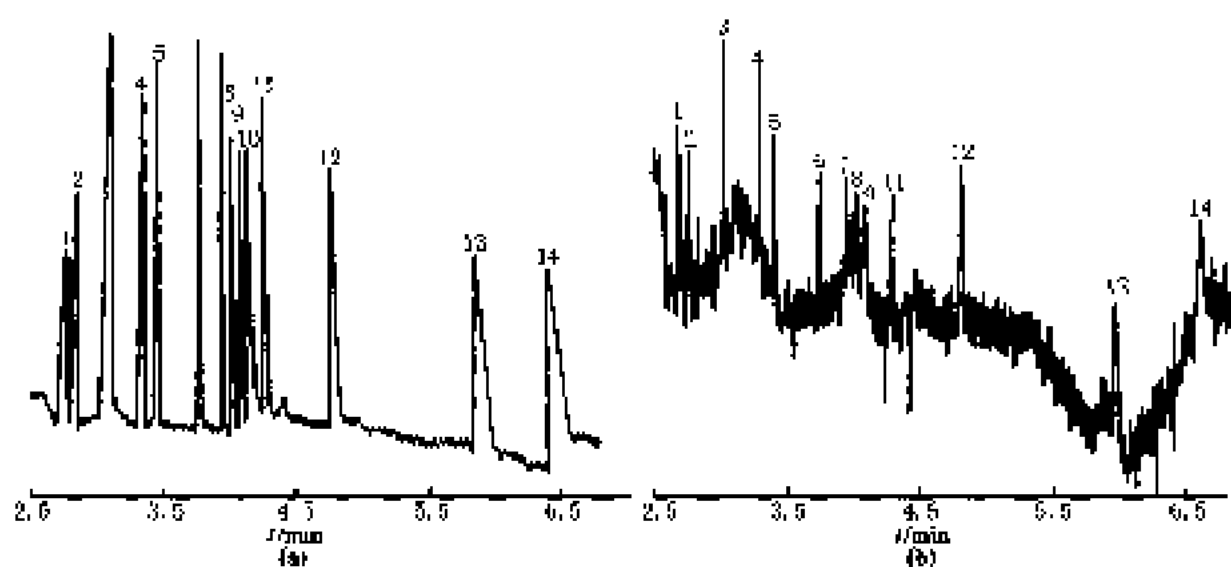
毛细管柱: 有效柱长 30 cm, 总柱长 36 cm, 内径 60 μm , 外径 350 μm

缓冲溶液: $0.07 \text{ mol} \cdot \text{L}^{-1}$ 咪唑, $8 \text{ mmol} \cdot \text{L}^{-1}$ α -羟基丁酸, pH3.4

进样: 21 kPa \cdot s

电压: 10 kV

检测器: 同紫外(210nm)

图 15-6 14 种阴离子的电泳分离谱图^[5]

色谱峰: 1—溴离子, 2—氟离子, 3—硝酸根离子, 4—砷酸根, 5—氯酸根, 6—丙二酸根, 7—偏亚砷酸根, 8—亚硫酸根, 9—甲酸根, 10—柠檬酸根, 11—琥珀酸根, 12—邻苯二甲酸根, 13—碘离子, 14—硫酸根

毛细管柱: 有效柱长 9 m, 总柱长 70 cm, 内径 75 μ m

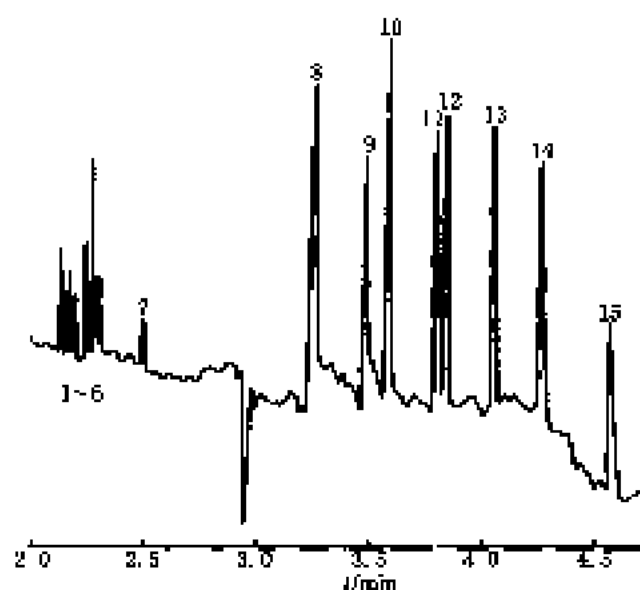
缓冲溶液: 0.5 mmol \cdot L⁻¹ ITS, 2.67 mmol \cdot L⁻¹ Bis-Tris, pH6.8

进样: 压力, 0.5a

温度: 30°C

电压: -50 kV

检测器: 紫外(214nm)

图 15-7 15 种阴离子的电泳分离谱图^[7]

色谱峰: 1—溴离子, 2—氟离子, 3—碘离子, 4—亚硝酸根离子, 5—硫酸根离子, 6—硝酸根, 7—氯酸根离子, 8—砷酸根, 9—乙酸钠, 10—乙基磺酸根, 11—丙酸根, 12—丙磺酸根, 13—丁磺酸根, 14—戊磺酸根, 15—己磺酸根

毛细管柱: 有效柱长 50 cm, 总柱长 80 cm, 内径 75 μ m

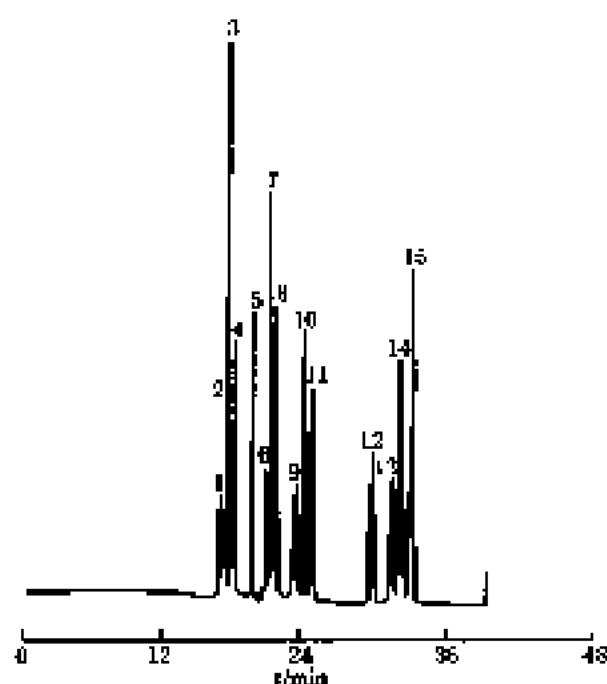
缓冲溶液: 5 mmol \cdot L⁻¹ 醋酸, 5 mmol \cdot L⁻¹ 羟基苯磺酸, 50 mmol \cdot L⁻¹ DEA, 0.5 mmol \cdot L⁻¹ TTAOH pH9.20

进样: 重力, 10 cm, 10s

温度: 25°C

电压: -25 kV

检测器: 紫外(254nm)

图 15-8 15 种核苷酸的电泳分离谱图^[10]

色谱峰: 1—UTP; 2—CTP; 3—ATP; 4—GTP; 5—UDP; 6—CDP; 7—ADP; 8—GDP; 9—XMP; 10—UDP-葡萄糖; 11—ADP-核糖; 12—UMP; 13—CMP; 14—AMP; 15—GMP

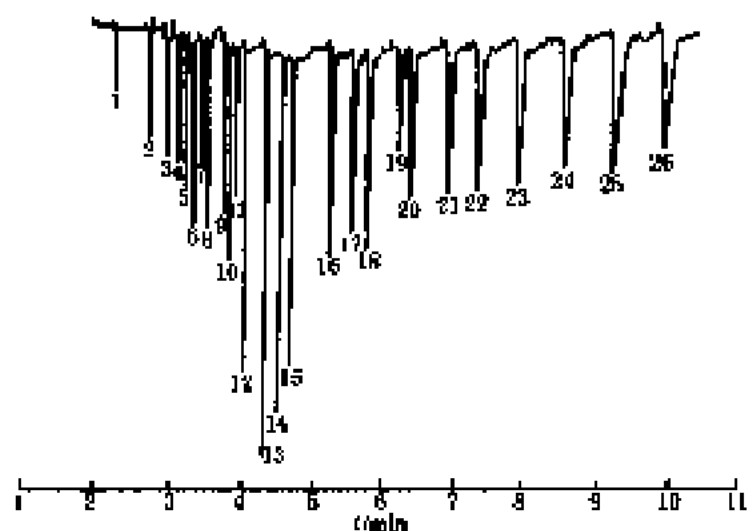
毛细管柱: 有效长度 30 cm, 总长度 40 cm, 内径 75 μm , U_{eff} 涂层

缓冲液: $50 \text{ mmol} \cdot \text{L}^{-1}$ Tris-HCl, $30 \text{ mmol} \cdot \text{L}^{-1}$ 磷酸盐 pH5.28

进样: 电动进样

电压: 20 kV

检测器: 紫外 (254 nm)

图 15-9 26 种金属离子的电泳分离谱图^[11]

色谱峰: 1— K^+ ; 2— Ba^{2+} ; 3— Ca^{2+} ; 4— Na^+ ; 5— Mg^{2+} ; 6— Mn^{2+} ; 7— Fe^{2+} ; 8— Co^{2+} ; 9— Ni^{2+} ; 10— Zn^{2+} ; 11— Li^+ ; 12— La^{3+} ; 13— Ce^{3+} ; 14— Pr^{3+} ; 15— Nd^{3+} ; 16— Sm^{3+} ; 17— Eu^{2+} ; 18— Gd^{3+} ; 19— Cu^{2+} ; 20— Tb^{3+} ; 21— Dy^{3+} ; 22— Ho^{3+} ; 23— Er^{3+} ; 24— Tm^{3+} ; 25— Yb^{3+} ; 26— Lu^{3+}

毛细管柱: 柱长 90 cm, 内径 75 μm

缓冲液: $6 \text{ mmol} \cdot \text{L}^{-1}$ DBA, $4.8 \text{ mmol} \cdot \text{L}^{-1}$ HIBA, 乙酸调至 pH5.0, $0.8 \text{ mmol} \cdot \text{L}^{-1}$ Triton-K

进样: 9.8 cm, 5s

电压: $500 \text{ V} \cdot \text{cm}^{-1}$

检测器: 间接紫外 (214 nm)

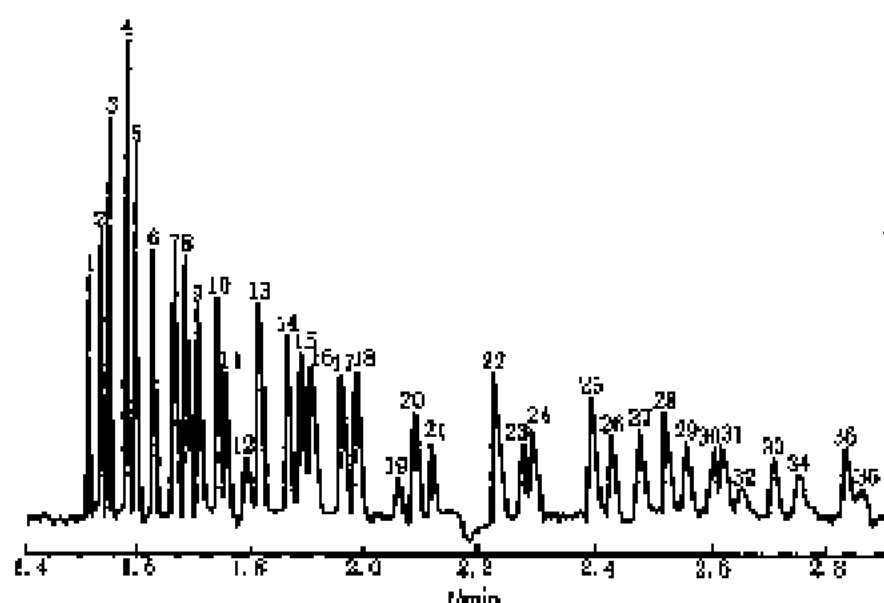


图 15-10 36 种阴离子快速分离谱图

色谱峰: 1—硫代硫酸根; 2—溴离子; 3—氟离子; 4—硫酸根; 5—亚硫酸根; 6—硝酸根; 7—硝酸根; 8—氯离子; 9—磷酸根; 10—氨基磺酸根; 11—氯酸根; 12—柠檬酸根; 13—氟离子; 14—甲酸根; 15—碳酸根; 16—亚硫酸根; 17—亚硫酸根; 18—戊二酸根; 19—邻苯二甲酸根; 20—半乳糖酸根; 21—葡萄糖根; 22—乙酸根; 23—氯乙酸根; 24—乙磺酸根; 25—丙磺酸根; 26—四磺酸根; 27—DL-天冬氨酸根; 28—丁磺酸根; 29—丁磺酸根; 30—丁磺酸根; 31—戊磺酸根; 32—苯甲酸根; 33—L-谷氨酸根; 34—戊磺酸根; 35—D-葡萄糖根; 36—D-半乳糖酸根

毛细管柱: 有效长度 52 cm, 总长度 60 cm, 内径 50 μ m

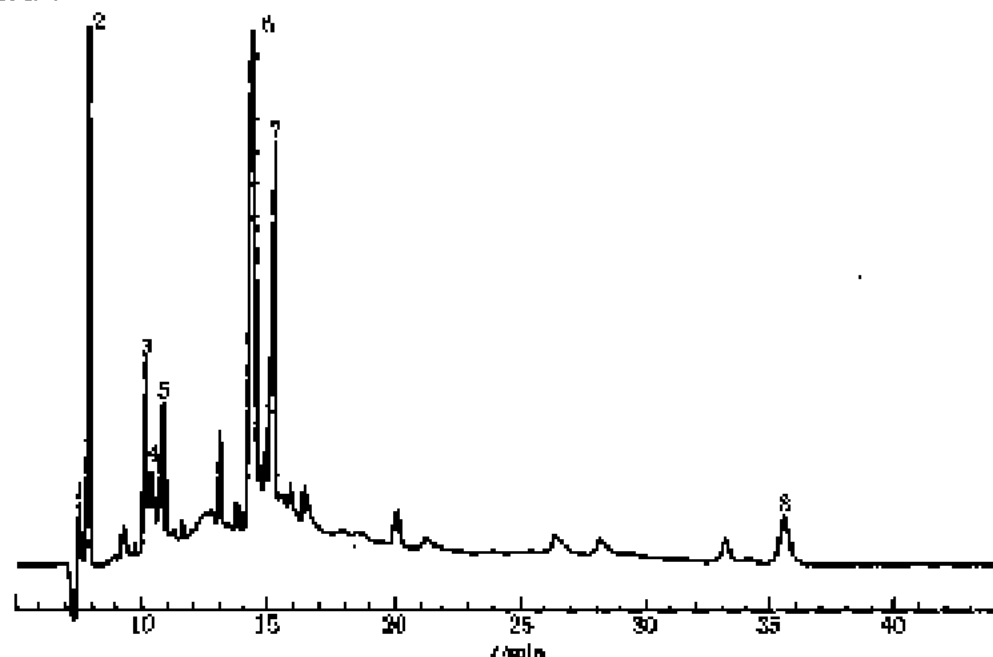
缓冲液: 5 mmol/L Na_2CO_3 , 0.4 mmol/L UFM , pH8.0

进样: 虹吸进样 30s

温度: 室温

电压: 30 kV

检测器: 间接紫外(254nm)

图 15-11 绿茶的电泳分离谱图^[11]

色谱峰: 1—可儿酮; 2—咖啡因; 3—EGC; 4—儿茶素; 5—EC; 6—EGCG; 7—ECG; 8—咖啡因

毛细管柱: 有效柱长 56 cm, 总柱长 64.5 cm, 内径 50 μ m

缓冲液: 50 mmol/L 硼酸钠, 10%乙醇, pH8.0

进样: 5kPa, 15s

温度: 26°C

电压: 50 kV

检测器: 紫外(278nm)

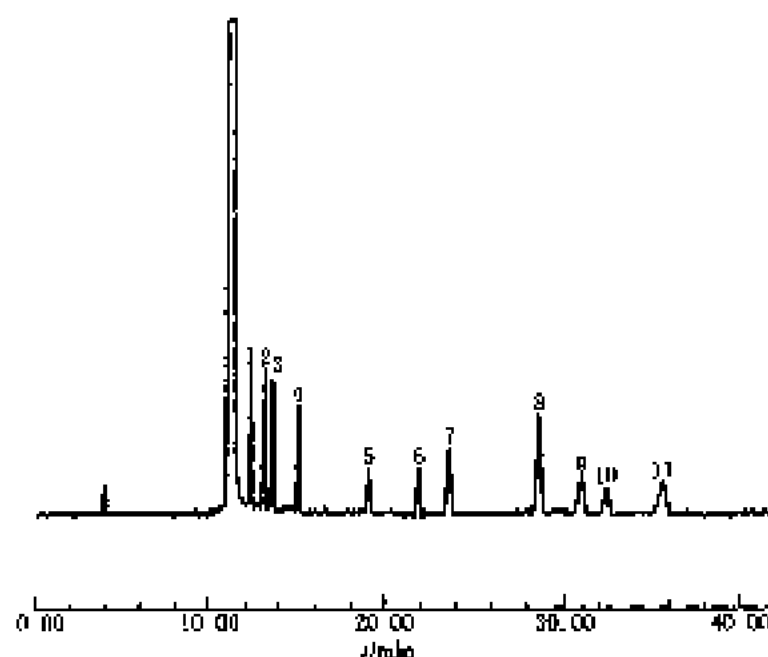


图 15-12 $S-(+)$ -NBD-PyNCS 衍生化氨基酸对映体的电泳分离谱图^[14]

色谱峰: 1—Leu; 2—D-Leu; 3—L-Val; 4—D-Val; 5—L-Ala; 6—D-Ala; 7—L-Pro; 8—D-Pro; 9—L-Glu; 10—D-Glu; 11—D-Asp

毛细管柱: 柱长 60 cm, 内径 50 μ m

缓冲溶液: 25 mmol \cdot L⁻¹ 乙酸盐, pH4.0, 10 mmol \cdot L⁻¹ Tris 和 X 100

进样: 高压 3s

电压: 30 kV

检测器: 激光诱导荧光 ($\lambda_{ex}=488nm$, $\lambda_{em}=520nm$)

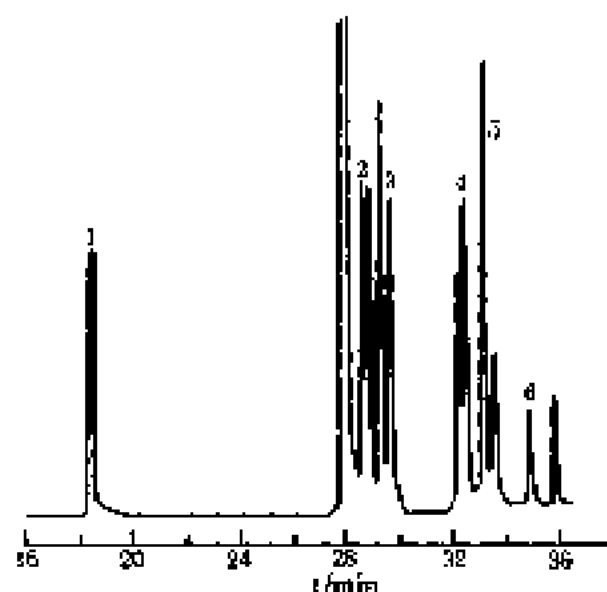


图 15-13 Cy5 标记氨基酸的电泳手性分离谱图^[12]

色谱峰: 1—谷氨酸, 2—丙氨酸, 3—缬氨酸, 4—苯丙氨酸, 5—酪氨酸, 6—色氨酸

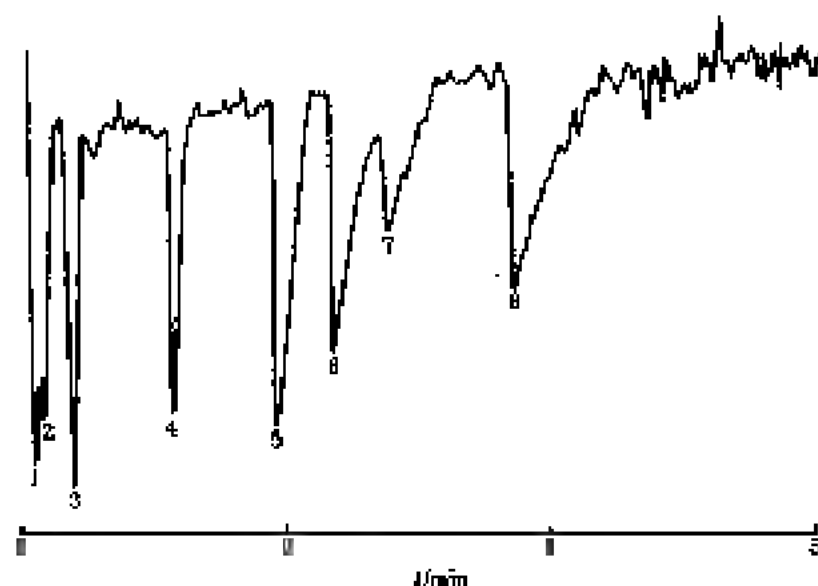
毛细管柱: 内径 50 μ m, 外径 575 μ m

缓冲溶液: 10 mmol \cdot L⁻¹ 磷酸盐缓冲液 (pH7.0), 1% PVP, 50 mmol \cdot L⁻¹ β -CD

进样: 重力进样

电压: 25 kV

检测器: 激光诱导荧光

图 15-14 有机酸的 CZE 分离谱图^[14]

色谱峰: 1—丙酸; 2—乙酸; 3—抗坏血酸; 4—乳酸; 5—甲酸; 6—柠檬酸; 7—苹果酸; 8—酒石酸

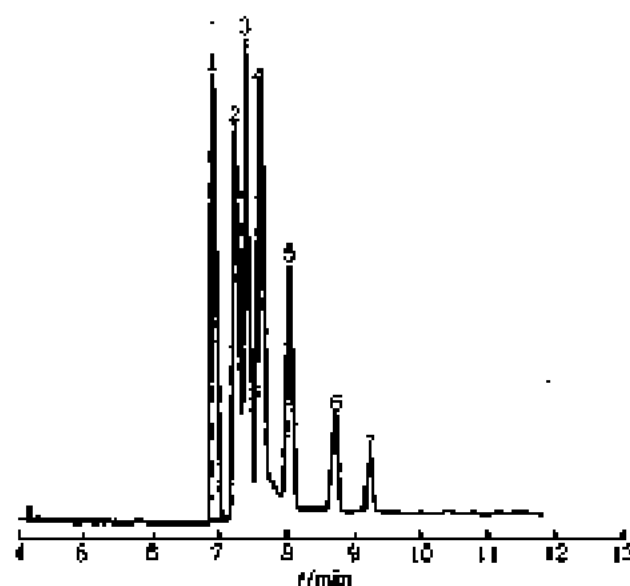
毛细管柱: 有效柱长 30 cm, 总柱长 35 cm, 内径 75 μm , 外径 365 μm

缓冲溶液: $5 \text{ mmol} \cdot \text{L}^{-1}$ 8-羟基-喹啉-5-磺酸 pH3.00

流速: $1 \text{ kV} \cdot 2 \mu\text{A}$

电压: 20 kV

检测器: 间接紫外(280nm)

图 15-15 植物酸的 CZE 分离谱图^[15]

色谱峰: 1—苹果酸; 2—芥子酸; 3—阿魏酸; 4—咖啡酸; 5—*p*-香豆酸; 6—*m*-香豆酸; 7—*o*-香豆酸

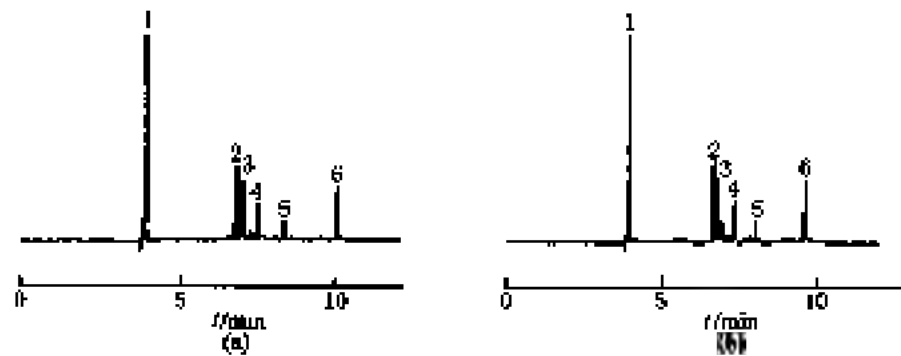
毛细管柱: 柱长 64.5 cm, 内径 50 μm

缓冲溶液: $20 \text{ mmol} \cdot \text{L}^{-1} \text{Na}_2\text{PO}_4$ (pH7.0)

温度: 40°C

电压: 25 kV

检测器: 紫外(280nm)

图 15-16 蝇毒水剂物的 CZE 分离谱图^[16]

色谱峰: 1—电渗流标准物; 2—3, 4—二甲氧基肉桂酸; 3—未定物, 4—*p*-青豆酸; 5—肉桂酸; 6—安里香
毛细管柱: 有效柱长 36 cm, 总柱长 64.5 cm, 内径 50 μm , 检测处 150 μm

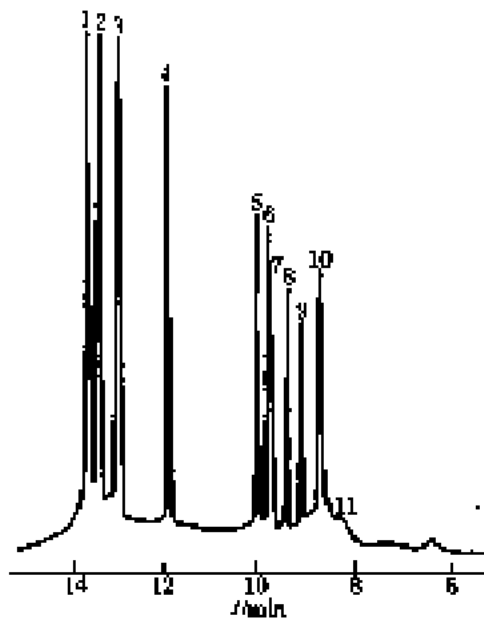
缓冲溶液: 25 mmol \cdot L⁻¹ 磷酸盐, pH7.0

进样: 5 kPa, 2 s

温度: 20°C

电压: 30 kV

检测器: 紫外(280 nm)

图 15-17 Hae III 消化 $\Phi \times 174$ 的 DNA 片段电泳谱图^[17]

色谱峰: 1—135bp, 2—107bp, 3—872bp, 4—603bp, 5—510bp, 6—281bp, 7—271bp, 8—224bp, 9—194bp, 10—118bp, 11—72bp

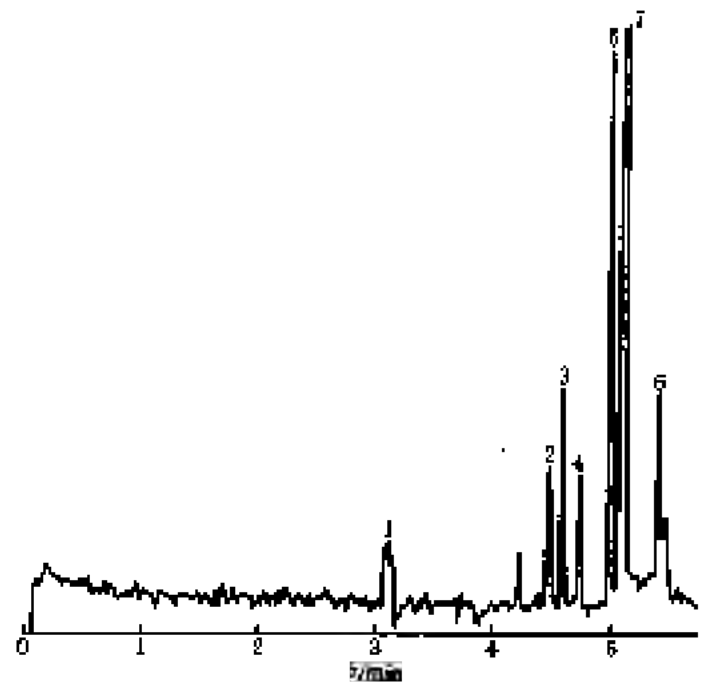
毛细管柱: 有效长度 30 cm, 内径 50 μm

缓冲溶液: 0.267 mol \cdot L⁻¹ Tris-硼酸, 7 mmol \cdot L⁻¹ 尿素, pH8.3

进样: 10 kV, 8 s

电压: 8 kV

检测器: 紫外(250nm)

图 15-18 FBSA 衍生化脂的电泳分离谱图^[18]

色谱峰: 1—电渗流; 2—丁酸; 3—丙酸; 4—乙酸; 5—甲酸; 6—戊二酸; 7—HBSA

毛细管柱: 有效柱长 58 cm, 总柱长 78 cm, 内径 75 μm

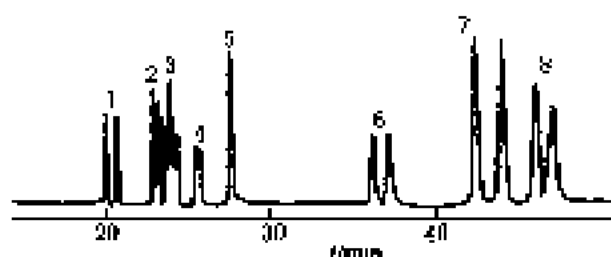
缓冲溶液: 50 mmol \cdot L⁻¹ 硼酸, 20 mmol \cdot L⁻¹ NaOH, pH9

进样: 4 kPa, 6 s

温度: 20°C

电压: 50 kV

检测器: 紫外(280 nm)

图 15-19 β -受体阻断剂对映体的电泳分离谱图^[20]

色谱峰: 1—异丙肾上腺素、2—心得静、3—西布氧心安、4—氟氧心安、5—乙氧丁心安、6—心得舒、7—心得安、8—柳胺苄心定

毛细管柱: 有效长度 50 cm, 总长度 62 cm, 内径 52 μ m

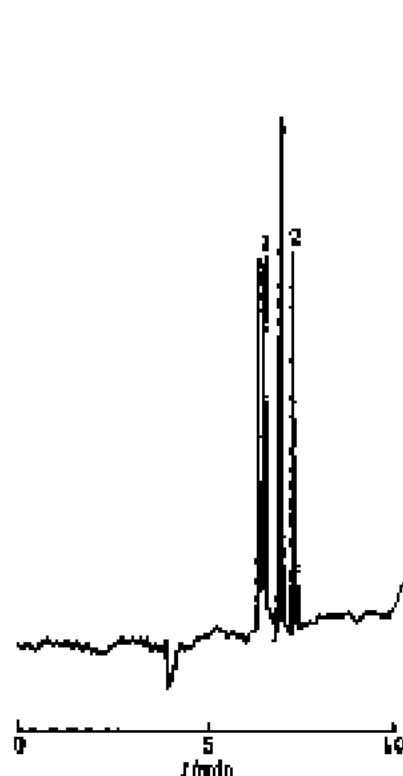
缓冲溶液: 20 mmol \cdot L⁻¹ 羟丙基- β -CD, 70 mmol \cdot L⁻¹ 氢氧化四甲基铵-磷酸盐 pH2.5

进样: 恒流速进样 5 μ

温度: 15 $^{\circ}$ C

电压: 20 kV

检测器: 紫外

图 15-20 二胺化合物对映体的电泳分离谱图^[20]

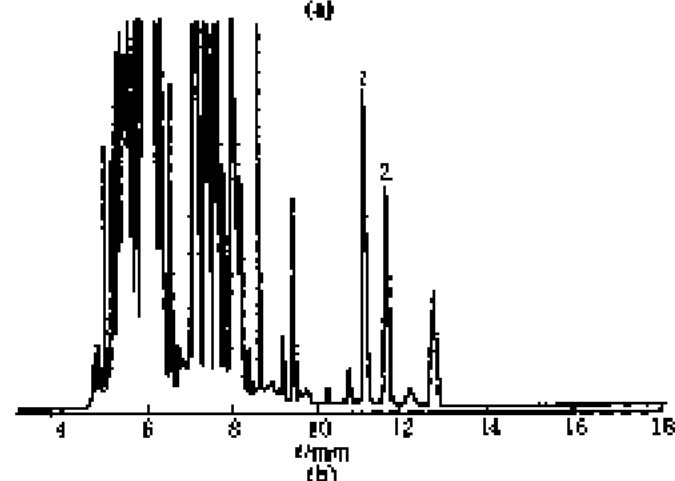
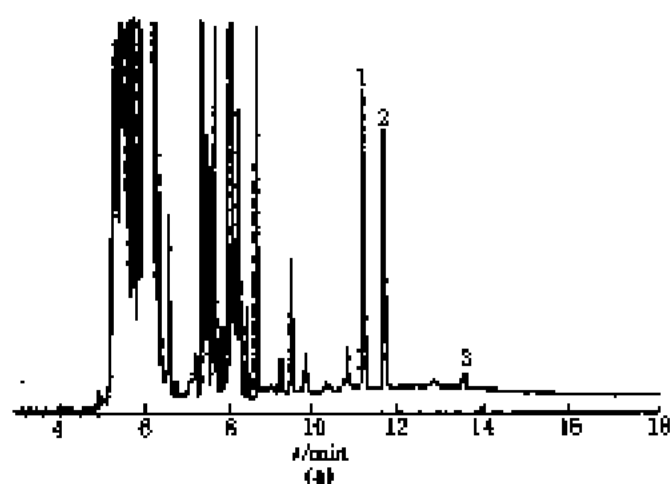
色谱峰: 1—2, 2'-二氨基-1, 1'-二酮, 2—1, 1'-二胺-2, 2'-磺酰胺二酮

毛细管柱: 总长度 65 cm, 内径 50 μ m

缓冲溶液: 100 mmol \cdot L⁻¹ 脱氧胆酸钠, 10 (mmol \cdot L⁻¹ 乳酸钾二钠, 6 mmol \cdot L⁻¹ 硼砂

电压: 20 kV

检测器: 紫外(254 nm)

图 15-21 人红细胞蔗糖水溶产物的电泳分离谱图^[20]

色谱峰: 1—PTC-Glu, 2—PTC-Asp, 3—PTC-Gly

毛细管柱: 有效柱长 56 cm, 总柱长 67 cm, 内径 75 μ m, 外径 375 μ m

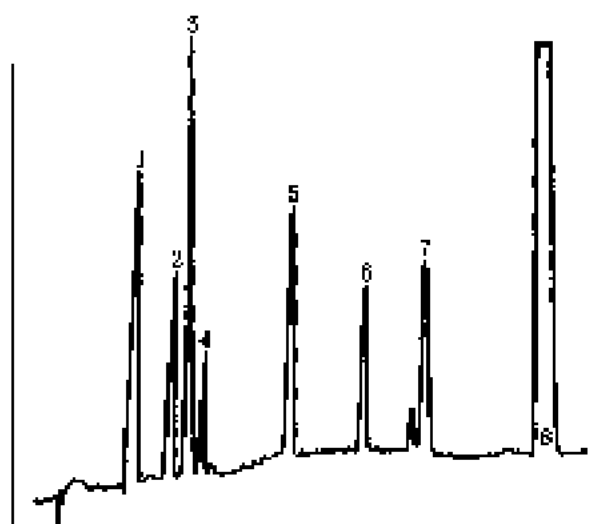
缓冲溶液: 100 mmol \cdot L⁻¹ Tris

进样: 低压 (34(7.38 Pa), 3 μ

温度: 25 $^{\circ}$ C

电压: 30 kV

检测器: 激光诱导荧光



色谱峰: 1—草酸; 2—丙二酸; 3—马来酸; 4—琥珀酸;
5—丙酮酸; 6—乳酸; 7—2-羟基丁酸;
8—马尿酸

毛细管柱: 有效柱长 60 cm, 总柱长 70 cm, 内径 75 μ m, 外径 375 μ m

缓冲溶液: $50 \text{ mmol} \cdot \text{L}^{-1}$ 硼砂, $0.4 \text{ mmol} \cdot \text{L}^{-1}$ Ca^{2+} , $1 \text{ mol OPM}/50 \text{ ml}$ 缓冲溶液, pH 10.0

进样: 重力进样

检测器: 紫外 (276 nm)

图 15-22 8 种有机酸的电泳分离谱图^[10]

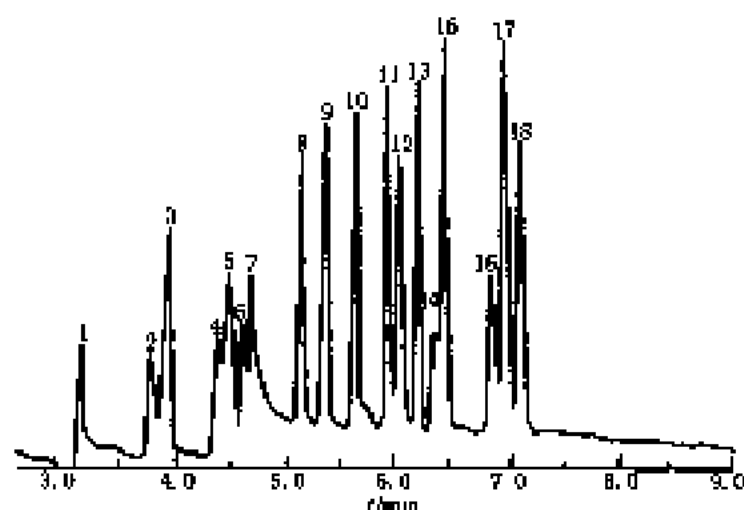


图 15-23 18 种有机酸的电泳分离谱图^[10]

色谱峰: 1—草酸; 2—甲酸; 3—高马来酸; 4—丙酮酸; 5—马来酸; 6—L-半草酸; 7—柠檬酸; 8—D-乳酸; 9—琥珀酸; 10—DL-天冬氨酸;
11—D-葡萄糖酸; 12—D-葡萄糖酸; 13—乙酸; 14—L-抗坏血酸;
15—莽草酸; 16—没食子酸; 17—丙酸; 18—正丁酸

毛细管柱: 有效长度 52.4 cm, 总长度 60 cm, 内径 75 μ m

缓冲溶液: $5 \text{ mmol} \cdot \text{L}^{-1}$ 对羟基苯甲酸, $p=2.5\%$ OPM, pH 4.75

进样: 虹吸进样 30 s

温度: 25°C

电压: 20 kV

检测器: 紫外 (254 nm)

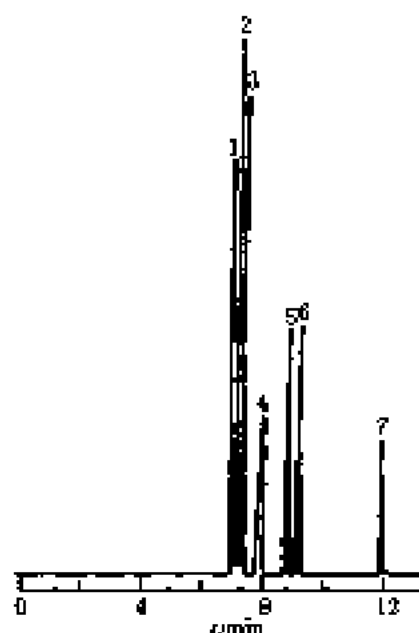


图 15-24 9 种丹院-DL-氨基酸的
电泳分离谱图^[14]

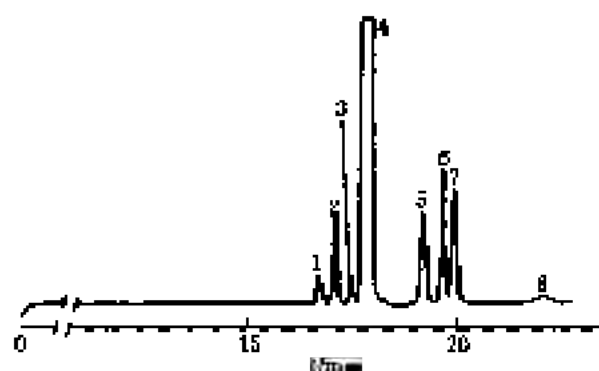
色谱峰: 1—D-Ual; 2—L-Val; 3—D-Met; 4—
L-Met; 5—D-Phe; 6—L-Phe; 7—
L-Ang

毛细管柱: 有效长度 75 cm, 总长度 100 cm, 内
径 75 μ m

进样: 压力进样 1 s

电压: 30 kV

检测器: 激光诱导荧光

图 15-25 土毒等纯度的电泳分析图^[22]

色谱峰: 1— α -毒土毒素; 2—四环素; 3—4-速四环素; 4—土霉素; 5— α -阿托土毒素; 6—脱水土毒素; 7— β -阿托土毒素; 8—venizide

毛细管柱: 有效长度 63 cm, 总长度 70 cm, 内径 75 μ m

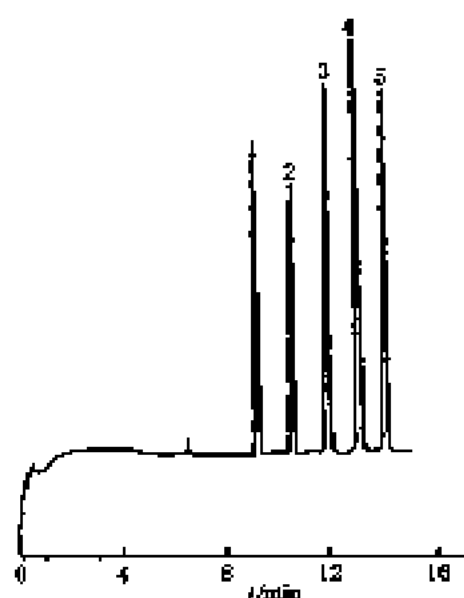
缓冲溶液: 20 mmol \cdot L⁻¹ 磷酸钠, 1 mmol \cdot L⁻¹ EDTA, pH 11.25

进样: 压力进样

温度: 20°C

电压: 12 kV

检测器: 紫外(254 nm)

图 15-26 小肽的毛细管电泳分离图⁽²³⁾

色谱峰: 1—Gly-Gly; 2—Gly-Gly-Gly; 3—Gly-Gly-Gly-Gly; 4—Gly-Gly-Gly-Gly-Gly; 5—Gly-Gly-Gly-Gly-Gly-Gly

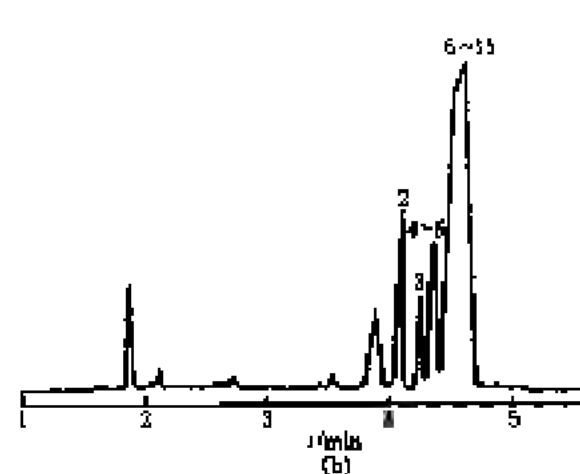
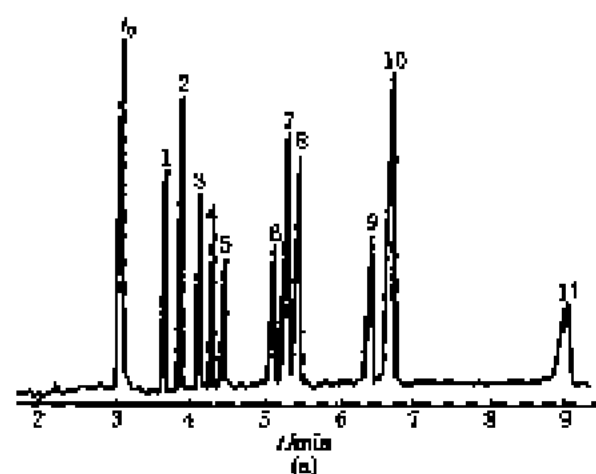
毛细管柱: 有效长度 51 cm, 总长度 75 cm, 内径 75 μ m

缓冲溶液: 50 mmol \cdot L⁻¹ 磷酸盐 pH 2.5

温度: 20°C

电压: 22.2 kV

检测器: 紫外(220 nm)

图 15-27 丹酰化生物胺的电泳分离图^[24]

色谱峰: 1—2-氨基乙醇; 2—甲胺; 3—乙胺; 4—吗啡; 5—2-氨基丙醇; 6—二乙胺; 7—1-氨基-2-甲基丙醇; 8—正丁胺; 9—1-氨基-2-甲基丁醇; 10—正戊胺; 11—正己胺

毛细管柱: 有效柱长 40 cm, 总柱长 47 cm, 内径 75 μ m, 外径 375 μ m

缓冲溶液: 4.1 mol \cdot L⁻¹ 尿素, 9—15% 乙醇

进样: 压力, 2 s

电压: 25 kV

检测器: UV(254 nm)

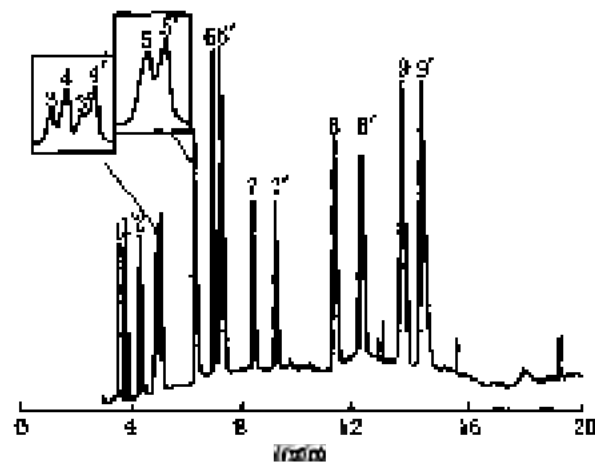


图 15-28 丹酰化氨基酸对照体的电泳分离谱图 (一)^[20]

色氨酸: 1—Trp; 2—Phe; 3—*nor*-Leu; 4—Leu; 5—Met; 6—*nor*-Val; 7—Val; 8—Glu; 9—Asp

毛细管柱: 有效柱长 20 cm, 总柱长 27 cm, 内径 50 μ m

缓冲溶液: $10 \text{ mmol} \cdot \text{L}^{-1}$ 硼酸盐, 1% β -CD-SBE (N), pH3.1

电压: -10 kV

检测器: 紫外 (214 nm)

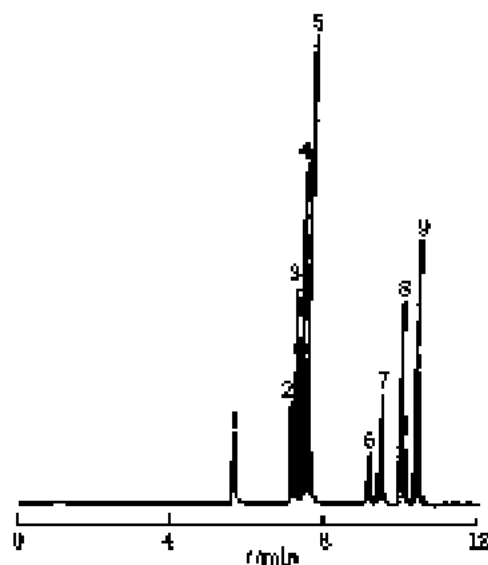


图 15-29 丹酰化氨基酸对照体的电泳分离谱图 (二)^[20]

色氨酸: 1—L-Arg(内标); 2—D-Trp; 3—L-Trp; 4—D-Val; 5—L-Val; 6—D-Asp; 7—L-Asp; 8—D-Glu; 9—L-Glu

毛细管柱: 有效长度 75 cm, 总长度 100 cm, 内径 75 μ m

缓冲溶液: $2.5 \text{ mmol} \cdot \text{L}^{-1}$ CaSO_4 , $5.0 \text{ mmol} \cdot \text{L}^{-1}$ 天冬氨酸, $10 \text{ mmol} \cdot \text{L}^{-1}$ 乙酸钠, pH7.4

进样: 1 s

电压: 30 kV

检测器: 激光诱导荧光

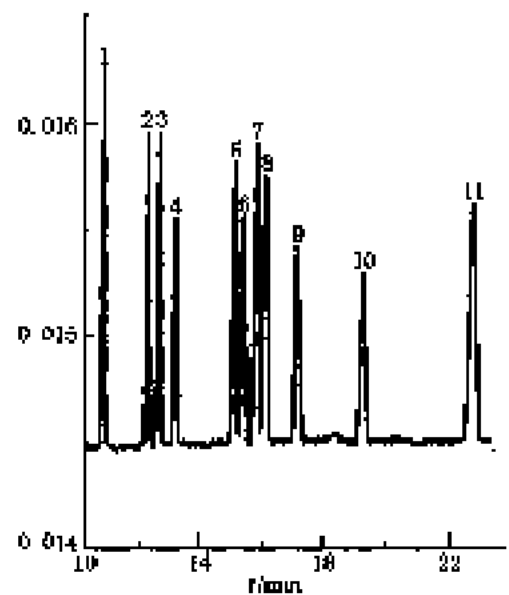


图 15-30 丹酰化二肽的电泳分离谱图^[21]

色氨酸: 1—Dns-Nle; 2—Dns-Gly; 3—Dns-Ala; 4—Dns-Thr; 5—Dns-Glu; 6—Dns-Ile; 7—Dns-Iso; 8—Dns-Asn; 9—Dns-Pro; 10—Dns-Hyp; 11—Dns-Tyr

毛细管柱: 有效柱长 43 cm, 总柱长 60 cm, 内径 75 μ m, 外径 370 μ m

缓冲溶液: $0.015 \text{ mol} \cdot \text{L}^{-1}$ TEAA- $0.016 \text{ mol} \cdot \text{L}^{-1}$ 乙酸钠于甲醇

进样: 重力, 10 cm, 5 s

电压: -20 kV

检测器: 紫外 (214 nm)

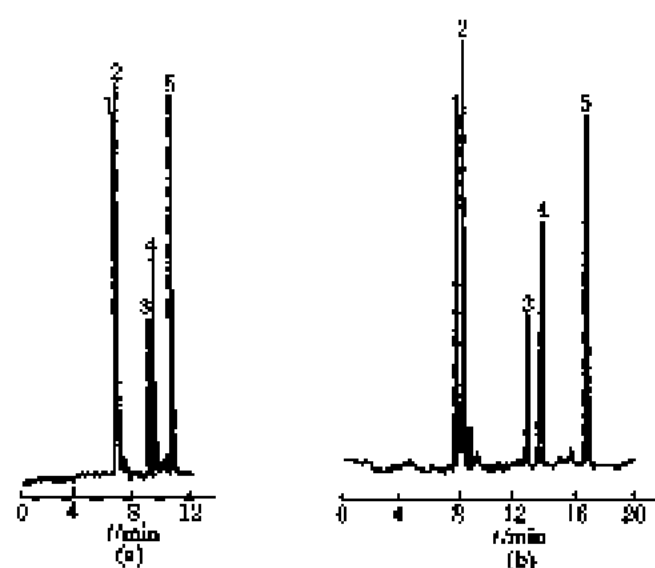


图 15-31 5种碱性蛋白质的电泳分离谱图^[21]

色谱峰：1—溶菌酶；2—肌球蛋白 C；3—核糖核酸酶；4— α -胰凝乳蛋白酶；5—肌红蛋白
毛细管柱：有效长度 50 cm，内径 75 μm ，BRJ35 烷基键合毛细管柱
缓冲溶液：10 mmol $\cdot \text{L}^{-1}$ 磷酸盐 pH7
电压：场强 300 $\text{V} \cdot \text{cm}^{-1}$
检测器：紫外(200 nm)

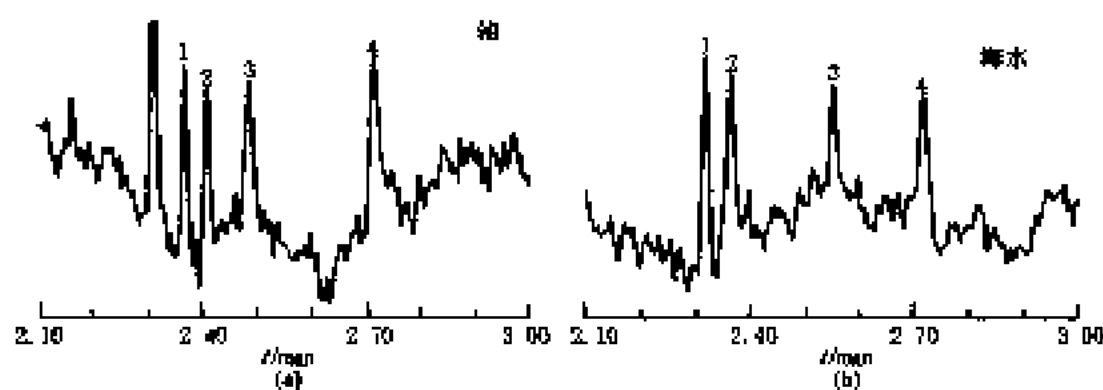
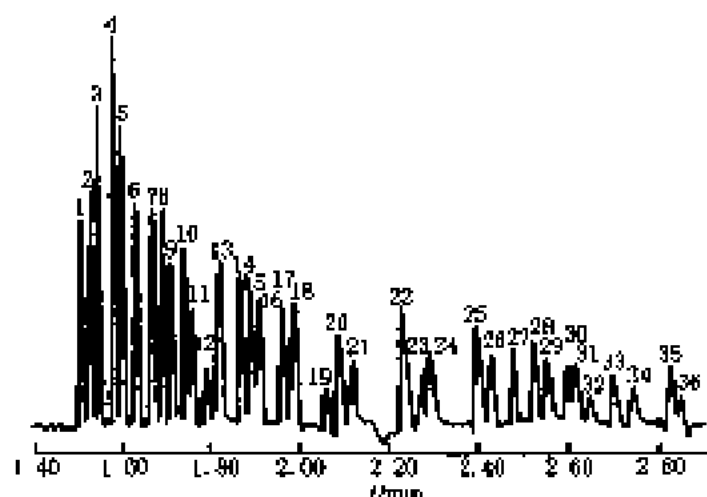


图 15-32 化学战争毒剂降解产物酶化合物的电泳分析谱图^[22]

色谱峰：1—MPA，2—EMPA，3—DMPA，4—PMPA
毛细管柱：有效柱长 50 cm，内径 75 μm
缓冲溶液：200 mmol $\cdot \text{L}^{-1}$ 磷酸盐，100 mmol $\cdot \text{L}^{-1}$ 草酸， $\alpha=0.08\%$ Triton X-100，pH4.0
流速：~10 $\mu\text{V} \cdot 10\text{s}$
温度：40
电压：30 kV
检测器：紫外(210 nm)

图 15-33 无机阳离子与有机酸的 CZE 分离谱图^[30]

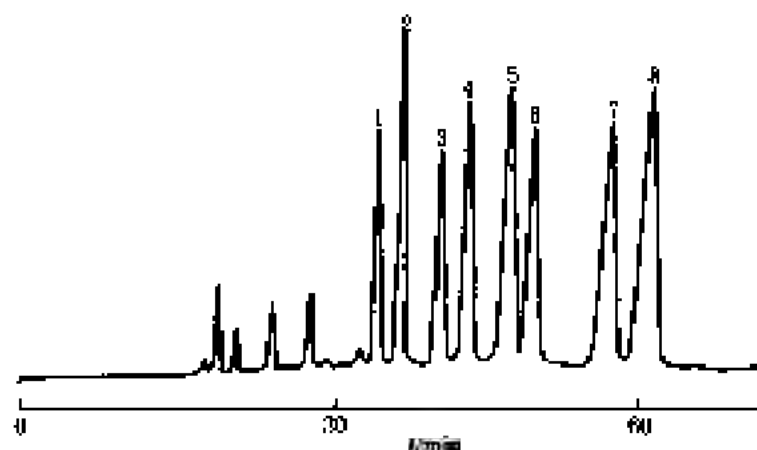
色谱峰: 1— $\text{S}_4\text{O}_6^{2-}$; 2— Br^- ; 3— Cl^- ; 4— SO_3^{2-} ; 5— NO_2^- ; 6— NO_3^- ; 7—砷酸根; 8—亚砷(化物); 9— WO_4^{2-} ; 10—氟磷酸根; 11— ClO_4^- ; 12—柠檬酸根; 13— F^- ; 14—甲酸根; 15— PO_4^{3-} ; 16—亚磷酸根; 17—次氯酸根; 18—亚二硫酸根; 19—邻苯二甲酸根; 20—半乳糖二酸根; 21~24—未知物; 25—丙酸根; 26—丙基磺酸根; 27—天冬氨酸根; 28—巴豆酸根; 29—丁酸根; 30—丁基磺酸根; 31—戊酸根; 32—苯甲酸根; 33—L-谷氨酸根; 34—戊基磺酸根; 35—d-葡萄糖酸根; 36—d-半乳糖醛酸根

毛细管柱: 长度 60 cm, 内径 50 μm

缓冲溶液: $5 \text{ mmol} \cdot \text{L}^{-1}$ 磷酸盐 + OPM-BT pH8.0

电压: -30 kV

检测器: 同位素外 (254 nm)

图 15-34 PMP-己糖糖苷酸盐复合物的 CZE 分离谱图^[34]

色谱峰: 1—葡萄糖; 2—阿拉伯糖; 3—阿卓糖; 4—甘露糖; 5—支链糖; 6—古洛糖; 7—塔罗糖; 8—半乳糖

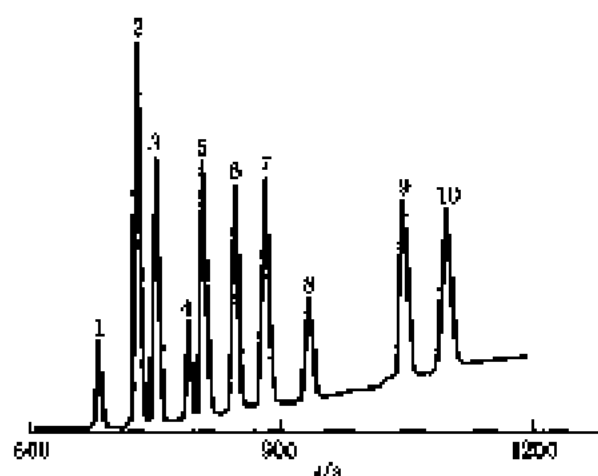
毛细管柱: 长度 58 cm, 内径 50 μm

缓冲溶液: $200 \text{ mmol} \cdot \text{L}^{-1}$ 硼酸盐 pH9.5

电压: 30 cm, 10 s

电压: 15 kV

检测器: 紫外 (254 nm)



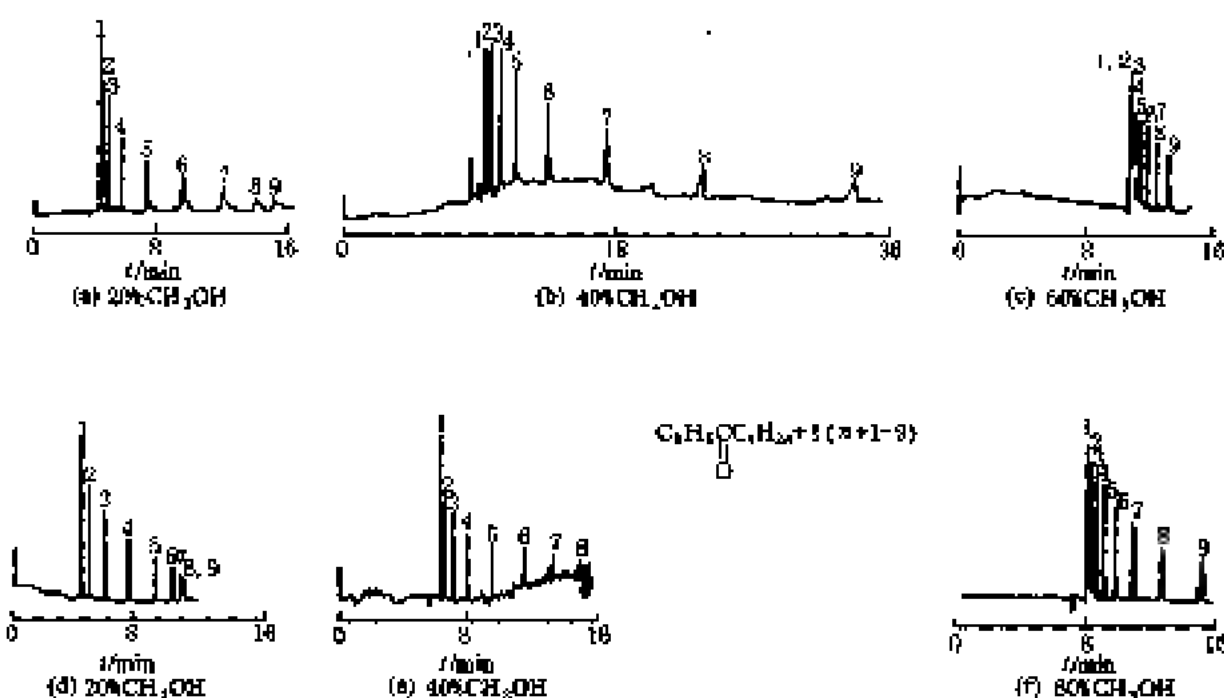
色谱峰: 1—邻硝基苯酚; 2—2, 5-二硝基苯酚; 3—2, 5-二硝基苯酚; 4—对硝基苯酚; 5—3, 4, 6-三硝基苯酚; 6—2, 4-二硝基苯酚; 7—间硝基苯酚; 8—对硝基间甲酚; 9—3, 4-二硝基苯酚; 10—4, 6-二硝基邻甲酚

毛细管柱: 有效柱长 30 cm, 总柱长 35 cm, 内径 500 μm

缓冲溶液: $50 \text{ mmol} \cdot \text{L}^{-1}$ 甘氨酸, BTP 反离子, pH9.1

检测器: UV

图 15-35 硝基苯的 CZE 分离谱图^[35]

图 15-36 $C_6H_5-CO-C_6H_411$ 的 CZE 分离谱图^[24]

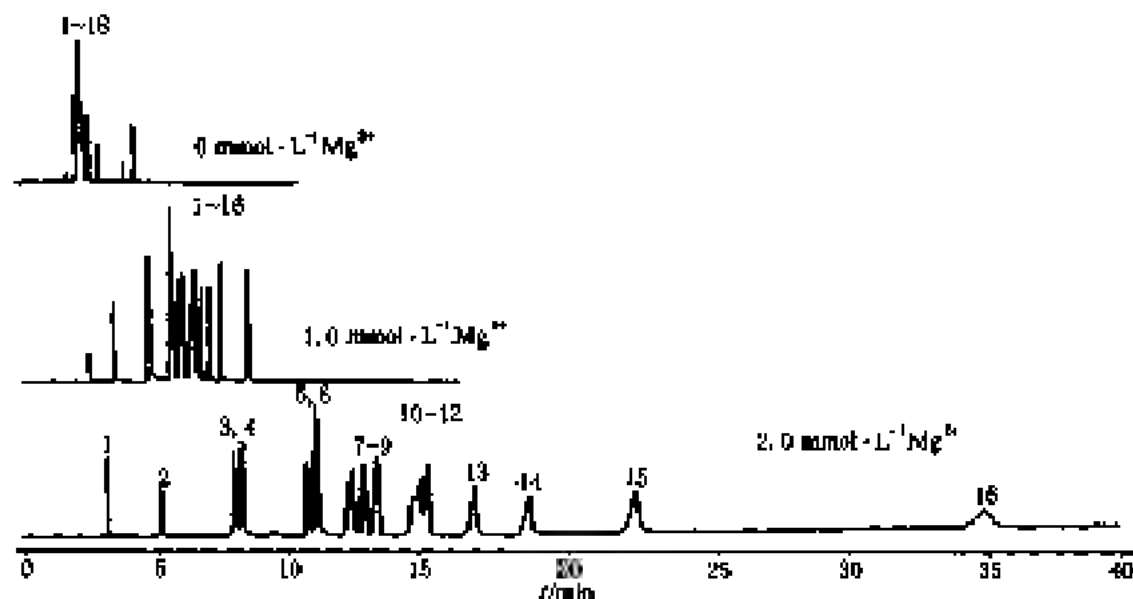
色谱峰：符号代表烷基基中碳数

毛细管柱：有效柱长 85 cm，总柱长 48 cm，内径 50 μm ，外径 375 μm

缓冲液：20 mmol $\cdot L^{-1}$ 硼酸盐 + 甲脒（体积比 = 40 : 60）

电压：场强 400 $V \cdot cm^{-1}$

检测器：紫外 (254 nm)

图 15-37 DNP 衍生化氨基酸的电泳分离谱图^[25]

色谱峰：1—DNP-L-Arg, 2—N-S-DNP-L-Lys, 3—N-O-dl-DNP-L-Tyr, 4—N, N'-dl-DNP-L-His, 5—N, S, -dl-DNP-L-Cys, 6—DNP-L-Trp, 7—DNP-L-Phe, 8—DNP-L-Leu, 9—DNP-L-Ile, 10—DNP-L-Val, 11—DNP-L-Thr, 12—DNP-L-Ala, 13—DNP-L-Pro, 14—DNP-L-Ser, 15—DNP-L-Ala, 16—DNP-Gly, 17—DNP-L-Glu, 18—DNP-L-Asp

毛细管柱：有效柱长 40 cm，总柱长 48 cm，内径 50 μm

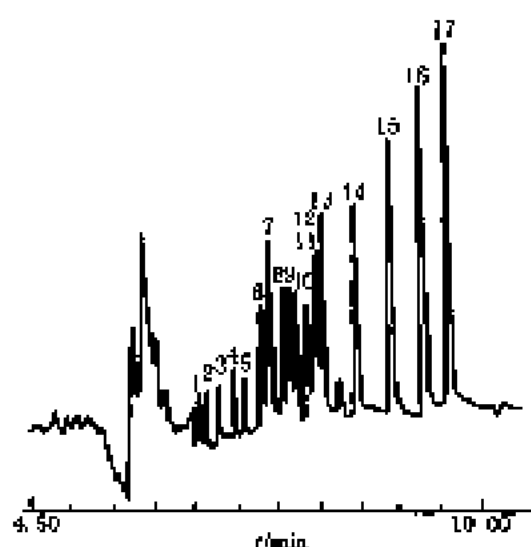
缓冲液：20 mmol $\cdot L^{-1}$ 硼酸盐 (pH 9.25), 2 mmol $\cdot L^{-1}$ Mg^{2+}

进样：电力进样

温度：25 $^{\circ}C$

电压：25 kV

检测器：紫外



色谱峰: 1—87bp, 2—74bp, 3—90bp, 4—110bp, 5—123bp,
6—147bp, 7—165bp, 8—180bp, 9—190bp, 10—
201bp, 11—217bp, 12—238bp, 13—242bp, 14—
309bp, 15—404bp, 16—527bp, 17—622bp
毛细管柱: 有效长度 30 cm, 总长度 37 cm, 内径 75 μm , 膜
西福隆单键柱
缓冲溶液: $8\text{g} \cdot \text{L}^{-1}$ HPBAC
进样: 压力进样
电压: 12 kV
检测器: 紫外 (260 nm)

图 15-28 PBR 322/Msp I 的电泳分离谱图^[32]

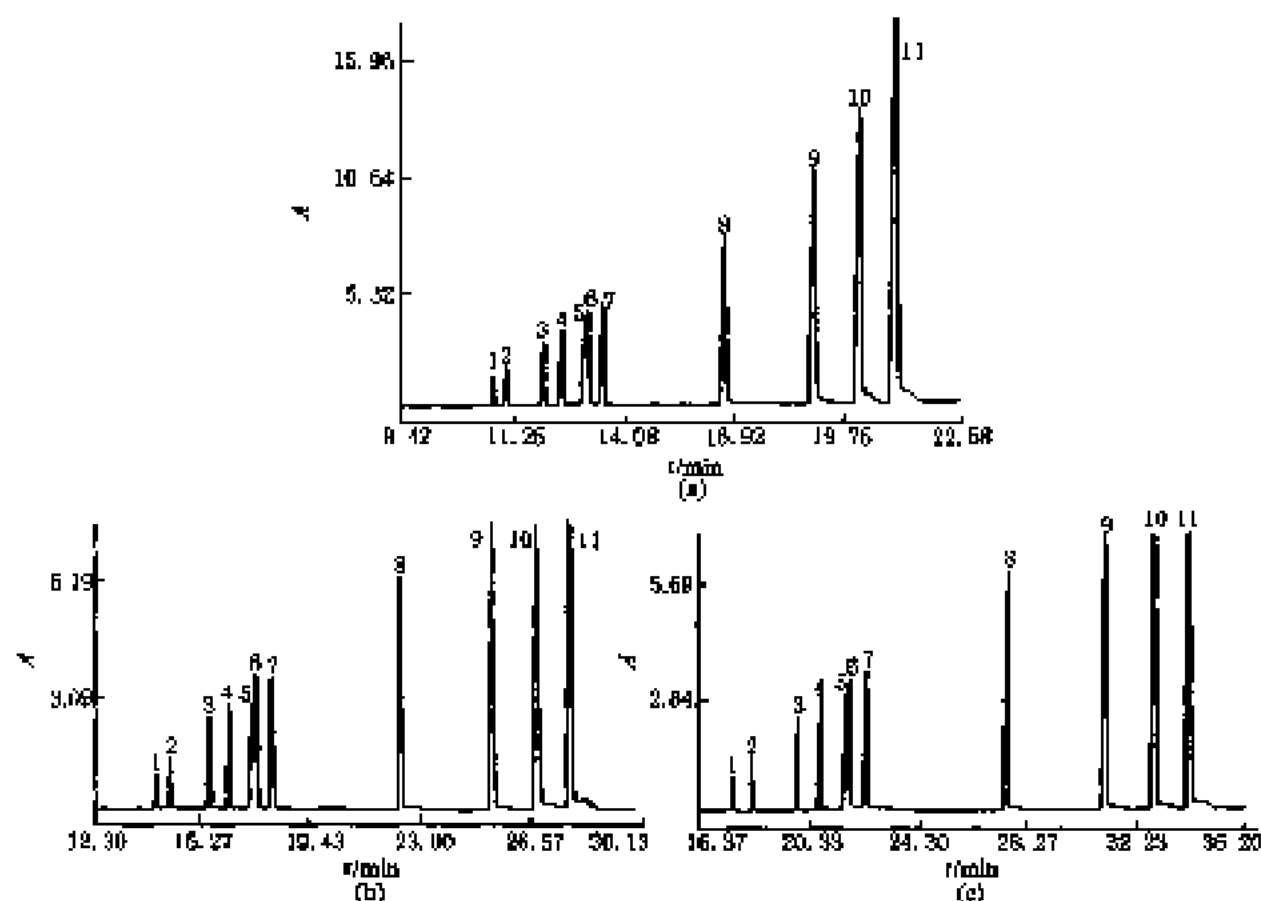
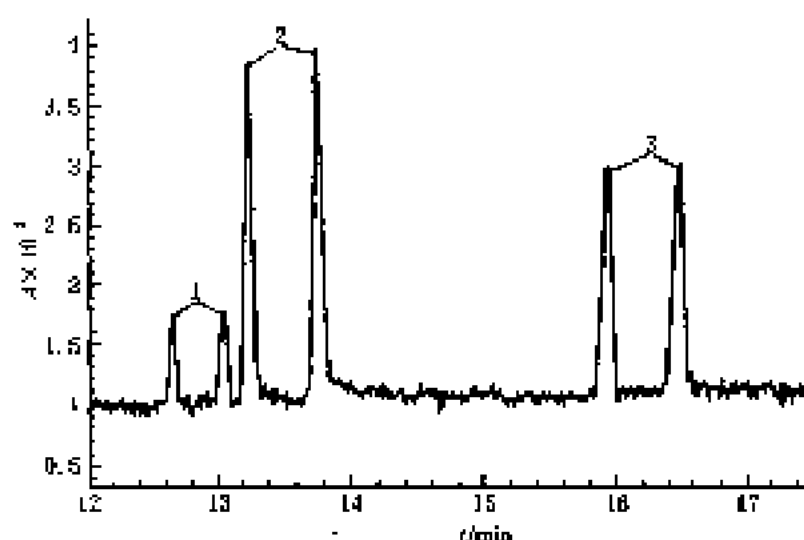


图 15-29 $\Phi\text{X174}/\text{HaeI}$ 片段的电泳分离谱图^[34]

色谱峰: 1—72bp, 2—118bp, 3—184bp, 4—234bp, 5—271bp, 6—281bp, 7—310bp, 8—503bp, 9—372bp, 10—1078bp,
11—1553bp
毛细管柱: 有效柱长 (a) 20 cm; (b) 30 cm; (c) 40 cm, 内径 75 μm , 外径 375 μm , 膜 AAE 键层
缓冲溶液: $178\text{ mmol} \cdot \text{L}^{-1}$ Tris, $178\text{ mmol} \cdot \text{L}^{-1}$ 硼酸, $4\text{ mmol} \cdot \text{L}^{-1}$ EDTA (pH 8.3)
进样: 10 kV, 2 s
温度: 20°C
电压: 场强 $0.90\text{ kV} \cdot \text{cm}^{-1}$
检测器: 紫外 (260 nm)

图 15-40 手性药物的电泳分离谱图^[60]

色谱峰：1—异丁胍生，2—多肽样开，3—腺嘌呤

毛细管柱：有效柱长 56 cm，总柱长 64.5 cm，内径 50 μm ，检测放大 3 倍

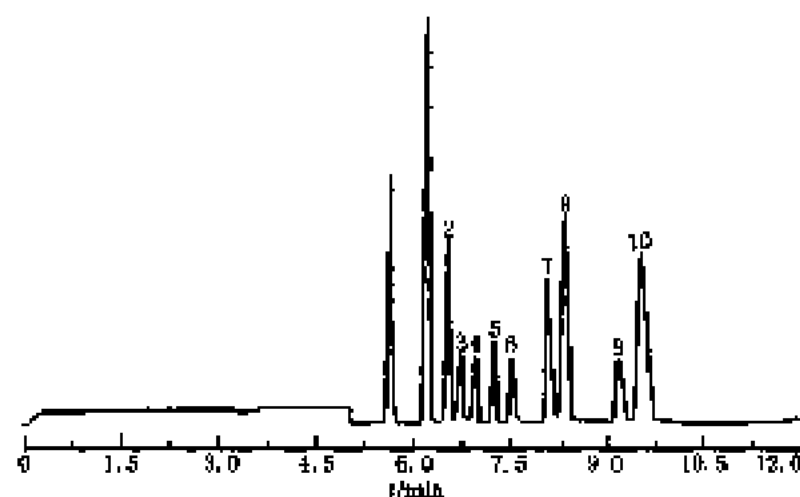
缓冲溶液：20 mmol $\cdot \text{L}^{-1}$ 磷酸盐-20 mmol $\cdot \text{L}^{-1}$ 三乙醇胺，pH 6.0，50 mmol $\cdot \text{L}^{-1}$ *crs*-O β Me- β -CO

进样：7500 Pa

温度：55 $^{\circ}\text{C}$

电压：20 kV

检测器：紫外(253 nm)

图 15-41 生物碱的电泳分离谱图^[61]

色谱峰：1—对氨基苯甲酸，2—咖啡碱，3—降麻黄碱，4—降伪麻黄碱，5—麻黄碱，6—伪麻黄碱，7—苯基丙胺，8—亚甲二氧基苯基丙胺，9—脱氧麻黄碱，10—亚甲二氧基脱氧麻黄碱

毛细管柱：有效柱长 50 cm，总柱长 72 cm，内径 75 μm

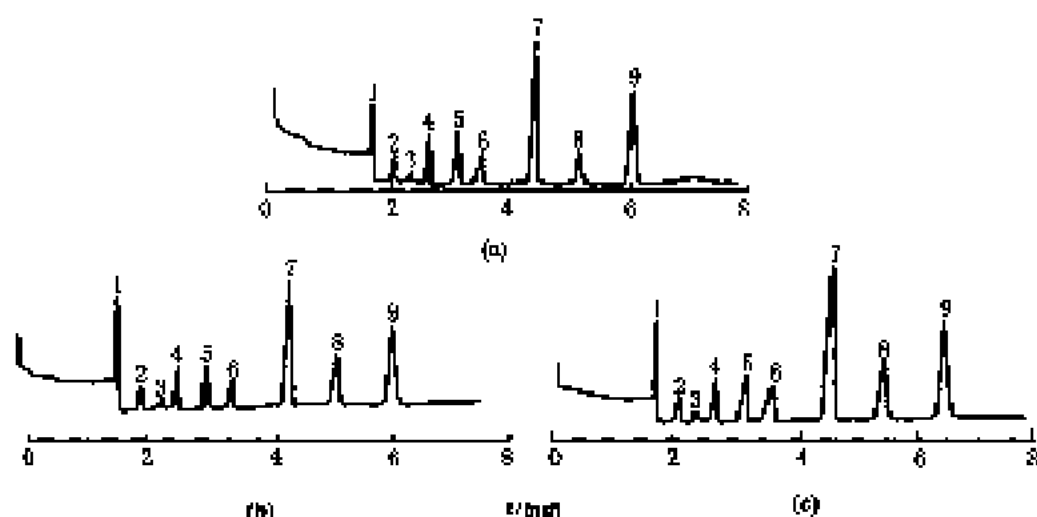
缓冲溶液：0.1% 乙醇胺，11% DMSO-88% 0.025 mol $\cdot \text{L}^{-1}$ CTAB-0.01 mol $\cdot \text{L}^{-1}$ 硼酸 pH 11.5

进样：10 kPa $\cdot \text{s}$

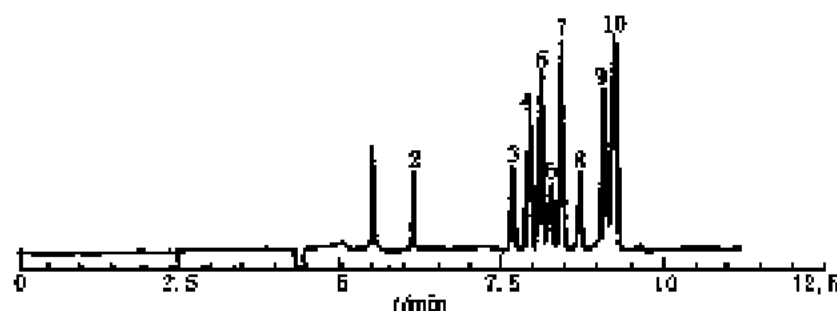
温度：20 $^{\circ}\text{C}$

电压：19 kV

检测器：紫外(254 nm)

图 15-32 有机酸的电泳分离谱图^[62]

色谱峰: 1—苯基氧化物; 2—*p*-氯通苯甲酸; 3—*p*-羟基通苯甲酸; 4—*p*-甲苯甲酸; 5—苯甲酸; 6—*o*-甲基苯甲酸; 7—*m*-硝基苯甲酸; 8—*o*-硝基苯甲酸; 9—甲氧基丁二酸
毛细管柱: 有效柱长 99 cm, 柱径长 98 cm, 内径 25 μ m
缓冲溶液: $1 \text{ mmol} \cdot \text{L}^{-1}$ 磷酸盐缓冲液, pH 4.01
电压: 22 kV
检测器: 紫外 (225 nm)
进样: 高压 10 s

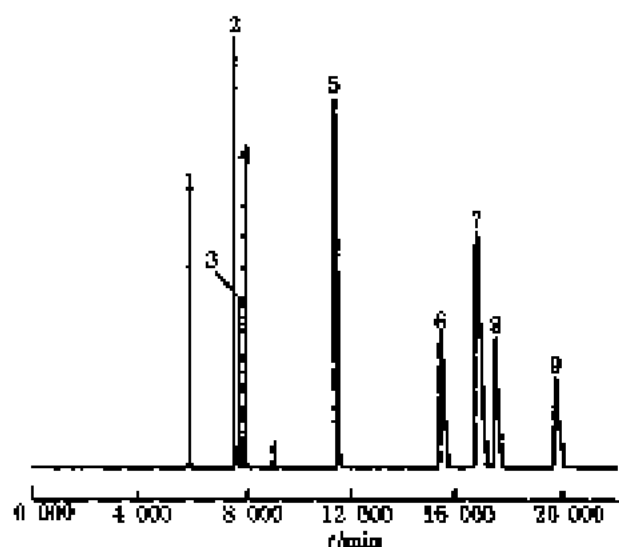


色谱峰:

1—苯酚; 2—4-氯-3-甲氧基; 3—
苯氧基酚; 4—2, 4, 6-三氯苯酚;
5—2-甲基-4, 6-二硝基苯酚; 6—
2, 4-二氯苯酚; 7—3-氯苯酚; 8—
2, 4-二硝基苯酚; 9—4-硝基苯酚;
10—3-硝基苯酚

图 15-43 酚类的电泳分离谱图^[40]

毛细管柱: 柱长 64.5 cm, 内径 60 μ m, 检测处 150 μ m
缓冲溶液: $20 \text{ mmol} \cdot \text{L}^{-1}$ 硼酸的 pH 9.9
电压: 20 kV
检测器: 紫外 (195 nm)



色谱峰: 1—2-磺酸苯; 2—2, 7-二磺酸苯; 3—1-
磺酸苯; 4—2, 6-二磺酸苯; 5—1, 6-二
磺酸苯; 6—1, 3-二磺酸苯; 7—1, 5-二
磺酸苯; 8—1, 2-二磺酸苯; 9—1, 3, 6-
三磺酸苯

毛细管柱: 有效柱长 80 cm, 柱径长 75 cm, 内径
50 μ m

进样: 2500 Pa, (0.1~0.5) mm

电压: 25 kV

检测器: 紫外 (250 nm)

图 15-44 苯磺酸的电泳分离谱图^[64]

图 15-45 蛋白质的电泳分离谱图^[2]

色谱峰: 1—溶血色素 A 链; 2—牛血清白蛋白; 3—卵清蛋白; 4—胰岛素; 5— α -乳球蛋白; 6—醇蛋白; 7—胰岛素 B 链 (糖的)

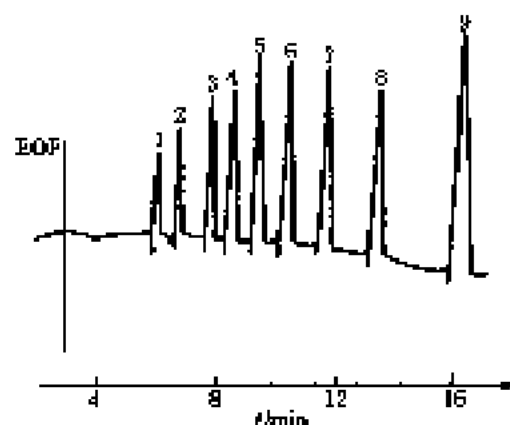
毛细管柱: 长度 80 cm, 内径 50 μ m, 聚丙烯酰胺涂层

缓冲溶液: $0.05 \text{ mol} \cdot \text{L}^{-1}$ 谷氨酸胺, 三乙胺, pH2.5

进样: 重力进样

电压: 20 kV

检测器: 紫外 (214 nm)

图 15-46 长链饱和脂肪酸的电泳分离谱图^[6]

色谱峰: 1—十八酸; 2—十六酸; 3—十四酸; 4—十二酸; 5—十二酸; 6—十一酸; 7—癸酸; 8—壬酸; 9—辛酸
毛细管柱: 有效长度 22 cm, 总长度 40 cm, 内径 50 μ m
缓冲溶液: $20 \text{ mmol} \cdot \text{L}^{-1}$ Tris, $10 \text{ mmol} \cdot \text{L}^{-1}$ 对甲氧基苯

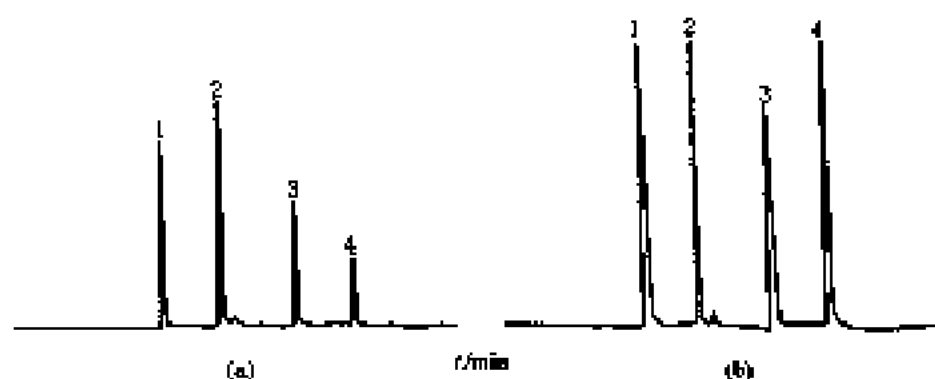
甲酸, $1 \text{ mmol} \cdot \text{L}^{-1}$ 三甲基 β -CD, 50% 甲腈-水

进样: 真空进样

温度: 30°C

电压: 30 kV

检测器: 紫外 (270 nm)

图 15-47 4 种碱性蛋白质的电泳分离谱图^[17]

色谱峰: 1—细胞色素 C; 2—溶菌酶; 3—核糖核酸酶; 4— α -酪蛋白酪原 A

毛细管柱: 有效长度 57 cm, 总长度 70 cm, 内径 75 μ m, 琼脂柱

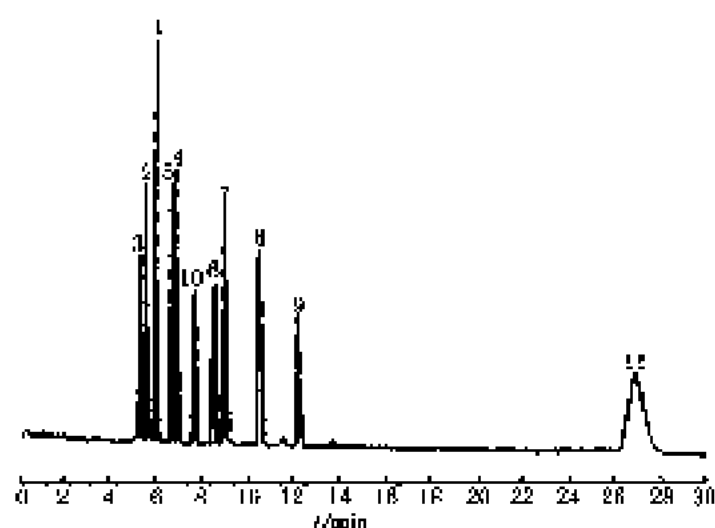
缓冲溶液: $20 \text{ mmol} \cdot \text{L}^{-1}$ Na_2PO_4 , $30 \text{ mmol} \cdot \text{L}^{-1}$ NaCl , pH3.0

进样: 电动进样 10 kV, 5 s

温度: 20°C

电压: 20 kV

检测器: 紫外 (200 nm)



色谱峰: 1—7, 3, 5-三氯酚苯; 2—1, 2, 4, 5-四氯酚苯; 3—1, 5-二氯酚苯; 4—1, 2, 5-三氯酚苯; 5—4, 5-二羟基-1, 3-二氯酚苯; 6—对苯二酸; 7—邻苯二酸; 8—1, 2, 3-三氯酚苯; 9—苯二酸; 10—1, 2-氯酚苯; 11—苯酚

毛细管柱: 有效长度 35 cm, 内径 50 μ m
缓冲溶液: 220 mmol \cdot L⁻¹ 硫酸氢 20 mmol \cdot L⁻¹ 硼酸 pH 8.5

进样: 10 μ

电压: -10 kV

检测器: 紫外(214 nm)

图 15-49 有机阴离子的电泳分离谱图^[45]

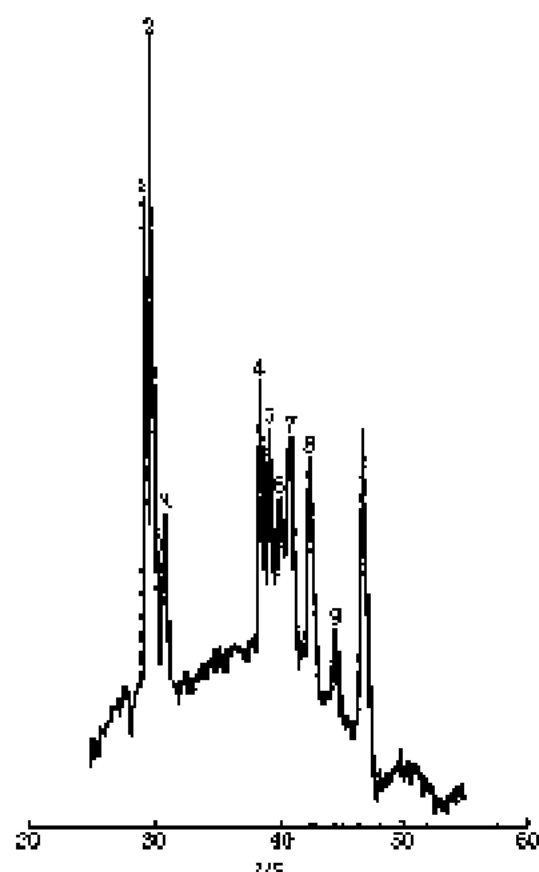


图 15-48 氨基酸的电泳快速分析谱图^[46]

色谱峰: 1—脯氨酸; 2—半乳糖胺; 3—葡萄糖; 4—甘氨酸; 5—血丰醇; 6—葡萄糖; 7—半乳糖; 8—2-脱氧 D-核糖; 9—糖干糖

毛细管柱: 有效柱长 2.5 cm, 总柱长 50 cm, 内径 50 μ m
缓冲溶液: 5 mmol \cdot L⁻¹ 山梨糖醇, 0.001% HDE (pH 12.2)

进样: 压力 5 mm, 1 s

电压: 20 kV

检测器: 间接紫外(254 nm)

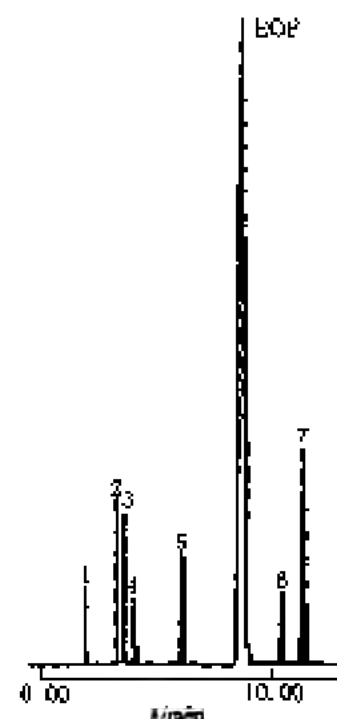


图 15-50 米帕明类药物的非水电泳分离谱图^[47]

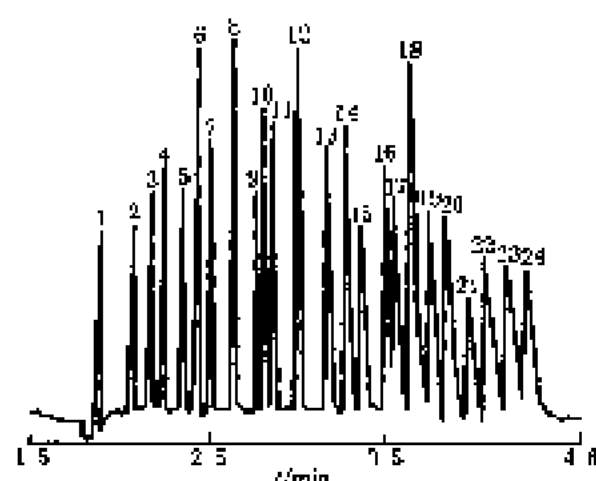
色谱峰: 1—甲基米帕明; 2—米帕明; 3—去甲基米帕明; 4—去二甲基米帕明; 5—N-氨基米帕明; 6—苯甲酸; 7—托芬那敏

毛细管柱: 有效柱径 40 cm, 总柱长 47 cm, 内径 50 μ m

缓冲溶液: 25 mmol \cdot L⁻¹ 乙酸钠, 1 mol \cdot L⁻¹ 乙酸溶于甲醇
温度: 25 $^{\circ}$ C

电压: 30 kV

检测器: 紫外(214 nm)



色谱峰: 1— K^+ ; 2— Ba^{2+} ; 3— Sr^{2+} ; 4— Ca^{2+} ; 5— Mg^{2+} ; 6— Mn^{2+} ; 7— Cr^{2+} ; 8— Co^{2+} ; 9— Ni^{2+} ; 10— Ni^{2+} ; 11— Zn^{2+} ; 12— La^{3+} ; 13— Ce^{3+} ; 14— Pr^{3+} ; 15— Yb^{3+} ; 16— Sm^{3+} ; 17— Eu^{3+} ; 18— Gd^{3+} ; 19— Dy^{3+} ; 20— Hf^{3+} ; 21— Er^{3+} ; 22— Tm^{3+} ; 23— Yb^{3+} ; 24— Lu^{3+}

毛细管柱: 长度 36.5 cm, 内径 75 μm

缓冲溶液: $10 \text{ mmol} \cdot L^{-1}$ 甲基苯胺, $15 \text{ mmol} \cdot L^{-1}$ 乳酸
pH 3

电压: 20 kV

检测器: 同核紫外 (214 nm)

图 15-51 阳离子电泳分离谱图^[50]

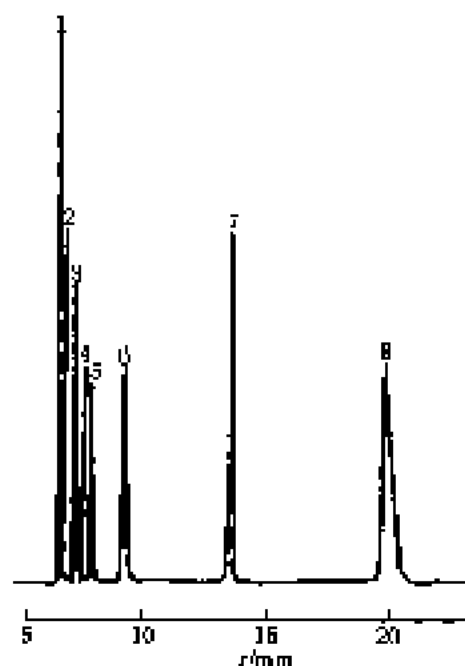


图 15-52 芳香酸的电泳分离谱图^[52]

色谱峰: 1—反-肉桂酸; 2—阿魏酸; 3—苯酸; 4—苯甲酸; 5—对羟基苯甲酸; 6—咖啡酸; 7—邻苯二甲酸; 8—苯三甲酸

毛细管柱: 有效长度 53 cm, 总长度 61 cm, 内径 75 μm

缓冲溶液: $8 \text{ mmol} \cdot L^{-1}$ 硼酸, $2 \text{ mmol} \cdot L^{-1}$ NaH_2PO_4 , 乙醇
($\varphi=30\%$), pH 6.43

进样: 压力进样

电压: 20 kV

检测器: 紫外 (210 nm)

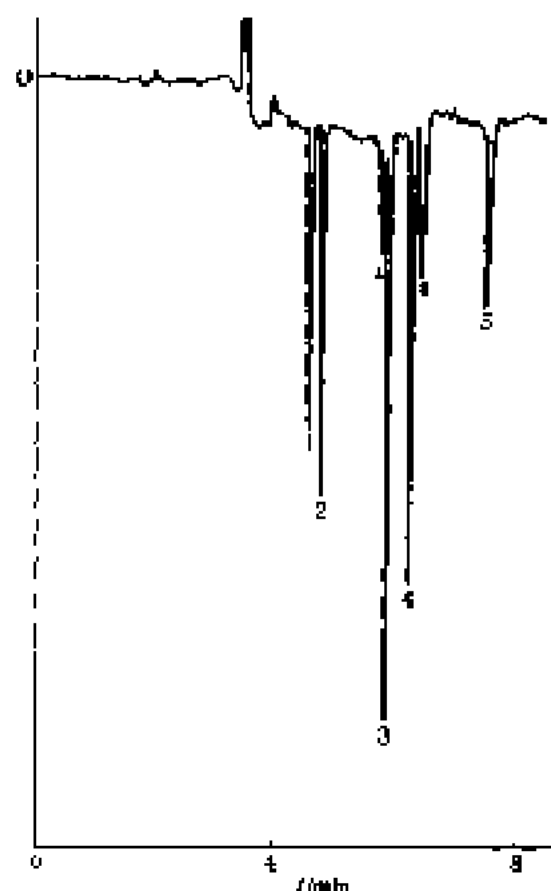


图 15-53 15 种磷化物的电泳分离谱图^[55]

色谱峰: 1— $As(V)$; 2— DBA ; 3— phA ; 4— $BDMA$; 5— $As(V)$

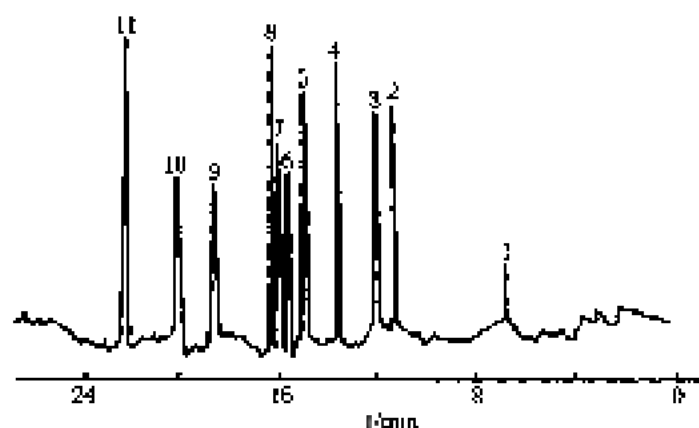
毛细管柱: 有效柱长 65 cm, 总柱长 80 cm, 内径 50 μm

缓冲溶液: $1.5 \text{ mmol} \cdot L^{-1}$ 荧光素, pH 9.8

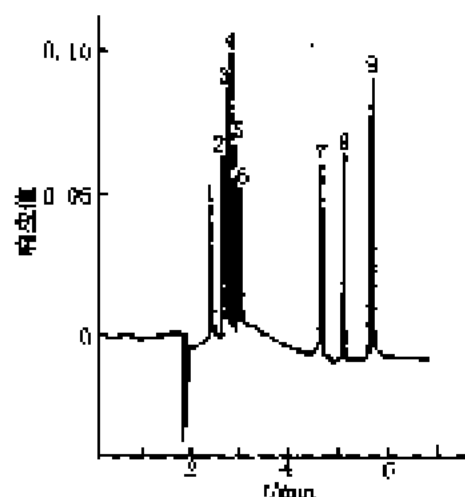
进样: 15 kV, 2 s

电压: 15 kV

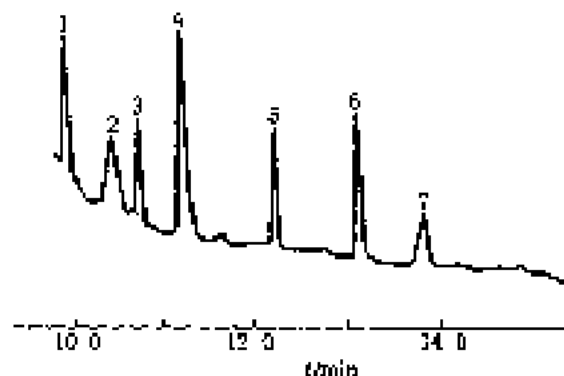
检测器: 激光诱导荧光 ($\lambda_{ex}=488 \text{ nm}$; $\lambda_{em}=520 \text{ nm}$)

图 15-54 单糖及其 α -氨基衍生物的电泳分离谱图^[10]

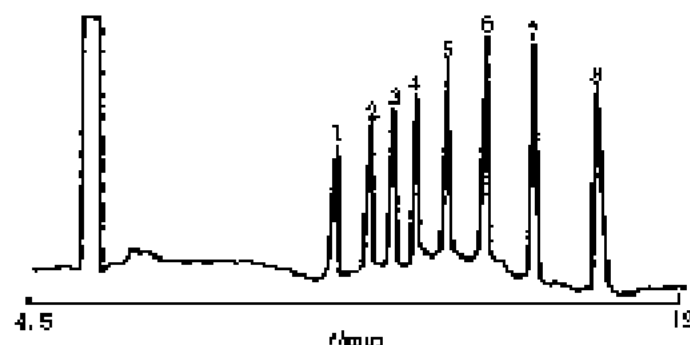
色谱峰: 1— α -葡萄糖, 2— N -乙酰半乳糖胺, 3—鼠李糖, 4—木糖, 5— N -乙酰葡萄糖胺, 6—葡萄糖, 7—甘露糖, 8—阿拉伯糖, 9—岩藻糖, 10—半乳糖, 11— β -吡喃乙胺
 毛细管柱: 有效长度 55 cm, 总长度 57 cm, 内径 25 μ m
 缓冲溶液: 50 mmol \cdot L⁻¹ 硼砂 pH10.5
 进样: 虹吸进样 5 cm, 10 s
 温度: 25°C
 电压: 20 kV
 检测器: 紫外(254 nm)

图 15-55 单糖的电泳分离谱图 (一)^[10]

色谱峰: 1—D-岩藻糖, 2—D-半乳糖, 3—D-葡萄糖, 4—L-鼠李糖, 5—D-核糖, 6—D-甘露糖, 7— N -乙酰葡萄糖, 8— N -乙酰岩藻糖, 9—D-葡萄糖胺
 毛细管柱: 有效长度 45 cm, 总长度 73 cm, 内径 50 μ m
 缓冲溶液: 20 mmol \cdot L⁻¹ β -吡喃乙胺-5 mmol \cdot L⁻¹ Na_2HPO_4 pH12.31
 进样: 分流进样, 分流比=1:970
 电压: 30 kV
 检测器: 紫外(254 nm)

图 15-56 单糖的电泳分离谱图 (二)^[10]

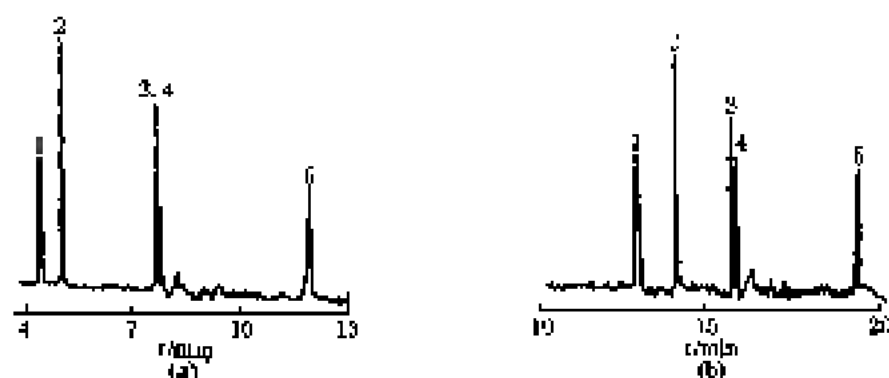
色谱峰: 1—岩藻糖, 2—岩藻糖, 3—甘露糖, 4—葡萄糖, 5—乙酰氨基半乳糖, 6—氨基半乳糖, 7—木糖
 毛细管柱: 有效长度 70 cm, 内径 50 μ m
 缓冲溶液: 120 mmol \cdot L⁻¹ 硼砂, pH10.2
 温度: 28°C
 电压: 20 kV
 检测器: 荧光检测



色谱峰: 1— C_{12} -磷酸根, 2— C_{11} -磷酸根, 3— C_{10} -磷酸根, 4— C_9 -磷酸根, 5— C_8 -磷酸根, 6— C_7 -磷酸根, 7— C_6 -磷酸根, 8— C_5 -磷酸根

毛细管柱: 有效长度 52 cm, 总长度 80 cm, 内径 75 μ m
 缓冲溶液: 10 mmol \cdot L⁻¹ 磷酸盐用 100 mmol \cdot L⁻¹ NaOH 调至 pH10.0, 20% 乙醇
 进样: 虹吸进样 30 s
 温度: 室温
 电压: 20 kV
 检测器: 紫外(254 nm)

图 15-57 直链烷基磷酸基的电泳分析谱图

图 15-58 肽的毛细管电泳分离图^[10]

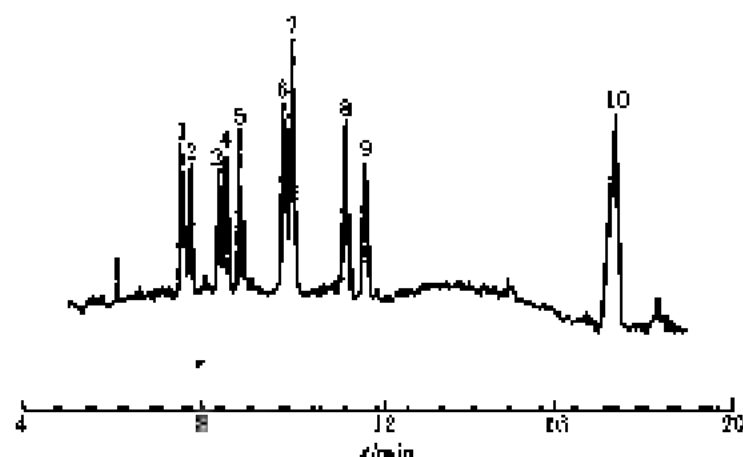
色谱峰：1—缬氨酰胺，2—促黄体激素，3— $[\text{V}_2\text{P}]$ -血管紧张肽 II，4—血管紧张肽 II，5—血管紧张素 I

毛细管柱：有效长度 70 cm，内径 17 μm ，内壁键合五氟芳基

缓冲溶液：0.25 mmol $\cdot \text{L}^{-1}$ 磷酸盐，0.08 mmol $\cdot \text{L}^{-1}$ 八烷基苄基吡啶 pH7.0

电 压：电场强度 250 V $\cdot \text{cm}^{-1}$

检测器：紫外 (216 nm)

图 15-59 苯甲酸及氯代苯甲酸的电泳分离图^[10]

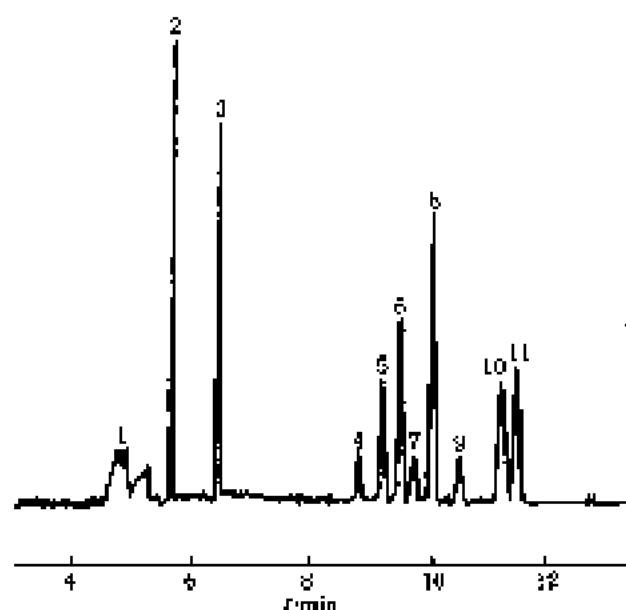
色谱峰：1—2, 3, 5-三氯代苯甲酸；2—2, 4, 5-三氯代苯甲酸；3—2, 4, 6-三氯代苯甲酸；4—2, 3, 6-三氯代苯甲酸；5—2, 5-二氯代苯甲酸；6—4-氯代苯甲酸；7—4-氯代苯甲酸；8—2, 6-二氯代苯甲酸；9—3-氯代苯甲酸；10—苯甲酸

毛细管柱：有效柱长 30 cm；总柱长 37 cm，内径 50 μm

缓冲溶液：50 mmol $\cdot \text{L}^{-1}$ 磷酸盐，50% β -CD-SBCE (b) pH3.1

电 压：-10 kV

检测器：紫外 (214 nm)

图 15-60 苯甲酸类化合物的电泳梯度分离谱图^[56]

色谱峰: 1—2, 4-二甲基苯酚; 2—苯酚; 3—4-氯-3-甲基苯甲酸; 4—五氯苯甲酸; 5—8, 4, 6-氯苯甲酸; 6—2-甲基-4, 6-二氯苯甲酸; 7—2, 4-二氯苯甲酸; 8—2-氯苯甲酸; 9—2, 4-二硝基苯甲酸; 10—4-硝基苯甲酸; 11—3-硝基苯甲酸

毛细管柱: 有效柱长 56 cm, 总柱长 64.5 cm, 内径 75 μ m

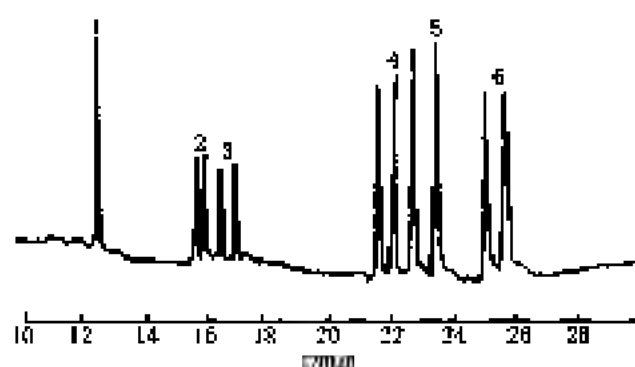
缓冲溶液: 20 mmol/L L^{-1} 硼酸盐, pH=9.9±0.1

进样: 5 kPa, 10 s

温度: 35℃

电压: 20 kV 5 min, (5~7) min 降至 7.5 kV 保持 15 kV

检测器: 紫外(220 nm)

图 15-61 苯基酰胺类化合物手性分离的电泳谱图^[56]

色谱峰: 1—苯乙酰胺(内峰); 2—苯异丙胺; 3—*N*-甲基苯异丙胺; 4—3, 4-二甲基二氧苯异丙胺; 5—3, 4-二甲基二氧 *N*-甲基苯异丙胺; 6—4, 4'-二甲基二氧 *N*-乙酰苯异丙胺

毛细管柱: 有效长度 58 cm, 总长度 65 cm, 内径 50 μ m

缓冲溶液: 20 mmol/L 1^{-1} HEP- β -CD

进样: 压力进样

温度: 15℃

电压: 20 kV

检测器: 紫外(260 nm)

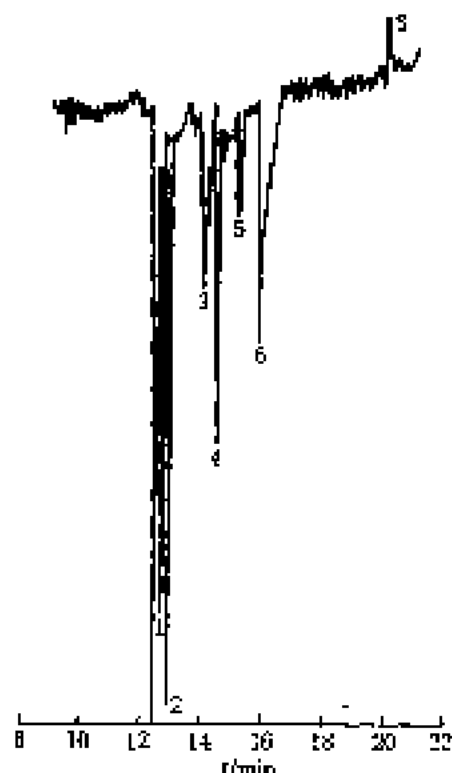


图 15-62 非电活性的氨基酸和二肽间接安培法检测 CZE 谱图^[63]

色谱峰: 1—赖氨酸 ($8.5 \mu\text{mol}$); 2—精氨酸 ($8.2 \mu\text{mol}$); 3—组氨酸 ($7.4 \mu\text{mol}$); 4—精氨酸-亮氨酸 ($7.0 \mu\text{mol}$); 5—组氨酸-甘氨酸 ($6.4 \mu\text{mol}$); 6—组氨酸-苯丙氨酸 ($3.8 \mu\text{mol}$); 7—系统峰; DHBA; 8—丙氨酸
毛细管柱: $97 \text{ cm} \times 9 \mu\text{m}$, 检测毛细管 1.0 cm
缓冲溶液: $25 \text{ mmol} \cdot \text{L}^{-1}$ 2-[N-吗啉]乙醇酸, 0.01 mmol DHBA, pH 5.85
电压: 20 kV
检测器: 间接安培法检测

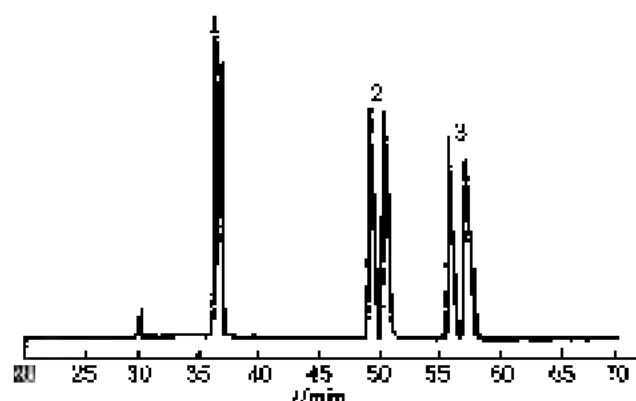


图 15-63 非拉明类化合物手性分离电泳谱图^[64]

色谱峰: 1—L,D-非拉明; 2—L,D-氢代非拉明; 3—L,D-溴代非拉明
毛细管柱: 有效长度 50 cm , 内径 $30 \mu\text{m}$
缓冲溶液: $100 \text{ mmol} \cdot \text{L}^{-1}$ 磷酸钠盐, $50 \text{ mmol} \cdot \text{L}^{-1}$ β -CD, $5 \text{ mol} \cdot \text{L}^{-1}$ 尿素, pH 8.5
样品: 真空干燥 7.5 g
电压: $200 \text{ V} \cdot \text{cm}^{-1}$
检测器: 紫外 (200 nm)

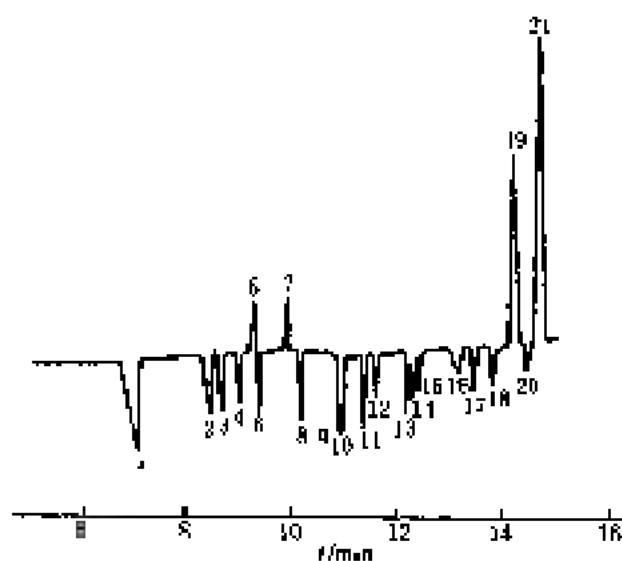
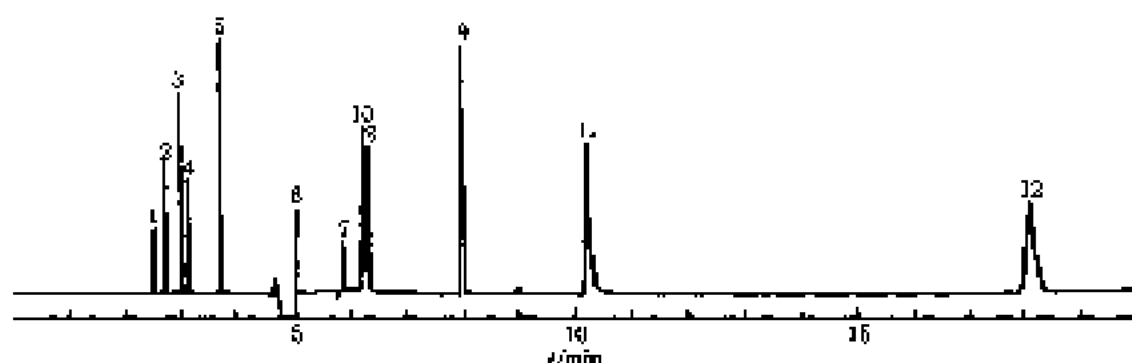


图 15-64 标准苯胺类化合物的电泳分离谱图^[65]

色谱峰: 1—氨; 2—甲酸; 3—1,3-二氨基丙烷; 4—1,4-丁二胺; 5—组胺; 6—1,5-戊二胺; 7—氨基丁胺; 8—乙醇胺; 9—乙醇胺; 10—正丙胺; 11—正丙胺, 吗啉; 12—异丙胺; 13—二乙胺; 14—丁胺; 15—精胺; 异丁胺; 16—正戊胺; 异戊胺; 17—1-甲基丁胺; 18—己胺; 19—苯乙醇; 20—度胺; 21—酚胺

毛细管柱: 有效柱长 55 cm , 总柱长 65 cm , 内径 $75 \mu\text{m}$, 外径 $375 \mu\text{m}$
缓冲溶液: $4 \text{ mmol} \cdot \text{L}^{-1} \text{Cu}_2(\text{PO}_4)_3$, $4 \text{ mmol} \cdot \text{L}^{-1}$ 甲酸, $4 \text{ mmol} \cdot \text{L}^{-1}$ 18-冠醚-6, pH 3.0
样品: $7 \text{ kV} \cdot 10 \text{ s}$
温度: 20°C
电压: 10 kV
检测器: 紫外 (210 nm)

图 15-65 药物混和物的电泳分离谱图^[9]

色谱峰: 1—苯丙胺; 2—麻黄碱; 3—左吗啡; 4—右吗啡; 5—吗啡; 6—重氮吗啡; 7—苯甲胺; 8—内消旋-2, 3-二苯基琥珀酸; 9—4-(二羟基苯磺酸基) 苯甲胺; 10—氯吗啡; 11—1, 2-苯二乙胺; 12—依替尼胺

毛细管柱: 有效长度 60 cm, 总长度 68.6 cm, 内径 50 μm

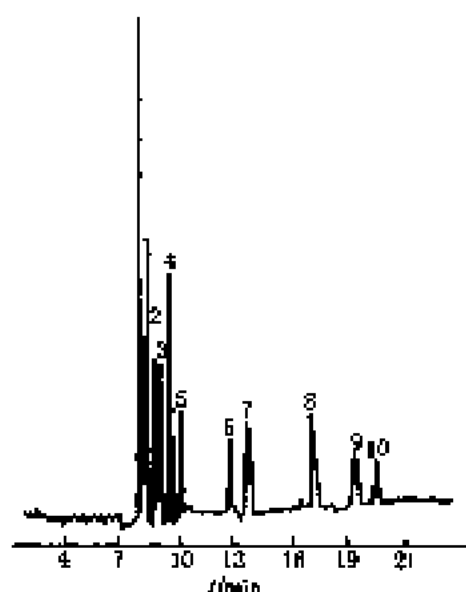
缓冲溶液: 甲酸-乙醇-乙腈 (体积比=50:49:1), $20\text{mmol} \cdot \text{L}^{-1}$ 乙酸铵

进样: 5 μL 3 μ

温度: 22 $^{\circ}\text{C}$

电压: 30 kV

检测器: 紫外(214 nm)

图 15-66 氨基酸的电泳分离谱图^[10]

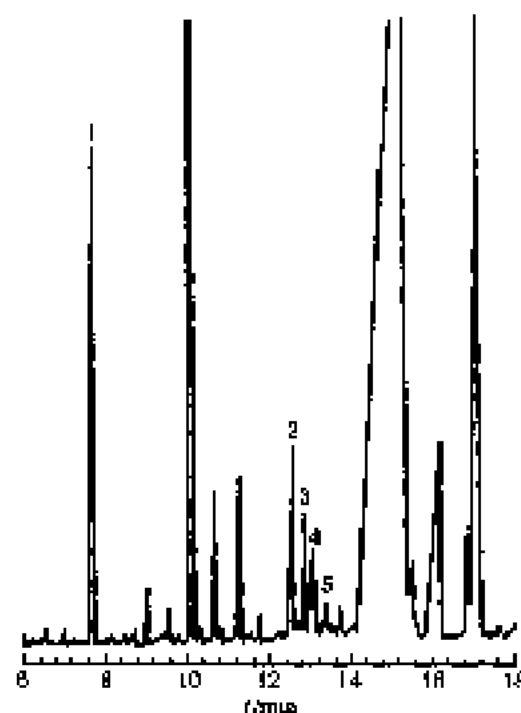
色谱峰: 1—脯氨酸; 2—乙氨酸; 3—丙氨酸; 4—苯丙氨酸; 5—丝氨酸; 6—谷氨酸; 7—天冬氨酸; 8—半胱氨酸; 9—谷氨酰胺; 10—天冬酰胺; 0—0.3% 甲酸作电泳液标记

毛细管柱: 有效长度 36 cm, 总长度 49 cm, 内径 50 μm

缓冲溶液: $0.05\text{mol} \cdot \text{L}^{-1}$ 四硼酸钠溶液, pH9.8

电压: 13.5 kV

检测器: 激光干涉折射指数检测

图 15-67 淋巴细胞中 12P-Sugars 脱蛋白液的电泳分离谱图^[11]

色谱峰: 1—溴凡甘; 2—鸟苷二磷酸乙胺葡萄糖; 3—鸟苷二磷酸乙胺半乳糖; 4—鸟苷二磷酸葡萄糖; 5—鸟苷二磷酸半乳糖

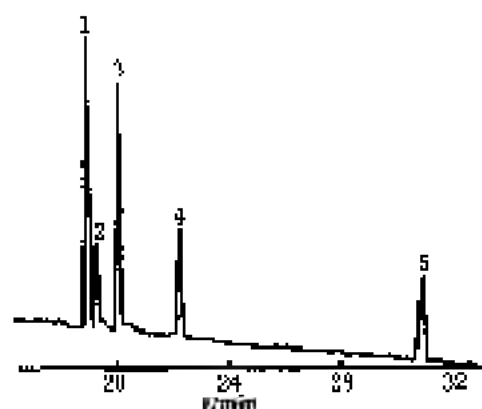
毛细管柱: 有效柱长 70 cm, 总柱长 76.5 cm, 内径 50 μm

缓冲溶液: $20\text{mmol} \cdot \text{L}^{-1}$ Na_2PO_4 pH3

进样: 重力进样 150 mm, 50 s

电压: 22 kV

检测器: 紫外(262 nm)

图 15-68 混合肽标准品的电泳分离谱图^[40]

色谱峰: 1—P 物质; 2—神经氨酸; 3—神经氨酸肽; 4—生长激素释放的抑制因子; 5—P 物质片段

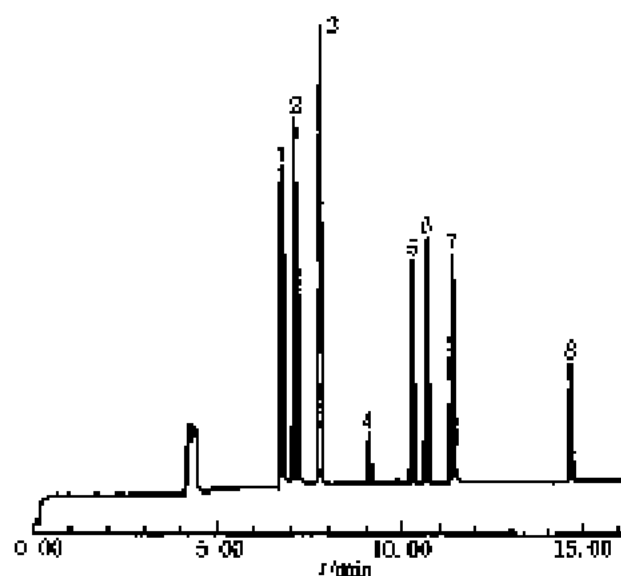
毛细管柱: 长款长度 60 cm, 内径 50 μm

缓冲溶液: $0.1 \text{ mol} \cdot \text{L}^{-1}$ pH2.7 硼酸缓冲液

进样: 重力进行, 30 s

电压: 12 kV

检测器: 紫外(214 nm)

图 15-69 羟基芳香族的 CZE 谱图^[41]

色谱峰: 1—3, 4, 5—三甲氧基肉桂醛; 2—3, 4—二甲氧基肉桂醛; 3—4—甲氧基肉桂醛; 4—芥子醛; 5—肉桂醛;

6—*p*-香豆醛; 7—*p*-香豆醛; 8—肉桂醛

毛细管柱: 柱长 50 cm, 内径 75 μm

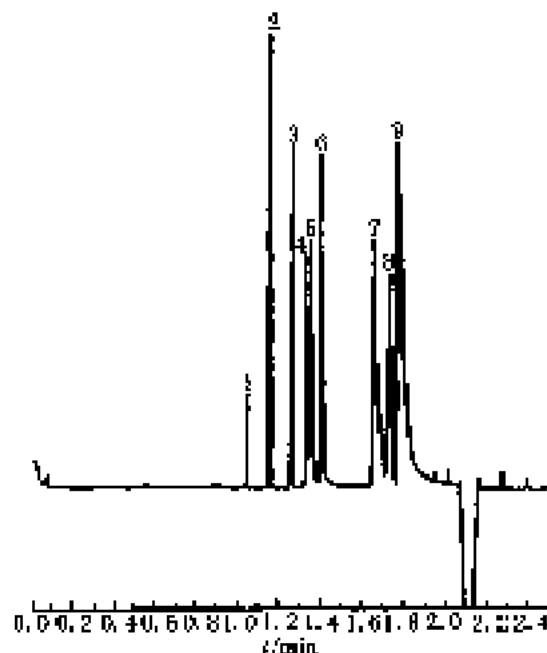
缓冲溶液: $0.1 \text{ mol} \cdot \text{L}^{-1}$ 硼酸钠, pH9.5

进样: 重力, 2 s

温度: 30°C

电压: 20 kV

检测器: 紫外(330 nm)

图 15-70 羟基苯甲酚和二羟基苯甲酚的电泳分离谱图^[42]

色谱峰: 1—1, 3, 4, 5-苯四酚; 2—3, 6-二羟基苯甲酚; 3—水杨酸; 4—2, 5-二羟基苯甲酚; 5—2, 6-二羟基苯甲酚; 6—2, 4-二羟基苯甲酚; 7—3, 5-二羟基苯甲酚; 8—4-羟基苯甲酚; 9—3, 4-二羟基苯甲酚

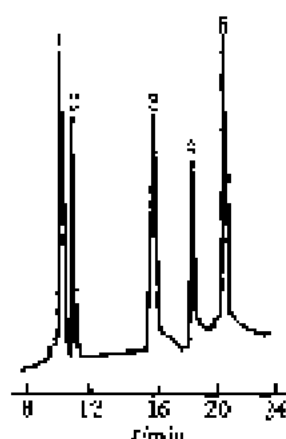
毛细管柱: 有效柱长 43 cm, 总柱长 60 cm, 内径 75 μm

缓冲溶液: $25 \text{ mmol} \cdot \text{L}^{-1}$ 乙酸钠, $0.01 \text{ mg} \cdot \text{mol}^{-1}$ HED, 甲腈—乙醇 (体积比=50:50)

进样: 重力 5 cm, 10 s

电压: 20 kV

检测器: 紫外(214 nm)

图 15-71 蛋白质的电泳分离谱图^[21]

色谱峰: 1— β 乳球蛋白 A; 2— β 乳球蛋白 B; 3—乳清蛋白;

4—酪蛋白; 5—血红蛋白 A

毛细管柱: 总长度 50 cm, 内径 50 μ m, 内装 PEG 400 交联
脲衍

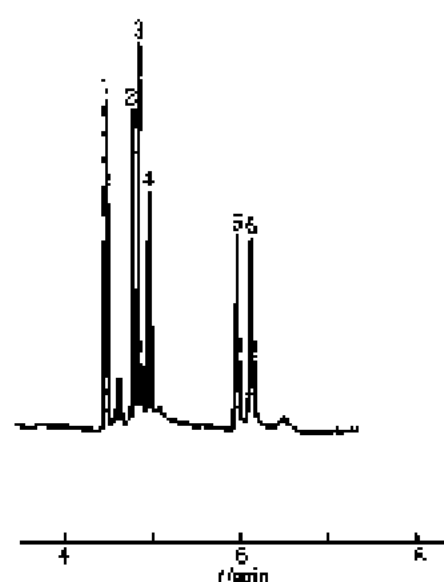
缓冲液: $0.3 \text{ mol} \cdot \text{L}^{-1}$ 硼酸盐

进样: 8 kV, 2 s

温度: 室温

电压: 8 kV

检测器: 紫外 (200 nm)

图 15-72 蛋白质的电泳分离谱图^[22]

色谱峰: 1—豚骨骼肌肌红蛋白; 2—马心肌肌红蛋白; 3—尿酸脲

酶 B; 4—尿酸脲酶 A; 5— β 乳球蛋白 B; 6— β 乳
蛋白 A

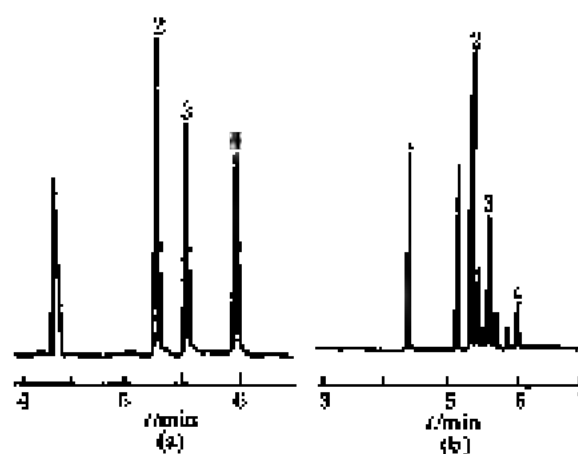
毛细管柱: 有效长度 55 cm, 总长度 101 cm, 内径 50 μ m

缓冲液: $20 \text{ mmol} \cdot \text{L}^{-1}$ 硼酸盐 pH2.25

温度: 室温

电压: 50 kV

检测器: 紫外

图 15-73 黄莲的电泳分离谱图^[21]

色谱峰: 1—内酯物; 2—小檗碱; 3—巴马汀; 4—药根碱

毛细管柱: 有效长度 50 cm, 总长度 57 cm, 内径 75 μ m

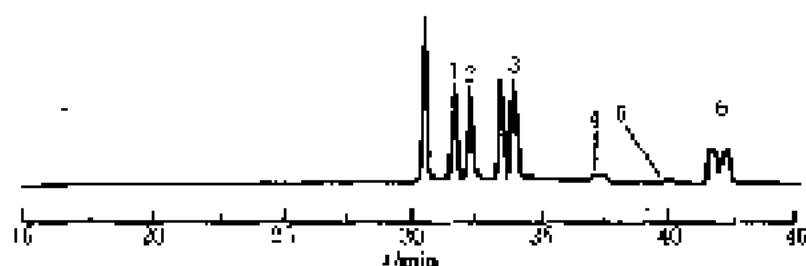
缓冲液: $80 \text{ mmol} \cdot \text{L}^{-1} \text{Na}_2\text{HPO}_4$ (用 H_3PO_4 调至 pH7.0) + 甲醇 (体积比 = 65 : 35)

进样: 电压 2 s

温度: 30 $^{\circ}\text{C}$

电压: 14 kV

检测器: 紫外 (254 nm)

图 15-74 甘草酸及其代谢产物的电泳手性分离图^[24]

色质峰: 1—DIP-HCL; 2—Pr-HCL; 3—4-OH-Pr-HCL; 4—DEP-HCL; 5—杂质; 6—5'-OH-Pr-HCL

毛细管柱: 有效柱长 52.8 cm, 总柱长 66.3 cm, 内径 50 μ m

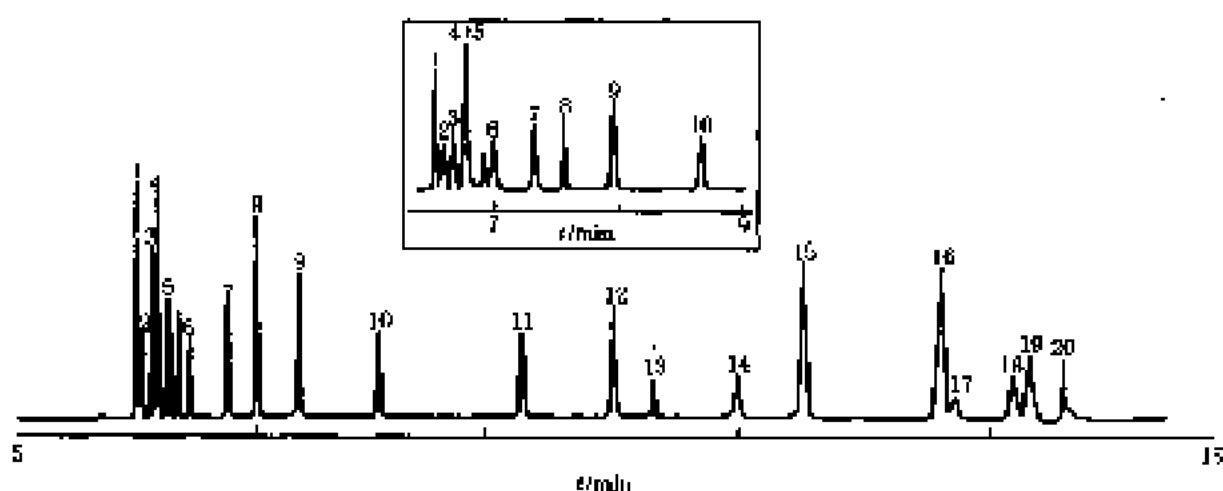
缓冲溶液: 100 mmol/L 磷酸-三乙醇胺; 17.4 mmol/L 11 HP- β -D, pH6.66

进样: 5 kPa, 1 s

电压: 20 kV

温度: 20°C

检测器: 紫外

图 15-75 氯代苯甲酸样品的 GC/MS 谱图^[25]

色质峰: 1—1, 2, 5-三氯代苯甲酸; 2—1, 2, 4, 5-四氯代苯甲酸; 3—2, 3, 5-三氯代苯甲酸; 4—1, 2, 3, 4, 5-五氯代苯甲酸; 5—1, 3, 5-三氯代苯甲酸; 6—1, 2, 3, 4-四氯代苯甲酸; 7—1, 2, 4-三氯代苯甲酸; 8—1, 3-二氯代苯甲酸; 9—1, 2, 4-三氯代苯甲酸; 10—1, 3, 5-三氯代苯甲酸; 11—1, 4-二氯代苯甲酸; 12—2, 3, 4-三氯代苯甲酸; 13—1, 3-二氯代苯甲酸; 14—1, 3-二氯代苯甲酸; 15—2, 4-二氯代苯甲酸; 16—2, 5-二氯代苯甲酸; 17—1-氯代苯甲酸; 18—2-氯代苯甲酸; 19—3-氯代苯甲酸; 20—苯甲酸

毛细管柱: 有效柱长 50 cm, 总柱长 64.5 cm, 内径 50 μ m

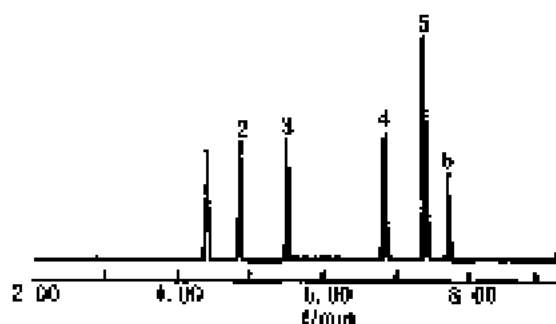
缓冲溶液: 20% 甲醇-乙腈/磷酸盐缓冲液 pH7.8, 1.25 mmol/L 11 磷酸盐缓冲液 $w=0.001\%$ HDB

进样: 5 kPa, 5 s

电压: -30 kV

温度: 25°C

检测器: 紫外 (215 nm)



色质峰: 1—C; 2—T; 3—U; 4—HEFU; 5—FU; 6—5-FU

毛细管柱: 有效柱长 75 cm, 内径 75 μ m

缓冲溶液: 磷酸缓冲液, pH5.25

进样: 真空进样 1 s

温度: 35°C

电压: 20 kV

检测器: 紫外 (270 nm)

图 15-76 嘧啶碱的电泳分离谱图^[26]

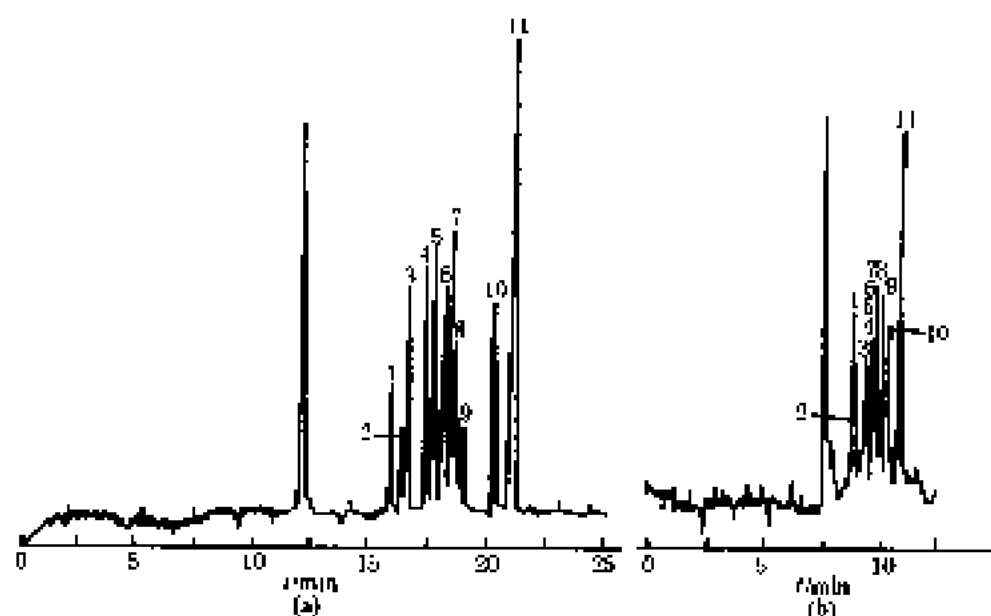


图 15-77 糖-2-氨基苯甲酸乙酯衍生物的电泳分离谱图^[77]

色谱峰: 1—Glc α (1 \rightarrow 4) [Glc α (1 \rightarrow 4)]₂Glc; 2—Glc α (1 \rightarrow 4) [Glc α (1 \rightarrow 4)]₂Glc; 3—Glc α (1 \rightarrow 6)Glc α (1 \rightarrow 4)Glc α (1 \rightarrow 4)Glc; 4—Glc α NAc β (1 \rightarrow 6)GlcNAc; 5—Glc α (1 \rightarrow 4)Glc; 6—Glc β (1 \rightarrow 4)Glc; 7—Glc β NAc β (1 \rightarrow 4)Glc (4 \rightarrow 1)Fucal; 8—Glc α NAc β (1 \rightarrow 6)Glc β (1 \rightarrow 4)Glc; 9—Gal β (1 \rightarrow 3)GlcNAc β (1 \rightarrow 3)Gal β (1 \rightarrow 4)Glc; 10—Gal α (1 \rightarrow 4)Gal; 11—Glc

毛细管柱: 有效长度 47 cm, 总长度 70 cm, 内径 50 μ m

电压 12kV

缓冲溶液: 50 mmol \cdot L⁻¹硼酸, pH9.66

检测器: 紫外(254 nm)

进样: 高压进样 20 cm 20 s

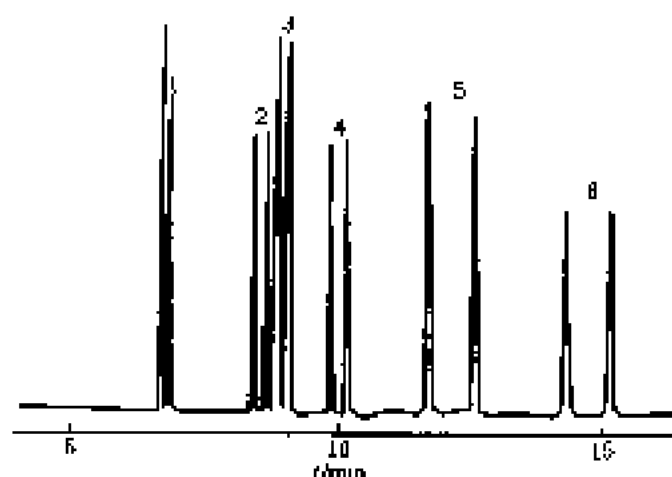


图 15-78 碱性药物的电泳手性分离谱图^[78]

色谱峰: 1—二甲胍林; 2—依替胍林; 3—异丙肾上腺素; 4—克仑特罗; 5—米安色林; 6—高托咪啉

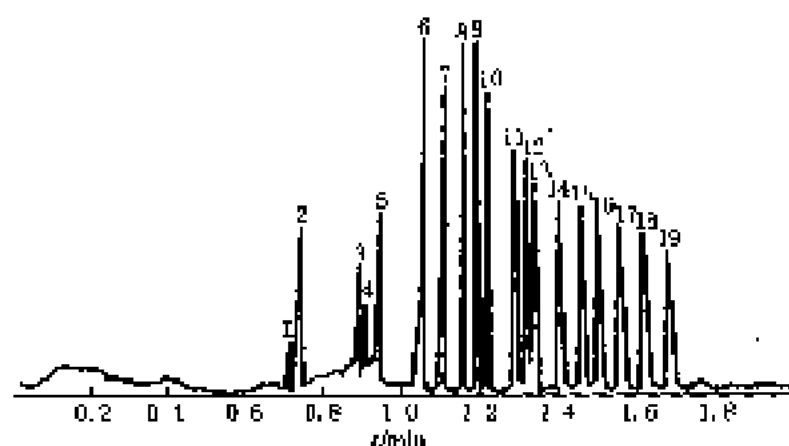
毛细管柱: 有效长度 40 cm, 内径 50 μ m

缓冲溶液: 0.5% HP- β -CD, 50 mmol \cdot L⁻¹磷酸盐 pH3.3

温度: 21 $^{\circ}$ C

电压: 场强 400 V \cdot cm⁻¹

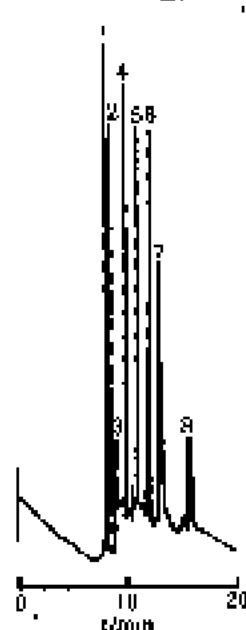
检测器: 紫外 (200 nm ~ 205 nm)

图 15-79 碱金属、碱土金属和稀土离子的电泳分离谱图^[20]

色谱峰:

1—铯, 2—铷, 3—钫, 4—铊, 5—铟, 6—铊, 7—铊, 8—铊, 9—铊, 10—铊, 11—铊, 12—铊, 13—铊, 14—铊, 15—铊, 16—铊, 17—铊, 18—铊, 19—铊

毛细管柱: 总长度 30.0 cm, 内径 75 μ m
缓冲溶液: $4.0 \text{ mmol} \cdot \text{L}^{-1}$ HIBA, $10 \text{ mmol} \cdot \text{L}^{-1}$ UV, Cat-1
pH: 1
进样: 虹吸进样 20 s
电压: 20 kV
检测器: 间接紫外 (214 nm)

图 15-80 酸性和碱性蛋白质的电泳分离谱图^[20]

色谱峰: 1—血红蛋白 C, 2—糖原酶, 3—乳酸脱氢酶, 4—肌蛋白酶, 5—胰蛋白酶, 6— α -胰凝乳蛋白酶, 7— β -乳球蛋白 A, 8—溶酶体酶

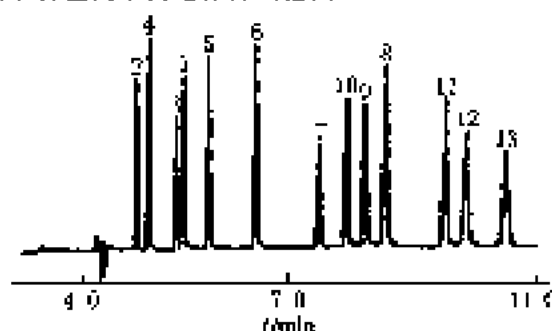
毛细管柱: 有效柱长 41 cm, 总长度 44 cm, 内径 50 μ m

缓冲溶液: $10 \text{ mmol} \cdot \text{L}^{-1}$ 磷酸盐 pH 4.5

进样: 虹吸进样 3 cm, 8 s

电压: 10 kV

检测器: 紫外 (200 nm)

图 15-81 磷酸类化合物的电泳分离谱图^[20]

色谱峰: 1—磷酸二甲酯, 2—磷酸三甲酯, 3—磷酸四甲酯, 4—磷酸五甲酯, 5—磷酸六甲酯, 6—磷酸七甲酯, 7—磷酸八甲酯, 8—磷酸九甲酯, 9—磷酸十甲酯, 10—磷酸十一甲酯, 11—磷酸十二甲酯, 12—磷酸十三甲酯, 13—磷酸十四甲酯

毛细管柱: 有效柱长 38 cm, 总柱长 43 cm, 内径 50 μ m

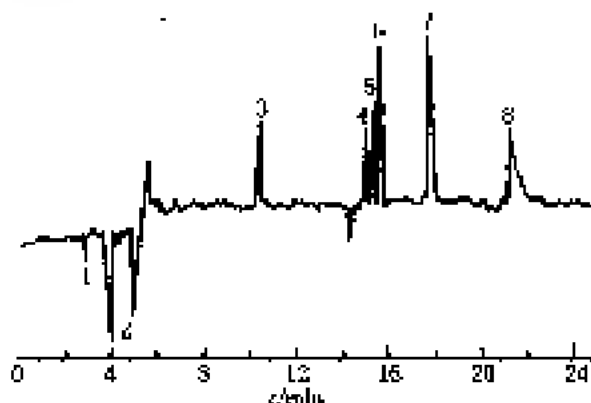
缓冲溶液: $60 \text{ mmol} \cdot \text{L}^{-1}$ 磷酸盐缓冲液

进样: 压力 2 s

温度: 25°C

电压: 15 kV

检测器: 紫外 (254 nm)

图 15-82 盐、无机阳离子和氨基酸的同时分离谱图^[20]

色谱峰: 1— K^+ , 2— Na^+ , 3—谷氨酸, 4—亮氨酸, 5—缬氨酸, 6—缬氨酸, 7—大亮氨酸, 8—谷氨酸

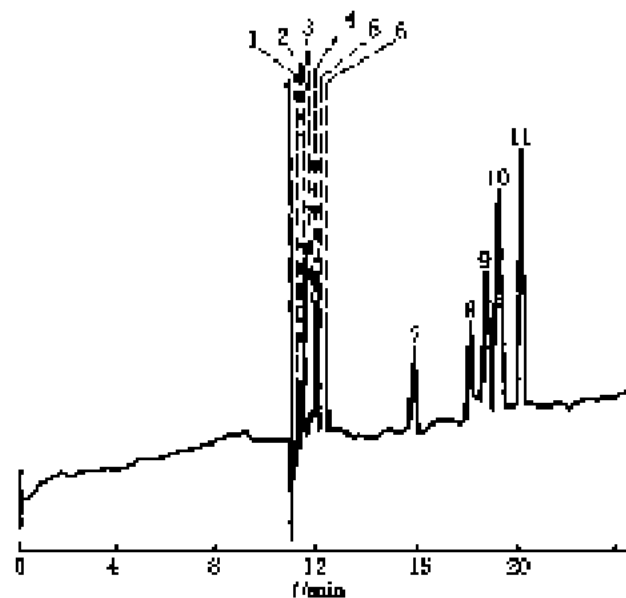
毛细管柱: 有效柱长 50 μ m, 总柱长 73 μ m, 内径 50 μ m

缓冲溶液: $50 \text{ mmol} \cdot \text{L}^{-1}$ NH_4^+ H_2O , pH 11.5

进样: 5 μ m, 50 s

电压: 15 kV

检测器: 紫外 (245 nm)

图 15-83 糖及糖酸的电泳分离谱图^[43]

色谱峰: 1—糖子糖; 2—2-脱氧-D-核糖; 3—半乳糖; 4—葡萄糖; 5—果糖; 6—甘露糖; 7—N-乙酰神经氨酸; 8—葡萄糖酸; 9—半乳糖酸; 10—葡萄糖酸; 11—甘露糖酸

毛细管柱: 有效长度 160 cm, 总长度 122 cm, 内径 50 μm

缓冲液: $6 \text{ mmol} \cdot \text{L}^{-1}$ 山梨酸盐, pH12.1

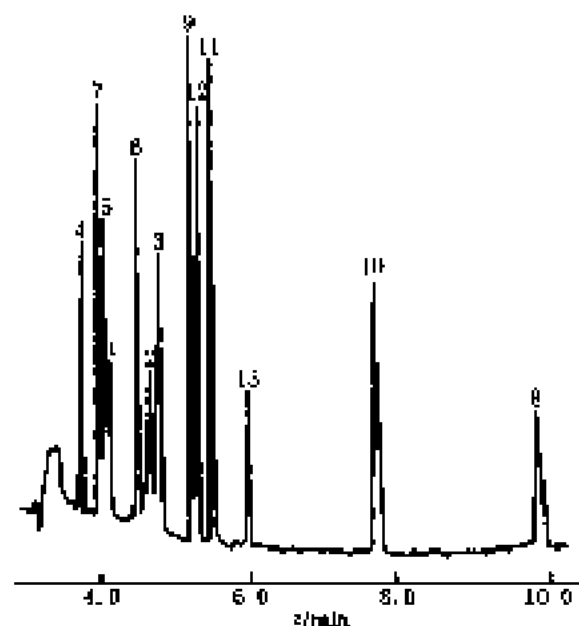
试样: 真空 2

温度: 30 $^{\circ}\text{C}$

电压: 20 kV

检测器: 紫外 (256 nm)

第二节 胶束电动毛细管色谱谱图

图 15-84 13 种氮酮酸的 MEKC 谱图^[24]

色谱峰: 1—磺胺嘧啶; 2—磺胺二甲嘧啶; 3—磺胺甲氧嘧啶; 4—磺胺噻唑啶; 5—磺胺二甲噻唑啶; 6—磺胺对甲氧嘧啶; 7—磺胺嘧啶; 8—磺胺噻唑啶; 9—磺胺甲氧嘧啶; 10—磺胺二甲噻唑啶; 11—磺胺噻唑啶; 12—取代-N-甲噻唑; 13—取代异噻唑

毛细管柱: 柱长 44 cm, 内径 50 μm

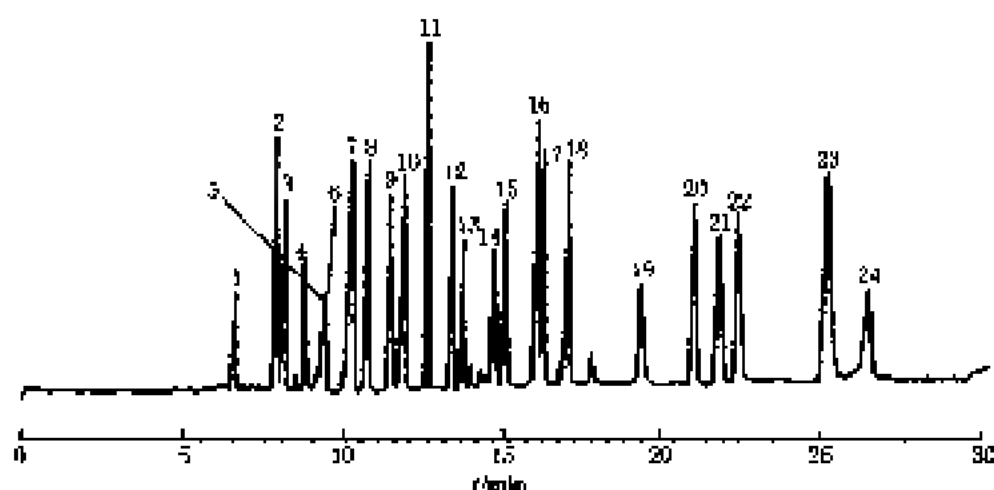
缓冲液: $50 \text{ mmol} \cdot \text{L}^{-1}$ $50 \text{ mmol} \cdot \text{L}^{-1}$ 硼酸盐, 含 $40 \text{ mol} \cdot \text{L}^{-1}$ SDS Ph6.8

试样: 压力 1 s

温度: 25 $^{\circ}\text{C}$

电压: 20 kV

检测器: 紫外 (214 nm)

图 15-85 24 种毒药的 MEKC 谱图^[45]

色谱峰: 1—氟西汀; 2—奥达西汀; 3—氟噻西汀; 4—氟噻唑仑; 5—依普唑仑; 6—地西泮; 7—三唑仑; 8—氟地西泮; 9—阿普唑仑; 10—氯西泮; 11—苯巴比妥; 12—文阿唑仑; 13—巴比妥; 14—甲苯比妥; 15—丙噻唑仑; 16—戊巴比妥; 17—司可巴比妥; 18—异戊巴比妥; 19—奥沙巴妥; 20—氟硝西泮; 21—氯西泮; 22—嗣甲西泮; 23—氯西泮; 24—嗣西泮

毛细管柱: PAA 涂覆柱

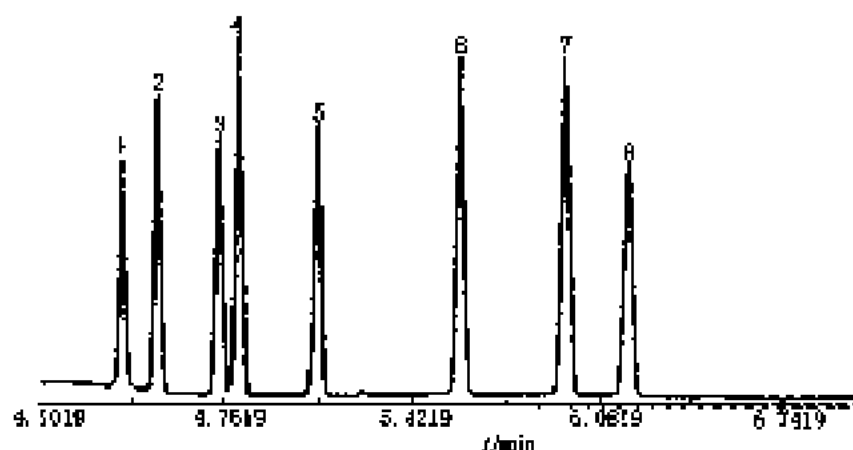
缓冲溶液: $100 \text{ mmol} \cdot \text{L}^{-1}$ 硼酸盐 (pH8) 3, $5 \text{ mol} \cdot \text{L}^{-1}$ 尿素, $10 \text{ mmol} \cdot \text{L}^{-1}$ SDS, 5% MeCN

电压: 5 kV, 5 μ A

电压: 300 V $\cdot \text{cm}^{-1}$ 场强

检测器: 紫外 (254 nm)

4

图 15-86 3 种激素的 MEKC 谱图^[46]

色谱峰: 1—睾酮丙酸酯; 2—黄体酮; 3—17-羟黄体酮; 4—睾酮; 5—1 β -去氧皮质酮; 6—21-去氧皮质酮; 7—皮质酮; 8—可的松

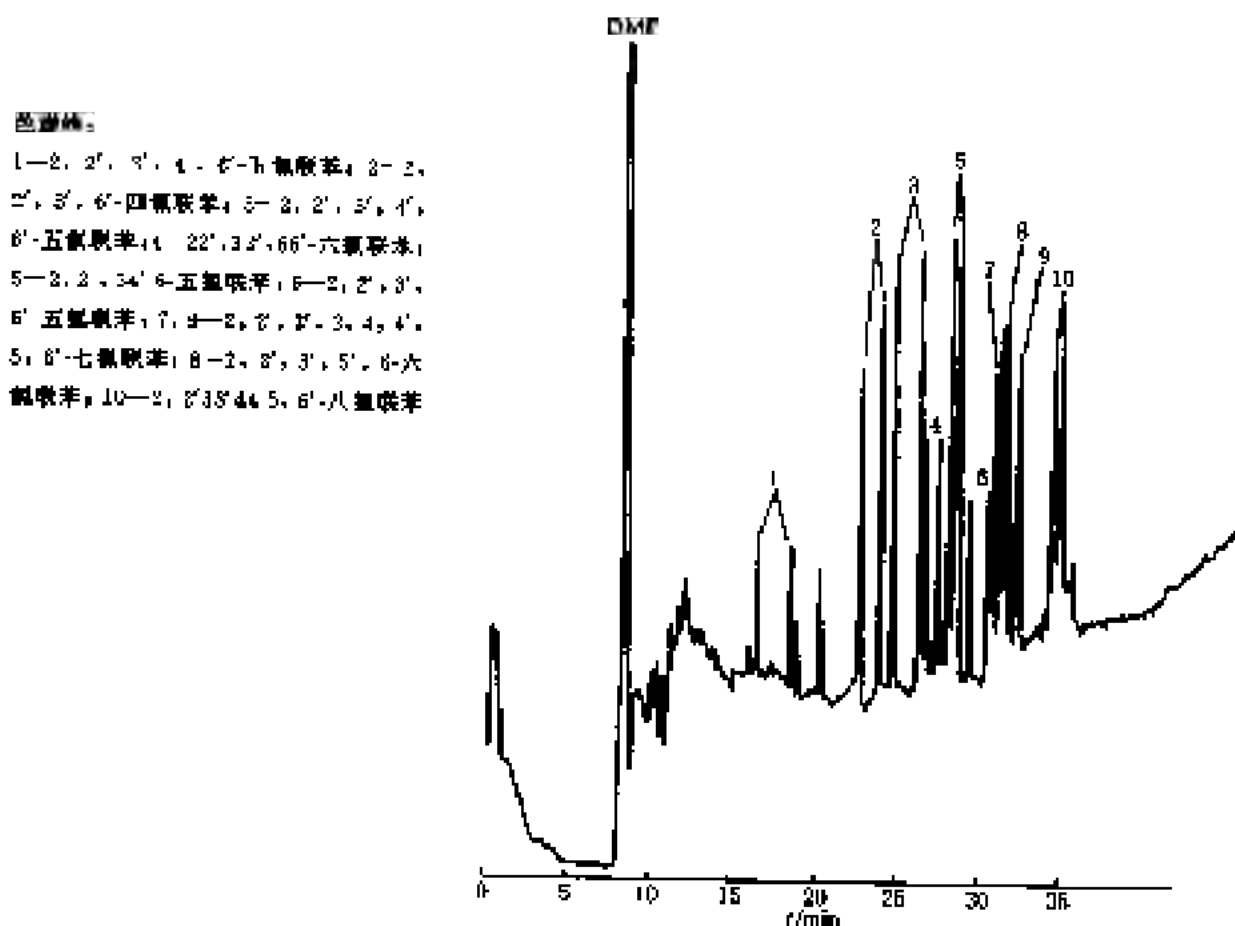
毛细管柱: 中性, CAP 毛细管, 有效柱长 37 cm, 内径 50 μm , 外径 375 μm

缓冲溶液: $100 \text{ mmol} \cdot \text{L}^{-1}$ SDS, $\varphi=20\%$ 乙醇, $20 \text{ mmol} \cdot \text{L}^{-1}$ ME, pH8

温度: 16 $^{\circ}\text{C}$

电压: 15 kV

检测器: 紫外 (254 nm)

图 15-87 9 种多氯联苯对映体的手性拆分谱图^[44]

毛细管柱: 有效柱长 65 cm, 内径 50 μm

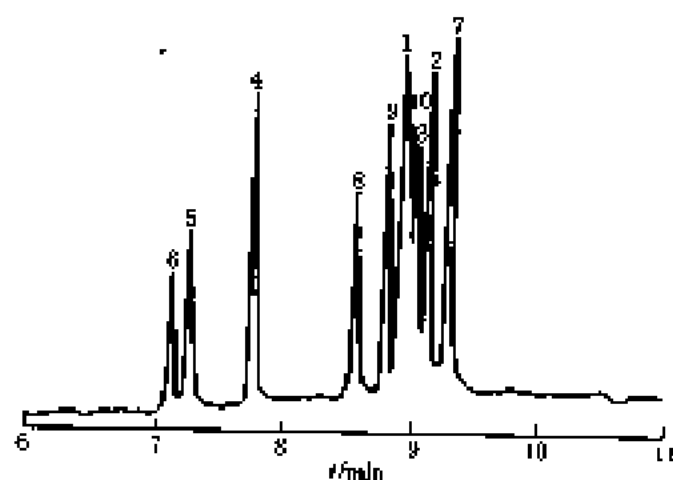
缓冲溶液: $0.10 \text{ mol} \cdot \text{L}^{-1}$ CHES (pH10.0), $2 \text{ mol} \cdot \text{L}^{-1}$ 尿素, $0.11 \text{ mol} \cdot \text{L}^{-1}$ SDS, $0.05 \text{ mol} \cdot \text{L}^{-1}$ γ -CD

进样: 2000 Pa , 0.05 min

电压: 15 kV

温度: 45°C

检测器: 紫外(235 nm)



色谱峰: 1—2,4-二硝基甲苯; 2—3,4-二硝基甲苯; 3—4-硝基甲苯; 4—1,2-二硝基苯; 5—1,4-二硝基苯; 6—1,4-二硝基苯; 7—2,3-二硝基甲苯; 8—2,4-二硝基甲苯; 9—2,6-二硝基甲苯; 10—3,4-二硝基甲苯

毛细管柱: 有效柱长 40 cm , 47 cm , 内径 $50 \mu\text{m}$, 外径 $360 \mu\text{m}$

缓冲溶液: $50 \text{ mmol} \cdot \text{L}^{-1}$ SDS + $10 \text{ mmol} \cdot \text{L}^{-1}$ HP- β -CD 溶于 $20 \text{ mmol} \cdot \text{L}^{-1}$ 磷酸盐缓冲液 pH9

进样: 压力进样 3.44 kPa , $5 \mu\text{s}$

电压: 10 kV

检测器: 紫外(214 nm)

图 15-88 10 种爆炸物的 MECC 分离谱图^[44]



图 15-89 三甲基苯异构体的 MECC 分离谱图^[24]

色谱峰: 1—2, 4, 6—三甲基甲苯; 2—2, 3, 6—三甲基甲苯; 3—2, 4, 6—三甲基甲苯; 4—2, 3, 5—三甲基甲苯; 5—2, 4, 5—三甲基甲苯; 6—2, 4, 5—三甲基甲苯

毛细管柱: 有效长度 47 cm, 总长度 60 cm, 内径 75 μ m
 缓冲溶液: $10 \text{ mmol} \cdot \text{L}^{-1} \text{Na}_2\text{B}_4\text{O}_7$ (pH 9.05),
 $50 \text{ mmol} \cdot \text{L}^{-1} \text{SDS}$, $10 \text{ mmol} \cdot \text{L}^{-1}$ 聚乙二醇十二烷基硫酸酯, $10 \text{ mmol} \cdot \text{L}^{-1} \text{NaH}_2\text{PO}_4$

进样: 微量进样
 检测器: 紫外 (254 nm)

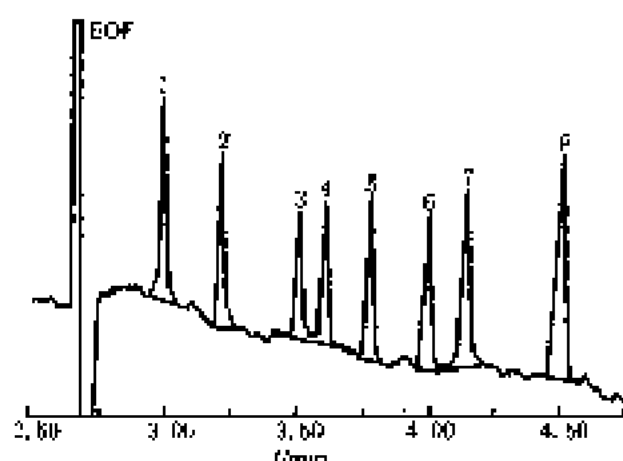


图 15-91 饱和及不饱和脂肪酸的 MECC 分离谱图^[24]
 色谱峰: 1— $\text{C}_{18:0}$, 2— $\text{C}_{18:1}$, 3— $\text{C}_{18:2}$, 4— $\text{C}_{18:3}$, 5— $\text{C}_{18:4}$, 6— $\text{C}_{18:5}$, 7— $\text{C}_{18:6}$, 8— $\text{C}_{18:7}$ ($\text{C}_{18:n}$, n 为偶数 m —碳链数)
 毛细管柱: 有效柱长 27.5 cm, 总柱长 35 cm, 内径 50 μ m
 缓冲溶液: $10 \text{ mmol} \cdot \text{L}^{-1} \text{Tris}$ - $5 \text{ mmol} \cdot \text{L}^{-1} \text{pH}$ 7.5 磷酸盐
 (pH 8.1)- $10 \text{ mmol} \cdot \text{L}^{-1} \text{Brij}$ 3; 正辛醇+水 (体积比
 $\approx 60:40$)

进样: 重力
 温度: 25°C
 电压: 30 kV
 检测器: 紫外 (254 nm)

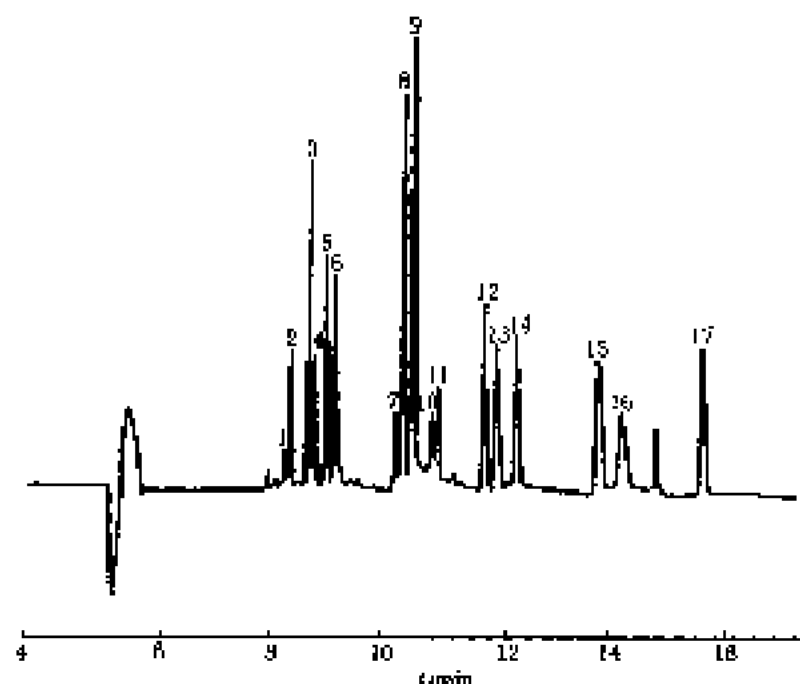


图 16-90 甾体化合物化合物的 MECC 分离谱图^[24]

色谱峰: 1—甾体化合物, 2—17-甾体化合物, 3—4-(二氢胆固醇衍生物) 衍生物, 4—可的松, 5—d-胆固醇, 6—4-胆固醇, 11- β - cd -3, 17-二酮; 7—皮质醇; 8—9- α -皮质醇乙酸酯; 9—地塞米松; 10—21-脱氢皮质醇; 11—孕酮; 12—4-雄烯-3, 17-二酮; 13—皮质酮; 14—11-脱氢皮质醇; 15—17 α -羟基孕酮; 16—21-脱氢皮质酮; 17—黄体酮

毛细管柱: 有效柱长 60 cm, 总柱长 68.5 cm

缓冲溶液: $40 \text{ mmol} \cdot \text{L}^{-1} \text{AMSPD}$, $18 \text{ mmol} \cdot \text{L}^{-1} \text{SDS}$, $55 \text{ mmol} \cdot \text{L}^{-1} \text{SC}$, pH 8.0

进样: 5000 Pa, 3 s

温度: 25°C

电压: 25 kV

检测器: 紫外 (254 nm)

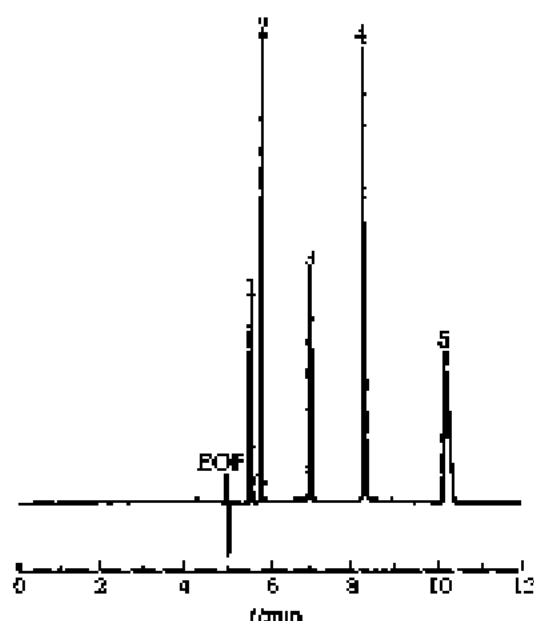


图 15-92 咖啡因等药物的 MEKC 分离谱图^[40]

色谱峰: 1—对乙酰氨基酚; 2—咖啡因; 3—愈创木酚
醚; 4—乙水杨酸; 5—异丙基安替比林

毛细管柱: 有效柱长 56 cm, 总柱长 66.5 cm, 内径 50 μm , 外径 375 μm

缓冲溶液: $20 \text{ mmol} \cdot \text{L}^{-1}$ Tris-硼酸盐 (pH6.5), $25 \text{ mmol} \cdot \text{L}^{-1}$ SDS

流速: $5 \text{ kPa} \cdot 2 \text{ s}$

温度: 25°C

电压: 20 kV

检测器: 紫外 (214 nm)

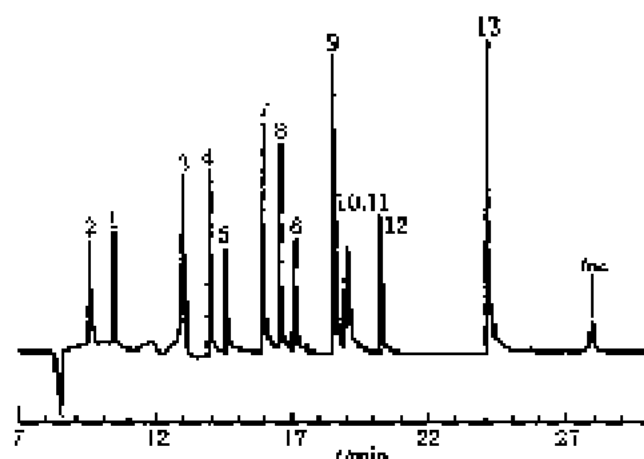


图 15-93 13 种苯胺类化合物的 MEKC 分离谱图^[50]

色谱峰: 1—苯胺; 2—磺胺; 3—4-甲基苯胺; 4—3-硝基苯胺; 5—4-硝基苯胺; 6—4-氯苯胺; 7—2-硝基苯胺; 8—2-溴苯胺; 9—3-溴苯胺; 10—4-氨基苯磺酸; 11—4-溴化钠; 12—4-异丙基苯胺; 13—3-4-二氯苯胺

毛细管柱: 柱长 87 cm, 内径 50 μm

缓冲溶液: $55 \text{ mmol} \cdot \text{L}^{-1}$ 硼酸盐 NaOH, pH10

流速: $100 \text{ nL} \cdot \text{s}^{-1}$

温度: 25°C

电压: 15 kV

检测器: 紫外 (214 nm)

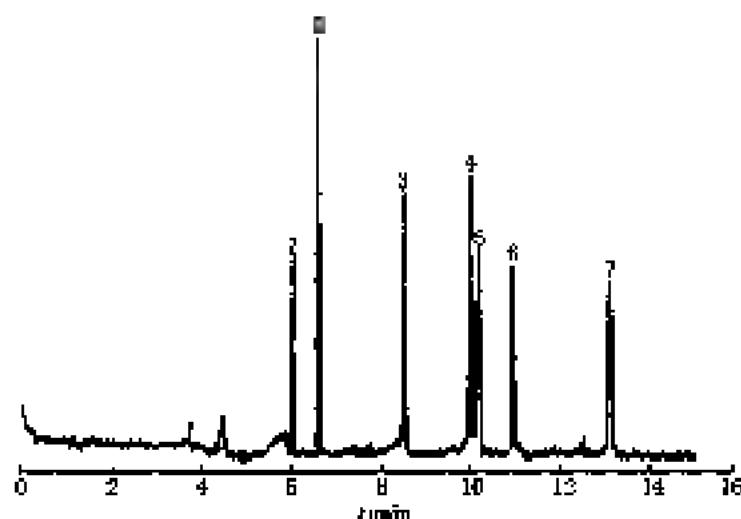


图 15-94 OPA/TATG 衍生化氨基酸的 MEKC 谱图^[50]

色谱峰: 1—L-谷氨酸; 2—L-谷氨酸; 3—L-苯丙氨酸; 4—D-缬氨酸; 5—亮氨酸; 6—异亮氨酸; 7—L-赖氨酸

毛细管柱: 有效柱长 40 cm, 总柱长 56.5 cm, 内径 50 μm

缓冲溶液: $45 \text{ mmol} \cdot \text{L}^{-1}$ SDS, $40 \text{ mmol} \cdot \text{L}^{-1}$ 硼酸盐 pH9.55, 1% 乙醇

电压: 15 kV

检测器: 激光诱导荧光

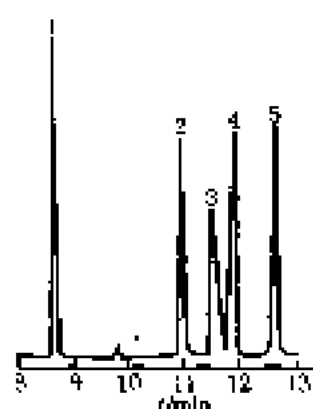


图 15-95 5 种二氢吡啶类钙拮抗剂的分离谱图^[10]

色谱峰: 1—硝苯地平; 2—尼群地平; 3—尼莫地平; 4—尼索地平; 5—尼卡地平

色谱柱: 75 cm/75 μ m, 有效长度 68 cm

缓冲溶液: 40 mmol \cdot L⁻¹ 硼砂—40 mmol \cdot L⁻¹ SDS

柱温: 40℃

电压: 24 kV

检测器: UV(200 nm)

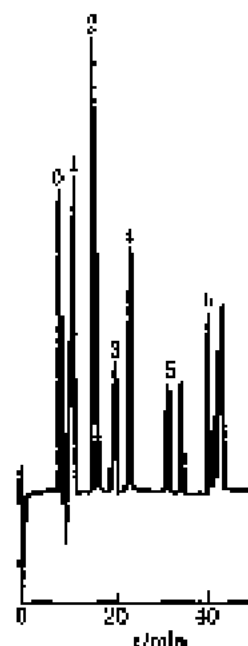


图 15-96 SDS-SDS 分离 PTH-DL-氨基酸谱图^[10]

色谱峰: 0—乙醇; 1—甘氨酸; 2—丙氨酸; 3—Nva; 4—缬氨酸; 5—色氨酸; 6—Ndc

毛细管柱: 有效长度 50 cm, 总长度 65 cm, 内径 50 μ m

缓冲溶液: 50 mmol \cdot L⁻¹ SD Val, 30 mmol \cdot L⁻¹ SDS, 0.5 mol \cdot L⁻¹ γ -10% 原液甲醇

电压: 30 kV

检测器: 紫外(250 nm)

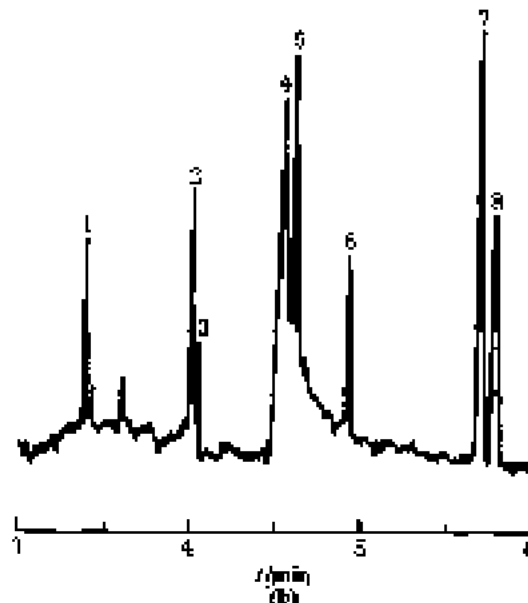
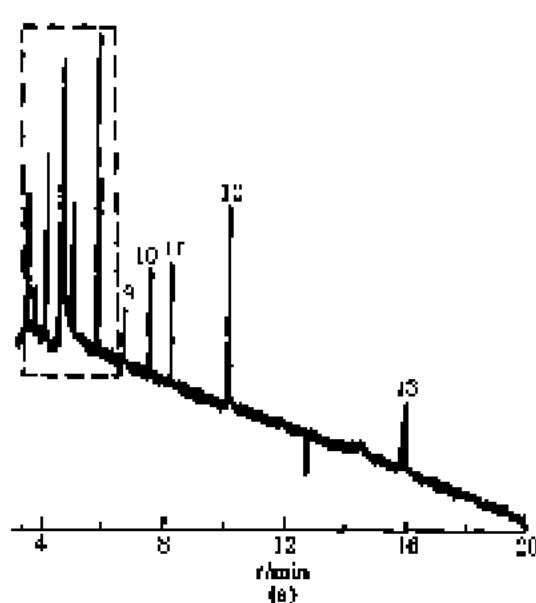


图 15-97 β -球蛋白经胰蛋白酶解产物的 MEKC 谱图^[10]

图 (b) 为图 (a) 中虚线框放大图。

色谱峰: 1—T12b; 2—T1; 3—T10; 4—T.4; 5—T11; 6—T10a; 7—T2; 8—T3; 9—T4; 10—T13; 11—T2; 12—T5; 13—T12a

毛细管柱: 有效柱长 23 cm, 总柱长 30 cm, 内径 75 μ m, 外径 375 μ m

缓冲溶液: 30 mmol \cdot L⁻¹ Asp(pH 9), 0.5% HPLC, 10% TFE, 50 mmol \cdot L⁻¹ MDSB-185

流速: 压力, 50 μ s

温度: 25℃

电压: 场强 600 V \cdot cm⁻¹

检测器: 紫外(214 nm)

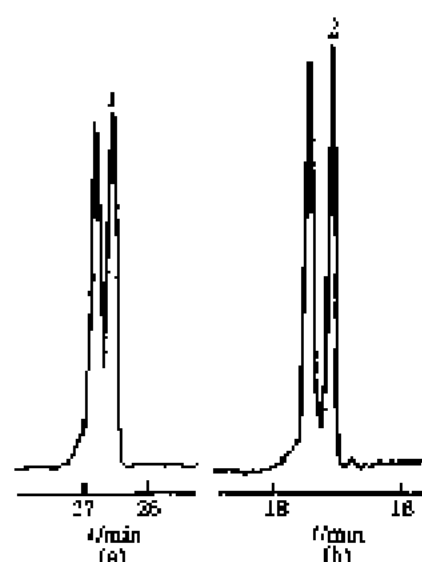


图 15-98 盐酸异博定和盐酸美丙律
对映体 MEKC 谱图^[9]

色谱峰: 1—盐酸异博定; 2—盐酸美丙律

毛细管柱: 有效柱长 41 cm, 总柱长 62 cm, 内径 50 μm , 外径 375 μm

缓冲溶液: (a) 100 mmol $\cdot\text{L}^{-1}$ Tris- H_2PO_4 溶液 + 20 mmol $\cdot\text{L}^{-1}$ HP- β -CD + 0.05%羟丙基纤维素,

(b) 100 mmol $\cdot\text{L}^{-1}$ Tris- H_2PO_4 溶液 + 8 mmol $\cdot\text{L}^{-1}$ HP- β -CD + 0.05%羟丙基纤维素

进样: 电动进样

温度: (14~17) $^{\circ}\text{C}$

检测器: 紫外(210 nm)

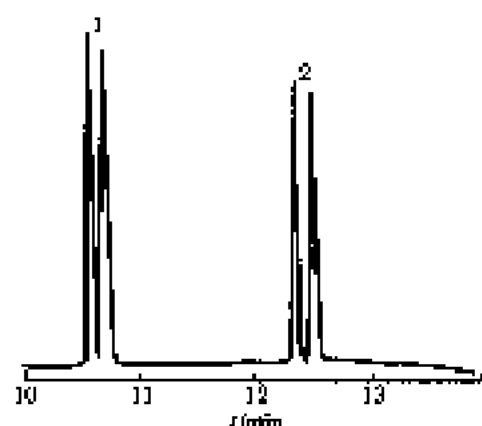


图 15-100 手性碱性药物的电泳分离谱图^[10]

色谱峰: 1—甲基羟萘妥英; 2—甲基萘妥英

毛细管柱: 有效长度 50 cm, 总长度 57 cm, 内径 50 μm

缓冲溶液: 30 mmol $\cdot\text{L}^{-1}$ 磷酸氢二钠 110 mmol $\cdot\text{L}^{-1}$ 硼酸, 45 mmol $\cdot\text{L}^{-1}$ β -十二烷基- β -萘基-S, 6-磺酸钠盐 pH5.0

进样: 压力进样

电压: 20 kV

温度: 25 $^{\circ}\text{C}$

检测器: 紫外(214 nm)

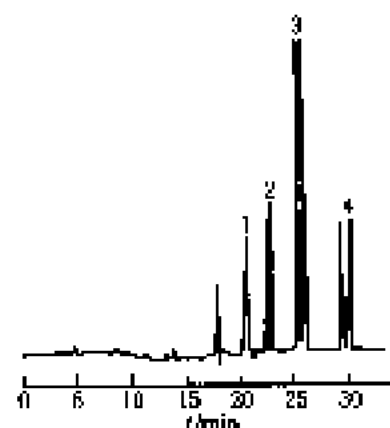


图 15-99 巴比妥的 MEKC 谱图^[10]

色谱峰: 1—戊基巴比妥; 2—戊巴比妥; 3—甲氧基巴比妥;
4—环己巴比妥

毛细管柱: 有效柱长 41 cm, 总柱长 47 cm, 内径 75 μm

缓冲溶液: 100 mmol $\cdot\text{L}^{-1}$ 磷酸盐缓冲液 pH8.4 硼酸, 40 mmol $\cdot\text{L}^{-1}$ α -CD

进样: 电动进样 1 μL

电压: 15 kV

检测器: 紫外(214 nm)

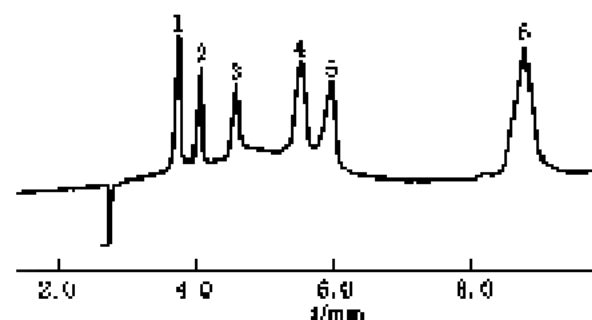


图 15-101 四环素类药物的 MEKC 谱图^[11]

色谱峰: 1—氧四环素; 2—四环素; 3—地美四环素; 4—氯四环素;
5—多西四环素; 6—米诺环素

毛细管柱: 有效柱长 35 cm, 总柱长 43 cm, 内径 50 μm

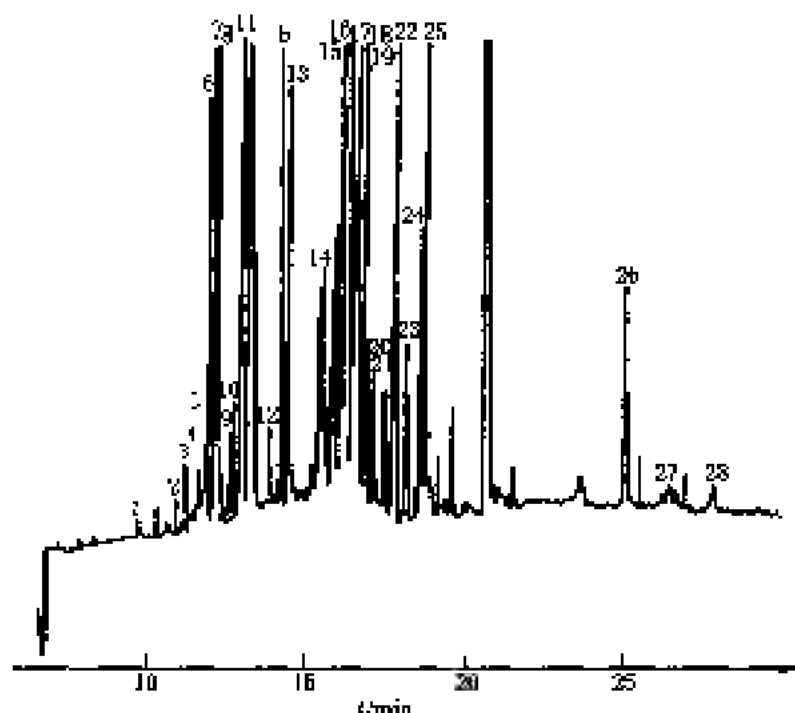
缓冲溶液: 15 mmol $\cdot\text{L}^{-1}$ 硼酸硼酸钠缓冲液含 20 mmol $\cdot\text{L}^{-1}$ SDS Brij 35 (1.35 mg $\cdot\text{ml}^{-1}$) pH6.5

进样: 微量, 1 μL

电压: 15 kV

温度: 25 $^{\circ}\text{C}$

检测器: 紫外(265 nm)

图 15-102 葡萄酒中氨基酸 (FITC 标记) 的 MEKC 谱图^[104]

色谱峰: 1—精胺; 2—精胺酸; 3—赖氨酸; 4—组胺; 5—鸟氨酸; 6—烟氨酸; 7—乙醇胺; 8—乙胺; 9—酪胺; 10—β-苯基乙胺; 11—肌; 12—亚精胺; 13—精胺; 14—苏氨酸; 15—亮氨酸-异亮氨酸; 16—脯氨酸; 17—苯丙氨酸-苯氨酸; 18—色氨酸; 19—天冬氨酸; 20—酪氨酸; 21—谷氨酸; 22—丙氨酸; 23—族氨酸; 24—牛磺酸; 25—甘氨酸; 26—谷氨酸; 27—天冬氨酸; 28—精氨酸内酰胺; b—FITC 色带峰

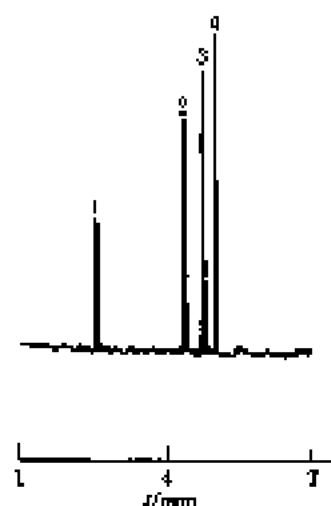
毛细管柱: 柱长 75 cm, 内径 50 μm

缓冲液: 20 mmol · L⁻¹ SDS, 100 mmol · L⁻¹ 硼酸 pH8.3

进样: 2 μl

电压: 20 kV

检测器: 激光诱导荧光

图 15-103 某些碱药物的 MEKC 谱图^[105]

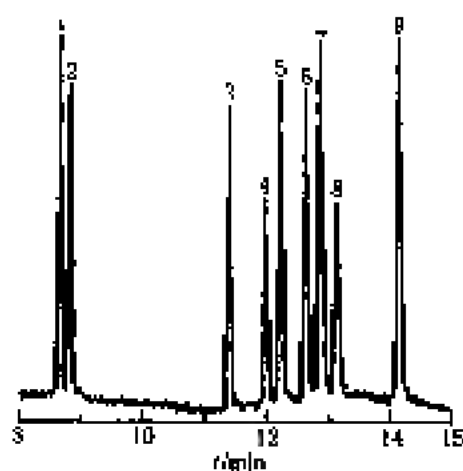
色谱峰: 1—N-甲基苯胺; 2—苯基胍; 3—N-甲基苯胺; 4—N-丁基苯胺
毛细管柱: 有液柱长 30 cm, 总柱长 57 cm, 内径 50 μm
缓冲液: 30 mmol · L⁻¹ 磷酸盐 (pH7.0) 30 mmol · L⁻¹ SDS

进样: 压力 2 μl

温度: 25℃

电压: 24 kV

检测器: 紫外 (200 nm)

图 15-104 某些碱药物的电泳分离谱图^[106]

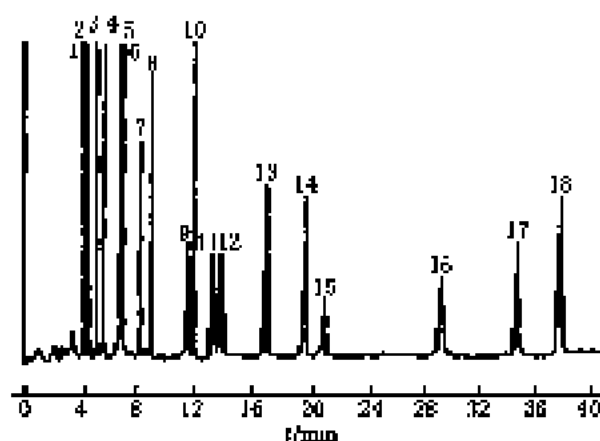
色谱峰: 1—苯基胍; 2—苯基胍; 3—苯基胍; 4—苯基胍; 5—苯基胍; 6—苯基胍; 7—苯基胍; 8—苯基胍; 9—苯基胍

毛细管柱: 有液柱长 30 cm, 总柱长 37 cm, 内径 50 μm

缓冲液: 20 mmol · L⁻¹ β-CD, 2 mmol · L⁻¹ γ-CD, 2 mmol · L⁻¹ 尿素, w=0.3% PVA

电压: 25 kV

检测器: 紫外 (214 nm)

图 15-105 兴奋剂的 MECC 谱图^[144]

色谱峰: 1—二甲-4-羟色胺磺酸; 2—吗啡; 3—苯巴比妥; 4—二甲-4-羟色胺; 5—可待因; 6—单基唑啉酮; 7—麦角胺二乙醇; 8—海洛因; 9—苯异丙胺; 10—利眠宁; 11—可卡因; 12—脱氧麻黄碱; 13—去甲麻黄碱; 14—脱氧麻黄; 15—芬太尼; 16—PCP; 17—大麻二酚; 18— Δ^9 THC

毛细管柱: 有效长度 29 cm, 总长度 47 cm, 内径 50 μ m

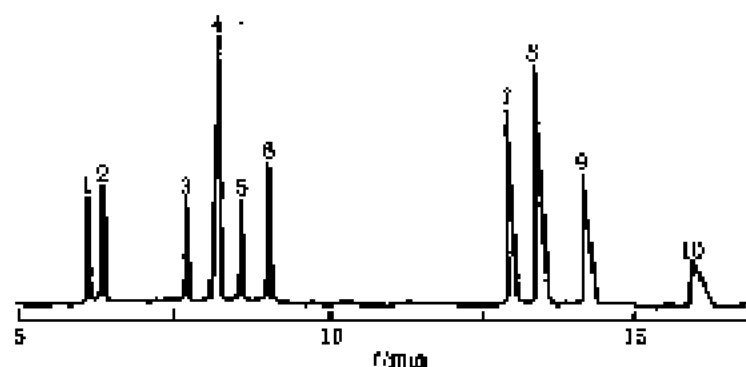
缓冲液: $0.085 \text{ mmol} \cdot \text{L}^{-1}$ SDS, $0.0085 \text{ mmol} \cdot \text{L}^{-1}$ KH_2PO_4 , $0.0085 \text{ mol} \cdot \text{L}^{-1}$ $(\text{Na}_2\text{B}_4\text{O}_7) \cdot 8\text{H}_2\text{O}$ —15% (体积分数) 乙醇, pH=5

进样: 真空进样

温度: 40°C

电压: 26 kV

检测器: 紫外 (210 nm)

图 15-106 合成颜料的 MECC 谱图^[145]

色谱峰: 1—翠色蓝; 2—亮蓝; 3—奈酚红 B; 4—红色; 5—酞靛胭脂红; 6—日落黄; 7—偶氮玉红; 8—萘菜红; 9—茜素红; 10—酞石黄

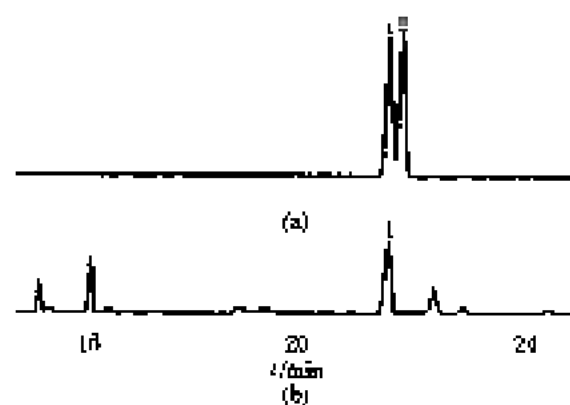
毛细管柱: 有效长度 40 cm, 总长度 55 cm, 内径 50 μ m

缓冲液: 85% $50 \text{ mmol} \cdot \text{L}^{-1}$ 脱氧胆酸钠, $5 \text{ mmol} \cdot \text{L}^{-1}$ KH_2PO_4 , $5 \text{ mmol} \cdot \text{L}^{-1}$ 硼砂, pH=6.5 15% 乙醇

温度: 25°C

电压: 30 kV

检测器: 紫外 (214 nm)



色谱峰: 1—D-天冬酸; 2—L-天冬酸

毛细管柱: 柱长 56 cm, 内径 75 μm

缓冲溶液: $50 \text{ mmol} \cdot \text{L}^{-1}$ 磷酸盐 (pH 7.0), $50 \text{ mmol} \cdot \text{L}^{-1}$ 2HP- β -CD

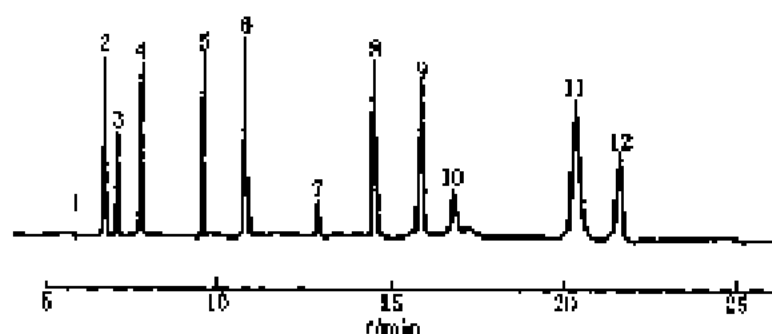
进样: $50 \text{ kPa} \times 4 \text{ s}$

温度: 20°C

电压: 20 kV

检测器: 紫外 (200 nm)

图 15-107 天冬酸的手性分离电泳谱图^[121]



色谱峰: 1—EOF 标记; 2—苯甲酸; 3—苯丙氨酸; 4—色氨酸; 5—对甲酚; 6—吡啶; 7—精氨酸; 8—3-甲基吡啶; 9— β -酪蛋白; 10— α -酪蛋白; 11—多肽 RGFPPI; 12—苏丹 I (胶束标记)

图 15-108 乳酪杂肽混合物的 MEKC 谱图^[122]

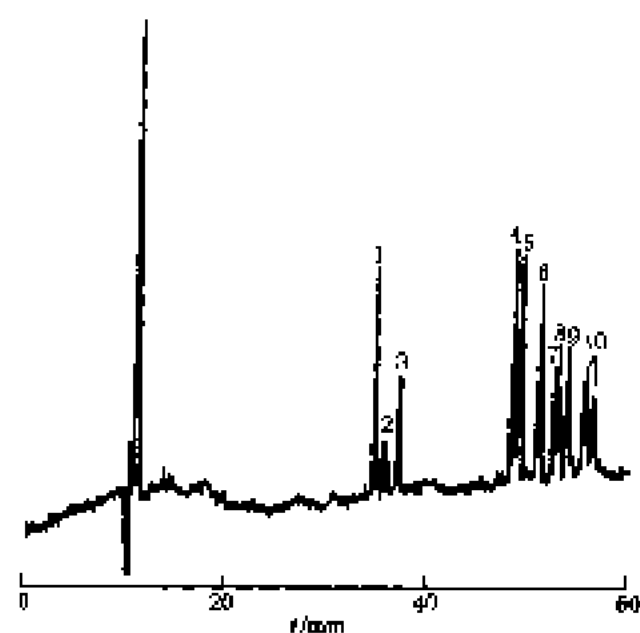
毛细管柱: 总长度 57 cm, 内径 $50 \mu\text{m}$

缓冲溶液: $100 \text{ mmol} \cdot \text{L}^{-1}$ 磷酸钠, $40 \text{ mmol} \cdot \text{L}^{-1}$ SDS, pH 8.5

进样: 压力进样

电压: 20 kV

检测器: 紫外 (200 nm)



色谱峰: 1—D-半乳糖单二苯醇; 2—5-酮基-D-果糖双二苯醇; 3—D-葡萄糖酮单二苯醇; 4—D-半乳糖单二苯醇乙醚衍生物; 5—D-木酮糖单二苯醇乙醚衍生物; 6—5-脱氧葡萄糖酮单二苯醇乙醚衍生物; 7—2-呋喃基乙二醚; 8—D-葡萄糖酮双二苯醇; 9—5-羟基 2,3-二氧戊酮; 10—2-呋喃基乙二醚

毛细管柱: 有效柱长 65 cm, 总柱长 70 cm, 内径 $50 \mu\text{m}$

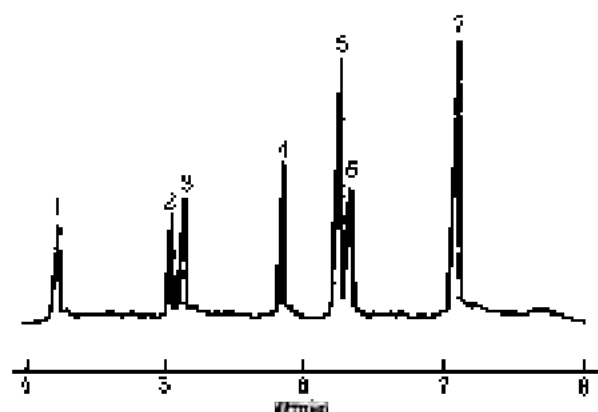
缓冲溶液: $5 \text{ mmol} \cdot \text{L}^{-1}$ 磷酸盐缓冲液 pH 3.0 ($w = 89.27\%$), SDS ($w = 5.31\%$), n -丁醇 ($w = 6.61\%$), α -辛醇 ($w = 2.81\%$)

进样: 10 kV , 5 s

电压: 20 kV

检测器: 紫外 (280 nm)

图 15-109 苯甲酮的 MEKC 谱图^[123]

图 15-110 苯胺类化合物标准品 MECC 谱图^[104]

色谱峰: 1—苯胺; 2—对硝基苯胺; 3—间硝基苯胺; 4—邻硝基苯胺; 5—*N,N*-二甲苯胺; 6—2,4-二硝基苯胺; 7—联苯胺

毛细管柱: 有效长度 50 cm, 总长度 57 cm, 内径 50 μm

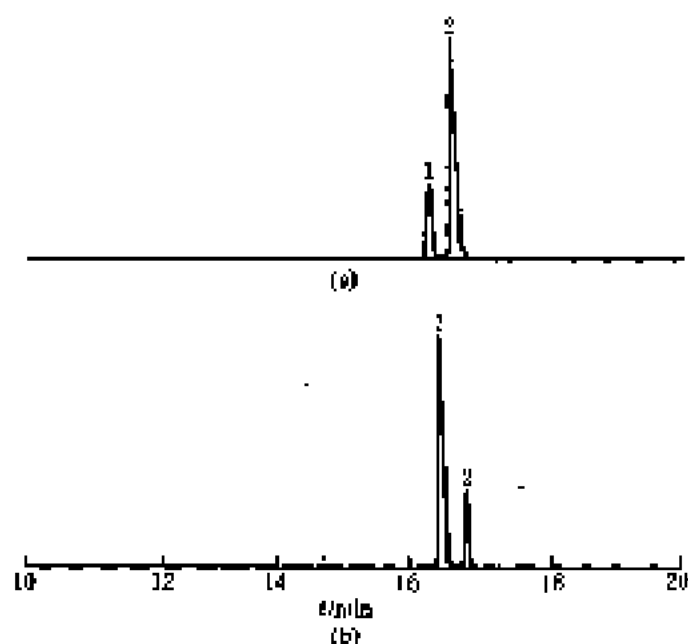
缓冲溶液: $40 \text{ mmol} \cdot \text{L}^{-1}$ SDS, $40 \text{ mmol} \cdot \text{L}^{-1}$ 硼酸盐, pH 9.0

进样: 压力进样, 5~3, 45 kPa

温度: 20°C

电压: 20 kV

检测器: 紫外 (210 nm)

图 15-111 苯偶姻手性异构体分离谱图^[105]

色谱峰: 1—R-苯偶姻; 2—S-苯偶姻

毛细管柱: 有效长度 58 cm, 总长度 60 cm, 内径 50 μm

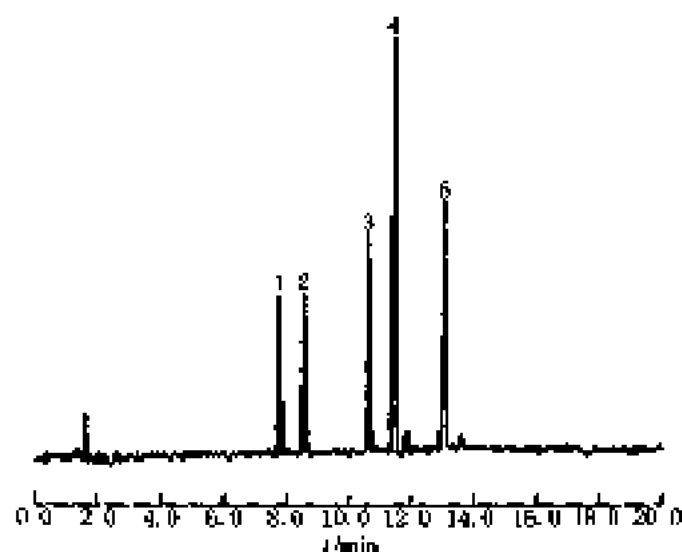
缓冲溶液: $25 \text{ mmol} \cdot \text{L}^{-1}$ 磷酸氢二钠, $25 \text{ mmol} \cdot \text{L}^{-1}$ 硼砂, $25 \text{ mmol} \cdot \text{L}^{-1}$ (AC) *N*-3-丙炔基苯胺羧酸 pH 8.8

进样: 虹吸进样

温度: 室温

电压: 12 kV

检测器: 紫外 (214 nm)

图 15-112 草基原类农药的电泳分离谱图^[313]

色谱峰: 1—双草酯; 2—绿谷隆; 3—异丙隆; 4—双草酯; 5—绿谷隆

毛细管柱: 有效柱长 70 cm, 总柱长 85 cm, 内径 50 μ m, 外径 340 μ m

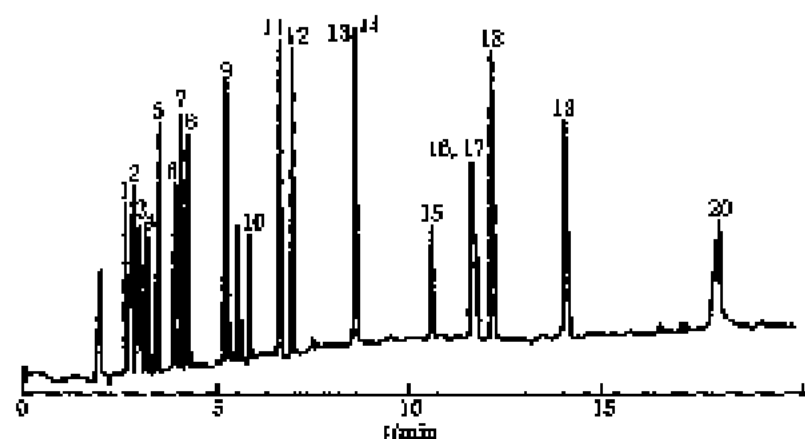
缓冲溶液: $4 \text{ mmol} \cdot \text{L}^{-1}$ 山萘酚钠- $18 \text{ mmol} \cdot \text{L}^{-1}$ 磷酸二氢钾 (pH7.2), $50 \text{ mmol} \cdot \text{L}^{-1}$ SDS

进样: 重力

温度: 25°C

电压: 50 kV

检测器: 紫外 (244 nm)

图 15-113 标准 PTH 氨基酸的 MECC 谱图^[114]

色谱峰: 1—Thr, 2—Asn, 3—Ser, 4—Glu, 5—Asp, 6—Gly, 7—Gln, 8—Ala, 9—Tyr, 10—DMPTU, 11—Pro, 12—Val, 13—Met, 14—His, 15—Leu, 16—Leu, 17—Trp, 18—Phe, 19—Lys, 20—Arg

毛细管柱: 有效长度 50 cm, 总长度 57 cm, 内径 50 μ m

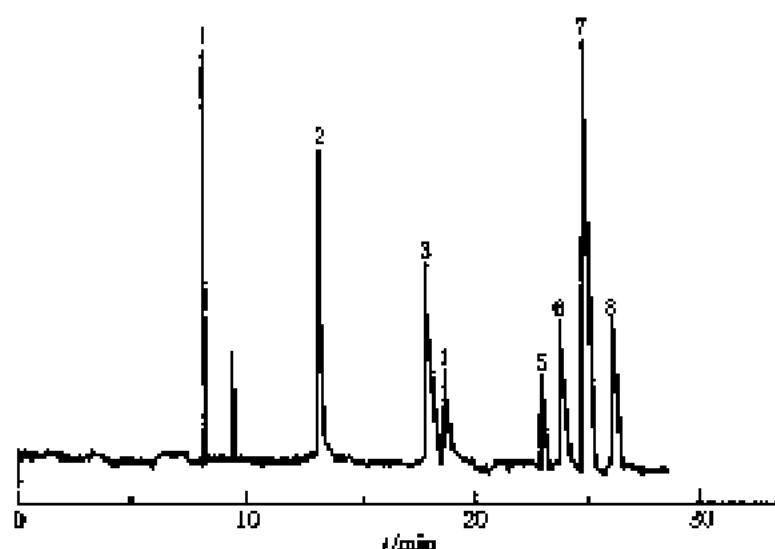
缓冲溶液: $50 \text{ mmol} \cdot \text{L}^{-1}$ 磷酸-硼酸盐缓冲液, $50 \text{ mmol} \cdot \text{L}^{-1}$ SDS, pH2.0

进样: 压力进样

温度: 50°C

电压: 14 kV

检测器: 紫外 (200 nm)

图 15-114 毒品的 MECC 谱图^[114]

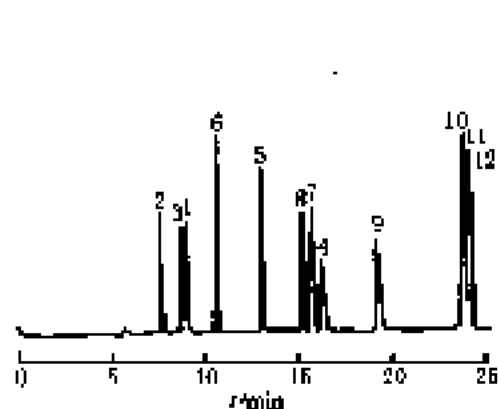
色谱峰：1—咖啡因，2—吗啡，3—6-单乙酰吗啡，4—可待因，5—海洛因，6—乙酰可待因，7—罂粟碱，8—可卡因
毛细管柱：有效长度 60 cm，总长度 84 cm，内径 50 μm

缓冲溶液：10 mmol $\cdot \text{L}^{-1}$ 硼砂，25 mmol $\cdot \text{L}^{-1}$ SDS， $\varphi=10\%$ 甲醇，pH9.22

进 样：压差法进样

电 压：25 kV

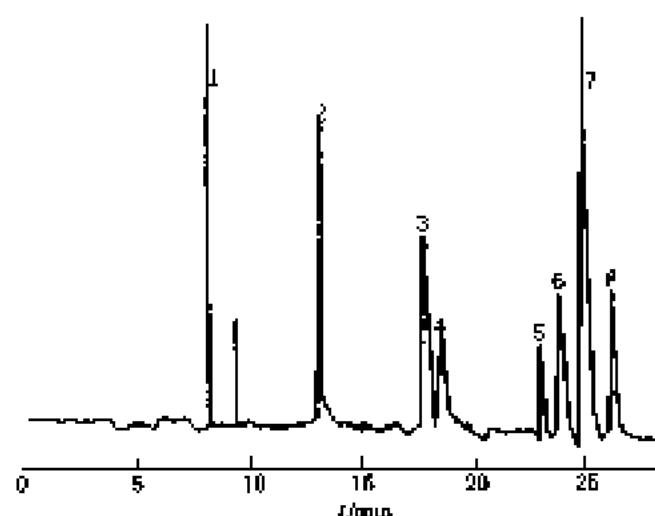
检测器：紫外 (206 nm)

图 15-115 药物的 MECC 谱图^[115]

色谱峰：1—咖啡因，2—乙酰氨基苯酚，3—安乃近，4—三米唑仑，5—重氮水杨甘氨酸，6—甲氧基丙酮，7—乙醇胺，8—芬那西汀，9—异丙基氨基比林，10—那可汀，11—氯屈米，12—双氯甲酚

缓冲溶液：0.02 mol $\cdot \text{L}^{-1}$ 磷酸盐-硼酸盐 pH9.0
0.1 mol $\cdot \text{L}^{-1}$ SDS

电 压：20 kV

图 15-116 鸦片类毒品的 MECC 谱图^[116]

色谱峰：1—咖啡因，2—吗啡，3—6-单乙酰吗啡，4—可待因，5—海洛因，6—乙酰可待因，7—罂粟碱，8—可卡因

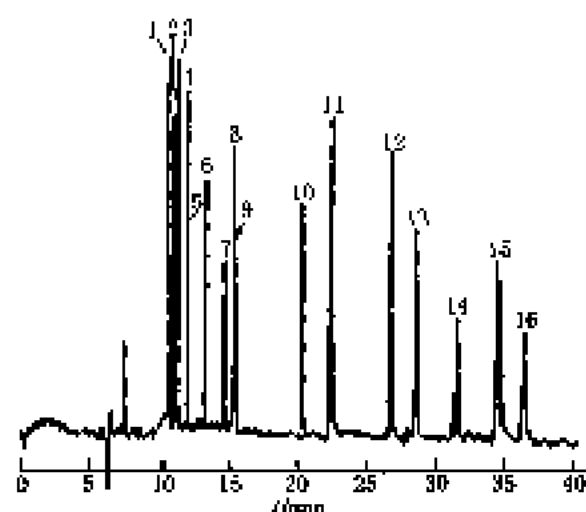
毛细管柱：有效长度 60 cm，总长度 84 cm，内径 50 μm

缓冲溶液：10 mmol $\cdot \text{L}^{-1}$ 硼砂，25 mmol $\cdot \text{L}^{-1}$ SDS，10% 甲醇（峰面积法）

进 样：压差进样

电 压：25 kV

检测器：紫外 (206 nm)



色谱峰: 1—L-Pro; 2—D-Pro; 3—L-His; 4—D-His; 5—L-Tyr; 6—L-PheG; 7—D-Tyr; 8—D-PheG; 9—L-Phe; 10—D-Phe; 11—L-Try; 12—L-Trp; 13—L-Lys; 14—L-Arg; 15—D-Lys; 16—D-Arg

毛细管柱: 奇骏长庚 50 cm, 总长度 55 cm, 内径 70 μ m
缓冲溶液: 20 mmol \cdot L⁻¹ 磷酸盐-硼酸盐, 0.2 mol \cdot L⁻¹ SDS, pH 9.0

电压: 20 kV

检测器: 紫外 (210 nm)

图 15-117 氨基酸 GITC 衍生物 MEKC 谱图^[117]

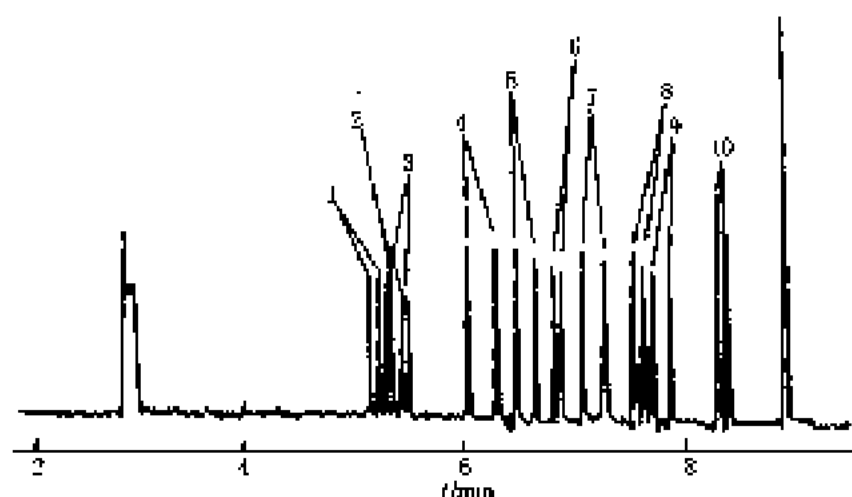
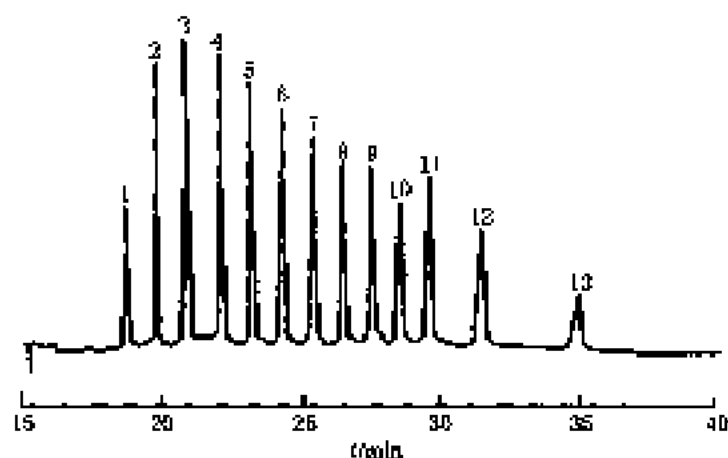


图 15-118 氨基酸-乙基氧甲酯易酯衍生物的分析谱图^[118]

色谱峰: 1—Ser; 2—Ala; 3—Thr; 4—Val; 5—NVal; 6—Met; 7—Ile; 8—Leu; 9—Nle; 10—Phe
毛细管柱: 有效长度 45 cm, 总长度 68 cm, 内径 25 μ m
缓冲溶液: 20 mmol \cdot L⁻¹ 硼酸盐, 15 mmol \cdot L⁻¹ 硼酸盐, 20 mmol \cdot L⁻¹ SDS, pH 9.2
温度: 25°C
电压: 25 kV
检测器: 紫外 (254 nm)



色谱峰: 1—苯; 2—甲苯; 3—乙苯; 4—丙苯; 5—丁苯; 6—戊苯; 7—己苯; 8—庚苯; 9—辛苯; 10—壬苯; 11—癸苯; 12—十二烷基苯; 13—十六烷基苯

毛细管柱: 有效长度 50 cm

缓冲溶液: 2.5 mmol \cdot L⁻¹ 硼砂 5 mmol \cdot L⁻¹ 磷酸二氢钠, 50 mmol \cdot L⁻¹ SDS, pH 9.0-40% 异丙醇

进样: 压力进样

温度: 30°C

电压: 50 kV

检测器: 紫外 (214 nm)

图 15-119 烷基苯类化合物的 MEKC 谱图^[119]

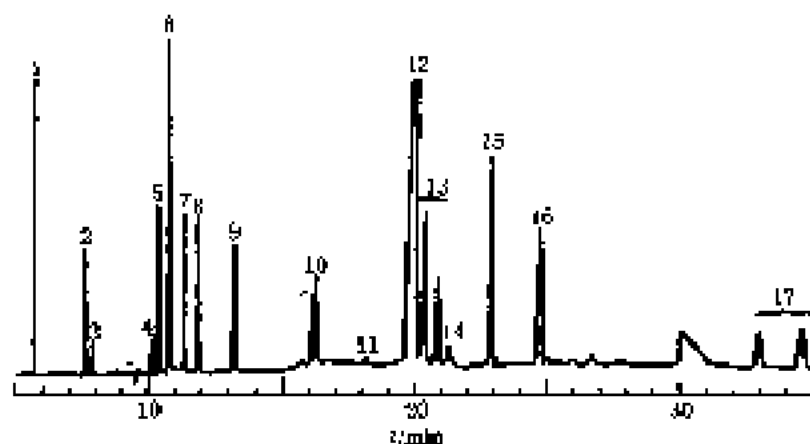


图 15-120 维生素及相关化合物的 MEKC 谱图^[14]

色谱峰: 1—维生素B₁₂, 2—维生素B₆, 3—维生素B₁, 4—溶剂色峰, 5—维生素B₂, 6—维生素B₁₂, 7—维生素B₁₂, 8—维生素B₁₂, 9—NAD⁺, 10—维生素B₁₂, 11—生物素, 12—维生素B₁₂-5'-磷酸盐, 13—维生素B₁₂-5'-磷酸盐杂质, 14—维生素B₁₂, 15—NADP⁺, 16—维生素B₁₂, 17—维生素B₁₂-5'-磷酸盐杂质

毛细管柱: 有效柱长 56 cm, 总柱长 64.5 cm, 内径 50 μ m

缓冲溶液: 100 mmol/L NaH_2PO_4 , 500 mmol/L NaCl , 75 mmol/L NaCl 8% 1-丙醇

温度: 30°C

电压: 17 kV

检测器: 紫外 (214 nm)

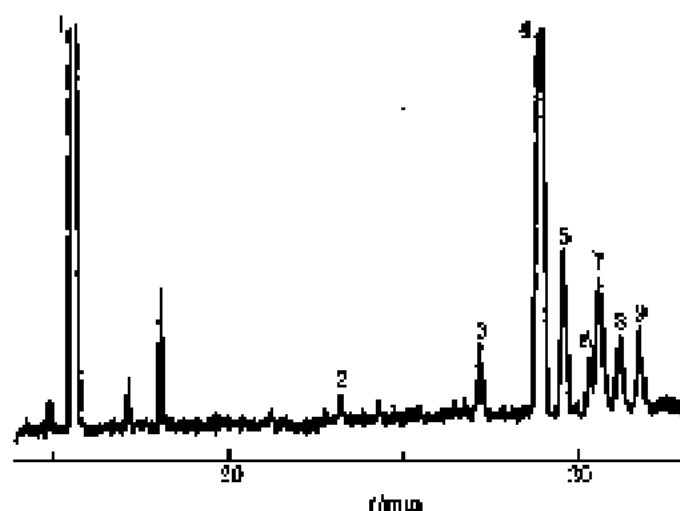


图 16-121 新鲜橙汁中氨基酸的 MEKC 谱图^[14]

色谱峰: 1—精氨酸, 2—丙氨酸, 3—丝氨酸, 4—天冬氨酸, 5—色氨酸, 6—谷氨酸, 7—苯丙氨酸, 8—酪氨酸, 9—脯氨酸

毛细管柱: 有效柱长 100 cm, 总柱长 108 cm, 内径 50 μ m

缓冲溶液: 10 mmol/L NaH_2PO_4 , 30 mmol/L NaCl , 5% 乙醇, pH 3.35

流速: 15 μ L

电压: 30 kV

检测器: 紫外 (185 nm)

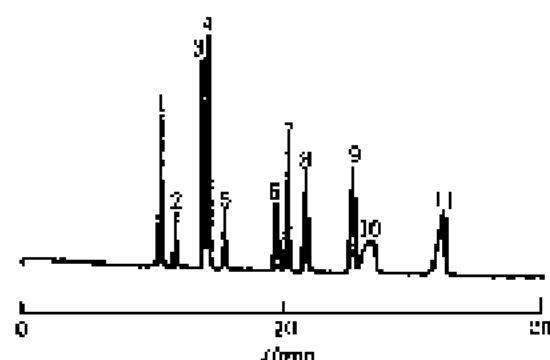


图 15-122 腺苷和腺核苷的电泳分离谱图^[10]

色谱峰: 1-腺苷, 2-腺嘌呤, 3- A^2 pA, 4- A^2 pA, 5- $3'S$ -CAMP, 6- $8'$ ppA, 7- $3'$ -AMP, 8- $5'$ -AMP, 9- $2'$ -AMP, 10- $4'$ ADP, 11- $5'$ ATP

毛细管柱: 有效长度 50 cm, 总长度 57 cm, 内径 75 μ m

缓冲溶液: $0.02 \text{ mol} \cdot \text{L}^{-1} \text{Na}_2\text{HPO}_4$, $0.05 \text{ mol} \cdot \text{L}^{-1} \text{SDS}$,
 $0.015 \text{ mol} \cdot \text{L}^{-1} \beta\text{-CD}$, $10^{-4} \text{ mol} \cdot \text{L}^{-1} \text{MgCl}_2$

流速: 5 kPa, 0.1 min

温度: 40°C

电压: 15 kV

检测器: 紫外 (250 nm)

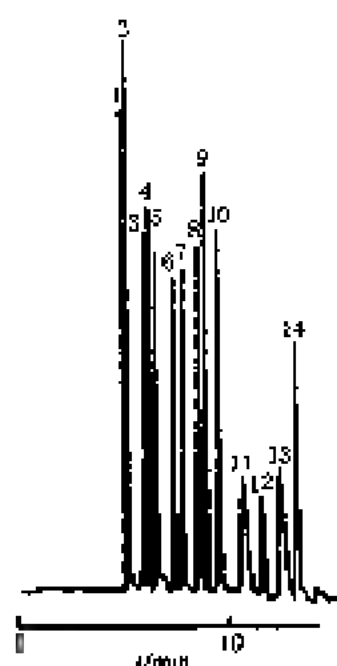


图 15-123 腺嘌呤和核苷酸的
MECC 谱图^[10]

色谱峰: 1-CMP, 2-UMP, 3-GMP, 4-AMP, 5-腺嘌呤, 6-CAMP, 7-CDP, 8-UDP, 9-GDP, 10-ADP, 11-CTP, 12-UTP, 13-GTP, 14-AIF

毛细管柱: 有效柱长 50 cm, 总柱长 70 cm, 内径 50 μ m

流速: 15 cm, 30 s

电压: 25 kV

检测器: 紫外

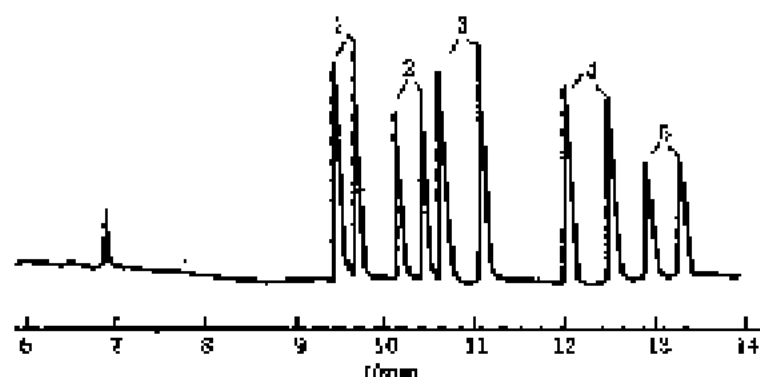
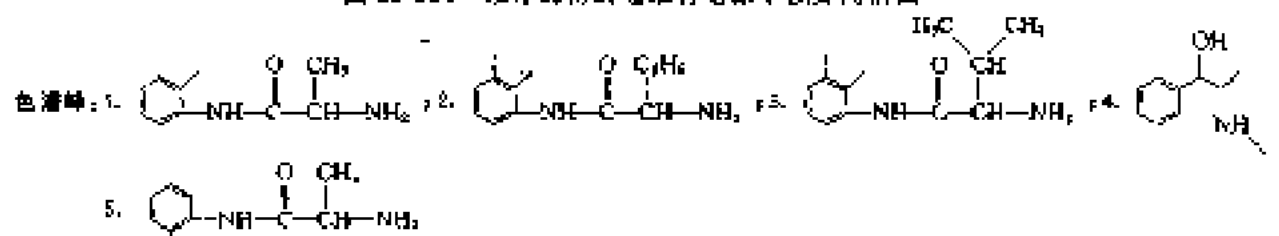


图 15-124 手性药物的毛细管电泳手性分离谱图^[10]



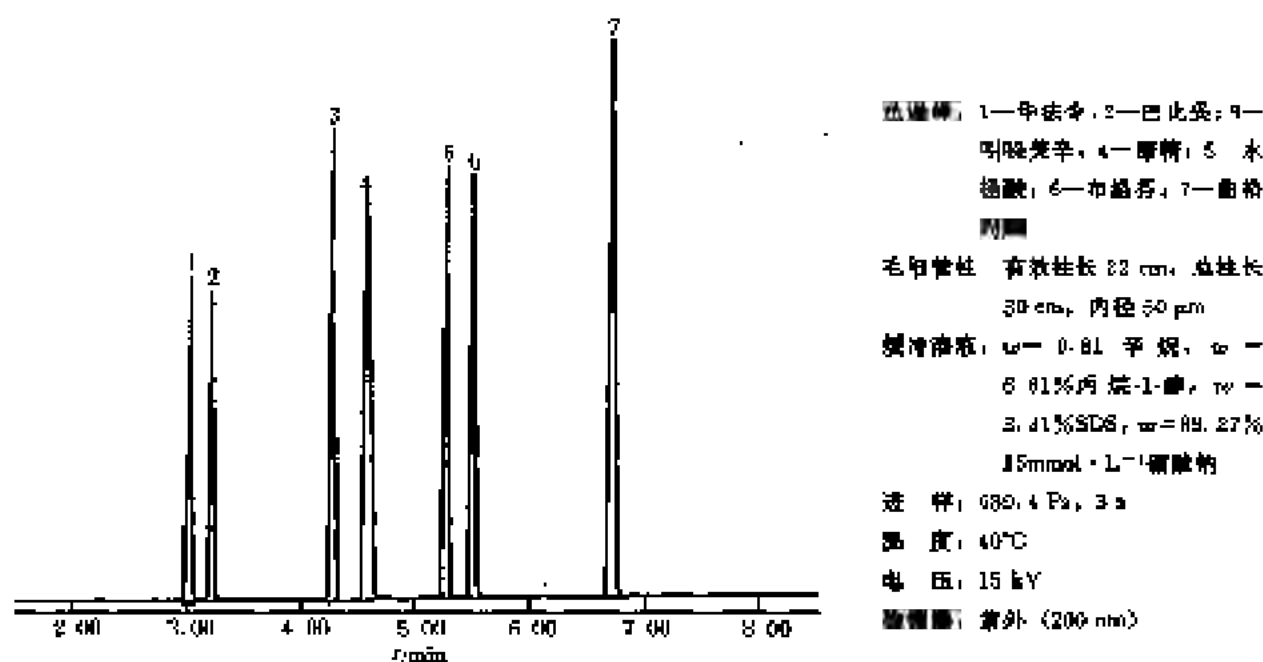
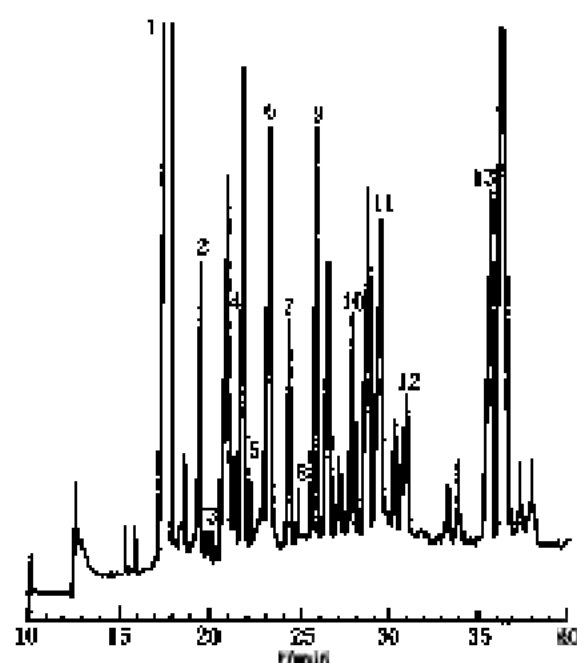
毛细管柱: 有效长度 43 cm, 总长度 58 cm, 内径 50 μ m

缓冲溶液: $50 \text{ mmol} \cdot \text{L}^{-1} \text{Dex } \beta\text{-CD}$, $60 \text{ mmol} \cdot \text{L}^{-1}$ 磷酸盐, pH 3.0

温度: 20°C

电压: 35 kV

检测器: 紫外 (210 nm)

图 15-125 酸性药物的 MEKC 谱图^[40]图 15-126 癌症患者尿中提取的正常和修饰核苷的 MEKC 谱图^[40]

色谱峰: 1—Pseu, 2—U, 3—C, 4—mU, 5—I, 6—MIU, 7—araC, 8—mC, 9—G, 10—A, 11—3-Des, 12—X, 13—ra²G
 毛细管柱: 有效柱长 43.75 cm, 总柱长 50.0 cm, 内径 50 μ m
 缓冲溶液: $300 \text{ mmol} \cdot \text{L}^{-1}$ SDS-25 $\text{mmol} \cdot \text{L}^{-1}$ 硼酸-50 $\text{mmol} \cdot \text{L}^{-1}$ 硼酸盐, pH6.7
 进 样: 重力进样, 100 mm, 43 s
 电 压: 20 kV
 检测器: 紫外 (260 nm)

第三节 毛细管电色谱谱图

一、毛细管电色谱柱评价谱图^①

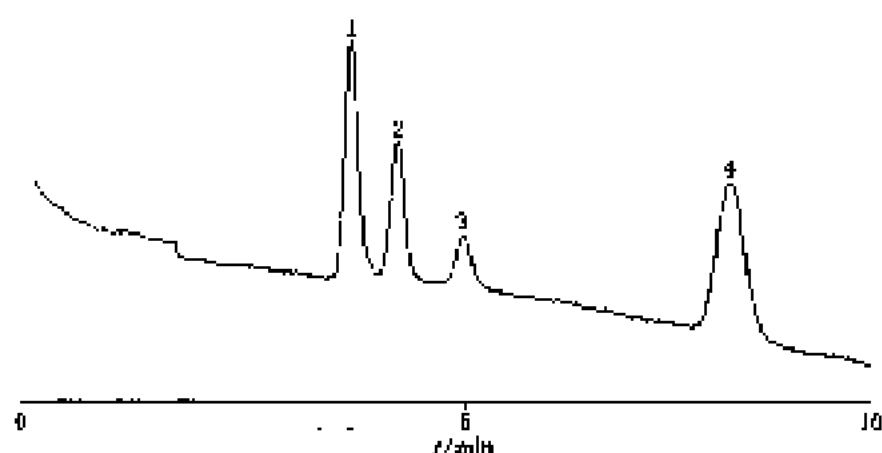


图 15-127 C_{18} 柱评价色谱图

色谱峰：1—疏胺；2—苯甲醇；3—苯甲酸；4—苯

色谱柱：内径 $75\mu\text{m}$ ，外径 $360\mu\text{m}$ ，填料有效长度 20cm ，内填 C_{18} (SAMMS)

流动相：乙醇 + $1\text{mmol} \cdot \text{L}^{-1}$ 硼砂水溶液 (体积比 = 70 : 30)

进样： $2\text{kV}/2\text{s}$

运行电压： 15kV

检测器：UV (254nm)

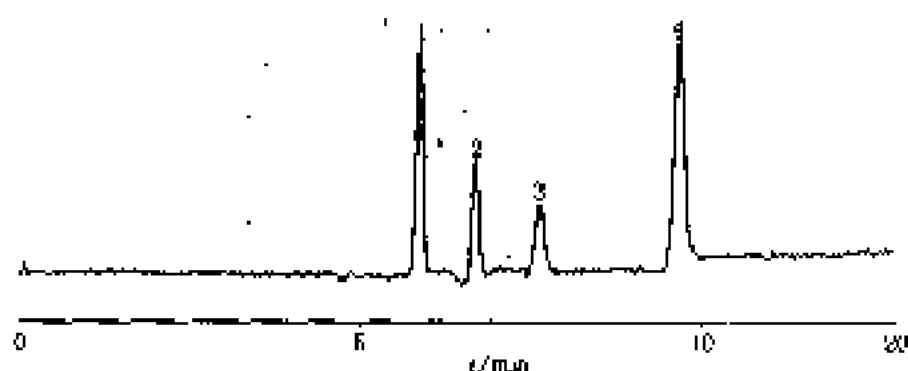


图 15-128 C_{18} 柱评价色谱图

色谱峰：1—疏胺；2—苯甲醇；3—苯甲酸；4—苯

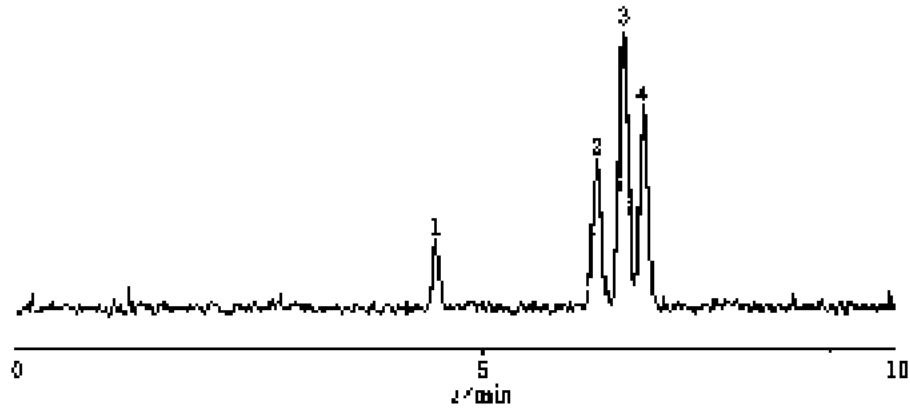
色谱柱：内径 $100\mu\text{m}$ ，外径 $340\mu\text{m}$ ，填料有效长度 25cm ，内填 $5\mu\text{m}$ C_{18}

流动相：乙醇 + $10\text{mmol} \cdot \text{L}^{-1}$ MDEB (体积比 = 70 : 30)

进样： $16\text{kV}/2\text{s}$

运行电压： 13kV

检测器：UV (254nm)

图 15-129 C_{18} 柱评价色谱图 (一)

色谱峰: 1—杂质, 2—苊, 3—萘, 4—蒽

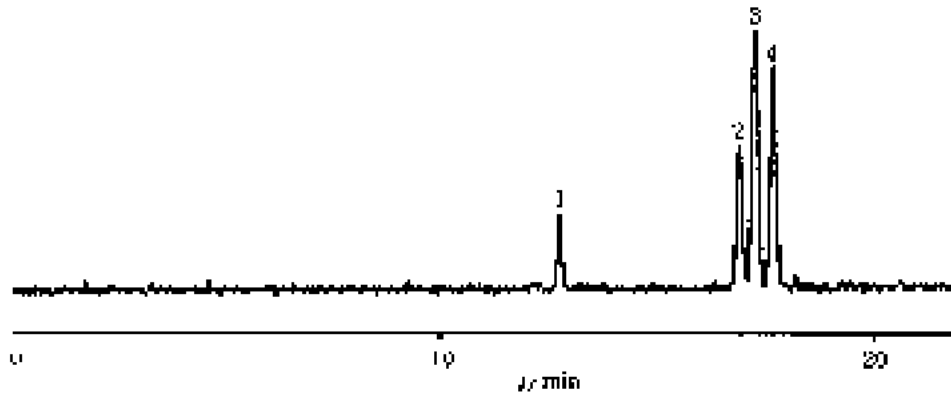
色谱柱: 内径 $75\mu\text{m}$, 外径 $360\mu\text{m}$, 填料有效长度 20cm , 内填 $3\mu\text{m } C_{18}$

流动相: 乙腈 + $1\text{mmol} \cdot \text{L}^{-1}$ MIES (体积比 = 70 : 30)

流速: 5 mL/min

运行电压: 1 kV

检测: 荧光检测器 $\lambda_{\text{ex}} 254\text{nm}$, $\lambda_{\text{em}} 370\text{nm}$

图 15-130 C_{18} 柱评价色谱图 (二)

色谱峰: 1—杂质, 2—苊, 3—萘, 4—蒽

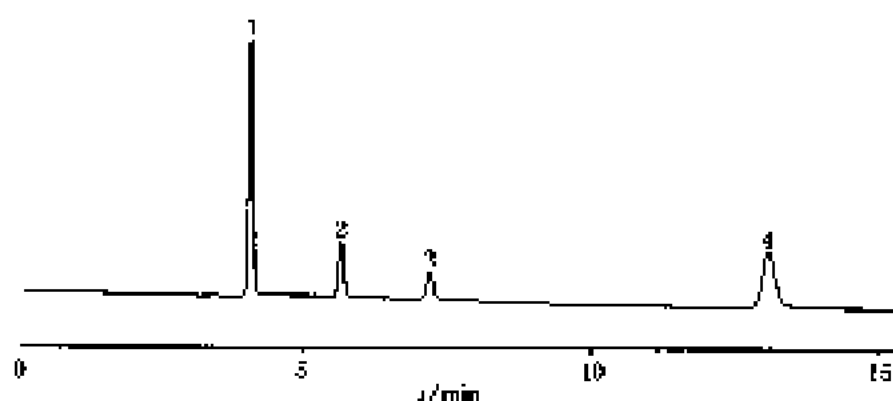
色谱柱: 内径 $100\mu\text{m}$, 外径 $360\mu\text{m}$, 填料有效长度 50cm , 内填 $3\mu\text{m } C_{18}$

流动相: 乙腈 + $4\text{mmol} \cdot \text{L}^{-1}$ 硼砂水溶液 (体积比 = 80 : 20)

流速: 10 mL/min

运行电压: 20 kV

检测: 荧光检测器 $\lambda_{\text{ex}} 254\text{nm}$, $\lambda_{\text{em}} 370\text{nm}$

图 15-131 C_{18} 柱评价色谱图 (一)

色谱峰: 1—萘酚, 2—苯甲醛, 3—苯甲醚, 4—萘

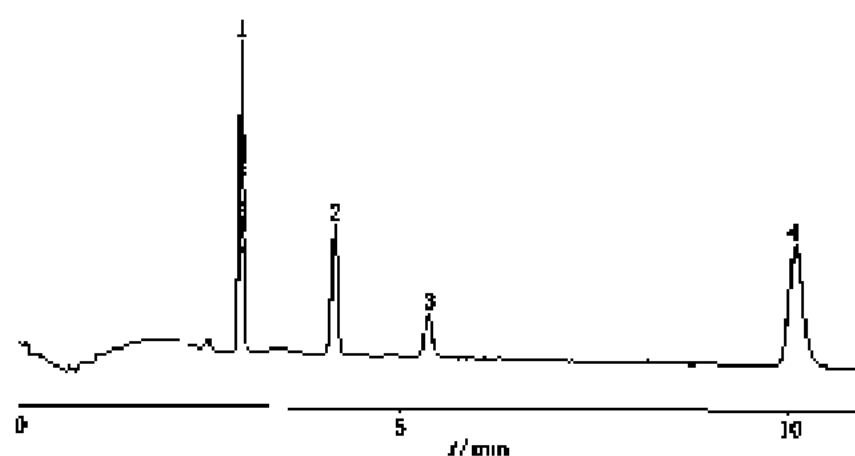
色谱柱: 内径 $75\mu\text{m}$, 外径 $360\mu\text{m}$, 填料有效长度 19cm , 内填 $5\mu\text{m } C_{18}$

流动相: 乙腈 + $10\text{mmol} \cdot \text{L}^{-1}$ TRIS (体积比 = 70 : 30)

进样: $3\text{L} \cdot \text{V} / 3\text{s}$

运行电压: 10kV

检测器: UV (254nm)

图 15-132 C_{18} 柱评价色谱图 (二)

色谱峰: 1—萘酚, 2—苯甲醛, 3—苯甲醚, 4—萘

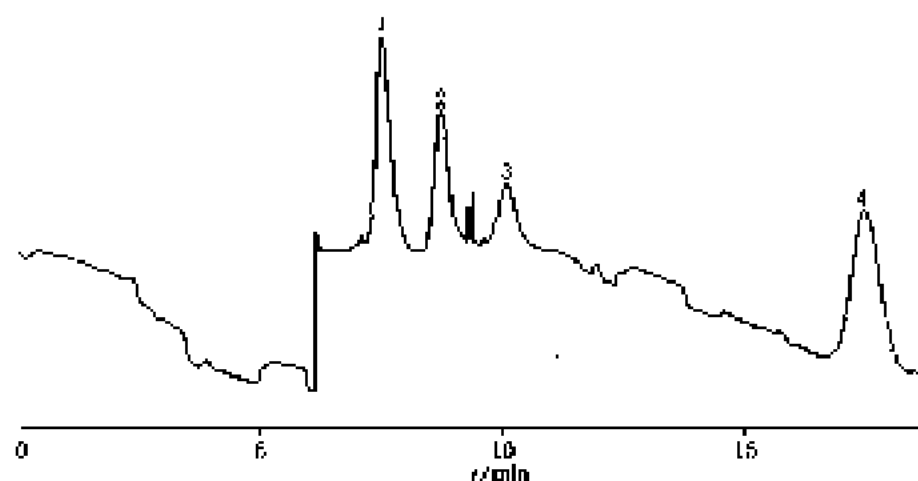
色谱柱: 内径 $75\mu\text{m}$, 外径 $360\mu\text{m}$, 填料有效长度 20cm , 内填 $5\mu\text{m } C_{18}$

流动相: 乙腈 + $1\text{mmol} \cdot \text{L}^{-1}$ 硼砂水溶液 (体积比 = 70 : 30)

进样: $10\text{kV} / 2\text{s}$

运行电压: 15kV

检测器: UV (254nm)

图 15-133 C_{12} 柱评价色谱图 (三)

色谱峰：1—酮肟，2—苯甲腈，3—苯甲胍；4—苯

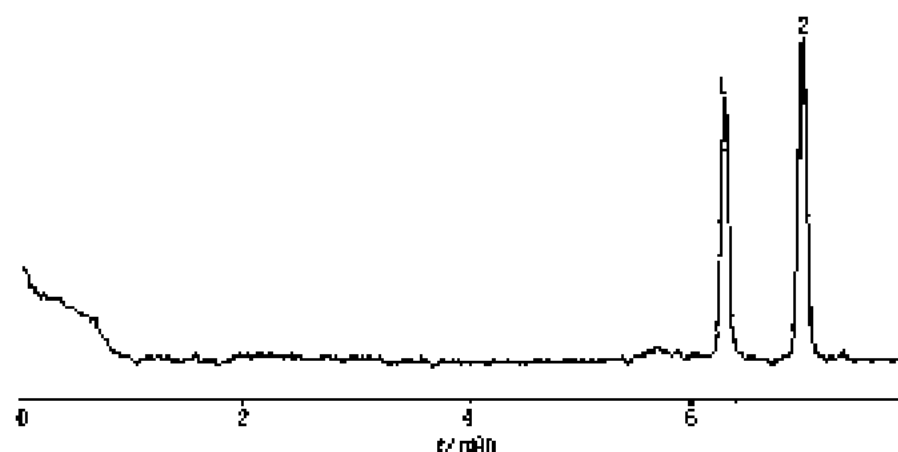
色谱柱：内径 $75\mu\text{m}$ ，外径 $360\mu\text{m}$ ，填料有效长度 20cm ，内填 $5\mu\text{m } C_{12}$ (SALMOLS)

流动相：乙腈— $4\text{mmol}\cdot\text{L}^{-1}$ 硼砂水溶液 (体积比=20:80)

进 样： $5\text{kV}/2\text{s}$

运行电压： 15kV

检测器：UV (254nm)

图 15-134 C_{18} 柱评价色谱图

色谱峰：1—苯；2—苯

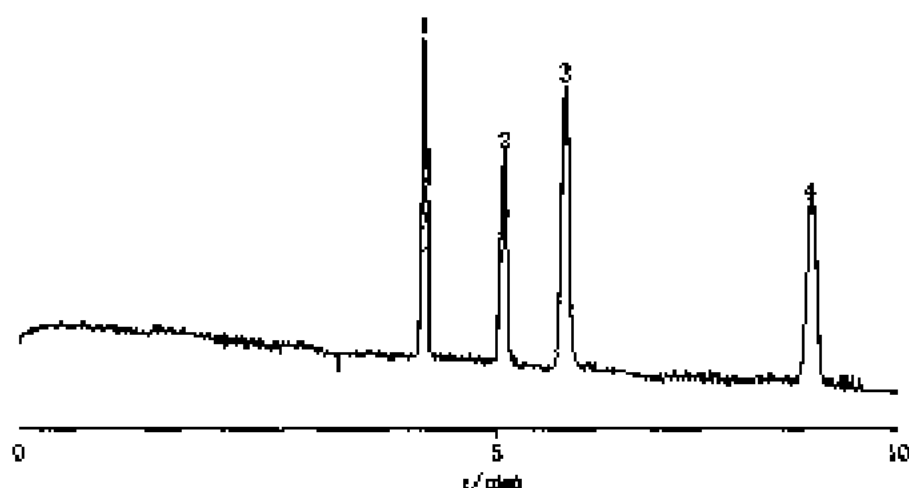
色谱柱：内径 $100\mu\text{m}$ ，外径 $360\mu\text{m}$ ，填料有效长度 25cm ，内填 $1.5\mu\text{m } C_{18}$ (NPS)

流动相：乙腈+ $1\text{mmol}\cdot\text{L}^{-1}$ TRIS (体积比=70:30)

进 样： $5\text{kV}/2\text{s}$

运行电压： 20kV

检 测：荧光检测器 $\lambda_{\text{ex}}254\text{nm}$ ， $\lambda_{\text{em}}320\text{nm}$

图 15-135 C_{18} 柱评价色谱图 (一)

色谱峰: 1—萘酚; 2—苯甲醇; 3—苯甲酸; 4—苯

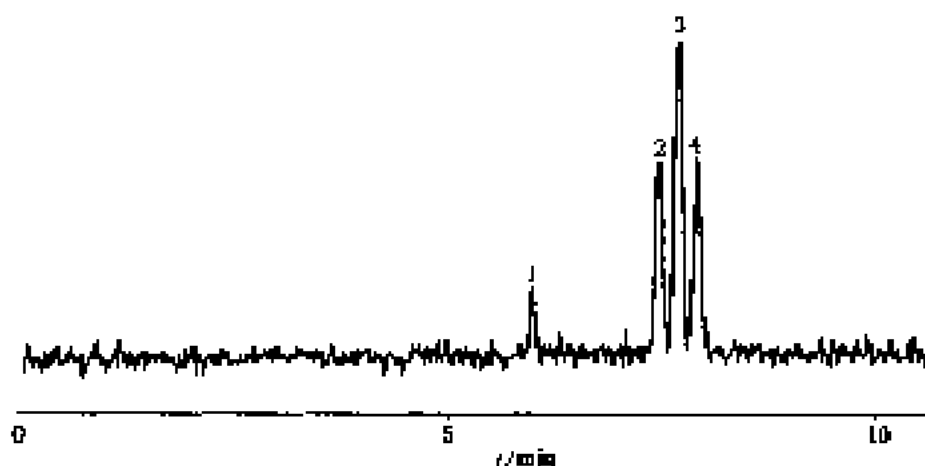
色谱柱: 内径 $50\mu\text{m}$, 外径 $360\mu\text{m}$, 填料有效长度 30cm , 内填 $3\mu\text{m}$ ODS-I

流动相: 乙腈 + $1\text{mmol}\cdot\text{L}^{-1}$ TRIS (体积比 = 70 : 30)

注射器: $5\text{kV}/2\text{s}$

运行电压: 10kV

检测器: UV (254nm)

图 15-136 C_{18} 柱评价色谱图 (二)

色谱峰: 1—杂质; 2—萘; 3—苯; 4—萘

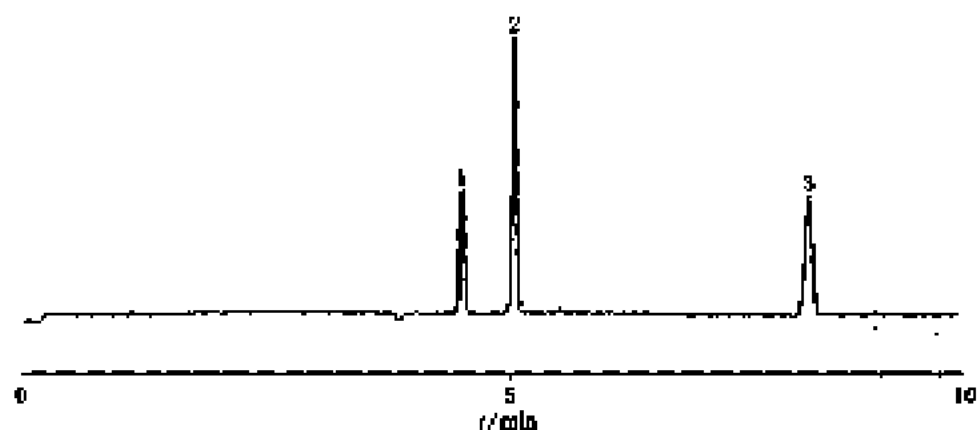
色谱柱: 内径 $75\mu\text{m}$, 外径 $360\mu\text{m}$, 填料有效长度 30cm , 内填 $3\mu\text{m}$ C_{18} (PFS)

流动相: 乙腈 + $4\text{mmol}\cdot\text{L}^{-1}$ 磷酸水溶液 (体积比 = 80 : 20)

注射器: $3\text{kV}/2\text{s}$

运行电压: 15kV

检测器: 荧光检测器 $\lambda_{\text{ex}} 254\text{nm}$, $\lambda_{\text{em}} 370\text{nm}$

图 15-137 C_{18} 柱评价色谱图 (三)

色谱峰: 1—苯甲醇; 2—苯甲酸; 3—苯

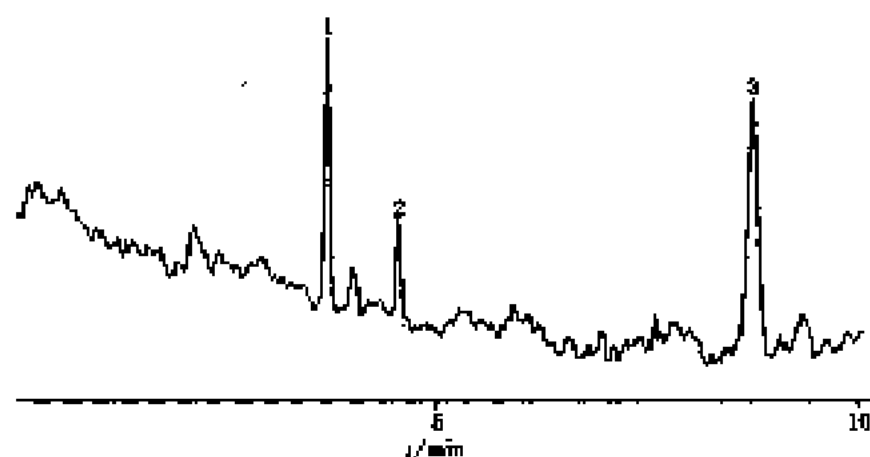
色谱柱: 内径 75 μ m, 外径 360 μ m, 填料有效长度 25cm, 内填 3 μ m C_{18} (2)

流动相: 乙腈+10mmol·L⁻¹TRIS (体积比=80:20)

进样: 10kV/1s

运行电压: 15kV

检测器: UV (254nm)

图 15-138 C_{18} 柱评价色谱图 (四)

色谱峰: 1—盐酸; 2—苯甲醇; 3—苯

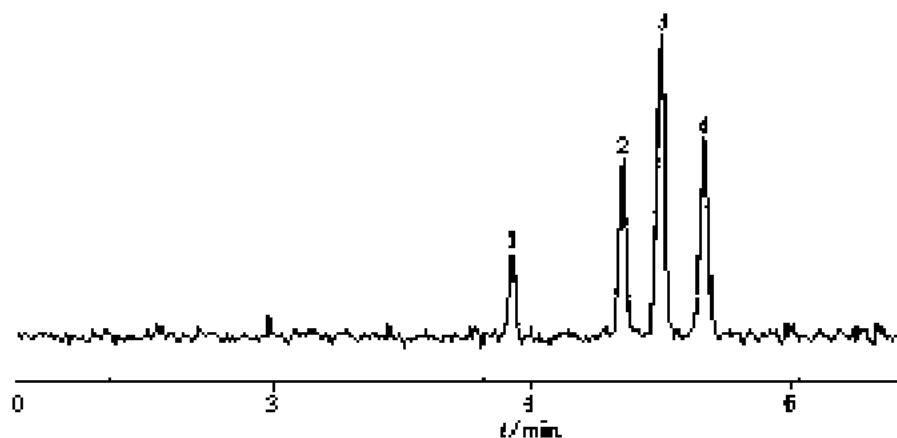
色谱柱: 内径 100 μ m, 外径 380 μ m, 填料有效长度 20cm, 内填 5 μ m C_{18} (4)

流动相: 乙腈+4mmol·L⁻¹磷酸水溶液 (体积比=70:30)

进样: 1kV/1s

运行电压: 15kV

检测器: UV (254nm)

图 15-139 C_{18} 柱评价色谱图(五)

色谱峰: 1—杂峰, 2—苊, 3—菲, 4—蒽

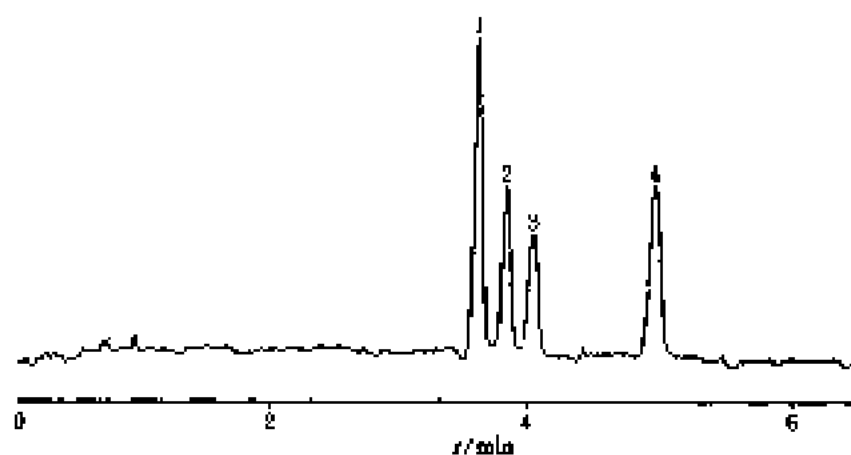
色谱柱: 内径 $50\mu\text{m}$, 外径 $360\mu\text{m}$, 填料有效长度 25cm , 内填 $3\mu\text{m } C_{18}$ (PAH)

流动相: 乙腈 + $4\text{mmol} \cdot \text{L}^{-1}$ 磷酸水溶液 (体积比 = 80 : 20)

进样: $5\text{kV}, 2\text{s}$

运行电压: 20kV

检测器: 荧光检测器 $\lambda_{\text{ex}} 254\text{nm}$, $\lambda_{\text{em}} 370\text{nm}$

图 15-140 C_{18} 柱评价色谱图(六)

色谱峰: 1—萘, 2—苯甲腈, 3—苯甲腈, 4—菲

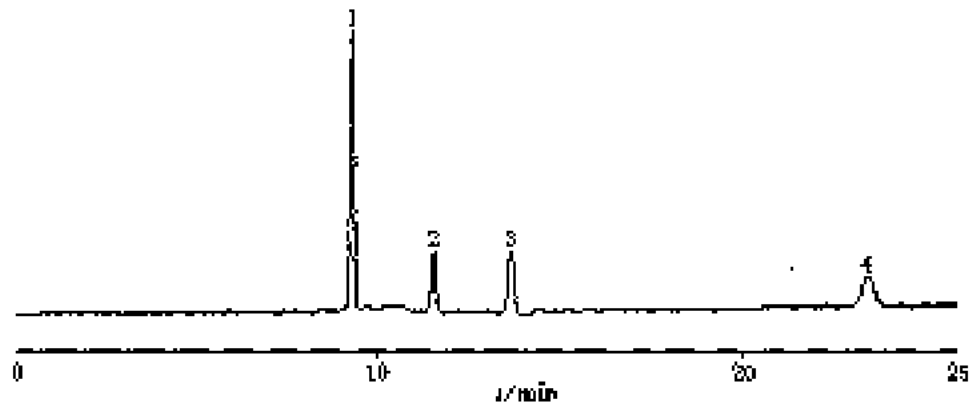
色谱柱: 内径 $75\mu\text{m}$, 外径 $360\mu\text{m}$, 填料有效长度 21cm , 内填 $6\mu\text{m } C_{18}$

流动相: 乙腈 + $4\text{mmol} \cdot \text{L}^{-1}$ 磷酸水溶液 (体积比 = 80 : 20)

进样: $5\text{kV}/1\text{s}$

运行电压: 15kV

检测器: UV (254nm)

图 15-141 C_{18} 柱评价色谱图 (七)

色谱峰: 1—苯酚, 2—苯甲酸, 3—苯甲醛, 4—苯

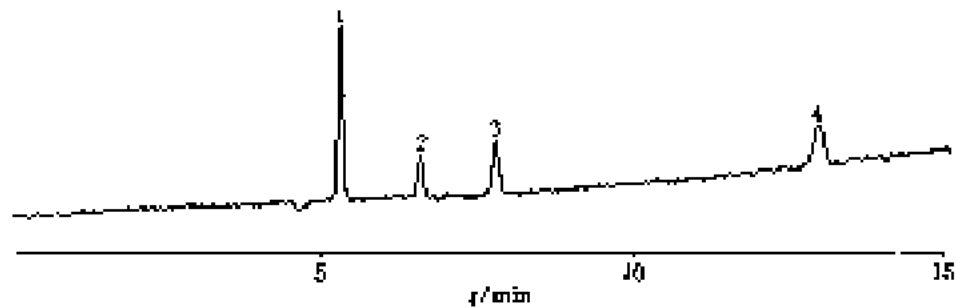
色谱柱: 内径 100 μ m, 外径 360 μ m, 填料有效长度 35cm, 内填 3 μ m C_{18} (L)

流动相: 乙腈 + 1mmol/L $^{-1}$ MES (体积比 = 20 : 20)

进样: 10kV/1s

运行电压: 20kV

检测器: UV (254nm)

图 15-142 C_{18} 柱评价色谱图 (八)

色谱峰: 1—苯酚, 2—苯甲酸, 3—苯甲醛, 4—苯

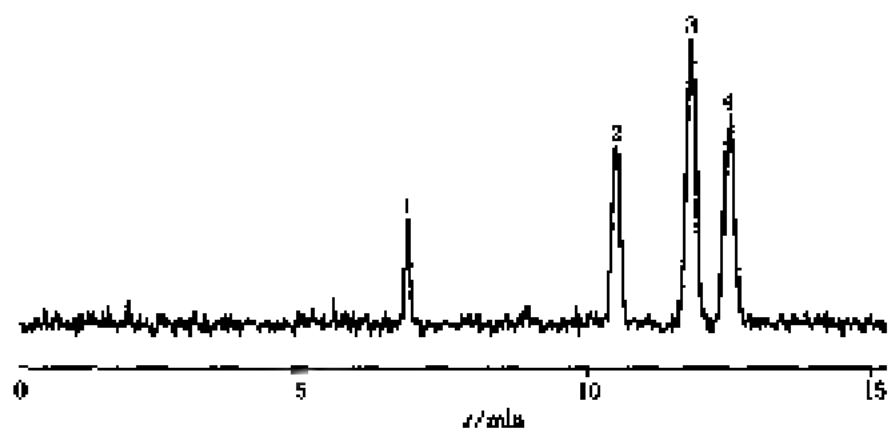
色谱柱: 内径 75 μ m, 外径 380 μ m, 填料有效长度 25cm, 内填 3 μ m C_{18} (QA)

流动相: 乙腈 + 4mmol/L $^{-1}$ 磷酸水溶液 (体积比 = 80 : 20)

进样: 10kV/2s

运行电压: 15kV

检测器: UV (254nm)

图 15-143 C_{18} 柱评价色谱图(九)

色谱峰: 1—杂质; 2—萘; 3—菲; 4—蒽

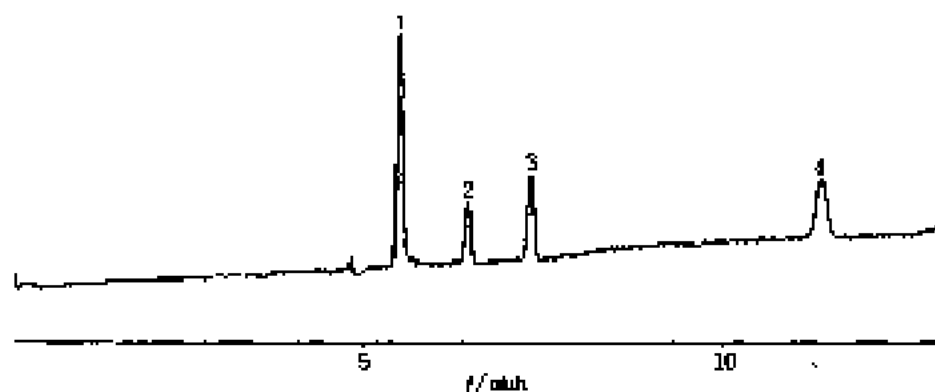
色谱柱: 内径 $75\mu\text{m}$, 外径 $360\mu\text{m}$, 填料有效长度 21cm , 内填 $3\mu\text{m}$ C_{18} (B)

流动相: 乙醇 + $1\text{mmol} \cdot \text{L}^{-1}$ MES (体积比 = 80 : 20)

进 样: $10\text{kV}/3\text{s}$

运行电压: 15kV

检 测: 荧光检测器 $\lambda_{\text{ex}}254\text{nm}$, $\lambda_{\text{em}}270\text{nm}$

图 15-144 C_{18} 柱评价色谱图(十)

色谱峰: 1—硫酸; 2—苯甲酮; 3—苯甲醚; 4—萘

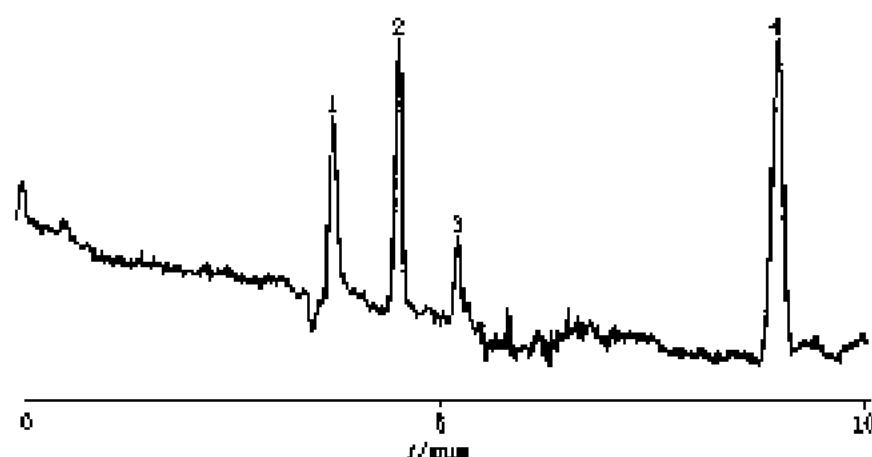
色谱柱: 内径 $75\mu\text{m}$, 外径 $360\mu\text{m}$, 填料有效长度 21cm , 内填 $3\mu\text{m}$ C_{18} (B)

流动相: 乙醇 + $4\text{mmol} \cdot \text{L}^{-1}$ 磷酸水溶液 (体积比 = 80 : 20)

进 样: $10\text{kV}/1\text{s}$

运行电压: 15kV

检测器: UV (254nm)

图 15-145 C_{18} 柱评价色谱图 (十一)

色谱峰：1—硫酸；2—苯甲醇；3—苯甲酯；4—苯

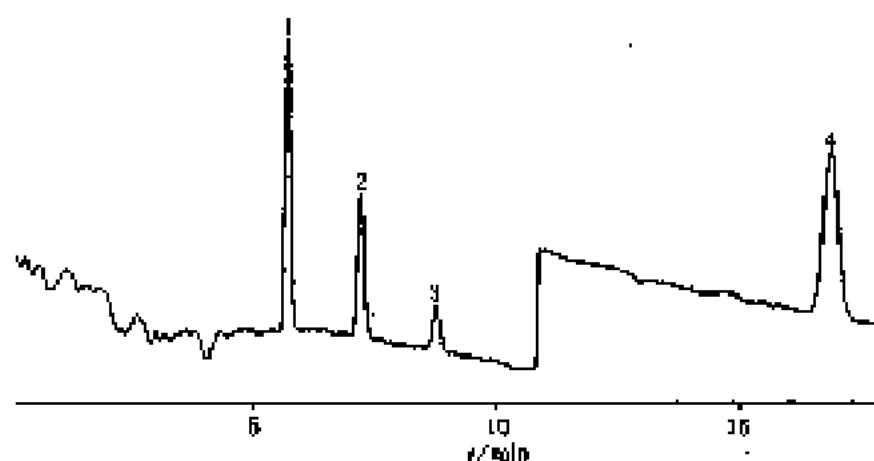
色谱柱：内径 $75\mu\text{m}$ ，外径 $360\mu\text{m}$ ，填料有效长度 20cm ，内填 $3.5\mu\text{m } C_{18}$ (UNENDCAPPED)

流动相：乙腈 + $4\text{mmol} \cdot \text{L}^{-1}$ 磷酸水溶液 (体积比 = 80 : 20)

进样：5kV/2s

运行电压：15kV

检测器：UV (254nm)

图 15-146 C_{18} 柱评价色谱图 (十二)

色谱峰：1—硫酸；2—苯甲醇；3—苯甲酯；4—苯

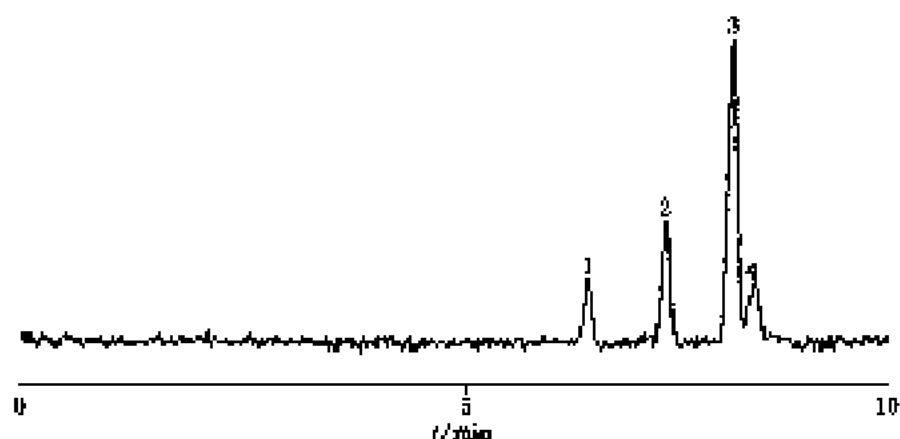
色谱柱：内径 $100\mu\text{m}$ ，外径 $360\mu\text{m}$ ，填料有效长度 25cm ，内填 $3.5\mu\text{m } C_{18}$ (BASEDEACTIVED)

流动相：乙腈 + $10\text{mmol} \cdot \text{L}^{-1}$ PTMS (体积比 = 80 : 20)

进样：2.5kV/1s

运行电压：15kV

检测器：UV (254nm)

图 15-147 C_{18} 柱评价色谱图 (十三)

色谱峰: 1—杂质, 2—苊, 3—萘, 4—蒽

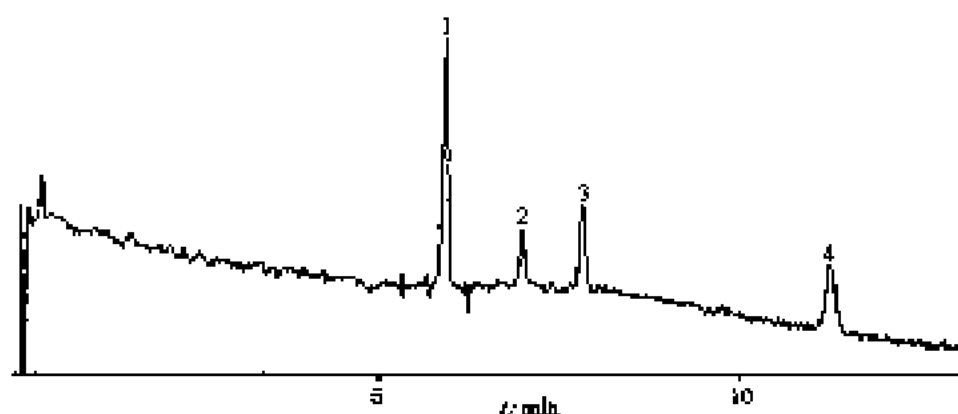
色谱柱: 内径 $75\mu\text{m}$, 外径 $320\mu\text{m}$, 填料有效长度 25cm , 内填 $5\mu\text{m}$ C_{18} (PRISM)

流动相: 乙腈 + $4\text{mmol} \cdot \text{L}^{-1}$ 磷酸水溶液 (体积比 = $80:20$)

进样: $5\text{kV}/1\text{s}$

运行电压: 18kV

检测: 荧光检测器 $\lambda_{\text{ex}} = 254\text{nm}$, $\lambda_{\text{em}} = 270\text{nm}$

图 15-148 C_{18} 柱评价色谱图 (十四)

色谱峰: 1—苊萘, 2—苯甲腈, 3—苯甲腈, 4—蒽

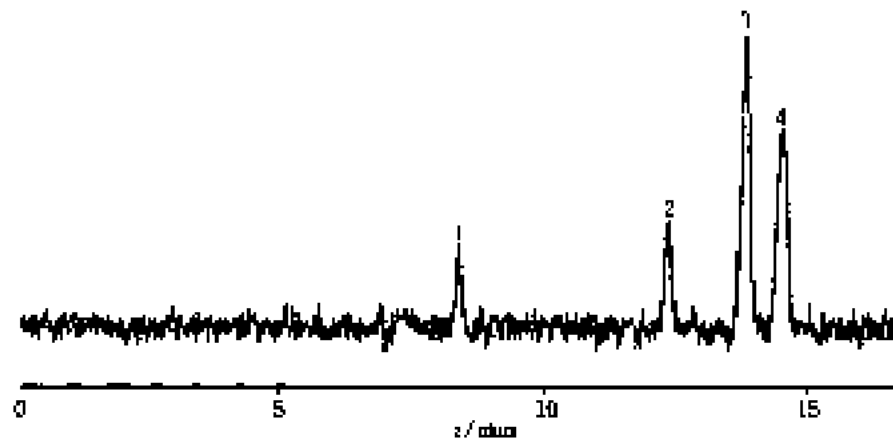
色谱柱: 内径 $50\mu\text{m}$, 外径 $320\mu\text{m}$, 填料有效长度 25cm , 内填 $5\mu\text{m}$ C_{18} (AQUASIL)

流动相: 乙腈 + $4\text{mmol} \cdot \text{L}^{-1}$ 磷酸水溶液 (体积比 = $80:20$)

进样: $15\text{kV}/1\text{s}$

运行电压: 15kV

检测器: UV (254nm)

图 15-149 C_{18} 柱评价色谱图 (十五)

色谱峰: 1—氯苯; 2—苊; 3—菲; 4—蒽

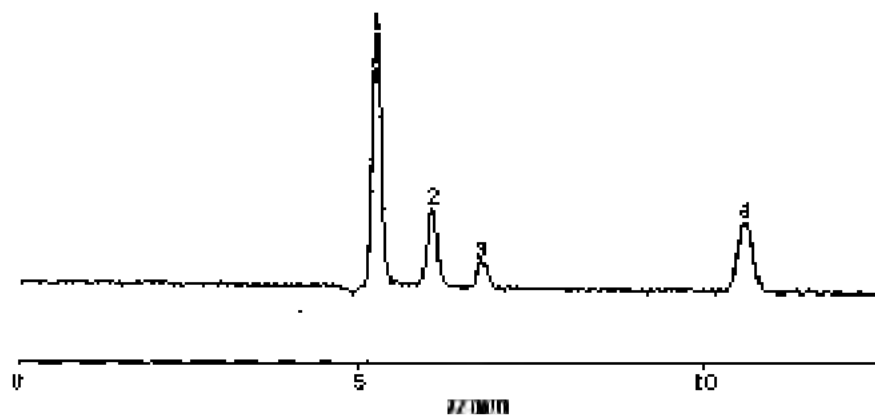
色谱柱: 内径 $75\mu\text{m}$, 外径 $360\mu\text{m}$, 填料有效长度 35cm , 内填 $5\mu\text{m}$ C_{18} (AQUDASIL)

流动相: 乙腈 + $40\text{mmol} \cdot \text{L}^{-1}$ 硼砂水溶液 (体积比 = 80 : 20)

进样: $25\text{kV}/1\mu$

运行电压: 20kV

检测: 荧光检测器 $\lambda_{\text{ex}} = 254\text{nm}$, $\lambda_{\text{em}} = 370\text{nm}$

图 15-150 C_{18} 柱评价色谱图 (十六)

色谱峰: 1—氯苯; 2—苯甲醛; 3—苯甲醚; 4—蒽

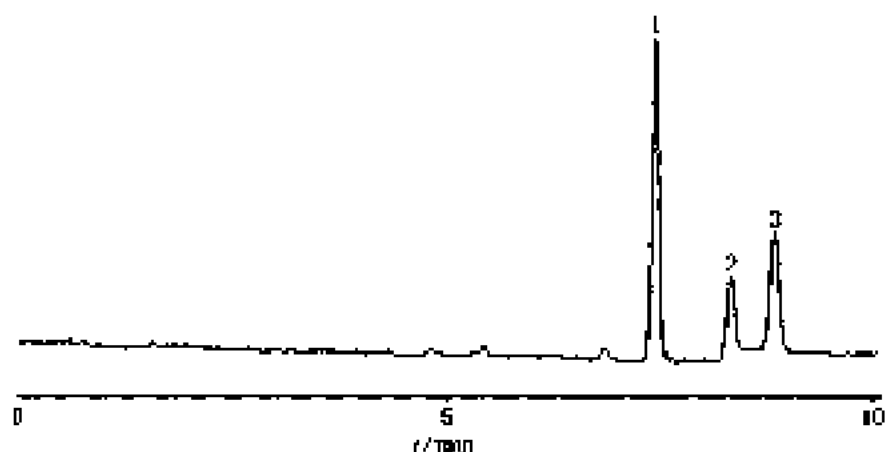
色谱柱: 内径 $100\mu\text{m}$, 外径 $360\mu\text{m}$, 填料有效长度 20cm , 内填 $5\mu\text{m}$ C_{18} (BASIL)

流动相: 乙腈 + $40\text{mmol} \cdot \text{L}^{-1}$ 硼砂水溶液 (体积比 = 80 : 20)

进样: $10\text{kV}/2\mu$

运行电压: 10kV

检测器: UV (254nm)

图 15-151 C_{18} 柱评价色谱图 (十七)

色谱峰: 1—苯, 2—萘, 3—蒽

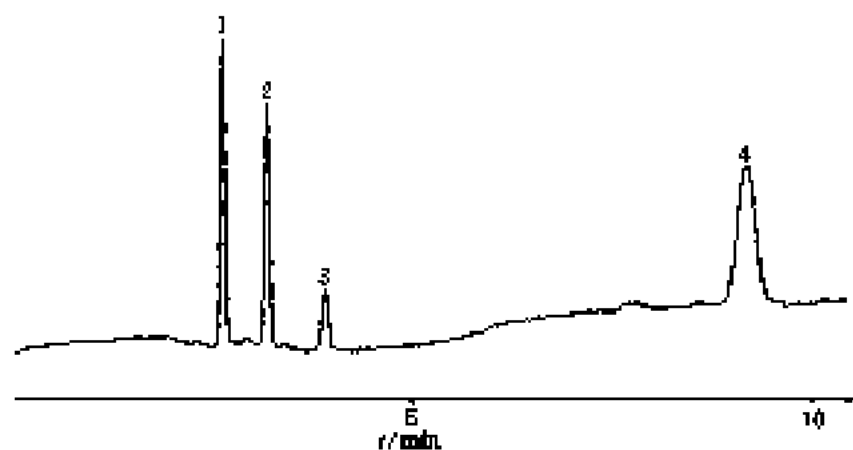
色谱柱: 内径 $75\mu\text{m}$, 外径 $350\mu\text{m}$, 填料有效长度 25cm , 内填 $3\mu\text{m } C_{18}$ (L-SS)

流动相: 乙腈 + $4\text{mmol} \cdot \text{L}^{-1}$ 磷酸水溶液 (体积比 = 30 : 70)

进样: $5\text{kV}/1\text{s}$

运行电压: 30kV

检测器: UV (254nm)

图 15-152 C_{30} 柱评价色谱图 (十八)

色谱峰: 1—萘, 2—苯甲酮, 3—苯甲醚, 4—蒽

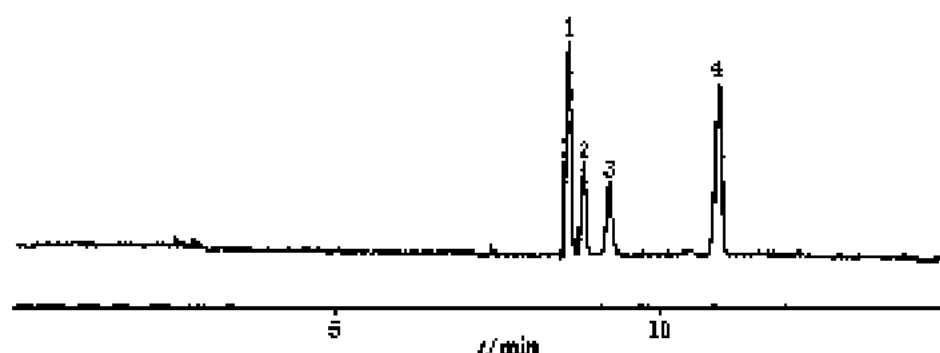
色谱柱: 内径 $100\mu\text{m}$, 外径 $380\mu\text{m}$, 填料有效长度 9cm , 内填 $3\mu\text{m } C_{30}$ (PAH)

流动相: 乙腈 + $1\text{mmol} \cdot \text{L}^{-1}$ 磷酸水溶液 (体积比 = 50 : 50)

进样: $5\text{kV}/1\text{s}$

运行电压: 5kV

检测器: UV (254nm)

图 15-153 C_{18} 柱 (AASPI) 评价色谱图

色谱峰：1—萘醌，2—苯甲酚，3—苯甲醚，4—苯

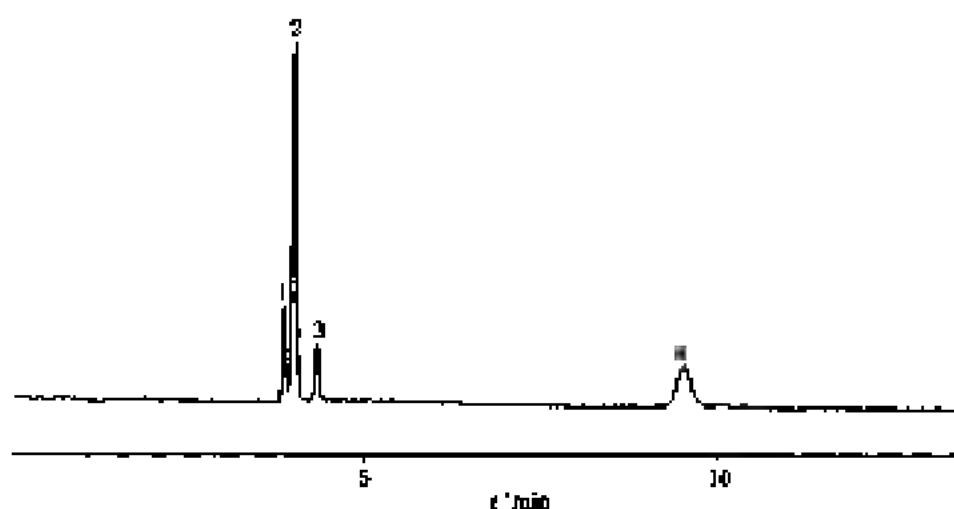
色谱柱：内径 $75\mu\text{m}$ ，外径 $360\mu\text{m}$ ，填料有效长度 40cm ，内填 $3\mu\text{m}$ C_{18} (PAH)

流动相：乙醇 + $4\text{mmol} \cdot \text{L}^{-1}$ 磷酸水溶液 (体积比 = 80 : 20)

进样：10kV/2s

运行电压：20kV

检测器：UV (254nm)

图 15-154 无孔 C_{18} 柱评价色谱图 (一)

色谱峰：1—萘醌，2—苯甲酚，3—苯甲醚，4—苯

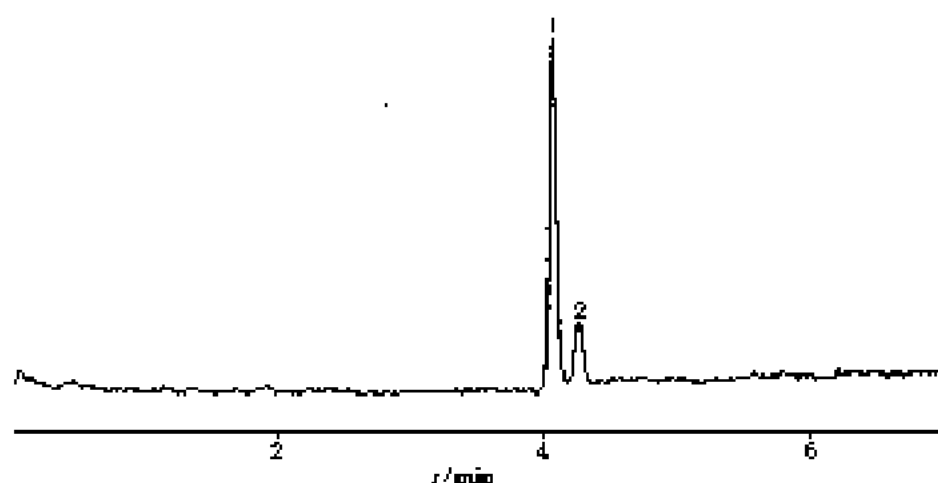
色谱柱：内径 $75\mu\text{m}$ ，外径 $360\mu\text{m}$ ，填料有效长度 25cm ，内填 $1.5\mu\text{m}$ C_{18} (NPS-EC)

流动相：乙醇 + $10\text{mmol} \cdot \text{L}^{-1}$ TRIS (体积比 = 50 : 50)

进样：5kV/2s

运行电压：10kV

检测器：UV (254nm)

图 15-155 无孔 C_{18} 柱评价色谱图 (二)

色谱峰: 1—吡啶; 2—苯

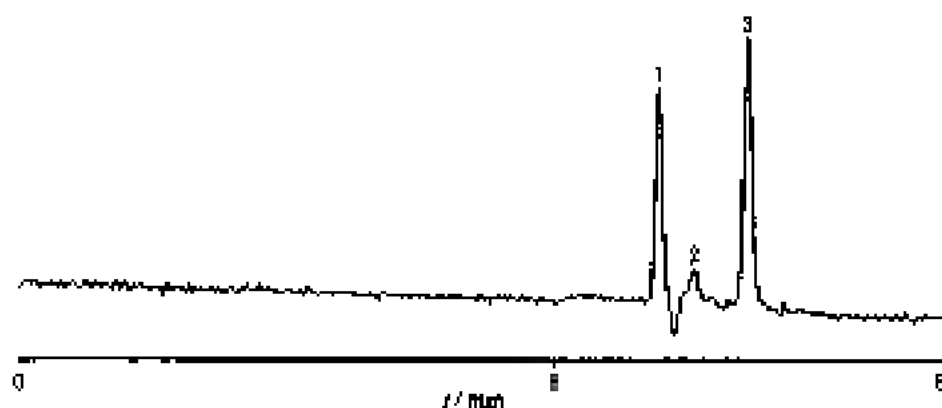
色谱柱: 内径 $75\mu\text{m}$ 、外径 $360\mu\text{m}$ 、填料有效长度 25cm 、内填 $3\mu\text{m}$ C_{18} (NPS-EC)

流动相: 乙腈 + 10mmol/L TRIS (体积比 = $80:20$)

进样: $5\text{kV}/1\text{s}$

运行电压: 15kV

检测器: UV (254nm)

图 15-156 无孔 C_{18} 柱评价色谱图 (三)

色谱峰: 1—吡啶; 2—吡啶; 3—吡

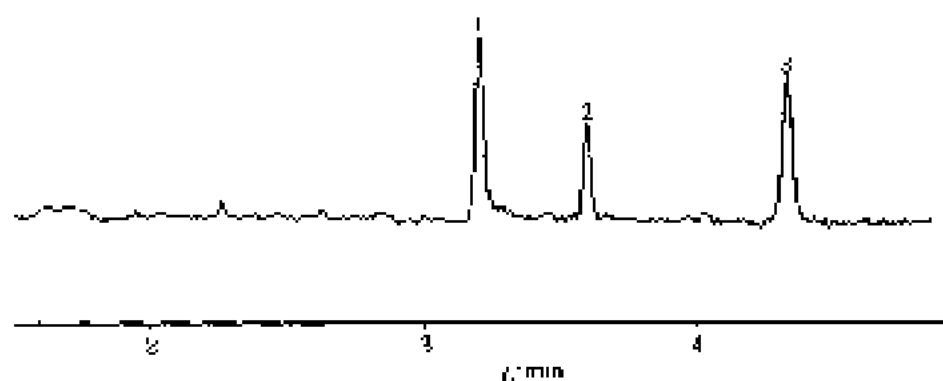
色谱柱: 内径 $75\mu\text{m}$ 、外径 $360\mu\text{m}$ 、填料有效长度 25cm 、内填 $3\mu\text{m}$ C_{18} (NPS)

流动相: 乙腈 + 1mmol/L MES (体积比 = $80:20$)

进样: $5\text{kV}/1\text{s}$

运行电压: 10kV

检测器: UV (254nm)

图 15-157 无孔 C_{18} 柱评价色谱图 (四)

色谱峰: 1—蔗糖; 2—糖; 3—葡萄糖

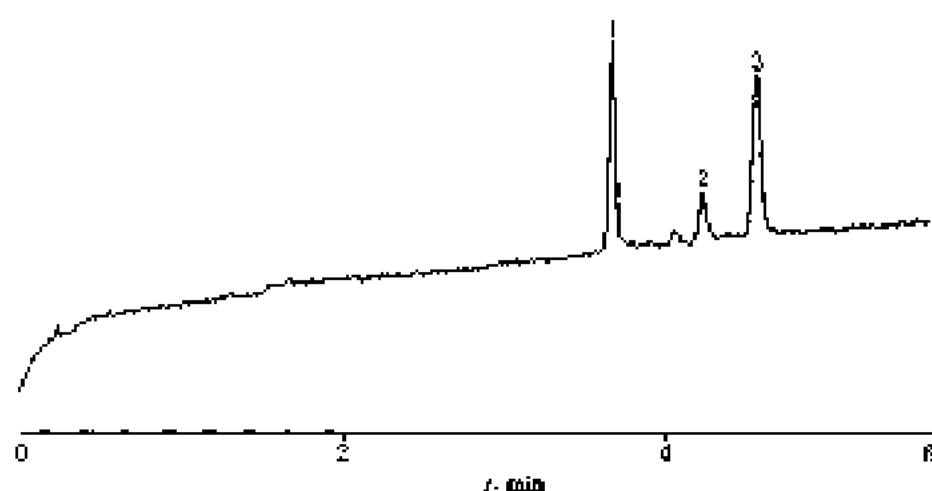
色谱柱: 内径 $75\mu\text{m}$, 外径 $360\mu\text{m}$, 填料有效长度 20cm , 内填 $1.5\mu\text{m } C_{18}$ (NPS)

流动相: 乙醇 + $0.1\text{mmol} \cdot \text{L}^{-1}$ MOPS (体积比 = 70 : 30)

流速: $2.5\text{mL}/\text{min}$

运行电压: 15kV

检测器: UV (254nm)

图 15-158 无孔 C_{18} 柱评价色谱图 (五)

色谱峰: 1—葡萄糖; 2—蔗糖; 3—糖

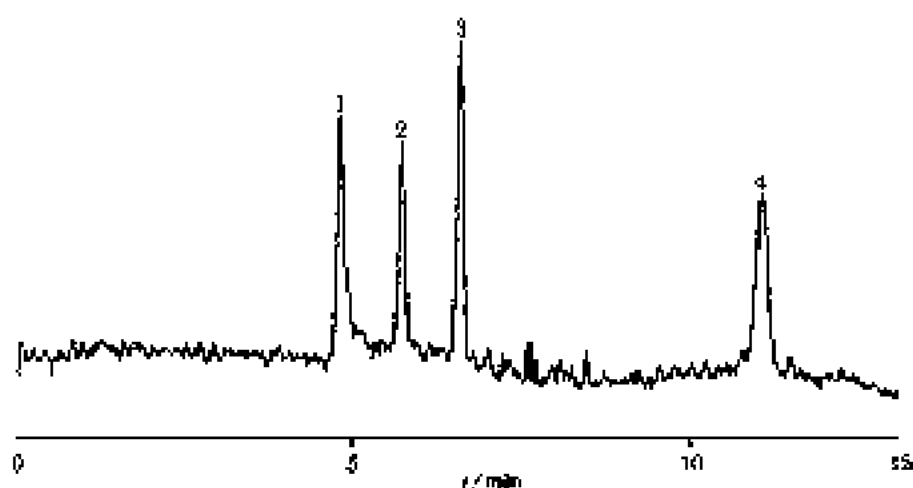
色谱柱: 内径 $75\mu\text{m}$, 外径 $360\mu\text{m}$, 填料有效长度 20cm , 内填 $1.5\mu\text{m } C_{18}$ (NPS)

流动相: 乙醇 + $1\text{mmol} \cdot \text{L}^{-1}$ MES (体积比 = 60 : 40)

流速: $1\text{mL}/\text{min}$

运行电压: 15kV

检测器: UV (254nm)

图 15-159 C₁₈柱评价色谱图

色谱峰：1—疏酮，2—苯甲酸，3—苯甲酯，4—苯

色谱柱：内径 75 μm，外径 360 μm，填料有效长度 25 cm，内填 5 μm C₁₈

流动相：乙腈 + 10 mmol · L⁻¹ TRIS (体积比 = 80 : 20)

进样：5 kV/2 s

运行电压：15 kV

检测器：UV (254 nm)

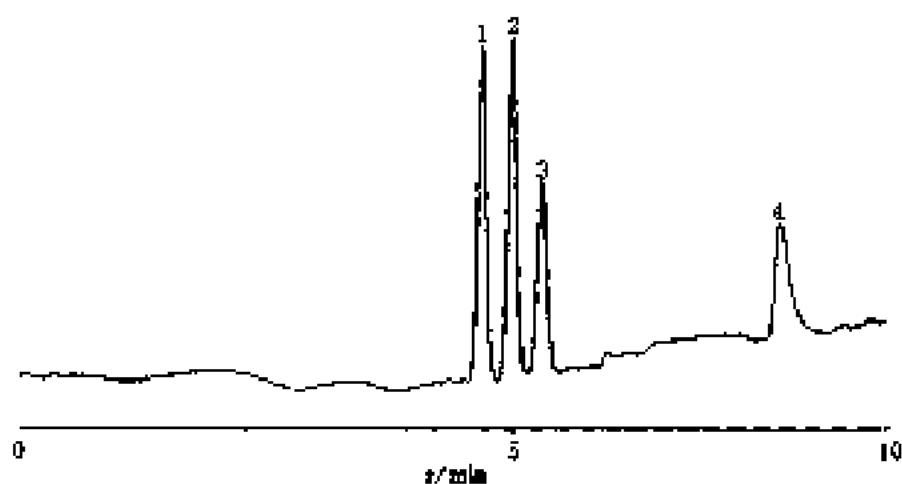


图 15-160 生物手性 (CBV) 柱评价色谱图

色谱峰：1—苯，2—苯甲酸，3—苯甲酯，4—疏酮

色谱柱：内径 100 μm，外径 360 μm，填料有效长度 20 cm，内填 5 μm CBV

流动相：乙腈 + 10 mmol · L⁻¹ TEAA (体积比 = 80 : 20)

进样：5 kV/2 s

运行电压：10 kV

检测器：UV (254 nm)

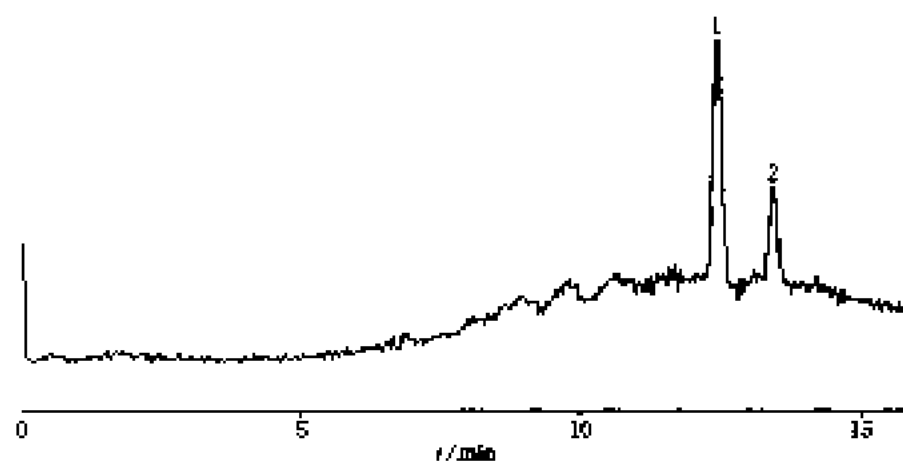


图 15-161 环糊精手性 (CD-12000) 柱评价色谱图

色谱峰：1—苯；2—苯甲醇

色谱柱：内径 $100\mu\text{m}$ ，外径 $360\mu\text{m}$ ，填料有效长度 40cm ，内填 $5\mu\text{m}$ CD-12000

流动相：乙醇+甲醇+ $100\text{mmol}\cdot\text{L}^{-1}$ TEAA (体积比=90:5:5)

进样： $10\text{kV}/2\text{s}$

运行电压： 15kV

检测：UV (254nm)

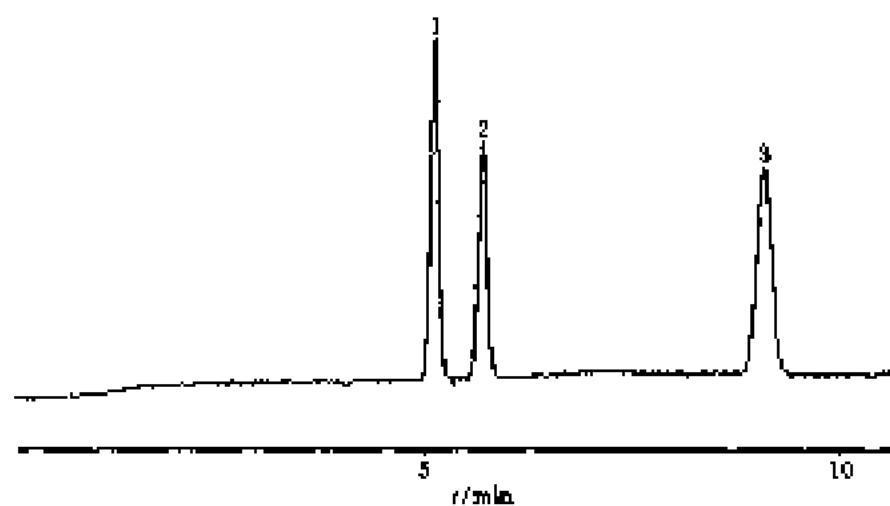


图 15-162 手性 (CH) 柱评价色谱图 (一)

色谱峰：1—苯甲醇；2—苯甲酯；3—苯

色谱柱：内径 $100\mu\text{m}$ ，外径 $360\mu\text{m}$ ，填料有效长度 15cm ，内填 $7\mu\text{m}$ CH

流动相：乙醇+ $4\text{mmol}\cdot\text{L}^{-1}$ 硼砂水溶液 (体积比=70:30)

进样： $10\text{kV}/1\text{s}$

运行电压： 10kV

检测：UV (264nm)

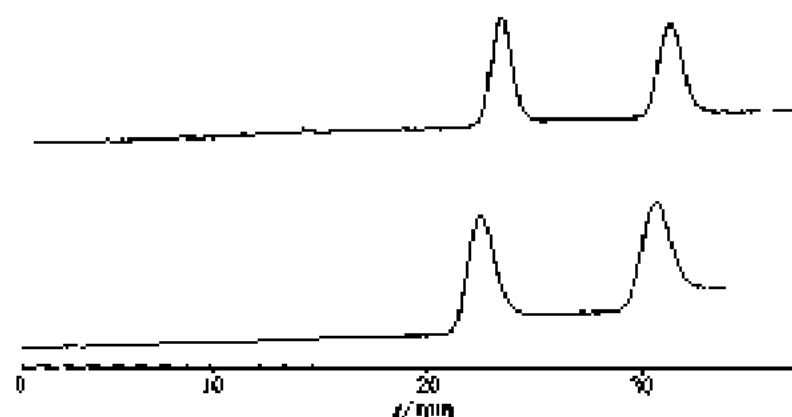


图 15-163 手性 (CH) 柱评价色谱图 (二)

色谱峰: 二苯乙醇酮

色谱柱: 内径 75 μ m, 外径 360 μ m, 填料有效长度 35cm, 内填 1 μ m CH

流动相: 乙醇+水+4mmol·L⁻¹磷酸水溶液 (体积比=40:50:10)

进样: 15kV/1s

运行电压: 15kV

检测: UV (264nm)

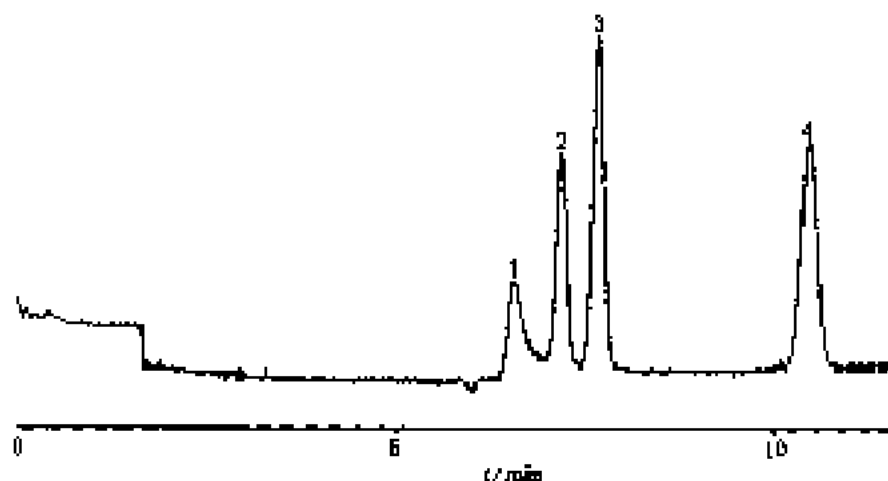


图 15-164 手性 (CH) 柱评价色谱图 (三)

色谱峰: 1-苯酚; 2-苯甲醇; 3-苯甲酸; 4-萘

色谱柱: 内径 75 μ m, 外径 360 μ m, 填料有效长度 20cm, 内填 1 μ m CH

流动相: 乙醇+1mmol·L⁻¹磷酸水溶液 (体积比=80:20)

进样: 2.5kV/1s

运行电压: 10kV

检测: UV (264nm)

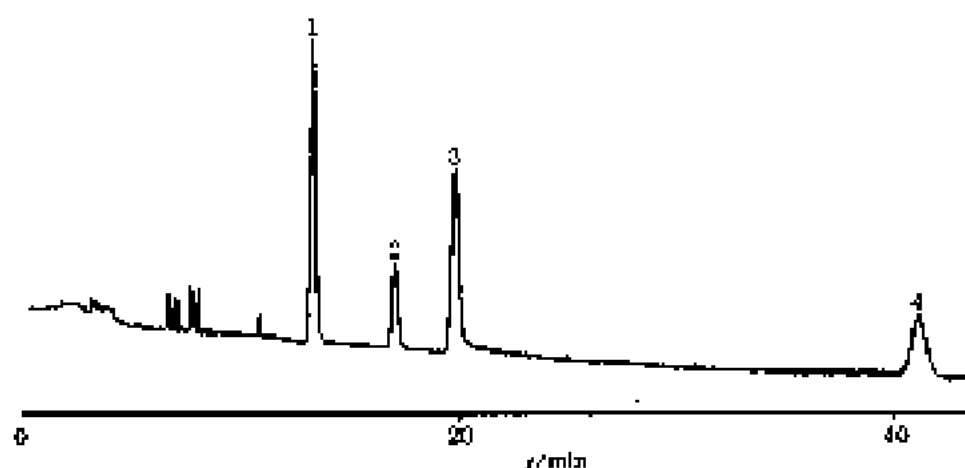


图 15-165 手性纤维素 (CHODR) 柱评价色谱图

色谱峰: 1—疏基; 2—苯甲醇; 3—苯甲酸; 4—苯

色谱柱: 内径 75 μ m, 外径 380 μ m, 填料有效长度 25cm, 内填 CHODR

流动相: 乙腈 + 4mmol \cdot L $^{-1}$ 磷酸水溶液 (体积比 = 70 : 30)

进样: 10kV/1s

运行电压: 10kV

检测: UV (254nm)

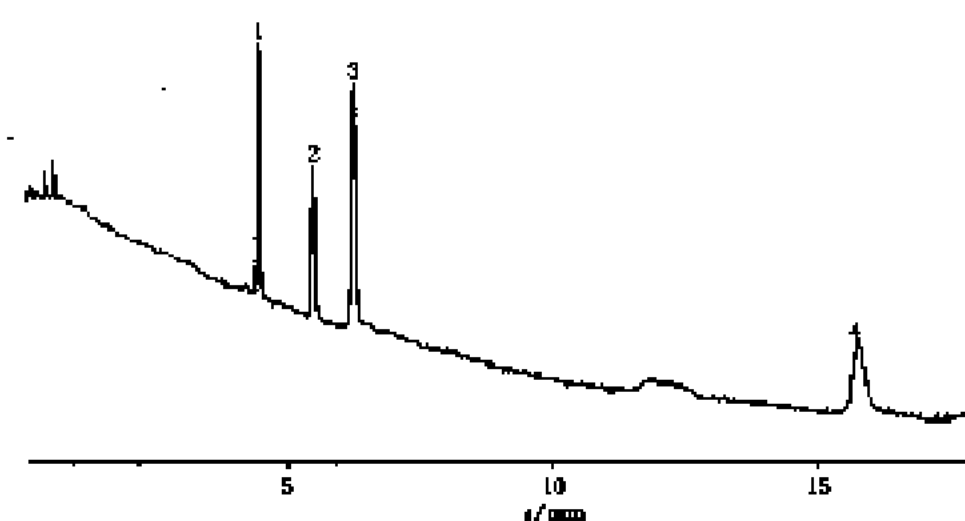


图 15-166 手性纤维素 (CHOJR) 柱评价色谱图

色谱峰: 1—疏基; 2—苯甲醇; 3—苯甲酸; 4—苯

色谱柱: 内径 75 μ m, 外径 380 μ m, 填料有效长度 25cm, 内填 CHOJR

流动相: 乙腈 + 4mmol \cdot L $^{-1}$ 磷酸水溶液 (体积比 = 70 : 30)

进样: 5kV/1s

运行电压: 15kV

检测: UV (254nm)

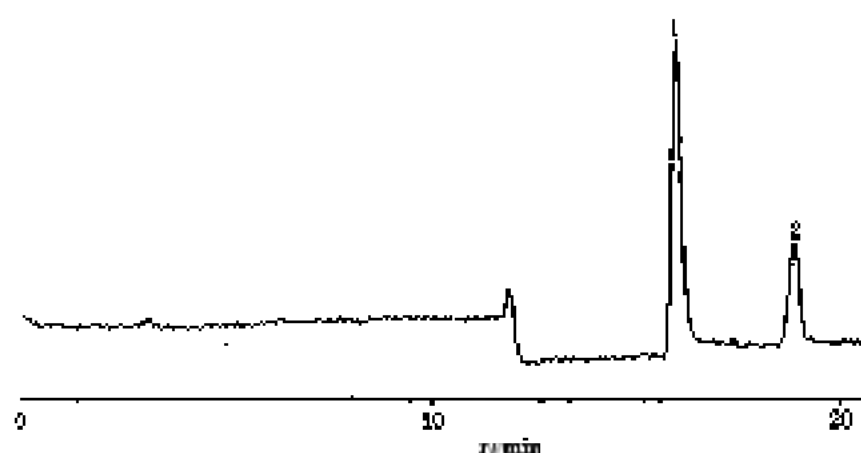


图 15-167 离子交换树脂 (SCX) 柱评价色谱图 (一)

色谱峰: 1—盐酸巴马汀; 2—盐酸小檗碱

色谱柱: 内径 $75\mu\text{m}$, 外径 $360\mu\text{m}$, 填料有效长度 20cm , 内填 $4\mu\text{m}$ SCX

流动相: 乙醇 + $160\text{mmol}\cdot\text{L}^{-1}$ 磷酸二氢钠 + $2\text{mol}\cdot\text{L}^{-1}$ 磷酸 (体积比 = 60 : 30 : 10)

进样: $2.5\mu\text{L}/1\text{s}$

运行电压: 5kV

检测: UV (254nm)

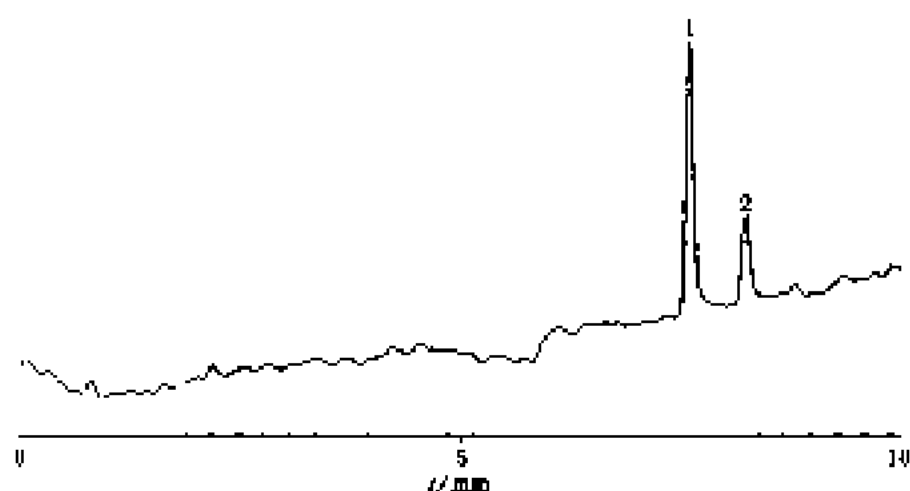


图 15-168 离子交换树脂 (SCX) 柱评价色谱图 (二)

色谱峰: 1—盐酸巴马汀; 2—盐酸小檗碱

色谱柱: 内径 $75\mu\text{m}$, 外径 $360\mu\text{m}$, 填料有效长度 25cm , 内填 $4\mu\text{m}$ SCX

流动相: 乙醇 + $100\text{mmol}\cdot\text{L}^{-1}$ 磷酸二氢钠 + $1\text{mmol}\cdot\text{L}^{-1}$ 磷酸 (体积比 = 60 : 30 : 10)

进样: $5\mu\text{L}/1\text{s}$

运行电压: 10kV

检测: UV (254nm)

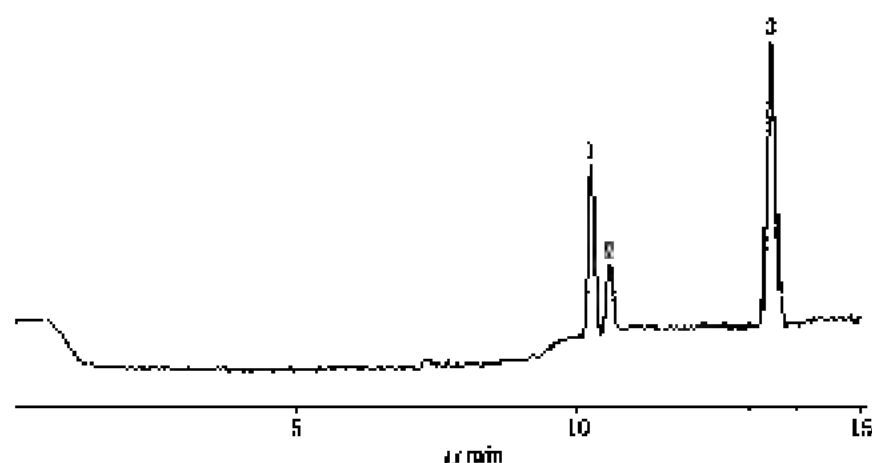


图 15-169 离子交换树脂 (WAX) 柱评价色谱图

色谱峰: 1—硫酸; 2—苯甲醇; 3—糖

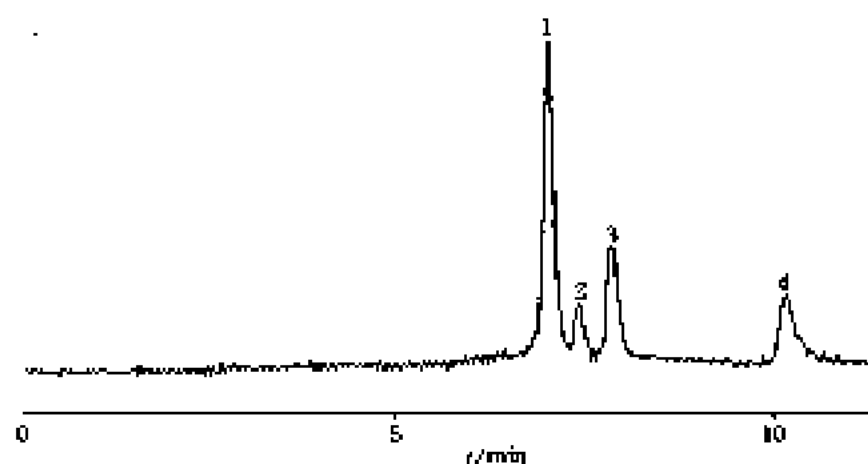
色谱柱: 内径 $26\mu\text{m}$, 外径 $380\mu\text{m}$, 填料有效长度 15cm , 内填 $5\mu\text{m}$ WAX

流动相: 乙醇 + $4\text{mmol} \cdot \text{L}^{-1}$ 四砂水溶液 (体积比 = 70 : 30)

进 样: $10\text{kV}/1\text{s}$

运行电压: 15kV

检 测: UV (254nm)

图 15-170 氨基 (NH_2) 柱评价色谱图 ()

色谱峰: 1—酮; 2—苯甲醇; 3—苯甲醇; 4—硫酸

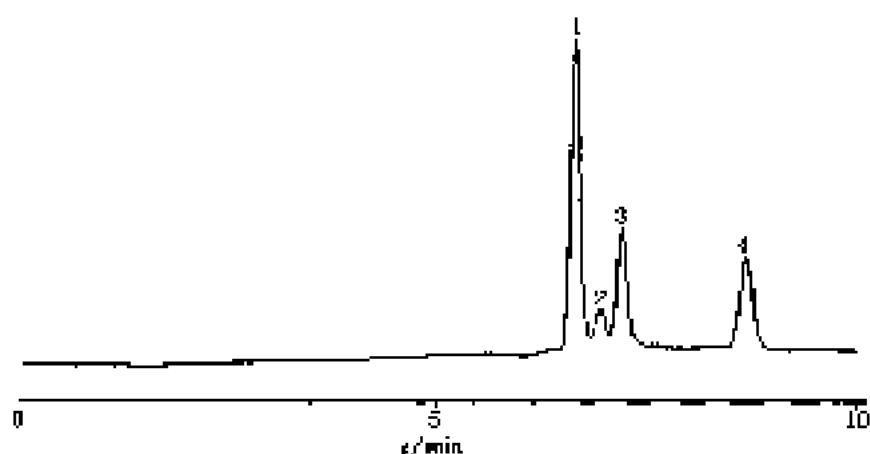
色谱柱: 内径 $75\mu\text{m}$, 外径 $350\mu\text{m}$, 填料有效长度 25cm , 内填 $7\mu\text{m}$ NH_2

流动相: 乙醇 + $10\text{mmol} \cdot \text{L}^{-1}$ 磷酸 + $7.7\text{mmol} \cdot \text{L}^{-1}$ 三氟乙酸 (体积比 = 80 : 10 : 10)

进 样: $5\text{kV}/1\text{s}$

运行电压: 5kV

检 测: UV (254nm)

图 15-171 担基 (NH_4) 柱评价色谱图 (二)

色谱峰: 1—苯; 2—苯甲醇; 3—苯甲醚; 4—苯胺

色谱柱: 内径 $100\mu\text{m}$, 外径 $360\mu\text{m}$, 填料有效长度 20cm , 内填 $3\mu\text{m NH}_4^+$

流动相: 乙醇 + $10\text{mmol} \cdot \text{L}^{-1}$ 磷酸 + $7\text{mmol} \cdot \text{L}^{-1}$ 三氟乙酸 (体积比 = $80 : 10 : 10$)

进样: $2.5\text{kV}/1\mu$

运行电压: 5kV

检测: UV (254nm)

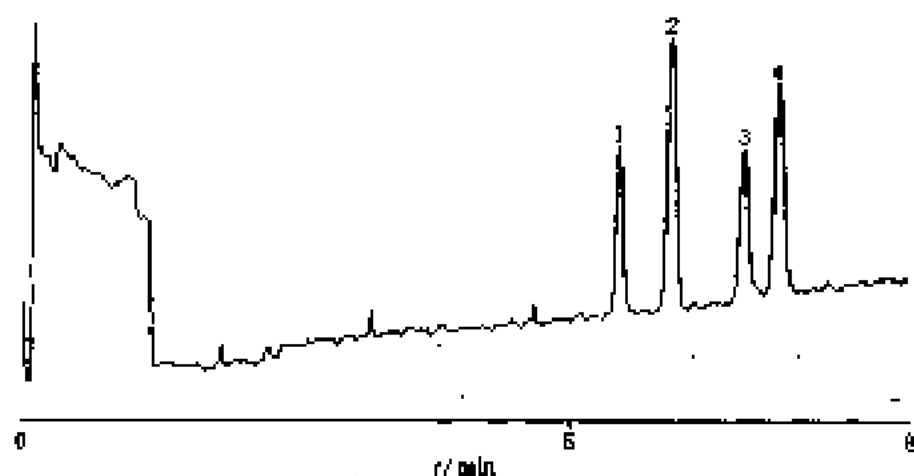


图 15-172 苯基 (PH) 柱评价色谱图 (一)

色谱峰: 1—苯胺; 2—苯甲醇; 3—苯甲醚; 4—苯

色谱柱: 内径 $100\mu\text{m}$, 外径 $360\mu\text{m}$, 填料有效长度 25cm , 内填 $3\mu\text{m PH}$

流动相: 乙醇 + $4\text{mmol} \cdot \text{L}^{-1}$ 磷酸水溶液 (体积比 = $70 : 30$)

进样: $2.5\text{kV}/1\mu$

运行电压: 15kV

检测: UV (254nm)

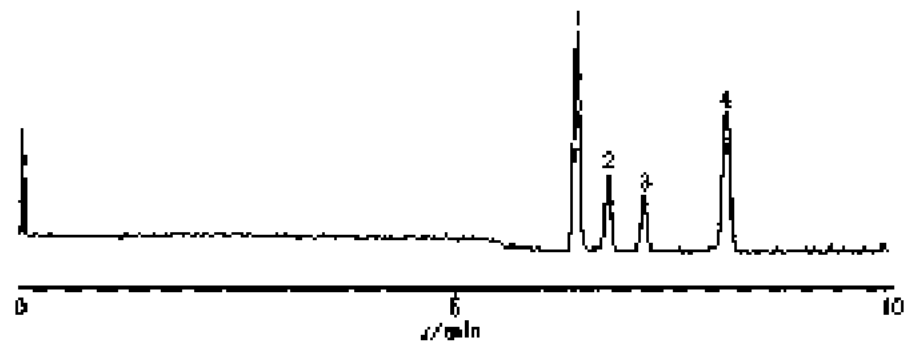


图 15-173 苯基 (PH) 柱评价色谱图 (二)

色谱峰: 1—苯酚; 2—苯甲醛; 3—苯甲酸; 4—苯

色谱柱: 内径 75 μ m, 外径 360 μ m, 填料有效长度 30cm, 内填 3 μ m PH

流动相: 乙醇 + 1mmol \cdot L⁻¹ 硼砂水溶液 (体积比 = 70 : 30)

进样: 5 μ V/1 μ

运行电压: 15kV

检测: UV (254nm)

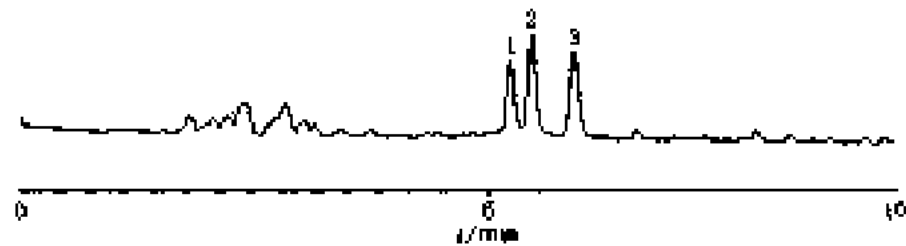


图 15-174 氨基 (CN) 柱评价色谱图 (一)

色谱峰: 1—苯甲醛; 2—苯甲酸; 3—苯

色谱柱: 内径 75 μ m, 外径 360 μ m, 填料有效长度 30cm, 内填 3 μ m CN

流动相: 乙醇 + 4mmol \cdot L⁻¹ 硼砂水溶液 (体积比 = 50 : 50)

进样: 5 μ V/1 μ

运行电压: 10kV

检测: UV (254nm)

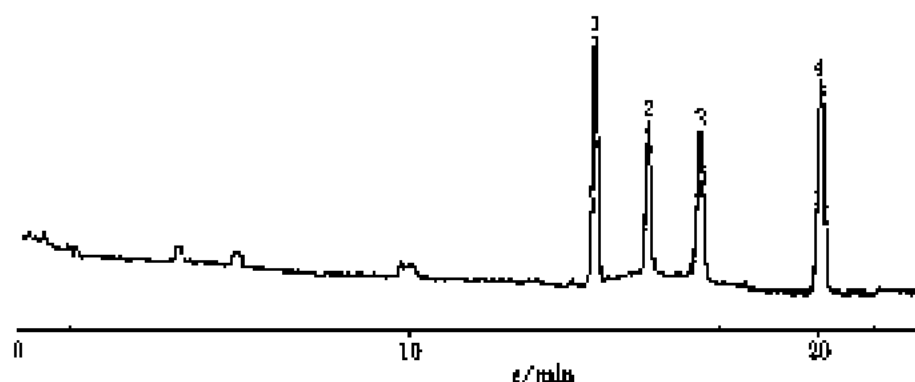


图 15-175 氰基 (CN) 柱评价色谱图 (二)

色谱峰: 1—苯酚; 2—苯甲醛; 3—苯甲酸; 4—苯

色谱柱: 内径 75 μ m, 外径 380 μ m, 填料有效长度 45cm, 内装 3 μ m CN

流动相: 乙醇+4mmol/L 硼酸水溶液 (体积比=50:50)

进样: 10 μ V/2s

运行电压: 20kV

检测: UV (254nm)

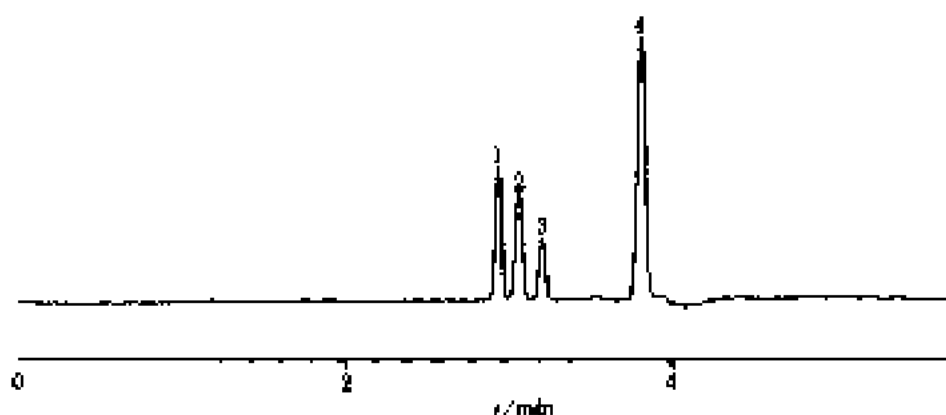


图 15-176 硅胶 (SI) 柱评价色谱图 (一)

色谱峰: 1—苯; 2—苯甲醛; 3—苯甲酸; 4—苯酚

色谱柱: 内径 75 μ m, 外径 380 μ m, 填料有效长度 30cm, 内装 3 μ m SI

流动相: 乙醇+4mmol/L 硼酸水溶液 (体积比=90:10)

进样: 10 μ V/1s

运行电压: 15kV

检测: UV (254nm)

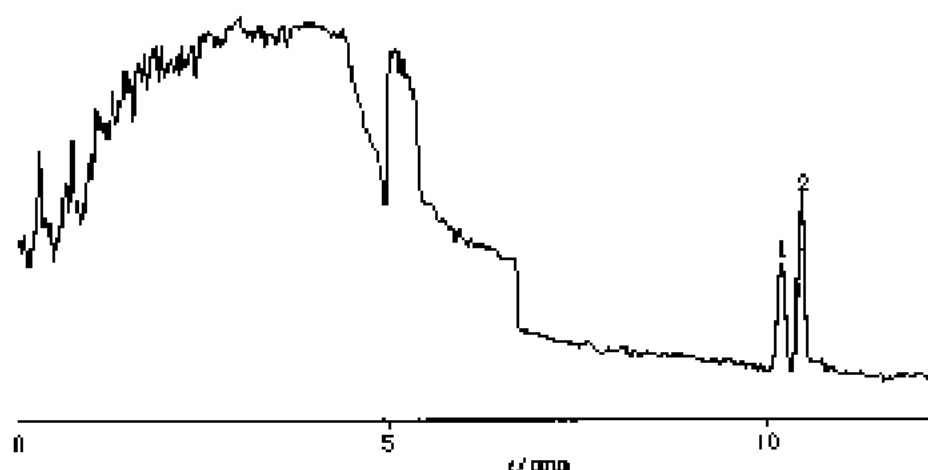


图 15-177 硅胶 (SG) 柱评价色谱图 (二)

色谱峰: 1—苯; 2—疏胺

色谱柱: 内径 100 μ m, 外径 360 μ m, 填料有效长度 45cm, 内填 10 μ m SG

流动相: 7.1mol/L 醋酐 + 4mmol/L 三乙胺水溶液 (体积比 = 90:10)

进样量: 2.5 μ L/2s

运行电压: 15kV

检测器: UV (254nm)

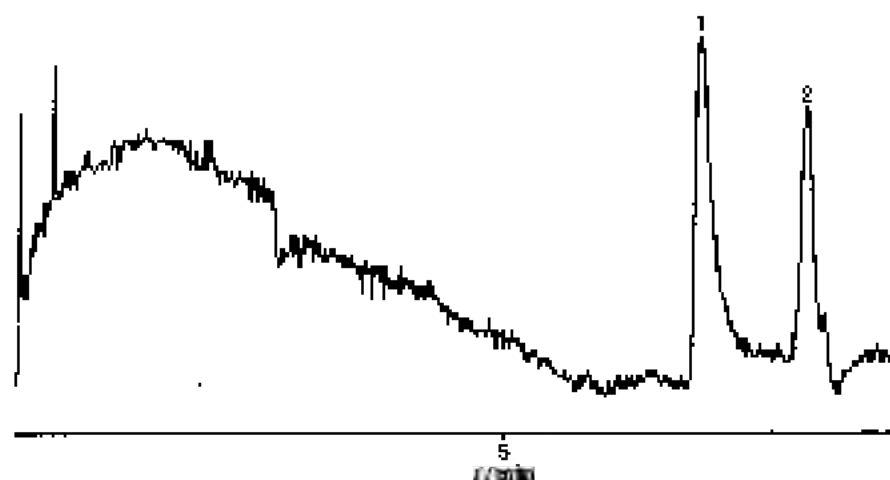


图 15-176 氯化镧 (Zn-NPZ) 柱评价色谱图

色谱峰: 1—疏胺; 2—苯

色谱柱: 内径 100 μ m, 外径 360 μ m, 填料有效长度 45cm, 内填 Zn-NPZ

流动相: 乙腈 + 2mmol/L 三乙胺 (体积比 = 90:10)

进样量: 5 μ L/1s

运行电压: 10kV

检测器: UV (254nm)

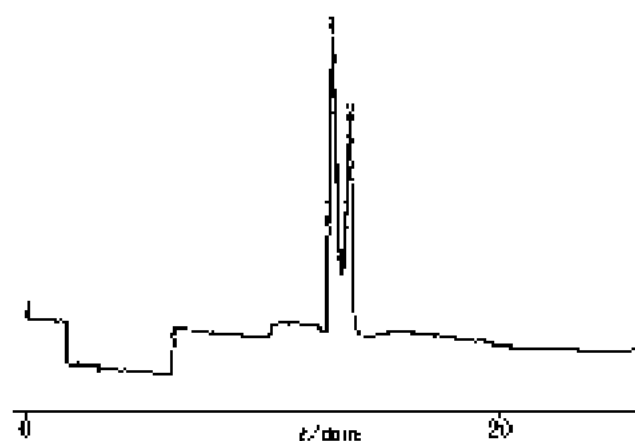


图 15-179 磷酸酯柱评价色谱图

色谱峰：1—苯酚；2—苯

色谱柱：内径 $100\mu\text{m}$ ，外径 $360\mu\text{m}$ ，填料有效长度 25cm ，内填 $12\mu\text{m}$ 磷酸酯

流动相：乙腈 + 4mmol/L 磷酸水溶液（体积比 = 70 : 30）

进 样： $10\text{nl}/1\text{s}$

运行电压： 10kV

检 测：UV (254nm)

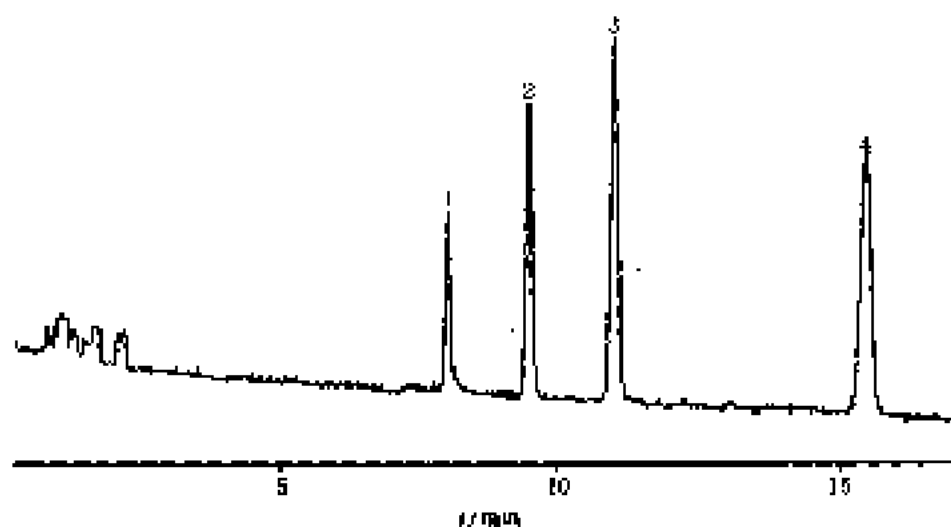


图 15-180 FFP 柱评价色谱图

色谱峰：1—苯酚；2—苯甲醇；3—苯甲酸；4—苯

色谱柱：内径 $75\mu\text{m}$ ，外径 $360\mu\text{m}$ ，填料有效长度 25cm ，内填 $5\mu\text{m}$ FFP

流动相：乙腈 + 4mmol/L 磷酸水溶液（体积比 = 80 : 20）

进 样： $5\text{nl}/1\text{s}$

运行电压： 10kV

检 测：UV (254nm)

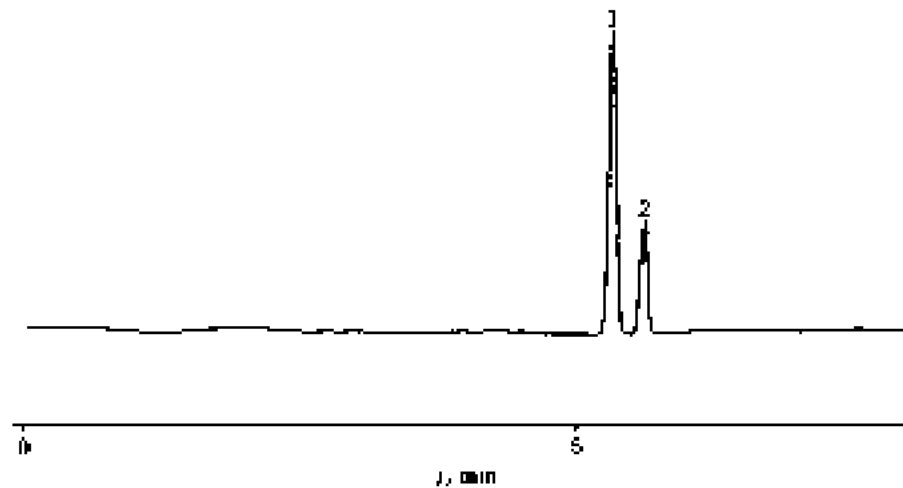


图 15-181 高聚合 (POLYCAT) 柱评价色谱图

色谱峰: 1—苯; 2—苯酚

色谱柱: 内径 $100\mu\text{m}$ 、外径 $360\mu\text{m}$ 、膜厚度 $0.5\mu\text{m}$ 、内填 $5\mu\text{m}$ POLYCAT

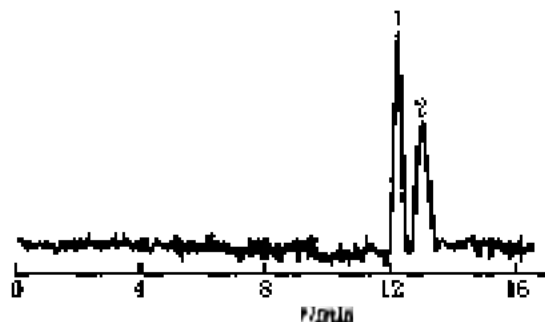
流动相: 乙腈 + $4\text{mmol} \cdot \text{L}^{-1}$ 磷酸水溶液 (体积比 = 90 : 10)

进样: $10\text{kV}/2\mu\text{s}$

运行电压: 10kV

检测器: UV (254nm)

二、毛细管电色谱应用谱图

图 15-182 苯丙氨酸对映体的分子烙印电
色谱分离谱图 [Lv]

色谱峰: 1—D-Phe; 2—L-Phe

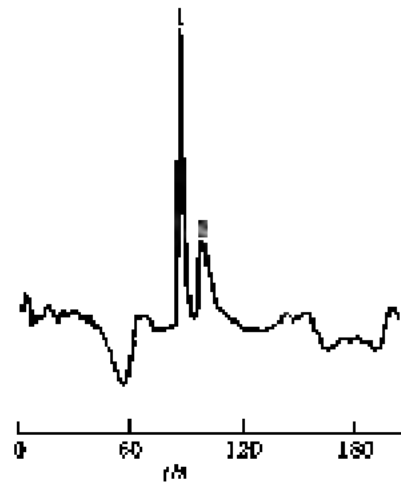
毛细管柱: 有效柱长 20cm 、总柱长 27cm 、内径 $75\mu\text{m}$ 、外径 $375\mu\text{m}$ 、以 L-羧基苯丙氨酸为烙印分子的连续涂层柱

缓冲溶液: $\text{MeCN} + \text{HAc} + \text{H}_2\text{O}$ (体积比 = 30 : 5 : 65)

进样: $300\text{V} \cdot \text{cm}^{-2}$, 5s

电压: $350\text{V} \cdot \text{cm}^{-2}$

检测器: 紫外 (214 nm)

图 15-183 心得安对映体的分子烙印电
色谱柱分离谱图 [122]

色谱峰: 1—S-心得安; 2—R-心得安

毛细管柱: 有效柱长 26.5cm 、总柱长 35cm 、内径 $75\mu\text{m}$ 、以 R-心得安为烙印分子的连续涂层柱

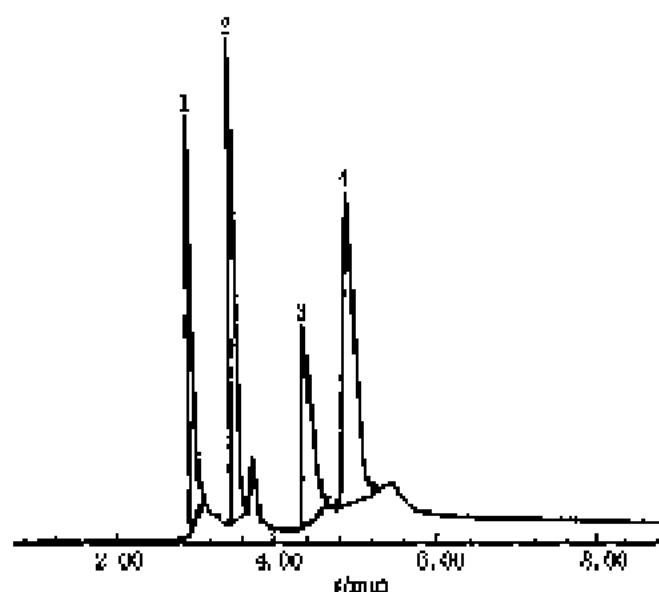
缓冲溶液: 乙腈 + $4\text{mmol} \cdot \text{L}^{-1}$ 乙酸铵溶液 (体积比 = 20 : 80)

进样: 5kV , 2s (压力), 0.7MPa

温度: 60°C

电压: 30kV

检测器: 紫外 (214 nm)

图 15-184 蛋白质的开管毛细管电色谱分离谱图^[182]

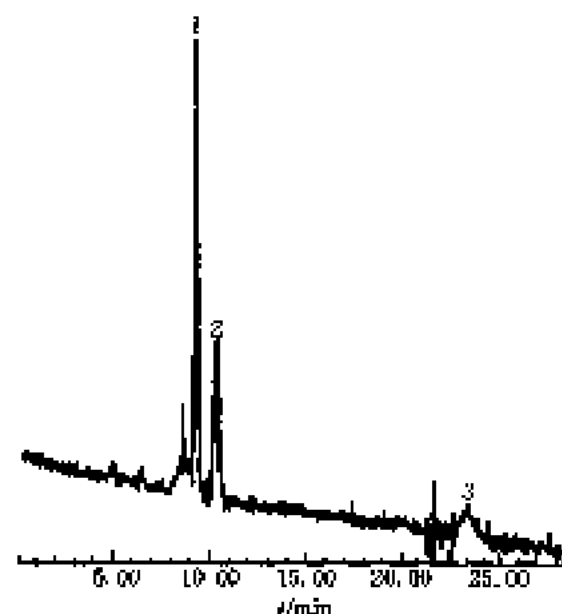
色谱峰: 1—细胞色素 C; 2—溶菌酶; 3—肌红蛋白; 4—核糖核酸酶 A

毛细管柱: 有效长度 25 cm, 总长度 45 cm; 内径 50 μm , 外径 375 μm , 内衬融合 7-多烯-1, β -二酮
缓冲液: 50 mmol $\cdot \text{L}^{-1}$ 乙酸, pH4.41

进样: 5 kV, 6 s

电压: 28 kV

检测器: 紫外 (211 nm)

图 15-185 血管紧张素的开管毛细管电
色谱分离谱图^[183]

色谱峰: 1—血管紧张素 II; 2—血管紧张素 I; 3—血管紧张素原

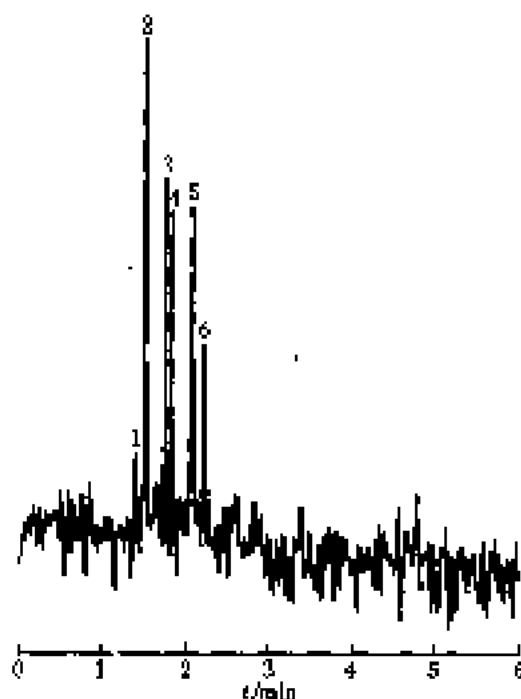
毛细管柱: 有效长度 25 cm, 总长度 45 cm, 内径 50 μm , 外径 375 μm , 内衬融合 C_{18}

缓冲液: 30 mmol $\cdot \text{L}^{-1}$ 磷酸盐缓冲液, pH2.14

进样: 5 kV, 6 s

电压: 30 kV

检测器: 紫外 (211 nm)

图 15-186 肽类化合物的开管毛细管电
色谱分离谱图^[184]

色谱峰: 1—羧基肽素, 2—血管紧张素, 3—血管紧张素原, 4—羧基肽素-血管紧张素, 5—物质 P, 6—神经肽 Y

毛细管柱: 有效长度 25 cm, 总长度 30 cm, 内径 9 μm , APS
内衬柱

缓冲液: 5 mmol $\cdot \text{L}^{-1}$ 乙酸钠

进样: -2 kV, 3 s

电压: -12 kV

检测器: 紫外 (214 nm)

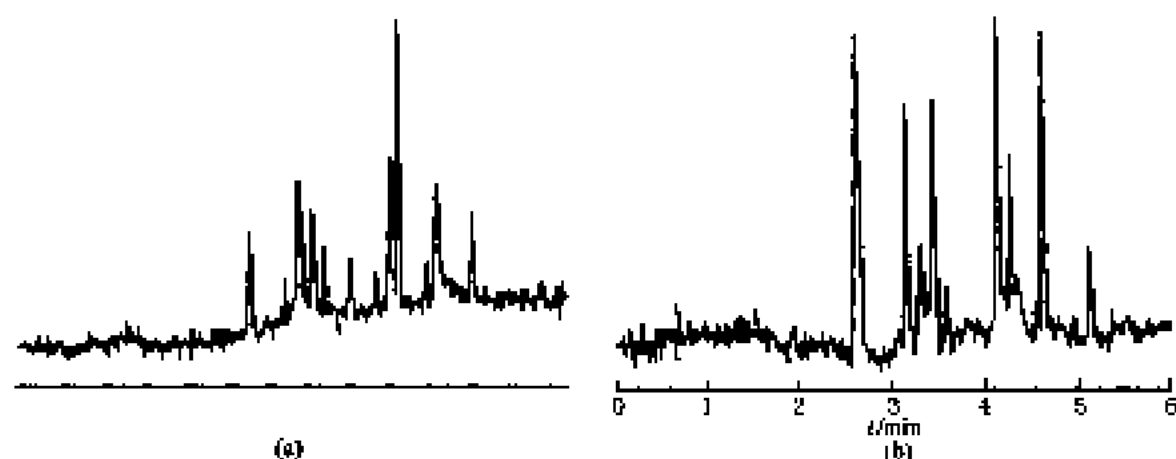


图 15-187 马心脏肌肉球蛋白降解产物的开管
毛细管电色谱柱分离图^[33]

(a) 紫外检测器图; (b) 荧光检测器离子流图

色谱峰: 肌球蛋白降解产物

毛细管柱: 有效柱长 35 cm, 毛细管长 40 cm, 内径 9 μm , 外径 150 μm , APS 涂覆柱

缓冲溶液: 0~33% 乙醇 6 min 内形成梯度洗脱

进样: -2 kV, 5 s

电压: -14 kV

检测器: 紫外 (214 nm), 8Hz 扫描检测速度

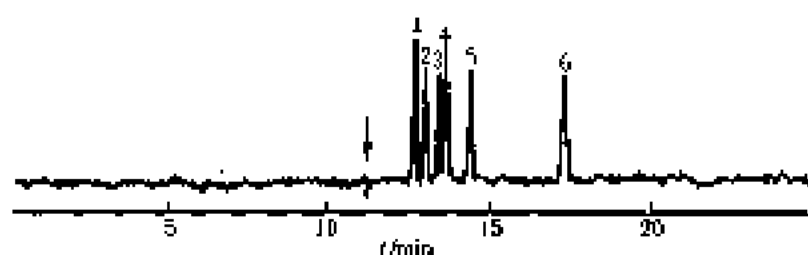


图 15-188 硝化物的开管毛细管电色谱分离图^[32]

色谱峰: 1—氯化苯; 2—1,4-二氯化苯; 3—1,3-二氯化苯; 4—1,2-二氯化苯; 5—1,2,4-三氯化苯; 6—1,2,3,4-四氯化苯

毛细管柱: 有效柱长 30 cm, 总柱长 60 cm, 内径 15 μm , 涂覆 TEOS- F_{12} -TEOS (1+2) 开管电色谱柱

缓冲溶液: 甲醇+10 mmol/L H^+ 磷酸盐缓冲液 (pH7) (体积比=50:50)

进样: 6 kV, 4 s

电压: 20 kV

检测器: 紫外 (214 nm)



色谱峰: 1—Serilene 黄绿 K-LS; 2—Serilene 蓝 BR-L; 3—
Serilene 黄绿 G-LS; 4—Serilene 粉红 PL

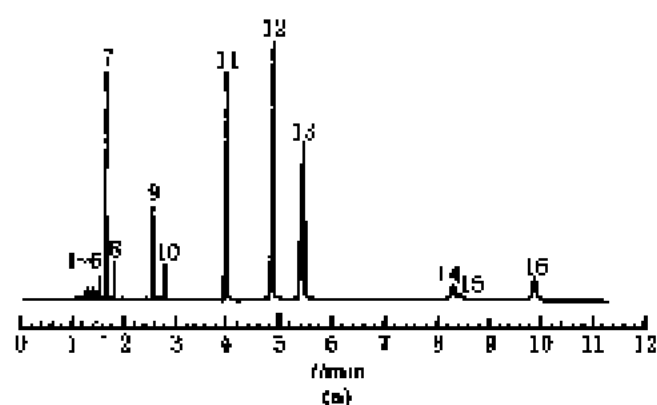
毛细管柱: 有效柱长 25 cm, 总柱长 100 cm, 内径 75 μm , 外
径 375 μm , 填充 5 μm Hypersil ODS 固定相

缓冲溶液: 80% 乙醇, 20% 4 mmol/L H^+ 磷酸盐缓冲液,
pH6.0

电压: 30 kV

检测器: 紫外 (210 nm) 斩波检测

图 15-189 Serilene 染料电色谱分离图^[34]



色谱峰: 1—萘, 2—蒽, 3—二氢蒽, 4—菲, 5—
菲, 6—蒽, 7—荧蒽, 8—苝, 9—苯
[a]并蒽, 10—蒽, 11—苯[b]并蒽,
12—苯[a]并蒽, 13—苯[a]并蒽,
14—二苯[a,a']并蒽, 15—苯[ghi]并
蒽, 16—菲并蒽

毛细管柱: 有效长度 80 cm, 总长度 90 cm, 内
径 100 μm , 填充 1.5 μm 无孔 ODS
缓冲溶液: 乙醇 + 2 mmol $\cdot \text{L}^{-1}$ Tris (体积比
= 65 : 35)

电压: 20 kV

检测器: 紫外-可见吸收池

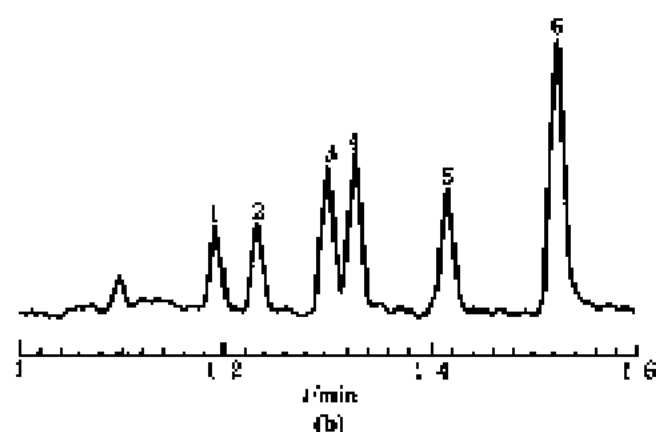


图 13-190 16 种多环芳烃的毛细管电色谱分离谱图^[222]

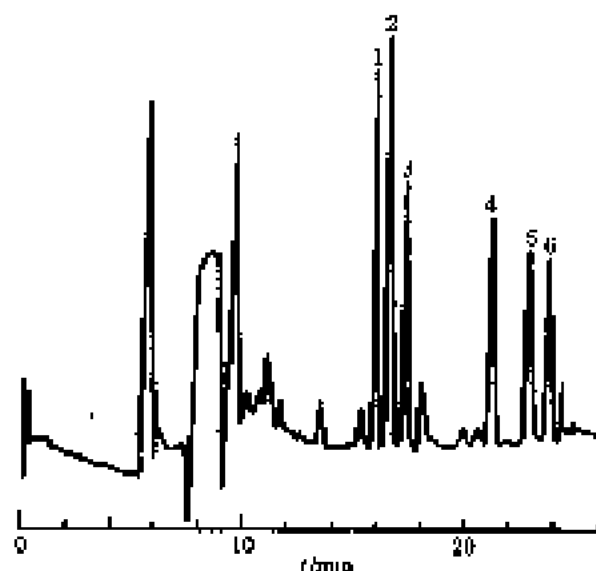


图 13-191 血浆提取物中黄体酮及其代谢产物的毛细管电色谱分离谱图^[222]

色谱峰: 1—黄体酮, 2—雄酮二酮, 3—17 α -羟基黄体酮, 4—20 α -羟基黄体酮, 5—坎酮酮, 6—黄体酮

毛细管柱: 有效柱长 20 cm, 总柱长 45 cm, 内径 100 μm , 外径 363 μm , 填充 3 μm Hypersil ODS

缓冲溶液: 乙醇 + 甲酸 + 20 mmol $\cdot \text{L}^{-1}$ Tris 缓冲液 (pH 8, 体积比 = 37.5 : 37.5 : 25)

进样: 25 kV, 60 s

电压: 15 kV

检测器: 紫外 (240 nm)

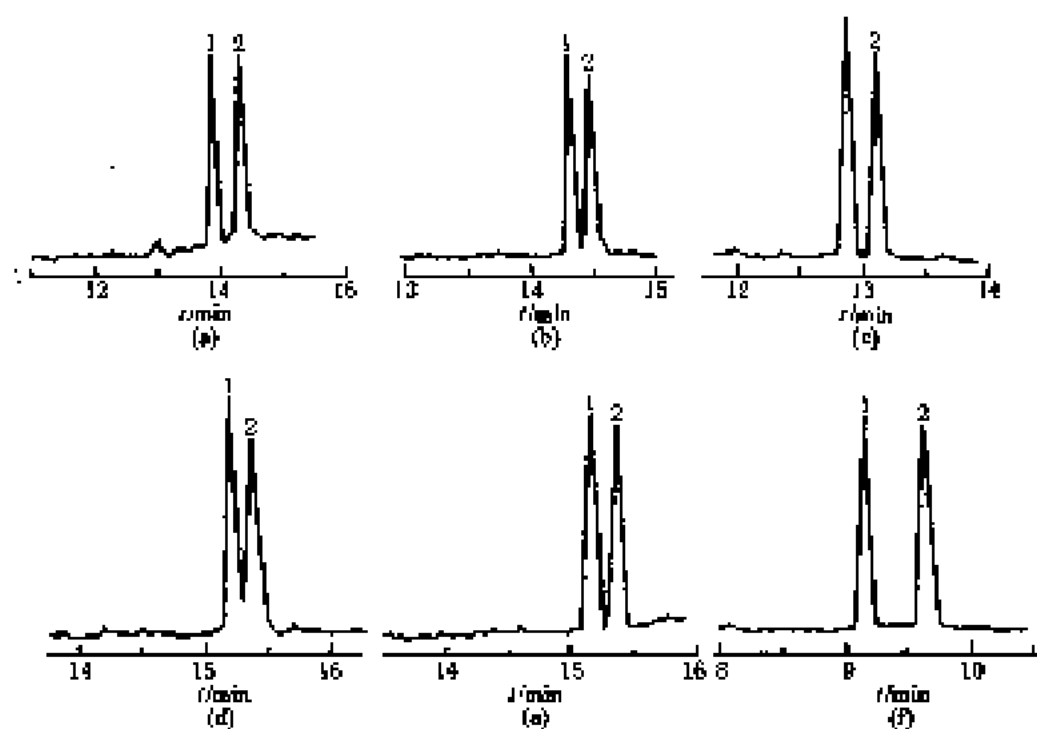


图 15-192 氨基酸对映体的 CD 包结电泳分离谱图^[24]

(a) Leu; (b) Iso-Leu; (c) Nor-Leu; (d) Nor-Val; (e) Thr; (f) Lys

色谱峰: 1—D 型, 2—L 型

毛细管柱: 30 cm × 50 μm, 有效长度 20 cm

缓冲溶液: (a), (b), (c) 25 mmol · L⁻¹ Na₂HPO₄-H₃PO₄, pH7, 30 μg · L⁻¹ SBE-β-CD; (d), (e) 25 mmol · L⁻¹ Na₂HPO₄-H₃PO₄, pH6, 30 μg · L⁻¹ SBE-β-CD; (f) 25 mmol · L⁻¹ Na₂HPO₄-H₃PO₄, pH8, 30 μg · L⁻¹ SBE-β-CD

运行电压: 12 kV

温度: 25°C

检测: UV (210 nm)

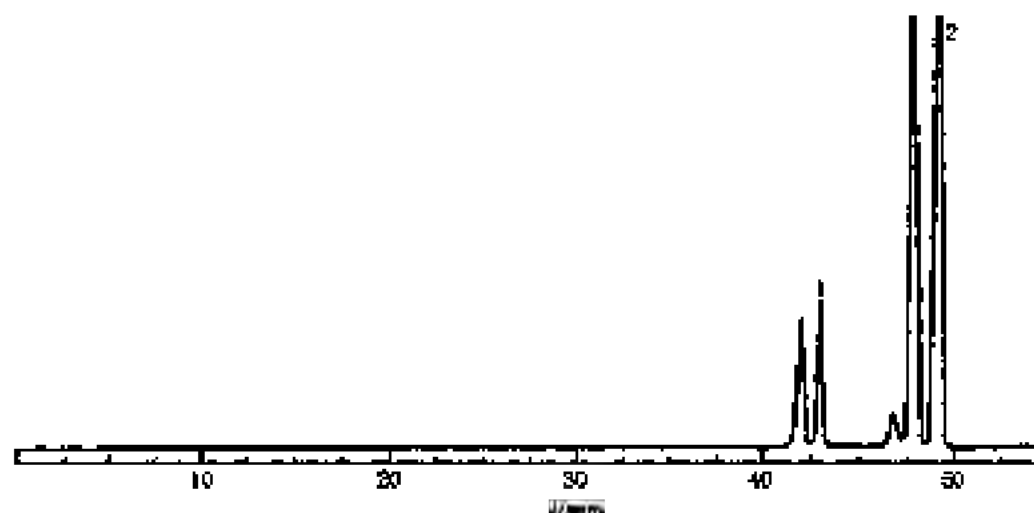


图 15-193 头基取代脎异构体的毛细管电泳分离谱图^[25]

色谱峰: 1—2 型头基取代脎; 2—2 型头基取代脎

毛细管柱: 柱长 40 cm, 内径 50 μm, 填充 3 μm ODS 1PC12

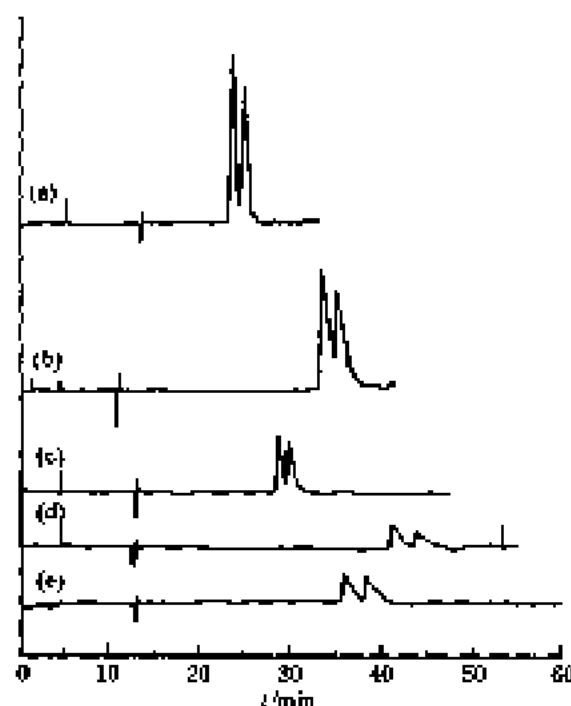
缓冲溶液: 乙腈 + 10 mmol · L⁻¹ Na₂HPO₄ (pH5.0) (体积比 = 50 : 50)

进样: 20 kV, 0.2 min

温度: 30°C

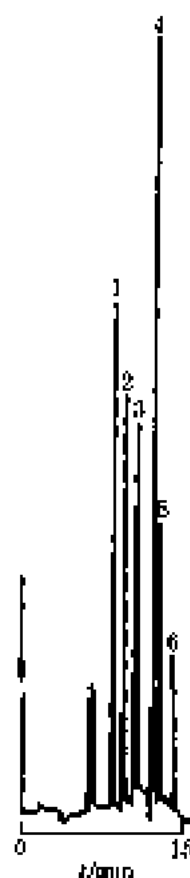
电压: 20 kV

检测器: 紫外 (276 nm)



色质谱: (a) 环己基巴比妥, (b) 茴香醛, (c) DNP-DL-Met, (d) DNP-DL-Val, (e) DNP-DL-Leu
毛细管柱: 有效柱长 17 cm, 总柱长 42 cm, 内径 50 μm , 外径 365 μm , 填充 5 μm β -CD
缓冲溶液: 10 mmol $\cdot \text{L}^{-1}$ TEAA, 25% 甲醇, pH4.71
进样: 5 kV, 1 s
温度: 30°C
检测器: 紫外 (200 nm)

图 15-194 5 种药物对映体的毛细管电色谱分离谱图^[194]



色质谱: 1—片剂中洋地黄毒甙元, 2—煎剂中地黄毒甙元, 3—浸基半糖甾萜基, 4—洋地黄毒甙元, 5—半糖甾萜基, 6—糖甾萜基
毛细管柱: 有效柱长 25 cm, 总柱长 50 cm, 内径 50 μm , 外径 375 μm , 填充 3 μm Sphenosorb ODS-1 固定相
缓冲溶液: 乙酸 + 1 mmol $\cdot \text{L}^{-1}$ 醋酸钠缓冲液 (体积比 = 70 : 30) pH4.0
进样: 5 kV, 10 s
电压: 15 kV
检测器: 紫外 (214 nm)

图 15-195 甾类化合物的毛细管电色谱分离谱图^[195]

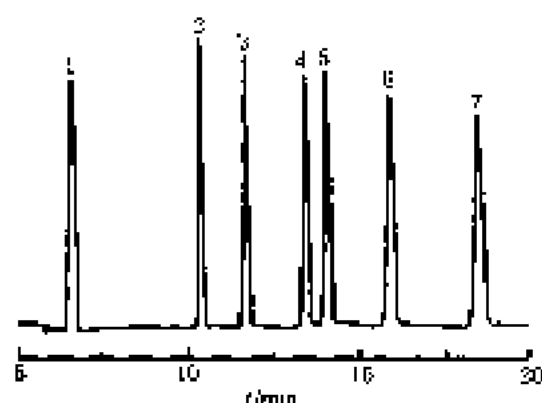


图 15-196 苯甲酸盐的毛细管电色谱分离谱图^[14]

色谱峰: 1—苯酚; 2—苯甲酸盐; 3—苯乙酸盐; 4—苯丙酸盐; 5—苯基苯甲酸盐; 6—苯丁酸盐; 7—苯异戊酸盐

毛细管柱: 有效长度 24.2 cm, 总长度 32.5 cm, 内径 180 μm , 外径 337 μm , 填充 Nucleosil 100-3- C_{18}

温度: 2 kV, 1 s

电压: 20 kV

检测器: 紫外 (230 nm)

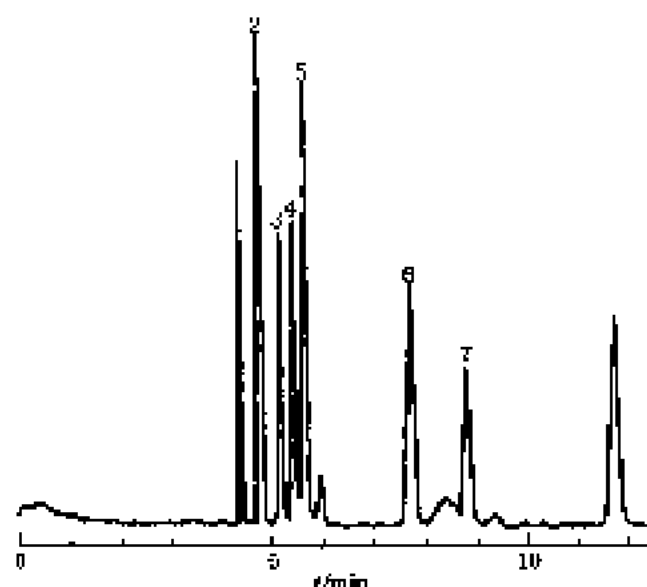


图 15-197 苯胺类化合物的毛细管电色谱分离谱图^[34]

色谱峰: 1—苯胺; 2—3,4-二甲基苯胺; 3—2,3,5-三甲基苯胺; 4—对叔丁基苯胺; 5—4-叔丁基苯胺; 6—3,5-二叔丁基苯胺; 7—4-叔基苯胺

毛细管柱: 有效长度 25 cm, 总长度 51 cm, 内径 200 μm , 填充 5 μm Hypersil ODS 固定相

缓冲溶液: 4 mmol $\cdot \text{L}^{-1}$ 硼酸钠缓冲液, 80%乙醇, pH8.2

电压: 20 kV

检测器: 紫外检测

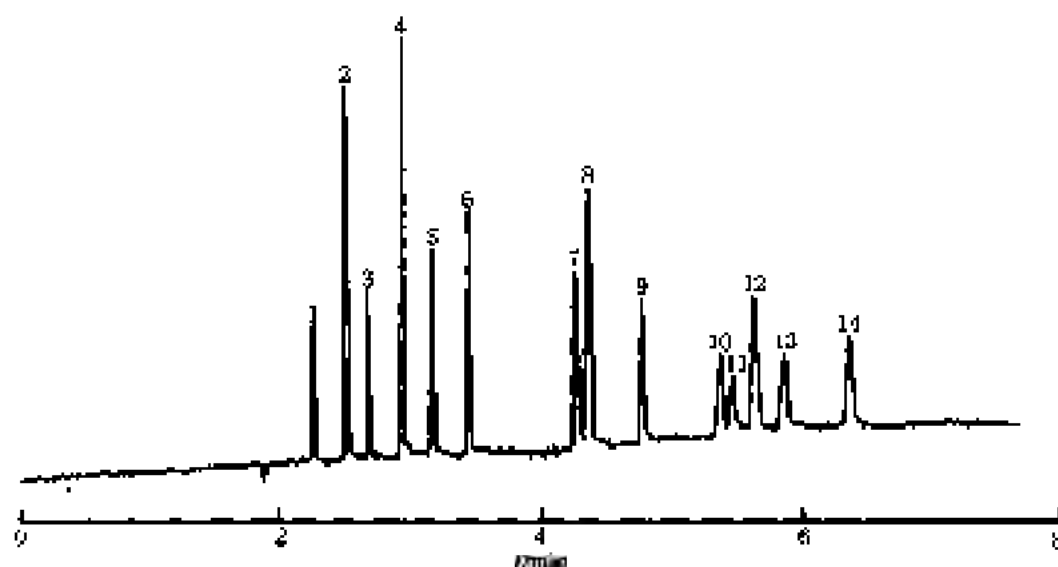


图 15-198 火炸药的毛细管电色谱分离谱图^[14]

色谱峰: 1—HMX; 2—TNB; 3—RDX; 4—DNB; 5—NB; 6—TNT; 7—uryl; 8—2,4-DNT; 9—2, 6-DNT; 10—3-NT; 11—4-NT; 12—2-AmeDNT; 13—3-NT; 14—AmeDNT

毛细管柱: 有效长度 21 cm, 总长度 34 cm, 内径 75 μm , 外径 365 μm , 填充 1-5 μm 无孔 ODS₂

缓冲溶液: 甲酸+10 mmol $\cdot \text{L}^{-1}$ MES (体积比=20:80), 5 mmol $\cdot \text{L}^{-1}$ SDS

温度: 2 kV, 2 s

电压: 12 kV

检测器: 紫外 (254 nm)

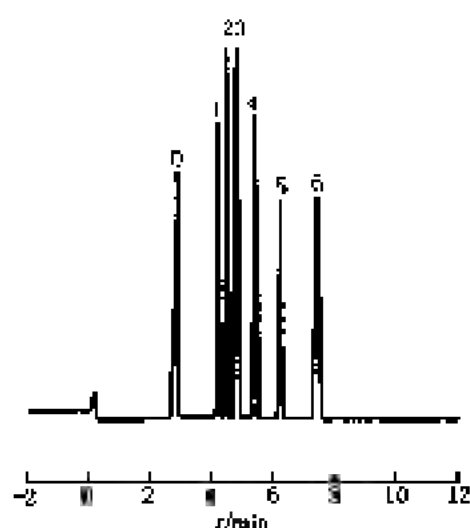


图 15-199 烷基苯的毛细管电

色谱分离谱图 (一)^[141]

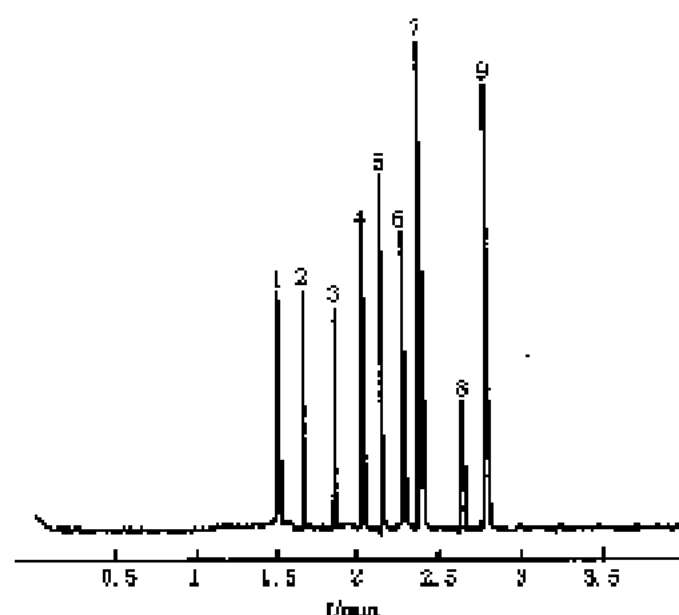
色谱峰: 1—苯; 2—甲苯; 3—乙苯; 4—二甲苯; 5—丁苯; 6—戊苯

毛细管柱: 有效柱长 30.5 cm, 总柱长 27 cm, 内径 100 μm , 填充 C_{18} -凝胶相融合硅胶
缓冲溶液: $1.25 \text{ mmol} \cdot \text{L}^{-1}$ 磷酸钠 + 乙醇 (体积比 = 75 : 25, pH 8.0)

电压: 1 kV, 1 s

电压: 20 kV

检测器: 紫外 (264 nm)

图 15-200 烷基苯的毛细管电色谱分离谱图 (二)^[141]

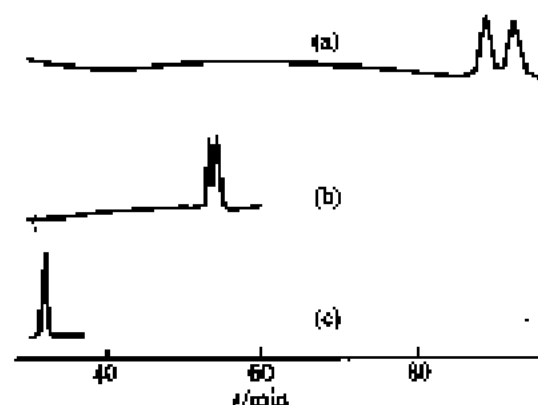
色谱峰: 1—丙酮; 2—苯; 3—甲苯; 4—乙苯; 5—丙苯; 6—丁苯; 7—苯酚; 8—戊苯; 9—己苯

毛细管柱: 有效柱长 25.8 cm, 总柱长 32 cm, 内径 100 μm , 填充 1.5 μm 无孔 ODS

缓冲溶液: 乙醇—水 (体积比 = 3 : 2), $5 \text{ mmol} \cdot \text{L}^{-1}$ SDS, $1.6 \text{ mmol} \cdot \text{L}^{-1}$ 磷酸钠, pH 8.25

温度: 25°C

电压: 20 kV

图 15-201 氨基酚对映体的毛细管电色谱分离谱图 (一)^[142]

色谱峰: 氨基酚对映体

毛细管柱: 有效柱长 26.2 cm, 总柱长 50 cm, 内径 50 μm , 填充 3 μm ODS

缓冲溶液: 乙醇 + Na_2HPO_4 缓冲液 (pH 6.5, 用浓 H_3PO_4 调节), 它们体积比为 (a) 15 : 85, (b) 20 : 80, (c) 25 : 75, $10 \text{ mmol} \cdot \text{L}^{-1}$ HP

电压: 15 kV 5 s

电压: 15 kV

检测器: 紫外 (220 nm)

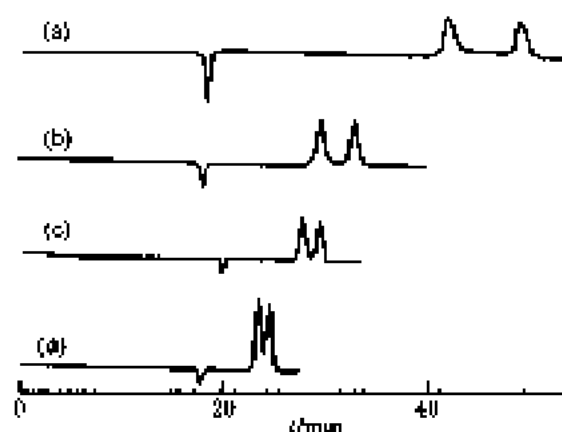


图 15-202 氟基酮对映体的毛细管电色谱分离谱图 (二)^[10]

色谱峰: 有基酮对映体

毛细管柱: 有效长度 87 cm, 总长度 98 cm, 内径 50 μm , 填充 5 μm HPB- β -CD 键合硅胶固定相

缓冲溶液: 乙腈 + 5 mmol $\cdot \text{L}^{-1}$ Na_2HPO_4 缓冲液 (pH 5.5, 用 H_3PO_4 调节), 它们体积比为 (a) 15 : 85, (b) 20 : 80; (c) 25 : 75; (d) 30 : 70

进样: 15 kV, 5 s

电压: 15 kV

检测器: 紫外 (280 nm)

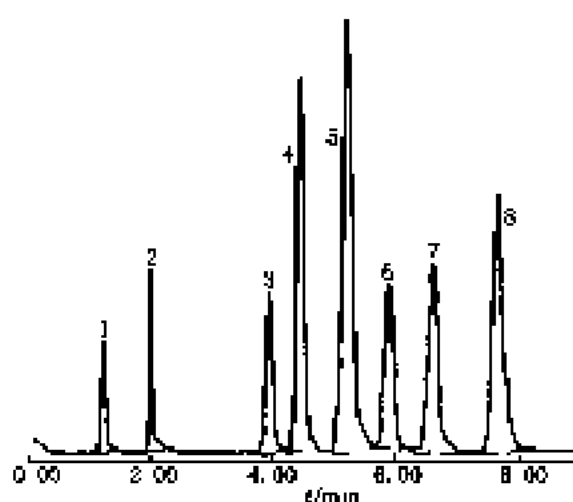


图 15-203 酸性药物的毛细管电色谱分离谱图^[11]

色谱峰: 1—色氨酸; 2—左甲氧酮胺; 3—乌拉莫斯汀; 4—阿司匹林; 5—水杨酸; 6—华法林; 7—苯西酮胺; 8—葡萄糖醛酸

毛细管柱: 有效长度 7 cm, 总长度 27 cm, 内径 50 μm , 固定相 5 μm 3CX/C₁₈

缓冲溶液: 乙腈 + 甲醇 + 20 mmol $\cdot \text{L}^{-1}$ 磷酸盐缓冲液 (pH 1.5, 体积比 = 50 : 20 : 30)

电压: 3 kV, 2 s

电压: 7 kV

检测器: UV (200 nm)

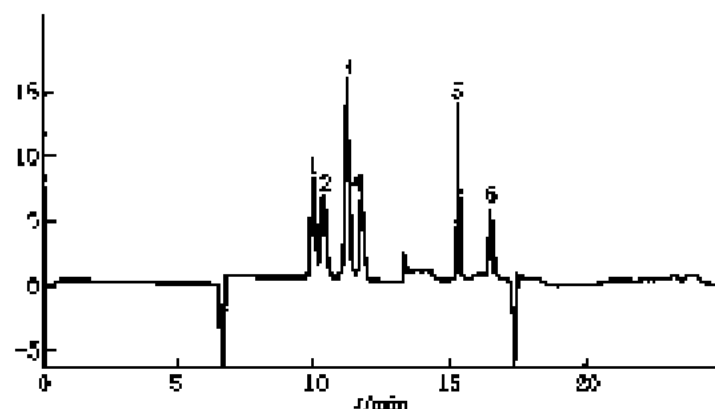


图 15-204 咖啡因的毛细管电色谱分离谱图^[12]

色谱峰: 1—咖啡因, 2—双氧咖啡因, 3—氧咖啡因, 4—双氧氧咖啡因, 5—氧氧咖啡因, 6—丁氧氧咖啡因

毛细管柱: 柱长 23 cm, 内径 50 μm , 填充 5 μm Hyperical ODs

缓冲溶液: 0~6.5 min 乙腈 + 磷酸盐缓冲液 (50 mmol $\cdot \text{L}^{-1}$ pH 2.5) + 水 (体积比 = 40 : 20 : 40)

6.5~17.25 min 乙腈 + 磷酸盐缓冲液 (50 mmol $\cdot \text{L}^{-1}$ pH 2.5) + 水 (体积比 = 60 : 20 : 20)

17.25~25 min 乙腈 + 磷酸盐缓冲液 (50 mmol $\cdot \text{L}^{-1}$ pH 2.5) + 水 (体积比 = 40 : 20 : 40)

进样: 5 kV 15 s

电压: 20 kV

温度: 15°C

压力: $8 \times 10^5 \text{ Pa}$

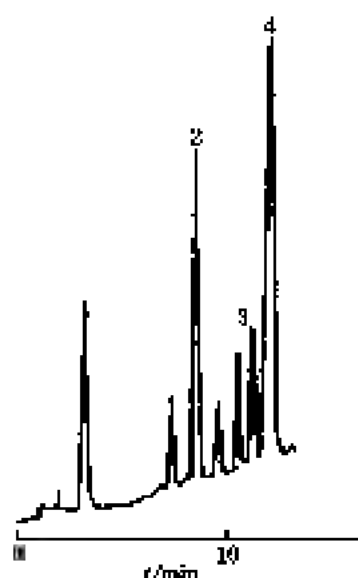


图 15-205 寡核苷酸的毛细管电色谱
梯度洗脱分离谱图^[144]

色谱峰: 1—dC₂₄; 2—dC₇₄; 3—dC₁₀₄; 4—dC₁₁

毛细管柱: 有效柱长 30 cm, 总柱长 50 cm, 内径 50 μm, 外径 300 μm, 填充 5 μm Gromed ODS, 固定相
缓冲溶液: 10 mmol·L⁻¹ 三乙基乙胺, pH 6, 0%~30% 乙
醇 30 min 内梯度

流 速: 20 MPa, 15 s

电 压: 20 kV

检测器: 紫外 (260 nm)

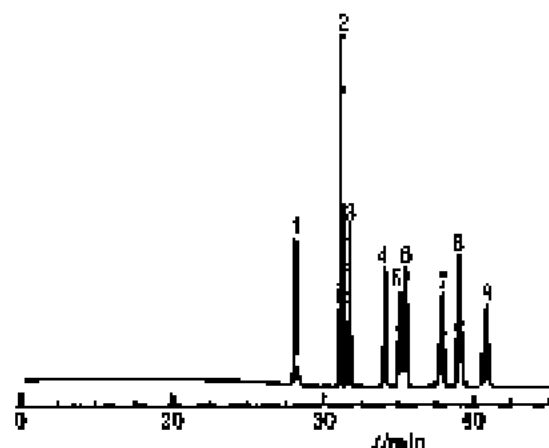


图 15-206 10 种出类化合物的毛细管电
色谱梯度洗脱分离谱图^[144]

色谱峰: 1—氟羟基的松炔; 2—氢化可的松和强的松龙; 3—
可的松; 4—甲基强的松龙; 5—特米米松; 6—地塞
米松; 7—肾上腺酮酮; 8—氟考龙; 9—去氢松-A
毛细管柱: 有效柱长 30 cm, 总柱长 42 cm, 内径 50 μm, 外
径 375 μm, 填充 3 μm Hyperod ODS 固定相
缓冲溶液: 起始溶液 5 mmol·L⁻¹ 乙酸铵溶于乙醇+水 (体
积比=17:83) 保持 3 min, 15 min 内升至 38%
乙醇保持

注 样: 10 μL 进样体积 10 μL

电 压: 40 kV

检测器: 紫外 (254 nm)

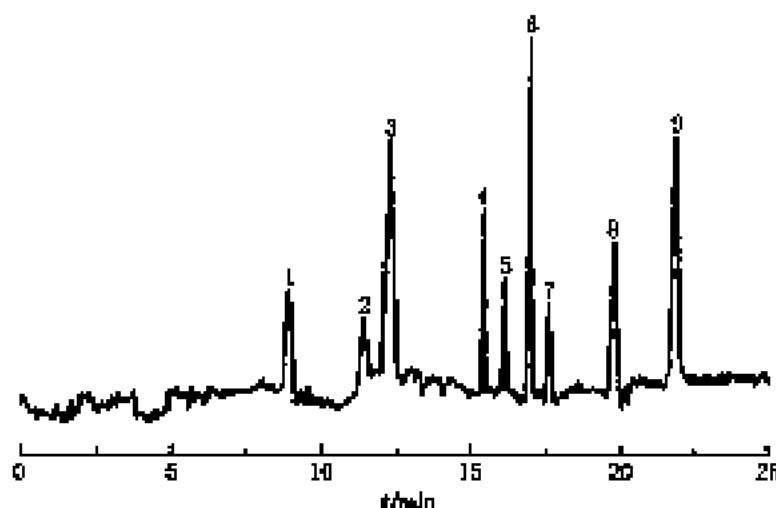


图 15-207 DNPH 衍生化检测的毛细管电色谱梯度洗脱分离谱图^[144]

色谱峰: 1—乙醛; 2—丙醛; 3—丙酮; 4—苯甲醛; 5—丁醛; 6—等甲基苯甲醛; 7—戊醛; 8—2,5-二甲基苯甲醛;
9—庚醛

毛细管柱: 有效柱长 15.8 cm, 总柱长 43.5 cm, 内径 75 μm, 外径 465 μm, 填充 3 μm Spherisorb ODS

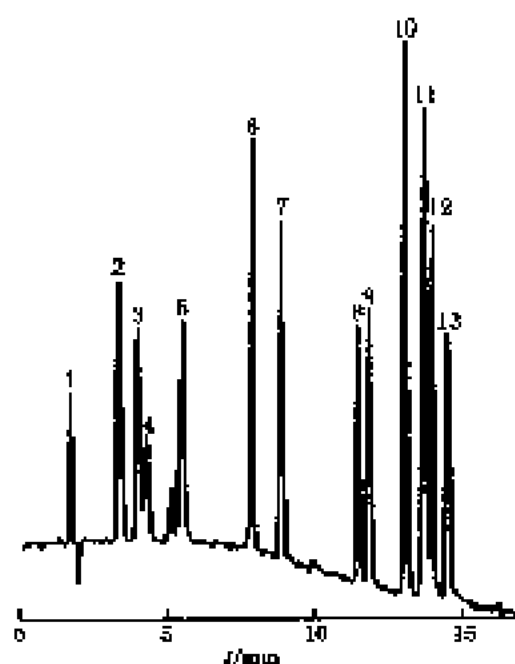
缓冲溶液: 4 mmol·L⁻¹ Tris O-12 83 mm 乙醇+水 (体积比=60:40); 12-35 min 乙醇+水 (体积比=80:20)

注 样: 10 kV, 3 s

电 压: 20 kV

温 度: 室温

检测器: 紫外 (360 nm)



色谱峰: 1—甲酰胺; 2—Asn; 3—Gln; 4—Thr; 5—Gly; 6—Ala; 7—Tyr; 8—Val; 9—Pro; 10—Trp; 11—Phe; 12—Ile; 13—Leu

毛细管柱, 有效柱长 13.7 cm, 总柱长 20.7 cm, 内径 50 μ m, 外径 375 μ m, 填充 3.5 μ m Zorbax ODS

缓冲液: 起始液 (A): 5 mmol/L H_2PO_4^- 盐 (pH 7.55) + 20% 乙醇;

梯度液 (B): 5 mmol/L H_2PO_4^- 盐 (pH 7.55) + 60% 乙醇 A 液流速 0.1 mL \cdot min $^{-1}$, 梯度: 20 min 内 0~100% B

进样: 1 kV, 0.5 s

温度: 25 $^{\circ}$ C

电压: 10 kV

检测器: 紫外 (210 nm)

图 15-208 PTH 衍生氨基酸的毛细管电色谱梯度洗脱分离谱图^[10]

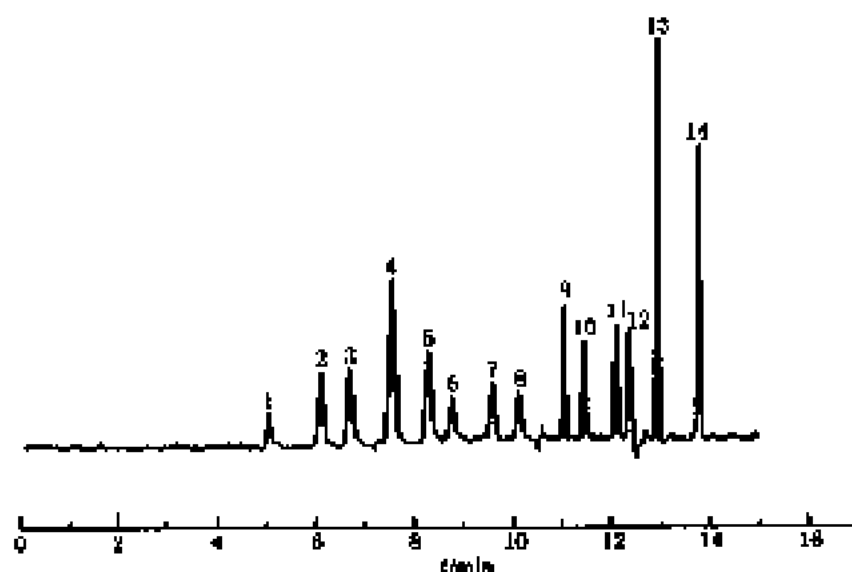


图 15-209 芳香族化合物的毛细管电色谱梯度洗脱分离谱图^[10]

色谱峰: 1—硫酸; 2—苯胺; 3—苯乙醇; 4—苯乙醚; 5—茴香脑; 6—苯丙酮; 7—苯; 8—苯甲醚; 9—氯苯; 10—溴苯; 11—乙苯; 12—对二甲苯; 13—正四苯; 14—1,2,4,5-四甲基苯

毛细管柱, 有效长度 20 cm, 总长度 27 cm, 内径 75 μ m, 外径 375 μ m, 填充 3 μ m Spherisorb-ODS $_2$ 固定相

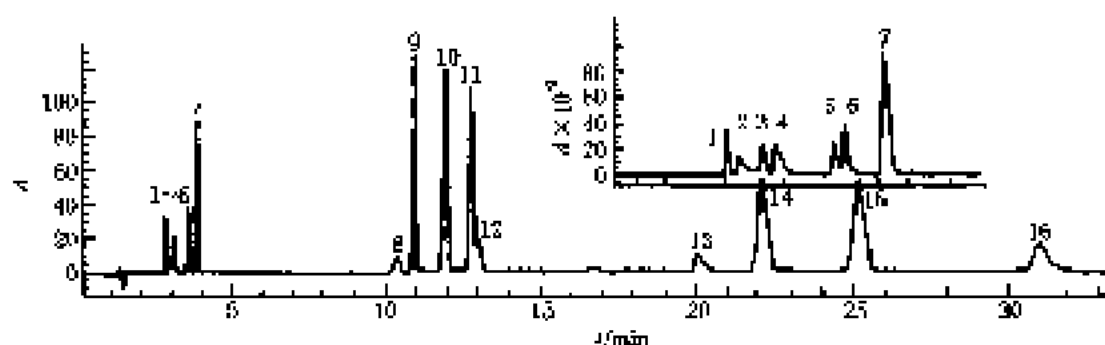
缓冲液: 4 mmol/L Tris, 0~7.0 min 甲醇+水 (体积比=30:70), (7~10.3) min 乙醇+水 (体积比=50:50); 10.3 min 乙醇+水 (体积比=50:50)

进样: 1 kV, 1 s

温度: 20 $^{\circ}$ C

电压: 30 kV

检测器: 紫外 (200 nm)

图 15-210 16 种药物的毛细管电色谱梯度洗脱分离图^[152]

色谱峰: 1—苯齐巴林; 2—去氧麻黄碱; 3—替鲁卡因; 4—可卡因; 5—非洛因; 6—奎宁; 7—诺司卡品; 8—麻碱; 9—苯除巴比妥; 10—安定; 11—甲基苯酮; 12—环己乙醚基酮; 13—大麻酚; 14—阿脱基酮; 15— Δ^9 -四氢大麻酚; 16— Δ^9 -四氢大麻酚酸

毛细管柱: 有效柱长 25 cm, 总柱长 34 cm, 内径 100 μm , 外径 350 μm , 填充 1 μm Hypersil C₁₈ 固定相

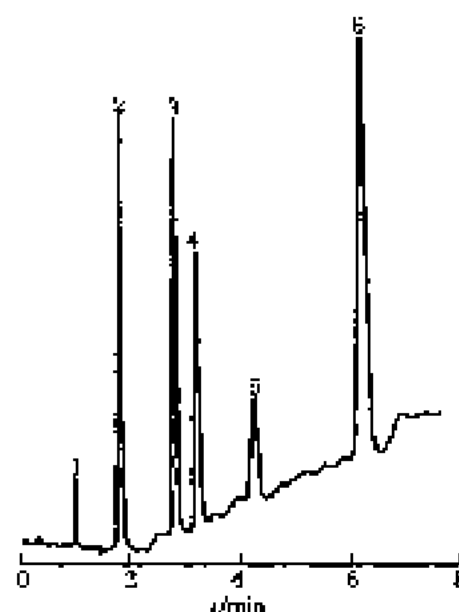
缓冲溶液: 0~10 min 乙醇 + 25 mmol \cdot L⁻¹ 磷酸盐缓冲液 (60:40) 2 $\mu\text{l} \cdot \text{min}^{-1}$ 已脱 1 mm 后 乙醇 + 25 mmol \cdot L⁻¹ 磷酸盐缓冲液 = 75:25 2 $\mu\text{l} \cdot \text{min}^{-1}$ 乙醇

进样: 5 kV, 5 s

温度: 20°C

电压: 25 kV 气压 1×10^5 Pa

检测器: 紫外 (210 nm)

图 15-211 氨基酸类的毛细管电色谱梯度洗脱分离图^[153]

色谱峰: 1—甲硫胺; 2—皮蛋氨酸; 3—半胱氨酸; 4—5-羟赖氨酸; 5—3-吡啶; 6—3, 20 季二酮

毛细管柱: 有效柱长 9.6 cm, 总柱长 17.6 cm, 内径 50 μm , 外径 375 μm , 填充 6 μm Zorbax ODS

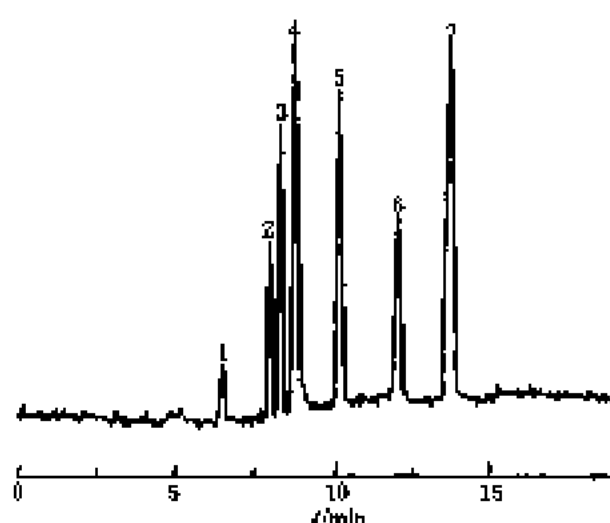
缓冲溶液: 起始溶液 (A), 10 mmol \cdot L⁻¹ 磷酸盐 pH8.0 65% 乙醇; 梯度溶液 (B), 10 mmol \cdot L⁻¹ 磷酸盐, pH8.0 85% 乙醇, A 溶液流速 0.1 ml \cdot min⁻¹, 梯度 0~100% B 5 min, 100% B 保持 3 min

进样: 1 kV, 0.5 s

温度: 25°C

电压: 14 kV

检测器: 紫外 (205 nm)

图 15-212 抗癫痫药物及代谢产物的加压电色谱分离图^[154]

色谱峰: 1—甲胺; 2—乙酰胺; 3—非洛酮; 4—又酮宁 10, 11 二烯; 5—又酮宁 10, 11-环酮; 6—苯基英; 7—又酮宁

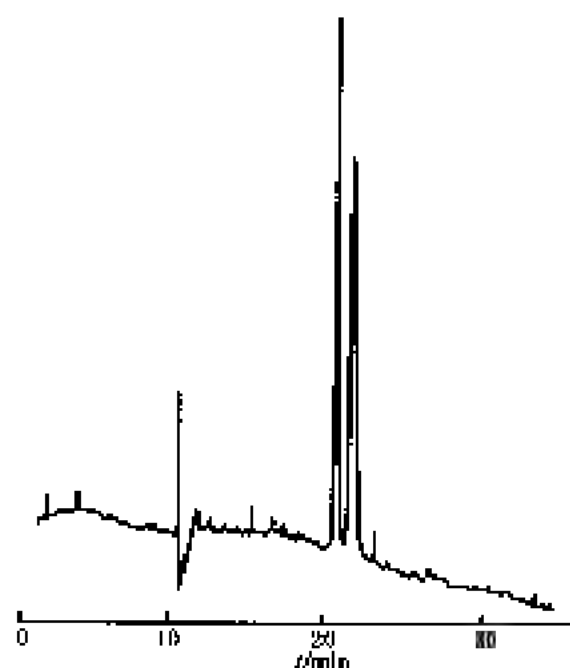
毛细管柱: 有效柱长 10 cm, 总柱长 26 cm, 内径 100 μm , 填充 3 μm Spherusorb ODS-1

缓冲溶液: 甲醇 + 4 mmol 磷酸盐缓冲液 (pH8.5) (体积比 = 60:40)

进样: 1.7 MPa

电压: -12 kV

检测器: 紫外



色谱峰：布洛芬对映体

毛细管柱：有效长度 80 cm，总长度 97 cm，内径 50

μm ；Chirasil-dex β -CD 涂层柱

缓冲溶液：20 mmol $\cdot \text{L}^{-1}$ 磷酸盐缓冲液 pH7.0

进样：重力进样，5 μ

电压：30 kV

检测器：紫外 (220 nm)

图 15-213 布洛芬对映体的 CEC 谱图^[10]

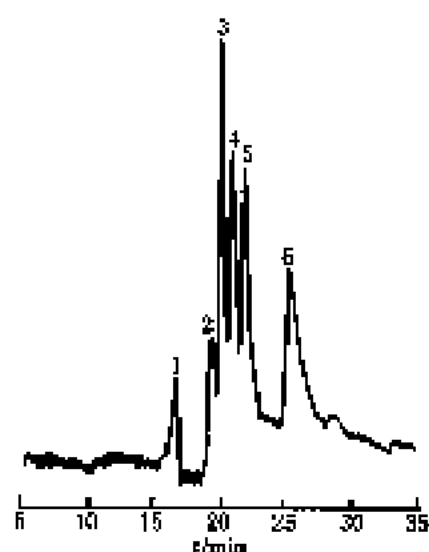


图 15-214 芳香族化合物的正相毛细管电
色谱分离谱图^[15]

色谱峰：1—甲苯；2—苯；3—苯酚；4—间苯二酚；5—2-氯
苯酚；6—1, 2-二氯苯

毛细管柱：有效长度 30.1 cm，总长度 34.1 cm，内径 150
 μm ，外径 360 μm ，填充 5 μm Poragasil 100-10 硅胶
膜

缓冲溶液：甲醇+乙醇+正己烷(体积比=50+42+6)

进样：5 kV，7 μ

电压：20 kV

检测器：紫外 (254 nm)

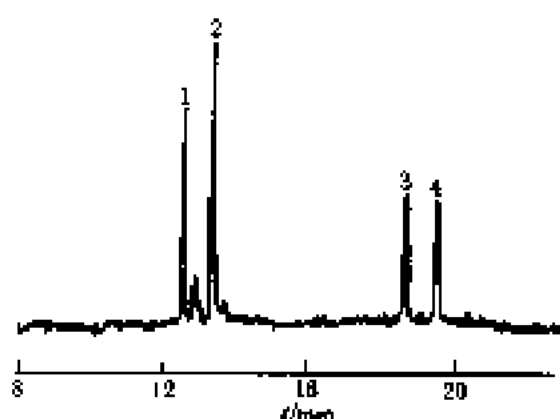


图 15-215 碱性蛋白的分离谱图^[17]

色谱峰：1—卵清蛋白 C；2—肌球蛋白；3—胰蛋白酶原；4— α -胰凝乳蛋白酶原 A

色谱柱：70 cm \times 50 μm ，有效柱长 50 cm

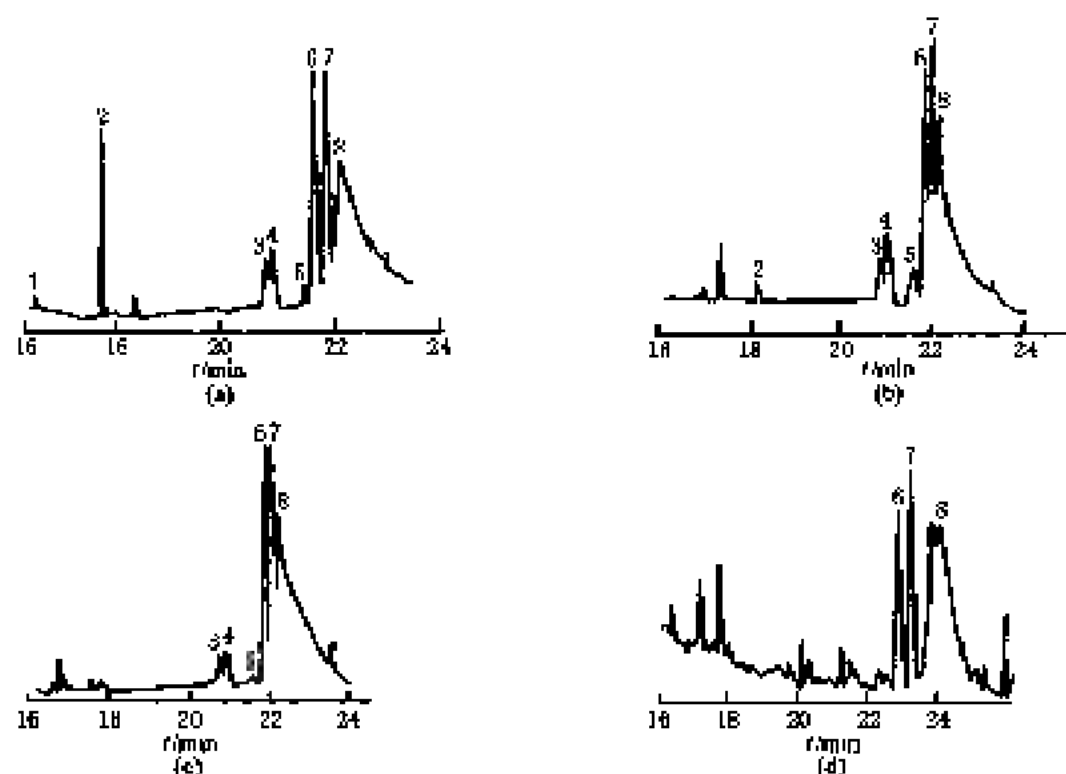
缓冲溶液：4-5 mmol $\cdot \text{L}^{-1}$ 的 Tris-CH₃COOH 缓冲液 +
0.4% PVP

进样：重力进样，10 cm \times 15 μ

电压：21 kV

检测器：UV (214 nm)

温度：室温

图 15-216 DNA 片段分离谱图^[103]

色谱峰: 1—125; 2—5614; 3—2027; 4—2822; 5—4361; 6—6557; 7—9428; 8—25150

毛细管: ED-1 柱, 内径 100 μm , 外径 365 μm , 涂层厚度 0.1 μm , 总长度 50 cm, 分离长度 38 cm

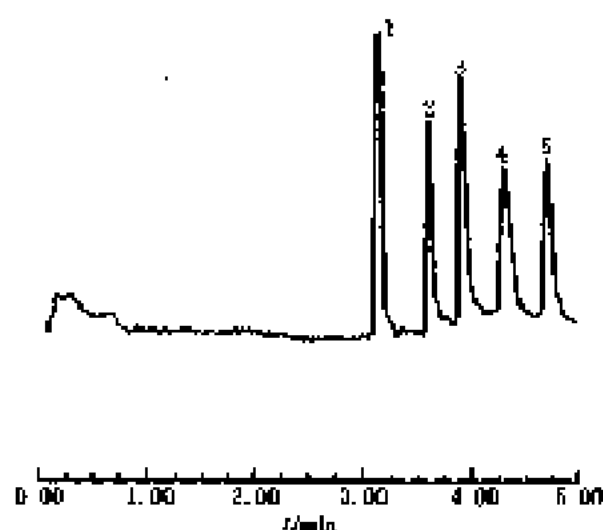
载体电解质溶液: 1×TBE 缓冲液; 0.4% 羟乙基纤维素, 1 $\mu\text{mol} \cdot \text{L}^{-1}$ 噻唑啉; DNA 片段, 2DNA-Hind III (1 $\mu\text{g} \cdot \text{L}^{-1}$)

流速: 40 nA/cm

电压: -12 kV 电流 20 μA

检测器: 氩离子激光 (激发波长为 488 nm); CCD 检测器 (发射波长为 520 nm)

样品稀释倍数: (a)1; (b)2; (c)4; (d)8



色谱峰: 1—起始峰; 2—Tyr-Arg; 3—Gly-Gly-Tyr-Arg; 4—Tyr-Ala-Gly-Phe-Leu-Arg; 5—Tyr-Gly-Gly-Phe-Leu-NH₂

毛细管柱: 高频柱长 20.5 cm, 总柱长 35 cm, 内径 100 μm , 外径 360 μm , 聚丙酰胺/羧乙二胺键合 C₁₈ 固定相

缓冲液: 47% 乙醇溶于 10 mmol $\cdot \text{L}^{-1}$ Tris + 15 mmol $\cdot \text{L}^{-1}$ 噻唑啉液 pH 8.2

流速: 0.5 kV, 1 s

温度: 28°C

电压: 12.5 kV

检测器: 紫外 (270 nm)

图 15-217 小肽的连续床层电色谱分离谱图^[104]

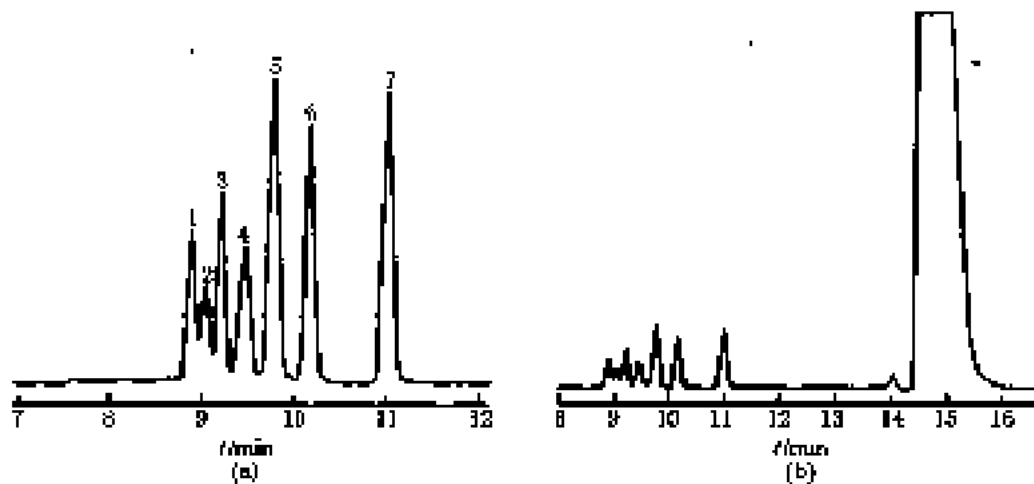


图 15-218 2-氨基苯氧基衍生化寡糖的连续床层电色谱分离谱图^[100]

色谱峰: 1—Glc 7; 2—Glc 6; 3—Glc 5; 4—Glc 4; 5—Glc 3; 6—Glc 2; 7—Glc 1

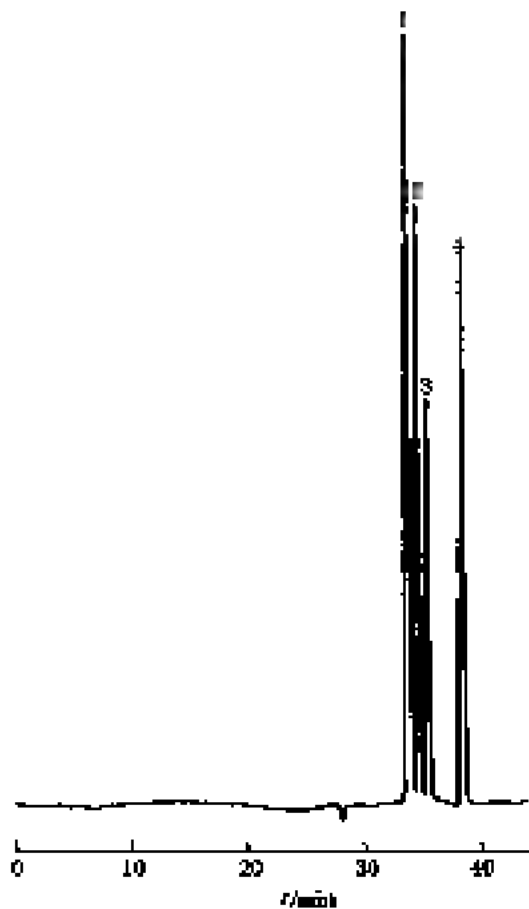
毛细管柱: 有效柱长 25 cm, 总柱长 32 cm, 内径 100 μm , 外径 380 μm , 聚丙基酰胺/聚乙二醇键合 C₁₈ 固定相
缓冲溶液: $10 \text{ mmol} \cdot \text{L}^{-1}$ Tris-硼酸缓冲液 pH8.2

流 样: 0.5 kV, 1 s

温 度: 22°C

电 压: 12.5 kV

检测器: 激光诱导荧光



色谱峰: 1—氯化苄醇; 2—溴苄醇; 3—氯化苄醇乙酸酯; 4—苯酮

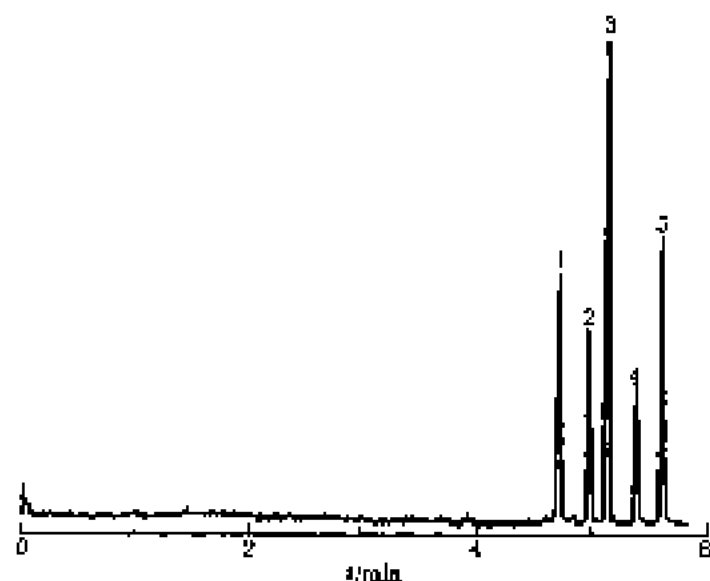
毛细管柱: 有效柱长 50 cm, 总柱长 65 cm, 内径 75 μm , 聚异丙基丙基酰胺固定相

缓冲溶液: $100 \text{ mmol} \cdot \text{L}^{-1}$ Tris + $150 \text{ mmol} \cdot \text{L}^{-1}$ 硼酸缓冲液 (pH8.1)

电 压: 30 kV

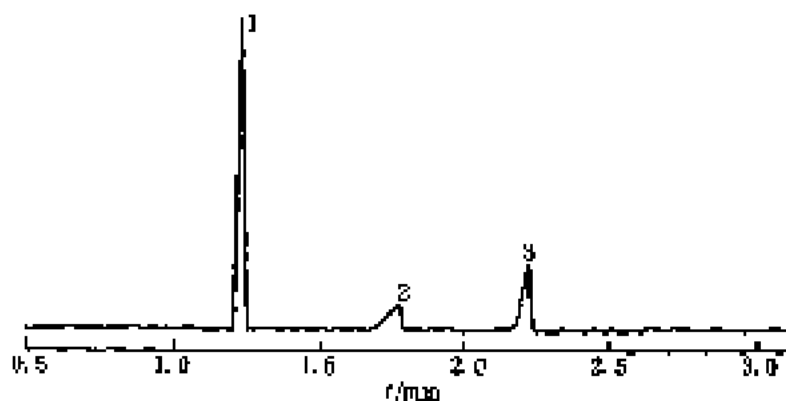
检测器: 紫外 (254 nm)

图 15-219 醚类化合物的连续床层电色谱柱分离谱图^[101]



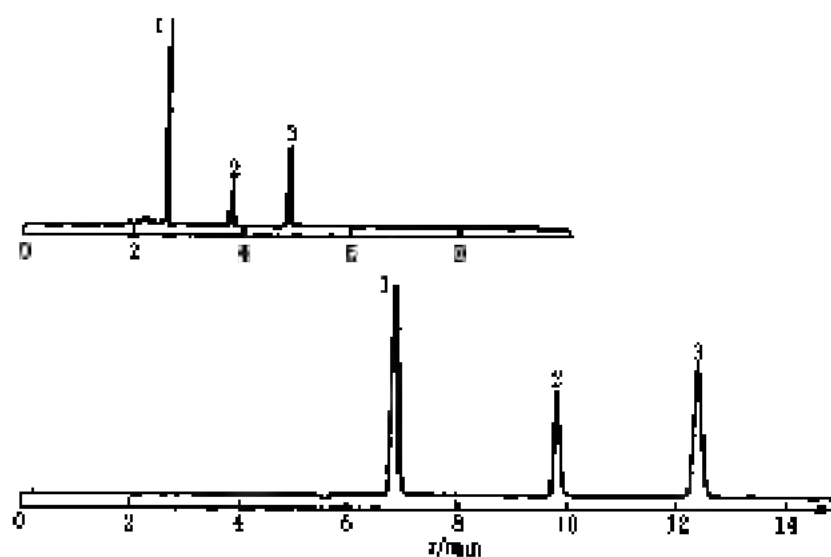
色峰峰: 1—4-氨基-L-苯丙酸; 2—5-氨基-L-苯丙酸; 3—L-苯丙-L-丙酸; 4—2-氨基-L-苯丙酸; 5—H-氨基-2-苯丙酸
 毛细管柱: PS-264 单壁开管 CEC 柱, 有效长度 40 cm, 总长度 50 cm, 内径 10 μm
 缓冲溶液: 10 mmol $\cdot \text{L}^{-1}$ 磷酸盐缓冲液, 1-25 mmol $\cdot \text{L}^{-1}$ 四丁基铵, pH7.0
 电压: -21 kV
 检测器: 荧光检测

图 15-220 氨基酸磺酸盐的离子对电色谱分离谱图^[114]



色峰峰: 1— I^- ; 2— ReO_4^- ; 3— NO_3^-
 毛细管柱: 有效柱长 40 cm, 总柱长 60 cm, 内径 75 μm , 固定相 5 μm Nucleosil SB
 缓冲溶液: 5 mmol $\cdot \text{L}^{-1}$ 磷酸盐缓冲液 (pH2.5)
 电压: -30 kV
 检测器: 紫外 (190 nm)

图 15-221 I^- , ReO_4^- , NO_3^- 的离子交换毛细管电色谱分离谱图^[115]



色峰峰: 1—对羟基安息酸; 2—丁原酸; 3—氯联苯丙酸
 毛细管柱: 柱长 21 cm, 内径 50 μm , 3 μm Hypersil C18-强阳离子交换混合型固定相
 缓冲溶液: 乙醇 + 50 mmol $\cdot \text{L}^{-1}$ 磷酸盐 (pH3.3) + 水 (体积比 = 60 : 20 : 20)
 进样: 2 kV, 15s
 温度: 15°C
 电压: 30 kV, 压力 0.8 MPa
 检测器: 紫外 (210 nm)

图 15-222 3 种药物的电色谱分离谱图^[116]

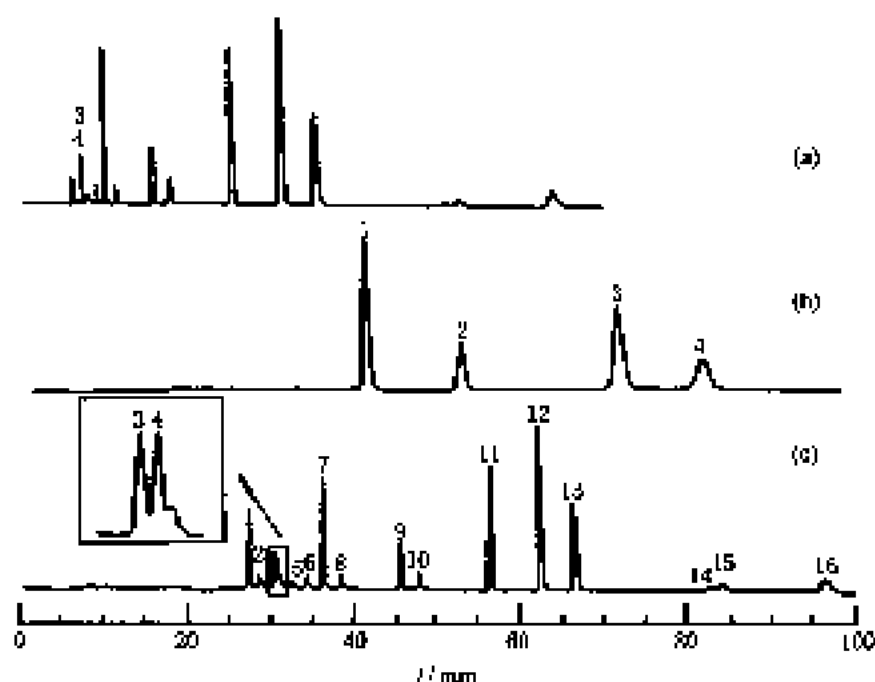


图 15-223 16 种荧光样品的等度和梯度分离色谱图^[2-4]

色谱峰：1—苯；2—萘；3—二苯胺；4—蒽；5—菲；6—萘；7—苯并[a]荧蒽；8—芘；9—苯并[a]芘；10、11—苯并[a]芘；12—苯并[a]荧蒽；13—苯并[a]芘；14—二苯并[a,h]蒽；15—苯并[g,h,i]蒽；16—苯并[1,2,3-cd]芘

色谱柱：内径 75 μm，填充柱长 26 cm，内填 5 μm C_{18} 固定相

流动相：(a) 80% CH_3CN ；(b) 65% CH_3CN ；(c) 55% → 80% CH_3CN 梯度洗脱

分离电压：20 kV

进样：5 μL/5 s

检测器：荧光检测器， $\lambda_{ex}=267 nm$ ， $\lambda_{em}=400 nm$

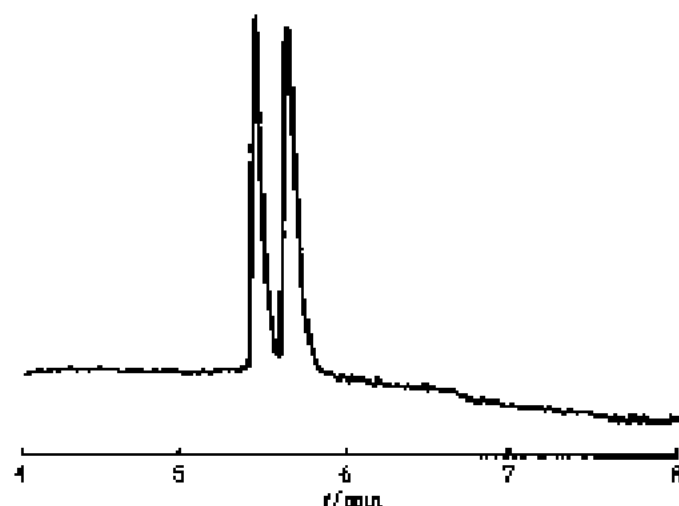


图 15-224 脱氧肾上腺素对称体在硅胶柱上的分离色谱图^[10]

色谱峰：脱氧肾上腺素对称体

色谱柱：内径 75 μm，填充柱长 20 cm，3 μm 5 μ

流动相：10 mmol · L⁻¹ TRIS (pH2.12) + 14 mmol · L⁻¹ β CD

进样：10 μL/1 s

检测器：UV (210 nm)

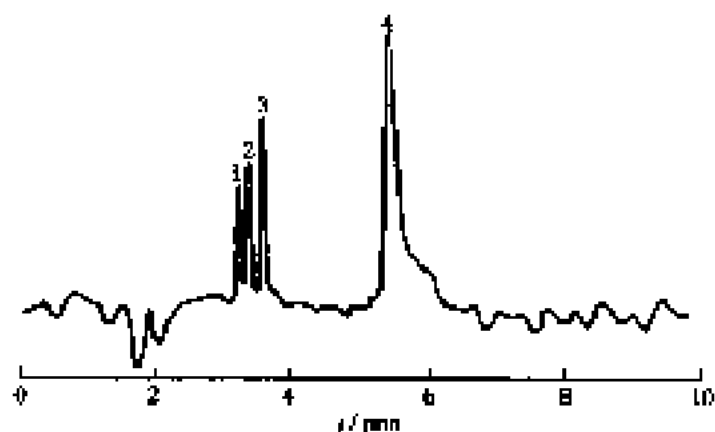


图 15-225 强阳离子交换柱对碱性药物分离电色谱图^[10-1]

色谱峰: 1—盐酸小檗碱; 2—盐酸巴马汀; 3—盐酸药根碱; 4—苯胺

色谱柱: 内径 75 μ m, 填充柱长 30cm, 内装 4 μ m 3CX 填料

流动相: 50% CH₃CN + 40% 10mmol·L⁻¹ NaH₂PO₄ (pH=1)

运行电压: 18kV

进样: 3kV/1s

柱温: 25℃

检测器: UV (254nm)

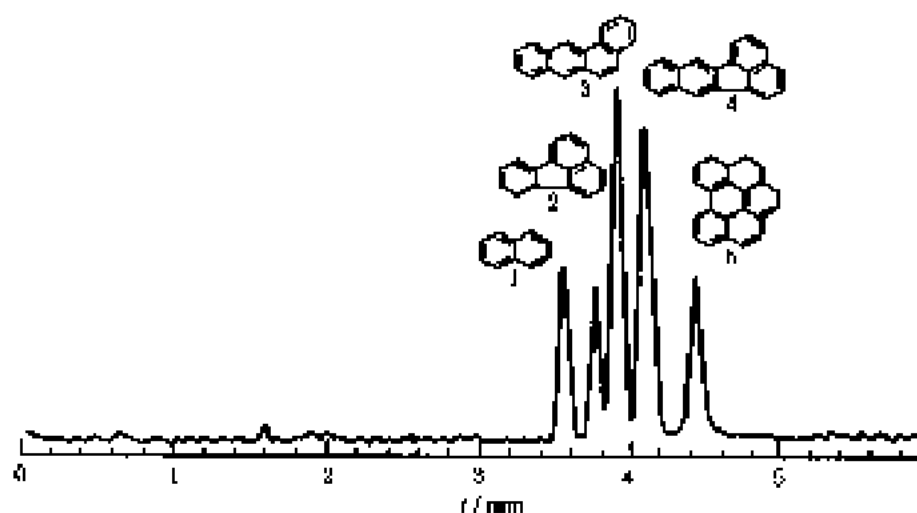


图 15-226 5 种稠环芳烃混合物的快速分离色谱图^[10-2]

色谱峰: 1—萤; 2—二苯并 [a, b] 蒽; 3—菲并 [a] 蒽; 4—二苯并 [a, c] 蒽; 5—二苯并 [e, f] 蒽

色谱柱: 内径 100 μ m, 填充柱长 6.5cm, 内填 1.5 μ m 无孔 C18

流动相: 70% CH₃CN + 30% 2mmol·L⁻¹ TRIS (pH9)

运行电压: 28kV

进样: 1kV/1s

检测器: 荧光检测器, λ_{ex} —275nm, λ_{em} —400nm

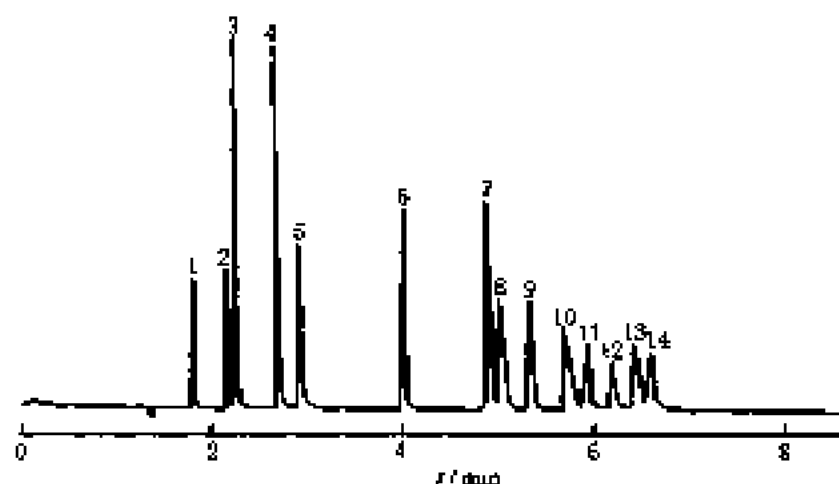


图 15-227 14 种爆炸物的毛细管电色谱分离谱图^[16a]

色谱峰: 1—RDX; 2—RDX; 3—DNB; 4—TNE; 5—NB; 6—DNT; 7—2, 4-DNT; 8—Tetryl; 9—2, 6-DNT; 10—3-Amino DNT; 11—3-NT; 12—4-NT; 13—4-Amino DNT; 14—3-NT

色谱柱: 内径 75 μm , 填充长度 15 cm, 内填 1.5 μm 30 孔 C18

流动相: 10% CH_3OH + 90% $1 \text{ mmol} \cdot \text{L}^{-1}$ MES ($\text{pH} \approx 8.5$)

检测器: UV (254 nm)

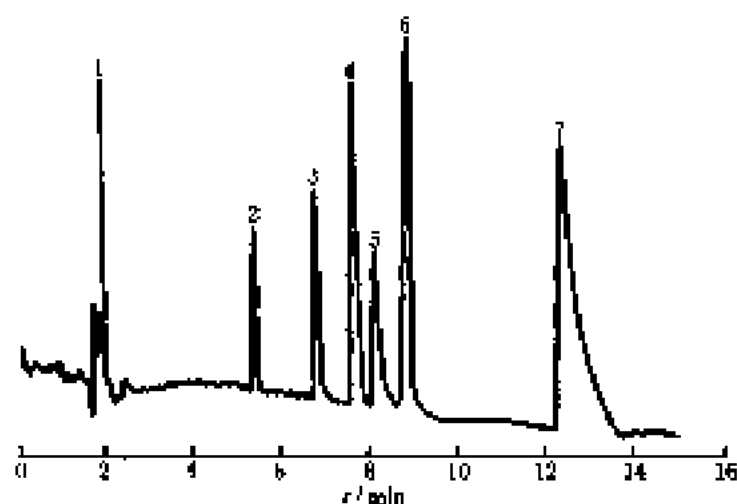


图 15-228 碱性化合物在硅胶固定相上的电色谱分离谱图^[16a]

色谱峰: 1—苯胺; 2—盐酸可卡因; 3—盐酸小檗碱; 4—多巴胺; 5—盐酸诺氟沙星; 6—盐酸麻黄碱; 7—磺胺可待因

色谱柱: 内径 75 μm , 填充长度 20 cm, 内填 3 μm SI

流动相: 80% CH_3CN + 20% $2 \text{ mmol} \cdot \text{L}^{-1}$ TRIS ($\text{pH} 8.29$)

运行电压: 20 kV

电 场: 5 kV/2 s

检测器: UV (214 nm)

第四节 毛细管凝胶电泳及其他分离模式谱图

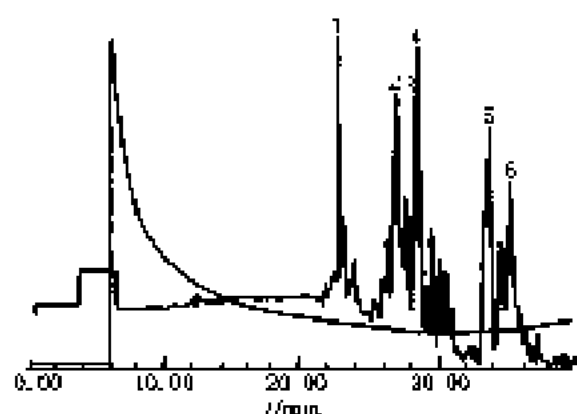


图 15-229 6 种标准蛋白的等电聚焦谱图^[14]

色谱峰: 1—明胶色素 C; 2—肌蛋白卵原; 3—马肌红蛋白;
4—牛肌红蛋白; 5—牛球蛋白; 6—铁蛋白; 实线
为电压曲线

毛细管柱: 有效长度 50 cm, 总长度 57 cm, 内径 50 μm
缓冲溶液: 载体两性电解质混合液组成为 4%两性电解质
(13~14)+0.8%TEMED+1%牛磺酸+0.12%
甲酰胺溶液

阳极为 20 mmol \cdot L⁻¹ H₂PO₄, 阴极为 20 mmol \cdot
L⁻¹ NaOH, 31 min 后聚焦时施加一低气压
34.5 kPa

温度: 25°C

电压: 25 kV

检测器: 紫外 (280 nm)

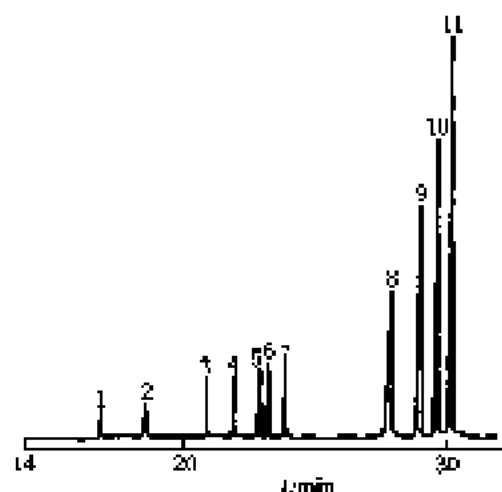


图 15-230 DNA 片段的分离谱图^[15]

色谱峰: 1—72bp; 2—118bp; 3—194bp; 4—234bp; 5—
271bp; 6—281bp; 7—310bp; 8—603bp; 9—872bp;
10—1078bp; 11—1255bp

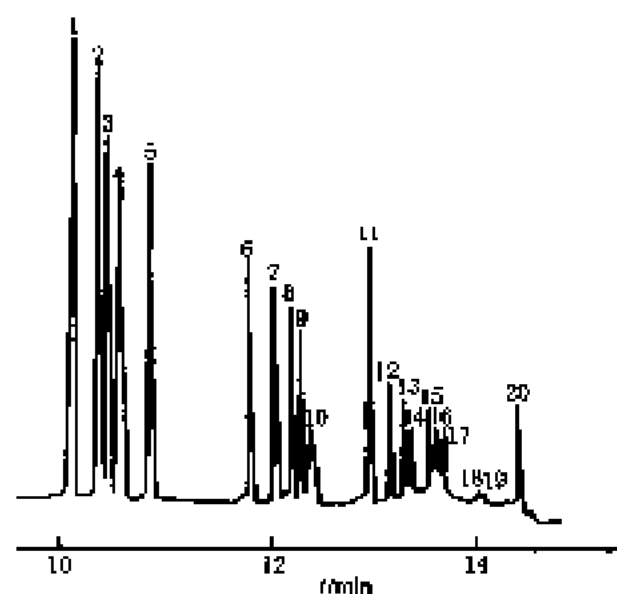
毛细管柱: 有效长度 50 cm, 总长度 57 cm, 内径 100 μm , 内
壁涂覆

缓冲溶液: 90 mg \cdot L⁻¹ Tris + 90 mmol \cdot L⁻¹ 硼酸 + 2
mmol \cdot L⁻¹ EDTA + 1 mg \cdot L⁻¹ 糖醛酸; 3% 季交
联聚丙烯酰胺

温度: 25°C

电压: 9 kV

检测器: 激光诱导荧光



色谱峰: 1—587bp; 2—540bp; 3—504bp; 4—458bp;
5—424bp; 6—267bp; 7—234bp; 8—213bp;
9—182bp; 10—189bp; 11—123/124bp;
12—104bp; 13—88bp; 14—80bp; 15—
64bp; 16—67bp; 17—51bp; 18—21bp; 19—
18bp; 20—8/11bp

毛细管柱: 聚丙烯酰胺涂层, 有效长度 29.2 cm, 内
径 50 μm

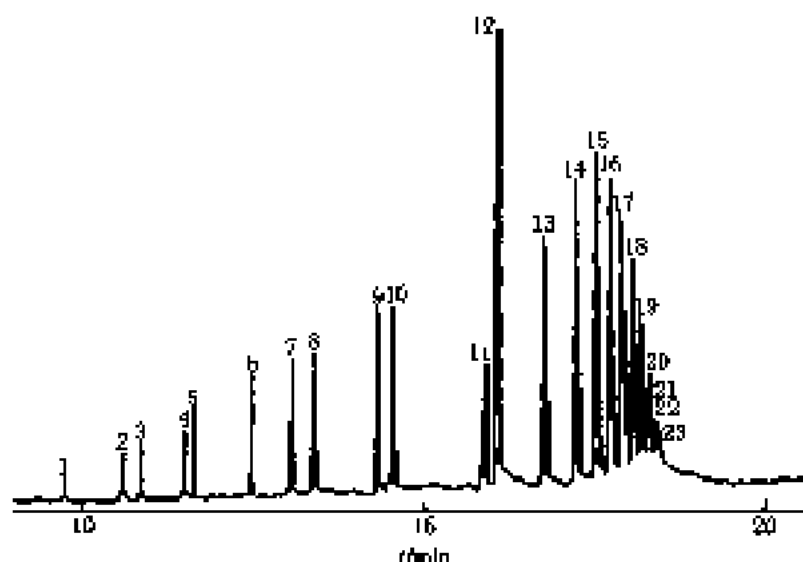
缓冲溶液: 1.8%MC, pH2.5

进样: 6 kV \times 5 s

电压: 7~8 kV

检测器: 紫外 (260nm)

图 15-231 DNA 片段毛细管凝胶电泳谱图^[16]

图 15-232 DNA 序列电泳分析谱图^[104]

色质峰: 1—75bp; 2—142bp; 3—154bp; 4—200bp; 5—220bp; 6—258bp; 7—344bp; 8—394bp; 9—505bp; 10—516bp; 11—1018bp; 12—1635bp; 13—2036bp; 14—3064bp; 15—4072bp; 16—6090bp; 17—8108bp; 18—7126bp; 19—8144bp; 20—9162bp; 21—10180bp; 22—11198bp; 23—12216bp

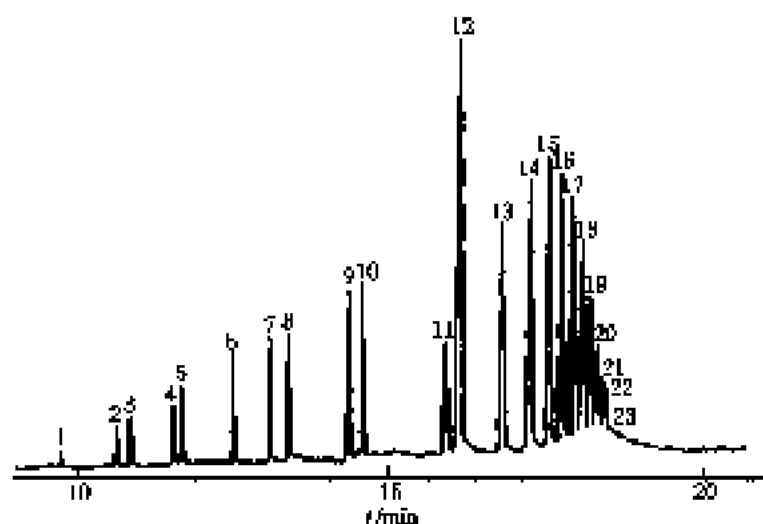
毛细管柱: 有效长度 30 cm, 总长度 40 cm, 内径 75 μ m, 3%T O.5%C 交联聚丙烯酰胺

缓冲液: 10 mmol \cdot L⁻¹ Tris-硼酸, pH8.3

进样: 电动进样

电压: 10 kV

检测器: 紫外 (260 nm)

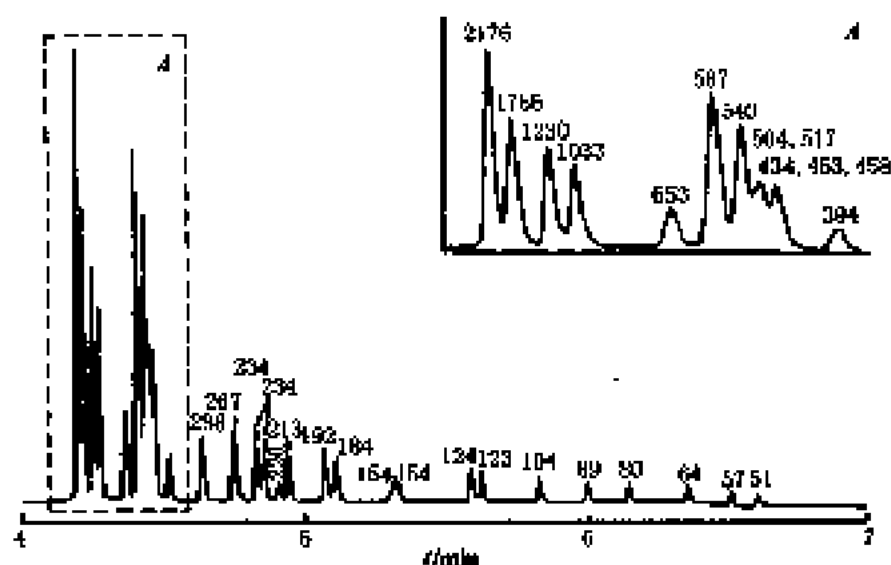
图 15-233 DNA 序列的 CGE 分离谱图^[104]

色质峰: 1—75bp; 2—142bp; 3—154bp; 4—200bp; 5—220bp; 6—258bp; 7—344bp; 8—394bp; 9—505bp; 10—516bp; 11—1018bp; 12—1635bp; 13—2036bp; 14—3064bp; 15—4072bp; 16—6090bp; 17—8108bp; 18—7126bp; 19—8144bp; 20—9162bp; 21—10180bp; 22—11198bp; 23—12216bp

毛细管柱: 有效长度 30 cm, 总长度 40 cm, 交联聚丙烯酰胺凝胶柱 3%T, 0.5%C

缓冲液: 0.1 mol \cdot L⁻¹ Tris-硼酸 pH8.3 2 mmol \cdot L⁻¹ EDTA

电压: 场强 250 V/cm

图 15-234 DNA 序列的 CGE 分离谱图^[190]

色谱峰：图中所示数字为碱基对数

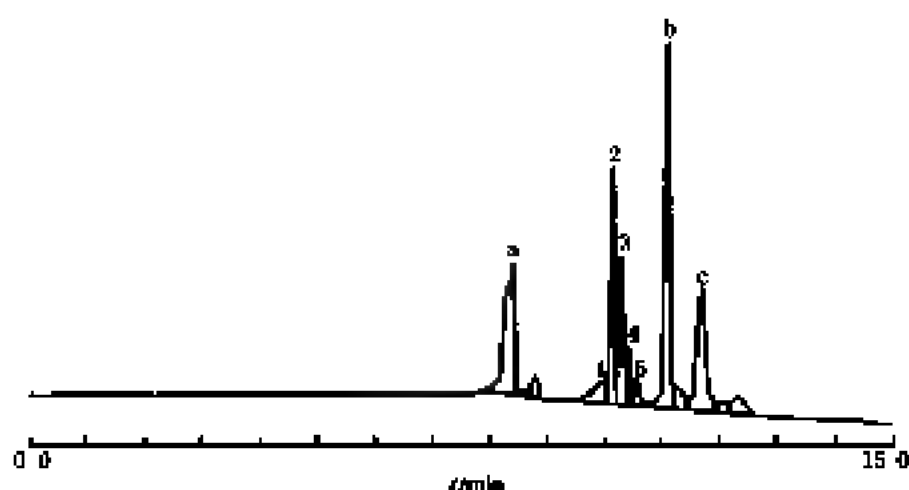
毛细管柱：有效柱长 25 cm，总柱长 38 cm，内径 10 μm ，外径 365 μm

缓冲液：毛细管中充满 DTTBE 含 $20 \mu\text{g} \cdot \text{ml}^{-1}$ EtB 缓冲液凝胶中含 2% PEO， $20 \mu\text{g} \cdot \text{ml}^{-1}$ EtB

通 样：1 kV，5 s

电 压：10 kV

检测器：激光诱导荧光

图 15-235 IgG 与标准蛋白的等电聚焦谱图^[192]

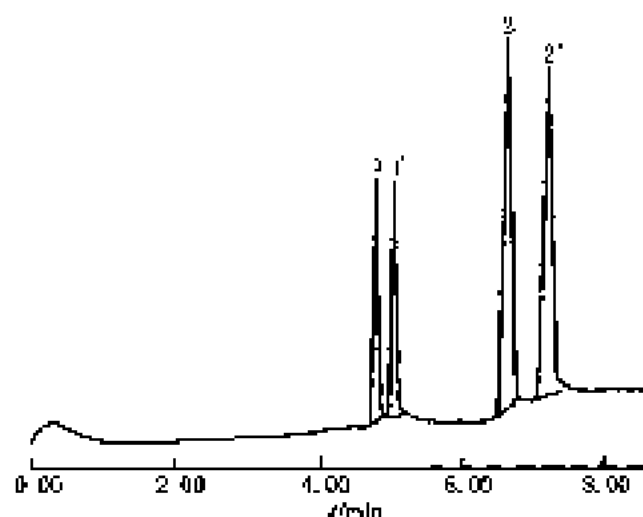
色谱峰：1~5—IgG；a—卵清蛋白 C (pI 9.5)；b—肌红蛋白 (pI 7.4)；c—肌红蛋白 (pI 7.0)

毛细管柱：有效柱长 40 cm，总柱长 60 cm，内径 50 μm

缓冲液：阳极电解质为 $20 \text{ mmol} \cdot \text{L}^{-1}$ NaOH，阴极电解质为 $20 \text{ mmol} \cdot \text{L}^{-1}$ 磷酸

温 度：25°C

电 压：20 kV

图 15-236 手性药物的电泳分离图谱^[34]

色谱峰: 1, L'-吡啶特罗; 2, L'-光色特罗

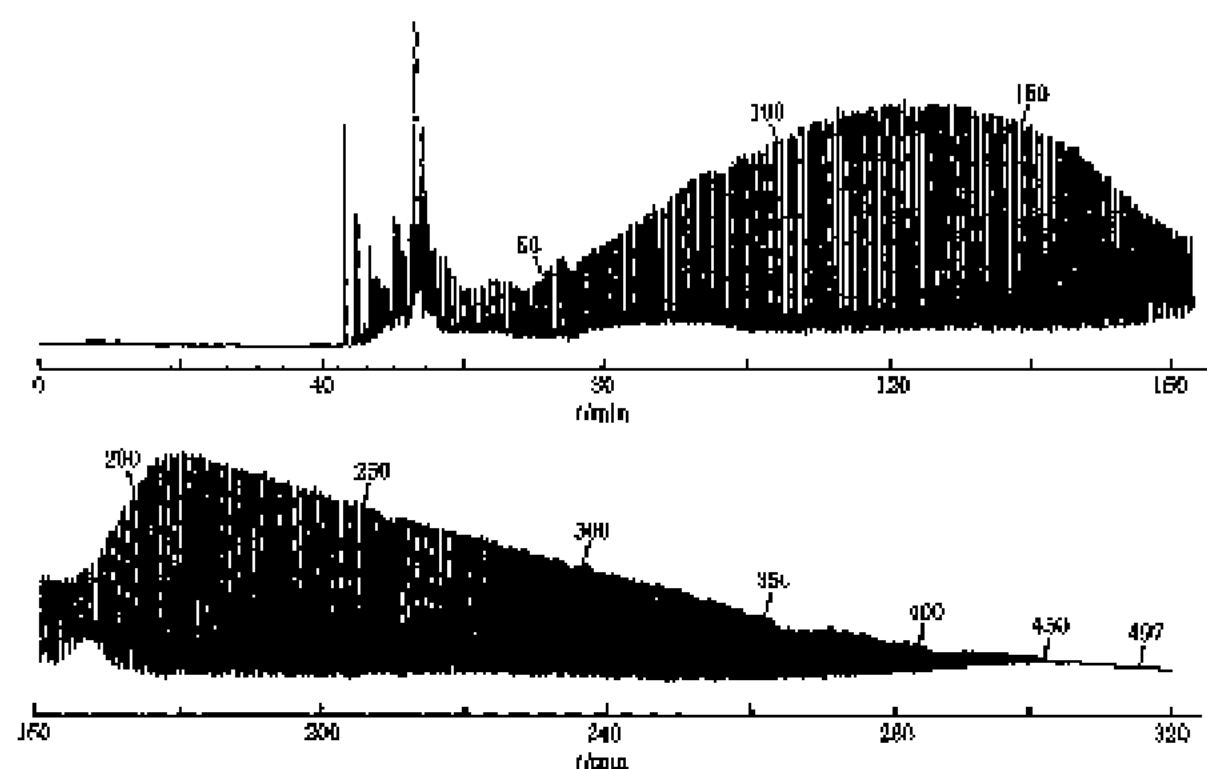
毛细管柱: 柱长 34 cm, 内径 50 μm

缓冲溶液: $50 \text{ mmol} \cdot \text{L}^{-1}$ 磷酸盐 pH 2, $5.25 \text{ mmol} \cdot \text{L}^{-1}$ 二甲基 β -CD

进样: $5 \times 10^{-4} \text{ MPa}$, 5 s

电压: 20 kV

检测器: 紫外 (200 nm)

图 15-239 PITC 标志聚脱氧铁素的毛细管凝胶电泳分离图谱^[34]

色谱峰: 脱氧铁素

毛细管柱: 有效柱长 50 cm, 内径 75 μm 非交联聚丙烯酰胺凝胶柱

缓冲溶液: $0.1 \text{ mol} \cdot \text{L}^{-1}$ Tris-硼酸盐缓冲液, $7 \text{ mol} \cdot \text{L}^{-1}$ 尿素, pH 8.5

进样: $175 \text{ V} \cdot \text{cm}^{-1}$, 40 s

电压: $300 \text{ V} \cdot \text{cm}^{-1}$

检测器: 紫外诱导荧光检测

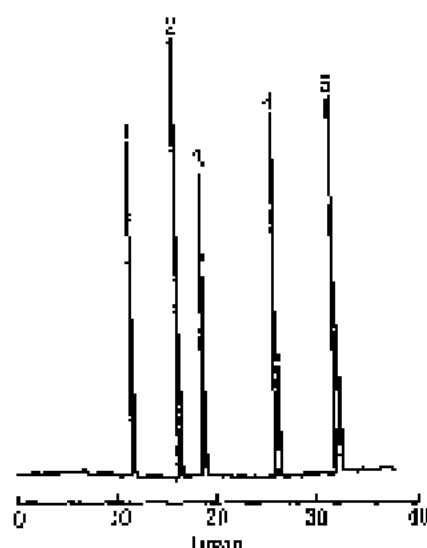


图 15-240 肌红蛋白和肌红蛋白片段的
CDE 分离谱图^[15]

色谱峰: 1—分子量 2550; 2—分子量 6210; 3—分子量 8160;
4—分子量 14400; 5—分子量 27000 (肌红蛋白)
毛细管柱: 有效长度 20 cm, 内径 75 μm , 交联聚丙烯酰胺柱
12.5% T, 3.5% C
缓冲溶液: 150 mmol/L 1^{-} Tris 磷酸盐, 2 mmol/L 1^{-} 尿素,
0.1% SDS, pH 6.5

注 释: 电动选样

温 度: 25°C

电 压: 500 V $\cdot \text{cm}^{-1}$

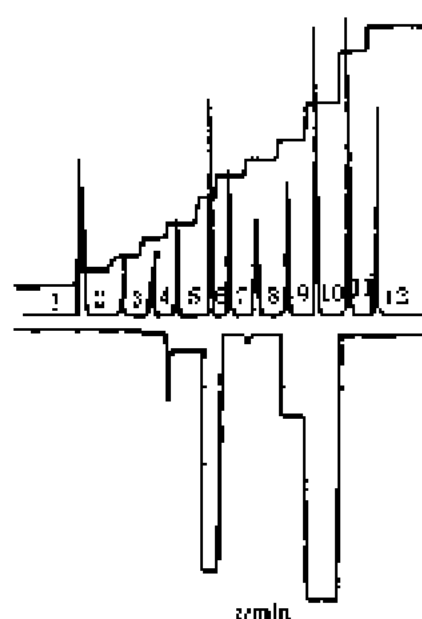


图 15-241 阳离子的等速电泳分离谱图^[15]

色谱峰: 1—K⁺; 2—Ba²⁺; 3—Na⁺; 4— $(\text{CH}_3)_4\text{N}^{+}$; 5— Pb^{2+} ;
6— $\text{C}_6\text{H}_5\text{N} + \text{CH}_3\text{COONH}_4$; 7—Lys; 8—
L-组氨酸; 9—L-缬氨酸; 10—L-苯丙氨酸; 11—
 α -氨基己酸; 12— γ -氨基丁酸

毛细管柱: 长度 20 cm, 内径 500 μm

缓冲溶液: 前导电解质 0.01 mol/L 1^{-} , 尾随电解质 0.01
mol/L 1^{-} Tris-乙酸

温 度: 20°C

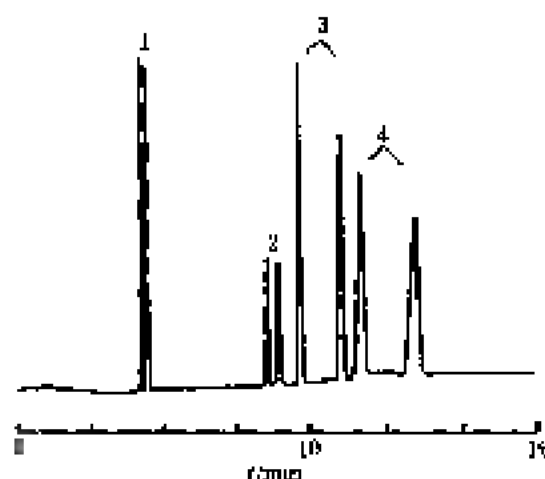


图 15-242 阳离子药物的电泳分离谱图^[15]

色谱峰: 1—苄基马基; 2—萘基酸; 3—地尔硫卓; 4—尼仑碱基

毛细管柱: 有效柱长 40 cm, 总柱长 47 cm, 内径 75 μm

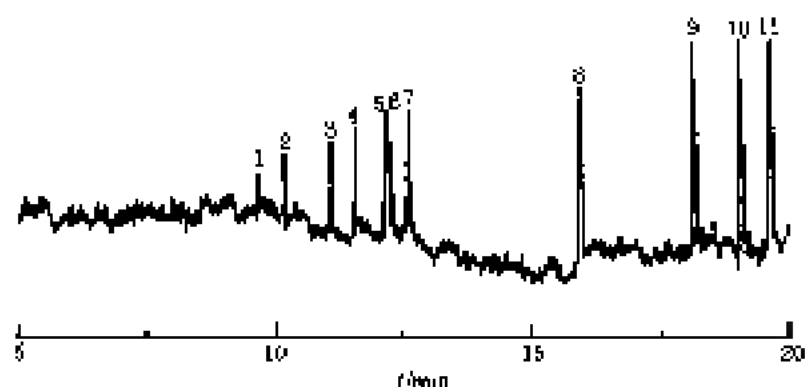
缓冲溶液: 15% B 缓冲液, 80 mmol/L 1^{-} 磷酸盐缓冲液 (pH 2.5)

注 释: (2~4) μ

温 度: 20°C

电 压: 30 kV

检测器: 紫外 (220nm)

图 15-243 单链 DNA 片段电泳谱图^[15a]

色谱峰: 1—72bp; 2—118bp; 3—194bp; 4—234bp; 5—271bp; 6—281bp; 7—310bp; 8—503bp; 9—872bp; 10—1078bp; 11—1353bp

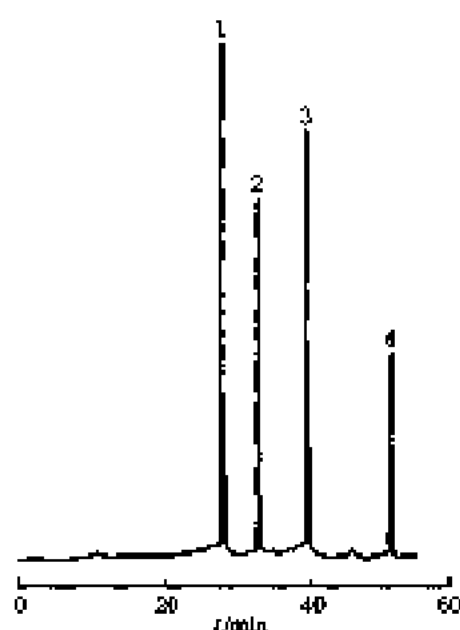
毛细管柱: 有效柱长 30 cm, 总柱长 35 cm, 内径 30 μ m, mpwxy 涂层

缓冲液: 0.5% HEMA, pH12

进样: 5 kV, 4 s

电压: 6 kV

检测器: 紫外 (260 nm)

图 15-244 蛋白质的 CZE 分离谱图^[15a]

色谱峰: 1— α -乳清蛋白; 2— β -乳球蛋白; 3—脱蛋白酪原; 4—胃蛋白酶

毛细管柱: 内径 75 μ m 交联聚丙烯酰胺柱 10%T, 3.5%C

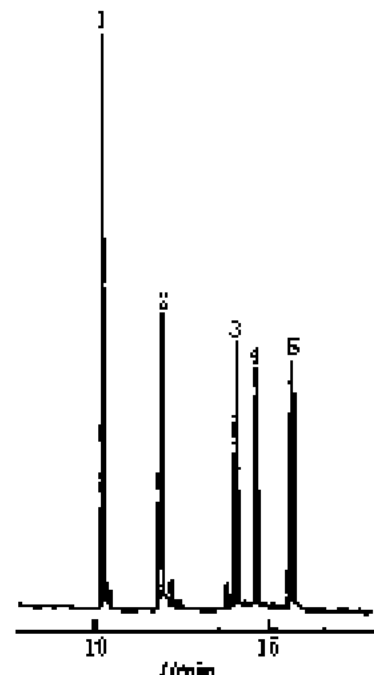
缓冲液: 20 mmol \cdot L⁻¹ Tris-硼酸盐 + 8 mmol \cdot L⁻¹ 尿素 + 0.1% SDS, pH8.4

进样: 电动进样

温度: 27°C

电压: 400 V \cdot cm⁻¹

检测器: 紫外

图 15-245 蛋白质的聚丙烯酰胺 CZE 分离谱图^[15a]

色谱峰: 1—结晶色素 C; 2—溶菌酶; 3—胰凝乳蛋白酶; 4—胰凝乳蛋白酶; 5—胰凝乳蛋白酶

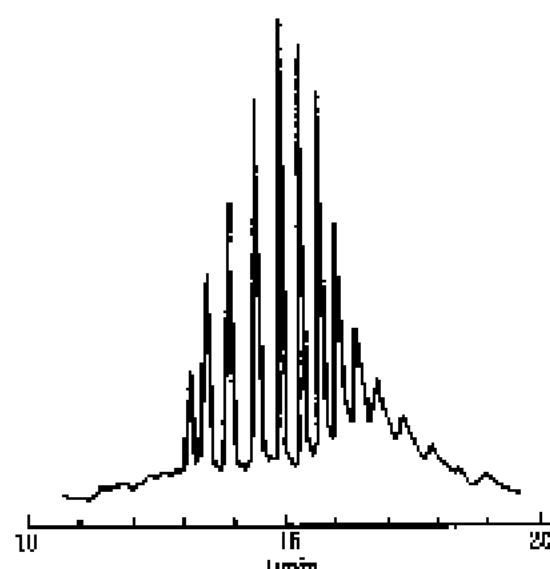
毛细管柱: 有效长度 37 cm, 总长度 75 cm, 内径 75 μ m

缓冲液: 20 mmol \cdot L⁻¹ 硼酸盐 + 50 mmol \cdot L⁻¹ 硼酸盐 + 30 mmol \cdot L⁻¹ NaCl (pH3.0) + w = 0.05% PVA3500

进样: 5 kV 电动进样

温度: 20°C

电压: 25 kV



电泳条件: 实验原理

毛细管柱: 有效长度 30 cm, 总长度 37 cm 内径 75 μ m, 交联
聚丙烯酰胺凝胶柱, 4%T, 5%C

缓冲液: Bis-Tris 缓冲液, pH6.0

温度: 25℃

电压: 7 kV

检测器: 紫外 (200 nm)

图 15-246 天冬氨酸的 CZE 谱图^[14]

参 考 文 献

1. Schmitz-Koppin D, Fischer K, Frenzel D, et al. *J Chromatogr A*, 1998; 807, 89
2. Dang W, Thornton M J, Fruz J S. *Electrophoresis*, 1998; 19, 2122
3. Geldart S E, Brown P R. *J Chromatogr A*, 1997; 752, 67
4. Benzenella A, Morbel H, Dackmann K, et al. *J Chromatogr A*, 1997; 792, 143
5. Doble P M, Haddad P R. *J Chromatogr A*, 1998; 804, 337
6. 杨永宏, 廖经武, 李荣白等. 色谱, 1998; 18, 434
7. Doble Ph, Haddad P R. *Anal Chem*, 1999; 71, 15
8. Shao X, O'Neill, Zhao Z, et al. *J Chromatogr A*, 1994; 680, 463
9. Chen M, Cassidy R M. *J Chromatogr*, 1992; 540, 425
10. 王杰, 陈海峰, 赵良峰. 分析化学, 1998; 27(1) 32
11. Langer P J, Jones A D, Dancow C. *J Chromatogr A*, 1998; 799, 309
12. Liu Y M, Schneider M, Smith C M, et al. *J Chromatogr A*, 1998; 800, 345
13. Kanets T, Shiba H, Imazaki T. *J Chromatogr A*, 1998; 805, 295
14. Cheng H T, Chen H S, Lee R J. *Chromatogr A*, 1998; 800, 349
15. Heilmann A, Radl B. *J Chromatogr A*, 1998; 803, 513
16. Philhurst M J, Somers G W, Jong G J. *J High Resol Chromatogr*, 1998; 21, 608
17. 林炳康, 刁海珊, 张岩等. 分析化学, 1994; 22, 449
18. Aschena A, Boer D, Krishnamoorthy S, et al. *Chromatographia*, 1998; 48, 307
19. Quang K, Khaleel M G. *J High Resol Chromatogr*, 1994; 17, 99
20. Sepunak M J. *Capillary Electrophoresis: Theory and Practice*. New York: Academic Press, 1992; 170
21. Bruz-Melchior Ph, Vol H C, MacGillivray R T A, et al. *Anal Chem*, 1999; 71, 1633
22. Willets M, Clarkon P, Cooke M. *Chromatographia*, 1996; 43, 671
23. Demere O, Fuzo D P, Botton B, et al. *J Chromatogr A*, 1996; 879, 348
24. Godel P, Cassmann E, Michelen H, et al. *Anal Chem*, 1997; 69, 44
25. Schepdael A V, Bergh J V D, Roess E, et al. *J Chromatogr A*, 1996; 730, 205
26. 高同彪等主编. 生物医药色谱进展, 第一卷. 上海: 1998; 278
27. Borchers U, Eyell L. *J Chromatogr A*, 1997; 792, 157
28. Jamini G M, Miroshnik G M, Issaq H J. *Electrophoresis*, 1996; 17, 1575

29. Mooney H., Cassidy R.M. *J Chromatogr A*, 1997; 767: 185
30. Gudel P., Cassman E., Michelsen H., et al. *Anal Chem*, 1987; 59: 44
31. Towns J.K., Regnier P.E. *Anal Chem*, 1991; 63: 1126
32. Nasser A.E.F., Lucas S.V. *Anal Chem*, 1999; 71: 1255
33. Jones R., Jandik P. *J Chromatogr*, 1992; 508: 485
34. Hoods S., Toyochi K., Uegaki K., et al. *J Chromatogr A*, 1999; 805: 277
35. Karamanly D., Kirmann E., Madajova Y., et al. *J Chromatogr A*, 1997; 772: 527
36. Tanioka N., Nakagawa K., Hongo H., et al. *J Chromatogr A*, 1998; 805: 35
37. Petrucyk D.J., Chen S., Chandrahewar E. *J Chromatogr A*, 1997; 773: 327
38. 西晓祥, 廖杰, 刘晓达等. 色谱, 1998; 16: 445
39. Talmadge K.W., Tan A.K. *J Chromatogr A*, 1997; 780: 545
40. Biomo M., Coello J., Hurnaga H., et al. *J Chromatogr A*, 1998; 793: 165
41. Tranter V.C., Robertson J., Wille R.J., et al. *J Chromatogr A*, 1995; 706: 169
42. Halebi M.M., Chung H.T. *J Chromatogr A*, 1998; 795: 145
43. Martinez D., Benull F., Cahill M. *J Chromatogr A*, 1997; 768: 185
44. Fischer J., Jancora P., Saneek V. *J Chromatogr A*, 1997; 772: 385
45. Cobb K.A., Dolnik V., Novotny M. *Anal Chem*, 1990; 62: 2474
46. Roldon-Assad R., Gareil P. *J Chromatogr A*, 1997; 708: 539
47. Towns J.K., Regnier P.E. *Anal Chem* 1991; 63: 1126
48. Zemann A.J. *J Chromatogr A*, 1997; 787: 243
49. Ding W., Chambers M.J., Fritz J.S. *Electrophoresis*, 1998; 19: 2133
50. Tjurnsted J., Hamet S.H. *Chromatographia*, 1997; 44: 5
51. Jandik P., Jones W.R., Weston A., et al. *LC GC*, 1991; 9: 644
52. Liu Y.M., Shen S.H. *J Chromatogr A*, 1994; 664: 239
53. Huang Y., Whang C.W. *Electrophoresis*, 1998; 19: 2140
54. 曹瑞文等. 第一届毛细管电泳报告会文集, 1993: 108
55. 余基棣, 曹瑞文, 何喜章等. 分析化学, 1994; 22: 755
56. 林启山, 张任强, 刘国珍. 色谱, 1995; 13: 12
57. 陆俊杰, 谢经成, 杨永东. 分析化学, 1999; 27(5): 585
58. Swedberg S.A. *J Chromatogr*, 1990; 507: 449
59. Jamni G.M., Muschik G.M., Issaq H.J. *Electrophoresis*, 1996; 17: 1575
60. Martinez D., Decurull E., Marck R.M., et al. *Chromatographia*, 1996; 45: 519
61. Varesio E., Veuthey J.L. *J Chromatogr A*, 1995; 717: 219
62. Tsuchi K. *J Chromatogr*, 1991; 550: 523
63. Sydnor W., Mulvan E. *HPLC'91*. San Den Diego, CA, USA
64. Arce L., Ruiz A., Valverde M. *Chromatographia*, 1997; 46: 170
65. Mañ Y., Srau H., Valde J., et al. *J Chromatogr A*, 1997; 792: 13
66. 任吉存, 邓延伟, 穆介龙. 分析化学, 1996; 23: 644
67. 肖国旺, Lehmann R., 麻盛等. 中国科学, 1997; 29: 151
68. 傅建江, 才国平, 李艳杰. 色谱, 1997; 15: 261
69. Gual S., Andrade P.B., Oliveira M.B., et al. *J L Chem & Rel Technol*, 1999; 22: 519
70. Knehlund J.J., Karsenick A., Lochmann H., et al. *J Chromatogr A*, 1998; 811: 221
71. 周同惠. 生物医学色谱进展, 第一卷. 上海, 1992: 398
72. Lauer H.H., Muhlenpfeil. *Anal Chem*, 1986; 58: 165
73. 张国华, 张磊琛, 张永友等. 色谱, 1995; 13: 247
74. Park K., et al. *J Chromatogr A*, 1998; 799: 357
75. Liu X., Frank H. *J High Resol Chromatogr*, 1998; 21: 309

- 76 赵强, 刘鹤群, 翟奇克. 分析化学, 1995; 21: 180
- 77 韦理文, 郭京力, 余兆楼等. 分析化学, 1996; 21: 750
- 78 Heinemann M., Blaschke G. J Chromatogr., 1993; 642: 267
- 79 Wesen A., Brown P.R., Jandik P., et al. J Chromatogr., 1992; 595: 388
- 80 Ng C.L., Lee H.K., Li & F.Y., et al. J Chromatogr. A., 1994; 653, 427
- 81 Lin C.E., Chang C.C., Chen W. J Chromatogr. A., 1997; 765, 106
- 82 Dastanella A., Bachmann K. J Chromatogr. A., 1988; 799, 283
- 83 Vorndran A.E., Oefner P.J., Schur J.H. Chromatographia, 1992; 33, 163
- 84 Lin C.E., Lin W.C., Chen Y.C., et al. J Chromatogr. A., 1997; 782-37
- 85 Jinno Y., Han Y., Sawada H., et al. Chromatographia, 1997; 46: 309
- 86 Abulaker M.A., Bissell M.G., Peterson J.R. J Cap Electrophoresis, 1995; 2: 105
- 87 Marino M.M., Benito L., Ohez-Masa J.C., et al. Chromatographia, 1996; 42: 259
- 88 Luong J.H.T., Guo Y. J Chromatogr. A., 1996; 811, 225
- 89 顾晓峰, 沈玉, 傅若农. 色谱, 1996; 14, 82
- 90 Riekkola M.L., Wiedmer S.K., Valko I., et al. J Chromatogr. A., 1997; 782, 13
- 91 Collen J., Gareil P. J Chromatogr. A., 1997; 772, 165
- 92 Munjelant D.G., Ozuka K., Terabe S. J Chromatogr. A., 1993; 602, 3
- 93 Knapp C.M., Breen J.J. J Chromatogr. A., 1959; 790, 249
- 94 Evenden A., Ormston E., Fothered S. J High Resolu Chromatogr., 1996; 19: 229
- 95 宋立国, 陈洪, 张乐. 色谱, 1999; 17(4), 279
- 96 Ozuka K., Kashiwara M., Kawaguchi Y., et al. J Chromatogr., 1995; 652: 243
- 97 Capella L., Bityanov V.A., Wajeman H., et al. J Chromatogr. A., 1997; 751, 313
- 98 王杰, 黄爱今, 孙亦楼等. 化学学报, 1998; 56, 90
- 99 谢宝堂, 廖寅斌, 陈古雄. 分析化学, 1994; 22, 1085
- 100 Tekle D.C., et al. Anal Chem., 1994; 66: 4121
- 101 Chen Y., Lin C. J Chromatogr. A., 1993; 602-95
- 102 Nouadje G., Simon K., Dedlen P., et al. J Chromatogr. A., 1997; 765-337
- 103 Wu H.L., Huang C.H., Chen S.H., et al. J Chromatogr. A., 1998; 802: 107
- 104 Frick K., Blaschke G. J Chromatogr. A., 1998; 803, 247
- 105 Wandersinger R., Lurie J.S. Anal Chem., 1991; 63: 323
- 106 Lethenue G., Jhonsson V., Treertry C. J Chromatogr. A., 1990; 704: 195
- 107 Kodama H., Yamamoto A., Matsumagi A. J Chromatogr. A., 1988; 511, 269
- 108 Strickland M., Walner B.C., Braultant J. J Chromatogr. A., 1986; 751: 505
- 109 Mikulik I., Lubrad J., Davl Z. J Chromatogr. A., 1997; 772: 297
- 110 赵家利, 魏复盛, 郭汉法. 分析化学, 1997; 25: 659
- 111 Marzoo Ji., Grover E.R., Swartz M.E., et al. J Chromatogr. A., 1994; 680, 125
- 112 Barroso M.B., Konda L.N., Mocovian G. J High Resol Chromatogr., 1999; 22, 171
- 113 周建忠, 廖杰, 钱才红等. 色谱, 1997; 15: 159
- 114 余兆楼, 陈义, 韦理文. 分析化学, 1998; 24: 444
- 115 Nishi A., Fukuyama T., Mabuo M., et al. J Pharm Sci., 1990; 79: 519
- 116 蔡炳承. 毛细管电泳进展. 第二卷. 广州: 华南理工大学出版社, 1995; 193
- 117 Nishi H., Terabe S. J Chromatogr. A., 1995; 694, 245
- 118 Wan H., Anderson P.F., Engstrom A., et al. J Chromatogr. A., 1995; 701, 179
- 119 Desbaze P.L., Rong C.M. J Chromatogr. A., 1995; 589, 107
- 120 Buskon S., Moller P., Sorensen H., et al. J Chromatogr. A., 1993; 602, 233
- 121 Klompf C.W., Buchberger W., Turner M., et al. J Chromatogr. A., 1998; 804: 349
- 122 Kawamura K. J Chromatogr. A., 1996; 802: 167

- 123 Elizabeth P., Yoshoka M., et al. *J Chromatogr A*, 1998, 806, 181
- 124 Belder D., Schenckberg G. *J Chromatogr A*, 1994, 656, 351
- 125 Anelli K D. *J Chromatogr A*, 1999, 844- 871
- 126 Liebich H M., Xu G., et al. *J Chromatogr B*, 1998, 793, 341
- 127 Lin J., Nakagawa T., Uchiyama K., Hase T. *J L Chrom & Rel Technol*, 1997, 20, 1489
- 128 Schwedt L., Andersson L G., Nilsson S. *Anal Chem*, 1997, 69, 1179
- 129 Peak J J., Matyska M T., Maucke L. *J Chromatogr A*, 1997, 785, 307
- 130 Wu J., Huang P., Li M X., et al. *Anal Chem*, 1997, 69, 330
- 131 Narang P., Cohen L A. *J Chromatogr A*, 1997, 773- 65
- 132 Lord G A., Gordon D. B., Teller L W., et al. *J Chromatogr A*, 1995, 700, 27
- 133 Dado R., Zare R N. *Anal Chem*, 1998, 70, 4787
- 134 阮宗翠, 李菊白, 陆康洁. 色谱, 2000, 18(2), 148
- 135 Smith N. W., Evans M R. *Chromatographia*, 1994, 38- 649
- 136 Stead D A., Reid R C., Taylor R B. *J Chromatogr A*, 1998, 798- 259
- 137 Cohen A S., Karger B L. *J Chromatogr*, 1987, 397- 409
- 138 Le S., Lloyd D K. *J Chromatogr A*, 1994, 668- 325
- 139 Lord G B., Gordon B., Myers P., et al. *J Chromatogr A*, 1997, 769, 9
- 140 Beech S., Hernandez S., Kneak J C., et al. *J Chromatogr A*, 1990, 775, 165
- 141 Zheng L., Zou H., Shi W., et al. *J Cap Elec*, 1998, 6(5), 101
- 142 Bailey C G., Yan C. *Anal Chem* 1998, 70, 3215
- 143 Zheng M., Ratal Z E. *Electrophoresis*, 1998, 19- 3068
- 144 Sefar R M., Kok W Th., Kneak J C. *Chromatographia*, 1997, 46, 151
- 145 LeLavee P., Yan C., Zare R N., et al. *J Chromatogr A*, 1998, 735, 145
- 146 Altma K D., Saurb N W., Turnbull C H. *J Chromatogr B*, 1998, 717, 341
- 147 Eversby M B., Gilligan D., Johnson C M., et al. *Analyses*, 197, 122, 1087
- 148 Behake B., Bayer E. *J Chromatogr A*, 1994, 680, 93
- 149 Taylor M R., Teale P. *J Chromatogr A*, 1997, 768, 89
- 150 施建, 郑以达, 张丽华等. 科学通报, 1998, 43, 498
- 151 Huber C G., Choudhary G., Horvath Csaba. *Anal Chem*, 1997, 69, 1429
- 152 Gilges M., Hunnen H., Kbenius M H., et al. *J High Resolu Chromatogr*, 1992, 15, 452
- 153 Luna J S., Conyer T S., Prid V L. *Anal Chem*, 1998, 70, 4564
- 154 Huber C G., Choudhary Gung., Horvath Csaba. *Anal Chem*, 1997, 69, 4429
- 155 Eiserich Th., Unger K K. *Trends in Anal Chem*, 1998, 15, 483
- 156 Meyer S., Schurig V. *J L Chromatogr*, 1993, 18- 915
- 157 Matyska A., Pyell U. *J Chromatogr A*, 1997, 782- 187
- 158 Pyell U., Reimerich H., Benholzer A. *J Chromatogr A*, 1997, 779- 155
- 159 Liu Y., Kula W G. *Anal Chem*, 1997, 71- 1688
- 160 Palma A., Novotny M V. *Anal Chem*, 1997, 69, 4409
- 161 Fujimori C., Fujise Y. *Anal Chem*, 1996, 68, 2733
- 162 Li D., Knebel H H., Remcho V T. *J Chromatogr B*, 1997, 695, 189
- 163 Fisher W D., Young S S. *J Chromatogr*, 1991, 557, 125
- 164 林炳承, 毛炯曾电泳进展. 第二卷. 广州: 华南理工大学出版社, 1995, 1-3
- 165 Eversby M R., Johnson C M., Parida K O. *U.S.C.*, 1998, 16, 386
- 166 刘晓达, 廖杰, 徐景庚等. 色谱, 1997, 15- 5
- 167 任吉存, 邓锡云, 曹世寿. 高等学校化学学报, 1996, 17(4), 362
- 168 郭娟, 杨淑生, 郑思敏等. 分析化学, 1996, 24, 853
- 169 Elzeir D N., Cohen A S., Karger B L. *J Chromatogr*, 1990, 516, 33

- 170 S. Hjerten. *J Chromatogr.* 1983; 270, 1
- 171 Chen H-S, Chang H-T. *Anal Chem.* 1992; 71, 2033
- 172 Dai H J, Krull I S. *J Chromatogr A.* 1986; 807: 121
- 173 Maronnet R, et al. *Anal Chem.* 1993; 65, 2351
- 174 Klepárník A, Malá Z, Bocsk P. *J Chromatogr A.* 1997; 772, 243
- 175 Cohen A S, Karger B L. *J Chromatogr.* 1987; 397-409
- 176 Chen N, Manabe T, Terabe S, et al. *J Microcol Sep.* 1994; 6, 541
- 177 何宝英, 张有斌, 竺安, 陈义. 电泳. 北京: 科学出版社, 1990; 179
- 178 Nishi H, Isumoto S, Nakamura K, et al. *Chromatographia.* 1996; 43, 617
- 179 Yan C, Dadoo R, Zare R N, Bakstrom D J. *Anal Chem.* 1986; 68: 2726
- 180 Dadoo R, Yan C, Zare R N, Bakstrom D J, Ames D. *Anal Chem.* 1988; 70: 4787
- 181 Yan C. *Anal Chem.* 1998; 70: 3275
- 182 Wei W, Luo G, Yan C. *J Microcolumn Separations.* 1998 (in press)
- 183 Wei W, Luo G, Yan C. *J Chromatogr A.* 1998; 817, 65
- 184 Wei W, Luo G, Yan C. *American Laboratory.* 1998; 30, 20

谱 图 索 引

图 号	图 名	图 号	图 名
图 10-1	二糖和多羟基化合物的等度分离谱图	图 10-45	PTH 氨基酸衍生物分离谱图
图 10-2	5 种碳水化合物分离谱图	图 10-46	PTH 氨基酸梯度分离谱图
图 10-3	5 种氨基酸衍生物分离谱图	图 10-47	PTH 氨基酸梯度分离谱图(一)
图 10-4	多糖分离谱图(一)	图 10-48	PTH 氨基酸梯度分离谱图(二)
图 10-5	多糖分离谱图(二)	图 10-49	PTH 氨基酸的分离谱图
图 10-6	多糖类化合物分离谱图(一)	图 10-50	20 种氨基酸的丹酰衍生物分离谱图
图 10-7	多糖类化合物分离谱图(二)	图 10-51	大豆牛胰凝乳酶的每苯二胺苄基甲氧基甲 酸丙氨酸衍生物谱图
图 10-8	单、双糖分离谱图	图 10-52	对氨基苯酚标准混合物谱图
图 10-9	单糖、二糖和三糖的梯度分离谱图	图 10-53	水解氨基酸混合物的分离谱图
图 10-10	单糖的反相 HPLC 分离谱图	图 10-54	牛血清蛋白的水解氨基酸丹酰衍生物产 物的分离谱图
图 10-11	单糖的(PMP 衍生化)分离谱图	图 10-55	发酵反应中的对氨基苯酚范围
图 10-12	单糖的等度分离谱图	图 10-56	水解牛化氨基酸标准混合物分离谱图
图 10-13	葡萄糖分离谱图	图 10-57	水解牛化氨基酸标准混合物丁交换 HPLC 分 离谱图
图 10-14	直链麦芽糖寡糖分离谱图	图 10-58	生物碱和氨基酸的分离谱图
图 10-15	标准碳水化合物混合物谱图	图 10-59	甲状腺素氨基酸和酪氨酸标准的分离谱图
图 10-16	梯度冲洗条件下 1 种氨基酸衍生物谱图	图 10-60	白蛋白衍生物氨基酸的分离谱图
图 10-17	葡萄糖胺衍生物谱图	图 10-61	细胞培养基中的氨基酸丹酰衍生物物的分离 谱图
图 10-18	葡萄糖衍生物谱图	图 10-62	苹果提取物中二异半乳糖酸(OPA)氨基酸的 典型色谱图
图 10-19	葡萄糖及其内酯谱图	图 10-63	氨基酸的分离谱图
图 10-20	蔗糖分离谱图	图 10-64	PTH 氨基酸衍生物分离谱图
图 10-21	碳水化合物分离谱图(一)	图 10-65	氨基酸 DASA 衍生物(分离谱图)
图 10-22	碳水化合物分离谱图(二)	图 10-66	氨基酸在不同洗脱剂上分离谱图
图 10-23	碳水化合物分离谱图(三)	图 10-67	氨基酸(PTIC 衍生化)分离谱图
图 10-24	碳水化合物分离谱图(四)	图 10-68	氨基酸标准物(FMOC)衍生物(谱图)
图 10-25	碳水化合物分离谱图(五)	图 10-69	氨基酸标准衍生物谱图
图 10-26	碳水化合物分离谱图(六)	图 10-70	氨基酸标准混合物(DABSYL 衍生物)谱图
图 10-27	碳水化合物分离谱图(七)	图 10-71	氨基酸标准溶液分离谱图
图 10-28	碳水化合物和氨基酸标准物谱图	图 10-72	氨基酸分离谱图
图 10-29	葡萄糖处理玉米淀粉衍生物谱图(一)	图 10-73	PTH 氨基酸梯度冲洗分离谱图
图 10-30	葡萄糖处理玉米淀粉衍生物谱图(二)	图 10-74	氨基酸分离谱图
图 10-31	糖和糖苷同时分离谱图	图 10-75	氨基酸的分离谱图
图 10-32	糖分离谱图	图 10-76	酪氨酸和甲状腺素氨基酸的丹酰衍生物标 准混合物谱图
图 10-33	糖的标准混合物谱图	图 10-77	酪氨酸和甲状腺素氨基酸的丹酰衍生物标准混 合物谱图
图 10-34	糖类化合物分离谱图	图 10-78	大鼠脑中的氨基酸的分离谱图
图 10-35	糖类化合物分离谱图	图 10-79	鼠血浆(OPA)->MCPA 衍生物谱图
图 10-36	糖类谱图	图 10-80	鼠血浆中的氨基酸的分离谱图
图 10-37	20 种氨基酸 LC/PS-PCD 谱图	图 10-81	鼠肝脏中的氨基酸的分离谱图
图 10-38	12 种氨基酸分离色谱图(一)	图 10-82	鼠脑中的氨基酸的分离谱图
图 10-39	12 种氨基酸分离色谱图(二)	图 10-83	8 种不同儿茶酚衍生物的分离谱图
图 10-40	OPA-氨基酸标准物分离谱图	图 10-84	典型血清样品分离谱图
图 10-41	PTH-氨基酸标准混合物分离谱图		
图 10-42	PTH 氨基酸的分离谱图(一)		
图 10-43	PTH 氨基酸的分离谱图(二)		
图 10-44	PTH 氨基酸标准混合物分离谱图		

图 号	图 名	图 号	图 名
图 10-83	维生素 B ₆ 及其代谢物分离谱图	图 10-135	脂溶性维生素分离谱图(三)
图 10-86	人血苯妥英物分离谱图	图 10-136	有机磷农药分离谱图
图 10-87	人血苯巴比妥酸及其代谢物的分离谱图	图 10-137	维生素 A 和生物混合分离谱图(一)
图 10-88	人血苯妥英物分离谱图	图 10-138	维生素 A 和生物混合分离谱图(二)
图 10-89	人血清中 β -胡萝卜素分离谱图	图 10-139	维生素 B ₆ 及有关化合物分离谱图
图 10-90	人血清中脂肪酸分离谱图	图 10-140	维生素 E 组分的分离谱图
图 10-91	人尿苯妥英物分离谱图	图 10-141	温度对水溶性维生素分离影响谱图
图 10-92	人尿苯妥英液在不同色带柱上的谱图	图 10-142	铁离子浓度对分离谱图
图 10-93	儿童血尿酸代谢物的分离谱图	图 10-143	脂肪儿品混合物分离影响谱图
图 10-94	儿童尿和咖啡因分离谱图(一)	图 10-144	维生素 B ₆ 谱图
图 10-95	儿童尿和咖啡因分离谱图(二)	图 10-145	维生素 B ₆ 谱图
图 10-96	巴比妥酸分离谱图	图 10-146	磺胺嘧啶化合物谱图(一)
图 10-97	止痛剂的分离谱图(一)	图 10-147	磺胺嘧啶化合物谱图(二)
图 10-98	止痛剂的分离谱图(二)	图 10-148	24 种硝化多环芳烃标准谱图
图 10-99	止痛剂的分离谱图(三)	图 10-149	27 种硝基化合物分离谱图(一)
图 10-100	水溶性维生素谱图	图 10-150	27 种硝基化合物分离谱图(二)
图 10-101	叶酸主要成分分离谱图	图 10-151	Elbe 废水中苯胺类分离谱图
图 10-102	四环素及其相关化合物的分离谱图	图 10-152	莱茵河水样品分离谱图
图 10-104	四环素类化合物分离谱图	图 10-153	河水中烷基苯磺酸盐谱图
图 10-105	甲状腺素和混合物的分离谱图	图 10-154	合成 PCDD 混合物谱图
图 10-106	多环芳烃四等标准谱图(一)	图 10-155	大气中多环芳烃-乙二胺标准谱图
图 10-107	多环芳烃四等标准谱图(二)	图 10-156	大米中农药残留谱图
图 10-108	多环芳烃分离谱图	图 10-157	饮用水中酚类分析谱图
图 10-109	血浆中多环芳烃谱图	图 10-158	水果中 2,4-二硝基苯胺的测定谱图(果汁)
图 10-110	血清中多环芳烃化合物分离谱图	图 10-159	水果中 2,4-二硝基苯胺的测定谱图(果汁)
图 10-111	血清中多环芳烃及内标物分离谱图	图 10-160	水果中 2,4-二硝基苯胺的测定谱图(果汁)
图 10-112	血清样品中多环芳烃谱图	图 10-161	水果中 2,4-二硝基苯胺的测定谱图(果汁)
图 10-113	尿中肌酐的分离谱图	图 10-162	19 种酚(其中 16 种硝基酚)的分离谱图
图 10-114	尿中肌酐和苯胺化合物谱图	图 10-163	甲苯和一氯甲苯分离谱图
图 10-115	尿中肌酐分离谱图	图 10-164	地下水中的苯胺谱图
图 10-116	尿中肌酐分离谱图	图 10-165	地下水中的苯胺化合物谱图
图 10-117	尿中肌酐分离谱图	图 10-166	多环芳烃类化合物分离谱图(一)
图 10-118	尿中肌酐分离谱图	图 10-167	多环芳烃类化合物分离谱图(二)
图 10-119	尿中肌酐分离谱图	图 10-168	多环芳烃类化合物分离谱图(三)
图 10-120	尿中肌酐分离谱图	图 10-169	多环芳烃类化合物分离谱图(四)
图 10-121	尿中肌酐分离谱图	图 10-170	多环芳烃类化合物分离谱图(五)
图 10-122	尿中肌酐分离谱图	图 10-171	多环芳烃类化合物分离谱图(六)
图 10-123	尿中肌酐分离谱图	图 10-172	多环芳烃类化合物分离谱图(七)
图 10-124	尿中肌酐分离谱图	图 10-173	多环芳烃类化合物分离谱图(八)
图 10-125	尿中肌酐分离谱图	图 10-174	多环芳烃类化合物分离谱图(九)
图 10-126	尿中肌酐分离谱图	图 10-175	多环芳烃类化合物分离谱图(十)
图 10-127	尿中肌酐分离谱图	图 10-176	多环芳烃类化合物分离谱图(十一)
图 10-128	尿中肌酐分离谱图	图 10-177	多环芳烃类化合物分离谱图(十二)
图 10-129	尿中肌酐分离谱图	图 10-178	多环芳烃类化合物分离谱图(十三)
图 10-130	尿中肌酐分离谱图	图 10-179	多环芳烃的分离谱图
图 10-131	尿中肌酐分离谱图	图 10-180	多环芳烃的分离谱图
图 10-132	尿中肌酐分离谱图	图 10-181	有机磷农药标准谱图
图 10-133	尿中肌酐分离谱图	图 10-182	有机磷农药标准谱图
图 10-134	尿中肌酐分离谱图	图 10-183	有机磷农药标准谱图

图 号	图 名
图 10-154	工业酒精混合物标准样分离谱图
图 10-155	河豚鱼肝脏样品中多环芳烃分离谱图
图 10-156	污染物——多环芳烃混合物标准分离谱图
图 10-157	污染物标准物中多环芳烃分离谱图
图 10-158	自来水中的 15 种取代苯化合物的分析谱图
图 10-159	吡喃并-萘蒽因等分离谱图(一)
图 10-160	吡喃并-萘蒽因等分离谱图(二)
图 10-161	竹类降美化合物谱图
图 10-162	空气样品中萘蒽分析谱图
图 10-163	苯并[a]芘的 14 种代谢物谱图(一)
图 10-164	苯并[a]芘的 11 种代谢物谱图(二)
图 10-165	苯并[a]芘的 14 种代谢物谱图(三)
图 10-166	五和 1,2,4-三氮苯分离谱图(一)
图 10-167	五和 1,2,4-三氮苯分离谱图(二)
图 10-168	几种水并降美分离谱图
图 10-169	鸡鸡中的氨基酸化合物谱图
图 10-170	空气样品中多环芳烃分析谱图
图 10-171	洋马河生物地下水分离谱图
图 10-172	河水样品中苯基蒽谱图
图 10-173	酚类化合物分离谱图
图 10-174	酚类化合物标准样谱图
图 10-175	硝化还原芳烃的分离谱图
图 10-176	叠氮化合物分离谱图
图 10-177	鼠小中多氮苯谱图
图 10-178	Broccoli 中对胡萝卜素分离谱图
图 10-179	草中生物碱的分离谱图(一)
图 10-180	草中生物碱的分离谱图(二)
图 10-181	大豆木质部(a)和韧皮部(b)乳汁中戊烷的分离谱图
图 10-182	小样蔬菜萃取物分离谱图
图 10-183	小样中茚丹萘萘的分离谱图
图 10-184	巴西降美谱图中萘蒽标准样谱图
图 10-185	巴西降美谱图中萘蒽分离谱图
图 10-186	水稻小淀粉粉分离谱图(一)
图 10-187	水稻小淀粉粉分离谱图(二)
图 10-188	水稻小淀粉粉分离谱图(三)
图 10-189	水稻小淀粉粉分离谱图(四)
图 10-190	水稻小淀粉粉分离谱图(五)
图 10-191	水稻小淀粉粉分离谱图(六)
图 10-192	水稻小淀粉粉分离谱图(七)
图 10-193	水稻小淀粉粉分离谱图(八)
图 10-194	水稻小淀粉粉分离谱图(九)
图 10-195	水稻小淀粉粉分离谱图(十)
图 10-196	水稻小淀粉粉分离谱图(十一)
图 10-197	水稻小淀粉粉分离谱图(十二)
图 10-198	水稻小淀粉粉分离谱图(十三)
图 10-199	水稻小淀粉粉分离谱图(十四)
图 10-200	水稻小淀粉粉分离谱图(十五)
图 10-201	水稻小淀粉粉分离谱图(十六)
图 10-202	水稻小淀粉粉分离谱图(十七)
图 10-203	水稻小淀粉粉分离谱图(十八)
图 10-204	水稻小淀粉粉分离谱图(十九)
图 10-205	水稻小淀粉粉分离谱图(二十)
图 10-206	水稻小淀粉粉分离谱图(二十一)
图 10-207	水稻小淀粉粉分离谱图(二十二)
图 10-208	水稻小淀粉粉分离谱图(二十三)
图 10-209	水稻小淀粉粉分离谱图(二十四)
图 10-210	水稻小淀粉粉分离谱图(二十五)
图 10-211	水稻小淀粉粉分离谱图(二十六)
图 10-212	水稻小淀粉粉分离谱图(二十七)
图 10-213	水稻小淀粉粉分离谱图(二十八)
图 10-214	水稻小淀粉粉分离谱图(二十九)
图 10-215	水稻小淀粉粉分离谱图(三十)
图 10-216	水稻小淀粉粉分离谱图(三十一)
图 10-217	水稻小淀粉粉分离谱图(三十二)
图 10-218	水稻小淀粉粉分离谱图(三十三)
图 10-219	水稻小淀粉粉分离谱图(三十四)
图 10-220	水稻小淀粉粉分离谱图(三十五)
图 10-221	水稻小淀粉粉分离谱图(三十六)
图 10-222	水稻小淀粉粉分离谱图(三十七)
图 10-223	水稻小淀粉粉分离谱图(三十八)
图 10-224	水稻小淀粉粉分离谱图(三十九)
图 10-225	水稻小淀粉粉分离谱图(四十)
图 10-226	水稻小淀粉粉分离谱图(四十一)
图 10-227	水稻小淀粉粉分离谱图(四十二)
图 10-228	水稻小淀粉粉分离谱图(四十三)
图 10-229	水稻小淀粉粉分离谱图(四十四)
图 10-230	水稻小淀粉粉分离谱图(四十五)
图 10-231	水稻小淀粉粉分离谱图(四十六)
图 10-232	水稻小淀粉粉分离谱图(四十七)
图 10-233	水稻小淀粉粉分离谱图(四十八)
图 10-234	水稻小淀粉粉分离谱图(四十九)
图 10-235	水稻小淀粉粉分离谱图(五十)
图 10-236	水稻小淀粉粉分离谱图(五十一)
图 10-237	水稻小淀粉粉分离谱图(五十二)
图 10-238	水稻小淀粉粉分离谱图(五十三)
图 10-239	水稻小淀粉粉分离谱图(五十四)
图 10-240	水稻小淀粉粉分离谱图(五十五)
图 10-241	水稻小淀粉粉分离谱图(五十六)
图 10-242	水稻小淀粉粉分离谱图(五十七)
图 10-243	水稻小淀粉粉分离谱图(五十八)
图 10-244	水稻小淀粉粉分离谱图(五十九)
图 10-245	水稻小淀粉粉分离谱图(六十)
图 10-246	水稻小淀粉粉分离谱图(六十一)
图 10-247	水稻小淀粉粉分离谱图(六十二)
图 10-248	水稻小淀粉粉分离谱图(六十三)
图 10-249	水稻小淀粉粉分离谱图(六十四)
图 10-250	水稻小淀粉粉分离谱图(六十五)
图 10-251	水稻小淀粉粉分离谱图(六十六)
图 10-252	水稻小淀粉粉分离谱图(六十七)
图 10-253	水稻小淀粉粉分离谱图(六十八)
图 10-254	水稻小淀粉粉分离谱图(六十九)
图 10-255	水稻小淀粉粉分离谱图(七十)
图 10-256	水稻小淀粉粉分离谱图(七十一)
图 10-257	水稻小淀粉粉分离谱图(七十二)
图 10-258	水稻小淀粉粉分离谱图(七十三)
图 10-259	水稻小淀粉粉分离谱图(七十四)
图 10-260	水稻小淀粉粉分离谱图(七十五)
图 10-261	水稻小淀粉粉分离谱图(七十六)
图 10-262	水稻小淀粉粉分离谱图(七十七)
图 10-263	水稻小淀粉粉分离谱图(七十八)
图 10-264	水稻小淀粉粉分离谱图(七十九)
图 10-265	水稻小淀粉粉分离谱图(八十)
图 10-266	水稻小淀粉粉分离谱图(八十一)
图 10-267	水稻小淀粉粉分离谱图(八十二)
图 10-268	水稻小淀粉粉分离谱图(八十三)
图 10-269	水稻小淀粉粉分离谱图(八十四)
图 10-270	水稻小淀粉粉分离谱图(八十五)
图 10-271	水稻小淀粉粉分离谱图(八十六)
图 10-272	水稻小淀粉粉分离谱图(八十七)
图 10-273	水稻小淀粉粉分离谱图(八十八)
图 10-274	水稻小淀粉粉分离谱图(八十九)
图 10-275	水稻小淀粉粉分离谱图(九十)
图 10-276	水稻小淀粉粉分离谱图(九十一)
图 10-277	水稻小淀粉粉分离谱图(九十二)
图 10-278	水稻小淀粉粉分离谱图(九十三)
图 10-279	水稻小淀粉粉分离谱图(九十四)
图 10-280	水稻小淀粉粉分离谱图(九十五)
图 10-281	水稻小淀粉粉分离谱图(九十六)
图 10-282	水稻小淀粉粉分离谱图(九十七)
图 10-283	水稻小淀粉粉分离谱图(九十八)
图 10-284	水稻小淀粉粉分离谱图(九十九)
图 10-285	水稻小淀粉粉分离谱图(一百)

图 号	图 名
图 10-285	9 种萘蒽萝卜素标准样分离谱图
图 10-286	9 种萘蒽萝卜素标准样分离谱图
图 10-287	胡萝卜汁中萘蒽分离谱图
图 10-288	胡萝卜汁中萘蒽分离谱图
图 10-289	胡萝卜汁中萘蒽分离谱图
图 10-290	胡萝卜汁中萘蒽分离谱图
图 10-291	胡萝卜汁中萘蒽分离谱图
图 10-292	胡萝卜汁中萘蒽分离谱图
图 10-293	胡萝卜汁中萘蒽分离谱图
图 10-294	胡萝卜汁中萘蒽分离谱图
图 10-295	胡萝卜汁中萘蒽分离谱图
图 10-296	胡萝卜汁中萘蒽分离谱图
图 10-297	胡萝卜汁中萘蒽分离谱图
图 10-298	胡萝卜汁中萘蒽分离谱图
图 10-299	胡萝卜汁中萘蒽分离谱图
图 10-300	胡萝卜汁中萘蒽分离谱图
图 10-301	胡萝卜汁中萘蒽分离谱图
图 10-302	胡萝卜汁中萘蒽分离谱图
图 10-303	胡萝卜汁中萘蒽分离谱图
图 10-304	胡萝卜汁中萘蒽分离谱图
图 10-305	胡萝卜汁中萘蒽分离谱图
图 10-306	胡萝卜汁中萘蒽分离谱图
图 10-307	胡萝卜汁中萘蒽分离谱图
图 10-308	胡萝卜汁中萘蒽分离谱图
图 10-309	胡萝卜汁中萘蒽分离谱图
图 10-310	胡萝卜汁中萘蒽分离谱图
图 10-311	胡萝卜汁中萘蒽分离谱图
图 10-312	胡萝卜汁中萘蒽分离谱图
图 10-313	胡萝卜汁中萘蒽分离谱图
图 10-314	胡萝卜汁中萘蒽分离谱图
图 10-315	胡萝卜汁中萘蒽分离谱图
图 10-316	胡萝卜汁中萘蒽分离谱图
图 10-317	胡萝卜汁中萘蒽分离谱图
图 10-318	胡萝卜汁中萘蒽分离谱图
图 10-319	胡萝卜汁中萘蒽分离谱图
图 10-320	胡萝卜汁中萘蒽分离谱图
图 10-321	胡萝卜汁中萘蒽分离谱图
图 10-322	胡萝卜汁中萘蒽分离谱图
图 10-323	胡萝卜汁中萘蒽分离谱图
图 10-324	胡萝卜汁中萘蒽分离谱图
图 10-325	胡萝卜汁中萘蒽分离谱图
图 10-326	胡萝卜汁中萘蒽分离谱图
图 10-327	胡萝卜汁中萘蒽分离谱图
图 10-328	胡萝卜汁中萘蒽分离谱图
图 10-329	胡萝卜汁中萘蒽分离谱图
图 10-330	胡萝卜汁中萘蒽分离谱图
图 10-331	胡萝卜汁中萘蒽分离谱图
图 10-332	胡萝卜汁中萘蒽分离谱图
图 10-333	胡萝卜汁中萘蒽分离谱图
图 10-334	胡萝卜汁中萘蒽分离谱图
图 10-335	胡萝卜汁中萘蒽分离谱图
图 10-336	胡萝卜汁中萘蒽分离谱图
图 10-337	胡萝卜汁中萘蒽分离谱图
图 10-338	胡萝卜汁中萘蒽分离谱图
图 10-339	胡萝卜汁中萘蒽分离谱图
图 10-340	胡萝卜汁中萘蒽分离谱图
图 10-341	胡萝卜汁中萘蒽分离谱图
图 10-342	胡萝卜汁中萘蒽分离谱图
图 10-343	胡萝卜汁中萘蒽分离谱图
图 10-344	胡萝卜汁中萘蒽分离谱图
图 10-345	胡萝卜汁中萘蒽分离谱图
图 10-346	胡萝卜汁中萘蒽分离谱图
图 10-347	胡萝卜汁中萘蒽分离谱图
图 10-348	胡萝卜汁中萘蒽分离谱图
图 10-349	胡萝卜汁中萘蒽分离谱图
图 10-350	胡萝卜汁中萘蒽分离谱图
图 10-351	胡萝卜汁中萘蒽分离谱图
图 10-352	胡萝卜汁中萘蒽分离谱图
图 10-353	胡萝卜汁中萘蒽分离谱图
图 10-354	胡萝卜汁中萘蒽分离谱图
图 10-355	胡萝卜汁中萘蒽分离谱图
图 10-356	胡萝卜汁中萘蒽分离谱图
图 10-357	胡萝卜汁中萘蒽分离谱图
图 10-358	胡萝卜汁中萘蒽分离谱图
图 10-359	胡萝卜汁中萘蒽分离谱图
图 10-360	胡萝卜汁中萘蒽分离谱图
图 10-361	胡萝卜汁中萘蒽分离谱图
图 10-362	胡萝卜汁中萘蒽分离谱图
图 10-363	胡萝卜汁中萘蒽分离谱图
图 10-364	胡萝卜汁中萘蒽分离谱图
图 10-365	胡萝卜汁中萘蒽分离谱图
图 10-366	胡萝卜汁中萘蒽分离谱图
图 10-367	胡萝卜汁中萘蒽分离谱图
图 10-368	胡萝卜汁中萘蒽分离谱图
图 10-369	胡萝卜汁中萘蒽分离谱图
图 10-370	胡萝卜汁中萘蒽分离谱图
图 10-371	胡萝卜汁中萘蒽分离谱图
图 10-372	胡萝卜汁中萘蒽分离谱图
图 10-373	胡萝卜汁中萘蒽分离谱图
图 10-374	胡萝卜汁中萘蒽分离谱图
图 10-375	胡萝卜汁中萘蒽分离谱图
图 10-376	胡萝卜汁中萘蒽分离谱图
图 10-377	胡萝卜汁中萘蒽分离谱图
图 10-378	胡萝卜汁中萘蒽分离谱图
图 10-379	胡萝卜汁中萘蒽分离谱图
图 10-380	胡萝卜汁中萘蒽分离谱图
图 10-381	胡萝卜汁中萘蒽分离谱图
图 10-382	胡萝卜汁中萘蒽分离谱图
图 10-383	胡萝卜汁中萘蒽分离谱图
图 10-384	胡萝卜汁中萘蒽分离谱图
图 10-385	胡萝卜汁中萘蒽分离谱图

图 号	图 名	图 号	图 名
图 10-282	阴离子- $[B_3H_6]^{2-}$ 阴离子及其取代衍生物分离色谱	图 11-3	碱金属、碱土金属及过渡金属阳离子色谱图(一)
图 10-284	为烷烃化合物的分离谱图	图 11-4	阳离子表面活性剂梯度分离色谱图
图 10-285	芳香族甲酰胺分离谱图	图 11-5	6 种金属-氮化物衍生物优化分离色谱图
图 10-286	芳香族腈、腈分离谱图	图 11-6	8 种过渡金属离子金属标准溶液分离色谱图
图 10-287	有机硫基羧氧化物样品分离谱图	图 11-7	5 种金属氮化物衍生物优化分离色谱图
图 10-288	苯乙酮-甲氧基丁醇酯共混合物分离谱图	图 11-8	铜系元素分离色谱图
图 10-289	苯乙酮-甲氧基丁醇酯混合物的分离谱图	图 11-9	EDTA 预配合金属离子的反相 HPLC 分离谱图(pH3.3)
图 10-290	苯磺酸钠反应混合物样品谱图	图 11-10	EDTA 预配合金属离子的反相 HPLC 分离谱图(pH3.8)
图 10-291	芳香族的磺基化合物分离谱图	图 11-11	6 种金属阳离子分离色谱图
图 10-292	带有磺基基团的非离子表面活性剂的反相 HPLC 分析	图 11-12	$Ru(II)-$ 、 $Rh(III)-$ 、 $Co(II)-$ 和 $Cu(II)-$ PAN-55 配合物色谱图
图 10-293	染整剂分离谱图(一)	图 11-13	Viverone 剂水样分析色谱图
图 10-294	染整剂分离谱图(二)	图 11-14	8 种二价无机阳离子分离色谱图
图 10-295	染整剂分离谱图(三)	图 11-15	二价、三价金属阳离子分离色谱图(一)
图 10-296	片聚醇分离谱图	图 11-16	二价、三价金属阳离子分离色谱图(二)
图 10-297	标准-萘系化合物的分离谱图	图 11-17	二价、三价金属阳离子分离色谱图(三)
图 10-298	烷基苯及其衍生物(酯类)谱图	图 11-18	二价阳离子同时分离色谱图
图 10-299	烷基苯等族化合物分离谱图	图 11-19	土壤样品中乙酸胺提取色谱图
图 10-300	水和甲基苯在不同色谱柱上分离谱图	图 11-20	不锈钢样品(SPMG151)的 TAR 金属络合物分离色谱图
图 10-301	氧化染料染料分离谱图(一)	图 11-21	井水样品中过渡金属阳离子的色谱图
图 10-302	氧化染料染料分离谱图(二)	图 11-22	从 6 种普通阳离子中进行乙酸胺分离色谱图
图 10-303	烟草剂分离谱图(一)	图 11-23	从 6 种普通阳离子中进行等速分离色谱图
图 10-304	烟草剂分离谱图(二)	图 11-24	胺类、醚类、酯类中阳离子色谱图
图 10-305	胺类化合物在不同色谱柱上分离比较谱图	图 11-25	儿肌阳离子和二价阳离子色谱图
图 10-306	脂肪酸分离谱图(一)	图 11-26	以 PAR 作柱后反应试剂的过渡金属和稀土金属离子的分离谱图
图 10-307	脂肪酸分离谱图(二)	图 11-27	阳离子(以盐酸为洗脱剂)分离色谱图
图 10-308	脂肪酸及其羧乙基酯分离谱图	图 11-28	4 种有机化合物分离的阳离子交换色谱图
图 10-309	羧基染料分离谱图	图 11-29	市自来水样分析色谱图
图 10-310	烷基苯($C_{10}H_8$ 、 $C_{10}H_{10}$ 、 $C_{10}H_{12}$)分离谱图	图 11-30	用 H_2SO_4 为洗脱剂分离阳离子色谱图
图 10-311	烷基苯分离谱图	图 11-31	电导电极检测相对阳离子电洗脱色谱图
图 10-312	氧化甘氨酸分离谱图(pH2.0)	图 11-32	碱金属阳离子的快速分析色谱图
图 10-313	氧化甘氨酸分离谱图(pH7.0)	图 11-33	阳离子(在 C18 柱上以 NH_4OH 作为洗脱剂)的分离色谱图
图 10-314	氨基酸及其衍生物分离谱图(一)	图 11-34	阳离子(在 C18 柱上)的快速分析色谱图
图 10-315	氨基酸及其衍生物分离谱图(二)	图 11-35	6 种普通阳离子在两个胺基化合物固定相上分离色谱图
图 10-316	氨基酸分离谱图	图 11-36	6 种普通阳离子和乙醇胺在胺基柱上分离的梯度洗脱色谱图
图 10-317	烷基苯和烷基苯衍生物的分离谱图(一)	图 11-37	普通阳离子在磺基化合物固定相上分离色谱图
图 10-318	烷基苯和烷基苯衍生物的分离谱图(二)	图 11-38	阳离子阳离子分离影响谱图(洗脱剂包含 NH_4H_2O)
图 10-319	硫代羧基甲酯盐的分离谱图	图 11-39	过渡金属与碱土金属离子分离谱图
图 10-320	酮酸的分离谱图	图 11-40	过渡金属阳离子谱图
图 10-321	羧基化合物分离谱图	图 11-41	阳离子分离色谱图(一)
图 10-322	羧基化合物分离谱图	图 11-42	阳离子分离色谱图(二)
图 10-323	羧基化合物分离谱图	图 11-43	阳离子分离色谱图(三)
图 10-324	羧基化合物分离谱图	图 11-44	碱金属和碱土金属阳离子谱图
图 10-325	羧基化合物分离谱图		
图 10-326	羧基化合物分离谱图		
图 11-1	未处理的浓缩盐酸(a)与处理过的浓缩盐酸(b)色谱图		
图 11-2	碱金属、碱土金属及过渡金属阳离子色谱图(一)		

图 号	图 名	图 号	图 名
图11-45	阴树脂离子同时分离色谱图	图11-91	铜系元素分离色谱图
图11-46	阴树脂离子同时分离和EDTA控制色谱图	图11-92	铜系元素和过硫酸铜离子分离色谱图
图11-47	阴树脂处理厂入口液中过硫酸铜离子分离色谱图	图11-93	14种阴离子分离色谱图
图11-48	阴树脂处理厂出口液中过硫酸铜离子分离色谱图	图11-94	14种阴离子容量梯度分离色谱图(一)
图11-49	阴树脂离子-金属络合物分离色谱图	图11-95	14种阴离子容量梯度分离色谱图(二)
图11-50	二价、一价金属离子分离色谱图	图11-96	8种阴离子在水中(1x)和20000 μg·l ⁻¹ 硫酸盐中(6x)分离色谱图
图11-51	碱土金属、过硫酸铜和过硫酸铜离子分离色谱图	图11-97	7种阴离子分离色谱图
图11-52	芹菜叶中阴离子分离色谱图	图11-98	8种阴离子分离色谱图
图11-53	铁价和二价离子分离色谱图	图11-99	15种阴离子分离色谱图
图11-54	乙酸的单柱离子色谱分离色谱图	图11-100	4种阴离子分离色谱图
图11-55	铁价和二价阳离子的单柱离子色谱图(1x分离谱图)	图11-101	3种阴离子分离色谱图
图11-56	铁价和二价阳离子的单柱离子色谱图(同时分离谱图(二))	图11-102	CO ₃ ²⁻ -HCO ₃ ⁻ 流动相和阴离子交换选择性的影响色谱图
图11-57	金属-EDTA络合物分离色谱图(一)	图11-103	Se-标准样阴离子交换色谱图
图11-58	金属-EDTA络合物分离色谱图(二)	图11-104	Se-阴离子交换色谱图
图11-59	金属内3-种多种络合物谱图	图11-105	二种加入阴树脂离子交换选择性的影响
图11-60	金属中标准样品反相分离谱图	图11-106	7种硫的氧化阴离子混合物谱图
图11-61	金属氧化络合物分离色谱图	图11-107	二价和一价硫的氧化阴离子的分离谱图
图11-62	金属-氧化物络合物分离色谱图(一)	图11-108	10种阴离子在水(1x)和20000 μg·l ⁻¹ 氯化物中(6x)分离色谱图
图11-63	金属-氧化物络合物分离色谱图(二)	图11-109	无机阴离子分离色谱图(一)
图11-64	标准金属离子混合样品谱图	图11-110	无机阴离子分离色谱图(二)
图11-65	标准金属氧化物和6种金属氧化物络合物谱图	图11-111	无机阴离子分离色谱图(三)
图11-66	通过石英砂中硫酸土元素分离谱图	图11-112	无机阴离子分离色谱图(四)
图11-67	重金属离子分析色谱图	图11-113	无机和有价离子分离谱图
图11-68	果酱河水色谱图	图11-114	无机和有价阴离子梯度洗脱色谱图
图11-69	通过柱切换分离无机阴离子的谱图	图11-115	无机阴离子(收集NO ₃ ⁻ , SO ₄ ²⁻ 和HCl ⁻ 之后)的谱图(一)
图11-70	通过柱切换分离6种普通阴离子的色谱图	图11-116	无机阴离子(收集NO ₃ ⁻ , SO ₄ ²⁻ 和HCl ⁻ 之后)的谱图(二)
图11-71	高纯度K ⁺ 与低纯度Na ⁺ 分离色谱图	图11-117	无机阴离子和硫酸根离子分离谱图(一)
图11-72	高纯度乙醇胺与低纯度Na ⁺ 分离色谱图	图11-118	无机阴离子和硫酸根离子分离谱图(二)
图11-73	高能力弱酸丙酰胺(DexGel SXX)阴离子交换剂分离二价和三价阴离子分离色谱图	图11-119	无机阴离子和硫酸根离子分离谱图(三)
图11-74	百草枯金属和碱土金属离子分离谱图(一)	图11-120	亚硫酸 ²⁻ 分离无机阴离子色谱图
图11-75	普通碱金属和碱土金属离子分离谱图(二)	图11-121	水中阴离子分离色谱图
图11-76	氯化铵分离分离色谱图	图11-122	以对羟基苯甲酸为洗脱剂的阴离子分离色谱图
图11-77	钙元素分离分离谱图(一)	图11-123	以对羟基苯甲酸为洗脱剂的标准阴离子分离色谱图
图11-78	钙元素分离分离谱图(二)	图11-124	以苯二甲酸为洗脱剂的标准阴离子分离色谱图
图11-79	等度分离单价、二价无机阴离子谱图	图11-125	以苯二甲酸为洗脱剂的标准阴离子混合物分离色谱图
图11-80	碱金属、碱土金属和过硫酸铜离子混合物分离色谱图	图11-126	以琥珀酸为洗脱剂的阴离子分离色谱图
图11-81	碱土金属和过硫酸铜离子混合物分离色谱图	图11-127	以琥珀酸-他洛酸为洗脱剂的标准阴离子混合物分离色谱图
图11-82	碱土金属离子分离色谱图	图11-128	以磷酸氢盐-磷酸盐为洗脱剂的阴离子分离色谱图
图11-83	碱金属、碱土金属和过硫酸铜离子分离色谱图	图11-129	以草酸-他洛酸为洗脱剂的标准阴离子混合物分离色谱图
图11-84	碱金属、碱土金属和有价阴离子分离色谱图	图11-130	加入到纯净水中氯的氧化阴离子谱图
图11-85	碱金属阴离子谱图	图11-131	去离子水中普通阴离子和DMPA/MPA混合物的谱图
图11-86	碱金属和碱土金属同时分离色谱图(一)		
图11-87	碱金属和碱土金属同时分离色谱图(二)		
图11-88	碱金属离子谱图		
图11-89	碱金属氧化物分离色谱图		

图 号	图 名	图 号	图 名
图11-132	对氨基苯酚加入对阴离子交换选择性影响色谱图	图11-177	乙苯苯胺和二甲基苯胺离子对色谱图
图11-133	用 NaOH 作洗脱剂分离自来水中的阴离子色谱图	图11-178	11种苯胺酚胺和羧酸磺胺混合物色谱图
图11-134	用含有甲酸的洗脱剂分离自来水中阴离子色谱图	图11-179	14种苯胺酚胺和羧酸磺胺混合物色谱图
图11-135	阴离子分离色谱图	图11-180	不同浓度洗脱剂上苯甲酸和苯酚离子对色谱图
图11-136	台氏试剂阴离子分离色谱图	图11-181	与 OPA 衍生化后的苯胺酚胺的分离谱图
图11-137	在 PS-DVB + 叔胺树脂上无机离子分离色谱图	图11-182	6种含砷砷离子对的反相色谱分离谱图
图11-138	在 UV 吸收剂上阳离子用试剂存在下阴离子分离色谱图	图11-183	一、二、三磺化(S15)-2,4-双(2-苯基)戊烷衍生物分离色谱图
图11-139	在示色剂柱上单柱分离上机阴离子色谱图	图11-184	用不同检测器得到砷的反相色谱图
图11-140	在乙酸基和甲酸基存在下阴离子分离色谱图	图11-185	绿脉杆菌外膜蛋白 DPAE 离子交换色谱图
图11-141	在流动相中快速分离无机阴离子色谱图	图11-186	半苯胺分离色谱图
图11-142	在高浓度磷酸盐化合物中低浓度阴离子分离色谱图	图11-187	鸟苷和腺苷衍生物离子交换色谱图
图11-143	在紫外吸收剂上相互作用试剂下阴离子分离色谱图	图11-188	在 ProEx DPAE 固定相上人类血红蛋白整体分离色谱图
图11-144	阴离子交换树脂的分离阴离子交换色谱图	图11-189	在 ProEx-DPAE 固定相上标准蛋白质混合图分离色谱图
图11-145	阴离子快速分离色谱图	图11-190	在 ProEx-SF 固定相上阳离子色素(物种鉴别)分离色谱图
图11-146	阴离子快速分离色谱图	图11-191	在 Tskgel OAS-PakA 柱上阴离子苯胺和苯酚的色谱图
图11-147	阴离子快速分离色谱图	图11-192	在水中过氧化物氧化生成黄色谱图
图11-148	由比例分离色谱图	图11-193	有机酸分离色谱图(一)
图11-149	在亲水性化合物中无机离子分离色谱图	图11-194	有机酸分离色谱图(二)
图11-150	阴离子分离色谱图	图11-195	有机酸分离色谱图(三)
图11-151	芳香族阴离子的交换分离色谱图	图11-196	有机酸分离色谱图(四)
图11-152	具有不同阴离子的分离色谱图	图11-197	有机酸分离色谱图(五)
图11-153	固定相组成对阴离子交换选择性影响色谱图	图11-198	阴离子交换树脂反相色谱分析头孢菌素和β-二酮类化合物谱图
图11-154	固定相组成对有机阴离子分离选择性影响色谱图	图11-199	由红蛋白类化合物分离色谱图
图11-155	在水相中阴离子分离色谱图	图11-200	青霉素钠磺酸盐标准品甲氧基磺酸盐(C ₁)到1-四烷基磺酸盐(C ₁₄)色谱图
图11-156	离子交换树脂对阴离子交换选择性影响色谱图	图11-201	阿莫西林(a)、苯基酚(b)和苯基草酸(c)色谱图
图11-157	常用洗脱剂比较谱图	图11-202	苯基酚和苯基草酸分离谱图
图11-158	普通上柱阴离子和 LMPA/MPA 分离色谱图	图11-203	苯基酚和苯基草酸分离谱图
图11-159	固定相组成对阴离子交换选择性影响谱图	图11-204	苯基酚和苯基草酸分离谱图
图11-160	固定相组成对阴离子交换选择性影响谱图	图11-205	苯基酚和苯基草酸分离谱图
图11-161	特殊的分离水色谱图	图11-206	苯基酚和苯基草酸分离谱图
图11-162	在水相中微量阴离子色谱图	图11-207	苯基酚和苯基草酸分离谱图
图11-163	在炉膛废气中含氧苯胺离子色谱图	图11-208	苯基酚和苯基草酸分离谱图
图11-164	在炉膛废气中 Cl ⁻ 和含氧苯胺离子色谱图	图11-209	苯基酚和苯基草酸分离谱图
图11-165	新固定相分析自来水的色谱图	图11-210	阿莫西林类药物分离谱图(一)
图11-166	阴离子分离色谱图	图11-211	阿莫西林类药物分离谱图(二)
图11-167	阴离子分离色谱图	图11-212	阿莫西林类药物分离谱图
图11-168	阴离子分离色谱图	图11-213	阿莫西林类药物分离谱图
图11-169	5-羧基荧光素标记 HIV PVR 产品的离子对色谱图	图11-214	阿莫西林类药物分离谱图
图11-170	18种苯胺、羧酸磺胺分离色谱图		
图11-171	CO ₂ 浓度对反相色谱分离的影响谱图	图12-1	1-硝基苯胺的分离色谱图
图11-172	DVB 衍生化标准样品反相色谱图	图12-2	1,2-H ₂ 标准品色谱图
图11-173	阴离子分离色谱图	图12-3	小分子色谱图
图11-174	PCR 产品常规分析的快速分离以及衍生化色谱图	图12-4	C ₁₀ 、C ₁₂ 分离色谱图
图11-175	pH 对反相色谱分离效果影响谱图	图12-5	在 100% MeCN 中的分离色谱图
图11-176	硝化氢基酸分离谱图	图12-6	在 100% MeCN 中的分离色谱图

图 号	图 名	图 号	图 名
图12-7	大庆催化裂化柴油分离色谱图	图12-64	给酯酶粗制剂分离的色谱图
图12-8	马明峰分离色谱图	图12-65	18种氨基酸在 HW-475 柱上的色谱图
图12-9	甲苯、苯甲酸、苯酚等的正相色谱图	图12-66	SMD 样品的 GPC 图
图12-10	砒及其相关化合物分离色谱图	图12-67	小分子氨基酸盐与氨基酸羧酸盐分离色谱图
图12-11	多环芳烃化合物分离色谱图	图12-68	顶胶原胶色谱图
图12-12	多肽分离色谱图	图12-69	卵清蛋白与猪肝等分离色谱图
图12-13	正构烷烃(C_{10} ~ C_{28})的柱上 HPLC-GC 联用分析色谱图	图12-70	口香胶色谱图
图12-14	有机磷化合物谱图	图12-71	羟丙基甲壳素色谱图
图12-15	反草酸的色谱图	图12-72	二胺基邻苯二甲酸酐和邻基苯人工合成物分离色谱图
图12-16	取代苯及其衍生物色谱图	图12-73	不同来源蛋白质色谱图
图12-17	硫和氮化合物色谱图	图12-74	海藻酸钠在不同离子强度下的凝胶电泳色谱图
图12-18	糖化及相关化合物的色谱图	图12-75	羟甲基树脂不同合成阶段的 GPC 谱图
图12-19	苯胺肟及其衍生物色谱图(一)	图12-76	巴豆毒蛋白在硅胶柱上的分离谱图
图12-20	苯胺肟及其衍生物色谱图(二)	图12-77	蛋白膜分离的色谱图
图12-21	苯胺类化合物正相分离色谱图	图12-78	以蛋白质 A 为配基的凝胶柱上 HPLC 分离谱图
图12-22	短交联样品分离谱图	图12-79	苋菜种子粗提液在强阳离子交换柱上的分离谱图
图12-23	肌内注射用肌内注射物色谱图	图12-80	羧乙基纤维素色谱分离谱图
图12-24	邻、间、对甲苯磺酰胺分离色谱图	图12-81	核壳树脂光导分离产物分离色谱图
图12-25	阿魏酸二十二烷酯分离色谱图	图12-82	核壳树脂分离物分离色谱图(一)
图12-26	高介了富勒烯的分离谱图	图12-83	核壳树脂分离物分离色谱图(二)
图12-27	空心球分离色谱图	图12-84	核壳树脂的筛网分离色谱图
图12-28	蜡蜡/白油分离色谱图	图12-85	苯乙炔衍生物及其产物的体积排阻色谱图(一)
图12-29	重质石油中多环的 HPLC-GC 联用分析谱图	图12-86	苯乙炔衍生物及其产物的体积排阻色谱图(二)
图12-30	轻质石油中饱和烃的 HPLC-GC 联用分析谱图	图12-87	卵蛋白水解产物酶消化谱图色谱图
图12-31	重质石油中胺类组成的 HPLC 联合反相谱图分析	图12-88	蛋白质酶消化谱图-凝胶电泳分离谱图
图12-32	轻质石油中极性化合物的 HPLC-GC 联用分析谱图	图12-89	海藻酸钠的凝胶色谱图
图12-33	原油油质为组分在 Ag-SCX 柱上的分离色谱图	图12-90	脱氧核糖核酸的排阻色谱图
图12-34	混合乳油“草敌”中灭草松和 2,4-滴丁酯分离色谱图	图13-1	核开及核开酸混合样品分离色谱图
图12-35	磷酸甘油分离色谱图	图13-2	1',3'-和环2',3'-磷酸核苷酸分离色谱图
图12-36	人血浆过氧化脂质体膜脂质分离色谱图	图13-3	Ehrlich 试剂水相脂悬液提液中核开酸分离色谱图
图12-37	植物油酸柱 HPLC-GC 联用分析色谱图	图13-4	13种氨基酸核开酸离子对色谱图
图12-38	α -, β -, γ -庚氨酸的色谱图	图13-5	30种氨基酸(FMOX 衍生化)色谱图
图12-39	α -氨基酸与二肽混合物分离谱图	图13-6	血清蛋白组分的样品中 5,6-二羟丙酮磷酸衍生物分离色谱图
图12-40	高沸点油中芳烃分布色谱图	图13-7	DNA 碎片分离色谱图
图12-41	卵清蛋白与聚苯乙烯分离色谱图	图13-8	ATP 及相关化合物分离色谱图
图12-42	5% 肽的高效率色谱图	图13-9	二胺标准物色谱图
图12-43	SMD 的色谱图	图13-10	人血清核开酸分离色谱图
图12-44	人血清蛋白制剂分离谱图	图13-11	人血清蛋白分离色谱图
图12-45	人体生长激素与抗体的色谱图(一)	图13-12	人血清胰岛素分离色谱图(一)
图12-46	人体生长激素与抗体的色谱图(二)	图13-13	人血清胰岛素分离色谱图(二)
图12-47	粗酶液(Ca , Zn , SO_4)的 DPAF-52 色谱图	图13-14	人体生长激素分离色谱图
图12-48	生长激素的色谱图	图13-15	人体核开酸与合成底 Asp ¹ Al ¹ -9 分离色谱图
图12-49	非饱和脂肪酸酯分离色谱图	图13-16	3种核开酸在血浆(FMOX 衍生化)色谱图
图12-50	食品碱性磷酸酯酶和分离色谱图	图13-17	胰岛素、肝胰岛素和胰岛素 A 分离色谱图(一)
图12-51	粗酶液(1.0^2 Sepharose 4B)色谱图		
图12-52	蛋白水解液的分离谱图		
图12-53	除菌液分离色谱图		

图 号	图 名	图 号	图 名
图 13-18	胰酪胨、葡萄糖胺和核糖核酸酶 A 分离色谱图(一)	图 13-66	腺苷三磷酸及其降解产物分离色谱图
图 13-19	胰酪胨/核糖核酸酶部分酶水解色谱图(一)	图 13-67	双葡萄糖基的在线电化学衍生化分离色谱图
图 13-20	胰酪胨/核糖核酸酶部分酶水解色谱图(二)	图 13-68	(-)-/-)-10-樟脑磺酸衍生物色谱图
图 13-21	牛奶的二氢甲烧萃取物分离色谱图	图 13-69	(-)-/-)-N- α -BOC-苯丙氨酸衍生物分离色谱图
图 13-22	牛血清蛋白混合物分离色谱图	图 13-70	(-)-/-)-4-(5S)-5-羧基甲酸的相对构型异构体分离色谱图
图 13-23	牛血清蛋白混合物分离色谱图	图 13-71	(±)-1A-5-羧基丙氨酸分离色谱图
图 13-24	人血清蛋白分离色谱图	图 13-72	(R,S)-阿普洛芬分离色谱图
图 13-25	正常人尿样中核苷分离色谱图(一)	图 13-73	[μ -3H-Ph $^{2+}$]-k $^{+}$ -diphosphate 非对称性色谱图
图 13-26	正常人尿样中核苷分离色谱图(二)	图 13-74	左旋丙氨酸及其代谢物的色谱图
图 13-27	鸡胚水溶液中氨基酸色谱图	图 13-75	2,3,4,5,6-五羧基-2,3,4,5-二羧基丙二酸 1,3-二羧基-5-羧基(Bin)对映体分离色谱图
图 13-28	山茱萸中 3'-羧基-5'-羧基核苷色谱图	图 13-76	3-羧基丙氨酸和 3,5-二羧基丙氨酸对映体分离色谱图
图 13-29	合成小肽用离子交换色谱分离色谱图	图 13-77	4-羧基-DL- α -氨基葡萄糖的对映体分离色谱图
图 13-30	HGE 重组体和肌酐酰胺类异构体重组体初离子分离色谱图	图 13-78	2-反,11-顺- α , β -不饱和脂肪酸色谱图
图 13-31	血清中固醇类化合物分离色谱图	图 13-79	BA 反式二羧基二羧基反相分离色谱图
图 13-32	血清中神经酰胺类分离色谱图	图 13-80	D,L-肾上腺素的色谱图
图 13-33	鸡蛋白蛋白分离色谱图	图 13-81	1-色氨酸衍生物色谱图
图 13-34	尿样中(葡萄糖)色谱图	图 13-82	1,2-糖基-2,3-二羧基二羧基对映体分离色谱图
图 13-35	肝细胞人肝细胞分离色谱图	图 13-83	开链氨基酸-D,L-氨基酸衍生物分离色谱图
图 13-36	MMA 混合物分离色谱图	图 13-84	2-种-2-羧基-2-羧基异构体分离色谱图
图 13-37	核苷酸分离色谱图(一)	图 13-85	伊布利特对映体外消旋化色谱图
图 13-38	核苷酸分离色谱图(二)	图 13-86	甘氨酸甲酯的手性分离色谱图
图 13-39	核苷酸分离色谱图(三)	图 13-87	除虫菊酯对映体异构体分离色谱图
图 13-40	核苷酸、核苷分离色谱图(一)	图 13-88	多环芳烃异构体分离色谱图
图 13-41	核苷酸、核苷分离色谱图(二)	图 13-89	布洛芬手性异构体分离色谱图
图 13-42	核苷酸分离色谱图	图 13-90	2-[2,3-二羧基-2-羧基(酸)]-4-(4-羧基苯基)丙酸
图 13-43	氨基酸标准品分离色谱图	图 13-91	α -羟基酸外消旋体异构体分离色谱图(一)
图 13-44	氨基酸标准品分离色谱图(CPA 衍生化)色谱图	图 13-92	α -羟基酸外消旋体异构体分离色谱图(二)
图 13-45	铁氧还蛋白 NADP 还原酶分离色谱图	图 13-93	β -H $^{2+}$ 对映体分离色谱图
图 13-46	上孔阳离子交换树脂快速分析蛋白质谱图	图 13-94	β -甲基化氨基酸的 D,L-异构体和 D,L-异构体分离色谱图
图 13-47	氨基酸分离色谱图(一)	图 13-95	β -甲基化氨基酸的 1-羧基-2,3-二羧基-5-羧基-丙氨酸衍生物分离色谱图
图 13-48	氨基酸分离色谱图(二)	图 13-96	丁基异构物、三羧基异构物和甲基异构物反相 LC 分离色谱图
图 13-49	氨基酸分离色谱图	图 13-97	丁基二羧基二羧基异构体分离色谱图
图 13-50	标准蛋白混合物分离色谱图	图 13-98	外消旋 R $^{2+}$ /R $^{2+}$ 对映体的分离色谱图
图 13-51	蛋白质的多孔和九孔疏水作用柱分离色谱图	图 13-99	二肽 A $^{2+}$ -P $^{2+}$ 分离色谱图
图 13-52	蛋白质的多孔和九孔疏水作用柱分离色谱图	图 13-100	苯基异丙基酯衍生物分离色谱图(一)
图 13-53	蛋白质的多孔和九孔疏水作用柱分离色谱图	图 13-101	苯基异丙基酯衍生物分离色谱图(二)
图 13-54	蛋白质的多孔和九孔疏水作用柱分离色谱图	图 13-102	11种 PAH 同分异构体分离色谱图
图 13-55	蛋白质的多孔和九孔疏水作用柱分离色谱图	图 13-103	联苯异构及其衍生物同分异构体分离色谱图
图 13-56	蛋白质的多孔和九孔疏水作用柱分离色谱图	图 13-104	不同色谱柱上胡萝卜素分离色谱图
图 13-57	蛋白质的多孔和九孔疏水作用柱分离色谱图	图 13-105	与三羧乙酸衍生物化的前体 I 及其荧光同系物分离色谱图(一)
图 13-58	蛋白质的多孔和九孔疏水作用柱分离色谱图	图 13-106	与三羧乙酸衍生物化的前体 I 及其荧光同系物分离色谱图(二)
图 13-59	蛋白质的多孔和九孔疏水作用柱分离色谱图	图 13-107	与三羧乙酸衍生物化的前体 I 及其荧光同系物分离色谱图(三)
图 13-60	蛋白质的多孔和九孔疏水作用柱分离色谱图	图 13-108	与三羧乙酸衍生物化的前体 I 及其荧光同系物分离色谱图

图 号	图 名	图 号	图 名
图13-109	11a 反应 (a) 和 11b 反应 (b) 的二氢二酐对映体的分离色谱图	图14-19	水溶性材料的 SEC 分离谱图
图13-110	外消旋庚二酸的 LC 分离色谱图	图14-20	内消旋和降丙炔基的 SEC 分离谱图
图13-111	苯丙氨酸的离子对拆分色谱图	图14-21	外消旋二乙基琥珀酸的 SEC 分离谱图
图13-112	苯基 [α]-萘反应-10-11-二氢二酐和苯基 [α]-萘反应-2,4-二氢二酐的相分离色谱图	图14-22	外消旋丙二酸酐的 SEC 分离谱图
图13-113	甘氨酸二肽对映体的拆分色谱图	图14-23	对映体的 SEC 分离谱图 (一)
图13-114	分子烙印于性固定相对活性氨基酸的手性拆分色谱图	图14-24	对映体的 SEC 分离谱图 (二)
图13-115	胡萝卜萃取物色谱图	图14-25	对映体的 SEC 分离谱图 (三)
图13-116	色氨酸苯胺酯中由苄胺基的分离色谱图	图14-26	正构烷烃 (C ₁₀ ~C ₁₁) 的 SEC 分离谱图 (一)
图13-117	花生油中至多萜类化合物的分离色谱图	图14-27	正构烷烃 (C ₁₂ ~C ₁₃) 的 SEC 分离谱图 (二)
图13-118	单胺类酯及其代谢产物的色谱图	图14-28	正烷基苯同系物 SEC (a) 和正相 LC (b) 分离谱图
图13-119	N-叔丁基-β-萘基-α-萘基丙氨酸对映体的拆分色谱图	图14-29	正烷基醇的 SEC 分离谱图
图13-120	氨基酸手性拆分色谱图	图14-30	玉米油的 SEC 分离谱图
图13-121	硫酸反相柱上 5 种外消旋氨基酸的分离色谱图	图14-31	甘油的 SEC 分离谱图
图13-122	胆固醇及其氧化产物的色谱图 (一)	图14-32	生物碱的 SEC 分离谱图
图13-123	胆固醇及其氧化产物的色谱图 (二)	图14-33	用 HPLC 分离氨基酸对映体的 SEC 谱图
图13-124	胡萝卜素的异构体色谱图	图14-34	2-甲基苯和联苯的 CD 和反相 LC (a) 和 SEC (b) 分离谱图
图13-125	胡萝卜萃取物不同条件超临界色谱图比较	图14-35	甲基苯基胺 (平均相对分子量 400~700) 的 SEC 分离谱图
图13-126	所生成的衍生物有差异的分离色谱图	图14-36	石蜡的 SEC 分离谱图
图13-127	氨基酸衍生物产物的色谱图	图14-37	亚硝胺类化合物的 SEC 分离谱图
图13-128	旋光去甲肾上腺素色谱图	图14-38	多环芳烃的 SEC 分离谱图
图13-129	旋光性叔丁醇的色谱图	图14-39	多环芳烃的 SEC 分离谱图
图13-130	消旋物 N,N'-1,2-乙二胺基丙氨酸-乙酸的分离色谱图	图14-40	多聚芳烃的 SEC 分离谱图
图13-131	马来酸酯分离色谱图	图14-41	杀虫剂的 SEC 分离谱图 (一)
图13-132	消旋 1 分离 α-, m- 和 p-NO ₂ 取代的酚反异构体的色谱图	图14-42	杀虫剂的 SEC 分离谱图 (二)
图13-133	噻利奈尔对映体的分离谱图	图14-43	杀虫剂混合物的 SEC 分离谱图
图14-1	(±) 庚二酸二酐的 SEC 分离谱图	图14-44	自由脂肪酸的 SEC 分离谱图 (一)
图14-2	<D 柱上> 庚二酸二酐 SEC (a) 和正相 LC (b) 分离色谱图	图14-45	自由脂肪酸的 SEC 分离谱图 (二)
图14-3	3,5-二硝基酚的 SEC 分离谱图	图14-46	自由脂肪酸的 SEC 分离谱图 (三)
图14-4	PAHs 的 SEC 分离谱图	图14-47	咪唑啉类化合物的 SEC 分离谱图
图14-5	一些极性非衍生物正相 LC (a) 和 SEC (b) 分离谱图	图14-48	安定类药物的 SEC 分离谱图
图14-6	乙氧基糖基醇-三甲基硅基化合物的 SEC 分离谱图	图14-49	含铜化合物的 SEC 分离谱图
图14-7	乙酰胺和苯胺的 SEC 分离谱图 (一)	图14-50	含磷多元芳香烃的 SEC 分离谱图
图14-8	乙酰胺和苯胺的 SEC 分离谱图 (二)	图14-51	极性差别较大化合物的 SEC 分离谱图
图14-9	乙酰胺和苯胺的 SEC (a) 和 LC (b) 分离谱图	图14-52	极性混合物的 SEC 分离谱图
图14-10	二、三-正烷烃的 SEC 分离谱图	图14-53	芳香族化合物的 SEC 分离谱图 (一)
图14-11	二异丙基酯混合物的 SEC 分离谱图	图14-54	芳香族化合物的 SEC 分离谱图 (二)
图14-12	三甘油的 SEC 分离谱图	图14-55	生物碱的 SEC 分离谱图
图14-13	三甲苯二胺的 SEC 分离谱图	图14-56	酚类化合物的 SEC (正相柱) 分离谱图
图14-14	三硝基甲苯类化合物的 SEC 分离谱图	图14-57	酚类化合物的 SEC (毛细管柱) 分离谱图
图14-15	不同种脂肪酸的 SEC 分离谱图	图14-58	酚类化合物的 SEC 分离谱图 (一)
图14-16	5 种 FMOC-氨基酸的 SEC 分离谱图	图14-59	酚类化合物的 SEC 分离谱图 (二)
图14-17	天然蜡组分的 SEC 分离谱图	图14-60	酚类化合物的 SEC 分离谱图 (三)
图14-18	巴比妥酸盐的 SEC 分离谱图	图14-61	直链饱和脂肪酸的 SEC 分离谱图
		图14-62	苯乙酮、苯酚和正二十烷的 SEC 分离谱图 (一)
		图14-63	苯乙酮、苯酚和正二十烷的 SEC 分离谱图 (二)
		图14-64	苯乙酮、苯酚和正二十烷的 SEC 分离谱图 (三)

图 号	图 名	图 号	图 名
图 14-65	苯 胺的 SEC 分离谱图	图 14-113	苯二甲基硅烷(平均相对分子质量为 270)的 SEC 分离谱图
图 14-66	苯并呋喃类化合物的 SEC 分离谱图(一)	图 14-114	假肉桂酸标准、叔丁基二甲苯并呋喃的 SEC 分离谱图
图 14-67	苯并呋喃类化合物的 SEC 分离谱图(二)	图 14-115	假肉桂酸加剂的 SEC 分离谱图
图 14-68	% 羧基酰胺化合物的 SEC 分离谱图	图 14-116	庚苯乙炔 5050 的 SEC 分离谱图
图 14-69	羧基化合物的 SEC 分离谱图(一)	图 14-117	非木质类化合物的 SEC 分离谱图(一)
图 14-70	苯胺类化合物的 SEC 分离谱图(二)	图 14-118	木质类化合物的 SEC 分离谱图(二)
图 14-71	苯胺的 SEC 分离谱图	图 14-119	酸酐类的 SEC 分离谱图
图 14-72	表面活性剂的 SEC 分离谱图	图 14-120	碱性氨基酸的 SEC 分离谱图
图 14-73	非对称性氨基酸甲酯的 SEC 分离谱图	图 14-121	羧基化合物的 SEC 分离谱图(一)
图 14-74	非衍生化氨基酸 Tyr 和 Trp 的 SEC 分离谱图	图 14-122	羧基化合物的 SEC 分离谱图(二)
图 14-75	单糖类的 HPL 分离谱图	图 14-123	0.01 mol/L DMSO 介质中离子迁移距离与电子斥力关系图
图 14-76	非衍生化氨基酸化合物的 SEC 分离谱图	图 14-124	0.1 mol/L 柠檬酸介质中离子迁移距离与电子斥力关系图
图 14-77	核苷的 SEC 分离谱图(一)	图 14-125	0.10 mol/L 一酒石酸介质中离子迁移距离与电子斥力关系图
图 14-78	核苷的 SEC 分离谱图(二)	图 14-126	二氯乙酰基类化合物(R-2-THO)的 TLC 图
图 14-79	核苷类化合物的 SEC 分离谱图	图 14-127	二氯乙酰基与羧基成酯的 TLC 图
图 14-80	核苷的 SEC 分离谱图(一)	图 14-128	丁酸长链羧基类物质的 TLC 图
图 14-81	核苷的 SEC 分离谱图(二)	图 14-129	川白芷的 TLC 图
图 14-82	糖、反式异构体正相 LC(a)和 SEC(b,c)分离谱图	图 14-130	川芎上挥发油类物质的 TLC 图
图 14-83	萘基类化合物的 SEC 分离谱图	图 14-131	山黄精中木脂素的 TLC 图
图 14-84	萘基中羧基类化合物的 SEC 分离谱图	图 14-132	从干姜中分离出的木脂素的 TLC 扫描图
图 14-85	脂肪酸分析色谱图	图 14-133	天仙子鉴别 TLC 图
图 14-86	萘基苯甲酸的 SEC 分离谱图	图 14-134	中药徐长卿、丁香粉 TLC 图
图 14-87	萘基和肉桂油的 SEC 分离谱图	图 14-135	中药马兜铃的 TLC 图
图 14-88	萘基中甘油酯的 SEC 分离谱图	图 14-136	川藟味药类物质的 TLC 图
图 14-89	萘基的 SEC 分离谱图	图 14-137	冬麻首乌八混的 110H 薄层内变化图
图 14-90	萘基化合物的 SEC 分离谱图	图 14-138	五味子及其制剂中五味子乙素的 TLC 图
图 14-91	萘基化合物的 SEC 分离谱图	图 14-139	亚麻子油中脂肪酸酯的 TLC 图
图 14-92	萘基化合物的 SEC 分离谱图(一)	图 14-140	四线异烟碱的 TLC 图
图 14-93	萘基化合物的 SEC 分离谱图(二)	图 14-141	四环素类抗生素的 TLC 图
图 14-94	萘基-2-萘基化合物的 SEC 分离谱图	图 14-142	四环素类物质的 TLC 图
图 14-95	有机氮化合物的 SEC 分离谱图	图 14-143	M 型水杨基亮氨酸盐金属配合物的 TLC 图
图 14-96	萘基二甲苯的 SEC 分离谱图	图 14-144	环己烷、咖啡因等物质的 TLC 图
图 14-97	萘基类化合物的 SEC 分离谱图	图 14-145	肉桂中肉桂酸酯的 TLC 图
图 14-98	萘基类化合物的 SEC 分离谱图	图 14-146	血中肝素及肝素定的 TLC 图
图 14-99	萘基类化合物的 SEC 分离谱图(一)	图 14-147	过氧金属离子的 TLC 图(一)
图 14-100	萘基类化合物的 SEC 分离谱图(二)	图 14-148	过氧金属离子的 TLC 图(二)
图 14-101	萘基类化合物的 SEC 分离谱图(三)	图 14-149	阿片生物碱的 TLC 图
图 14-102	萘基类化合物的 SEC 分离谱图(四)	图 14-150	花柳及巴氏美莱菌的 TLC 图
图 14-103	萘基的 SEC 分离谱图	图 14-151	利福平胶囊的 TLC 图
图 14-104	萘基二甲苯和三萜类化合物分离谱图	图 14-152	红霉素类物质的双向 TLC 图
图 14-105	萘基二甲苯和三萜类化合物的 SEC 分离谱图	图 14-153	萘基的 TLC 图
图 14-106	萘基的 SEC 分离谱图	图 14-154	两种子性药物的 TLC 图
图 14-107	萘基和萘基的 SEC 分离谱图(一)	图 14-155	肾上腺皮质激素类的 TLC 图
图 14-108	萘基和萘基的 SEC 分离谱图(二)	图 14-156	利福平胶囊的 TLC 图
图 14-109	萘基类化合物的 SEC 分离谱图	图 14-157	有机酸混合物标准液的 2D-TLC 图
图 14-110	萘基二甲苯的 SEC 分离谱图	图 14-158	依托泊苷原料药的 TLC 图
图 14-111	萘基二甲苯的 SEC 分离谱图	图 14-159	果糖二磷酸与葡萄糖酸盐的 TLC 图
图 14-112	萘基二甲苯(平均相对分子质量为 400~700)的 SEC 分离谱图		

图 号	图 名	图 号	图 名
图14-160	金水宝胶囊的 TLC 图	图14-210	动物尿囊液的 TLC 图(一)
图14-161	金银花的 TLC 图	图14-211	动物尿囊液的 TLC 图(二)
图14-162	非挥发性和有机酸标准品的 2D-TLC 图	图14-212	动物尿囊液的 TLC 图(四)
图14-163	及万寿果的 TLC 图	图14-213	硫酸庆大霉素液中四种中草药的 TLC 图
图14-164	夏方升白灵中黄芩苷的 TLC 图	图14-214	麻黄碱的 TLC 谱图
图14-165	牦牛角水溶液的 TLC 图	图14-215	羌活和羌活苷的 TLC 谱图
图14-166	杞菊甘的 TLC 图	图14-216	南茜耳神经中大黄和丹参酮 I、检测的 TLC 谱图
图14-167	骨刺宁胶囊的 TLC 图		
图14-168	甘梅宁的 TLC 图(a)与 TLC 扫描图(b)	图15-1	1-4-内酯与醇胺的电泳分离谱图
图14-169	氨基酸标准品的 2D-TLC 图	图15-2	10种无机阳离子的电泳分离谱图
图14-170	6种 β -内酰胺类抗生素的 TLC 图	图15-3	12种 5'-核苷苷酸的电泳分离谱图
图14-171	6种氨基酸类药物的 TLC 图	图15-4	13种酰胺化合物电泳谱图
图14-172	6种胆盐衍生物衍生的 TLC 图	图15-5	14种稀土离子的毛细管电泳分离谱图
图14-173	6种胆盐结合胆汁酸的 TLC 图	图15-6	14种阴离子的电泳分离谱图
图14-174	3种药物的 TLC 图	图15-7	15种阳离子的电泳分离谱图
图14-175	盐毒水真川断液 TLC 及 HPLC 图	图15-8	15种核苷酸的电泳分离谱图
图14-176	通里果白断液中原儿茶酚的 TLC 图	图15-9	26种无机离子的电泳分离谱图
图14-177	枸杞的 TLC 图	图15-10	26种阴离子快速分离谱图
图14-178	苻苓的 TLC 图	图15-11	煤焦的电泳分离谱图
图14-179	黄芩类药物的 TLC 图	图15-12	S-(+)-NED-PyNCS 和牛化氨基酸对映体的电泳分离谱图
图14-180	硝基苯类化合物的 TLC 图	图15-13	Cys 标记氨基酸的电泳手性分离谱图
图14-181	夏麻子的反相 TLC 图	图15-14	有机酸的 CZE 分离谱图
图14-182	紫药土水样的 TLC 图	图15-15	植物碱的 CZE 分离谱图
图14-183	紫药 D-碱 (海葵皂) 的 TLC 图	图15-16	葡萄糖类物的 CZE 分离谱图
图14-184	紫药四味木香皂或草药的 TLC 图	图15-17	Hae III 消化 $\Phi \times 174$ 的 DNA 片段电泳谱图
图14-185	紫药嘎古拉-4 的 TLC 图	图15-18	1DESA 衍生化物的电泳分离谱图
图14-186	硝基苯基不同方法处理下的 TLC 图	图15-19	9-受体阻断剂对映体的电泳分离谱图
图14-187	猪胆汁中四味木香皂的 TLC 图	图15-20	二萜化合物对映体的电泳分离谱图
图14-188	紫药类药物的 TLC 图	图15-21	人胰岛素原水解产物的电泳分离谱图
图14-189	芳香醇类药物对映体拆分 TLC 图	图15-22	8种有机酸的电泳分离谱图
图14-190	硝基苯类化合物分离产物的 TLC 图	图15-23	16种有机酸的电泳分离谱图
图14-191	硝基苯类药物的 TLC 扫描图	图15-24	3种月酮-DL 氨基酸的电泳分离谱图
图14-192	增效联磺片的 TLC 图	图15-25	上霉素纯度的电泳分析谱图
图14-193	咪唑啉核苷和 5-脱氧咪唑啉的 TLC 扫描图	图15-26	小鼠的毛细管电泳分离谱图
图14-194	硝基苯基不同方法处理下的 TLC 图	图15-27	分离化生物碱的电泳分离谱图
图14-195	硝基 苯基类标准品的 2D-TLC 图	图15-28	丹酰化氨基酸对映体的电泳分离谱图 (一)
图14-196	硝基苯类药物的 TLC 图	图15-29	丹酰化氨基酸对映体的电泳分离谱图 (二)
图14-197	吡啶四羧基有关物质的 TLC 图	图15-30	丹酰化二肽的电泳分离谱图
图14-198	吡啶四羧基有关物质的 TLC 图	图15-31	5种碱性蛋白质的电泳分离谱图
图14-199	吡啶四羧基有关物质的 TLC 图	图15-32	化学合成香料降解产物酯化化合物的电泳分析谱图
图14-200	吡啶四羧基有关物质的 TLC 图	图15-33	无机阳离子与有机物的 CZE 分离谱图
图14-201	吡啶四羧基有关物质的 TLC 图	图15-34	PMP 已酯化糖苷类化合物的 CZE 分离谱图
图14-202	吡啶四羧基有关物质的 TLC 图	图15-35	硝基苯的 CZE 分离谱图
图14-203	吡啶四羧基有关物质的 TLC 图	图15-36	$C_6H_5-O-C_6H_5$ 的 CZE 分离谱图
图14-204	吡啶四羧基有关物质的 TLC 图	图15-37	DNP 衍生化氨基酸的电泳分离谱图
图14-205	吡啶四羧基有关物质的 TLC 图	图15-38	PBR322/Mapi 的电泳分离谱图
图14-206	吡啶四羧基有关物质的 TLC 图	图15-39	Φ Y171/Hal III 片段的电泳分离谱图
图14-207	吡啶四羧基有关物质的 TLC 图	图15-40	手性药物的电泳分离谱图
图14-208	吡啶四羧基有关物质的 TLC 图	图15-41	生物碱的电泳分离谱图
图14-209	吡啶四羧基有关物质的 TLC 图		

图 号	图 名	图 号	图 名
图15-12	有机酸的电泳分离谱图	图15-29	戊二醛酞类化合物的 MECC 分离谱图
图15-13	醇类的电泳分离谱图	图15-30	饱和及不饱和脂肪酸的 MECC 分离谱图
图15-14	羧酸类的电泳分离谱图	图15-31	咖啡因类药物的 MECC 分离谱图
图15-15	蛋白质的电泳分离谱图	图15-32	10种苯胺类化合物的 MECC 分离谱图
图15-16	长链饱和脂肪酸的电泳分离谱图	图15-33	OPA/1ATC 衍生化氨基酸的 MECC 谱图
图15-17	4种碱性蛋白质的电泳分离谱图	图15-34	5种二氢吡啶类钙拮抗剂的分离谱图
图15-18	生物化物的电泳快速分析谱图	图15-35	SDS-PAGE 分离 PTH-DL 氨基酸谱图
图15-19	有机阴离子的电泳分离谱图	图15-36	β -球蛋白肽酶白酶解产物的 MECC 谱图
图15-20	苯胺类药物的非水电泳分离谱图	图15-37	位点异博定和基酸类西药对映体 MECC 谱图
图15-21	同系下电泳分离谱图	图15-38	巴比妥的 MECC 谱图
图15-22	芳香族的电泳分离谱图	图15-39	手性胺类药物的电泳分离谱图
图15-23	5种醇化物的电泳分离谱图	图15-40	四萜类药物的 MECC 谱图
图15-24	单糖及其 α -糖苷衍生物的电泳分离谱图	图15-41	葡萄糖中氨基酸(GPEC 标记)的 MECC 谱图
图15-25	单糖的电泳分离谱图 (一)	图15-42	东莨菪碱药物的 MECC 谱图
图15-26	单糖的电泳分离谱图 (二)	图15-43	亚硝酸混合液的电泳分离谱图
图15-27	直链烷基磺酸盐的电泳分离谱图	图15-44	兴奋剂的 MECC 谱图
图15-28	肽的毛细管电泳分离谱图	图15-45	合成燃料的 MECC 谱图
图15-29	苯甲酸及取代苯甲酸的电泳分离谱图	图15-46	反酸的手性分离电泳谱图
图15-30	苯甲酸类化合物的电泳梯度分离谱图	图15-47	乳酸杂聚体的 MECC 谱图
图15-31	苯基内酯类化合物手性分离的电泳谱图	图15-48	未分离的 MECC 谱图
图15-32	非电泳性的氨基酸和二肽同族电泳检测 CZE 谱图	图15-49	苯胺类化合物标准品 MECC 谱图
图15-33	非拉明类化合物手性分离电泳谱图	图15-50	苯胺类手性标准品分离谱图
图15-34	标准苯胺类化合物的电泳分离谱图	图15-51	苯胺类标准品在药中的电泳分离谱图
图15-35	药物混合物的电泳分离谱图	图15-52	标准 PTH 氨基酸的 MECC 谱图
图15-36	氨基酸的电泳分离谱图	图15-53	毒品的 MECC 谱图
图15-37	淋巴组织中 LP-Sugars 膜蛋白质的电泳分离谱图	图15-54	药物的 MECC 谱图
图15-38	混合氨基酸的电泳分离谱图	图15-55	鸦片类毒品的 MECC 谱图
图15-39	短链芳香族的 CZE 谱图	图15-56	氨基酸 GPEC 衍生物的 MECC 谱图
图15-40	短链苯甲酸和二羟基苯甲酸的电泳分离谱图	图15-57	氨基酸-乙基苯甲酸衍生物的分析谱图
图15-41	蛋白质的电泳分离谱图	图15-58	氨基酸类标准品 MECC 谱图
图15-42	蛋白质的电泳分离谱图	图15-59	苯胺类标准品在药中的电泳分离谱图
图15-43	黄素的电泳分离谱图	图15-60	苯胺类标准品在药中的电泳分离谱图
图15-44	普鲁卡因及其代谢产物的电泳手性分离谱图	图15-61	苯胺类标准品在药中的电泳分离谱图
图15-45	取代苯甲酸样品的 CZE 谱图	图15-62	苯胺类标准品在药中的电泳分离谱图
图15-46	吡啶类的电泳分离谱图	图15-63	苯胺类标准品在药中的电泳分离谱图
图15-47	高糖-对氨基苯甲酸乙酯衍生物的电泳分离谱图	图15-64	苯胺类标准品在药中的电泳分离谱图
图15-48	碱性药物的电泳手性分离谱图	图15-65	苯胺类标准品在药中的电泳分离谱图
图15-49	碱金属、碱土金属和稀土离子的电泳分离谱图	图15-66	苯胺类标准品在药中的电泳分离谱图
图15-50	酸性和碱性蛋白质的电泳分离谱图	图15-67	苯胺类标准品在药中的电泳分离谱图
图15-51	磺胺类化合物的电泳分离谱图	图15-68	苯胺类标准品在药中的电泳分离谱图
图15-52	糖、无机阳离子和氨基酸的同时分离谱图	图15-69	苯胺类标准品在药中的电泳分离谱图
图15-53	糖及氨基酸的电泳分离谱图	图15-70	苯胺类标准品在药中的电泳分离谱图
图15-54	13种氨基酸的 MECC 谱图	图15-71	苯胺类标准品在药中的电泳分离谱图
图15-55	24种药物的 MECC 谱图	图15-72	苯胺类标准品在药中的电泳分离谱图
图15-56	8种氨基酸的 MECC 谱图	图15-73	苯胺类标准品在药中的电泳分离谱图
图15-57	9种多肽类衍生物的手性分离谱图	图15-74	苯胺类标准品在药中的电泳分离谱图
图15-58	10种药物的 MECC 分离谱图	图15-75	苯胺类标准品在药中的电泳分离谱图
图15-59	1-氨基苯基异构体的 MECC 分离谱图	图15-76	苯胺类标准品在药中的电泳分离谱图

图 号	图 名	图 号	图 名
图15-129	C ₁₈ 柱评价色谱图 (五)	图15-239	Secilene 染料的水色谱分离谱图
图15-130	C ₁₈ 柱评价色谱图 (六)	图15-240	16种多环芳烃的毛细管电色谱分离谱图
图15-131	C ₁₈ 柱评价色谱图 (七)	图15-241	直接提取物中黄嘌呤及其代谢产物的毛细管电色谱分离谱图
图15-132	C ₁₈ 柱评价色谱图 (八)	图15-242	氨基酸对映体的CEC包结电泳分离谱图
图15-133	C ₁₈ 柱评价色谱图 (九)	图15-243	头-尾酯肽脂同分异构体的毛细管电色谱分离谱图
图15-134	C ₁₈ 柱评价色谱图 (十)	图15-244	5种药物对映体的毛细管电色谱分离谱图
图15-135	C ₁₈ 柱评价色谱图 (十一)	图15-245	前体化合物的毛细管电色谱分离谱图
图15-136	C ₁₈ 柱评价色谱图 (十二)	图15-246	苯甲酸盐的毛细管电色谱分离谱图
图15-137	C ₁₈ 柱评价色谱图 (十三)	图15-247	苯酚类化合物的毛细管电色谱分离谱图
图15-138	C ₁₈ 柱评价色谱图 (十四)	图15-248	火炸药的毛细管电色谱分离谱图
图15-139	C ₁₈ 柱评价色谱图 (十五)	图15-249	烷基苯的毛细管电色谱分离谱图 (一)
图15-140	C ₁₈ 柱评价色谱图 (十六)	图15-250	烷基苯的毛细管电色谱分离谱图 (二)
图15-141	C ₁₈ 柱评价色谱图 (十七)	图15-251	氨基酸对映体的毛细管电色谱分离谱图 (一)
图15-142	C ₁₈ 柱评价色谱图 (十八)	图15-252	氨基酸对映体的毛细管电色谱分离谱图 (二)
图15-143	C ₁₈ 柱评价色谱图 (十九)	图15-253	唑类药物毛细管电色谱分离谱图
图15-144	无孔C ₁₈ 柱评价色谱图 (一)	图15-254	利尿剂的毛细管电色谱台阶梯度分离谱图
图15-145	无孔C ₁₈ 柱评价色谱图 (二)	图15-255	羧基有酯的毛细管电色谱梯度洗脱分离谱图
图15-146	无孔C ₁₈ 柱评价色谱图 (三)	图15-256	10种前体化合物的毛细管电色谱梯度洗脱分离谱图
图15-147	无孔C ₁₈ 柱评价色谱图 (四)	图15-257	DNPH衍生化醛酮的毛细管电色谱梯度洗脱分离谱图
图15-148	无孔C ₁₈ 柱评价色谱图 (五)	图15-258	PTPL衍生化氨基酸的毛细管电色谱梯度洗脱分离谱图
图15-149	C ₁₈ 柱评价色谱图	图15-259	芳香族化合物的毛细管电色谱梯度洗脱分离谱图
图15-150	生物活性 (CBV) 柱评价色谱图	图15-260	15种药物的毛细管电色谱梯度洗脱分离谱图
图15-151	环糊精手性 (C4-12000) 柱评价色谱图	图15-261	糖类化合物的毛细管电色谱梯度洗脱分离谱图
图15-152	手性 (CH) 柱评价色谱图 (一)	图15-262	抗癌药物及代谢产物的加压电色谱分离谱图
图15-153	手性 (CH) 柱评价色谱图 (二)	图15-263	布洛芬对映体的CEC谱图
图15-154	手性 (CH) 柱评价色谱图 (三)	图15-264	芳香族化合物的正相毛细管电色谱分离谱图
图15-155	手性 (CH) 柱评价色谱图 (四)	图15-265	碱性蛋白的分离谱图
图15-156	手性纤维素 (CHODR) 柱评价色谱图	图15-266	DNA片段分离谱图
图15-157	离子交换树脂 (SCX) 柱评价色谱图 (一)	图15-267	小鼠的连续尿原电色谱分离谱图
图15-158	离子交换树脂 (SCX) 柱评价色谱图 (二)	图15-268	2-氨基苯胺衍生物生化基质的连续床层电色谱分离谱图
图15-159	离子交换树脂 (SAX) 柱评价色谱图	图15-269	糖类化合物的连续尿原电色谱分离谱图
图15-160	氨基 (NH ₂) 柱评价色谱图 (一)	图15-270	氨基酸类化合物的离子对电色谱分离谱图
图15-161	氨基 (NH ₂) 柱评价色谱图 (二)	图15-271	5-、R(1)C ₁₈ 、15的离子交换毛细管电色谱分离谱图
图15-162	苯基 (PH) 柱评价色谱图 (一)	图15-272	3种药物的电色谱分离谱图
图15-163	苯基 (PH) 柱评价色谱图 (二)	图15-273	16种发光样品的高度和峰度分离电色谱图
图15-164	氰基 (CN) 柱评价色谱图 (一)	图15-274	脱氧肾上腺素对映体在硅胶柱上的分离电色谱图
图15-165	氰基 (CN) 柱评价色谱图 (二)	图15-275	组胺离子交换柱对碱性药物分离电色谱图
图15-166	硅胶 (SD) 柱评价色谱图 (一)	图15-276	5种环芳烃混合物的快速分离电色谱图
图15-167	硅胶 (SD) 柱评价色谱图 (二)	图15-277	14种爆炸物的毛细管电色谱分离谱图
图15-168	氧化硅 (Zi-SP21) 柱评价色谱图	图15-278	极性化合物在硅胶固定相上的电色谱分离谱图
图15-169	磷酸盐柱评价色谱图	图15-279	6种标准蛋白的等点聚焦谱图
图15-170	PEP柱评价色谱图	图15-280	DNA片段的分离谱图
图15-171	高聚合 (POLYCAT) 柱评价色谱图		
图15-172	苯丙氨酸对映体的分子烙印电色谱分离谱图		
图15-173	0-苯胺对映体的分子烙印电色谱分离谱图		
图15-174	蛋白质的开管毛细管电色谱分离谱图		
图15-175	直管多苯基的开管毛细管电色谱分离谱图		
图15-176	疏水化合物的开管毛细管电色谱分离谱图		
图15-177	与心肌球蛋白蛋白降解产物的开管毛细管电色谱分离谱图		
图15-178	氧化物的开管毛细管电色谱分离谱图		

图 号	图 名
图15-231	DNA 片段毛细管无胶筛分电泳谱图
图15-232	DNA 筛分电泳分析谱图
图15-233	DNA 序列的 CGE 分析谱图
图15-234	DNA 序列的 CGE 分离谱图
图15-235	IgG 与特异性蛋白的等电聚焦谱图
图15-236	M13mp18DNA 序列分析谱图
图15-237	QX174 DNA-Hse III 酶切物的 CGE 谱图
图15-238	于化药物的电泳分离谱图

图 号	图 名
图15-239	FITC 标记脱氧核糖苷的毛细管凝胶电泳分离谱图
图15-240	肌红蛋白和肌红蛋白片段的 CGE 分离谱图
图15-241	吸附于的凝胶电泳分离谱图
图15-212	阳离子药物的电泳分离谱图
图15-243	单链 DNA 降解片段的电泳谱图
图15-244	蛋白质的 CGE 分离谱图
图15-245	蛋白质的聚丙烯酰胺 CGE 分离谱图
图15-246	氨基酸的 CGE 谱图

化合物名称索引

一 画

季戊四醇 292
一氯乙酸根 369,355
一氯亚甲基二氯液 355,357,474
一硫酸化物 383
O-O-N,N'-1,2-乙二硫基丙氨酸—乙醇 474
1,1-N,N'-1,2-乙二硫基丙氨酸—乙醇 474
乙二酐二磺基酐 501
乙二酐 237
乙水杨酸 591
乙苯 290,302,393,415,462,468,500,518,541
乙磺酸酐 599
乙氧基化1,3-丙基二醇 480
乙氧基化1,2-丙基二醇 480
3-乙氧基-4-羟基苯甲酸 291
乙氧酸 581
乙胺 279,305,546,580,594,557
2-乙基-1-己醇 275
1-乙基苯酚 393
N-乙基神经胺—乳糖 167
DNF-dl-乙萘磺酰胺 635
N-乙基葡萄糖 167
2-乙基-9,10-萘醌 308
乙基磺酸酐 558
乙酰胺 543
乙腈 503
2-(2-噻吩基)乙酮 519
乙腈—心去 564
乙腈水杨酸 207,208
N-乙腈半乳糖 174
N-乙腈半乳糖胺 577
乙腈可待因 599
乙腈甘氨酸 548,549

乙萘基 451
乙萘基酐 240,242
N-乙萘基磺酰胺 347
N-乙萘基酐 577
乙萘基磺酐 211,217
乙萘基半乳糖 577
乙萘基萘基 569
1-乙萘基酐 207
N-乙萘基酐 577
N-乙萘基-D-半乳糖酐 167
乙萘基-D-半乳糖酐 167
N-乙萘基酐 174
N-乙萘基酐 577
乙萘基酐 273
乙萘 270,285,288,287,301,355,375,383,386,387,388,502,565
(4-基-2-甲基苯氧)乙酐 257
2-(2-噻吩基)乙酐 519
(2,4-二氧基)乙酐 257
乙酐乙酐 393
α-乙酐生育酚 201
α-乙酐生育酚 260
乙酐乙酐 514
乙酐乙酐 501
乙酐基 345,347,348,349,350,356,358,560
乙酐 271,275,281,285
2-(2-噻吩基)乙酐 519
乙酐基 322,327,339,391,580,594
乙酐基 375,387,388,538,539
乙酐基酐 560
乙酐 233,251,260,562,640
乙萘基 386,387,528,539

二 画

二乙酐 277,405,371,580
1,2-二乙酐 273
—2-乙基己基邻苯二甲酸盐 415
二乙基邻苯二甲酸盐 413
O-()二乙基萘磺酐 486
L-(+)-二乙基萘磺酐 486

二乙酐基 327,391,566
二丁酐 375
二—二萘基酐 266,267
二十二烷酐 482
二十烷酐 482
二十烷五酐 266,287

二(1-萘基)酸	287	二苯并[<i>a,h</i>]花	239
二元酸(1)	336, 357, 474	二苯并[<i>b,g</i>]呋	462
二月桂酰甘油酯	492	二苯并[<i>b,h</i>]呋	464
二丙酸	305	二苯并[<i>c,c'</i>]呋	464
二对羟基苯基醚	293	二苯[<i>a,h</i>]并基	534
二-正丁基邻苯二甲酸酯	115	二苯并[<i>x,h</i>]萘	307
二正丙基己二酸	505	二苯并[<i>x,c'</i>]萘	153
二正丙基邻苯二甲酸酯	415	二苯并[<i>x,h</i>]萘	239, 465, 498, 647
2,2-二甲氧苯胺	451	二苯并[<i>a,c'</i>]萘	465
2,5-二甲氧苯胺	381, 404, 443	二苯并[<i>h,h'</i>]萘	190
2,6-二甲氧苯胺	381	二苯胺	367
3,4-二甲氧苯胺	381	二苯基乙内酯羧酸	214
3,5-二甲氧苯胺	381	二苯基	480
二甲苯	240, 242	1,2-二氯化苯	633
3,4-二甲氧苯甲醚	290	1,3-二氯化苯	633
3,4-二甲氧苯甲醚	290	1,4-二氯化苯	633
3,4-二甲氧萘内酰胺	563, 582	D-3,3'-二氧丙酰胺	454
2,5-二甲氧萘酮	276, 291	1-3,3'-二氧丙酰胺	151
二甲胺	279, 305, 391	3,3'-二氧丙酰胺	289
二甲胺四环酮	211	二氧叶啶	200, 252
N ₁ ,N ₂ -二甲基鸟苷	438	5,4'-二氧-1-甲氧基-1(2H)-嘧啶	275
N ₂ ,N ₂ -二甲基鸟苷	438	二氧吡	338, 340, 400, 634, 647
二甲基吡啶	490	NBD-二羧基性毒素-a	277
二甲基邻苯二甲酸酯	415	二氧萘	219
N ₁ ,N ₁ -二甲基-1,4-苯二胺	296, 299	5-二氧-5-(α -羟基)酮基	417
2,5-二甲基苯甲胺	640	顺-5,6-二羟基-3,6-二氧萘	457
N ₁ ,N ₁ -二甲基苯胺	405, 505, 508, 597	NBD-二羧基性毒素-a	277
2,6-二甲基苯胺	381, 413	二衍生化 tyx	191
2,6-二甲基苯胺	333, 359, 375, 403, 443, 497	2,5'-二-顺- β -胡萝卜素	457
3,4-二甲基苯胺	413	2,13'-二-顺- β -胡萝卜素	457
3,5-二甲基苯胺	443	2,13'-二-顺- β -胡萝卜素	457
2,4-二甲基苯胺	238, 256, 379, 505, 579	13,13'-二-顺- β -胡萝卜素	457
2,5-二甲基苯胺	450	5'-二氧磷基-2-甲氧基嘧啶核苷	384
3,5-二甲基苯胺	637	5'-二氧磷基嘧啶核苷	384
二甲胺	351	2,3-二氧基苯	643
二甲苯	492	2,3-二氧基苯-4,6-二羧酸	378
2,7-二甲基-1,4-萘酮	308	2,8-二氧基-4-硝基甲苯	231
2,8-二甲基-2-硝基苯胺	238	1,3-二胺基丙烷	580
9,10-二甲基	243, 452	2,5-二胺基丙烷	371
二甲(4-羟基)胺	595	4,6-二胺-3-酮-2-酮	471
二甲(4-羟基)胺	595	二胺乙胺	232
二甲胺甲酰胺	545	DHBA-二胺基胺	580
二甲胺	555	2,5-二胺基甲酰胺	376
二内酰胺酸甘油酯	482	2,6-二胺基甲胺	212
1,3-二内酰胺酸甘油酯	480	3,6-二胺基-5,6-二氧萘-5'-羧酸	418
二邻氯萘	218	3,6-二胺基-5,6-二氧萘	418
3,5-二叔丁基胺	647	2,2'-二胺基-1,1'-二甲	254
二胺四酮	292	4,6-二胺基-1,3-二氧萘	276
二胺-2H ₂ 及式和顺式化合物	162	二胺基丙酮	170
二苯甲酮	457	5,6-二胺基萘	431

3,4-二羟基苯乙醇	199,460	5,4-二硝基甲苯	231,255,509,589
3,4-二羟基苯乙酸	199	5,4-二硝基-6-甲基苯酚	379
3,3-二羟基苯甲酸	583	4,6-二硝基-2-甲基苯酚	236
2,4-二羟基苯甲酸	583	1,6-二硝基酚	257
2,5-二羟基苯甲酸	513,579,587	3,7-二硝基酚	257
2,6-二羟基苯甲酸	513,587	4,6-二硝基-邻甲苯酚	506
3,4-二羟基苯甲酸	236,291,582	1,2-二硝基苯	241,509,585
3,5-二羟基苯甲酸	231,514,582	1,3-二硝基苯	231,255,585
3,4-二羟基苯甲酯	291	1,4-二硝基苯	231,509,585
二羟基苯胺	261	2,4-二硝基苯甲酸	255,579
4,4-二羟基苯胺	199	3,4-二硝基苯甲酸酐	376
4,4-二羟基氨基丙酸	199	2,4-二硝基苯胺	231,557
3,17 α -二羟基雌甾烷-1,3,5(10)-三烯	528	2,3-二硝基苯胺	265
3,17 β -二羟基雌甾烷-1,3,5(10)-三烯	528	2,4-二硝基苯胺	236,238,379,506,569,573
3,17 α -二羟基雄甾烷-1,3,5(10)-五烯	528	2,5-二硝基苯胺	236,569
3,17 β -二羟基雄甾烷-1,3,5(10)-五烯	528	2,6-二硝基苯胺	236,589
4,17 α -二羟基雄甾烷-1,3,5(10)-四烯	528	3,4-二硝基苯胺	238,569
3,17 β -二羟基雄甾烷-1,3,5(10)-四烯	528	3,5-二硝基苯胺	255
5,7-二羟基酮	226,221	1,5-二硝基苯	257
1,1'-二萘-8,8'-二磺基二胺	564	1,6-二硝基苯	257
1,2-二萘磺酰基砷酸	189	二硝基-对-丙基	521
二氧乙酰胺类化合物	530	二硝基-对-戊基	251
1,2-二氧乙酰胺	530	二硝基-对-庚基	444
二氧乙酰胺	349,361,355	3,9-二硝基萘磺酸	401
1,5-二氧-2,5-二氧茚	402	3,4-二硝基萘	256
1,2-二氧代苯甲酸	584	二硝基苯	526,527
1,3-二氧代苯甲酸	584	二硝基化合物	393
1,4-二氧代苯甲酸	584	1,4-二硝基苯	573
1,5-二氧代苯甲酸	584	1,3-二硝基苯	573
2,3-二氧代苯甲酸	584	1,5-二硝基苯	573
3,4-二氧代苯甲酸	579,584	1,6-二硝基苯	573
3,6-二氧代苯甲酸	578	1,7-二硝基苯	573
3',3'-二氧叶啶	209,282	2,6-二硝基苯	573
二氧甲烷	497	2,7-二硝基苯	573
2,4-二氧苯氧乙醚甲酯	505	二硝基酚与乌甘	423,439,440,444,557,559,602
2,4-二氧苯氧基乙酸	505	二硝基酚与丙酮	444
3,4-二氧苯酯	277,591	二硝基酚与溴苯	444
3,4-二氧苯酚	236,256,379,506,573	十一苯乙醇	273
2,5-二氧苯酚 836	254	十一醇	571
二氧苯基	211,212	十一醇	273
1,5-二氧-5,10-二氧	306	十九烷酸(内标)	282
二氧磺胺	546	十二羟基二甲基胺	316
二氧甲酯	233,250,273	十二羟基二甲基胺	392
4,4-二硝基邻甲酚	569	十二羟基苯	600
2,6-二硝基邻甲苯胺	255	十二烷醇	301
3,4-二硝基邻甲苯	255	十二醇	574
2,4-二硝基乙苯	599	十二醇	275
2,4-二硝基甲苯	509,589	8-硝基-21-五-十八二烯醇	456
2,4-二硝基甲苯	231,255,402,506,589	十八烷醇	484,489,494,495,574
2,6-二硝基甲苯	231,255,509,532	十八烷醇	484

十八醇酯	51	丁基磺酸酯	565
十二烷醇	501	丁基二胺二丁酯	461
十一酸	574	丁基琥珀	566
十二醇	505	丁酸	265, 266, 501, 563, 566, 567
十六烷基二甲苯胺	316, 392	丁酸根	560, 561, 565, 569
十六烷基	500	1-丁醇	574
十六烷酸和十八烷酸的甘油酯	481	2-丁醇	574
十六醇	579	丁磺酸基	558, 560
十四烷基三甲基胺	392, 316	丁酸	332, 266, 261, 564, 640
十四烷酸	482, 494, 495	人血清蛋白	410, 437
十四烷醇	401	人体生长激素	428
十四酸	574	人体生长激素	428
十四醇	275	人体生长激素	412
1,4-丁二醇	560	人体生长激素与抗体结合物	420, 411
丁巴比妥	207	人体松驰肽	428
丁酰胺	646	人含皂甙 R ₁	540, 541, 542
丁基	362, 390, 600, 645	儿茶素	205, 206, 229, 560
丁基苯胺	411, 212, 639	儿茶酚	238
丁基	545	人珍珠母丸	560
丁香油酚	514	人景酸	521
丁胺	305, 580	2,2',3',4',4',5',6'-八氢联苯	539
丁胺六环酮基	551	八氢联苯对二胺基	258
N-丁基苄基苄基溴化物	694	八氢联苯胺	258
丁基苯	405	2,2',2',3',3',4',4',5'-七氢联苯	540
丁基胺	557	七氢联苯对二胺基胺	274

三 西

三乙胺	533	三花生酸甘油酯	483
三乙醇胺	527	三油醇(18:1)	484
三氯酸(1:1)	456, 457, 471	三考丹裂解	515
三甘肟十七烷酸酯	489	三氯乙酸根	589, 457
三甘肟十八烷酸酯	482	1,2,4-三氯化苯	252, 645
三甘肟	379	三氯甲苯	537
1,2,3-三甲苯	459	2-三氯甲基苯胺	591
2',4',4'-三-O-甲基甲醚原白	512	三特尼酸甘油酯	489
3,6,9-2',3',5'-O-甲基甲醚原白	512	5,13,13'-三-顺-β-胡萝卜素	457
三甲氧基二氯砷	483	三唑化合	583
3,4,5-三甲氧基苯胺	390	2,3,4-三羟基苯甲胺	515
3,4,5-三甲氧基肉桂酸	582	2,4,6-三羟基苯甲胺	513
2,4-三甲氧基苄基-1,4-二氧杂蒽(THD)	482	4',5,7-三羟基蒽酮	220, 521
1,3,5-三甲氧基	290	三叔胺	453
2,3,5-三甲氧基	617	三叔胺酸甘油酯和三油酸甘油酯	452
三甲基胺	58, 291	1,5,5-三氯杂环己烷(R1X)	545
5-三甲氧基苄基-2',3',5'-三-O-甲基甲醚原白	512	三氯乙酸	345
三油醇(18:2)	484	4,5,9-三-4,5-二氯代	402
三米叶皂甙	599	1,2,3-三氯代苯甲胺	584
三肉豆蔻甙	483	1,3,4-三氯代苯甲胺	584
三肉豆蔻酸甘油酯和三油酸甘油酯	482	1,2-三氯代苯甲胺	584
三花生酸蛋白	183	1,4,4-三氯代苯甲胺	584

1,3,5-三氯代苯甲酸	584	七露家	534,585
2,3,4-三氯代苯甲酸	584	下联椰油	211,213
2,3,5-三氯代苯甲酸	573	大蒜二脂	595
2,3,6-三氯代苯甲酸	573	大麻酸	647
2,4,5-三氯代苯甲酸	574	人膏	522,640
2,4,6-三氯代苯甲酸	574,579	大青膏	545,549
2,4,6-三氯苯胺	250,275	大青粉	549,553
2,3,4-三氯苯酚	216	山葵	544
2,4,6-三氯苯酚	256,506	山梨酸	282,289,538,539
2,4,6-三氯苯胺	228,258,379,579	D-山梨醇	290
三氯甲苯对二羟基	253	山梨醇	169,171,172,173,176,273,284
1,3,5-三硝基-1,3,5-三氯杂环己烷(RDX)	509	山梨糖	174
1,3,5-三硝基六氢-1,4,7-三嗪	255	山黄叶黄	532
二硝基甲苯 X-J85	483	川乌药材提聚精	547
二硝基甲苯 X-305	483	川芎千枚提基挥发油	531
三硝基甲苯 X-111	483	门冬氨酸	473,541
1,3,5-三硝基甲苯	231,255,509	门冬酰胺	473-541
2,3,4-三硝基甲苯	509,589	己二酸	276,301,357,536,539
2,3,5-三硝基甲苯	590	1,4-己二酸 289	497
2,3,6-三硝基甲苯	590	己巴比妥	207
2,4,5-三硝基甲苯	509,590	己苯	503,600,638
2,4,6-三硝基甲苯	231,255,509	己酸	565,527,580
2,4,5-三硝基甲苯	590	1,6-己基二异氰酸酯(HDI)	482
2,4,6-三硝基苯甲酰胺	251	己酸	265
2,4,6-三硝基苯酚	509,569	己酰胺根	558
三氯化二烯丙基	521	己醛	401
三烯丙基	438	小茴香	545
三聚磷酸盐	363	小枝树脂	508
三烯水碱	526,527	小果糖	367,583
三硝基化合物	297	又铜十	642
1,2,3-三磷酸苯	575	又铜十-10,11-二价	642
1,2,4-三磷酸苯	575	又铜十 10,11-环氧	642
1,3,5-三磷酸苯	575	马心且红蛋白	533,650
三酯物	508	马明吸	389
三磷酸化合物	262	马尿酸	215,259,285,378,380,389,528,639,546,554,565
1,3,6-三磷酸苯	573	马胆酚色素 C 交联体	385
三磷酸脱氧核苷	441	马钱子碱	225
三磷酸脱氧核苷	441	马蜂酸酯	229
三磷酸脱氧核苷	441	马黄碱素	229
土木香	344	万灵	306
土木香	171		

四 画

天冬氨酸	360	木聚酸	558
天仙子碱	298	D-木脂醇-1,4-内酯	588
不育男性精液牛黄细胞核碱性蛋白	415	木香	545
木脂素葡萄糖	414	D-木糖醇	596
下联椰油	414	D-木糖	167
D-木糖醇	556	木糖	166,171,172,173,174,391,577

木糖	175	反式-10-11-二氢二酐	455, 457
木糖醇	163, 165, 174, 284, 306	反式-H ₉ 二氢二酐	457
五甲基辛	473	2A 反式-10, 27二氢二酐对映体	466
五味子乙素	533	2A 反式-H ₉ 二氢二酐对映体	466
五羟普酮	219, 220, 231	(-)-反式马兜草烯醇	479
1,2-3,4,5-五取代苯甲酸	524	(+)-反式马兜草烯醇	479
五氢苯甲酸	579	反式-B ₆ -L-丙酮基-DL-烟酰胺腺	393
五氢苯酮	259, 260, 275, 506	反式-m-NH ₂ 异构体	475
2,2',3',4',6'五氢联苯	529	反式-o-NH ₂ 异构体	475
2,3',3,4,6-五氢联苯	530	反式-p-NH ₂ 异构体	475
五氢联苯对二胺基	233	反式苯胺基普酮	437
五氢联苯对二胺基/吡喃	243	反式高液脂脂	457
五聚聚	538, 559	反-肉桂酸	576
中西徐长卿、丁香	532	反式	511
内消旋-N,N'-1,8-乙二氨基丙氨酸二乙醇	474	反油酸(反-C ₁₈ , L)	282
内消旋-2,3-二苯基琥珀酸	581	反-α-胡萝卜素	472
内消旋琥珀	567	反-β-胡萝卜素	472
小茴香的二氢甲氧基聚物	451	乌头碱	547, 548
牛血(SOI)	415	乌头酸	538, 539
牛血清蛋白	184, 416, 432, 433, 447, 449, 450, 271	顺乌头酸	380, 381, 369
牛细胞色素C 变体	385	顺乌头酸根	365
牛胆石胆酸	222	乌拉莫斯汀	639
牛胆胆酸根	222	乌发胆酸胆酸	222
牛胆胆酸根胆酸	222	心得安	564
牛胆胆酸	222	心得舒	564
牛胆胆素	449	心得静	564
牛胆胆素胆	415	心得静	408
牛胆胆素胆	545	丹参平山液	550
牛胆胆素	533	丹参药液	550
牛胆胆素	552	丹参酮 I _A 对映体	552
牛胆胆素	552	丹参酮 I _A 标准液	550
牛胆胆素	552	丹参酮酮	135
牛胆胆素	382, 342	丹参酮酮 D-乙基胆酸	155
牛胆胆素胆	222	丹参酮酮 L-乙基胆酸	155
牛胆胆素胆	222	丹参酮酮-D-乙基胆酸	455
牛胆胆素	423, 473, 541, 594	丹参酮酮-L-乙基胆酸	455
壬基	609	丹参酮酮-D-α-氨基正辛酸	456
壬基胺	657	丹参酮酮 E-α-氨基正辛酸	456
壬酸	574	丹参酮酮-D-氨基	456
壬酸	281	丹参酮酮-L-氨基	456
分裂(52~53)胆碱素	427	六甲基辛	479
分裂(55~56)胆碱素	427	六聚聚	258
反丁二酸二丁酯	461	六聚聚	231
反乌头酸	389	2,3',5,3',6,6'-六聚聚	539
反乌头酸根	355	六聚聚对二胺基/吡喃	258
9-反, 11-反-十八二酸	155	与三氯乙酸衍生物衍生物 I 及其衍生物	445
反(1R, 2R)2-3, 4, 6-四乙基-β-D-吡喃葡萄糖衍生物	170	与三氯乙酸衍生物衍生物 I 及其衍生物	445
反(1R, 2S)2, 3, 4, 6-四乙基-β-D-吡喃葡萄糖衍生物	170	巴比妥	588, 592
		巴比妥	536

巴豆毒蛋白 I	416
巴豆毒蛋白 II	416
巴豆酰胺	560
巴豆醛	261
双氧氮嘧啶	639
2-取氧基-1,4-苯二酚	295, 299
双黄连口服液	543
双香甲酰胺	592
水	174

五 画

未参的 SOO	413
正乙基苯胺	443
正丁基	481, 488
正丁胺	259, 560
正丁基苯	290
4-正丁基苯胺	393
正丁醇	563
正二十一烷烃	488
正二十八烷烃	488
正二十三烷烃	488
正二十五烷烃	488
正二十六烷烃	488
正二十四烷烃	488, 562, 563
正二十烷烃	488
正十七烷烃	488
正十九烷烃	488
正十二烷烃	485, 497
正十八烷烃	488
正十六烷烃	488
正十四烷烃	488
正三十二烷烃	488
正三十六烷烃	488
正三十烷烃	488
正二十烷烃	488
正己基	290
正己胺	565
正己基苯	488
正丙基	488, 641
正丙胺	272, 580
正丙基苯	290, 415
4-正丙基苯胺	393
Se-正丙基-DL-赖代胱氨酸	379
Se-正丙基-L-赖代胱氨酸	380
正四十四烷烃	488
正四十烷烃	488
正戊基	290
正戊胺	565, 580
正戊基苯	488

水中氨	589
水杨酸	207, 243, 386, 390, 395, 527, 603, 639
水苏碱	560
C ₁₀ H ₈ 反-9,12	514
DL-天冬氨酸	565
DL-天冬氨酸钾	560
丹心糖安	631
丹心糖安	631
月桂酸	203, 232, 489, 494, 495

正戊胺	260, 261
正辛胺	497
正辛醇	497
下米洛	489
下米洛胺	202, 266, 267, 258, 271, 272
下米洛胺单精	271, 272
下红黄素	266
下红黄素胺	266
丙二酸	259, 287, 378, 380, 389, 438, 559, 564
2-(2-噻吩基)丙二酸	519
丙二酸酐	558
丙二醇	284
丙苯	278, 308, 493, 500, 638
丙氧基	486
丙氧基胺	641
丙胺	305, 557
Se-丙基-L-赖代胱氨酸	393
丙基噻唑啉	589
丙基胺	260, 261
丙基异胺	534
丙基咪唑	254
丙酮	232, 351, 484, 494, 640
1-(2-噻吩基)丙酮	519
丙酮酸	392, 359, 280, 287, 366, 367, 386, 389, 539, 539, 581, 565
丙酮酸酐	389, 355
丙基甘氨酸	538, 539
丙酸	265, 286, 267, 391, 376, 385, 386, 387, 388, 562, 585
2-甲基-4-氧-丙酸	233, 250, 275
2-(4-氧-2-甲基苯基)丙酸	237
丙酸倍氯米松	588
丙酸胺	558, 560, 589
丙酸单胺	642
1-丙醇	271, 275
2-丙醇	271
丙基衍	511, 515
丙基胺基	558, 580
丙基	285, 286, 261, 568, 640

东莨菪碱	532	叶黄素 H	265
东莨菪碱消化物	591	叶黄素	255, 265, 266, 267, 268
Se 代脱氧酸	350	顺-叶黄素	265
北五味子	533	6-从-6'-叶黄素酸	226
D 半乳糖	577	6-从-12'-叶黄素酸	228
半乳糖	45, 167, 171, 172, 173, 175, 174, 565, 576, 577, 587	6,6'-叶黄素二酯	266
半乳糖-2-酸根	568	叶黄素	202
D 半乳糖基二基糖	596	叶黄素单酯	266
D-半乳糖基二季胺乙酰胺衍生物	596	叶黄素和玉米黄质	280
半乳糖胺	167	叶醇	209, 601
D-半乳糖胺-14-内酯	606	四乙基胺	392
半乳糖胺型	560	四丁基胺	316, 392
半乳糖酐	254	四丙基胺	392, 316
半乳糖酐酐	575, 587	1,2,3,4-四甲基苯	479
[D-半乳糖酐酐酐酐	560, 569	1,2,4,5-四甲基苯	641
半乳糖酐酐酐酐	555	四甲基胺	392, 316
卡马西平	211, 24	四环素	215, 544, 564, 593
卡马西平酯, 酰胺	219	4-羟四环素	635, 547
卡那霉素 H	351	四环素及其相关化合物	210
去-异莰萜-1-(11-OH 单苯酯)	256	1,2,4,5-四氯化苯	633
去二甲基米帕明	575	四羧叶酸	309, 282
去三七	741	1,5,7,8-四氢-2-甲基萘	276
去川乌	547	四氢烟酸	272
去甲地奥西特	504	四氢烟酰胺甲酯	272
去甲肾上腺素	199, 216, 450	四氢苯心安	564
去甲基米帕明	575	1,2,3,4-四氢-2-萘醇	276
4'-去甲基鬼臼毒素	532	5,6,7,8-四氢-2-萘醇	276
(-)-去甲羟安定	473	四氢醇酐	519, 520
(+)-去甲羟安定	473	Δ ⁴ -四氢大麻酚	642
去甲羟基末尼	304, 495	Δ ⁹ -四氢大麻酚酸	642
去甲替林	280	四吡	295
去甲羟羟安定	595	3,4,7,4'-四羟基-8-甲基萘黄酮	326
去甲萘基萘	304	3,5,7,4'-四羟基-8-甲基萘黄酮	321
去氧松-A	640	1,2,3,4-四取代苯甲酯	589
去氧松口草	538	1,2,3,5-四取代苯甲酯	589
11-去氧皮质酮	588	1,2,4,5-四取代苯甲酯	589
21-去氧皮质酮	588	4,5,7,10-四氢-4,5,9,10 四氢萘	402
去氧酮	542	2,2',3',6' 四氯联苯	589
去氧黄碱	642	四氯联苯对二羟基	233, 246
山萘糖	569	1,2,6-9-四氯联苯对二羟基	233
可卡因	224, 595, 599, 642	1,4-6-9-四氯联苯对二羟基	233
可可巴比妥	368	2,3,7-8-四氯联苯对二羟基	233
可可碱	268, 500	1,5,6,7-四氯基-1,5,5,7-四氢环辛烷	255
可的松	446, 500, 501, 546, 599, 640	1,3,5,7-四氯基-1,3,5,7-四氢环辛烷	509
可待因	490, 530, 542, 599, 390	四氯酸酐	509
右吗拉胺	361	1,2,4,5 四氯酸酐	575
右旋糖	172	奎茶酸	219, 220, 221
牛点霉素	228	(-)-奎茶酸	468
叶黄素	265	(+)-奎茶酸	468
		外消旋六巴比妥	486

外消旋甲基甲醇	487	对硝基间甲酚	586
外联蛋白 C	484	对硝基苯胺	231,247,403,587
外联蛋白 D	484	对硝基苯酚	213,255,379,569
外联蛋白 E	484	对硝基茴香醚	480
外联蛋白 F	484	对硝基	213
头孢地尼	215,541	对硝基三苯	481
头孢唑林	541,215,388	对硝基甲酰胺	370
E型头孢唑林	635	尼卡地平	592
Z型头孢唑林	635	尼克酸	538,539,546
安来唑片	215	尼索地平	592
S,20-孕二酮	842	尼莫地平	592
孕甾酮	500	尼群地平	592
对乙基苯胺	361	左甲托康富胺	630
对乙基苯胺	591	点美内啡	473
对二甲苯	278,541	左洛诺	581
对甲苯胺	408	左旋(四)咪唑	495
对甲苯酚	218	布洛芬	208,463
对甲苯磺酸	368	布洛芬对映体	443
对甲苯磺酸盐	370	布洛芬	458
对甲氧甲酚	393	1,5-戊二胺	580
对甲氧基苯胺	247,403	戊二胺	278,301,387,538,539
对甲氧苯胺	443	戊二胺根	560,569
对甲酚	546	戊二胺	583
1,2-(3,4-亚并三唑-2-YL)-对甲酚	525	戊巴比妥	588,593
对甲吡啶	514	戊苯	302,600,628
对叔丁基苯酚	637	戊胺	305,365,557
对苯二甲胺	382,386,390	4-戊基苯酚	393
对苯二甲胺盐	370	戊基磺酸盐	569
对苯二胺	247,503	戊基巴比妥	593
对苯二胺	573	戊胺	285
对苯基二异氰酸酯(PDI)	482	戊胺根	555,569,589
对茴香胺	261	1-戊醇	274
对氯硝	213	戊酰胺根	558,560
对氨基苯胺	251	戊胺	640
对氨基苯甲酰胺基谷氨酸	282	普尔敏	535
对氨基苯甲胺	539,572	普尔敏	306
对氨基苯胺	247	普尔敏	642
对氨基安眠酮	646	普尔敏	360
对氨基苄基磺胺	254	天草松	407
对氨基间二磺酸酐	293	天草松	306
对氨基苯乙胺	538,539	天草松	588
对氨基苯甲胺	309,388,390,542,576	甘油	176,274,284,285,514
对氨基苯甲胺内酯	389,402	甘油-1,4-二(十八酸-1,2-二酯)	514
对氨基苯甲胺盐	370	甘油-1,1-二(棕榈酸-2-酯)	514
对氨基苯甲胺	309	甘油-1-十八酸-2,3-二(酯)酯	514
对氨基苯基氨基苯基亚胺	283	甘油-1-十八酸-2-酯 + 花生酸酯	514
对氨基苯基胺	283,370	甘油-2-月桂酸酯	482
对氨基-2-甲基吡啶	516	甘油醇	586,387,388
对氨基磺酸盐	370	甘油醇	163,169,170
对硝基甲胺	480	甘氨酸去氧酮	542

甘氨酸脒	222, 224	4-甲基羧肉桂酸	581
甘氨酸脒	222, 223, 248	5-甲基羧苯甲酰	291
甘氨酸脱氢脒	222, 223	2-甲基羧苯胺	292
甘氨酸脒	222	3-甲基羧苯胺	291
甘氨酸脒羧基脒	222	2-甲基羧苯胺	229
N-甘氨酸甘氨酸	279	甲氧基丙酸	599
(-)-A-甘氨酸甲酯	457	4-甲氧基丙酸	295, 296, 299, 591
(+)-A-甘氨酸甲酯	457	甲酯	305, 566, 590
(+,-)-A-甘氨酸甲酯	457	甲酯	279
甘氨酸脒	355, 369	甲基- α -D-N-乙酰基-噻吩葡萄糖苷	167
甘氨酸脒羧基脒	593	N-甲基-1-(1,3-苯二氧)-2-丁基	277
甘氨酸脒	173	1-甲基丁酸	586
D-甘氨酸	157, 577	3-甲基-1-丁酸	274
甘氨酸	166, 167, 168, 171, 172, 174, 491, 569, 575, 577, 587	2-甲基-4,6-二氧基甲酯	579
L-甘氨酸脒	555	2-甲基-4,6-二氧基苯酚	573
L-甘氨酸脒-1,4-内酯	555	N-甲基-六氧基(单氧基)	258
D-甘氨酸脒	390	6-甲基羧酸	217
甘氨酸脒	168, 169, 169, 172-173, 176-273, 284-327	甲酯丙二酸	638, 640
甘氨酸脒脒	587	2-甲基-1-丙醇	274, 275
石氨酸	222, 223	N-甲基-1-丙醇	594
石氨酸	497	甲基- α -D-半乳糖吡喃糖苷	167
支氏剂	248	5-甲基四氧基吡喃糖	209, 282
支氏剂	558	甲氧基对甲氧基苯酚	519, 520
支氏剂	459	甲基- α -D-甘露糖吡喃糖苷	167
R-内白酸	459	1-甲基丙基	433, 438, 439
A-内白酸	459	N-甲基丙基	433, 438
龙胆二糖	171	N-甲基丙基	194
龙胆二糖	218	甲基米帕明	575
龙胆二糖	217, 218	甲基2L	267
田黄酸	414	1-甲基肌甘	433
甲胺内酯	211, 212	1-甲基肌醇	433, 438
甲胺	187, 331, 337, 340, 242, 275, 290, 302, 303, 333, 339, 400, 405, 415, 479, 480, 600, 626	4-甲基肌醇	596
2,4-甲基-1-氧基甲酯二乙酯	402	3-甲基肌甘	439
甲胺此基	585	甲胺- α -D-异戊基-4-异戊基葡萄糖苷	216
α -甲胺甲酯	575	甲基- β -1-阿拉伯糖吡喃糖苷	167
甲胺甲酯	251	甲基- α -D-乳糖吡喃糖苷	167
甲胺甲酯	254	甲基- α -1-岩-D-半乳糖	167
2,4-甲基羧基脒(TT)	482	2-甲胺基	490
甲胺脒	256, 291	甲基羧基比妥	594
甲胺脒	218	α -甲胺基甲酯	573
4-甲胺羧基脒	404	甲胺基甲酯	278
α -甲胺羧基脒	404	m-甲胺基甲酯	490
β -甲胺羧基脒	404	α -甲胺基甲酯	400
γ -甲胺羧基脒	280	β -甲胺基甲酯	400
3-甲胺羧基脒	280	2-甲胺基甲酯	267
4-甲胺羧基脒	280	N-甲胺基丙四酸	573
2-甲胺基马基脒	288	甲胺基丙四酸	213
2-甲胺基马基脒	289	甲胺基丙基	523
		N-甲胺基羧	403, 603, 606

4-甲基吡啶 2-磺胺	381
4-甲基吡啶 2-磺胺	381
4-甲基苯酚	738
甲基順丁烯二酸	503
甲享-N-(羧基苄 羧基苄) 羧基甲酰胺	255
甲基胺	384, 551, 557
甲基苄心碱	407
Se-甲基-DL-硫代琥珀酸	350-370, 380, 393
甲基-硫代羧氨酸	350
甲基吡啶基和安天	598
1-甲基糖	250, 467
2-甲基糖	250, 467
2-甲基-1,4-呋喃	309
甲基吡啶基	598
甲基吡啶	542
甲基吡啶吡啶	647
5-甲基-3-硝基苯酚	238
3-甲基-2-硝基苯酚	238
5-甲基-4-硝基苯酚	236
4-甲基-2-硝基苯酚	236
4-甲基-3-硝基苯酚	236
5-甲基-2-硝基苯酚	236
甲基吡啶	433, 438
1-甲基吡啶	438
2-甲基吡啶	441
3-甲基吡啶	441
2-甲基-9,10-吡啶	408
甲基吡啶吡啶	503
甲基吡啶吡啶	481
甲基吡啶	217, 218
甲基吡啶	571
甲基	497
甲胺	278
甲吡啶	485
甲吡啶	234
甲吡啶	54

2-甲氧基醋酸	541
甲酯北豆蔕子油酸酯	544
甲酯化硬脂酸(18:2)	554
甲酰胺	541, 542
2-甲氧基四氢叶酸钙	209, 282
甲醚	255, 255, 376, 385, 562, 563
甲酸的	540
甲酸根	349, 353, 366, 369, 355, 563, 560, 569
甲酮	274, 278, 284, 285, 323, 342, 343
甲酯	252, 251, 260, 261, 553
瓜氨酸	429, 511
瓜氨酸粉	414
SRH-1生长激素释放抑制因子	437
生长激素释放的抑制因子	582
生物草	601
α-生育酚	276
α-生育酚	201, 202, 216, 250
β-生育酚	201, 200
δ-生育酚	260
生育酚基乙酸盐	202
白油	406
白细菌中 2'-单磷酸-3-氧核苷	433
白芸英中氨基甲酸	133
皮所山酮	586, 583
皮所山酮	587
肽类	439, 439, 503
肽类	590
鸟苷	417, 440, 441, 543
鸟苷二磷酸乙酰乳脂酶	581
鸟苷二磷酸乙酰葡萄糖酶	581
鸟苷二磷酸葡萄糖酶	581
2'-鸟苷单磷酸	432
鸟氨酸	433, 439, 510, 541, 594
鸟嘌呤	441, 546, 600
鸟嘌呤核苷	286

六 四

地衣碱基	638
地西洋	638
地耳环素	639
地西巴林	704
地西多尔	834, 850, 860
地药成	951
西玛三唑	803-850, 275
西维因	234, 250, 298
1,2-二乙基乙醇	274, 284
至甲二氧苯基异丙醇	572
至甲二氧苯基异丙醇	572

亚甲基二氧乙苯异丙酯	277
3,4-亚甲基二氧-N-乙酰苯异丙酯	379
亚甲基二氧甲基异丙酯	377
3,4-亚甲基二氧-N-甲基苯异丙酯	579
亚甲基二氧苯异丙酯	277
5,6-亚甲基二氧苯异丙酯	579
亚甲基二磺酸	456, 457, 474
亚油醇	203, 282
亚砷酸盐	344, 483
亚砷酸酐	369, 350
亚油酸酯	21

亚麻酸	309-388
亚甲基苯	356-578
亚硝胺类	359
苄基二乙醚	491
亚硝基丁烷	491
亚硝基二甲酯	491
亚硝基二甲酯	491
N-亚硝基二甲胺	309
亚硝基吡啶	491
亚硝基吡咯	491
亚硝基噻吩	491
亚硝酸盐离子	558,560
亚砷酸根	333
亚砷酸	550,554
亚砷酸盐	550,555
托芬那酸	575
有机磷杀虫剂	517
有机锡化合物	547,493
四氢呋喃酮	541
四氢吡喃酮	541
当红	549
仲丁基	290,461
1->伊布利特-Nr	457
1+1伊布利特-Nr	457
伪尿苷	424-433,435
伪麻黄碱	281
全反式β胡萝卜素	301,457,461-468-472
全反式α胡萝卜素	301-462,468-472
全反式视黄基乙醇	287
全反式视黄醇	287
全反式视黄醛	287
全反式视黄酮	287
华捷令	601,639
华捷斯基基	636
合成肽 Asp ⁻ Al ⁻ 9	438
合成原料	595
名竹楠	514
吡脱	515,516
哌嗪	322,450,531,542,556,558,559,598
四唑	588
多巴	187
多巴胺	187,190,201,216,469
多西环素	593
多环芳烃	404
多虑平	260
多氯联苯-118	246
多氯联苯-137	246
多塞平	496
安乃近	190
安定	642
安息香	453
安息香酸	388
延胡索酸	548,550
仲丁基	451
异丁基	590
异丁基胺	577
异丁基生	572
异丁酸	285,327
α-异己酰胺	555
β-异己酰胺	555
α-异己酰胺-1,4-内酯	556
β-异己酰胺-1,4-内酯	556
异丙甲草胺	333,250,275
异丙肾上腺素	585
异丙酯	274
异丙酯	279,588
异丙基安替比林	301
异丙基肾上腺素	564
异丙基苯	290
α-异丙基苯胺	372,501
异丙基氨基苯林	304
异丙基胺	381,557
异丙脞	298
异戊巴比妥	288
异戊胺	540
异戊酸	285,386,387
异戊脞	280,281
异马丹	439
异佛尔酮 1,6-二异氰酸酯(IPDI)	442
异戊烯醇	227
异辛烷	195
异麦芽糖	173
异狄酮甜菜(紫色荧光)	531
异狄酮底物(11-OH-二苯酚)	258
异苦杏仁酸	532
异辛二胺	575
异辛酸酐	267
异辛酸酐	369,355
异香茅醛	291
异羟洋地黄毒甙元	616
异喹啉	203
异紫堇子(11-OH-单苯酚)	258
异紫堇子N-氧化物(11-OH-单苯酚)	258
异质李季素	218
异胆黄素	220,221
异胆二糖	171
17-异羟基酮	590
雷米帕斯	320
商裕列酮	603,609
桑皮制混合物	293,493

赤草碱	375	肌球蛋白	638
次乌头碱	546	肌酸	215
次黄苷酸	450	肌酸酐	655
次黄嘌呤	439, 440, 450-546	肌醇	165, 169, 171, 204, 390
次氯酸根	589	肌醇三磷酸三甲基硅烷	479
米安色林	585	D-色氨酸	456
米帕明	575	血纤蛋白 A	563
米诺环素	593	血清	555
米塞酮	272	血管紧张肽	632
红红葡萄酒	537	血管紧张肽 I	449, 632
红藻氨酸	437	血管紧张肽 II	449, 578, 638
环磷二酮	575	血管紧张素 III	578, 632
环磷酸二酮	171-172	[VasP]-血管紧张肽 III	578
肉豆蔻酸	203	血管紧张素酶	637
肉豆蔻酰基	262	福可	536, 532
肉桂酸	201, 535, 563	福可汀	584
肉桂醛	261, 291, 514	札	357, 340-526
肌红蛋白	395, 445, 446, 448-450, 538-632, 852	秘	337
肌红蛋白片段	655	刚巴比妥	207
肌甘	139, 440, 550, 546	防风通圣丸	543
5'-肌甘核苷酸	482		
肌氨酸	541		

七 画

奎凡茶素	205, 206, 229	别嘌呤醇	140
奎凡基厚膜	205, 206, 229	卤唑仑	582
奎凡尿酸	206, 206, 229	1,1'-吡啶格罗	654
奎芬七糖	171	麻黄素	227, 601
奎芬二糖	171, 172-173, 174-269	麻沸散	200, 227, 601
奎芬二糖	172	麻沸散药酒	601
奎芬五糖	171	4-吡啶酸(PA)	237
奎芬六糖	171	吡啶醇	200
奎芬四糖	171, 250	吡啶胺	200, 227
奎芬糖	163, 466, 169, 171, 172, 173, 174, 175, 249, 273	吡啶	500, 515, 516, 521, 522
奎芬日平	594	2-[4-[5-(3-氨基基)-2-吡啶]-氧]-苯氧丙酸	505
奎芬甘平宁	594	吩噻嗪	495
奎芬考宁	594	吩噻多(元)环芳烃	477
奎芬考宁宁	594	吩噻杂血剂	498
奎芬酸	594	吩噻	596
奎芬酸文	594	吩噻唑乙醚	577
奎芬酸文宁	594	吩噻唑乙醚	539
奎芬酸平	594	吩噻丁醚	538, 539
奎芬酸二乙醚	595	吩噻美辛	208, 602
奎芬糖	594	吩噻丹	250, 298
茴香红	876	吩噻唑酮	230, 458
克仑特罗	595	2-吩噻唑乙二胺	596
2,2'-克仑特罗	604	(一)麦卡尼	456
克仑特罗	575	(+)-麦卡尼	488
克洛基	234	尿刊酸	538-539

腺苷	139, 536, 441, 514	苯苄基树脂	551
腺苷	117	D-苏-1-氧-2,4-二硝基苯-5-L-丙氨酸	480
腺嘌呤脱氧核糖	223	L-苏-1-氧-3,4-二硝基苯-5-L-丙氨酸	480
腺嘌呤	550, 551	D-4-糖酸	556
腺嘌呤	280, 400, 422, 440, 441, 546	D-苏糖酸 1,4-内酯	556
腺嘌呤	15, 321, 439, 440, 546	葡萄糖	177, 274, 284
抗坏血酸	548, 549, 562, 601	葡萄糖	268
D-赤苏糖	167	L-谷氨酸盐	560, 563
核黄素	219, 220, 221	谷胱甘肽	278, 414
核黄素	268, 545	辛二酸	528, 539
D-核糖	596	辛可宁	219
L-核糖	596	辛可尼定	219
核黄素	543	辛可胺	219
核黄素	248	辛基	303, 600
核黄素	255, 259, 400, 402, 480, 492, 499, 521, 634, 647	辛酸	305, 557
核黄素	492	1-O-辛基-β-D-半乳糖苷	164
核黄素	532	1-O-辛基-β-D-吡喃葡萄糖苷	170
芥子酸	352, 582	1-O-辛基-β-D-葡萄糖苷	164
芥子酸	262	1-L-辛基-β-D-葡萄糖苷	164
芥子	221, 545	1-S-辛基-β-D-葡萄糖苷	164
芥	300	1-O-辛基-β-D-葡萄糖苷	164
芥花油	220, 221	辛酸	459, 495, 574
芥太尼	505	4-仲丁基苯酚	637
芥和芥	208	肝素钠	380, 443
芥菜油	254	肝素	711, 217
芥菜油	254	肝素	508
花生油	282, 494	利酮宁	395
花西黄	258, 265	利酮平	537
花西	596	利酮平	538
花	280, 283, 400, 492, 601, 607, 609, 608, 610, 612, 614, 615, 616, 634, 647	卵清蛋白	409, 414, 437, 446, 447, 448, 449, 450, 574
片定甘配	219, 330, 231	和丰	522
卡氯噻吩	639	和丰	270, 273, 309
卡氯噻吩	637	邻乙基苯胺	381, 443
卡氯噻吩	211, 212	邻二甲苯	290, 479
卡	239, 249, 400, 492, 634, 647	邻甲苯	247, 300
芥菜红	276	邻甲氧基苯胺	247, 403
苏-D,β-MePhe	460	邻甲氧基苯胺	640
苏-L,β-MePhe	460	邻甲氧基	168, 169
芥丹	594	3-邻位谷氨酸脱氢酶	268
芥木	527	芥菜_甲胺	276, 382, 384, 390, 578
芥台香	537	芥菜_甲胺	516, 347, 318, 355, 389, 379, 553, 560, 549
芥达天	308	芥菜_甲胺	247, 503
D-苏-1-氧-2,4-二硝基苯-5-L-丙氨酸	460	芥菜_甲胺	214
L-苏-1-氧-2,4-二硝基苯-5-L-丙氨酸	460	芥菜_甲胺	406
L-苏氨酸	591	和丰	293
(-)-JA-(S) 苏氨酸甲酯	451	和丰	516
(-)-JA-(S) 苏氨酸甲酯	451	和丰	236, 379
L-苏氨酸	556	和丰	215
苯苄基树脂	551	和丰	303, 403, 503

邻硝基苯酚	256,379,569
邻硝基茴香醚	480
邻联—米	361
邻苯酚	514
邻乙苯苯胺	351
邻,对二甲苯	230
邻甲苯酚	403
邻甲苯胺	317
邻甲氧基苯胺	403
邻甲基苯胺	443
邻位二甲苯基二异氰酸酯	482
邻叔对甲苯胺	300
邻苯二甲酸	382,386,380
邻苯—胺	247,503
邻苯二酚	144,295,508,643
邻苯三酚	454
邻羟基苯甲酸	336,390
邻羟基苯甲酸甲酯	217,318
邻羟基苯甲酸乙酯	218
邻叔苯胺	403
邻硝基苯胺	463,507
邻硝基苯酚	569
邻联二甲	451
阿片碱	538,542
阿片碱	546,542
阿片膏	546,542
阿拉伯糖	174
◇阿朴士毒黄	566
△阿朴士毒黄	566
阿米替林	280
阿卓糖	566

阿拉伯糖	165,169,171,173,175,391,577
阿拉糖	569
阿洛拉糖	339,350,375
阿莫西林	216
阿司匹林	227
阿新西林	649
R-阿普洛尔	452
S-阿普洛尔	452
阿普唑仑	584
阿糖腺苷	179,284
阿糖腺苷	309,562,576,583
阿糖腺苷—十二烷醇	402
阿糖腺苷	309
阿糖	574
阿糖	413,446
α-乳清蛋白	432,443,447,448,514,656
乳清蛋白	440,553
乳清酸	539,539,516
α-乳球蛋白	432,650,656
β-乳球蛋白 A	583,586
β-乳球蛋白 B	432,584
乳酪素	516
D-乳糖	506
乳糖	459
S-乳糖	456
乳糖	370,380,385,387,478,340,386,388,394,395,397,398,399,404
乳糖酶	586
D-乳糖	167
α-乳糖	167
乳糖	66,189,179,173,174,175

八 画

外己乙酸酐	612
1,4-环己二酮	332
环己二胺	503
外己烯巴比妥	635
环己烯巴比妥	443
环己酮	832
环丙沙星	215
环戊酮	275
环氧水素黄嘌呤	272
5,6β-环氧胆甾酮	777
5,6α-环氧胆甾酮	171
1,6β-环氧胆甾酮	471
NDβ-环氧高活性毒素-α	777
青霉素	541
青霉素 G	216,316
青霉素 V	216

青霉素 V	216
青霉素钠	541
苦杏仁酸	538,539
3β-苦杏仁酸	539
苦参	544
苦味酸	255,549
苦味白素	532
苦味白素	542
苯	113,253,290,303,304,393,415,479,483,600,636,641,643
苯乙胺	187,579,580
2-苯乙胺	365,367
苯乙酮	376,502,503
苯乙醇	539,539
苯乙胺	637
苯乙醇	641

苯乙醇	541	苯并[gh]茚	539
苯丁醇盐	637	苯并[gh]吡	542-551
1,2-苯二甲酸	583	苯并吡	549
1,2-苯二甲酸	589	苯并[a]茚	535
1,3-苯二甲酸	599	苯并[a]茚-1,6-二酮	551
1,4-苯二甲酸	596,595,599,567	苯并[a]茚-3,5-二酮	551
苯二甲(甲)羧基叔基-D-苯氨酸	470	苯并[a]茚-反-7,8-四氢吡喃	551
苯二甲(甲)羧基叔基-L-苯氨酸	470	苯并[a]茚-反-7,8-四氢吡喃	551
苯二酸	575	苯并[a]茚-r-7,8-P,10-四氢吡喃	551
苯二甲酸	576	苯并[a]茚-r-7,8-c-9,10-四氢吡喃	551
1,2,3-苯三甲酸	582,586,590	苯并吡啶	554
1,2,4-苯三甲酸	582,588,590	苯并[1]吡啶	547
1,3,5-苯三甲酸	589	苯并[2]吡啶	539,507,544,547
1,3,5-苯三甲酸盐	570	苯并[3]吡啶	539,549,534,547
苯巴比妥	207,208,214,511,588,595	苯并[c]吡啶	463
(-)-N-苄基-DL-苯丙氨酸	451	2,3-苯并吡啶	504
(+)-N-苄基-DL-苯丙氨酸	451	3,4-苯并吡啶	504
DL-苯丙氨酸衍生物	466	5,6-苯并吡啶	504,515,516
L-苯丙氨酸衍生物	466	7,8-苯并吡啶	504,515,516
苯丙氨酸-缬氨酸	504	苯并[2]茚	480,507,534
苯丙酸	581	苯并茚	400,547
d-苯丙酸	215-267	苯并[6]吡啶	518,520
苯丙酮	561	苯[1]并茚	405
苯丙酮醇	538,539	苯并丙酸	215,281,572,579,595
苯丙醇盐	637	苯并丙酸盐	637
3-苯-1-丙醇	275	苯丙酸叔基	639
苯丙醇醇	281	苯并巨林	542
1,2,4,5-苯四酸	582-586,590,588	苯妥英	207,542
1,2,4,5-苯四酸盐	570	β -苯乳酸	538,539
苯甲氧基-D-Ala	467	苯丙酮醇	408
苯甲氧基-D-Ser	467	苯唑卡因	225
苯甲氧基-L-Ala	467	苯唑青霉素钠	541
苯甲氧基-L-Ser	467	苯胺	247-275,282-300, 965,103,505-508,591-597,641,649
苯甲氧基醇	614	苯胺-2,5-二酮醇	381
苯甲酰胺子碱	224	苯胺-2-酮醇	381
苯甲酸	224,290,482,388,390,589, 513,538,535,575,576,578,581,584,590	苯胺-3-酮醇	381
4-(二丙基氨基)苯甲酸	581,580	苯胺-4-酮醇	331
苯甲酸乙醇	641	R-苯丙酮	587
苯甲酸酯 370-580,589-607		S-苯丙酮	587
苯甲酸	275,514,604,606,607,609, 609,610,611,612,614,614,615,616,617	β -苯基乙酯	715,594
苯甲醚	278	β -苯基乙醇	514
苯甲醚	232,251-256,260,261, 291,514,604,606,607,609,609-640, 611,612,612,614,615,616,617,640	苯基丁酮醇	511
苯并[1]茚	249,534	苯基二酮醇	519,520
苯并[a]并四苯	483	D-苯基甘氨酸	470
苯并[a]茚	539,507,499,547	苯基异氨酸	462,463
苯并[a]茚	539,549,492	R- β -苯基乳酸	459
		S- β -苯基乳酸	459
		苯基苯甲酸盐	527
		苯基苯甲酸盐	573

苯基硫脲	518,520	松属素	330,331
苯基肼	243	鼠麴糖	170
苯酚	234,236,238,240,242, 256,276,291,293,300,379,383,386,390, 393,481,506,527,573,579,637,644,646	D-果糖	750
苯酚巴比妥	642	果糖	164,166,167,168,169,177, 173,175,174,175,269,272,284,285,391
苯胺黄碱	281	果糖二磷酸酯	539
苯肼	402	韦那西汀	599
1,8-苯萘	249	I, D 非说明	580
苯酮	240,242	韦那洛芬	572
顺式苯酚叔苄基	457	非酯化亚季子脂肪酸酯	554
N-苯磺酰基-D-丝氨酸	470	非酯化标准亚油酸(18:2)	624
N-苯磺酰基-L-丝氨酸	470	欧蕲树素(黄色荧光)	553
苯磺酸	575	依托泊苷	535
苯磺酸盐	570	依托泊苷氢化物	550
L-苯基胺	565	依托尼醇	581
R-苯基胺	458	依育哈仑	556
S-苯基胺	459	依普托林	545
苯基胺	259,270,280,286,287,380,394,538,679,562	包结包色素(1)变异性	380
苄并[1,2,3-cd]吡	239,407,647	卓可卡因	224
苄并吡	240,634	单乙胺	313
4-苯基喹啉	566	5-单乙胺吗啡	599
4-苯基四苯	566	单二十碳烯酸甘油酯	489
4-苯基托泊苷	539	酶内五羧酸甘氨酸	489
叔丁基	461	L-单半胱氨酸	489
2-叔丁基-9,10-萘	302	酶乳糖酶	365
(一)叔丁基	474	单环芳烃	504
(十)叔丁基	474	单衍生化 His	191
4-叔辛基苯基	637	单衍生化 Tyr	191
周受强度	546	单脂($a=C_{16:1}, b=C_{18:1}$)	295
9-和 13-顺-视黄醇	227	酶酶	508
咖啡因	205,206,208,211,212, 289,294,511,535,548,560,581,699	单链 DNA 降解片段	656
咖啡碱	268,572	鸟苷酸鸟苷(GMP)	426,439,440,557,659,602
咖啡酸	562,576,582	鸟苷酸尿苷(UMP)	430
1,2,3,4-苯四酮	230	鸟苷酸尿苷(GMP)	439
季戊四醇	176,509	单环醇胺鸟苷	444
D-谷氨酸	577	单环醇胺鸟苷	444
L-谷氨酸	167	单环醇胺鸟苷	426,444,546
谷氨酸	171,174,577	单环醇胺鸟苷	444
庚二酸	533,539	油酸	208,514
庚基	600	油酸(顺- $C_{18:1}$)	282
庚酸	305,365,557,580	波尔定碱(二苯基)	258
1-庚基苯酚	393	澄片松龙	445
庚醛	285	炒糯米	545
庚酮	261,640	焗猪鬃	834
志琛原素-3 芸香糖苷	271	P 值	437,562
拉巴果尔	545	偏酸盐	389
胺三	172,175	[胆碱盐] ⁺	655
α-松油醇	514	亚羧酸-甘氨酸	580
		亚羧酸-苯丙氨酸	580
		组胺	580,594

粗提的胃蛋白酶	264	视黄基吡啶羧酸	202
粗胆色素 C	417, 434, 446-448, 449, 558, 574, 586, 632, 643, 850, 656, 659	视黄基吡啶羧酸	217
粗胆色素	424, 446, 449	视黄基吡啶羧酸	217
γ_2 肽	410	视黄基吡啶羧酸	226
肾上腺素	640	视黄基吡啶羧酸	217
肾上腺素	455	13-顺-视黄酸	227
1-肾上腺素	155	视黄酸	201, 202, 214, 226
肾上腺素	199, 201, 216, 281, 469	13 顺 视黄酸	227
视黄基乙醇	226	视黄酸	200
13-顺-视黄基乙醇	227	金木虫酸	539
视黄基乙醇	202, 214, 217	金木虫	539
视黄基二十二烷酸	217	金木虫	547
视黄基十七烷酸	217	牡	327
视黄基十五烷酸	217	杉	327, 340, 586
视黄基月桂酸	217	松	327, 340, 586
视黄基亚麻酸	217	降丙炔	486
视黄基丙二酸	217	降肾上腺素	201
视黄基花生四烯酸	217	降胃	547
视黄基花生四烯酸	217	降视黄酸	572
视黄基油酸	217	降视黄酸	215, 281, 572

九 画

珍珠粉	544	α -胡萝卜素	220
枸杞	542	α -胡萝卜素	464, 468, 472
(-)-柚苷	488	β -胡萝卜素	464, 468, 472
(+)-柚苷	488	β -胡萝卜素-4-酮	200
柚苷甙	218	出青酸	514
柚苷甙	175	柚苷	430
柠檬酸	239, 280, 286, 287, 296, 339, 538, 549, 562, 565	柚苷	254, 268
柠檬酸根	246, 247, 348, 366, 369, 568, 569, 569	柚苷-3,3'-二酸	261
柯柯豆碱	548	柚苷-3,3'-二酸	268
柯柯碱	219	柚苷-3-酸	264
柚苷基心定	584	柚苷-3-酸	268
椰子	543, 549	柚苷-3-酸	268
陈皮苷	221	柚苷-3-酸	264
柚苷-3,3'-二甲基	220, 221	柚苷	548
柚苷-3,3'-二甲基	220, 221	草乙酸	232
柚苷-3-甲基	220, 221	草乙酸	369, 350
柚苷基共轭苷	268	草不酸	232, 250, 275
胡内脂(黄绿色荧光)	631	草马	547
胡芦巴碱	601	草克死	308
5-顺- β -胡萝卜素	201, 457, 472	草恩	545
13-顺- β -胡萝卜素	457, 472	草酸乙醇	280
15-顺- β -胡萝卜素	457, 472	草酸	285, 287, 301, 278, 320, 386, 387, 338, 339, 564, 565
α -胡萝卜素	200, 202, 226, 265, 268	草酸	346, 347, 348, 349, 355, 358, 359, 359
β -胡萝卜素	200, 202, 226, 265, 266, 267, 268, 271, 272	草酸	239, 249, 400, 480, 492, 624
γ -胡萝卜素	226, 268	药理学	583

癸基硫	257, 298	二-癸硫	275
噻拉西林	216	(R,R)-2-癸硫	509
复方升白灵	540	(S,R)-2-癸硫	509
复方芦丁片	545	(R,R)-3-癸硫	509
复方蒿甲醚	540	(S,R)-3-癸硫	509
奎宁	219, 512	(R,R)-4-癸硫	509
奎尼定	219	(S,R)-4-癸硫	509
奎尼酸	249, 389, 536	(R,R)-5-癸硫	509
奎胺	219	(S,R)-5-癸硫	509
葵黄(一)	543	葵酮	261
葵黄(十)	543	神经裂解肽	542
葵黄树脂品	540	神经鞘脂	542
壳聚糖 异壳聚糖	504	神经鞘糖脂	537
壳聚糖胆干肽	449	类托吡酯	523
医类体素基	576	α -萘酚苄卜基	202
南 VD	398	β -萘酚苄卜基	202, 236
NBD-荧光毒素-3	277	纳多索	303, 304
对芳基的桥键基合物	594	纳达西泮	558
<i>R</i> -麻精酸	459	纳沙巴尼	558
<i>S</i> -麻精酸	459	纳拉明	281
1-氧-2,4-二硝基苯-5-1-丙氨酸酯	480	网膜白酶	630
氯化苯	633	3 β ,5 α ,6 β -胆三醇	471
1,3-二氯丙酮	454	胆固醇	471
1,4-二氯丙酮	454	胆甾烯基乙酸酯	510
2-氯戊基醇乙酸酯	590	胆甾烯基二十二烷酸酯	510
氯基丙烷	548	胆甾烯基十八烷酸酯	510
氯安定	545	胆甾烯基丙氨酸酯	510
氯考基	640	胆甾烯基月桂酸酯	510
氯西泮	568	胆甾烯基正丁酸酯	510
1-氧-5- α -苯基丙氨酸	455	胆甾烯基肉豆蔻酸酯	510
氯基磺胺嘧	560	胆甾烯基花生酸酯	510
氯基磺胺嘧啶	640	胆甾烯基辛酸酯	510
氯基磺胺嘧啶	588	胆甾烯基癸酸酯	510
2-氯基基	534	胆甾烯基棕榈酸酯	510
氯基苯丙酮	646	胆甾烯基酯	510
氯基丙烷	588	3 β ,5 α ,6 β -胆甾三醇	471
氯基酸根	560	胆由醇	500
氯化可的松	436, 500, 501, 558, 645	胆甾烯基胆汁酸	541
氯化可的松乙酸酯	645	胆碱	222, 223, 542
氯化可的松和强的松	640	胆苯甾生	203
氯化琥珀粉	436-501, 538	胆基丁胺	530
氯化氧基	211, 212, 581	胆昔	439, 441, 545
诺基	499	7-胆昔单碱酸	473
洋地黄毒甙元	636	胆吧啉	226, 422, 441, 545, 584, 603
诺基	600	伯那碱树脂	416
1- α -羟基- β -D-戊糖葡萄糖苷	170, 174	伯那碱	560
1- α -羟基- β -D-麦芽糖苷	170, 174	抗	440
诺基	557	抗	340
诺基	497	抗	545
诺基	282, 469, 494, 495, 571	除虫菊酯混合剂剂异构体	477

烟孔	511	芸草脂	258, 281, 309
芥豆素	291	骨刺宁样品	541
4-芥豆酸	562	骨刺丁酰胺	548
6-芥豆酸	562, 583	鬼臼毒素	532
7-芥豆酸	562, 583, 585	鬼臼甙	532
芥草素	302		

十 画

蒽黄素	209, 60	10-氧平米帕明	575
秋黄素 D-葡萄糖盐	601	2-氨基葡萄糖	556
鞣酸苯酚儿茶素	264	5-氨基-葡萄糖	556
D-核糖	577	儿茶素	547
核糖	180, 172, 173, 174, 686	倍他乐克	643
D-核糖-1,4-内酯	576	倍他米松	501, 648
L-核糖吡啶-2-酮-3-酮基酰胺	688	聚丁青霉素	217, 2
L-核糖吡啶-4-N-2-酮基酰胺	478	聚草碱	253, 250, 275, 568
核糖醛酸	418, 442	聚草碱	402
核糖醛酸酐	115, 447, 448, 449, 460, 568, 674	聚	580, 654
核糖醛酸酐 A	450, 444, 446, 448, 449, 621	聚比西林	216
D-核糖酸	676	聚甲酰胺点	211, 212
核糖素	221	聚甲酰胺	209, 232
核黄素	219	聚丁西林	541
核黄素	647-538, 646	聚卡青霉素钠	541
核子甘	646	聚卡酰胺	211, 212
核素	287	8-氨基-1-醇	473, 479, 541
吡啶小分子	550, 624, 648, 649	2-氨基丁酸	473, 341, 655
吡啶巴马汀	624	2-氨基-4,6-二氨基甲苯	281, 277
吡啶可卡因	649	4-氨基-2,4-二氨基甲苯	231, 255
吡啶四环素	535, 647	2-氨基-4,6-二氨基苯酚	296, 298
吡啶步四环素	524	2-氨基己二酸	423, 428
吡啶步丙酮上康素	216	2-氨基己酸	555
吡啶步康素	507	1-氨基-2-丙酸	557
吡啶吧吗可	648	氨基牛乳糖	577
吡啶金霉素	534, 535	1-氨基-4-甲苯-1-醇	378
吡啶素巴特	583	1-氨基-3-甲苯丁酸	206
吡啶丙酮	646, 649	1-氨基-2-甲苯丙酸	206
吡啶麻黄素	649	(R,R)-氨基甲酸酯	707
吡啶碱	283	(S,R)-氨基甲酸酯	307
吡啶	355	氨基甲酸酯	512
吡啶基	324, 369, 383	8-氨基异丁酸	541
吡丁酸	252	4-氨基邻二甲苯酚	299
吡化苏米达唑	214	4-氨基邻二甲苯酚	296
吡化苏米达唑	393	1-氨基-2,5-二硝基	473
吡化邻苯酚	240	1-氨基苯酚	296, 298
吡四并	558	2-氨基苯酚	618
吡四并素	593	2-氨基苯酚	265, 296, 299
吡戊二醇	243	4-氨基苯酚	555, 296, 299
吡啶青霉素钠	511	1-氨基-3-硝基	478
10-氨基苯基酰胺	591	1-氨基-3-硝基	478

2-氨基萘-3,6-二磺酸	378
2-氨基萘-3,6,8-三磺酸	381
2-氨基萘-4,6,8-三磺酸	481
1-氨基萘-5-磺酸	378
2-氨基萘-1-磺酸	381
2-氨基萘-5-磺酸	378
2-氨基-1-萘磺酸	378
4-氨基-1-萘磺酸	381
6-氨基-1-萘磺酸	381
8-氨基-2-萘磺酸	381
2-氨基-4-硝基甲苯	281
2-氨基-6-硝基甲苯	281
氨基酸	188
氨基葡萄糖	597
氨基酮吩(α -A)	546
6-氨基酮吩	546
3-氨基-硝基甲苯衍基	382
2-氨基-3,6-二磺酸	381
1-氨基-2-磺酸	381
2-氨基-3-磺酸	381
2-氨基-5-磺酸	381
2-氨基-6-磺酸	381
氨基吡啶	211,212
氨基心安	554
氨基酸	478
将括因	595,599,642
青胆酮	258
青藤碱	163,188,175
Hae III 消化 Φ X174 的 DNA 片段	563
消炎碱	546
神天碱	306
烟碱胺	209,278,601
烟碱	209
岩母丸	550
岩母草	550
岩母草口服糖	550
岩母草冲剂	550
岩母草膏	550
旗鸟草	228,427,430,446,447,448,449,450,574
旗鸟食源	427
欧鸟蛋 D 碱	437
欧鸟蛋 D 碱(新的)	571

西拉基蛋白脂糖	443
西拉基蛋白	440,586,656
西拉基蛋白脂糖	367,443
西拉基蛋白脂糖	586,644,656,656
西拉基蛋白脂糖	586,586
西拉基蛋白脂糖 A	440,443
西拉基	176,541,591
西拉基	541
西拉基	417,418,441,546
西拉基	377,411,546,584
2-氨基乙醇	568
2-氨基丙烷	568
西拉基	535
西拉基从奥安症	535
西拉基	295
西拉基紧张状	632
西拉基中血小板活化因子	516
西拉基	298,532
西拉基	218,220,221
西拉基-3-甲基基	220,221
西拉基西拉基	268
西拉基	405
西拉基	386,585
西拉基	542
西拉基	545
西拉基	450
西拉基	450
西拉基	270,285,287,478,549,528,539,536,512
西拉基	558
西拉基	544
西拉基	560,568
西拉基蛋白	427,443
西拉基蛋白	443
西拉基	415,650
西拉基	347,349,586
西拉基	202
西拉基	220,221
NBD-高反应性毒素 a	277
高反应性毒素(a)	450
高反应性毒素	457
高反应性毒素	423,480

十一 西

α -球蛋白	409
β -球蛋白	409
β -球蛋白 A	584
γ -球蛋白	409,414
β -球蛋白脂蛋白降解产物	592

西拉基	552
西拉基	298
西拉基	230,240,242,243,250,105,402,436,492,522,605,607,608,610,612,634,615,516,634,647
西拉基	723,516

山酸	576	雄醇酸	448
峇	358, 359, 340, 343, 249, 26d, 290, 300, 430, 433, 432, 304, 506, 507, 508, 509, 610, 611, 612, 613, 614, 615, 616, 617, 644, 647	烷烃	404
苯甲酸	527	松茸萜醇酸类	233
α-萘酸	577	葱属属素 A 糖	574
萘酸-5-萘酸	381	植碱液 Cu ²⁺ Sephadex 4B	413
萘酸-8-萘酸	381	羧生物 D ₁	353
萘酸酐酸	330	羧生物 D ₂	228
萘酚	502	羧生物 B ₁	228
1-萘酚	503	羧牛蒡 B ₁	228
1-萘酚-4-萘酸	648	α-羧牛蒡 E	200, 213, 227, 235
萘普生	208	β-羧牛蒡 E	200, 227
2-萘酚	276	γ-羧牛蒡 E	227, 235
1,4-萘酚	208	δ-羧牛蒡 E	227
4-羟基-1-萘酚酸及钠盐	295	羧生素 A	220, 224, 225
17α-羟基甾体酮	500, 590	羧生素 D	200
17-羟基甾体酮	498, 499, 500, 588	羧生素 D ₂	212
20α-羟基甾体酮	624	羧生素 D ₃	225
甾曲霉毒素 B ₁	404	羧生素 E	224, 225
甾曲霉毒素 B ₂ (A.P.D ₁)	397	羧生素 K ₁	225
甾体酮	220, 499, 500, 588, 590, 631	羧生素 K ₂	212
黄芩	542, 543	C ₂ -羧生素 E	227
黄芩	540	α-羧生素 E 乙酸盐	213
黄芩甲苷	540	羧生素 A 乙酸盐	224
黄芩素(Xc)	439, 545	羧生素 A 羧基酯类	224
黄柏皮	545	羧生素 A 酸	577
黄柏空白酸	650	羧生素 B ₁	212
黄柏药材酸	650	羧生素 B ₂	212
黄蘗单糖苷酸	209	羧牛蒡 C	212
Sorbose 黄糖 G L.S	643	绿谷青	588
Sorbose 黄糖 R L.S	643	羧基酸	560, 562
黄蜂蜡	514	β-羧丁酸	538, 539
黄酮醇苷	264	羧内基田黄酸	414
黄嘌呤	438, 446, 546	羧甲基葡萄糖	170
羧代乙基硫氨酸	393	5-羧甲基葡萄糖	260, 261
羧代胆氨酸	350, 378, 380, 393	5-羧色酸(5-HT)	468
羧代硫氨酸	350, 393	5-羧吡啶(5-HTAA)	469
羧式 Se 丙氨酸 DL 羧代硫氨酸	293	羧基甲酯甲酯	359
羧酸糖	369	羧酸	351
羧基芳	439, 546	羧基乙酸	333
羧基黄碱	215, 672	3-羧基丁酸	584
(HOCH ₂) ₂ COCH ₂ 羧代丙环化季戊醇	292	α-羧基丁酸糖	355, 369
β-羧基醇	449	5-羧基-6-4-(2'-甲基呋喃-2'-one) 5,6-二氢呋喃	417
羧红	276	5-羧基-2,3-二氧戊酸	586
羧基葡萄糖苷酸	544	17-α-羧基葡萄糖酮	500, 631
羧蛋白	427	α-羧基戊酸糖	355
羧丙酸	279	α-羧基正丁酸	237
5α-羧丙基 DL-羧代硫氨酸	350, 389	17β-羧基-2-甲氧基呋喃	229
羧基(n-C ₁₀)	108	5-羧基-7-甲氧基呋喃	321
		3-羧基甲基半胱氨酸	479

羟基苯胺衍生物	696	2'-脱氧胞苷和胞苷	420
4-羟基-异喹啉	703	脱氧核糖	166,168,171
羟基西地尼	292	2-脱氧-D-核糖	575,587
3-羟基-17-含氧杂蒽酮-1,3,5(10)三烯	522	脱氧核糖核碱	418,420
3-羟基-17-含氧杂蒽酮-1,3,5(10)五烯	522	脱氧胸苷	441,454
3-羟基-17-含氧杂蒽酮-1,3,5(10)四烯	522	2'-脱氧胸苷	418
羟基咪唑丹	298	2'-脱氧胸苷 5'-核苷酸	418
p-羟基苯甲酸	573	脱氧腺苷	595
2-羟基苯甲酸	513	脱氧腺苷核碱	281,572,595
3-羟基苯甲酸	513	脱氧腺苷核糖	171
4-羟基苯甲酸	291,513,542	α-脱氧葡萄糖基嘌呤二羧基乙烷衍生物	595
2,4-羟基苯甲酸	513	脱氧腺苷(DsA)441	545
2,4-羟基苯甲酯	291	2'-脱氧腺苷	420
2-羟基苯并[α]吡	251	脱氧腺苷碱	590
3-羟基苯并[α]吡	251	脱(44,65)胰岛素	427
4-羟基苯并[α]吡	251	脱(3-13)胰岛素原	427
7-羟基苯并[α]吡	251	脱(44,65)胰岛素原	427
9-羟基苯并[α]吡	251	脱(4,12)胰岛素原	427
12-羟基苯并[α]吡	251	β-脱氧基-6-叶黄素糖	226
羟基苯并内酯	281	β-脱氧基-8-叶黄素糖	226
羟基蒽醌	298	β-脱氧基-10-叶黄素糖	226
羟基蒽醌衍生物	636	β-脱氧基-12-叶黄素糖	226
7β-羟基胆甾醇	471	羟基四环素	211
21-羟基胆甾醇	471	羟基黄	215,225,281,552,572,581
4-羟基香豆素	255,291	蛇床子素(黄色荧光)	531
7-羟基香豆素	291	D-葡萄糖	591
18-羟基脱氧核糖	436	亚硫酸阿拉伯糖	441
8-羟基嘌呤	335	亚硫酸胞苷核碱	642
羟基脲	423,429,541	亚硫酸胞苷核糖-精氨酸-苯丙氨酸	642
秋水仙碱	566	野黄耆	306
羟基四环素	535,547	野	340,556
4-位内酰胺四环素	535,547	物	337,340,586
3,6-脱水-β-吡喃葡萄糖	170	核	340,586
脱氢可的松	591	核酸核	369
11-脱氢皮质酮	434,590	核内 B	369
脱氢叶黄素	218	核内 GA	369
2'-脱氢-5'-甲硫腺苷	439	核内 GC	369
22-脱氧皮质醇	499,507,590	核内内酯	547
23-脱氧皮质醇	590	核内内酯	547
脱氧鸟苷(DsG)	441,545	核内内酯	547
2'-脱氧鸟苷	420	核内内酯	547
4-脱氧胞苷	290	核内内酯	547
脱氧肾上腺素衍生物	647	核内内酯	547
11-脱氧氢化可的松	436	核内内酯	547
脱氧胆碱	232,223	核内内酯	547
脱氧胞苷	441	核内内酯	547

十二 西

琥珀酸 255,276,286,

245,287,327,328,329,515,559,574,585

庚珀酸酐	578	4 硝基乙苯	500
替氯吡啶	512	硝基二甲胺	518
保干素	172, 175, 575, 587	2 硝基二甲胺	509
棕榈油酸	282	4 硝基二甲胺	509
棕榈酸	282, 489, 495, 514, 531	4-硝基-3-三苯	257
磷酸六磷酸	515	四硝基苯基	231, 255, 518, 539
联二苯	490	3-硝基苯基	231, 255, 518, 539
联苯	240, 242, 290	4-硝基苯基	231, 255, 518, 539
联苯双酚及其衍生物	454	1-硝基-6-甲基苯	257
[联苯胺] ⁺	655	5-硝基-6-甲基萘	257
联苯胺	507	8-硝基-7-甲基萘	257
N-联苯二胺	456	联萘安定	491
S-联苯二胺	456	1-硝基萘	257
联酮	516	3-硝基萘	257
糖苷二磷酸半乳糖	581	2-硝基萘	257
葡萄糖苷	264	联萘基	231, 240, 242, 420, 543, 641
葡萄糖苷酶	369	1-硝基苯	518
D-葡萄糖	174, 390, 577	4-硝基-1,4-苯二胺	295
UDG-葡萄糖	559	3-硝基-1,4-苯二胺	296, 299
葡萄糖	163, 165, 186, 188, 169, 170, 171, 172, 173, 174, 175, 289, 274, 283, 391, 462, 576, 577, 586, 587	m-硝基苯甲酸	573
葡萄糖苷	167	o-硝基苯甲酸	573
顺(1R,2S)-2,3,4,5-四对乙酰-β-D-吡喃葡萄糖衍生物	170	3-硝基苯甲酸	255, 573
顺(1S,2R)-2,3,4,5-四对乙酰-β-D-吡喃葡萄糖衍生物	170	4-硝基苯甲酸	255, 573
D-葡萄糖醇	580, 585, 577	6-硝基苯基[n]基	257
β-葡萄糖醛酸	509	4-硝基苯甲酸	251
葡萄糖酸酐	269	4-硝基苯胺	282
葡萄糖二胺	556	2-硝基苯胺	508, 551
葡萄糖胺	167	3-硝基苯胺	236, 255, 282, 591
葡萄糖	163, 171, 556, 575, 587	4-硝基苯胺	282, 591
1,4-葡萄糖-1,4-内酯	558	1-硝基苯胺-2-磺酸	381
葡萄糖内酯	171	联萘基胺	240, 242, 260
葡萄糖胺	255	2-硝基苯胺	232, 246, 249, 275, 506, 527, 574
1,4-葡萄糖胺-2-三苯	598	4-硝基苯胺	236, 238, 251, 256, 291, 527, 508, 574
1,4-葡萄糖胺-2-三苯	598	四硝基	231
D-葡萄糖胺	558, 565	3-硝基-4-羟基苯胺	251
葡萄糖胺	575, 587	3-硝基苯	257
葡萄糖胺	355	4-硝基苯	257
硝化甘油	508	1-硝基萘	257, 518
1,3-硝丙醇	234	2-硝基萘	257
1,6-硝丙醇	234	5-硝基萘	257
1,8-硝丙醇	234	6-硝基萘	257
硝甲互作	538	4-硝基萘	257
硝丙互作	538	9-硝基萘	257
硝基基	592	四硝基萘	409
硝基基互作	545	硝基萘	558, 560
2-硝基乙基	509	硝基丁巴比	211
		氯化二硝基丙基	531
		氯化 N-甲萘基	537

四硫氯化铁(III)盐	501, 538	2-羧角鲨烯基乳糖	167
四硫磺酸钙	546	毒鼠药	499

十六 画

Serilane 盐 3RL	833	磺胺酞酸	546
羧皮甙	551	磺胺噻沙啉(6-SOX)	528
羧皮素	219, 220, 221	磺胺噻唑	240, 308, 587
初酮醇	406	磺胺噻唑啉	586
磺化 C_6	390	磺胺氯苄啉(7-SCP)	523, 586
磺化 C_7	390	磺胺噻唑(5-SMZ)	239, 266, 278, 308, 431, 528, 586, 587
磺化 C_8	390	磺胺噻唑	366
磺化 C_{10}	490	磺胺噻唑(8-STZ)	431, 528, 586, 587
磺化 C_{12}	390	磺基丙氨酸	177
磺甲基化羊毛质量	545	磺基丙氨酸 β -PTC	594
磺平青霉素钠	561	磺基丙酸	561
α -磺基肽	282	1,2-磺基苯	575
磺胺	431, 591	C_6 -磺基苯	577
磺胺二甲异噁唑	230	C_7 -磺基苯	577
磺胺二甲异噁唑	306	C_8 -磺基苯	577
磺胺二甲氧吡啶	308, 587	C_9 -磺基苯	577
磺胺二甲苄唑啉	131	C_{10} -磺基苯	577
磺胺二甲基噁唑	230, 431, 587	C_{11} -磺基苯	577
磺胺二甲氧吡啶	230	C_{12} -磺基苯	577
磺胺二甲噁唑	230, 266, 278, 308, 431, 528, 586, 587	C_{12} -磺基苯	577
磺胺对甲氧吡啶	586, 587	磺基苯丁	588
磺胺对甲基吡啶	578	1-磺基苯	573
磺胺甲异噁唑	308	2-磺基苯	573
磺胺甲唑	586	噻虫体人 β 片酸	418
磺胺甲氧吡啶	587	R-噻虫体人	475
磺胺甲氧吡啶	586	S-噻虫体人	475
磺胺甲氧吡啶	308	噻虫体	855
磺胺甲氧吡啶	240	噻虫平	233, 250, 275
磺胺甲氧吡啶	266, 278, 308, 528, 586	噻	337, 340, 588
磺胺噻唑	266, 528, 586	噻虫体蛋白	415
磺胺噻唑(1-5)X	528	噻虫体蛋白	860
磺胺异噁唑	266, 586	噻虫体蛋白红蛋白	583
磺胺同氧吡啶	586	噻虫体蛋白红蛋白	484
磺胺甲氧吡啶	587	噻虫	803
磺胺噻唑	587	噻虫	256, 260, 261
磺胺噻唑	230, 586, 587		

十七 画 以上

PE-磺基噻唑乙酰胺	270, 273, 409	TEAP 噻虫三乙胺	437
磺基噻唑乙酰胺	408	噻虫体吡啶	423, 429
噻虫体吡啶	508, 537	噻虫体吡啶	649
噻虫体吡啶	270, 273, 308, 408	5'-噻虫体吡啶(PNP)	227
噻虫体	537	噻虫体吡啶	206
噻虫体吡啶	270, 273, 409	噻虫体吡啶(PMP)	227

Br^+	318, 354
$\text{Br}^+ - \text{EDTA}$	378
BrO_2^-	349
Br^-	321, 330, 340, 447, 348, 349, 350, 351, 352, 353, 356, 358, 359, 360, 361, 362, 363, 364, 365, 366, 367, 368, 369, 371, 372, 358, 360-369
BrO_2	348, 349, 352, 355, 364, 369, 378
BSA	317, 408
C_{100} - 膜-9	513
$\text{C}_{100, 2}$ - 膜-9, 18	513
$\text{C}_{100, 3}$ - 膜-9, 12, 15	513
$\text{C}_{100, 4}$ - 膜-6, 9, 12	513
C_3	279
C_4	279
C_5	279
C_6	279
C_7	279
dCl_2	340
C_8	279
C_9	279
dC_{10}	340
C_{12}	279
C_{13}	279
$\text{C}_{14, 1, 2}$	596
$\text{C}_{14, 1, 3}$	596
C_{14}	402, 494
$\text{C}_{16, 1, 2}$	515, 590
C_{16}	105, 494
$\text{C}_{18, 1, 2}$	183, 513, 590
$\text{C}_{18, 1, 3}$	494, 590
$\text{C}_{18, 1, 4}$	494
$\text{C}_{18, 1, 5}$	494, 590
C_{19}	391
$\text{C}_{20, 1, 2}$	590
C_{21}	401
C_{22}	401
C_{23}	398, 405
C_{24}	398, 405
C_{25}	405
C_{26}	105
C_{280} - 膜-9	401
C_{281}	315, 316, 320, 321, 322, 323, 324, 325, 326, 327, 328, 330, 337, 447, 334, 335, 339, 342, 343, 344, 373, 374, 375, 376
G allylglycine	291
α -AMP	425
γ -AMP	503
γ -BF	250
Ca^{2+}	315, 317, 319, 320, 321, 323, 329, 331, 333, 336, 337, 339, 342, 343, 376
CDC	323
CDP	440, 557, 502
COP	351
Ce^{2+}	316, 324, 328, 341, 345, 346, 557, 559, 576
C_{11} - 7EY	301
3,5- α GMP	459
$[\text{C}(\text{H}_2\text{CH}_2)_4\text{N}]^+$	345
$[\text{C}(\text{H}_2\text{CH}_2)_5\text{N}]^+$	343
$[(\text{CH}_2\text{CH}_2)_5\text{N}]^+$	344
CH_2Cl_2	481, 521, 522
$\text{CH}_2\text{CONH}_2\text{NH}_2$	355
CH_2COO^-	363, 369
$(\text{CH}_2)_3\text{N}^+$	355
$\text{C}_5\text{H}_7\text{N}$	355
$[(\text{CH}_2)_5\text{NH}]^+$	345
$[(\text{CH}_2)_5\text{NR}_2]^+$	313
5-CHO-THF	309
5-CHL-THF	309
Cl^-	321, 322, 330, 346, 347, 348, 349, 350, 351, 352, 354, 356, 357, 358, 360, 362, 363, 365, 368, 367, 369, 371, 372, 373, 374, 375, 376, 558, 560, 569
ClCH_2CO_2	368
$\text{Cl}_2\text{CH}_2\text{O}^-$	368
ClO_2^-	349
ClO_2	349, 364, 365, 561
ClO_3	364, 367, 468
Chloronic acid (7)	356, 357, 374
CMP	426, 557, 559, 502
2'- d^3 -CMP	422
CN^-	349, 356
CN_3^-	363
Co	308, 319, 321, 324, 329, 332, 334, 339, 342
Co^{2+}	315, 316, 317, 319, 320, 321, 323, 329, 332, 334, 337, 342, 343, 346, 349, 350, 353, 359, 376
CO_3^{2-}	349, 354, 358, 362, 365, 372, 375, 558, 560
Co(II)	317, 318, 353, 339
$\text{Co}^{2+} - \text{EDTA}$	318
$\text{CO}_3^{2-} (\text{HCO}_3^-)$	362
$\text{COOH} - [\text{MET} - \text{ASP}] - \text{NH}_2$	437
Cr(III)	317, 328, 338
CrO_4^{2-}	340, 347, 348, 355, 364, 358, 369
Cr^{2+}	315, 316, 330, 333, 342, 345, 346, 375
CrCl	345
CrCl	310
CrP	439, 440, 337, 359, 302
Cu	441
Cu^{2+}	317, 318, 319, 320, 321, 324,

325,326,329-335,336-337,339-346,322,	DNA 片段	484,444,650
331-335,343-319,342-335,526,559,576	MBmp 上 DNA 序列	653
Enl 1	DNB	637,643
Cu ²⁺ -EDTA	2,7-DNF	221
Cyl	1,5-DNF	231
CYL	1,6-DNF	231
Cys	1,6-DNP	231
MeraS 鼠甲基 Cys	DNP 衍生物	635
S-羧甲基-Met-Cys	DNP-DL-Mec	570,635
(Cys) ₂	DNP-Gly	570
cys-syn-Thy<C>Thy cis syn Uua<C>Thy, cis syn Uua<C>	DNPET	235
Ura	DNP-E Ala	570
dA	DNP-E Arg	570
D-Ala	DNP-L-Ala	570
D-Ala-Gly-Phe-Met-NH ₂	DNP-L-Asp	570
dAm	DNP-L-Glu	570
DC	N,N'-di-DNP-L-His	570
DLF	DNP-L-Leu	570
dCMP	DNP-L-Phe	570
DD 或 Gly 三肽	DNP-L-Pro	570
dHA	DNP-L-Ser	570
ddATP	DNP-L-Thr	570
α, β' -DDP	DNP-L-Tyr	570
β, β' -DDP	DNP-L-Val	570
α, β' -DDE	Dns Ala	567
β, β' -DDE	Dns Asn	567
(ddG-dGMP)	Dns-Glu	567
ddGTP	Dns-Gly	567
β, β' -DDI	Dns-Hyp	567
[Des-Gln] P 物质	Dns-Ile	567
Dextran T500	Dns-leu	567
dGDP	Dns-Met	567
D-Glu	Dns-Pro	567
dGMP	Dns-Thr	567
DHF	Dns-Tyr	567
D-His	3,4-DNT	637,643
DIP-HCl	3,6-DNT	637,643
DIT	DOPAC	469
DIT	DP1	164,261
DL-Ala	DP2	164,261
dibenzazoc sulphox	DP3	164,261
DL-Leu	DP4	164,261
DL-Met	DP5	164,261
DL-Val	DP6	164
D-Lys	DP7	164
DMA	DP8	164
DNCTC	DP9	164
D-Met	DP10	164
DMPFU	Dy	318,324,328,341,557
DMTC	Dy ²⁺	345-346,559,576

LiH	176-178,179-181-188-120- 429,434-442,540,541,567,594,598	Li ⁺	326,341,345,557,559,576
HL	329	LWLGDVTRQYFKYTDKANNQVGLAPVA	434
HMT-DNPH-1	235	Lys	174,176,177,179,181,191,490,492, 423,429,434,442,494,560-541,580,594-596,635
HmCl	647,649	L-Lys	591,670
H ₂ O ¹	518,494,328,343,346,557,559,576	ME	438
H ₂ O	343	MEA	438
(HOCH ₂) ₂ Cl·H ₂ 亚代季戊三醇	207	L-Met	470,565
HPO ₄ ³⁻	358	Met	168,179,176,177,178,179-180, 181,191-382,388,423,429,454,112-367,598-600
HPO ₄ ²⁻	348,358,359,360	苏-D,β-MePhe	460
HSAA	579	苏-L β-MePhe	460
Hse	178	mTg	603
HVA	469	Mg ²⁺	315,316,320,321,322, 323,324,325,326,327,328,330,332,333,334,336, 338,339,340,342,343,344,346,375-559,576-586
HYP	179,391	MTI	196
I ⁻	323,330,316,347,348,352,353- 563-564,565,367,388-370,371-558,603,646	mIG	603
IgG	427,652	MD	603
I ₂	179,177,178,179,180-181,191-382, 388,423,429,442,540-541,594-598,605,641	MMA	321-388,576
IMP	128,433,110	Mn ²⁺	315,316,317,320,321,322, 323,324,325-329,332,339-342,343-559,576
MPA	362,373,568	1-N-2-MN	231
Li ₂	391	Mo(W)	317,336
INT	649	MoO ₄ ²⁻	349,361-352,556
IO ₃ ⁻	554,348,557,646	MPL	362,372,568
ISOCTC	310	3-N-6-MQ	231
iso-Leu	585	3-N-7-MQ	231
K ⁺	410,316,321,322,123,324, 425,426,527,325,330,332,334,338,339, 340,342,344,344,374,519,576-596,655	MTH-Ala	189
KBr	370	MTH-Glu	189
KCl	345,370	MTH-Gly	189
KI	370	MTH-Leu	189
KNO ₃	370	MTH-Pe	189
KSCN	370	MTH-Lys	189
Li ⁺	316,324,378,341,345,346,557,559,576	MTH-Tyr	189
Li	229	MTH-Val	189
Li ₂ O	176,177,178,379,180,181,191,342,386, 423,429,434,442,541,561,567,594,598,600,595,641	MTX	209
L-Leu	470	mU	603
nor-Leu	587,635	MYO	417
Ac-(Leu-Gly-Leu-Lys-Ala) _n -NH ₂	435	N ₂	556
L-Gly	470,561,567,591	N S, -di-DNP-L-Cys	570
L-His	600	Na ⁺	316,316,321,322,323,324,326,326, 327,328-330,332,334,348-349,349, 349,349-311,373,364,559-568,655
[I ⁻]	415,316,322,324,325,326,327,328, 330,331,334,334,339,340,348,349,374,609	9-NA	231
Librium	486	NaBr	388,370
LiCl	345	NaCl	343,360,370
LL 固 Gly 三肽	467	NAD ⁺	439,440,501
LPC	400	NaF	609
LPE	309	NaI	369,370

$\text{Ni(NO}_3)_2$	370	5'-OH-Tr-HCl	684
NiSCN	370	OVA	417
Ni	321, 537-649	P	377
3-NB	231	PL 水合物	420
3-NB	231	Pn^2	315, 318, 319, 320-321- 328, 329, 332, 333, 334, 336, 339, 376, 655
4-NB	231	PB	323
6-NC	231	Pb^{2+} EDTA	318
Nd^{3+}	315, 324, 328, 341, 345, 346, 357, 575	PBR 322/Msp 1	571
2-NF	231	PC	537
NFTYUCIF	400	PCB	319
NH_3	336	PCP	595
NH_4^+	315, 316, 321, 322-323, 324-326, 355, 386, 327, 328, 330, 338-354, 368, 339, 340-343, 344, 373, 384	PCR 产品	579
Ni^{2+}	308, 315, 316, 317, 319, 329, 321, 323, 374, 325, 331-338, 342, 343, 346-355, 356, 359, 576	$\text{Pd}(\text{I})$	317, 335, 336, 337
$\text{Ni}(\text{II})$	357	PE	327
NIP1	333	pHA	576
NIP2	333	D-Phe	470, 565, 600, 631
NIP3	335	L-Phe	470, 565, 581, 600, 631
NIP4	335	Phe	376, 378, 379, 380, 381, 387, 391, 393-382, 386-423, 429, 434, 438, 442, 444, 540, 541, 561-567, 581, 596, 598, 600, 601, 641
NIP5	335	D-Phe/ri	600
Ni	302-600	L-Phe/ri	600
1-NN	231	Phe-Met	435
2-NN	231	PIUR	434
2-Nb DNT	649	Phenoxazinib R	325
NO_2	363	TPMPA	508
NO_2^-	346, 347, 348, 350, 351, 353, 354, 355, 355, 358, 359, 360, 361, 362, 364, 395, 396, 397, 398, 399, 371, 372, 375, 556, 569	Pu^{3+}	360
顺式 $\alpha\text{-NO}_2$ 异构体	475	Pu_2^{3+}	346, 347, 348, 349, 350, 351, 354, 355, 356, 357, 358, 359, 360, 361, 362, 363, 366, 369, 371, 372, 373, 374, 396, 500, 569
顺式 m -和 $p\text{-NO}_2$ 异构体	475	Pr	313, 324-328, 341, 637
NO_2^-	323, 320, 340, 347, 348, 349, 350, 351, 352, 354, 355, 356, 357, 358, 359, 360, 361, 362, 363, 364, 365, 366, 367, 368, 369, 371, 372, 374, 375, 456, 556, 569	Pr-HCl	524
NO_2^+	373	Prp	175, 176, 177, 178, 179, 180-181, 191, 345, 346, 423, 429, 434, 340, 541, 559, 576, 581, 594, 598, 601, 641
1-NP	231, 236	D-Pro	361, 600
3-NPcr	231	L-Pro	561, 600
NPH5	231	4-N-P-T	231
9-NPH	231	$\text{Pc}(\text{I})$	317, 335, 336
5-NQ	231	$\text{Pc}(\text{I})^-$	331
6-NQ	231	PecGu	309
8-NQ	231	PTH-Ala	180
2-NJ	637, 640	PTH-Arg	180
3-NJ	637, 640	PTH-Asn	180
4-NJ	637, 640	PTH-Asp	180
NVA	434, 582	PTH-Gly	180
Nval	600	PTH-Tyr	180
NWVPVTE	434	PU	584
N α -DNP-L-Tyr	570	RANNOVGLAPVA	434
4-OH-Tr-HCl	584	Rb^+	315, 316, 330, 334, 344, 373

RhCl	347	SSYYTUGSL	434
RhIM	448	Sulfamethoxazole	421
RhX	637,649	T2	187,196-211
RhO ₄ ⁻	556,646	T3	187,196-211
Rh	319	T-T3	187,196-211
R-H-Bin-OH	454	Td	187,196-211
RhCl ₄ ⁻	331	TA	321
Rheomacrodex(相对分子量 40 000)	165	Tau	429
Rhase	417	Tb	318,324,328,341,346,557-559
RhToC	448	TC	210,223
RSX	434	TUDC	223
Ru	319	TUC	223
S ²⁻	348	Tdyl	637,649
SAR	434	termodide	566
Sc	341	TFec	418
SCN 30370	438	TUGSNLWVPSVYXSLAXTNXNXP	434
SCN ⁻	333,337,346,347,348,352,353-363,368,370,371,556	Δ ¹ -THC	595
N-S-DNP-L-Lys	570	THF	209
SeI	420	D-Thr	398
SeO ₄ ⁻	349,355	L-Thr	398,594
SeO ₄ ²⁻	349,350,355	Thr	176,177,178,179-180-181-191,423,434,442,473,540,541,594,596,600-635
D-Ser	398	Tbv	641
L-Ser	398	Tby	429
Ser	176,177,178,179,180,181,388,423-434,442,473,484,540,541-561,582,584,596,600,601	TLC	223
Seridene 果红 PL	633	Ta	324,328,341,557
SG	546	1m ⁴ -	545-559,576
S-H-Bin-OH	454	δTMP	435
SM ₂	548	TMP	432
Smf II	318,324,328,341,345,346,557,559,576	TNB	437,649
S-MMA	292	INT	637
SN	546	IO	167,196
SO ₃ ⁻	349,356,375	ionene	365
S ₂ O ₅ ⁻	556	Trh ⁺	635
SO ₄ ⁻	323,346,347,348,349,350,351,362,364,355-356,357,358,359,360,361,362,363,364,365,368,369,371,373,373-374,375,376,558,560,569	D-Trp	600
S ₄ O ₆ ⁻	353,351,358-363,363-370,669	Trp	177,178,179,180,181,190,263,413,442,508,541,561,567,592,594,596,598,601,639,641
S ₄ O ₆ ²⁻	361,351	D-Trp	567
S ₃ O ₆ ⁻	351	L-Trp	456,567,606
S ₂ O ₆ ⁻	361,351	[Trp ¹]-SRH	437
S ₂ O ₆ ²⁻	361,351	Trp ² -	346
S ₄ O ₆ ⁻	361,351	TUDC	223
SOD	410	D-Tyr	600
SP	546	L-Tyr	600
Se ⁴⁻	316,320,321,330,532,538,342,343,375,576	Tyr	176,177,178,179,180,181-187,382,586,429,434-438,442,440,541,561,594,596,598,601,641
SRH	437	Tyr-Ala-Gly-Phe-Leu-Arg	644
		Tyr-Arg	644
		Tyr-D-Ala	435
		Tyr-D-Ala-Gly	438

Tyr-D-Ala-Gly-Phe	436	VQg	348, 352
Tyr-Gly-Gly-Phe-Leu-NH ₂	644	VQPt	336
Tyr-Gly	437	VQP2	336
[TYR']-SRNH	437	VQP3	336
U	554, 605	VQP4	336
D-Ual	565	VTP	312
UDC	225	WAGGDASGE	400
UMP	439, 440, 557, 559, 602	WQI ⁺	319, 556, 558
UMP	426, 440, 557, 559, 602	X	608
2',3'- α UMP	422	QX174/Hal II/R	371
Urd	441	Xun	391
UTP	439, 440, 557, 559, 602	XMP	559
V	302, 325	KVPSVYXSSLAXTNH ⁺ XFNP	434
V4F	319	XKPGSFLYYAPFDXCLLAY	434
D-Val	398, 561, 567	Y	341
L-Val	398, 561, 565, 567	YH ⁺	324, 328, 341, 343, 346, 557, 559, 576
nor-Val	567, 565	YRGTYGIGTPAQDFTVVPDT GSSOLWVPSVYCS	434
Val	176, 177, 179, 179, 180, 181, 191, 332, 386, 423, 429, 434, 442, 484, 540, 541, 561, 567, 592, 598, 600, 641	YCGFMTSQRQUT PLVT	400
Val-Ala	437	YYAPFDGILG	431
VD	398	Zn ²⁺	328
VDEQPIENYLIME	431	Zn ⁴⁺	315, 317, 319, 320, 321, 323, 324, 328, 332, 336, 337, 339, 342, 343, 346, 559, 576
VDP	440	Zr	321, 521, 328
VLSEGEWQLVLHIVWAKVEADVA			
GHGQDILIRLFKSHPETLEKFDREKHLKTEAE	400		

本书中其他缩写符号表

α 或 α	未知物	De, ILE	异亮氨酸
Ask	腺苷	DMP	肌苷—磷酸
ADP	腺二磷	uv	紫外
Ala- ALA	丙氨酸	Leu, LEU	亮氨酸
AMP	腺一磷	Lys, LYS	赖氨酸
Arg, ARG	精氨酸	∞	无穷
Asn, ASN	天冬酰胺	Mec- MET	蛋氨酸
Asp, ASP	天冬氨酸	MEP	一磷酸肌醇
ATP	腺三磷	MTB	甲基乙内酰胺脒
GDP	鸟二磷	NAD	辅酶 I
Ch	柠檬酸	α	第
CMP	胞一磷	ONPA	邻苯二甲酸
CIP	胞三磷	Orn	鸟氨酸
Cys, CYS	半胱氨酸	ρ	对
dAMP	脱氧腺一磷	Phe, PHE	苯丙氨酸
DBI	二异甲脒硫酸盐	Pro- PRO	脯氨酸
dUMP	脱氧尿一磷	PTH- PTH	羧基赖氨酸酶
dGMP	脱氧鸟一磷	SIG	十二烷基硫酸钠
DIT	二碘酪氨酸	Ser, SER	丝氨酸
DL, DL	外消旋化	T0	中位还原氨酸
DNP	二硝基苯酚	T2	二硝基还原氨酸
DNPII	二硝基苯酚	T3	甲磺安
Dns	丹磺酰基	T4	四硝基还原氨酸
DNPA	多巴	Tau	牛磺酸
DP	聚合度	TBTO	氧化二丁基
dTMP	脱氧胸一磷	TCT	降参素
GABA	γ -氨基丁酸	Thr- THR	苏氨酸
GDP	鸟一磷	TMP	胸一磷
Gln, GLN	谷氨酰胺	TPT	氧化三苯胺
Glu- GLU	谷氨酸	Trp, Trp, TRP	色氨酸
Gly, GLY	甘氨酸	Tyr, TYR	酪氨酸
GMP	鸟一磷	UMP	尿二磷
GTP	鸟三磷	UMP	尿一磷
His, HIS	组氨酸	UTP	尿三磷
Hyp	羟脯氨酸	Val	缬氨酸
IgG	免疫球蛋白	uv	微量分析
		φ	体相分析